MBL/WHOI
0 0301 0029601 8

Das Tierreich.

Eine Zusammenstellung und Kennzeichnung der rezenten Tierformen.

Begründet von der Deutschen Zoologischen Gesellschaft.

Im Auftrage der

Königl. Preuß. Akademie der Wissenschaften zu Berlin

herausgegeben von

Franz Eilhard Schulze.

„Πάντα ῥεῖ." *„Sine systemate chaos."*

31. Lieferung.

Crustacea.

Ostracoda

bearbeitet von

G. W. Müller
in Greifswald.

Mit 92 Abbildungen.

Berlin.
Verlag von R. Friedländer und Sohn.
Ausgegeben im Juli 1912.

Das Tierreich.
Im Auftrage der
Königl. Preuß. Akademie der Wissenschaften zu Berlin
herausgegeben von
Franz Eilhard Schulze.

31. Lieferung.

Crustacea. Beirat: Prof. Gießbrecht.

Ostracoda

bearbeitet von

G. W. Müller
in Greifswald.

Mit 92 Abbildungen.

Berlin.
Verlag von R. Friedländer und Sohn.
Ausgegeben im Juli 1912.

Alle Rechte vorbehalten

A. Hopfer, Burg b. M.

Inhalt.

	Seite
Literatur-Kürzungen	VI
Systematischer Index	XIV
Ord. *Ostracoda*	1
Corrigenda	398
Alphabetisches Register	399
Nomenclator generum et subgenerum	428

Die Literatur ist bis zum 31. Dezember 1908 bearbeitet.

Die Figurennummern, die sich auf Bilder des ganzen Tieres resp. der Schale beziehen, sind fett gedruckt.

Übersichten der Arten zu geben war bei sehr vielen Genera — namentlich der Cytheridae — nicht möglich.

1947

Literatur-Kürzungen

Abh. Bayer. Ak. — Abhandlungen der mathematisch-physikalischen Classe der Königlich Bayerischen Akademie der Wissenschaften. München. 4.

Abh. Senckenb. Ges. — Abhandlungen herausgegeben von der Senckenbergischen naturforschenden Gesellschaft. Frankfurt a. M. 4.

Amer. J. Micr. Chicago — American Journal of Microscopy. Devoted to the general Dissemination of the Knowledge of microscopic Science. Chicago. 4.

Amer. Natural. — The American Naturalist. Salem (Philadelphia) (Boston). 8.

Ann. Biol. lacustre — Annales de Biologie lacustre publiées sous la Direction du Ernest Rousseau. Bruxelles. 8.

Ann. Mus. Congo — État indépendant du Congo. Annales du Musée du Congo, publiées par ordre du Secrétaire d'état. Serie II. Zoologie. Bruxelles. 4.

Ann. Mus. Paris — Annales du Muséum |national| d'Histoire naturelle. Paris. 4.

Ann. Natal Govt. Mus. — Annals of the Natal Government Museum. London. 8.

Ann. nat. Hist. — The Annals and Magazine of natural History, including Zoology, Botany, and Geology. London. 8.

Ann. Sci. nat. — Annales des Sciences naturelles. — [Sér. 2—4:] Zoologie ([Sér. 5 & sequ.:] Zoologie et Paléontologie). Paris. 8.

Annuaire Mus. St.-Pétersb. — Annuaire du Musée zoologique de l'Académie Impériale des Sciences de St.-Pétersbourg. St.-Pétersbourg. 8.

Arb. Inst. Wien — Arbeiten aus dem zoologischen Institute der Universität Wien und der zoologischen Station in Triest. Wien. 8.

Arch. Hydrob. Plankton. — Archiv für Hydrobiologie und Planktonkunde. Stuttgart. 8.

Arch. Landesdf. Böhmen — Archiv für die naturwissenschaftliche Landesdurchforschung von Böhmen. Hrsg. von den beiden Comités für die Landesdurchforschung. Prag. 8.

Arch. mikr. Anat. — Archiv für mikroskopische Anatomie ([*v.* 44 & sequ.:] Archiv für mikroskopische Anatomie und Entwicklungsgeschichte). Hrsg. von Max Schultze, v. la Valette St. George, W. Waldeyer, O. Hertwig. Bonn. 8.
v. 1—5, 5 suppl., 6—10, 10 suppl., 11, 11 suppl., 12— : 1865— .

Arch. Mus. Rio Jan. — Archivos do Museu nacional do Rio de Janeiro. Rio de Janeiro. 4.

Arch. Naturg. — Archiv für Naturgeschichte. Berlin. 8.

Arch. Naturv. Kristian. — Archiv for Mathematik og Naturvidenskab. Kristiania. 8.

Atti Acc. Lincei Mem. — Atti della Reale Accademia dei Lincei. — Memorie della Classe di Scienze fisiche, matematiche e naturali. Roma. 4.

Atti Acc. Napoli — Società Reale di Napoli. Atti della Reale Accademia delle Scienze fisiche e matematiche. Napoli. 4.

Atti Acc. Pontan. — Atti dell Accademia Pontaniana. Napoli. 4.

Baird, Brit. Entom. — W. Baird, The natural History of the British Entomostraca. London (Ray Soc.). 1850. 8.

Barrois, Matér. Açores — Matériaux pour servir à l'Étude de la Faune des Eaux douces des Açores. Lille. 8.
IV. Crustacés. 1888. 1. Copépodes par Th. Barrois. 2. Ostracodes, Cladocères, Branchiopodes par R. Moniez.

Berlin. ent. Z. — Berliner entomologische Zeitschrift. Berlin. 8.

Ber. Ver. Kassel — Bericht über die Thätigkeit (2. (3., . . 12). Jahresbericht über die Thätigkeit) (13. (14., . . .) Bericht) des Vereins für Naturkunde zu Cassel. Cassel. 8.

Ber. Ver. Innsbruck — Berichte des naturwissenschaftlichen-medizinischen Vereins in Innsbruck. Innsbruck. 8.

Bibl. Genève Arch. — [Supplément à la] Bibliothèque universelle de Genève. Archives des Sciences physiques et naturelles. Genève. 8.

Boll. Soc. zool. Ital. — Bolletino della Società zoologica Italiana. Roma. 8.

Budapest és Kernyéke — Budapest és Kernyéke állattani tekintetben.

Bull. Denison Univ. — Bulletin of the scientific Laboratories of Denison University. Granville Ohio. 8.
v. 1—8: 1886—94.

Bull. Illinois Lab. — Bulletin of the Illinois State Laboratory of natural History. Peoria, Springfield. 8.

Bull. Mus. Harvard — Bulletin of the Museum of comparative Zoology at Harvard College, in Cambridge. Cambridge, Mass., U. S. A. 8.

Bull. Soc. Bucarest — Buletinul Societatii de Stiinte Bucuresti-România. Bulletin de la Société des Sciences Bucarest-Roumanie. Bucuresti. 8.

Bull. Soc. Étud. Paris — Bulletin de la Société d'Études scientifiques de Paris. Paris. 8.

Bull. Soc. Moscou — Bulletin de la Société Impériale des Naturalistes de Moscou. Moscou. 8.

Bull. Soc. Vaudoise — Bulletin de la Société Vaudoise des Sciences naturelles. Lausanne. 8.

Bull. Soc. zool. France — Bulletin de la Société zoologique de France. Paris. 8.

Bull. U. S. Fish Comm. — Bulletin of the United States Fish Commission. Washington. 8.

Bull. U. S. geol. Surv. — Bulletin of the United States geological and geographical Survey of the Territories. Washington. 8.

Camp. scient. Hirondelle — Campagnes scientifiques du Yacht monégasque l'Hirondelle. Paris. 8.

CB. Ver. Regensburg — Correspondenz-Blatt des zoologisch-mineralogischen Vereines in Regensburg. Regensburg. 8.

Claus, Crustaceensystem — Untersuchungen zur Erforschung der Genealogischen Grundlage des Crustaceen-Systems. Ein Beitrag zur Descendenzlehre von Carl Claus. Wien. 1876. 4.

Claus, Halocypr. — Die Halocypriden des Atlantischen Oceans und Mittelmeeres. Von C. Claus. Wien. 1891. 4.

Claus, Schr. zool. Inh. — Schriften zoologischen Inhalts. Von C. Claus. Heft I. Wien. 1874. 2.

O. Costa (A. Costa), Fauna Reg. Napoli — Fauna del Regno di Napoli ossia Enumerazione di tutti gli Animali che abitano le diverse Regioni di questo Regno e le Acque che le bagnano .... di Oronzio-Gabriele Costa. [Continuato da Achille Costa.] 118 fasc. Napoli. 1832—81. 4.
(Crostacei, Entomostraca, Ostracoda.)

Cuvier, Règne an. — Le Règne animal distribué d'après son Organisation, pour servir de Base à l'Histoire naturelle des Animaux et d'Introduction à l'Anatomie comparée. Par [Georges] Cuvier. Tom. 1—4. Paris. 1817. 8.

Cuvier, Règne an., n. ed. — Le Règne animal distribué d'après son Organisation, pour servir de Base à l'Histoire naturelle des Animaux et d'Introduction à l'Anatomie comparée. Par [Georges] Cuvier. Nouvelle Édition, revue et augmentée. [Tom. 4 & 5:] Par [Pierre André] Latreille. Tom. 1—5. Paris. 1829, 29, 30, 29, 29. 8.

Daday, Ostr. Hungar. — A magyarországi Kagylósrakok. — Ostracoda Hungariae. Budapest. 1900. 8.

De Kay, Zool. N.-York — Zoology of New-York, or the New-York Fauna; comprising detailed Descriptions of all the Animals hitherto observed within the State of New-York, with brief Notices of those occasionally found near its Borders, and accompanied by appropriate Illustrations. By James E. De Kay. — Part 6. Crustacea. Albany. 1844. 4.

Denk. Ak. Wien — Denkschriften der Kaiserlichen Akademie der Wissenschaften. — Mathematisch-naturwissenschaftliche Classe. Wien. 4.

Desmarest, Consid. gén. Crust. — Considérations générales sur la Classe des Crustacés, et Description des Espèces de ces Animaux, qui vivent dans la Mer, sur les Côtes, ou dans les Eaux douces de la France. Par Anselme-Gaetan Desmarest. Paris, Strasbourg. 1825. 8.

Dieffenbach, Trav. N. Zealand — Travels in New Zealand; with Contributions to the Geography, Geology, Botany, and natural History of that Country. By Ernest Dieffenbach. Vol. 1, 2. London. 1843. 8.

D.-O.-Afr. — Deutsch-Ost-Afrika. Wissenschaftliche Forschungsresultate über Land und Leute unseres Ostafrikanischen Schutzgebietes und der angrenzenden Länder. — *v.* 3, 4: Die Thierwelt Ost-Afrikas und der Nachbargebiete. Herausgegeben unter Redaktion von K. Möbius. Berlin. 1896, 98. 8.

Dono Congresso Napoli — Dono dell'Accademia Pontaniana agli Scienciati del settimo congresso. Napoli. 1845. 4.

D. Südp.-Exp. — Deutsche Südpolar-Expedition 1901—1903. Im Auftrage des Reichsamtes des Innern herausgegeben von Erich von Drygalski. Zoologie. 4.

Ergeb. Hamburg. Magalh.-Sammelr. — Ergebnisse der Hamburger Magalhaensischen Sammelreise. Hrsg. vom Naturhistorischen Museum zu Hamburg. Hamburg. 1896—1900. 8.

Ergeb. Plankton-Exp. — Ergebnisse der in dem Atlantischen Ozean von Mitte Juli bis Anfang November 1889 ausgeführten Plankton-Expedition der Humboldt-Stiftung. Auf Grund von gemeinschaftlichen Untersuchungen einer Reihe von Fach-Forschern herausgegeben von Victor Hensen. Kiel und Leipzig. 4.

Ergeb. Tiefsee-Exp. — Wissenschaftliche Ergebnisse der Deutschen Tiefsee-Expedition auf dem Dampfer „Valdivia" 1898—1899. Im Auftrage des Reichsamtes des Innern herausgegeben von Carl Chun. Jena. 4.

Erichson, Naturg. Ins. Deutschl. — Naturgeschichte der Insecten Deutschlands begonnen von W. F. Erichson, fortgesetzt von H. Schaum, G. Kraatz und H. v. Kiesenwetter. 1. Abt. Coleoptera. *v.* 1—5. 1848—1877. 8.

Értes. Orv.-Termes. — Orvos-természettudományi Értesitö a Kolozsvári orvos-természettudományi Társulat és az Erdélyi Muzeum-Egylet természettudományi Szakosztályának az . . . szaküléseiröl és népszerü természettudományi Estélyeiröl. Kiadja a két Társulat. Kolozsvár (Klausenburg). 8.

Expl. Algérie, An. art. — Exploration scientifique de l'Algérie pendant les Années 1840, 41, 42. Publiée par Ordre du Gouvernement et avec le Concours d'une Commission académique. — Sciences physiques. Zoologie. I—IV. Histoire naturelle des Animaux articulés par H. Lucas. Partie 1—3; Atl. Paris. 1849 [1845—49]. 4.

Exp. antarct. franç. — Expédition antarctique française (1903—1905) commandée par Jean Charcot. Sciences naturelles: Documents scientifiques. Paris. 4.

Fabricius, Ent. syst. — Joh. Christ. Fabricii Entomologia systematica emendata et aucta. Secundum Classes, Ordines, Genera, Species adjectis Synonimis, Locis, Observationibus, Descriptionibus. Tom. 1—4. [Cum Ind.:] Index alphabeticus in J. C. Fabricii Entomologiam systematicam, emendatam et auctam, Ordines, Genera et Species continens. [Cum Suppl.:] Joh. Christ. Fabricii Supplementum Entomologiae systematicae. [Cum Ind. Suppl.:] Index alphabeticus in J. C. Fabricii Supplementum Entomologiae systematicae, Ordines, Genera et Species continens. Hafniae. 1792, 93, 93/94, 94; 96; 98; 99. 8.

F. Fl. Neapel — Fauna und Flora des Golfes von Neapel und der angrenzenden Meeres-Abschnitte herausgegeben von der zoologischen Station zu Neapel. Leipzig (Berlin). 4.

Folin & Périer, Fonds Mer — Les Fonds de la Mer. Étude internationale sur les particularités nouvelles des régions sous-marines commencée et dirigée par Berchon, L. de Folin, L. Périer. Vol. 1, 2, 4. Bordeaux, Paris. 1868—70; 72—75, 81—?. 8.

Forh. Selsk. Christian. — Forhandlinger i Videnskabs-Selskabet i Christiania. Christiania. 8.

Gay, Hist. Chile — Historia fisica y politica de Chile segun Documentos adquiridos ... y publicada bajo los Auspicios del supremo Gobierno por Claudio Gay. — Zoologia. Tom. 1–8; Atl. Paris. 1847—54. 8 & 2.

Geer, Mém. Hist. Ins. — Mémoires pour servir à l'Histoire des Insectes. Par Charles de Geer. Tom. 1—7. Stockholm. 1752, 71, 73, 74, 75, 76, 78. 4.

Geol. Mag. — The geological Magazine; or, monthly Journal of Geology: with which is incorporated „The Geologist". Edited by Henry Woodward, ... London. 8.

Gmelin, Syst. Nat. — Caroli a Linné Systema Naturae per Regna tria Naturae, secundum Classes, Ordines, Genera, Species, cum Characteribus, Differentiis, Synonymis, Locis. Editio XIII, aucta, reformata. Cura Jo. Frid. Gmelin. — Tomus I. Pars 1—7. Lipsiae. 1788 [Pars 6 & 7: 1791]. 8.

Haidingers naturw. Abh. — Naturwissenschaftliche Abhandlungen, gesammelt und durch Subscription herausgegeben von Wilhelm Haidinger. Wien. 4.

Herdman, Rep. Ceylon Pearl Fish. — Report to the Government of Ceylon on the Pearl Oyster Fisheries of the Gulf of Manaar, by W. A. Herdman. With supplementary Reports upon the marine Biology of Ceylon, by other Naturalists. Published .... by the Royal Society. London. 4.

Hist. Berwick. Club — History of the Berwickshire Naturalists' Club. Berwick, Alnwick. 8.

Intell. Observ. — The intellectual Observer. Review of natural History microskopic Research and recreative Science. London. 8.

Int. Fish. Exh. London, Swed. Cat. — Great international Fisheries Exhibition, London. 1883. Sweden. Special Catalogue. Stockholm. 1883. 8.

Irish Natural. — The Irish Naturalist: a monthly Journal of general Irish natural History. Dublin. 8.

J. Ac. Philad. — Journal of the Academy of natural Sciences of Philadelphia. Philadelphia. 8 (4).

Jahresber. Böhm. Ges. — Výročni zpráva Královské České Společnosti Nauk. Jahresbericht der Königl. Böhmischen Gesellschaft der Wissenschaften. Prag. 8.

Jahresber. Ver. Osnabrück — Jahresbericht des naturwissenschaftlichen Vereins zu Osnabrück. Osnabrück. 8.

Jena. Z. — Jenaische Zeitschrift für Naturwissenschaft. Leipzig (Jena). 8.

J. Linn. Soc. London — The Journal of the Linnean Society. — Zoology. London. 8.

J. Quekett Club — The Journal of the Quekett microscopical Club. London. 8.

J. R. Soc. N. S. Wales — Journal and Proceedings of the Royal Society of New South Wales. Sydney. 8.

Jurine, Hist. Monocles — L. Jurine, Histoire des Monocles qui se trouvent aux Environs de Genève. Genève. 1820. 4.

KB. Ver. Regensburg — Siehe: CB. Ver. Regensburg.

Knowledge — Knowledge, an illustrated scientific News. London. 4.

Koch, C. M. A. — Deutschlands Crustaceen, Myriapoden und Arachniden. Ein Beitrag zur Deutschen Fauna von C. L. Koch. Heft 1—40. Regensburg. [1835—44.] 16. [= C. L. Koch in: Panzer, Faun. Ins. Germ., Heft 132 etc.]

Lamarck, Hist. An. s. Vert. — Histoire naturelle des Animaux sans Vertèbres, présentant les Caractères généraux et particuliers de ces Animaux, ...; précédée d'une Introduction .... Par [Jean Baptiste] de Lamarck. Tom. 1—5, 61 & II, 7. Paris. 1815 III, 16 III, 16 VIII, 17 III, 18 VII, 19 II—VI, 22 IV, 22 VIII. 8.

Lamarck, Hist. An. s. Vert., ed. 2 — Histoire naturelle des Animaux sans Vertèbres, présentant les Caractères généraux et particuliers de ces Animaux, ...; précédée d'une Introduction .... Par J. B. P. A. de Lamarck. 2. Édition. Revue et augmentée de Notes présentant les Faits nouveaux dont la Science s'est enrichie jusqu'a ce Jour; par G. P. Deshayes et H. Milne Edwards. Tom. 1—11. Paris. 1835—45. 8.

Latreille, Gen. Crust. Ins. — P. A. Latreille Genera Crustaceorum et Insectorum secundum Ordinem naturalem in Familias disposita, Iconibus Exemplisque plurimis explicata. Tom. 1—4. Parisiis et Argentorati. 1806, 07, 07, 09. 8.

Latreille, Hist. Crust. Ins. — Histoire naturelle, générale et particulière, des Crustacés et des Insectes. Ouvrage faisant Suite aux Oeuvres de Leclerc de Buffon, et Partie du Cours complet d'Histoire naturelle rédigé par C. S. Sonnini. Par P. A. Latreille. Tom. 1—14. Paris. X—XIII [1802—1805]. 8.

Lilljeborg, Clad. Ostr. Cop. — W. Lilljeborg, De Crustaceis ex Ordinibus tribus: Cladocera, Ostracoda et Copepoda in Scania occurrentibus. Om den inom Skåne förekommande Crustaceer af Ordningarne Cladocera, Ostracoda och Copepoda. Lund. 1853. 8.

Linné, Fauna Svec., ed. 2 — Caroli Linnaei Fauna Svecica sistens Animalia Sveciae Regni: Mammalia, Aves, Amphibia, Pisces, Insecta, Vermes. Distributa per Classes & Ordines, Genera & Species, cum Differentiis Specierum, Synonymis Auctorum, Nominibus Incolarum, Locis Natalium, Descriptionibus Insectorum. Editio altera, auctior. Stockholmiae. 1761. 8.

Linné, Syst. Nat., ed. 10 — Caroli Linnaei Systema Naturae per Regna tria Naturae, secundum Classes, Ordines, Genera, Species, cum Characteribus, Differentiis, Synonymis, Locis. Editio X, reformata. — Tomus I. Holmiae. 1758. 8.

Mac Coy, Carbon. Foss. Ireland — A Synopsis of the Characters of the carboniferous limestone Fossils of Ireland prepared by Frederick M'Coy for Sir Richard Griffith. Dublin. 1844. 4. Localities of the irish carboniferous Fossils, arranged as Appendix to the foregoing Synopsis by R. Griffith. London. 1862. 4.

Mag. Ges. Fr. Berlin — Der Gesellschaft naturforschender Freunde zu Berlin Magazin für die neuesten Entdeckungen in der gesammten Naturkunde. Berlin. 4.

Mag. Zool. Bot. — Magazine of Zoology and Botany. Edinburgh, London and Dublin. 8.

Mar. Invest. S. Africa — Marine Investigations in South Africa. Cape of Good Hope. Department of Agriculture. Cape Town. 8.

Math. term. Értes. — Mathematikai és természettudományi Értesitö. Kiadja a Magyar Tudományos Akademia. Budapest. 8.

Mém. Carte géol. Neerlande — Mémoires de la Commission pour la Description de la Carte géologique de la Neerlande. Haarlem. 4°.

Mém. cour. Ac. Belgique — Mémoires couronnés et Mémoires des Savants étrangers, publiés par l'Académie Royale des Sciences, des Lettres et des Beaux-Arts de Belgique. Bruxelles. 4.

Mem. Denison Ass. — Memoirs of the Denison scientific Association. Granville Ohio. Granville Ohio. 4.
v. 1: 1887.

Mém. Mus. Paris — Mémoires du Muséum d'Histoire naturelle. Paris. 4.

Mém. prés. Ac. St.-Pétersb. — Mémoires présentés à l'Académie Impériale des Sciences de Saint-Pétersbourg, par divers Savants, et lus dans ses Assemblées. St.-Pétersbourg. 4.

Mém. Soc. Genève — Mémoires de la Société de Physique et d'Histoire naturelle de Genève. Genève. 4.

Mém. Soc. Kiew — Mémoires de la Société des Naturalistes de Kiew. Записки Кіевскаго Общества Естествоиспытателей. Kiew. Кіевъ. 8.

Mém. Soc. zool. France — Mémoires de la Société zoologique de France. Paris. 8.

Milne Edwards, Hist. nat. Crust. — Histoire naturelle des Crustacés, comprenant l'Anatomie, la Physiologie et la Classification de ces Animaux; par [Henri] Milne Edwards. Tom. 1—3; Planches. Paris. 1834, 37, 40. 8.

Monit. zool. Ital. — Monitore zoologico Italiano. Pubblicazioni Italiane di Zoologia, Anatomia, Embriologia. Diretto dei Giulio Chiarugi, Eug. Ficalbi. Siena, Firenze. 8.

Mt. Ges. Bern — Mittheilungen der naturforschenden Gesellschaft in Bern. Bern. 8.

Mt. Mus. Hamburg — Mittheilungen aus dem naturhistorischen Museum in Hamburg. Aus dem (Beiheft zum) Jahrbuch der Hamburgischen wissenschaftlichen Anstalten. Hamburg. 8.

Müller, Entom. — O. F. Müller, Entomostraca seu Insecta testacea, quae in Aquis Daniae et Norvegiae reperit, descripsit et Iconibus illustravit. Lipsiae & Hafniae. 1785 (Francofurti ad M., 1792). 4.

Müller, Zool. Dan. Prodr. — Zoologiae Danicae Prodromus, seu Animalium Daniae et Norvegiae indigenarum Characteres, Nomina, et Synonyma imprimis popularium. Auctore Othone Friderico Müller. Havniae. 1776. 8.

Nares, Voy. Polar Sea — Narrative of a Voyage to the Polar Sea during 1875—6 in H. M. Ships 'Alert' and 'Discovery' by G. S. Nares. With Notes on the natural History, edited by H. W. Feilden. Vol. 1, 2. London. 1878. 8.

Nat. antarct. Exp. — National antarctic Expedition 1901—1904. Natural History. London. 4.

Nat. Hist. Tr. Northumb. — Siehe: Tr. nat. Hist. Soc. Northumb.

Natural. Sicil. — Il Naturalista Siciliano. Giornale di Scienze naturali. Palermo. 4.

Naturw. Unters. Sarekgebirg. — Naturwissenschaftliche Untersuchungen des Sarekgebirges in Schwedisch-Lappland geleitet von Axel Hamberg. Stockholm. 4.

N. Jahrb. Min. — Neues Jahrbuch für Mineralogie, Geognosie, Geologie und Petrefaktenkunde ([Jahrg. 1863 & sequ.:] für Mineralogie, Geologie und Palaeontologie). Herausgegeben (Gegründet) von K. C. v. Leonhard und H. G. Bronn (. . . .) Stuttgart. 8.

Nord. Plankton — Nordisches Plankton. Kiel und Leipzig. 8.

Norman & Scott, Crust. Devon Cornwall — The Crustacea of Devon and Cornwall by Canon A. M. Norman and Thomas Scott. London. 1906. 8.

Norske Nordhavs-Exp. — Den Norske Nordhavs-Expedition 1876—1878. The Norwegian North-Atlantic Expedition 1876—1878. — 6. Bind (Volume). XIV & XV. Crustacea, I & II. Ved (By) G. O. Sars. Christiania. 1885, 86. 4.

Nyt Mag. Naturv. — Nyt Magazin for Naturvidenskaberne. Christiania. 8.

Öfv. Ak. Förh. — Öfversigt af Kongl. Vetenskaps-Akademiens Förhandlingar. Stockholm. 8.

P. Ac. Philad. — Proceedings of the Academy of natural Sciences of Philadelphia. Philadelphia. 8.

Pal. Soc. Mon. — Palaeontographical Society. London. 4.

P. Amer. Ac. — Proceedings of the American Academy of Arts and Sciences. Selected from the Records. Boston and Cambridge. 8.

P. Belfast Club — Annual Report and Proceedings of the Belfast Naturalist's Field Club. Belfast. 8.

P. Boston Soc. — Proceedings of the Boston Society of natural History. Cambridge (Boston). 8.

P. nat. Hist. Soc. Glasgow — Proceedings |and Transactions| of the natural History Society of Glasgow. Glasgow. 8.

P. phys. Soc. Edinb. — Proceedings of the Royal physical Society of Edinburgh. Edinburgh. 8.

P. R. Soc. Van Diemensland — Papers and Proceedings of the Royal Society of Van Diemen's Land. Hobart Town. 8.

P. R. Soc. Victoria — Proceedings of the Royal Society of Victoria. New Series. Melbourne. 8.

P. U. S. Mus. — Proceedings of the United States national Museum. Washington. 8.

P. zool. Soc. London — Proceedings of the zoological Society of London. London. 8.

Rad Jugoslav. Ak. — Rad Jugoslavenske Akademije Znanosti i Umjetnosti. Zagreb. 8.

Ramdohr, Monoculusart. — Beiträge zur Naturgeschichte einiger deutschen Monoculusarten von Karl August Ramdohr. 1. Teil von: Mikrographische Beiträge zur Entomologie und Helminthologie von Karl August Ramdohr. Halle. 1805. 4.

Recu. zool. Suisse — Recueil zoologique Suisse. Publ. sous la Dir. du H. Fol. Genève-Bale. 8.

Rep. Brit. Ass. — Report of the . . . Meeting of the British Association for the Advancement of Science. London. 8.

Rep. Fish. Board Scotl. — Annual Report of the Fishery Board for Scotland. — Part III. Scientific Investigations. Edinburgh. 8.

Rep. geol. Surv. Minnesota — The geological and natural History Survey of Minnesota. The . . . annual Report for the Year . . . Minneapolis. 8.

Rep. Surv. Minnesota, Zool. — The geological and natural History Survey of Minnesota. Report of the State Zoologist. Zoological Series. Saint Paul Minnesota. 8.

Rep. Voy. Challenger — Report on the scientific Results oft the Voyage of H. M. S. Challenger during the Years 1873—76 under the Command of George S. Nares and Frank Tourle Thomson. Prepared under the Superintendence of |the late| C. Wyville Thomson| and now of John Murray. London, Edinburgh, Dublin. 4.

Result. Erforsch. Balatonsees — Resultate der wissenschaftlichen Erforschung des Balatonsees (Plattensees). Hrsg. von der Balatonsee-Commission der Königl. Ungarischen geographischen Gesellschaft. — *v.* 21: Die Fauna des Balatonsees. Wien. 1897. 4.

Résult. Voy. Belgica — Résultats du Voyage du S. Y. Belgica en 1897—1898—1899 sous le Commendement de A. de Gerlache de Gomery. Rapports scientifiques publiés aux Frais du Gouvernement Belge, sous la Direction de la Commission de la Belgica. Zoologie. Anvers. 4.

Reuß, Ostrac. foss. — Beschreibung der fossilen Ostracoden und Mollusken der tertiären Süßwasserschichten des nördlichen Böhmens in: Palaeontographica, Beiträge zur Naturgeschichte der Vorzeit. Vol. 2. Stuttgart. 1849. 4.

Reuss, Verstein. Böhm. Kreideform. — Die Versteinerungen der Böhmischen Kreideformation, beschrieben von August Em. Reuss. Mit Abbildungen der neuen oder weniger bekannten Arten, gezeichnet von Joseph Rubesch. Abtheilung 1, 2. Stuttgart. 1845, 46. 4.

Rev. biol. Nord France — Revue biologique du Nord de la France. Lille. 8.

Rev. Suisse Zool. — Revue Suisse de Zoologie et Annales du Musée d'Histoire naturelle de Genève. Genève. 8.

Risso, Hist. Crust. Nice — Histoire naturelle des Crustacés des Environs de Nice. Par A. Risso. Paris. 1816. 8.

Rozpr. Ak. Krakow — Rozprawy i Sprawozdania z Posiedrén Wydzialu matematyczno-przyrodniczego Akademii Umiejetności. Krakowie. 8.

Saccardo, Cenni anim. entom. — Cenni storico-naturali intorno agli Animaletti entomostracei viventi nella Provincia di Treviso, colla Descrizione di un nuovo Genere e coll' Indicazione della poche altre Specie di essi trovate nel Resto delle Provincie Venete. 1864. Treviso. 8.

Sars, Foss. Dyrelev. Quart. — Om de i Norge forekommende fossile Dyrelevninger fra Quartaerperioden, et Bidrag til vor Faunas Historie af Michael Sars. Christiania. 1865. 4.

SB. Ak. Berlin — Sitzungsberichte der Königlich Preussischen Akademie der Wissenschaften zu Berlin. Berlin. 8.

SB. Ak. Wien — Sitzungsberichte der Kaiserlichen Akademie der Wissenschaften. — Mathematisch-naturwissenschaftliche Classe. Wien. 8.

SB. Böhm. Ges. — Sitzungsberichte der Königl. Böhmischen Gesellschaft der Wissenschaften |in Prag|. — [ann. 1885 & sequ.:] Mathematisch-naturwissenschaftliche Classe. Prag. 8.

SB. Ges. Fr. Berlin — Sitzungsberichte der Gesellschaft naturforschender Freunde zu Berlin. Berlin. 4, 8.

Siboga-Exp. — Résultats des Explorations zoologiques, botaniques, oceanographiques et géologiques entreprises aux Indes néerlandaises orientales en 1899—1900 à bord du Siboga sous le Commendement de G. F. Tydeman. Publiés par Max Weber. 4.

Skr. Vidensk. Christian. — Skrifter udgivne af Videnskabsselskabet i Christiania. — Mathematisk-naturvidenskabelig Klasse. Christiania. 8.

Smithson. Contr. — Smithsonian Contributions to Knowledge. Washington. 4.

Svenska Ak. Handl. — Kongliga Svenska Vetenskaps-Akademiens Handlingar. Stockholm. 8 (4).

Term. Füzetek — Természetrajzi Füzetek |az Állat-, Növény-, Ásvány- és Földtan Köréből|. Kiadja a Magyar nemzeti Múzeum. Budapest. 8.

Tr. ent. Soc. London — The Transactions of the entomological Society of London. London. 8.

Tr. geol. Soc. London — Transactions of the geological Society, established November 13. 1807 (of London). London. 4.

Tr. Linn. Soc. London — The Transactions of the Linnean Society of London. — [Ser. 2:] Zoology. London. 4.

Tr. nat. Hist. Soc. Northumb. — Transactions of the natural History Society of Northumberland, Durham, and Newcastle-upon-Tyne. Newcastle and London. 4.

Tr. N. Zealand Inst. — Transactions and Proceedings of the New Zealand Institute. Wellington (Wellington, London). 8.

Tr. R. Dublin Soc. — The scientific Transactions of the Royal Dublin Society. New Series (II). Dublin. 4.

Tr. R. Soc. Edinb. — Transactions of the Royal Society of Edinburgh. Edinburgh. 4.

Tr. Tyneside Club — Transactions of the Tyneside Naturalists' Field Club. Newcastle-upon-Tyne. 8.

Tr. Wisconsin Ac. — Transactions of the Wisconsin Academy of Sciences, Arts and Letters. Madison. 8.

Tr. zool. Soc. London — Transactions of the zoological Society of London. London. 4.

Univ. Calif. Publ. Zool. — University of California Publications. Zoology. Berkeley. 8.

U. S. expl. Exp. — United States exploring Expedition during the Years 1838—42 under the Command of Charles Wilkes. — Vol. 13. Part I, II. Crustacea. By James D. Dana. Cum Atl. Philadelphia. 1852, 52 [1853]; 55. 4 & 2.

Vejdovský, Brunnenw. Prag — Thierische Organismen der Brunnenwässer von Prag. Untersuchungen von Franz Vejdovský. Prag. 1882. 4.

Vejdovský, O původu fauny studničé. — Siehe: Jahresber. Böhm. Ges. 1880.

Verh. Ges. Wien — Verhandlungen der kaiserlich-königlichen zoologisch-botanischen Gesellschaft in Wien. Wien. 8.

Weber, Reise Niederl. O.-Ind. — Zoologische Ergebnisse einer Reise in Niederländisch Ost-Indien. Herausgegeben von Max Weber. Band 1—4. Leiden. 1890—97. 8.

White, Hist. Brit. Crust. — A popular History of British Crustacea comprising a familiar Account of their Classification and Habits. By Adam White. London. 1857. 16.

Willey, Zool. Results — Zoological Results based on Material from New Britain, New Guinea, Loyalty Islands and elsewhere, collected during the Years 1895, 96 and 97 by A. Willey. *v.* (part) 1—4. Cambridge. 1898—1900. 4.

Zaddach, Syn. Crust. Pruss. — Synopseos Crustaceorum Prussicorum Prodromus. Dissertatio . . . Die XI. M. Decembris 1844 publice defendet Ernestus Gustavus Zaddach. Regiomonti. 1844. 4.

Z. D. geol. Ges. — Zeitschrift der Deutschen geologischen Gesellschaft. Berlin. 8.

Zichy, Dritte Asiat. Forschr. — Dritte Asiatische Forschungsreise des Grafen Eugen Zichy. — Band 2. Zoologische Ergebnisse . . . Redigirt von G. Horváth. Budapest, Leipzig. 1901. 4.

Z. Naturw. — Zeitschrift für Naturwissenschaften ([Band 1—54:] Zeitschrift für die gesammten Naturwissenschaften). Halle (Berlin) (Leipzig). 8.

Zool. — Zoologica. Original-Abhandlungen aus dem Gesammtgebiete der Zoologie. Stuttgart. 4.

Zool. Anz. — Zoologischer Anzeiger. Leipzig. 8.

Zool. Jahrb. Syst. — Zoologische Jahrbücher. — Abtheilung für Systematik, Geographie und Biologie der Thiere. Jena. 8.

Zoologist — The Zoologist: a monthly Journal of natural History. London. 8.

Zool. Studier tillägn. Tullberg — Zoologiska Studier tillägnade Tullberg. Uppsala. 1907. 4.

Z. wiss. Zool. — Zeitschrift für wissenschaftliche Zoologie. Leipzig. 8.

Systematischer Index

[Neue Gattungs- und Artnamen sind durch ein Kreuz (†) bezeichnet]

Seite

Ostracoda 1

I. Subordo **Myodocopa** . . 6

1. Fam. **Cypridinidae** . 7

A. Subfam. **Cypridininae** . . 8

1. Gen. **Cypridina** Milne-Edwards 10
1. C. mediterranea O. Costa . 11
2. „ dorsoserrata G. W. Müll. 11
3. „ sarsi G. W. Müll. † . . 11
4. „ vanhöffeni G. W. Müll. . 11
5. „ squamosa G. W. Müll. . 12
6. „ hilgendorffii G. W. Müll. 12
7. „ antarctica G. W. Müll. . 12
8. „ arborea G. W. Müll. . . 12
9. „ monopia Claus . . . 13
10. „ asymmetrica G. W. Müll. 13
11. „ bairdii G. Brady . . . 13
12. „ favus (G. Brady) . . . 13
13. „ hirsuta G. W. Müll. . . 14
14. „ hesperida G. W. Müll. . 14
15. „ castanea G. Brady . . 14
„ capensis Cleve . . . 14
„ caudata Cleve 14
„ danae G. Brady . . . 15
„ glacialis G. Brady . . 15
„ gracilis G. Brady . . . 15
„ granulosa G. Brady . . 15
„ insolita G. Brady . . . 15
„ luteola Dana 15
„ megalops O. Sars . . . 15
„ nobilis Cleve 15
„ norvegica W. Baird . . 15
„ thielei Chapm. 16

2. Gen. **Pyrocypris** G. W. Müller 16
1. P. acuminata G. W. Müll. . 17
2. „ natans (G. Brady) . . 17
3. „ chierchiae G. W. Müll. . 17
4. „ americana G. W. Müll. . 18

Seite

5. P. rivilli G. W. Müll. . . 18
6. „ punctata G. W. Müll. . 18
7. „ sinuosa G. W. Müll. . . 18
8. „ inermis G. W. Müll. . . 18
9. „ dentata G. W. Müll. . . 18
10. „ serrata G. W. Müll. . . 19
11. „ amphiacantha G. W. Müll. 19
12. „ sharpei G. W. Müll. † . 19
13. „ lepidophora G. W. Müll. 19
„ gibbosa (Dana) . . . 19
„ japonica G. W. Müll. . 19

3. Gen. **Crossophorus** G. Brady 20
1. C. imperator G. Brady . . 20
2. „ africanus Stebb. . . . 20
3. „ gibber G. W. Müll. . . 20

4. Gen. **Codonocera** G. Brady . 21
1. C. weberi G. W. Müll. . . 21
2. „ penicillum G. W. Müll. . 22
3. „ cruenta G. Brady . . . 22
4. „ polygonia G. W. Müll. . 22
5. „ pusilla G. W. Müll. . . 22
6. „ stellifera (Claus) . . . 22
7. „ goniacantha G. W. Müll. 23
„ formosa (Dana) . . . 23
„ sp., A. Scott 23

5. Gen. **Gigantocypris** G. W. Müller 23
1. G. agassizii G. W. Müll. . 23
2. „ pellucida G. W. Müll. . 24

B. Subfam. **Philomedinae** G. W. Müller 24

1. Gen. **Philomedes** Lilljeborg . 24
1. P. interpuncta (W. Baird) . 27
2. „ japonica G. W. Müll. . 27
3. „ corrugata G. Brady . . 27
4. „ aspera G. W. Müll. . . 27
5. „ agilis G. M. Thoms. . . 28
6. „ sordida G. W. Müll. . . 28

Seite

7. P. debilis G. Brady . . . 28
8. „ oblonga (Juday) . . . 28
9. „ longiseta Juday . . . 29
10. „ sculpta G. Brady . . . 29
11. „ moroides (G. Brady) . . 29
12. „ flexilis G. Brady . . . 29
13. „ folini G. Brady . . . 30
14. „ macandrei (W. Baird) . 30
15. „ levis G. W. Müll. . . . 30
16. „ lomae Juday 31
17. „ assimilis G. Brady . . 31
18. „ charcoti Daday . . . 31
19. „ brenda (W. Baird) . . 32
20. „ lilljeborgii (O. Sars) . . 32
21. „ grubii (Fr. Müll.) . . . 32
22. „ orbicularis G. Brady . . 33
„ ctenorhynchus G. Brady 33

2. Gen. **Pseudophilomedes** G. W. Müller 33
1. P. foveolata G. W. Müll. . 34
2. „ angulata G. W. Müll. . 34
3. „ inflata (G. Brady & Norm.) 34

3. Gen. **Rutiderma** G. Brady & Norman 34
1. R. compressa G. Brady & Norm. 35
2. „ rostrata Juday. . . . 35

C. Subfam. **Sarsiellinae** . . 35
1. Gen. **Sarsiella** Norman . . 36
1. S. simplex G. Brady . . . 37
2. „ tumida A. Scott . . . 37
3. „ murrayana T. Scott . . 37
4. „ capsula Norm. 37
5. „ levis G. W. Müll. . . . 38
6. „ americana Cushman . . 38
7. „ zostericola Cushman . . 39
8. „ carinata A. Scott . . . 39
9. „ sculpta G. Brady . . . 39
10. „ globulus G. Brady . . 40
11. „ crispata A. Scott . . . 40
12. „ hanseni G. Brady . . . 40
13. „ gracilis A. Scott . . . 41
14. „ similis A. Scott . . . 41
15. „ rudis G. Brady . . . 41
16. „ foveata G. Brady . . . 41
17. „ robusta (G. Brady) . . 42
18. „ ornithoides G. Brady . . 42
19. „ petrosa (G. Brady) . . 42

D. Subfam. **Asteropinae** . . 42
1. Gen. **Asterope** Philippi . . 43
1. A. hilgendorfii G. W. Müll. 44

Seite

2. A. fascigera (G. Brady) . . 44
3. „ lichenoides G. Brady. . 44
4. „ abyssicola O. Sars . . 45
5. „ norvegica O. Sars . . 45
6. „ australis G. Brady . . 45
7. „ quadrata G. Brady . . 45
8. „ mariae (W. Baird) . . 45
9. „ elliptica Phil. 46
10. „ teres (Norm.) 46
11. „ grisea G. Brady . . . 46
„ adamsi (W. Baird) . . 47
„ cylindrica G. Brady . . 47
„ gracilis Seg. 47
„ inermis (G. W. Müll.) . . 47
„ olivacea (Dana) . . . 47
„ glacialis G. W. Müll. † . 47

2. Gen. **Cyclasterope** G. Brady . 47
1. C. lobiancoi (G. W. Müll.) . 48
2. „ americana (G. W. Müll.) . 48
3. „ ovulum G. Brady. . . . 48
4. „ zealandica (W. Baird) . 49
5. „ orbicularis G. Brady . . 49
6. „ brevis (G. W. Müll.) . . 49
7. „ fusca (G. W. Müll.) . . 49
8. „ agassizii (Fr. Müll.) . . 50

Cypridina albo-maculata W. Baird 50
„ armata G. Brady . . . 50
„ baravoni Stebb. . . . 50
Cypris bimaculata Nic. . . . 50
Bradycinetus biscayensis G. Brady 50
Cypridina bradyi Folin . . . 50
Cypris coerulea Nic. 51
Streptoleberis crenulata G. Brady 51
Cypridina elongata G. Brady . 51
Tetragonodon erinaceus G. Brady & Norm. 51
Cypridina excisa Stimps. . . 51
Streptoleberis favosa G. Brady & Norm. 51
Cypridina godehevi W. Baird . 51
Sarsiella hispida G. Brady . . 51
Cypridina japonica G. Brady . 51
„ nitidula Fr. Müll. . . . 51
„ ovum W. Baird . . . 51
Streptoleberis rectirostris G. Brady & Norm. 52
Pleoschisma reticulata G. Brady 52
Cypridina reynaudii M.-E. . . 52
Cyclasterope similis G. Brady . 52
Asterope squamiger T. Scott . 52
Cyclasterope tenera G. Brady . 52

Seite

Philomedes vellicata G. Brady . 52
„ wyville-thomsoni G. Brady 52
Cypridina sp., Dana 52
„ sp., G. Brady 52
2. Fam. **Halocypridae** . . 53
A. Subfam. **Thaumatocyprinae** 54
1. Gen. **Thaumatocypris** G. W. Müller 54
1. T. echinata G. W. Müll. . . 54
B. Subfam. **Conchoecinae** . 54
1. Gen. **Archiconchoecia** G. W. Müller 55
1. A. ventricosa G. W. Müll. . 55
2. „ cuneata G. W. Müll. . . 56
3. „ striata G. W. Müll. . . 56
4. „ cucullata (G. Brady) . . 56
2. Gen. **Halocypris** Dana . . 57
1. H. globosa (Claus) . . . 57
2. „ striata G. W. Müll. . . 57
3. „ cornuta G. W. Müll. . . 58
3a. „ „ cornuta G. W. Müll. 58
3b. „ „ dispar G. W. Müll. 58
4. „ bicornis G. W. Müll. . . 58
5. „ inflata (Dana) 58
3. Gen. **Conchoecia** Dana . . 59
1. C. spinifera (Claus) . . . 69
2. „ oblonga (Claus) . . . 69
3. „ allotherium G. W. Müll. 69
4. „ aequiseta G. W. Müll. . 69
5. „ hirsuta G. W. Müll. . . 69
6. „ mamillata G. W. Müll. . 70
7. „ echinata G. W. Müll. . . 70
8. „ inermis (Claus) . . . 70
9. „ dorsotuberculata G. W. Müll. 70
10. „ reticulata G. W. Müll. . 71
11. „ caudata G. W. Müll. . . 71
12. „ dasyophthalma G. W. Müll. 71
13. „ discophora G. W. Müll. . 71
14. „ elegans O. Sars 72
15. „ brachyaskos G. W. Müll. 72
16. „ procera G. W. Müll. . . 72
17. „ decipiens G. W. Müll. . 73
18. „ dentata G. W. Müll. . . 73
19. „ cophopyga G. W. Müll. . 73
20. „ giesbrechti G. W. Müll. . 73
21. „ acuminata (Claus) . . . 74
22. „ edentata G. W. Müll. . . 74
23. „ obtusata O. Sars . . . 74
23a. „ „ obtusata O. Sars . 74
23b. „ „ antarctica G. W. Müll. 75
24. „ parthenoda G. W. Müll. . 75

Seite

25. C. macromma G. W. Müll. . 75
26. „ pusilla G. W. Müll. . . 75
26a. „ „ major G. W. Müll. 75
26b. „ „ minor G. W. Müll. 76
27. „ glandulosa G. W. Müll. . 76
28. „ kyrtophora G. W. Müll. . 76
29. „ nasotuberculata G. W. Müll. 76
30. „ rotundata G. W. Müll. . 77
31. „ isocheira G. W. Müll. . . 77
32. „ curta Lubb. 77
33. „ acuticosta G. W. Müll. . 78
34. „ echinulata (Claus) . . 78
35. „ stigmatica G. W. Müll. . 78
36. „ haddoni G. Brady & Norm. 78
37. „ bispinosa Claus . . . 79
38. „ striola G. W. Müll. † . . 79
39. „ atlantica (Lubb.) . . . 79
40. „ orthotrichota G. W. Müll. 80
41. „ gaussi G. W. Müll. . . 80
42. „ incisa G. W. Müll. . . . 80
43. „ loricata (Claus) . . . 80
43a. „ „ loricata (Claus) . 80
43b. „ „ minor G. W. Müll. 81
44. „ ctenophora G. W. Müll. . 81
45. „ serrulata Claus . . . 81
45a. „ „ serrulata Claus . 81
45b. „ „ laevis (G. Brady) . 82
46. „ concentrica G. W. Müll. . 82
47. „ lophura G. W. Müll. . . 82
48. „ parvidentata G. W. Müll. 83
49. „ hyalophyllum Claus . . 83
50. „ macrocheira G. W. Müll. . 83
51. „ subarcuata Claus . . . 83
52. „ magna Claus 84
52a. „ „ magna Claus . . 84
52b. „ „ rhombica G. W. Müll. 84
53. „ spinirostris Claus . . . 84
54. „ mollis G. W. Müll. . . 85
55. „ amblypostha G. W. Müll. 86
56. „ kampta G. W. Müll. . . 86
57. „ acanthophora G. W. Müll. 86
58. „ tyloda G. W. Müll. . . 86
59. „ antipoda G. W. Müll. . . 87
60. „ borealis O. Sars . . . 87
61. „ distans G. W. Müll. . . 87
62. „ dichotoma G. W. Müll. . 87
63. „ rhynchena G. W. Müll. . 88
64. „ sibogae G. W. Müll. . . 88
65. „ cellularis G. W. Müll. . . 89

Seite

66. C. plactolycos G. W. Müll. . 89
66a. „ „ plactolycos G. W. Müll. 89
66b. „ „ major G. W. Müll. 90
67. „ plinthina G. W. Müll. . . 90
68. „ symmetrica G. W. Müll. . 90
69. „ ametra G. W. Müll. . . 90
70. „ imbricata (G. Brady) . . 91
71. „ squamosa G. W. Müll. . 91
72. „ prosadene G. W. Müll. . 91
73. „ alata G. W. Müll. . . . 92
74. „ hettacra G. W. Müll. . . 92
75. „ belgicae G. W. Müll. . . 92
76. „ leptothrix G. W. Müll. . 93
77. „ valdiviae G. W. Müll. . . 93
78. „ chuni G. W. Müll. . . . 93
79. „ elongata G. W. Müll. . . 94
80. „ daphnoides (Claus) . . 94
80a. „ „ daphnoides (Claus) 94
80b. „ „ minor G. W. Müll. 94
„ agilis Dana 95
„ birostrata Lubb. . . . 95
„ intermedia Lubb. . . . 95
„ rostrata Dana 95
„ striolata O. Sars . . . 95
4. Gen. **Euconchoecia** G. W. Müller 95
1. E. chierchiae G. W. Müll. . 96
2. „ aculeata T. Scott . . . 96
2a. „ „ aculeata (T. Scott) 96
2b. „ „ elongata G. W. Müll. 96
3. „ lacunosa G. W. Müll. . 96

3. Fam. **Polycopidae** . . 97
1. Gen. **Polycope** O. Sars . . 98
1. P. tuberosa G. W. Müll. . . 98
2. „ maculata G. W. Müll. . . 99
3. „ dentata G. Brady . . . 99
4. „ rostrata G. W. Müll. . . 99
5. „ antarctica G. W. Müll. . 99
6. „ reticulata G. W. Müll. . 100
7. „ dispar G. W. Müll. . . 100
8. „ frequens G. W. Müll. . . 100
9. „ fragilis G. W. Müll. . . 100
10. „ striata G. W. Müll. . . 100
11. „ punctata O. Sars . . . 101
12. „ orbicularis O. Sars . . 101
13. „ pustulata O. Sars . . . 101
14. „ brevis G. W. Müll. . . . 101
„ cingulata G. Brady . . 102
„ favus G. Brady 102
„ sp., Egg. 102
„ sp., G. Brady 102

Seite

2. Gen. **Polycopsis** G. W. Müll. 102
1. P. compressa (G. Brady & D. Roberts.) 102
2. „ serrata G. W. Müll. . . 102

II. Subordo **Podocopa** . . 103

1. Fam. **Cypridae**. . . . 106

A. Subfam. **Pontocyprinae** . 108
1. Gen. **Pontocypris** O. Sars . 109
1. P. pirifera G. W. Müll. . . 110
2. „ succinea G. W. Müll. . 110
3. „ subfusca G. W. Müll. . 110
4. „ setosa G. W. Müll. . . 110
5. „ inflata G. W. Müll. . . 111
6. „ declivis G. W. Müll. . . 111
7. „ levis G. W. Müll. . . . 111
8. „ pellucida G. W. Müll. . 111
9. „ gaussi G. W. Müll. . . 112
10. „ flava G. W. Müll. . . . 112
11. „ mediterranea G. W. Müll. 112
12. „ monstrosa G. W. Müll. . 112
13. „ dispar G. W. Müll. . . 112
14. „ maculosa G. W. Müll. . 113
15. „ intermedia G. Brady . . 113
16. „ edwardsi Cushman . . 113
„ acupunctata G. Brady . 113
„ obtusata G. Brady . . 113
„ simplex G. Brady . . 113
„ subreniformis G. Brady . 114
„ trigonella O. Sars . . 114
„ sp., G. Brady 114
„ sp., Egg. 114
„ sp., T. Scott 114
2. Gen. **Erythrocypris** G. W. Müller 114
1. E. frequens G. W. Müll. . . 115
2. „ obtusa G. W. Müll. . . 115
3. „ rara G. W. Müll. . . . 115
4. „ serrulata (O. Sars) . . 115
5. „ avena Norm. 115
6. „ pallida G. W. Müll. . . 116
7. „ acuminata G. W. Müll. . 116
8. „ herdmani A. Scott . . 116
9. „ discrepans G. W. Müll. . 116
„ attenuata (G. Brady) . . 116
„ hispida (O. Sars) . . . 116
3. Gen. **Pontocypria** G. W. Müller 117
1. P. spinosa G. W. Müll. . . 117
4. Gen. **Argilloecia** O. Sars . . 117
1. A. acuminata G. W. Müll. . 117
2. „ eburnea G. Brady . . . 118

Seite

3. A. bulbifera G. W. Müll. . 118
4. „ minor G. W. Müll. . . 118
5. „ levis G. W. Müll. . . . 118
6. „ caudata G. W. Müll. . . 118
„ cylindrica O. Sars . . 119
„ propinqua G. Brady . . 119
„ affinis Chapm. 119
Pontocypris gracilis G. Brady . 119
„ interposita Seg. . . . 119
„ polita Seg. 119
„ punctata Seg. 119
„ sp., Egg. 119
„ sp., Egg. 119
B. Subfam. **Macrocyprinae** . 120
1. Gen. **Macrocypris** G. Brady . 120
1. M. succinea G. W. Müll. . . 120
2. „ dispar G. W. Müll. . . 121
3. „ africana G. W. Müll. . . 121
4. „ turbida G. W. Müll. . . 121
5. „ inaequalis G. W. Müll. . 121
6. „ tensa G. W. Müll. . . . 121
7. „ minna (W. Baird) . . . 122
8. „ similis G. Brady . . . 122
9. „ tenuicauda G. Brady . . 122
10. „ siliquosa G. Brady . . 122
11. „ tumida G. Brady . . . 123
12. „ canariensis G. Brady . . 123
13. „ sarsi G. W. Müll. † . . 123
„ decora (G. Brady) . . . 123
„ gracilis Seg. 123
„ maculata (G. Brady) . . 124
„ orientalis G. Brady . . 124
C. Subfam. **Candoninae** . . 124
1. Gen. **Paracypris** O. Sars . . 125
1. P. complanata (G. Brady & D. Roberts.) 125
2. „ rara (G. W. Müll.) . . 125
3. „ pulchella (G. Brady) . . 126
4. „ polita O. Sars 126
5. „ zealandica (G. Brady) . 126
„ africana (T. Scott) . . 126
2. Gen. **Pontoparta** Vávra . . 126
1. P. rara Vávra 126
3. Gen. **Cyclocypris** G. Brady & Norman 126
1. C. dispersa G. W. Müll. † . 127
2. „ laevis (Müll. [?]) Vávra . 127
3. „ ovum (Jurine [?]) . . . 128
4. „ forbesi R. Sharpe . . . 128
„ pusilla O. Sars . . . 128
4. Gen. **Cypria** Zenker . . . 129

Seite

1. C. ophthalmica (Jurine [?] G. Brady & Norm. 129
2. „ pellucida O. Sars . . . 130
3. „ obesa R. Sharpe . . . 130
4. „ inaequivalva Turner . . 130
5. „ castanea G. Brady . . 130
6. „ javana G. W. Müll. . . 130
7. „ atlantica T. Scott . . . 131
8. „ lenticularis G. W. Müll. . 131
9. „ modesta (Herrick) . . 131
10. „ exsculpta (S. Fisch.) . . 131
„ capensis O. Sars . . . 132
„ lacustris O. Sars . . . 132
„ pusilla O. Sars . . . 132
„ sp., Wrzski. 132
„ sp., (Apst.) 132
5. Gen. **Physocypria** Vávra . . 132
1. P. armata (G. W. Müll.) . . 132
2. „ dentifera (R. Sharpe) . 133
3. „ kraepelini G. W. Müll. . 133
4. „ denticulata (Daday) . . 133
5. „ crenulata (O. Sars) . . 133
6. „ bullata Vávra 133
7. „ pustulosa (R. Sharpe) . 134
6. Gen. **Candona** W. Baird. . . 134
1. C. candida (Müll. [?]) Vávra . 135
2. „ devexa Kaufmann . . . 135
3. „ weltneri W. Hartwig . . 135
3a. „ „ weltneri W. Hartwig 135
3b. „ „ obtusa G. W. Müll. 136
4. „ stummeri (Daday) . . 136
5. „ neglecta O. Sars . . . 136
6. „ angulata G. W. Müll. . 136
7. „ studeri Kaufmann . . . 137
8. „ mülleri W. Hartwig . . 137
9. „ fabaeformis (S. Fisch. [?] G. Brady) 137
10. „ holzkampfi W. Hartwig . 138
11. „ csikii (Daday) 138
12. „ fragilis W. Hartwig . . 138
13. „ laciniata Ekman . . . 138
14. „ sibirica G. W. Müll. † . 139
15. „ hyalina G. Brady & D. Roberts. 139
16. „ lapponica Ekman . . . 139
17. „ balatonica Daday . . . 139
18. „ acuminata (S. Fisch.) . . 140
19. „ elongata Herrick . . . 140
20. „ pubescens (C. L. Koch [?] Vávra 141
21. „ fallax G. W. Müll. . . 141

Seite

22. C. sucki W. Hartwig . . 141
23. „ parallela G. W. Müll. . 141
24. „ insculpta G. W. Müll. . 142
25. „ lobipes W. Hartwig . . 142
26. „ dadayi G. W. Müll. †. . 142
27. „ rara G. W. Müll. . . . 142
28. „ dentata G. W. Müll. . . 143
29. „ marchica W. Hartwig . 143
30. „ hartwigi G. W. Müll. . . 143
30a. „ „ hartwigi G. W. Müll. 143
30b. „ „ carinata W. Hartwig 144
31. „ crogmaniana Turner . . 144
32. „ detecta (Müll.[?]) Croneberg 144
33. „ eremita (Vejd.) . . . 144
34. „ hungarica (Daday) . . 145
35. „ inaequivalvis O. Sars . . 145
36. „ oblonga O. Sars . . . 145
37. „ ornata Herrick 145
38. „ peircei Turner 146
39. „ sigmoides R. Sharpe . . 146
40. „ simpsoni R. Sharpe . . 146
41. „ thermalis (Daday) . . . 146
42. „ parva Daday 146
„ ambigua T. Scott . . . 147
„ claudiopolitana (Daday) . 147
„ compressa (C. L. Koch) . 147
„ delawarensis Turner . . 147
„ fuhrmanni Thiébaud . . 147
„ harmsworthi T. Scott . . 147
„ lactea W. Baird . . . 147
„ limbata O. Sars . . . 147
„ nitens D. Roberts. . . . 147
„ recticauda R. Sharpe . . 147
„ reflexa R. Sharpe . . . 147
„ rostrata G. Brady & Norm. 147
„ similis W. Baird . . . 148
„ zenkeri O. Sars . . . 148
„ sp., Turner 148
„ sp., G. Brady & Norm. . . 148
„ sp., G. Brady & D. Roberts. 148
„ sp., G. Brady 148
„ sp., Croneberg 148
„ sp., O. Sars 148
7. Gen. **Cryptocandona** Kaufmann 148
1. C. vávrai Kaufmann . . . 149
2. „ longipes (Ekman) . . . 149
3. „ pygmaea (Ekman) . . . 149
4. „ cyproides (Daday) . . . 149
8. Gen. **Paracandona** W. Hartwig 150
1. P. euplectella (G. Brady & Norm.) 150

Seite

9. Gen. **Candonopsis** Vávra . . 150
1. C. kingsleii (G. Brady & D. Roberts.) 150
2. „ anisitsi Daday 151
3. „ falklandica Vávra . . . 151
4. „ solitaria Vávra 151
5. „ tenuis O. Sars 151
„ brasiliensis O. Sars . . 152

Cypris littoralis G. M. Thoms. . 152
Cypria mons (Chambers) . . 152
„ neglecta Herrick . . . 152
Paracypris tenuis O. Sars . . 152

D. Subfam. **Ilyocyprinae** . . 152
1. Gen. **Ilyocypris** G. S. Brady & A. M. Norman 153
1. I. gibba (Ramdohr) . . . 153
2. „ decipiens Masi 154
3. „ bradyi O. Sars 154
4. „ lacustris Kaufmann . . 154
5. „ getica Masi 154
„ angulata O. Sars . . . 154
„ australiensis O. Sars . . 155
„ dentifera O. Sars . . . 155

E. Subfam. **Cyprinae** 155
1. Gen. **Notodromas** Lilljeborg . 157
1. N. monacha (Müll.) . . . 158
2. „ oculata O. Sars . . . 158
3. „ entzi Daday 158
2. Gen. **Newnhamia** King . . 158
1. N. patagonica (Vávra) . . 159
2. „ fenestrata R. L. King . 159
3. „ fuscata (G. Brady) . . . 159
3. Gen. **Cyprois** Zenker . . . 159
1. C. marginata (Straus) . . 160
4. Gen. **Centrocypris** Vávra . . 160
1. C. horrida Vávra 160
2. „ margaritifera G. W. Müll. 161
5. Gen. **Oncocypris** G. W. Müller 161
1. O. voeltzkowi G. W. Müll. . 161
6. Gen. **Cyprinotus** G. Brady . 161
1. C. cingalensis G. Brady . . 163
2. „ giesbrechtii G. W. Müll. . 163
3. „ congener Vávra . . . 163
4. „ crenata (Turn.) . . . 163
5. „ dahli O. Sars 164
6. „ symmetricus G. W. Müll. . 164
7. „ dentato-marginatus O. Sars 164
8. „ pellucidus R. Sharpe . . 164
9. „ salinus (G. Brady) . . . 165

Seite

3. P. zschokkei (Kaufmann) . 215
4. „ similis G. W. Müll. † . 215
5. „ villosa (Jurine) . . . 215
5a. „ „ villosa (Jurine) . 215
5b. „ „ crassipes (Masi) . 216
6. „ smaragdina (Vávra) . . 216
7. „ montevidea (Vávra) . . 216
8. „ almásyi Daday . . . 217
9. „ reniformis (G. Brady) . 217
„ arcuata (O. Sars) . . . 217
„ ophthalmica (S. Fisch.) . 217
24. Gen. **Zonocypris** G. W. Müller 217
1. Z. madagascarensis G. W. Müll. 218
2. „ costata (Vávra) . . . 218
3. „ elegans G. W. Müll. . . 218
4. „ tuberosa G. W. Müll. . 218
25. Gen. **Megalocypris** O. Sars . 219
1. M. princeps O. Sars . . . 219
26. Gen. **Scottia** G. Brady & A. M. Norman 219
1. S. browniana (Jones) . . 219
Cypricercus affinis Daday . . 220
Candona ahlefeldi T. Studer . 220
Paracypridopsis albida O. Sars 220
Cypris albuquerquensis Turn. . 220
„ altissima Chambers . . 220
Cyprinotus americanus Cushman 220
Cypris aratra G. Brady . . . 220
Herpetocypris arctica T. Scott 220
Eucypris areguensis Daday . 221
Cypris aspera S. Fisch. . . . 221
Chlamydotheca australis G. Brady 221
Cypris barbata S. Forb. . . . 221
„ belcheri W. Baird . . . 221
„ bennelong R. L. King . 221
„ blanchardi Moniez . . 221
Candona brachyura Heller . . 222
Cypris burlingtonensis Turn. . 222
„ carinata R. L. King . . 222
„ celtica W. Baird . . . 222
Cypridopsis chavesi Moniez . 222
Cypris chilensis Dana . . . 222
„ chittyensis W. Baird . . 222
„ clarkii R. L. King . . . 222
Candonopsis complanata G. Brady 222
Monoculus conchaceus L. . . 222
Cypris declivis S. Fisch. . . 222
„ decorata O. Sars . . . 222
„ donnetii W. Baird . . 222
Herpetocypris dubia T. Scott . 223

Seite

Cypris dugesi Herrick . . . 223
Cyprinotus elatior Vávra . . 223
Eucypris fabaeformis Daday . 223
Cypris flabella Vávra . . . 223
Cyprinotus flavescens G. Brady 223
„ fragilis G. Brady . . . 223
Cypris galbinea C. L. Koch . . 223
„ gibbosa W. Baird . . . 224
Cypridopsis globosa G. Brady . 224
Proteocypris globuloides G. Brady 224
Cypris granulata Daday . . . 224
„ halyi G. Brady. 224
„ helicina S. Fisch. . . . 224
Candona hispida (W. Baird) . 224
Cypridopsella hispida O. Sars . 224
Cypris iheringi O. Sars . . . 225
„ inermis G. Brady . . . 225
„ inflata O. Sars 225
„ inornata O. Sars . . . 225
„ intumescens G. Brady . 225
„ laetevirens G. Brady . . 225
„ leana O. Sars 225
„ longiseta Moniez . . . 225
Candona lutea R. L. King . . 225
Cypris luxata G. Brady . . . 226
„ madeirensis S. Fisch. . . 226
„ mareotica S. Fisch. . . 226
„ minnesotensis Herrick . 226
„ monilifera G. Brady . . 226
„ mucronata R. Templ. . . 226
„ mytiloides G. Brady . . 226
Cypridopsella nana O. Sars . . 226
Cypris nitens S. Fisch. . . . 226
„ obliqua G. Brady . . . 226
Herpetocypris obliqua Daday . 227
Cypris odiosa Moniez . . . 227
„ onusta Masi. 227
„ ophthalma C. L. Koch . 228
„ orientalis W. Baird . . 228
„ ovalis O. Sars 228
„ palermitana S. Fisch. . . 228
„ parabolica C. L. Koch . 228
Spirocypris passaica R. Sharpe 228
Stenocypris perarmata G. Brady 228
Cypris perforata Cosmovici . . 228
„ phaseolus H. Luc. . . . 228
„ prasina S. Fisch. . . . 228
„ psittacea O. Sars . . . 228
„ pubescens Dana . . . 229
Monoculus punctatus Jur. . . 229
Cypris pustulosa O. Costa . . 229

Seite

Cypris quadripartita Plateau . 229
„ reniformis Fér. . . . 229
„ richardi Moniez . . . 229
„ rivularis S. Fisch . . . 229
„ rubida Zadd. 229
Eucypris sarsii Daday . . . 230
Cypris sarsi Moniez 230
„ schomburgkii W. Baird . 230
„ scottii R. L. King . . . 230
„ sculpta Klintz 230
„ semilunaris S. Fisch. . . 230
„ socialis S. Fisch. . . . 230
Eucypris striata (Jur.[?]) Daday 230
Cypris sydneia R. L. King . . 231
„ tatei G. Brady 231
„ tenuicauda G. Brady . . 231
„ tessellata S. Fisch. . . 231
„ testudinaria R. Sharpe . 231
Herpetocypris testudinaria Cushman. 231
Cypris triangularis W. Baird . 231
„ tricincta C. L. Koch . . 231
„ tridentata Cosmovici . . 231
„ trigona O. Sars . . . 231
„ trigonella G. Rrady . . 231
Spirocypris tuberculata R. Sharpe 232
Cypris ungulata Moniez . . . 232
Monoculus unifasciatus Jur. . 232
Cypris unispinosa W. Baird . 232
Candona d'urbani W. Baird . 232
Cypris venusta Vávra . . . 232
„ verreauxii W. Baird . . 233
„ villosa C. L. Koch . . . 233
„ vitiensis Dana 233
„ vitrea Hald. 233
„ weberi Moniez 233
„ yallahensis W. Baird . . 233
„ sp. 233
„ agilis Hald. 234
„ albida Dana 234
„ australis Lubb. 234
Argilloecia badia G. Brady . . 234
Cypris balnearia Moniez. . . 235
Cythere bifasciata Say . . . 235
Cypris brasiliensis Lubb. . . 235
„ cambrica G. Brady & D. Roberts. 235
„ curvata G. Brady . . . 235
Pontocypris davisoni G. Brady 235
Cypris discolor Hald. . . . 235
„ elegans Moniez . . . 235

Seite

Pontocypris elegans A. Scott . 235
Cypris elongata W. Baird . . 235
Macrocypris elongata Seg. . . 235
Cypris exserta S. Fisch. . . . 235
Cypridopsis funebris G. Brady . 235
Cypris furfuracea G. Brady . . 235
„ gibberula C. L. Koch . . 236
„ hispida De Kay . . . 236
„ incana Zadd. 236
„ incarum Moniez . . . 236
„ joanna W. Baird . . . 236
„ lateraria R. L. King . . 236
Monoculus lenticularis L. . . 236
Cypris lucida C. L. Koch . . 236
„ lutea Risso 236
„ maculata C. L. Koch . . 236
Aglaja meridionalis G. Brady . 237
Argilloecia meridionalis G. Brady 237
„ messanensis Seg. . . . 237
Cypris moniezi Guerne . . . 237
„ novae-zealandiae W. Baird 237
„ ochracea Nic. 237
Paracypris ovalis G. Brady . . 237
Cypris pellucens Ramdohr . . 237
„ pilosa Müll. 237
„ pullipes Meeker . . . 237
Phlyctenophora reniformis G. Brady 237
Cypris sardoa A. Costa . . . 237
„ scabra Hald. 237
Macrocypris setigera G. Brady. 238
Pontocypris sicula G. Brady . 238
Cypris simplex Hald. . . . 238
„ spinosa Risso 238
„ stobarti R. L. King . . 238
„ stygia Joseph 238
„ thermalis O. Costa . . 238
Macrocypris trigona Seg. . . 238
Pontocypris tumida A. Scott . 238
„ variegata G. Brady . . 238
Phlyctenophora viridis G. Brady 238
Cypris vulgaris O. Costa . . 238
„ vulturis O. Costa . . . 238
Paracypris sp., Egg. 238
2. Fam. **Darwinulidae** . . 239
1. Gen. **Darwinula** G. Brady & Norman 239
1. D. aurea (G. Brady & D. Roberts.) 240
2. „ setosa Daday 240

Seite

3. Fam. **Nesideidae** 240
1. Gen. **Nesidea** O. G. Costa . . 241
1. N. reticulata (G. W. Müll.) . 242
2. „ acanthigera (G. Brady) . 242
3. „ angulata (G. Brady) . . 242
4. „ tuberculata (G. Brady) . 243
5. „ raripila (G. W. Müll.) . 243
6. „ numensis G. W. Müll. † . 243
7. „ fortificata (G. Brady) . . 243
8. „ formosa (G. Brady) . . 243
9. „ nodulifera (G. Brady) . 244
10. „ obscura (G. W. Müll.) . 244
11. „ decipiens (G. W. Müll.) . 244
12. „ frequens (G. W. Müll.) . 244
13. „ subdeltoidea (Münst. [?] O. Sars) 245
14. „ mediterranea (G. W. Müll.) 245
15. „ villosa (G. Brady) . . . 245
16. „ labiata G. W. Müll. . . 245
17. „ minor (G. W. Müll.) . . 245
18. „ longevaginata (G. W. Müll.) 246
19. „ corpulenta (G. W. Müll.) 246
20. „ crosskeyana (G. Brady) . 246
21. „ globulus (G. Brady) . . 246
22. „ subcircinata (G. Brady & Norm.) 247
„ amygdaloides (G. Brady) 247
„ elegans (G. Brady) . . 247
„ expansa (G. Brady) . . 247
„ folini (G. Brady) . . . 247
„ fusca (G. Brady) . . . 247
„ hirsuta (G. Brady) . . 247
„ hirta O. G. Costa . . . 247
„ inornata (A. Scott) . . 248
„ longisetosa (G. Brady) . 248
„ messanensis (Seg.) . . 248
„ milne-edwardsi (G. Brady) 248
„ obliquata (O. Sars) . . 248
„ ovata (Bosquet) . . . 248
„ robusta (A. Scott) . . 248
„ simplex (G. Brady) . . 248
„ tenera (G. Brady) . . . 248
„ victrix (G. Brady) . . . 248
„ woodwardiana (G. Brady) 248
„ sp. 248
2. Gen. **Bythocypris** G. Brady . 249
1. B. bosquetiana (G. Brady) . 249
2. „ complanata (G. Brady) . 249
2a. „ „ complanata (G. Brady) . . . 249
2b. „ „ sinuata (Seg.) . . 250

Seite

3. B. reniformis G. Brady . . 250
„ obtusata (O. Sars) . . 250
3. Gen. **Anchistrocheles** G. Brady & Norman . . 250
1. A. fumata G. Brady . . . 250
2. „ aculeata G. W. Müll. . . 251
Bairdia abyssicola G. Brady . 251
Anchistrocheles bradyi A. Scott 251
4. Fam. **Cytheridae** 251
1. Gen. **Bythocythere** O. Sars . 256
1. B. velifera G. Brady . . . 256
2. „ arenacea G. Brady . . 256
3. „ orientalis G. Brady . . 256
4. „ insignis O. Sars . . . 257
5. „ bicristata G. Brady & Norm. 257
6. „ recta (G. Brady) . . . 257
7. „ turgida O. Sars . . . 257
8. „ constricta O. Sars . . 257
9. „ retusa G. Brady . . . 258
10. „ pumilio G. Brady . . . 258
11. „ dromedaria O. Sars . . 258
12. „ simplex (Norm.) . . . 258
„ sp. 259
2. Gen. **Pseudocythere** O. Sars . 259
1. P. caudata O. Sars . . . 259
2. „ similis G. W. Müll. . . 260
3. „ fuegiensis G. Brady . . 260
4. „ minuta A. Scott . . . 260
3. Gen. **Sclerochilus** O. Sars . 260
1. S. contortus (Norm.) . . 261
2. „ abbreviatus G. Brady & D. Roberts. 261
3. „ reniformis G. W. Müll. . 261
4. „ antarcticus G. W. Müll. . 261
5. „ compressus G. W. Müll. . 262
6. „ aequus G. W. Müll. . . 262
7. „ meridionalis G. W. Müll. 262
4. Gen. **Paracythere** G. W. Müller 262
1. P. minima G. W. Müll. . . 262
5. Gen. **Cytherura** O. Sars . . 263
1. C. mediterranea G. W. Müll. 263
2. „ cornuta G. Brady . . . 264
3. „ ventricosa G. W. Müll. . 264
4. „ acuminata G. W. Müll. . 264
5. „ acuta G. W. Müll. † . . 264
6. „ neglecta G. W. Müll. . 265
7. „ alata G. W. Müll. . . . 265
8. „ paradoxa G. W. Müll. . 265
9. „ concinna A. Scott . . 265
10. „ punctata G. W. Müll. . 265

	Seite
11. C. dispar G. W. Müll. . .	266
12. „ costata G. W. Müll. . .	266
13. „ producta G. Brady . .	266
14. „ cryptifera G. Brady . .	266
15. „ clausi G. Brady . . .	267
16. „ costellata G. Brady . .	267
17. „ affinis O. Sars	267
18. „ striata O. Sars	267
19. „ angulata G. Brady . .	268
20. „ nigrescens (W. Baird) .	268
21. „ gibba (Müll.)	268
22. „ sella O. Sars	269
23. „ clavata G. Brady . . .	269
24. „ curvistriata G. Brady .	269
25. „ similis O. Sars	270
26. „ rara G. W. Müll. . . .	270
27. „ reticulata G. W. Müll. .	270
28. „ notalis G. W. Müll. . .	270
29. „ sulcata G. W. Müll. . .	271
30. „ simplex G. Brady & Norm.	271
31. „ cribriformis G. W. Müll.	271
32. „ incongruens G. W. Müll.	271
„ acris G. Brady	272
„ acuticostata O. Sars . .	272
„ curvicostata G. Brady .	272
„ exserta G. Brady & Norm.	272
„ lineata G. Brady . . .	272
„ nervosa G. Brady . . .	272
„ obtusata G. Brady . .	272
„ rudis G. Brady . . .	272
„ speciosa Seg.	272
„ sp.	272
6. Gen. **Cytheropteron** O. Sars .	273
1. C. latum G. W. Müll. . . .	273
2. „ abyssorum G. Brady . .	274
3. „ assimile G. Brady . . .	274
4. „ arcuatum (G. Brady, Crosskey & D. Roberts.) .	274
5. „ hamatum O. Sars . . .	274
6. „ alatum O. Sars . . .	274
7. „ crassipinatum G. Brady & Norm.	275
8. „ intermedium G. Brady .	275
9. „ punctatum G. Brady . .	275
10. „ wellingtoniense G. Brady	275
11. „ latissimum (Norm.) . .	275
12. „ rarum G. W. Müll. . .	276
13. „ rotundatum G. W. Müll. .	276
14. „ pyramidale G. Brady . .	276
15. „ gibbosum G. Brady . .	276
16. „ abyssicolum G. W. Müll.	276

	Seite
17. C. gaussi G. W. Müll. . .	277
18. „ subcircinatum O. Sars .	277
19. „ inflatum Crosskey, G. Brady & D. Roberts. . .	277
20. „ videns G. W. Müll. . .	277
21. „ anomalum G. W. Müll. .	277
22. „ stationis G. W. Müll. . .	278
23. „ irregularis G. W. Müll. .	278
24. „ fallax G. W. Müll. . .	278
„ acutum G. Brady . . .	279
„ depressum G. Brady & Norm.	279
„ laeve G. Brady & Norm.	279
„ nodosum G. Brady . .	279
„ sp.	279
7. Gen. **Eucytherura** G. W. Müller	279
1. E. angulata G. W. Müll. . .	279
2. „ gibbera G. W. Müll. . .	280
3. „ complexa (G. Brady) . .	280
4. „ alata G. W. Müll. . . .	280
5. „ punctata G. W. Müll. . .	281
8. Gen. **Cytherois** G. W. Müller .	281
1. C. fischeri (O. Sars) . . .	281
2. „ vitrea (O. Sars) . . .	281
3. „ succinea G. W. Müll. . .	282
4. „ incongruens G. W. Müll.	282
5. „ ovalis G. W. Müll. . .	282
6. „ minor G. W. Müll. . .	282
7. „ frequens G. W. Müll. . .	282
8. „ zostericola Cushman . .	283
9. Gen. **Paradoxostoma** S. Fischer	283
1. P. striatum G. W. Müll. . .	283
2. „ planum G. W. Müll. . .	284
3. „ cylindricum G. W. Müll.	284
4. „ acuminatum G. W. Müll.	284
5. „ rubrum G. W. Müll. . .	284
6. „ angustum G. W. Müll. .	284
7. „ mediterraneum G. W. Müll.	284
8. „ intermedium G. W. Müll.	285
9. „ parallelum G. W. Müll. .	285
10. „ fuscum G. W. Müll. . .	285
11. „ taeniatum G. W. Müll. .	285
12. „ kerguelense G. W. Müll.	285
13. „ triste G. W. Müll. . . .	285
14. „ variabile (W. Baird) . .	286
15. „ simile G. W. Müll. . . .	286
16. „ sanctpauli G. W. Müll. .	286
17. „ maculatum G. W. Müll. .	286
18. „ obliquum O. Sars . . .	286
19. „ caecum G. W. Müll. . .	286
20. „ hypselum G. W. Müll. . .	287

Seite

21. P. antarcticum G. W. Müll. 287
22. „ magellanicum G. W. Müll. 287
23. „ versicolor G. W. Müll. . 287
24. „ retusum G. Brady . . 287
25. „ rotundatum G. W. Müll. 287
26. „ abbreviatum O. Sars . . 288
27. „ pulchellum O. Sars . . 288
28. „ rarum G. W. Müll. . . 288
29. „ atrum G. W. Müll. . . 288
30. „ breve G. W. Müll. . . 288
31. „ attenuatum A. Scott . . 289
32. „ incongruens G. W. Müll. 289
„ cingalense G. Brady . . 289
„ dispar S. Fisch. . . . 289
„ ensiforme G. Brady . . 289
„ hibernicum G. Brady . . 289
„ hodgei G. Brady . . . 290
„ novae-caledoniae G. Brady 290
„ ovatum G. Brady . . . 290
„ stebbingi A. Scott . . 290

10. Gen. **Paracytherois** G. W. Müller 290
1. P. rara G. W. Müll. . . . 290
2. „ similis G. W. Müll. . . 290
3. „ striata G. W. Müll. . . 291
4. „ producta (G. Brady & Norm.) 291
5. „ flexuosa (G. Brady) . . 291
6. „ vanhöffeni G. W. Müll. . 291
7. „ sulcata G. W. Müll. . . 291
8. „ parallela G. W. Müll. . . 292

11. Gen. **Xiphichilus** G. Brady . 292
1. X. complanatus G. Brady . 292
2. „ amygdaloides G. Brady . 292
3. „ tenuissimus (Norm.) . . 293

12. Gen. **Microcythere** G. W. Müller 293
1. M. inflexa G. W. Müll. . . 293
2. „ obliqua G. W. Müll. . . 293
3. „ levis G. W. Müll. . . . 294
4. „ nana G. W. Müll. . . . 294
5. „ frigida G. W. Müll. . . 294
6. „ rara G. W. Müll. . . . 294
7. „ hians G. W. Müll. . . . 295
8. „ gibba G. W. Müll. . . . 295
9. „ dentata G. W. Müll. . . 295
10. „ depressa G. W. Müll. . . 295

13. Gen. **Xestoleberis** O. Sars . 295
1. X. parva G. W. Müll. . . . 296
2. „ dispar G. W. Müll. . . 296
3. „ ramosa G. W. Müll. . . 297
4. „ rigusa G. W. Müll. . . 297

Seite

5. X. meridionalis G. W. Müll. 298
6. „ kerguelensis G. W. Müll. 298
7. „ aurantia (W. Baird) . . 298
8. „ pellucida G. W. Müll. . 299
9. „ plana G. W. Müll. . . . 299
10. „ squamigera A. Scott . . 299
11. „ margaritea (G. Brady) . 300
12. „ capensis G. W. Müll. . . 300
13. „ decipiens G. W. Müll. . 301
14. „ fuscomaculata G. W. Müll. 301
15. „ rara G. W. Müll. . . . 301
16. „ communis G. W. Müll. . 301
17. „ ventricosa G. W. Müll. . 302
18. „ tumida A. Scott . . . 302
19. „ irrasa A. Scott . . . 302
„ africana G. Brady . . . 303
„ compressa Seg. . . . 303
„ curta (G. Brady) . . . 303
„ depressa (O. Sars) . . 303
„ expansa G. Brady . . 303
„ gracilis G. Brady . . . 303
„ granulosa G. Brady . . 303
„ intermedia G. Brady . 303
„ labiata G. Brady & D. Roberts. 303
„ luxata G. Brady . . . 303
„ nana G. Brady . . . 303
„ olivacea G. Brady . . 304
„ polita G. Brady . . . 304
„ producta Seg. 304
„ reniformis G. Brady . . 304
„ saccata Seg. 304
„ setigera G. Brady . . 304
„ sulcata G. Brady . . . 304
„ tumefacta G. Brady . . 304
„ variegata G. Brady . . 304
„ sp. 304

14. Gen. **Linocheles** G. Brady . 304
1. L. vagans G. Brady . . . 304

15. Gen. **Microxestoleberis** G. W. Müller 305
1. M. nana G. W. Müll. . . . 305

16. Gen. **Paracytheridea** G. W. Müller 305
1. P. bovettensis (Seg.) . . 305
2. „ perplexa A. Scott . . 306

17. Gen. **Loxoconcha** O. Sars . 306
1. L. bairdi G. W. Müll. †. . 306
2. „ stellifera G. W. Müll. . 307
3. „ minima G. W. Müll. . . 307
4. „ pumicosa G. Brady . . 307

Seite

5. L. honoluliensis G. Brady . 307
6. „ viridis (Müll.) 307
7. „ pellucida G. W. Müll. . 308
8. „ laevior G. W. Müll. . . 308
9. „ turbida G. W. Müll. † . 308
10. „ fragilis O. Sars . . . 308
11. „ guttata (Norm.) . . . 308
12. „ africana G. Brady . . 309
13. „ sinensis G. Brady . . 309
14. „ hastata G. Brady . . . 309
15. „ dorso-tuberculata (G. Brady) 309
16. „ sculpta G. Brady . . . 309
17. „ parallela G. W. Müll. . 309
18. „ meridionalis G. W. Müll. 310
19. „ laevata (Norm.) . . . 310
20. „ pusilla G. Brady & D. Roberts. 310
21. „ versicolor G. W. Müll. . 310
22. „ variolata G. Brady . . 310
23. „ littoralis G. W. Müll. . 311
24. „ mediterranea G. W. Müll. 311
25. „ anomala G. Brady . . 311
26. „ alata G. Brady . . . 311
27. „ gibbera G. Brady. . . . 312
28. „ decipiens G. W. Müll. . 312
„ affinis (G. Brady). . . 312
„ angustata G. Brady . . 312
„ australis G. Brady . . 312
„ avellana (G. Brady) . . 312
„ brevis G. Brady . . . 312
„ cuboidea G. Brady . . 312
„ elegans G. Brady . . 312
„ glabra (G. Brady) . . 312
„ gracilis G. Brady. . . . 313
„ lata G. Brady 313
„ levis G. Brady . . . 313
„ lilljeborgii G. Brady . . 313
„ maculata (S. Fisch.) . . 313
„ modesta (G. Brady) . . 313
„ papillosa G. Brady . . 313
„ punctata G. M. Thoms. . 313
„ raulini G. Brady . . . 313
„ rotunda G. Brady . . 313
„ seminulum Seg. . . . 313
„ subrhomboidea G. Brady 313
„ tenuis Seg. 313
„ tumida G. Brady . . . 313
18. Gen. **Pseudoloxoconcha** G. W. Müller 314
1. P. minima G. W. Müll. . . 314

Seite

19. Gen. **Cytheroma** G. W. Müller 314
1. C. variabilis G. W. Müll. . 314
20. Gen. **Paracytheroma** Juday . 315
1. P. pedrensis Juday . . . 315
21. Gen. **Microcytherura** G. W. Müller 315
1. M. nigrescens G. W. Müll. . 315
22. Gen. **Metacypris** G. Brady & D. Robertson 316
1. M. cordata G. Brady & D. Roberts. 316
1a. „ „ cordata G. Brady & D. Roberts. . . . 316
1b. „ „ neocomensis Thiébaud . . . 316
2. „ bromeliarum (Fr. Müll.) . 316
23. Gen. **Entocythere** Wm. S. Marshall 317
1. E. cambaria Wm. S. Marsh. 317
24. Gen. **Cythere** O. F. Müller . 317
1. C. lutea Müll. [?] O. Sars . . 318
2. „ cyamos Norm. 318
3. „ lobiancoi G. W. Müll. † . 318
4. „ mediterranea G. W. Müll. 319
5. „ littoralis G. W. Müll. . . 319
6. „ canaliculata (Reuss [?] G. Brady) 319
7. „ discrepans G. W. Müll. . 319
8. „ diffusa G. W. Müll. . . 319
9. „ pallida G. W. Müll. . . 320
10. „ crispata G. Brady . . . 320
11. „ porcellanea G. Brady . 320
12. „ badia Norm. 320
13. „ castanea O. Sars . . . 320
14. „ fuscata G. Brady . . . 321
15. „ fabaeformis G. W. Müll. . 321
16. „ macallana G. Brady & D. Roberts. 321
17. „ pellucida W. Baird . . 321
18. „ rara G. W. Müll. . . . 322
19. „ ochracea G. Brady . . 322
20. „ americana R. Sharpe . . 322
21. „ papillosa R. Sharpe . . 322
„ cancellata G. Brady . . 323
„ crenata G. Brady . . . 323
„ demissa G. Brady . . . 323
„ sp. 323
25. Gen. **Cytheridea** Bosquet . . 323
1. C. mülleri (Münst.) . . . 324
2. „ castanea G. Brady . . . 324
3. „ dentata O. Sars . . . 324

Seite

4. C. inermis O. Sars . . . 324
5. „ fascis G. Brady & Norm. 324
6. „ rubra G. W. Müll. . . . 325
7. „ turbida G. W. Müll. . . 325
8. „ americana Cushman . . 325
9. „ seminuda Cushman . . 325
10. „ papillosa Bosquet . . . 325
11. „ kirkbii G. Brady . . . 326
12. „ consorbina G. Brady . . 326
13. „ torosa (Jones) 326
13a. „ „ torosa (Jones) . . 326
13b. „ „ littoralis G. Brady 326
14. „ angustata (Münst.) . . 327
15. „ punctillata G. Brady . . 327
16. „ flavescens G. Brady . . 327
17. „ spinulosa G. Brady . . 328
„ inaequalis G. Brady & D. Roberts. 328
„ impressa G. Brady . . 328
„ similis G. Brady . . . 328
„ stigmosa G. Brady & Norm. 328
26. Gen. **Limnocythere** G. Brady 328
1. L. inopinata (W. Baird [?]) G. Brady 328
2. „ serrata (Thiébaud) . . . 329
3. „ monstrifica (Norm.) . . 329
4. „ incisa Dahl 329
5. „ hungarica Daday . . . 330
6. „ relicta (Lillj.) 330
7. „ mongolica Daday . . . 330
8. „ reticulata R. Sharpe . . 331
9. „ illinoisiensis R. Sharpe . 331
10. „ dubiosa Daday 331
11. „ mirabilis (Kaufmann) . . 331
12. „ sancti-patricii G. Brady & D. Roberts. 332
13. „ stationis Vávra . . . 332
14. „ notodonta Vávra . . . 332
15. „ compressa G. Brady & Norm. 333
„ tiberiadis Barrois . . . 333
27. Gen. **Eucythere** G. Brady . . 333
1. E. declivis (Norm.) . . . 333
2. „ argus (O. Sars) . . . 334
28. Gen. **Krithe** G. Brady, Crosskey & D. Robertson 334
1. K. reniformis (G. Brady) . 334
2. „ similis G. W Müll. . . 335
3. „ bartonensis (Jones) . . 335
4. „ glacialis G. Brady, Crosskey & D. Roberts. . 335
5. „ tumida G. Brady . . . 335

Seite

6. K. hyalina G. Brady . . . 336
„ producta G. Brady . . 336
29. Gen. **Cythereis** Jones . . 336
1. C. teres (G. Brady) . . . 338
2. „ ilosvayi (Daday) . . . 338
3. „ convexa (W. Baird) . . 338
4. „ speyeri (G. Brady) . . 338
5. „ kerguelensis (G. Brady) . 339
6. „ sicula (G. Brady) . . . 339
7. „ scaphoides (G. Brady) . 339
8. „ emarginata O. Sars . . 339
9. „ villosa (O. Sars) . . . 340
10. „ amnicola (O. Sars) . . 340
11. „ bouvieri Daday . . . 340
12. „ albo-maculata (W. Baird) 340
13. „ brunnea (G. Brady) . . 340
14. „ rubida (G. Brady) . . . 340
15. „ marginata (Norm.) . . 341
16. „ favoides (G. Brady) . . 341
17. „ jeffreysii (G. Brady) . . 341
18. „ septentrionalis (G. Brady) 341
19. „ goujoni (G. Brady) . . 342
20. „ adunca (G. Brady) . . 342
21. „ viminea (G. Brady) . . 342
22. „ papuensis (G. Brady) . . 342
23. „ hartwigi G. W. Müll. † . 342
24. „ arenicola Cushman . . 343
25. „ dentata G. W. Müll. . . 343
26. „ phalaropi Cushman . . 343
27. „ scotti (G. Brady) . . . 343
28. „ lepralioides (G. Brady) . 343
29. „ hodgei (G. Brady) . . 344
30. „ margaritifera G. W. Müll. 344
31. „ latimarginata (Speyer) . 344
32. „ subrufa (G. Brady) . . 344
33. „ sculptilis (T. Scott) . . 345
34. „ concinna (Jones) . . . 345
35. „ torticollis (G. Brady) . . 345
36. „ innominata (G. Brady) . 345
37. „ rimosa (T. Scott) . . . 346
38. „ tarentina (W. Baird) . . 346
39. „ packardi (G. Brady) . . 346
40. „ costata (G. Brady) . . 346
41. „ dubia (G. Brady) . . . 347
42. „ lenisculpta (G. Brady) . 347
43. „ lineata G. W. Müll. . . 347
44. „ devexa G. W. Müll. . . 348
45. „ polylyca G. W. Müll. . . 348
46. „ patagoniensis (G. Brady) 348
47. „ cristatella G. Brady . . 348
48. „ truncula (G. Brady) . . 348

Seite

49. C. cymba (G. Brady) . . . 349
50. „ rectangularis (G. Brady) 349
51. „ cytheropteroides (G. Brady) 349
52. „ wyville-thomsoni (G. Brady) 350
53. „ ornata G. W. Müll. . . 350
54. „ circumdentata (G. Brady) 350
55. „ sulcatoperforata (G. Brady) 350
56. „ sabulosa (G. Brady) . . 351
57. „ irrorata (G. Brady) . . 351
58. „ dorsoserrata (G. Brady) . 351
59. „ radula (G. Brady) . . . 352
60. „ cribriformis (G. Brady) . 352
61. „ sarsii G. W. Müll. . . . 352
62. „ ericea (G. Brady) . . . 352
63. „ echinata O. Sars . . . 352
64. „ jonesii W. Baird . . . 353
65. „ militaris G. Brady . . 353
66. „ velivola (G. Brady) . . 353
67. „ audax (G. Brady & Norm.) 353
68. „ quadriserialis (G. Brady) 354
69. „ dunelmensis Norm. . . 354
70. „ mucronata O. Sars . . 354
71. „ tetrica (G. Brady) . . . 354
72. „ fungoides G. Brady . . 354
73. „ senticosa W. Baird . . 355
74. „ zenkeri (G. Brady) . . 355
75. „ squalidentata (G. Brady) 355
76. „ quadridentata (W. Baird) 355
77. „ plicatula (Reuss) . . . 356
78. „ rubra G. W. Müll. . . 356
79. „ foveostriata (G. Brady) . 356
80. „ stolonifera (G. Brady) . 356
81. „ bermudae (G. Brady) . 356
82. „ pumila (G. Brady) . . 357
83. „ giesbrechtii G. W. Müll. 357
84. „ quadriaculeata (G. Brady) 357
85. „ exilis (G. Brady) . . . 357
86. „ australis W. Baird . . 358
87. „ runcinata W. Baird . . 358
88. „ fistulosa W. Baird . . 358
89. „ rahmdori G. W. Müll. † . 358
90. „ curvicostata (G. Brady) . 359
91. „ craticula (G. Brady) . . 359
92. „ hamata G. W. Müll. . . 359
93. „ lauta (G. Brady) . . . 359
94. „ antiquata W. Baird . . 360
95. „ vineyardensis Cushman . 360
96. „ clavigera (G. Brady) . . 360
97. „ whitei W. Baird . . . 360
98. „ ichthyoderma (G. Brady) 360

Seite

99. C. tricristata (G. Brady) . 361
100. „ scalaris (G. Brady) . . 361
101. „ prava W. Baird . . . 361
„ alderi (G. Brady) . . . 362
„ angulata (O. Sars) . . 362
„ bahamensis (G. Brady) . 362
„ batei G. Brady . . . 362
„ cluthae (G. Brady, Crosskey & D. Roberts.) . 362
„ confluens (Reuss) . . . 362
„ convoluta (G. Brady) . 362
„ crenulata O. Sars . . . 362
„ curvistriata (G. Brady) . 362
„ dasyderma (G. Brady) . 362
„ dawsoni (G. Brady) . . 362
„ dictyon (G. Brady) . . 362
„ edwardsii (Roemer) . . 363
„ emaciata (G. Brady) . . 363
„ ferox (G. Brady) . . . 363
„ finmarchica O. Sars . . 363
„ flabellicostata (G. Brady) 363
„ foveolata (G. Brady) . . 363
„ hamigera (G. Brady) . . 363
„ hoptonensis (G. Brady, Crosskey & D. Roberts.) . 363
„ impluta (G. Brady) . . 363
„ insulana (G. Brady) . . 363
„ lacerta (G. Brady) . . 363
„ lactea (G. Brady) . . . 363
a. „ „ lactea (G. Brady) . 363
b. „ „ rudis (G. Brady) . 364
„ lamellifera (G. Brady & Norm.) 364
„ logani (G. Brady & Crosskey) 364
„ margollei (G. Brady) . . 364
„ melobesioides (G. Brady) 364
„ milne-edwardsii (G. Brady & Norm.) . . 364
„ pannosa (G. Brady) . . 364
„ parallelogramma (G. Brady) 364
„ producta (G. Brady) . . 364
„ pumicosa (G. Brady) . . 364
„ rastromarginata (G. Brady) 364
„ reussi (G. Brady) . . . 364
„ scabra (Münster) . . . 364
„ scutigera (G. Brady) . . 365
„ subrugosa (G. Brady) . 365
„ subtrigona (Seg.) . . . 365
„ suhmi (G. Brady) . . . 365

Seite

C. thorellii (G. Brady) . . 365
„ tuberculata (O. Sars) . . 365
„ ventricrista (G. Brady) . 365
„ venus (Seg.) 365
„ zurcheri (G. Brady) . . 365
„ sp. 365
30. Gen. **Cytheretta** G. W. Müll. 366
1. C. rubra G. W. Müll. . . . 366
2. „ edwardsi (Cushman) . . 367
31. Gen. **Cytherideis** Jones . . 367
1. C. foveolata G. Brady . . 367
2. „ subulata G. Brady . . 367
2a. „ „ subulata G. Brady 367
2b. „ „ fasciata G. Brady & D. Roberts. 368
3. „ novae-zealandiae G. Brady 368
4. „ baculoides G. Brady . . 368
5. „ cylindrica G. Brady . . 368
6. „ hedleyi Chapm. . . . 368
„ andrewsi Chapm. . . . 369
„ falcata (Reuss) 369
„ gracilis (Reuss) . . . 369
„ laevata G. Brady . . . 369
„ parallela (Reuss) . . . 369
„ teres G. Brady 369
Xestoleberis acuminalis Chapm. 369
Cythere acupunctata G. Brady . 369
Sclerochilus aegaeus G. Brady . 369
Paradoxostoma affine T. Scott . 369
Cythere affinis G. Brady . . . 369
Cytheridea africana G. Brady . 370
Cythere alba W. Baird . . . 370
Krithe alveus Egg. 370
Cythere americana Dana . . 370
Xestoleberis angulata G. Brady 370
Cytheropteron angulatum G. Brady & D. Roberts. . . . 370
Krithe angusta G. Brady & Norm. 370
Cytheropteron angustatum G. Brady 370
Eucytherura antarctica G. W. Müll. 370
Cythere arata G. Brady . . . 370
Paradoxostoma arcuatum G. Brady 370
Xiphichilus arcuatus G. Brady 370
Cytheropteron areolatum G. Brady 370
Bythocythere armata Chapm. . 370
Cytherura atra (O. Sars) . . . 371
Cythere atra G. M. Thoms. . . 371
„ attrica G. Brady . . . 371
„ berchoni G. Brady . . . 371

Seite

Cythere bicarinata G. Brady . 571
Cytherura biproducta Seg. . . 371
Cythere bispinosa G. Brady . . 371
Cytherura bodotria T. Scott . 371
Cythere borealis G. Brady . . 371
„ bosquetiana (Jones) . . 371
Krithe bradiana Lienenklaus . 371
Cytherura broeckiana G. Brady 371
„ calcarata Seg. 371
Cythere canadensis G. Brady . 372
„ caudata G. Brady . . . 372
Cytherura cellulosa (Norm.) . 372
Cythere chalmersi A. Scott . . 372
Cytherura clathrata O. Sars . . 372
Cytheropteron coccoides G. Brady 372
Cythere colletti A. Scott . . . 372
„ compacta G. Brady . . 372
Cytherura concentrica Norm. . 372
Cythere contracta G. Brady . . 372
„ coralloides G. Brady . . 372
„ cornuta (Roemer) . . . 372
„ corpulenta G. Brady & Norm. 372
„ cribrosa G. Brady, Crosskey & D. Roberts. 373
Cytherura cribrosa G. Brady . 373
Cythere cuboidea G. Brady . . 373
„ cumulus G. Brady . . . 373
„ cuneiformis G. Brady . . 373
„ cuneolus G. Brady . . . 373
Cytheridea curta G. Brady . . 373
Cythere cypraeoides G. Brady . 373
„ darwinii G. Brady . . . 373
Cytherura deformis G. Brady . 373
Cythere deltoides G. Brady . . 373
„ donnani A. Scott . . . 373
Loxoconcha dubia G. W. Müll. 373
Cythere duperrei G. Brady . . 374
Cytheridea elatior G. Brady . 374
Loxoconcha elongata G. Brady . 374
Cytherura entomon G. Brady . 374
Cythere euplectella G. Brady . 374
Cytherura exagonalis Seg. . . 374
Bythocythere exigua G. Brady . 374
Cythere falklandi G. Brady . . 374
Paradoxostoma fasciatum G. Brady & Norm. 374
Cythere favus G. Brady . . . 374
Cytheropteron fenestratum G. Brady 374
Cythere fidicula G. Brady & D. Roberts. 374

Seite

Limnicythere fijiensis G. Brady 374
Cythere fischeri G. Brady . . 374
„ flavida Müll. 375
„ flos-cardui G. Brady . . 375
„ fortificata G. Brady . . 375
Cytheridea foveolata G. Brady 375
Xestoleberis foveolata G. Brady 375
Cytherura fulva G. Brady & D. Roberts. 375
Cythere fulvotincta G. Brady . 375
„ fumata G. Brady . . . 375
„ globulifera G. Brady . . 375
Loxoconcha grisea (G. Brady) . 375
Cytherura groenlandica G. Brady & Norm. 375
Cytheropteron guttatum G. Brady 375
Cythere halyi A. Scott . . . 375
„ holdsworthi A. Scott . . 375
„ hornelli A. Scott . . . 376
Cytheropteron humile G. Brady & Norm. 376
Cythere imthurni A. Scott . . 376
„ inconspicua G. Brady . . 376
„ inconstans G. Brady . . 376
Paradoxostoma inflexum G. Brady & Norm. 376
Cythere infundibulata G. Brady 376
Cytherura iniqua G. Brady . . 376
Ilyobates judaea G. Brady . . 376
Cythere jurinei Münst. . . . 376
„ „ jurinei Münst. . 376
„ „ costata G. Brady 376
„ kelaarti A. Scott . . . 376
„ knoxi A. Scott 376
Bythocythere laevigata Egg. . 377
Cythere laganella G. Brady . . 377
Cytherideis lata G. Brady . . 377
Cythere leioderma Norm. . . 377
Eucythere lienenklausi Egg. . 377
Cytherura lilljeborgi G. Brady . 377
Cythere limicola (Norm.) . . 377
„ lineolata (Roemer) . . . 377
Cytherideis lithodomoides (Bosquet) 377
Cytheropteron longicaudatum G. Brady 377
Cythere lubbockiana G Brady . 377
„ lurida S. Fisch. 377
„ macchesneyi G. Brady & Crosskey 377
„ macra G. Brady . . . 378

Seite

Cythere magellanica G. Brady . 378
„ mamillata G. Brady . . 378
Cytherura marcida G. Brady . 378
Cythere margaritifera G. Brady 378
Cytheridea minima G. Brady . 378
Cythere mirabilis G. Brady . . 378
Cytheridea monensis G. Brady & Norm. 378
Cythere montezuma G. Brady . 378
Cytheropteron montrosiense Crosskey, G. Brady & D. Roberts. 378
Cythere moseleyi G. Brady . . 378
Cytheropteron mucronalatum G. Brady 378
Cytherura mucronata G. Brady 378
Cythere multicava T. Scott . . 379
Loxoconcha multifora (Norm.) 379
Cythere murrayana G. Brady . 379
„ muscosa G. Brady . . . 379
Cytherura navicula Norm. . . 379
Loxoconcha nitida G. Brady . 379
Cytherideis nobilis G. Brady . 379
Cythere normani G. Brady . . 379
Paradoxostoma normani G. Brady 379
Cytherura obliqua G. Brady . 379
Cythere obtusalata G. Brady . 379
Paradoxostoma orcadense G. Brady & D. Roberts. . . . 379
Cytheridea orientalis G. Brady 380
Cytherura ornata Seg. . . . 380
Xiphichilus ornatus O. & E. Terquem 380
Cythere ostrarum Nic. . . . 380
„ parkeri G. Brady . . . 380
Cytheropteron patagoniense G. Brady 380
Cythere pavonia G. Brady . . 380
„ pectunculata Chapm. . . 380
„ perieri G. Brady . . . 380
„ perrensis G. Brady . . 380
„ phylloides Chapm. . . . 380
„ plana G. Brady . . . 380
Krithe praelonga Egg. . . . 380
Cytherideis pulchra G. Brady . 380
Cytheridea pusilla G. Brady . 380
Cythere pygmaea O. Sars . . 381
„ pyriformis G. Brady . . 381
Krithe radiolata Egg. . . . 381
Bythocythere recurva G. Brady & Norm. 381

Seite

Cytheropteron rhomboideum G. Brady 381
Cythere robertsoni G. Brady . 381
Paradoxostoma rostratum O. Sars 381
Cytheropteron rude G. Brady . 381
Cythere ruperti G. Brady . . 381
Loxoconcha sagittalis G. Brady 381
Cythere sagittula (Reuss) . . 381
„ salebrosa G. Brady . . 381
„ scaberrima G. Brady . . 381
Cytheropteron scaphoides G. Brady 381
Cythere scintillulata G. Brady. 382
Cytherura scutellata G. Brady. 382
Cythere securifer G. Brady. . 382
„ semilunaris G. Brady & Norm. 382
„ semiovata T. Scott . . 382
„ semipunctata G. Brady . 382
Cytheropteron septentrionale G. Brady 382
Cythere serratula G. Brady. . 382
Loxoconcha serrulata Egg. . . 382
Cytheridea setipunctata G. Brady 382
Cythere setosa W. Baird. . . 382
„ silicula G. Brady . . . 382
Cytherura simulans T. Scott . 382
Cythere solandi G. Brady . . 382
„ spinea Egg. 383
Pseudocythere spinosa Egg. . 383
Cythere spongiosa G. Brady . 383
Cytheropteron stellatum G. Brady 383
Cythere subcuneata G. Brady . 383
Cytheridea subflavescens (G. Brady) 383
Loxoconcha subovata (Münst.). 383
Cythere subquadrata G. Brady 383
Cytheridea subquadraregularis G. Brady 383
Cythere subsigmoidea G. Brady 383
„ sulcifera G. Brady . . 383
„ tenera G. Brady . . . 383
Cytheropteron testudo O. Sars. 383
Cythere thalassica T. Scott. . 384
„ thompsoni A. Scott . . 384
Cytherideis tigrina G. Brady . 384
Cythere torresi G. Brady . . 384
Cytheropteron trilobites G. Brady 384

Seite

Cythere trispicata G. Brady & Norm. 384
„ truncata O. Sars . . . 384
„ truncatula G. Brady . . 384
Loxoconcha tumida Chapm. . 384
Xestoleberis tumida (Reuss) . 384
Cytherura undata (O. Sars). . 384
„ „ undata (O. Sars) 384
„ „ var. G. Brady. 384
Cythere velifera O. & E. Terquem 385
Cytheropteron velifera O. & E. Terquem 385
Cythere vellicata G. Brady. . 385
„ venata G. Brady . . . 385
„ venusta T. Scott . . . 385
„ viridis O. Costa . . . 385
„ willeyi A. Scott . . . 385
„ willisi A. Scott. . . . 385
„ woodwardii G. Brady . 385
Bythocythere sp. 385
Cythere sp. 385
Cytheridea sp. 388
Cytheropteron sp. 388
Cytherura sp. 389
Loxoconcha sp. 389
Pseudocythere sp. 389
Xiphichilus sp. 389
5. Fam. **Cytherellidae** . 389
1. Gen. **Cytherella** Jones . . . 390
1. C. eburnea G. Brady. . . 390
2. „ africana T. Scott . . . 390
3. „ pulchra G Brady. . . 390
4. „ obtusata G. W. Müll. † . 391
5. „ serrulata G. Brady & Norm. 391
6. „ beyrichi (Reuss) . . . 391
7. „ abyssorum O. Sars . . 391
8. „ ondaatjei A. Scott . . 392
9. „ sordida G. W. Müll. . . 392
10. „ vesiculosa Chapm, . . 392
11. „ cingulata G. Brady . . 392
12. „ cuneolus G. Brady . . 393
13. „ cavernosa G. Brady . . 393
14. „ irregularis G. Brady . . 393
15. „ venusta G. Brady. . . 393
16. „ nitida G. Brady . . . 394
„ areolata Seg. 394
„ beyrichi laevis Jones & Sherborn 394
„ calabra Seg. 394
„ latimarginata G. Brady . 394
„ punctata G. Brady . . 394

	Seite
C. rugosa G. Brady . . .	394
„ semitalis G. Brady . .	395
„ sp.	395
Cythere acerosa G. Brady . .	395
Aglaia acuminata G. Brady .	395
Cypris bituberculata O. Costa .	395
Pontocypris caudata Egg. . .	395
Aglaia clavata G. Brady . .	395
Bythocypris compressa G. Brady	395
Bairdia coronata G. Brady . .	395
Cytherella cribrosa G. Brady .	395
„ dromedaria G. Brady. .	395
Bythocypris elongata G. Brady	395
Bairdia exaltata G. Brady . .	396
„ fasciata G. Brady . . .	396
„ fedea O. & E. Terquem .	396
Paracypris galeata G. Brady .	396
Pontocypris hyperborea T. Scott	396
Bairdia inornata T. Scott . .	396
Cytherella laevis G. Brady . .	396
„ lata G. Brady	396
Bairdia minima G. Brady . .	396
Aglaia obtusata G. Brady . .	396
Cytherella polita G. Brady . .	396
„ pumila T. Scott . . .	396
Aglaia pusilla G. Brady . . .	397
Pontocypris robusta A. Scott .	397
„ rostrata A. Scott . . .	397
Cytherella tumida G. Brady .	397
Cypris violacea Nic.	397
Cytherella vraspillaii A. Scott .	397
Cytheridea zetlandica G. Brady	397
Bairdia sp.	397
Argilloecia sp.	397
Bairdia sp.	397
Cytherella sp.	397
Bairdia sp.	397
Cytherella sp.	398
Bairdia sp.	398
Gen. **Goniocypris** G. Brady & D. Robertson	398
G. mitra G. Brady & D. Roberts.	398
Gen. **Heterodesmus** G. Brady .	398
H. adamsii G. Brady	398
Monoculus telemus L. . . .	398

Ziffermäßige Übersicht aller in Lieferung 31 beschriebenen Ostracoden-Gruppen.

Ostracoda: 2 Subord. 8 Fam. 95 sichere 2 unsichere Gen. 921 sichere 798 unsichere Spec.

1. Subordo **Myodocopa**	3	„	18	„	—	„	„	214	„	59	„ „
1. Fam. Cypridinidae			11	„	—	„	„	105	„	50	„ „
A. Subfam. Cypridininae			5	„	—	„	„	40	„	16	„ „
B. „ Philomedinae			3	„	—	„	„	27	„	1	„ „
C. „ Sarsiellinae			1	„	—	„	„	19	„	—	„ „
D. „ Asteropinae			2	„	—	„	„	19	„	6	„ „
2. Fam. Halocyprida e			5	„	—	„	„	93	„	5	„ „
A. Subfam. Thaumatocyprinae			1	„	—	„	„	1	„	—	„ „
B. „ Conchoecinae			4	„	—	„	„	92	„	5	„ „
3. Fam. Polycopidae			2	„	—	„	„	16	„	4	„ „
2. Subordo **Podocopa**	5	Fam.	77	„	—	„	„	707	„	736	„ „
1. Fam. Cypridae			41	„	—	„	„	288	„	254	„ „
A. Subfam. Pontocyprinae			4	„	—	„	„	32	„	19	„ „
B. „ Macrocyprinae			1	„	—	„	„	13	„	4	„ „
C. „ Candoninae			9	„	—	„	„	79	„	32	„ „
D. „ Ilyocyprinae			1	„	—	„	„	5	„	3	„ „
E. „ Cyprinae			26	„	—	„	„	159	„	141	„ „
2. Fam. Darwinulidae			1	„	—	„	„	2	„	—	„ „
3. „ Nesideidae			3	„	—	„	„	27	„	26	„ „
4. „ Cytheridae			31	„	—	„	„	374	„	410	„ „
5. „ Cytherellidae			1	„	—	„	„	16	„	8	„ „
?			—	„	2	„	„	—	„	3	„ „

MARINE BIOLOGICAL LABORATORY
WOODS HOLE
LIBRARY
MASS.

Ostracoda

1758 *Monoculus* (s. l.), Linné, Syst. Nat., ed. 10 p. 634 | 1785 *Monoculi bivalves* (s. l.), O. F. Müller, Entom., p. 35 | 1802 *Ostrachodes* (s. l.), Latreille, Hist. Crust. Ins., *v.* 4 p. 197 | 1806 *Ostracoda* (s. l.), Latreille, Gen. Crust. Ins., *v.* 1 p. 17 | 1818 *„Branchiopodes frangés ou Cophyropes“* (part.), Lamarck, Hist. An. s. Vert., *v.* 5 p. 123 | 1820 *„Monocles à coquille bivalve“*, Jurine, Hist. Monocles, p. 159 | 1821 *Ostrapodes*, H. E. Straus in: Mém. Mus. Paris, *v.* 7 p. 58 | 1829 *O.*, Latreille in: G. Cuvier, Règne an., n. ed. *v.* 4 p. 151 | 1840 *„Cyproides“ ou „Ostracodes“*, H. Milne-Edwards, Hist. nat. Crust., *v.* 3 p. 393 | 1844 *Ostrapoda*, De Kay, Zool. N. York, Part 6 p. 64 | 1850 *O.*, W. Baird, Brit. Entom., p. 138 | 1852 *Cyproidea*, J. D. Dana in: U. S. expl. Exp., *v.* 13II p. 1021, 1277.

Körper von einer an der Grenze von Kopf und Rumpf entspringenden Hautduplicatur umgeben, welche als zweiklappige, meist stark verkalkte Schale den Körper vollständig umschließt. Der Körper gliedert sich in Kopf und Rumpf; Rumpf ungegliedert, selten mit Andeutung einer Gliederung. Kopf mit zwei Antennen, einer Mandibel und einer Maxille; eine zweite Maxille im Sinne der anderen Krebse fehlt. Thorax meist mit 3 Paaren von Gliedmaßen, zu denen als Rest eines 4. Paares ein fast stets auf das ♂ beschränktes, bürstenförmiges Organ kommen kann. Furca meist wohl entwickelt, ventralwärts eingeschlagen. Geschlechter getrennt, ♂ häufig fehlend.

An der Schale unterscheiden wir einen Dorsalrand, Ventralrand, Vorderrand und Hinterrand; die einzelnen Regionen können deutlich winklig gegeneinander abgegrenzt sein oder nicht. Häufig zeigt der Vorderrand der Schale einen Einschnitt, Incisur, über dem sich ein nasenartiger Fortsatz, das Rostrum, erhebt. Als Länge (L.) der Schale und des ganzen Tieres überhaupt bezeichnen wir die größte Ausdehnung in der Hauptachse des Tieres; letztere fällt meist mit der Richtung der größten Ausdehnung der Schale zusammen; unter Höhe ist die größte Ausdehnung in der Richtung senkrecht zur Hauptachse zu verstehen. Den eigentlichen Schalenrand überragende Borsten und dünnhäutige Fortsätze (Saum vgl. unten) werden bei Feststellung von Länge und Höhe nicht berücksichtigt, ebensowenig bei der Beschreibung der Schalenkontur. Als Breite bezeichnen wir die größte Ausdehnung senkrecht zur Medianebene bei geschlossener Schale.

Die beiden Klappen der Schale sind in der Rückenlinie durch den Schloßrand miteinander verbunden, ausnahmsweise erstreckt sich die Verbindung der beiden Schalen über mehr als $^1/_2$ der Peripherie. Die Schale enthält meist starke Kalkablagerungen, welche sich in der äußeren Lamelle der Hautduplicatur und in einer Randpartie der inneren Lamelle finden. Diese verkalkte oder anderweitig verstärkte Randpartie grenzt sich meist scharf in

einer dem freien Schalenrande häufig annähernd parallel verlaufenden Linie, dem Innenrande (Fig. 1), gegen das dünnhäutige Zentrum der inneren Lamelle ab. Innere und äußere Lamelle verschmelzen meist miteinander, die Grenze der verschmolzenen Partie ist die Verwachsungslinie; sie verläuft meist zwischen dem Schalenrande und dem Innenrande und kann mit letzterem zusammenfallen; nur ganz ausnahmsweise erstreckt sich die Verschmelzung auf den dünnhäutigen Teil der inneren Lamelle und dann überschreitet die Verwachsungslinie den Innenrand. Auf dem Schalenrande oder mehr oder weniger von ihm überragt, entspringt eine meist häutige Lamelle, der Saum; ihren Ursprung bezeichnet die Saumlinie. Der Saum überragt meist den Schalenrand; die von ihm gebildeten Konturen werden aber bei Beschreibung der Schalenform und Feststellung der Länge nicht berücksichtigt. In nächster Nachbarschaft vom Saume, distal von ihm, entspringt eine Reihe von Borsten.

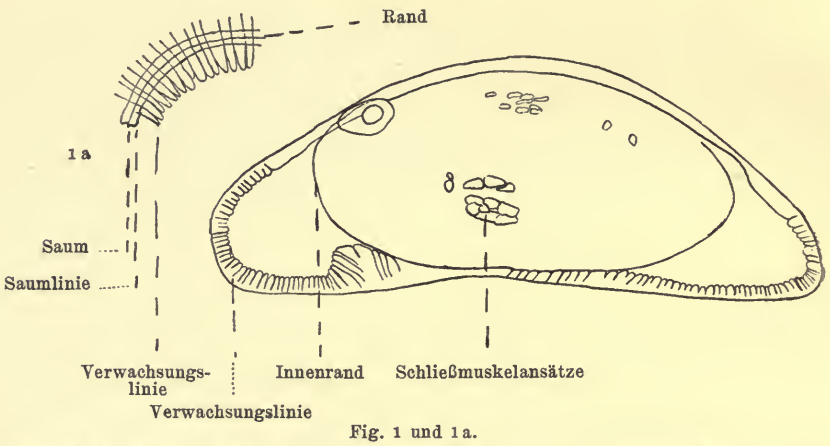

Fig. 1 und 1 a.

Macrocypris succinea G. W. Müll. Fig. 1 Linke Schale ($^{75}/_{1}$), Fig. 1 a Vorderrand stärker vergrößert.

Der Saum bildet (mit Ausnahme einiger Cypridiniden) für die Innenseite der Schale die Grenze der Behaarung, derart, daß proximal von ihm keine Borsten vorkommen. Proximal von ihm können aber noch ähnliche lamellöse Anhänge, Leisten, auftreten, die zu Verwechslungen Veranlassung geben können, sicher wird man sie vom Saume durch die benachbarte Borstenreihe des letzteren unterscheiden.

Die Schale wird von häufig sehr auffälligen Porenkanälen durchbohrt, welche meist zu Borsten führen oder auch blind endigen. Besonders auffällig pflegen diejenigen zu sein, welche die verschmolzene Randzone durchsetzen und entweder zu der Borstenreihe in der Nachbarschaft des Saumes (randständige Porenkanäle) oder zu solchen der Außenseite der Schale nahe dem Rande (falsche randständige Porenkanäle) führen.

Die Oberfläche der Schale ist glatt oder mit bisweilen sehr komplizierter Skulptur versehen (Gruben, Felder, Leisten, flügelartige Fortsätze usw.). Auch bei glatter Schalenoberfläche kann ein in der Schale liegendes und bei gewisser Behandlung auffälliges Kanalsystem eine Skulptur vortäuschen. Der Verschluß der Schale wird durch einen den Körper quer durchsetzenden Schließmuskel, der sich in oder vor der Mitte an meist deutlich markierten Flecken (Schließmuskelansätze Fig. 1) der Schale anheftet, bewirkt; ähnliche Flecke in der Nachbarschaft der genannten Stelle dienen dem Ansatz anderer Muskeln.

Der von der Schale eingeschlossene Körper wird durch eine mehr oder weniger deutliche Einschnürung in zwei Abschnitte, den Kopf und Rumpf, geschieden. Der Kopf trägt vier Paare von Gliedmaßen: 1. Antenne, 2. Antenne, Mandibel und Maxille. Die 1. Antenne besteht stets aus einer

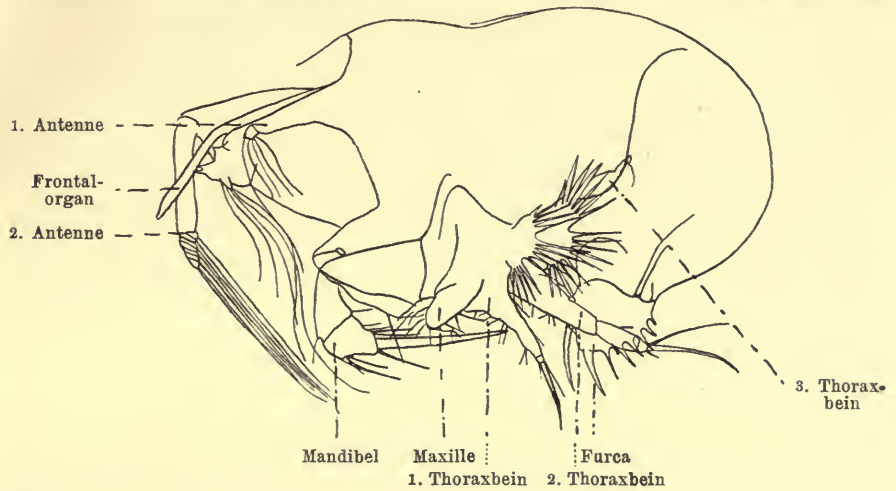

Fig. 2.
Conchoecia magna. Gliedmaßenfigur ($^{50}/_{1}$).

einfachen Reihe von höchstens 8 Gliedern; sie dient bald als Tastorgan, bald als Bewegungsorgan. Die 2. Antenne ist das Hauptbewegungsorgan; sie besteht aus dem meist eingliedrigen Stamme und 2 Ästen, von denen nur einer, bald der Exopodit, bald der Endopodit, wohl entwickelt, der andere schwach, häufig ganz rudimentär ist. Das 1. Stammglied der Mandibel

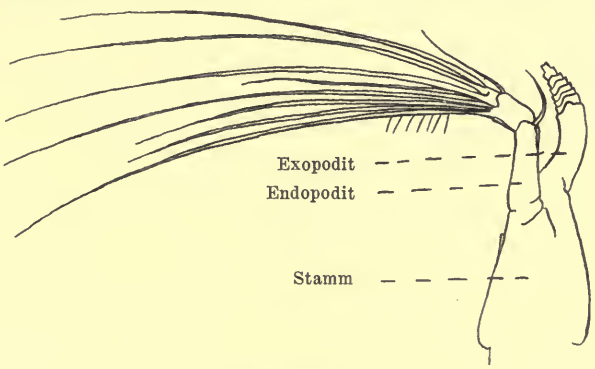

Fig. 3.
Polycopsis serrata.
2. Antenne (am Exopodit sind die Borsten fortgelassen) ($^{325}/_{1}$).

trägt den meist zum Zerkleinern der Nahrung geeigneten, gezähnelten, selten als Stechorgan (zahnlos, spitz) oder nur zum Einschieben der Nahrung dienenden, sogenannten Kaufortsatz (Fig. 4, p. 6). Das 2. Stammglied bildet mit dem Endopodit den 4- oder weniger-gliedrigen Taster, dessen 1. Glied meist (als Rest eines Exopodit) eine Borste, eine Atemplatte oder einen

anders gestalteten Anhang trägt. Die Maxille besteht aus dem kurzen, häufig undeutlich gegliederten Stamme mit meist 3 Kaufortsätzen und dem als Taster bezeichneten, 3- oder weniger-gliedrigen Endopodit; dieser nimmt häufig eine ähnliche Beschaffenheit und Lage an wie die Kaufortsätze des Stammes. Reste eines Exopodit sind nur ausnahmsweise nachweisbar.

Der Thorax ist ungegliedert und zeigt nur selten Reste einer Gliederung; er trägt höchstens 3 deutliche Gliedmaßenpaare, die wir unabhängig von ihrer Funktion als 1., 2., 3. Thoraxbein bezeichnen. Sie bestehen aus dem niemals deutlich gegliederten Stamme, der häufig in großem Umfange mit den Seiten des Thorax verbunden ist; als Endopodit betrachten wir einen meist nach hinten gerichteten, höchstens 4-gliedrigen Anhang; Reste eines Exopodit sind nur am 1. Thoraxbeine als ungegliederter, meist mit dem Stamme verschmolzener, nach vorn gerichteter Kaufortsatz nachweisbar. Form und Funktion der Thoraxbeine schwankt ganz außerordentlich. Als Rest eines 4. Thoraxbeines sind aufzufassen die sogenannten bürstenförmigen Organe, ungegliederte, am Ende behaarte Anhänge, die sich bei 3 Familien regelmäßig beim ♂ bald hinter, bald zwischen oder vor dem 1.—3. Thoraxbeine finden; den ♀ fehlen sie in diesen Familien. Hinter den Thoraxbeinen liegen die bei den ♂ meist sehr umfangreichen, meist paarigen Genitalanhänge.

An seiner dorsalen Fläche kann der Thorax bis zu 7 lamellöse, paarige Anhänge tragen, die Kiemen.

Ein gesondertes Abdomen existiert nicht, als Abschluß des Rumpfes erscheint die außerordentlich verschieden gestaltete, in der Ruhe ventralwärts eingeschlagene Furca (Fig. 6, p. 7); sie kann mehr oder weniger vollständig verloren gehen.

Paarige seitliche Augen finden sich wohlentwickelt nur bei den Myodocopa, aber auch hier nicht ausnahmslos; verbreiteter ist das unpaare Naupliusauge, das bei den Myodocopa als Frontalorgan einen außerordentlichen Umfang erreichen kann. Bei den Podocopa liegen seine oft weit auseinandergerückten Teile direkt unter der Schale.

Die Länge (L.) der Ostracoden schwankt zwischen 0·25 und 23 mm, doch erreichen eine Länge von 10 mm nur wenige Arten einer Familie, die große Mehrzahl der Arten mißt weniger als 1 mm.

Die Ostracoden sind zum größten Teile Bewohner des Meeres; marin sind alle Myodocopa und von den Podocopa die Familien Cytherellidae, Nesideidae, Cytheridae, letztere mit einigen Ausnahmen. Nur von der Familie der Cypridae gehört die Unterfamilie der Candoninae zum größeren Teile, die sehr artenreiche Unterfamilie der Cyprinae ausschließlich dem Süßwasser an, ebenso die nur durch 2 Arten vertretene Familie der Darwinulidae.

Die Bewohner des Meeres sind zum größten Teile an den Grund gebunden, in den sie sich häufig eingraben; sie finden sich hier in allen Tiefen. Nur die Halocypridae und ein Teil der Cypridinidae werden frei schwimmend gefangen, doch ist die Frage offen, ob sich nicht auch diese Formen fast sämtlich wenigstens vorübergehend am Meeresgrunde aufhalten. Die Bewohner des Süßwassers bevorzugen stehende Gewässer, kleinere oder größere Wasserbecken, häufig solche, die sich nur vorübergehend mit Wasser füllen, sie halten sich sämtlich am Grunde der Gewässer auf, von dem sie sich nur zum Teile vorübergehend freischwimmend erheben können.

Verbreitet ist unter den Ostracoden die parthenogenetische Fortpflanzung, besonders unter denen des süßen Wassers; bei zahlreichen Arten kennen wir die ♂ überhaupt nicht. Die Geschlechtsorgane der ♂ erreichen oft einen außerordentlichen Umfang, durchweg finden wir umfangreiche Begattungsorgane, welche meist eine direkte Einführung des Sperma in das fast stets vorhandene Receptaculum seminis bewirken. Die Eier werden meist direkt nach der Befruchtung abgelegt, bei ver-

hältnismäßig wenigen Arten bis zum Ausschlüpfen umhergetragen und zwar in dem Raume zwischen Rücken und Schale des Tieres, in dem die Jungen die Anfänge der Entwicklung durchlaufen können.

Die Entwicklung beginnt bei den Podocopa, soweit bekannt, mit einer Larve, die im Besitze der Naupliusgliedmaßen, bei den Myodocopa mit einer Larve, die, soweit bekannt, bereits zahlreichere Gliedmaßen trägt. Stets besitzt die Larve von Anfang an eine zweiklappige Schale, zeigt deutlich den Habitus der Ostracoden und läßt meist ihre Zugehörigkeit zu einer Familie oder Gattung von Anfang an oder wenigstens sehr früh erkennen; doch sind Fälle bekannt, in denen die Schalenform während der Entwicklung auffallende Veränderungen durchläuft, so daß die Gefahr, die Larven als besondere Arten zu beschreiben, hier nahe liegt. Nach höchstens 8 Häutungen sind die Tiere geschlechtsreif und häuten sich dann nicht mehr. Geschlechtsreife Tiere erkennt man an der Beschaffenheit der äußeren Geschlechtsorgane und der sekundären Geschlechtsmerkmale, beide finden sich aber ziemlich weit entwickelt bereits im vorletzten Stadium. Die Schalen besitzen nach der letzten Häutung häufig eine umfangreiche, verschmolzene Zone, die den Larven fehlt (ausnahmsweise findet sich bei Larven eine schmale, verschmolzene Zone).

Diagnostisch wichtig ist für die Erkenntnis der Familie und besonders der Gattung der Bau der Gliedmaßen; für die Unterscheidung der Arten hat bisher die Schale die Hauptrolle gespielt, so wenigstens bei den zum Teile artenreichen Familien der Cytheridae, Nesideidae, Cytherellidae; doch bleibt die Identifizierung auf dieser Basis häufig sehr unsicher. Bei der großen Mehrzahl der Arten kennen wir nur die Schale; ihre Zugehörigkeit zu einer Gattung ist nur aus dem Habitus der Schale erschlossen, da auch der feinere Bau der Schale, der vielfach einen zuverlässigeren Anhalt für die Zugehörigkeit gibt, unbekannt ist. Immerhin erscheint die Zugehörigkeit zu einer Gattung durch den Habitus häufig insoweit gesichert, daß es berechtigt ist, zahlreiche Formen in Gattungen aufzunehmen, obwohl noch niemand die Übereinstimmung im Bau der Gliedmaßen mit der Diagnose geprüft hat. Eine strikte Durchführung des Prinzips, nur Arten einer Gattung einzureihen, bei denen eine Übereinstimmung mit der Diagnose irgendwie wenigstens annähernd festgestellt ist, würde besonders in den Familien der Cytheriden, Nesideiden, Cytherelliden dazu geführt haben, fast alle Arten als solche incertae sedis aufzuführen, was kaum gerechtfertigt erscheint. Außerordentlich schwer ist nur die Grenze zu ziehen, wo der Habitus, denn um diesen allein handelt es sich, die Einordnung berechtigt erscheinen läßt, wo nicht, — eine größere oder geringere Unsicherheit bleibt stets. Vielfach lassen uns die Autoren darüber im Unklaren, ob die Einordnung auf Grund einer Untersuchung der Gliedmaßen, ob auf Grund der Schalenform erfolgt ist. Alle marinen Formen, die sich nicht auf Grund der Schalenform einer bestimmten Gattung oder Familie einordnen ließen, sind gemeiniglich zur Gattung Cythere gestellt worden.

Auch für die Unterscheidung der Arten vermissen wir besonders bei der großen Mehrzahl der Podocopa die Kenntnis der inneren Organe oder des feineren Baues der Schale und sind auf Habitusbilder angewiesen; diese genügen vielfach für Arten mit charakteristischer Schalenform, kompliziertem Relief etc., häufig genügen sie weder zur Identifizierung, noch überhaupt zum Auseinanderhalten der Arten. Unzweifelhaft sind häufig nicht nur Arten irrtümlich miteinander identifiziert, häufig werden vom ersten Autor verschiedene Arten unter einem Namen zusammengefaßt, die Artnamen sind vielfach Sammelnamen. Umgekehrt erscheinen zahlreiche Arten, besonders des Süßwassers Nordeuropas, weniger häufig der nordischen Meere, wiederholt unter verschiedenem Namen. Die zahlreichen von Jurine, Zaddach, C. L. Koch, Seb. Fischer etc. unkenntlich beschriebenen Arten gehören unzweifelhaft ausnahmslos oder fast ausnahmslos zu bekannten Arten, eventuell als deren Larven. Beim Mangel jedes sicheren Anhaltes, auf welche Arten zahlreiche der betreffenden Beschreibungen zu beziehen sind, blieb keine andere Möglichkeit, als die Arten als ungenügend charakterisierte aufzuführen, obwohl sie richtiger als Synonym bei einer oder bei einigen gut bekannten Arten stehen müßten. Die Kürze der Zitate gestattet nicht, die ganze hier herrschende Unsicherheit voll zum Ausdruck zu bringen, weshalb ich diese allgemeinen Bemerkungen vorausschicke.

Bei der herrschenden Unsicherheit ist auch natürlich besondere Vorsicht bei der Benutzung der Angaben über geographische Verbreitung geboten. Die Art der Wiedergabe auf den folgenden Seiten, das Fehlen eines ? bei zahlreichen Angaben kann den Anschein erwecken, als wären diese Angaben sicher. Das sind sie keineswegs. Ein ? habe ich hinzugefügt, wo aus der Art der Angabe hervorgeht, daß die Identität der gefundenen Art zweifelhaft, vor allem also da, wo eine Darstellung der gefundenen Art vorliegt. Wo nur eine Fundortsangabe vorliegt, fehlt jeder Anhalt für eine Kritik; ich habe geglaubt, derartige Angaben unbeanstandet aufnehmen zu sollen, obwohl sie natürlich im allgemeinen gerade so unsicher sind wie die anderen.

Außerordentlich schwierig ist der Vergleich mit den sehr zahlreichen fossilen Formen. Dieselben wurden in folgendem Umfange zum Vergleiche herangezogen: Wo ein Autor eine rezente Art mit einer bekannten fossilen identifiziert, sie nach derselben benennt, habe ich die Identifizierung geprüft, die maßgebende Beschreibung der fossilen Art zitiert. Ein weitergehender Vergleich zwischen fossilen und rezenten Arten, im besonderen das Aufsuchen und Beseitigen von Synonymen, lag nicht im Plane dieser Arbeit. Bei der Beseitigung von Homonymen wurde nach Artikel 36 der internationalen Regeln der zoologischen Nomenklatur, angenommen von dem internationalen Zoologen-Kongresse 1905, verfahren, das heißt, es wurden alle Homonyme beseitigt, gleichgültig, ob der ältere Name noch zu Recht besteht oder nicht. Ein Verfahren, welches dem § 14 Absatz b der von der Deutschen Zoologischen Gesellschaft aufgestellten Regeln zu Grunde liegt, hätte eine Kritik der fossilen Arten vorausgesetzt; eine Untersuchung, die einesteils außer dem Rahmen dieser Arbeit gelegen hätte, andererseits überhaupt undurchführbar gewesen wäre. Konsequenterweise ist dann auch das gleiche Verfahren für die Homonyme der rezenten Arten angewandt worden.

Übersicht der beiden Subordines:

Exopodit der 2. Antenne mit wenigstens 7 Gliedern, von denen die 6 letzten einander ähnlich, nicht länger als breit sind und, abgesehen vom Endgliede, nur je 1 Borste tragen; Endopodit gewöhnlich viel schwächer (Fig. 3, p. 3)	I. Subordo **Myodocopa**
Exopodit (Nebenast) der 2. Antenne mit höchstens 2, Endopodit (Hauptast) mit höchstens 4, die ganze Antenne mit höchstens 5 in einer Reihe liegenden Gliedern (der Fortsatz, auf dem die Antenne entspringt, nicht als Glied gezählt) (siehe Fig. 32 bei Podocopa)	II. Subordo **Podocopa**

I. Subordo **Myodocopa**

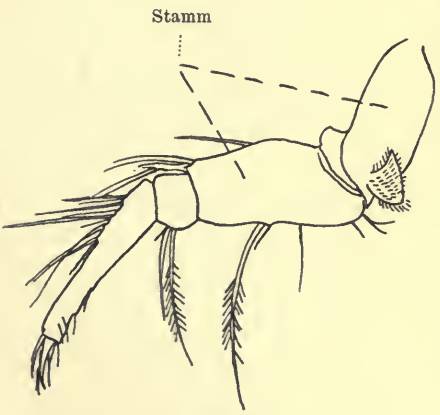

Fig. 4.
Cypridina mediterranea.
Mandibel von der medialen Seite gesehen (⁵⁰/₁).

1852 Fam. *Halocypridae*, J. D. Dana in: U. S. expl. Exp., *v.* 13II p. 1281 | 1866 Sect. *Myodocopa* + *Cladocopa*, G. O. Sars in: Forh. Selsk. Christian., p. 99, 121 | 1894 Trib. *M.*, G. W. Müller in: F. Fl. Neapel, *v.* 21 p. 202.

Schale meist mit Incisur am Vorderrande (Fig. 17 Conchoecia); Ventralrand meist gewölbt. Stamm der 2. Antenne (Fig. 3, p. 3) umfangreich, schinkenförmig, ungegliedert; Exopodit gestreckt, meist 9-gliedrig; das 1., selten 1.—3. Glied des Exopodit gestreckt, die folgenden Glieder (mindestens 6) sehr kurz, einander ähnlich, jedes mit 1 umfangreichen, meist gefiederten Borste, das Endglied mit mehreren Borsten;

Endopodit mit 3 oder weniger Gliedern, meist viel schwächer als der Exopodit, beim ♂ gewöhnlich als Greiforgan entwickelt, bisweilen in beiden Geschlechtern rudimentär. Maxille mit meist deutlich 3-gliedrigem Taster, ohne Atemplatte. Das 1. Thoraxbein (Fig. 7, p. 9) (2. Maxille oder Maxillarfuß der meisten Autoren) steht fast durchweg im Dienste der Nahrungsaufnahme, auch die Glieder seines Endopodit können zu Kaufortsätzen werden; sein Stamm, in großem Umfange mit den Seiten des Körpers verschmolzen, trägt eine umfangreiche Atemplatte. Das 2. und 3. Thoraxbein zeigt außerordentlich verschiedene Formen; beide können fehlen. Ein bürstenförmiges Organ fehlt fast stets. Furca (Fig. 6) stets wohl entwickelt, breit, lamellös, mit wenigstens 3 starken, dornartigen Anhängen (die Anhänge der Furca zählen wir stets von der Spitze aus proximalwärts fortschreitend).

Fig. 5.

Conchoecia magna. Mandibel von der lateralen Seite gesehen ($^{75}/_{1}$).

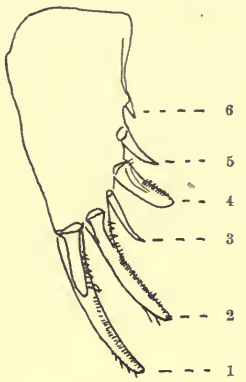

Fig. 6.

Furca von **Pseudophilomedes foveolata** ($^{160}/_{1}$).

Durchweg marin.

3 Familien, 18 Gattungen, 214 sichere und 59 zweifelhafte Arten.

Übersicht der Familien:

1	7 Paar Gliedmaßen vorhanden; Endopodit der 2. Antenne viel schwächer als Exopodit — **2.**	
	Nur 5 Paar Gliedmaßen vorhanden (2. und 3. Thoraxbein fehlen); beide Äste der 2. Antenne annähernd gleich umfangreich (Fig. 3, p. 3)	3. Fam. **Polycopidae**
2	Basalglied und 1. Tasterglied der Mandibel mit deutlichem Kaufortsatze (Fig. 5, p. 7)	2. Fam. **Halocypridae**
	Diese beiden Glieder der Mandibel ohne Kaufortsatz, das Basalglied meist mit rückwärts gerichtetem Fortsatze (Fig. 4, p. 6)	1. Fam. **Cypridinidae**

1. Fam. **Cypridinidae**

1838 Gen. *„Cypridines“*, H. Milne-Edwards in: Lamarck, Hist. An. s. Vert., ed. 2 *v.* 5 p. 178 | 1840 Gen. *Cypridina*, H. Milne-Edwards, Hist. nat. Crust., *v.* 3 p. 409 | 1850 Fam. *Cypridinadae*, W. Baird, Brit. Entom., p. 176 | 1852 Subfam. *Cypridininae*, J. D. Dana in: U. S. expl. Exp., *v.* 13 II p. 1281 | 1894 Fam. *Cypridinidae*, G. W. Müller in: F. Fl. Neapel, *v.* 21 p. 203 | 1896 Fam. *C.* + Fam. *Asteropidae* + Fam. *Rutidermatidae* + Fam. *Sarsiellidae*, G. S. Brady & A. M. Norman in: Tr. R. Dublin Soc., ser. 2 *v.* 5 p. 638, 628, 673, 675.

Schale meist derb, mit starker Kalkablagerung, meist mit deutlicher Incisur, die sich etwa in halber Höhe der Schale, selten höher befindet. 1. Antenne kräftig, tief an der Stirn eingelenkt, 5—8 gliedrig; das 1. Glied dorsal gerichtet, bildet mit den folgenden ein starkes Knie; das 5. Glied (infolge von Verschmelzung das 3. oder 4.) trägt stets beim ♂, häufig auch

beim ♀, eine verzweigte Sinnesborste. Endopodit der 2. Antenne von überaus wechselnder Gestalt, meist beim ♂ als Greiforgan entwickelt, dann deutlich 3-gliedrig; bisweilen in beiden Geschlechtern rudimentär. Mandibel (Fig. 4, p. 6) ohne eigentlichen Kaufortsatz, an seiner Stelle meistens ein dorsal gerichteter Fortsatz, welcher die Nahrung in den Oesophagus befördert. Taster meist 4-gliedrig, kräftig; der Exopodit erhält sich als kleiner Fortsatz mit 2 Borsten an der Spitze des 1. Tastergliedes. Maxille und 1. Thoraxbein von überaus wechselnder Gestalt; 1. Thoraxbein stets mit umfangreicher Atemplatte. Das 2. Thoraxbein bildet eine senkrechte, wenig bewegliche oder ganz unbewegliche Platte von wechselnder Gestalt am ventralen Rande des Thorax. Das 3. Thoraxbein entspringt hoch oben an den Seiten des Thorax, ist wurmartig geringelt, besteht aus sehr zahlreichen, kurzen Gliedern und trägt am Ende Borsten von eigentümlicher Form; bei den ♂ von Sarsiella ist es rudimentär. Furca stets kräftig, mit sehr starken Dornen von wechselnder Zahl (Zählung siehe oben p. 7). Herz stets vorhanden. Die männlichen Geschlechtsorgane münden mit einfachem Porus, zu dessen beiden Seiten sich die kleinen Penes erheben; diese nehmen keine Teile der Leitungswege auf. Seitliche Augen meist wohl entwickelt, bisweilen rudimentär. Das Frontalorgan liegt ziemlich tief an der Stirn und besteht aus dem dreiteiligen Medianauge und einem bisweilen sehr umfangreichen Fortsatz des unteren Abschnittes. Die Eier werden stets bis zum Ausschlüpfen im Brutraume getragen.

4 Subfamilien mit 11 Gattungen, 105 sicheren, 50 unsicheren Arten.

Übersicht der Subfamilien:

1	Zu beiden Seiten des Rückens finden sich 7 blattförmige Kiemen; die Kiemen der einen Seite sind vollständig von denen der anderen Seite getrennt	d. Subfam. **Asteropinae**
	Kiemen am Rücken fehlen oder bilden in der Mitte nicht unterbrochene Hautfalten — **2.**	
2	Das 3. und 4. Glied des Mandibulartasters bildet keine Zange und trägt nur sehr wenige (höchstens 4), sehr kräftige, bisweilen mit dem Gliede verschmolzene Borsten oder Klauen	c. Subfam. **Sarsiellinae**
	Die genannten Glieder tragen zahlreiche Borsten oder Klauen (stets mehr als 6) oder bilden eine Zange — **3.**	
3	1. Thoraxbein mit 2 Reihen zahnartiger Gebilde (Fig. 7, p. 9)	a. Subfam. **Cypridininae**
	1. Thoraxbein mit 2 umfangreichen Zähnen von komplizierter Gestalt oder ohne Zähne (Fig. 9 p. 25)	b. Subfam. **Philomedinae**

A. Subfam. **Cypridininae**

1896 Fam. *Cypridinidae* (part.), G. S. Brady & A. M. Norman in: Tr. R. Dublin Soc., ser. 2 *v.* 5 p. 638.

Schale stets mit deutlichem Rostrum. 1. Antenne 8- (oder durch Verschmelzung des 7. und 8. Gliedes) 7-gliedrig; Sinnesborste des 5. Gliedes in beiden Geschlechtern vorhanden, beim ♂ nicht reicher verzweigt als beim ♀; beim ♂ die Borsten des letzten Gliedes zum Teil mit saugnapfartigen

Gebilden versehen, bisweilen 2 Borsten verlängert, deutlich länger als beim ♀. Endopodit der 2. Antenne meist in beiden Geschlechtern klein, häufig ungegliedert, bisweilen beim ♂ als Greiforgan entwickelt. Basalglied der Mandibel (Fig. 4, p. 6) mit einfachem, ungeteiltem oder zweispitzigem, selten tief zweiteiligem Fortsatze. Maxille in beiden Geschlechtern kräftig, mit 3 Kaufortsätzen und starkem, die Kaufortsätze weit überragendem,

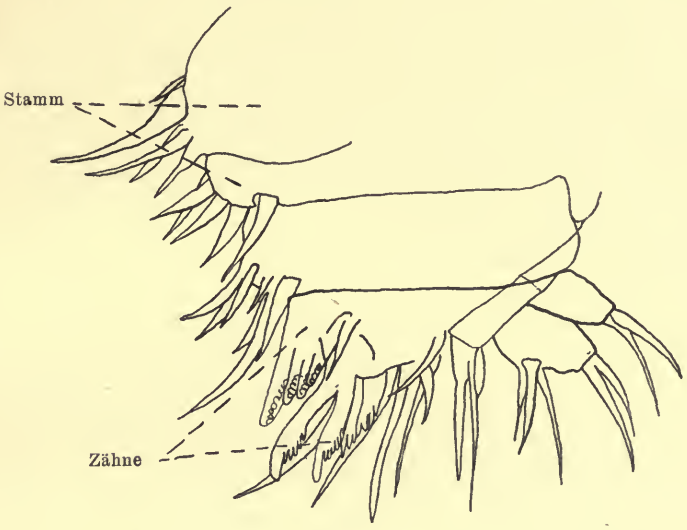

Fig. 7.

Cypridina mediterranea. Kaufortsatz der 1. thoracalen Gliedmaße ($^{100}/_{1}$).

3-gliedrigem Taster. 1. Thoraxbein (Fig. 7, p. 9) mit umfangreichem Kauteil, dessen Spitze (2. Glied des Endopodit) 2 Gruppen von mindestens je 3 ähnlichen zahnartigen Fortsätzen trägt. Oberlippe umfangreich, mit wohl entwickelter Oberlippendrüse. Frontalorgan mit kurzem Fortsatze oder ohne einen solchen.

5 Gattungen mit 40 sicheren und 16 unsicheren Arten.

Übersicht der 5 Gattungen:

1	Die Verbindung der beiden Schalenhälften erstreckt sich über weniger als $^1/_2$ der Peripherie — **2.**	
	Die Verbindung der Schalenhälften erstreckt sich über mehr als $^1/_2$ der Peripherie; Schale dünnhäutig .	5. Gen. **Gigantocypris**
2	Oberlippe mit 6 Fortsätzen, die mindestens so hoch wie an der Basis breit sind (Fig. 8, p. 16) . . .	2. Gen. **Pyrocypris**
	Oberlippe mit 2 oder 3 fingerartigen Fortsätzen und flachen Erhebungen oder nur mit flachen Erhebungen — **3.**	
3	Furca mit höchstens 12 Dornen — **4.**	
	Furca mit mehr als 18 Dornen	3. Gen. **Crossophorus**
4	Furca mit 4 Dornen, denen noch eine unpaare Spitze folgen kann	4. Gen. **Codonocera**
	Furca mit wenigstens 5 Dornen (der 5. bisweilen sehr klein)	1. Gen. **Cypridina**

1. Gen. **Cypridina** Milne-Edwards

?1840 *Cypridina*, H. Milne-Edwards, Hist. nat. Crust., *v.* 3 p. 409 | 1850 *C.* (s. l.), W. Baird, Brit. Entom., p. 176 | 1873 *C.* + *Monopia*, Claus in: Z. wiss. Zool., *v.* 23 p. 225 | 1891 *C.* + *Eumonopia*, Claus in: Arb. Inst. Wien, *v.* 9 p. 234 (Anm.) | 1894 *C.*, G. W. Müller in: F. Fl. Neapel, *v.* 21 p. 204 | 1902 *C.* + *Cypridinodes*, G. S. Brady in: Tr. zool. Soc. London, *v.* 16 p. 187.

Schale stets verkalkt, Schalenhälften mit weniger als $^1/_2$ der Peripherie verbunden. 1. Antenne des ♂ mit 2 Borsten, die an der Basis je eine größere, an 2 Nebenästen einige (mindestens 2) in Reihen angeordnete Saugscheiben tragen. Endopodit der 2. Antenne des ♂ dem des ♀ ähnlich, nicht als Greiforgan dienend. Furca mit höchstens 12 Dornen. Seitliche Augen in beiden Geschlechtern meist wohl entwickelt. Frontalorgan mit kurzem, zitzenförmigem Fortsatze. Oberlippe mit flachen Erhebungen, unter denen sich 1 am Vorderrande, 2 am Hinterrande fingerartig erheben können.

15 sichere, 12 unsichere Arten.

Übersicht der sicheren Arten:

1	Jeder Furcalast mit höchstens 6 Dornen — **2.**	
	Jeder Furcalast mit mehr als 6 Dornen — **5.**	
2	Schale mit Warzen in der Nachbarschaft der Schließmuskelansätze	12. **C. favus**
	Schale ohne solche Warzen — **3.**	
3	Linke Schale mit deutlichem, ventral scharf abgegrenztem, warzenartigem Fortsatze am Schalenrande, ventral von der Incisur — **4.**	
	Linke Schale ohne solche Warze	9. **C. monopia**
4	Schale mit kleinen, runden Gruben, die sich auf den Schalenrand beschränken und die Mitte der Schale frei lassen	10. **C. asymmetrica**
	Schale mit größeren, runden Gruben, die sich gleichmäßig über die ganze Schale ausbreiten	11. **C. bairdii**
5	7 Furcaldornen	5. **C. squamosa**
	9 oder mehr Furcaldornen — **6.**	
6	Der 3. Furcaldorn kleiner als die Hälfte des 2., kürzer und schwächer als der 4.	4. **C. vanhöffeni**
	Der 3. Furcaldorn länger als die Hälfte des 2. — **7.**	
7	Rostrum fast ganz unterdrückt, die Rostralincisur nur angedeutet	13. **C. hirsuta**
	Rostrum und Incisur deutlich — **8.**	
8	Geschlechtsreifes Tier größer als 4 mm	15. **C. castanea**
	Geschlechtsreifes Tier kleiner als 4 mm — **9.**	
9	An der vorderen, ventralen Ecke der Oberlippe, vor der Mündung der übrigen Oberlippendrüsen steht ein umfangreicher 2-teiliger Zapfen	14. **C. hesperida**
	Oberlippe ohne Fortsätze oder mit Fortsätzen hinter den anderen Drüsenmündungen — **10.**	
10	Oberlippe mit 2 hauerartigen Fortsätzen hinter den anderen Drüsenmündungen — **11.**	
	Oberlippe ohne hauerartige Fortsätze — **13.**	
11	Der 2. Furcaldorn durch eine deutliche Naht abgegrenzt	8. **C. arborea**
	Der 2. Furcaldorn vollständig mit dem Stamm verschmolzen, keine Naht — **12.**	

12	Der 4. Furcaldorn mit dem Stamme verschmolzen .	7. **C. antarctica**
	Der 4. Furcaldorn vom Stamme durch eine Naht getrennt	6. **C. hilgendorfii**
13	Hinterrand der Schale mit deutlicher Ecke	3. **C. sarsi**
	Hinterrand der Schale abgerundet — **14.**	
14	Drittes Thoraxbein mit etwa 30 Borsten	2. **C. dorsoserrata**
	Drittes Thoraxbein mit höchstens 25 Borsten . . .	1. **C. mediterranea**

1. **C. mediterranea** O. Costa 1845 *C. m.*, O. G. Costa, Illustrazioni al genere Cypridina e descrizione di una novella specie in: Dono dell'Accad. Pontaniana agli Scienziati del settimo congresso. Napoli. 1845 p. 57—63 | 1847 *C. edwardsii (m.)*, O. G. Costa in: Costa, Fauna Reg. Napoli, fasc. Apr. 1847 p. 2, 7 t. 4 f. 1—14 | 1865 *C. messinensis*, Claus in: Z. wiss. Zool., *v.* 15 p. 153 t. 10 f. **1**, 2—7 | 1871 *Bradycinetus brenda*, G. S. Brady in: P. zool. Soc. London, p. 292 t. 26 f. 6 | 1885 *Cypridina messanensis*, Seguenza in: Natural. Sicil., *v.* 5 p. 57 | 1894 *C. mediterranea*, G. W. Müller in: F. Fl. Neapel, *v.* 21 p. 206 t. 2 f. **1**, **2**, 4, 5 | 1896 *C. m.* (part.: *forma typica*), G. S. Brady & A. M. Norman in: Tr. R. Dublin Soc., ser. 2 *v.* 5 p. 650 t. 54 f. **1**, **2**; t. 55 f. 1—11.

Schale gestreckt, Höhe etwa $^3/_5$ der Länge, bildet meist ein fast regelmäßiges Oval, nur unterbrochen durch die schmale, mäßig tiefe Incisur. Am hinteren Ende kann jede Andeutung eines Fortsatzes fehlen, oder es kann sich an Stelle der hinteren ventralen Ecke ein kurzer, gerundeter Fortsatz erheben, der sich nur dorsal durch eine mehr weniger deutliche Einbuchtung abgrenzt; der Fortsatz ist beim ♂ und an der rechten Schale deutlicher als beim ♀ und links. Schale vom Rücken gesehen ein schlankes Oval, etwa $^1/_2$ so breit wie lang, vorn und hinten ähnlich. Keine Skulptur. Endopodit der 2. Antenne in beiden Geschlechtern kurz, sehr undeutlich gegliedert, Putzfuß mit 23 oder 24 Borsten. Furca mit 10 oder 11 Dornen, die ziemlich gleichmäßig an Größe abnehmen, der 4. bleibt etwas zurück, ist aber größer als der 5. Sämtliche Drüsen der Oberlippe münden auf einem durch flache Furchen geteilten Felde. Rücken in beiden Geschlechtern ohne Falten. — L. ♀ bis 3·9 mm, ♂ bis 2·7 mm. — Fig. 4, p. 6, Fig. 7, p. 9.

Mittelmeer, Grundbewohner.

2. **C. dorsoserrata** G. W. Müll. 1908 *C. d.*, G. W. Müller in: D. Südp.-Exp., *v.* 10 p. 83 t. 4 f. **1**, **2**, **3**, 5—10.

C. mediterranea ähnlich, von dieser durch folgende Merkmale unterschieden: Putzfuß mit etwa 30 Borsten. Rücken beim ♂ mit deutlichen Falten. — L. ♂ und ♀ 2 mm.

Kap der guten Hoffnung, Grundbewohner.

3. **C. sarsi** (nom. nov.) G. W. Müll. 1887 *C. angulata* (non Reuss 1849), G. O. Sars in: Arch. Naturv. Kristian., *v.* 12 p. 215 t. 3 f. **1**, **2**; t. 8 f. **6**, 7.

Schale etwas kürzer als bei C. mediterranea, Höhe etwa $^2/_3$ der Länge. Hinterrand mit deutlicher, stumpfwinkliger Spitze, welche deutlich unter halber Höhe liegt. Innere Organe denen von C. mediterranea sehr ähnlich. ♂ unbekannt. — L. 2·62 mm.

Messina.

4. **C. vanhöffeni** G. W. Müll. 1908 *C. v.*, G. W. Müller in: D. Südp.-Exp., *v.* 10 p. 82 t. 5 f. **1**, 2—8, 13.

Schale der von C. sarsi ähnlich, die hintere Schalenecke vorhanden, aber abgerundet, Rostrum ohne ventral gerichtete Spitze, der ventrale Rand verläuft etwa horizontal. An der Furca ist der 2. Dorn größer als der 1.,

der 3. nur etwa $^1/_2$ so groß wie der 2. und deutlich kürzer und schwächer als der 4., der 5. wieder auffällig kleiner als der 4. Oberlippe ähnlich wie bei C. mediterranea, doch mit Andeutung einer weiteren Sonderung in Drüsengruppen. — L. ♀ 3·7 mm, ♂ 3·25 mm.

Kap der guten Hoffnung.

5. **C. squamosa** G. W. Müll. 1894 *C. s.*, G. W. Müller in: F. Fl. Neapel, *v.* 21 p. 207 t. 2 f. 3, 6, 7, 21, 28—32, 34—36 | 1896 *C. mediterranea* (s. l.? form b), G. S. Brady & A. M. Norman in: Tr. R. Dublin Soc., ser. 2 *v.* 5 p. 650 t. 54 f. **3, 4.**

Schale ziemlich kurz, Höhe etwa $^2/_3$ der Länge, hinten höher als vorn; Dorsalrand stark, Ventralrand flach gewölbt. Hinterende sehr breit gerundet, schräg abfallend; untere Hälfte des Hinterrandes mit einem lippenartigen Ansatze, der sich dorsal deutlich abgrenzt und sich auf den Ventralrand erstreckt. Oberfläche mit flachen, nur nach hinten scharf begrenzten Gruben bedeckt, die der Schale ein schuppenartiges Aussehen verleihen; dazwischen zahlreiche Porenkanäle, welche ihr ein streifiges Aussehen geben. Furca mit 7 Dornen, von denen der 4. etwa eben so lang wie der 5., aber viel schlanker als dieser ist. — L. ♀ 3·3 mm, ♂ 2·6 mm.

Golf von Neapel.

6. **C. hilgendorfii** G. W. Müll. 1890 *C. h.*, G. W. Müller in: Zool. Jahrb. Syst., *v.* 5 p. 228 t. 25 f. **9**; t. 26 f. 1—3; t. 27 f. 30.

Schale ziemlich kurz, Höhe etwa $^2/_3$ der Länge; beim ♂ hinten und vorn gleich hoch, beim ♀ hinten etwas höher; dorsaler und ventraler Rand flach gewölbt, Hinter- und Vorderende sehr breit gerundet; am Hinterrande hoch oben eine flache Bucht; Incisur breit. Glatt, mit vereinzelten, konischen Erhebungen. Endopodit der 2. Antenne in beiden Geschlechtern mit 3 gestreckten, etwa gleichlangen Gliedern, terminale Borste so lang wie der Stamm. Furca mit 12 Dornen, die ziemlich gleichmäßig an Größe abnehmen. Oberlippe mit 3 flachen Höckern an der ventralen Fläche, hinter denen 2 lange, schlanke stehen. ♂ mit 7 Hautfalten am Rücken. — L. ♀ 3·5 mm, ♂ 3 mm.

Küste von Japan; Malayischer Archipel.

7. **C. antarctica** G. W. Müll. 1908 *C. a.*, G. W. Müller in: D. Südp.-Exp., *v.* 10 p. 84 t. 4 f. 4, **11**, 12, 13; t. 5 f. 9—12.

Schale des ♀: Höhe etwa $^7/_{10}$ der Länge. Dorsalrand ziemlich stark, Ventralrand flach gewölbt, beide Enden mäßig breit gerundet, das hintere mit sehr breitem, flachem, gerundetem Fortsatze, der nur durch eine flache Bucht, aber immerhin deutlich dorsal abgegrenzt ist. ♂ etwas gestreckter. Endopodit der 2. Antenne ähnlich wie bei C. hilgendorfii, das 2. Glied das längste, die terminale Borste viel länger als der Stamm. Furca mit 9 Dornen, von denen der 2. und 4. mit dem Stamme verschmolzen. Oberlippe mit einfachem Drüsenfelde, hinter dem 2 lange Fortsätze stehen. Rückenfalten ähnlich wie bei C. hilgendorfii. — L. ♀ 3·7—3·9 mm, ♂ 3·4 mm.

Antarktis.

8. **C. arborea** G. W. Müll. 1908 *C. a.*, G. W. Müller in: D. Südp.-Exp., *v.* 10 p. 86 t. 6 f. **1**, 2—8.

Linke Schale des ♀: Höhe etwa $^3/_5$ der Länge, hinten schmaler als vorn, Dorsal- und Ventralrand ungefähr gleich stark gewölbt. Hinterer Fortsatz deutlich, dorsal durch eine deutliche, stumpfwinklige Bucht abgegrenzt; rechts tritt an Stelle des Winkels eine gerundete Bucht. Mit zer-

streuten, dunklen, fadenartigen Flecken. Endopodit der 2. Antenne des ♀ ein kurzer, ungegliederter Höcker mit 4 Borsten. Furca mit 9 Dornen, die sämtlich durch eine Naht vom Stamme getrennt sind. Oberlippe ähnlich wie bei C. antarctica, das Drüsenfeld schräg nach vorn gerichtet. — L. ♀ 2·4 mm.

Kap der guten Hoffnung.

9. **C. monopia** Claus 1873 *C. m.*, *Monopia flaveola*, Claus in: Z. wiss. Zool., *v.* 23 p. 222, t. 11 f. **21**, 22—31; p. 227 | 1891 *Eumonopia f.*, Claus in: Arb. Inst. Wien, *v.* 9 p. 234 (Anm.) | 1902 *Cypridina foveolata*, G. S. Brady in: Tr. zool. Soc. London, *v.* 16 p. 184 t. 22 f. 15—19 | 1906 *C. flaveola*, G. W. Müller in: Siboga Exp., nr. 30 p. 16.

Schale des ♀: Höhe etwa $^2/_3$ der Länge, Dorsal- und Ventralrand gleich stark gewölbt. Hinterer Fortsatz ähnlich wie bei der rechten Schale von C. arborea; Oberfläche dicht mit kleinen Gruben bedeckt. Endopodit ähnlich wie bei C. antarctica. Furca mit 5 Dornen. Oberlippe ähnlich wie bei C. arborea. Seitliche Augen fehlen, Frontalorgan umfangreich. — L. ♀ 3·5 mm, ♂ unbekannt.

Pazifischer Ozean; Ceylon.

10. **C. asymmetrica** G. W. Müll. 1906 *C. a.*, G. W. Müller in: Siboga Exp., nr. 30 p. 14 t. 6 f. **1**, **2**, 3—12.

Schale des ♂: Höhe annähernd $^2/_3$ der Länge, Dorsalrand stark gewölbt, in der Mitte abgeflacht, Ventralrand ebenfalls stark, etwas unregelmäßig gewölbt; Hinterende zugespitzt, die Spitze deutlich durch eine stumpfwinklige Bucht gegen den Dorsalrand abgegrenzt. Rostrum mit flacher Warze am Vorderrande, ventral von der Incisur am Rande eine umfangreiche Warze, die rechts umfangreicher und ventral schärfer abgegrenzt ist als links. Oberfläche mit größeren und kleineren runden Gruben bedeckt, die größeren werden in der Mitte der Schale undeutlich oder verschwinden ganz, ihr Abstand wenigstens doppelt so groß wie der Durchmesser der Grube. Furca mit 5 Dornen, deren letzter sehr klein. Oberlippe ähnlich wie bei C. antarctica, das vordere Drüsenfeld aus 6 flachen Warzen zusammengesetzt, die Fortsätze am Hinterrande sehr umfangreich, in Zipfel geteilt. Paariges Auge vorhanden. — L. ♀ 2·3 mm, ♂ 2·1 mm.

Malayischer Archipel.

11. **C. bairdii** G. Brady 1865 *C. b.*, G. S. Brady in: Tr. zool. Soc. London, *v.* 5 p. 387 t. 62 f. 7 | 1897 *C. b.*, G. S. Brady in: Tr. zool. Soc. London, *v.* 14 p. 88 t. 16 f. 22, 23.

Schale der von C. asymmetrica ähnlich, hinterer Fortsatz dorsal nicht abgegrenzt, Warze ventral von der Incisur rechts ähnlich wie bei C. asymmetrica, links fehlend, Warze auf dem Rostrum nur rechts vorhanden (?). Gruben umfangreicher, ihr Abstand kaum größer als ihr Durchmesser, auf der ganzen Schale deutlich. Furca mit 6 Dornen. — L. ♀ (?) 2·5 mm, ♂?

Japan (Pescadores).

12. **C. favus** (G. Brady) 1902 *Cypridinodes f.*, G. S. Brady in: Tr. zool. Soc. London, *v.* 16 p. 187 t. 22 f. 20—31.

Schalenumrisse ähnlich wie bei C. monopia, Vorderrand unsymmetrisch (ähnlich wie bei C. asymmetrica?). Oberfläche mit unregelmäßigen, eckigen Gruben und zwei hintereinander liegenden, warzenartigen Erhebungen etwa in der Mitte der Schale. 6 Furcaldornen.

Herkunft?

13. **C. hirsuta** G. W. Müll. 1906 *C. h.*, G. W. Müller in: Ergeb. Tiefsee-Exp., *v.* 8 p. 131 t. 33 f. 1, 2—10.

Linke Schale des ♂: Höhe wenig größer als $^1/_2$ der Länge; hinten stärker verschmälert. Rostrum mit fast ganz unterdrückter ventraler Ecke, Incisur flach. Hinterer Fortsatz breit, quer abgestutzt, dorsal durch eine stumpfwinklige Bucht abgegrenzt. Schale des ♀ etwas höher. Terminales Glied der 1. Antenne des ♂ mit 2 sehr reich behaarten Borsten. Furca mit 10 Dornen, deren 1., 2., 5. die anderen etwas, doch nicht auffällig überragen, der 2. mit dem Stamm verschmolzen. Oberlippe mit einem fingerartigen Fortsatze vor, mit zwei hinter dem Drüsenfelde. — L. ♂ 2·8—3 mm, ♀ (geschlechtsreif?) 2·4—2·6 mm.

5° n. Br. 94° ö. L. pelagisch.

14. **C. hesperida** G. W. Müll. 1906 *C. h.*, G. W. Müller in: Siboga Exp., nr. 30 p. 15 t. 3 f. 21, 22—28.

Schale des ♀ gestreckt, Höhe etwas größer als die Hälfte der Länge, Dorsal- und Ventralrand stark gewölbt, der letztere in der hinteren Hälfte schwächer. Ventrale Spitze des Rostrum abgerundet. Hinterer Fortsatz wohl entwickelt, spitz, am ganzen Tiere dorsal durch eine deutliche, stumpfwinklige Bucht abgegrenzt (die isolierten Schalen hier auffällig unsymmetrisch). Furca mit 9 schlanken Dornen, die gleichmäßig an Größe abnehmen. Oberlippe mit umfangreichem, ventral gerichtetem Fortsatze vor dem Drüsenfelde, der in 2 kurze, hintereinander liegende Spitzen endigt; das Drüsenfeld mit kurzen, undeutlichen Warzen. — L. ♀ 2·0 mm, ♂ unbekannt.

Malayischer Archipel (Amboina).

15. **C. castanea** G. Brady 1897 *C. c.*, G. S. Brady in: Tr. zool. Soc. London, *v.* 14 p. 88 t. 16 f. 1—4 | 1906 *C. c.*, G. W. Müller in: Ergeb. Tiefsee-Exp., *v.* 8 p. 130 t. 5 f. 1, 2; t. 33 f. 11—16; t. 34 f. 10—13 | ?1906 *C. obesa*, Vávra in: Ergeb. Plankton-Exp., *v.* 2 G. g. p. 67 t. 7 f. 132b—142 (juv.).

Schale mäßig gestreckt, Höhe $^2/_3$—$^3/_4$ der Länge, Dorsal- und Ventralrand gleich stark gewölbt, beide Enden zugespitzt, das vordere deutlicher als das hintere; die vordere Spitze wird durch die vordere Ecke des Rostrum gebildet; hinterer Fortsatz nicht abgegrenzt. Lebhaft braunrot gefärbt bis auf einen umfangreichen, durchsichtigen Fleck über dem Auge (Chitin und Gewebe gefärbt). Jüngere Larven viel höher, Höhe annähernd gleich der Länge. Furca mit 9 Dornen, von denen der 2. wenig länger als der 1. ist. Oberlippe gerundet, das Drüsenfeld, das nicht weiter durch Furchen geteilt ist, liegt an der vorderen Fläche der Oberlippe, reicht sehr weit dorsalwärts, an seiner Grenze gegen die drüsenfreie Ventralfläche finden sich jederseits 2 kleine Fortsätze. — L. ♂ 4·2—6·6 mm, ♀ etwa 6 mm.

Bewohner größerer Tiefen?

Atlantischer, Indischer, Pazifischer Ozean, pelagisch.

C. capensis Cleve 1905 *C. c.*, Cleve in: Mar. Invest. S. Afr., *v.* 4 p. 133 t. 7 f. 1, 6, 7; t. 8 f. 9, 12, 13; t. 9 f. 21.

Küste von Südafrika.

C. caudata Cleve 1905 *C. c.*, Cleve in: Mar. Invest. S. Afr., *v.* 4 p. 134 t. 7 f. 2; t. 9 f. 14, 19.

Küste von Südafrika, pelagisch.

C. danae G. Brady 1880 *C. d.*, G. S. Brady in: Rep. Voy. Challenger, Zool., *v.* 1 Part 3 p. 156 t. 36 f. 2 | 1897 *C. d.*, G. S. Brady in: Tr. zool. Soc. London, *v.* 14 p. 89 t. 16 f. 24.

Hinterende zugespitzt. — L. 6 mm.

Kerguelen; Neuseeland.

C. glacialis G. Brady 1907 *C. g.*, G. S. Brady in: Nat. antarct. Exp., *v.* 3 nr. 3 p. 3.

Antarktis.

C. gracilis G. Brady 1880 *C. g.*, G. S. Brady in: Rep. Voy. Challenger, Zool. *v.* 1 Part 3 p. 156 t. 37 f. 1—11.

Schale ziemlich kurz, Höhe etwa $^2/_3$ der Länge, annähernd eiförmig, dorsaler und ventraler Rand etwa gleich stark gewölbt, hinteres Ende etwas breiter gerundet als das vordere; Oberfläche glatt. 1. und 2. Glied des Endopodit der 2. Antenne sehr kurz und breit, 3. Glied gestreckt, 3. Thoraxbein mit umfangreicher, terminaler Zange; ihr stärkerer Schenkel mit zahlreichen Borsten. Furca mit 8 (?) Dornen. — L. ♀ (?) 5 mm, ♂ ?

Azoren.

C. granulosa G. Brady 1902 *C. g.*, G. S. Brady in: Tr. zool. Soc. London, *v.* 16 p. 184 t. 21 f. 32—34.

Herkunft?

C. insolita G. Brady 1902 *C. i.*, G. S. Brady in: Tr. zool. Soc. London, *v.* 16 p. 184 t. 22 f. 11—14.

Küste von Java.

C. luteola Dana 1852 *C. l.*, J. D. Dana in: P. Amer. Ac., *v.* 2 p. 50 | 1852 & 55 *C. l.*, J. D. Dana in: U. S. expl. Exp., *v.* 13 II p. 1291; t. 91 f. 1.

Schalenumriß ähnlich wie bei C. hilgendorfii.

Sulu-See.

C. megalops O. Sars 1872 *C. m.*, G. O. Sars in: Forh. Selsk. Christian., p. 278 | 1896 *C. m.*, G. S. Brady & A. M. Norman in: Tr. R. Dublin Soc., ser. 2 *v.* 5 p. 649 t. 54 f. 5, 6.

Schale kurz, Höhe etwa $^7/_{10}$ der Länge, hinten wenig höher als vorn, Hinterende schräg abgestutzt, mit deutlicher ventraler und gerundeter, undeutlicher dorsaler Ecke. Endopodit der 2. Antenne sehr kurz, knotenförmig, endigt in eine lange Borste. Furca mit ungefähr 11 fein gezähnten Dornen. ♂ unbekannt. — L. etwa 3 mm.

Norwegen (Hardangerfjord).

C. nobilis Cleve 1905 *C. n.*, Cleve in: Mar. Invest. S. Afr., *v.* 4 p. 134 t. 7 f. 3—5, 8; t. 8 f. 10, 11; t. 9 f. 15, 22.

Küste von Südafrika, pelagisch.

C. norvegica W. Baird ?1860 *C. n.*, W. Baird in: Ann. nat. Hist., ser. 3 *v.* 6 p. 139 | ?1860 *C. n.*, W. Baird in: P. zool. Soc. London, *v.* 28 p. 200 t. 71 f. 4 | 1896 *C. n.*, G. S. Brady & A. M. Norman in: Tr. R. Dublin Soc., ser. 2 *v.* 5 p. 647 t. 54 f. 7, 8; t. 60 f. 19—21.

Schale des ♀ kurz, elliptisch, Höhe etwa $^3/_4$ der Länge, in der Mitte am höchsten, Hinterende schräg abgestutzt, so daß eine hintere dorsale und ventrale Ecke angedeutet ist. Incisur klein, gegen den Ventralrand fast rechtwinklig abgegrenzt. Breite annähernd $^1/_2$ der Länge, an beiden Enden

etwas zugespitzt, vorn deutlicher als hinten; keine Skulptur. Exopodit der 2. Antenne umfangreich, 3-gliedrig, etwa $^1/_2$ so lang wie das 1. Glied des Exopodit, das 1. Glied mit 3, das 2. und 3. Glied mit je 1 Borste, die des 3. Gliedes sehr lang. Furca mit etwa 9 fein gezähnelten Dornen. — L. ♀ 3·5—4 mm, ♂ etwas kleiner.

Küsten von Nordeuropa (Shetlandinseln, Lofoten, Norwegen).

C. thielei Chapman 1906 *C. t.*, Chapman in: P. R. Soc. Victoria, ser. 2 *v.* 19 p. 28—32 t. 9.

Australien (Hobson Bay: Melbourne).

2. Gen. **Pyrocypris** G. W. Müller

1852 *Cypridina* (part.), J. D. Dana in: U. S. expl. Exp., *v.* 13 II p. 1290 | 1880 *Philomedes* (? part.), G. S. Brady in: Rep. Voy. Challenger, Zool. *v.* 1 Part 3 p. 159 | 1890 *Pyrocypris*, G. W. Müller in: Zool. Jahrb. Syst., *v.* 5 p. 230 | 1898 *Eupathistoma*, G. S. Brady in: Tr. zool. Soc. London, *v.* 14 p. 437.

Fig. 8.
Oberlippe von **Pyrocypris chierchiae** ($^{75}/_1$).

Schale mit wohl entwickeltem Fortsatz am Hinterrande, sonst wie bei Cypridina. Haare fehlen ganz oder bis auf wenige Borsten am Rande ventral von der Incisur. 1. Antenne des ♂ mit 2 sehr langen Borsten (stets deutlich länger als die Schale). Bewaffnung der Borsten ähnlich wie bei Cypridina. Endopodit der 2. Antenne in beiden Geschlechtern rudimentär; er bildet einen warzenförmigen, ungegliederten Fortsatz mit 4 oder 5 Borsten. 3. Thoraxbein terminal mit einer weit übergreifenden Gruppe langer, gebogener Borsten oder Zähne, der ein flacher Höcker gegenübersteht; darunter wenige (höchstens 10) gegliederte Borsten. Furca mit 9 Dornen. Oberlippe (Fig. 8) mit 2 vorderen unpaaren, 4 hinteren paarigen Fortsätzen, die mindestens so lang sind, wie an der Basis breit. Alle Arten ungefähr 2 mm lang und einander außerordentlich ähnlich. Die Tiere sind ausgezeichnet durch ein sehr starkes Leuchtvermögen (Oberlippendrüse), sie steigen bei Nacht in großer Zahl zur Meeresoberfläche empor.

13 sichere, 2 unsichere Arten.

Übersicht der sicheren Arten:

1	Alle Furcaldornen vom Stamme durch eine Naht getrennt — **2.**	
	Der 2. Furcaldorn mit dem Stamm verschmolzen — **3.**	
2	Vordere Ecke des Rostrum deutlich	**2. P. natans**
	Vordere Ecke des Rostrum fehlend, Vorderrand abgerundet	**1. P. acuminata**
3	Schalenrand ventral von der Incisur behaart — **4.**	
	Schalenrand ventral von der Incisur unbehaart — **10.**	
4	1. Antenne mit schwarzer Pigmentierung — **5.**	
	1. Antenne ohne schwarzes Pigment — **8.**	
5	Schalenrand ventral von der Incisur mit 12 Borsten	**6. P. punctata**
	Schalenrand mit 5—6 Borsten — **6.**	
6	Schale mit schwarzen Punkten	**5. P. rivilli**
	Schale ohne schwarze Punkte — **7.**	

7	Dorsalrand deutlich gewölbt, so stark wie der Ventralrand	3. **P. chierchiae**
	Dorsalrand flach gewölbt, mittleres Drittel fast gerade	4. **P. americana**
8	Schalenrand im Bereiche der Borsten oder in ihrer Nachbarschaft gezähnelt — **9.**	
	Schalenrand an genannter Stelle glatt	7. **P. sinuosa**
9	Leiste am Hinterende beiderseits mit einer Reihe schlanker Spitzen	9. **P. dentata**
	Leiste am Hinterende beiderseits glattrandig . .	8. **P. inermis**
10	Der 3. Furcaldorn mit dem Stamme verschmolzen	10. **P. serrata**
	Der 3. Furcaldorn nicht mit dem Stamme verschmolzen — **11.**	
11	Der 4. Furcaldorn mit dem Stamme verschmolzen	13. **P. lepidophora**
	Der 4. Furcaldorn nicht mit dem Stamme verschmolzen — **12.**	
12	Der 3. Furcaldorn viel schlanker als der 4., an der Basis nur etwa $^1/_2$ so breit wie der 4. .	12. **P. sharpei**
	Der 3. Furcaldorn an der Basis ebenso breit wie der 4.	11. **P. amphiacantha**

1. **P. acuminata** G. W. Müll. 1906 *P. a.*, G. W. Müller in: Siboga Exp., nr. 30 p. 18 t. 2 f. 1, 2—5.

Höhe der Schale wenig größer als $^1/_2$ der Länge; vordere Ecke des Rostrum stark abgerundet, fast ganz unterdrückt, ventrale spitzwinklig, hinterer Fortsatz schmal, meist deutlich eckig, gegen den Dorsalrand mehr oder weniger deutlich stumpfwinklig abgegrenzt, mediale Leiste am Hinterrande beiderseits gezähnelt, Spitzen rechts größer als links, der Raum zwischen Leiste und Schalenrand beiderseits mit Spitzen besetzt. Die Furcaldornen nehmen gleichmäßig an Länge ab, sind sämtlich vom Stamme durch eine Naht getrennt. — L. ♀ 1·8—2 mm, ♂ 1·9—2·1 mm.

Malayischer Archipel.

2. **P. natans** (G. Brady) 1898 *Eupathistoma n.*, G. S. Brady in: Tr. zool. Soc. London, *v.* 14 p. 437 t. 44 f. 21, 22, 23—26.

Schalenumriß ähnlich wie bei P. acuminata, vordere Ecke des Rostrum deutlich, hinterer Fortsatz abgerundet. Furca wie bei P. acuminata. — L. 2 mm.

Meerbusen von Bengalen.

3. **P. chierchiae** G. W. Müll. 1890 *P. c.*, G. W. Müller in: Zool. Jahrb. Syst., *v.* 5 p. 232 t. 25 f. 1, 5, 6; t. 26 f. 12, 19; t. 27 f. 1, 2, 13, 14, 18, 24, 37.

Schale gestreckt, Höhe annähernd $^3/_5$ der Länge, Dorsal- und Ventralrand ungefähr gleich stark gewölbt, Fortsatz am Hinterende breit, gerundet, Grenze gegen den Dorsalrand fast ganz unterdrückt; Rostrum mit abgerundeter, aber immerhin deutlicher, vorderer Ecke; am Vorderrande unter der Incisur 4—7 Borsten; keine Pigmentablagerung. 1. Antenne stets, Mandibel, Maxille, 1. und 2. Thoraxbein häufig mit Pigmentablagerung, Rücken ohne solche. 9 Furcaldornen, die gleichmäßig an Umfang abnehmen, der 2. mit dem Stamme verschmolzen. — L. 2 mm. — Fig. 8, p. 16.

Arabisches Meer.

4. **P. americana** G. W. Müll. 1890 *P. a.*, G. W. Müller in: Zool. Jahrb. Syst., *v.* 5 p. 233 t. 25 f. 3 | ? 1902 *P. a.*, G. S. Brady in: Tr. zool. Soc. London, *v.* 16 p. 185 t. 21 f. 14—19.

P. chierchiae sehr ähnlich; Dorsalrand der Schale flacher als der Ventralrand; hinterer Fortsatz gegen den Dorsalrand deutlich stumpfwinklig abgegrenzt. — L. 2 mm.

Westküste von Zentralamerika.

5. **P. rivilli** G. W. Müll. 1890 *P. r.*, G. W. Müller in: Zool. Jahrb. Syst., *v.* 5 p. 232 | 1890 *P. mollis*, G. W. Müller in: Zool. Jahrb. Syst., *v.* 5 p. 232.

P. chierchiae sehr ähnlich, Schale mit zahlreichen kleinen, runden, schwarzen Punkten, die nicht zu größeren Flecken zusammenfließen. — L. 2 mm.

Arabisches Meer.

6. **P. punctata** G. W. Müll. 1890 *P. p.*, G. W. Müller in: Zool. Jahrb. Syst., *v.* 5 p. 232 t. 25 f. 4, 7.

P. chierchiae (nr. 3) ähnlich. Schale mit zahlreichen schwarzen Punkten, die zum Teil zu größeren Flecken zusammenfließen; Schalenrand mit 12 Borsten. Gliedmaßen ohne, Rücken mit Pigmentablagerung.

Südchinesisches Meer.

7. **P. sinuosa** G. W. Müll. 1906 *P. s.*, G. W. Müller in: Siboga Exp., nr. 30 p. 19 t. 2 f. 11, **12**, 13—16.

Schale des ♂: Höhe deutlich größer als $^1/_2$ der Länge, vordere Ecke des Rostrum ziemlich stark abgerundet; hinterer Fortsatz ziemlich breit, dorsal deutlich winklig abgegrenzt, terminal gerundet, ventral von der Incisur 12—16 Borsten. Leiste am Hinterende rechts bogig ausgeschnitten, links glatt. Furca mit 9 Dornen, die annähernd gleichmäßig an Umfang abnehmen, bis auf den 3., der an Länge zwischen dem 2. und 4. steht, aber schlanker als der 4. ist. Der 2. Dorn mit dem Stamm verschmolzen. — L. ♂ 1·4—1·6 mm, ♀ unbekannt.

Malayischer Archipel.

8. **P. inermis** G. W. Müll. 1906 *P. i.*, G. W. Müller in: Siboga Exp., nr. 30 p. 19 t. 2 f. 6, **7**, 8—10.

Schale der von P. sinuosa ähnlich, vordere Ecke des Rostrum deutlich, wenig abgerundet, hinterer Fortsatz terminal gerundet, dorsal nicht winklig abgegrenzt; ventral der Incisur etwa 10 Borsten, im Bereiche der Borsten ist der Rand fein gezähnelt, die Zähnelung wird nach hinten deutlicher und hört plötzlich auf. Leiste beiderseits am Hinterrande glattrandig. Furca wie bei P. inermis. — L. ♀ 1·6, ♂ 1·8 mm.

Malayischer Archipel.

9. **P. dentata** G. W. Müll. 1906 *P. d.*, G. W. Müller in: Siboga Exp., nr. 30 p. 20 t. 2 f. **17**, 18—21.

P. sinuosa sehr ähnlich, die Zähnelung des Ventralrandes ist näher der Incisur am deutlichsten, nur wenige Zähne überragen hier deutlich den Rand, weiter nach hinten rückt die Zahnreihe ganz auf die mediale Seite, bleibt aber im Profil sichtbar; am Hinterrande trägt die Leiste beiderseits eine Reihe schlanker aber deutlicher Spitzen. — L. ♀ 1·8 mm, ♂ 2·0—2·1 mm.

Malayischer Archipel.

10. **P. serrata** G. W. Müll. 1906 *P. s.*, G. W. Müller in: Siboga Exp., nr. 30 p. 20 t. 3 f. 1, 2—7.

Schale des ♂: Höhe etwa $^1/_2$ der Länge; vordere Ecke des Rostrum etwas abgerundet, hinterer Fortsatz breit, am Ende flach gerundet, die dorsale Bucht deutlich, winklig, Schalenrand ohne Borsten, Leiste im Bereiche des hinteren Fortsatzes links mit einer Reihe deutlicher Spitzen, rechts fast ganz glatt. Am Endopodit der 2. Antenne ist die vorletzte Borste deutlich länger als die anderen. Furcaldornen ziemlich kurz und kräftig, der 3. deutlich schwächer und am Vorderrande gemessen kürzer als der 4., der 2. und 3. Dorn mit dem Stamme verschmolzen, der Stamm an ihrem Ursprunge etwas verlängert. — L. ♂ 1·9—2 mm, ♀ unbekannt.

Malayischer Archipel.

11. **P. amphiacantha** G. W. Müll. 1906 *P. a.*, G. W. Müller in: Siboga Exp., nr. 30 p. 21 t. 3 f. 8, 9—12.

P. serrata ähnlich, durch folgende Merkmale unterschieden: Leiste am Hinterende beiderseits glatt, an der Furca ist der 3. Dorn nicht mit dem Stamme verschmolzen, er ist kaum schwächer als der 4. — L. ♂ 1·5—1·6 mm, ♀ unbekannt.

Malayischer Archipel.

12. **P. sharpei** (nom. nov.), G. W. Müll. 1908 *P. americana* (non *P. americana* G. W. Müller 1890), R. Sharpe in: P. U. S. Mus., *v.* 35 p. 426 t. 64 f. 1, 2—5.

P. amphiacantha ähnlich, durch folgende Merkmale unterschieden: am Endopodit der 2. Antenne ist die letzte Borste die längste, der 3. Furcaldorn deutlich schwächer als der 4., an der Basis etwa nur $^1/_2$ so breit. — L. 1·55 mm.

Bei Honolulu.

13. **P. lepidophora** G. W. Müll. 1906 *P. l.*, G. W. Müller in: Siboga Exp., nr. 30 p. 21 t. 3 f. 13, 14—23.

Schale des ♀: Höhe größer als $^1/_2$ der Länge, Dorsal- und Ventralrand etwa gleich stark gewölbt, der Ventralrand in der hinteren Hälfte stark gewölbt; vordere Ecke des Rostrum stark abgerundet, Incisur klein, hinterer Fortsatz klein, undeutlich zugespitzt, die dorsale Bucht deutlich, nahe dem Vorder- und Hinterende eine schuppenartige Skulptur; Leiste am Hinterrande rechts mit starken Spitzen besetzt, links glatt oder mit sehr kleinen Spitzen. Furca mit ziemlich kurzen und kräftigen Dornen, der 3. etwa ebensolang wie der 4., an der Basis wenig schwächer als dieser, der 5.—9. Dorn konisch, nicht gebogen, der 2. und 4. mit dem Stamm verschmolzen. — L. ♀ 1·7—1·9 mm, ♂ unbekannt.

Malayischer Archipel.

P. gibbosa (Dana) 1852 & 55 *Cypridina g.*, J. D. Dana in: U. S. expl. Exp., *v.* 13 II p. 1295 t. 91 f. 4 | ? 1880 *Philomedes g.*, G. S. Brady in: Rep. Voy. Challenger, Zool. *v.* 1 Part 3 p. 160 t. 39 f. 12—17.

Pazifischer Ozean; Philippinen (?).

P. japonica G. W. Müll. 1890 *P. j.*, G. W. Müller in: Zool. Jahrb. Syst., *v.* 5 p. 233 t. 25 f. 2; t. 26 f. 16.

P. chierchiae (nr. 3) ähnlich. Vordere Ecke des Rostrum ganz unterdrückt; hinterer Fortsatz nur undeutlich abgegrenzt; höchstens 2 Borsten am Schalenrande. Schale und Gliedmaßen nicht pigmentiert (?). Das hinterste Paar der Oberlippenfortsätze überragt nicht die davor liegenden im Profil.

Japanische Küste.

3. Gen. **Crossophorus** G. Brady

1880 *Crossophorus*, G. S. Brady in: Rep. Voy. Challenger, Zool. *v.* 1 Part 3 p. 157 | 1885 *Cypridina*, Claus in: Arb. Inst. Wien, *v.* 6 p. 24 | 1896 *Crossophorus*, G. S. Brady & A. M. Norman in: Tr. R. Dublin Soc., ser. 2 *v.* 5 p. 643 | 1906 *C.*, G. W. Müller in: Ergeb. Tiefsee-Exp., *v.* 8 p. 133.

Schale stets kurz und hoch, Höhe stets größer als $^2/_3$ der Länge, ohne Andeutung eines hinteren Fortsatzes. Endopodit der 2. Antenne 3-gliedrig, beim ♂ als Greiforgan dienend. Fortsatz am Basalgliede der Mandibel tief zweiteilig, auf wenigstens $^1/_3$ seiner Länge geteilt. Furca mit mehr als 12 Dornen, die eine mehr oder weniger deutliche Differenzierung in Haupt- und Nebendornen erkennen lassen. Durchweg große Formen von mindestens 4 mm Länge.

3 Arten.

Übersicht der Arten:

1 { 3. Thoraxbein mit etwa 20 Borsten . . . . . 1. **C. imperator**
  { 3. Thoraxbein mit wenigstens 50 Borsten — **2.**

2 { 3. Thoraxbein mit etwa 60 Borsten . . . . . 3. **C. gibber**
  { 3. Thoraxbein mit wenigstens 100 Borsten . . . . . 2. **C. africanus**

1. **C. imperator** G. Brady 1880 *C. i.*, G. S. Brady in: Rep. Voy. Challenger, Zool. *v.* 1 Part 3 p. 158 t. 38 f. 1—11 | 1885 *Cypridina i.*, Claus in: Arb. Inst. Wien, *v.* 6 p. 24 (Synonymie) | ? 1896 *Crossophorus i.*, G. S. Brady & A. M. Norman in: Tr. R. Dublin Soc., ser. 2 *v.* 5 p. 643 t. 53 f. 1—11 | 1901 *C. imperialis*, T. Stebbing in: Knowledge, *v.* 24 p. 100 (descr. nulla).

Schale kurz oval, Höhe etwa $^4/_5$ der Länge; Hinterrand breit gerundet; Incisur mäßig tief und breit, fast senkrecht aufsteigend, gerundet. Furca mit etwa 20 Dornen; 1., 2., 5., 8., 11., 13., 15. Dorn dick, stark bewaffnet; 1. Dorn kürzer als der 2., die übrigen nicht genannten Dornen schlank, schwach bewaffnet, zum Teil aber so lang wie der benachbarte Hauptdorn. Endzange des 3. Thoraxbeines mit umfangreichem Zahne, dem etwa 6 lange, fingerartige, gefiederte Fortsätze gegenüberstehen; proximal von der Zange etwa 20 Borsten. — L. 7—8·5 mm.

Östlich von Neuseeland 1957 m Tiefe; nördlicher Atlantischer Ozean.

2. **C. africanus** Stebb. 1901 *C. a.*, T. Stebbing in: Knowledge, *v.* 24 p. 100 | 1902 *C. a.*, T. Stebbing in: Mar. Invest. S. Afr., *v.* 2 nr. 12 p. 79 t. 15 A; t. 16 | 1906 *C. a.*, G. W. Müller in: Ergeb. Tiefsee-Exp., *v.* 8 p. 134 t. 34 f. 1—9.

C. imperator sehr ähnlich. 3. Thoraxbein am Ende kopfförmig erweitert, die Endzange mit großem Zahne, dem eine Reihe von zahlreichen kleinen Zähnen gegenübersteht; mit sehr zahlreichen (wenigstens 100) Borsten am kopfförmigen Endstücke und proximal von demselben. — L. 11—15·5 mm.

Südspitze von Afrika in 156—228 m Tiefe.

3. **C. gibber** G. W. Müll. 1906 *C. g.*, G. W. Müller in: Siboga-Exp., nr. 30 p. 28 t. 4 f. 1—9.

Schale der von C. imperator ähnlich. Das 3. Thoraxbein terminal mit 5 schlanken, fingerartigen Fortsätzen, denen keine Spitze gegenübersteht, übrigens mit etwa 60 Borsten. — L. ♂ 4 mm, ♀ unbekannt.

5° s. Br. 120° ö. L. aus 1158 m Tiefe. (Grundbewohner.)

4. Gen. **Codonocera** G. Brady

1852 *Cypridina* (s. l.), J. D. Dana in: U. S. expl. Exp., *v.* 13 II p. 1296 | 1873 *C.* (s. l.), Claus in: Z. wiss. Zool., *v.* 23 p. 212 | 1902 *Codonocera*, G. S. Brady in: Tr. zool. Soc. London, *v.* 16 p. 188 | 1906 *C.*, G. W. Müller in: Siboga-Exp., nr. 30 p. 22.

Schale derb, stark verkalkt, Rostrum stets ohne vordere Ecke, aber mit deutlicher, ventraler Spitze. Beim ♂ der Dorsalrand stets deutlich gegen den Hinterrand abgegrenzt, ebenso links vorn, rechts vorn nicht. Beim ♀ der Dorsalrand verschieden, meist gewölbt, Ecken undeutlich oder fehlend. In beiden Geschlechtern mit schuppenartiger Skulptur, reich an blauschwarzen, sternförmigen Pigmentzellen. 1. Antenne des ♂ mit 2 Borsten, welche am Ende eines Astes doldenartig angeordnete Saugscheibchen tragen. Endopodit der 2. Antenne als Greiforgan entwickelt, das vorletzte Glied terminal, das letzte an der Basis, wo eine Borste entspringt, stark aufgetrieben. Am 2. Thoraxbein sind die 3 basalen Glieder vollständig miteinander verschmolzen. Furca mit 4 Dornen, die gleichmäßig an Länge und Umfang abnehmen, hinter ihnen bisweilen eine unpaare Spitze.

7 sichere, 2 unsichere Arten.

Übersicht der sicheren Arten:

1	Schale erreicht höchstens die Länge von 2 mm . .	5. **C. pusilla**
	Schale stets länger als 2 mm — **2.**	
2	Hintere dorsale Ecke beim ♂ beiderseits deutlich — **3.**	
	Hintere dorsale Ecke beim ♂ beiderseits fehlend . .	3. **C. cruenta**
3	Terminales Glied des Endopodit der 2. Antenne des ♂ am Ursprunge der Borste mit deutlicher, recht- oder spitzwinkliger Ecke — **4.**	
	Terminales Glied des Endopodit der 2. Antenne des ♂ am Ursprunge der Borste gerundet oder mit undeutlicher, stumpfwinkliger Ecke — **5.**	
4	Schlankes Endstück des terminalen Gliedes des Endopodit der 2. Antenne doppelt S-förmig gekrümmt	1. **C. weberi**
	Das genannte Stück einfach S-förmig gekrümmt . .	4. **C. polygonia**
5	Die Borste am terminalen Gliede des Endopodit der 2. Antenne so lang wie der Abstand ihres Ursprunges von der Spitze des Gliedes	2. **C. penicillum**
	Die genannte Borste deutlich kürzer als ihr Abstand von der Spitze — **6.**	
6	Schale mindestens 3 mm lang	6. **C. stellifera**
	Schale stets kleiner als 3 mm	7. **C. goniacantha**

1. **C. weberi** G. W. Müll. 1906 *C. w.*, G. W. Müller in: Siboga-Exp., nr. 30 p. 24 t. 8 f. 7—9; t. 9 f. 1—6.

Schale des ♂: Höhe etwa $^2/_3$ der Länge, links bildet der Dorsalrand auf $^1/_4$ der Länge eine deutliche, wenig abgerundete Ecke, vor der er steil zum Rostrum abfällt, rechts ist diese Ecke abgerundet. Hintere, dorsale Ecke beiderseits etwa rechtwinklig, etwas abgerundet, hinterer Fortsatz beiderseits deutlich, breit, terminal gerundet. Ventralrand stark gewölbt. Schale des ♀: Höhe etwa $^4/_5$ der Länge. Dorsalrand flach gewölbt, ohne vordere oder hintere Ecke, hinterer Fortsatz wenig umfangreich, aber deutlich, abgerundet. Das terminale Glied des Endopodit der 2. Antenne des ♂ bildet am Ursprunge der Borste eine deutliche Ecke, das schlanke Endstück schwach doppelt S-förmig gekrümmt. — L. ♀ 2·65—3 mm, ♂ 2·2—2·6 mm.

Malayischer Archipel.

2. **C. penicillum** G. W. Müll. 1906 *C. p.*, G. W. Müller in: Siboga Exp., nr. 30 p. 25 t. 9 f. 15—19.

Schale des ♂ der von C. weberi (nr. 1) ähnlich, der hintere Fortsatz schmaler, etwas stärker zugespitzt. Das terminale Glied des Endopodit der 2. Antenne am Ursprunge der Borste ohne deutliche Ecke, das schlanke Endstück einfach gebogen. — L. ♂ 2·2 mm, ♀ unbekannt.

Malayischer Archipel.

3. **C. cruenta** G. Brady 1902 *C. c.*, G. S. Brady in: Tr. zool. Soc. London, *v.* 16 p. 188 t. 22 f. 1—10 | (non 1905 *C. c.*, A. Scott in: Herdman, Rep. Ceylon Pearl. Fish., Suppl. Rep. 22 p. 367 t. 2 f. 43—45) | 1906 *C. c.*, G. W. Müller in: Siboga-Exp., nr. 30 p. 25 t. 8 f. 1—6, 10; t. 9 f. 7, 8.

Schale der von C. weberi ähnlich, hintere, dorsale Ecke beim ♂ stärker abgerundet. Terminales Glied des Endopodit der 2. Antenne des ♂ am Ursprunge der Borste ohne deutliche Ecke, das schlanke Endstück einfach S-förmig gebogen. — L. ♀ 3·15—3·4 mm, ♂ 2·7—3 mm.

Malayischer Archipel.

4. **C. polygonia** G. W. Müll. 1906 *C. p.*, G. W. Müller in: Siboga-Exp., nr. 30 p. 26 t. 9 f. 9—14.

Schale des ♂ der von C. weberi ähnlich, Hinterrand und Dorsalrand bilden miteinander eine stumpfwinklige, wenig abgerundete Ecke. Hinterrand links schwach, rechts deutlich S-förmig gebogen. Schale des ♀ mit schwach und unregelmäßig gewölbtem Dorsalrande, der links auf $^1/_7$ der Länge eine stumpfwinklige Ecke bildet. Hinterrand steil abfallend, winklig gebogen. Terminales Glied der 2. Antenne des ♂ mit deutlicher Ecke am Ursprunge der Borste, das schlanke Endstück schwach S-förmig gebogen. — L. ♀ 2·5, ♂ 2·25 mm.

Malayischer Archipel.

5. **C. pusilla** G. W. Müll. 1906 *C. p.*, G. W. Müller in: Siboga-Exp., nr. 30 p. 27 t. 7 f. 14—20.

Schale des ♂ links mit deutlicher Ecke an der vorderen, mit sehr undeutlicher an der hinteren Grenze des Dorsalrandes, rechts vorn und hinten ohne deutliche Ecke. Hinterer Fortsatz klein. Schale des ♀ der von C. weberi ähnlich. Terminales Glied des Endopodit der 2. Antenne des ♂ ohne deutliche Ecke am Ursprunge der Borste, schlankes Endstück ziemlich stark aber nicht S-förmig gekrümmt. — L. ♀ 1·9—2·0 mm, ♂ 1·8—1·9 mm.

Malayischer Archipel.

6. **C. stellifera** (Claus) 1873 *Cypridina s.*, (s. l.) Claus in: Z. wiss. Zool., *v.* 23 p. 212 t. 10 f. 1—13; t. 11 f. 14—16 | 1906 *Codonocera s.*, G. W. Müller in: Siboga-Exp., nr. 30 p. 27 t. 6 f. 13—16; t. 7 f. 1—9.

Linke Schale des ♂: Höhe etwa $^3/_5$ der Länge, Dorsalrand gebogen oder geknickt, auf etwa $^1/_2$ der Länge liegt eine stumpfwinklige Ecke, vordere Ecke des Dorsalrandes wenig deutlich, hintere sehr deutlich stumpfwinklig. Hinterrand gewölbt, hinterer Fortsatz undeutlich, flach. Ventralrand flach gewölbt. Rechte Schale ohne die vordere Ecke des Dorsalrandes. Linke Schale des ♀: Dorsalrand flach und unregelmäßig gewölbt, gegen den Hinterrand durch eine stumpfwinklige Ecke abgegrenzt; hinterer Fortsatz flach, undeutlich. Terminales Glied des Endopodit der 2. Antenne des ♂ am

Ursprunge der Borste gerundet, das schlanke Endstück schwach gebogen, distal fast gerade. — L. ♀ 3·0—3·15 mm, ♂ 3·0—3·25 mm.

Malayischer Archipel.

7. **C. goniacantha** G. W. Müll. 1906 *C. g.*, G. W. Müller in: Siboga-Exp., nr. 30, p. 28 t. 7 f. 10—13, 21, 22.

Schale der von C. stellifera ähnlich, viel kleiner, auch das terminale Glied des Endopodit der 2. Antenne ähnlich. — L. ♀ 2·6, ♂ 2·25—2·6 mm.

Malayischer Archipel.

C. formosa (Dana) 1852 *Cypridina f.*, J. D. Dana in: P. Amer. Ac., *v.* 2 p. 51 | 1852 & 55 *C. f.*, J. D. Dana in: U. S. expl. Exp., *v.* 13 II p. 1296 t. 91 f. 5a—h | ? 1880 *C. f.*, G. S. Brady in: Rep. Voy. Challenger, Zool. *v.* 1 Part 3 p. 155 t. 42 f. 9—11.

Malayischer Archipel, Samoainseln.

C. sp., A. Scott 1905 *C. cruenta* (non 1902 *C. c.*, G. S. Brady in: Tr. zool. Soc. London, *v.* 16 p. 188 t. 22 f. 1—10), A. Scott in: Herdman, Rep. Ceylon Pearl. Fish., Suppl. Rep. 22 p. 363 t. 2 f. 43—45.

Endopodit der 2. Antenne des ♀ ähnlich wie bei C. weberi, aber viel kleiner. — L. ♂ 1·73 mm.

Westlich von Minikoi, Indischer Ozean.

5. Gen. **Gigantocypris** G. W. Müller

1895 *Gigantocypris*, G. W. Müller in: Bull. Mus. Harvard, *v.* 27 p. 164.

Schale von sehr abweichendem Bau, dünnhäutig; die beiden Hälften im Bereiche von etwa $^2/_3$ der Peripherie miteinander verschmolzen. Die Greifborsten an der 1. Antenne des ♂ mit mehreren Zweigen, deren jeder nur 1 kleinen Saugnapf trägt. Endopodit der 2. Antenne in beiden Geschlechtern deutlich 3-gliedrig, beim ♂ ein Greiforgan. 3. Thoraxbein sehr lang, am Ende mit einer langen Reihe von Zähnchen, die sich aber kaum zangenartig erhebt. Furca ohne Nebendornen. An Stelle der paarigen Augen finden sich kleine Warzen mit je 4 länglichen, etwa birnförmigen Blasen (umgestaltete Rhabdome). Frontalorgan groß, nasenförmig vorragend, von sehr abweichendem Bau.

2 Arten.

Übersicht der Arten:

Alle Borsten des 3. Thoraxbeines von normalem Bau, das heißt in der distalen Hälfte mit Paaren von gegenüberstehenden Dörnchen . . . . . 1. **G. agassizii**

Neben normalen Borsten finden sich am 3. Thoraxbein solche, welche nur am Ende eine pinselartige Gruppe von Dörnchen tragen . . . . . 2. **G. pellucida**

1. **G. agassizii** G. W. Müll. 1895 *G. a.*, G. W. Müller in: Bull. Mus. Harvard, *v.* 27 p. 155 t. 1 f. 1—5, 8—10, 12—15, 17—21, 24; t. 3.

Schale im Profil kurz oval, Höhe etwa $^4/_5$ der Länge, mit kleiner, gerundeter Incisur; Schale vom Rücken gesehen ein regelmäßiges, dem Profile ähnliches Oval bildend. 3. Thoraxbein mit einer Reihe von etwa 60 Zähnchen am Ende; alle Borsten normal. Furca mit 12 Dornen; der 12. stark verkürzt; Verhältnis der übrigen sehr variabel. — L. 21 mm.

Westlich von Zentralamerika, nahe der Küste.

2. **G. pellucida** G. W. Müll. 1895 *G. p.*, G. W. Müller in: Bull. Mus. Harvard, *v.* 27 p. 164 t. 1 f. 6, 7, 11, 16, 22, 23.

Beschreibung nach einem jungen, vor der letzten Häutung stehenden ♂: Schale wie bei G. agassizii; 3. Thoraxbein mit einer Reihe von 7 Zähnchen; zwischen den typischen Borsten dieses Beines finden sich vereinzelte, welche nur am Ende eine Gruppe von pinselartig angeordneten Spitzen tragen. — L. 16 mm.

Westlich von Zentralamerika, nahe der Küste.

B. Subfam. **Philomedinae** G. W. Müller

Schale von sehr wechselnder Gestalt, häufig in beiden Geschlechtern auffallend verschieden. 1. Antenne 5- oder 6-gliedrig, 4. und 5., 7. und 8. Glied verschmolzen, beim ♀ ohne, beim ♂ mit verzweigter Sinnesborste. Die Borsten am Exopodit der 2. Antenne sämtlich oder zum Teil kurz, ungefiedert. ♀ und Larve mit tief zweiteiligem Fortsatze am Basalgliede der Mandibel, ♂ (soweit bekannt) ebenda ohne Fortsatz. 1. Thoraxbein des ♀ und der Larve mit 2 sehr starken, unähnlichen, kompliziert gebauten Zähnen; ♂, so weit bekannt, ohne Zähne. Frontalorgan mit langem, stabartigem Fortsatze.

3 Gattungen mit 27 sicheren Arten, 1 unsicheren Art.

Übersicht der Gattungen:

1	Sämtliche Borsten des Exopodit der 2. Antenne kürzer als der Exopodit, ungefiedert — **2.**	
	Diese Borsten wenigstens zum Teil länger und gefiedert — **3.**	
2	Lateraler Zahn des 1. Thoraxbeines lang und spitz, den medialen ganz überdeckend (Fig. 10 p. 34)	2. Gen. **Pseudophilomedes**
	Lateraler Zahn des 1. Thoraxbeines breit, quer abgestutzt oder ausgebuchtet, zweispitzig, den medialen nicht ganz verdeckend (Fig. 9)	1. Gen. **Philomedes** juv.
3	3. Glied des Exopodit der 2. Antenne nicht oder nicht wesentlich länger als das 4. (höchstens 2 : 1) — **4.**	
	3. Glied des Exopodit der 2. Antenne gestreckt, über doppelt so lang wie das 4. .	1. Gen. **Philomedes** ♂
4	Letztes Glied des Mandibulartasters klein, mit einigen starken Borsten endigend	1. Gen. **Philomedes** ♀
	Letztes Glied des Mandibulartasters eine starke Greifzange bildend	3. Gen. **Rutiderma**

1. Gen. **Philomedes** Lilljeborg

1850 *Cypridina* (s. l.), W. Baird, Brit. Entom., p. 176 | 1853 *Philomedes* (♂) + *C.* (juv.), Lilljeborg, Clad. Ostr. Cop., p. 175, 171 | 1866 *P.* (♂) + *Bradycinetus* (♀, juv.), G. O. Sars in: Forh. Selsk. Christian., p. 106, 109 | 1868 *P.* (♂) + *B.* (♀, juv.), G. S. Brady in: Tr. Linn. Soc. London, *v.* 26 p. 462, 466 | 1869 *P.* (♂ & ♀, juv.), G. O. Sars in: Nyt. Mag. Naturv., *v.* 16 p. 356 | 1870 *Cypridina*, Fr. Müller in: Jena. Z., *v.* 5 p. 255 | 1871 *Philomedes* (♂) + *Bradycinetus* (♀, juv.), G. S. Brady in: P. zool. Soc. London, p. 291 | 1887 *P.* (♂ & ♀ juv.), G. O. Sars in: Arch. Naturv. Kristian., *v.* 12 p. 217 | 1890 *P.* (?) + *Pleoschisma* (part.), G. S. Brady in: Tr. R. Soc. Edinb., *v.* 35 p. 513 | 1894 *Philomedes*

(♂ & ♀, juv.), G. W. Müller in: F. Fl. Neapel, *v.* 21 p. 207 | 1896 *P.* + *Tetragonodon* (? juv.), G. S. Brady & A. M. Norman in: Tr. R. Dublin Soc., ser. 2 *v.* 5 p. 653, 667 | 1897 *P.* + *Pleoschisma*, G. S. Brady in: Tr. zool. Soc. London, *v.* 24 p. 90, 93.

Geschlechtsreifes ♀. 1. Antenne 6-gliedrig, mit mäßig langen, spärlich verzweigten Borsten. Keine verzweigte Sinnesborste am 5. (4.) Gliede. 2. Antenne: die Borsten der ersten Glieder des Exopodit, mindestens des 2. und 3. Gliedes sind kurz, ungefiedert (stets?), häufig bedornt, die der letzten Glieder (wenigstens des 6.—9.) sind bis auf einige Borsten des Endgliedes lange, gefiederte Schwimmborsten (bisweilen abgebrochen oder abgebissen); Endopodit der 2. Antenne stets klein und schwach. Basalglied der Mandibel mit gestrecktem, tief 2-teiligem Fortsatze. Maxille kräftig, mit 3 Kaufortsätzen und 3-gliedrigem Taster. 1. Thoraxbein mit 2 umfangreichen Zähnen (Fig. 9), neben denen noch kleinere existieren können. 2. Thoraxbein meist undeutlich gegliedert, stets aber am Vorderrande in Lappen geteilt. Frontalorgan mit langem, geradem, nach unten gerichtetem Fortsatze; paarige Augen rudimentär oder fehlend. Oberlippe klein, mit kleiner, schwer nachweisbarer Oberlippendrüse. Geschlechtsreifes ♂. Schale gestreckter als beim ♀, auch sonst bisweilen verschieden. 1. Antenne mit ähnlicher Gliederung wie beim ♀; das 5. (4.) Glied mit reich gefiederter Sinnesborste, das letzte Glied mit 2 sehr langen, die Länge der Geißel um das Mehrfache übertreffenden Borsten; diese haben ein deutliches Gelenk an der Basis und können in die Schale zurückgeschlagen werden. 2. Antenne mit Schwimmborsten am 3.—9. Gliede des Exopodit; nur das 2. Glied mit kurzer, bedornter Borste; das 3. oder 2. und 3. Glied gestreckt, mehrmals so lang wie breit; der Endopodit besteht aus 3 Gliedern, von denen das 2. und 3. sehr gestreckt sind und gegeneinander eingeschlagen werden können. Basalglied der Mandibel ohne Fortsatz. Maxille nur undeutlich gegliedert, klein, schwach, mit schwachen, weichen, gefiederten Borsten besetzt. Ähnlich das 1. Thoracalbein, ohne Zahnfortsätze und mit nur wenigen kräftigen Borsten am Hinterrande. Die beiden letzten Beinpaare wie beim ♀, ebenso Furca, Frontalorgan und Oberlippe; seitliche Augen stets wohl entwickelt, weit nach hinten gerückt. Larven bis zum Eintritt der Geschlechtsreife: Sämtliche Borsten am Exopodit der 2. Antenne kurz, einseitig gesägt oder bedornt, ungefiedert; beim jungen ♂, vermutlich nur im vorletzten Stadium, der Endopodit der 2. Antenne gestreckt, mit Andeutung einer Gliederung, das paarige Auge deutlich pigmentiert, im übrigen wie das geschlechtsreife ♀.

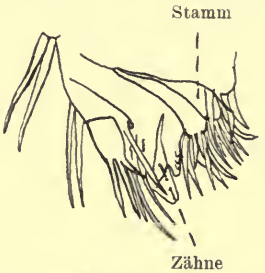

Fig. 9.
Philomedes interpuncta ♀. Kaufortsatz der 1. thoracalen Gliedmaße ($^{160}/_{1}$).

22 sichere Arten, 1 unsichere Art.

Übersicht der Arten:

1 { Der 3. Furcaldorn kürzer als der 4. — **2.**
  Der 3. Furcaldorn so lang oder länger als der 4. — **11.**

2 { Der 6. Furcaldorn ein Hauptdorn, deutlich länger als der 5. — **3.**
  Der 6. Dorn ein Nebendorn, nicht länger als der 5. — **6.**

3 { Hintere ventrale Ecke der Schale links mit, rechts ohne kleine, dorsal gebogene Spitze . . . . . 1. **P. interpuncta**
  Hintere ventrale Ecke beiderseits ohne Spitze. — **4.**

4	Auf den 6. Furcaldorn (4. Hauptdorn) folgen noch 5 Nebendornen. — **5.**	
	Auf den 6. Furcaldorn folgt noch 1 Nebendorn	3. **P. corrugata**
5	Furca zwischen dem 6.—11. Dorne deutlich behaart . .	2. **P. japonica**
	Furca ebenda kahl	9. **P. longiseta**
6	Auf den 4. Furcaldorn (3. Hauptdorn) folgen noch 5 oder mehr Dornen. — **7.**	
	Auf den 4. Furcaldorn folgen nur noch 3. Nebendornen	11. **P. moroides**
7	Schale des ♂ mit wenigen, kräftigen Längsrippen, über 2 mm lang	10. **P. sculpta**
	Schale des ♂ ohne Längsrippen, kürzer als 2 mm. — **8.**	
8	Die dem 4. Dorne folgenden Dornen untereinander ähnlich, sämtlich Nebendornen. — **9.**	
	Der 9. Dorn umfangreicher als die benachbarten . . .	7. **P. debilis**
9	Der 3. Dorn (1. Nebendorn) deutlich schwächer als der 5. (2. Nebendorn)	4. **P. aspera**
	Der 3. Dorn so stark wie der 5. — **10.**	
10	Furca mit 9 Dornen	5. **P. agilis**
	Furca mit 10 Dornen	6. **P. sordida**
11	Der 5. Dorn ein Hauptdorn, umfangreicher als der 4. und 6	8. **P. oblonga**
	Der 5. Dorn nicht umfangreicher als der 4. — **12.**	
12	Die 4 ersten Furcaldornen untereinander ähnlich gestaltet, in gleicher Weise bewaffnet. — **13.**	
	Der 3. Furcaldorn deutlich schlanker als der 2. und 4.; 1., 2. und 4. Dorn gezähnelt, 3. und 5.—10. fein behaart	12. **P. flexilis**
13	Rostrum mit hornartig zur Seite gewandten Fortsätzen (deutlich von der Ventralseite sichtbar)	14. **P. macandrei**
	Rostrum ohne solche Fortsätze. — **14.**	
14	Schale mit deutlichen Längsrippen. — **15.**	
	Schale ohne Längsrippen. — **16.**	
15	Furca mit 9—10 Dornen	13. **P. folini**
	Furca mit 6 Dornen	16. **P. lomae**
16	Hinterrand der Schale des ♀ abgerundet, keinerlei Andeutung einer dorsalen oder ventralen Ecke	22. **P. orbicularis**
	Hinterrand der Schale des ♀ eckig oder unregelmäßig gestaltet. — **17.**	
17	Schale mit deutlicher, hinterer ventraler, aber ohne Andeutung einer hinteren dorsalen Ecke	17. **P. assimilis**
	Schale mit mehr oder weniger deutlicher, hinterer dorsaler Ecke — **18.**	
18	Rostrum mit deutlicher, vorderer und ventraler Spitze .	15. **P. levis**
	Ventrale oder vordere Ecke oder beide Ecken des Rostrum abgerundet. — **19.**	
19	Hinterrand der Schale konvex oder gerade. — **20.**	
	Hinterrand der Schale konkav (wenigstens in der ventralen Hälfte). — **21.**	
20	Kleiner als 2 mm	21. **P. grubii**
	Größer als 2 mm	19. **P. brenda**
21	Hintere dorsale Ecke deutlich	18. **P. charcoti**
	Hintere dorsale Ecke stark abgerundet	20. **P. lilljeborgii**

1. **P. interpuncta** (W. Baird) ? 1850 *Cypridina i.*, W. Baird in: P. zool. Soc. London, *v.* 18 p. 257 t. 17 f. 5—10 | 1861 *Philomedes longicornis*, A. M. Norman in: Ann. nat. Hist., ser. 3 *v.* 8 p. 280 t. 14 f. 11 | 1868 *P. interpuncta*, G. S. Brady in: Tr. Linn. Soc. London, *v.* 26 p. 463 t. 33 f. 10—13; t. 11 f. 3 | 1894 *P. i.*, G. W. Müller in: F. Fl. Neapel, *v.* 21 p. 210 t. 3 f. 1, 2, 5—16, 19, 20, 24—28, 38—44.

Schale des ♀ ziemlich kurz, Höhe etwa $^2/_3$ der Länge; Dorsal- und Ventralrand flach gewölbt, Hinterende schräg abgestutzt, mit deutlichem, spitzem, an der dorsalen Ecke ventralwärts, an der ventralen dorsalwärts gekrümmtem Fortsatze. Rostrum breit, quer abgestutzt, die vordere Ecke gerundet, die ventrale in eine nach vorn gerichtete Spitze ausgezogen. Incisur deutlich, breit, Oberfläche der Schale mit feiner, polygonaler Felderung. Schale des ♂ gestreckter, Höhe etwa $^1/_2$ der Länge; links nur die ventrale Ecke in eine Spitze ausgezogen, sonst dem ♀ ähnlich. Letztes Glied des Endopodit der 2. Antenne des ♂ deutlich kürzer als das vorletzte, nahe der Basis mit schmalem, tiefem Einschnitte. Furca mit 12 Dornen, von denen der 1., 2., 4., 6. Hauptdornen, die anderen Nebendornen sind. — L. bis 1·4 mm. — Fig. 9, p. 25.

Mittelmeer und Atlantischer Ozean; Küste von Frankreich und England.

2. **P. japonica** G. W. Müll. 1890 *P. j.*, G. W. Müller in: Zool. Jahrb. Syst., *v.* 5 p. 236 t. 25 f. 18, 19; t. 26 f. 5, 6, 11, 13, 14, 18; t. 27 f. 26, 27, 29, 31, 32.

Schale des ♀ mäßig gestreckt, Höhe etwa $^2/_3$ der Länge; Dorsalrand stark, Ventralrand flach gewölbt, hintere ventrale Ecke angedeutet, stark gerundet, dorsale vollständig unterdrückt; Rostrum deutlich, stumpfwinklig, sein Vorderrand nicht gegen den Dorsalrand abgegrenzt; Rostralincisur flach, stumpfwinklig. Oberfläche der Schale mit flachen Gruben. Schale des ♂ viel gestreckter, Höhe etwa $^1/_2$ der Länge; Dorsal- und Ventralrand sehr flach, fast gerade, Hinterrand mit Andeutung einer dorsalen und ventralen Ecke. Rostrum schräg abgestutzt, mit gerundeter, vorderer Ecke. Endopodit der 2. Antenne des ♀ mit langer, gefiederter Borste. Terminales Glied des Endopodit der 2. Antenne des ♂ mit einer Borste nahe der Basis, die viel kürzer ist als das Glied. Furca mit 11 Dornen, von denen der 1., 2., 4. und 6. Hauptdornen, der 3. und 5. sehr klein, kleiner als der 7.—9.; zwischen dem 6.—11. Dorn auffällig behaart. — L. ♀ 2·1 mm, ♂ 2·4 mm.

Japanische Küste.

3. **P. corrugata** G. Brady 1897 *P. c.*, G. S. Brady in: Tr. zool. Soc. London, *v.* 14 p. 91 t. 16 f. 17—21.

Schale des ♀ mäßig gestreckt, Höhe etwa $^2/_3$ der Länge; Dorsalrand und Ventralrand stark konvex, Hinterrand gerundet, nicht deutlich abgegrenzt; Rostrum stumpf, nicht sehr vorragend, Incisur flach; Schale vom Rücken gesehen annähernd fünfeckig, die größte Breite gleich $^4/_5$ der Länge liegt hinter der Mitte; Vorderende breit gerundet; das Hinterende schrägt sich plötzlich vom breitesten Punkte aus mit einer geschwungenen Linie ab und endet in einen breiten, stumpf gerundeten, mittleren Fortsatz; Oberfläche runzlig, mit Gruben bedeckt, dünn behaart; rotbraun. Letztes Glied des Endopodit der 2. Antenne des ♂ an beiden Rändern unregelmäßig gezähnelt. Furcaläste mit 7 Dornen, von denen der 1., 2., 4., 6. starke Hauptdornen, der 3., 5., 7. schlanke Nebendornen sind. — L. ♀ 1·4 mm, ♂ unbekannt.

Ostküste von Australien.

4. **P. aspera** G. W. Müll. 1894 *P. a.*, G. W. Müller in: F. Fl. Neapel, *v.* 21 p. 210 t. 3 f. 3, 17, 21; t. 8 f. 1.

♂. Schale mäßig gestreckt, Höhe etwa $^8/_{13}$ der Länge; Dorsalrand deutlich gewölbt, Ventralrand in der hinteren Hälfte stumpfwinklig geknickt, beide Schenkel des Winkels fast gerade; Hinterrand schräg abfallend, mit gerundeter aber deutlicher Ecke gegen den Dorsal- und Ventralrand abgegrenzt; Rostrum breit, schräg abgestutzt, mit gerundeter, aber deutlicher vorderer und ventraler Ecke; Incisur deutlich. Oberfläche der Schale gleichmäßig mit scharf begrenzten Gruben bedeckt. 3. Glied des Endopodit der 2. Antenne ungezähnt und ohne Einschnitt, aber stark gekrümmt. Furca mit 10 Dornen, von denen der 1., 2., 4. lang und stark, der 2. stärker gekrümmt als der 1. und 4., der 3. sehr klein, kleiner als der 5. ist. — L. ♂ 1·3 mm, ♀ unbekannt.

Golf von Neapel.

5. **P. agilis** G. M. Thoms. 1879 *P. a.*, G. M. Thomson in: Tr. N. Zealand Inst., *v.* 11 p. 257 t. 11 f. C 3, D 1 | 1897 *P. a.*, G. S. Brady in: Tr. zool. Soc. London, *v.* 14 p. 90 t. 16 f. 13—16.

Schale des ♂ länglich, Höhe kleiner als $^2/_3$ der Länge, annähernd eiförmig, mit wenig vortretendem, stumpfem Rostrum; hintere Hälfte des Dorsalrandes unregelmäßig ausgebuchtet; Schale vom Rücken gesehen schmal, Breite beträchtlich kleiner als $^1/_2$ der Länge, vorn mit stumpfer Spitze, hinten abgestutzt. Schale des ♀ höher, Höhe mehr als $^3/_4$ der Länge; Oberfläche mit zahlreichen, annähernd runden Gruben bedeckt; von hellbrauner Farbe. Endopodit der 2. Antenne des ♂: 1. Glied mit einer gefiederten Borste, letztes Glied am Ende stärker als gewöhnlich gekrümmt. Die Furca trägt 9 Dornen, von denen der 1., 2. und 4. starke Hauptdornen, die übrigen kleine Nebendornen sind. — L. ♀ und ♂ 1·9 mm.

Südöstliche Küste von Neuseeland.

6. **P. sordida** G. W. Müll. 1890 *P. s.*, G. W. Müller in: Zool. Jahrb. Syst., *v.* 5 p. 237 t. 25 f. 17; t. 26 f. 17; t. 27 f. 28, 33 | (non 1902 *P. s.*, G. S. Brady in: Tr. zool. Soc. London, *v.* 16 p. 186 t. 24 f. 23—26).

Schale des ♀ ziemlich kurz und hoch, Höhe deutlich größer als $^2/_3$ der Länge; Dorsal- und Ventralrand stark gewölbt, Hinterende gerundet, ohne Andeutung einer Ecke; Rostrum kurz und flach, ohne Andeutung von Ecken, Incisur undeutlich, stumpfwinklig. Schale mit Gruben bedeckt, welche mit Schmutz gefüllt sind und daher die Schale braun punktiert erscheinen lassen. Furca mit 10 Dornen, von denen der 1., 2., 4. Hauptdorneu, die anderen Nebendornen sind. — L. ♀ 1·6 mm, ♂ unbekannt.

Küste von Nordjapan.

7. **P. debilis** G. Brady 1902 *P. d.*, G. S. Brady in: Tr. zool. Soc. London, *v.* 16 p. 186 t. 21 f. 1—5.

Schale des ♂ der von P. japonica ♂ (nr. 2) ähnlich, weniger gestreckt. An der Furca sind der 1., 2., 4., 8. Dorn Hauptdoruen, der 3., 5.—7., 9.—11. Nebendornen; der 4. und 8. Dorn viel kleiner als der 1. und 2., nicht viel größer als die benachbarten Nebendornen. — L. ♂ 1 mm, ♀ unbekannt.

Ceylon.

8. **P. oblonga** (Juday) 1907 *Pleoschisma o.*, Juday in: Univ. Calif. Publ. Zool., *v.* 3 p. 145 t. 19 f. 12; t. 20 f. 1—7.

Schale des ♂ ähnlich wie die von P. japonica (nr. 2) ♂, etwas kürzer, Höhe reichlich $^2/_3$ der Länge. Der 3. und 4. Furcaldorn sind Nebendornen,

welche nicht kürzer, aber deutlich schwächer als der 5. Dorn sind, der ein Hauptdorn ist. — L. ♂ 1·2 mm, ♀ unbekannt.

Küste von California.

9. **P. longiseta** Juday 1902 *P. sordida* (non G. W. Müller 1890), G. S. Brady in: Tr. zool. Soc. London, *v.* 16 p. 186 t. 24 f. 23—26 | 1907 *P. longiseta,* Juday in: Univ. Calif. Publ. Zool., *v.* 3 p. 139 t. 18 f. 13—15.

Schale des ♂ der von P. japonica (nr. 2) ♂ ähnlich, das terminale Glied des Endopodit der 2. Antenne mit einer Borste, die deutlich länger als das Glied ist. Furca zwischen dem 6.—11. Dorne nicht (oder nicht auffällig) behaart, sonst wie bei P. japonica. — L. ♂ 1·9 mm, ♀ unbekannt.

Küste von California.

10. **P. sculpta** G. Brady 1898 *P. s.,* G. S. Brady in: Tr. zool. Soc. London, *v.* 14 p. 434 t. 44 f. 15—20.

Schale des ♂ gestreckt, Höhe etwa $^1/_2$ der Länge, mit flachem Dorsal- und Ventralrande; Hinterende mit deutlicher Spitze, über der sich eine flache Bucht befindet; Rostrumspitze dorsalwärts nicht abgegrenzt, Incisur flach, stumpfwinklig, unregelmäßig; Oberfläche mit kleinen, polygonalen, unregelmäßigen Grübchen und Rippen, von denen zwei stärkere ungefähr parallel und horizontal vom vorderen Ende, wo sie sich vereinigen, zum Hinterrande verlaufen; außerdem zahlreiche, schwächere, anastomosierende Rippen, besonders zwischen den beiden Hauptrippen. Letztes Glied des Endopodit der 2. Antenne schwach gebogen, der konkave Rand mit warzenartigen Vorragungen. Furca mit 10 Dornen, von denen der 1., 2., 4. Hauptdornen sind. — L. ♂ 2·6 mm, ♀ unbekannt.

Ostküste von Neuseeland.

11. **P. moroides** (G. Brady) 1890 *Pleoschisma m.,* G. S. Brady in: Tr. R. Soc. Edinb., *v.* 35 p. 514 t. 1 f. 23, 24 | 1897 *P. m.,* G. S. Brady in: Tr. zool. Soc. London, *v.* 14 p. 92 t. 17 f. 1—11.

Schale annähernd eiförmig, Höhe etwa $^3/_4$ der Länge, Vorderende breit gerundet, ohne Incisur; Hinterrand schmaler, ventral und dorsal flach ausgebuchtet; vom Rücken gesehen eiförmig, Breite gleich $^4/_7$ der Länge; Hinterende breit gerundet, das Vorderende wenig schmaler; Oberfläche fein punktiert; alte Tiere (?) mit runden Knöpfen; dunkelbraun. Letztes Glied des Endopodit der 2. Antenne des ♂ am konkaven Rande tief ausgebuchtet. Furca mit 7 Dornen, von denen der 1., 2., 4. Hauptdornen, die übrigen Nebendornen sind. — L. 1·2 mm.

Küste der Südseeinseln.

12. **P. flexilis** G. Brady 1898 *P. f.,* G. S. Brady in: Tr. zool. Soc. London, *v.* 14 p. 435 t. 44 f. 1—14; (? t. 45 f. 15, 16).

Schale des ♀: Höhe etwas mehr als $^2/_3$ der Länge; Dorsalrand und Ventralrand flach gewölbt, beide gegen den Hinterrand durch je eine Spitze abgegrenzt; Hinterrand steil abfallend, schwach konvex; Rostrum klein aber deutlich, gerundet; Incisur spitzwinklig, im Grunde gerundet; vom Rücken gesehen Breite gleich $^2/_3$ der Länge, die Seiten parallel, unregelmäßig geschwungen; das Hinterende bildet einen stumpfen Winkel; Vorderende abgestutzt; die Oberfläche trägt unregelmäßige Gruben und drei starke Längsrippen. Schale des ♂ der des ♀ ähnlich, aber gestreckter, Höhe etwa

$^1/_2$ der Länge, der Dorsalrand nur undeutlich gegen den Hinterrand abgegrenzt. Endopodit der 2. Antenne beim ♀ ungegliedert, sichelförmig, mit langer, gefiederter Borste. Furca mit etwa 10 Dornen, die ziemlich gleichmäßig proximalwärts an Länge abnehmen; der 1., 2., 4. kräftig, gezähnelt, die anderen schlank, nur fein behaart. — L. ♀ und ♂ 2—2·3 mm.

Ostküste von Neuseeland.

13. **P. folini** G. Brady 1871 *P. f.*, G. S. Brady in: P. zool. Soc. London, p. 294 t. 27 f. 1—5 | 1887 *P. f.*, G. O. Sars in: Arch. Naturv. Kristian., *v.* 12 p. 220 t. 3 f. 3, 4; t. 9 f. 1—13.

Schale des ♀: Höhe gleich $^2/_3$ der Länge; Dorsalrand stark, Ventralrand schwächer gebogen, Hinterrand steil abfallend, gegen den Ventralrand durch eine stumpfe Spitze, gegen den Dorsalrand nicht abgegrenzt. Rostrum deutlich, mit stark abgerundeter vorderer, weniger stark abgerundeter ventraler Ecke; Incisur tief, gerundet; Oberfläche mit zahlreichen Gruben und 4 starken, an den Enden zum Teil zusammenfließenden Längsrippen. Schale des ♂ gestreckter, Höhe etwa $^1/_2$ der Länge, Rostrum breit, schräg abgestutzt, mit deutlicher vorderer, weniger deutlicher ventraler Ecke; Incisur groß, stumpfwinklig; Rippen nur angedeutet. Endopodit der 2. Antenne des ♀ ungegliedert, gerade, mit langer, gefiederter Borste. Furca mit 10 Dornen, von denen der 1.—4. Haupt-, der 5.—10. Nebendornen sind. — L. ♀ 2—2·6, ♂ 2·27 mm.

Mittelmeer; Golf von Biscaya.

14. **P. macandrei** (W. Baird) 1848 *Cypridina Mac Andrei*, W. Baird in: Ann. nat. Hist., ser. 2 *v.* 1 p. 21 t. 6 B f. 1, 2 | 1868 *Bradycinetus m.*, G. S. Brady in: Tr. Linn. Soc. London, *v.* 26 p. 468 t. 33 f. 14—17; t. 41 f. 4 | 1896 *Philomedes m.*, G. S. Brady & A. M. Norman in: Tr. R. Dublin Soc., ser. 2 *v.* 5 p. 661 t. 51 f. 7, 8; t. 52 f. 5, 6.

Schale des ♀: Höhe gleich $^2/_3$ der Länge; Dorsalrand und Ventralrand flach gewölbt; der Hinterrand steil abfallend, gegen den Dorsalrand nicht, gegen den Ventralrand durch einen etwa dreieckigen, an seinem unteren Rande gezähnelten Fortsatz abgegrenzt; Rostrum groß, stark vorragend, stark nach vorn abfallend, mit deutlicher, stumpfwinkliger, vorderer und spitzwinkliger ventraler Ecke; letztere in einen hornartigen, lateralwärts gekrümmten Fortsatz ausgezogen (von der ventralen Seite deutlich sichtbar); Incisur tief und schmal, gerundet. Schale vom Rücken gesehen eiförmig, die größte Breite, die annähernd gleich $^1/_2$ der Länge ist, liegt in der Mitte; am Vorderende sind die Spitzen des Rostrum als seitliche Spitzen sichtbar; das Hinterende wird überragt von einem breiten, in der Mitte ausgeschnittenen Fortsatze; Oberfläche glatt. Furca mit 9—10 Dornen, von denen der 1.—6. Hauptdornen sind; neben jedem Dorne entspringen etwa 6 einfache Borsten. — L. ♀ 2·2 mm, ♂ unbekannt.

Atlantischer Ozean (Westküste von Marokko, Golf von Biscaya, Küste von England und Irland).

15. **P. levis** G. W. Müll. 1894 *P. l.*, G. W. Müller in: F. Fl. Neapel, *v.* 21 p. 211 t. 3 f. 4, 18, 22, 29—31.

Schale des ♀: Höhe etwa $^2/_3$ der Länge; Dorsalrand ziemlich stark, Ventralrand schwach gekrümmt, letzterer in der vorderen Hälfte wellig gebogen; Hinterrand fast gerade, steil abfallend, mit dem Ventralrande einen spitzen, mit dem Dorsalrande einen stumpfen Winkel bildend, beide mit gerundeter Ecke; Rostrum mit deutlicher, nicht abgerundeter ventraler und vorderer Ecke; Incisur deutlich, aber nicht tief, gerundet; Oberfläche glatt.

Endopodit der 2. Antenne des ♀ undeutlich 2-gliedrig; Endglied mit terminaler Borste von der Länge des Gliedes. Furca mit 10 stetig an Größe abnehmenden Dornen, von denen der 1.—6. stark bedornt sind. Neben den Dornen entspringen einzelne Borsten. — L. ♀ 1·3 mm, ♂ unbekannt.

Golf von Neapel.

16. **P. lomae** Juday 1907 *P. l.*, Juday in: Univ. Calif. Publ. Zool., *v.* 3 p. 141 t. 19 f. 1—6.

Schale des ♂: Höhe $^8/_{13}$ der Länge, Dorsalrand stumpfwinklig gebogen, die Spitze des Winkels abgerundet, sie liegt hinter der halben Länge, Ventralrand deutlich gewölbt, Hinterrand deutlich konkav, die Bucht gegen den Dorsalrand durch eine kleine, gegen den Ventralrand durch eine umfangreichere Ecke abgegrenzt, beide Ecken abgerundet. Rostrum sehr breit, ohne Andeutung einer vorderen Ecke, mit kleiner, stumpfwinkliger, ventraler Ecke, Incisur sehr flach. In der hinteren Schalenhälfte zwei Rippen, eine in der Nachbarschaft des Dorsalrandes, die andere in der des Ventralrandes. Furca mit 6 Dornen, die sehr schnell an Umfang abnehmen, der 1. über doppelt so lang wie der 2. — L. ♂ 1·3 mm, ♀ unbekannt.

Küste von California.

17. **P. assimilis** G. Brady 1907 *P. a.*, G. S. Brady in: Nat. antarct. Exp., *v.* 3 nr. 5 p. 5 t. 1 f. 16—21; t. 2 f. 1—6 | 1907 *P. antarctica*, G. S. Brady in: Nat. antarct. Exp., *v.* 3 nr. 5 p. 5 t. 3 f. 1—6 | 1908 *P. assimilis*, G. W. Müller in: D. Südp.-Exp., *v.* 10 p. 87 t. 6 f. 9—17; t. 7 f. 14—16.

Schale des ♀: Höhe etwa $^7/_{10}$ der Länge, Dorsalrand stark gewölbt, gegen Hinter- und Vorderrand nicht abgegrenzt; am Hinterende bildet die Schale auf etwa $^2/_7$ der Höhe eine deutliche, etwa rechtwinklige Ecke, über der der Hinterrand flach eingedrückt ist. Rostrum mit deutlicher vorderer und ventraler Ecke, beide wenig abgerundet; Incisur tief und ziemlich schmal; Ventralrand flach gewölbt. Oberfläche mit kleinen, wenig auffälligen Gruben. In der Nähe der Incisur, ventral von ihr, findet sich medial ein scharf begrenztes Feld mit feiner und dichter, aber deutlicher, dem Rande paralleler Streifung. Schale des ♂ der des ♀ ähnlich, gestreckter, Höhe wenig mehr als $^1/_2$ der Länge, entsprechend ist der Dorsalrand flacher gewölbt, ventrale Ecke des Rostrum ganz, die vordere fast ganz unterdrückt; Incisur flach, stumpfwinklig; die Streifung an der medialen Seite scheint zu fehlen. Furca mit 10 Klauen, welche gleichmäßig an Umfang abnehmen, an der medialen Seite der ersten Borsten entspringt an der Basis ein Büschel feiner Haare. — L. ♀ 1·9—2·15 mm, ♂ 2·3 mm.

Antarktis.

18. **P. charcoti** Daday 1908 *P. c.*, Daday in: Exp. antarct. franç., Ostracodes p. 9 f. 11, 12.

Schale des ♂: Höhe etwa $^2/_3$ der Länge, der Dorsalrand bildet einen stumpfen Winkel, dessen abgerundete Spitze etwa auf $^1/_4$ der Schalenlänge liegt. Ventralrand deutlich gewölbt, Hinterrand deutlich konkav, er bildet mit dem Dorsalrande eine deutliche, kaum abgerundete, mit dem Ventralrande eine stark abgerundete Ecke. Rostrum ohne vordere, aber mit ziemlich deutlicher, etwa rechtwinkliger ventraler Ecke, Incisur mäßig tief, etwa rechtwinklig. Oberfläche gefeldert. Furca mit 8 Dornen, die gleichmäßig an Größe abnehmen. — L. ♂ 1·8—1·9 mm, ♀ unbekannt.

Antarktis.

19. **P. brenda** (W. Baird) 1850 *Cypridina b.*, W. Baird, Brit. Entom., p. 181 t. 23 | 1853 *C. globosa*, Lilljeborg, Clad. Ostr. Cop., p. 171 t. 17 f. 2—10, t. 18 f. 1—3, 7 (♀) | 1853 *Philomedes longicornis*, Lilljeborg, Clad. Ostr. Cop., p. 176 t. 26 f. 4—6, 14—16 (♂) | ? 1855 *Asterope groenlandica*, S. Fischer in: Abh. Bayer. Ak., *v.* 7 p. 660 t. 2 f. 26—34 | 1866 *Bradycinetus globosus*, G. O. Sars in: Forh. Selsk. Christian., p. 110 | 1868 *B. brenda*, G. S. Brady in: Tr. Linn. Soc. London, *v.* 26 p. 466 t. 33 f. 1—5; t. 41 f. 5 | 1869 *Philomedes globosus*, G. O. Sars in: Nyt. Mag. Naturv., *v.* 16 p. 356 | 1871 *Bradycinetus brenda*, G. S. Brady in: P. zool. Soc. London, p. 292 t. 26 f. 6 | 1872 *Philomedes b.*, G. O. Sars in: Forh. Selsk. Christian., p. 280 (Synonymie) | ? 1879 *P. groenlandica*, G. S. Brady in: Folin & Périer, Fonds Mer, *v.* 3 p. 213 (Synonymie) | 1896 *P. brenda*, G. S. Brady & A. M. Norman in: Tr. R. Dublin Soc., ser. 2 *v.* 5 p. 654 t. 51 f. 1—3; t. 56 f. 1—3.

Schale des ♀: Höhe etwa $^3/_4$ der Länge; Ventralrand stark, Dorsalrand schwach gebogen; Hinterrand steil abfallend, gegen den Ventralrand durch eine wenig auffällige, stumpfwinklige, gegen den Dorsalrand durch eine stark gerundete Ecke abgegrenzt; Rostrum mit ziemlich stark abgerundeter vorderer und ventraler Ecke. Incisur mäßig breit und tief, gerundet; Oberfläche mäßig dicht mit kurzen, steifen Haaren bedeckt, glatt oder mit Andeutung kleiner Gruben. Schale des ♂ gestreckter; Höhe etwa $^3/_5$ der Länge. Dorsalrand und Ventralrand flach gewölbt; Rostrum nach vorn gerichtet; Incisur stumpfwinklig, breit. Endopodit der 2. Antenne des ♀ 2-gliedrig; das letzte Glied mit langer, gefiederter Borste nahe der Basis und terminaler, gekrümmter Borste von der Länge des Gliedes; letztes Glied beim ♂ ungezähnelt. Furca mit 9—11 Dornen, welche stetig an Länge abnehmen. — L. bis 3 mm.

Küste von Nordeuropa bis zum Golf von Biscaya. Franz-Joseph-Land.

20. **P. lilljeborgii** (O. Sars) 1866 *Bradycinetus l.*, G. O. Sars in: Forh. Selsk. Christian., p. 112 | 1869 *Philomedes l.*, G. O. Sars in: Nyt. Mag. Naturv., *v.* 16 p. 358 | 1896 *P. l.*, G. S. Brady & A. M. Norman in: Tr. R. Dublin Soc., ser. 2 *v.* 5 p. 658 t. 51 f. 4—6; t. 52 f. 3, 4.

Schale des ♀ kurz, Höhe etwa $^3/_4$ der Länge; Dorsalrand fast gerade, Ventralrand flach gewölbt; Hinterrand gerade, steil abfallend, gegen den Ventralrand durch eine vortretende Spitze abgegrenzt, mit dem Dorsalrande eine gerundete Ecke bildend; Rostrum schmal, stark nach unten geneigt, vordere und ventrale Ecke abgerundet; Incisur tief, ziemlich breit, gerundet; Schale vom Rücken gesehen schmal, Breite weniger als $^1/_2$ der Länge, eiförmig, beide Enden etwas zugespitzt; Oberfläche fein punktiert. Schale des ♂ gestreckter (etwa 1 : 2), Ventralrand fast gerade, Dorsalrand flach eingebuchtet; Rostrum gerade nach vorn gerichtet, nur mit vorderer Ecke; Incisur etwa rechtwinklig. Endglied des Endopodit der 2. Antenne des ♂ schlank, deutlich gebogen, nicht gezähnelt, vor der Mitte erweitert. Furca mit 9—11 stetig an Länge abnehmenden Dornen, die beim ♀ stark gezähnelt, beim ♂ nur behaart sind. — L. ♀ 2·6, ♂ 2·2 mm.

Nördlicher Atlantischer Ozean (Küste von Norwegen und zwischen 45° u. 50° n. Br. und 10° u. 15° w. L.).

21. **P. grubii** (Fr. Müll.) 1870 *Cypridina g.*, Fr. Müller in: Jena. Z., *v.* 5 p. 255 t. 8 f. 1—8.

Schale des ♂ gestreckt, Höhe etwa $^3/_5$ der Länge; Dorsalrand und Ventralrand ähnlich gestaltet, beide stark konvex, der Dorsalrand etwas winklig, Hinterrand gerade, winklig gegen Dorsal- und Ventralrand abgegrenzt; Rostrum breit und stumpf; Incisur flach; Oberfläche mit Gruben bedeckt. Letztes Glied des Endopodit der 2. Antenne des ♂ gerade; das

Ende schwach gebogen, der konkave Rand gezähnt; am Ende zwei Borsten. Furca mit 9 Dornen, von denen der 1.—4. Hauptdornen, die übrigen Nebendornen sind. — L. ♂ 1·4 mm, ♀ unbekannt.

Küste von Südbrasilien.

22. **P. orbicularis** G. Brady 1907 *P. o.*, G. S. Brady in: Nat. antarct. Exp., *v.* 3 nr. 5 p. 4 t. 1 f. 1, 2, 6, 8, 9, 11, 12, 14, 15 | ?1908 *P. laevipes*, Daday in: Exp. antarct. franç., Ostracodes p. 12 (juv.).

Schale des ♀ sehr kurz, Höhe etwa $^3/_4$ der Länge. Dorsal- und Ventralrand stark gewölbt, Hinterende breit gerundet, ohne jede Andeutung einer Ecke. Rostrum mit stumpfwinkliger, ziemlich deutlicher vorderer und spitzwinkliger, etwas abgerundeter, ventraler Ecke, Incisur tief, ventral von der Incisur eine flache Einbuchtung. Oberfläche glatt, dicht mit kurzen Haaren bedeckt. Furca mit 9 Dornen, die gleichmäßig an Umfang abnehmen. — L. ♀ 2·5 mm; ♂ unbekannt (das ebenda beschriebene ♂ dürfte nicht zu der Art gehören).

Antarktis.

P. ctenorhynchus G. Brady 1881 *P. c.*, G. S. Brady in: Folin & Périer, Fonds Mer, *v.* 4 p. 198 t. 12 f. 3—5 | 1896 *Tetragonodon c.*, G. S. Brady & A. M. Norman in: Tr. R. Dublin Soc., ser. 2 *v.* 5 p. 667 t. 58 f. 1—8.

♀ (Larve): Höhe der Schale etwa $^4/_7$ der Länge; Ventralrand stark, Dorsalrand viel schwächer gekrümmt; Hinterrand flach konkav, mit dem Ventralrande eine abgestumpfte Spitze, mit dem Dorsalrande einen stumpfen Winkel mit gerundeter Ecke bildend; Rostrum lang, schlank, schnabelförmig zugespitzt, stark nach vorn gerichtet; Incisur breit und tief, spitzwinklig; Schale vom Rücken: Breite etwas mehr als $^1/_2$ der Länge, die Seiten stark konvex, vor beiden Enden schwach konkav, Hinterende zugespitzt, Vorderende abgestutzt, jederseits mit 4 oder 5 flachen, knotigen Fortsätzen; Oberfläche mit zahlreichen kleinen, runden Gruben. Endopodit der 2. Antenne aus einer flachen Warze mit 1 Borste bestehend. Furca mit 9 Dornen, die gleichmäßig an Länge abnehmen und alle bezahnt sind. — L. 2 mm.

Küste von Marokko? 932 m Tiefe.

2. Gen. **Pseudophilomedes** G. W. Müller

1894 *Pseudophilomedes*, G. W. Müller in: F. Fl. Neapel, *v.* 21 p. 211 | 1896 *Paramekodon*, G. S. Brady & A. M. Norman in: Tr. R. Dublin Soc., ser. 2 *v.* 5 p. 670.

♀. 1. Antenne 6-gliedrig, mit mäßig langen (etwa Länge der Geißel), spärlich verzweigten Borsten, ohne Sinnesborste am 5. (4.) Gliede. 2. Antenne: Exopodit ohne Schwimmborsten; alle Borsten kurz, überragen die Geißel meist nur um deren halbe Länge, sind ungefiedert und meist einseitig mit starken Dörnchen bewaffnet; Endopodit nur als flacher, borstentragender Höcker nachweisbar. Maxille schwach entwickelt, mit nur 2 Kaufortsätzen, die an der Spitze wenige, plumpe Borsten tragen; Taster kurz, die Kaufortsätze wenig überragend, mit wenigen Borsten. 1. Thoraxbein: Kaufortsatz mit wenig Borsten, mit 2 Zähnen, von denen der eine lang und spitz und bisweilen mit Nebenspitzen an seiner Basis versehen, der andere kleiner und von kompliziertem Bau ist. ♂ unbekannt.

3 Arten.

Übersicht der Arten:

1 { Furca mit 6 Dornen. — **2.**
  { Furca mit 10 Dornen . . . . . 3. **P. inflata**

2 { Schale mit deutlichen Längsrippen . . . . . 2. **P. angulata**
  { Schale ohne Längsrippen . . . . . 1. **P. foveolata**

1. **P. foveolata** G. W. Müll. 1894 *P. f.*, G. W. Müller in: F. Fl. Neapel, *v.* 21 p. 212 t. 3 f. 34, 35, 45—49, 51, 53, 54; t. 4 f. 1, 2, 7 | 1896 *Philomedes f.*, G. S. Brady & A. M. Norman in: Tr. R. Dublin Soc., ser. 2 *v.* 5 p. 659 t. 56 f. 4, 5.

Schale des ♀: Höhe etwa $^2/_3$ der Länge. Dorsal- und Ventralrand stark gewölbt; Hinterrand fast senkrecht abfallend, gegen Dorsalrand und Ventralrand scharf abgesetzt; die Ecke gegen den Ventralrand bildet einen kurzen, gerundeten Fortsatz, der rechts größer ist als links; Rostrum nur mit ventraler Ecke, Ventralrand schwach gezähnelt; Incisur ziemlich flach, annähernd rechtwinklig; Oberfläche ziemlich dicht und gleichmäßig mit scharf begrenzten, runden Gruben bedeckt. Furca (Fig. 11) mit 6 Dornen, von denen der 1., 2. und 4. Hauptdornen sind; 1. und 2. am Vorderrande mit einzelnen Börstchen. — L. 0·93 mm. — Fig. 10, 11.

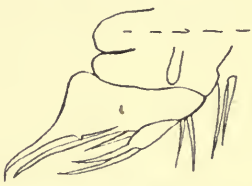

Fig. 10.
Pseudophilomedes foveolata ♀. Kaufortsatz der 1. thoracalen Gliedmaße von der lateralen Seite ($^{160}/_1$).

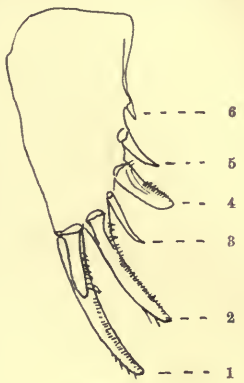

Fig. 11.
Furca von **Pseudophilomedes foveolata** ($^{160}/_1$).

Golf von Neapel.

2. **P. angulata** G. W. Müll. 1894 *P. a.*, G. W. Müller in: F. Fl. Neapel. *v.* 21 p. 212 t. 3 f. 50, 52; t. 4 f. 3.

Schale des ♀ im Umriß der von P. foveolata ähnlich, aber der hintere Fortsatz größer; die Gruben größer, bisweilen nierenförmig; über die Schale ziehen zwei deutliche, schwach nach hinten aufsteigende Längsrippen; die Schale fällt von der Mitte nach dem Ventralrande, dem Dorsalrande und dem Hinterrande steil ab und erscheint eckig. Furca wie bei P. foveolata. — L. 1·23 mm.

Golf von Neapel.

3. **P. inflata** (G. Brady & Norm.) 1896 *Paramekodon inflatus*, G. S. Brady & A. M. Norman in: Tr. R. Dublin Soc., ser. 2 *v.* 5 p. 670 t. 59 f. 1—10.

Schale des ♀: Höhe etwa $^7/_{10}$ der Länge; Dorsalrand und Ventralrand stark gewölbt; Hinterrand gegen den Dorsal- und Ventralrand durch eine dorsal undeutliche, gerundete Ecke abgegrenzt; Rostrum gerundet, Incisur flach, stumpfwinklig; Oberfläche fein punktiert, spärlich behaart. Furca mit 10 Dornen, von denen der 1., 2. und 4. Hauptdornen sind; die Nebendornen verhältnismäßig lang, schlank. — L. 1·7 mm.

Küste von Marokko, 1435 m Tiefe.

3. Gen. **Rutiderma** G. Brady & Norman

1896 *Rutiderma*, G. S. Brady & A. M. Norman in: Tr. R. Dublin Soc., ser. 2 *v.* 5 p. 673 | 1908 *R.*, G. W. Müller in: D. Südp.-Exp., *v.* 10 p. 90.

♀: 1. Antenne fünfgliedrig durch Verschmelzung des 3.—5. und 7. und 8. Gliedes, ohne Sinnesborste am 3. (5.) Gliede, mit mäßig langen, fast unverzweigten Borsten. Das 2. und einige der folgenden Glieder des Exopodit der 2. Antenne mit ungefiederten, die letzten Glieder mit gefiederten Borsten, Endopodit sehr klein, ungegliedert. Basalglied der Mandibel mit oder ohne mundwärts gerichteten Fortsatz, Taster sehr kräftig, gedrungen, terminal mit umfangreicher Zange, die aus starker, unbeweglicher Klaue des 3. Tastergliedes besteht, der das mit einer terminalen Klaue verschmolzene 4. Glied gegenübersteht. Außenast eine einfache Borste. Maxille von sehr gedrungenem Bau, die Kaufortsätze und das terminale Glied des Tasters mit sehr kurzen, starken, zahnartigen Borsten. 1. Thoraxbein nur mit Andeutung einer Gliederung, nur das terminale Glied deutlich abgegliedert; mit 2 sehr kompliziert gestalteten Zähnen, die von einer geringen Zahl steifer Borsten umgeben sind. 2. Thoraxbein ungegliedert. Oberlippe klein. ♂ unbekannt.

2 Arten.

Übersicht der Arten:

Der 1.—3. Furcalanhang ist stark, klauenartig, der 4.—6. schlank, borstenartig . . . . . 1. **R. compressa**

Der 1.—4. Furcalanhang ist stark, klauenartig, der 5. und 6. schlank, borstenartig . . . . . 2. **R. rostrata**

1. **R. compressa** G. Brady & Norm. 1906 *R. c.*, G. S. Brady & A. M. Norman in: Tr. R. Dublin Soc., ser. 2 *v.* 5 p. 673 t. 58 f. 9—16 | 1908 *R. c.*, G. W. Müller in: D. Südp.-Exp., *v.* 10 p. 92 t. 7 f. 1—13.

Schale des ♀: Höhe etwa $^2/_3$ der Länge, Dorsal- und Ventralrand stark gewölbt. Hinterrand fällt senkrecht ab, grenzt sich gegen den Dorsalrand mit deutlicher, stumpfwinkliger Ecke, gegen den Ventralrand durch einen kurzen Fortsatz ab. Rostrum klein, ohne vordere Ecke. Am Ventral- und Hinterrand grenzt sich eine steil aufsteigende Partie scharfkantig gegen eine mittlere, flachere ab; letztere wird besonders in der hinteren Hälfte durchzogen von zwei wenig auffälligen, horizontalen Rippen. Oberfläche unregelmäßig mit kleinen, runden Gruben bedeckt. Furca mit 3 sehr kräftigen, wenig gekrümmten, schnell an Länge abnehmenden Dornen, denen noch 3 kleine Spitzen folgen. — L. ♀ 1·6 mm, ♂ unbekannt.

Küste von Europa und Südafrika.

2. **R. rostrata** Juday 1907 *R. r.*, Juday in: Univ. Calif. Publ. Zool., *v.* 3 p. 147 t. 20 f. 8—13.

Schale des ♀ kurz, Höhe $^3/_4$ der Länge, am höchsten in der hinteren Hälfte, hintere dorsale Ecke unterdrückt, die Schale hier gerundet, hintere ventrale Ecke stumpfwinklig, kein Fortsatz. Oberfläche mit schuppenartiger Skulptur, keine Rippen. An der Furca folgen auf 4 starke, dornartige Anhänge noch 2 schlanke, borstenartige, die letzteren von feinen Haaren umgeben. — L. ♀ 1·2 mm, ♂ unbekannt.

California: San Diego Bay.

C. Subfam. **Sarsiellinae**

1896 Fam. *Sarsiellidae*, G. S. Brady & A. M. Norman in: Tr. R. Dublin Soc., ser. 2 *v.* 5 p. 675 | 1906 Subfam. *Sarsiellinae*, G. W. Müller in: Siboga-Exp., nr. 30 p. 30.

♀: Schale von einem von den übrigen Cypridiniden sehr abweichenden Habitus (Fig. 12, p. 38), bedingt durch sehr starke Wölbung des Ventral-

randes und Ausfall des Rostrum, kurz und hoch, annähernd kreisförmig oder kurz elliptisch, Rostrum und Incisur ganz unterdrückt oder nur schwach angedeutet, hinterer Fortsatz fast stets deutlich, hintere dorsale Ecke ebenfalls meist deutlich. 1. Antenne 5-gliedrig (3.—5. und 7. und 8. Glied verschmolzen), ohne Sinnesborste am 3. (5.) Gliede. 2. Antenne mit rudimentärem, ungegliedertem Endopodit; Exopodit mit langen, gefiederten Schwimmborsten. Mandibel mit sehr kräftigem, gedrungenem, 3-gliedrigem Taster, der 3 sehr starke Klauen trägt, deren letzte mit dem 4. Gliede verschmolzen ist; Exopodit fehlt, Fortsatz des Basalgliedes rudimentär oder fehlend. Maxille sehr gedrungen; die Kaufortsätze, ebenso wie der Taster mit wenigen, aber kräftigen Klauen oder Borsten. 1. Thoraxbein ungegliedert und ohne Zähne, nur mit wenigen Borsten. 2. Thoraxbein ohne Andeutung einer Gliederung. 3. Thoraxbein von gewöhnlicher Form. Furca mit wenigen Dornen. — ♂: Schale (Fig. 13, p. 38) gestreckter als beim ♀, meist mit deutlichem Rostrum und mit Incisur; Hinterende meist wie beim ♀, 1. Antenne wie beim ♀ 5-gliedrig, die Sinnesborste am Ende des 3. (5.) Gliedes trägt auf knopfförmiger Verdickung nahe der Basis sehr zahlreiche feine Sinneshaare. 2. Antenne der des ♀ ähnlich, Endopodit auch hier rudimentär, ähnlich gegliedert wie bei Philomedes oder ungegliedert. Mandibel mit gestreckterem Taster und mit kleinem Exopoditen. Maxille klein, rudimentär, ebenso der Stamm des 1. Thoraxbeines. 2. Thoraxbein wie beim ♀. 3. Thoraxbein kurz, stummelförmig, ungegliedert oder 2-gliedrig, ohne Borsten. Im übrigen wie das ♀. Larven beider Geschlechter mit ähnlicher Schalenform wie die des ♀ oder ♂(?). Gliedmaßen meist wie beim ♀.

1 Gattung mit 19 Arten.

1. Gen. **Sarsiella** Norman

1869 *Sarsiella*, A. M. Norman in: Rep. Brit. Ass., Meet. 38 p. 293 | 1869 *Eurypylus*, G. S. Brady in: Folin & Périer, Fonds Mer, *v.* 1 p. 141 | 1890 *Sarsiella* (♀) + *Streptoleberis* (♂ part.?) + *Pleoschisma* (♂ part.), G. S. Brady in: Tr. R. Soc. Edinb., *v.* 35 p. 516, 515, 513 | 1894 *Sarsiella*, G. W. Müller in: F. Fl. Neapel, *v.* 21 p. 213 (♀ & ♂) | 1896 *S.* (♀) + *Streptoleberis* (♂ part.?) + *Nematohamma* (♂) + *Eurypylus*, G. S. Brady & A. M. Norman in: Tr. R. Dublin Soc., ser. 2 *v.* 5 p. 677, 665, 680, 676 | 1897 *Sarsiella* + *Eurypylus*, G. S. Brady in: Tr. zool. Soc. London, *v.* 14 p. 93, 94.

Mit den Charakteren der Subfamilie.

19 Arten.

Übersicht der Arten, bei denen ♀ und deren Furca bekannt sind:

1 { Der 4. Furcalanhang ist dem 3. ähnlich gestaltet — **3.**
Der 4. Furcalanhang ist viel schlanker als der 3., borstenartig gestaltet — **2.**

2 { Vordere Schalenhälfte mit radiären Rippen . . . . . **14. S. similis**
Vordere Schalenhälfte ohne radiäre Rippen . . . . . **13. S. gracilis**

3 { Furca mit 4 Dornen — **4.**
Furca mit mehr als 4 Dornen — **5.**

4 { Hinterer Fortsatz der Schale spitz . . . . . **12. S. hanseni**
Hinterer Fortsatz der Schale quer abgestutzt . . . . . **11. S. crispata**

5 { 5 Furcaldornen — **6.**
Mehr als 5. Furcaldornen . . . . . **10. S. globulus**

6 { Oberfläche der Schale durch 3 von einem, etwa in der Mitte der Schale liegenden Punkte ausstrahlenden Rippen in drei ebene Felder geteilt, welche die ganze Oberfläche bis auf eine schmale Randpartie einnehmen — **7.**
Oberfläche mit anderer Skulptur oder ohne Skulptur — **8.**

7	Hinterrand gezähnelt	6. **S. americana**
	Hinterrand nicht gezähnelt	7. **S. zostericola**
8	Oberfläche mit kleinen Gruben bedeckt — **9.**	
	Oberfläche (abgesehen von den Rippen) glatt — **12.**	
9	Auf die 5 Furcaldornen folgen noch 8 ungefähr gleich große Borsten	9. **S. sculpta**
	Auf die 5 Furcaldornen folgen noch höchstens 3 kleine Spitzen — **10.**	
10	Schalenoberfläche mit deutlichen Rippen — **11.**	
	Schalenoberfläche ohne Rippen (bis auf eine Spitze nahe der hinteren, dorsalen Ecke)	3. **S. murrayana**
11	3. Thoraxbein beim ♀ mit terminaler Zange	4. **S. capsula**
	3. Thoraxbein beim ♀ ohne terminale Zange	5. **S. levis**
12	Schale ohne jede Andeutung von Rippen	1. **S. simplex**
	Schale mit deutlicher Rippe nahe dem Dorsalrande	2. **S. tumida**

1. **S. simplex** G. Brady 1890 *S. s.*, G. S. Brady in: Tr. R. Soc. Edinb., *v.* 35 p. 516 t. 4 f. 15, 16 | 1897 *S. s.*, G. S. Brady in: Tr. zool. Soc. London, *v.* 14 p. 94 t. 17 f. 16—19.

Schale des ♀ fast kreisförmig, ohne Andeutung einer hinteren dorsalen Ecke, hinterer Fortsatz quer abgestutzt, ohne Rippen oder Gruben; vom Rücken gesehen Breite etwas mehr als $^1/_2$ der Länge, etwa rautenförmig, mit abgerundeten Seiten, zugespitztem vorderem und hinterem Körperende, die vordere Spitze abgestutzt. Furca mit 5 Dornen. — L. ♀ 1·05 mm, ♂ unbekannt.

Neukaledonien: Noumea, Australien: Kap Howe.

2. **S. tumida** A. Scott 1905 *S. t.*, A. Scott in: Herdman, Rep. Ceylon Pearl Fish., Suppl. Rep. 22 p. 369 t. 1 f. **9**, **10**; t. 2 f. 42.

Schale des ♀ annähernd kreisförmig, wenig länger als hoch, am Vorderrande etwas unregelmäßig gestaltet, hintere dorsale Ecke als undeutliche, stark abgerundete, stumpfwinklige Ecke angedeutet; in der hinteren Hälfte in der Nachbarschaft des Dorsalrandes eine im flachen Bogen verlaufende Rippe, die in der Nachbarschaft der hinteren, dorsalen Ecke im Profil den eigentlichen Schalenrand etwas verdeckt. Furca mit 5 fast geraden Dornen, denen noch 3 kleine Borsten folgen. — L. ♀ 1·26 mm, ♂ unbekannt.

Ceylon.

3. **S. murrayana** T. Scott 1893 *S. m.*, T. Scott in: Tr. Linn. Soc. London, ser. 2 *v.* 6 p. 140 t. 14 f. **58**; t. 15 f. 24, 28, 29, 31.

Schale des ♀: Höhe $^3/_4$ der Länge; mit flach gewölbtem Dorsalrande, der sich scharf, fast rechtwinklig gegen den Hinterrand, aber nicht deutlich gegen den Vorderrand abgrenzt; Hinterrand mit deutlichem Fortsatze; Oberfläche dicht mit kleinen Gruben bedeckt, aber ohne Rippen, nur eine Spitze nahe der hinteren dorsalen Ecke. Furca mit 5 rasch an Länge abnehmenden Dornen. — L. ♀ 0·93 mm, ♂ unbekannt.

Golf von Guinea.

4. **S. capsula** Norm. 1869 *S. c.*, A. M. Norman in: Rep. Brit. Ass., Meet. 38 p. 293 | 1894 *S. c.*, G. W. Müller in: F. Fl. Neapel, *v.* 21 p. 214 t. 4 f. **4**, 5, 6, 8—10, 22, 25, 27—29, 31, 33—**35**, 37, 48; t. 8 f. 6, 7.

Schale des ♀ kurz oval, Höhe annähernd $^3/_4$ der Länge (einschließlich Fortsatz); hintere dorsale Ecke deutlich, nicht abgerundet; Oberfläche mit starken Rippen: eine Rippe verläuft dem Schalenrande annähernd parallel.

in der ventralen Hälfte in der Entfernung von etwa $^1/_6$ der Schalenhöhe vom Rande, in der dorsalen hinteren Hälfte sich ihm nähernd; sie grenzt die mittlere Fläche gegen den steil abfallenden Rand ab; von ihr verlaufen zahlreiche kurze Rippen radiär zum Rande; Schale mit zahlreichen Gruben, ziemlich dicht mit feinen Spitzen besetzt. Schale des ♂: Höhe etwa $^2/_3$ der Länge; Dorsalrand stark und ziemlich unregelmäßig gebogen, Ventralrand flach gewölbt, die Wölbung nahe dem Rostrum durch eine Warze unterbrochen; Hinterrand konvex, hintere ventrale Ecke ein umfangreicher, an der Spitze gerundeter Fortsatz; hintere dorsale Ecke rechtwinklig, mit wenig gerundeter Spitze; Rostrum groß, spitz, Incisur stumpfwinklig; Rippe ähnlich wie beim ♀, doch beim Rostrum unterbrochen, von da schräg aufsteigend zum Dorsalrande, der in seiner hinteren Hälfte im Profile von ihr verdeckt wird, von der hinteren, oberen Ecke senkrecht absteigend; radiäre Rippen fehlen fast ganz; den Rippen und dem Rande sitzen häutige Säume auf, entstanden durch Verbindung der Spitzen. 3. Thoraxbein beim ♀ mit kleiner, terminaler Zange, beim ♂ stummelförmig, gerade. Furca mit 5 fast geraden Dornen. — L. ♀ 1·5—1·6 mm, ♂ 1·33 mm.

Mittelmeer; Atlantischer Ozean.

5. **S. levis** G. W. Müll. 1894 *S. l.*, G. W. Müller in: F. Fl. Neapel, *v.* 21 p. 216 t. 4 f. 11, 12, 19, 20, 23, 24, 26, 32, 36, 45—47; t. 8 f. **2, 3** | 1896 *Nematohamma obliqua* (♂), G. S. Brady & A. M. Norman in: Tr. R. Dublin Soc., ser. 2 *v.* 5 p. 680 t. 52 f. 1, 2; t. 53 f. 12—15.

Schale (Fig. 12) des ♀ der von S. capsula ähnlich; die dem Schalenrande parallele Rippe ist flacher, entfernt sich ventral sehr weit vom Schalenrande, nähert sich den Schließmuskelansätzen; in der dorsalen hinteren Hälfte nähert sie sich dem Schalenrande; radiäre Rippen entsprechend länger, Abfall nach dem Schalenrande weniger steil; keine Spitzen. Schale des ♂ (Fig. 13) ebenfalls ähnlich wie bei S. capsula. Rostrum stumpf gerundet; Warze unterhalb der Incisur fehlt. Die übrigen Unterschiede entsprechen denjenigen der Schalen des ♀. 3. Thoraxbein beim ♀ ohne Zange, beim ♂ stumpfwinklig geknickt. Furca wie bei S. capsula. — L. ♀ 1·16, ♂ 1·10 mm. — Fig. 12, 13.

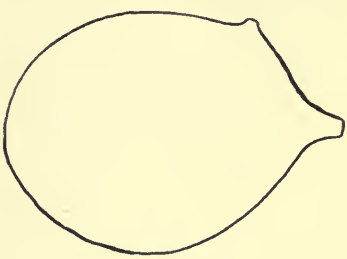

Fig. 12.
Sarsiella levis ♀ ($^{55}/_1$).

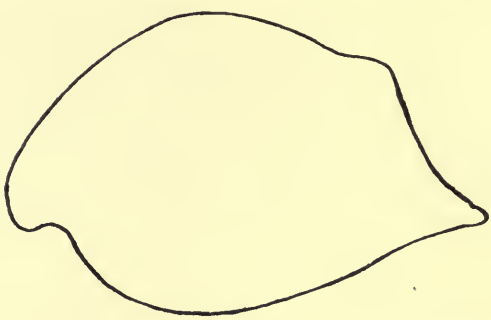

Fig. 13.
Sarsiella levis ♂ ($^{55}/_1$).

Mittelmeer; Atlantischer Ozean.

6. **S. americana** Cushman 1906 *S. a.*, Cushman in: P. Boston Soc., *v.* 32 p. 363 t. 27 f. **1**, 2—6.

Schale kurz oval; Höhe deutlich kleiner als die Länge; hinterer Fortsatz zugespitzt, Hinterrand und Dorsalrand unregelmäßig gebuchtet, an Stelle der

hinteren, dorsalen Ecke (?) ein kleiner, zweispitziger Fortsatz. Dem Schalenrande annähernd parallel und in nächster Nachbarschaft des Ventralrandes, in einiger Entfernung vom Dorsalrande verläuft eine Rippe, die ein umfangreiches Mittelfeld gegen eine schmale Randpartie abgrenzt. Das Mittelfeld wird durch 3 Rippen in 3 Felder geteilt. Diese Rippen gehen von einem konisch erhabenen Punkte in der hinteren ventralen Schalenhälfte aus und verlaufen eine nach dem zweiteiligen Fortsatz, eine zweite bildet annähernd die Verlängerung der 1., bildet mit ihr einen nach vorn offenen, stumpfen Winkel von annähernd 180°, eine 3. verläuft nach hinten (richtiger ventralwärts) und würde in ihrer Verlängerung den oben beschriebenen, stumpfen Winkel etwa halbieren. Die Felder mit zerstreuten Haaren und Gruben. Furca mit 5 Dornen. — L. ♀ 1·3 mm, ♂ unbekannt.

Atlantische Küste von Nordamerika (Vineyard Sund).

7. **S. zostericola** Cushman 1906 *S. z.*, Cushman in: P. Boston Soc., *v.* 32 p. 364 t. 28 f. 7, 8—18 (identisch mit S. americana?).

Schale des ♀: Höhe etwa $^4/_5$ der Länge, hinterer Fortsatz kurz, breit und stumpf; hintere, dorsale Ecke stumpfwinklig gerundet, aber deutlich erkennbar, Ventralrand in seiner hinteren Hälfte flach eingedrückt. Oberfläche mit ähnlicher Skulptur wie bei S. americana, die Skulptur weniger auffällig. Schale des ♂: Höhe etwa $^2/_3$ der Länge, der Dorsalrand annähernd halbkreisförmig; dieser Halbkreis reicht, nur durch eine stumpfwinklige aber deutliche Ecke an Stelle der hinteren dorsalen Ecke unterbrochen, vom Rostrum bis zur hinteren ventralen Ecke; letztere etwa rechtwinklig, die Ecke des Winkels kaum abgerundet, Ventralrand fast gerade. Rostrum mit stumpfwinkliger, abgerundeter, vorderer, aber ohne ventrale Ecke, Incisur flach. Skulptur ähnlich wie bei S. americana ♀. Furca mit 5 Dornen. — L. ♀ 1·2 mm, ♂ 1·3 mm.

Atlantische Küste von Canada (Golf von Canso).

8. **S. carinata** A. Scott 1905 *S. c.*, A. Scott in: Herdman, Rep. Ceylon Pearl Fish., Suppl. Rep. 22 p. 368 t. 1 f. 1, 2; t. 2 f. 40, 41.

Schale des ♂: Höhe etwa $^2/_3$ der Länge; Dorsalrand flach gewölbt; wenig hinter halber Länge bildet er eine deutliche, gerundete Ecke (hintere, dorsale Ecke?), von der aus er, zum Teil durch Fortsätze verdeckt, in geschwungener Linie zum hinteren Fortsatz verläuft, der umfangreich, terminal gerundet ist. Ventralrand flach S-förmig gebogen, in der vorderen Hälfte höckrig, durch eine deutliche Ecke gegen den senkrecht aufsteigenden Vorderrand abgegrenzt; Rostrum nasenartig vorspringend, ohne vordere oder ventrale Ecke. Fast der ganze Schalenrand umzogen von einer Rippe mit radiärer Streifung, zwei ebensolche Rippen verlaufen dem Ventralrande und Dorsalrande parallel in größerer Entfernung von ihnen. die dorsale biegt am Hinterende um, bildet einen kleineren, dorsalen, einen größeren, ventralen Fortsatz, beide Fortsätze überragen den Schalenrand weit; zwischen ventraler Rippe und dem Schalenrande 2 Warzen, ferner eine auf dem hinteren Fortsatze, 4 auf dem Ventralrande in seiner vorderen Hälfte. Oberfläche mit zahlreichen, runden Gruben. Furca mit 5 Dornen. — L. ♂ 1·1 mm, ♀ unbekannt. Nach Scott vielleicht ♂ zu S. tumida (?).

Ceylon.

9. **S. sculpta** G. Brady 1890 *S. s.*, G. S. Brady in: Tr. R. Soc. Edinb., *v.* 35 p. 516 t. 1 f. 17—20 | 1897 *S. s.*, G. S. Brady in: Tr. zool. Soc. London, *v.* 14 p. 93 t. 17 f. 12, 13 (mehrere Arten?).

Schalenkontur und Skulptur sehr variabel; die Oberfläche stets mit Gruben und Rippen, letztere von sehr wechselndem Verlaufe. 3. Thoraxbein mit kleiner Zange. Furca mit 5 Dornen, auf welche noch 8 ungefähr gleich große Borsten folgen. — L. ♀ 1·4 mm, ♂ unbekannt.

Neukaledonien (Noumea), Fidschi-Inseln; Ostküste von Australien (Flinders Passage).

10. **S. globulus** G. Brady 1881 *S. g.*, G. S. Brady in: Folin & Périer, Fonds Mer, *v.* 4 p. 200 t. 15 f. 8, 9 | 1896 *S. g.*, G. S. Brady & A. M. Norman in: Tr. R. Dublin Soc., ser. 2 *v.* 5 p. 679 t. 60 f. **5—7**, 8—17.

Schale annähernd kreisförmig, mit Andeutung einer dorsalen, hinteren Ecke; der Fortsatz am hinteren Rande lang, am Ventralrande scharf durch einen tief einspringenden Winkel abgegrenzt; zwei Rippen, eine dem Hinterrande und Ventralrande etwa parallel verlaufende, und eine dorsale schräg nach hinten aufsteigende, grenzen ein mittleres flaches Feld ab; die erstgenannte Rippe verläuft den Schließmuskelansätzen näher als dem Schalenrande, radiäre Rippen fehlen. Oberfläche überall mit kleinen Gruben bedeckt. 3. Thoraxbein mit kleiner, terminaler Zange. Furca mit 7 Dornen. — L. ♀ 2 mm, ♂ unbekannt.

Atlantische Küste von Nordafrika, 2333 m Tiefe.

11. **S. crispata** A. Scott 1905 *S. c.*, A. Scott in: Herdman, Rep. Ceylon Pearl Fish., Suppl. Rep. 22 p. 369 t. 1 f. **7**, **8**; t. 2 f. 39.

Schale des ♀ kurz oval, Höhe etwa $^4/_5$ der Länge, hinterer Fortsatz kurz und sehr breit, terminal flach ausgebuchtet, stark behaart, hintere, dorsale Ecke im Profil durch überragende Rippen verborgen, anscheinend unterdrückt. Oberfläche mit runzliger, dem Vorder- und Ventralrande parallel und in seiner nächsten Nähe verlaufender schwacher Rippe, welche zahlreiche radiäre Äste zum Schalenrande entsendet, mittlere Fläche der Schale mit zahlreichen, umfangreichen, unregelmäßigen Rippen, die zum Teil im Profile den Schalenrand verdecken. Oberfläche dicht mit ziemlich großen, rundlichen Gruben bedeckt, deren Durchmesser größer ist als ihr Abstand. Furca mit 4 Dornen. — L. ♀ 0·8 mm, ♂ unbekannt.

Küste von Ceylon.

12. **S. hanseni** G. Brady 1898 *S. h.*, G. S. Brady in: Tr. zool. Soc. London, *v.* 14 p. 438 t. 45 f. 1—12.

Schale des ♀: Höhe etwa $^4/_5$ der Länge; hinterer Fortsatz deutlich, zugespitzt, dorsal und ventral durch eine flache Bucht abgegrenzt, hintere dorsale Ecke unterdrückt, Rostrum als etwa rechtwinklige, stark gerundete Ecke angedeutet, Dorsalrand flach gewölbt. Oberfläche mit starken Rippen, eine verläuft dem Ventral- und Hinterrande parallel in einem Abstande von etwa $^1/_5$ der Schalenhöhe vom Rande, sie biegt dorsal um, verläuft der gleich zu erwähnenden, dorsalen Rippe parallel weit nach vorn; die dorsale Rippe erscheint als Fortsetzung des Hinterrandes, mit dem sie über dem hinteren Fortsatze zusammenfällt, sie verläuft dem Dorsalrande parallel; eine dritte Rippe erstreckt sich von der Gegend der Incisur zwischen die beiden Schenkel der erstgenannten Rippe. Oberfläche runzlig, dicht mit kleinen Gruben bedeckt, dicht behaart, dorsal Gruppen von terminal erweiterten Borsten. Schale des ♂ gestreckt, Höhe etwa $^1/_2$ der Länge, Dorsal- und Ventralrand flach gewölbt, hintere, ventrale Ecke als stumpf gerundeter Fortsatz, hintere, dorsale als gerundeter, stumpfer Winkel markiert;

Rostrum breit, gerundet, ohne vordere oder ventrale Ecke; Incisur flach, stumpfwinklig, Rippen ähnlich wie beim ♀, weniger deutlich. Furca schmal, mit 4 Dornen. — L. ♀ 1·05, ♂ 1·1 mm.

Ostküste von Neuseeland.

13. **S. gracilis** A. Scott 1905 *S. g.*, A. Scott in: Herdman, Rep. Ceylon Pearl Fish., Suppl. Rep. 22 p. 368 t. 1 f. **3**, **4**; t. 2 f. **37**.

Schale des ♀: Höhe etwa $^2/_3$ der Länge, Dorsal- und Ventralrand ziemlich flach gewölbt, Vorderende breit gerundet, mit kleinem Einschnitte (Incisur?) unter halber Höhe, Hinterrand gerade, er bildet mit dem Dorsalrande einen deutlichen Winkel von etwa 90° mit wenig abgerundeter Ecke, hinterer Fortsatz an der Basis breit, gleichmäßig verjüngt, die kleine, sehr deutliche Spitze abgesetzt. Eine dem Rande parallele Rippe verläuft parallel und in nächster Nähe des Dorsalrandes, mit dem sie nahe der hinteren dorsalen Ecke zusammenfällt, ferner in der Nachbarschaft des Hinterrandes und der hinteren Hälfte des Ventralrandes. Oberfläche dicht mit kleinen Gruben bedeckt. An der Furca folgen auf 3 kurze, starke Dornen noch 3 stark behaarte Borsten. — L. ♀ 1·34 mm, ♂ unbekannt.

Ceylon.

14. **S. similis** A. Scott 1905 *S. s.*, A. Scott in: Herdman, Rep. Ceylon Pearl Fish., Suppl. Rep. 22 p. 368 t. 1 f. **5**, **6**; t. 2 f. 38.

Schalenumrisse ähnlich wie bei S. gracilis, Dorsal- und Ventralrand stärker gewölbt, der Einschnitt am Vorderrande weniger deutlich, hinterer Fortsatz ohne abgesetzte Spitze, in der Nachbarschaft des Vorderrandes eine dem Rande annähernd parallele Rippe, die in größerer Entfernung vom Rande ($^1/_3$ der Höhe) verläuft, einige radiäre Rippen zum Rande entsendet, in der hinteren Hälfte mit 4 oder 5 Längsrippen, die zum Teil gerade, zum Teil S-förmig geschwungen sind. Oberfläche dicht mit kleinen Gruben bedeckt. Furca ähnlich wie bei S. gracilis. — L. ♀ 0·93 mm, ♂ unbekannt.

Ceylon.

15. **S. rudis** G. Brady 1890 *S. r.*, G. S. Brady in: Tr. R. Soc. Edinb., *v.* 35 p. 517 t. 4 f. 5, 6.

Schale annähernd kreisförmig, mit Andeutung einer hinteren, dorsalen Ecke und mit hinterem Fortsatze, der an seiner Basis nicht scharf abgesetzt ist; Oberfläche ohne starke Rippen, unregelmäßig gewellt und gerippt; Schale vom Rücken gesehen: Breite etwa $^2/_3$ der Länge, annähernd 6-eckig, der vordere Winkel spitzer als der hintere, die beiden vorderen Ecken gerundet. — L. ♀ 0·84 mm, ♂ unbekannt.

Fidschi-Inseln.

16. **S. foveata** G. Brady 1890 *S. f.*, G. S. Brady in: Tr. R. Soc. Edinb., *v.* 35 p. 517 t. 1 f. 21, 22.

Schale des ♀: Kontur der von S. rudis ähnlich, die ganze Oberfläche bedeckt mit ziemlich großen, tiefen, eckigen Gruben, welche so nahe beieinander liegen, daß die Fläche zwischen den Gruben verschwindet, nur unregelmäßige Leisten und Spitzen bleiben; vom Rücken gesehen Breite $^1/_2$ der Länge, am breitesten etwa auf $^2/_3$ der Länge; von hier nach hinten stark in unregelmäßiger, konvexer Linie, nach vorn schwach in unregelmäßig geschwungener Linie konvergierend; hinteres Ende zugespitzt, vorderes breit gerundet. — L. ♀ 1·3 mm, ♂ unbekannt.

Neukaledonien (Noumea).

17. **S. robusta** (G. Brady) 1890 *Pleoschisma r.*, G. S. Brady in: Tr. R. Soc. Edinb., *v.* 35 p. 513 t. 4 f. 13, 14 | 1897 *Sarsiella r.*, G. S. Brady in: Tr. zool. Soc. London, *v.* 14 p. 94 t. 17 f. 14, 15.

♂ (von Sarsiella foveata?): Schale kurz oval, Höhe etwa $^4/_5$ der Länge; am Vorderrande die Andeutung einer Incisur; Hinterende wenig abgestutzt; Oberfläche dicht mit runden Gruben bedeckt; vom Rücken gesehen schmal, Breite annähernd $^1/_2$ der Länge; am breitesten hinter der Mitte; die Seiten bilden flache Bogen, Vorderende abgerundet, Hinterende quer abgestutzt. — L. ♂ 0·9 mm, ♀ unbekannt.

Südsee; Fidschi-Inseln.

18. **S. ornithoides** G. Brady 1902 *S.* (?) *o.*, G. S. Brady in: Tr. zool. Soc. London, *v.* 16 p. 189 t. 23 f. 16—21.

Schale gestreckt, Höhe annähernd $^1/_2$ der Länge, Dorsalrand flach gewölbt, in der Mitte deutlich eingedrückt, hinterer Fortsatz breit, terminal quer abgestutzt, sein Dorsalrand liegt annähernd in der Verlängerung des Dorsalrandes der Schale, ist durch eine flache Bucht von ihm getrennt, sein gerader Ventralrand setzt sich direkt in den stark gewölbten Ventralrand fort; Rostrum breit, ohne vordere, mit stark abgerundeter, ventraler Ecke, Incisur umfangreich aber flach. Oberfläche mit undeutlicher Längsfurche, sonst glatt. Furca mit 2 starken Dornen, denen noch 3 Borsten folgen. — L. 1 mm (Larve eines ♂?).

Ceylon.

19. **S. petrosa** (G. Brady) 1869 *Eurypylus petrosus*, G. S. Brady in: Folin & Périer, Fonds Mer, *v.* 1 p. 141 t. 18 f. 1, 2 | 1897 *E. p.*, G. S. Brady in: Tr. zool. Soc. London, *v.* 14 p. 94 t. 16 f. 25, 26.

(Larve?) Schale oval, Höhe annähernd $^2/_3$ der Länge; Ventralrand [Brady orientiert die Schale umgekehrt] stärker gewölbt als der Dorsalrand; keinerlei Andeutung einer Incisur; hinterer Fortsatz (?) sehr kurz; hintere dorsale Ecke angedeutet, Oberfläche mit kleinen, nicht dicht stehenden Gruben, ohne Leisten; Schale vom Rücken gesehen schmal, Breite etwa $^1/_2$ der Länge, keilförmig, am breitesten nahe dem hinteren Ende, von da aus gleichmäßig zugespitzt. Furca mit zwei sehr starken Dornen, auf welche noch zwei kleine, schwache folgen. — L. 0·8 mm.

Capverdische Inseln (St. Vincent).

D. Subfam. **Asteropinae**

1896 Fam. *Asteropidae*, G. S. Brady & A. M. Norman in: Tr. R. Dublin Soc., ser. 2 *v.* 5 p. 628 | 1906 Subfam. *Cylindroleberinae*, G. W. Müller in: Siboga-Exp., nr. 30 p. 32.

Schale des ♂ stets mit einer Reihe längerer Haare nahe dem hinteren Schalenrande. Dorsale Borste des letzten Gliedes der 1. Antenne in beiden Geschlechtern klauenartig gestaltet. Der Fortsatz des Basalgliedes der Mandibel sehr umfangreich, stark gebogen, in eine Spitze ausgezogen, in seiner distalen Hälfte mit Fortsätzen, in seiner proximalen mit Dörnchen bewaffnet. Maxille ohne Kaufortsätze, an ihrer Stelle eine Gruppe von Borsten; Taster sehr umfangreich, das sonst sehr kleine 1. Glied lang, nach vorn gerichtet, das 2. und 3. gestreckt, ventral gerichtet; das 1. Glied trägt an seinem ventralen Rande eine dichte Reihe langer, steifer Borsten, die eine Art Kamm bilden; dorsal legt sich über das Basalglied des Tasters ein dem Stamme an-

gehörender Fortsatz. Das 1. Thoraxbein besteht aus einem länglichen, gebogenen und gedrehten Blatt, dessen ventraler Rand dicht mit gefiederten Borsten besetzt ist. 2. Thoraxbein ohne jede Andeutung einer Gliederung. Zu beiden Seiten des Rückens 7 blattförmige Kiemen.

2 Gattungen mit 19 sicheren und 6 unsicheren Arten.

Übersicht der Gattungen:

Auf 3 oder 4 Dornen folgt eine größere Anzahl (mindestens 4) borstenartige Gebilde, die sich in ihrer Form sehr auffällig von den Dornen unterscheiden . . . . . 2. Gen. **Cyclasterope**

Mindestens 5 Furcaldornen vorhanden, denen noch einige von den letzten Furcaldornen nicht auffällig unterschiedene Borsten folgen . . . . . 1. Gen. **Asterope**

1. Gen. **Asterope** Philippi

1840 *Asterope* (non Asterope (= Asteropsis) Müller & Troschel 1840, Echinodermata), A. Philippi in: Arch. Naturg., *v.* 61 p. 188 | 1850 *Cypridina* (s. l.), W. Baird, Brit. Ent., p. 176 | 1867 *Cylindroleberis*, G. S. Brady in: Intell. Observ., *v.* 12 p. 127 | 1870 *Cypridina* (s. l.), Fr. Müller in: Jena. Z., *v.* 5 p. 255 | 1878 *Copechaete*, E. Hesse in: Ann. Sci. nat., ser. 6 *v.* 7 nr. 14 p. 1 | 1887 *Asterope*, G. O. Sars in: Arch. Naturv. Kristian., *v.* 12 p. 183 | 1894 *Cylindroleberis* (s. l.), G. W. Müller in: F. Fl. Neapel, *v.* 21 p. 216.

Es sind mindestens 5 Furcaldornen vorhanden, denen noch einige von den letzten Furcaldornen nicht auffällig durch ihre Form unterschiedene Borsten folgen.

11 sichere, 6 unsichere Arten.

Übersicht der sicheren Arten:

1	Dicht vor dem 4. und einigen der folgenden Furcaldornen entspringt eine schlanke Borste	1. **A. hilgendorfii**
	Ähnliche Borsten fehlen — **2.**	
2	Hinterende der Schale abgestutzt, so daß eine hintere dorsale und ventrale Ecke vorhanden ist	3. **A. lichenoides**
	Hinterende der Schale abgerundet oder zugespitzt — **3.**	
3	Hinterrand der Schale mit deutlicher Ecke oder Spitze auf halber Höhe	2. **A. fascigera**
	Hinterrand der Schale abgerundet — **4.**	
4	Furca mit 5—7 Anhängen, von denen wenigstens die 5 ersten deutliche Dornen sind — **5.**	
	Furca mit 8 oder mehr Anhängen, von denen wenigstens die 6 ersten deutliche Dornen sind — **8.**	
5	Am 1. und 2. Furcaldorne finden sich zwischen den dicht stehenden kurzen Spitzen längere Borsten in geringer Anzahl (5 resp. 3)	7. **A. quadrata**
	1. und 2. Furcaldorn ohne solche Borsten — **6.**	
6	Incisur beim ♀ kurz, am dorsalen Rande gemessen $^1/_5$ der Schalenhöhe	6. **A. australis**
	Incisur beim ♀ lang, wenigstens $^1/_3$ der Schalenhöhe — **7.**	
7	3. Thoraxbein mit 10 Borsten	5. **A. norvegica**
	3. Thoraxbein mit 15—16 Borsten	4. **A. abyssicola**
8	L. mehr als 2 mm	11. **A. grisea**
	L. weniger als 2 mm, meist beträchtlich weniger — **9.**	

9 { Exopodit des Mandibulartasters länger als $^1/_2$ des Vorderrandes des 2. Tastergliedes — **10.**
Exopodit des Mandibulartasters kürzer als $^1/_2$ des Vorderrandes des 2. Tastergliedes . . . . . 8. **A. mariae**

10 { Klaue am Ende der 1. Antenne des ♀ länger als der Dorsalrand vom 3.—6. Gliede . . . . . 9. **A. elliptica**
Klaue am Ende der 1. Antenne des ♀ kürzer als der Dorsalrand vom 3.—6. Gliede . . . . . 10. **A. teres**

1. **A. hilgendorfii** G. W. Müll. 1890 *A. h.*, G. W. Müller in: Zool. Jahrb. Syst., *v.* 5 p. 241 t. 25 f. 15; t. 26 f. 8, 20; t. 27 f. 4—6, 17 | 1897 *Cyclasterope hendersoni*, G. S. Brady in: Tr. zool. Soc. London, *v.* 14 p. 86 t. 15 f. 1—12 | ?1900 *Asterope arthuri*, T. Stebbing in: Willey, Zool. Res., Part 5 p. 660 t. 72 A | 1906 *Cylindroleberis hilgendorfii*, G. W. Müller in: Siboga-Exp., nr. 30 p. 33 t. 5 f. 1—5.

Schale des ♀ mäßig gestreckt, Höhe $^2/_3$—$^4/_5$ der Länge; Ventralrand stark gewölbt, Dorsalrand mehr oder weniger deutlich stumpf buckelartig erhoben; Hinterrand gerundet oder mit Andeutung einer Ecke; Incisur klein, fast senkrecht ventralwärts gerichtet, im Grunde gerundet. Schale des ♂: Höhe etwa $^7/_{10}$ der Länge; Dorsal- und Ventralrand deutlich und annähernd gleich stark gewölbt. Hinterende breit gerundet. Das vorletzte Glied des Endopodit der 2. Antenne des ♂ mit wellig gebogenen Rändern, es trägt nahe dem Ende eine Gruppe von etwa 8 Borsten, das terminale Glied schlank, stark gekrümmt. Das 3. Thoraxbein mit etwa 250 Borsten, von denen bis 4 jederseits an einem Ringe entspringen. Furca mit 8 Hauptdornen, auf welche eine dichte, feine Behaarung folgt; dicht neben dem 4.—7. Dorne entspringt eine kräftige Borste von etwa $^1/_3$ der Länge der Dornen. — L. ♀ 6—8 mm, ♂ 5·9 mm.

Küste von Vorderindien und Japan, Malayischer Archipel; Bismarckarchipel? Ceylon.

2. **A. fascigera** (G. Brady) 1902 *Cyclasterope f.*, G. S. Brady in: Tr. zool. Soc. London, *v.* 16 p. 181 t. 21 f. 20—31.

Schale des ♀ (Larve?): Höhe etwa $^3/_4$ der Länge. Dorsal- und Ventralrand stark gewölbt, Dorsal- und Ventralrand konvergieren in flachem Bogen zu einer deutlichen Ecke am Hinterende, welche etwa auf halber Schalenhöhe liegt. Rostrum mit undeutlicher, ventraler Spitze. Incisur schmal, aber nicht tief. Schale des ♂ gestreckter, Höhe etwas größer als $^1/_2$ der Länge, Dorsal- und Ventralrand flach gewölbt, Hinterrand wie beim ♀, Rostrum rechts mit konvexem, links mit konkavem Vorderrande, Incisur schmal und tief. — L. ♀ (Larve?) 5·2 mm, ♂ 6 mm.

Java, Madeira.

3. **A. lichenoides** G. Brady 1902 *A. l.*, G. S. Brady in: Tr. zool. Soc. London, *v.* 16 p. 180 t. 23 f. 22—24.

Schale des ♂: Höhe wenig größer als $^1/_2$ der Länge, Dorsal- und Ventralrand nur schwach gewölbt, Hinterrand etwa senkrecht abgestutzt, die Ecken, die er mit dem Dorsal- und Ventralrande macht, etwas abgerundet, mit rundem Fortsatze auf halber Höhe; Rostrum unregelmäßig gestaltet, Incisur breit, ziemlich flach, Oberfläche mit unregelmäßig angeordneten Kämmen und Rippen. Endopodit der 2. Antenne: das vorletzte Glied mit einer Gruppe von zahlreichen Haaren nahe dem Ende, das letzte schlank, stark, fast halbkreisförmig gebogen. Furca mit 5 langen und schlanken Dornen. — L. ♂ 4·4 mm, ♀ unbekannt.

Borneo.

4. **A. abyssicola** O. Sars 1870 *A. a.*, G. O. Sars in: Forh. Selsk. Christian., p. 170 | 1896 *A. a.*, G. S. Brady & A. M. Norman in: Tr. R. Dublin Soc., ser. 2 *v.* 5 p. 636 t. 52 f. **18, 19**.

Schale des ♀ länglich eiförmig; Höhe wenig mehr als $^1/_2$ der Länge; Dorsal- und Ventralrand flach gewölbt, fast gerade; Hinterende halbkreisförmig abgerundet; Vorderende ähnlich, die Rundung durch die sehr tiefe, vom Eingange an sehr schmale, im Bogen aufsteigende Incisur unterbrochen; Schale glatt. Auge fehlt. 3. Thoraxbein mit 15—16 Borsten. Furca mit 5 Hauptdornen (Borsten daneben?). — L. ♀ 1·32 mm, ♂ unbekannt.

Lofoten; Franz Joseph-Land.

5. **A. norvegica** O. Sars 1869 *A. n.*, G. O. Sars in: Nyt Mag. Naturv., *v.* 16 p. 358 | 1896 *A. n.*, G. S. Brady & A. M. Norman in: Tr. R. Dublin Soc., ser. 2 *v.* 5 p. 635 t. 52 f. **7—9**.

Der A. abyssicola sehr ähnlich, wenig gestreckter. 3. Thoraxbein mit 10 Borsten. Furca mit 5 Dornen, denen noch 2 Borsten folgen. — L. ♂ und ♀ 1·34 mm.

Küste von Norwegen; Schottland.

6. **A. australis** G. Brady 1890 *A. a.*, G. S. Brady in: Tr. R. Soc. Edinb., *v.* 35 p. 515 t. 4 f. 1, 2 | 1898 *A. a.*, G. S. Brady in: Tr. zool. Soc. London, *v.* 14 p. 431 t. 43 f. 1—8 | 1906 *Cylindroleberis a.*, G. W. Müller in: Siboga-Exp., nr. 30 p. 34.

Schale des ♀ der von A. abyssicola ähnlich, höher, Höhe mehr als $^3/_5$ der Länge. Incisur kurz, am oberen Rande gemessen nur $^1/_5$ der Höhe, nach dem Eingange hin stark erweitert. Schale des ♂ ähnlich, etwas gestreckter, Incisur tiefer, im Grunde sehr schmal. Furca mit 5 Hauptdornen, denen noch 2 schwächere folgen. — L. ♀ 1·4 mm, ♂ 1·6 mm.

Neuseeland; Südseeinseln; Malayischer Archipel.

7. **A. quadrata** G. Brady 1898 *A. q.*, G. S. Brady in: Tr. zool. Soc. London, *v.* 14 p. 432 t. 45 f. 17—21.

Schale des ♀ der von A. australis ähnlich; Hinter- und Vorderende gerundet. Furca mit 5 Haupt- und 2 Nebendornen, Gegensatz nicht scharf; die beiden ersten Dornen tragen zwischen den dichtstehenden kurzen Haaren vereinzelte auffallend längere Haare, der 1. Dorn deren 5, der 2. deren 3. — L. 1·3 mm.

Ostküste von Neuseeland; Ceylon.

8. **A. mariae** (W. Baird) 1850 *Cypridina m.*, W. Baird in: P. zool. Soc. London, *v.* 18 p. 257 t. 17 f. 5—7 | 1859 *C. oblonga*, Grube in: Arch. Naturg., *v.* 25 1 p. 322 t. 12 f. 2—5 | 1868 *Cylindroleberis mariae*, G. S. Brady in: Tr. Linn. Soc. London, *v.* 26 p. 465 t. 33 f. 18—22; t. 41 f. 1 (non 1876 *Asterope oblonga*, Claus, Crust.-Syst., p. 92 (Synonymie)) | 1878 *Copechaete elongata* + *? C. affinis*, E. Hesse in: Ann. Sci. nat., ser. 6 *v.* 7 nr. 14 p. 2 t. 12 f. 1, 7; ? p. 4 t. 12 f. 3, 4, 6 | 1887 *Asterope oblonga*, G. O. Sars in: Arch. Naturv. Kristian., *v.* 12 p. 203 t. 1 f. **5—8**; t. 2 f. **1, 2**; t. 5; t. 6 | 1894 *Cylindroleberis o.*, G. W. Müller in: F. Fl. Neapel, *v.* 21 p. 219 t. 4 f. 14—18, 39, 41, 49—55; t. 5 f. **1**, 4, 5, 13, 14, 33, 41—44; t. 8 f. **4**.

Schale des ♀ gestreckt; Höhe $^{40}/_{100}$—$^{46}/_{100}$ der Länge. Dorsal- und Ventralrand fast gerade, parallel; Vorder- und Hinterrand halbkreisförmig gerundet; Incisur schmal und tief, ihr Dorsalrand geradlinig schräg aufsteigend, bald nach dem Eingange hin erweitert, bald nicht. Schale des ♂ ähnlich, nach vorn deutlich verbreitert; Incisur mit breitem Eingange. Distaler Rand des 4. Gliedes der 1. Antenne gerade. Exopodit des Mandibular-

tasters sehr klein, kürzer als $^1/_2$ des Dorsalrandes des 2. Tastergliedes. Furca mit 9 Dornen, die sich nur undeutlich in Haupt- und Nebendornen sondern, Grenze etwa zwischen 6. und 7. Dorn. — L. ♀ 1·54—2 mm, ♂ 1·9 mm.

Mittelmeer; nördlicher und südlicher Atlantischer Ozean; Pazifischer Ozean (California).

9. **A. elliptica** Phil. ?1840 *A. e.*, A. Philippi in: Arch. Naturg., *v.* 61 p. 188 t. 3 f. 9—11 | 1887 *A. e.*, G. O. Sars in: Arch. Naturv. Kristian., *v.* 12 p. 200 t. 1 f. 1—4; t. 4.

Schale des ♀ der von A. mariae ähnlich, kürzer, Höhe etwa $^1/_2$ der Länge; Dorsalrand und Ventralrand deutlich gewölbt. Schale des ♂ gestreckter, Höhe etwa $^6/_{13}$ der Länge, nach vorn verbreitert; Dorsalrand unregelmäßig gebogen, durch eine deutliche Ecke gegen den Hinterrand abgegrenzt. Distaler Rand des 4. (mit dem 3. verschmolzenen) Gliedes der 1. Antenne des ♀ stark gebogen, der ventrale Rand dieses Gliedes etwa nur $^1/_2$ so lang wie das Glied breit ist. Klaue am Ende der 1. Antenne länger als der Dorsalrand des 3.—6. Gliedes. Exopodit des Mandibulartasters länger als $^1/_2$ des 2. Tastergliedes. Furca wie bei A. mariae (?). — L. ♀ 1·44, ♂ 1·72 mm.

Mittelmeer, nördlicher Atlantischer Ozean.

10. **A. teres** (Norm.) 1861 *Cypridina t.*, A. M. Norman in: Ann. nat. Hist., ser. 3 *v.* 8 p. 280 t. 14 f. 10 | ?1867 *Bradycinetus t.*, A. M. Norman in: Rep. Brit. Ass., Meet. 36, p. 198 (Synonymie) | 1876 *Asterope oblonga, A. ovalis*, Claus, Crust.-Syst., p. 92, 93 t. 17 f. 1—10 | 1878 *Copechaete armoricana* + *C. fissa*, E. Hesse in: Ann. Sci. nat., ser. 6 *v.* 7 nr. 14 p. 7 t. 12 f. 9, 10, 12, 13; ?p. 5 t. 12 f. 7 | 1894 *Cylindroleberis teres*, G. W. Müller in: F. Fl. Neapel, *v.* 21 p. 220 t. 4 f. 13, 30; t. 5 f. 15, 24, 25; t. 8 f. 5 | ?1902 *Asterope oculata*, G. S. Brady in: Tr. zool. Soc. London, *v.* 16 p. 179 t. 21 f. 6—13.

Schale des ♀ ziemlich kurz; Höhe etwa $^2/_3$ der Länge, hinten etwas breiter als vorn; Dorsalrand deutlich gewölbt; Ventralrand in der hinteren Hälfte ebenfalls gewölbt, in der vorderen annähernd gerade oder schwach konkav; Vorder- und Hinterende flach gerundet; Incisur nicht tief, stark und rasch verengt. Frisch zeigt das Tier lebhaft gelbrote, seltener blutrote Flecke. Schale des (zugehörigen ?) ♂: Höhe etwas größer als $^1/_2$ der Länge, Dorsal- und Ventralrand flach gewölbt, annähernd parallel, Dorsalrand bisweilen mit deutlichem Eindrucke. Vorder- und Hinterende gerundet, Incisur nicht tief, im Grunde gerundet. Terminale Klaue der 1. Antenne des ♀ kürzer als der Dorsalrand des 3.—6. Gliedes. Vorletztes Glied des Endopodit der 2. Antenne des ♂ mit 3 Borsten nahe dem Ende, terminales Glied nach der Spitze hin stark verjüngt, deutlich S-förmig gebogen. Exopodit des Mandibulartasters wie bei A. elliptica, Furca wie bei A. mariae. — L. ♀ 1·24—1·6 mm, ♂ 1·35 mm.

Mittelmeer, Küste von England und Irland, Ceylon (?).

11. **A. grisea** G. Brady 1898 *A. g.*, G. S. Brady in: Tr. zool. Soc. London, *v.* 14 p. 432 t. 43 f. 9—14.

Schale der von A. mariae ähnlich: Höhe deutlich kleiner als $^1/_2$ der Länge; Incisur tief, sehr schmal, so schmal, daß der dorsale Rand im Profil fast in ganzer Länge den ventralen verdeckt; der dorsale Rand bildet einen flachen, nach hinten absteigenden Bogen. Am Endopodit der 2. Antenne des ♂ trägt das subterminale Glied 2 Borsten, das terminale ist in der basalen Hälfte stark erweitert. Furca mit 6 Dornen, denen noch 3 Borsten folgen. — L. ♀ 2·5—2·8 mm.

Ostküste von Neuseeland.

A. adamsi (W. Baird) 1848 *Cypridina a.*, W. Baird in: Ann. nat. Hist., ser. 2 *v.* 1 p. 22 t. 7.

Vielleicht identisch mit A. hilgendorfii?

Südlicher Atlantischer Ozean.

A. cylindrica G. Brady 1890 *A. c.*, G. S. Brady in: Tr. R. Soc. Edinb., *v.* 35 p. 515 t. 4 f. 7, 8.

Fidschi-Inseln.

A. gracilis Seg. 1885 *A. g.*, Seguenza in: Natural. Sicil., *v.* 5 p. 58; *v.* 4 t. 2 f. 9.

Hafen von Messina.

A. inermis (G. W. Müll.) 1906 *Cylindroleberis i.*, G. W. Müller in: Siboga-Exp., nr. 30 p. 34 t. 5 f. 6—13.

Schale des ♂ gestreckt, Höhe annähernd $^1/_2$ der Länge, Dorsal- und Ventralrand annähernd parallel, nach vorn wenig divergierend, Hinterrand und Dorsalrand bilden eine undeutliche Ecke, Ventralrand flach S-förmig geschwungen. Subterminales Glied des Endopodit der 2. Antenne mit 3 Borsten, terminales löffelartig ausgehöhlt, mit wellig gebogenen Rändern, im Profil erscheint es schlank, schwach gebogen, am inneren Rande ausgebuchtet. Furca mit 6 Dornen, denen noch 3 Borsten folgen, Dornen glatt (nur beim ♂?). — L. ♂ 1·95 mm, ♀ unbekannt.

Malayischer Archipel.

A. olivacea (Dana) 1852 *Cypridina o.*, J. D. Dana in: P. Amer. Ac., *v.* 2 p. 51 | 1852 & 55 *C. o.*, J. D. Dana in: U. S. expl. Exp., *v.* 13II p. 1294; t. 91 f. 3.

Schale des ♂ gestreckt; Länge beträgt annähernd das Doppelte der Höhe; Dorsalrand fast gerade, Ventralrand deutlich gewölbt; Hinterrand steil, fast senkrecht abfallend, bildet mit dem Dorsal- und Ventralrande eine gerundete Ecke; Incisur wenig tief, schräg aufsteigend, gerundet; Oberfläche glatt, tief blaugrün. Furca mit 4 (?) Dornen. — L. 2·5 mm, ♀ unbekannt.

Sulu-See.

A. glacialis nom. nov. G. W. Müll. 1908 *Cylindroleberis ovalis* (non *Asterope o.* Claus 1876), G. W. Müller in: D. Südp.-Exp., *v.* 10 p. 93 t. 8 f. 11—15; t. 9 f. 17, 18.

Schale des ♂: Höhe etwa $^7/_{10}$ der Länge, eiförmig, die vordere Rundung durch die nicht tiefe, etwa rechtwinklige Incisur unterbrochen. Endopodit der 2. Antenne des ♂: das vorletzte Glied mit 3 Borsten, das letzte etwa nur $^2/_3$ so lang wie das vorletzte, stark gebogen. Furca mit 5 Dornen, denen noch 2 Borsten folgen, die Klauen schlank, stark gekrümmt. — L. ♂ 1·35 mm, ♀ unbekannt.

Antarktis.

2. Gen. **Cyclasterope** G. Brady

1897 *Cyclasterope* (part.) G. S. Brady in: Tr. zool. Soc. London, *v.* 14 p. 85 | 1906 *C.*, G. W. Müller in: Siboga-Exp., nr. 30 p. 32.

Auf 3 oder 4 meist kurze Dornen der Furca folgt eine größere Anzahl deutlich schwächerer, borstenartiger Anhänge.

8 Arten.

Übersicht der Arten.

1	Furca mit 4 Dornen	6. **C. brevis**
	Furca mit 3 Dornen — **2.**	
2	Die auf den 3. Dorn folgenden borstenartigen Gebilde erreichen nicht die halbe Länge des letzten Dornes — **3.**	
	Die genannten borstenartigen Gebilde länger als $^1/_2$ des letzten Dornes — **4.**	
3	Die unter dem Schließmuskelansatz horizontal verlaufende Leiste reicht nach vorn nur bis zu $^1/_4$ der Schalenlänge	8. **C. agassizii**
	Die genannte Leiste reicht bis zur Spitze des Rostrum . .	7. **C. fusca**
4	Zwischen dem letzten Dorne und der ersten Borste der Furca ein Abstand, der so groß ist wie der letzte Dorn an seiner Basis breit — **5.**	
	Der genannte Abstand deutlich kleiner als die Breite des letzten Dornes — **6.**	
5	Furca zwischen dem Ursprunge des 2. und 3. Dornes tief ausgeschnitten, tiefer als ein Halbkreis	1. **C. lobiancoi**
	Furca an genannter Stelle flach ausgeschnitten, flacher als ein Halbkreis	2. **C. americana**
6	Furca zwischen dem 2. und 3. Dorne tief ausgeschnitten, tiefer als ein Halbkreis	5. **C. orbicularis**
	Furca zwischen dem 2. und 3. Dorne flach ausgeschnitten, flacher als ein Halbkreis — **7.**	
7	An den Furcaldornen wechseln nahe der Basis große und kleine Spitzen miteinander ab	4. **C. zealandica**
	Die Spitzen der Furcaldornen untereinander ähnlich . . .	3. **C. ovulum**

1. **C. lobiancoi** (G. W. Müll.) 1894 *Cylindroleberis l.*, G. W. Müller in: F. Fl. Neapel, *v.* 21 p. 220 t. 4 f. 40, 42; t. 5 f. **2, 3**, 26, 32, 34, 40.

Schale des ♀ sehr kurz und hoch, fast kreisförmig, Höhe etwa $^5/_6$ der Länge; die Incisur liegt etwa in halber Höhe, ist klein, spitzwinklig, Oberfläche glatt. Schale des ♂ gestreckter, Höhe etwas mehr als $^2/_3$ der Länge. 3. Thoraxbein am Ende breit, quer abgestutzt, der distale Rand mit zwei dichten Reihen an der Spitze stark gekrümmter, an der Basis gezähnelter Borsten. Furca mit drei sehr kräftigen, ziemlich kurzen Dornen, die durch breite Zwischenräume (so breit oder breiter als die Basis der Dornen) getrennt sind; die Furca zwischen den Dornen tief ausgeschnitten; auf die Dornen folgen 9 borstenartige Anhänge, die durch einen Abstand, der etwa gleich der Breite eines Dornes ist, von diesen getrennt sind. — L. ♀ 4·3 mm (Mittelmeer), 5·85—6 mm (Pazifischer Ozean), ♂ 5·25 mm (Pazifischer Ozean).

Mittelmeer, Küste von California.

2. **C. americana** (G. W. Müll.) 1890 *Asterope a.*, G. W. Müller in: Zool. Jahrb. Syst., *v.* 5 p. 240 t. 25 f. **16**; t. 26 f. 9; t. 27 f. 11 | 1890 *A. deutata* (laps.), G. W. Müller in: Zool. Jahrb. Syst., *v.* 5 p. 240.

Schale des ♀ kurz oval, Höhe etwa $^7/_9$ der Länge, Incisur so schmal, daß sich dorsaler und ventraler Rand im Profil decken. 5. Glied der 1. Antenne mit 5 Zähnen am Dorsalrande. Furca der von C. lobiancoi ähnlich, die Borsten wie dort weit von den Dornen getrennt. — L. ♀ 2·3 mm, ♂ unbekannt.

Ostküste von Südamerika (Pernambuco).

3. **C. ovulum** G. Brady 1898 *C. o.*, G. S. Brady in: Tr. zool. Soc. London, *v.* 14 p. 432 t. 43 f. 24—30.

Schale des ♀ der von C. lobiancoi ähnlich, fein punktiert. Die Borsten am Ende des 3. Thoraxbeines an der Spitze gablig geteilt; der längere Ast

jeder Borste am Ende schwach geknöpft, der andere spitz. Furca der von C. lobiancoi sehr ähnlich, zwischen den Dornen nur flach ausgeschnitten; die Borstenreihe beginnt direkt hinter dem 3. Dorne. — L. ♀ 8 mm, ♂ unbekannt.

Südspitze von Neuseeland (Stewart Insel).

4. **C. zealandica** (W. Baird) 1850 *Cypridina z.*, W. Baird in: P. zool. Soc. London, *v.* 18 p. 257 t. 17 f. 11—13 | 1898 *Cyclasterope z.*, G. S. Brady in: Tr. zool. Soc. London, *v.* 14 p. 433 t. 43 f. 15—23.

Schale des ♀ der von C. lobiancoi (nr. 1) ähnlich, etwas gestreckter; Höhe etwa $^4/_5$ der Länge; Incisur schmal, parallel, am Grunde gerundet; Schale in der vorderen Hälfte fein querrunzlig. Schale des ♂ gestreckter (etwa 7 : 10); Dorsal- und Ventralrand stärker gewölbt, ersterer am Ende stumpfwinklig herabgebogen; Hinterrand steil abfallend, fast gerade, gegen den Dorsalrand durch eine scharfe Ecke, gegen den Ventralrand nicht abgegrenzt, mit einer Reihe langer Borsten besetzt. Borsten am Ende des 3. Thoraxbeines deutlich geknöpft, unter dem Knopfe gezähnelt. Furca der von C. ovulum ähnlich; Borsten geringelt, nicht gezähnelt(?). — L. ♀ 5 mm, ♂ 6·25 mm.

Ostküste von Neuseeland.

5. **C. orbicularis** G. Brady 1897 *C. o.*, G. S. Brady in: Tr. zool. Soc. London, *v.* 14 p. 87 t. 15 f. 13—19.

Schale des ♀ der von C. lobiancoi (nr. 1) ähnlich. Basalglied des Endopodit der 2. Antenne des ♀ dicht und fein behaart. Furca der von C. lobiancoi ähnlich, zwischen den Dornen tief ausgeschnitten; die Borsten, welche den Dornen folgen, durch einen halben Dornabstand von diesen getrennt, deutlich gezähnelt. — L. ♀ 2·7 mm, ♂ unbekannt.

Westlich von Valparaiso.

6. **C. brevis** (G. W. Müll.) 1890 *Asterope b.*, G. W. Müller in: Zool. Jahrb. Syst., *v.* 5 p. 239 t. 25 f. 10; t. 26 f. 7; t. 27 f. 7—10, 15, 16 | 1902 *Cyclasterope b.*, G. S. Brady in: Tr. zool. Soc. London, *v.* 16 p. 183 t. 24 f. 16—22.

Schale des ♀ der von C. lobiancoi (nr. 1) ähnlich. Incisur sehr schmal. 5. Glied der 1. Antenne mit einem Zahne am Dorsalrande. Furca der von C. lobiancoi ähnlich, aber mit 4 kurzen, starken Hauptdornen, auf welche noch 5—7 borstenartige, gefiederte Nebendornen folgen. — L. ♀ bis 3·4 mm, ♂ unbekannt (die angeblichen ♂ sind Larven von ♂).

Südöstliche Küste von Japan; Westindien; Malayischer Archipel.

7. **C. fusca** (G. W. Müll.) 1890 *Asterope f.*, G. W. Müller in: Zool. Jahrb. Syst., *v.* 5 p. 242 t. 25 f. 11, 12, 13; t. 27 f. 19—22, 25.

Schale des ♀: Höhe etwa $^4/_5$ der Länge; Ventralrand schwach (besonders in der vorderen Hälfte), Dorsalrand stark gekrümmt; Hinterrand unregelmäßig gezackt; Rostrum spitz; Incisur etwa rechtwinklig; Oberfläche mit zwei starken Leisten; eine dieser Leisten folgt dem Dorsalrande bis zum Rostrum, das sie umzieht, verläuft von hier aus etwa horizontal nach hinten und endet etwa auf $^2/_3$ der Schalenlänge mit flügelartiger Erweiterung; die andere Leiste beginnt unter dem Rostrum, folgt dem Ventral- und Hinterrande und verläuft etwa von der hinteren, dorsalen Ecke in schwach nach vorn geneigtem Bogen parallel dem Dorsalrande bis in die Nachbarschaft des Rostrum. Schale braun, mit zahlreichen helleren Flecken (Gruben), welche sich deutlich in größere und kleinere sondern. Furca mit 3 langen,

schlanken, stark gebogenen Hauptdornen, auf welche noch 4 kurze, schwache, borstenartige Gebilde folgen; die Hauptdornen stehen dicht, ihr Abstand ist geringer als die Breite der Dornen. — L. ♀ bis 2·7 mm, ♂ unbekannt (nur Larven).

Küste von Japan.

8. **C. agassizii** (Fr. Müll.) 1870 *Cypridina a.*, Fr. Müller in: Jena. Z., *v.* 5 p. 255 t. 9.

Schale des ♀ mäßig gestreckt; Höhe etwa $^2/_3$ der Länge, Ventralrand schwach gebogen, Dorsalrand etwa in der Mitte deutlich stumpfwinklig geknickt; Rostrum breit, mit etwa rechtwinkliger Spitze; Incisur flach, stumpfwinklig; Oberfläche mit 3 Leisten, von denen die eine in der Nachbarschaft der vorderen $^2/_3$ des Dorsalrandes verläuft, ohne ihn im Profil zu verdecken; die zweite Leiste beginnt ventral vom hinteren Ende der ersten und folgt dem Dorsal- und Hinterrande, die dritte verläuft etwa in $^1/_3$ der Schalenhöhe horizontal. Furca der von C. fusca ähnlich. — L. ♀ 2 mm.

Küste von Südbrasilien.

Cypridinidarum genera dubia et species dubiae

Cypridina albo-maculata W. Baird 1860 *C. a.-m.*, W. Baird in: P. zool. Soc. London, *v.* 28 p. 201 t. 71 f. 1.

Westaustralien (?) Swan river; Nordwest-Australien (Dunda-Straße).

Cypridina (?) armata G. Brady 1897 *C. (?) a.*, G. S. Brady in: Tr. zool. Soc. London, *v.* 14 p. 89 t. 15 f. 20, 21.

Ostküste von Australien (Flinders passage).

Cypridina baravoni Stebb. 1900 *C. b.*, T. Stebbing in: Willey, Zool. Res., Part 5 p. 663 t. 72 B.

Schale gestreckt, Höhe etwa $^1/_2$ der Länge; Dorsal- und Ventralrand annähernd parallel, der erstere flach gewölbt, der letztere in der vorderen Hälfte schwach eingebuchtet, in der hinteren schwach konvex; Vorderrand des Rostrum gerundet, Hinterende mit stumpf gerundetem Fortsatze, der sich ventralwärts nur undeutlich, dorsalwärts deutlich durch eine Bucht abgrenzt. Endopodit der 2. Antenne klein, nur mit 2 oder 3 Borsten. 3. Thoraxbein nur mit wenigen Borsten. Furca mit 9 Dornen, die proximalwärts ziemlich gleichmäßig an Länge abnehmen, der letzte sehr klein. — L. 1·6 mm. (Zur Subfam. Cypridininae, vielleicht zu Pyrocypris gehörig?)

Bismarck-Archipel; Blanche-Bay.

Cypris bimaculata Nic. 1849 *C. b.*, Nicolet in: Gay, Hist. Chile, *v.* 3 p. 294 t. 4 f. 6.

Vielleicht zu Cylindroleberis gehörig.

Chile (marin).

Bradycinetus biscayensis G. Brady 1881 ? *B. b.*, G. S. Brady in: Folin & Périer, Fonds Mer, *v.* 4 p. 198 t. 15 f. 9.

Golf von Biscaya ?.

Cypridina (?) bradyi Folin 1867 *C. (?) b.*, Folin in: Folin & Périer, Fonds Mer, *v.* 1 p. 245.

Westküste von Afrika, 21° n. Br. (Kap Sainte Anne).

Cypris coerulea Nic. 1849 *C. c.*, Nicolet in: Gay, Hist. Chile, *v.* 3 t. 4 f. 6b und Tafelerklärung.

(Identisch mit Cypris violacea des Textes? siehe unten.)

Chile.

Streptoleberis crenulata G. Brady 1890 *S. c.*, G. S. Brady in: Tr. R. Soc. Edinb., *v.* 35 p. 515 t. 4 f. 3, 4 | ?1898 *Philomedes sculpta*, G. S. Brady in: Tr. zool. Soc. London, *v.* 14 p. 435.

Vielleicht ♂ von Sarsiella sculpta.

Neukaledonia (Noumea).

Cypridina elongata G. Brady 1865 *C. e.*, G. S. Brady in: Tr. zool. Soc. London, *v.* 5 p. 386 t. 62 f. 9.

Südchinesisches Meer.

Tetragonodon erinaceus G. Brady & Norm. 1896 *T. e.*, G. S. Brady & A. M. Norman in: Tr. R. Dublin Soc., ser. 2 *v.* 5 p. 669 t. 59 f. **14, 15.**

Schale: Höhe gleich $^4/_7$ der Länge; Ventralrand deutlich gewölbt, Dorsalrand gerade; Hinterrand gegen den Ventralrand durch eine lange Spitze abgesetzt, gegen den Dorsalrand nicht deutlich abgegrenzt; Rostrum lang und schlank, mit abgerundeter Spitze, stark nach vorn gerichtet; Incisur breit, etwa rechtwinklig. Schale vom Rücken: Breite etwa $^1/_2$ der Länge, Seiten gerade, annähernd parallel, Hinterende etwa rechtwinklig zugespitzt, Vorderende mit etwa rechteckigem Fortsatze. Oberfläche der Schale außer dem hinteren Fortsatze dicht mit spitzen oder keulenförmigen Fortsätzen bedeckt. — L. 2 mm.

Westküste von Marokko.

Cypridina excisa Stimps. 1853 *C. e.*, Stimpson in: Smithson. Contr., *v.* 6 nr. 5 p. 39 t. 2 f. 28.

Ostküste von Nordamerika, nördl. von 42° n. Br.

Streptoleberis favosa G. Brady & Norm. 1896 *S. f.*, G. S. Brady & A. M. Norman in: Tr. R. Dublin Soc., ser. 2 *v.* 5 p. 665 t. 59 f. 16—18; t. 62 f. 20, 21.

Atlantische Küste von Nordafrika, 836 und 2333 m Tiefe.

Cypridina godehevi W. Baird 1860 *C. g.*, W. Baird in: P. zool. Soc. London, *v.* 28 p. 200 t. 71 f. 2.

Madras.

Sarsiella hispida G. Brady 1898 *S. h.*, G. S. Brady in: Tr. zool. Soc. London, *v.* 14 p. 439 t. 45 f. 13, 14.

Ostküste von Neuseeland.

Cypridina japonica G. Brady 1865 *C. j.*, G. S. Brady in: Tr. zool. Soc. London, *v.* 5 p. 386 t. 62 f. 8.

Küste von Japan.

Cypridina nitidula Fr. Müll. 1870 *C. n.*, Fr. Müller in: Jena. Z., *v.* 5 p. 255 t. 8 f. 10—12, 26 (Larve ?) (Asteropinae).

Küste von Südbrasilien.

Cypridina ovum W. Baird 1860 *C. o.*, W. Baird in: P. zool. Soc. London, *v.* 28 p. 201 t. 71 f. 3.

Chinesische Meere.

Streptoleberis rectirostris G. Brady & Norm. 1896 *S. r.*, G. S. Brady & A. M. Norman in: Tr. R. Dublin Soc., ser. 2 *v.* 5 p. 666 t. 59 f. 11—13.

Atlantischer Ozean; Golf von Vizcaya; Küste von Nordafrika; 2794 und 2333 m Tiefe.

Pleoschisma reticulata G. Brady 1890 *P. r.*, G. S. Brady in: Tr. R. Soc. Edinb., *v.* 35 p. 514 t. 4 f. 11, 12.

Südsee.

Cypridina reynaudii M.-E. 1840 *C. r.*, H. Milne-Edwards, Hist. nat. Crust., *v.* 3 p. 410 t. 36 f. 5 a—g.

Indischer Ozean.

Cyclasterope similis G. Brady 1902 *C. s.*, G. S. Brady in: Tr. zool. Soc. London, *v.* 16 p. 183 t. 23 f. 25—29 (Asteropinae).

Java; Ceylon.

Asterope squamiger T. Scott 1894 *A. s.*, T. Scott in: Tr. Linn. Soc. London, ser. 2 *v.* 6 p. 140 t. 14 f. **56**, **57**; t. 15 f. 14, 22, 23, 26.

Schale kurz; Höhe über $^3/_4$ der Länge; Dorsalrand flach, Ventralrand stark gewölbt; beide Enden flach gewölbt; Incisur schmal und tief. Oberfläche schuppenartig gestaltet. Furca mit 4 Hauptdornen, deren erster durch Größe ausgezeichnet ist; den Hauptdornen folgen noch 2 sehr kleine Nebendornen (?). — L. 1·15 mm (Larve?) (Asteropinae).

Golf von Guinea.

Cyclasterope tenera G. Brady 1898 *C. t.*, G. S. Brady in: Tr. zool. Soc. London, *v.* 14 p. 433 t. 44 f. 27—29.

Schale (des ♀?) fast kreisförmig, Höhe etwa $^8/_9$ der Länge. Incisur spitzwinklig; Oberfläche stark runzlig. Furca mit 3 weit voneinanderstehenden Hauptdornen; neben dem zweiten steht eine Gruppe feiner Haare; auf den letzten Hauptdorn folgen nur noch feine Borsten, und zwar unmittelbar. — L. 1·5 mm (vermutlich eine Larve) (Asteropinae).

Ostküste von Neuseeland.

Philomedes vellicata G. Brady 1890 *P. v.*, G. S. Brady in: Tr. R. Soc. Edinb., *v.* 35 p. 513 t. 4 f. 9, 10.

Schale gestreckt; Höhe $^1/_2$ der Länge; Dorsal- und Ventralrand flach gewölbt; Hinterrand schwach konkav, mit dem Dorsal- und Ventralrande eine stark gerundete Ecke bildend; Rostrum sehr breit, gerundet; Incisur ziemlich flach, stumpfwinklig (♂ von Philomedes?). — L. 1·1 mm.

Fidschi-Inseln.

Philomedes wyville-thomsoni G. Brady 1880 *P. w.*, G. S. Brady in: Rep. Voy. Challenger, Zool. *v.* 1 Part 3 p. 160 t. 36 f. 1.

Küste von Südaustralien.

Cypridina sp., Dana 1852 *C. punctata* (non *C. p.* Reuss 1849), J. D. Dana in: P. Amer. Ac., *v.* 2 p. 51 | 1852 & 55 *C. p.*, J. D. Dana in: U. S. expl. Exp., *v.* 13 II p. 1293 t. 91 f. 2 | ?1897 *C. p.*, G. S. Brady in: Tr. zool. Soc. London, *v.* 14 p. 89 t. 16 f. 5—9.

Sulu-See, östlicher Teil.

Cypridina sp., G. Brady 1897 *C. squamosa* (non *C. s.* G. W. Müller 1894), G. S. Brady in: Tr. zool. Soc. London, *v.* 14 p. 90 t. 16 f. 10—12.

Östlicher Archipel.

2. Fam. **Halocypridae**

1852 Gen. *Conchoecia*, J. D. Dana in: P. Amer. Ac., *v.* 2 p. 51 | 1852 Fam. *Halocypridae* (part.: Subfam. *Halocyprinae*), J. D. Dana in: U. S. expl. Exp., *v.* 13II p. 1290 | 1866 Fam. *Conchoeciadae*, G. O. Sars in: Forh. Selsk. Christian., p. 114 | 1887 Fam. *Conchoeciidae*, G. O. Sars in: Arch. Naturv. Kristian., *v.* 12 p. 236 | 1890 Fam. *Halocypridae*, Claus in: Arb. Inst. Wien, *v.* 9 p. 1 | 1894 Fam. *H.*, G. W. Müller in: F. Fl. Neapel, *v.* 21 p. 221.

Schale meist mit deutlichem Rostrum (Fig. 16, p. 59), die Incisur befindet sich stets über halber Höhe, meist nahe dem Dorsalrande, Dorsalrand gerade. Die Schale ist schwach verkalkt (bei konserviertem Materiale infolge der Auflösung des Kalkes häufig weichhäutig). Die 1. Antenne (Fig. 2, p. 3) entspringt hoch oben an der Stirn und hat nie mehr als 6 deutlich gesonderte Glieder. 2. Antenne (Fig. 22, p. 61) mit deutlichem Endopodit; dieser ist 3-gliedrig (♂) oder durch Verschmelzung des 2. und 3. Gliedes 2-gliedrig (♀); beim ♂ (Fig. 21, p. 60) entspringt das letzte Glied seitlich am vorletzten und ist meist hakenförmig; es läßt sich daran gewöhnlich ein an seiner Basis erweiterter proximaler und ein distaler Schenkel unterscheiden; beide bilden meist einen deutlichen Winkel, der distale Schenkel kann selbst wieder winklig gebogen sein. Mandibel (Fig. 5, p. 7) wohl entwickelt, mit kräftigem, kompliziertem Kaufortsatz des Basalgliedes und umfangreichem, 4-gliedrigem Taster, dessen 1. Glied ebenfalls einen Kaufortsatz trägt; als Rest eines Exopodit findet sich meist eine Warze mit 1 oder 2 gefiederten Borsten. Das 1. Thoraxbein besteht aus einem senkrechten, in großem Umfange mit dem Körper verbundenen Stamme mit umfangreicher Atemplatte und 4-gliedrigem, nach hinten gerichtetem Endopodit; das 1. Glied des Endopodit ist kurz, undeutlich gegen den Stamm abgegrenzt; es trägt an seiner stark nach vorn verschobenen Ecke verschiedene starke Borsten, die sich an der Nahrungsaufnahme beteiligen; die 2 nächsten Glieder sind gestreckt, länger als breit; das letzte ist klein und trägt stets 3 terminale Borsten. Der Stamm des 2. Thoraxbeines ist ähnlich gestaltet wie der des ersten; der nach hinten gerichtete Endopodit ist ebenfalls 4-gliedrig; das 1. Glied ist wie die beiden folgenden gestreckt; das letzte wie beim 1. Thoraxbein. Das 3. Thoraxbein ist klein, dorsalwärts gerichtet, undeutlich 2-gliedrig oder ungegliedert, terminal mit 2 Borsten. Furca wohl entwickelt, mit wechselnder Zahl von Dornen. Paarige Augen fehlen. An Stelle des unpaaren steht das sogenannte Frontalorgan (Fig. 14, p. 55, Fig. 19, 20, p. 60), ein stabförmiger Fortsatz, der zwischen oder über der 1. Antenne entspringt und meist des Pigmentes entbehrt (kann fehlen). Mund mit umfangreicher Oberlippe und wohl entwickelten Paragnathen. Geschlechtsorgane stets mit unsymmetrischer Ausmündung; der umfangreiche Penis liegt rechts, die Begattungsöffnung links, die Mündung des Eileiters rechts. Herz (stets?) vorhanden. Marin; stets pelagisch gefischt.

Bei der Bestimmung der Halocypriden ist sehr zu berücksichtigen, daß die Schale infolge Auflösung des Kalkes und Erweichung häufig ihre Form verändert, besonders wenn man sie vom Tiere ablöst; sie wird dadurch meist breiter und die Gestalt des Rostrum ganz anders. Hier ist, so weit möglich, die Form der unveränderten Schalen zugrunde gelegt. Die Skulptur der Schale entzieht sich, wo sie nicht sehr deutlich ist, leicht der Beobachtung.

2 Subfamilien mit 5 Gattungen mit 93 sicheren, 5 unsicheren Arten.

Übersicht der Subfamilien:

Die 1. Antenne sechsgliedrig, die drei letzten Glieder mit langen Schwimmborsten bewaffnet . . . . . A. Subfam. **Thaumatocyprinae**

Die 1. Antenne besteht aus weniger als 6 Gliedern, Gliederung meist undeutlich, die Borsten der 2 letzten Glieder sind sämtlich oder zum Teil zartwandige Sinnesschläuche . . . . . B. Subfam. **Conchoecinae**

A. Subfam. **Thaumatocyprinae**

1906 Subfam. *Thaumatocyprinae*, G. W. Müller in: Ergeb. Tiefsee-Exp., *v.* 8 p. 41.

Schale ohne Rostrum, ohne auffällige Gruppen von Drüsenzellen. 1. Antenne 6-gliedrig, die Glieder beweglich miteinander verbunden, die 3 letzten mit langen Schwimmborsten bewaffnet. Riechborsten scheinen zu fehlen. 2. Antenne: Exopodit mit sehr langen, bis über die Furca hinausreichenden, gefiederten Schwimmborsten. Der Endopodit beim (jungen) ♀ 2-gliedrig, gestreckt, kräftig, terminal mit langen Borsten bewaffnet, Riechschläuche fehlen. Furca mit 2 schlanken Dornen nahe der Spitze, denen eine Reihe von kurzen, unbeweglichen Spitzen folgt. Frontalorgan fehlt. ♂ unbekannt.

1. Gen. **Thaumatocypris** G. W. Müller

1906 *Thaumatocypris*, G. W. Müller in: Ergeb. Tiefsee-Exp., *v.* 8 p. 41.

Mit der Diagnose der Subfamilie.

1 Art.

1. **T. echinata** G. W. Müll. 1906 *T. e.*, G. W. Müller in: Ergeb. Tiefsee-Exp., *v.* 8 p. 42 t. 6 f. 1, 2, 4; 3, 5—10.

Schale kurz, Höhe etwa $^5/_6$ der Länge, Dorsalrand gerade, übrigens etwas unregelmäßig oval. Jede Schale mit 2 langen, dornartigen Fortsätzen, deren einer nahe dem Vorderrande etwa auf halber Schalenhöhe entspringt, im Profil gerade nach vorn gerichtet ist, deren anderer etwa an der Grenze von Vorder- und Ventralrand ebenfalls nahe dem Schalenrande entspringt, stark ventral gerichtet ist. Ferner nur rechts ein kurzer Fortsatz, der am Hinterrande nahe dem Schalenrande entspringt, schräg dorsalwärts gerichtet ist. — L. des (noch nicht geschlechtsreifen) ♀ ohne Fortsätze 1·55, mit Fortsätzen 2 mm.

Indischer Ozean, nahe dem Äquator.

B. Subfam. **Conchoecinae**

1906 Subfam. *Conchoecinae*, G. W. Müller in: Ergeb. Tiefsee-Exp., *v.* 8 p. 43.

Schale mit Rostrum, jede Schale mit einer meist auffälligen Gruppe lateraler Drüsenzellen (Fig. 16—18, p. 59, Fig. 23, p. 89, Fig. 24, p. 92), welche durch einen gemeinsamen Porus in der Nähe des Schalen- oder Schloßrandes münden, die Anordnung der Drüsen an beiden Schalen meist auffällig unsymmetrisch (unsymmetrische Drüsen). 1. Antenne (Fig. 14, p. 55, Fig. 19, 20, p. 60) mit 4 oder weniger Gliedern, die Borsten der 2 letzten Glieder sind sämtlich oder zum Teil als zarte Sinnesschläuche entwickelt. Das 2. Glied (1. Tasterglied) der Mandibel trägt distal an seinem dorsalen Rande eine Warze mit gefiederter Borste. Furca mit Klauen oder Borsten bewehrt, die untereinander ähnlich gestaltet, sämtlich an ihrer Basis beweglich abgesetzt sind. Frontalorgan (Fig. 14, p. 55, Fig. 19, 20, p. 60) vorhanden, stabförmig (stets?), es entspringt hoch oben an der Stirn.

4 Gattungen mit 92 sicheren, 5 unsicheren Arten.

Übersicht der Gattungen:

1	1. Antenne an den beiden terminalen, oft verschmolzenen Gliedern mit 5 Borsten — 2.	
	1. Antenne terminal mit mehr als 5 Borsten — 3.	
2	1. Glied des Endopodit der 2. Antenne mit deutlicher Warze (Mammillarhöcker) an seinem vorderen Rande (Fig. 21, p. 60)	3. Gen. **Conchoecia**
	1. Glied des Endopodit der 2. Antenne ohne Mammillarhöcker (Fig. 15, p. 57)	2. Gen. **Halocypris**
3	1. Antenne terminal mit 6 ähnlich gestalteten Borsten (Sinnesschläuchen) (Fig. 14)	1. Gen. **Archiconchoecia**
	1. Antenne terminal mit mehr als 6 Sinnesschläuchen, zu denen noch andere Borsten kommen (Fig. 26, p. 95)	4. Gen. **Euconchoecia**

1. Gen. **Archiconchoecia** G. W. Müller

1894 *Archiconchoecia*, G. W. Müller in: F. Fl. Neapel, *v.* 21 p. 225.

Schale mit deutlichem Rostrum. 1. Antenne (Fig. 14) undeutlich gegliedert, mit 6 terminalen, langen Sinnesschläuchen, von denen 4 dem letzten, 2 dem vorletzten Gliede angehören; beim ♂ etwas kräftiger als beim ♀, übrigens in beiden Geschlechtern gleich. Endopodit der 2. Antenne ohne Processus mammillaris, die 5 Borsten der 2 terminalen Glieder einander ähnlich, sämtlich Riechborsten. Kauteil der Mandibel ohne deutliche Borsten und Stachelzähne, nur mit kleinen Spitzchen an der betreffenden Stelle. 2. Thoraxbein in beiden Geschlechtern ähnlich, beim ♂ nur etwas kräftiger. Furca mit 6 Dornen. Frontalorgan (Fig. 14) ungegliedert, beim ♂ kräftiger als beim ♀.

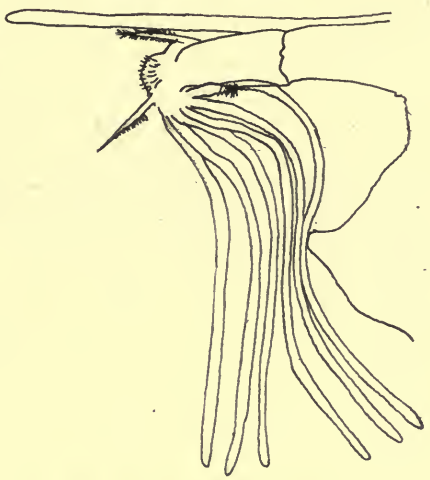

Fig. 14.
Archiconchoecia cucullata ♀.
Antenne und Frontalorgan ($^{115}/_{1}$).

4 Arten.

Übersicht der Arten:

1	Hinterrand der rechten Schale mit umfangreicher Spitze .	4. **A. cucullata**
	Hinterrand der rechten Schale ohne Spitze — 2.	
2	Schale mit konzentrischer Streifung	3. **A. striata**
	Schale glatt oder mit undeutlicher Längsstreifung — 3.	
3	Frontalorgan zugespitzt	1. **A. ventricosa**
	Frontalorgan abgerundet	2. **A. cuneata.**

1. **A. ventricosa** G. W. Müll. 1906 *A. v.*, G. W. Müller in: Ergeb. Tiefsee-Exp., *v.* 8 p. 45 t. 7 f. 1, 2, 3—6.

Schale des ♀: Höhe etwa $^1/_2$ der Länge, nach vorn deutlich verbreitert, der Ventralrand im vorderen $^1/_3$ bauchig vorgewölbt. Hinterrand stark, fast halbkreisförmig gewölbt, Ventralrand schwach S-förmig geschwungen. Oberfläche glatt, die rechte unsymmetrische Drüse mündet am Hinterrande etwa

auf halber Schalenhöhe, die linke ebenfalls am Hinterrande, nahe dem Schloßrande. Schale des ♂ ähnlich, kürzer, vorn stärker vorgewölbt. Das Frontalorgan überragt in beiden Geschlechtern die 1. Antenne nur wenig, es ist stabförmig, schwach gebogen, in eine mehr oder weniger deutliche Spitze ausgezogen. Dorsale Borste des 2. Gliedes der 1. Antenne kräftig, lang, distal mit kurzen, steifen Börstchen besetzt. — L. ♀ 1 mm, ♂ 0·8—0·85 mm.

Atlantischer, Indischer Ozean, in der Nähe des Äquators, südlich bis 19° s. Br.

2. **A. cuneata** G. W. Müll. 1908 *A. c.*, G. W. Müller in: D. Südp.-Exp., *v.* 10 p. 63 t. 8 f. 1—4.

Schale des ♀: Höhe etwas größer als $^1/_2$ der Länge, der Dorsalrand bildet mit dem Hinterrande einen sehr stumpfen Winkel, der Hinterrand bildet eine etwa rechtwinklige Ecke, deren stark abgerundete Spitze über halber Höhe liegt. Ventralrand flach gewölbt, Oberfläche mit wenigen unauffälligen Längsstreifen. Mündung der unsymmetrischen Drüsen ähnlich wie bei A. ventricosa. Das Frontalorgan des ♀ überragt die 1. Antenne deutlich, ist etwas herabgebogen, terminal gerundet. Dorsale Borste der 1. Antenne ähnlich wie bei A. ventricosa. — L. ♀ 1 mm, ♂ unbekannt.

Atlantischer Ozean, 19° s. Br. und 20° w. L.

3. **A. striata** G. W. Müll. 1894 *A. s.*, G. W. Müller in: F. Fl. Neapel, *v.* 21 p. 225 t. 6 f. 31—46, 49; t. 8 f. **34**.

Schale ziemlich kurz, Höhe etwa $^5/_8$ der Länge; der Hinterrand bildet einen starken Bogen, dessen dorsaler Teil mit dem Dorsalrande einen stumpfen Winkel mit abgerundeter Ecke bildet; der Ventralrand stark gewölbt; Rostrum kurz, stark herabgebogen; Schale mit konzentrischer Streifung, die nur in der vorderen Hälfte deutlich ist. Mündung der unsymmetrischen Drüsen rechts und links etwa auf $^2/_3$ der Schalenhöhe, rechts wenig tiefer als links. Frontalorgan des ♂ etwa so lang wie die Gliederreihe der 1. Antenne, beim ♀ kürzer, terminal zugespitzt oder abgerundet. Basalglied des Endopodit der 2. Antenne in beiden Geschlechtern am Hinterrande mit kleinen Börstchen bewehrt. Hakenglied rechts und links ähnlich, beiderseits gerundet, rechts in der mittleren Partie verdickt, bisweilen etwas eckig. — L. etwa 0·6 mm.

Atlantischer, Indischer, Pazifischer Ozean, Mittelmeer, zwischen 40° n. Br. und 37° s. Br.

4. **A. cucullata** (G. Brady) 1902 *Conchoecissa c.*, G. S. Brady in: Tr. zool. Soc. London, *v.* 16 p. 191 t. 24 f. 1—8 | 1906 *Archiconchoecia c.*, G. W. Müller in: Ergeb. Tiefsee-Exp., *v.* 8 p. 44 t. 7 f. 7, **8**, 9—12, 18.

Schale von ♀ und ♂ gestreckt, Höhe beträchtlich kleiner als $^1/_2$ der Länge; Rostrum umfangreich, gerade nach vorn gerichtet, es mißt links $^1/_5$—$^1/_4$ der Gesamtlänge, rechts deutlich kürzer. Hinterrand links stark gewölbt, rechts in eine umfangreiche Spitze ausgezogen, die sehr hoch, annähernd in der Verlängerung des Dorsalrandes liegt. Oberfläche mit auffälligen, bogigen Linien, die aus Reihen von Spitzen bestehen. Die unsymmetrischen Drüsen münden auf kurzen, den Schalenrand überragenden Zapfen; Lage der Mündung ähnlich wie bei A. striata. Frontalorgan lang und dünn, etwa noch einmal so lang wie das 1. und 2. Glied der 1. Antenne (Fig. 14). — L. ♀ 1·85—2·2 mm, ♂ 1·8—2·2 mm. — Fig. 14, p. 55.

Atlantischer, Indischer Ozean, zwischen dem 40° n. Br. und 42° s. Br.

2. Gen. **Halocypris** Dana

1852 *Conchoecia* (s. l.), J. D. Dana in: P. Amer. Ac., *v.* 2 p. 51 | 1852 *Halocypris*, J. D. Dana in: U. S. expl. Exp., *v.* 13II p. 1301 | non 1856 *H.*, Lubbock in: Tr. ent. Soc. London, ser. 2 *v.* 4 p. 28 | 1860 *H.* (s. l.), Lubbock in: Tr. Linn. Soc. London, *v.* 23 p. 188 | 1874 *H.* + *Halocypria*, Claus, Schr. zool. Inh., *v.* 1 p. 6, 7 | 1880 *Halocypris* (s. l.), G. S. Brady in: Rep. Voy. Challenger, Zool. *v.* 1 Part 3 p. 163 | non 1887 *H.*, G. O. Sars in: Arch. Naturv. Kristian., *v.* 12 p. 258 | non 1890 *H.*, G. O. Sars in: Forh. Selsk. Christian., nr. 1 p. 53 | 1890 Subfam. *Halocyprinae* mit Gen. *Halocypris* + *Halocypria*, Claus in: Arb. Inst. Wien, *v.* 9 p. 24, 25.

Schale kurz, Höhe wenigstens $^2/_3$ der Länge. Rostrum kurz oder fast ganz fehlend. Frontalorgan in beiden Geschlechtern gleich gestaltet. 1. Antenne in beiden Geschlechtern mit einer terminalen, verlängerten Borste (Hauptborste) und 4 kürzeren, untereinander meist gleich langen Sinnesborsten. Endopodit der 2. Antenne (Fig. 15) ohne Warze am 1. Gliede. 2. Thoraxbein in beiden Geschlechtern gleich gestaltet.

Fig. 15.
Halocypris cornuta ♂.
Endopodit der 2. Antenne ($^{70}/_1$).
(Die terminalen Borsten gestutzt.)

5 Arten.

Übersicht der Arten:

1	Rechte, unsymmetrische Drüse deutlich dorsalwärts verschoben	1. **H. globosa**
	Rechte, unsymmetrische Drüse an der hinteren ventralen Ecke — **2.**	
2	Rostrum undeutlich, ein flacher, meist undeutlich zweiteiliger Höcker	5. **H. inflata**
	Rostrum deutlich, spitz — **3.**	
3	Schulterwulst fehlt	2. **H. striata**
	Schulterwulst deutlich — **4.**	
4	Geschlechtsreifes Tier wenigstens 3 mm groß	3. **H. cornuta**
	Geschlechtsreifes Tier kleiner als 2 mm	4. **H. bicornis**

1. **H. globosa** (Claus) 1874 *Halocypria g.*, Claus in: Schr. zool. Inh., *v.* 1 p. 7 t. 3 f. 36—39 | 1906 *Halocypris g.*, G. W. Müller in: Ergeb. Tiefsee-Exp., *v.* 8 p. 47 t. 8 f. **13**, **14**, 15, 16, 18, 19; t. 35 f. **1**.

Schale des ♀ zart, kurz. Höhe etwa $^2/_3$ der Länge. Rostrum klein und spitz, stark abwärts gebogen; es liegt etwa auf $^2/_3$ der Schalenhöhe, ist etwas, doch nicht auffällig unsymmetrisch. Dorsalrand und Hinterrand bilden einen etwa rechten Winkel mit abgestutzter Ecke. Hinterrand flach gewölbt, hintere, ventrale Ecke vollständig unterdrückt. Die rechte unsymmetrische Drüse mündet wenig unter halber Höhe. Schale des ♂ gestreckter, Höhe etwa $^3/_5$ der Länge. Rostrum viel größer als beim ♀, gerade nach vorn gerichtet. Mündung der rechten Drüse wie beim ♀. Frontalorgan in beiden Geschlechtern mit ziemlich langem, schlankem, stark herabgebogenem, geradem Endstücke. — L. ♀ 2·6—3, ♂ 1·6—2·25 mm.

Atlantischer, Indischer, Pazifischer Ozean.

2. **H. striata** G. W. Müll. 1906 *H. s.*, G. W. Müller in: Ergeb. Tiefsee-Exp., *v.* 8 p. 47 t. 8 f. **20**, 21—23.

Schale des ♂ ziemlich derb, Höhe annähernd $^2/_3$ der Länge. Schulterwulst nicht vortretend. Hinterrand stark gewölbt, sein dorsaler Abschnitt

bildet mit dem Dorsalrande einen stumpfen Winkel, dessen Ecke ziemlich deutlich. Hintere ventrale Ecke stark abgerundet, Ventralrand stark gewölbt. Rostrum deutlich, stark herabgebogen; es liegt etwa auf $^3/_4$ der Schalenhöhe. Unsymmetrische Drüse unter $^1/_4$ der Schalenhöhe. Frontalorgan wie bei H. globosa. — L. ♂ 2·8 mm, ♀ unbekannt.

Indischer Ozean.

3. **H. cornuta** G. W. Müll.

Diese Art zerfällt in 2 Unterarten:

3a. **H. cornuta cornuta** G. W. Müll. 1906 *H. c. var. typica,* G. W. Müller in: Ergeb. Tiefsee-Exp., *v.* 8 p. 48 t. 5 f. **8, 9**; t. 8 f. 1—3, 5—7 | 1906 *H. taurina,* Vávra in: Ergeb. Plankton-Exp., *v.* 2 G. g. p. 66 t. 7 f. **128—130**, 131, 132a.

Schale des ♀: Höhe etwa $^4/_5$ der Länge, nach vorn deutlich verschmälert, Rostrum klein, die Spitze stark herabgebogen. Hinterrand und Dorsalrand bilden miteinander einen stumpfen Winkel mit etwas abgerundeter Ecke, Hinterrand flach gewölbt, hintere ventrale Ecke stark abgerundet. Schulterwulst vorhanden, an seiner hinteren Grenze in einen nach hinten gerichteten, hornartigen Fortsatz ausgezogen. Vordere Schalenhälfte mit deutlicher, konzentrischer Streifung. Schale des ♂ etwas gestreckter. Frontalorgan ähnlich wie bei H. globosa. — L. ♀ 3·2—3·5, ♂ 3·1—3·25 mm. — Fig. 15, p. 57.

Atlantischer, Indischer Ozean, Malayischer Archipel nördlich vom 11° s. Br.

3b. **H. cornuta dispar** G. W. Müll. 1906 *H. c. var. d.*, G. W. Müller in: Ergeb. Tiefsee-Exp., *v.* 8 p. 48 t. 8 f. **4**.

Das ♂ trägt an Stelle des hornartigen Fortsatzes eine flache Warze, sonst wie H. cornuta c.

Atlantischer, Indischer Ozean, südlich vom 29° s. Br.

4. **H. bicornis** G. W. Müll. 1906 *H. b.*, G. W. Müller in: Ergeb. Tiefsee-Exp., *v.* 8 p. 49 t. 8 f. **8, 9**, 10—12, 17.

H. cornuta ähnlich, in folgenden Punkten unterschieden: Der Schulterwulst erhebt sich in seiner vorderen Hälfte warzig, so daß er im Profil den eigentlichen Schalenrand etwas verdeckt; auf ungefähr $^1/_3$ der Schalenhöhe und $^1/_3$ der Schalenlänge findet sich eine runde Warze. — L. von ♀ und ♂ 1·85 mm.

Atlantischer, Indischer, Pazifischer Ozean zwischen dem 10° s. und n. Br.

5. **H. inflata** (Dana) 1852 *Conchoecia i.* + *C. brevirostris,* J. D. Dana in: P. Amer. Ac., *v.* 2 p. 52 | 1852 & 55 *Halocypris i.* + *H. b.*, J. D. Dana in: U. S. expl. Exp., *v.* 13 II p. 1301 t. 91 f. 8; p. 1303 t. 91 f. 9 | 1860 *H. b.* + *H. toynbeeana,* Lubbock in: Tr. Linn. Soc. London, *v.* 23 p. 189 t. 29 f. 35—39 | 1874 *H. concha,* Claus, Schr. zool. Inh., *v.* 1 p. 7 t. 2 f. **20**, 21—25; t. 3 f. 26—35 | 1880 *H. brevirostris,* G. S. Brady in: Rep. Voy. Challenger, Zool. *v.* 1 Part 3 p. 166 t. 39 f. 1—11 | 1890 *H. concha* + *H. pelagica* + *H. distincta,* Claus in: Arb. Inst. Wien, *v.* 9 p. 24, 25 | 1890 *H. dubia,* G. W. Müller in: Zool. Jahrb. Syst., *v.* 5 p. 269 t. 28 f. 19, 23, 24, 30, 35 | 1891 *H. concha* + *H. pelagica,* Claus, Halocypr., p. 77 t. 8 f. 12; t. 11 f. 6, 7; t. 22 f. 1—12; t. 24 f. 6—20; t. 26 f. 1; p. 78 t. 21 f. 1—11 | 1906 *H. inflata,* G. W. Müller in: Ergeb. Tiefsee-Exp., *v.* 8 p. 50 t. 7 f. **19, 20**, 21—28.

Schale kurz, Höhe $^4/_5$ der Länge; der Hinterrand beim ♂ flach gewölbt, bildet mit dem Dorsalrande annähernd einen rechten Winkel mit stark abgerundeter Ecke; der Ventralrand stark gewölbt; das Rostrum bildet nur

einen flachen, oft zweiteiligen Höcker, unter dem sich als flache Bucht die Incisur findet. Bisweilen mit deutlich konzentrischer Streifung, an deren Stelle eine Felderung treten kann, bisweilen keinerlei Skulptur nachweisbar. Beim ♀ ist der Hinterrand viel stärker gewölbt. Frontalorgan kurz, dick, stumpfwinklig herabgebogen. Endopodit der 2. Antenne des ♂ mit schwach gebogenem distalem Schenkel. — L. 1·1—1·8 mm.

Atlantischer, Indischer und Pazifischer Ozean.

3. Gen. **Conchoecia** Dana

1852 *Conchoecia* (part.), J. D. Dana in: P. Amer. Ac., *v.* 2 p. 51 | 1852 *C.*, J. D. Dana in: U. S. expl. Exp., *v.* 13II p. 1298 | 1856 *Halocypris*, Lubbock in: Tr. ent. Soc. London, n. ser. *v.* 4 p. 28 | 1860 *Conchoecia* + *H.* (part.), Lubbock in: Tr. Linn. Soc. London, *v.* 23 p. 186, 188 | 1866 *C.*, G. O. Sars in: Forh. Selsk. Christian., p. 115 | 1880 *Halocypris* (part.), G. S. Brady in: Rep. Voy. Challenger, Zool. *v.* 1 Part 3 p. 163 | 1887

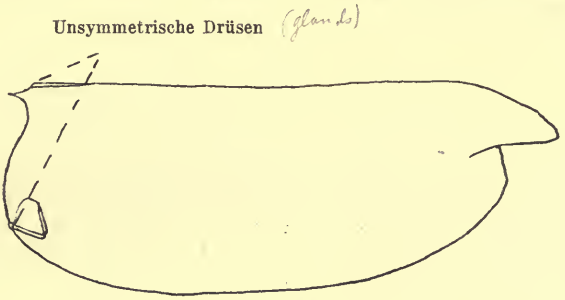

Fig. 16.
Conchoecia discophora. Schale ($^{50}/_{1}$).

Conchoecia + *H.*, G. O. Sars in: Arch. Naturv. Kristian., *v.* 12 p. 238, 258 | 1890 Subfam. *Conchoecinae* mit Gen. *Conchoecia* + *Paraconchoecia* + *Conchoecetta* + *Conchoecilla* + *Conchoecissa* + *Pseudoconchoecia* + *Mikroconchoecia*, Claus in: Arb. Inst. Wien, *v.* 9 p. 6, 7, 13, 16, 17, 18, 20, 22 | 1894 *Conchoecia*, G. W. Müller in: F. Fl. Neapel, *v.* 21 p. 226.

Fig. 17.
Conchoecia discophora. Hinterrand der Schale ($^{115}/_{1}$).

Fig. 18.
Conchoecia macromma. Schale ($^{45}/_{1}$).

Schale stets mit deutlichem Rostrum (Fig. 16), das beim ♀ meist stark ventralwärts gebogen, beim ♂ mehr geradeaus gerichtet ist. Sehr reich an Drüsen, deren Anordnung systematisch sehr wichtig ist. Wir unterscheiden laterale, an der Außenseite der Schale und mediale, an der Innenseite der Schale mündende Drüsenzellen. Beide vereinigen sich zu Gruppen, deren Glieder durch gemeinsamen Porus oder auf einem Drüsenfelde münden, durch Größe ausgezeichnet sind. Anhäufungen der lateralen Drüsenzellen sind 1. die

unsymmetrischen Drüsen (Fig. 16—18), deren Mündung stets nahe dem Schalen- oder Schloßrande, meist rechts nahe der hinteren ventralen, links nahe der hinteren dorsalen Ecke („an gewöhnlicher Stelle") liegt. 2. Die laterale Eckdrüse (Fig. 23, 24, p. 89, 92), die lateral von oder neben (dorsal von) der rechten unsymmetrischen Drüse, links an entsprechender Stelle mündet und meist

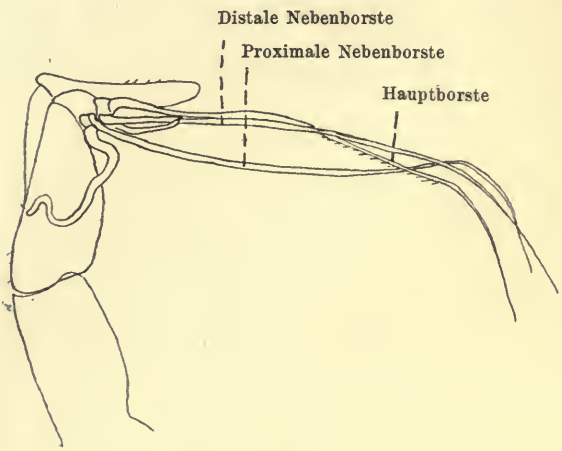

Fig. 19.
Conchoecia magna ♂. Antenne und Frontalorgan ($^{75}/_{1}$).

Fig. 19a.
Conchoecia magna ♂. Distales Stück des Frontalorganes ($^{75}/_{1}$).

beiderseits vorhanden ist; ähnliche Gruppen münden weiter dorsalwärts am Hinterrande, bisweilen ist die Mündung auf die mediale Seite verschoben. Die medialen Drüsenzellen münden in einer Reihe nahe dem Schalenrande, die dorsalen Glieder des Hinterrandes bilden häufig eine Gruppe, die dorsale, mediale Drüse, die meist den dorsalen Abschluß der Reihe bildet, sie ist in ihrem Vorkommen meist auf das ♂ beschränkt. 1. Antenne beim ♂ (Fig. 19) deutlich 4-gliedrig, beim ♀ (Fig. 20) nur undeutlich gegliedert; das 2. Glied trägt dorsal eine Borste, die sich beim ♂ ringförmig um das Frontalorgan legt, beim ♀ bisweilen fehlt; das vorletzte Glied trägt 2, das letzte 3 Borsten, von denen beim ♀ eine, die Hauptborste, steif, verlängert ist, während die 4 anderen kürzere, meist untereinander gleichlange Sinnesschläuche sind; beim ♂ ist ebenfalls eine Borste des letzten Gliedes lang und steif; diese Hauptborste ist stellenweise mit rückwärtsgerichteten Chitinzähnchen, selten anderweitig bewaffnet; eine andere demselben Gliede angehörende Borste ist ebenfalls lang und steif, doch meist schwächer und kürzer als die Hauptborste, nicht

Fig. 20.
Conchoecia magna ♀.
Antenne und Frontalorgan ($^{75}/_{1}$).

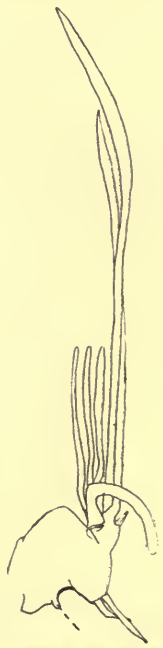

Fig. 21.
Conchoecia inermis ♂.
Endopodit der 2. Antenne ($^{115}/_{1}$).

oder nur mit kleinen Nebenbörstchen bewaffnet, dies ist die distale Nebenborste, ihr ähnlich eine Borste des vorletzten Gliedes, die proximale Nebenborste; je eine Borste des letzten und vorletzten Gliedes sind weichhäutige Sinnesschläuche. Der Endopodit der 2. Antenne (Fig. 21, 22) trägt am Vorderrande seines 1. Gliedes einen warzenartigen Fortsatz (Processus mammillaris), ebenda 2 Borsten, am 2. Gliede 2 lange Borsten, am 3. (beim ♀ mit dem 2. verschmolzen) 3 Sinnesschläuche, das ♂ außerdem am 2. Gliede 2 kurze, laterale Borsten. Das 2. Thoraxbein beim ♂ verlängert, am Ende mit 3 langen, nach oben gerichteten Borsten Frontalorgan beim ♂ (Fig. 19) stets umfangreich, länger als die Gliederreihe der 1. Antenne, es zerfällt in 3 Glieder, von denen das letzte stets erweitert, herabgebogen, an der ventralen Fläche meist mit Dörnchen bewaffnet ist. Beim ♀ (Fig. 20) sehr verschieden gestaltet, meist kürzer als beim ♂, mehr oder weniger deutlich gegliedert, das Endstück meist in ähnlicher Weise mit Dörnchen bewaffnet wie beim ♂. Furca mit 8 Dornen, von denen der 1. länger und schlanker ist, tiefer entspringt als der 2.

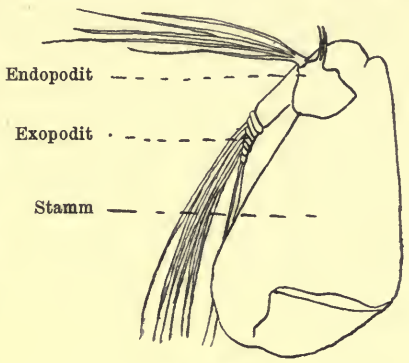

Fig. 22.
Conchoecia magna ♀. 2. Antenne ($^{40}/_{1}$).

80 sichere, 5 unsichere Arten.

Übersicht der sicheren Arten:

1 { Die rechte, unsymmetrische Drüse mündet in der vorderen Schalenhälfte (Fig. 25, p. 93) — **2.**
Die rechte, unsymmetrische Drüse mündet in der hinteren Schalenhälfte (Fig. 16, 18, p. 59) — **4.**

2 { Hintere, dorsale Ecke nicht in eine Spitze ausgezogen . . . . . **79. C. elongata**
Hintere, dorsale Ecke beiderseits in eine Spitze ausgezogen — **3.**

3 { Der Fortsatz der hinteren, dorsalen Ecke umfangreich, er mißt wenigstens $^{1}/_{5}$ der gesamten Schalenlänge . . . . . **80. C. daphnoides**
Der genannte Fortsatz klein, er mißt weniger als $^{1}/_{10}$ der Schalenlänge . . . . . **78. C. chuni**

4 { Die linke, unsymmetrische Drüse mündet in dem vorderen $^{3}/_{4}$ der Schale neben dem Schloßrande (Fig. 18, p. 59) oder auf dem Rostrum — **5.**
Die genannte Drüse mündet im letzten $^{1}/_{4}$ der Schale, neben dem Schloßrande oder an der hinteren, dorsalen Ecke (Fig. 16, 17, p. 59) — **12.**

5 { Die rechte, unsymmetrische Drüse mündet über halber Schalenhöhe (Fig. 18, p. 59) — **6.**
Die rechte, unsymmetrische Drüse mündet unter halber Schalenhöhe . . . . . **9. C. dorsotuberculata**

6 { Die rechte, unsymmetrische Drüse mündet dicht neben dem Schloßrande, in dem Winkel, den beide Schalen miteinander bilden, dicht neben der Spitze des Winkels . . . . . **30. C. rotundata**
Die genannte Drüse mündet in einiger Entfernung von der Spitze des Winkels — **7.**

7	Die linke, unsymmetrische Drüse mündet im vorderen $^1/_5$ der Schalenlänge — **8.**	
	Die linke, unsymmetrische Drüse mündet in dem hinteren $^4/_5$ der Schalenlänge — **11.**	
8	Hauptborste der 1. Antenne des ♂ mit senkrecht abstehenden Spitzen	28. **C. kyrtophora**
	Hauptborste der 1. Antenne des ♂ mit basalwärts gerichteten Spitzen — **9.**	
9	Hauptborste der 1. Antenne des ♂ mit einfacher Reihe von 8 oder 9 Spitzen	31. **C. isocheira**
	Hauptborste der 1. Antenne des ♂ mit mindestens 16 paarweise angeordneten Spitzen — **10.**	
10	Die Mündung der rechten, unsymmetrischen Drüse tritt im Profil nicht winklig hervor	29. **C. nasotuberculata**
	Die Mündung der rechten, unsymmetrischen Drüse tritt im Profil deutlich winklig hervor . . .	26. **C. pusilla**
11	Größer als 1·5 mm	27. **C. glandulosa**
	Kleiner als 1·5 mm	25. **C. macromma**
12	Laterale Eckdrüse fehlt — **13.**	
	Laterale Eckdrüse vorhanden — **72.**	
13	Die rechte, unsymmetrische Drüse mündet auf deutlichem, warzenartigem Fortsatze, der sich am Hinterrande über halber Schalenhöhe findet	6. **C. mamillata**
	Die Mündung der rechten, unsymmetrischen Drüse überragt den Schalenrand nicht — **14.**	
14	Von den Sinnesschläuchen der 1. Antenne sind beim ♀ 3 oder 4, beim ♂ nur der proximale tief zweiteilig (kleine Formen von höchstens 1·25 mm L. mit auffälliger Skulptur) — **15.**	
	Die Sinnesschläuche der 1. Antenne einfach — **18.**	
15	Die rechte unsymmetrische Drüse mündet über halber Schalenhöhe	35. **C. stigmatica**
	Die genannte Drüse mündet auf oder unter halber Schalenhöhe — **16.**	
16	Größer als 1 mm	33. **C. acuticosta**
	Kleiner als 1 mm — **17.**	
17	Endstück des Frontalorganes des ♂ lang und schlank, länger als $^1/_2$ des Stammes	32. **C. curta**
	Endstück des Frontalorganes des ♂ kurz und plump, kürzer als $^1/_2$ des Stammes	34. **C. echinulata**
18	Der gerade Hinterrand bildet mit dem Dorsalrande einen Winkel, der deutlich kleiner als ein rechter ist — **19.**	
	Der Hinterrand gerundet oder annähernd gerade, in letzterem Falle bildet er mit dem Dorsalrande einen Winkel, der wenigstens annähernd so groß wie ein rechter ist — **21.**	
19	Von den 3 Sinnesborsten des Endopodit der 2. Antenne ist einer an der Basis aufgetrieben	20. **C. giesbrechti**
	Keine der 3 genannten Borsten ist an der Basis aufgetrieben — **20.**	
20	Länger als 2 mm	21. **C. acuminata**
	Kürzer als 2 mm	52b. **C. magna rhombica**

21 Von den lateralen Borsten des 2. Gliedes des Endopodit der 2. Antenne des ♂ ist eine so lang oder länger als das Glied (ohne Borsten), die andere beträchtlich kürzer; das ♀ trägt an entsprechender Stelle eine Borste etwa von der Länge des Gliedes — **22.**
Die genannten Borsten sind beim ♂ stets beide kürzer als das Glied; beim ♀ fehlt eine entsprechende Borste — **27.**

22 Hintere, dorsale Ecke einerseits oder beiderseits in eine Spitze ausgezogen — **23.**
Hintere, dorsale Ecke nicht in eine Spitze ausgezogen — **25.**

23 Spitze an der hinteren, dorsalen Ecke nur einseitig vorhanden . . . . . **40. C. orthotrichota**
Spitze an der hinteren, dorsalen Ecke beiderseits vorhanden — **24.**

24 Die Spitzen der Hauptborste der 1. Antenne des ♂ klein, stark basalwärts gerichtet . . . . . **37. C. bispinosa**
Die Spitzen der Hauptborste der 1. Antenne des ♂ lang, konisch, fast senkrecht abstehend . . **38. C. striola**

25 Die Sinnesschläuche des Endopodit der 2. Antenne messen in beiden Geschlechtern wenigstens $^1/_4$ der längsten Borste des Endopodit — **26.**
Die Sinnesschläuche des Endopodit der 2. Antenne messen in beiden Geschlechtern weniger als $^1/_4$ der längsten Borste des Endopodit . . . . . **39. C. atlantica**

26 Hinterrand der Schale in seiner dorsalen Hälfte deutlich eingebuchtet, der Hinterrand schwach S-förmig gebogen . . . . . **36. C. haddoni**
Hinterrand nicht eingebuchtet, nicht S-förmig gebogen . . . . . **41. C. gaussi**

27 ♀ — **28.**
♂ — **49.**

28 Dorsale Borste der 1. Antenne des ♀ vorhanden — **29.**
Dorsale Borste der 1. Antenne des ♀ fehlend — **43.**

29 Hauptborste der 1. Antenne des ♀ mit langer, dünner, stark abstehender Behaarung am Vorderrande in der proximalen Hälfte — **37.**
Hauptborste der 1. Antenne des ♀ ohne solche Behaarung — **30.**

30 Rechte, unsymmetrische Drüse deutlich vor der hinteren, ventralen Ecke . . . . . **12. C. dasyophthalma ♀**
Rechte, unsymmetrische Drüse an der hinteren, ventralen Ecke — **31.**

31 Schale des ♀ größer als 2·4 mm — **32.**
Schale des ♀ kleiner als 2·4 mm — **33.**

32 Schale des ♀ größer als 3 mm . . . . . **50. C. macrocheira ♀**
Schale des ♀ kleiner als 3 mm . . . . . **42. C. incisa ♀**

33 Frontalorgan des ♀ zugespitzt, das Endstück deutlich stumpfwinklig herabgebogen — **34.**
Frontalorgan des ♀ spitz oder stumpf, gerade oder kaum merklich herabgebogen — **35.**

34	Hinterrand stark gewölbt	51. **C. subarcuata** ♀
	Hinterrand schwach gewölbt	52a. **C. magna magna** ♀
35	Hintere, dorsale Ecke in eine Spitze ausgezogen	13. **C. discophora** ♀
	Hintere, dorsale Ecke nicht in eine Spitze ausgezogen, stumpfwinklig — **36.**	
36	Die Mündung der linken, unsymmetrischen Drüse entfernt sich deutlich von der hinteren Grenze des Schloßrandes (Entfernung 0·11—0·3 mm)	24. **C. parthenoda** ♀
	Die Mündung der linken, unsymmetrischen Drüse liegt dicht bei der hinteren Grenze des Schloßrandes (Entfernung 0·04 mm)	23. **C. obtusata** ♀
37	Schale des ♀ (mit schwanzartigem Fortsatze) länger als 6 mm	11. **C. caudata** ♀
	Schale kürzer als 6 mm — **38.**	
38	Schale des ♀ länger als 3 mm — **39.**	
	Schale des ♀ kürzer als 3 mm — **40.**	
39	Schale im ganzen Umfange mit sehr auffälliger, netzartiger Skulptur	10. **C. reticulata** ♀
	Schale zum größten Teile ohne deutliche Skulptur	4. **C. aequiseta** ♀ und 5. **C. hirsuta** ♀
40	Die dorsale Borste der 1. Antenne des ♀ so lang oder länger als das 2. Glied — **41.**	
	Die dorsale Borste der 1. Antenne deutlich kürzer als das 2. Glied	7. **C. echinata** ♀
41	Hintere, dorsale Ecke rechts deutlich oder in eine Spitze ausgezogen — **42.**	
	Hintere, dorsale Ecke beiderseits stark abgerundet	8. **C. inermis** ♀
42	Schulterwulst in ganzem Umfange scharfkantig .	1. **C. spinifera** ♀
	Schulterwulst nicht oder nur in der hinteren Hälfte scharfkantig	2. **C. oblonga** ♀ und 3. **C. allotherium** ♀
43	Schale in der Nachbarschaft des Ventralrandes mit auffälligen, dem Schalenrande parallelen Rippen, von denen eine in der Nachbarschaft des Vorderendes verzweigt ist — **44.**	
	Schale ohne ähnliche Skulptur — **45.**	
44	Größer als 2·5 mm	19. **C. cophopyga** ♀
	Kleiner als 2·5 mm	18. **C. dentata** ♀
45	Der Stamm der 1. Antenne des ♀ ist kürzer als $^1/_2$ des Frontalorganes — **46.**	
	Der Stamm der 1. Antenne ist länger als $^1/_2$ des Frontalorganes — **48.**	
46	Frontalorgan des ♀ kahl	15. **C. brachyaskos** ♀
	Frontalorgan des ♀ behaart — **47.**	
47	Längere Borste des Endopodit der 2. Antenne des ♀ behaart	16. **C. procera** ♀
	Die genannte Borste kahl	17. **C. decipiens** ♀
48	Frontalorgan des ♀ terminal zugespitzt	53. **C. spinirostris** ♀
	Frontalorgan des ♀ terminal abgerundet	14. **C. elegans** ♀
49	Schale des ♂ länger als 2·5 mm — **50.**	
	Schale des ♂ kürzer als 2·5 mm — **54.**	
50	Schale des ♂ länger als 5 mm	11. **C. caudata** ♂
	Schale des ♂ kürzer als 5 mm — **51.**	

51 Rechte, unsymmetrische Drüse deutlich dorsalwärts verschoben, über 1/3 der Schalenhöhe — **52.**
Rechte, unsymmetrische Drüse an gewöhnlicher Stelle — **53.**

52 Distale Borste am 1. Gliede des Endopodit der 2. Antenne des ♂ mit dünner, langer Behaarung — **5. C. hirsuta ♂**
Die genannte Borste kahl . . . . . — **4. C. aequiseta ♂**

53 Schale mit sehr auffälliger Skulptur . . . . . — **10. C. reticulata ♂**
Schale ohne oder nur mit sehr undeutlicher Skulptur — **50. C. macrocheira ♂**

54 An der Hauptborste der 1. Antenne findet sich an Stelle der Bewaffnung eine kurze Doppelreihe langer zarter Borsten, die miteinander derart verkleben, daß ein ovales Blatt entsteht — **55.**
Hauptborste mit typischer Bewaffnung oder ohne Bewaffnung — **56.**

55 Die Borsten des 2. Gliedes des Endopodit der 2. Antenne des ♂ sind an der Basis aufgetrieben . . . . . — **13. C. discophora ♂**
Die genannten Borsten sind an der Basis nicht aufgetrieben . . . . . — **14. C. elegans ♂**

56 Die Nebenborste des subterminalen Gliedes der 1. Antenne des ♂ ist nahe ihrem Ende erweitert und trägt hier 2 Reihen starker Spitzen — **7. C. echinata ♂**
Die genannte Borste ohne ähnliche Spitzen, kahl oder mit feinen Härchen besetzt — **57.**

57 Die proximale Nebenborste der 1. Antenne des ♂ deutlich länger als die Hauptborste — **58.**
Die proximale Nebenborste nicht länger als die Hauptborste — **59.**

58 Kleiner als 2 mm . . . . . — **18. C. dentata ♂**
Größer als 2 mm . . . . . — **19. C. cophopyga ♂**

59 An dem Endopodit der 2. Antenne des ♂ messen die Sinnesschläuche weniger als 1/4 der längsten Borste — **60.**
Die genannten Borsten messen mehr als 1/4 der längsten Borste — **62.**

60 Nebenborsten der 1. Antenne des ♂ annähernd so lang wie die Hauptborste — **61.**
Nebenborsten der 1. Antenne des ♂ nicht länger als 1/2 der Hauptborste . . . . . — **15. C. brachyaskos ♂**

61 Die Spitze an der hinteren, dorsalen Ecke der rechten Schale gegen den Hinterrand deutlich winklig abgegrenzt . . . . . — **16. C. procera ♂**
Die Spitze an der hinteren, dorsalen Ecke gegen den Hinterrand nicht winklig abgegrenzt . . — **17. C. decipiens ♂**

62 Eine der Borsten (Sinnesschläuche) des Endopodit der 2. Antenne des ♂ ist an der Basis aufgetrieben und gezähnt . . . . . — **22. C. edentata ♂**
Die genannte Borste an der Basis nicht aufgetrieben — **63.**

63 An Stelle des linken Hakengliedes des Endopodit der 2. Antenne des ♂ ein gerader Fortsatz . — **23. C. obtusata ♂**
Das genannte Glied deutlich hakig gekrümmt — **64.**

64
- Die rechte, unsymmetrische Drüse deutlich dorsalwärts verschoben, etwa auf 1/3 der Schalenhöhe — 42. **C. incisa** ♂
- Die genannte Drüse liegt unter 1/3 der Schalenhöhe — **65.**

65
- Mündung der rechten, unsymmetrischen Drüse deutlich nach vorn verschoben . . . . . — 12. **C. dasyophthalma** ♂
- Mündung der rechten, unsymmetrischen Drüse nicht nach vorn verschoben — **66.**

66
- Die Bewaffnung der Hauptborste der 1. Antenne des ♂ besteht aus borstenartigen, stark abstehenden Anhängen, die proximalwärts weder ihre Form noch ihren Abstand auffallend ändern — **67.**
- Die Anhänge der Hauptborste der 1. Antenne des ♂ rücken proximal weiter auseinander und verändern zugleich ihre Form — **71.**

67
- Distale Borste des basalen Gliedes des Endopodit der 2. Antenne mit einigen Fiederhaaren . . — 51. **C. subarcuata** ♂
- Die genannte Borste ohne Fiederhaare — **68.**

68
- Schulterwulst in ganzem Umfange scharfkantig . — 1. **C. spinifera** ♂
- Schulterwulst nicht oder nur in seiner hinteren Hälfte scharfkantig — **69.**

69
- An der 1. Antenne ist das terminale Stück der Haupt- und Nebenborsten derbwandig, zugespitzt — **70.**
- Das terminale Stück der genannten Borsten dünnwandig, nicht zugespitzt . . . . . — 3. **C. allotherium** ♂

70
- Hintere dorsale Ecke der rechten Schale deutlich, rechtwinklig, meist in eine Spitze ausgezogen — 2. **C. oblonga** ♂
- Hintere dorsale Ecke der rechten Schale stark abgerundet . . . . . — 8. **C. inermis** ♂

71
- Die Anhänge der Hauptborste der 1. Antenne des ♂ sind umfangreiche, stark basalwärts gerichtete Spitzen, die basalwärts länger und schlanker werden . . . . . — 52a. **C. magna magna** ♂
- Die Anhänge der Hauptborste der 1. Antenne des ♂ sind distal breite Zähne, an deren Stelle proximal borstenartige Gebilde treten . . . . — 53. **C. spinirostris** ♂

72
- Laterale Eckdrüsen in der Mehrzahl vorhanden (beiderseits oder nur links) — **73.**
- Nur eine laterale Eckdrüse vorhanden — **76.**

73
- Laterale Eckdrüsen nur links vorhanden — **74.**
- Laterale Eckdrüsen beiderseits vorhanden — **75.**

74
- 2 laterale Eckdrüsen vorhanden . . . . . — 74. **C. hettacra**
- Mehr als 2 laterale Eckdrüsen vorhanden . . . — 75. **C. belgicae**

75
- Kleiner als 2·5 mm . . . . . — 73. **C. alata**
- Größer als 2·5 mm . . . . . — 76. **C. leptothrix**

76
- Die laterale Eckdrüse liegt rechts auf der unsymmetrischen Drüse — **77.**
- Die laterale Eckdrüse mündet deutlich dorsal von der rechten, unsymmetrischen Drüse — **79.**

77
- Größer als 2·2 mm . . . . . — 44. **C. ctenophora**
- Kleiner als 2·2 mm — **78.**

78
- Schale sehr kurz, Höhe größer als 2/3 der Länge — 45. **C. serrulata**
- Schale gestreckt, Höhe kleiner als 2/3 der Länge — 43. **C. loricata**

79	Kleiner als 2 mm — **80.**	
	Größer als 2 mm — **81.**	
80	Hintere, dorsale Ecke rechts in eine kurze, stumpfe Spitze ausgezogen	46. **C. concentrica**
	Hintere, dorsale Ecke rechts nicht in eine Spitze ausgezogen	49. **C. hyalophyllum**
81	Hintere, dorsale Ecke beiderseits in eine Spitze ausgezogen — **82.**	
	Hintere, dorsale Ecke nicht in eine Spitze ausgezogen — **87.**	
82	Größer als 3·5 mm — **83.**	
	Kleiner als 3·5 mm — **86.**	
83	Größer als 4·5 mm	67. **C. plinthina**
	Kleiner als 4·5 mm — **84.**	
84	Hintere, ventrale Ecke abgerundet	71. **C. squamosa**
	Hintere, ventrale Ecke rechts oder beiderseits durch eine im Profil den Schalenrand überragende Warze oder Spitze gebildet — **85.**	
85	Rostrum auffällig unsymmetrisch	69. **C. ametra**
	Rostrum nicht oder nicht auffällig unsymmetrisch	68. **C. symmetrica**
86	Die Warze an der hinteren, ventralen Ecke klein, nur rechts vorhanden	64. **C. sibogae**
	Die Warze an der hinteren, ventralen Ecke umfangreich, beiderseits vorhanden	70. **C. imbricata**
87	Rechte, unsymmetrische Drüse deutlich nach vorn auf den Ventralrand verschoben	72. **C. prosadene**
	Rechte, unsymmetrische Drüse an gewöhnlicher Stelle — **88.**	
88	Größer als 4·5 mm	77. **C. valdiviae**
	Kleiner als 4·5 mm — **89.**	
89	In der hinteren Schalenhälfte findet sich am Ventralrande links nahe dem hinteren Ende eine umfangreiche Gruppe von auffälligen Drüsenzellen	47. **C. lophura**
	Eine ähnliche Gruppe von Drüsenzellen fehlt — **90.**	
90	Schale in ganzem Bereiche mit auffälliger Skulptur, die überwiegend aus kleinen Rechtecken besteht, deren längere Seite dem Dorsal- oder Ventralrande annähernd parallel verläuft . .	65. **C. cellularis**
	Schale ohne auffällige Skulptur, oder mit auffälliger Skulptur, die sich auf die vordere Hälfte beschränkt, aus paralleler Streifung oder aus Rhomben besteht — **91.**	
91	Schale mit wenig auffälliger, dem Schalenrande in ganzem Umfange paralleler, konzentrischer Streifung, die Streifen nicht durch Querbalken verbunden	48. **C. parvidentata**
	Schale mit andersartiger Skulptur — **92.**	
92	Mediale, dorsale Drüsengruppe sehr umfangreich, weit von der hinteren, dorsalen Ecke entfernt — **93.**	
	Mediale, dorsale Drüse kleiner, nahe der hinteren, dorsalen Ecke (über $^3/_4$ der Schalenhöhe) — **95.**	
93	Größer als 2·5 mm — **94.**	
	Kleiner als 2·5 mm	61. **C. distans**

94 Skulptur innerhalb eines breiten Randstreifens in der vorderen, ventralen Hälfte auffällig, übrigens schwach . . . . . 59. **C. antipoda**
Skulptur im Bereiche der ganzen Schale gleichmäßig schwach . . . . . 60. **C. borealis**

95 ♀ — **96.**
♂ — **100.**

96 Die Zellen der hinteren, medialen Drüsenreihe, welche in der Nachbarschaft der hinteren, dorsalen Ecke stehen, übertreffen die anderen nicht deutlich an Größe . . . . . 62. **C. dichotoma** ♀
Die genannten Drüsenzellen deutlich größer als die benachbarten — **97.**

97 Die dorsale, mediale Drüse des ♀ besteht aus 6 oder mehr Zellen — **98.**
Die dorsale, mediale Drüse besteht aus 3 oder 4 Zellen . . . . . 66. **C. plactolycos** ♀

98 Terminales Stück des Frontalorganes des ♀ dick (Breite gleich $^1/_5$ der Länge) . . . . . 63. **C. rhynchena** ♀
Terminales Stück des Frontalorganes des ♀ schlank (Breite weniger als $^1/_5$ der Länge) — **99.**

99 Eine deutliche Skulptur findet sich auf der ganzen Schale oder in der vorderen Schalenhälfte, hier auch dorsal . . . . . 54. **C. mollis** ♀, 55. **C. amblypostha** ♀
56. **C. kampta** ♀, 57. **C. acanthophora** ♀
Eine deutliche Skulptur findet sich nur in der ventralen Hälfte der vorderen Schale . . . . 58. **C. tyloda** ♀

100 Distale Borste des basalen Gliedes des Endopodit der 2. Antenne des ♂ kahl — **101.**
Die genannte Borste behaart — **103.**

101 Hauptborste der 1. Antenne des ♂ terminal lanzettförmig erweitert — **102.**
Die genannte Borste nicht erweitert . . . . . 63. **C. rhynchena** ♂

102 Proximaler Sinnesschlauch der 1. Antenne des ♂ an der Basis stark eingeschnürt, so daß hier 2 kurze, blindsackartige Erweiterungen entstehen 62. **C. dichotoma** ♂
Proximaler Sinnesschlauch der 1. Antenne des ♂ nur unbedeutend eingeschnürt . . . . . 54. **C. mollis** ♂

103 Die langen Borsten des 2. Gliedes des Endopodit der 2. Antenne des ♂ gliedern sich in ein derbwandiges, basales und ein zartes, erweitertes, terminales Stück — **104.**
Die genannten Borsten terminal nicht erweitert 66. **C. plactolycos** ♂

104 Proximale Nebenborste der 1. Antenne des ♂ mit Schwiele — **105.**
Proximale Nebenborste der 1. Antenne des ♂ ohne Schwiele — **106.**

105 Distale Nebenborste der 1. Antenne des ♂ mit senkrecht abstehenden und distal gerichteten Börstchen . . . . . 56. **C. kampta** ♂
Die genannte Borste nur mit senkrecht abstehenden Börstchen (fein, schwer zu sehen) . . . . . 58. **C. tyloda** ♂

106 Distale Nebenborste der 1. Antenne des ♂ mit zahlreichen, zahnartigen Spitzen . . . . . 57. **C. acanthophora** ♂
Die genannte Borste nur mit Börstchen . . . . 55. **C. amblypostha** ♂

1. **C. spinifera** (Claus) 1890 *Paraconchoecia s.*, Claus in: Arb. Inst. Wien, *v.* 9 p. 14 | 1891 *P. s.*, Claus, Halocypr., p. 64 t. 10 | 1906 *Conchoecia s.*, G. W. Müller in: Ergeb. Tiefsee-Exp., *v.* 8 p. 56 t. 9 f. 1, **2**, 3—10, 14, 15.

Schale des ♀: Höhe etwa gleich $^1/_2$ der Länge, nach vorn wenig verschmälert. Hinter- und Dorsalrand bilden einen rechten Winkel, dessen Spitze links nur wenig abgerundet, rechts meist in eine kurze Spitze ausgezogen ist, Hinterrand annähernd gerade; hintere, ventrale Ecke abgerundet. Schulterwulst nicht umfangreich, aber scharfkantig; Oberfläche mit wenigen, meist deutlichen Längsrippen nahe dem Ventralrande, diesem parallel. Die unsymmetrischen Drüsen münden an gewöhnlicher Stelle. Frontalorgan des ♀ mit deutlich abgesetztem, schwach herabgebogenem, gegen den Stamm stark erweitertem Endstücke, dessen Ventralrand nahe der Spitze deutlich winklig eingedrückt ist. 1. Antenne des ♀ mit dorsaler Borste, die Hauptborste etwa so lang wie das Frontalorgan; in der proximalen Hälfte neben den Sinnesschläuchen am Vorderrande mit ziemlich langen, dünnen, stark abstehenden Härchen besetzt. Die Hauptborste der 1. Antenne des ♂ mit einer Doppelreihe dichtstehender, borstenartiger, basalwärts gerichteter Spitzen, distal von ihnen stehen einige kleine, distal gerichtete Spitzen; Spitze der Hauptborste schlank, nicht erweitert. Die Nebenborsten erreichen etwa $^5/_6$ der Länge der Hauptborste. — L. ♀ 1·9—2·2 mm, ♂ 1·75—2 mm.

Atlantischer, Indischer, Pazifischer Ozean.

2. **C. oblonga** (Claus) 1890 *Paraconchoecia o.*, Claus in: Arb. Inst. Wien, *v.* 9 p. 13 | 1890 *Conchoecia variabilis* (s. l.), G. W. Müller in: Zool. Jahrb. Syst., *v.* 5 p. 273 t. 28 f. 27, 38 | 1891 *Paraconchoecia oblonga*, Claus, Halocypr., p. 63 t. 8 f. **10**, 11; t. 9 | 1906 *Conchoecia o.*, G. W. Müller in: Ergeb. Tiefsee-Exp., *v.* 8 p. 58 t. 9 f. **11**, 12, 13, 16—25.

C. spinifera sehr ähnlich, unterschieden durch den Schulterwulst, der nicht oder nur in der hinteren Hälfte scharfkantig ist. — L. ♀ 1·6—1·8 mm, ♂ 1·45 mm.

Atlantischer, Indischer, Pazifischer Ozean.

3. **C. allotherium** G. W. Müll. 1906 *C. a.*, G. W. Müller in: Ergeb. Tiefsee-Exp., *v.* 8 p. 59 t. 11 f. **15**, 16—19.

C. oblonga sehr ähnlich, das ♂ von dieser Art und von C. spinifera (nr. 1) dadurch unterschieden, daß die Enden der Haupt- und Nebenborsten der 1. Antenne dünnwandig, schlauchförmig sind und stumpf enden. Unterschiede beim ♀?. — L. ♂ 1·4—1·6 mm.

Atlantischer, Indischer Ozean.

4. **C. aequiseta** G. W. Müll. 1906 *C. a.*, G. W. Müller in: Ergeb. Tiefsee-Exp., *v.* 8 p. 59 t. 11 f. 1—5, 11—14.

Schale ähnlich wie bei C. spinifera, die Mündung der rechten, unsymmetrischen Drüse deutlich dorsalwärts verschoben. Behaarung, resp. Bewaffnung der Hauptborste der 1. Antenne in beiden Geschlechtern ähnlich wie bei C. spinifera. Distale Borste des 1. Gliedes des Endopodit der 2. Antenne des ♂ kahl. — L. ♀ 3·1—3·3 mm, ♂ 2·7—2·9 mm.

Atlantischer, Indischer Ozean.

5. **C. hirsuta** G. W. Müll. 1906 *C. h.*, G. W. Müller in: Ergeb. Tiefsee-Exp., *v.* 8 p. 60 t. 11 f. 1—3, **6**, 7—10.

C. aequiseta sehr ähnlich. Die distale Borste des 1. Gliedes des Endopodit der 2. Antenne des ♂ behaart. Unterschiede beim ♀? — L. ♂ 2·7—2·9 mm.

Atlantischer, Pazifischer Ozean.

6. **C. mamillata** G. W. Müll. 1906 *C. m.*, G. W. Müller in: Ergeb. Tiefsee-Exp., *v.* 8 p. 60 t. 16 f. 1, 2—9; t. 35 f. 8.

Schale in beiden Geschlechtern gestreckt, Höhe etwa $^2/_5$ der Länge. Hinter- und Dorsalrand bilden miteinander einen rechten Winkel, dessen Spitze rechts in eine deutliche Spitze, links in einen stumpfen Höcker ausgezogen ist. Ein ähnlicher, stumpfer Höcker findet sich rechts am Hinterrande etwas über halber Schalenhöhe. Die stumpfen Höcker tragen die Mündungen der unsymmetrischen Drüsen. Durch Lage und Form dieser Drüsenmündungen von allen Arten der Gattung unterschieden. Bewaffnung der Hauptborste der 1. Antenne des ♂ ähnlich wie bei C. spinifera (nr. 1), die Behaarung am Vorderrande der Hauptborste beim ♀ fein, schwer nachzuweisen. — L. ♀ 1·4—2·1 mm, ♂ 1·35—1·75 mm.

Atlantischer, Indischer Ozean.

7. **C. echinata** G. W. Müll. 1906 *C. e.*, G. W. Müller in: Ergeb. Tiefsee-Exp., *v.* 8 p. 61 t. 10 f. 14—24 | 1906 *C. notocera*, Vávra in: Ergeb. Plankton-Exp., *v.* 2 G. g. p. 58 t. 6 f. **114**, 115—120.

Schale der von C. spinifera (nr. 1) ähnlich, Schulterwulst fehlt. Frontalorgan des ♀ mit langem (länger als $^1/_2$ des Stammes), deutlich abgesetztem Endstücke, dasselbe ist dicker als der Stamm, gerade oder schwach dorsalwärts gebogen, terminal gerundet. Behaarung der Hauptborste der 1. Antenne des ♀ ähnlich wie bei C. spinifera. Hauptborste der 1. Antenne des ♂ mit etwa 15 Paaren stark basalwärts gerichteter, ziemlich kurzer, schlanker, wenig dicht stehender Spitzen. Die proximale Nebenborste trägt nahe ihrem Ende 2 kurze, stark divergierende Reihen von soliden Spitzen, durch diese Bildung sind die ♂ von allen anderen Vertretern der Gattung unterschieden. — L. ♀ 1·9—2, ♂ 1·7 mm.

Atlantischer, Indischer, Pazifischer Ozean.

8. **C. inermis** (Claus) 1890 *Paraconchoecia i.*, Claus in: Arb. Inst. Wien, *v.* 9 p. 15 | 1891 *P. i.*, Claus, Halocypr., p. 65 t. 11 f. 1, 2—5 | 1906 *Conchoecia i.*, G. W. Müller in: Ergeb. Tiefsee-Exp., *v.* 8 p. 62 t. 9 f. 26—28; t. 10 f. 4, 5, 6, 7; t. 11 f. **25**.

Schale gestreckt, Verhältnis der Höhe zur Länge zwischen $^2/_5$ und $^1/_2$ schwankend. Hintere, dorsale Ecke beiderseits stark abgerundet. Bewaffnung resp. Behaarung der Hauptborste der 1. Antenne in beiden Geschlechtern ähnlich wie bei C. spinifera (nr. 1). Durch die starke Abrundung der hinteren, dorsalen Ecke und die gewöhnliche Lage der Mündung der unsymmetrischen Drüsen von den Arten mit ähnlicher Bewaffnung der Hauptborste der 1. Antenne unterschieden. — L. ♀ 1·9—2·3 mm, ♂ 1·9—2·1 mm. — Fig. 21, p. 60.

Atlantischer, Indischer Ozean.

9. **C. dorsotuberculata** G. W. Müll. 1906 *C. d.*, G. W. Müller in: Ergeb. Tiefsee-Exp., *v.* 8 p. 63 t. 10 f. 1, 2, 3, 8—13.

Schale ähnlich wie bei C. inermis, von dieser und allen Vertretern der Gattung unterschieden durch die Mündung der unsymmetrischen Drüsen: rechte unsymmetrische Drüse an gewöhnlicher Stelle, Mündung der linken weit nach vorn verschoben, sie liegt neben dem Schloßrande zwischen $^1/_2$ und $^2/_3$ der Länge. Bewaffnung der Hauptborste der 1. Antenne in beiden Geschlechtern ähnlich wie bei C. spinifera (nr. 1). — L. ♀ 2·6 mm, ♂ 2·4 mm.

Atlantischer, Indischer Ozean.

10. **C. reticulata** G. W. Müll. 1906 *C. r.*, G. W. Müller in: Ergeb. Tiefsee-Exp., *v.* 8 p. 64 t. 12 f. 10—14, 15, 16, 17.

Schalenumriß ähnlich wie bei C. spinifera (nr. 1), nach vorn nicht verschmälert, Hinterrand flach gewölbt, Rostrum sehr umfangreich. Oberfläche mit überwiegend rechteckigen oder quadratischen, zum kleineren Teile polygonalen Feldern. Die Felder ordnen sich zu Längsreihen, die in der dorsalen Hälfte annähernd horizontal verlaufen, in der ventralen nach hinten absteigen. Die die Reihen trennenden Rippen pflegen den Querbalken gegenüber zu überwiegen. Bewaffnung der Hauptborste der 1. Antenne in beiden Geschlechtern ähnlich wie bei C. spinifera. Durch die auffällige Skulptur leicht von den Formen mit ähnlicher Schalenform und überhaupt von der großen Mehrzahl der Vertreter der Gattung unterschieden. — L. ♀ 3·2—4·1 mm, ♂ 3·1 mm.

Atlantischer, Indischer Ozean.

11. **C. caudata** G. W. Müll. 1890 *C. c.*, G. W. Müller in: Zool. Jahrb. Syst., *v.* 5 p. 276 t. 29 f. 45—49 | 1906 *C. c.*, G. W. Müller in: Ergeb. Tiefsee-Exp., *v.* 8 p. 65 t. 11 f. 24; t. 12 f. 1, 2—9.

Schale gestreckt, Höhe kleiner als $^1/_2$ der Länge (ohne Rostrum und hintere Spitze). Hintere, dorsale Ecke links in einen kurzen, tief zweispaltigen Fortsatz, rechts in eine lange, schlanke, schwanzartige Spitze von $^1/_2$—$^2/_3$ der eigentlichen Schalenlänge ausgezogen. Rostrum lang und dünn, stark schnabelartig verlängert, etwa $^1/_2$ so lang wie die eigentliche Schale, rechts stets kürzer als links. Oberfläche mit auffälliger Skulptur, die in der vorderen, ventralen Schalenhälfte und auf dem Schwanze aus einer rhombischen Felderung, auf dem Schulterwulst und in der hinteren Schalenhälfte aus Reihen von Spitzen besteht. Bewaffnung der Hauptborste der 1. Antenne in beiden Geschlechtern ähnlich wie bei C. spinifera (nr. 1). Durch Form und Skulptur der Schale leicht von allen anderen Vertretern der Gattung unterschieden. — L. ♀ 7—7·8, ♂ 5·7—6 mm.

Atlantischer, Indischer und Pazifischer Ozean.

12. **C. dasyophthalma** G. W. Müll. 1906 *C. d.*, G. W. Müller in: Ergeb. Tiefsee-Exp., *v.* 8 p. 66 t. 11 f. 20, 21—23, 26—30.

Schalenumriß ähnlich wie bei C. spinifera (nr. 1), aber die hintere, dorsale Ecke beiderseits stark abgerundet, Hinterrand flach gewölbt. Schulterwulst scharfkantig erhoben. Mündung der rechten, unsymmetrischen Drüse deutlich nach vorn auf den Ventralrand verschoben, etwa auf $^3/_4$ der Schalenlänge. Bewaffnung der Hauptborste der 1. Antenne des ♂ ähnlich wie bei C. spinifera, beim ♀ fehlt die Behaarung am Vorderrande der Hauptborste. Durch die Mündung der rechten, unsymmetrischen Drüse von allen Arten mit ähnlicher Schalenform unterschieden, außer von C. prosadene, von dieser durch das Fehlen der lateralen Eckdrüsen. — L. ♀ 2·8 mm, ♂ 2·35 mm.

Atlantischer Ozean nahe dem Äquator.

13. **C. discophora** G. W. Müll. 1906 *C. d.*, G. W. Müller in: Ergeb. Tiefsee-Exp., *v.* 8 p. 67 t. 13 f. 1, 2—9, 12—18.

Schale des ♀ gestreckt, Höhe etwa $^2/_5$ der Länge. nach vorn nicht auffällig verschmälert. Hintere dorsale Ecke (Fig. 16) rechts (stets?) in eine deutliche Spitze mit kleiner Nebenspitze ausgezogen, links deutlich, wenig abgerundet, etwa rechtwinklig. Hinterrand beiderseits deutlich S-förmig

geschwungen. Schale des ♂ kürzer, die Spitze hinten rechts klein oder fehlend. Mündung der unsymmetrischen Drüsen (Fig. 17, p. 59) an gewöhnlicher Stelle. Frontalorgan des ♀ stabförmig, gerade, das Endstück nicht oder nur sehr undeutlich abgegrenzt. 1. Antenne des ♀ schwach, die dorsale Borste des 2. Gliedes vorhanden, aber schwach, die Hauptborste kahl. Frontalorgan des ♂ mit sehr kurzem Endstücke. Die Hauptborste der 1. Antenne des ♂ trägt an Stelle der Bewaffnung eine kurze Doppelreihe zarter Borsten, deren jede zu einem etwa halbkreisförmigen Blatte verklebt, beide Blätter vereinigen sich miteinander zur Bildung eines flachen, schüsselartigen Gebildes. Am Endopodit der 2. Antenne des ♂ sind die Borsten des 2. Gliedes an der Basis rechts deutlich, links weniger deutlich aufgetrieben. — L. ♀ 1·25—1·5 mm, ♂ 1·1—1·2 mm. — Fig. 16, 17, p. 59.

Atlantischer, Indischer Ozean.

14. **C. elegans** O. Sars 1866 *C. e.*, G. O. Sars in: Forh. Selsk. Christian., p. 117 | 1890 *Paraconchoecia gracilis*, Claus in: Arb. Inst. Wien, *v.* 9 p. 15 | 1898 *Conchoecia quadrangularis*, C. W. S. Aurivillius in: Svenska Ak. Handl., n. ser. *v.* 30 nr. 3 p. 42 | 1906 *C. elegans*, G. W. Müller in: Ergeb. Tiefsee-Exp., *v.* 8 p. 69 t. 13 f. 10, 11, 19—26.

C. discophora (nr. 13) sehr ähnlich, beim ♀ fehlt die dorsale Borste der 1. Antenne, beim ♂ sind die Borsten des 2. Gliedes des Endopodit der 2. Antenne an ihrer Basis nicht aufgetrieben. — L. ♀ 1·1—2·1 mm, ♂ 1·0—2·0 mm, die großen Individuen über 1·9 resp. 1·8 stammen aus der Arktis.

Atlantischer, Indischer, Pazifischer Ozean, von der Küste Grönlands bis zum 55° s. Br.

15. **C. brachyaskos** G. W. Müll. 1906 *C. b.*, G. W. Müller in: Ergeb. Tiefsee-Exp., *v.* 8 p. 70 t. 14 f. 1, 2, 7—14.

Schale des ♀ und ♂: Höhe annähernd $^1/_2$ der Länge, hintere dorsale Ecke stark abgerundet, Hinter- und Ventralrand flach gewölbt. Frontalorgan des ♀: Das Endstück nicht oder nur undeutlich abgegrenzt, an der Spitze wenig herabgebogen, kahl. Stamm der 1. Antenne des ♀ sehr kurz, er mißt nur etwa $^1/_3$ des ganzen Frontalorganes. Dorsale Borste des 2. Gliedes fehlt. Frontalorgan des ♂: das Endstück an der Ventralseite mit dünner Behaarung. Die distale Nebenborste der 1. Antenne des ♂ mißt nur etwa $^1/_2$ der Hauptborste, die proximale noch kürzer. Am Endopodit der 2. Antenne des ♀ überragt die längste Borste die übrigen, untereinander etwa gleichlangen nur wenig, etwa um $^1/_4$ ihrer Länge. Am Endopodit der 2. Antenne des ♂ erreichen die Sinnesborsten nur etwa $^1/_5$ der längsten Borste. — L. ♀ 1·2—1·6 mm, ♂ 1·15—1·5 mm.

Indischer, Atlantischer Ozean, nach Norden bis zum 30° n. Br., nach Süden bis zur Antarktis reichend.

16. **C. procera** G. W. Müll. 1890 *C. variabilis* (s. l.), G. W. Müller in: Zool. Jahrb. Syst., *v.* 5 p. 273 t. 28 f. 27, 38 | 1894 *C. procera*, G. W. Müller in: F. Fl. Neapel, *v.* 21 p. 228 t. 6 f. 47, 48, **50**, 51—58 | 1894 *Paraconchoecia oblonga*, Claus in: Denk. Ak. Wien, *v.* 61 Anhang p. 3 t. 3 f. 21—23 | 1906 *Conchoecia procera*, G. W. Müller in: Ergeb. Tiefsee-Exp., *v.* 8 p. 71 t. 13 f. 37, 38, **39**, 40—47; t. 14 f. 3—6.

Schale der von C. brachyaskos (nr. 15) ähnlich, der gerundeten Ecke, welche rechts Dorsal- und Hinterrand bilden, sitzt eine kleine Spitze auf, welche ganz unterdrückt sein kann; rechte, unsymmetrische Drüse mehr oder weniger weit ventralwärts verschoben. Frontalorgan des ♀: Endstück umfangreich, es mißt etwa $^3/_4$ des Stammes, meist deutlich abgegrenzt, ventral

behaart. An der 1. Antenne des ♂ erreichen die Nebenborsten annähernd die Länge der Hauptborste. Sonst wie C. brachyaskos. — L. ♀ 1·05—1·35 mm, ♂ 0·85—1·2 mm.

Atlantischer, Indischer und Pazifischer Ozean.

17. **C. decipiens** G. W. Müll. 1906 *C. d.*, G. W. Müller in: Ergeb. Tiefsee-Exp., *v.* 8 p. 72 t. 13 f. 27, **28**, 29—36.

C. procera (nr. 16) sehr ähnlich, von dieser in folgenden Punkten unterschieden: Spitze der rechten, hinteren, dorsalen Ecke stets deutlich, größer als bei C. procera, gegen den Hinterrand nicht winklig abgegrenzt, der Hinterrand annähernd gerade, dorsal flach eingebuchtet. Am Frontalorgan des ♀ die Spitze meist unterdrückt, bei C. procera stets spitz. Der Stamm der 1. Antenne des ♀ mißt etwa $^1/_2$ des Frontalorganes (bei C. procera $^1/_3$). — L. ♀ 1·35—1·6 mm, ♂ 1·12—1·3 mm.

Indischer Ozean.

18. **C. dentata** G. W. Müll. 1906 *C. d.*, G. W. Müller in: Ergeb. Tiefsee-Exp., *v.* 8 p. 73 t. 14 f. 18—22, **23**, 27.

Schale des ♀ gestreckt, Höhe kleiner als $^1/_2$ der Länge, nach vorn deutlich verschmälert. Dorsal- und Hinterrand bilden miteinander einen rechten Winkel, dessen Ecke rechts (stets?) in eine kleine, aber deutliche Spitze ausgezogen ist, links die Spitze wenig abgerundet oder mit rundlicher Warze. Nahe dem Ventralrande verlaufen etwa 4 deutliche Rippen dem Ventralrande annähernd parallel, von denen 2 bis in die Gegend der Incisur reichen. Von diesen entsendet die dem Schalenrande am nächsten liegende eine wechselnde Zahl von kurzen Ästen ventralwärts. Die Skulptur stets auffällig, sie ermöglicht eine Unterscheidung von ähnlichen Arten. Mündung der rechten, unsymmetrischen Drüse etwas dorsal verschoben. 1. Antenne des ♀ schwach entwickelt, sie mißt etwa $^1/_2$ der Länge des Frontalorganes. Hauptborste der 1. Antenne des ♂ mit einer Doppelreihe von 16—19 ziemlich kurzen und dicken, stark basalwärts gerichteten Zähnen, die proximale Nebenborste beträchtlich länger als die Hauptborste. — L. ♀ 1·9—1·95 mm, ♂ 1·7—1·9 mm.

Atlantischer, Indischer Ozean.

19. **C. cophopyga** G. W. Müll. 1906 *C. c.*, G. W. Müller in: Ergeb. Tiefsee-Exp., *v.* 8 p. 74 t. 14 f. 15—17, 24, 25, **26**.

C. dentata (nr. 18) sehr ähnlich, hintere dorsale Ecke rechts stets ohne Spitze, Schalenskulptur reicher, Zahl der Rippen größer. Mündung der rechten Drüse weiter dorsalwärts etwa bis zu halber Schalenhöhe verschoben. — L. ♀ 2·9 mm, ♂?

Atlantischer, Indischer Ozean.

20. **C. giesbrechti** G. W. Müll. 1890 *C. oblonga* (non *C. oblonga* Claus 1890), G. W. Müller in: Zool. Jahrb. Syst., *v.* 5 p. 272 t. 28 f. 26, 31, 32, 36, 37 | 1906 *C. giesbrechti*, G. W. Müller in: Ergeb. Tiefsee-Exp., *v.* 8 p. 75 t. 15 f. **1**, **2**, 3—16 | 1906 *C. pacifica*, Juday in: Univ. Calif. Publ. Zool., *v.* 3 p. 21 t. 4 f. 5—7; t. 5 f. 1, 2.

Schale des ♀: Höhe kleiner als $^1/_2$ der Länge, nach vorn wenig verschmälert, Hinterrand gerade, er bildet mit dem Dorsalrande einen spitzen Winkel von etwa 75°, dessen Spitze nur wenig abgestumpft ist. Ventralrand gerade, hintere ventrale Ecke abgerundet. Schale des ♂ der des ♀ ähnlich, nach vorn nicht verschmälert, nahe dem Hinterrande zerstreute Haare. Frontal-

organ des ♀ annähernd gerade, stabförmig, Endstück nicht oder nur undeutlich abgegrenzt. Die 3 Sinnesschläuche des Endopodit der 2. Antenne in beiden Geschlechtern kurz, beim ♀ messen sie etwa $^1/_3$ der längsten Borste, beim ♂ noch weniger, beim ♀ sind sie verschieden lang, in beiden Geschlechtern ist einer an der Basis deutlich aufgetrieben. — L. ♀ 2·3—2·6 mm, ♂ 1·9—2·2 mm. Durch den deutlich spitzen Winkel am Hinterende von fast allen anderen Vertretern der Gattung sicher unterschieden.

Atlantischer, Indischer und Pazifischer Ozean.

21. **C. acuminata** (Claus) 1890 *Conchoecetta a.,* Claus in: Arb. Inst. Wien, *v.* 9 p. 6 | 1891 *C. a.,* Claus, Halocypr., p. 67 t. 13, 14 | ? 1894 *Halocypris elongata,* T. Scott in: Tr. Linn. Soc. London, ser. 2 *v.* 6 p. 141 t. 15 f. 1, 2, 27, 30 | 1906 *Conchoecia acuminata,* G. W. Müller in: Ergeb. Tiefsee-Exp., *v.* 8 p. 76 t. 15 f. **17, 18,** 19—23.

Schale der von C. giesbrechti (nr. 20) ähnlich, gestreckter, der Winkel, den Dorsal- und Hinterrand miteinander bilden, spitzer, beim ♂ etwa 65°, beim ♀ etwa 45°. Sicher von C. giesbrechti unterschieden durch das Fehlen der basalen Auftreibung an einer der Sinnesborsten des Endopodit der 2. Antenne. — L. ♀ 3·0—3·7 mm, ♂ 2·1—2·6 mm.

Atlantischer, Indischer, Pazifischer Ozean.

22. **C. edentata** G. W. Müll. 1906 *C. e.,* G. W. Müller in: Ergeb. Tiefsee-Exp., *v.* 8 p. 76 t. 15 f. 24, **25,** 26—29.

Schale des ♂: Höhe etwa $^1/_2$ der Länge, nach vorn wenig verschmälert; der stark gewölbte Hinterrand bildet mit dem Dorsalrande einen stumpfen Winkel ohne deutliche Spitze und geht im flachen Bogen in den Ventralrand über. Oberfläche mit ziemlich auffälliger, horizontaler Streifung in der dorsalen Hälfte und in der Nachbarschaft des Ventralrandes, ferner nahe dem Vorderrande eine steil aufsteigende Streifung. Unsymmetrische Drüsen sehr umfangreich, die linke mündet an gewöhnlicher Stelle, die rechte auf etwa halber Schalenhöhe, ferner mündet beiderseits am Ventralrande auf halber Schalenlänge eine umfangreiche, sehr auffällige Drüse. Hauptborste der 1. Antenne des ♂ ohne Bewaffnung, an Stelle der Bewaffnung flache Bogen. Einer der Sinnesschläuche des Endopodit der 2. Antenne des ♂ an der Basis aufgetrieben, die Auftreibung gezähnelt. — L. ♂ 1·7 mm, ♀ unbekannt.

Südlicher Atlantischer Ozean.

23. **C. obtusata** O. Sars

Diese Art zerfällt in 2 Unterarten:

23a. **C. obtusata obtusata** O. Sars 1866 *C. o.,* G. O. Sars in: Forh. Selsk. Christian., p. 118 | 1890 *Halocypris o.,* G. O. Sars in: Forh. Selsk. Christian., nr. 1 p. 53 | 1901 *Conchoecia o.,* G. W. Müller in: Nord. Plankton, *v.* 4 pars 7 p. 5.

Schale gestreckt, Höhe etwa $^2/_5$ der Länge, in der Mitte am höchsten. Der Hinterrand ist stark gewölbt, seine dorsale Hälfte bildet mit dem Dorsalrande einen stumpfen Winkel mit deutlicher Ecke ohne Spitze. Ventralrand gewölbt. Frontalorgan des ♀ mit deutlich erweitertem, nicht scharf abgesetztem, wenig herabgebogenem, fein zugespitztem Endstücke; dasselbe erreicht etwa $^1/_3$ der Gesamtlänge. Hauptborste der 1. Antenne des ♂ mit etwa 12 sehr unregelmäßig (zum Teil alternierend) stehenden Paaren von umfangreichen Dornen; dieselben stehen besonders proximal weit voneinander. Endopodit der 2. Antenne des ♂ rechts sehr umfangreich, der distale Schenkel

stumpfwinklig gebogen, von den 3 durch Biegung gegeneinander abgegrenzten Stücken ist das mittlere das längste, das basale das kürzeste; links steht an Stelle des Hakens ein gerader, zugespitzter Fortsatz. — L. ♀ 1·55—1·8 mm, ♂ 1·1—1·2 mm.

Nördlicher Atlantischer Ozean, besonders nördlich vom 60° n. Br.

23b. **C. obtusata antarctica** G. W. Müll. 1866 *C. o.*, G. O. Sars in: Forh. Selsk. Christian., p. 118 | 1906 *C. o. var. antarctica*, G. W. Müller in: Ergeb. Tiefsee-Exp., *v.* 8 p. 77 t. 16 f. 10—13, **14**, **15**, 16—23.

Von der typischen Unterart unterschieden durch die Form des rechten Hakengliedes, bei dem der mittlere Schenkel der kürzeste, der proximale und distale etwa gleich lang. — L. ♀ 1·5—1·8 mm, ♂ 1·2—1·3 mm.

Südlicher Atlantischer Ozean bis 43° s. Br.

24. **C. parthenoda** G. W. Müll. 1906 *C. p.*, G. W. Müller in: Ergeb. Tiefsee-Exp., *v.* 8 p. 78 t. 16 f. 24—26, **27**, 28, 29.

Schale der von C. obtusata (nr. 23) ähnlich, nach vorn deutlich verschmälert, Ventralrand flach eingebuchtet; die Mündung der linken, unsymmetrischen Drüse meist warzig vortretend, deutlich nach vorn verschoben, sie liegt vom hinteren Schloßrande 0·11—0·3 mm entfernt (bei C. obtusata nur 0·04 mm). Innere Organe denen von C. obtusata sehr ähnlich. — L. ♀ 1·7—1·8 mm, ♂ unbekannt.

Atlantischer, Indischer, Pazifischer Ozean.

25. **C. macromma** G. W. Müll. 1906 *C. m.*, G. W. Müller in: Ergeb. Tiefsee-Exp., *v.* 8 p. 79 t. 17 f. **11**, 12—22.

Schale des ♀: Höhe etwa $^1/_2$ der Länge, der stark gewölbte, etwa halbkreisförmige Hinterrand geht ohne Andeutung einer Ecke in den Dorsal- und Ventralrand über, Ventralrand flach gewölbt. Die Mündung der linken, unsymmetrischen Drüse liegt neben dem Schloßrande weit nach vorn verschoben zwischen $^1/_4$ und $^1/_3$ der Schalenlänge, die der rechten deutlich dorsalwärts verschoben, sie liegt auf etwa $^2/_5$ der Schalenhöhe. Schale des ♂ (Fig. 23) ähnlich, etwas weniger gestreckt. Frontalorgan des ♀ stabförmig, mit erweitertem, nicht oder nur undeutlich herabgebogenem, nicht scharf abgegrenztem Endstücke. 1. Antenne des ♀ schwach entwickelt, ohne dorsale Borste des 2. Gliedes, der Stamm mißt etwa $^1/_2$ des Frontalorganes. Hauptborste der 1. Antenne des ♂ mit etwa 15 Paaren schlanker, stark basalwärts gerichteter Spitzen. Am Endopodit der 2. Antenne des ♀ alle 5 terminalen Borsten etwa gleich lang. — L. ♀ 1·0—1·07 mm, ♂ 0·9—1·0 mm.

Atlantischer, Indischer Ozean.

26. **C. pusilla** G. W. Müll.

Diese Art zerfällt in 2 Unterarten:

26a. **C. pusilla major** G. W. Müll. 1906 *C. p. var. m.*, G. W. Müller in: Ergeb. Tiefsee-Exp., *v.* 8 p. 80 t. 16 f. 30, 31, 34—37; t. 17 f. 35, **36**.

Schale der von C. macromma (nr. 25) ähnlich, die linke, unsymmetrische Drüse mündet weiter nach vorn, auf $^1/_7$—$^1/_6$ der Schalenlänge, die rechte, weiter dorsal verschoben, etwa auf $^5/_6$ der Schalenhöhe. Frontalorgan, 1. Antenne und Endopodit der 2. Antenne wie bei C. macromma. Hauptborste der 1. Antenne des ♂ mit blattartigen, etwa rhombischen, proximal

stark zugespitzten Zähnen; dieselben stehen bis etwa zum 8. Paare in zwei Reihen, dann folgen noch etwa 10 Zähne in unregelmäßiger Reihe. — L. ♀ 0·9—0·98 mm, ♂ 0·85—0·95 mm.

Atlantischer, Indischer Ozean.

26b. **C. pusilla minor** G. W. Müll. 1906 *C. p. var. m.*, G. W. Müller in: Ergeb. Tiefsee-Exp., *v.* 8 p. 81 t. 16 f. 32, 33, 38, 39.

Von der typischen Art unterschieden durch geringere Größe und die Bewaffnung der Hauptborste der 1. Antenne des ♂, an der auf 4 Paare von Zähnen noch etwa 8 Zähne in unregelmäßiger Reihe folgen. — L. ♀ 0·7—0·85 mm, ♂ 0·75—0·8 mm.

Indischer Ozean in der Nähe des Äquators.

27. **C. glandulosa** G. W. Müll. 1906 *C. g.*, G. W. Müller in: Ergeb. Tiefsee-Exp., *v.* 8 p. 81 t. 30 f. **29**, 30—35.

Schale des ♀ gestreckt, Höhe kleiner als $^1/_2$ der Länge, nach vorn deutlich verschmälert, Hinterrand stark gewölbt, bildet auf etwa $^2/_3$ der Schalenhöhe eine stumpfwinklige Ecke, die links undeutlich, rechts, wo sie mit der Mündung der unsymmetrischen Drüse zusammenfällt, deutlich; die linke, unsymmetrische Drüse mündet etwa auf $^1/_4$ der Länge neben dem Schloßrande. Dicht neben dem Vorderrande münden lateral einige umfangreiche Drüsenzellen. Schale des ♂ etwas kürzer. 1. Antenne des ♀ ohne dorsale Borste am 2. Gliede. Hauptborste der 1. Antenne des ♂ mit etwa 15 Paaren schlanker, stark basal gerichteter Spitzen; dieselben entspringen auf kleinen Warzen, liegen der Borste fast parallel. — L. ♀ 1·9, ♂ 1·85 mm.

Indischer Ozean.

28. **C. kyrtophora** G. W. Müll. 1906 *C. k.*, G. W. Müller in: Ergeb. Tiefsee-Exp., *v.* 8 p. 82 t. 17 f. **1, 2**, 3—10.

Schale des ♀ kurz, Höhe größer als $^1/_2$ der Länge, nach vorn deutlich verschmälert, sonst im Profil C. macromma (nr. 25) ähnlich. Schulterwulst deutlich, aber nicht scharfkantig vortretend, von der hinteren Schalenhälfte durch eine deutliche Furche abgegrenzt; in der Gegend der Schließmuskelansätze eine rundliche Erhebung und eine ähnliche häufig in der hinteren Schalenhälfte. Mündung der linken, unsymmetrischen Drüse dicht neben dem vorderen Ende des Schloßrandes, über dem Rostrum, die der rechten nahe bei der hinteren, dorsalen Ecke, sie überragt als kleine Warze im Profil den Schalenrand. Schale des ♂ ähnlich, höher. 1. Antenne und Endopodit der 2. Antenne wie bei C. macromma. Hauptborste der 1. Antenne des ♂ mit 9 Paaren senkrecht abstehender, stabartiger Zähne. — L. ♀ 0·8—0·9 mm, ♂ 0·75—0·85 mm.

Atlantischer, Indischer Ozean.

29. **C. nasotuberculata** G. W. Müll. 1906 *C. n.*, G. W. Müller in: Ergeb. Tiefsee-Exp., *v.* 8 p. 83 t. 18 f. 25, 26, **27**, 28—30.

Schale der von C. kyrtophora (nr. 28) sehr ähnlich, mit ähnlichen, warzenartigen Erhebungen, mit meist scharfen, konzentrischen Linien (bei C. kyrtophora undeutlich). Mündung der unsymmetrischen Drüsen wie bei C. kyrtophora, die rechte den Schalenrand nicht überragend. 1. Antenne und Endopodit der 2. Antenne des ♀ wie bei C. macromma (nr. 25). Hauptborste der 1. Antenne des ♂ mit 12 Paaren schlanker, spitzer, stark proximal gerichteter Zähnchen. — L. ♀ und ♂ 0·8—0·9 mm.

Atlantischer, Indischer Ozean, Mittelmeer.

30. **C. rotundata** G. W. Müll. 1890 *C. r.*, G. W. Müller in: Zool. Jahrb. Syst., *v.* 5 p. 275 t. 28 f. 41—43; t. 29 f. 44 | 1894 *C. r.*, G. W. Müller in: F. Fl. Neapel, *v.* 21 p. 229 t. 6 f. 10—12, 16—20, 22; t. 8 f. **33** | ?1894 *Halocypris punica*, T. Scott in: Tr. Linn. Soc. London, ser. 2 *v.* 6 p. 143 t. 15 f. 7, 8, 39, 40.

Schale von ♀ und ♂: Das Verhältnis von Höhe und Länge sehr wechselnd ($^4/_7$—$^8/_{19}$), kurze Formen nach vorn deutlich verschmälert, längere weniger deutlich, Hinterrand mehr oder weniger stark gewölbt, halbkreisförmig oder flacher. Die linke, unsymmetrische Drüse mündet etwa über dem hinteren Rande der Rostralincisur oder wenig weiter nach hinten, die rechte dicht neben der hinteren Grenze des Schlosses, sie tritt nicht als Warze oder Spitze hervor; keine Streifung. 1. Antenne des ♀ und Bewaffnung der Hauptborste der 1. Antenne des ♂ ähnlich wie bei C. nasotuberculata (Nr. 29). Endopodit der 2. Antenne des ♀ wie bei C. macromma (Nr. 25). Durch Mündung der unsymmetrischen Drüsen und den Mangel des Reliefs von C. nasotuberculata unterschieden. — L. ♀ und ♂ 0·8—1·75 mm.

Atlantischer, Indischer, Pazifischer Ozean.

31. **C. isocheira** G. W. Müll. 1906 *C. i.*, G. W. Müller in: Ergeb. Tiefsee-Exp., *v.* 8 p. 84 t. 14 f. **28**, 29—31; t. 15 f. 30—33.

Schale des ♀ und ♂: Höhe etwa $^1/_2$ der Länge, nach vorn deutlich verbreitert, zwischen $^1/_3$ und $^1/_2$ der Schalenlänge am breitesten; hintere, dorsale Ecke abgerundet, Hinterrand deutlich gewölbt, hintere, ventrale Ecke vollständig unterdrückt, an ihrer Stelle ein sehr flacher Bogen. Mündung der linken, unsymmetrischen Drüse über der Rostralincisur, die der rechten Seite liegt etwa auf $^4/_5$ der Schalenhöhe, tritt winklig hervor. 1. Antenne des ♀ ähnlich wie bei C. macromma (nr. 25), erreicht aber $^2/_3$ der Länge des Frontalorganes. Hauptborste der 1. Antenne des ♂ mit einfacher Reihe von 8 oder 9 dicken, stark basalwärts gerichteten Spitzen. Hakenglied des Endopodit der 2. Antenne des ♂ umfangreich, nicht winklig, sondern im Bogen gekrümmt, rechts und links sehr ähnlich, Endopodit des ♀ wie bei C. macromma (nr. 25). — L. ♀ 1·07 mm, ♂ 0·9 mm.

Antarktis.

32. **C. curta** Lubb. 1860 *C. c.* (♂) + *Halocypris rostrata* (♀), Lubbock in: Tr. Linn. Soc. London, *v.* 23 p. 188 t. 29 f. 31, 32; p. 189 t. 29 f. 33, 34 | 1887 *H. clausii*, G. O. Sars in: Arch. Naturv. Kristian., *v.* 12 p. 259 t. 11 f. 7—10; t. 14 f. 6—8 | 1888 *Conchoecia c.*, Claus in: Arb. Inst. Wien, *v.* 8 p. 154 (Synonymie) | 1890 *Microconchoecia c. var. reticulata* (?), Claus in: Arb. Inst. Wien, *v.* 9 p. 22 | 1891 *M. c. var. r.* (?), *M. c. var. similis* (?), *M. c. var. spinulosa*, Claus, Halocypr., p. 73 und Erklärung von Taf. 20 und t. 20 f. 7—23 | 1906 *Conchoecia curta*, G. W. Müller in: Ergeb. Tiefsee-Exp., *v.* 8 p. 86 t. 30 f. 1, 2—9.

Schale kurz und gedrungen, beim ♀ Höhe etwa $^2/_3$ der Länge, beim ♂ etwas gestreckter, der Hinterrand flach gewölbt, seine dorsale Hälfte bildet mit dem Dorsalrande einen stumpfen Winkel mit abgerundeter Spitze, er geht ohne Andeutung einer Ecke im flachen Bogen in den stark gewölbten Ventralrand über; Schale ziemlich dicht mit kräftigen Rippen bedeckt; dieselben verlaufen in einem breiten Randstreifen dem Vorder-, Ventral- und Hinterrande parallel, in der dorsalen Schalenhälfte steigen sie etwas nach vorn auf; die Längsrippen meist durch Querrippen verbunden, wodurch eine quadratische Felderung entsteht. Unsymmetrische Drüsen an gewöhnlicher Stelle. Frontalorgan des ♀ kaum länger als der Stamm der 1. Antenne, ohne Andeutung eines Endstückes, fast gerade, nach der Spitze hin schwach

kolbig verdickt, mit abgerundetem Ende. Die Sinnesborsten der 1. Antenne des ♀ proximalwärts kürzer werdend, die 3 proximalen in zwei Äste gespalten. An der 1. Antenne des ♂ ist nur die proximale Sinnesborste zweiteilig; die Hauptborste trägt an Stelle der Zahnreihe eine einfache Reihe von etwa 8 stumpfen Zähnen. Penis terminal abgerundet oder etwas eckig. — L. ♀ 0·8—0·95 mm, ♂ 0·75—0·95 mm.

Atlantischer, Indischer, Pazifischer Ozean, Mittelmeer.

33. **C. acuticosta** G. W. Müll. 1906 *C. a.*, G. W. Müller in: Ergeb. Tiefsee-Exp., *v.* 8 p. 87 t. 30 f. **18**, 19—21.

Schale und innere Organe ähnlich wie bei C. curta (nr. 32), von dieser Art in folgenden Punkten unterschieden: An Stelle der wenig steil nach vorn aufsteigenden Rippen der dorsalen Hälfte treten solche, die in der hinteren Hälfte etwa dem Dorsalrande parallel verlaufen, in der vorderen Hälfte, etwa von den Schließmuskelansätzen an, steil nach vorn aufsteigen. Die Mündung der rechten, unsymmetrischen Drüse liegt etwa auf $^1/_4$ der Schalenhöhe. — L. ♀ und ♂ 1·1—1·2 mm.

Atlantischer, Indischer Ozean.

34. **C. echinulata** (Claus) 1891 *Microconchoecia clausii var. e.*, Claus, Halocypr., t. 20 f. 1—6 und Figurenerklärung zu t. 20; ?*M. c. var. laevis*, p. 75 | 1906 *Conchoecia e.*, G. W. Müller in: Ergeb. Tiefsee-Exp., *v.* 8 p. 88 t. 30 f. **10**, 11—17.

C. curta (nr. 32) sehr ähnlich, Hinter- und Ventralrand stärker gewölbt, Rippen in der Mitte der Schale fehlen häufig. Die rechte, unsymmetrische Drüse mündet etwa auf halber Schalenhöhe. Hauptborste der 1. Antenne des ♂ mit 5 oder 6 Spitzen. Penis schräg abgestutzt, an seiner vorderen Ecke in einen kurzen Fortsatz ausgezogen. — L. ♀ 0·75—0·8 mm, ♂ 0·7—0·8 mm.

Atlantischer, Indischer Ozean.

35. **C. stigmatica** G. W. Müll. 1906 *C. s.*, G. W. Müller in: Ergeb. Tiefsee-Exp., *v.* 8 p. 88 t. 30 f. **22**, 23—28.

C. curta (nr. 32) ähnlich, Hinter- und Ventralrand stärker gerundet als bei den anderen ähnlichen Arten. Oberfläche dicht mit rundlichen Gruben bedeckt, die Ränder zwischen den Gruben erheben sich zu Rippen, welche eine ähnliche rechteckige oder polygonale Felderung entstehen lassen wie bei C. curta. Mündung der rechten, unsymmetrischen Drüse liegt über halber Höhe. Beim ♀ alle 4 Sinnesschläuche der 1. Antenne zweiteilig; die Zähne an der Hauptborste der 1. Antenne des ♂ klein, schwer nachweisbar. Penis schräg abgestutzt. — L. ♀ 1·13 mm, ♂ 1·13—1·25 mm.

Atlantischer und Indischer Ozean.

36. **C. haddoni** G. Brady & Norm. 1896 *C. h.*, G. S. Brady & A. M. Norman in: Tr. R. Dublin Soc., ser. 2 *v.* 5 p. 690 t. 64 f. **6**, 7—16 | 1906 *C. h.*, G. W. Müller in: Ergeb. Tiefsee-Exp., *v.* 8 p. 89 t. 18 f. **1**, 2—10.

Schale des ♀ und ♂: Höhe etwa $^1/_2$ der Länge, Dorsal- und Hinterrand bilden einen Winkel, der wenig größer als ein rechter ist. Spitze des Winkels deutlich, wenig abgerundet, Hinterrand unterhalb der Ecke wenig, aber immerhin deutlich ausgebuchtet, übrigens flach gewölbt, hintere ventrale Ecke stark abgerundet. Skulptur eine wenig auffällige, feine Streifung. Unsymmetrische Drüsen münden an gewöhnlicher Stelle. Unter den Drüsenzellen, die medial am Hinterrande münden, finden sich 2 oder 3 durch Größe ausgezeichnete Gruppen etwa auf halber Höhe, diese Drüsengruppen bilden

nicht den Abschluß der Reihe dorsalwärts. Hauptborste der 1. Antenne mit einer Doppelreihe sehr kleiner, dicht stehender, spitzer, stark basalwärts gerichteter Zähnchen bewaffnet; Nebenborsten etwa so lang wie die Hauptborste. Eine der lateralen Borsten des 2. Gliedes am Endopodit der 2. Antenne des ♂ ist sehr lang, etwa noch einmal so lang wie das 2. Glied, die andere kürzer. Sinnesschläuche des terminalen Gliedes nur etwa $^1/_3$ so lang wie die längste Borste. Das 2. Glied des Endopodit der 2. Antenne des ♀ trägt neben den typischen, terminalen 5 Borsten eine etwa von der Länge des Gliedes; die Sinnesschläuche erreichen etwa die halbe Länge der längsten Borste. — L. ♀ 2·2—2·95 mm, ♂ 1·85—2·5 mm.

Atlantischer, Indischer Ozean.

37. **C. bispinosa** Claus 1890 *C. b.*, Claus in: Arb. Inst. Wien, *v.* 9 p. 10 | 1891 *C. b.*, Claus, Halocypr., p. 59 t. 5 f. **1, 2**, 3—10; t. 6 f. 1; t. 8 f. 7, 8 | 1906 *C. b.*, G. W. Müller in: Ergeb. Tiefsee-Exp., *v.* 8 p. 90 t. 18 f. 12—19 | 1906 *C. secernenda*, Vávra in: Ergeb. Plankton-Exp., *v.* 2 G. g. p. 59 t. 6 f. **121**, 122—127 | 1906 *C. mülleri*, Juday in: Univ. Calif. Publ. Zool., *v.* 3 p. 24 t. 5 f. 5—7; t. 6 f. 1—5.

C. haddoni (nr. 36) sehr ähnlich, von dieser unterschieden dadurch, daß die hintere, dorsale Ecke beiderseits in eine kurze, aber deutliche Spitze ausgezogen ist, die rechts stets größer ist als links. — L. ♀ 1·74—3 mm, ♂ 1·66—2·4 mm.

Atlantischer, Indischer, Pazifischer Ozean.

38. **C. striola** (nom. nov.) G. W. Müll. 1890 *C. striata* (non Claus 1890), G. W. Müller in: Zool. Jahrb. Syst., *v.* 5 p. 270 t. 28 f. 12—18 | 1906 *C. striola*, G. W. Müller in: Ergeb. Tiefsee-Exp., *v.* 8 p. 91 t. 18 f. **11**, 20—24.

C. bispinosa (nr. 37) ähnlich, von dieser und C. haddoni (nr. 36) unterschieden durch scharfe, auffällige Längsstreifung der Schale, sowie durch die Bewaffnung der Hauptborste der 1. Antenne des ♂, die etwa 15 Paare ziemlich umfangreicher, stark abstehender, konischer Zähne trägt. — L. bis 3 mm.

Atlantischer, Indischer, Pazifischer Ozean.

39. **C. atlantica** (Lubb.) 1856 *Halocypris a.* (Larve), Lubbock in: Tr. ent. Soc. London, n. ser. *v.* 4 p. 28 t. 12 f. 1—8 | non 1880 *H. a.*, G. S. Brady in: Rep. Voy. Challenger, Zool. *v.* 1 Part 3 p. 164 t. 40 f. 1—15; t. 41 f. 11, 12 | 1890 *Conchoecia cuneata*, G. W. Müller in: Zool. Jahrb. Syst., *v.* 5 p. 271 t. 28 f. 11, 21, 22, 25 | 1894 *Halocypris torosa*, T. Scott in: Tr. Linn. Soc. London, ser. 2 *v.* 6 p. 142 t. 15 f. 3. 4, 32, 35, 37 | 1895 *Conchoecia agassizii*, G. W. Müller in: Bull. Mus. Harvard, *v.* 27 p. 166 t. 2 f. 1—7, 12—14, 16—18 | 1906 *C. atlantica*, G. W. Müller in: Ergeb. Tiefsee-Exp., *v.* 8 p. 92 t. 5 f. **6, 7**; t. 19 f. **17**, 18—28.

Schale sehr derb, im Verhältnis zum Körper klein, so daß sie stets stark klafft; mäßig gestreckt, Höhe etwa $^1/_2$ der Länge, beim ♂ gestreckter als beim ♀, nach vorn stark verschmälert, besonders beim ♀; der gerade Hinterrand bildet mit dem Dorsalrande einen spitzen Winkel mit abgerundeter Spitze. Mediale Drüsen des Hinterrandes ähnlich wie bei C. haddoni (nr. 36). Nebenborsten der 1. Antenne des ♂ viel kürzer als die Hauptborste, wenig mehr als $^1/_2$ der Länge. Am Endopodit der 2. Antenne des ♂ die lateralen Borsten wie bei C. haddoni, ebenso eine überzählige an entsprechender Stelle beim ♀. — L. ♀ 3·3—4·8 mm, ♂ 3·15—4·6 mm.

Atlantischer, Indischer, Pazifischer Ozean.

40. **C. orthotrichota** G. W. Müll. 1906 *C. o.*, G. W. Müller in: Ergeb. Tiefsee-Exp., *v.* 8 p. 93 t. 19 f. 12. 13—16.

Schale des ♂: Höhe etwa $^1/_2$ der Länge, nach vorn nicht verschmälert. Dorsal- und Hinterrand bilden miteinander einen rechten Winkel, dessen Ecke links deutlich, nicht abgerundet, rechts in eine Spitze ausgezogen ist. Oberfläche mit ziemlich feiner, aber scharfer, deutlicher Längsstreifung; Drüsen ähnlich wie bei C. haddoni (nr. 36). Hauptborste der 1. Antenne des ♂ mit einer Doppelreihe senkrecht abstehender, schlanker, konischer Spitzen (viel schlanker als bei C. striola (nr. 38), fast borstenförmig). Laterale Borsten des 2. Gliedes des Endopodit der 2. Antenne des ♂ wie bei C. haddoni. — L. ♂ 1·6 mm, ♀ unbekannt.

Indischer Ozean, nahe dem Äquator.

41. **C. gaussi** G. W. Müll. 1908 *C. g.*, G. W. Müller in: D. Südp.-Exp., *v.* 10 p. 71 t. 9 f. 14—16; t. 10 f. 9, 10—12.

Schale des ♂: Höhe etwa $^1/_2$ der Länge. Hinter- und Dorsalrand bilden einen Winkel von etwa 90° mit beiderseits stark abgerundeter Spitze. Hinterrand fast gerade, ebenso der Ventralrand; rechte, unsymmetrische Drüse deutlich dorsalwärts verschoben, sie mündet auf etwa $^2/_5$ der Schalenhöhe. Von den medialen Drüsenzellen des Hinterrandes ist eine kleine Gruppe in der Nachbarschaft der rechten, unsymmetrischen Drüse deutlich vergrößert; auf etwa $^2/_3$ der Länge mündet nahe dem Ventralrande eine Gruppe von etwa 10 vergrößerten Zellen. Hauptborste der 1. Antenne des ♂ mit einer langen Doppelreihe schlanker, stark basalwärts gerichteter Spitzen. Von den lateralen Borsten des 2. Gliedes des Endopodit der 2. Antenne ist die eine etwa so lang wie das Glied ohne Borsten, die andere beträchtlich kürzer. — L. ♂ 3·1 mm, ♀ unbekannt.

Südlicher Atlantischer Ozean.

42. **C. incisa** G. W. Müll. 1906 *C. i.*, G. W. Müller in: Ergeb. Tiefsee-Exp., *v.* 8 p. 94 t. 19 f. 1, 2—11.

Schale des ♀ und ♂: Höhe etwa $^1/_2$ der Länge, nach vorn deutlich verschmälert; Dorsal- und Hinterrand bilden miteinander einen stumpfen Winkel mit abgerundeter Spitze; Hinterrand flach gewölbt; rechte, unsymmetrische Drüse etwas dorsalwärts verschoben; vergrößerte mediale Drüsenzellen des Hinter- und Ventralrandes ähnlich wie bei C. gaussi (nr. 41), die des Ventralrandes münden auf halber Schalenlänge. Hauptborste der 1. Antenne des ♂ zu etwa $^1/_6$ ihrer Länge mit sehr kleinen, schwer nachweisbaren Zähnen dicht besetzt. Laterale Borsten des 2. Gliedes des Endopodit der 2. Antenne des ♂ beide kürzer als das Glied, eine überzählige Borste an entsprechender Stelle beim ♀ fehlt. — L. ♀ 2·5 mm, ♂ 2·15 mm.

Indischer Ozean.

43. **C. loricata** Claus

Diese Art zerfällt in 2 Unterarten:

43a. **C. loricata loricata** (Claus) 1894 *Conchoecissa l.*, Claus in: Denk. Ak. Wien, *v.* 61 Anh. p. 4 t. 3 f. 24—30 | 1906 *Conchoecia l. var. typica*, G. W. Müller in: Ergeb. Tiefsee-Exp., *v.* 8 p. 95 t. 22 f. 1, 2—9.

Schale gedrungen, Höhe etwa $^1/_2$ der Länge, nach vorn deutlich verschmälert; der gerade Hinterrand bildet mit dem Dorsalrande einen rechten Winkel mit abgerundeter Ecke; Oberfläche nahe dem Rücken mit horizontalen,

in der ventralen Hälfte mit geschwungenen, nach hinten absteigenden Rippen, welche durch longitudinale Ausläufer verbunden eine netzartige Skulptur herstellen; diese Skulptur meist vorn deutlich, hinten undeutlich. Laterale Eckdrüse beiderseits vorhanden, sie liegt rechts auf der unsymmetrischen Drüse, so daß sich beide Drüsen im Profil decken. Frontalorgan des ♀ doppelt so lang wie der Stamm der 1. Antenne; Endstück lang (über $^1/_3$ des ganzen Organes), ziemlich deutlich abgesetzt, deutlich erweitert, deutlich herabgebogen, am Ende abgerundet. 1. Antenne des ♀: die Sinnesschläuche länger als der Stamm, die Hauptborste etwa 3 mal so lang, fein behaart. Hauptborste der 1. Antenne des ♂ mit einer Doppelreihe von etwa 22 wenig dicht stehenden, stark basalwärts gerichteten Dörnchen, dieselben werden proximal kleiner und rücken näher zusammen. — L. ♀ 1·8—2 mm, ♂ 1·7—1·9 mm.

Atlantischer, Indischer, Pazifischer Ozean, Mittelmeer.

43b. **C. loricata minor** G. W. Müll. 1906 *C. l. var. m.*, G. W. Müller in: Ergeb. Tiefsee-Exp., *v.* 8 p. 96 t. 22 f. 10, 11, **12**, 13—15.

Skulptur ganz oder fast ganz unterdrückt. Hauptborste mit einer Doppelreihe von etwa 12 Dornenpaaren, die denen der typischen Form sehr ähnlich sind; die Dornenpaare rücken proximal weiter auseinander, beide Reihen nähern sich stark. — L. ♀ 1·6—1·7 mm, ♂ 1·55 mm.

Atlantischer, Indischer Ozean.

44. **C. ctenophora** G. W. Müll. 1906 *C. c.*, G. W. Müller in: Ergeb. Tiefsee-Exp., *v.* 8 p. 96 t. 22 f. 16—20, 29.

C. loricata (nr. 43) sehr ähnlich, in folgenden Punkten unterschieden: Schale strukturlos oder mit dichter, aber sehr undeutlicher Streifung, Hauptborste der 1. Antenne mit etwa 30 Paaren ziemlich langer, steil abstehender Dornen, dieselben bewahren in ganzem Umfange annähernd die gleiche Form und den gleichen Abstand; Schale größer als bei C. loricata. — L. ♀ 2·4—2·65 mm, ♂ 2·3—2·6 mm.

Atlantischer, Indischer, Pazifischer Ozean.

45. **C. serrulata** Claus

Diese Art zerfällt in 2 Unterarten:

45a. **C. serrulata serrulata** Claus 1874 *C. s.*, Claus, Schr. zool. Inh., *v.* 1 p. 6 t. 1 f. **2**, 3—7, 9—11; t. 2 f. 12, 13, 17, 19 | ? 1880 *Halocypris atlantica*, G. S. Brady in: Rep. Voy. Challenger, Zool. *v.* 1 Part 3 p. 164 t. 40 f. 1—15; t. 41 f. 11—12 | 1890 *Pseudoconchoecia serrulata*, Claus in: Arb. Inst. Wien, *v.* 9 p. 20 | 1891 *P. s.*, Claus, Halocypr., p. 72 t. 19 f. 1—14; t. 23 f. 1—13 | 1906 *Conchoecia s.*, G. W. Müller in: Ergeb. Tiefsee-Exp., *v.* 8 p. 97 t. 22 f. **24**; t. 23 f. 20—30.

Schale kurz, Höhe etwa $^9/_{13}$ der Länge, nach vorn nicht verschmälert, der Hinterrand bildet mit dem Dorsalrande etwa einen rechten Winkel mit abgerundeter Spitze; der Ventralrand ist stark gewölbt. Die Schale ist mit scharfen, auffälligen Leisten bedeckt, welche vorwiegend horizontal verlaufen und nahe dem Vorderrande ein kleines Dreieck mit wenig auffälligen, senkrecht aufsteigenden Linien frei lassen; die Leisten glatt oder gezähnelt; unsymmetrische Drüsen an gewöhnlicher Stelle, laterale Eckdrüse vorhanden, sie liegt rechts auf der unsymmetrischen Drüse. Haupt- und Nebenborsten der 1. Antenne des ♂ annähernd gleich lang, Hauptborste mit einer einfachen Reihe von etwa 20 kurzen, konischen Spitzen, die etwa $^1/_4$ der Gesamtlänge

der Borste einnimmt. Terminales Glied des Endopodit der linken 2. Antenne nicht hakig, sondern nur flach gebogen. — L. ♀ 1·6—1·7, ♂ 1·25—1.4 mm.

Atlantischer, Indischer, Pazifischer Ozean.

45b. **C. serrulata laevis** (G. Brady) 1907 *Pseudoconchoecia s. var. l.*, G. S. Brady in: Nat. antarct. Exp., *v.* 3 nr. 5 p. 2.

Schale fast ohne Skulptur, sonst wie C. serrulata serrulata.

Südlicher Indischer und Pazifischer Ozean.

46. **C. concentrica** G. W. Müll. 1906 *C. c.*, G. W. Müller in: Siboga-Exp., nr. 30 p. 10 t. 1 f. 1, 2, 5—9.

Schale derb, ziemlich kurz und hoch, Höhe deutlich größer als $^1/_2$ der Länge, beim ♂ nicht, beim ♀ etwas nach vorn verschmälert, Schulterwulst stark vortretend, stumpfkantig; Hinterrand und Dorsalrand bilden miteinander etwa einen rechten Winkel, dessen Ecke rechts in eine kurze, undeutliche Spitze ausgezogen ist, links fehlt diese Spitze fast ganz. Oberfläche mit sehr deutlicher und ziemlich dichter Längsstreifung, die Streifen biegen vorn deutlich dorsalwärts um, verlaufen bis zur Kante des Schulterwulstes, auf dem sie mit denen der dorsalen Region konvergieren. Nahe dem Hinterrande tritt an Stelle der Streifung eine wenig auffällige, polygonale Felderung. Unsymmetrische Drüsen an gewöhnlicher Stelle, laterale Eckdrüse vorhanden, sie mündet lateral auf der Fläche nahe dem Schalenrande, rechts etwas dorsal von der unsymmetrischen Drüse. Hauptborste der 1. Antenne des ♂ mit einer Doppelreihe steil abstehender, ziemlich schlanker Spitzen, dieselben erstrecken sich über annähernd $^1/_4$ der Borste, sie stehen ziemlich dicht, nehmen proximal an Länge zu. — L. ♀ 1·6, ♂ 1·45 mm.

Malayischer Archipel.

47. **C. lophura** G. W. Müll. 1906 *C. l.*, G. W. Müller in: Ergeb. Tiefsee-Exp., *v.* 8 p. 99 t. 20 f. 1, 2, 3—10 | ? 1906 *C. magna*, Juday in: Univ. Calif. Publ. Zool., *v.* 3 p. 19 t. 3 f. 8—11; t. 4 f. 1, 2.

Schale ziemlich derb, die des ♂ mäßig gestreckt, Höhe wenig größer als $^1/_2$ der Länge, nach vorn nicht verschmälert. Dorsal- und Hinterrand bilden einen rechten Winkel mit wenig abgerundeter Ecke, Hinterrand fast gerade; hintere, ventrale Ecke stark abgerundet, Ventralrand flach eingebuchtet, Oberfläche nahe dem Dorsalrande auf dem Schulterwulst mit Längsstreifung, ventralwärts vom Schulterwulst in der vorderen Schalenhälfte mit senkrecht absteigender, nahe dem Ventralrande nach hinten umbiegender Streifung. In der hinteren Schalenhälfte ordnet sich die Streifung unregelmäßig konzentrisch. Die Streifen zeigen im Bereiche der ganzen Schale eine annähernd gleichmäßige Ausbildung (wenigstens bei geeigneter Behandlung). Skulptur ziemlich konstant. Die Schale des ♀ der des ♂ ähnlich, der Hinterrand flach gewölbt. Laterale Eckdrüse beiderseits deutlich, mündet rechts dorsal von der unsymmetrischen Drüse, nahe bei ihr. Links findet sich in der hinteren Hälfte am Ventralrande in beiden Geschlechtern eine umfangreiche, meist auffällige Gruppe von Drüsenzellen, welche nahe dem Schalenrande lateral münden, sie fehlt rechts. Frontalorgan des ♀ mit langem Endstück (etwa $^2/_3$ des Stammes), dasselbe ist nur wenig dicker als der Stamm, nur durch eine flache Furche abgegrenzt, deutlich herabgebogen, annähernd gerade, stark zugespitzt; die Spitze stark herabgebogen, der Ventralrand stark bewaffnet. Hauptborste der 1. Antenne des ♂ zu $^1/_4$ ihrer Länge mit einer Doppelreihe kleiner, stark basalwärts gerichteter Spitzen besetzt,

die proximal an Länge zunehmen und schwer aufzufinden sind. Am Endopodit der 2. Antenne ist in beiden Geschlechtern die längere Borste des basalen Gliedes mit kurzen, kräftigen Börstchen besetzt, zu denen beim ♂ noch ein Schopf langer Haare an der Basis kommt, das Hakenglied beiderseits rechtwinklig, der distale Schenkel links stumpfwinklig gebogen. — L. ♀ und ♂ 2·2—2·8 mm.

Atlantischer, Indischer, Pazifischer Ozean.

48. **C. parvidentata** G. W. Müll. 1906 *C. p.*, G. W. Müller in: Ergeb. Tiefsee-Exp., *v.* 8 p. 100 t. 20 f. **11**, 12—18.

Schale der von C. lophura (nr. 47) ähnlich, die Skulptur wenig auffällig, in der Hauptsache eine dem Schalenrande parallele, konzentrische Streifung. Drüsen wie bei C. lophura, die ventrale Drüsengruppe der linken Schale fehlt. Frontalorgan des ♀ ähnlich wie bei C. lophura. Bewaffnung der Hauptborste der 1. Antenne des ♂ ähnlich wie bei C. lophura. Längere Borste des Basalgliedes des Endopodit der 2. Antenne des ♂ ohne längere Haare, kurze Haare in beiden Geschlechtern wie bei C. lophura. Hakenglied beiderseits spitzwinklig, rechts der lange, distale Schenkel stumpfwinklig gebogen. — L. ♀ 2·5—2·7 mm, ♂ 2·05—2·4 mm.

Atlantischer, Indischer Ozean.

49. **C. hyalophyllum** Claus 1890 *C. h.*, Claus in: Arb. Inst. Wien, *v.* 9 p. 11 | 1891 *C. h.*, Claus, Halocypr., p. 60 t. 6 f. **2**, 3—10; t. 8 f. 9 | 1906 *C. h.*, G. W. Müller in: Ergeb. Tiefsee-Exp., *v.* 8 p. 101 t. 20 f. **19**, 20—26.

C. parvidentata (nr. 48) ähnlich, Schale kürzer, Höhe deutlich größer als $^1/_2$ der Länge, laterale Eckdrüse vorhanden, aber klein, wenig auffällig. Frontalorgan des ♀: Bewaffnung der Hauptborste der 1. Antenne des ♂ ähnlich wie bei C. lophura (nr. 47). Längere Borste des basalen Gliedes des Endopodit der 2. Antenne des ♂ nahe der Basis mit 5 langen Haaren, sonst kahl. Hakenglied wie bei C. lophura, von dieser unterschieden durch den Mangel der ventralen Drüsengruppe. — L. ♀ 1·65—1·8 mm, ♂ 1·5—1·7 mm.

Atlantischer, Indischer, Pazifischer Ozean.

50. **C. macrocheira** G. W. Müll. 1906 *C. m.*, G. W. Müller in: Ergeb. Tiefsee-Exp., *v.* 8 p. 101 t. 21 f. **1**, 2—9 | 1906 *C. hamata* (part.), Vávra in: Ergeb. Plankton-Exp., *v.* 2 G. g. p. 52 t. 5 f. **92**, 93—99.

Schalenumriß ähnlich wie bei C. lophura (nr. 47), unterhalb der Incisur stärker vorgewölbt; Skulptur sehr undeutlich, laterale Eckdrüse fehlt, auf halber Schalenlänge findet sich beiderseits eine Gruppe von umfangreichen, radiär angeordneten Drüsenzellen. Frontalorgan des ♀ terminal gerundet. Hauptborste der 1. Antenne des ♂ zu etwa $^1/_3$ besetzt mit einer Doppelreihe langer, schlanker, stark basalwärts gerichteter Spitzen. Von den lateralen Borsten des 1. Gliedes des Endopodit der 2. Antenne ist in beiden Geschlechtern die distale sehr lang, beim ♀ in ganzem Umfange dicht mit kleinen Härchen besetzt, beim ♂ in der proximalen Hälfte mit einer Reihe von etwa 10 ziemlich langen Haaren, im übrigen kahl. Das Hakenglied beiderseits etwa rechtwinklig, der distale Schenkel sehr lang, rechts etwa rechtwinklig gebogen. — L. ♀ 3·3—3·8 mm, ♂ 2·9—3·3 mm.

Indischer, Atlantischer, Pazifischer Ozean.

51. **C. subarcuata** Claus 1890 *C. s.*, Claus in: Arb. Inst. Wien, *v.* 9 p. 9 | 1890 *C. striata* (part.), Claus in: Arb. Inst. Wien, *v.* 9 p. 12 | 1891 *C. subarcuata*, Claus, Halocypr., p. 58 t. 3 f. **3**, 4—9; t. 4 f. 1—8 | 1891 *C. striata* (part.), Claus, Halocypr., p. 62

t. 8 f. 1—6 | 1906 *C. subarcuata*, G. W. Müller in: Ergeb. Tiefsee-Exp., *v.* 8 p. 102 t. 21 f. 10—13, **14, 15**, 16, 19 | (non 1906 *C. s.*, Vávra in: Ergeb. Plankton-Exp., *v.* 2 G. g. p. 33 t. 1 f. 8—12).

Schalenumriß beim ♂ ähnlich wie bei C. lophura (nr. 47), beim ♀ der Vorderrand stark vorgewölbt, keine oder nur sehr undeutliche Skulptur; laterale Eckdrüse fehlt. Frontalorgan des ♀ ähnlich wie bei C. lophura. Hauptborste der 1. Antenne des ♂ mit einer Doppelreihe mäßig langer, schlanker, stark basalwärts gerichteter Dornen. Längere Borste des Basalgliedes des Endopodit der 2. Antenne des ♂ mit etwa 4 langen Haaren nahe der Basis, im übrigen kahl. Hakenglied rechts spitzwinklig, der distale Schenkel lang, stumpfwinklig gebogen, links annähernd rechtwinklig, der distale Schenkel gerade, zugespitzt. — L. ♀ 2—2·2 mm, ♂ 1·8—2 mm.

Atlantischer, Indischer, Pazifischer Ozean.

52. **C. magna** Claus

Diese Art zerfällt in 2 Unterarten:

52a. **C. magna magna** Claus ?1874 *C. m.*, Claus, Schr. zool. Inh., *v.* 1 p. 6 t. 1 f. 6'c; t. 2 f. 16, 18 | 1887 *C. tetragona*, G. O. Sars in: Arch. Naturv. Kristian., *v.* 12 p. 254 t. 11 f. **5, 6**; t. 13 f. 5—9 | 1890 *C. t.*, G. W. Müller in: Zool. Jahrb. Syst., *v.* 5 p. 274 t. 28 f. 28, 29, 33, 34, 39, 40 | 1894 *C. magna*, G. W. Müller in: F. Fl. Neapel, *v.* 21 p. 228 t. 5 f. **7**, 8—12, 19—22, 36 | (non 1906 *C. m.*, Juday in: Univ. Calif. Publ. Zool., *v.* 3 p. 19 t. 3 f. 8—11; t. 4 f. 1, 2) | 1906 *C. subarcuata*, Vávra in: Ergeb. Plankton-Exp., *v.* 2 G. g. p. 33 t. 1 f. 8—12.

Schalenumriß ähnlich wie bei C. lophura (nr. 47), mit mehr oder weniger auffälliger konzentrischer Streifung; laterale Eckdrüse fehlt. Frontalorgan des ♀ ähnlich wie bei C. lophura. Die Hauptborste der 1. Antenne des ♂ trägt eine Doppelreihe von ziemlich umfangreichen, basal gerichteten Spitzen. Dieselben stehen distal ziemlich dicht, rücken proximal weiter auseinander, werden länger und schlanker, etwa vom 11. Paar an schieben sich beide Reihen derart zwischen einander, daß sie wie eine erscheinen, der noch 15—19 Spitzen angehören. Längere Borste des Basalgliedes des Endopodit der 2. Antenne des ♂ mit 3 oder 4 langen Haaren, übrigens kahl, Hakenglied beiderseits etwa rechtwinklig, rechts der distale Schenkel rechtwinklig gebogen. — L. ♀ 1·7—2·2 mm, ♂ 1·4—2·0 mm. — Fig. 2, p. 3; Fig. 19, 20, 22, p. 60, 61.

Atlantischer, Indischer, Pazifischer Ozean, Mittelmeer.

52b. **C. magna rhombica** G. W. Müll. 1906 *C. m. var. r.*, G. W. Müller in: Ergeb. Tiefsee-Exp., *v.* 8 p. 104 t. 21 f. **21**, 22—25.

Beim ♂ bilden Dorsal- und Hinterrand einen spitzen Winkel mit abgerundeter Ecke. Endstück des Frontalorganes des ♂ terminal stark aufgetrieben, die Hakenglieder der 2. Antenne des ♂ auffallend zugespitzt. ♀ vermutlich wie C. magna magna. — L. ♂ 1·6 mm.

Indischer Ozean.

53. **C. spinirostris** Claus 1874 *C. s.*, Claus, Schr. zool. Inh., *v.* 1 p. 6 t. 1 f. **1**, 6'a, 8; t. 2 f. 11, 14, 15 | 1887 *C. pellucida*, G. O. Sars in: Arch. Naturv. Kristian., *v.* 12 p. 252 t. 11 f. **1—4**; t. 12; t. 13 f. 1—4 | 1890 *C. porrecta*, Claus in: Arb. Inst. Wien, *v.* 9 p. 12 | 1891 *C. p.*, Claus, Halocypr., p. 61 t. 7 f. 1—6, **7**, 8—13 | 1894 *C. spinirostris*, G. W. Müller in: F. Fl. Neapel, *v.* 21 p. 227 t. 6 f. **1, 2**, 3—9, 13.

Schale des ♀: Höhe kleiner als $^1/_2$ der Länge, nach vorn deutlich verschmälert, Schale des ♂ nicht verschmälert, weniger gestreckt; hintere dorsale Ecke kaum abgerundet, laterale Eckdrüse fehlt. Frontalorgan des ♀

annähernd gerade, das Endstück nur undeutlich gegen den Stamm abgesetzt, wenig dicker als der Stamm, terminal zugespitzt. 2. Glied der 1. Antenne des ♀ ohne dorsale Borste. Die Bewaffnung der Hauptborste der 1. Antenne des ♂ beginnt distal mit einer Doppelreihe sehr dicht stehender, breiter Zähne, welche nur wenig Raum zwischen sich lassen, etwa beim 14. Paare nähern sich beide Reihen, schieben sich zwischen einander, so daß sie eine einzige unregelmäßige Reihe bilden, zugleich rücken die Zähne weiter auseinander, werden borstenförmig. Längere Borste des Basalgliedes des Endopodit der 2. Antenne des ♂ mit wenigen langen Haaren, die bisweilen fehlen (abgebrochen?), im übrigen kahl. Hakenglied mehr oder weniger deutlich spitzwinklig, bisweilen fast rechtwinklig, rechts der distale Schenkel stumpfwinklig gebogen. — L. ♀ 1·1—1·6 mm, ♂ 0·95—1·4 mm.

Atlantischer, Indischer, Pazifischer Ozean, Mittelmeer.

54. **C. mollis** G. W. Müll. 1906 *C. m.*, G. W. Müller in: Ergeb. Tiefsee-Exp., *v.* 8 p. 106 t. 24 f. 1, 2—10, 13.

Schale ziemlich zart und weich, in beiden Geschlechtern Höhe annähernd $^1/_2$ der Länge. Dorsal- und Ventralrand parallel, der letztere flach eingebuchtet oder gerade. Hinter- und Dorsalrand bilden etwa einen rechten Winkel mit abgerundeter Ecke. Hinterrand annähernd gerade; hintere, ventrale Ecke stark abgerundet, die Rundung meist unterbrochen durch die eckig vortretende Mündung der Drüsen. Oberfläche stets deutlich skulpturiert. Am häufigsten finden wir eine feine, aber deutliche senkrechte Streifung, bei der die Linien dorsal und ventral nach hinten umbiegen. Diese Streifung kann sich auf die vordere Hälfte beschränken oder über die ganze Schale ausdehnen. Zwischen den Streifen können Querbalken auftreten, die so kräftig werden, daß die ganze Oberfläche gefeldert erscheint, so besonders in der hinteren Schalenhälfte. Sowohl bei der einen wie bei der anderen Form kann der mit Leisten versehene Teil der Schale dicht mit kleinen Gruben bedeckt sein, die Leisten erscheinen dann als die stärker entwickelten Grenzen zwischen zwei Grubenreihen. Die rechte, unsymmetrische Drüse mündet etwa an der hinteren, ventralen Ecke, wenig dorsalwärts verschoben, rechts dicht neben ihr und dorsal von ihr die laterale Eckdrüse, die linke Eckdrüse an entsprechender Stelle. Dorsale, mediale Drüsengruppe des Hinterrandes in beiden Geschlechtern vorhanden, sie liegt sehr nahe der dorsalen Ecke, besteht aus etwa 6 Zellen, deren Mündung dicht gedrängt etwa in gleicher Linie liegen mit den übrigen medial am Hinterrande mündenden. Endstück des Frontalorganes des ♀ ziemlich lang (etwa $^2/_3$ des Stammes), deutlich abgegrenzt, schwach, aber deutlich herabgebogen, zugespitzt, deutlich bedornt. Frontalorgan des ♂ dem des ♀ ähnlich. 1. Antenne des ♂: Hauptborste mit zartem, lanzettförmigem Endstücke, mit einer Doppelreihe breiter, nach der Basis hin verschmälerter Blättchen; dieselben sind sehr zart bis auf den verdickten Vorderrand, welcher bei mittelstarker Vergrößerung allein sichtbar ist und das Bild einer dichten Reihe schlanker, stark basalwärts gerichteter Borsten bietet. Die distale Nebenborste zeigt in der Nachbarschaft der Bewaffnung der Hauptborste an der von der Hauptborste abgewandten Seite einen dichten Besatz mit kleinen, senkrecht abstehenden Härchen, an der der Hauptborste zugewandten Seite eine dichte Reihe von distal gerichteten Börstchen. Proximale Nebenborste mit Schwiele. Endopodit der 2. Antenne des ♂: Borsten des basalen Gliedes kahl, die langen Borsten des 2. Gliedes sondern sich in ein langes, schlankeres, derbwandigeres, basales, und in ein zarteres, erweitertes, terminales Stück. Penis

terminal abgerundet oder wenig abgestutzt. — L. ♀ 3·2—3·5 mm, ♂ 2·65—3 mm.

Atlantischer, Indischer, Pazifischer Ozean.

55. **C. amblypostha** G. W. Müll. 1906 *C. a.*, G. W. Müller in: Ergeb. Tiefsee-Exp., *v.* 8 p. 108 t. 24 f. 17—22.

C. mollis (nr. 54) sehr nahe stehend, die ♂ in folgenden Punkten unterschieden: An der distalen Nebenborste der 1. Antenne des ♂ sondern sich die senkrecht abstehenden Börstchen in eine proximale Reihe feiner und in eine distale Reihe gröberer Börstchen. Längere Borste des Basalgliedes des Endopodit der 2. Antenne fein gefiedert. Penis quer abgestutzt. Unterschiede beim ♀ ? — L. ♂ 3·15—3·5 mm.

Atlantischer, Indischer Ozean.

56. **C. kampta** G. W. Müll. 1906 *C. k.*, G. W. Müller in: Ergeb. Tiefsee-Exp., *v.* 8 p. 108 t. 24 f. 11, 12, 14—16.

C. mollis (nr. 54) sehr ähnlich, die ♂ in folgenden Punkten unterschieden: An der distalen Nebenborste der 1. Antenne tritt neben der distalen Hälfte der Bewaffnung der Hauptborste an Stelle der kurzen, senkrecht abstehenden Härchen eine Reihe langer, kräftiger, distal gerichteter Börstchen. Proximale Nebenborste ungefähr neben dem distalen Ende der Bewaffnung der Hauptborste eine mehr oder weniger deutliche Knickung und Schwiele. Längere Borste des basalen Gliedes des Endopodit der 2. Antenne des ♂ lang und deutlich gefiedert. Penis terminal quer abgestutzt. Unterschiede bei den ♀? — L. ♂ 2·6—2·7 mm.

Atlantischer Ozean.

57. **C. acanthophora** G. W. Müll. 1906 *C. a.*, G. W. Müller in: Ergeb. Tiefsee-Exp., *v.* 8 p. 108 t. 35 f. 2—5, 13.

C. mollis (nr. 54) sehr ähnlich, von dieser und den verwandten Arten unterschieden durch den Bau der distalen Nebenborste der 1. Antenne des ♂; dieselbe trägt in der proximalen Hälfte zerstreut stehende kurze, derbe, senkrecht abstehende Börstchen; ihnen folgt distal eine Reihe von derben, annähernd senkrechten, meist wenig hakig gekrümmten Spitzen, sie stehen ziemlich dicht in annähernd gleichen Abständen; in der Nachbarschaft des Endstückes der Bewaffnung der Hauptborste treten an Stelle der kleinen Spitzen etwa 5 umfangreiche, basal gerichtete Haken, die sehr viel weiter auseinanderstehen als die kleineren Spitzen. Proximale Nebenborste ohne Knickung und Schwiele. Längere Borste des basalen Gliedes des Endopodit der 2. Antenne des ♂ mit feiner Behaarung. Penis stumpfwinklig abgestutzt. — L. ♂ 2·8 mm.

Indischer Ozean.

58. **C. tyloda** G. W. Müll. 1906 *C. t.*, G. W. Müller in: Ergeb. Tiefsee-Exp., *v.* 8 p. 109 t. 25 f. 2, 3—13.

Schalenumriß ähnlich wie bei C. mollis (nr. 54); die Skulptur beschränkt sich auf einen breiten Randstreifen, der von der Incisur bis etwa zu $^2/_3$ des Ventralrandes reicht, ist hier auffällig, im übrigen fehlt sie oder ist sehr undeutlich. In dem Randstreifen wird die Skulptur gebildet durch Leisten, die mit dem Schalenrande mehr oder weniger stark konvergieren, zwischen diesen Leisten finden sich Querleisten. Die dorsale, mediale Drüse besteht nur aus wenig Zellen (beim ♀ 3). 1. Antenne des ♂ ähnlich wie bei C. mollis,

die senkrecht abstehende Behaarung der distalen Nebenborste sehr fein, schwer nachweisbar, die proximale Nebenborste mit 2 Schwielen. Am Endopodit der 2. Antenne des ♂ ist die längere Borste des basalen Gliedes lang und fein behaart. — L. ♀ 3·2 mm, ♂ 3·0 mm.

Südlicher Atlantischer und Indischer Ozean.

59. **C. antipoda** G. W. Müll. 1906 *C. a.*, G. W. Müller in: Ergeb. Tiefsee-Exp., *v.* 8 p. 110 t. 26 f. **5**, 6—16.

Schale des ♀: Höhe etwas kleiner als $^1/_2$ der Länge, nach vorn kaum verschmälert, Schulterwulst kantig erhoben; Hinterrand flach gewölbt, seine dorsale Hälfte bildet mit dem Dorsalrande einen stumpfen Winkel mit gerundeter Ecke, die Ecke schwach gezähnelt. Skulptur innerhalb eines breiten Randstreifens zwischen Incisur und Schalenmitte meist auffällig, bisweilen undeutlich, stets besteht sie aus flach gebogenen Leisten, die annähernd senkrecht auf dem Ventralrande stehen, die Querbalken zwischen den Leisten reichen nicht von einer Leiste bis zur nächst davorliegenden. Übrige Schale nicht oder nur undeutlich skulpturiert, mit paralleler Streifung oder rhombischer Felderung. Mediale, dorsale Drüse sehr umfangreich, sie mündet ziemlich entfernt von der hinteren, dorsalen Ecke, etwa auf $^3/_4$ der Schalenhöhe. Schale des ♂ ohne kantig vortretenden Schulterwulst. Skulptur meist umfangreicher als beim ♀, ein ähnlicher aber umfangreicherer Streifen als beim ♀ besonders deutlich; die Leisten bilden hier mit dem Rande einen sehr spitzen Winkel, die übrige Schale bisweilen diagonal gefeldert; Drüsen wie beim ♀. 1. Antenne des ♂ ähnlich wie bei C. mollis (nr. 54), distale Nebenborste mit senkrecht abstehenden Härchen, neben und distal von ihnen nach dem Ende zu gerichtete Börstchen. Die längere Borste am basalen Gliede des Endopodit der 2. Antenne des ♂ fast kahl. — L. ♀ 3·15—3·3 mm, ♂ 2·8—2·95 mm.

Antarktis, südlich vom 55° s. Br., vereinzelt weiter nördlich.

60. **C. borealis** O. Sars 1866 *C. b.*, G. O. Sars in: Forh. Selsk. Christian., p. 119 | 1896 *C. b.* + *C. maxima*, G. S. Brady & A. M. Norman in: Tr. R. Dublin Soc., ser. 2 *v.* 5 p. 685, 686 t. 61 f. **1**, 2—8, **9**, **10**, 11—19 | 1901 *C. b.*, G. W. Müller in: Nord. Plankton, *v.* 4 pars 7 p. 4 f. **4**, 5—7.

C. antipoda (nr. 59) sehr nahe stehend, von ihr durch folgende Merkmale unterschieden: Hinterrand nicht gewölbt, fast gerade, nach vorn deutlich verschmälert, Schulterwulst beim ♀ nicht scharfkantig vortretend; ganze Schale mit gleichmäßiger, meist schwer nachweisbarer Skulptur. — L. ♀ 3—3·5 mm, ♂ 3—3·15 mm.

Nördlicher Atlantischer Ozean, nördlich vom 60° n. Br.

61. **C. distans** G. W. Müll. 1906 *C. d.*, G. W. Müller in: Ergeb. Tiefsee-Exp., *v.* 8 p. 111 t. 25 f. 24—26; t. 26 f. **1**, 2—4.

Schale des ♂: Höhe etwa $^1/_2$ der Länge, Hinterrand stark gewölbt, Skulptur ähnlich wie beim ♂ von C. antipoda (nr. 59); dorsale, mediale Drüse umfangreich, sie entfernt sich noch weiter von der hinteren, dorsalen Ecke als bei C. antipoda, liegt etwa halbwegs zwischen dieser und der lateralen Eckdrüse. Distale Nebenborste der 1. Antenne des ♂ fein abstehend behaart, Behaarung schwer nachzuweisen. — L. ♂ 2·15 mm, ♀ unbekannt.

Indischer Ozean.

62. **C. dichotoma** G. W. Müll. 1906 *C. d.*, G. W. Müller in: Ergeb. Tiefsee-Exp., *v.* 8 p. 111 t. 24 f. 23—29; t. 25 f. **1**.

Schale des ♀: Höhe etwa $^1/_2$ der Länge, nach vorn deutlich verschmälert, Hinterrand flach gewölbt; hintere, dorsale Ecke etwa rechtwinklig, mit ziemlich stark abgerundeter Spitze, hintere, ventrale Ecke sehr stark abgerundet, Skulptur meist undeutlich, mit parallelen, in der ventralen Hälfte nach vorn aufsteigenden, in der dorsalen nach vorn absteigenden Linien, die miteinander rhombische Felder bilden können. Schale des ♂ gestreckter, nach vorn nicht verschmälert. Laterale Eckdrüse beiderseits vorhanden, dorsale, mediale Drüse beim ♂ deutlich, in der Nachbarschaft der Ecke gelegen, beim ♀ an ihrer Stelle eine Gruppe von 3 oder 4 nicht durch Größe ausgezeichneter Zellen. Hauptborste der 1. Antenne des ♂ mit lanzettförmig erweitertem, zartem Endstücke, mit einer Doppelreihe sehr dicht stehender platter Zähnchen, deren jedes in eine kleine Spitze ausgezogen ist. Distale Nebenborste kurz, mit feiner, senkrecht abstehender Behaarung, proximale deutlich länger als die distale, mit deutlicher Schwiele. Proximaler Sinnesschlauch an der Basis stark eingeschnürt, an der Einschnürung entspringen zwei kurze, blindsackartige Anhänge. Von den Sinnesschläuchen des terminalen Hakengliedes des Endopodit der 2. Antenne des ♂ ist einer kürzer und dicker als die anderen, spiralig gekrümmt. — L. ♀ 2·25—2·35 mm, ♂ 1·85 mm.

Atlantischer und Indischer Ozean.

63. **C. rhynchena** G. W. Müll. 1906 *C. r.*, G. W. Müller in: Ergeb. Tiefsee-Exp., *v.* 8 p. 113 t. 26 f. 17—20, 21, 22—25.

Schale des ♀ ziemlich gestreckt, Höhe deutlich kleiner als $^1/_2$ der Länge, der fast gerade Hinterrand bildet mit dem Dorsalrande einen rechten Winkel mit wenig abgerundeter Ecke, auch die hintere, ventrale Ecke nur wenig abgerundet; ein breiter Randstreifen, der von der Incisur bis etwa zur Mitte des Ventralrandes reicht, mit deutlicher, dem Ventralrande etwa paralleler Streifung, zwischen den Streifen mehr oder weniger deutliche Querbalken, übrige Schale ohne oder mit wenig auffälliger Skulptur. Dorsale, mediale Drüse in beiden Geschlechtern vorhanden, sie mündet nahe der hinteren, dorsalen Ecke; laterale Eckdrüse beiderseits vorhanden. Am Endstücke des Frontalorganes des ♂ ist das terminale $^1/_3$ viel schmaler und zarter als die Basis, schnabelartig abgesetzt. Hauptborste der 1. Antenne des ♂ terminal nicht erweitert, Bewaffnung ähnlich wie bei C. mollis (nr. 54), Nebenborsten fast ebenso lang wie die Hauptborste, die distale nur mit wenig Börstchen, die proximale mit Schwiele. — L. ♀ 2·55—2·7 mm, ♂ 2·45 mm.

Atlantischer, Indischer Ozean.

64. **C. sibogae** G. W. Müll. 1906 *C. s.*, G. W. Müller in: Siboga-Exp., nr. 30 p. 8 t. 1 f. 10—20.

Schale ziemlich derb, Höhe etwa $^1/_2$ der Länge, beim ♂ sehr wenig, beim ♀ deutlich nach vorn verschmälert, Schulterwulst ziemlich vortretend, aber nicht scharfkantig erhoben. Hinter- und Dorsalrand bilden einen Winkel, der wenig kleiner ist als ein rechter, seine Ecke ist beiderseits in eine kleine, aber deutliche Spitze ausgezogen, die links etwas größer ist als rechts. Hinterrand annähernd gerade, bildet mit dem Ventralrande einen stumpfen Winkel, dessen Ecke links etwas abgerundet ist; rechts wird die Ecke gebildet oder überragt von einem kurzen, warzenartigen Fortsatze, welcher die Mündung der rechten, unsymmetrischen Drüse aufnimmt. Oberfläche mit ziemlich auffälliger, dichter Streifung. Die Streifen verlaufen dem Dorsal- und Ventralrande annähernd parallel, steigen in der ventralen Hälfte etwas nach vorn auf; die einzelnen Längslinien sind durch Querbalken verbunden,

wodurch eine rechteckige oder rhombische Felderung entsteht, an deren Stelle eine unregelmäßige, polygonale Felderung treten kann, so besonders nahe der hinteren, ventralen Ecke. Skulptur meist nahe der hinteren, dorsalen Ecke undeutlich oder ganz ausgelöscht, in einem mittleren, breiten Streifen undeutlich. Laterale Eckdrüse deutlich, ihre Mündung sehr weit auf die mediale Seite verschoben. Dorsale, mediale Drüse in beiden Geschlechtern vorhanden, sie ist beim ♂ umfangreicher und mündet in einiger Entfernung von der hinteren, dorsalen Ecke. Haupt- und Nebenborsten der 1. Antenne annähernd gleich lang, die Hauptborste etwa im mittleren $^1/_3$ mit einer Doppelreihe basalwärts gerichteter, dicht stehender Plättchen besetzt. — L. ♀ 2·8—3·0 mm, ♂ 2·75 mm.

Malayischer Archipel.

65. **C. cellularis** G. W. Müll. 1906 *C. c.*, G. W. Müller in: Ergeb. Tiefsee-Exp., *v.* 8 p. 113 t. 28 f. 7, 18, **19**, **20**—28.

Schale gestreckt, Höhe deutlich kleiner als $^1/_2$ der Länge, nach vorn nicht verschmälert, der annähernd gerade Hinterrand bildet mit dem Dorsalrande einen rechten Winkel mit stark abgerundeter Ecke. Oberfläche mit auffälliger Skulptur, die in der Hauptsache aus kleinen Rechtecken besteht, die sich zu Längsstreifen ordnen, innerhalb der Rechtecke kleine, runde Gruben. Drüsen wie bei C. mollis (nr. 54). Hauptborste der 1. Antenne des ♂ mit einer Doppelreihe schlanker, kräftiger, steil abstehender Zähne, die sich im Profil nicht decken, Endstück mit zartem, häutigem Saume. Nebenborsten ohne Schwiele, Härchen oder Borsten. — L. ♀ 3·3 mm, ♂ 3·0 mm.

Atlantischer Ozean.

66. **C. plactolycos** G. W. Müll.

Die Art zerfällt in 2 Unterarten:

66a. **C. plactolycos plactolycos** G. W. Müll. 1906 *C. p. typica*, G. W. Müller in: Ergeb. Tiefsee-Exp., *v.* 8 p. 114 t. 25 f. **14**, 15—20.

Schale des ♂ gestreckt, Höhe kleiner als $^1/_2$ der Länge, nach vorn wenig verschmälert; der annähernd gerade Hinterrand bildet mit dem Dorsalrande einen Winkel, der deutlich kleiner als ein rechter ist; Spitze des Winkels stark abgerundet, Skulptur wenig auffällig. Mediale, dorsale Drüse des Hinterrandes umfangreich, sie erhebt sich deutlich über die Fläche, mündet in einiger Entfernung von der dorsalen, hinteren Ecke. Hauptborste der 1. Antenne des ♂ mit ähnlicher Bewaffnung wie bei C. dichotoma (nr. 62), terminal nur schwach erweitert, beide Nebenborsten annähernd gleich lang, die distale unbewehrt, die proximale mit kleiner Schwiele; proximale Sinnesborste an der Basis erweitert, die Erweiterung nicht eingeschnürt. Am Endopodit der 2. Antenne des ♂ sind die Sinnesschläuche des terminalen Gliedes untereinander ähnlich. — L. ♂ 2·3 mm; ♀ unbekannt. — Fig. 23.

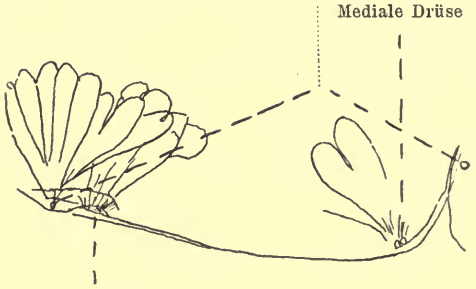

Fig. 23.
Conchoecia plactolycos. Hinterrand der Schale ($^{13}/_1$).

Indischer Ozean.

66b. **C. plactolycos major** G. W. Müll. 1906 *C. p. var. m.*, G. W. Müller in: Ergeb. Tiefsee-Exp., *v.* 8 p. 115 t. 25 f. 21—23 | 1908 *C. p. var. m.*, G. W. Müller in: D. Südp.-Exp., *v.* 10 p. 75 t. 9 f. **1, 2,** 3—13.

Schale des ♂ von ähnlichen Umrissen wie bei C. plactolycos p., beim ♀ Schale nach vorn deutlich verschmälert, höher als beim ♂, Skulptur im Bereiche eines beim ♂ breiten, beim ♀ schmalen, von der Incisur bis etwa zur halben Schalenlänge reichenden Randstreifens deutlich; sie besteht aus dem Vorderrande parallelen, mit dem Ventralrande konvergierenden Rippen, zwischen denen zahlreiche Querbalken stehen; übrige Schale beim ♂ in der ventralen Hälfte mit feinen, nach vorn aufsteigenden, in der dorsalen nach vorn absteigenden Linien, beim ♀ mit feiner, paralleler Streifung. Rechte, unsymmetrische Drüse deutlich dorsalwärts verschoben, mediale, dorsale Drüse besteht beim ♂ aus etwa 8 Zellen, beim ♀ aus 3—5 Zellen, Mündung nahe der hinteren, dorsalen Ecke. 1. Antenne des ♂ ähnlich wie bei C. plactolycos plactolycos. — L. ♀ 3·4 mm, ♂ 3·25—3·3 mm.

Südlicher Atlantischer und Indischer Ozean, südlich vom 56° s. Br.

67. **C. plinthina** G. W. Müll. ?1880 *Halocypris imbricata* (part.), G. S. Brady in: Rep. Voy. Challenger, Zool. *v.* 1 Part 3 p. 167 t. 41 f. 2, 10 | 1906 *Conchoecia plinthina*, G. W. Müller in: Ergeb. Tiefsee-Exp., *v.* 8 p. 116 t. 27 f. **1,** 2—6, 9, 10, 20.

Schale gestreckt, Höhe kleiner als $^1/_2$ der Länge (Schale mit Fortsatz gemessen); der fast gerade Hinterrand bildet mit dem Dorsalrande einen Winkel, der wenig kleiner als ein rechter ist, die Spitze des Winkels links in eine umfangreiche, rechts in eine kleine Spitze ausgezogen. Hinter- und Ventralrand bilden eine wenig abgerundete Ecke, an der links die Mündung der lateralen Eckdrüse wenig deutlich, rechts die der lateralen und unsymmetrischen Drüse deutlicher als Warze hervortritt. Rostrum lang und schlank, die Spitze etwas herabgebogen, der Ventralrand S-förmig gebogen, annähernd symmetrisch, Oberfläche mit sehr auffälliger Skulptur, in der ventralen Hälfte mit steil nach vorn aufsteigenden, in der dorsalen mit langsam nach hinten aufsteigenden parallelen Rippen, zwischen den Rippen ziemlich dicht stehende Querbalken. Dorsale, mediale Drüse nur beim ♂ vorhanden, bildet nicht den Abschluß der medialen Drüsenreihe. Hauptborste der 1. Antenne des ♂ zu $^1/_6$ mit einer Doppelreihe langer, sehr dicht stehender Blättchen mit verdicktem Vorderrande besetzt, distales Stück lanzettförmig. — L. ♀ 5·5—5·9 mm, ♂ 4·8—5·2 mm.

Atlantischer, Indischer, Pazifischer Ozean.

68. **C. symmetrica** G. W. Müll. 1906 *C. s.*, G. W. Müller in: Ergeb. Tiefsee-Exp., *v.* 8 p. 117 t. 27 f. 7, 8, 13, 15, 16.

Schale der von C. plinthina (nr. 67) ähnlich, in der hinteren, ventralen Hälfte ist die Anordnung der Felder zu Reihen weniger deutlich; die Drüsenmündungen der ventralen Drüsengruppen überragen beiderseits die hintere, ventrale Ecke deutlich als konische Zapfen. An der 1. Antenne des ♂ trägt die Hauptborste eine Doppelreihe von 17 fast senkrecht abstehenden, schwach gebogenen, umfangreichen Dornen. — L. ♀ 4·1—4·4 mm, ♂ 3·7—4·1 mm.

Atlantischer, Indischer Ozean, südlich vom Äquator.

69. **C. ametra** G. W. Müll. 1906 *C. a.*, G. W. Müller in: Ergeb. Tiefsee-Exp., *v.* 8 p. 117 t. 27 f. 11, 12, 14, 17, **18,** 19 | 1906 *C. insignis*, Vávra in: Ergeb. Plankton-Exp., *v.* 2 G. g. p. 56 t. 5 f. **105, 106,** 107; t. 6 f. 108—113 | 1906 *C. ritteri*, Juday in: Univ. Calif. Publ. Zool., *v.* 3 p. 25 t. 6 f. 6—8; t. 7 f. 1, 2.

Schale der von C. symmetrica (nr. 68) ähnlich, Rostrum deutlich unsymmetrisch, links mit schlankem Fortsatze, der rechts fehlt. Oberfläche mit kleinen Vierecken von meist annähernd quadratischer Form bedeckt, die sich fast im Bereiche der ganzen Schale zu nach hinten aufsteigenden Längsreihen anordnen. Hauptborste der 1. Antenne des ♂ mit ähnlicher Bewaffnung wie bei C. plinthina (nr. 67). — L. ♀ 4·1—4·6 mm, ♂ 3·7—4·1 mm.

Atlantischer, Indischer, Pazifischer Ozean.

70. **C. imbricata** (G. Brady) 1880 *Halocypris i.* (part.), G. S. Brady in: Rep. Voy. Challenger, Zool. *v.* 1 Part 3 p. 167 t. 41 f. 1, 3—9; t. 42 f. 1—8 | 1890 *Conchoecia i.*, G. W. Müller in: Zool. Jahrb. Syst., *v.* 5 p. 277 | 1890 *Conchoecissa armata*, Claus in: Arb. Inst. Wien, *v.* 9 p. 19 | 1891 *C. a.*, Claus, Halocypr., p. 70 t. 16 f. 1, 2—5; t. 17 f. 1, 2—4; t. 18 | 1906 *Conchoecia imbricata*, G. W. Müller in: Ergeb. Tiefsee-Exp., *v.* 8 p. 118 t. 28 f. 1, 2—6.

Schale der von C. plinthina (nr. 67) ähnlich, Rostrum lang und schlank, deutlich unsymmetrisch, der Ventralrand nicht oder nur undeutlich S-förmig gebogen; die Drüsenmündungen überragen beiderseits als umfangreiche konische Zapfen die hintere, ventrale Ecke. Die Skulptur besteht in der dorsalen Hälfte meist aus einer deutlichen Längsstreifung, in der ventralen Hälfte aus gestreckten Rechtecken, deren längere Seite dem Ventralrande parallel ist; sie ordnen sich zu annähernd senkrechten Reihen an. Die Felder in der Nachbarschaft des Ventralrandes sind zu konischen Zapfen ausgezogen, die die vordere Hälfte des Ventralrandes und die Zapfen an der hinteren, ventralen Ecke gesägt erscheinen lassen. Bewaffnung der Hauptborste der 1. Antenne des ♂ ähnlich wie bei C. symmetrica (nr. 68), nur 9—10 Paare von Spitzen. — L. ♀ 3·0—3·5 mm, ♂ 2·5—3·0 mm.

Atlantischer, Indischer, Pazifischer Ozean.

71. **C. squamosa** G. W. Müll. 1906 *C. s.*, G. W. Müller in: Ergeb. Tiefsee-Exp., *v.* 8 p. 119 t. 28 f. 8, 9—17; t. 35 f. 6, 7.

Schale derb, Höhe etwa $^1/_2$ der Länge, der annähernd gerade Hinterrand bildet mit dem Dorsalrande einen rechten Winkel, dessen Ecke beiderseits in eine kurze, stumpfe Spitze ausgezogen ist; ventrale, hintere Ecke gerundet, rechts bildet die Mündung der unsymmetrischen Drüse eine kleine, aber deutliche Ecke. Oberfläche mit auffälliger Skulptur, die aus kleinen, quadratischen, rechteckigen oder in der hinteren Schalenhälfte rundlichen Gruben besteht, letztere lassen eine fischschuppenartige Zeichnung entstehen; in der Nachbarschaft des Ventralrandes tritt an Stelle der Felderung eine parallele Streifung. Mediale, dorsale Drüse beim ♂ klein, beim ♀ fehlt sie. Hauptborste der 1. Antenne des ♂ zu $^1/_9$ ihrer Länge mit einer Doppelreihe sehr dicht stehender, stark proximal gerichteter Blättchen mit verdicktem Vorderrande bewaffnet, die Blättchen nehmen in der proximalen Hälfte ständig an Größe ab. — L. ♀ 4·2 mm, ♂ 3·75 mm.

Indischer Ozean.

72. **C. prosadene** G. W. Müll. 1906 *C. p.*, G. W. Müller in: Ergeb. Tiefsee-Exp., *v.* 8 p. 120 t. 23 f. 1, 2—7, 9.

Schale des ♀ gestreckt, Höhe deutlich kleiner als $^1/_2$ der Länge, nach vorn deutlich verschmälert; Hinterrand flach gewölbt, er bildet mit dem Dorsalrande einen Winkel von etwa 90° mit etwas abgerundeter Ecke, geht im flachen Bogen in den Ventralrand über; keine deutliche Skulptur; rechte, unsymmetrische Drüse (Fig. 24) deutlich nach vorn auf den Ventralrand

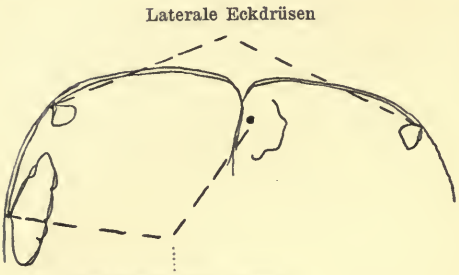

Fig. 24.
Conchoecia prosadene.
Hinterrand der Schale ($^{28}/_{1}$).

verschoben, laterale Eckdrüse weit von ihr an der hinteren, ventralen Ecke. Mediale, dorsale Drüse beim ♂ vorhanden, beim ♀ fehlt sie. Schale des ♂ etwas kürzer als die des ♀. Hauptborste der 1. Antenne des ♂ mit kräftigen, stark basalwärts gerichteten Dornen bewehrt; dieselben stehen distal in 2 deutlichen Reihen (8—10 Paare), proximal in einer unregelmäßigen Reihe (etwa 12 Dornen). — L. ♀ 2·7—2·85 mm, ♂ 2·25—2·35 mm.

Atlantischer und Indischer Ozean.

73. **C. alata** G. W. Müll. 1906 *C. a.*, G. W. Müller in: Ergeb. Tiefsee-Exp., *v.* 8 p. 121 t. 29 f. 1, 2, 3—10.

Schale des ♀ kurz, Höhe deutlich größer als $^1/_2$ der Länge, nach vorn stark verschmälert, die des ♂ etwas gestreckter, nach vorn nur wenig verschmälert. Der annähernd gerade Hinterrand bildet mit dem Dorsalrande einen rechten Winkel, dessen Ecke beiderseits in eine deutliche Spitze ausgezogen ist. Schulterwulst flügelartig erhoben, die Flügel endigen etwas hinter halber Schalenlänge mit einer rechtwinkligen, bisweilen in eine Spitze ausgezogenen Ecke. Hinterrand beiderseits mit 3 lateralen Drüsengruppen, von denen 2 in der Nähe der hinteren, ventralen Ecke, eine in der Nähe der hinteren, dorsalen Ecke mündet. Dorsale mediale Drüse nur beim ♂ vorhanden. Hauptborste der 1. Antenne zu etwa $^1/_6$ ihrer Länge mit einer Doppelreihe kompliziert gestalteter, etwa hutpilzförmiger Anhänge. — L. ♀ 2·1—2·4 mm, ♂ 1·8—2·05 mm.

Atlantischer, Indischer Ozean.

74. **C. hettacra** G. W. Müll. 1906 *C. h.*, G. W. Müller in: Ergeb. Tiefsee-Exp., *v.* 8 p. 121 t. 29 f. 11, 12—19.

Schale ziemlich derb, in beiden Geschlechtern Höhe etwa $^1/_2$ der Länge, der flach gewölbte Hinterrand bildet in seiner dorsalen Hälfte mit dem Dorsalrande einen stumpfen Winkel mit wenig abgerundeter Ecke. Links an der hinteren, ventralen Ecke zwei laterale Eckdrüsen, rechts keine solchen. Hauptborste der 1. Antenne des ♂ mit 2 alternierenden Reihen von je 6 weit auseinander stehenden, senkrecht abstehenden, stempelartigen Zapfen. — L. ♀ 2·25 mm, ♂ 1·9 mm.

Antarktis bis zum 49° s. Br.

75. **C. belgicae** G. W. Müll. 1906 *C. b.*, G. W. Müller in: Résult. Voy. Belgica, Ostracoden p. 4 t. f. 1, 2—11 | 1907 *C. innominata*, G. S. Brady in: Nat. antarct. Exp., *v.* 3 nr. 5 p. 1 t. 2 f. 7—14.

Schale ziemlich kurz, Höhe deutlich größer als $^1/_2$ der Länge, Dorsal- und Hinterrand bilden einen etwa rechten Winkel mit wenig abgerundeter Ecke, Hinterrand annähernd gerade. Unsymmetrische Drüsen an gewöhnlicher Stelle, laterale Eckdrüse auf die linke Schale beschränkt, sie besteht aus zahlreichen umfangreichen, durch ihren körnigen Inhalt auffälligen Zellen, welche einzeln oder in 8—10 Gruppen von meist 3 Zellen nahe dem Schalenrande in der Nachbarschaft der hinteren, ventralen Ecke münden; mediale,

dorsale Drüse vorhanden, auf das ♂ beschränkt. Hauptborste der 1. Antenne des ♂ zu etwa $^1/_4$ ihrer Länge bewaffnet, sie trägt eine Doppelreihe von etwa 30 fast senkrecht abstehenden, stabartigen, an der Spitze schwach kolbig erweiterten Gebilden. Dieselben bewahren in ganzem Umfange die gleiche Form, rücken proximal etwas weiter auseinander. — L. ♀ 2·4—2·7 mm, ♂ 2·4—2·6 mm.

Antarktis bis zum 64° s. Br.

76. **C. leptothrix** G. W. Müll. 1906 *C. l.*, G. W. Müller in: Ergeb. Tiefsee-Exp., *v.* 8 p. 122 t. 29 f. 20, 21, 22—26.

Schale in beiden Geschlechtern mäßig gestreckt, Höhe kleiner als $^1/_2$ der Länge, nach vorn nur wenig verschmälert; der gerade Hinterrand bildet mit dem Dorsalrande einen Winkel, der kleiner als ein rechter ist, Spitze des Winkels wenig abgerundet; Oberfläche stets mit einigen deutlichen, dem Ventralrande parallelen Streifen in seiner Nachbarschaft, andere Linien undeutlich und wenig konstant. Laterale Drüsen ähnlich wie bei C. alata (nr. 73). Hauptborste der 1. Antenne zu $^1/_9$ ihrer Länge mit einer Doppelreihe sehr dicht stehender, feiner, stark basalwärts gerichteter, borstenartiger Spitzen. — L. ♀ 3·3—3·5 mm, ♂ 2·9—3 mm.

Atlantischer, Indischer Ozean, Nähe des Äquators.

77. **C. valdiviae** G. W. Müll. 1906 *C. v.*, G. W. Müller in: Ergeb. Tiefsee-Exp., *v.* 8 p. 123 t. 5 f. 3; t. 23 f. 8, 10, 11—19.

Schale sehr derb, die des ♀ ziemlich kurz, Höhe deutlich größer als $^1/_2$ der Länge, nach vorn deutlich verschmälert; der annähernd gerade Hinterrand bildet mit dem Dorsalrande einen rechten Winkel mit etwas abgerundeter Spitze. Skulptur wenig auffällig, in der Hauptsache eine nach der Incisur hin konvergierende Streifung. Schale des ♂ etwas gestreckter, nach vorn nicht verschmälert; jederseits 2 laterale Drüsen, von denen die eine rechts dicht neben der rechten, unsymmetrischen Drüse, links an entsprechender Stelle, die andere dorsal nahe der hinteren, dorsalen Ecke mündet; beide münden auf einem flachen, den eigentlichen Schalenrand etwas überwölbenden Wulst. Hauptborste der 1. Antenne des ♂ zu etwa $^1/_4$ ihrer Länge mit einer Doppelreihe kleiner, kräftiger, dicht stehender, stark basalwärts gerichteter Zähnchen besetzt. Beim ♀ entspringen terminal am Endopodit der 2. Antenne neben den 5 langen Borsten noch 2 kurze, etwa von der Länge des verschmolzenen 2. und 3. Gliedes. — L. ♀ 5·5 mm, ♂ 4·4 – 5·5 mm.

Atlantischer, Indischer Ozean.

78. **C. chuni** G. W. Müll. 1906 *C. c.*, G. W. Müller in: Ergeb. Tiefsee-Exp., *v.* 8 p. 124 t. 31 f. 16, 17, 18—28.

Schale des ♀ gestreckt, Höhe kleiner als $^1/_2$ der Länge, nach vorn nicht verschmälert; hintere dorsale Ecke etwa rechtwinklig, die Ecke beiderseits in eine kurze, stumpfe Spitze ausgezogen, die links größer ist als rechts. Der Hinterrand bildet einen flachen Bogen, der ohne jede Andeutung einer Grenze in den stark gewölbten Ventralrand übergeht. Rostrum deutlich unsymmetrisch,

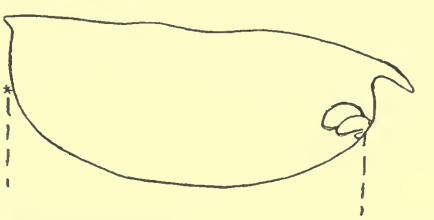

Fig. 25.
Conchoecia chuni ($^{27}/_1$).

rechts kürzer als links; keine auffällige Skulptur. Schale des ♂ kürzer, Ventralrand weniger stark gewölbt, Rostrum symmetrisch. Die rechte, unsymmetrische Drüse mündet am Vorderrande, ventral vom Rostrum, die linke am Hinterrande etwa auf halber Höhe. Jederseits am Hinterrande 5 laterale Gruppen von vergrößerten Drüsenzellen. Hauptborste der 1. Antenne des ♂ zu $^1/_3$ ihrer Länge mit einer dichten Doppelreihe ziemlich langer, schlanker, stark basalwärts gerichteter Spitzen. — L. ♀ 2—2·4 mm, ♂ 1·4—1·55 mm. — Fig. 25.

Südlicher Atlantischer und Indischer Ozean.

79. **C. elongata** G. W. Müll. 1906 *C. e.*, G. W. Müller in: Ergeb. Tiefsee-Exp., *v.* 8 p. 125 t. 32 f. 1, 2—7.

Schale des ♂ gestreckt, Höhe wenig größer als $^1/_3$ der Länge, nach vorn deutlich verschmälert; der annähernd gerade Hinterrand bildet mit dem Dorsalrande einen Winkel, der deutlich größer als ein rechter ist, Spitze des Winkels etwas abgerundet. Hintere, ventrale Ecke deutlich, stumpfwinklig, wenig abgerundet; Ventralrand stark gewölbt, dorsale Hälfte mit nach hinten aufsteigender, ventrale mit nach hinten absteigender, feiner, aber scharfer, paralleler Streifung. Rechte, unsymmetrische Drüse wie bei C. chuni (nr. 78), linke an der hinteren, ventralen Ecke. Hauptborste der 1. Antenne des ♂ zu $^1/_2$ ihrer Länge mit einer Doppelreihe sehr dicht stehender, schlanker, stark basalwärts (distal stärker als proximal) gerichteter Borsten bewehrt. — L. ♂ 1·9 mm, ♀ unbekannt.

Indischer Ozean.

80. **C. daphnoides** (Claus)

Diese Art zerfällt in 2 Unterarten:

80a. **C. daphnoides daphnoides** (Claus) 1890 *Conchoecilla d.*, Claus in: Arb. Inst. Wien, *v.* 9 p. 18 | 1896 *C. d.* (♂) + *C. lacerta* (♀), G. S. Brady & A. M. Norman in: Tr. R. Dublin Soc., ser. 2 *v.* 5 p. 697 t. 64 f. **22**; t. 62 f. 1—4; t. 65 f. **1, 2**, 3—10 | 1901 *Conchoecia d.*, G. W. Müller in: Nord. Plankton, *v.* 4 pars 7 p. 6 f. **11, 12**, 13, 14.

Schale des ♀ sehr gestreckt, Höhe etwa $^1/_5$ der Länge; hintere, dorsale Ecke beiderseits in einen langen, schwanzartigen Fortsatz ausgezogen, der rechts wenig länger als links, etwa $^1/_4$ der Gesamtlänge erreicht. Der Fortsatz grenzt sich nicht scharf gegen die eigentliche Schale ab, geht im konkaven Bogen in den stark gewölbten Ventralrand über. Rostrum links lang, etwa $^1/_7$ der Gesamtlänge, rechts viel kürzer; Schalenrand besonders am Ventralrande des hinteren Fortsatzes gezähnelt. Oberfläche mit meist deutlicher diagonaler oder polygonaler Felderung. Schale des ♂ ähnlich, kürzer, der hintere Fortsatz mißt nur etwa $^1/_5$ der Gesamtlänge, ist weniger schlank, nach vorn stark verbreitert, Rostrum kurz, symmetrisch. Rechte, unsymmetrische Drüse wie bei C. chuni (nr. 78), linke am ventralen Rande des hinteren Fortsatzes nahe seiner Spitze; 3 laterale Drüsengruppen, die am Ventralrande des hinteren Fortsatzes oder am Ventralrande nahe dem Fortsatze liegen. Hauptborste der 1. Antenne des ♂ zu etwa $^2/_5$ ihrer Länge in ähnlicher Weise bewehrt wie die von C. chuni. — L. ♀ 5·2—5·9 mm, ♂ 3·0—3·25 mm.

Atlantischer, Indischer, Pazifischer Ozean.

80b. **C. daphnoides minor** G. W. Müll. 1906 *C. d. var. m.*, G. W. Müller in: Ergeb. Tiefsee-Exp., *v.* 8 p. 126 t. 31 f. **1**, 2—3, 9, 15.

Von der vorigen Form unterschieden durch geringere Größe und durch die Skulptur, die in der dorsalen Hälfte in nach vorn absteigenden, in der

ventralen in nach vorn aufsteigenden Linien besteht; kreuzen sich beide Systeme, so entsteht eine ähnliche rhombische Felderung wie bei C. daphnoides daphnoides, doch sind die Rhomben größer. — L. ♀ 4·2—4·9 mm, ♂ 2·25—2·45 mm.

Vorkommen neben C. daphnoides daphnoides.

C. agilis Dana 1852 *C. a.*, J. D. Dana in: P. Amer. Ac., *v.* 2 p. 52 | 1852 & 55 *C. a.*, J. D. Dana in: U. S. expl. Exp., *v.* 13II p. 1299; t. 91 f. 6 **a**, **b**, c—e.

Pazifischer Ozean; Atlantischer Ozean?

C. birostrata Lubb. 1860 *C. b.*, Lubbock in: Tr. Linn. Soc. London, *v.* 23 p. 186 t. 29 f. 26—28.

Atlantischer Ozean.

C. intermedia Lubb. 1860 *C. i.*, Lubbock in: Tr. Linn. Soc. London, *v.* 23 p. 187 t. 29 f. 30.

Atlantischer Ozean unter dem Äquator.

C. rostrata Dana 1852 *C. r.*, J. D. Dana in: P. Amer. Ac., *v.* 2 p. 52 | 1852 & 55 *C. r.*, J. D. Dana in: U. S. expl. Exp., *v.* 13II p. 1300; t. 91 f. 7.

Pazifischer Ozean.

C. striolata O. Sars 1887 *C. s.*, G. O. Sars in: Arch. Naturv. Kristian., *v.* 12 p. 256 t. 14 f. **1**, 2—5.

Mittelmeer.

4. Gen. **Euconchoecia** G. W. Müller

1890 *Euconchoecia*, G. W. Müller in: Zool. Jahrb. Syst., *v.* 5 p. 267.

Unsymmetrische Drüsen der Schale beiderseits nahe der hinteren, dorsalen Ecke. 1. Antenne des ♂ (Fig. 26) mit 3 längeren Gliedern und einem 4. sehr kurzen Gliede; von diesen trägt das 1. und 2. Glied keine Borsten, das 3. eine sehr große Zahl (20 oder mehr) Sinnesschläuche, das 4. sehr kurze Glied einige typische Borsten. Beim ♀ ist das 3. und 4. Glied verschmolzen, so daß das Endglied außer den zahlreichen Sinnesschläuchen einige typische Borsten trägt. Am Endopodit der 2. Antenne des ♂ ist rechts der Haken sehr umfangreich, links ist der distale Schenkel verloren, beiderseits sind die 3 Borsten auf das Ende des proximalen Schenkels gerückt. Die 5 Borsten der beiden terminalen Glieder steif, sie dienen in beiden Geschlechtern nicht als Riechborsten. Der Kaufortsatz der Mandibel mit zahlreichen Stachelzähnen, in deren Umgebung sich keine Borsten finden. Frontalorgan dünn, ungegliedert.

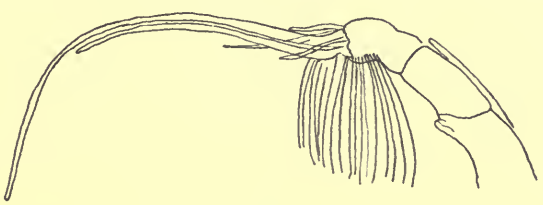

Fig. 26.
Euconchoecia chierchiae ♂. Antenne und Frontalorgan ($^{68}/_{1}$).

3 Arten.

Übersicht der Arten:

1 { Schale mit rundlichen Gruben, die sich zu polygonalen Feldern anordnen, Skulptur sehr auffällig . . . . . 3. **E. lacunosa**
Schale mit feiner, meist schwer erkennbarer Streifung — **2.**

2 { Frontalorgan kürzer als die Gliederreihe der 1. Antenne . 1. **E. chierchiae**
Frontalorgan länger als die Gliederreihe der 1. Antenne . 2. **E. aculeata**

1. **E. chierchiae** G. W. Müll. 1890 *E. c.*, G. W. Müller in: Zool. Jahrb. Syst., *v.* 5 p. 277 t. 28 f. 1—8, **9**, 10 | 1906 *E. c.*, G. W. Müller in: Ergeb. Tiefsee-Exp., *v.* 8 p. 128 t. 32 f. 8, **9**, 10—17.

Schale zart, gestreckt, Höhe etwa $^1/_2$ der Länge, hintere, dorsale Ecke etwa rechtwinklig, links beim ♀ niemals, beim ♂ bisweilen, rechts meist in eine deutliche Spitze ausgezogen. Der Hinterrand senkt sich im flachen Bogen nach vorn, geht ohne jede Andeutung einer Grenze in den flach gewölbten Ventralrand über. Rostrum symmetrisch, ausnahmsweise das linke mit kurzer Spitze, die rechts fehlt. Oberfläche mit feiner, meist schwer erkennbarer, in der ventralen Hälfte nach vorn aufsteigender, in der dorsalen nach vorn absteigender Streifung. Das Frontalorgan reicht etwa bis zum distalen Rande des 2. Gliedes der 1. Antenne. — L. ♀ 1·15—1·53 mm, ♂ 1·15—1·45 mm. — Fig. 26, p. 95.

Atlantischer, Indischer, Pazifischer Ozean.

2. **E. aculeata** T. Scott

Diese Art zerfällt in 2 Unterarten:

2a. **E. aculeata aculeata** (T. Scott) ? 1894 *Halocypris a.*, T. Scott in: Tr. Linn. Soc. London, ser. 2 *v.* 6 p. 142 t. 15 f. **5**, **6**, **33**, **34**, **38** | 1906 *Euconchoecia a.*, G. W. Müller in: Ergeb. Tiefsee-Exp., *v.* 8 p. 129 t. 32 f. 18, 19, **20**, 22—26.

Schale der von E. chierchiae (nr. 1) ähnlich, gestreckter, Höhe deutlich kleiner als $^1/_2$ der Länge, beim ♀ in der hinteren Hälfte sehr stark verschmälert, keilförmig zugespitzt; der Dorsalrand am Ende deutlich winklig herabgebogen; hintere, dorsale Ecke beiderseits in eine deutliche Spitze ausgezogen, die rechts ziemlich umfangreich, links von sehr wechselndem Umfange, stets kleiner als rechts. Rostrum links in eine deutliche, meist umfangreiche und scharf abgesetzte Spitze ausgezogen, rechts keine oder eine sehr kleine Spitze. Schale des ♂ weniger gestreckt als die des ♀, Rostrum annähernd symmetrisch, ohne deutlich abgesetzte Spitze. Frontalorgan länger als die Gliederreihe der 1. Antenne. — L. ♀ 0·9—1·05 mm, ♂ 0·95 mm.

Atlantischer, Indischer Ozean.

2b. **E. aculeata elongata** G. W. Müll. 1906 *E. a. var. e.*, G. W. Müller in: Ergeb. Tiefsee-Exp., *v.* 8 p. 129 t. 32 f. **21**.

Gestreckter und größer als E. aculeata aculeata, Höhe beim ♀ etwa $^1/_3$ der Länge. — L. ♀ 1·3—1·35 mm, ♂ unbekannt.

Indischer Ozean.

3. **E. lacunosa** G. W. Müll. 1908 *E. l.*, G. W. Müller in: D. Südp.-Exp., *v.* 10 p. 80 t. 10 f. **1**, **2**, 3—8.

Schale des ♀ (oder einer ♀-Larve vor der letzten Häutung) ziemlich kurz und hoch, Höhe etwa $^3/_5$ der Länge, hintere, dorsale Ecke etwa rechtwinklig, beiderseits stark abgerundet, Hinterrand in seiner dorsalen Hälfte annähernd gerade; in seiner ventralen geht er im flachen Bogen in den flach gewölbten Ventralrand über, Rostrum ungewöhnlich groß, seine Spitze liegt etwa auf halber Schalenhöhe. Oberfläche dicht mit rundlichen Gruben bedeckt, die trennenden Leisten zwischen den Gruben bilden in der vorderen Schalenhälfte eine polygonale Felderung. Frontalorgan des ♀ kurz, zipfelförmig (?), 1. Antenne kurz und gedrungen, 3-gliedrig, das 3. Glied sehr kurz und breit, mit einem sehr dichten Büschel von Sinnesschläuchen, die etwa doppelt so lang wie die Gliederreihe sind. — L. ♀ 1·6 mm, ♂ unbekannt.

Antarktis, Gaußstation.

3. Fam. **Polycopidae**

1866 Fam. *Polycopidae,* G. O. Sars in: Forh. Selsk. Christian., 1865 p. 121 | 1894 Fam. *P.,* G. W. Müller in: F. Fl. Neapel, *v.* 21 p. 231.

Schale annähernd kreisförmig (Fig. 27) oder kurz oval, meist nur mit flacher Einbuchtung an Stelle einer Incisur oder ohne Andeutung einer solchen. 1. Antenne verschieden gestaltet, sie trägt nur am letzten, kurzen Gliede lange, steife Schwimmborsten. 2. Antenne (Fig. 28) mit ziemlich schlankem Stamme; der Endopodit ist groß, mit den Borsten oft so groß wie der Exopodit; wo er eine Gliederung erkennen läßt, ist er aus 3 Gliedern zusammengesetzt, von denen das 1. umfangreich, die beiden letzten kurz sind; diese tragen steife Borsten in wechselnder Zahl. Die Mandibel besteht aus einem Basalgliede mit schwachem Kaufortsatze und einem starken 2- oder 3-gliedrigen Taster. Die Maxille besteht aus einem 2-gliedrigen Stamme, dessen Glieder keine oder nur undeutliche Kaufortsätze tragen, einem deutlichen, 2-gliedrigen oder ungegliederten Exopodit und einem 3-gliedrigen Endopodit; beide Äste, sowie der Stamm mit zahlreichen, medialwärts gerichteten Borsten. Nur ein Thoraxbein ist vorhanden, das nur undeutlich gegliedert ist; an seiner mit dem Körper verschmolzenen Basis sitzt eine umfangreiche Atemplatte;

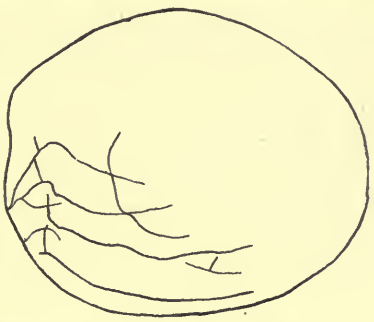

Fig. 27.
Schale von **Polycope dispar** ($^{160}/_{1}$).

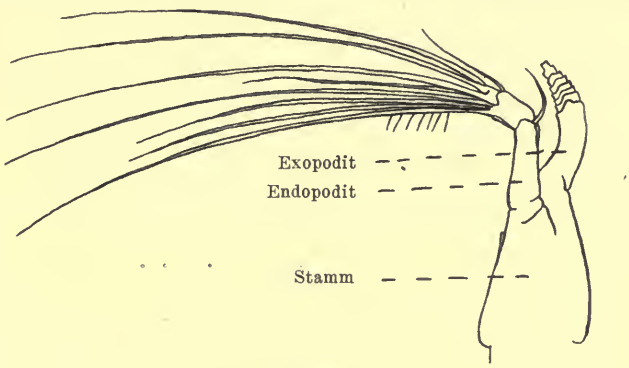

Fig. 28.
Polycopsis serrata.
2. Antenne (am Exopodit sind die Borsten fortgelassen) ($^{335}/_{1}$).

das nächste Glied trägt nebeneinander 2 kleine Glieder, von denen das eine nicht immer deutlich abgesetzt ist. Furca beim ♀ stets (?) mit 7 Dornen; beim ♂ ist bisweilen links die Zahl der Dornen reduziert, indem der 1. oder der 1. und 2. rückgebildet sind. Begattungsorgane stark unsymmetrisch. Frontalorgan, paarige Augen und Herz fehlen. Winzige Formen von etwa 0·5 mm Länge, die am Grunde des Meeres leben, sich von da in kurzen Sprüngen erheben.

2 Gattungen mit 16 sicheren, 4 unsicheren Arten.

Übersicht der Gattungen:

1. Antenne 4-gliedrig, das 2. Glied an seinem Dorsalrande mit einer oder ohne Borste . . . . . 1. Gen. **Polycope**
1. Antenne 4—6-gliedrig, das 2. Glied an seinem Dorsalrande mit 2 Borsten . . . . . 2. Gen. **Polycopsis**

1. Gen. **Polycope** O. Sars

1866 *Polycope*, G. O. Sars in: Forh. Selsk. Christian., 1865 p. 121 | 1894 *P.*, G. W. Müller in: F. Fl. Neapel, *v.* 21 p. 233.

1. Antenne 4-gliedrig; Basalglied kurz, das 2. lang, zylindrisch, sitzt mit sehr breiter Basis der medialen Seite des Basalgliedes an, so daß es bis zur Basis desselben reicht; sein dorsaler Rand trägt etwa in der Mitte eine Borste, die auch fehlen kann; die beiden letzten Glieder kurz, sehr beweglich; das letzte mit 4 oder 5 langen, steifen Borsten, das vorletzte in beiden Geschlechtern dorsal mit einer, beim ♂ bisweilen ventral oder medial mit 3 Borsten. Das 3. (häufig mit dem 2. verschmolzene) Glied des Mandibulartasters mit 2 etwa gleichstarken Borsten.

14 sichere, 4 unsichere Arten.

Übersicht der sicheren Arten, von denen die ♂ bekannt sind:

1 { Jeder Furcalast des ♂ mit 7 Dornen — **2.**
Rechter Furcalast des ♂ mit 7, linker mit 5 Dornen — **6.**

2 { Der 1. Furcaldorn links beim ♂ den folgenden ähnlich — **3.**
Der 1. Furcaldorn links beim ♂ viel dünner als die folgenden — 6. **P. reticulata**

3 { Vorletztes Glied der 1. Antenne des ♂ ohne Borsten am Ventralrande . . . . . 5. **P. antarctica**
Vorletztes Glied der 1. Antenne des ♂ mit Borsten am Ventralrande — **4.**

4 { Vorletztes Glied der 1. Antenne des ♂ ventral mit 2 hakig gekrümmten und einer geraden Borste — **5.**
Vorletztes Glied der 1. Antenne des ♂ ventral mit 3 gekrümmten Borsten . . . . . 1. **P. tuberosa**

5 { Schale gleichmäßig mit kleinen Gruben bedeckt, ohne erhöhte Rippen . . . . . 3. **P. dentata**
Zwischen den Gruben der Schale erheben sich Rippen, deren Verlängerung zum Teil den Schalenrand überragt . . . . 4. **P. rostrata**

6 { Rechte Schale hinten und ventral mit 4 Zähnen, linke Schale ohne diese Zähne . . . . . 7. **P. dispar**
Beide Schalen hinten ventral ungezähnelt — **7.**

7 { Rechte Schale mit Zahn in der flachen Incisur . . . . . 8. **P. frequens**
Rechte Schale ohne Zahn und ohne Andeutung einer Incisur 10. **P. striata**

1. **P. tuberosa** G. W. Müll. 1899 *P. t.*, G. W. Müller in: F. Fl. Neapel, *v.* 21 p. 234 t. 7 f. 27—32; t. 8 f. **26**.

Schale annähernd kreisförmig, mit sehr flacher Incisur; unter derselben der Rand stark vorgewölbt, mit 4 oder 5 Zähnen; linke Schale am hinteren Rande mit flachem, warzenförmigem Fortsatze; Oberfläche mit schmalen Leisten, welche in der vorderen und ventralen Hälfte ein weitmaschiges Netz bilden, in der dorsalen dem Dorsalrand annähernd parallel verlaufen, die Mitte frei lassen. Die Borste am Dorsalrande des 2. Gliedes der 1. Antenne ist kurz; sie entspringt in der distalen Hälfte auf einem kurzen Vorsprunge; 3 Borsten am Ventralrande des 3. Gliedes beim ♂ hakig gebogen. Beide Furcaläste des ♂ mit 7 Dornen. — L. 0·33 mm.

Golf von Neapel.

2. **P. maculata** G. W. Müll. 1894 *P. m.*, G. W. Müller in: F. Fl. Neapel, *v.* 21 p. 235 t. 8 f. **23**.

Schale der von P. tuberosa (nr. 1) sehr ähnlich; Schalenrand ventral von der flachen Incisur nicht vorgewölbt, die flache Warze am Hinterrande der linken Schale fehlt. Mit großen, verzweigten, braunen Flecken. Gliedmaßen des ♀ wie bei P. tuberosa. — L. ♀ 0·34 mm, ♂ unbekannt.

Golf von Neapel.

3. **P. dentata** G. Brady 1868 *P. d.*, G. S. Brady in: Tr. Linn. Soc. London, *v.* 26 p. 472 t. 35 f. 58, 59 | 1894 *P. d.*, G. W. Müller in: F. Fl. Neapel, *v.* 21 p. 233 t. 7 f. 16—23; t. 8 f. **25**.

Schale deutlich länger als hoch; Dorsalrand sehr flach, Ventralrand etwas stärker gebogen; Hinterrand stumpf gerundet; Vorderrand ziemlich unregelmäßig, nahe dem Dorsalrande in eine deutliche Spitze ausgezogen, darunter unregelmäßig gewellt. Oberfläche bis auf einen den Vorder- und Ventralrand einnehmenden, schmalen Streifen dicht mit kleinen, deutlich begrenzten Gruben bedeckt. Das 2. Glied der 1. Antenne des ♂ trägt distal und ventral eine kurze gekrümmte Borste; das 3. Glied hat ventral 2 hakig gekrümmte und eine gerade Borste. Beide Furcaläste des ♂ mit 7 Dornen; die Spitze vor dem 1. Furcaldorn erreicht beim ♀ $^1/_2$, beim ♂ $^1/_3$ der Länge des 1. Dornes. — L. 0·55 mm.

Golf von Neapel; Shetlandinseln.

4. **P. rostrata** G. W. Müll. 1894 *P. r.*, G. W. Müller in: F. Fl. Neapel, *v.* 21 p. 234 t. 7 f. 8—13, 46; t. 8 f. **19**.

Schale annähernd kreisförmig, mit deutlichem, spitzem Rostrum und flacher, aber deutlicher Incisur; der Hinterrand wird stets von 4, der Dorsalrand bisweilen von 2 Spitzen überragt. Die Oberfläche ist mit einem dichten Netzwerk breiter Rippen bedeckt, welche zahlreiche kleine Gruben zwischen sich lassen; die Rippen verlaufen zum Teil radiär, zum Teil in der vorderen Hälfte dem Rande parallel, in der hinteren annähernd horizontal; von den letzteren erheben sich einzelne weit über die anderen und enden in den erwähnten Spitzen des Hinterrandes. Gliedmaßen ähnlich wie bei P. dentata (nr. 3), die Borsten am Ende des 2. Gliedes der 1. Antenne des ♂ gerade; die Spitze vor dem 1. Furcaldorn in beiden Geschlechtern etwa $^1/_4$ so lang wie der Dorn. — L. 0·42 mm.

Golf von Neapel.

5. **P. antarctica** G. W. Müll. 1908 *P. a.*, G. W. Müller in: D. Südp.-Exp., *v.* 10 p. 81 t. 11 f. **1**, 2—5.

Schale eines noch nicht geschlechtsreifen ♀ kurz oval, Höhe etwa $^5/_6$ der Länge, Rostrum als flacher Höcker, Incisur als flache Bucht angedeutet; Ventralrand unterhalb der Incisur mit etwa 12 scharfen nach hinten gerichteten Spitzen. Vom Ventralrande steigen bis etwa zur halben Schalenhöhe ungefähr 12 feine aber sehr deutliche Rippen auf, die meist getrennt voneinander verlaufen. Das vorletzte Glied der 1. Antenne in beiden Geschlechtern ohne Borsten am Ventralrande. Furca des ♂ symmetrisch, beide Äste mit 7 langen und schlanken Dornen, die Spitzen zwischen den Dornen stumpf, zweiteilig, die vordere Hälfte mit einem Schopf sehr feiner Haare. Furca eines annähernd erwachsenen ♀ mit 5 Dornen und einer Spitze. — L. des noch nicht geschlechtsreifen ♀ 0·75 mm, ♂ etwas kleiner.

Antarktis, Gaußstation.

6. **P. reticulata** G. W. Müll. 1894 *P. r.*, G. W. Müller in: F. Fl. Neapel, *v.* 21 p. 235 t. 7 f. 44, 49, 50; t. 8 f. **20.**

Incisur sehr flach oder ganz fehlend; Oberfläche der Schale mit schmalen aber deutlichen Leisten, welche ein auf der ganzen Oberfläche annähernd gleichmäßig entwickeltes, weitmaschiges Netzwerk bilden; rechte Schale mit schlankem Zahne oberhalb der Incisur; beide Schalen mit 3 oder 4 den Rand schwach überragenden Zähnen unterhalb der Incisur; die letzteren Zähne sind Fortsätze der Leisten. Die Schale ist gewöhnlich farblos, doch kommt auch eine orangenfarbene Varietät vor; bei ihr ist die Farbe unregelmäßig verteilt und gehört der Hypodermis an. 1. Antenne in beiden Geschlechtern gleich gestaltet; ebenso der Endopodit der 2. Antenne, an dem sich nur eine schwache Andeutung eines Hakens findet. Beide Furcaläste des ♂ mit 7 Dornen, der 1. links lang und dünn, dünner als die folgenden. — L. 0·5 mm.

Golf von Neapel.

7. **P. dispar** G. W. Müll. 1894 *P. d.*, G. W. Müller in: F. Fl. Neapel, *v.* 21 p. 237 t. 7 f. **2, 3,** 45, 47, 48.

Schale mit flacher, aber deutlicher Incisur; die rechte Schale mit einem Zahne dorsal vor der Incisur, einem in derselben und einer Gruppe von 4 Zähnen etwa an der hinteren, ventralen Ecke; links fehlen sämtliche genannten Zähne; Leisten nur in geringer Zahl vorhanden, es überwiegen die horizontalen Leisten; hinter und ventral von der Incisur kommt es zur Bildung einiger Felder. 1. Antenne mit geschwungenem, dorsalem Rande des 2. Gliedes und deutlicher Chitinverdickung ebenda. Endopodit der 2. Antenne des ♂ mit wohl entwickeltem Haken. Furca des ♂ links mit 5, rechts mit 7 Dornen. — L. 0·32 mm. — Fig. 27, p. 97.

Golf von Neapel.

8. **P. frequens** G. W. Müll. 1894 *P. f.*, G. W. Müller in: F. Fl. Neapel, *v.* 21 p. 236 t. 7 f. **1,** 4—7, 14, 15, 24—26.

Schale mit flacher, aber deutlicher Incisur; innerhalb derselben rechts ein den Rand wenig überragender Zahn; die schwachen Leisten der Oberfläche beschränken sich annähernd auf die vordere und ventrale Schalenhälfte; sie laufen dem Rande annähernd parallel, bilden wenig Anastomosen und Felder. Der Dorsalrand des 2. Gliedes der 1. Antenne geschwungen. Endopodit der 2. Antenne des ♂ mit kurzem, stumpfem Haken. Furca des ♂ rechts mit 7, links mit 5 Dornen. — L. 0·44 mm.

Golf von Neapel.

9. **P. fragilis** G. W. Müll. 1894 *P. f.*, G. W. Müller in: F. Fl. Neapel, *v.* 21 p. 237 t. 7 f. 43; t. 8 f. **27.**

Schale der von P. frequens (nr. 8) sehr ähnlich, von ihr unterschieden durch Abstutzung der linken Schale hinten dorsal; hier überragt die rechte Schale die linke deutlich. Incisur sehr flach, unter ihr tritt die Schale schräg zurück; die schwachen, zum Teil schwer sichtbaren Leisten bilden polygonale Felder, die nur in der vorderen Schalenhälfte deutlich sind. Dorsalrand des 2. Gliedes der 1. Antenne proximal stark behaart, distal gerade; am Ventralrande eine Borste. — L. ♀ 0·38 mm, ♂ unbekannt.

Golf von Neapel.

10. **P. striata** G. W. Müll. 1894 *P. s.*, G. W. Müller in: F. Fl. Neapel, *v.* 21 p. 236 t. 7 f. 41, 42; t. 8 f. **24.**

Der P. frequens (nr. 8) sehr ähnlich, unterschieden durch den Schalenumriß, ventral von dem als breiter, flacher Höcker angedeuteten Rostrum ist die Schale schräg abgestutzt, von einer Incisur fehlt jede Andeutung, der Ventralrand ist abgeflacht, der Dorsalrand bildet einen stumpfen Winkel mit breit gerundeter Ecke. Der Zahn im Rostraleinschnitt fehlt; die Leisten sind auf dem größeren Teil der Schale deutlich, fehlen auf dem dorsalen Drittel und verlaufen alle annähernd senkrecht, resp. dem Vorder- und Hinterrand parallel; in der vorderen Hälfte und am Ventralrande bilden sie Anastomosen und Felder in mäßiger Anzahl. Gliedmaßen wie bei P. frequens. — L. bis 0·52 mm.

Golf von Neapel.

11. **P. punctata** O. Sars 1870 *P. p.*, G. O. Sars in: Forh. Selsk. Christian., 1869 p. 171 | 1896 *P. p.*, G. S. Brady & A. M. Norman in: Tr. R. Dublin Soc., ser. 2 *v.* 5 p. 708 t. 67 f. 9, 10—12.

Schale fast kreisrund, mit flacher, nur angedeuteter Incisur; Oberfläche dicht mit kleinen Gruben bedeckt, mit sehr schwach entwickeltem Netzwerk. Farbe blaßgrün. Schale vom Rücken gesehen ziemlich breit, Breite viel größer als $^1/_2$ der Länge. 3. Glied der 1. Antenne gestreckt; seine Länge größer als die doppelte Breite; am Ende 5 Borsten, im übrigen ohne Borsten. — L. 0·7 mm, ♂ unbekannt.

Küste von Norwegen.

12. **P. orbicularis** O. Sars 1866 *P. o.*, G. O. Sars in: Forh. Selsk. Christian., p. 122 | 1896 *P. o.*, G. S. Brady & A. M. Norman in: Tr. R. Dublin Soc., ser. 2 *v.* 5 p. 706 t. 54 f. 9, 10; t. 55 f. 12—16; t. 67 f. 1—3 | non 1901 *P. o.*, Egger in: Abh. Bayer. Ak., *v.* 21 p. 467 t. 4 f. 30, 31, 40, 41.

Der P. punctata (nr. 11) sehr ähnlich; das Netzwerk von Leisten deutlicher; gelblich, mit roten Flecken. Dorsalrand des 1. und 2. Gliedes der 1. Antenne behaart; das 2. Glied mit einer Borste in der Mitte des Dorsalrandes; das 3. nicht länger als breit. — L. ♀ 0·63 mm, ♂ unbekannt.

Küste von Norwegen; 66° n. Br. 55° w. L.; Franz-Joseph-Land; Bai von Vigo?; Kap der guten Hoffnung?; Kerguelen?; Torres-Straße?

13. **P. pustulata** O. Sars 1891 *P. p.*, G. O. Sars in: Forh. Selsk. Christian., 1890 nr. 1 p. 53.

Schale annähernd kreisförmig, vorn kaum merklich ausgeschnitten, Hinterrand etwas abgestumpft, mit deutlicher dorsaler, undeutlicher ventraler Ecke; Dorsalrand in der Mitte stark, fast winklig gebogen; Oberfläche glatt, netzförmige Leisten nur angedeutet; Ventralrand fein gezähnelt; Schale vom Rücken gesehen vorn zugespitzt, nach hinten stark erweitert, mit warzenförmiger Erhebung hinter der Mitte. — L. 0·55 mm.

Westküste von Norwegen.

14. **P. brevis** G. W. Müll. 1908 *P. b.*, G. W. Müller in: D. Südp.-Exp., *v.* 10 p. 82 t. 11 f. 6—10.

Schale einer Larve sehr kurz oval, Höhe größer als die Länge, der Dorsalrand sehr stark gewölbt, Rostrum als flacher Höcker, Incisur als sehr flache Bucht angedeutet, Schalenrand links glattrandig, rechts mit einem Zahne in der Incisur. In der vorderen Hälfte etwa zehn feine, aber scharfe, steil aufsteigende Linien; in der Mitte der Schale eine ziemlich feine Punktierung. Furcaldornen schlank und ziemlich auffällig behaart. Spitzen

zwischen den Dornen ziemlich lang und schlank, zweiteilig, der vordere Ast sehr zart, leicht zu übersehen, dicht und fein behaart. — L. einer Larve 0·7 mm.

Gaußstation, Antarktis.

P. cingulata G. Brady 1880 *P. c.*, G. S. Brady in: Rep. Voy. Challenger, Zool. *v.* 1 Part 3 p. 170 t. 35 f. 7.

Fundort?

P. (?) favus G. Brady 1880 *P. (?) f.*, G. S. Brady in: Rep. Voy. Challenger, Zool. *v.* 1 Part 3 p. 170 t. 36 f. 4.

Torres-Straße.

P. sp., Egg. 1901 *P. orbicularis* (non O. Sars 1866), Egger in: Abh. Bayer. Ak., *v.* 21 p. 467 t. 4 f. 30, 31, 40, 41.

18° s. Br. 116° ö. L., 357 m Tiefe.

P. sp., G. Brady 1869 *P. sp.*, G. S. Brady in: Ann. nat. Hist., ser. 4 *v.* 3 p. 49 t. 7 f. 15, 16.

Bei Kreta.

2. Gen. **Polycopsis** G. W. Müll.

1894 *Polycopsis*, G. W. Müller in: F. Fl. Neapel, *v.* 21 p. 238.

1. Antenne 4—6-gliedrig; das 1. Glied trägt an seinem Dorsalrande 1, das 2. Glied 2 Borsten; von diesen entspringt wenigstens die distale auf einem umfangreichen Fortsatze. Das vor- oder drittletzte Glied trägt dorsal 1, ventral 2 Borsten. Exopodit des Mandibularpalpus mit 2 längeren Borsten; neben dem Exopodit entspringt eine kurze Borste; die dorsale Borste des letzten Tastergliedes klauenartig gestaltet, deutlich kräftiger als die ventrale.

2 Arten.

Übersicht der Arten:

Der Dorsalrand des 2. Gliedes der 1. Antenne mit einem Fortsatze 2. **P. serrata**
Der Dorsalrand des 2. Gliedes der 1. Antenne mit 2 Fortsätzen . . 1. **P. compressa**

1. **P. compressa** (G. Brady & D. Roberts.) 1869 *Polycope c.*, G. S. Brady & D. Robertson in: Ann. nat. Hist., ser. 4 *v.* 3 p. 372 t. 21 f. 5—11 | 1894 *Polycopsis c.*, G. W. Müller in: F. Fl. Neapel, *v.* 21 p. 238 t. 7 f. 34—36, 38; t. 8 f. 21.

Schale ohne Andeutung einer Incisur; Vorder-, Dorsal- und Ventralrand wenig abgeflacht; Vorderrand mit 14 deutlichen Zähnen, neben denen noch undeutliche stehen können; Oberfläche glatt. 1. Antenne 4- oder 5-gliedrig; das 2. Glied mit 2 Zipfeln am Dorsalrande, deren jeder an der Spitze eine Borste trägt; der distale Zipfel mit starken Chitinrändern. — L. 0·52 mm.

Mittelmeer; Atlantische Küste von England und Irland.

2. **P. serrata** G. W. Müll. 1894 *P. s.*, G. W. Müller in: F. Fl. Neapel, *v.* 21 p. 239 t. 7 f. 33, 37, 39, 51—53; t. 8 f. 22.

Schale der von P. compressa ähnlich; Dorsal- und Ventralrand deutlich abgeflacht; der Vorderrand mit 10 größeren Zähnen, neben denen einige kleinere stehen. 1. Antenne 6-gliedrig; das 1. Glied so groß oder größer als das 2.; Dorsalrand des 2. Gliedes nur mit einem eine Borste tragenden Zipfel. — L. 0·38 mm.

Golf von Neapel.

II. Subordo **Podocopa**

1852 Fam. *Cypridae*, J. D. Dana in: U. S. expl. Exp., *v.* 13II p. 1280 | 1866 Sect. *Podocopa* + *Platycopa*, G. O. Sars in: Forh. Selsk. Christian., 1865 p. 10, 124 | 1894 Trib. *Podocopa*, G. W. Müller in: F. Fl. Neapel, *v.* 21 p. 239.

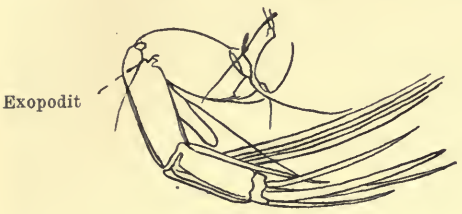

Fig. 29.
Pontocypris dispar. 2. Antenne ($^{160}/_{1}$).

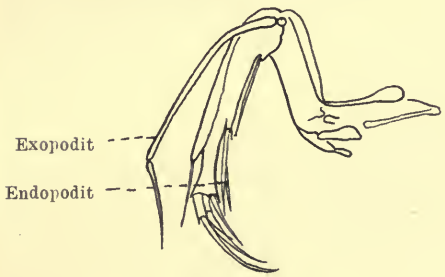

Fig. 30.
Eucytherura gibbera. 2. Antenne ($^{300}/_{1}$).

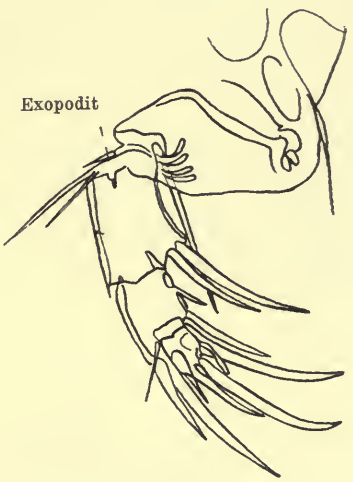

Fig. 31.
Darwinula aurea. 2. Antenne ($^{300}/_{1}$).

Schale stets stark verkalkt, niemals mit Incisur oder Rostrum[1]), Ventralrand abgeflacht, oft mit Einbuchtung, ausnahmsweise konvex. Die 2. Antenne (Fig. 29—32) entspringt zu beiden Seiten der Oberlippe auf einem Fortsatze, der von manchen Autoren als 1. Stammglied betrachtet, hier aber nicht zur Antenne gerechnet wird; sie besteht aus dem ein-, selten zweigliedrigen Stamme, dem höchstens 4-gliedrigen Endopodit und dem Exopodit, welcher ausnahmsweise aus 2 deutlichen, borstentragenden Gliedern zusammengesetzt ist, meist nur als kleine, borstentragende Platte oder als einzelne Borste erhalten ist; das 1. Stammglied ist zylindrisch, in der Ruhe

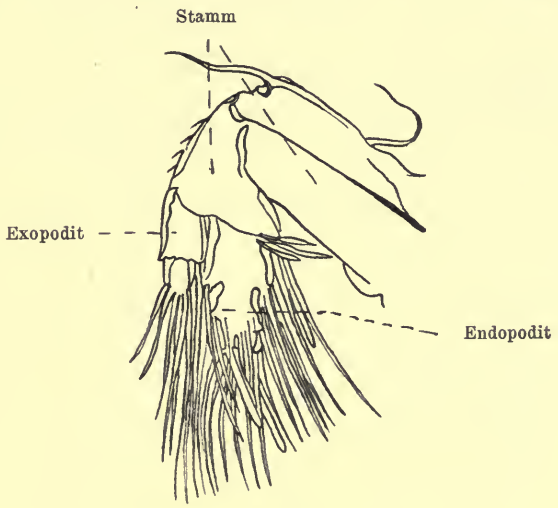

Fig. 32.
Cytherella sordida. 2. Antenne ($^{190}/_{1}$).

[1]) Eine dem Rostrum der Myodocopa ähnliche Bildung findet sich bei einigen Vertretern der Gattung Chlamydotheca etwa an der Grenze von Vorder- und Ventralrand.

nach vorn und dorsalwärts gerichtet; es bildet in der Ruhe mit dem 2. Stammgliede und dem Endopodit oder, beim Fehlen des ersteren, nur mit dem Endopodit einen meist scharf ausgeprägten, ventralwärts offenen Winkel; Endopodit meist gestreckt, terminal stets mit Klauen bewaffnet, im übrigen sehr verschieden gestaltet. Mandibel meist mit deutlich gezähneltem Kaufortsatze des Basalgliedes und höchstens 4-gliedrigem Taster, der selten ganz fehlt; sein 1. Glied trägt eine Atemplatte (Exopodit). Maxille mit 3 meist gestreckten Kaufortsätzen des Stammes und diesen ähnlich gestaltetem Taster, der selten 3-gliedrig,

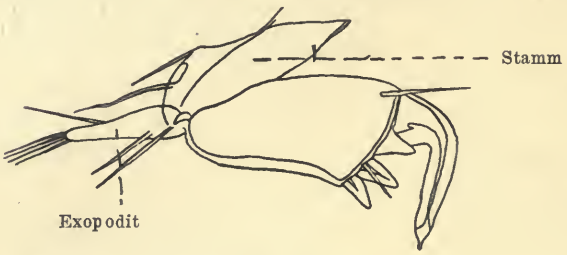

Fig. 33.
Macrocypris succinea ♂. 1. thoracale Gliedmaße ($^{300}/_{1}$).

Fig. 34.
Nesidea raripila. 1. thoracale Gliedmaße ($^{160}/_{1}$).

meist durch Verschmelzung des 1. und 2. Gliedes 2-gliedrig oder ungegliedert ist. Kaufortsätze und Taster können zum Teil oder vollständig verloren gehen; mit umfangreicher Atemplatte, welche

Fig. 35.
Pontocypria spinosa.
Furcalast ($^{300}/_{1}$).

Fig. 36.
Eucypris lutaria.
Furcalast
($^{45}/_{1}$).

Fig. 37.
Cypridopsis newtoni.
Furcalast ($^{160}/_{1}$).

Fig. 38.
Potamocypris fulva. Furcaläste ($^{200}/_{1}$).

radiär angeordnete, gefiederte Strahlen trägt, ein Teil derselben, und zwar in erster Linie die ventralen des Hinterrandes, seltener des Vorderrandes, sind häufig abweichend gestaltet und gerichtet. Das 1. Thoraxbein (Fig. 33, 34) besteht aus dem ungegliederten Stamme, der bald seitlich dem Rumpfe angeheftet und in großem Umfange mit ihm verbunden ist, bald mehr ventral entspringt und frei eingelenkt ist; derselbe trägt den nach vorn gerichteten, als Kaufortsatz dienenden Exopodit (?), welcher häufig mit dem Stamme verschmolzen oder ganz geschwunden ist; der hintere Ast (Taster), den ich als Endopodit bezeichne (obwohl die Deutung nicht sicher), ist da, wo die Gliedmaße als Hilfsorgan bei der Nahrungsaufnahme (Maxillarfuß) dient, beim ♀ kurz, tasterartig, selten 4-gliedrig, meist wenigergliedrig oder ungegliedert, beim ♂ als Greiforgan entwickelt, wobei die meist verschmolzenen 2.—4. Glieder als beweglicher Finger gegen das 1. Glied eingeschlagen werden können; der Finger kann mit dem Stamme verschmelzen; die Greiforgane sind meist auffallend asymmetrisch gestaltet. Wo die Gliedmaße nicht als Maxillarfuß dient, ist der Exopodit geschwunden, der Endopodit gestreckt, 4- oder 3-gliedrig, selten wenigergliedrig. Der Hinterrand des Stammes kann in beiden Gruppen eine Atemplatte tragen, die aber häufig der Rückbildung verfällt. Der Stamm des 2. Thoraxbeines weist bezüglich der Anheftung ähnliche Unterschiede auf wie der des 1. Beines; Reste eines Exopodit sind nicht nachweisbar; der Endopodit ist fast ausnahmslos nach hinten gerichtet, gestreckt, 4- oder 3-, selten wenigergliedrig; er trägt terminal eine große Klaue; eine Atemplatte findet sich nur sehr selten. Das 3. Thoraxbein zeigt bezüglich der Anheftung des Stammes ähnliche Unterschiede wie das 1. und 2. Bein; Reste eines Exopodit fehlen ganz; der Endopodit ist stets gestreckt, 4- oder 3-gliedrig; er ist als Schreitbein ventralwärts gerichtet, dem 2. oder 1. und 2. Thoraxbein ähnlich, oder als Putzbein dorsalwärts gerichtet; den Cytherelliden fehlt es ganz. Bürstenförmiges Organ auf die ♂ beschränkt, auch diesen fehlt es bei den Cypriden fast ganz; es steht bald hinter, bald zwischen, bald vor den Thoraxbeinen. Begattungsorgane des ♂ paarig, umfangreich. Furca von sehr wechselnder Form. — Fig. 35—38.

5 Familien.

Übersicht der Familien der Podocopa:

1	Exopodit der 2. Antenne deutlich 2-gliedrig, mit zahlreichen Borsten (Fig. 32, p. 103) (marin)	5. Fam. **Cytherellidae**
	Exopodit der 2. Antenne ist eine ungegliederte, borstentragende Schuppe oder eine lange Borste oder fehlt ganz — **2.**	
2	Exopodit der 2. Antenne ist eine einfache, lange, meist gekniete Borste, welche meist den Ausführungsgang einer Drüse aufnimmt (Fig. 30, p. 103) (überwiegend marin)	4. Fam. **Cytheridae**
	Exopodit der 2. Antenne eine Platte mit mehreren Borsten oder Spitzen oder fehlend — **3.**	
3	1. Thoraxbein ein den folgenden Beinen ähnliches Schreitbein, ohne Kaufortsatz des Stammes (Fig. 34, p. 104) (marin)	3. Fam. **Nesidaeidae**
	1. Thoraxbein mit nach vorn gerichtetem Kaufortsatze des Stammes, der nach hinten gerichtete Endopodit beim ♀ klein, beim ♂ (soweit bekannt) ein Greiforgan, stets der folgenden Gliedmaße sehr unähnlich (Fig. 39, p. 106; Fig. 33, p. 104) — **4.**	

4 { Furcaläste fehlen vollständig; das 3. Thoraxbein ein dem 2. ähnliches, ventralwärts nach hinten gerichtetes Schreitbein (Süßwasserbewohner) . . . . . 2. Fam. **Darwinulidae**
Furcaläste (Fig. 35—38, p. 104) stets vorhanden, bisweilen sehr klein und schwer nachweisbar; bei diesen Formen (fast oder ganz ausnahmslos) das 3. Thoraxbein ein dorsalwärts gekrümmtes Putzbein (zum Teil marin, zum Teil Süßwasserbewohner) . 1. Fam. **Cypridae**

1. Fam. **Cypridae**

Schale meist glatt, selten skulpturiert, Schloßrand ohne Zähne. 1. Antenne höchstens 8-gliedrig. Exopodit der 2. Antenne als kleine Schuppe mit meist 3 Borsten nachweisbar; das 1. Glied des Endopodit trägt ventral und meist proximal eine gekeulte Riechborste, ausnahmsweise an ihrer Stelle eine Gruppe von nicht gekeulten Riechborsten; dasselbe Glied trägt medial und terminal häufig eine Gruppe langer Borsten (Schwimmborsten); das 2. Glied trägt beim ♂ häufig terminal 2 umfangreiche Borsten mit meist weichem Endstück (Männchenborsten); dieselben fehlen den ♀. 1. Thoraxbein (Fig. 39) mit Kaufortsatz am vorderen Rande des Stammes; der Endopodit (Taster) ist beim ♀ klein, nach hinten gerichtet, häufig ungegliedert, nur selten 3- oder 4-gliedrig; beim ♂ (Fig. 33, p. 104) ist er stets als Greiforgan entwickelt, wobei das verschmolzene 2.—4. Glied als beweglicher Finger gegen das 1. eingeschlagen werden kann; meist sind die beiderseitigen Greiforgane auffallend unsymmetrisch; Atemplatte am Hinterrande des Stammes vorhanden oder fehlend. 2. Thoraxbein mit kurzem, in großem Umfange mit dem Körper verschmolzenem Stamme und umfangreichem, nach hinten gerichtetem 3- oder 4-gliedrigem Endopodit, dessen letztes Glied mit 2 oder 3 zum Teil klauenartig gestalteten Borsten bewaffnet ist. 3. Thoraxbein dem 2. ähnlich, stets (?) dorsalwärts in das Innere der Schale gebogen, zum Reinigen des Körpers bestimmt, was sich besonders in der Bewaffnung des letzten oder der beiden letzten Glieder ausspricht. Bürstenförmiges Organ fehlt fast durchgehend. Furca (Fig. 35—38) meist stabförmig mit 2 terminalen Klauen, vor denen meist noch eine kleinere Borste steht; Hinterrand mit 3 oder weniger Borsten; bisweilen rudimentär. Männliche Geschlechtsorgane durchweg mit sehr umfangreichen Samenfäden (bis 8 fache Länge des Tieres); die Hoden müssen, um derartig lange Samenfäden aufnehmen zu können, sich stark ausdehnen; sie treten über den Schließmuskelansätzen in den Schalenraum ein, verlaufen meist zur hinteren ventralen Ecke, um dort entweder dorsalwärts oder ventralwärts umzubiegen; ihr Verlauf ist systematisch wichtig; ebenso bisweilen der Verlauf des Verbindungsschlauches zwischen

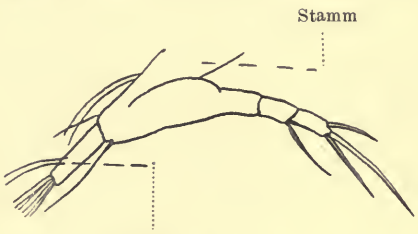

Fig. 39.
Macrocypris succinea ♀.
1. thoracale Gliedmaße ($^{160}/_{1}$).

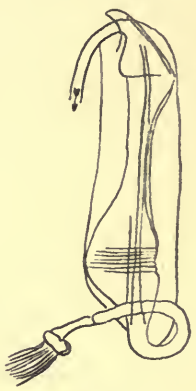
Fig. 40.
Pontocypris pellucida, Ductus ejaculatorius ($^{200}/_{1}$).

den beiderseitigen Hoden, welcher vorübergehend die Samenfäden aufnimmt. In das Vas deferens ist stets ein umfangreicher Ductus ejaculatorius (Fig. 40—44) eingeschaltet, der aus einer zylindrischen oder kuglig erweiterten Chitinröhre besteht; an

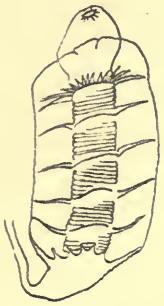

Fig. 41. **Cypria exsculpta, Ductus ejaculatorius** ($^{300}/_{1}$).

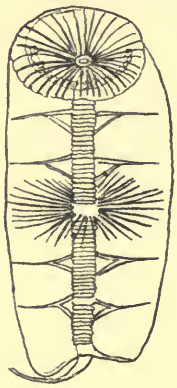

Fig. 42. **Caudana dentata, Ductus ejaculatorius** ($^{110}/_{1}$). (Chitinfortsätze z. T. im optischen Längsschnitte.)

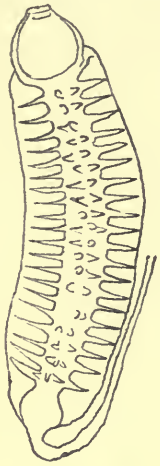

Fig. 43. **Iliocypris bradyi, Ductus ejaculatorius** ($^{62}/_{1}$).

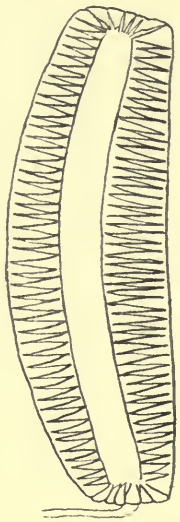

Fig. 44. **Cypris flava, Ductus ejaculatorius** ($^{150}/_{1}$).

diese setzen sich entweder direkt oder durch Vermittlung von häufig regelmäßig strahlig angeordneten Chitinstiften umfangreiche Muskelmassen an. Häufig fehlen die ♂, besonders bei den Bewohnern des süßen Wassers.

5 Subfamilien.

Übersicht der Subfamilien:

1 { Das 1. Glied des Innenastes der 2. Antenne trägt an seinem ventralen (hinteren) Rande nahe der Basis eine Gruppe von spitzen Borsten . B. Subfam. **Macrocyprinae**
An betreffender Stelle findet sich nur eine gekeulte Borste (Sinnesborste) — **2.**

2 { Hinterrand der Furca proximal von den 2 terminalen Klauen mit 3 Borsten (Fig 35, p. 104) (marin) . . . . . A. Subfam. **Pontocyprinae**
Hinterrand der Furca proximal von den (zuweilen nur in der Einzahl vorhandenen) Klauen mit weniger als 3 Borsten oder ohne Borsten (Fig. 36—38, p. 104) — **3.**

3 { Endopodit des 1. Thoraxbeines des ♀ 3-gliedrig. Ductus ejaculatorius mit kugliger Erweiterung am Eingange und Ausgange und sehr zahlreichen, nicht in deutlichen Rosetten angeordneten Chitinstrahlen (Fig. 43, p. 107) (Süßwasser). . D. Subfam. **Iliocyprinae**
Endopodit des 1. Thoraxbeines des ♀ ungegliedert oder undeutlich zweigliedrig. Ductus ejaculatorius mit in Rosetten angeordneten Chitinstrahlen (Fig. 41, 42, p. 107), oder wenn mit zahlreichen, unregelmäßig angeordneten, dann ohne kuglige Erweiterung am Eingang und Ausgang (Fig. 44, p. 107) — **4.**

4 { Ductus ejaculatorius mit höchstens 6 deutlichen, durch einen weiten Zwischenraum voneinander getrennten Kränzen von Chitinstrahlen (Fig. 41, 42, p. 107) (Kranz am Eingange und Ausgange nicht mitgezählt). Letztes Glied des 3. Thoraxbeines zylindrisch, nicht zwischen Fortsätzen des vorletzten verborgen, mit 3 Borsten (Fig. 46, p. 128) (Marin und Süßwasser) . . . . . C. Subfam. **Candoninae**

Ductus ejaculatorius mit wenigstens 9 Rosetten von Chitinstrahlen, die dicht beieinander stehen, oder sehr zahlreichen, nicht in deutlichen Rosetten und sehr dicht stehenden Strahlen (Fig. 44, p. 107). Das letzte Glied des 3. Thoraxbeines ist stets sehr kurz, breiter als lang, meist trägt es außer den 3 Borsten einen schnabelartigen, gekrümmten Fortsatz und ist mehr oder weniger zwischen Fortsätzen des vorletzten Gliedes verborgen (Süßwasser) . . . . . E. Subfam. **Cyprinae**

(Für die Unterscheidung der beiden Subfamilien des Süßwassers, der Candoninae und Cyprinae, kommt in erster Linie die Gestalt der terminalen Glieder des 3. Thoraxbeines in Betracht (vgl. oben). Wo den Cyprinae der Haken infolge von Rückbildung fehlt, wird man ihre Zugehörigkeit an der Form des Ductus ejaculatorius erkennen, da in diesem Fall die ♂ stets vorhanden. Die große Mehrzahl der Candoninae erkennt man an der weißen, meist perlmutterglänzenden Schale und dem vollständigen Mangel der Schwimmborsten.)

A. Subfam. **Pontocyprinae**

1. Thoraxbein ohne Andeutung einer Atemplatte. 2. Thoraxbein mit 2 terminalen Borsten; ausnahmsweise sind sehr kleine Reste einer 3. nachweisbar. Die Borsten am Ende des 3. Thoraxbeines liegen annähernd in der Verlängerung des letzten Gliedes; niemals ist eine Borste deutlich nach der Basis des Beines gerichtet (Fig. 45, p. 113). Furca stets wohl entwickelt, mit 2 terminalen Klauen und 3 Borsten am Hinterrande (Fig. 35, p. 104). Hoden und Ovarien treten fast stets in den Schalenraum ein und bilden dort zunächst einen nach vorn und ventral offenen Bogen. Ductus ejaculatorius (Fig. 40, p. 106) meist mit doppelter Erweiterung und mit 2 biegsamen Stellen der Röhre an gegenüberliegenden Seiten derselben; die Muskeln heften sich direkt an die Röhre oder an breite, lamellöse Fortsätze, ausnahmsweise an wenige, kleine Chitinstifte, niemals an zahlreiche lange Chitinstifte an.

Marin.

4 Gattungen, mit 32 sicheren, 19 unsicheren Arten.

Übersicht der Gattungen:

1 { Die beiden Borsten am terminalen Gliede des 2. Thoraxbeines annähernd gleich lang und gleich stark . . 4. Gen. **Argilloecia**
Von den beiden genannten Borsten ist eine deutlich kürzer und schwächer als die andere — **2.**

2 { Die Klauen am terminalen Gliede der 2. Antenne sind mit dem Gliede verschmolzen und bilden annähernd einen rechten Winkel mit den letzten Gliedern . . 3. Gen. **Pontocypria**
Die genannten Klauen sind nicht mit dem terminalen Gliede verschmolzen und liegen annähernd in der Verlängerung der 2 letzten Glieder — **3.**

3 { Die Hoden bilden eine Spirale in der hinteren Schalenhälfte. Schale fast stets gleichmäßig lebhaft braunrot gefärbt, hinten rechts (stets?) gezähnelt . . . 2. Gen. **Erythrocypris**
Die Hoden bilden keine Spirale oder eine Spirale in der vorderen Schalenhälfte. Schale ungefärbt oder gefleckt, selten in ganzem Umfange gefärbt, nicht gezähnelt . . . . . 1. Gen. **Pontocypris**

1. Gen. **Pontocypris** O. Sars

1866 *Pontocypris* (part.) G. O. Sars in: Forh. Selsk. Christian., 1865 p. 13 | 1894 *P.*, G. W. Müller in: F. Fl. Neapel, *v.* 21 p. 246.

Schalenrand beiderseits ungezähnelt. Die 2. Antenne mit 3-gliedrigem Endopodit; die Klauen des letzten Gliedes sind nicht mit dem Gliede verschmolzen, sie übertreffen das Glied um das Mehrfache seiner Länge und bilden annähernd eine Verlängerung der 2 letzten Glieder. 1. Glied des Mandibulartasters mit 3 zum Teil gefiederten Borsten am Ventralrande. 2. Thoraxbein mit starker Endklaue, neben der eine stets viel schwächere und kürzere Borste steht. Die Hoden folgen bei manchen Arten dem Schalenrande bis in die vordere Schalenhälfte und können sich nahe dem Vorderende spiralig aufrollen.

16 sichere, 8 unsichere Arten.

Übersicht der ♂ der sicheren Arten:

1 { Die Hoden reichen nicht bis zur Mitte des Ventralrandes der Schale — **3.**
Die Hoden reichen bis in die vordere Schalenhälfte — **2.**

2 { Die Hoden bilden in der vorderen Schalenhälfte nur einen Kreisbogen, keinen geschlossenen Ring — **7.**
Die Hoden legen sich in der vorderen Schalenhälfte spiralig zu einem geschlossenen Ringe zusammen — **11.**

3 { Die Hoden reichen nur bis in die Nachbarschaft des Ventralrandes, ohne dem Ventralrande parallel zu verlaufen . . . . . 2. **P. succinea**
Die Hoden verlaufen für eine kurze Strecke dem Ventralrande parallel — **4.**

4 { Vorderes Schalenende beim ♂ deutlich breiter als das hintere — **5.**
Beide Schalenenden beim ♂ ähnlich gestaltet — **6.**

5 { Penis terminal quer abgestutzt . . . . . 5. **P. inflata**
Penis zugespitzt, die Spitze abgerundet . . . . . 4. **P. setosa**

6 { Die kürzeste Borste des terminalen Gliedes des 3. Thoraxbeines endet knopfförmig . . . . . 3. **P. subfusca**
Die genannte Borste endet spitz . . . . . 1. **P. pirifera**

7 { Penis ohne beweglichen, den Rand des Stammes deutlich überragenden Fortsatz — **8.**
Penis mit beweglichem, den Rand des Stammes überragendem Fortsatze — **10.**

8 { Penis terminal quer und annähernd gerade abgestutzt . 9. **P. gaussi**
Penis terminal schräg und ziemlich unregelmäßig abgestutzt — **9.**

9 { Das Ende der Hoden liegt über halber Schalenhöhe. . 8. **P. pellucida**
Das Ende der Hoden liegt unter halber Schalenhöhe . 10. **P. flava**

10	Der frei vorragende Teil des Penisfortsatzes schwach, einfach gebogen, fast gerade	6. P. declivis
	Der frei vorragende Teil des Penisfortsatzes deutlich S-förmig gebogen	7. P. levis
11	Von den 3 borstenartigen Fortsätzen am Stamme des rechten Greiforganes des ♂ ist nur einer eine typische, spitze Borste; die beiden anderen sind kurz und dick oder enden kolbenartig — **12.**	
	Von den 3 genannten Fortsätzen sind 2 typische, spitze Borsten — **14.**	
12	Der Penis endet spitz	15. P. intermedia
	Der Penis endet stumpf — **13.**	
13	Medialer Rand des Penis deutlich wellig gebogen . . .	13. P. dispar
	Medialer Rand des Penis annähernd gerade	14. P. maculosa
14	Das Begattungsrohr bildet einen Halbkreis, dessen Durchmesser etwa $^1/_4$ der Gesamtlänge des Penis erreicht	11. P. mediterranea
	Begattungsrohr klein, S-förmig, es mißt etwa $^1/_{12}$ der Gesamtlänge des Penis	12. P. monstrosa

1. **P. pirifera** G. W. Müll. 1894 *P. p.*, G. W. Müller in: F. Fl. Neapel, *v.* 21 p. 247 t. 10 f. **1—3**, 18—20, 22—24; t. 38 f. 52.

Schale des ♀: Höhe der linken Schale etwas größer als $^1/_2$ der Länge, am höchsten wenig vor der Mitte; der Dorsalrand bildet einen Winkel mit wenig abgerundeter Spitze, dessen beide Schenkel annähernd geradlinig sind, deutlich und beiderseits annähernd gleich stark abfallen; Vorderende schmal, Hinterende noch schmaler gerundet, Ventralrand gerade; rechts der Dorsalrand gewölbt; Schale des ♂ der des ♀ ähnlich. Die Hoden enden etwa auf $^3/_4$ der Schalenlänge; Samenfäden beim ♂ mit birnförmig erweiterter Hülle nahe dem Schwanzende; dieselbe wird im Receptaculum seminis abgestreift. — L. ♀ 0·74 mm, ♂ 0·86 mm.

Golf von Neapel.

2. **P. succinea** G. W. Müll. 1894 *P. s.*, G. W. Müller in: F. Fl. Neapel, *v.* 21 p. 249 t. 9 f. **7, 8**, 46—50.

Schale der von P. pirifera (nr. 1) ähnlich; Höhe kleiner als $^1/_2$ der Länge, am höchsten deutlich vor der Mitte. Farbe gleichmäßig hell braungelb bis zur Verwachsungslinie. Die Hoden enden auf etwa $^9/_{10}$ der Schalenlänge, bilden keinen dem Ventralrande parallelen Schenkel; Samenfäden ohne erweiterte Hülle (gilt für nr. 2—15). — L. 0·62—0·64 mm.

Golf von Neapel.

3. **P. subfusca** G. W. Müll. 1894 *P. s.*, G. W. Müller in: F. Fl. Neapel, *v.* 21 p. 248 t. 9 f. **9, 10**, 41—45.

Linke Schale des ♂ gestreckt, Höhe etwas kleiner als $^1/_2$ der Länge, am höchsten in der Mitte, Spitze des Winkels des Dorsalrandes stark abgerundet, beide Enden ähnlich gestaltet, schmal gerundet; Ventralrand seicht eingebuchtet. Lebhaft bräunlich. Ähnlich die des ♀. Die Hodenschläuche enden auf $^2/_3$ der Schalenlänge, bilden einen dem Ventralrande parallelen Schenkel. — L. 0·69 mm.

Golf von Neapel.

4. **P. setosa** G. W. Müll. 1894 *P. s.*, G. W. Müller in: F. Fl. Neapel, *v.* 21 p. 249 t. 9 f. **12**, 36—40.

Linke Schale: Höhe etwa $^5/_9$ der Länge, am höchsten deutlich vor der Mitte; der Dorsalrand bildet einen sehr deutlichen Winkel mit wenig

abgerundeter Spitze, dessen beide Schenkel annähernd geradlinig sind, sehr deutlich und annähernd gleich stark abfallen; Vorderende mäßig breit gerundet, Hinterende zugespitzt, die Spitze abgerundet; Ventralrand gerade, das letzte $^1/_4$ aufsteigend. Mit einer Reihe dunkler Flecke besonders in der unteren Schalenhälfte; Behaarung dünn, aber auffallend. Die Hoden ähnlich wie bei P. subfusca (nr. 3). — L. 0·82—0·85 mm.

Golf von Neapel.

5. **P. inflata** G. W. Müll. 1908 *P. i.*, G. W. Müller in: D. Südp.-Exp., *v.* 10 p. 97 t. 13 f. **8**, 9—13.

Linke Schale: Höhe annähernd $^1/_2$ der Länge ($^9/_{19}$), am höchsten etwa auf $^4/_9$ der Länge, der Dorsalrand bildet einen stumpfen Winkel mit stark abgerundeter Spitze, beide Enden abgerundet, das hintere viel schmaler als das vordere. Ventralrand fast gerade. Die Hoden enden unterhalb der Schließmuskelansätze, wenig hinter halber Schalenlänge. Behaarung dünn, wenig auffallend. Furca an der Basis mit blasenartiger, mit kleinen Börstchen besetzter Auftreibung. — L. ♀ 0·75 mm, ♂ 0·7 mm.

Antarktis, Gaußstation in 385 m Tiefe.

6. **P. declivis** G. W. Müll. 1894 *P. d.*, G. W. Müller in: F. Fl. Neapel, *v.* 21 p. 250 t. 10 f. **4**, **5**, 25—29.

Linke Schale des ♂: Höhe annähernd $^1/_2$ der Länge, am höchsten wenig vor der Mitte; der Dorsalrand bildet einen stumpfen Winkel mit stark abgerundeter Spitze, dessen beide Schenkel annähernd gleich stark abfallen; Hinterende etwas schmaler gerundet als das Vorderende; beim ♀ liegt die größte Höhe weiter nach vorn, Hinterende viel schmaler als das Vorderende; fast farblos. Die Hoden folgen dem ganzen Ventralrande und steigen nahe dem Vorderende in einem dem Vorderrande parallelen Schenkel bis zur dorsalen Schalenhälfte auf. Penis mit hakenartigem Fortsatze, dessen frei vorstehender, distaler Schenkel annähernd gerade. Das Begattungsrohr bildet eine Spirale, die bis in das proximale Viertel des Penis reicht. — L. 0·56—0·63 mm.

Golf von Neapel.

7. **P. levis** G. W. Müll. 1894 *P. l.*, G. W. Müller in: F. Fl. Neapel, *v.* 21 p. 251 t. 10 f. **6**, 21.

Schale der von P. declivis (nr. 6) ähnlich, der Winkel des Dorsalrandes fast vollständig unterdrückt. Penis ebenfalls dem von P. declivis ähnlich, der distale Schenkel des Hakens schwach S-förmig gebogen; das Begattungsrohr bildet keine Spirale, sondern einen flachen Doppelbogen, liegt ganz in der distalen Hälfte des Penis. — L. 0·58 mm.

Golf von Neapel.

8. **P. pellucida** G. W. Müll. 1894 *P. p.*, G. W. Müller in: F. Fl. Neapel, *v.* 21 p. 251 t. 9 f. **11**, 51—55.

Linke Schale des ♂: Höhe etwa $^5/_{11}$ der Länge, am höchsten in der Mitte, Dorsalrand flach gewölbt, Vorder- und Hinterende sehr ähnlich gestaltet; rechts der Dorsalrand flacher gewölbt. Ebenso Schale des ♀. Schale sehr durchsichtig, farblos. Die Hoden steigen am Vorderrande über halbe Schalenhöhe auf. Penis ohne seitlichen Haken, das Begattungsrohr liegt im distalen Drittel und bildet einen Halbkreis. — L. 0·64 mm. — Fig. 40, p. 106.

Golf von Neapel.

9. **P. gaussi** G. W. Müll. 1908 *P. g.*, G. W. Müller in: D. Südp.-Exp., *v.* 10 p. 98 t. 13 f. **14**, 15—18.

Linke Schale des ♂: Höhe gleich $^1/_2$ der Länge, am höchsten wenig vor $^1/_2$ der Länge. Der Dorsalrand bildet einen stumpfen Winkel mit ziemlich deutlicher Ecke; beide Enden gerundet, das Vorderende breiter als das hintere. Die Hoden reichen bis in die vordere Schalenhälfte, steigen dort etwa bis zu $^1/_3$ der Schalenhöhe auf. Furca an der Basis blasig aufgetrieben, die Auftreibung nicht behaart. Penis breit, Breite größer als die halbe Länge, terminal abgestutzt. — L. ♀ & ♂ 0·7—0·75 mm.

Küste von Südafrika bei Simonstown.

10. **P. flava** G. W. Müll. 1908 *P. f.*, G. W. Müller in: D. Südp.-Exp., *v.* 10 p. 98 t. 13 f. **19**, 20—24.

Schale der von P. gaussi ähnlich, Winkel des Dorsalrandes weniger deutlich. Furca ähnlich wie bei P. gaussi. Penis mit annähernd geradem und etwa halbkreisförmigem, unregelmäßig gebogenem Außenrande, die hintere mediale Ecke in eine etwas geschwungene Spitze ausgezogen. — L. ♀ & ♂ 0·7—0·75 mm.

Küste von Südafrika bei Simonstown.

11. **P. mediterranea** G. W. Müll. 1894 *P. m.*, G. W. Müller in: F. Fl. Neapel, *v.* 21 p. 252 t. 9 f. **4**, 26—30.

Linke Schale: Höhe etwa $^1/_2$ der Länge, am höchsten etwa auf $^4/_9$ der Länge; der Dorsalrand bildet einen Winkel mit stark abgerundeter Spitze, dessen beide Schenkel annähernd gleich stark abfallen. Vorderende schmal, Hinterende noch beträchtlich schmaler gerundet; Ventralrand gerade, nicht aufsteigend; fast farblos. Die Hoden bilden in der vorderen Schalenhälfte eine geschlossene Spirale, die sich den Schließmuskelansätzen nähert. Penis spitz, das Begattungsrohr umfangreich, es bildet einen Halbkreis, dessen Durchmesser etwa $^1/_4$ der Gesamtlänge des Penis beträgt. — L. 0·67 mm.

Golf von Neapel.

12. **P. monstrosa** G. W. Müll. 1894 *P. m.*, G. W. Müller in: F. Fl. Neapel, *v.* 21 p. 252 t. 9 f. **5**, 31—35.

Schale der von P. mediterranea (nr. 11) ähnlich, Höhe etwas größer als $^1/_2$ der Länge; der Winkel des Dorsalrandes wenig gerundet; mit umfangreichem, braunem Pigmentfleck, der die Schließmuskelansätze im Bogen umzieht. Penis mit sehr kleinem, S-förmig gebogenem Begattungsrohr; dasselbe mißt etwa $^1/_{12}$ der Länge des Penis. — L. 0·6 mm.

Golf von Neapel.

13. **P. dispar** G. W. Müll. 1894 *P. d.*, G. W. Müller in: F. Fl. Neapel, *v.* 21 p. 253 t. 9 f. **2**, **3**, 13—20.

Linke Schale des ♂ gestreckt, Höhe etwa $^5/_{11}$ der Länge; am höchsten etwa auf $^2/_5$ der Länge; der Dorsalrand bildet einen Bogen mit Andeutung einer Ecke; Vorderende schmal gerundet; Hinterende zugespitzt, die Spitze stark abgerundet; Ventralrand gerade, im hinteren Viertel wenig aufsteigend. Die Hoden bilden in der vorderen Schalenhälfte eine Spirale, die weit entfernt von den Schließmuskelansätzen bleibt. Schale des ♀ viel höher; Höhe größer als die Hälfte der Länge; der Dorsalrand bildet einen deutlichen Winkel mit gerundeter Spitze: Penis am Ende quer abgestutzt, medialer

Rand stark wellig gebogen; das Begattungsrohr bildet eine Spirale, welche annähernd die distale Hälfte des Penis einnimmt. — L. ♂ 0·76, ♀ 0·78 mm. — Fig. 29, p. 103.

Golf von Neapel.

14. **P. maculosa** G. W. Müll. 1894 *P. m.*, G. W. Müller in: F. Fl. Neapel, *v.* 21 p. 254 t. 9 f. 6, 21.

Schale in beiden Geschlechtern der des ♂ von P. dispar (nr. 13) ähnlich, aber höher; Höhe etwa $^5/_9$ der Länge, der Dorsalrand bildet links einen deutlichen Winkel, der rechts mehr oder weniger vollständig unterdrückt ist. Der mediale Rand des Penis annähernd gerade, der distale mit einspringendem Winkel; Begattungsrohr ähnlich wie bei P. dispar. — L. 0·68 mm.

Golf von Neapel.

15. **P. intermedia** G. Brady ?1868 *P. i.*, G. S. Brady in: Ann. nat. Hist., ser. 4 *v.* 2 p. 220 t. 14 f. 1, 2 | 1887 *P. i.*, G. O. Sars in: Arch. Naturv. Kristian., *v.* 12 p. 267 t. 15 f. 1, 2; t. 16 | 1894 *P. i.*, G. W. Müller in: F. Fl. Neapel, *v.* 21 p. 254 t. 9 f. 1, 22—25.

Schale der des ♂ von P. dispar (nr. 13) ähnlich, wenig höher, Höhe $^1/_2$ der Länge, Verlauf der Hoden ebenfalls wie bei P. dispar. Penis spitz, dadurch von P. dispar und P. maculosa (nr. 14) unterschieden. Unterschiede von P. mediterranea (nr. 11) und P. monstrosa (nr. 12): das Begattungsrohr bildet eine Spirale; am Stamme des rechten Greiforganes des ♂ ist nur eine der 3 Borsten eine typische Borste, zwei sind kurze und dicke Gebilde. — L. 0·67 mm.

Fig. 45.
Pontocypris intermedia. Terminale Glieder der 3. thoracalen Gliedmaße ($^{300}/_1$).

Mittelmeer.

16. **P. edwardsi** Cushman 1906 *P. e.*, Cushman in: P. Boston Soc., *v.* 32 p. 368 t. 30 f. 26, 27, 28—34.

Höhe größer als $^1/_2$ der Länge, am höchsten auf halber Länge, der Dorsalrand bildet einen stumpfen Winkel mit deutlicher, nicht abgerundeter Spitze, beide Enden gerundet, das vordere deutlich breiter als das hintere. Schale dicht behaart. Hoden unbekannt. An der Furca ist der, von der Spitze gezählt, 4. borstenartige Anhang kürzer als der 3. — L. 0·85 mm.

Atlantische Küste von Nordamerika (Vineyard Sound).

P. acupunctata G. Brady 1867 *P. a.*, G. S. Brady in: A. M. Norman in: Rep. Brit. Ass., Meet. 36 p. 198 (nom. nud.) | 1868 *P. a.*, G. S. Brady in: Tr. Linn. Soc. London, *v.* 26 p. 386 t. 25 f. 53—56 | ?1901 *P. a.*, Egger in: Abh. Bayer. Ak., *v.* 21 p. 419 t. 4 f. 63, 64.

Küste von England; 18° s. Br., 116° ö. L., 357 m.?

P. obtusata G. Brady 1869 *P. o.*, G. S. Brady in: Ann. nat. Hist., ser. 4 *v.* 3 p. 47 t. 8 f. 7, 8.

Piraeus.

P. simplex G. Brady 1880 *P. s.*, G. S. Brady in: Rep. Voy. Challenger, Zool. *v.* 1 Part 3 p. 37 t. 1 f. 5 | ?1901 *P. s.*, Egger in: Abh. Bayer. Ak., *v.* 21 p. 421 t. 1 f. 1, 2.

Küste von Ascension; 18° s. Br., 116° ö. L., 357 m.?

P. (?)subreniformis G. Brady 1880 *P. (?)s.* + *P. subtriangularis*, G. S. Brady in: Rep. Voy. Challenger, Zool. *v.* 1 Part 3 p. 38; t. 15 f. 6.

Südafrika; Australien; Island; südliches Norwegen; Arabisches Meer.

P. trigonella O. Sars 1866 *P. t.*, G. O. Sars in: Forh. Selsk. Christian., 1865 p. 16 | ?1868 *P. t.*, G. S. Brady in: Tr. Linn. Soc. London, *v.* 26 p. 387 t. 25 f. 31—34; t. 38 f. 3 | ?1880 *P. t.*, G. S. Brady in: Rep. Voy. Challenger, Zool. *v.* 1 Part 3 p. 36 t. 15 f. 4 | ?1889 *P. t.*, G. S. Brady & A. M. Norman in: Tr. R. Dublin Soc., ser. 2 *v.* 4 p. 109 t. 22 f. 18—25; t. 23 f. 6 | ?1894 *P. t.*, T. Scott in: Tr. Linn. Soc. London, ser. 2 *v.* 6 p. 136 t. 14 f. **36, 37** | ?1901 *P. t.*, Egger in: Abh. Bayer. Ak., *v.* 21 p. 422 t. 1 f. 16, 17.

Norwegen; Küste von England; Mittelmeer; Capverdische Inseln?; Westlich von Afrika zwischen 6° und 10° n. Br., 68 und 677 m Tiefe?; Bermudas-Inseln 820 m Tiefe; Golf von Guinea; Mauritius 411 m Tiefe?; Neu Guinea?; Haïti?; 18° s. Br., 116° ö. L., 357 m Tiefe?

P. sp., G. Brady 1880 *P. faba* (non *Cytherina f.* Reuss 1846), G. S. Brady in: Rep. Voy. Challenger, Zool. *v.* 1 Part 3 p. 37 t. 1 f. 4 | ?1901 *P. f.*, Egger in: Abh. Bayer. Ak., *v.* 21 p. 420 t. 4 f. 44, 45.

Südaustralien (Baßstraße); Honolulu; Arabisches Meer; Mauritius 411 m Tiefe?; Island; südliches Norwegen; Hafen von Messina; Funafuti.

P. sp., Egg. 1901 *Pontocypris hilseana* (non *Cytherina [P.] h.* Römer 1840), Egger in: Abh. Bayer. Ak., *v.* 21 p. 421 t. 1 f. 4—6.

18° s. Br., 116° ö. L., 357 m Tiefe.

P. sp., T. Scott 1894 ?*P. subreniformis* (non *P. s.* G. Brady 1880), T. Scott in: Tr. Linn. Soc. London, ser. 2 *v.* 6 p. 136 t. 14 f. **38, 39.**

Neuguinea.

2. Gen. **Erythrocypris** G. W. Müller

1866 *Pontocypris* (s. l.), G. O. Sars in: Forh. Selsk. Christian., 1865 p. 13 | 1894 *Erythrocypris*, G. W. Müller in: F. Fl. Neapel, *v.* 21 p. 256.

Schale mehr oder weniger lebhaft braunrot; Ventralrand hinten rechts gezähnelt. 1. Glied des Mandibulartasters mit 2 Borsten am Ventralrande. 2. Thoraxbein terminal mit 2 sehr ungleichen Borsten. Die Hoden bilden eine Spirale in der hinteren Schalenhälfte, der Verbindungsschlauch tritt in die rechte Schale ein und bildet dort eine einfache oder doppelte Schlinge.

9 sichere, 2 unsichere Arten.

Übersicht der sicheren Arten:

1	Vorderrand der rechten Schale gezähnelt	9. **E. discrepans**
	Vorderrand der rechten Schale ungezähnelt — 2.	
2	Die linke Schale bildet hinten eine deutliche, recht- oder spitzwinklige oder dornartige, nicht abgerundete Spitze — 7.	
	Hinterende der linken Schale abgerundet oder mit stumpfer Ecke — 3.	
3	Länge weniger als 0·8 mm	6. **E. pallida**
	Länge mehr als 0·8 mm — 4.	
4	Rechte Schale hinten mit höchstens 5 Zähnen — 5.	
	Rechte Schale hinten mit 7—9 Zähnen — 6.	
5	Länge mehr als 1·1 mm	2. **E. obtusa**
	Länge weniger als 1·1 mm	3. **E. rara**
6	Vordere Furcalklaue länger als die hintere	5. **E. avena**
	Vordere Furcalklaue kürzer als die hintere	4. **E. serrulata**

7 { Linke Schale mit dornartigem, scharf abgesetztem Fortsatze . . . . . 8. **E. herdmani**
Linke Schale ohne scharf abgesetzten Fortsatz — **8.**

8 { Eine der Männchenborsten der 2. Antenne gesägt . . . 1. **E. frequens**
Beide Männchenborsten der 2. Antenne gesägt . . . . 7. **E. acuminata**

1. **E. frequens** G. W. Müll. 1894 *E. f.*, G. W. Müller in: F. Fl. Neapel, *v.* 21 p. 257 t. 11 f. **1, 2**, 33—35.

Schale gestreckt, Höhe etwa $^2/_5$ der Länge, am höchsten etwa auf $^1/_3$ der Schalenlänge; der Dorsalrand bildet hier einen stumpfen Winkel mit wenig gerundeter Spitze, dessen beide Schenkel stark abfallen; Vorderende mäßig breit gerundet, Hinterende stark zugespitzt, die linke Spitze deutlich, die rechte abgerundet; Ventralrand fast gerade, zur hinteren Spitze wenig aufsteigend, rechts hinten mit 5 sägeartigen Zähnen und einem stumpferen dorsal von diesen. 2. Antenne mit langen Schwimmborsten und einer gesägten Männchenborste. Finger des rechten Greiforganes dick, die Dicke beträgt über $^1/_3$ des konvexen Hinterrandes. — L. 1·17 mm.

Golf von Neapel.

2. **E. obtusa** G. W. Müll. 1894 *E. o.*, G. W. Müller in: F. Fl. Neapel, *v.* 21 p. 257 t. 11 f. **3, 4**, 28—32.

Schale der von E. frequens (nr. 1) ähnlich, Höhe $^3/_7$ der Länge; Hinterende links gerundet oder mit stumpfer Ecke, rechts mit 4 oder 5 Spitzen, ohne stumpfen Zahn dorsal von ihnen. 2. Antenne wie bei E. frequens. Finger des rechten Greiforganes ziemlich schlank; die Dicke beträgt $^1/_5$ des Hinterrandes. — L. 1·18 mm.

Golf von Neapel.

3. **E. rara** G. W. Müll. 1894 *E. r.*, G. W. Müller in: F. Fl. Neapel, *v.* 21 p. 258 t. 11 f. **8, 9**, 39, 47, 48.

Schale der von E. frequens (nr. 1) ähnlich; Höhe etwa $^4/_9$ der Länge; Ventralrand deutlich eingebuchtet; hintere Spitze links abgerundet, rechts mit 5 spitzen Zähnen, dorsal von ihnen abgestutzt. 2. Antenne wie E. frequens. Finger des rechten Greiforganes kurz und dick, die Dicke beträgt über $^1/_3$ des deutlich S-förmig geschwungenen Hinterrandes. — L. 1·03 mm.

Golf von Neapel.

4. **E. serrulata** (O. Sars) 1863 *Cypris s.*, G. O. Sars, in: Nyt Mag. Naturv., *v.* 12 p. 250 | 1866 *Pontocypris s.*, G. O. Sars in: Forh. Selsk. Christian., 1865 p. 15 | 1894 *Erythrocypris serrata*, G. W. Müller in: F. Fl. Neapel, *v.* 21 p. 258 t. 11 f. **10, 11**, 36—38.

Schale der von E. frequens (nr. 1) ähnlich; Höhe etwa $^3/_7$ der Länge; Ventralrand schwach eingebuchtet; Hinterende beiderseits gerundet, rechts mit 7—9 sehr spitzen Zähnen. 2. Antenne wie bei E. frequens. Finger des rechten Greiforganes sehr kurz und dick, die Dicke beträgt $^1/_2$ des Hinterrandes. Vordere Furcalklaue schwächer und kürzer als die hintere. — L. 1·0 mm.

Küste von Norwegen; Golf von Neapel.

5. **E. avena** Norm. ?1862 *Cythere (Bairdia) mytiloides* (non *Cytherina m.* Reuss 1849), A. M. Norman in: Ann. nat. Hist., ser. 3 *v.* 9 p. 50 t. 3 f. 1—3 | 1865 *Cythere avena*, A. M. Norman in: Nat. Hist. Tr. Northumb., *v.* 1 p. 17 (Synonymie) | 1868 *Pontocypris mytiloides*, G. S. Brady in: Tr. Linn. Soc. London, *v.* 26 p. 385 t. 25 f. 26—30; t. 37 f. 4; t. 38 f. 1.

E. serrulata (nr. 4) sehr ähnlich; aber die vordere Furcalklaue stärker und länger als die hintere. — L. 0·72 mm.

Küste von England.

6. **E. pallida** G. W. Müll. 1894 *E. p.*, G. W. Müller in: F. Fl. Neapel, *v.* 21 p. 259 t. 11 f. **12, 13,** 43—45.

Schale der von E. frequens (nr. 1) ähnlich, Höhe annähernd $^1/_2$ der Länge; Hinterende links stumpf gerundet, rechts abgestutzt; das Ende des Ventralrandes mit 4 oder 5 ungewöhnlich großen Zähnen. 2. Antenne wie bei E. frequens. Finger des rechten Greiforganes kurz und dick; die Breite beträgt annähernd $^1/_2$ des Hinterrandes; die Spitze abgesetzt. — L. 0·7 mm.

Golf von Neapel.

7. **E. acuminata** G. W. Müll. 1894 *E. a.*, G. W. Müller in: F. Fl. Neapel, *v.* 21 p. 259 t. 11 f. **5, 6,** 40—42.

Schale der von E. frequens (nr. 1) ähnlich; Höhe annähernd $^1/_2$ der Länge; Hinterende beiderseits scharf zugespitzt; rechts der Ventralrand mit 4 sehr kleinen Zähnen und bisweilen einer stumpfen Spitze dorsal von der hinteren Spitze. 2. Antenne mit langen Schwimmborsten; beide Männchenborsten ungesägt. — L. 0·82 mm.

Golf von Neapel.

8. **E. herdmani** A. Scott 1905 *E. h.*, A. Scott in: Herdman, Rep. Ceylon Pearl Fish., Suppl. Rep. 22 p. 372 t. 1 f. 15—16.

Höhe etwa $^1/_2$ der Länge, der Dorsalrand bildet etwa auf $^2/_3$ der Länge eine sehr deutliche, stumpfwinklige Ecke, Ventralrand fast gerade, Hinterende beiderseits gerundet, links mit kräftigem, an seiner Basis scharf abgesetztem, schwach dorsalwärts gebogenem, dornartigem Fortsatze. — L. 0·85 mm.

Küste von Ceylon.

9. **E. discrepans** G. W. Müll. 1894 *E. d.*, G. W. Müller in: F. Fl. Neapel, *v.* 21 p. 260 t. 11 f. **7, 14, 15,** 22—26, 46, 49, 50.

Schale gestreckt, Höhe etwa $^2/_5$ der Länge, der Dorsalrand verläuft etwa im mittleren Drittel horizontal; Vorderrand gerundet, rechts in der ventralen Hälfte mit etwa 7 Zähnen; Hinterende beiderseits zugespitzt, die Spitze links abgerundet, rechts abgestutzt; der Ventralrand im hinteren Viertel deutlich aufsteigend, rechts hier gezähnelt. 2. Antenne ohne Schwimmborsten und mit glatten, ungezähnelten Männchenborsten. — L. 0·57 mm.

Golf von Neapel.

E. attenuata (G. Brady) 1868 *Pontocypris a.*, G. S. Brady in: Ann. nat. Hist., ser. 4 *v.* 2 p. 179 t. 4 f. 11—14 | ?1880 *P. a.*, G. S. Brady in: Rep. Voy. Challenger, Zool. *v.* 1 Part 3 p. 38 t. 15 f. 2 | ?1885 *P. nitida* (juv.?), G. S. Brady in: J. Linn. Soc. London, *v.* 19 p. 303 t. 39 f. 4—6 | ?1890 *P. attenuata*, G. S. Brady in: Tr. R. Soc. Edinb., *v.* 35 p. 491 t. 1 f. 3, 4 | ?1901 *P. a.*, Egger in: Abh. Bayer. Ak., *v.* 21 p. 419 t. 1 f. 10—12.

Mauritius; Ceylon?: Hongkong; Neuguinea?; 18° s. Br., 116° ö. L., 357 m Tiefe?; Neu-Caledonien (Noumea)?; Samoa-Inseln?; Südliches Norwegen; Island; Funafuti.

E. hispida (O. Sars) 1866 *Pontocypris h.*, G. O. Sars in: Forh. Selsk. Christian., 1865 p. 16 | (non 1868 *P. h.*, G. S. Brady & D. Robertson in: Ann. nat. Hist., ser. 4 *v.* 9 p. 61 (descr. nulla)).

Rechte Schale hinten mit 5 Zähnen; terminale Klaue des 2. Thoraxbeines so lang wie die 4 letzten Glieder; Endklauen der Furca etwa gleich stark; Penis fast linear, an der Spitze gerundet. — L. 0·8 mm.

Küste von Norwegen; England.

3. Gen. **Pontocypria** G. W. Müller

1894 *Pontocypria*, G. W. Müller in: F. Fl. Neapel, *v.* 21 p. 255.

Von Pontocypris besonders unterschieden durch den Bau der 2. Antenne: Endopodit derselben 4-gliedrig, das letzte Glied mit 2 Borsten, die kaum länger als das Glied sind; sie sind mit dem Gliede verschmolzen und bilden mit ihm annähernd einen rechten Winkel. 1. Glied des Mandibulartasters mit 1 (oder 2) Borsten an seinem Ventralrande.

1 Art.

1. **P. spinosa** G. W. Müll. 1894 *P. s.*, G. W. Müller in: F. Fl. Neapel, *v.* 21 p. 255 t. 10 f. 7, 8, 30—37.

Schale mäßig gestreckt, Höhe etwa $^7/_{12}$ der Länge, am höchsten vor der Mitte; der Dorsalrand bildet einen stumpfen Winkel mit wenig abgerundeter Spitze; beide Enden von ähnlicher Gestalt, stumpf gerundet; der Ventralrand gerade oder ausgebuchtet. — L. des ♀ 0·45 mm. — Fig. 35, p. 104. ♂ unbekannt.

Golf von Neapel.

4. Gen. **Argilloecia** O. Sars

1866 *Argilloecia*, G. O. Sars in: Forh. Selsk. Christian., 1865 p. 17 | 1880 *A.*, G. S. Brady in: Rep. Voy. Challenger, Zool. *v.* 1 Part 3 p. 39 | 1894 *A.*, G. W. Müller in: F. Fl. Neapel, *v.* 21 p. 260.

Schale stets gestreckt, Höhe kleiner als $^1/_2$ der Länge. 2. Antenne beim ♀ stets ohne, beim ♂ ohne oder mit Schwimmborsten. 1. Glied des Mandibulartasters mit 3 gefiederten Borsten am Ventralrande. Letztes Glied des 2. Thoraxbeines mit 2 etwa gleich langen und gleich starken Klauen. Am 3. Thoraxbeine ist das letzte Glied sehr klein, bisweilen mit dem vorletzten verschmolzen. Furca ohne Borste vor den Klauen.

6 sichere, 3 unsichere Arten.

Übersicht der sicheren Arten:

1	2. Antenne des ♂ mit langen, die Spitzen der Klauen überragenden Schwimmborsten — **2.**	
	2. Antenne des ♂ mit kurzen Schwimmborsten oder ohne Schwimmborsten — **3.**	
2	Vorderrand der Schale mit zahlreichen zwiebelförmigen Borsten	6. **A. caudata**
	Vorderrand der Schale ohne solche Borsten	5. **A. levis**
3	Penis distal abgerundet oder quer abgestutzt — **4.**	
	Penis distal tief zweiteilig	2. **A. eburnea**
4	Die Borsten am Stamme des Greiforganes des ♂ stehen auf einem Fortsatze	1. **A. acuminata**
	Die Borsten am Stamme des Greiforganes des ♂ stehen nicht auf einem Fortsatze — **5.**	
5	Vorderrand der Schale mit lanzettförmig gestalteten Haaren	3. **A. bulbifera**
	Vorderrand der Schale ohne solche Haare	4. **A. minor**

1. **A. acuminata** G. W. Müll. 1894 *A. a.*, G. W. Müller in: F. Fl. Neapel, *v.* 21 p. 261 t. 12 f. 1, 2, 12—22.

Linke Schale des ♀: Höhe annähernd $^1/_3$ der Länge, am höchsten etwa in der Mitte. Der Dorsalrand bildet einen flachen Bogen, der nach

hinten ohne Andeutung einer Grenze bis zur spitzwinkligen, scharf ausgeprägten, hinteren, ventralen Ecke verläuft und vorn etwa auf $^3/_5$ der Höhe mit dem Vorderrande eine deutliche, gerundete Ecke bildet, von der aus sich der Vorderrand nach hinten wendet; er geht im flachen Bogen in den Ventralrand über; letzterer ist flach eingebuchtet und steigt im hinteren Viertel auf. Vorderrand mit zarten, zwiebelförmigen Borsten; an der hinteren Ecke eine sehr lange Borste. 2. Antenne ohne Schwimmborsten. Stamm des Greiforganes des ♂ distal deutlich zweiteilig. Penis abgerundet. — L. 0·56 mm.

Golf von Neapel.

2. **A. eburnea** G. Brady 1880 *A. e.*, G. S. Brady in: Rep. Voy. Challenger, Zool. *v.* 1 Part 3 p. 40 t. 4 f. 1—15 | (non 1901 *A. e.*, Egger in: Abh. Bayer. Ak., *v.* 21 p. 422 t. 4 f. 49—51).

Schale der von A. acuminata ähnlich, aber höher; Höhe annähernd $^1/_2$ der Länge. Borsten der Schale? Die Schwimmborsten der 2. Antenne vorhanden; sie reichen annähernd bis zum distalen Rande des letzten Gliedes. Penis am Ende tief zweiteilig. — L. 0·77 mm.

Kerguelen 36—90 m Tiefe; 35° 39′ s. Br. 50° 47′ w. L., 3474 m Tiefe.

3. **A. bulbifera** G. W. Müll. 1894 *A. b.*, G. W. Müller in: F. Fl. Neapel, *v.* 21 p. 262 t. 12 f. **3**, 32—35.

Schale der von A. acuminata (nr. 1) ähnlich, wenig höher; die hintere Spitze stark abgestumpft, die vordere Ecke annähernd unterdrückt; hintere Borste fehlt (stets?). Stamm des Greiforganes des ♂ distal nicht zweiteilig; sonst wie A. acuminata. — L. 0·56 mm.

Golf von Neapel.

4. **A. minor** G. W. Müll. 1894 *A. m.*, G. W. Müller in: F. Fl. Neapel, *v.* 21 p. 263 t. 12 f. **4**, 27—31.

Schale der von A. bulbifera (nr. 3) ähnlich; vordere Ecke ganz unterdrückt, Vorderrand mit einfachen, nicht zwiebelförmigen Haaren, lange Borste am Hinterende vorhanden. 2. Antenne ohne Schwimmborsten. Stamm des Greiforganes wie bei A. bulbifera. Penis quer abgestutzt. — L. 0·46 mm.

Golf von Neapel.

5. **A. levis** G. W. Müll. 1894 *A. l.*, G. W. Müller in: F. Fl. Neapel, *v.* 21 p. 263 t. 12 f. **5**, 36—39.

Schale der von A. acuminata (nr. 1) ähnlich; hintere Spitze stark abgerundet; Vorderrand ohne Borsten. 1. und 2. Antenne des ♂ mit langen Schwimmborsten. Greiforgane und Penis ähnlich wie bei A. minor. — L. 0·56 mm.

Golf von Neapel.

6. **A. caudata** G. W. Müll. 1894 *A. c.*, G. W. Müller in: F. Fl. Neapel. *v.* 21 p. 264 t. 12 f. **6**, 23—26.

Schale des ♀: Höhe etwa $^5/_{11}$ der Länge, am höchsten in der Mitte; Dorsalrand flach gewölbt, er geht ohne Andeutung einer Grenze oder Ecke in den mäßig breit gerundeten Vorderrand über, grenzt sich auch nicht gegen den Hinterrand ab und bildet mit dem Ventralrande eine etwa rechtwinklige, stark gerundete Ecke. Ventralrand flach eingebuchtet; Vorderrand

mit zahlreichen, langen, zwiebelförmigen Haaren; Hinterende mit sehr langer Borste. Schwimmborsten der 1. und 2. Antenne beim ♂ lang. — L. 0·54 mm.

Golf von Neapel.

A. cylindrica O. Sars ?1865 *Cytherideis* (?)*oryza*, G. S. Brady in: Tr. zool. Soc. London, *v.* 5 p. 368 t. 58 f. 2 | 1866 *Argilloecia cylindrica*, G. O. Sars in: Forh. Selsk. Christian., 1865 p. 18 | ?1867 *Pontocypris angusta*, G. S. Brady in: Intell. Observ., *v.* 12 p. 119 (descr. nulla) | ?1868 *P. a.*, G. S. Brady in: Tr. Linn. Soc. London, *v.* 26 p. 387 t. 34 f. 43, 44 | ?1869 *Argilloecia a.*, G. S. Brady & D. Robertson in: Ann. nat. Hist., ser. 4 *v.* 3 p. 363 (Synonymie) | ?1889 *A. cylindrica*, G. S. Brady & A. M. Norman in: Tr. R. Dublin Soc., ser. 2 *v.* 4 p. 111 t. 10 f. 28, 29.

Schale des ♀ gestreckt, Höhe wenig größer als $^1/_3$ der Länge, vorn und hinten ungefähr gleich hoch, stumpf gerundet; Dorsalrand in der Mitte annähernd gerade, nach hinten fast senkrecht abfallend; Ventralrand schwach eingebuchtet; vom Rücken gesehen die Schalenbreite etwa gleich der Höhe, die Seiten annähernd parallel, beide Enden stumpf. Schale des ♂ hinten niedriger als vorn, mit abgerundeter Spitze. In beiden Geschlechtern trägt der Vorderrand kurze, einfache und lanzettförmige Haare, das Hinterende eine Borste von der halben Länge der Schale. — L. ♀ 0·63 mm, ♂ ?

Küste von Norwegen 54—90 m Tiefe; nördlicher Atlantischer Ozean?; Mittelmeer?

A. propinqua G. Brady 1904 *A. p.*, G. S. Brady in: Nat. Hist. Tr. Northumb., ser. 2 *v.* 1 p. 5 t. 2 f. 1—8.

Küste von England in 108 m Tiefe.

A. affinis Chapm. 1903 *A. a.*, Chapman in: J. Linn. Soc. London, *v.* 28 p. 419 t. 37 f. 1 a—c.

Pazifischer Ozean (Funafuti) aus 2723 m Tiefe.

Pontocyprinarum genera dubia et species dubiae

Pontocypris gracilis G. Brady 1890 *P. g.*, G. S. Brady in: Tr. R. Soc. Edinb., *v.* 35 p. 491 t. 1 f. 5, 6.

Fidschi Inseln.

P. interposita Seg. 1883 & 85 *P. i.*, Seguenza in: Natural. Sicil., *v.* 2 p. 287; *v.* 4 t. 2 f. 1.

Hafen von Messina.

P. polita Seg. 1883 & 85 *P. p.*, Seguenza in: Natural. Sicil., *v.* 3 p. 40; *v.* 4 t. 2 f. 3.

Hafen von Messina.

P. punctata Seg. 1883 & 85 *P. p.*, Seguenza in: Natural. Sicil., *v.* 3 p. 39; *v.* 4 t. 2 f. 2.

Hafen von Messina.

P. sp., Egg. 1901 *P. dactylus* (non *Bairdia d.* Egger 1858 = *Pontocypris d.* Lienenclaus 1894), Egger in: Abh. Bayer. Ak., *v.* 21 p. 420 t. 1 f. 18—20.

Mauritius 411 m Tiefe; 18° s. Br. 116° ö. L., 357 m Tiefe.

P. sp., Egg. 1901 *P. subreniformis* (non *P. s.* G. S. Brady 1880), Egger in: Abh. Bayer. Ak., *v.* 21 p. 421 t. 7 f. 50—52.

Mauritius 411 m Tiefe.

B. Subfam. **Macrocyprinae**

Schale gestreckt, Höhe kleiner als $^1/_2$ der Länge. Dorsalrand stark gewölbt. Der Endopodit der 2. Antenne trägt an seiner proximalen und ventralen Ecke eine Gruppe von Sinnesborsten mit färbbarem Mittelstück. Maxille mit 2- oder 3-gliedrigem Taster. Der Endopodit des 1. Thoraxbeines des ♀ 4-gliedrig. 2. Thoraxbein am Ende mit 2 verschieden großen Klauen und einer viel kleineren Borste. Terminales Glied des 3. Thoraxbeines zylindrisch, mit umfangreicher, basalwärts gerichteter Borste. Hinter dem 3. Thoraxbeine des ♂ steht ein sehr kleines, bürstenförmiges Organ. Furca mehr oder weniger rudimentär, terminal nur eine Klaue, neben der ein Börstchen stehen kann, die Klaue meist kurz, mehr oder weniger vollständig mit dem Stamme verschmolzen. Die Hoden bilden jederseits 4 kuglige Blasen, die ebensowenig wie der Verbindungsschlauch in den Schalenraum eintreten. Ductus ejaculatorius zylindrisch, mit kugliger Erweiterung am Eingange und zahlreichen unregelmäßig angeordneten, radiären Chitinstiften.

1 Gattung mit 13 sicheren, 4 unsicheren Arten.

1. Gen. **Macrocypris** G. Brady

1866 *Bairdia* (non *B.* McCoy 1846) (s. l.), G. O. Sars in: Forh. Selsk. Christian., 1865 p. 19 | 1867 ***Macrocypris***, G. S. Brady in: Intell. Observ., *v.* 12 p. 119 | 1868 *M.*, G. S. Brady in: Tr. Linn. Soc. London, *v.* 26 p. 391 | 1894 *M.*, G. W. Müller in: F. Fl. Neapel, *v.* 21 p. 242.

Mit der Diagnose der Subfamilie.

13 sichere, 4 unsichere Arten.

Übersicht derjenigen Arten, deren Furca bekannt ist:

1	Furca mit terminaler, deutlich vom Stamme abgesetzter Klaue, die viel länger ist als der Stamm	7. **M. minna**
	Furca mit kleiner, oft mit dem Stamme verschmolzener Endklaue, die viel kürzer ist als der Stamm — **2.**	
2	Furca auffallend unsymmetrisch, der linke Ast viel schwächer und kürzer als der rechte	5. **M. inaequalis**
	Furca annähernd symmetrisch — **3.**	
3	Größer als 1·5 mm — **4.**	
	Kleiner als 1·5 mm — **5.**	
4	Borste am Hinterrande der Furca vorhanden	4. **M. turbida**
	Borste am Hinterrande der Furca fehlt	6. **M. tensa**
5	Am 2. Thoraxbeine die kürzere Klaue kürzer als $^1/_2$ der längsten	2. **M. dispar**
	Am 2. Thoraxbeine die kürzere Klaue länger als $^1/_2$ der längsten — **6.**	
6	Größer als 1·1 mm	3. **M. africana**
	Kleiner als 1·1 mm	1. **M. succinea**

1. **M. succinea** G. W. Müll. 1894 *M. s.*, G. W. Müller in: F. Fl. Neapel, *v.* 21 p. 242 t. 13 f. 8—24, **25**, **26**, **28**; t. 38 f. 34.

Schale gestreckt, links Höhe etwa $^2/_5$ der Länge, am höchsten wenig vor der Mitte; der Dorsalrand ist stark gewölbt, geht ohne Andeutung einer Grenze in den schmal gerundeten Vorderrand und in den noch schmaler gerundeten Hinterrand über; letzterer links noch schmaler als rechts; Ventralrand beiderseits in der Mitte deutlich eingebuchtet, nicht zum Hinterende

aufsteigend. Schale vom Rücken gesehen schmal, Breite annähernd $^1/_3$ der Länge, am breitesten in der Mitte; die Seiten bilden flache Bogen, welche ziemlich gleichmäßig bis zu beiden Körperenden verlaufen; beide Enden in ähnlicher Weise zugespitzt; die rechte Schale umfaßt die linke. Schalen glatt. Furca schlank, gerade, distal schwach gebogen; nur eine unbeweglich mit dem Stamme verbundene Klaue, die nur etwa $^1/_6$ des Vorderrandes mißt; sehr kleine Spitzen als Reste einer vorderen und hinteren Borste; Länge der Furca weniger als $^1/_4$ der Schale. — L. ♀ 1·08 mm, ♂ 1·0 mm. — Fig. 33, p. 104, Fig. 39, p. 106.

Golf von Neapel.

2. **M. dispar** G. W. Müll. 1908 *M. d.*, G. W. Müller in: D. Südp.-Exp., *v.* 10 p. 96 t. 13 f. 1, 2—7.

Schale der von M. succinea (nr. 1) ähnlich, wenig höher, Ventralrand fast gerade. Furca symmetrisch, die des ♂ gerade, die kurze, schwach gekrümmte Endklaue nur sehr undeutlich vom Stamme abgesetzt, Hinterrand fast kahl, auf etwa $^3/_4$ der Länge eine kleine Borste; Furca des ♀ winklig gekrümmt, Borste des Hinterrandes fehlt. Kürzere Klaue des 2. Thoraxbeines kürzer als $^1/_2$ der längsten. — L. ♀ und ♂ 1·2—1·25 mm.

Südafrikanische Küste bei Simonstown.

3. **M. africana** G. W. Müll. 1908 *M. a.*, G. W. Müller in: D. Südp.-Exp., *v.* 10 p. 97 t. 12 f. 10, 11, 14—17.

M. dispar (nr. 2) sehr ähnlich, am 2. Thoraxbein ist die kürzere Klaue länger als die Hälfte der längsten. — L. ♀ 1·35 mm, ♂ 1·25 mm.

Küste von Südafrika.

4. **M. turbida** G. W. Müll. 1908 *M. t.*, G. W. Müller in: D. Südp.-Exp., *v.* 10 p. 94 t. 11 f. 11, 12, 13, 14; t. 12 f. 12, 13.

Linke Schale des ♂ und ♀: Höhe etwa $^7/_{16}$ der Länge, am höchsten wenig hinter der Mitte, Dorsalrand stark und gleichmäßig gewölbt, gegen Vorder- und Hinterrand nicht abgegrenzt, in seinem letzten Stücke fällt er fast senkrecht ab, bildet mit dem Ventralrande einen rechten Winkel mit abgerundeter Ecke, diese Ecke variabel; Ventralrand in der vorderen Hälfte eingebuchtet, in der hinteren gerade; rechte Schale der linken ähnlich, beide Schalen getrübt. Furca: beide Äste gleich lang, annähernd gerade, der Hinterrand des Stammes fein behaart, auf etwa $^2/_3$ des Hinterrandes eine deutliche Borste. — L. ♀ 1·9—2·0 mm, ♂ 1·9 mm.

Antarktis, Gaußstation.

5. **M. inaequalis** G. W. Müll. 1908 *M. i.*, G. W. Müller in: D. Südp.-Exp., *v.* 10 p. 95 t. 12 f. 1, 2, 3—7.

Schale der von M. turbida (nr. 4) ähnlich, etwas gestreckter. Furca auffallend unsymmetrisch; nur der rechte Ast wohl entwickelt, dieser sehr kräftig, dick, annähernd gerade, auf $^1/_3$ der Länge am Hinterrande eine Borste. Linker Ast bis zur halben Länge des rechten Astes mit diesem verschmolzen, das freie Stück nur etwa $^1/_2$ so lang und $^1/_2$ so dick wie das entsprechende des rechten Astes. — L. ♀ und ♂ 2·1 mm.

Antarktis, Gaußstation.

6. **M. tensa** G. W. Müll. 1908 *M. t.*, G. W. Müller in: D. Südp.-Exp., *v.* 10 p. 96 t. 12 f. 8, 9.

Linke Schale des ♀ sehr gestreckt. Höhe etwa $^4/_{11}$ der Länge, am höchsten auf halber Länge; der Dorsalrand undeutlich stumpfwinklig gebogen, die Spitze des Winkels stark abgerundet, beide Schenkel des Winkels schwach gewölbt. Das Vorderende schmal gerundet, die hintere Hälfte stark verjüngt, terminal gerundet; Ventralrand fast gerade. Rechte Schale der linken sehr ähnlich. Furca symmetrisch, die terminale Klaue fast gerade, spitz, Borste am Hinterrande fehlt, Börstchenreihe vorhanden. — L. ♀ 2·4 mm, ♂ unbekannt.

Antarktis, Gaußstation.

7. **M. minna** (W. Baird) 1850 *Cythere m.*, W. Baird, Brit. Entom., p. 171 t. 20 f. 4 | 1866 *Bairdia m.*, G. O. Sars in: Forh. Selsk. Christian., 1865 p. 21 | 1868 *Macrocypris m.*, G. S. Brady in: Tr. Linn. Soc. London, *v.* 26 p. 392 t. 27 f. 5—8; t. 38 f. 4.

Schale: Höhe etwa $^2/_5$ der Länge; am höchsten auf halber Länge, Dorsalrand gewölbt, im hinteren Drittel annähernd gerade, Vorderende mäßig breit gerundet, Hinterende stark zugespitzt, die Spitze des Winkels wenig abgerundet, sie liegt in der Verlängerung des fast geraden Ventralrandes. Furca kurz, mit einer schlanken, stark gebogenen Endklaue, welche etwa noch einmal so lang ist wie der Stamm, am Hinterrande zwei kleine Borsten. — L. 2·5—3 mm.

Küste von Norwegen und Shetlandinseln in 36—550 m Tiefe, Küste von Marokko in 636—1350 m Tiefe.

8. **M. similis** G. Brady 1880 *M. s.*, G. S. Brady in: Rep. Voy. Challenger, Zool. *v.* 1 Part 3 p. 42 t. 2 f. 2.

Schale der von M. minna (nr. 7) ähnlich; das Hinterende weniger stark zugespitzt, die Spitze stärker abgerundet, der Ventralrand schwach gebogen, im letzten Sechstel schwach zur Spitze aufsteigend. — L. 2·1 mm.

Ostküste von Südamerika (Pernambuco, Patagonien); Ascension 290—1235 m Tiefe; Ceylon.

9. **M. tenuicauda** G. Brady 1880 *M. t.*, G. S. Brady in: Rep. Voy. Challenger, Zool. *v.* 1 Part 3 p. 41 t. 2 f. 1; t. 3 f. 2 | ?1901 *M. t.*, Egger in: Abh. Bayer. Ak., *v.* 21 p. 424 t. 1 f. 23, 24.

Schale der von M. minna (nr. 7) ähnlich; der Vorderrand gegen den Ventralrand durch eine mehr oder weniger deutliche Ecke abgegrenzt; der Ventralrand im letzten Drittel schwach zu der hinteren Spitze aufsteigend. — L. 1·55 mm.

Westindien; Küste von Nordbrasilien 640—720 m Tiefe; 6° n. Br., 11° w. L., 68 m Tiefe?; Arabisches Meer; 18° s. Br., 116° ö. L., 357 m Tiefe?

10. **M. siliquosa** G. Brady 1881 *M. s.*, G. S. Brady in: Folin & Périer, Fonds Mer, *v.* 4 p. 194 t. 14 f. 1—3 | 1889 *M. s.*, G. S. Brady & A. M. Norman in: Tr. R. Dublin Soc., ser. 2 *v.* 4 p. 118.

Schale: Höhe annähernd $^2/_5$ der Länge; Dorsalrand flach gewölbt; Vorderende mäßig breit gerundet; Hinterende zugespitzt, die deutliche Spitze liegt auf etwa $^1/_5$ der Höhe; über ihr steigt der Schalenrand steil im flachen Bogen auf; Ventralrand in der vorderen Hälfte sehr flach gebuchtet, im hinteren Drittel fast geradlinig aufsteigend. Vom Rücken gesehen ist die Breite der Schale annähernd $^2/_5$ der Länge, beide Enden schmal gerundet. — L. 1·55 mm.

Westküste von Marokko 932—2333 m Tiefe; 56° n. Br. 10° w. L., 2495 m Tiefe.

11. **M. tumida** G. Brady 1880 *M. t.*, G. S. Brady in: Rep. Voy. Challenger, Zool. *v.* 1 Part 3 p. 43 t. 6 f. 2 | ?1901 *M. t.*, Egger in: Abh. Bayer. Ak., *v.* 21 p. 424 t. 1 f. 27—29.

Schale: Höhe $^1/_2$ der Länge; Dorsalrand stark gewölbt; Vorderende schmal gerundet; am Hinterende bilden Ventralrand und Hinterrand eine annähernd rechtwinklige Ecke mit stark gerundeter Spitze; Ventralrand annähernd gerade, unbedeutend zur hinteren Ecke aufsteigend. Vom Rücken gesehen ist die Breite der Schale $^1/_2$ der Länge, die Seiten bilden flache Bogen; die Enden sind ziemlich breit gerundet, das vordere in der Mitte etwas kielartig erhoben. — L. 1·55 mm.

Kerguelen 50 m Tiefe; Neuseeland; 18° s. Br., 116° ö. L., 357 m Tiefe?; Island; südliches Norwegen.

12. **M. canariensis** G. Brady 1880 *M. c.*, G. S. Brady in: Rep. Voy. Challenger, Zool. *v.* 1 Part 3 p. 42 t. 2 f. 3 | ?1901 *M. c.*, Egger in: Abh. Bayer. Ak., *v.* 21 p. 423 t. 1 f. 31, 32.

Schale sehr gestreckt, Höhe $^1/_3$ der Länge; der stark gewölbte Dorsalrand verläuft gleichmäßig bis zu beiden Enden und bildet vorn und hinten mit dem Ventralrande eine deutliche Spitze, die vorn wenig stärker abgerundet ist als hinten; Ventralrand in der vorderen Hälfte undeutlich gebuchtet, in der hinteren Hälfte schwach aber deutlich zur hinteren Spitze aufsteigend. Schale vom Rücken gesehen schmal, Breite etwa $^1/_3$ der Länge. — L. 2·1 mm.

Kanarische Inseln 1233 m Tiefe; Capverdische Inseln 63 m Tiefe?; Mauritius 411 m Tiefe?; 18° s. Br. 116° ö. L., 357 m Tiefe?

13. **M. sarsi** (nom. nov.), G. W. Müll. 1866 *Bairdia angusta*, (non *B. a.* Reuss 1854), G. O. Sars in: Forh. Selsk. Christian., 1865 p. 22 | 1881 *Macrocypris angustata*, G. S. Brady in: Folin & Périer, Fonds Mer, *v.* 4 p. 164, 194 (nom. nud.) | 1889 *M. a.*, G. S. Brady & A. M. Norman in: Tr. R. Dublin Soc., ser. 2 *v.* 4 p. 117 t. 9 f. 17, 18.

Schale gestreckt, Höhe etwa $^1/_3$ der Länge, am höchsten etwas vor der Mitte; Dorsalrand stark gewölbt; er bildet mit dem Ventralrande vorn eine scharfe, zahnartige Spitze, die etwa auf $^1/_6$ der Höhe liegt; dorsal von ihr ist der Rand wenig konkav; eine ähnliche, noch schärfere Spitze findet sich am Hinterende; dorsal von ihr ist der Dorsalrand schwach S-förmig gebogen; Ventralrand in der vorderen Hälfte deutlich gebuchtet, in der hinteren Hälfte in einer konkaven Linie aufsteigend. Vom Rücken gesehen ist die Breite der Schale weniger als $^1/_3$ der Länge; beide Enden stark zugespitzt, die Seiten nahe dem Hinterende etwas eingedrückt. — L. 1·9—2 mm.

Küste von Norwegen 91—182 m Tiefe; Atlantischer Ozean 932 m Tiefe.

M. decora (G. Brady) 1865 *Cytherideis d.*, G. S. Brady in: Tr. zool. Soc. London, *v.* 5 p. 366 t. 57 f. 13 | ?1868 *Paracypris (Macrocypris) hieroglyphica*, G. S. Brady in: Folin & Périer, Fonds Mer, *v.* 1 p. 62 t. 7 f. 7, 8 | 1880 *M. decora*, G. S. Brady in: Rep. Voy. Challenger, Zool. *v.* 1 Part 3 p. 44 t. 1 f. 3; t. 6 f. 8.

Weit verbreitet auf der südlichen Halbkugel.

M. gracilis Seg. 1883 & 85 *M. g.*, Seguenza in: Natural. Sicil., *v.* 2 p. 76; *v.* 4 t. 2 f. 6.

Hafen von Messina.

M. maculata (G. Brady) 1865 *Cytherideis m.*, G. S. Brady in: Tr. zool. Soc. London, *v.* 5 p. 367 t. 57 f. 12 | 1880 *Macrocypris m.*, G. S. Brady in: Rep. Voy. Challenger, Zool. *v.* 1 Part 3 p. 44 t. 1 f. 2.

Weit verbreitet südlich vom 30° s. Br., ferner Westindien; Karibisches Meer?, Ceylon.

M. orientalis G. Brady 1868 *M. o.*, G. S. Brady in: Folin & Périer, Fonds Mer, *v.* 1 p. 61 t. 7 f. 1—3 | 1868 *M. acuminata* (nom. nud.), G. S. Brady in: Folin & Périer, Fonds Mer, *v.* 1 p. 313 | 1880 *M. orientalis*, G. S. Brady in: Rep. Voy. Challenger, Zool. *v.* 1 Part 3 p. 42 t. 2 f. 4 | ?1901 *M. o.*, Egger in: Abh. Bayer. Ak., *v.* 21 p. 423 t. 1 f. 25, 26.

Malayischer Archipel; 18° s. Br. 116° ö. L., 357 m Tiefe?; Neuguinea 69 m Tiefe?; 10° s. Br. 141° ö. L., 15 m Tiefe; Ceylon.

C. Subfam. **Candoninae**

Die Schwimmborsten der 2. Antenne überragen, wenn wohl entwickelt, die Klauen der letzten Glieder beträchtlich; bisweilen sind sie kurz oder fehlen ganz. Endopodit (Taster) des 1. Thoraxbeines des ♀ ungegliedert oder 2-gliedrig. Das letzte Glied des 3. Thoraxbeines zylindrisch, terminal nicht über den Ursprung der Borsten verlängert; es steht auf der Spitze des vorletzten Gliedes. Furca stets wohl entwickelt; der Hinterrand mit 2 oder 1 Borste (bisweilen schwer aufzufinden); falls nur 1 Borste vorhanden, steht dieselbe in beträchtlicher Entfernung von der hinteren Klaue. Hoden und Eierstöcke treten stets (?) in den Schalenraum ein und bilden in der hinteren Schalenhälfte meist einen nach vorn und oben offenen Bogen. Ductus ejaculatorius (Fig. 41, 42, p. 107) mit 5, selten 6 regelmäßigen Kränzen von Chitinstrahlen (die Bildungen an den Grenzen der Muskulatur nicht mitgezählt). ♂ fast stets vorhanden. Bewohner des Meeres und Süßwassers.

9 Gattungen mit 79 sicheren, 32 unsicheren Arten.

Übersicht der Gattungen:

1	Hinterrand der Furca mit 2 Borsten — **8.**	
	Hinterrand der Furca mit weniger als 2 oder ohne Borsten — **2.**	
2	2. Antenne mit wohlentwickelten Schwimmborsten — **3.**	
	2. Antenne ohne jede Andeutung von Schwimmborsten — **5.**	
3	Letztes Glied des 3. Thoraxbeines kurz, kaum länger als breit — **4.**	
	Letztes Glied des 3. Thoraxbeines lang, wenigstens 3mal so lang wie breit (Süßwasser)	3. Gen. **Cyclocypris**
4	Vorderrand der Schale gezähnelt (Süßwasser) . . .	5. Gen. **Physocypria**
	Vorderrand der Schale ungezähnelt (Süßwasser) . .	4. Gen. **Cypria**
5	Borste am Hinterrande der Furca fehlt (Süßwasser)	9. Gen. **Candonopsis**
	Borste am Hinterrande der Furca vorhanden — **6.**	
6	Das 2. Glied des Endopodit des 3. Thoraxbeines mit terminaler Borste; falls das 2. und 3. Glied verschmolzen, steht die Borste in der Mitte des verschmolzenen 2. und 3. (vorletzten) Gliedes — **7.**	
	Das 2. (zuweilen mit dem 3. verschmolzene) Glied ohne Borste (Süßwasser) (Fig. 47, p. 136)	6. Gen. **Candona**
7	Schale glatt (Süßwasser)	7. Gen. **Cryptocandona**
	Schale mit Netzwerk von Leisten (Süßwasser) . . .	8. Gen. **Paracandona**
8	Die Borsten am Hinterrande der Furca klein, kürzer als $^1/_3$ der hinteren Klaue (Süßwasser)	2. Gen. **Pontoparta**
	Die Borsten am Hinterrande der Furca lang, länger als $^1/_3$ der hinteren Klaue (marin)	1. Gen. **Paracypris**

1. Gen. **Paracypris** O. Sars

1866 *Paracypris*, G. O. Sars in: Forh. Selsk. Christian., 1865 p. 11 | 1868 *Aglaia*, G. S. Brady in: Folin & Périer, Fonds Mer, *v.* 1 p. 90 | 1880 *Paracypris* + *A.* + *Phlyctenophora*, G. S. Brady in: Rep. Voy. Challenger, Zool. *v.* 1 Part 3 p. 31, 33, 32 | 1889 *Paracypris* + *A.*, G. S. Brady & A. M. Norman in: Tr. R. Dublin Soc., ser. 2 *v.* 4 p. 95, 94 | 1894 *A.*, G. W. Müller in: F. Fl. Neapel, *v.* 21 p. 243.

Schale mit stark gewölbtem Dorsalrande. 1. Antenne 6—8-gliedrig. Endopodit der 2. Antenne 3-gliedrig; Schwimmborsten kurz; sie erreichen die Spitze der Klauen nicht oder fehlen ganz (?). 1. Thoraxbein mit wohl entwickelter Atemplatte; der Endopodit (Taster) beim ♀ 2-gliedrig oder ungegliedert, beim ♂ rechts und links ähnlich gestaltet. Hinterrand der Furca mit 2 Borsten, welche mindestens so lang wie $^1/_3$ der vorderen Klaue sind.

Marin.

5 sichere, 1 unsichere Art.

Übersicht der sicheren Arten:

1	Die letzten Glieder der 1. Antenne tragen Borsten, welche zum Teil beträchtlich länger sind als die 1. Antenne — **2.**	
	Die Borsten der 1. Antenne sämtlich kürzer als die 1. Antenne — **3.**	
2	1. Antenne 7-gliedrig (4. und 5. verschmolzen)	2. **P. rara**
	1. Antenne 6-gliedrig (4.—6. verschmolzen)	1. **P. complanata**
3	Vorder- und Hinterende der Schale ähnlich gestaltet . . .	3. **P. pulchella**
	Vorderende gerundet, Hinterende zugespitzt — **4.**	
4	Die beiden Borsten am Hinterende der Furca annähernd gleich lang	4. **P. polita**
	Die distale Borste am Hinterrande der Furca kürzer als $^2/_3$ der proximalen	5. **P. zealandica**

1. **P. complanata** (G. Brady & D. Roberts.) ?1869 *Aglaia c.*, G. S. Brady & D. Robertson in: Ann. nat. Hist., ser. 4 *v.* 3 p. 365 t. 20 f. 4, 5 | ?1889 *A. c.*, G. S. Brady & A. M. Norman in: Tr. R. Dublin Soc., ser. 2 *v.* 4 p. 94 t. 14 f. 28, 29 | 1894 *A. c.*, G. W. Müller in: F. Fl. Neapel, *v.* 21 p. 245 t. 12 f. **8**, **10**, 11, 40, 42, 43, 46, 48, **51**.

Schale gestreckt, Höhe deutlich kleiner als $^1/_2$ der Länge, am höchsten etwa in der Mitte. Dorsalrand gewölbt; beide Enden gerundet, ähnlich gestaltet; Ventralrand gerade. 1. Antenne 6-gliedrig (4.—6. Glied verschmolzen); die Borsten der 2 terminalen Glieder zum Teil beträchtlich länger als die 1. Antenne. Die proximalwärts gerichtete Borste des 3. Thoraxbeines länger als die 3 letzten Glieder des Beines und viel länger als die in der Verlängerung des Beines liegende Borste. — L. 0·66—0·71 mm.

Golf von Neapel; Küste von England?

2. **P. rara** (G. W. Müll.) 1894 *Aglaia r.*, G. W. Müller in: F. Fl. Neapel, *v.* 21 p. 244 t. 12 f. **7**, 41, 44, 45, 47, 49, 50; t. 13 f. 1—7.

Schale der von P. complanata (nr. 1) ähnlich. 1. Antenne 7-gliedrig (4. und 5. Glied verschmolzen), Borsten wie bei P. complanata. Die proximalwärts gerichtete Borste des letzten Gliedes des 3. Thoraxbeines nicht länger als die 3 letzten Glieder, kürzer als die terminale, in der Verlängerung des Beines liegende. — L. 0·9 mm.

Golf von Neapel.

3. **P. pulchella** (G. Brady) 1868 *Aglaia p.*, G. S. Brady in: Folin & Périer, Fonds Mer, *v.* 1 p. 94 t. 12 f. 1, 2.

Schale der von P. complanata (nr. 1) sehr ähnlich. 1. Antenne 8-gliedrig (?), mit kurzen Borsten. — L. 1 mm.

Küste von Sizilien; Capverdische Inseln (St. Vincent); Karibisches Meer (Colon).

4. **P. polita** O. Sars 1866 *P. p.*, G. O. Sars in: Forh. Selsk. Christian., 1865 p. 12 | 1868 *P. p.*, G. S. Brady in: Tr. Linn. Soc. London, *v.* 26 p. 378 t. 27 f. 1—4; t. 38 f. 2 | (non 1901 *P. p.*, Egger in: Abh. Bayer. Ak., *v.* 21 p. 418 t. 4 f. 52, 53).

Schale gestreckt, Höhe etwas größer als $^1/_3$ der Länge, am höchsten etwa auf $^1/_3$ der Länge; Dorsalrand gewölbt; Vorderende gerundet; Hinterende zugespitzt, die Spitze stark abgestumpft; Ventralrand flach eingebuchtet, zur hinteren Spitze nicht aufsteigend. Borsten der 1. Antenne kurz. Borsten am Hinterrande der Furca ungefähr gleich lang. — L. 1·23 mm.

Nördlicher Atlantischer Ozean und Nordsee; Mittelmeer; Neuseeland?

5. **P. zealandica** (G. Brady) 1880 *Phlyctenophora z.*, G. S. Brady in: Rep. Voy. Challenger, Zool. *v.* 1 Part 3 p. 33 t. 3 f. 1.

Schale der von P. polita (nr. 4) ähnlich; die distale Borste am Hinterrande der Furca beträchtlich kürzer als die proximale, etwa nur halb so lang wie diese. — L. 0·98 mm.

Neuguinea; Neuseeland; Australien bis 67 m Tiefe.

P. africana (T. Scott) 1894 *Phlyctenophora a.*, T. Scott in: Tr. Linn. Soc. London, ser. 2 *v.* 6 p. 135 t. 14 f. 34, 35; t. 15 f. 17—19.

Golf von Guinea.

2. Gen. **Pontoparta** Vávra

1901 *Pontoparta*, Vávra in: Arch. Naturg., *v.* 67 1 p. 184.

2. Antenne mit verschmolzenem 2. und 3. Gliede des Endopodit; die Schwimmborsten erreichen die Spitze der Klauen. 3. Thoraxbein 5-gliedrig, das letzte Glied zylindrisch, gestreckt, mit langer, basalwärts gerichteter Borste. Hinterrand der Furca mit 2 kurzen Borsten. ♂ unbekannt. Süßwasser.

1 Art.

1. **P. rara** Vávra 1901 *P. r.*, Vávra in: Arch. Naturg., *v.* 67 1 p. 185 t. 9 f. 21—30.

Schale gestreckt, Höhe $^4/_9$ der Länge; Dorsalrand flach gewölbt, in der Mitte am höchsten, gegen Vorder- und Hinterrand nicht abgegrenzt; Vorderrand breiter gerundet als der Hinterrand; Ventralrand flach eingebuchtet; vom Rücken gesehen ist die Breite der Schale etwa $^4/_9$ der Länge. — L. ♀ 0·73 mm.

Bismarck-Archipel.

3. Gen. **Cyclocypris** G. Brady & Norman

1776 *Cypris* (part.), O. F. Müller, Zool. Dan. Prodr., p. 198 | 1785 *C.* (part.), O. F. Müller, Entom., p. 48 | 1793 *Monoculus* (part.), J. C. Fabricius, Ent. syst., *v.* 2 p. 488 | 1854 *Cypria* (part.), Zenker in: Arch. Naturg., *v.* 20 1 p. 77 | 1889 *C.* (part.), G. S. Brady & A. M. Norman in: Tr. R. Dublin Soc., ser. 2 *v.* 4 p. 68 | 1889 *Cyclocypris*, G. S. Brady & A. M. Norman in: Tr. R. Dublin Soc., ser. 2 *v.* 4 p. 70 | 1891 *C.*, Vávra in: Arch. Landesdf. Böhmen, *v.* 8 nr. 3 p. 67 | 1900 *C.*, G. W. Müller in: Zool., *v.* (Heft) 30 p. 39.

Schale kurz und hoch, stark chitinisiert, braun. Auge auffallend groß. 2. Antenne mit langen, die Klauen des letzten Gliedes weit überragenden Schwimmborsten; Endopodit beim ♀ 3-, beim ♂ 4-gliedrig, ohne Männchenborsten. 1. und 2. Glied des Mandibulartasters verschmolzen. 1. Thoraxbein mit wohl entwickelter Atemplatte. Das letzte Glied des 3. Thoraxbeines lang, zylindrisch, wenigstens $^1/_2$ so lang wie das vorletzte. Ductus ejaculatorius am Eingange kuglig erweitert.

4 sichere, 1 unsichere Art.

Übersicht der sicheren Arten:

1 { Vorletztes Glied des 3. Thoraxbeines am ventralen Rande mit 2 starken Borsten, einer in der Mitte, einer annähernd terminal — **2.**
Von den beiden genannten Borsten fehlt die terminale . . . **4. C. forbesi**

2 { L. über 0·8 mm . . . . . **1. C. dispersa**
L. weniger als 0·6 mm — **3.**

3 { Borste am Hinterrande der Furca deutlich . . . . . **2. C. laevis**
Borste am Hinterrande der Furca sehr klein, scheinbar fehlend **3. C. ovum**

1. **C. dispersa** (nom. nov.), G. W. Müll. ?1863 *Cypris globosa* (non Dieff. 1843), G. O. Sars in: Nyt Mag. Naturv., *v.* 12 p. 219 | ?1868 *C. cinerea*, G. S. Brady in: Tr. Linn. Soc. London, *v.* 26 p. 374 t. 24 f. 39—42; t. 36 f. 7 | 1889 *Cyclocypris globosa*, G. S. Brady & A. M. Norman in: Tr. R. Dublin Soc., ser. 2 *v.* 4 p. 71 t. 14 f. 1, 2; t. 11 f. 10—18 | 1900 *C. g.*, G. W. Müller in: Zool., *v.* (Heft) 30 p. 40 t. 9 f. **11—13**; t. 10 f. 23—27.

Linke Schale des ♀: Höhe $^2/_3$ der Länge, am höchsten in der Mitte; Dorsalrand mäßig stark gewölbt, Vorderende schmal, Hinterende breit gerundet; Ventralrand gerade (rechts Ventralrand konvex). Vom Rücken gesehen Breite $^2/_3$ der Länge. Die rechte Schale umfaßt vorn und hinten die linke. Schale des ♂ der des ♀ ähnlich. Vorletztes Glied des 3. Thoraxbeines mit 2 langen Borsten, einer subterminalen, einer in der Mitte des Ventralrandes. Furca annähernd gerade; Klauen kurz, die vordere weniger als die Hälfte des Vorderrandes, mäßig stark und in ganzer Länge ziemlich gleichmäßig gebogen; Hinterrand distal gewimpert; Hinterrandborste deutlich. — L. ♀ und ♂ 0·82—0·89 mm.

Nordeuropa; Ungarn; Franz-Josephland.

2. **C. laevis** (Müll.[?]) Vávra 1776 *Cypris l.* (part.), O. F. Müller, Zool. Dan. Prodr., p. 198 | 1785 *C. l.* (part.), O. F. Müller, Entom., p. 52 t. 3 f. 7—9 | 1788 *Monoculus l.*, J. F. Gmelin, Syst. Nat., *v.* 1 p. 3002 | ?1793 *M. laevigatus*, J. C. Fabricius, Ent. syst., *v.* 2 p. 495 | 1820 *M. ovum* (part.), Jurine, Hist. Monocles, p. 179 t. 19 f. 18, 19 | 1825 *Cypris o.* (part.), Desmarest, Consid. gén. Crust., p. 386 | ?1835 *C. minuta*, W. Baird in: Hist. Berwick. Club, *v.* 1 p. 99 t. 3 f. 9 | ?1837 *C. brunnea* + *?C. lepidula*, C. L. Koch, C. M. A., fasc. 10 nr. 5, 6 | ?1838 *C. fuscata* + *?C. serena*, C. L. Koch, C. M. A., fasc. 21 nr. 21, 22 | ?1844 *C. laevis*, C. L. Koch, C. M. A., fasc. 36 nr. 18 | ?1844 *C. vulgaris*, Zaddach, Syn. Crust. Pruss., p. 35 | 1851 *C. scutigera* (part.) + *C. pantherina* (part.), S. Fischer in: Mém. prés. Ac. St.-Pétersb., *v.* 7 p. 162 t. 11 f. 3—5; p. 163 t. 11 f. 6—8 | ?1854 *Cypria joanna*, Zenker in: Arch. Naturg., *v.* 20 I p. 78 t. 2 f. D 7 | 1854 *C. ovum* (part.), Zenker in: Arch. Naturg., *v.* 20 I p. 79 t. 3 B | ?1870 *C. minuta*, F. Plateau in: Mém. cour. Ac. Belgique, *v.* 34 nr. 3 p. 62 | ?1889 *C. laevis*, G. S. Brady & A. M. Norman in: Tr. R. Dublin Soc., ser. 2 *v.* 4 p. 69 (Synonymie) | 1889 *C. serena* (part.?), G. S. Brady & A. M. Norman in: Tr. R. Dublin Soc., ser. 2 *v.* 4 p. 70 (Synonymie) | 1891 *Cyclocypris laevis*, Vávra in: Arch. Landesdf. Böhmen, *v.* 8 nr. 3 p. 68 | ?1893 *C. serena*, Kaufmann in: Mt. Ges. Bern, p. 72 (Synonymie) | 1900 *C. laevis*, G. W. Müller in: Zool., *v.* (Heft) 30 p. 41 t. 10 f. **14, 15, 16—22** | (non 1900 *C. l.*, Daday, Ostr. Hungar., p. 216).

Höhe der Schale etwa $^3/_4$ der Länge, am höchsten in der Mitte; der Dorsalrand bildet einen stumpfen Winkel mit rechts ziemlich deutlicher, links stark abgerundeter Spitze; beide Enden breit gerundet, das hintere wenig breiter; Ventralrand gerade oder konvex. Vom Rücken gesehen Breite $^3/_4$ der Länge; die linke Schale umfaßt vorn und hinten die rechte. 3. Thoraxbein und Furca wie bei C. dispersa; die Borste am Hinterrande der Furca sehr klein, scheinbar fehlend. — L. 0·48—0·51 mm.

Sehr gemein in Nord- und Mitteleuropa; Sibirien; Azoren; Nordamerika.

3. **C. ovum** (Jurine[?]) 1776 *Cypris laevis* (part.), O. F. Müller, Zool. Dan. Prodr., p. 198 | 1785 *C. l.* (part.), O. F. Müller, Entom., p. 52 t. 3 f. 7—9 | ?1793 *Monoculus laevigatus*, J. C. Fabricius, Ent. syst., *v.* 2 p. 495 | 1820 *M. ovum* (part.), Jurine, Hist. Monocles, p. 179 t. 19 f. 18, 19 | 1825 *Cypris o.* (part.), Desmarest, Consid. gén. Crust., p. 386 | ?1835 & 1845 *C. minuta*, W. Baird in: Hist. Berwick. Club. *v.* 1 p. 99 t. 3 f. 9; *v.* 2 p. 152 | ?1837 *C. brunnea* + *? C. lepidula*, C. L. Koch, C. M. A., fasc. 10 nr. 5, 6 | ?1838 *C. fuscata* + *? C. serena*, C. L. Koch, C. M. A., fasc. 21 nr. 21, 22 | ?1844 *C. laevis*, C. L. Koch, C. M. A., fasc. 36 nr. 18 | ?1844 *C. vulgaris*, Zaddach, Syn. Crust. Pruss., p. 35 | 1851 *C. scutigera* (part.) + *C. pantherina* (part.), S. Fischer in: Mém. prés. Ac. St.-Pétersb., *v.* 7 p. 162 t. 11 f. 3—5; p. 163 t. 11 f. 6—8 | ?1854 *Cypria joanna* + *C. ovum*, Zenker in: Arch. Naturg., *v.* 20 1 p. 78 t. 2 f. D 7; p. 79 t. 3 B | ?1870 *C. minuta*, Plateau in: Mém. cour. Ac. Belgique, *v.* 34 nr. 3 p. 62 | ?1889 *C. laevis*, G. S. Brady & A. M. Norman in: Tr. R. Dublin Soc., ser. 2 *v.* 4 p. 69 (Synonymie) | 1889 *C. serena* (part.?), G. S. Brady & A. M. Norman in: Tr. R. Dublin Soc., ser. 2 *v.* 4 p. 70 (Synonymie) | ?1893 *Cyclocypris s.*, Kaufmann in: Mt. Ges. Bern, p. 72 (Synonymie) | 1895 *C. pygmaea*, Croneberg in: Bull. Soc. Moscou, ser. 2 *v.* 8 p. 294 t. 7 f. 9 | 1900 *C. laevis*, Daday, Ostr. Hungar., p. 216 | 1900 *C. pygmaea*, G. W. Müller in: Zool., *v.* (Heft) 30 p. 42 t. 10 f. 1, 2, 3—13 | 1907 *C. laevis var. p.*, Ekman in: Naturw. Unters. Sarekgebirg., *v.* 4 p. 177.

Fig. 46.
Cyclocypris ovum, Terminale Glieder der 3. thoracalen Gliedmaße ($^{200}/_1$).

Schalenhöhe $^2/_3$ der Länge, am höchsten in der Mitte; der Dorsalrand bildet einen flachen Bogen, bisweilen mit Andeutung einer winkligen Knickung; Vorder- und Hinterende ähnlich gestaltet, breit gerundet; Ventralrand gerade; vom Rücken gesehen ist die Breite $^2/_3$ der Länge; die rechte Schale umfaßt die linke. 3. Thoraxbein (Fig. 46) wie bei C. dispersa (nr. 1). Furca annähernd gerade; die vordere Klaue länger als $^1/_2$ des Vorderrandes; beim ♀ am Hinterrande nahe der Basis dornartige Spitzen; übrigens wie bei C. dispersa. — L. 0·45—0·5 mm.

Nord-, Mittel- und Südeuropa.

4. **C. forbesi** R. Sharpe 1897 *C. f.*, R. Sharpe in: Bull. Illinois Lab., *v.* 4 p. 432 t. 41 f. 1—7.

Schale der von C. ovum (nr. 3) ähnlich(?); Ventralrand deutlich konvex. Vorletztes Glied des 3. Thoraxbeines ohne terminale Borste, dadurch von den anderen Arten der Gattung unterschieden. Furca deutlich gekrümmt; die Klauen an der Spitze stark gekrümmt. — L. 0·55 mm.

Nordamerika (Illinois).

C. pusilla O. Sars 1895 *C. p.*, G. O. Sars in: Skr. Vidensk. Christian., 1895 nr. 8 p. 36 t. 5 f. 5.

Südafrika.

4. Gen. **Cypria** Zenker

?1785 *Cypris* (part.), O. F. Müller, Entom., p. 48 | 1820 *Monoculus* (part.), Jurine, Hist. Monocles, p. 1 | 1835 *Cypris* (part.), W. Baird, Brit. Entom., p. 15 | 1854 *Cypria* (part.), Zenker in: Arch. Naturg., *v.* 20 1 p. 77 | 1889 *C.* (s. l.), G. S. Brady & A. M. Norman in: Tr. R. Dublin Soc., ser. 2 *v.* 4 p. 68 | 1891 *C.*, Vávra in: Arch. Landesdf. Böhmen, *v.* 8 nr. 3 p. 62 | 1900 *C.*, G. W. Müller in: Zool., *v.* (Heft) 30 p. 43.

Schale stark komprimiert; Schalenrand ungezähnelt. 2. Antenne mit wohlentwickelten Männchenborsten. Letztes Glied des Mandibulartasters gestreckt, wenigstens 3 mal so lang wie an der Basis breit. Letztes Glied des 3. Thoraxbeines kurz, kaum länger als breit; sonst wie bei Cyclocypris.

10 sichere, 5 unsichere Arten.

Übersicht der sicheren Arten:

1	Die ganze Schalenoberfläche mit feiner, aber deutlicher Längsstreifung	10. **C. exsculpta**
	Schale nicht gestreift oder mit undeutlicher, auf die ventrale Schalenhälfte beschränkter Streifung — **2.**	
2	Die linke Schale des ♀ überragt deutlich die rechte in der ganzen Peripherie des Schalenrandes, mit Ausnahme des Vorderrandes	8. **C. lenticularis**
	Die linke Schale überragt nicht oder nur in beschränktem Maße die rechte — **3.**	
3	Borste am Hinterrande der Furca fehlt	4. **C. inaequivalva**
	Borste am Hinterrande der Furca vorhanden — **4.**	
4	Die vordere Furcalborste mißt $^1/_2$ der vorderen Klaue	7. **C. atlantica**
	Die genannte Borste kleiner als $^1/_2$ der vorderen Klaue — **5.**	
5	Borste am Hinterrande der Furca gefiedert	9. **C. modesta**
	Borste am Hinterrande der Furca ungefiedert — **6.**	
6	Schale länger als 0·7 mm	3. **C. obesa**
	Schale kürzer als 0·7 mm — **7.**	
7	Borste am Hinterrande der Furca länger als $^1/_3$ des Hinterrandes — **9.**	
	Borste am Hinterrande der Furca kürzer als $^1/_3$ des Hinterrandes — **8.**	
8	Die Hinterrandborste steht im distalen Drittel des Hinterrandes	1. **C. ophthalmica**
	Die Hinterrandborste steht im mittleren Drittel des Hinterrandes	2. **C. pellucida**
9	Die Borste an der Grenze des (verschmolzenen) 3. und 4. Gliedes des 3. Thoraxbeines fehlt	5. **C. castanea**
	Die genannte Borste vorhanden	6. **C. javana**

1. **C. ophthalmica** (Jurine[?]) G. Brady & Norm. ?1820 *Monoculus ophthalmicus*, Jurine, Hist. Monocles, p. 178 t. 19 f. 16, 17 | 1825 *Cypris ophthalmica*, Desmarest, Consid. gén. Crust., p. 386 | 1835 *C. compressa*, W. Baird in: Hist. Berwick. Club, *v.* 1 p. 100 | 1837 *C. tenera*, C. L. Koch, C. M. A., fasc. 12 nr. 3 | 1838 *C. punctata*, C. L. Koch, C. M. A., fasc. 21 nr. 23 | 1851 *C. elegantula*, S. Fischer in: Mém. prés. Ac. St.-Pétersb., *v.* 7 p. 161 t. 10 f. 12—14 | 1854 *Cypria punctata* (part.), Zenker in: Arch. Naturg., *v.* 20 1 p. 77 t. 3 f. 1—6 | 1870 *C. compressa*, Plateau in: Mém. cour. Ac. Belgique, *v.* 34 nr. 3 p. 61 | ?1879 *C. neglecta*, Herrick in: Rep. geol. Surv. Minnesota, *v.* 7 App. B p. 112 f. 2 | 1889 *C. ophthalmica*, G. S. Brady & A. M. Norman in: Tr. R. Dublin Soc., ser. 2 *v.* 4 p. 69 t. 11 f. 5—9 | (non 1893 *C. o.*, Wierzejski in: Rozpr. Ak. Krakow, *v.* 24 p. 239 t. 7 f. 25—29) | ?1895 *C. o.*, Turner in: Rep. Surv. Minnesota, Zool. *v.* 2 p. 306 t. 75 f. 1—3, 7; t. 76 f. 1—3, 5 | 1900 *C. o.*, G. W. Müller in: Zool., *v.* (Heft) 30 p. 43 t. 11 f. **1**, **2**, 3—6.

Schale: Höhe etwa $^3/_4$ der Länge, am höchsten in der Mitte; Dorsalrand stark gewölbt, gegen Vorder- und Hinterrand nicht abgegrenzt; Hinterrand breit, Vorderrand schmaler gerundet, beide Enden mit breitem, hyalinem Saume; Ventralrand links schwach konvex, rechts schwach konkav. Vom Rücken gesehen ist die Breite $^4/_9$ der Länge; die linke Schale umfaßt vorn und hinten die rechte. Furcaläste kräftig; Vorderrand schwach gebogen; Hinterrand fast gerade; Endklauen kräftig, schwach gebogen, die vordere länger als die Hälfte des Vorderrandes; die vordere Borste etwa $^1/_5$ der vorderen Klaue; hintere Borste vorhanden, sie mißt etwa $^1/_6$ des Hinterrandes, steht im distalen Drittel des Hinterrandes. — L. ♀ 0·62—0·65, ♂ 0·6 mm.

Nord- und Mitteleuropa; Nordamerika; Sibirien; Nordafrika; Paraguay.

2. **C. pellucida** O. Sars 1901 *C. p.*, G. O. Sars in: Arch. Naturv. Kristian., *v.* 24 nr. 1 p. 37 t. 8 f. **7, 8** | 1905 *C. p.*, Daday in: Zool., *v.* (Heft) 44 p. 255 t. 16 f. 10—15.

Schale der von C. ophthalmica (nr. 1) sehr ähnlich, aber ganz durchsichtig; die Hinterrandborste der Furca steht im mittleren Drittel des Hinterrandes. — L. 0·6 mm.

Südbrasilien, Paraguay.

3. **C. obesa** R. Sharpe 1897 *C. o.*, R. Sharpe in: Bull. Illinois Lab., *v.* 4 p. 462 t. 48 f. 1—5.

Schale plump; Höhe $^3/_5$ der Länge; Breite $^3/_7$ der Länge. Furca der von C. ophthalmica (nr. 1) ähnlich. — L. 0·78 mm.

Nordamerika.

4. **C. inaequivalva** Turner 1893 *C. i.*, Turner in: Bull. Denison Univ., *v.* 81 p. 6 t. 1 f. **1—3**, 4—8 | 1895 *C. i.*, Turner in: Rep. Surv. Minnesota, Zool. *v.* 2 p. 307 t. 68 f. 1—8.

Schale der von C. ophthalmica (nr. 1) ähnlich, die linke Schale überragt die rechte vorn sehr beträchtlich. Furca stark gebogen, hintere Borste fehlt. — L. 0·46—0·52 mm.

Nordamerika.

5. **C. castanea** G. Brady 1904 *C. c.*, G. S. Brady in: P. zool. Soc. London, *v.* 2 p. 125 t. 7 f. 40—42; t. 8 f. 43.

Schale der von C. ophthalmica (nr. 1) ähnlich, etwas gestreckter, beide Enden annähernd gleich gerundet. Am 3. Thoraxbein fehlt die Borste an der Grenze des (verschmolzenen) 3. und 4. Gliedes. An der Furca mißt die vordere Borste $^1/_3$ der vorderen Klaue; die Borste des Hinterrandes annähernd die Hälfte des Hinterrandes. — L. 0·65 mm.

Natal.

6. **C. javana** G. W. Müll. 1906 *C. j.*, G. W. Müller in: Mt. Mus. Hamburg, *v.* 23 p. 141 f. **1, 2**, 3—5.

Linke Schale des ♀: Höhe etwa $^5/_8$ der Länge, am höchsten etwas hinter der Mitte. Dorsalrand flach gewölbt, gegen Vorder- und Hinterrand nicht abgegrenzt, beide Enden breit gerundet, das hintere breiter als das vordere; Ventralrand deutlich gewölbt; rechts der Dorsalrand stärker gewölbt, der Ventralrand gerade. Schale des ♂ der des ♀ ähnlich. Am 3. Thoraxbein ist die Borste an der Grenze des 3. und 4. (verschmolzenen) Gliedes

vorhanden. Borste am Hinterrande der Furca etwa so lang wie die Hälfte des Hinterrandes. — L. ♀ 0·54—0·57, ♂ 0·48 mm.

Java.

7. **C. atlantica** T. Scott 1894 *C. a.*, T. Scott in: Tr. Linn. Soc. London, ser. 2 *v.* 6 p. 134 t. 14 f. **31—33**; t. 15 f. 16, 20, 21, 25.

Schale: Höhe etwa $^2/_3$ der Länge, am höchsten wenig vor der Mitte; Dorsalrand undeutlich stumpfwinklig gebogen, winklig gegen den Hinterrand abgegrenzt, beide Enden ähnlich gestaltet; Oberfläche fein punktiert, die Punkte in polygonalen Feldern angeordnet. Vom Rücken gesehen, ist die Breite $^3/_7$ der Länge; beide Enden sind stark zugespitzt. Vordere Furcalborste mißt etwa die Hälfte der vorderen Klaue. — L. 0·61 mm.

Vor der Mündung des Congo [von diesem hinausgeschwemmt?].

8. **C. lenticularis** G. W. Müll. 1898 *C. l.*, G. W. Müller in: Abh. Senckenb. Ges., *v.* 21 p. 260 t. 13 f. 6, 7, **8—11**, 13.

Linke Schale des ♀ fast kreisförmig, nur der Vorderrand überragt die Peripherie beträchtlich; die rechte Schale von gewöhnlicher Form, mit geradem Ventralrande, kleiner als die linke, welche die rechte überall außer am Vorderrande überragt; linke Schale des ♂ mehr oval, Ventral- und Dorsalrand weniger stark konvex, Unterschiede zwischen rechter und linker Schale ähnlich wie beim ♀. Oberfläche fein punktiert, zwischen den Punkten bleiben Linien frei, die sich am Ventralrande als flache Leisten erheben. Hinterrandborste der Furca fehlend oder sehr klein. — L. ♀ 0·46—0·47, ♂ 0·40—0·41 mm.

Madagaskar.

9. **C. modesta** (Herrick) 1887 *Cypris m.*, Herrick in: Mem. Denison Ass., *v.* 1 nr. 1 p. 28 t. 4 f. 5 | 1895 *Cyclocypris m.*, Turner in: Rep. Surv. Minnesota, Zool. *v.* 2 p. 311 t. 72 f. 5.

Schale des ♀: Höhe größer als $^1/_2$ der Länge, am höchsten etwa in der Mitte; Dorsalrand stark gewölbt, gegen Vorder- und Hinterrand nicht abgegrenzt; Vorderende mäßig breit, Hinterende schmaler gerundet; Ventralrand flach eingebuchtet. Schale des ♂ der des ♀ ähnlich, etwas gestreckter, beide Enden ähnlich gestaltet. Furca schlank, gerade, hintere Borste fast so lang wie die hintere Klaue, deutlich gefiedert. Penis terminal quer abgestutzt. — L.?

Alabama?

10. **C. exsculpta** (S. Fisch.) 1853 *Cypris elegantula* (non S. Fischer 1851), Lilljeborg, Clad. Ostr. Cop., p. 206 | 1854 *Cypria punctata* (part.), Zenker in: Arch. Naturg., *v.* 20 I p. 77 t. 3 f. A 1—6 | 1855 *Cypris exsculpta*, S. Fischer in: Abh. Bayer. Ak., *v.* 7 p. 652 t. 19 f. 36—38 | 1864 *C. striolata*, G. S. Brady in: Ann. nat. Hist., ser. 3 *v.* 13 p. 60 t. 3 f. 12—17 | ? 1880 *C. granulosa*, *C. granulata*, D. Robertson in: P. nat. Hist. Soc. Glasgow, *v.* 4 App. 2 p. 3, 18 (descr. nulla) | 1891 *Cypria exsculpta*, G. O. Sars in: Forh. Selsk. Christian., 1890 nr. 1 p. 55 (Synonymie) | ? 1895 *C. e.*, Turner in: Rep. Surv. Minnesota, Zool. *v.* 2 p. 305 t. 70 f. 1—8; t. 72 f. 3 | 1900 *C. e.*, G. W. Müller in: Zool., *v.* (Heft) 30 p. 45 t. 9 f. 15—19, **20**, 21, 22; t. 11 f. 7.

Schalenform der von C. ophthalmica (nr. 1) ähnlich, von dieser und allen anderen Arten der Gattung unterschieden durch eine feine aber deutliche Längsstreifung der Oberfläche, welche sich über die ganze Schale erstreckt. Furca mit deutlich gebogenem Vorder- und Hinterrande. — L. ♀ 0·82, ♂ 0·77—0·8 mm. — Fig. 41, p. 107.

Nordeuropa; Nordamerika.

C. capensis O. Sars 1895 *C. c.*, G. O. Sars in: Skr. Vidensk. Christian., 1895 nr. 8 p. 28 t. 5 f. 1.

Südafrika.

C. lacustris O. Sars 1891 *C. l.*, G. O. Sars (Lilljeborg in MS.) in: Forh. Selsk. Christian., 1890 nr. 1 p. 54 | 1896 *C. l.*, G. S. Brady & A. M. Norman in: Tr. R. Dublin Soc., ser. 2 *v.* 5 p. 719 t. 68 f. 3, 4.

Schweden; Norwegen.

C. pusilla O. Sars 1896 *C. p.*, G. O. Sars in: Arch. Naturv. Kristian., *v.* 18 nr. 3 p. 48 t. 7 f. 1a, b.

Australien.

C. sp., Wrzski. 1893 *C. ophthalmica* (non Jurine 1820), Wierzejski in: Rozpr. Ak. Krakow, *v.* 24 p. 239 t. 7 f. 25—29.

Ausgezeichnet durch den Besitz einer sehr langen Borste von der Länge der Endklaue am letzten Gliede des 2. Thoraxbeines. — L. 0·63—0·7 mm.

Argentinien.

C. sp., (Apst.) 1907 *Cypris purpurascens* (non ? Baird 1859, G. S. Brady 1885, O. Sars 1903), Apstein in: Zool. Jahrb. Syst., *v.* 25 p. 226.

Ceylon.

5. Gen. **Physocypria** Vávra

1897 *Physocypria*, Vávra in: D.-O.-Afr., *v.* 4 p. 7.

Rand der rechten oder linken Schale in verschiedenem Umfange gezähnelt, sonst wie Cypria.

7 sichere Arten.

Übersicht der Arten:

1	Die Borste am Hinterrande der Furca länger als $^1/_4$ des Hinterrandes — 2.	
	Borste am Hinterrande der Furca kürzer als $^1/_4$ des Hinterrandes — 4.	
2	Dorsalrand der Schale beiderseits ähnlich, mäßig stark gewölbt — 3.	
	Dorsalrand rechts viel stärker gewölbt als links	6. **P. bullata**
3	Hinterer Furcalrand gerade	1. **P. armata**
	Hinterer Furcalrand gebogen	5. **P. crenulata**
4	Dorsalrand rechts und links ähnlich gestaltet — 5.	
	Der linke Dorsalrand viel stärker gewölbt als der rechte .	7. **P. pustulosa**
5	Die hintere Furcalklaue länger als $^2/_3$ der vorderen . . .	4. **P. denticulata**
	Die hintere Furcalklaue kürzer als $^2/_3$ der vorderen — 6.	
6	Die hintere Furcalborste steht auf halber Länge der Furca	2. **P. dentifera**
	Die hintere Furcalborste steht in der distalen Hälfte der Furca	3. **P. kraepelini**

1. **P. armata** (G. W. Müll.) 1898 *Cypria a.*, G. W. Müller in: Abh. Senckenb. Ges., *v.* 21 p. 261 t. 13 f. 1—5, 12.

Schale gestreckt, Höhe etwa $^3/_5$ der Länge, am höchsten wenig hinter der Mitte; Dorsalrand flach gewölbt, gegen Vorder- und Hinterrand nicht abgegrenzt; beide Enden ähnlich gestaltet; Ventralrand annähernd gerade;

rechter Schalenrand vorn und in der hinteren Hälfte des Ventralrandes gezähnelt. Vom Rücken gesehen schmal, Breite kleiner als die Hälfte der Länge. Hinterrand der Furca gerade; hintere Furcalborste länger als die vordere Klaue. — L. ♀ 0·67—0·71 mm, ♂ 0·6—0·62 mm.

Madagaskar, Natal.

2. **P. dentifera** (R. Sharpe) 1897 *Cypria d.*, R. Sharpe in: Bull. Illinois Lab., *v.* 4 p. 463 t. 47 f. 6—11.

Schalenform ähnlich wie bei P. armata (nr. 1); die Zähnelung am Schalenrande findet sich links und beschränkt sich auf den Vorderrand. Hintere Furcalborste etwa gleich $^1/_6$ des Hinterrandes, sie steht auf halber Länge der Furca.

Cincinnati, Ohio (Nordamerika).

3. **P. kraepelini** G. W. Müll. 1903 *P. k.*, G. W. Müller in: Mt. Mus. Hamburg., *v.* 19 p. 165 f. 1—7.

Schale der von P. armata (nr. 1) ähnlich, das hintere Ende deutlich breiter gerundet als das vordere; Zähnelung des Schalenrandes links am Vorder- und Hinterrande vorhanden. Hintere Furcalborste klein, steht in der distalen Hälfte der Furca. — L. ♀ 0·6—0·65 mm, ♂ 0·56—0·6 mm.

Elbe bei Hamburg.

4. **P. denticulata** (Daday) 1905 *Cypria d.*, Daday in: Zool., *v.* (Heft) 44 p. 254 t. 16 f. 5, **6—8**, 9.

Schale der von P. armata (nr. 1) ähnlich, die Zähnelung der rechten Schale erstreckt sich ununterbrochen von der Augengegend bis zum Hinterrande. Vom Rücken gesehen ist die Breite deutlich größer als $^1/_2$ der Länge. Hintere Furcalborste kurz, mißt etwa $^1/_6$ des Hinterrandes und steht in der distalen Hälfte der Furca; hintere Klaue annähernd so lang wie die vordere (etwa $^4/_5$). — L. 0·6—0·63 mm.

Paraguay.

5. **P. crenulata** (O. Sars) 1903 *Cypria c.*, G. O. Sars in: Arch. Naturv. Kristian., *v.* 25 nr. 8 p. 32 t. 4 f. 2, 2a, b.

Schale der von P. armata (nr. 1) ähnlich, hinten deutlich breiter gerundet als vorn; die Zähnelung der rechten Schale beschränkt sich auf den Vorderrand. Furcaläste deutlich gebogen, die Borste des Hinterrandes mißt über $^1/_3$ des Hinterrandes, steht in der distalen Hälfte des Hinterrandes. — L. ♀ 0·57 mm; ♂ unbekannt.

Sumatra.

6. **P. bullata** Vávra 1897 *P. b.*, Vávra in: D.-O.-Afr., *c.* 4 p. 7.

Rechte Schale kurz und hoch, Höhe über $^2/_3$ der Länge, am höchsten vor der Mitte; Dorsalrand stark gewölbt, gegen den breit gerundeten Vorder- und Hinterrand nicht abgegrenzt; Ventralrand fast gerade; Schalenrand vorn und hinten gezähnelt. Linke Schale viel niedriger; Dorsalrand flach gewölbt, Rand ungezähnelt. Furca mit deutlich gebogenem Vorder- und Hinterrande; die hintere Borste annähernd halb so lang wie der Hinterrand, in dessen distaler Hälfte sie steht. — L. 0·74 mm.

Ostafrika.

7. **P. pustulosa** (R. Sharpe) 1897 *Cypria p.*, R. Sharpe in: Bull. Illinois Lab., *v.* 4 p. 461 t. 48 f. 6—10.

Ähnlich wie P. bullata (nr. 6); doch ist der Dorsalrand links stärker gewölbt, die linke Schale höher als die rechte, der rechte Schalenrand gezähnelt. Hintere Furcalborste viel kürzer als die Hälfte der vorderen Klaue. — L. 0·51 mm.

Nordamerika (Illinois).

6. Gen. **Candona** W. Baird

1776 *Cypris* (part.), O. F. Müller, Zool. Dan. Prodr., p. 198 | 1788 *Monoculus* (part.), J. F. Gmelin, Syst. Nat., *v.* 1 p. 3002 | 1845 *Candona* (part.), W. Baird in: Hist. Berwick. Club, *v.* 2 p. 152 | 1850 *C.* (part.), W. Baird, Brit. Entom., p. 159 | 1868 *C.*, G. S. Brady in: Tr. Linn. Soc. London, *v.* 26 p. 381 | 1891 *C.* + *Typhlocypris*, Vávra in: Arch. Landesdf. Böhmen, *v.* 8 nr. 3 p. 39, 51 | 1900 *C.* + *Pseudocandona*, Kaufmann in: Rev. Suisse Zool., *v.* 8 p. 364, 375 | 1900 *C.* + *Eucandona*, Daday, Ostr. Hungar., p. 266, 242.

Schale weiß, mehr oder weniger perlmutterartig glänzend, meist glatt und durchsichtig. 2. Antenne ohne jeden Rest von Schwimmborsten; Männchenborsten meist vorhanden. Die 2 letzten Glieder des Mandibulartasters kurz, gedrungen. Atemplatte des 1. Thoraxbeines rudimentär, höchstens 3 kleine Strahlen; beim ♂ sind die beiden Glieder des Greiforganes miteinander verschmolzen, an der Grenze derselben finden sich 2 Borsten. Am 3. Thoraxbein ist das 2. und 3. Glied des 3- oder 4-gliedrigen Endopodit verschmolzen oder frei. Das 2. Glied ohne distale Borste, also wenn der Endopodit 4-gliedrig, das 2. Glied ohne distale, wenn er 3-gliedrig, ohne mittlere Borste. Terminales Glied kurz. Furca mit Borste am Hinterrande. Ductus ejaculatorius ohne Erweiterung am Eingange und Ausgange. Penis mit 3 meist terminalen Ästen, einem lateralen, einem medialen und einem mittleren.

42 sichere, 19 unsichere Arten.

Übersicht über die Sektionen von Candona[1]):

A. Sectio: **candida**

Schale dünn behaart. Das vorletzte Glied des Mandibulartasters trägt an seiner medialen Seite eine gefiederte Borste. Furcaläste beim ♀ stark gebogen, beim ♂ viel schwächer gebogen, fast gerade. Genitalhöcker des ♀ an ihrer hinteren Ecke meist abgerundet, bisweilen in eine deutliche Spitze ausgezogen. Umfaßt die Arten 1—8.

B. Sectio: **fabaeformis**

Schale dünn behaart, meist stark komprimiert, Breite beträgt meist nur $^1/_3$ der Länge. Borste an der medialen Seite des vorletzten Gliedes des Mandibulartasters unbehaart. Genitalhöcker des ♀ an ihrer hinteren, ventralen Ecke zipfelartig verlängert, so daß sie meist die senkrecht ventralwärts gerichteten Furcaläste umfassen (Fig. 48, p. 137). Umfaßt die Arten 9—19.

C. Sectio: **pubescens**

Schale reich behaart; häufig mit polygonaler, mehr oder weniger komplizierter Zeichnung (oberflächliche Kanäle der Schale), die meist erst bei Behandlung mit Glyzerin, Lack usw. erscheint und häufig wieder verschwindet. Distale Borste an der medialen Seite des 3. Tastergliedes der Mandibel ungefiedert. Genitalhöcker des ♀ flach, hinten nicht in eine Spitze ausgezogen. Umfaßt die Arten 20—30.

— Zugehörigkeit zu einer Gruppe fraglich bei den Arten 31—42.

---

[1]) Beim derzeitigen Stande unserer Kenntnis dieser Gattung scheint es unmöglich, einen Schlüssel zum Bestimmen aller Arten zu geben.

1. **C. candida** (Müll.[?]) Vávra ?1776 *Cypris c.* (part.), O. F. Müller, Zool. Dan. Prodr., p. 199 | 1785 *C. c.* (part.), O. F. Müller, Entom., p. 62 t. 6 f. 7—9 | 1788 *Monoculus candidus* (part.), J. F. Gmelin, Syst. Nat., *v.* 1 p. 3002 | ?1835 *Cypris lucens,* W. Baird in: Hist. Berwick. Club, *v.* 1 p. 100 t. 3 f. 15 | ?1837 *C. pellucida,* C. L. Koch, C. M. A., fasc. 11 nr. 5 | 1845 *Candona candida* (part.), W. Baird in: Hist. Berwick. Club, *v.* 2 p. 153 | ?1850 *C. lucens,* W. Baird, Brit. Entom., p. 160 t. 19 f. 1 | (non 1853 *C. candida,* Lilljeborg, Clad. Ostr. Cop., p. 127 t. 11 f. 19, 20; t. 25 f. 13—15) | 1868 *C. c.* (part.), G. S. Brady in: Tr. Linn. Soc. London, *v.* 26 p. 383 t. 25 f. 1—9; t. 36 f. 13; t. 37 f. 1 | ?1868 *Cytheridea zetlandica,* G. S. Brady in: Tr. Linn. Soc. London, *v.* 26 p. 428 t. 28 f. 42—46 | 1889 *Candona candida* (part.), G. S. Brady & A. M. Norman in: Tr. R. Dublin Soc., ser. 2 *v.* 4 p. 98 t. 10 f. 1, 2, 14—23 | 1891 *C. c.,* Vávra in: Arch. Landesdf. Böhmen, *v.* 8 nr. 3 p. 48 f. 14, **1—4**, 5—10 | ?1893 *C. granulata,* Daday in: Math. term. Értes., *v.* 12 p. 41 t. 2 f. 3—7 | ?1895 *C. candida.* Croneberg in: Bull. Soc. Moscou, ser. 2 *v.* 8 p. 288 t. 7 f. 1 | ?1900 *C. c.,* Daday, Ostr. Hungar., p. 268 | 1900 *C. c.,* G. W. Müller in: Zool., *v.* (Heft) 30 p. 15 t. 2 f. **1—3**, 7—12.

Linke Schale des ♀ ziemlich kurz, Höhe etwa $^5/_9$ der Länge, am höchsten zwischen $^1/_2$ und $^2/_3$ der Schalenlänge; Dorsalrand flach gewölbt, gegen Vorder- und Hinterrand nicht abgegrenzt; Vorderende ziemlich schmal gerundet; Hinterrand ziemlich steil abfallend, bildet mit dem Ventralrande eine Ecke mit gerundeter Spitze, die etwa auf $^1/_6$ der Höhe liegt; Ventralrand deutlich eingebuchtet, im letzten Viertel zur hinteren Spitze aufsteigend. Die rechte Schale niedriger. Schale des ♂ mit breitem gerundetem Hinterende. Vom Rücken gesehen Breite annähernd die Hälfte der Länge, am breitesten in der Mitte, die Seiten bilden flache Bogen, die sich an beiden Enden unter spitzem Winkel treffen. Medialer Ast des Penis mit dornartigem Fortsatze, der sich über den mittleren Ast legt. Meist fehlen ♂. — L. ♀ 1·05—1·2, ♂ 1·2 mm.

Nord- und Mitteleuropa; Spitzbergen; Zentralasien; Nordamerika.

2. **C. devexa** Kaufmann 1900 *C. d.,* Kaufmann in: Zool. Anz., *v.* 23 p. 108 | 1900 *C. d.,* Kaufmann in: Rev. Suisse Zool., *v.* 8 p. 383 t. 27 f. **14—15**; t. 30 f. 1—5; t. 31 f. 22.

Schale der von C. candida (nr. 1) ähnlich, das hintere Ende stärker zugespitzt, der Ventralrand fast gerade, kaum zur Spitze aufsteigend. Medialer Ast des Penis einfach gerundet, ohne Fortsatz. — L. ♀ & ♂ 1·15 mm.

Schweiz.

3. **C. weltneri** W. Hartwig

Diese Art zerfällt in 2 Unterarten:

3a. **C. weltneri weltneri** W. Hartwig ?1870 *C. candida var. tumida,* G. S. Brady & D. Robertson in: Ann. nat. Hist., ser. 4 *v.* 6 p. 16 t. 9 f. 13—15 | 1899 *C. weltneri,* W. Hartwig in: SB. Ges. Fr. Berlin, p. 50 | 1900 *Eucandona fabaeformis* (part.?), Daday, Ostr. Hungar., p. 252 | 1900 *Candona weltneri,* G. W. Müller in: Zool., *v.* (Heft) 30 p. 16 t. 3 f. **3, 4**, 13—19.

Schale des ♀: Höhe etwa $^5/_9$ der Länge, am höchsten hinter der Mitte; Dorsalrand flach gewölbt; Vorderende schmal, Hinterende breit gerundet; Ventralrand gerade; beim ♀ der Ventralrand deutlich eingebuchtet, im hinteren Viertel deutlich aufsteigend. Vom Rücken gesehen das Hinterende breiter als das Vorderende. Lateraler Ast des Penis in eine Spitze ausgezogen, medialer mit Spitze, die sich über den mittleren hinweglegt. — L. ♀ 1·0—1·25, ♂ 1·25 mm.

Norddeutschland; Nordeuropa?; Ungarn?

3b. **C. weltneri obtusa** G. W. Müll. 1901 *C. w. var. o.*, G. W. Müller in: Zool., *v.* (Heft) 30 p. 16 t. 3 f. 5.

Von C. weltneri weltneri unterschieden durch den sehr steil im flachen Bogen abfallenden Hinterrand und den eingebuchteten Ventralrand beim ♀.

Norddeutschland.

4. **C. stummeri** (Daday) 1904 *Eucandona s.*, Daday in: Zool. Jahrb. Syst., *v.* 19 p. 515 t. 29 f. **98—101**, 102—111.

Schale des ♀: Höhe etwas größer als $^1/_2$ der Länge, am höchsten etwa auf halber Länge, Dorsalrand flach gewölbt, gegen Vorder- und Hinterrand nicht abgegrenzt, Hinterende breit gerundet; Vorderrand fast gerade und senkrecht abfallend, bildet mit dem Ventralrande einen Winkel mit stark abgerundeter Ecke; Ventralrand deutlich eingebuchtet. Schale des ♂: Höhe etwa $^1/_2$ der Länge, am höchsten deutlich in der hinteren Körperhälfte, Dorsalrand gewölbt, beide Enden gerundet, das hintere deutlich breiter als das vordere; Ventralrand stark eingebuchtet. Penis dem von C. weltneri (nr. 3) ähnlich, der mediale Ast ohne Spitze; Genitalhöcker des ♀ umfangreich, an beiden Enden gerundet, der Ventralrand in seiner vorderen Hälfte eingebuchtet. — L. ♀ 0·85, ♂ 0·9—0·93 mm.

Turkestan.

5. **C. neglecta** O. Sars ?1853 *C. candida* (non O. F. Müller 1785), Lilljeborg, Clad. Ostr. Cop., p. 127 t. 11 f. 19, 20; t. 25 f. 13—15 | 1887 *C. neglecta*, G. O. Sars in: Arch. Naturv. Kristian., *v.* 12 p. 279 t. 15 f. **5—7**; t. 19 | 1889 *C. candida var.*, G. S. Brady & A. M. Norman in: Tr. R. Dublin Soc., ser. 2 *v.* 4 p. 98 Figurenerklärung zu t. 10 f. 18—21 | 1891 *C. fabaeformis* (part.), Vávra in: Arch. Landesdf. Böhmen, *v.* 8 nr. 3 p. 45 f. 12 | 1900 *C. neglecta*, G. W. Müller in: Zool., *v.* (Heft) 30 p. 17 t. 2 f. **4. 5**, 6, 13—18 | 1903 *Eucandona n.*, Daday in: Zool. Jahrb. Syst., *v.* 19 p. 83 (Synonymie).

Linke Schale des ♀ mäßig gestreckt, Höhe wenig größer als $^1/_2$ der Länge, am höchsten auf $^2/_3$ der Länge, der Dorsalrand bildet hier eine stumpfwinklige, gerundete Ecke, von der aus er nach vorn deutlich in fast gerader Linie bis zu einem Viertel der Schalenlänge, nach hinten in flachem Bogen stark abfällt; Ventralrand flach eingebuchtet oder gerade, bildet mit dem steil abfallenden Hinterrande eine stark abgerundete Ecke. Schale des ♂ variabel, stets höher als die des ♀ (etwa 1 : 1·65), die Ecke des Dorsalrandes mehr oder weniger vollkommen unterdrückt, der Ventralrand mehr oder weniger deutlich eingebuchtet, das hintere Ende stark abgerundet. Der laterale Ast des Penis fast rechteckig, der mediale Ast stumpf gerundet, mit kurzem, stumpf gerundetem Fortsatze an seinem lateralen Rande.

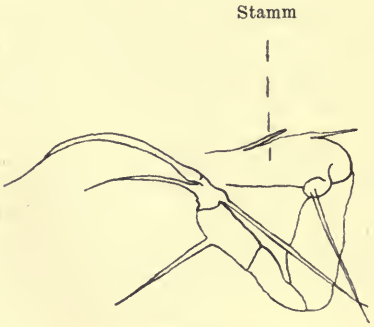

Fig. 47.
Candona angulata.
3. thoracale Gliedmaße ($^{115}/_1$).

Europa.

6. **C. angulata** G. W. Müll. 1868 *C. candida* (part.), G. S. Brady in: Tr. Linn. Soc. London, *v.* 26 p. 383 t. 25 f. 7—9 | 1900 *C. angulata*, G. W. Müller in: Zool., *v.* (Heft) 30 p. 18 t. 1 f. **1, 2**, 3—17.

Schale des ♀ der von C. neglecta (nr. 5) sehr ähnlich, von ihr unterschieden durch das hintere Schalenende, das rechts eine stumpf gerundete Ecke bildet, während die Ecke links deutlich, häufig zitzenartig abgesetzt ist. Linke Schale des ♂: Höhe $^5/_9$ der Länge, am höchsten auf $^2/_3$ der

Länge, der Dorsalrand bildet einen Bogen, der nach vorn sehr deutlich, nach hinten noch viel stärker abfällt; der Ventralrand ist tief eingebuchtet; auf $^3/_4$ seiner Länge bildet er einen stumpfen Winkel mit gerundeter Ecke, steigt von hier aus fast geradlinig auf und bildet mit dem steil in flachem Bogen abfallenden Hinterrande eine deutliche, bisweilen zitzenartig abgesetzte Ecke (rechts ist diese Ecke abgerundet). In ihrem hinteren Viertel zeigt die Schale in beiden Geschlechtern eine deutliche netzartige Zeichnung, entstanden durch strichförmige Anordnung kleiner Gruben. Vom Rücken gesehen bilden die Seiten stumpfe Winkel mit stark abgerundeter Spitze. — L. ♀ 1·35—1·6, ♂ 1·55—1·6 mm.

Nordeuropa.

7. **C. studeri** Kaufmann 1900 *C. s.*, Kaufmann in: Zool. Anz., *v.* 23 p. 109 | 1900 *C. s.*, Kaufmann in: Rev. Suisse Zool., *v.* 8 p. 385 t. 27 f. **16—19**, 20; t. 30 f. 6—11; t. 31 f. 23.

Schale der von C. angulata (nr. 6) ähnlich; hintere Ecke beiderseits in beiden Geschlechtern stark abgerundet; netzartige Zeichnung fehlt; in der Rückenansicht bilden die Seiten flache Bogen. — L. ♀ & ♂ 1·4 mm.

Schweiz.

8. **C. mülleri** W. Hartwig 1899 *C. m.*, W. Hartwig in: Zool. Anz., *v.* 22 p. 149 | 1900 *C. m.*, G. W. Müller in: Zool., *v.* (Heft) 30 p. 19 t. 3 f. 1, **2**, 6—12 | 1903 *Eucandona m.*, Daday in: Zool. Jahrb. Syst., *v.* 19 p. 83 (Synonymie).

Linke Schale des ♀: Höhe etwa $^{11}/_{20}$ der Länge, am höchsten auf $^3/_4$ der Länge; der Dorsalrand bildet einen deutlichen Winkel mit abgerundeter Spitze, dessen vorderer Schenkel fast geradlinig, stark nach vorn abfällt und auf $^1/_4$ der Schalenlänge einen mehr oder weniger deutlichen Winkel mit dem Vorderrande bildet; der hintere Schenkel ist anfangs ebenfalls fast gerade, fällt steil ab und geht ohne Grenze in das ziemlich breit gerundete Hinterende über; Ventralrand deutlich eingebuchtet; hintere Hälfte der Schale mit ähnlicher, polygonaler Felderung wie bei C. angulata (nr. 6). Schale des ♂ der des ♀ ähnlich, in der Mundgegend eine flache Warze, polygonale Felderung fehlt. Dorsalrand des rechten Greiforganes des ♂ stumpf gesägt. — L. ♀ & ♂ 1·0—1·1 mm.

Norddeutschland, Ungarn.

9. **C. fabaeformis** (S. Fisch. [?]) G. Brady ?1838 *Cypris compressa* (part.), C. L. Koch, C. M. A., fasc. 21 nr. 17 | 1851 *C. fabaeformis*, S. Fischer in: Mém. prés. Ac. St.-Pétersb., *v.* 7 p. 146 t. 3 f. 6—16 | 1853 *Candona f.*, Lilljeborg, Clad. Ostr. Cop., p. 207 | 1854 *Cypris acuminata* (part.), Zenker in: Arch. Naturg., *v.* 20 I p. 74 t. 2 f. D 5 | 1870 *Candona diaphana*, G. S. Brady & D. Robertson in: Ann. nat. Hist., ser. 4 *v.* 6 p. 18 t. 5 f. 1—3 | 1891 *C. fabaeformis* (part.), Vávra in: Arch. Landesdf. Böhmen, *v.* 8 nr. 3 p. 45 f. | (non 1895 *C. f.*, Turner in: Rep. Surv. Minnesota, Zool. *v.* 2 p. 299 t. 75 f. 10, 11; t. 76 f. 6, 8) | ?1897 *C. f.*, R. Sharpe in: Bull. Illinois Lab., *v.* 4 p. 454 t. 45 f. 1—3 | 1898 *C. vávrai* (part.), *C. bradyi*, W. Hartwig in: Zool. Anz., *v.* 21 p. 567 | (non 1900 *Eucandona fabaeformis*, Daday, Ostr. Hungar., p. 252) | 1900 *Candona f.*, G. W. Müller in: Zool., *v.* (Heft) 30 p. 29 t. 7 f. 1, 2, 3—7, 12, 13.

Schale des ♀ gestreckt, Höhe etwas weniger als $^1/_2$ der Länge, am höchsten auf $^2/_3$ der Länge,

Fig. 48.
Candona fabaeformis ♀.
Genitalhöcker und Furca ($^{113}/_1$).

MARINE BIOLOGICAL LABORATORY WOODS HOLE MASS. LIBRARY

der Dorsalrand bildet einen stumpfen Winkel mit gerundeter Spitze, dessen beide Schenkel annähernd geradlinig verlaufen (rechts hinten konkav); der hintere Schenkel fällt bis zu halber Schalenhöhe mäßig steil ab und geht dort mit gerundeter Ecke in den in flachem Bogen fast senkrecht abfallenden Hinterrand über; Ventralrand fast gerade. Schale des ♂: Hinterende breit gerundet, Ventralrand tief eingebuchtet, die Bucht nach vorn durch eine deutliche Ecke begrenzt, in dieser Bucht die Mundgegend links vorgewölbt. Schale in beiden Geschlechtern sehr fein längsgestreift. Am linken Greiforgane des ♂ ist der Dorsal- und Ventralrand des Fingers S-förmig geschwungen. — L. ♀ 1·0—1·15, ♂ 1·2—1·3 mm.

Nordeuropa; Frankreich; Nordamerika?

10. **C. holzkampfi** W. Hartwig 1900 *C. h.*, W. Hartwig in: SB. Ges. Fr. Berlin, p. 149 | 1903 *Eucandona csikii var. pannonica*, Daday in: Zool. Jahrb. Syst., *v.* 19 p. 84 t. 6 f. **34**, 35—50, **51—54**.

Schale in beiden Geschlechtern der von C. fabaeformis (nr. 9) sehr ähnlich; beim ♀ ist das Hinterende fast senkrecht und geradlinig abgestutzt, Hinter- und Ventralrand bilden annähernd einen rechten Winkel mit gerundeter Spitze (Vorwölbung der Mundgegend beim ♂ links und Skulptur?); Am linken Greiforgane des ♂ ist der Dorsal- und Ventralrand des Fingers unregelmäßig gezackt. — L. ♀ 0·98, ♂ 1·06 mm.

Norddeutschland.

11. **C. csikii** (Daday) 1901 *Eucandona c.*, Daday in: Zichy, Dritte Asiat. Forschr., *v.* 2 p. 430 t. 17 f. 7—14; t. 18 f. 1—4.

Schale des ♀ der von C. fabaeformis (nr. 9) ähnlich; Hinterende fast geradlinig abgestutzt, vom Rücken gesehen vorn schnabelförmig zugespitzt. Schale des ♂: Höhe $^3/_5$ der Länge, am höchsten im hinteren Drittel; der Dorsalrand bildet einen stumpfen Winkel mit wenig gerundeter Spitze, dessen vorderer Schenkel sehr deutlich fast geradlinig nach vorn abfällt; Vorderende ziemlich schmal, Hinterende etwas breiter gerundet; Ventralrand deutlich gebuchtet, im hinteren Viertel aufsteigend. Der Endopodit des 1. Thoraxbeines des ♀ 2-gliedrig; das 1. Glied mit gezacktem Dorsalrande. — L. ♀ 1·1, ♂ 1·0—1·15 mm.

Rußland (Kazan (Kasan?)).

12. **C. fragilis** W. Hartwig 1898 *C. f.*, W. Hartwig in: Zool. Anz., *v.* 21 p. 474 | (non 1899 *C. f.*, G. O. Sars in: Annuaire Mus. St.-Pétersb., *v.* 3 p. 352 t. 11 f. 12—22) | 1900 *C. f.*, G. W. Müller in: Zool., *v.* (Heft) 30 p. 31 t. 7 f. **8—11**, **14—17**, 19.

Schale des ♀ der des ♀ von C. fabaeformis (nr. 9) ähnlich; Hinterende nicht abgestutzt, sondern schmal abgerundet. Schale des ♂ etwas höher als die des ♀; Ventralrand flach gebuchtet, die Bucht nach hinten undeutlich durch eine Ecke abgegrenzt, nach vorn nicht; Mundgegend beiderseits nicht vorgewölbt. Längsstreifung wie bei C. fabaeformis. Hinterer Fortsatz des Genitalhöckers des ♀ durch eine tiefe Furche abgegrenzt, hinten quer abgestutzt. — L. ♀ 1·1—1·3, ♂ 1·2—1·4 mm.

Norddeutschland.

13. **C. laciniata** Ekman 1908 *C. l.*, Ekman in: Naturw. Unters. Sarekgebirg., *v.* 4 p. 186 f. 5.

Schale des ♀: Höhe gleich $^1/_2$ der Länge; am höchsten hinter der Mitte, Ventralrand gerade. Am 3. Thoraxbein ist das 3. Glied undeutlich

vom 4. getrennt, die Borste des 4. Gliedes länger als das 3. und 4. Glied, das terminale Glied länger als breit, die kürzeste Borste nicht hakenförmig. Furca des ♀ mit schwach gebogenem Vorderrande, die Hinterrandborste entspringt etwa auf $^3/_4$ der Höhe des Hinterrandes. Der Genitalhöcker schmal und hoch, an der vorderen Ecke etwa rechtwinklig, an der hinteren Ecke in eine kurze Spitze ausgezogen, der Ventralrand winklig eingedrückt. — L. ♀ 1 mm, ♂ unbekannt.

Nordschwedisches Hochgebirge.

14. **C. sibirica** (nom. nov.), G. W. Müll. 1899 *C. fragilis* (non W. Hartwig 1898), G. O. Sars in: Annuaire Mus. St.-Pétersb., *v.* 3 p. 352 t. 11 f. 12—22.

Schale des ♀: Höhe annähernd $^1/_2$ der Länge, am höchsten etwas hinter der Mitte; Dorsalrand flach gewölbt, in der Augengegend eingebuchtet; Vorderende breit; Hinterende schmal gerundet; Ventralrand flach eingebuchtet. Hinterer Fortsatz des Genitalhöckers des ♀ nicht durch eine Furche abgegrenzt, spitz, am Ventralrande buckelförmig vorgewölbt. — L. ♀ wenig mehr als 1 mm (♂ unbekannt).

Neusibirische Inseln.

15. **C. hyalina** G. Brady & D. Roberts. ?1854 *Cypris acuminata* (part.), Zenker in: Arch. Naturg., *v.* 20 1 p. 74 t. 2 f. D 3 | 1870 *Candona hyalina*, G. S. Brady & D. Robertson in: Ann. nat. Hist., ser. 4 *v.* 6 p. 18 t. 9 f. 5—8; t. 5 f. 4—11 | 1900 *C. h.*, G. W. Müller in: Zool., *v.* (Heft) 30 p. 33 t. 8 f. **14**, 15—20, **21**.

Linke Schale des ♀: Höhe etwa $^1/_2$ der Länge, am höchsten auf $^8/_{13}$ der Länge; der Dorsalrand bildet einen stumpfen Winkel mit gerundeter Spitze, dessen beide Schenkel ziemlich steil und annähernd geradlinig abfallen; beide Schenkel gehen ohne Andeutung einer Grenze in Vorder- und Hinterrand über; beide Enden schmal, ziemlich gleich breit gerundet; Ventralrand sehr flach gebuchtet. Linke Schale des ♂ wenig höher, der hintere Schenkel des Dorsalrandes schwach konkav, hintere Hälfte des Ventralrandes flach S-förmig. Der Fortsatz des Genitalhöckers des ♀ dreieckig, durch eine flache Furche abgegrenzt. Greiforgan des ♂ beiderseits ähnlich gestaltet, mit kurzem, am Ventralrande stark gebogenem, nach der Spitze wenig erweitertem Finger. — L. ♀ & ♂ 1·5 mm.

Nordeuropa.

16. **C. lapponica** Ekman 1908 *C. l.*, Ekman in: Naturw. Unters. Sarekgebirg., *v.* 4 p. 183 f. 4.

Schale des ♀: Höhe wenig größer als $^1/_2$ der Länge, am höchsten wenig hinter der Mitte, Dorsalrand stark gewölbt, gegen Vorder- und Hinterrand nicht abgegrenzt, beide Enden gerundet, das Vorderende deutlich breiter als das Hinterende, Ventralrand sehr flach eingebuchtet; sehr durchsichtig. 3. Thoraxbein deutlich fünfgliedrig, die basalwärts gerichtete Borste länger als die 3 letzten Glieder, die längere der beiden anderen Borsten länger als die basal gerichtete, die kürzere etwa halb so lang wie die längere. Genitalhöcker des ♀ ähnlich wie bei C. hyalina (nr. 15), der Ventralrand mit 2 flachen Einbuchtungen. — L. ♀ 0·74—0·84 mm, ♂ unbekannt.

Nordschwedisches Hochgebirge.

17. **C. balatonica** Daday 1894 *C. b.*, Daday in: Math. term. Értes., *v.* 12 p. 144 | 1897 *C. b.*, Daday in: Result. Erf. Balaton, *v.* 2 pars 1 p. 175 f. **122—124**, 126—130 | 1900 *C. b.*, G. W. Müller in: Zool., *v.* (Heft) 30 p. 34 t. 7 f. 18, 20, 21, 23, 24; t. 8 f. 1—**3** | 1900 *Eucandona b.*, Daday, Ostr. Hungar., p. 248 | 1900 *Candona reniformis*, W. Hartwig in: SB. Ges. Fr. Berlin, p. 139.

Schale des ♀ der von C. hyalina (nr. 15) ähnlich; der vordere Schenkel des Dorsalrandes bildet einen flachen Bogen; Hinterende viel schmaler gerundet als das vordere. Schale des ♂: Hinter- und Vorderende ziemlich gleich breit gerundet; Ventralrand stark eingebuchtet, die Bucht nach vorn rechts deutlich, links undeutlich durch eine Ecke in der Mundgegend, nach hinten beiderseits deutlich durch eine Ecke auf $^9/_{13}$ der Schalenlänge abgegrenzt. Fortsatz des Genitalköckers des ♀ schlank, schräg nach hinten und ventralwärts gerichtet, nach der Spitze hin schwach kolbig erweitert, abgerundet. — L. ♀ & ♂ 1·05 mm.

Ungarn; Norddeutschland; Turkestan.

18. **C. acuminata** (S. Fisch.) 1851 *Cypris a.*, S. Fischer in: Mém. prés. Ac. St.-Pétersb., *v.* 7 p. 148 t. 4 f. 12—16 | 1854 *C. a.* (part.), Zenker in: Arch. Naturg., *v.* 20 1 p. 74 t. 2 f. D | ?1889 *Candona a.*, G. S. Brady & A. M. Norman in: Tr. R. Dublin Soc., ser. 2 *v.* 4 p. 104 t. 9 f. 9, 10; t. 10 f. 5, 6 | (non 1895 *C. a.*, Turner in: Rep. Surv. Minnesota, Zool. *v.* 2 p. 299 t. 71 f. 34) | ?1897 *C. a.*, R. Sharpe in: Bull. Illinois Lab., *v.* 4 p. 449 t. 44 f. 5—7 | 1900 *C. a.*, G. W. Müller in: Zool., *v.* (Heft) 30 p. 32 t. 8 f. **4**, **5**, 6—12, **13**.

Linke Schale des ♀: Höhe etwa $^1/_2$ der Länge, am höchsten wenig hinter der Mitte; der Dorsalrand bildet einen stumpfen Winkel, dessen vorderer und hinterer Schenkel annähernd gerade ist; beide Schenkel fallen steil ab, der hintere steiler; Vorderende schmal gerundet; Hinterende zugespitzt, die abgerundete Spitze liegt auf $^1/_4$ der Schalenhöhe; der Ventralrand steigt zu ihr im letzten Drittel der Länge in sehr flachem Bogen auf (rechts findet sich an Stelle dieses Bogens eine schwach, aber immerhin deutlich S-förmig geschwungene Linie). Schale des ♂: Dorsalrand nach vorn und hinten weniger stark abfallend, der hintere Schenkel gewölbt, das Hinterende stärker abgerundet, fast so breit wie das vordere; Ventralrand deutlich eingebuchtet, die Bucht nach vorn deutlich begrenzt; der hintere aufsteigende Teil beiderseits gewölbt. Fortsatz des Genitalhöckers des ♀ schlank, ventral nahe der Basis erweitert, zugespitzt. — L. ♀ 1·4—1·6 mm, ♂ 1·4—1·5 mm.

Nordeuropa; Nordamerika?

19. **C. elongata** Herrick ?1879 *C. (?) e.*, Herrick in: Rep. geol. Surv. Minnesota, *v.* 7 App. B p. 113 (♂?) t. 20 f. 2 | 1889 *C. e.*, G. S. Brady & A. M. Norman in: Tr. R. Dublin Soc., ser. 2 *v.* 4 p. 100 t. 10 f. 24—27 | (non 1891 *C. e.*, Vávra in: Arch. Landesdf. Böhmen, *v.* 8 nr. 3 p. 111 f. 39) | ?1895 *C. fabaeformis*, Turner in: Rep. Surv. Minnesota, Zool. *v.* 2 p. 299 t. 75 f. 10, 11; t. 76 f. 6, 8 | 1900 *C. caudata*, Kaufmann in: Rev. Suisse Zool., *v.* 8 p. 365 t. 24 f. **16**, **17**, 18—20, t. 26 f. 17—23.

Schale des ♀: Höhe annähernd $^1/_2$ der Länge, am höchsten etwas hinter der Mitte; Dorsalrand gewölbt, gegen Vorder- und Hinterrand nicht abgegrenzt; Vorderende mäßig breit gerundet; der Hinterrand fällt in flachem Bogen ab bis zu einer gerundeten Spitze, die er mit dem Ventralrande bildet; Ventralrand deutlich gebuchtet, im hinteren Viertel in deutlich S-förmig geschwungener Linie schwach aufsteigend. Vom Rücken gesehen: Breite etwa $^3/_8$ der Länge, beide Enden ähnlich zugespitzt. Schale des ♂: Höhe etwa $^1/_2$ der Länge, am höchsten wenig hinter der Mitte; Dorsalrand undeutlich winklig, nach beiden Seiten stark abfallend, nach hinten stärker; Vorderende schmal, Hinterende noch schmaler gerundet; Ventralrand deutlich eingebuchtet, im hinteren Viertel in flachem Bogen aufsteigend; vom Rücken gesehen dem ♀ ähnlich. Fortsatz des Genitalhöckers des ♀ spitz, nicht deutlich abgegrenzt, der Dorsalrand konvex, der Ventralrand wellig gebogen.

Der Rücken des Tieres trägt dorsal vom Ursprunge der Furca eine Reihe von Zähnchen und eine Borste. — L. ♂ 1·4 mm, ♀ 1·14 mm.

Nordeuropa; Nordamerika?

20. **C. pubescens** (C. L. Koch [?]) Vávra 1837 *Cypris p.* (part.?), C. L. Koch, C. M. A., fasc. 11 nr. 6 | 1851 *C. compressa,* S. Fischer in: Mém. prés. Ac. St.-Pétersb., *v.* 7 p. 144 t. 2 f. 7—12; t. 3 f. 1—5 | ?1853 *Candona c.*, Lilljeborg, Clad. Ostr. Cop., p. 129 t. 26 f. 1—3 | ?1864 *C. albicans*, G. S. Brady in: Ann. nat. Hist., ser. 3 *v.* 13 p. 61 t. 4 f. 6—10 | ?1868 *C. compressa*, G. S. Brady in: Tr. Linn. Soc. London, *v.* 26 p. 382 t. 26 f. 22—27 | 1889 *C. pubescens* (part.?), G. S. Brady & A. M. Norman in: Tr. R. Dublin Soc., ser. 2 *v.* 4 p. 101 t. 12 f. 32—37 | (non 1891 *C. p.*, G. O. Sars in: Forh. Selsk. Christian., 1890 nr. 1 p. 64) | 1891 *C. p.*, Vávra in: Arch. Landesdf. Böhmen, *v.* 8 nr. 3 p. 43 f. 11, **1**, **2**, 3—9 | (non 1895 *C. p.*, Croneberg in: Bull. Soc. Moscou, ser. 2 *v.* 8 p. 289 t. 7 f. 2) | ?1895 *C. compressa,* Croneberg in: Bull. Soc. Moscou, ser. 2 *v.* 8 p. 291 t. 7 f. 4 | (non 1896 *C. pubescens*, G. S. Brady & A. M. Norman in: Tr. R. Dublin Soc., ser. 2 *v.* 5 p. 729 t. 63 f. 24; t. 64 f. 20, 21; t. 68 f. 7—9) | (non 1899 *C. p.*, W. Hartwig in: SB. Ges. Fr. Berlin, p. 186) | 1900 *C. p.*, G. W. Müller in: Zool., *v.* (Heft) 30 p. 26 t. 4 f. **3**, 4, **6**, **16**, 18, 19, 21, 22 | (non 1900 *C. p.*, Kaufmann in: Rev. Suisse Zool., *v.* 8 p. 374 t. 27 f. 7—9; t. 28 f. 12—17; t. 31 f. 20 | ?1900 *Eucandona p.*, Daday, Ostr. Hungar., p. 261 | 1901 *Candona pratensis*, W. Hartwig in: SB. Ges. Fr. Berlin, p. 109.

Linke Schale des ♀: Höhe etwa $^5/_8$ der Länge, am höchsten auf $^2/_3$ der Länge; der Dorsalrand stumpfwinklig gebogen oder flach gewölbt, nach vorn deutlich abfallend; Vorderende schmal, Hinterende breit gerundet; Ventralrand annähernd gerade, nach hinten nicht aufsteigend. Schale des ♂ ähnlich. Vom Rücken gesehen, Breite $^1/_2$ der Länge; die linke Schale bildet einen nahe dem Vorderende wenig eingedrückten Bogen. Die rechte Schale bildet einen flacheren Bogen, der nahe dem Vorderende sehr deutlich, nahe dem Hinterende schwächer, aber auch deutlich eingedrückt ist. Beim ♀ ist die Borste an der vorderen Ecke des vorletzten Gliedes der 2. Antenne noch einmal so lang wie das letzte Glied. Der mittlere Ast des Penis breit, lateralwärts gewandt, schräg abgestutzt. — L. ♀ & ♂ 1·0—1·15 mm.

Nordeuropa; Mitteleuropa?; Sibirien.

21. **C. fallax** G. W. Müll. ?1851 *Cypris pellucida* (non *C. p.* C. L. Koch 1837), S. Fischer in: Mém. prés. Ac. St.-Pétersb., *v.* 7 p. 149 t. 5 f. 1—4 | 1900 *Candona fallax,* G. W. Müller in: Zool., *v.* (Heft) 30 p. 27, t. 4 f. **2**, **11**, **12**, 13—15, 17 | ?1901 *C. compressa,* W. Hartwig in: SB. Ges. Fr. Berlin, p. 104.

Schale der von C. pubescens (nr. 20) ähnlich; Höhe $^4/_7$ der Länge; Oberfläche gewöhnlich mit flachen, undeutlichen Gruben. Vom Rücken gesehen schmaler als C. pubescens, Breite $^4/_9$ der Länge; rechte Schale hinten nicht eingedrückt. Borste an der vorderen Ecke des vorletzten Gliedes der 2. Antenne des ♀ halb oder so lang wie das letzte Glied. Mittlerer Ast des Penis zugespitzt. — L. ♀ 0·93—1·04, ♂ 1·0 mm.

Nordeuropa.

22. **C. sucki** W. Hartwig 1901 *C. s.*, W. Hartwig in: SB. Ges. Fr. Berlin, p. 8.

Schale der von C. pubescens (nr. 20) ähnlich. Medialer Ast des Penis an seinem Ursprunge gewellt; lateraler Ast am Ursprunge stark eingeschnürt. — L. ♀ 0·88, ♂ 0·9 mm.

Norddeutschland.

23. **C. parallela** G. W. Müll. 1900 *C. p.*, G. W. Müller in: Zool., *v.* (Heft) 30 p. 25 t. 5 f. **5**, **6**, 18, 19, 23—25.

Linke Schale des ♀: Höhe etwa $^4/_7$ der Länge, am höchsten auf $^5/_7$ der Länge; der Dorsalrand verläuft annähernd geradlinig und sehr wenig

geneigt bis zu $^1/_3$ der Schalenlänge, wo er sich mehr oder weniger deutlich winklig gegen den Vorderrand absetzt; Hinterende sehr breit, Vorderende etwas schmaler gerundet. Vom Rücken gesehen Breite $^3/_7$ der Länge. Rechte Schale vorn mehr oder weniger deutlich eingedrückt, beide Enden abgestumpft. Borste an der vorderen Ecke des vorletzten Gliedes der 2. Antenne des ♀ $1^1/_2$—2 mal so lang wie das letzte Glied. — L. ♀ 0·82—0·88 mm, ♂ unbekannt.

Norddeutschland, Südeuropa.

24. **C. insculpta** G. W. Müll. 1899 *C. pubescens* (non *Cypris p.* C. L. Koch 1837), W. Hartwig in: SB. Ges. Fr. Berlin, p. 186 | 1900 *C. insculpta*, G. W. Müller in: Zool., *v.* (Heft) 30 p. 28 t. 3 f. 15, 16, 21, 22 t. 4 f. 1, 7—10 | 1900 *Pseudocandona pubescens*, Kaufmann in: Rev. Suisse Zool., *v.* 8 p. 374 t. 27 f. **7—9**, t. 28 f. 12—17; t. 31 f. 20.

Schale im Profil der von C. pubescens (nr. 20) ähnlich, in der Mitte mit kleinen, ziemlich auffälligen Gruben bedeckt. Vom Rücken gesehen das hintere Ende abgerundet, das vordere kurz abgestutzt. Der 2. Antenne des ♂ fehlen die Männchenborsten. Mittlerer Ast des Penis annähernd kreisförmig. — L. ♀ 0·84—0·94, ♂ 0·84 mm.

Norddeutschland.

25. **C. lobipes** W. Hartwig ?1893 *C. abbreviata*, G. S. Brady (MS.) in: Scourfield in: J. Quekett Club, ser. 2 *v.* 5 p. 174 | 1896 *C. pubescens* (non *Cypris p.* C. L. Koch 1837), G. S. Brady & A. M. Norman in: Tr. R. Dublin Soc., ser. 2 *v.* 5 p. 729 t. 63 f. 24; t. 64 f. 20, 21; t. 68 f. **7—9** | 1900 *C. lobipes*, W. Hartwig in: Zool. Anz., *v.* 23 *v.* 51 | 1900 *C. brevis*, G. W. Müller in: Zool., *v.* (Heft) 30 p. 20 t. 4 f. **5, 20**; t. 5 f. 26—30.

Linke Schale des ♀: Höhe annähernd $^4/_7$ der Länge, am höchsten auf $^5/_7$ der Länge; der Dorsalrand annähernd gerade, wenig nach vorn abfallend; mit dem Vorderrande bildet er über dem Auge eine gerundete Ecke; eine ähnliche Ecke auf $^5/_7$ der Länge; Vorder- und Hinterende ähnlich gestaltet, breit gerundet, Ventralrand gerade; vom Rücken gesehen Breite $^5/_8$ der Länge, die Seiten bilden Bogen, die nicht oder nur undeutlich eingedrückt sind, beide Enden stumpf. Der mediale Ast des Penis überragt den Stamm nur wenig, ist gerundet und wird ganz verdeckt von dem medialwärts verlängerten, mittleren Fortsatz. — L. 0·8 mm.

Nordeuropa.

26. **C. dadayi** (nom. nov.), G. W. Müll. 1897 *C. reticulata* (non *C. r.* Hejjas 1895 Értes. Orv.-Termes, *v.* 19 p. 35—68 (nach Record. Crust., p. 10)), Daday in: Result. Erf. Balaton, *v.* 2 pars 1 p. 184 f. **138, 139**, 140—147 | 1900 *Eucandona pubescens var. reticulata*, Daday, Ostr. Hungar., p. 265.

Schale der von C. lobipes (nr. 25) ähnlich. Penis mit schlankem, schwach hakig gebogenem, mittlerem Fortsatz, der den medialen deutlich überragt. — L. ♀ 0·6—0·65, ♂ 0·5—0·57 mm.

Ungarn.

27. **C. rara** G. W. Müll. 1900 *C. r.*, G. W. Müller in: Zool., *v.* (Heft) 30 p. 22 t. 5 f. 1; t. 6 f. 2, 3, 14—16 | 1901 *C. stagnalis*, W. Hartwig in: SB. Ges. Fr. Berlin, p. 96.

Linke Schale des ♀: Höhe annähernd $^3/_5$ der Länge, am höchsten auf $^3/_4$ der Länge; der Dorsalrand bildet hier einen stumpfen Winkel mit wenig abgerundeter Spitze; nach vorn fällt der Dorsalrand sehr deutlich in gerader Linie ab und bildet in der Augengegend mit dem Vorderrande eine mehr oder weniger deutliche Ecke; nach hinten fällt er etwas steiler ab;

Hinterende sehr breit gerundet; Ventralrand sehr deutlich gebuchtet. Schale des ♂ der des ♀ ähnlich. Vom Rücken gesehen schmal, Breite etwa $^2/_5$ der Länge; die Seiten bilden flache Bogen. Der laterale Ast des Penis überragt den Stamm als etwa rechtwinkliges Dreieck mit gewellten Seiten. — L. ♂ & ♀ 0·9 mm.

Norddeutschland.

28. **C. dentata** G. W. Müll. ?1890 *C. pubescens* (non *Cypris p.* C. L. Koch 1837), G. O. Sars in: Forh. Selsk. Christian., nr. 1 p. 64 | ?1899 *C. sarsi*, W. Hartwig in: SB. Ges. Fr. Berlin, p. 189 | 1899 *C. s.*, W. Hartwig in: Zool. Anz., *v.* 22 p. 543 | 1900 *C. dentata*, G. W. Müller in: Zool., *v.* (Heft) 30 p. 21 t. 6 f. 1, 8—13 | 1900 *C. pubescens*, Kaufmann in: Rev. Suisse Zool., *v.* 8 p. 374 t. 27 f. 7—9; t. 28 f. 12—17; t. 31 f. 20 ?1900 *Eucandona rostrata* (part.), Daday, Ostr. Hungar., p. 244.

Linke Schale des ♀: Höhe etwa $^4/_7$ der Länge, am höchsten auf $^7/_{10}$ der Länge, höchster Punkt wenig deutlich markiert; Dorsalrand wenig nach vorn abfallend, beide Enden ähnlich gestaltet, breit gerundet, Ventralrand flach gebuchtet. Vom Rücken gesehen Breite etwa $^2/_5$ der Länge, beide Enden zugespitzt, die rechte Schale oder beide nahe dem Vorderende etwas eingedrückt. Kurze Borste am letzten Gliede des Putzbeines nicht länger als das Glied, zurückgebogen, mit dem Gliede verschmolzen; das vorletzte Glied dieser Borste gegenüber gezähnelt. — L. ♀ 1·1—1·2, ♂ 1·2—1·3 mm. — Fig. 42, p. 107.

Nordeuropa.

29. **C. marchica** W. Hartwig ?1889 *C. rostrata* (part.), G. S. Brady & A. M. Norman in: Tr. R. Dublin Soc., ser. 2 *v.* 4 p. 101 t. 9 f. 11, 12; t. 12 f. 22—31 | 1899 *C. marchica*, W. Hartwig in: SB. Ges. Fr. Berlin, p. 183 | 1900 *C. rostrata*, G. W. Müller in: Zool., *v.* (Heft) 30 p. 23 t. 5 f. 2, 3, 7—14 | ?1900 *Eucandona r.* (part.), Daday, Ostr. Hungar., p. 244.

Linke Schale des ♀: Höhe etwa $^3/_5$ der Länge, am höchsten wenig hinter $^2/_3$ der Länge; der Dorsalrand bildet einen stumpfen Winkel mit deutlicher, nur wenig abgerundeter Spitze; er fällt nach vorn deutlich und fast geradlinig ab bis zur Augengegend, wo er sich undeutlich gegen den breit gerundeten Vorderrand abgrenzt; nach hinten fällt der Schalenrand viel steiler ab, bildet zunächst eine gerade Linie, dann einen fast senkrecht abfallenden, flachen Bogen, der ohne Andeutung einer Grenze in den deutlich gebuchteten Ventralrand übergeht. Schale des ♂ der des ♀ ähnlich. Vom Rücken gesehen stark komprimiert; Breite etwa $^2/_5$ der Länge; rechte Schale nahe dem Vorderende stark eingedrückt; die linke überragt an beiden Enden die rechte beträchtlich und umfaßt sie. Furca des ♂ mit unregelmäßig erweitertem, weichhäutigem (deshalb meist geschrumpftem), basalem und geradem distalem Abschnitt; hintere Klaue schlank, fast gerade, viel weniger stark gebogen als die vordere, nur $^1/_2$ so lang wie diese. — L. ♀ 0·95—1·08, ♂ 1·1 mm.

Nordeuropa; Schweiz.

30. **C. hartwigi** G. W. Müll.

Diese Art zerfällt in 2 Unterarten:

30a. **C. hartwigi hartwigi** G. W. Müll. 1900 *C. h.*, G. W. Müller in: Zool., *v.* (Heft) 30 p. 24 t. 5 f. 4, 15—17, 20—22.

Schale der von C. marchica (nr. 29) ähnlich; Dorsalrand deutlich winklig gegen den ziemlich schmal gerundeten Vorderrand abgegrenzt;

hinteres Ende schmaler gerundet; in der Ansicht vom Rücken Breite $^1/_2$ der Länge, die rechte Schale vorn nicht eingedrückt, vorn und hinten stumpf, die linke Schale überragt die rechte nur unbedeutend. An der Furca des ♂ ist die hintere Klaue sehr schlank, fast gerade, annähernd so lang wie die vordere. — L. ♀ 1·0, ♂ 1·1 mm.

Nordeuropa.

30b. **C. hartwigi carinata** W. Hartwig 1901 *C. h. c.*, W. Hartwig in: SB. Ges. Fr. Berlin, p. 101.

Von C. hartwigi hartwigi dadurch unterschieden, daß in der Ansicht vom Rücken das Vorderende stark zugespitzt ist und die linke Schale die rechte beträchtlich überragt. — L. ♀ 1·08, ♂ 1·16 mm.

Norddeutschland (Berlin).

31. **C. crogmaniana** Turner 1894 *C. c.*, Turner in: Bull. Denison Univ., *v.* 8 II p. 20 t. 8 f. 24—31, **32, 33** | 1895 *C. crogmani*, Turner in: Rep. Surv. Minnesota, Zool. *v.* 2 p. 300 t. 71 f. 24—33; t. 81 f. 4, 5.

Schale der des ♂ von C. hyalina (nr. 15) ähnlich; der hintere absteigende Ast des Dorsalrandes konvex. Von der genannten Art unterschieden durch die Gestalt des Greiforganes des ♂; dasselbe beiderseits sehr verschieden, links (?) mit schlankem, schwach gebogenem Finger, der annähernd in der Verlängerung des Stammes liegt, rechts mit dickem, deutlich herabgebogenem Finger. — L. ♀ 1·52 mm, ♂ ?

Nordamerika (Georgia).

32. **C. detecta** (Müll. [?]) Croneberg ? 1776 *Cypris d.*, O. F. Müller, Zool. Dan. Prodr., p. 199 | ? 1785 *C. d.*, O. F. Müller, Entom., p. 49 t. 3 f. 1—3 | ? 1788 *Monoculus detectus*, J. F. Gmelin, Syst. Nat., *v.* 1 p. 3001 | ? 1868 *Candona detecta*, G. S. Brady in: Tr. Linn. Soc. London, *v.* 26 p. 384 t. 24 f. 35—38; t. 37 f. 2 | 1868 *C. simplex*, D. Robertson in: P. nat. Hist. Soc. Glasgow, *v.* 1 p. 130 (nom. nud.) | ? 1870 *C. kingsleii* (part.), G. S. Brady & D. Robertson in: Ann. nat. Hist., ser. 4 *v.* 6 p. 17 t. 9 f. 11, 12 | 1891 *C. elongata* (non G. S. Brady & A. M. Norman 1889), Vávra in: Arch. Landesdf. Böhmen, *v.* 8 nr. 3 p. 111 | 1895 *C. detecta*, Croneberg in: Bull. Soc. Moscou, ser. 2 *v.* 8 p. 291 t. 7 f. 5 | ? 1897 *C. lactea*, Chapman in: Ann. nat. Hist., ser. 6 *v.* 19 p. 595 t. 15 f. 18, 19 | 1898 *C. protzi*, W. Hartwig in: Zool. Anz., *v.* 21 p. 476 | 1900 *C. p.*, G. W. Müller in: Zool., *v.* (Heft) 30 p. 35 t. 6 f. **4, 5**, 17—22.

Schale des ♀: Höhe etwa $^1/_2$ der Länge, am höchsten wenig hinter der Mitte; der Dorsalrand bildet einen Bogen, welcher ohne Grenze in das mäßig breit gerundete Vorder- und Hinterende übergeht; beide Enden sehr ähnlich gestaltet; Ventralrand flach gebuchtet; beide Schalen sehr ähnlich. Schale des ♂ der des ♀ ähnlich; Ventralrand in der Mundgegend stark ausgebuchtet. Behaarung fein, mäßig dicht. Vom Rücken gesehen schmal, Breite $^2/_5$ der Länge; die Seiten bilden flache Bogen, welche sich an beiden Enden unter spitzem Winkel treffen. Genitalhöcker des ♀ flach. — L. ♀ 1·05—1·2, ♂ 1·0—1·1 mm.

Nordeuropa.

33. **C. eremita** (Vejd.) 1880 *Cypris e.*, Vejdovský, Opuvodu fauny studničné, p. 42—46 | 1882 *C. (Typhlocypris) e.*, Vejdovský, Brunnenw. Prag, p. 64 t. 7 f. 1—6 | 1888 *Typhlocypris e.*, Šoštarić in: Rad Jugoslav. Ak., *v.* 92 p. 152 | 1891 *T. e.*, Vávra in: Arch. Landesdf. Böhmen, *v.* 8 nr. 3 p. 52 f. 15, **1, 2**, 3—6.

Schale des ♀: Höhe etwa $^5/_9$ der Länge, am höchsten in der Mitte; der Dorsalrand bildet hier einen Winkel mit deutlicher Ecke; der vordere

und hintere Schenkel dieses Winkels fallen sehr deutlich und annähernd gleich stark in flachem Bogen nach vorn und hinten ab; Vorder- und Hinterrand nicht abgegrenzt; Vorderende schmal gerundet, Hinterende noch schmaler. Vom Rücken gesehen Breite $^1/_2$ der Länge, vorn zugespitzt, hinten abgerundet. Auge fehlt. Am 3. Thoraxbein ist das 3. und 4. Glied verschmolzen; die Borste dieses Gliedes entspringt auf $^3/_4$ seiner Länge; die kurze Borste des letzten Gliedes kaum länger als das letzte Glied. — L. ♀ 0·9 mm, ♂ unbekannt.

Prag und Agram, in Brunnen.

34. **C. hungarica** (Daday) 1900 *Eucandona h.*, Daday, Ostr. Hungar., p. 255.

Schalenumrisse in beiden Geschlechtern ähnlich wie bei C. acuminata (nr. 18), doch das hintere Schalenende des ♀ beiderseits stärker abgerundet. Von dieser und den ähnlichen Arten unterschieden durch die Furca des ♂, bei der die hintere Klaue nur $^1/_2$ der vorderen mißt. — L. ♀ 0·93—1·3, ♂ 1—1·1 mm.

Ungarn.

35. **C. inaequivalvis** O. Sars 1898 *C. i.*, G. O. Sars in: Annuaire Mus. St.-Pétersb., *v.* 3 p. 351 t. 11 f. 10, 11.

Der Umriß der Schale hat viel Ähnlichkeit mit dem von C. hyalina ♀ (nr. 15), unterscheidet sich von dieser und allen ähnlichen Arten dadurch, daß im Profil die linke Schale am Rücken die rechte sehr beträchtlich überragt. Vom Rücken gesehen sehr schmal, Breite wenig mehr als $^1/_3$ der Länge; die linke Schale deutlich stärker konvex als die rechte. — L. 1·20 mm.

Sibirien (Werchojansk).

36. **C. oblonga** O. Sars 1898 *C. o.*, G. O. Sars in: Annuaire Mus. St.-Pétersb., *v.* 3 p. 353 t. 11 f. 23, 24.

Höhe etwa $^3/_7$ der Länge, am höchsten in der Mitte; der Dorsalrand in der Mitte stark gewölbt, nach vorn und hinten sehr deutlich und etwa gleich stark geradlinig abfallend; nach vorn geht er ohne Grenze in den schmal gerundeten Vorderrand über; hinten bildet er mit dem fast senkrecht und geradlinig abfallenden Hinterrande einen stumpfen Winkel mit stark abgerundeter Spitze; Ventralrand annähernd gerade, im hinteren Viertel wenig aufsteigend, bildet mit dem Hinterrande einen Winkel, wenig größer als ein rechter, dessen Spitze wenig abgerundet. Vom Rücken gesehen Breite weniger als $^1/_3$ der Länge. — L. 1·3 mm.

Sibirien (Werchojansk).

37. **C. ornata** Herrick 1879 *C. o.*, Herrick in: Rep. geol. Surv. Minnesota, *v.* 7 App. B p. 113 t. 20 f. 1.

Höhe der Schale etwa $^1/_2$ der Länge, am höchsten in der Mitte; der Dorsalrand bildet einen flachen Bogen, der nach vorn ohne Andeutung einer Grenze in den breit gerundeten Vorderrand übergeht; der Hinterrand bildet eine schwach konkave Linie, die steil abfällt; auf etwa $^1/_3$ der Höhe bildet dieselbe mit dem stark in flachem Bogen aufsteigenden Ventralrande eine deutliche, wenig gerundete Ecke; Ventralrand in der Mitte deutlich gebuchtet, im hinteren Viertel stark aufsteigend. — L. ?

Nordamerika (Minnesota).

38. **C. peircei** Turner 1895 *C. p.*, Turner in: Rep. Surv. Minnesota, Zool. *v.* 2 p. 301 t. 80.

Schale des ♀: Höhe etwa $^3/_7$ der Länge, am höchsten etwa auf $^2/_3$ der Länge; Dorsalrand stumpfwinklig; Hinterende schmaler als das vordere, beide gerundet; Ventralrand annähernd gerade. Beim ♂ der Dorsalrand gewölbt, das Hinterende etwas breiter als das vordere; Ventralrand gebuchtet; vom Rücken gesehen sehr schmal, Breite etwa $^1/_3$ der Länge. Dorsalrand des Stammes des Greiforganes beiderseits stark S-förmig gekrümmt. Außenast des Penis dünn gestielt, keulenartig erweitert. — L. 0·70—0·79 mm.

Nordamerika (Georgia).

39. **C. sigmoides** R. Sharpe 1897 *C. s.*, R. Sharpe in: Bull. Illinois Lab., *v.* 4 p. 455 t. 45 f. 4—11.

Höhe reichlich $^2/_3$ der Länge, am höchsten auf $^2/_3$ der Länge; Dorsalrand gewölbt, nach vorn stark abfallend; Vorderende schmal, Hinterende breit gewölbt; Ventralrand deutlich eingebuchtet. Am 3. Thoraxbein ist von den 3 terminalen Borsten die basalwärts gerichtete und die kürzeste gefiedert. Furca gerade, beide Klauen schwach aber deutlich S-förmig gekrümmt. — L. ♂ 1·25 mm, ♀?

Nordamerika (Illinois).

40. **C. simpsoni** R. Sharpe 1897 *C. s.*, R. Sharpe in: Bull. Illinois Lab., *v.* 4 p. 452 t. 46 f. 1—6.

Schale gestreckt, Höhe etwa $^2/_5$ der Länge, am höchsten in der Mitte; der Dorsalrand schwach gewölbt, gegen Vorder- und Hinterrand nicht abgegrenzt; beide Enden ähnlich gestaltet, abgerundet, Ventralrand schwach gebuchtet; die Oberfläche mit wenigen konischen Erhebungen. Vom Rücken gesehen schmal, Breite gleich der Höhe; beide Enden zugespitzt, das vordere deutlicher. Hintere Furcalklaue deutlich S-förmig gekrümmt, vordere einfach gebogen. — L. 0·73 mm.

Nordamerika (Illinois).

41. **C. thermalis** (Daday) 1900 *Eucandona rostrata var. t.*, Daday, Ostr. Hungar., p. 247.

Schalenumriß ähnlich wie bei C. fallax (nr. 21). Hintere Furcalklaue kurz; sie mißt nur etwa $^1/_3$ der Länge der vorderen und ist wellig gebogen. — L. 0·8 mm.

Ungarn.

42. **C. parva** Daday 1905 *C. p.*, Daday in: Zool., *v.* (Heft) 44 p. 258 t. 16 f. **27, 28, 29**; t. 17 f. **1, 2, 3**—7.

Schale des ♀: Höhe etwas größer als $^1/_2$ der Länge (angeblich 7 : 8—11), am höchsten zwischen $^1/_2$ und $^2/_3$ der Länge, Dorsalrand gewölbt, in der vorderen Hälfte stark, fast geradlinig abfallend; Vorderende schmal, Hinterende breit gerundet; Ventralrand fast gerade. Schale des ♂: Dorsalrand stark gewölbt, verläuft im gleichmäßigen Bogen bis zum Vorder- und Hinterende, das Hinterende nur wenig breiter gerundet als das Vorderende, Ventralrand deutlich eingebuchtet, sonst wie die des ♀. Am 3. Thoraxbein das 3. und 4. Glied verschmolzen, von den 3 Borsten des terminalen Gliedes sind zwei annähernd gleich lang und annähernd so lang wie die 3 letzten Glieder zusammen, die kürzere mißt etwa $^1/_3$ der längeren. — L. ♀ 0·8—1·1, ♂ 0·8—1·0 mm.

Südamerika, Paraguay.

C. ambigua T. Scott ?1891 *C. stagnalis*, G. O. Sars in: Forh. Selsk. Christian., 1890 nr. 1 p. 65 | 1891 *C. ambigua*, T. Scott in: Rep. Fish. Board Scotl., *v.* 9 p. 277 t. 6 f. **7** | ?1896 *C. stagnalis*, G. S. Brady & A. M. Norman in: Tr. R. Dublin Soc., ser. 2 *v.* 5 p. 729 t. 68 f. 14—17.

England; Schweden?

C. claudiopolitana (Daday) 1900 *Eucandona c.*, Daday, Ostr. Hungar., p. 258.

Ungarn.

C. compressa (C. L. Koch) 1838 *Cypris c.*, C. L. Koch, C. M. A., fasc. 21 nr. 17 | (non 1851 *C. c.*, S. Fischer in: Mém. prés. Ac. St.-Pétersb., *v.* 7 p. 144 t. 2 f. 7—12; t. 3 f. 1—5) | (non 1853 *Candona c.*, Lilljeborg, Clad. Ostr. Cop., p. 129 t. 26 f. 1—3) | (non 1868 *C. c.*, G. S. Brady in: Tr. Linn. Soc. London, *v.* 26 p. 382 t. 26 f. 22—27) | (non 1895 *C. c.*, Croneberg in: Bull. Soc. Moscou, ser. 2 *v.* 8 p. 291 t. 7 f. 4) (unkenntliche Darstellung einer bekannten Art?).

Mitteldeutschland (Regensburg); Zentralasien.

C. delawarensis Turner 1894 *C. d.*, Turner in: Bull. Denison Univ., *v.* 8 II p. 21 t. 8 f. 35, 36, **37—39**, 40 | 1895 *C. d.*, Turner in: Rep. Surv. Minnesota, Zool. *v.* 2 p. 303 t. 71 f. 35—40.

Nordamerika.

C. fuhrmanni Thiébaud 1908 *C. f.*, Thiébaud in: Ann. Biol. lacustre, *v.* 3 p. 226 t. 7 f. **1**, **2**, 3—5.

Schweiz.

C. harmsworthi T. Scott 1899 *C. h.*, T. Scott in: J. Linn. Soc. London, *v.* 27 p. 83 t. 3 f. 16, 17.

Franz-Joseph-Land; Nowaja Semlja.

C. lactea W. Baird 1850 *C. l.*, W. Baird in: P. zool. Soc. London, *v.* 18 p. 255 t. 18 f. 25—27 | 1868 *C. l.*, G. S. Brady in: Tr. Linn. Soc. London, *v.* 26 p. 382 t. 24 f. 55—58. Larve?

England.

C. limbata O. Sars 1891 *C. l.*, G. O. Sars in: Forh. Selsk. Christian., 1890 nr. 1 p. 65 (Synonymie).

Schweden.

C. nitens D. Roberts. 1880 *C. n.*, D. Robertson in: P. nat. Hist. Soc. Glasgow, *v.* 4 App. 2 p. 8, 25 (descr. nulla).

Schottland.

C. recticauda R. Sharpe 1897 *C. r.*, R. Sharpe in: Bull. Illinois Lab., *v.* 4 p. 451 t. 46 f. 7—11.

Nordamerika (Illinois).

C. reflexa R. Sharpe 1897 *C. r.*, R. Sharpe in: Bull. Illinois Lab., *v.* 4 p. 457 t. 47 f. 1—3.

Nordamerika (Illinois).

C. rostrata G. Brady & Norm. 1889 *C. r.* (part.), G. S. Brady & A. M. Norman in: Tr. R. Dublin Soc., ser. 2 *v.* 4 p. 101 t. 9 f. 11, 12; t. 12 f. 22—31 | ?1891 *C. r.*, Vávra in: Arch. Landesdf. Böhmen, *v.* 8 nr. 3 p. 40 f. 10. **1**, **2**, 3—6 | ?1895 *C. r.*, Croneberg in: Bull. Soc. Moscou, ser. 2 *v.* 8 p. 290 t. 7 f. 3 | (non 1898 *C. r.*, G. O. Sars in: Annuaire Mus. St.-Pétersb., *v.* 3 p. 352 t. 11 f. 25, 26) | ?1900 *C. r.*, G. W. Müller in: Zool., *v.* (Heft) 30 p. 23 t. 5 f. **2**, **3**, 7—14 | ?1901 *C. r.*, W. Hartwig in: Zool. Anz., *v.* 24 p. 240 | 1903 *Eucandona r.*, Daday in: Zool. Jahrb. Syst., *v.* 19 p. 83 (Synonymie).

Nordeuropa.

C. similis W. Baird 1845 *C. s.*, W. Baird in: Hist. Berwick. Club, *v.* 2 p. 153 (descr. nulla) | 1846 *C. s.*, W. Baird in: Ann. nat. Hist., ser. 1 *v.* 17 p. 415 t. 9 f. 4 | 1850 *C. s.*, W. Baird, Brit. Entom., p. 162 t. 19 f. 2. Larve?

England; Kroatien.

C. zenkeri O. Sars 1891 *C. z.*, G. O. Sars in: Forh. Selsk. Christian., 1890 nr. 1 p. 66 | 1896 *C. z.*, G. S. Brady & A. M. Norman in: Tr. R. Dublin Soc., ser. 2 *v.* 5 p. 730 t. 63 f. 25; t. 68 f. **12, 13.**

England; Schweden.

C. sp., Turner 1894 *C. acuminata* (non *C. a.*, S. Fischer 1851), Turner in: Bull. Denison Univ., *v.* 8II p. 19 t. 8 f. 34 | 1895 *C. a.*, Turner in: Rep. Surv. Minnesota, Zool. *v.* 2 p. 299 t. 71 f. 34.

Texas.

C. sp., G. Brady & Norm. 1889 *C. candida var. claviformis* (non *Cypris candida*, O. F. Müller 1776, non *Candona c.*, Vávra 1891), G. S. Brady & A. M. Norman in: Tr. R. Dublin Soc., ser. 2 *v.* 4 p. 99 t. 10 f. 1, 2.

England.

C. sp., G. Brady & D. Roberts. 1870 *C. candida var. tumida* (non *Cypris c.*, O. F. Müller 1776, non *Candona c.*, Vávra 1891), G. S. Brady & D. Robertson in: Ann. nat. Hist., ser. 4 *v.* 6 p. 16 t. 9 f. 13—15.

England.

C. sp., G. Brady 1886 *C. lutea* (non *C. l.*, R. L. King 1855), G. S. Brady in: P. zool. Soc. London, p. 92 t. 10 f. 7, 8.

Südaustralien, Süßwasser.

C. sp., Croneberg 1895 *C. pubescens* (non *Cypris p.*, C. L. Koch 1837), Croneberg in: Bull. Soc. Moscou, ser. 2 *v.* 8 p. 289 t. 7 f. 2 | 1899 *C. cronebergi*, W. Hartwig in: SB. Ges. Fr. Berlin, p. 189.

Rußland (St. Petersburg).

C. sp., O. Sars 1898 *C. rostrata* (non *C. r.*, G. S. Brady & A. M. Norman 1889), G. O. Sars in: Annuaire Mus. St.-Pétersb., *v.* 3 p. 352 t. 11 f. 25, 26.

Sibirien.

7. Gen. **Cryptocandona** Kaufmann

1900 *Cryptocandona*, Kaufmann in: Rev. Suisse Zool., *v.* 8 p. 361.

Schale glatt, Taster der Mandibel nicht verlängert. Das 2. Glied des Endopodit des 3. Thoraxbeines (3. Glied überhaupt) mit terminaler Borste, bisweilen mit dem folgenden verschmolzen. Sonst wie Candona.

4 Arten.

Übersicht der Arten:

1 { Hinterrandborste der Furca dünn, borstenartig — **2.**
1 { Hinterrandborste der Furca dick, klauenartig, den Klauen ähnlich gestaltet . . . . . **4. C. cyproides**

2 { Von den Borsten des terminalen Gliedes des 3. Thoraxbeines sind die beiden längsten etwa gleich lang . . . . . **3. C. pygmaea**
2 { Von den genannten Borsten ist die längste wenigstens doppelt so lang wie die mittlere — **3.**

3 { Das terminale Glied des Mandibulartasters trägt nur eine Klaue, die mit dem Gliede verschmolzen ist . . . . . **2. C. longipes**
3 { Das terminale Glied des Mandibulartasters trägt 2 ungefähr gleich starke Klauen, von denen eine mit dem Gliede verschmolzen ist . . . . . **1. C. vávrai**

1. **C. vávrai** Kaufmann (non 1898 *Candona v.*, Hartwig in: Zool. Anz., *v.* 21 p. 567) | 1900 *Cryptocandona v.*, Kaufmann in: Zool. Anz., *v.* 23 p. 132 | 1900 *C. v.*, Kaufmann in: Rev. Suisse Zool., *v.* 8 p. 361 t. 24 f. **12, 13,** 14, 15; t. 26 f. 10—16.

Schale des ♀: Höhe etwa $^1/_2$ der Länge, am höchsten auf $^2/_3$ der Länge; Dorsalrand in der Mitte für eine kurze Strecke annähernd gerade, schwach absteigend, übrigens flach gewölbt, gegen Vorder- und Hinterrand nicht abgegrenzt; Vorderende breit, Hinterende etwas schmaler gerundet; Ventralrand flach eingebuchtet; vom Rücken gesehen beträgt die Breite $^3/_8$ der Länge, am breitesten in der Mitte; beide Enden in ähnlicher Weise zugespitzt. Das terminale Glied des Mandibulartasters trägt zwei ungefähr gleich starke, klauenartige Anhänge, von denen einer mit dem Gliede verschmolzen ist. Am 3. Thoraxbein ist das 3. und 4. Glied verschmolzen und zerstreut behaart. Die basalwärts gerichtete Borste länger als die 3 (durch Verschmelzung 2) terminalen Glieder, von den beiden anderen eine etwa so lang wie das vorletzte, die kürzeste $^1/_2$ so lang wie die mittlere. Borste des Hinterrandes der Furca fein. — L. ♀ 0·85 mm, ♂ unbekannt.

Schweiz.

2. **C. longipes** (Ekman) 1908 *Candona l.*, Ekman in: Naturw. Unters. Sarekgebirg., *v.* 4 p. 189 f. 6—7.

Schale der von C. vávrai ähnlich, gestreckter, Höhe deutlich kleiner als die Hälfte der Länge, auch sonst C. vávrai ähnlich; von dieser Art durch folgende Merkmale unterschieden: das terminale Glied des Mandibulartasters trägt nur 1 Klaue; das 3. und 4. Glied des 3. Thoraxbeines deutlich getrennt. — L. ♀ 1·03—1·08 mm, ♂ unbekannt.

Nordschwedisches Hochgebirge.

3. **C. pygmaea** (Ekman) 1908 *Candona p.*, Ekman in: Naturw. Unters. Sarekgebirg., *v.* 4 p. 180 f. 3.

Schale des ♀: Höhe etwa $^1/_2$ der Länge, am höchsten wenig hinter der Mitte. Dorsalrand stark und unregelmäßig gewölbt, beide Enden gerundet, das hintere wenig schmaler als das vordere, Ventralrand gerade. Das terminale Glied des Mandibulartasters mit 2 gleich langen Klauen. Am 3. Thoraxbein ist das 3. und 4. Glied deutlich gesondert. Von den Borsten des terminalen Gliedes sind die längeren ungefähr gleich lang. die kürzeste mißt etwa $^1/_3$ der längsten, ist gerade. Genitalhöcker des ♀ mit nach hinten gerichteter Spitze. — L. ♀ 0·73—0·78 mm, ♂ unbekannt.

Nordschwedisches Hochgebirge.

4. **C. cyproides** (Daday) 1905 *Eucandona c.*, Daday in: Zool., *v.* (Heft) 44 p. 260 t. 17 f. **8, 9,** 10—14.

Schale des ♀: Höhe wenig größer als $^1/_2$ der Länge, am höchsten hinter der Mitte, Dorsalrand flach gewölbt, gegen beide Enden nicht abgegrenzt, beide Enden gerundet, das Hinterende wenig breiter als das Vorderende; Ventralrand in der Mundgegend deutlich vorgewölbt; Behaarung dünn, am Hinterrande sehr lang. Terminales Glied des Mandibulartasters mit 3 langen Borsten. Am 3. Thoraxbein ist das 3. und 4. Glied deutlich getrennt, von den 3 Borsten des terminalen Gliedes ist die basalwärts gerichtete länger als die 3 letzten Glieder, die beiden anderen sind annähernd gleich lang, messen etwa $^1/_3$ der längsten. sind gebogen. Die Borste des Hinterrandes der Furca klauenartig gestaltet, der hinteren Klaue genähert. — L. ♀ 1·3 mm, ♂ unbekannt.

Paraguay.

8. Gen. **Paracandona** W. Hartwig

1889 *Candona* (part.), G. S. Brady & A. M. Norman in: Tr. R. Dublin Soc., ser. 2 *v.* 4 p. 105 | 1899 *Paracandona*, W. Hartwig in: Zool. Anz., *v.* 22 p. 309 | 1900 *P.*, G. W. Müller in: Zool., *v.* (Heft) 30 p. 36.

Fig. 49.
Paracandona euplectella. 3. thoracale Gliedmaße ($^{270}/_{1}$).

Schale mit einem Netzwerk von Leisten. Die Klauen am Ende der 2. Antenne sehr lang, die des vorletzten Gliedes wenigstens noch einmal so lang wie das verschmolzene 2. und 3. Glied des Endopodit. Das letzte Glied des Mandibulartasters mit 2 sehr starken Klauen, von denen eine mit dem Gliede verschmolzen ist. Das 2. und 3. Glied des Endopodit des 3. Thoraxbeines (Fig. 49) getrennt, jedes distal mit umfangreicher Borste.

1 Art.

1. **P. euplectella** (G. Brady & Norm.) 1880 *Candona e.*, D. Robertson in: P. nat. Hist. Soc. Glasgow, *v.* 4 App. 2 p. 23 (descr. nulla) | 1889 *C. e.*, G. S. Brady & A. M. Norman in: Tr. R. Dublin Soc., ser. 2 *v.* 4 p. 105 t. 9 f. 7, 8 | 1899 *Paracandona e.*, W. Hartwig in: Zool. Anz., *v.* 22 p. 309 | 1900 *P. e.*, G. W. Müller in: Zool., *v.* (Heft) 30 p. 37 t. 9 f. 1, 2, 3—9, 14.

Schale: Höhe etwas größer als $^1/_2$ der Länge, Dorsalrand gerade, horizontal, undeutlich stumpfwinklig gegen das breit gerundete Vorder- und Hinterende abgegrenzt. Vom Rücken gesehen: breit, Breite $^3/_5$ der Länge. Die Oberfläche mit einem auffälligen Netzwerk erhabener Leisten, ferner mit ziemlich zahlreichen, deutliche Borsten tragenden Warzen. — L. ♀ 0·68, ♂ 0·77 mm.

Nordeuropa; Nordamerika.

9. Gen. **Candonopsis** Vávra

1891 *Candonopsis*, Vávra in: Arch. Landesdf. Böhmen, *v.* 8 nr. 3 p. 54 | 1900 *C.*, G. W. Müller in: Zool., *v.* (Heft) 30 p. 37.

Mandibulartaster sehr gestreckt, besonders die beiden letzten Glieder. Atemplatte des 1. Thoraxbeines mit 3 Strahlen. Endopodit des 5-gliedrigen 3. Thoraxbeines 4-gliedrig; 2. Glied des Endopodit mit terminaler Borste. Hinterrand der Furca ohne Borste. Sonst wie Candona.

5 sichere Arten, 1 unsichere Art.

Übersicht der sicheren Arten:

1 { Hinterrand der Furcalklauen mit starkem Zahne — **2.**
  { Hinterrand der Furcalklauen ohne starken Zahn — **3.**

2 { L. 0·6 mm . . . . . 4. **C. solitaria**
  { L. 0·9—1·0 mm . . . . . 5. **C. tenuis**

3 { Größer als 0·8 mm — **4.**
  { Kleiner als 0·8 mm . . . . . 3. **C. falklandica**

4 { Am 3. Thoraxbein sind die beiden kürzeren Borsten ungefähr gleich lang . . . . . 2. **C. anisitsi**
  { Die genannten Borsten sind deutlich verschieden lang, die kürzere mißt weniger als $^1/_2$ der längeren . . . . . 1. **C. kingsleii**

1. **C. kingsleii** (G. Brady & D. Roberts.) ?1838 *Cypris compressa* (part.), C. L. Koch, C. M. A., fasc. 21 nr. 17 | 1870 *Candona kingsleii* (part.), G. S. Brady & D. Robertson in: Ann. nat. Hist., ser. 4 *v.* 6 p. 17 t. 9 f. 11, 12 | 1891 *Candonopsis k.*, Vávra in: SB. Böhm. Ges., p. 162 | 1900 *C. k.*, G. W. Müller in: Zool., *v.* (Heft) 30 p. 38 t. 6 f. 6, 7, 23—28; t. 7 f. 22, 25 | 1900 *C. detecta*, Daday, Ostr. Hungar., p. 240.

Rechte Schale des ♂: Höhe etwa $^1/_2$ der Länge, am höchsten wenig vor $^2/_3$ der Länge; der Dorsalrand bildet einen stumpfen Winkel mit mehr oder weniger deutlicher Ecke; der vordere Schenkel des Winkels ist ziemlich gerade, gegen den Vorderrand buchtig abgegrenzt; der hintere Schenkel gewölbt; er geht ohne Andeutung einer Grenze in den Hinterrand über; beide Enden stark gerundet, das hintere breiter; der Ventralrand eingebuchtet. Vom Rücken gesehen stark komprimiert, die Breite beträgt $^1/_3$ der Länge. Schale des ♀ der des ♂ ähnlich. Am 3. Thoraxbein sind die beiden kürzeren Klauen des terminalen Gliedes deutlich verschieden lang, die kürzere mißt weniger als $^1/_2$ der längeren. Furca schlank, der Stamm fast gerade, sehr schwach S-förmig gebogen; Furcalklauen schlank, stark gebogen, sehr schwach bewimpert. — L. ♀ 0·95—1·0, ♂ 1·0—1·1 mm.

Nordeuropa; Sibirien.

2. **C. anisitsi** Daday 1905 *C. a.*, Daday in: Zool., *v.* (Heft) 44 p. 256 t. 16 f. 16—19, 20—26.

Schale des ♂: Höhe etwa $^1/_2$ der Länge; am höchsten etwa auf $^3/_4$ der Länge, der Dorsalrand gerade, nach vorn deutlich abfallend, gegen Vorder- und Hinterrand deutlich winklig abgegrenzt, Hinterende breit, das Vorderende deutlich schmaler gerundet, Ventralrand deutlich eingebuchtet. Schale des ♀ gestreckter, Höhe deutlich kleiner als $^1/_2$ der Länge, sonst der des ♂ ähnlich. Am 3. Thoraxbein sind die beiden kürzeren Klauen des terminalen Gliedes annähernd gleich lang. Furca fast gerade, nicht S-förmig gebogen, die Klauen annähernd gleich lang. — L. ♀ 0·9—1·5, ♂ 1—1·2 mm.

Paraguay.

3. **C. falklandica** Vávra 1898 *C. f.*, Vávra in: Ergeb. Hamb. Magalh.-Sammelr., *v.* 2 Ostr. p. 10.

Höhe der Schale etwa $^1/_2$ der Länge, am höchsten wenig hinter der Mitte; der Dorsalrand deutlich gewölbt, gegen Vorder- und Hinterrand nicht abgegrenzt; beide Enden ähnlich gestaltet, breit gerundet; vom Rücken gesehen schmal, Breite $^1/_3$ der Länge. Furca kräftig, ziemlich gerade; Klauen schwach gebogen, deutlich gewimpert. — L. ♀ & ♂ 0·75 mm.

Falklandsinseln.

4. **C. solitaria** Vávra 1895 *C. s.*, Vávra in: Mt. Mus. Hamburg, *v.* 12 p. 5.

Höhe $^1/_2$ der Länge, am höchsten in der Mitte; Dorsalrand flach gewölbt, beide Enden ähnlich gestaltet, breit gerundet; Ventralrand deutlich eingebuchtet; vom Rücken gesehen schmal. Furca kräftig, fast gerade; die Klauen nur an der Spitze gebogen, in der Mitte ein starker Zahn. — L. ♀ 0·6 mm, ♂ unbekannt.

Sansibar.

5. **C. tenuis** O. Sars ?1886 *Candona t.*, G. S. Brady in: P. zool. Soc. London, p. 92 t. 10 f. 9, 10 | 1896 *Candonopsis t.*, G. O. Sars in: Arch. Naturv. Kristian., *v.* 18 nr. 3 p. 62 t. 7 f. 6**a**—**c**, d.

Schale des ♀: Höhe annähernd $^1/_2$ der Länge, am höchsten wenig hinter der Mitte; Dorsalrand sehr flach gewölbt, fast gerade, gegen Vorder- und Hinterrand undeutlich winklig abgegrenzt; beide Enden ähnlich gestaltet, ziemlich schmal gerundet; Ventralrand deutlich eingebuchtet. Schale des ♂ höher, der Rücken stark gewölbt, sonst dem ♀ ähnlich. Vom Rücken ge-

sehen schmal, Breite $^1/_3$ der Länge. Furca schlank, gerade; Klauen fast gerade, nur an der Spitze gebogen, in der Mitte mit starkem Zahne. — L. ♀ 0·9, ♂ 1·0 mm.

Australien; Südamerika.

C. brasiliensis O. Sars 1901 *C. b.*, G. O. Sars in: Arch. Naturv. Kristian., *v.* 24 nr. 1 p. 45 t. 8 f. **21, 22**.

Brasilien (São Paulo).

Candoninarum genera dubia et species dubiae

Cypris littoralis G. M. Thoms. 1879 *C. l.*, G. M. Thomson in: Tr. N. Zealand Inst., *v.* 11 p. 253 t. 11 f. A3, B1.

Schale des ♂ gestreckt, Höhe etwa $^1/_2$ der Länge, am höchsten vor der Mitte; Ventralrand gerade, Dorsalrand gleichmäßig gewölbt; Vorder- und Hinterende gerundet, letzteres schmaler; Schale glatt, gelbgrau, mit unregelmäßigen schwarzen oder braunen Flecken, ziemlich durchsichtig. Vom Rücken gesehen stark komprimiert, vorn und hinten gleichmäßig zugespitzt. Terminale Borste des 3. Thoraxbeines sehr lang, länger als die 3 letzten Glieder. Furca gerade, gestreckt, ohne Hinterrandborste (?), die beiden Klauen mit 3 starken Zähnen nahe der Spitze. — L. 0·83 mm.

Neuseeland (Blueskin, nördlich von Dunedin), Brackwasser.

Cypria mons (Chambers) 1877 *Cypris m.*, Chambers in: Bull. U. S. geol. Surv., *v.* 3 nr. 9 p. 153 f. 3 | 1895 *Cypria m.*, Turner in: Rep. Surv. Minnesota, Zool. *v.* 2 p. 307 t. 81 f. 6—12.

Nordamerika (Colorado, Mount Elbert).

Cypria neglecta Herrick 1879 *C. n.*, Herrick in: Rep. geol. Surv. Minnesota, *v.* 7 App. B p. 112 t. 17 f. **2**.

Nordamerika.

Paracypris tenuis O. Sars 1905 *P. t.*, G. O. Sars in: Zool. Jahrb. Syst., *v.* 21 p. 404 t. 20 f. **173, 174**, 175—186.

Schale des ♀: Höhe kleiner als $^1/_2$ der Länge ($^5/_{11}$), am höchsten etwa auf der Mitte, Dorsalrand deutlich gewölbt, gegen Vorder- und Hinterrand nicht abgegrenzt, Vorderende mäßig breit, Hinterende schmal gerundet, Ventralrand fast gerade; dünn, durchsichtig, weißlich, vom Rücken gesehen stark komprimiert, Breite kleiner als $^1/_3$ der Länge, beide Enden zugespitzt. Schale des ♂ der des ♀ ähnlich, die Hoden rollen sich in der hinteren Schalenhälfte auf. Furca kräftig, fast gerade, ohne hintere Borsten, die Klauen kräftig, schwach gebogen, die vordere etwa $^1/_2$ so lang wie der Vorderrand. — L. ♀ & ♂ 0·66 mm.

Pazifischer Ozean, planktonisch (?).

D. Subfam. **Ilyocyprinae**

Die Borsten der 1. Antenne zum Teil klauenartig umgestaltet. 2. Antenne ohne Männchenborsten. Die Borsten des 3. Kaufortsatzes der Maxille nicht durch Stärke oder abweichende Bildung ausgezeichnet. Das 1. Thoraxbein mit umfangreicher Atemplatte und kleinem 3-gliedrigem Innenast. Das letzte Glied des 3. Thoraxbeines zylindrisch; von den 3 Borsten kann eine basalwärts zurückgebogen oder in der Richtung der anderen gehalten werden.

Furca mit einer Borste am Hinterrande. Hoden und Eierstöcke treten in den Schalenraum ein und bilden dort einen nach vorn und dorsal offenen Bogen. Ductus ejaculatorius (Fig. 43, p. 107) am Eingange und Ausgange kuglig aufgetrieben, mit zahlreichen nicht regelmäßig in Rosetten angeordneten Chitinstrahlen.

1 Gattung.

1. Gen. **Ilyocypris** G. S. Brady & A. M. Norman

1808 *Cypris* (part.), Ramdohr in: Mag. Ges. Fr. Berlin, *v.* 2 p. 85 | 1868 *C.* (part.), G. S. Brady in: Tr. Linn. Soc. London, *v.* 26 p. 360 | 1889 *Ilyocypris*, G. S. Brady & A. M. Norman in: Tr. R. Dublin Soc., ser. 2 *v.* 4 p. 106 | 1900 *I.*, G. W. Müller in: Zool., *v.* (Heft) 30 p. 87 | 1900 *I.* + *Iliocyprella*, Daday, Ostr. Hungar., p. 229, 237 | 1906 *Ilyocypris* + *Ilyocyprois*, Masi in: Boll. Soc. zool. Ital., ser. 2 *v.* 7 p. 144; p. 261.

Mit der Diagnose der Subfamilie.

5 sichere, 3 unsichere Arten.

Übersicht der Arten:

1 { Schale mit einem deutlichen Höcker, der in der Ansicht vom Rücken die Kontur in der hinteren Hälfte deutlich überragt — **2.**
Schale ohne solchen Höcker — **3.**

2 { 2. Thoraxbein 5-gliedrig . . . . . **2. I. decipiens**
2. Thoraxbein 4-gliedrig . . . . . **1. I. gibba**

3 { Vorletztes Glied des 3. Thoraxbeines mit 3 Borsten, von denen jede mindestens $^1/_3$ des Gliedes mißt — **4.**
Vorletztes Glied des 3. Thoraxbeines mit 1 oder 2 langen Borsten, zu denen noch eine dritte sehr kleine kommen kann . . . . . **3. I. bradyi**

4 { Die Schwimmborsten der 2. Antenne überragen die Spitzen der Klauen deutlich . . . . . **4. I. lacustris**
Die Schwimmborsten der 2. Antenne überragen die Spitzen der Klauen nicht . . . . . **5. I. getica**

1. **I. gibba** (Ramdohr) ?1808 *Cypris g.*, Ramdohr in: Mag. Ges. Fr. Berlin, *v.* 2 p. 91 t. 3 f. 13, 14, 17 | 1838 *C. biplicata* (part.?), C. L. Koch, C. M. A., fasc. 21 nr. 16 | 1868 *C. gibba var. tuberculata*, G. S. Brady in: Tr. Linn. Soc. London, *v.* 26 p. 483 t. 24 f. 54 | 1891 *Ilyocypris g.*, G. O. Sars in: Forh. Selsk. Christian., 1890 nr. 1 p. 58 | 1892 *I. g. var. tuberculata*, Daday in: Term. Füzetek, *v.* 15 p. 308 | 1897 *Iliocypris biplicata*, T. Scott & R. Duthie in: Rep. Fish. Board Scotl., *v.* 15 p. 330 (Synonymie) | 1900 *Ilyocypris gibba*, G. W. Müller in: Zool., *v.* (Heft) 30 p. 88 t. 19 f. **7, 8**, 10 | (non 1900 *I. g.*, Kaufmann in: Rev. Suisse Zool., *v.* 8 p. 343 t. 20 f. **16, 17**) | 1900 *I. g. var. bicornis*, Kaufmann in: Rev. Suisse Zool., *v.* 8 p. 347 t. 20 f. **18, 19**; t. 25 f. 1—4 | 1900 *Iliocypris tuberculata*, Daday, Ostr. Hungar., p. 234 | 1906 *I. t.* + *Ilyocyprois t.*, Masi in: Boll. Soc. zool. Ital., ser. 2 *v.* 7 p. 254, 259; p. 261.

Linke Schale des ♀: Höhe wenig größer als $^1/_2$ der Länge, am höchsten nahe dem vorderen Körperende, etwa auf $^1/_4$ der Länge, wo der Schalenrand einen stumpfen Winkel bildet, an dessen Stelle häufig eine Rundung tritt; der Dorsalrand fällt in gerader oder unregelmäßig gewellter Linie wenig nach hinten ab und bildet nahe dem Hinterende eine mehr oder weniger deutliche Ecke mit dem Hinterrande; Vorder- und Hinterende sehr breit gerundet, Ventralrand deutlich eingebuchtet; der Schalenrand mehr oder weniger deutlich gezähnelt. Oberfläche mit rundlichen, scharf konturierten Gruben bedeckt; in der Nachbarschaft der Schließmuskelansätze, dorsal von ihnen

finden sich umfangreichere und tiefere Gruben und konische Erhebungen; eine besonders umfangreiche Erhebung liegt schräg hinter und dorsalwärts von den Schließmuskelansätzen; sie erscheint in der Ansicht vom Rücken als deutliche, seitliche Spitze in der hinteren Körperhälfte. Schwimmborsten der 2. Antenne sehr lang, so daß sie die Endklauen weit überragen, oder kurz. 2. Thoraxbein 4-gliedrig. Vorletztes Glied des 3. Thoraxbeines mit 1 oder 2 langen Borsten, zu denen noch eine dritte sehr kleine kommen kann. Hinterrand der Furca behaart. ♂ fehlen meist. — L. ♀ 0·8—0·95, ♂ 1·0 mm.

Nordeuropa, Ungarn, Nordamerika.

2. **I. decipiens** Masi 1906 *I. d.*, Masi in: Boll. Soc. zool. Ital., *v.*7 p. 254.

I. gibba ähnlich, von dieser Art dadurch unterschieden, daß das 2. Thoraxbein 5-gliedrig ist.

Süditalien.

3. **I. bradyi** O. Sars ?1820 *Monoculus bistrigatus* (part.?), Jurine, Hist. Monocles, p. 177 t. 19 f. 12, 13 | 1844 *Cypris bistrigata* (part.?), Zaddach, Syn. Crust. Pruss., p. 37 | 1847 *C. sinuata* (part.?), S. Fischer in: Mém. prés. Ac. St.-Pétersb., *v.*6 p. 193 t. 10 f. 4 | 1868 *C. gibba*, G. S. Brady in: Tr. Linn. Soc. London, *v.*26 p. 369 t. 24 f. 47—53; t. 36 f. 2 | ?1870 *C. strausii*, F. Plateau in: Mém. cour. Ac. Belgique, *v.*34 nr. 3 p. 55 t. 1 f. 26 | 1891 *Ilyocypris bradyi*, G. O. Sars in: Forh. Selsk. Christian., 1890 nr. 1 p. 59 | 1891 *I. gibba var. repens*, Vávra in: Arch. Landesdf. Böhmen, *v.*8 nr. 3 p. 60 f. 18 | 1900 *Iliocypris bradyi*, G. W. Müller in: Zool., *v.*(Heft) 30 p. 90 t. 19 f. 11, **12**, 13—19; t. 20 f. 17, 18 | 1900 *Ilyocypris gibba* + *I. iners* + *I. b.* + *I. inermis*, Kaufmann in: Rev. Suisse Zool., *v.*8 p. 343 t. 20 f. 16, 17; p. 352 t. 24 f. 3, 4; t. 25 f. 5—8; p. 353 t. 24 f. 1, 2; t. 25 f. 17, 18; p. 355 t. 20 f. 20, 21; t. 25 f. 19—24 | 1900 *Iliocyprella repens*, Daday, Ostr. Hungar., p. 238 | ?1900 *Cypris cribrum*, Cosmovici in: Bull. Soc. zool. France, *v.*25 p. 159 | 1906 *Ilyocypris bradyi var. compressa*, Masi in: Boll. Soc. zool. Ital., ser. 2 *v.*7 p. 256 | 1906 *Iliocypris bistrigata*, A. M. Norman & T. Scott, Crust. Devon Cornwall, p. 114 (Synonymie).

Schale der von I. gibba sehr ähnlich, doch fehlen die Erhebungen der hinteren Schalenhälfte. Gliedmaßen denen von I. gibba ähnlich. Umfang der Schwimmborsten der 2. Antenne sehr schwankend. Vorletztes Glied des 2. Thoraxbeines mit 2 langen Borsten. — L. 0·8—0·95 mm. — Fig. 43, p. 107.

Nordeuropa, Schweiz, Ungarn, Nordamerika, Turkestan.

4. **I. lacustris** Kaufmann 1900 *I. l.*, Kaufmann in: Rev. Suisse Zool., *v.*8 p. 349 t. 24 f. **5—7**; t. 25 f. 9—16; t. 31 f. 25.

Schale der von I. bradyi sehr ähnlich. Schwimmborsten lang, gefiedert, überragen die Spitze der Klauen beträchtlich; vorletztes Glied des 3. Thoraxbeines mit 3 langen Borsten. — L. ♀ 0·91, ♂ 0·84 mm.

Schweiz (Bielersee), Mongolei.

5. **I. getica** Masi 1906 *I. g.*, Masi in: Boll. Soc. zool. Ital., ser. 2 *v.*7 p. 145 | 1906 *I. g.*, Masi in: Bull. Soc. Bucarest, *v.*14 p. 649.

I. lacustris ähnlich, von dieser dadurch unterschieden, daß die Schwimmborsten der 2. Antenne ungefiedert sind und die Spitzen der Klauen nicht überragen. — L. ♀ 1·2, ♂ 1 mm.

Rumänien, China.

I. angulata O. Sars 1903 *I. a.*, G. O. Sars in: Arch. Naturv. Kristian., *v.*25 nr. 8 p. 39 t. 4 f. **9, 9a**.

L. ♀ 0·98 mm.

China.

I. australiensis O. Sars 1890 *I. a.*, G. O. Sars in: Forh. Selsk. Christian., 1889 nr. 8 p. 46 t. 2 f. 5—8; t. 6.

Australien, Ceylon.

I. dentifera O. Sars 1903 *I. d.*, G. O. Sars in: Arch. Naturv. Kristian., *v.* 25 nr. 8 p. 38 t. 4 f. **8, 8a—c.**

China.

E. Subfam. **Cyprinae**

Die Schwimmborsten der 2. Antenne sind immer vorhanden, wenn auch oft stark verkürzt. Endopodit (Taster) des 1. Thoraxbeines des ♀ ungegliedert, selten 2-gliedrig. Letztes Glied des 3. Thoraxbeines sehr kurz, meist schnabel- oder knopfartig verlängert, zwischen Fortsätzen des vorletzten Gliedes verborgen (die Fortsätze beider Glieder bisweilen zurückgebildet). Falls eine Borste am Hinterrande der Furca vorhanden, entspringt sie stets in geringer Entfernung von der hinteren Klaue, stets im distalen Viertel des Hinterrandes: Hinterrand der Furca verschiedenartig bewaffnet, glatt, behaart oder mit starren Spitzen besetzt; Borsten oder Spitzen können zu Gruppen vereinigt sein, in welchen auf eine distale größere eine Anzahl von proximalwärts an Größe abnehmenden folgt, so daß das Bild einer Säge mit flachen Zähnen entsteht (Hinterrand „gesägt"). Hoden und Eierstöcke treten stets in den Schalenraum ein und bilden fast stets in der hinteren Schalenhälfte einen nach vorn und oben offenen Bogen. Ductus ejaculatorius (Fig. 44, p. 107) ohne kuglige Erweiterung am Ein- und Ausgange, mit zahlreichen (wenigstens 9) Kränzen von Chitinstrahlen oder sehr zahlreichen, dicht stehenden Strahlen. Bewohner des Süßwassers; wenige Arten des Brackwassers. Bei der Mehrzahl der Arten sind die ♂ nicht bekannt.

26 Gattungen mit 106 sicheren, 141 unsicheren Arten.

Übersicht der Gattungen (mit Ausschluß des 25. Gen. Megalocypris):

1	Das 2. Thoraxbein trägt terminal 1 starke Klaue, neben dieser 2 (ausnahmsweise nur 1) viel schwächere Borsten — **2.**	
	Das 2. Thoraxbein trägt terminal 2 starke Klauen	26. Gen. **Scottia**
2	Der 3. Kaufortsatz der Maxille trägt terminal mindestens 4 starke, untereinander ähnliche Borsten, die sich von den anderen schwächeren mehr oder weniger deutlich unterscheiden (Fig. 50, p. 160) — **3.**	
	Der 3. Kaufortsatz der Maxille trägt nur 2 oder 3 starke Borsten, die sich durch ihren Umfang scharf von den übrigen unterscheiden (Fig. 52, p. 179) — **7.**	
3	Furca rudimentär, nur mit terminaler Borste . .	5. Gen. **Oncocypris**
	Furca wohl entwickelt, mit 3 oder 4 borsten- oder klauenartigen Gebilden nahe dem Ende — **4.**	
4	Endopodit der 2. Antenne 4-gliedrig — **5.**	
	Endopodit der 2. Antenne 3-gliedrig — **6.**	
5	Oberfläche der Schale (abgesehen von ventralen Kanten) glatt	1. Gen. **Notodromas**
	Oberfläche der Schale mit Warzen oder Schuppen	2. Gen. **Newnhamia**
6	Oberfläche der Schale glatt	3. Gen. **Cyprois**
	Oberfläche der Schale mit Warzen oder Dornen (besonders am Rande der Ventralfläche) . .	4. Gen. **Centrocypris**

7	1. Glied des Endopodit des 2. Thoraxbeines an der distalen, ventralen Ecke mit 2 Borsten (Fig. 56, p. 183)	11. Gen. **Chlamydotheca**
	Das Glied an genannter Stelle mit nur 1 Borste — **8.**	
8	Die Schale zeigt zwischen den stets auffälligen Punkten, aus denen Borsten entspringen, zahlreiche kleinere von ähnlichem Aussehen, die keine Borsten tragen — **9.**	
	Die kleineren, borstenlosen Punkte fehlen oder finden sich nur vereinzelt, unterscheiden sich nicht auffällig von den Borsten tragenden — **13.**	
9	Hintere Furcalborste fehlt — **10.**	
	Hintere Furcalborste vorhanden — **11.**	
10	Bewaffnung des Hinterrandes beider Furcaläste auffallend unsymmetrisch (Fig. 57, p. 197) . .	17. Gen. **Stenocypris**
	Beide Furcaläste nicht oder wenigstens nicht auffällig unsymmetrisch	16. Gen. **Acocypris**
11	Hintere Furcalborste eine typische Borste — **12.**	
	Hintere Furcalborste dick klauenartig, den terminalen Klauen ähnlich (Fig. 58, p. 202)	18. Gen. **Ilyodromus**
12	Die hintere Furcalborste entspringt dicht neben der hinteren Klaue. Entfernung kleiner als die Dicke der Klaue an ihrem Ursprunge . .	14. Gen. **Herpetocypris**
	Die Entfernung zwischen Borste und Klaue größer als die Dicke der Klaue	15. Gen. **Stenocypria**
13	Der Innenrand fällt am Hinterende mit dem Schalenrande zusammen	19. Gen. **Isocypris**
	Der Innenrand verläuft im ganzen Bereich des freien Schalenrandes vom Schalenrande getrennt — **14.**	
14	Hinterrand der Furca grob gesägt, der Rand der einzelnen Sägezähne glatt	20. Gen. **Asthenocypris**
	Hinterrand der Furca glatt oder behaart oder mit groben, sägeartigen Vorsprüngen, die sich aus zahlreichen, kleineren Zähnen zusammensetzen — **15.**	
15	Vorderrand beider Schalen mit einer geringen Zahl derber, radiärer Streifen proximal von der Verschmelzungslinie (Fig. 59, p. 206) (höchstens 1 mm lang)	21. Gen. **Cypretta**
	Eine oder beide Schalen ohne solche Streifen — **16.**	
16	Furca rudimentär, höchstens mit 2 Anhängen, entsprechend der vorderen, terminalen Klaue (Geißel), die stets länger als der Stamm ist und der hinteren Borste, die aber fehlen kann (Fig. 37, 38, p. 104) — **23.**	
	Furca wohl entwickelt, mit kräftigem Stamme, der distal 2 Klauen, ferner meist vor und hinter den Klauen eine Borste (ausnahmsweise dahinter 2 Borsten) trägt (Fig. 36, p. 104) — **17.**	
17	Hinterrand der Furca mit 2 Borsten	10. Gen. **Hungarocypris**
	Hinterrand der Furca mit 1 Borste oder ohne Borste — **18.**	
18	Rand der rechten oder linken Schale mit einer dichten Reihe von rundlichen Zähnchen, welche auf dem Rande oder medial dicht neben ihm, niemals lateral entspringen	6. Gen. **Cyprinotus**
	Schalenrand glatt oder mit langen Zähnen oder unregelmäßig gewellt — **19.**	

19
- Der Saum wird am vorderen Ende beiderseits vom Schalenrande weit überragt, so daß im Profil die Verwachsungslinie distal vom Ursprunge des Saumes liegt — **20.**
- Der Saum entspringt einerseits oder beiderseits auf dem Schalenrande oder in seiner nächsten Nachbarschaft — **21.**

20
- Terminales Glied des Maxillartasters distal deutlich verbreitert (Fig. 54, p. 182) . . . . . 16. Gen. **Candonocypris**
- Terminales Glied des Maxillartasters distal verjüngt (annähernd zylindrisch) (Fig. 52, p. 179) . . . 8. Gen. **Cypris**

21
- Vordere Furcalborste so lang oder länger als die Hälfte der vorderen Furcalklaue — **22.**
- Vordere Furcalborste kürzer als die Hälfte der vorderen Klaue . . . . . 7. Gen. **Eucypris**

22
- Furcalklauen grob gesägt, rechte Schale ohne dorsalen Fortsatz . . . . . 13. Gen. **Dolerocypris**
- Furcalklauen glatt oder beborstet; wenn grob gesägt, dann die rechte Schale mit auffälligem, dorsalem Fortsatze . . . . . 12. Gen. **Strandesia**

23
- Schale mit auffälliger Skulptur . . . . . 24. Gen. **Zonocypris**
- Schale ohne auffällige Skulptur (höchstens kleine, runde Gruben vorhanden) — **24.**

24
- Terminales Glied des Maxillartasters zylindrisch, länger als breit . . . . . 22. Gen. **Cypridopsis**
- Terminales Glied des Maxillartasters nach der Spitze hin erweitert, an der Spitze wenigstens so breit wie der Vorderrand des Gliedes lang (Fig. 54, p. 182) . . . . . 23. Gen. **Potamocypris**

1. Gen. **Notodromas** Lilljeborg

1776 *Cypris* (part.), O. F. Müller, Zool. Dan. Prodr., p. 198 | 1788 *Monoculus* (part.), J. F. Gmelin, Syst. Nat., *v.* 1 p. 2996 | 1850 *Cypris* (part.), W. Baird, Brit. Entom., p. 151 | 1853 *Notodromas*, Lilljeborg, Clad. Ostr. Cop., p. 94 | 1854 *Cyprois* (part.), Zenker in: Arch. Naturg., *v.* 201 p. 80 | (non 1886 *Notodromas*, G. S. Brady in: P. zool. Soc. London, p. 92) | 1898 *N.* (part.), Vávra in: Ergeb. Hamb. Magalh.-Sammelr., *v.* 2 Ostr. p. 4.

Schale kurz, Höhe mindestens $^2/_3$ der Länge, ventral abgeflacht, die Fläche scharfkantig gegen die übrige Schale abgegrenzt, übrigens glatt. Innenast der 2. Antenne 4-gliedrig; das letzte Glied gestreckt, etwa so lang wie das vorletzte und wenigstens 3 mal so lang wie breit, die terminalen Klauen in beiden Geschlechtern glatt. 3. Kaufortsatz der Maxille mit einander ähnlichen starken Borsten. 1. Thoraxbein ohne Atemplatte; Endopodit des 3. Thoraxbeines 3-gliedrig, das letzte Glied sehr kurz, ohne Haken, mit 3 längeren Borsten, das vorletzte Glied distal ohne Fortsätze (mit sehr kleinen Resten derselben). Furca kräftig; vordere Borste fehlend. Ductus ejaculatorius mit sehr zahlreichen, sehr dicht stehenden Chitinstrahlen. ♂ stets (?) vorhanden.

3 Arten.

Übersicht der Arten:

1
- Länge mehr als 1 mm . . . . . 1. **N. monacha**
- Länge weniger als 1 mm — **2.**

2
- Schale mit deutlicher, als Spitze vortretender Ecke an der Grenze von Vorder- und Ventralrand . . . . . 3. **N. entzi**
- Schale mit abgerundeter Ecke an der Grenze von Vorder- und Ventralrand . . . . . 2. **N. oculata**

1. **N. monacha** (Müll.) 1776 *Cypris m.*, O. F. Müller, Zool. Dan. Prodr., p. 199 | 1785 *C. m.*, O. F. Müller, Entom., p. 60 t. 5 f. 6—8 | 1788 *Monoculus m.*, J. F. Gmelin, Syst. Nat., *v.* 1 p. 3003 | 1837 *Cypris m.* (♂), C. L. Koch, C. M. A., fasc. 11 nr. 1 | 1837 *C. variabilis* (Larve) + *C. leucomela* (Larve) + *C. bimuricata* (♀) + *C. nubilosa* (Larve?), C. L. Koch, C. M. A., fasc. 10 nr. 3, nr. 4; fasc. 11 nr. 2; fasc. 12 nr. 4 | 1853 *Notodromas monacha*, Lilljeborg, Clad. Ostr. Cop., p. 95 t. 8 f. 1—15; t. 12 f. 1, 2; t. 25 f. 16 | 1854 *Cyprois m.*, Zenker in: Arch. Naturg., *v.* 201 p. 80 t. 3c | 1900 *Notodromas m.*, G. W. Müller in: Zool., *v.* (Heft) 30 p. 47 t. 11 f. **8**, **9**, 10—13, **14**, 15—22; t. 12 f. 11.

Schale des ♀: Höhe etwa $^{7}/_{10}$ der Länge, am höchsten auf $^{5}/_{9}$ der Länge, Dorsalrand stumpfwinklig, mit stark abgerundeter Spitze, gegen Vorder- und Hinterrand nicht abgegrenzt; Vorderrand sehr breit gerundet; Hinterrand fast senkrecht abfallend, gegen den im hinteren Drittel schwach aufwärts gebogenen Ventralrand links durch eine vortretende Spitze scharf abgegrenzt. Beim ♂ ist der Ventralrand stark geknickt, die hintere Spitze fehlt. Oberfläche glatt, sehr dünn behaart, lebhaft schwarz und gelb gefärbt. Vom Rücken gesehen Breite etwa $^{11}/_{20}$ der Länge; Hinterende gerundet, Vorderende zugespitzt. Greiforgan auffallend unsymmetrisch; rechts der Stamm viel länger als links; beiderseits der Finger lang und schlank. Furca beim ♂ stark gebogen, beim ♀ fast gerade, die Klauen lang und schlank; vordere Borste fehlt; beide Äste miteinander verklebt oder verschmolzen. — L. ♂ und ♀ 1·1—1·2 mm.

Nord- und Mitteleuropa, Zentralasien und Nordamerika.

2. **N. oculata** C. Sars 1903 *N. o.*, G. O. Sars in: Arch. Naturv. Kristian., *v.* 25 nr. 8 p. 30 t. 4 f. 1, 1a—c.

Schale des ♀ der des ♀ von N. monacha ähnlich, aber ohne die Spitze der linken Schale an der Grenze von Ventral- und Hinterrand. — L. ♀ 0·59 mm, ♂ unbekannt.

Sumatra.

3. **N. entzi** Daday 1898 *N. e.*, Daday in: Term. Füzetek, *v.* 21 Anh. p. 79 f. 39, 40.

Schale des ♀: Höhe etwa $^{3}/_{4}$ der Länge, am höchsten etwas hinter der Mitte; Dorsalrand winklig gebogen, Spitze stark abgerundet, nicht gegen den Vorderrand, sehr undeutlich gegen den Hinterrand abgegrenzt; Vorder- und Hinterende breit gerundet; Ventralrand gerade, gegen den Vorderrand durch eine abgerundete Ecke abgegrenzt. Oberfläche glatt; bräunlich, mit schwarzen Querbinden. Vom Rücken gesehen breit; Breite $^{2}/_{3}$ der Länge; hinten sehr breit gerundet, vorn keilförmig zugespitzt. Schale des ♂ kürzer und höher; Dorsalrand deutlich winklig gebogen; ebenso der Ventralrand, dessen hinterer, aufsteigender Schenkel konkav; vom Rücken gesehen schmaler als das ♀. Stamm des Greiforganes rechts viel länger als links; Finger links kurz und dick, rechts lang und schlank. Furca beim ♂ stärker gebogen als beim ♀, ohne vordere Borste. — L. ♀ 0·8, ♂ 0·65 mm.

Ceylon.

2. Gen. **Newnhamia** King

1855 *Newnhamia*, R. L. King in: P. R. Soc. Van Diemensland, *v.* 3 p. 67 | 1886 *Notodromas*, G. S. Brady in: P. zool. Soc. London, p. 92 | 1898 *N.* (part.), Vávra in: Ergeb. Hamb. Magalh.-Sammelr., *v.* 2 Ostr. p. 4 | 1901 *Newnhamia*, Vávra in: Arch. Naturg., *v.* 671 p. 179.

Notodromas sehr ähnlich, von dieser Gattung durch folgende Merkmale unterschieden: Schale nicht glatt, sondern skulpturiert, mit Warzen oder Schuppen. Eine der terminalen Borsten der 2. Antenne beim ♂ gesägt. Furca bei einem oder beiden Geschlechtern mit vorderer Borste.

3 Arten.

Übersicht der Arten:

1 { Oberfläche schuppig . . . . . 3. **N. fuscata**
{ Oberfläche mit Warzen oder Spitzen — 2.

2 { In der Rückenansicht Vorder- und Hinterende ähnlich gestaltet . . . . . 1. **N. patagonica**
{ In der Rückenansicht beide Enden sehr verschieden, hinten sehr breit, vorn spitz . . . . . 2. **N. fenestrata**

1. **N. patagonica** (Vávra) 1898 *Notodromas p.*, Vávra in: Ergeb. Hamb. Magalh.-Sammelr., *v.* 2 Ostr. p. 5 | 1901 *Newnhamia p.*, Vávra in: Arch. Naturg., *v.* 67 1 p. 180 (Synonymie).

Schale des ♀: Höhe $^2/_3$ der Länge, am höchsten in der Mitte; Dorsalrand stark gewölbt, gegen Vorder- und Hinterrand nicht abgegrenzt; Vorderende viel breiter gerundet als das Hinterende; Ventralrand gerade, nicht abgegrenzt. Schale mit flachen Höckern und mit durchsichtigen Stellen, die sie siebartig durchbrochen erscheinen lassen; dunkel schwarzgrau gefärbt; vom Rücken gesehen breit eiförmig, Breite $^1/_2$ der Länge. Stamm der Greiforgane beiderseits ungefähr gleich lang. Furca bei ♂ und ♀ ähnlich, fast gerade, vordere Borste vorhanden. — L. 0·6 mm.

Südpatagonien.

2. **N. fenestrata** R. L. King 1855 *N. f.* + *?N. gulielmi*, R. L. King in: P. Soc. Van Diemensland, *v.* 3 p. 67 t. 9 f. A 1—12; p. 67 | 1889 *Notodromus fenestrata*, *?N. guliemi*, Whitelegge in: J. R. Soc. N. S. Wales, *v.* 23 p. 320 (Synonymie) | 1901 *Newnhamia f.*, Vávra in: Arch. Naturg., *v.* 67 1 p. 180 t. 8 f. 1—3, 4—15.

Schale des ♀: Höhe $^3/_4$ der Länge, am höchsten etwa in der Mitte; Dorsalrand stumpfwinklig gebogen, die Ecke abgerundet; Ventralrand gerade; Vorderrand sehr kurz und breit; Hinterrand etwas schmaler gerundet. Oberfläche dicht mit stark lichtbrechenden, konischen Warzen bedeckt. Vom Rücken gesehen breit, Breite etwa $^5/_8$ der Länge; Hinterende breit gerundet, Vorderende zugespitzt. Schale des ♂ der des ♀ ähnlich. Letztes Glied der 2. Antenne in beiden Geschlechtern terminal mit einer starken Borste, die des ♂ gezähnelt. — L. 0·8 mm.

Australien; Bismarckarchipel; Neuseeland.

3. **N. fuscata** (G. Brady) 1886 *Notodromas f.*, G. S. Brady in: P. zool. Soc. London, p. 92 t. 10 f. 4—6.

Schale kurz, Höhe etwa $^3/_4$ der Länge, am höchsten wenig hinter der Mitte; Dorsalrand sehr stark gewölbt, gegen Vorder- und Hinterrand nicht abgegrenzt; Vorderende etwas schmaler gerundet als das Hinterende; Ventralrand gerade; Oberfläche schuppenartig, rauh, mit netzartiger Zeichnung. Farbe braun, mit dunkleren Flecken. — L. 1 mm.

Südaustralien.

3. Gen. **Cyprois** Zenker

1821 *Cypris* (part.), Straus in: Mém. Mus. Paris, *v.* 7 p. 59 | 1844 *C.* (part.), Zaddach, Syn. Crust. Pruss., p. 31 | 1851 *C.* (part.), S. Fischer in: Mém. prés. Ac. St.-

Pétersb., *v.* 7 p. 142 | 1854 *Cyprois* (part.), Zenker in: Arch. Naturg., *v.* 20 1 p. 80 | 1889 *C.*, G. S. Brady & A. M. Norman in: Tr. R. Dublin Soc., ser. 2 *v.* 4 p. 96 | (non 1895 *C.*, Daday in: Term. Füzetek, *v.* 18 Beilage p. 11) | 1900 *C.*, G. W. Müller in: Zool., *v.* (Heft) 30 p. 49.

Schale glatt, mit breitem, verschmolzenem Rande; der Saum entspringt weit vom Schalenrande, proximal von der Verwachsungslinie oder auf ihr. Endopodit der 2. Antenne in beiden Geschlechtern 3-gliedrig; das letzte Glied weniger als 3 mal so lang wie es an der Basis breit ist. 3. Kaufortsatz der Maxille distal mit 6 zahnartigen Borsten, von denen 2 schwächer sind als die übrigen. 1. Thoraxbein in beiden Geschlechtern mit deutlicher Atemplatte. Letztes Glied des 3. Thoraxbeines mit hakenartigem Fortsatze.

Fig. 50. **Cyprois marginata.** 3. Kaufortsatz der Maxille ($^{158}/_{1}$).

1 Art.

1. **C. marginata** (Straus) 1821 *Cypris m.*, Straus in: Mém. Mus. Paris, *v.* 7 p. 59 t. 1 f. 20—22 | 1844 *C. flava*, Zaddach, Syn. Crust. Pruss., p. 33 | 1851 *C. dispar*, S. Fischer in: Mém. prés. Ac. St.-Pétersb., *v.* 7 p. 142 t. 1 f. 1—11; t. 2 f. 1—6 | 1854 *Cyprois d.*, Zenker in: Arch. Naturg., *v.* 20 1 p. 81 (Synonymie) | 1889 *C. flava*, G. S. Brady & A. M. Norman in: Tr. R. Dublin Soc., ser. 2 *v.* 4 p. 97 t. 8 f. 18, 19; t. 12 f. 13—21, 38 | 1891 *C. marginata*, G. O. Sars in: Forh. Selsk. Christian., 1890 nr. 1 p. 54 (Synonymie) | 1900 *C. flava*, G. W. Müller in: Zool., *v.* (Heft) 30 p. 49 t. 12 f. 1, 2—10, 12—16.

Schale hoch, Höhe etwa $^{7}/_{10}$ der Länge, am höchsten in der Mitte; Dorsalrand gewölbt, mit Andeutung einer Ecke; Vorderrand breit gerundet; Hinterrand steil und fast geradlinig abfallend; hintere, ventrale Ecke stark abgerundet; Ventralrand flach gebuchtet, mit breitem, verschmolzenem, radiärgestreiftem Rande. Vom Rücken gesehen: Breite etwa $^{1}/_{2}$ der Länge, beide Enden wenig zugespitzt. Furca mit kurzem und breitem Stamme, beim ♂ stark, beim ♀ schwach gebogen; die Klauen schlank, annähernd gleich lang, nicht viel länger und kräftiger als die hintere Borste. — L. ♀ 1·55—1·7, ♂ 1·55 mm. — Fig. 50.

Nord- und Mitteleuropa, Nordamerika.

4. Gen. **Centrocypris** Vávra

1895 *Centrocypris*, Vávra in: Mt. Mus. Hamburg, *v.* 12 p. 15.

Schale kurz, Höhe größer als $^{1}/_{2}$ der Länge, mit Höckern oder dornartigen Fortsätzen. 3. Kaufortsatz der Maxille mit 4 dornartigen Anhängen und blattförmigen, stark gefiederten Borsten. Der Fortsatz des terminalen Gliedes des 3. Thoraxbeines löffelartig erweitert. Furca kräftig; die Klauen schlank, borstenartig; die vordere Borste sehr kurz.

2 Arten.

Übersicht der Arten:

Schale in der Rückenansicht ringsum mit zahlreichen starken Stacheln . . . . . 1. **C. horrida**

Schale in der Rückenansicht nur mit wenigen Spitzen am vorderen Rande . . . . . 2. **C. margaritifera**

1. **C. horrida** Vávra 1895 *C. h.*, Vávra in: Mt. Mus. Hamburg, *v.* 12 p. 16 f. 7, 1, 2, 3—9.

Schale des ♀: Höhe $^{8}/_{13}$ der Länge; Dorsalrand horizontal, annähernd gerade; beide Enden breit gerundet, das vordere etwas breiter. Schale mit

körniger Oberfläche, nach dem Rande zu mit Stacheln; eine Reihe großer, glasheller Stacheln findet sich in der Nachbarschaft des Vorder- und Ventralrandes; zwischen Stachelreihe und Ventralrand ist die Schale tief gefurcht. Vom Rücken gesehen ist die Breite etwa $^3/_4$ der Länge; Hinterende breit, Vorderende schmal gerundet, ringsum mit Dornen. — L. ♀ (?) 1·3 mm, ♂ etwas kleiner.

Sansibar.

2. **C. margaritifera** G. W. Müll. 1898 *C. m.*, G. W. Müller in: Abh. Senckenb. Ges., *v.* 21 p. 279 t. 15 f. **1**, 2, **3**,4—7, 10, **11**.

Schale des ♀: Höhe etwa $^2/_3$ der Länge, am höchsten vor der Mitte; Dorsalrand gewölbt, beide Enden breit gerundet. Oberfläche mit flachen Höckern; rechts nahe dem Ventralrande eine Reihe in der Mitte punktförmiger, in der hinteren Hälfte kurz stabförmiger Erhebungen; von größeren Dornen finden sich beiderseits in der Nachbarschaft des Vorderrandes etwa 6, einer an der hinteren, ventralen Ecke; ventrale Seite der Schale stark gerippt. Vom Rücken gesehen ist die Breite $^4/_5$ der Länge; Hinterende breit gerundet, Vorderende keilförmig verjüngt, Spitze abgestutzt. — L. ♀ 1·17 mm, ♂?

Madagaskar.

5. Gen. **Oncocypris** G. W. Müller

1898 *Oncocypris*, G. W. Müller in: Abh. Senckenb. Ges., *v.* 21 p. 286.

Schale dicht mit kleinen Warzen bedeckt. 3. Kaufortsatz der Maxille mit wenigstens 4 zahnartigen Borsten; 1. Thoraxbein ohne jede Andeutung einer Atemplatte. Letztes Glied des 3. Thoraxbeines kurz, konisch, mit 3 Borsten, ohne Haken; das vorletzte Glied ohne Fortsätze am distalen Ende. Furca rudimentär, mit sehr kurzem Stamme und langer Geißel. Ductus ejaculatorius mit etwa 16 regelmäßigen Rosetten von Chitinstrahlen.

1 Art.

1. **O. voeltzkowi** G. W. Müll. 1898 *O. v.*, G. W. Müller in: Abh. Senckenb. Ges., *v.* 21 p. 288 t. 19 f. **1**, 2—4, **5**, 6—18.

Schale: Höhe $^2/_3$ der Länge; der Dorsalrand bildet einen im Profil meist von zwei Höckern mehr oder weniger verdeckten Bogen; Vorder- und Hinterende breit gerundet; Oberfläche mit großen, ziemlich tiefen, nicht scharf begrenzten Gruben bedeckt; in der Tiefe jeder Grube ein scharf markierter Porenkanal; sowohl die Gruben wie die Ränder zwischen ihnen warzig. Vom Rücken gesehen sehr breit, Breite etwa gleich der Länge. — L. ♀ 0·5—0·63, ♂ 0·5—0·52 mm.

Madagaskar, Natal.

6. Gen. **Cyprinotus** G. Brady

1808 *Cypris* (part.), Ramdohr in: Mag. Ges. Fr. Berlin, *v.* 2 p. 84 | 1820 *Monoculus* (part.), Jurine, Hist. Monocles, p. 1 | 1850 *Cypris* (part.), W. Baird, Brit. Entom., p. 151 | 1885 *Cyprinotus*, G. S. Brady in: J. Linn. Soc. London, *v.* 19 p. 301 | 1890 *C.*, G. O. Sars in: Forh. Selsk. Christian., 1889 nr. 8 p. 5 | 1892 *Heterocypris* + *(Cypridonotus)*, Claus in: Arb. Inst. Wien, *v.* 10 p. 198, 197 | 1897 *Cyprinotus*, Vávra in: D.-O.-Afr., *v.* 4 p. 17.

Schale ziemlich hoch, Höhe meist deutlich größer als $^1/_2$ der Länge, Breite meist kleiner; der rechte oder linke Schalenrand ist in größerem oder

geringerem Umfange dicht mit rundlichen Höckern besetzt; dieselben finden sich entweder auf dem Rande oder medial vom Rande im Profil verborgen, niemals lateral vom Rande. 3. Kaufortsatz der Maxille mit 2 zahnartigen Borsten. Furca einschließlich der Klaue kürzer als die Hälfte der Schalenlänge (stets?); die vordere Furcalklaue mißt mindestens $^1/_2$ des Vorderrandes; die vordere Borste stets (?) weniger als $^1/_2$ der vorderen Klaue; Hinterrand glatt oder distal gleichmäßig behaart, die behaarte Strecke häufig scharf abgegrenzt.

18 sichere, 2 unsichere Arten.

Übersicht der sicheren Arten:

1	Rand der rechten Schale gezähnelt — **2.**	
	Rand der linken Schale gezähnelt — **15.**	
2	Rechte Schale in der Mitte mit einem den Schloßrand deutlich überragenden, dorsalen Höcker — **3.**	
	Rechte Schale ohne solchen Höcker — **4.**	
3	Dorsalrand im Profil gleichmäßig gewölbt; der Höcker der rechten Schale unterbricht oder überragt die Wölbung nicht	5. **C. dahli**
	Der Höcker der rechten Schale überragt die Wölbung des Dorsalrandes	1. **C. cingalensis**
4	♀ kleiner als 1 mm	2. **C. giesbrechtii**
	♀ größer als 1 mm — **5.**	
5	Die vordere Furcalborste mißt wenigstens $^1/_3$ der vorderen Klaue — **6.**	
	Die vordere Furcalborste mißt weniger als $^1/_3$ der vorderen Klaue — **11.**	
6	Vom Rücken gesehen: Breite größer als $^1/_2$ der Länge	11. **C. kaufmanni**
	Vom Rücken gesehen: Breite kleiner als $^1/_2$ der Länge — **7.**	
7	Die rechte Schale am Vorderende deutlich eingedrückt, so daß das Vorderende vom Rücken gesehen schief, schnabelartig zugespitzt erscheint — **8.**	
	Die rechte Schale am Vorderende nicht eingedrückt — **10.**	
8	In der Ansicht vom Rücken beide Enden in ähnlicher Weise zugespitzt	14. **C. sarsi**
	In der Ansicht vom Rücken das Vorderende deutlicher zugespitzt als das hintere — **9.**	
9	Vorderrand der Furca deutlich S-förmig gebogen	13. **C. capensis**
	Vorderrand der Furca fast gerade	12. **C. aureus**
10	Hinterrand der Furca in der distalen Hälfte behaart	3. **C. congener**
	Hinterrand der Furca glatt	8. **C. pellucidus**
11	Hinterrand der Furca in starkem, einfachem Bogen gekrümmt	4. **C. crenata**
	Hinterrand der Furca gerade oder schwach S-förmig gekrümmt — **12.**	
12	Länge mehr als 1·5 mm	10. **C. incongruens**
	Länge weniger als 1·5 mm — **13.**	
13	Dorsalrand der Schale deutlich winklig gebogen (nur ♀ bekannt)	9. **C. salinus**
	Mit gewölbtem Dorsalrande (stets in beiden Geschlechtern beobachtet) — **14.**	

14	Ventralrand des rechten Greiforganes des ♂ konvex	7. **C. dentato-marginatus**
	Ventralrand des rechten Greiforganes unregelmäßig gebogen	6. **C. symmetricus**
15	Größer als 1 mm — **16.**	
	Kleiner als 1 mm — **17.**	
16	Höhe der rechten Schale größer als $^2/_3$ der Länge	18. **C. pyxidatus**
	Höhe der rechten Schale kleiner als $^2/_3$ der Länge	17. **C. ovatus**
17	Hintere Furcalborste länger als die hintere Klaue	15. **C. fossulatus**
	Hintere Furcalborste kürzer als die hintere Klaue	16. **C. megalops**

1. **C. cingalensis** G. Brady 1885 *C. c.*, G. S. Brady in: J. Linn. Soc. London, *v.* 19 p. 302 t. 38 f. 28—30 | 1890 *C. c.*, G. O. Sars in: Forh. Selsk. Christian., 1889 nr. 8 p. 25 t. 1 f. **5, 6**; t. 3 f. 12.

Schale: Höhe (ohne Höcker der rechten Schale) $^2/_3$ der Länge, am höchsten wenig vor der Mitte; Dorsalrand undeutlich winklig gebogen, gegen Vorder- und Hinterrand nicht abgegrenzt, hinten wenig breiter gerundet als vorn; Ventralrand fast gerade; rechte Schale mit flachem, dorsalem Höcker von etwa $^1/_{12}$ der Schalenhöhe. Vom Rücken gesehen ist die Breite annähernd die Hälfte der Länge, vorn deutlich, hinten undeutlich zugespitzt. Furca gerade. — L. ♀ 1·20 mm, ♂ unbekannt.

Ceylon; Australien; Sandwich-Inseln.

2. **C. giesbrechtii** G. W. Müll. 1898 *C. g.*, G. W. Müller in: Abh. Senckenb. Ges., *v.* 21 p. 277 t. 15 f. **14, 15,** 16, **17,** 18—22.

Schale: Höhe $^1/_2$ der Länge, am höchsten in der Mitte; der Dorsalrand bildet meist einen stumpfen Winkel mit mehr oder weniger gerundeter Spitze, bisweilen (besonders beim ♂) ist der Winkel durch einen Bogen ersetzt; links grenzt sich der Dorsalrand beim ♀ stumpfwinklig gegen den steil abfallenden Hinterrand ab; diese Grenze ist rechts und beiderseits beim ♂ wenig deutlich; Vorderrand gerundet, Hinterrand in der dorsalen Hälfte annähernd gerade, in der ventralen ziemlich schmal gerundet; Ventralrand fast gerade. Vom Rücken gesehen ist die Breite kleiner als $^1/_2$ der Länge, Hinterende gerundet, Vorderende undeutlich zugespitzt. Furca mit geradem Hinterrande, schwach gebogenem Vorderrande; die vordere Borste mißt nur $^1/_4$ der vorderen Klaue; die hintere Borste deutlich kleiner als die hintere Klaue. — L. ♀ 0·85—0·95, ♂ 0·77—0·81 mm.

Aldabra [Indischer Ozean], Süßwasser.

3. **C. congener** Vávra 1897 *C. c.*, Vávra in: D.-O.-Afr., *v.* 4 p. 20 f. 7 **1, 2,** 3—7.

Schale: Höhe $^6/_{11}$ der Länge; Dorsalrand flach gewölbt, gegen den Hinterrand nicht abgegrenzt; im übrigen C. giesbrechtii sehr ähnlich. Vordere Furcalborste über $^1/_3$ der Länge der vorderen Klaue; die hintere Borste fast so lang wie die hintere Klaue. — L. 1·1 mm.

Ostafrika (Ugogo).

4. **C. crenata** (Turn.) ?1892 *Cypris sp.*, Turner in: Bull. Denison Univ., *v.* 6 p. 71 t. 2 f. 11—13 | 1893 *C. crenata*, Turner in: Bull. Denison Univ., *v.* 81 p. 9 t. 2 f. 22—32 | 1895 *Cyprinotus crena*, Turner in: Rep. Surv. Minnesota, Zool. *v.* 2 p. 331 t. 67 f. 11—13; t. 69 f. 22—31.

Schale: Höhe wenig mehr als $^1/_2$ der Länge; Dorsalrand stark gewölbt; Vorder- und Hinterende gerundet, das vordere wenig breiter; Ventralrand annähernd gerade. Vom Rücken gesehen ist die Breite weniger als

$^1/_2$ der Länge; Hinterende gerundet(?), Vorderende zugespitzt. Furca des ♂ stark gekrümmt. — L. ♀ 1·23, ♂ 1·14 mm.

Nordamerika (Ohio, Minnesota).

5. **C. dahli** O. Sars 1897 *C. d.*, G. O. Sars in: Arch. Naturv. Kristian., *v.* 19 nr. 1 p. 24 t. 4 f. 1—5.

Schale des ♀: Höhe wenig größer als $^1/_2$ der Länge, am höchsten wenig hinter der Mitte; Dorsalrand stark gewölbt, gegen Vorder- und Hinterrand nicht abgegrenzt; die Wölbung wird gebildet durch den rechten Schalenrand; der linke Schalenrand, resp. Schloßrand, schneidet etwa im mittleren Drittel durch eine nach hinten abfallende Linie ein Segment aus der Rundung heraus; Vorder- und Hinterrand schmal gerundet, Ventralrand fast gerade. Vom Rücken gesehen ist die Breite annähernd $^1/_2$ der Länge; beide Enden zugespitzt, das vordere stärker als das hintere; die vordere Spitze abgestutzt. Schale des ♂ etwas höher, der Dorsalrand stärker gewölbt. Furca gerade, die vordere Borste mißt noch nicht $^1/_4$ der vorderen Klaue. — L. ♀ 1·4, ♂ 1·2 mm.

Südafrika.

6. **C. symmetricus** G. W. Müll. 1898 *C. s.*, G. W. Müller in: Abh. Senckenb. Ges., *v.* 21 p. 276 t. 14 f. 19, 20, 25, 26; t. 15 f. 8, 9, 12, 13, 23.

Linke Schale: Höhe deutlich größer als $^1/_2$ der Länge; Dorsalrand flach gewölbt; Vorder- und Hinterrand breit gewölbt, ähnlich gestaltet; Ventralrand fast gerade. Rechte Schale wenig höher, Dorsalrand stärker gewölbt. Vom Rücken gesehen ist die Breite wenig größer als $^1/_2$ der Länge; beide Enden ähnlich gestaltet, abgestumpft; die linke Schale umfaßt die rechte, ohne sie stark zu überragen. Furca ziemlich gerade; die vordere Klaue mißt annähernd $^2/_3$ des Vorderrandes; die vordere Borste etwa $^1/_5$ der vorderen Klaue, die hintere Borste etwa $^2/_3$ der hinteren Klaue. Ventralrand des Fingers am rechten Greiforgane des ♂ gewellt. Die Hoden ragen mit ihrer Spitze nicht bis in die vordere Schalenhälfte. — L. ♀ 1·3—1·45, ♂ 0·95—1·25 mm.

Aldabra [Indischer Ozean], Süßwasser.

7. **C. dentato-marginatus** O. Sars (non 1859 *Cypris marginato-dentata*, W. Baird in: P. zool. Soc. London, p. 233 t. 63 f. 5) | 1890 *Cyprinotus dentato-marginatus*, G. O. Sars in: Forh. Selsk. Christian., 1889 nr. 8 p. 6 t. 1 f. 1—4; t. 3 f. 1—11; t. 4 | ?1902 *C. d.-m.*, G. S. Brady in: Tr. zool. Soc. London, *v.* 16 p. 196 t. 23 f. 6, 7.

Schale der von C. symmetricus ähnlich; Dorsalrand undeutlich winklig gebogen, gegen den in seiner dorsalen Hälfte steil abfallenden Hinterrand undeutlich abgegrenzt. Vom Rücken gesehen ist die Breite $^2/_5$ der Länge. Furca der von C. symmetricus ähnlich. Ventralrand des Fingers am rechten Greiforgane des ♂ einfach konvex; die Hodenschläuche reichen mit ihrer Spitze bis in die vordere Schalenhälfte. — L. ♀ 1·3, ♂ 1·15 mm.

Australien; Indien; Ceylon; Algier(?).

8. **C. pellucidus** R. Sharpe 1897 *C. pellucida*, R. Sharpe in: Bull. Illinois Lab., *v.* 4 p. 434 t. 42 f. 1—6 | 1903 *Cypris p.*, R. Sharpe in: P. U. S. Mus., *v.* 26 p. 988 t. 48 f. 1—5.

Schale: Höhe deutlich größer als $^1/_2$ der Länge, am höchsten wenig hinter der Mitte; Dorsalrand stark gewölbt; Hinterende breit, Vorderende schmal gerundet; Ventralrand ziemlich gerade. Vom Rücken gesehen ist

die Breite annähernd $^1/_2$ der Länge; beide Enden zugespitzt, das vordere stärker; die rechte Schale überragt die linke. Furca mit schwach gebogenem Vorderrande und geradem Hinterrande; die vordere Borste mißt $^1/_3$ der vorderen Klaue; die hintere Borste dicht behaart, annähernd so lang wie die hintere Klaue. — L. 1·1—1·4 mm.

Nordamerika (Illinois).

9. **C. salinus** (G. Brady) 1862 *Cypris strigata* (non *C. s.* O. F. Müller 1785), G. S. Brady in: Intell. Observ., *v.* 1 p. 452 f. 6 | 1868 *C. salina*, G. S. Brady in: Tr. Linn. Soc. London, *v.* 26 p. 368 t. 28 f. 8—13 | 1889 *C. prasina*, G. S. Brady & A. M. Norman in: Tr. R. Dublin Soc., ser. 2 *v.* 4 p. 78 (Synonymie) | 1891 *Cyprinotus salina*, G. O. Sars in: Forh. Selsk. Christian., 1890 nr. 1 p. 56 | 1896 *C. prasinus*, G. S. Brady & A. M. Norman in: Tr. R. Dublin Soc., ser. 2 *v.* 5 p. 722 (Synonymie) | 1900 *C. salina*, G. W. Müller in: Zool., *v.* (Heft) 30 p. 76 t. 16 f. **1**, **2**, **10**, 12 | ?1900 *Eucypris palermitana*, Daday, Ostr. Hungar., p. 158.

Schale: Höhe etwa $^2/_3$ der Länge, am höchsten wenig vor der Mitte; der Dorsalrand bildet einen stumpfen Winkel mit gerundeter Spitze (links stärker gerundet als rechts); Vorder- und Hinterrand breit gerundet; Ventralrand gerade. Mit lebhafter, scharf begrenzter, brauner Zeichnung. Vom Rücken gesehen ist die Breite wenig größer als $^1/_2$ der Länge; Hinterende gerundet, Vorderende abgestumpft zugespitzt; nahe der Spitze die rechte Schale deutlich, die linke undeutlich eingedrückt. Furcaläste ziemlich gerade; die vordere Klaue mißt etwa $^3/_5$ des Vorderrandes, die vordere Borste $^1/_4$ der vorderen Klaue; die hintere Borste annähernd so lang wie die hintere Klaue. — L. ♀ 1·2 mm, ♂ unbekannt.

Europa, Brackwasser.

10. **C. incongruens** (Ramdohr)

Diese Art zerfällt in 2 Unterarten:

10a. **C. incongruens incongruens** (Ramdohr) 1808 *Cypris i.* (part.?), Ramdohr in: Mag. Ges. Fr. Berlin, *v.* 2 p. 86 t. 3 f. 1—12, 15, 18—20 | 1820 *Monoculus ruber*, Jurine, Hist. Monocles, p. 172 t. 18 f. 3, 4 | 1820 *M. aurantius*, Jurine, Hist. Monocles, p. 173 t. 18 f. 5—12 | ?1821 *Cypris fusca*, Straus in: Mém. Mus. Paris, *v.* 7 p. 59 t. 1 f. 1—16 | ?1825 *C. rubra*, Desmarest, Consid. gén. Crust., p. 384 | 1838 *C. conchacea* (part.?), C. L. Koch, C. M. A., fasc. 21 nr. 12—14 | 1844 *C. aurantia*, Zaddach, Syn. Crust. Pruss., p. 37 | ?1850 *C. fusca*, W. Baird, Brit. Entom., p. 154 t. 19 f. 7 | (non 1853 *C. incongruens*, Lilljeborg, Clad. Ostr. Cop., p. 119 t. 9 f. 6, 7 t. 11 f. 1—4 | ?1855 *C. rubra*, S. Fischer in: Abh. Bayer. Ak., *v.* 7 p. 651 t. 19 f. 32, 33 | 1892 *Heterocypris incongruens*, Claus in: Arb. Inst. Wien, *v.* 10 p. 161, 198 | 1893 *Eucypris i.*, Wierzejski in: Rozpr. Ak. Krakow, *v.* 24 p. 241 | ?1894 *Cypris i. var. balatonica*, Daday in: Math. term. Értes., *v.* 12 p. 145 | ?1895 *Cyprinotus i.*, Turner in: Rep. Surv. Minnesota, Zool. *v.* 2 p. 330 t. 68 f. 9—16 | ?1897 *Cypris i. var. balatonica*, Daday in: Result. Erf. Balaton, *v.* 2 pars 1 p. 178 f. **134**, 135—137 | 1900 *Cyprinotus i.*, G. W. Müller in: Zool., *v.* (Heft) 30 p. 77 t. 13 f. **12**, **13**, 14—22 | 1900 *Eucypris conchacea*, Daday, Ostr. Hungar., p. 155 | 1903 *E. incongruens*, Daday in: Zool. Jahrb. Syst., *v.* 19 p. 81 (Synonymie).

Linke Schale des ♀: Höhe etwa $^3/_5$ der Länge, am höchsten in der Mitte; der Dorsalrand bildet einen ziemlich flachen Bogen, der gegen den Vorderrand nicht, gegen den Hinterrand undeutlich stumpfwinklig abgegrenzt ist; beide Enden breit gerundet, das hintere etwas breiter als das vordere; Ventralrand fast gerade, gegen Vorder- und Hinterrand nicht abgegrenzt. Vom Rücken gesehen ist die Breite annähernd $^1/_2$ der Länge, am breitesten auf $^3/_5$ der Länge; Hinterende schmal gerundet, Vorderende zugespitzt. Die Färbung schwankt zwischen schmutzig hellgelb und dunkel braungelb. Schale mit oberflächlichem Netzwerk feiner Kanäle. Vorderrand der Furca schwach,

aber deutlich gebogen; die vordere Borste mißt über $^1/_3$ der vorderen Klaue; die hintere Borste deutlich kürzer als die hintere Klaue. — L. ♀ 1·65—1·8, ♂ (sehr selten) 1·2 mm.

Sehr gemein in Nordeuropa; Südeuropa?; Sibirien; Nordamerika; Tripolis; Turkestan; Algier, in süßem und salzigem Wasser.

10b. **C. incongruens rosea** (Masi) 1905 *Cypris i. var. r.*, Masi in: Boll. Soc. zool. Ital., ser. 2 *v.* 6 p. 122.

Von der typischen Form durch rote Farbe unterschieden.

Süditalien.

11. **C. kaufmanni** Vávra 1906 *C. k.*, Vávra in: Zool. Jahrb. Syst., *v.* 23 p. 424 t. 24 f. 15—20.

Höhe etwa $^5/_8$ der Länge, am höchsten auf halber Länge, Dorsalrand stark gewölbt, Vorderende ziemlich schmal, Hinterende breit, fast halbkreisförmig gerundet, Ventralrand in der Mundgegend deutlich eingebuchtet. Die rechte Schale überragt die linke fast in ganzem Umfange wenig aber deutlich. Vom Rücken gesehen ist die Breite annähernd gleich $^1/_2$ der Länge, die größte Breite liegt hinter halber Länge, Vorderende etwas stärker zugespitzt als das hintere. Furcaläste fast gerade; die vordere Borste mißt $^1/_3$ der vorderen Klaue. Hinterrand in der distalen Hälfte behaart, ebenso die Borste des Hinterrandes und die Klauen. — L. ♀ 1·6 mm, ♂ unbekannt.

Japan.

12. **C. aureus** O. Sars 1895 *Cypris aurea*, G. O. Sars in: Skr. Vidensk. Christian., 1895 nr. 8 p. 34 t. 5 f. **4a, b, d,** c | 1896 *Cyprinotus aureus*, G. O. Sars in: Arch. Naturv. Kristian., *v.* 19 nr. 1 p. 25 (Synonymie).

Schale des ♀: Höhe wenig größer als $^1/_2$ der Länge, am höchsten wenig hinter der Mitte; Dorsalrand flach gewölbt, gegen den Vorderrand nicht, gegen den Hinterrand undeutlich abgegrenzt; Vorderrand breit gerundet; Hinterrand in der dorsalen Hälfte steil abfallend, schwach ausgebuchtet, in der ventralen Hälfte breit gerundet; Ventralrand schwach ausgebuchtet. Vom Rücken gesehen schmal, Breite deutlich kleiner als $^1/_2$ der Länge; Hinterende undeutlich zugespitzt, Vorderende keilförmig; die linke Seite nahe dem Ende schwach, die rechte deutlich eingedrückt; die linke Schale die rechte weit überragend. Schale des ♂ mit fast geradem Dorsalrande; beide Enden ähnlich gestaltet. Furca gerade; die vordere Borste mißt mehr als $^1/_3$ der vorderen Klaue. — L. ♀ 1·6, ♂ 1·32 mm.

Südafrika.

13. **C. capensis** G. W. Müll. 1908 *C. c.*, G. W. Müller in: D. Südp.-Exp., *v.* 10 p. 162 f. **1, 2,** 3—7.

Linke Schale des ♀: Höhe etwa $^5/_9$ der Länge, am höchsten wenig vor der Mitte, Dorsalrand deutlich gewölbt, gegen Vorder- und Hinterrand nicht abgegrenzt; Vorderrand mäßig breit gerundet, Hinterrand in seiner dorsalen Hälfte steil und fast gerade abfallend, in seiner ventralen Hälfte ziemlich schmal gerundet; rechte Schale wesentlich kleiner, im Verhältnis höher, Dorsalrand flach gewölbt, das Vorderende etwas schief abgestutzt, das Hinterende in der ventralen Hälfte schmal gerundet. Vom Rücken gesehen ist die Breite kleiner als $^1/_2$ der Länge, am breitesten hinter $^1/_2$ der Länge, Hinterende schmal gerundet, Vorderende deutlich zugespitzt, die rechte Schale stark eingedrückt. Furca mit flach S-förmig geschwungenem

Vorderrande und fast geradem Hinterrande. Die vordere Borste mißt über $^1/_3$ der vorderen Klaue. — L. ♀ 1·45—1·55 mm, ♂ unbekannt.

Südafrika.

14. **C. sarsi** G. Brady 1906 *C. s.*, G. S. Brady in: P. zool. Soc. London, p. 700 t. 51 f. 1—11.

Rechte Schale des ♀: Höhe größer als $^1/_2$ der Länge, am höchsten in der Mitte. Dorsalrand stark gewölbt, beide Enden annähernd gleich stark gerundet, das Vorderende wenig schmaler; Ventralrand in der Mitte flach ausgebuchtet. Vom Rücken gesehen (bei nicht geschlossener Schale) die Breite kleiner als $^1/_2$ der Länge, beide Enden zugespitzt, am Vorderende die rechte Schale deutlich eingedrückt. Schale des ♂ ähnlich. Furca an der Basis aufgetrieben, übrigens schlank und fast gerade. — L. 1·4 mm.

Neuseeland.

15. **C. fossulatus** Vávra 1897 *C. f.*, Vávra in: D.-O.-Afr., *v.* 4 p. 21 f. 8 **1, 2, 3—7.**

Schale: Höhe $^{11}/_{18}$ der Länge, am höchsten wenig hinter der Mitte; Dorsalrand stark gewölbt, Hinterende breit, Vorderende schmal gerundet; Ventralrand seicht eingebuchtet, die linke Schale am Rande gezähnelt, dicht mit kleinen Gruben bedeckt. Vom Rücken gesehen ist die Breite $^1/_2$ der Länge; Hinterende gerundet, Vorderende zugespitzt; die rechte Schale überragt vorn und hinten die linke. Furca gerade, die vordere Borste mißt etwa $^1/_4$ der vorderen Klaue; die hintere Borste länger als die hintere Klaue. — L. ♀ und ♂ 0·9 mm.

Ostafrika.

16. **C. megalops** (O. Sars) 1903 *Hemicypris m.*, G. O. Sars in: Arch. Naturv. Kristian., *v.* 25 nr. 8 p. 27 t. 3 f. **3, 3a,** 3b.

C. fossulatus ähnlich, höher, Höhe $^3/_5$ der Länge. Oberfläche glatt. Die hintere Borste kürzer als die hintere Klaue. — L. 0·86 mm.

Sumatra.

17. **C. ovatus** (O. Sars) 1903 *Hemicypris ovata,* G. O. Sars in: Arch. Naturv. Kristian., *v.* 25 nr. 8 p. 26 t. 3 f. **2, 2a,** 2b.

C. fossulatus ähnlich, unterschieden von dieser Art durch die glatte Oberfläche und durch die Hinterrandborste der Furca, die kürzer als die hintere Klaue ist; von der ähnlichen C. megalops durch die geringere Höhe und die beträchtlichere Länge. — L. 1·03 mm.

Sumatra.

18. **C. pyxidatus** Moniez 1892 *C. p.*, Moniez in: Weber, Reise Niederl. O.-Ind., *v.* 2 p. 134 t. 10 f. 23—27 | 1903 *Hemicypris pyxidata,* G. O. Sars in: Arch. Naturv. Kristian., *v.* 25 nr. 8 p. 25 t. 3 f. 1**a**—c, d—f.

Rechte Schale des ♀: Höhe etwa $^7/_{10}$ der Länge, am höchsten auf halber Länge, Dorsalrand stark gewölbt, beide Enden mäßig breit gerundet, die vordere wenig breiter als die hintere; Ventralrand konvex; linke Schale mit gezähneltem Rande, deutlich kleiner als die rechte, welche die linke fast in ganzem Umfange überragt, besonders deutlich in der vorderen Hälfte des Dorsalrandes und am Ventralrande. Oberfläche deutlich punktiert. — L. 1·02 mm.

Sumatra, Celebes.

C. fretensis (G. Brady & D. Roberts.) 1870 *Cypris f.*, G. S. Brady & D. Robertson in: Ann. nat. Hist., ser. 4 *v.* 6 p. 13 t. 4 f. 7—9 | 1891 *Cyprinotus f.*, G. O. Sars in: Forh. Selsk. Christian., 1890 nr. 1 p. 17, 56.

Schale: Höhe annähernd $^2/_3$ der Länge, am höchsten in der Mitte; Dorsalrand stark gewölbt; Vorderende mäßig breit gerundet, das Hinterende ähnlich, die Rundung etwa auf halber Höhe wenig ausgeschnitten; Ventralrand schwach gebuchtet. Vom Rücken gesehen ist die Breite weniger als $^1/_2$ der Länge; Hinterende gerundet, Vorderende keilförmig, die Spitze stark abgerundet; die rechte Schale nahe der Spitze etwas eingedrückt. — L. 1·1 mm.

England, Norwegen.

C. marginato-dentatus (W. Baird) 1859 *C. m.-d., C. m.-d. var.*, W. Baird in: P. zool. Soc. London, p. 233 t. 63 f. 5a—c, f. 5d, e.

Vorderindien.

7. Gen. **Eucypris** Vávra

1761 *Monoculus* (part.), Linné, Fauna Svec., ed. 2 p. 488 | 1776 *Cypris* (part.) O. F. Müller, Zool. Dan. Prodr., p. 198 | 1889 *C.* + *Erpetocypris* (part.), G. S. Brady & A. M. Norman in: Tr. R. Dublin Soc., ser. 2 *v.* 4 p. 73, 85 | 1891 *C.* (Subgen. *Erpetocypris* und *Eucypris* part.), Vávra in: Arch. Landesdf. Böhmen, *v.* 8 nr. 3 p. 82, 84, 90 | 1896 *C.* + *Herpetocypris* (part.) + *Prionocypris*, G. S. Brady & A. M. Norman in: Tr. R. Dublin Soc., ser. 2 *v.* 5 p. 720, 722, 724 | 1898 *C.* (part.), G. W. Müller in: Abh. Senckenb. Ges., *v.* 21 p. 265 | 1900 *C.* (part.) + *Herpetocypris* (part.) + *Prionocypris* + *Microcypris*, Kaufmann in: Rev. Suisse Zool., *v.* 8 p. 264, 281, 292, 301 | 1902 *C.* (part.) + *Amphicypris*, G. O. Sars in: Arch. Naturv. Kristian., *v.* 24 nr. 1 p. 20, 16.

Der Saum entspringt auf dem Schalenrande oder in seiner Nachbarschaft; ist er deutlich verschoben, so beschränkt sich die Verschiebung auf die vordere Hälfte der rechten Schale, niemals entspringt er beiderseits proximal von der Verschmelzungslinie. Schwimmborsten der 2. Antenne wohl entwickelt oder verkümmert. Terminales Glied des Maxillartasters von mittlerer Form, zylindrisch oder distal wenig erweitert, Länge 1—2 mal so groß wie die Breite; 3. Kaufortsatz der Maxille mit 2 zahnartigen Borsten. Furca wohl entwickelt, Hinterrand niemals deutlich gesägt behaart, Furcalklauen glatt oder gewimpert, niemals gesägt. Abstand der hinteren Furcalborste mindestens so groß wie die benachbarte Furcalklaue an ihrer Basis breit ist. Die vordere Furcalborste mißt stets weniger als $^1/_2$ der benachbarten Klaue, die vordere Furcalklaue länger als $^1/_2$ des Vorderrandes der Furca.

20 Arten.

Übersicht der Arten.

1 { Die Schwimmborsten der 2. Antenne erreichen die Spitzen der Klauen des terminalen Gliedes — **2.**
Die Schwimmborsten der 2. Antenne erreichen die Spitzen der Klauen des terminalen Gliedes nicht, reichen höchstens bis zu deren halber Länge — **15.**

2 { Größer als 1·5 mm — **3.**
Kleiner als 1·5 mm — **11.**

3 { In der Ansicht vom Rücken ist das Hinterende deutlich schnabelartig zugespitzt (die Schalen nahe dem Hinterrande eingedrückt) . . . . . **14. E. crassa**
In der Ansicht vom Rücken das Hinterende nicht schnabelartig zugespitzt — **4.**

4	Am Vorderrande der rechten Schale wird der Saum im Profil vom Schalenrande um das mehrfache seiner Breite überragt — **5.**	
	Am Vorderrande der rechten Schale wird der Saum im Profil nicht oder nur unbedeutend vom Schalenrande überragt — **9.**	
5	Vordere Furcalklaue länger als $^3/_4$ des Vorderrandes der Furca	15. **E. ornata**
	Vordere Furcalklaue kürzer als $^3/_4$ des Vorderrandes der Furca — **6.**	
6	Endglied des Maxillartasters schlank, mindestens noch einmal so lang wie breit, nach der Spitze hin verjüngt — **7.**	
	Endglied des Maxillartasters ziemlich gedrungen, kürzer als die doppelte Breite, distal wenig verbreitert . . .	16. **E. clavata**
7	Größer als 2·5 mm	19. **E. trichota**
	Kleiner als 2·5 mm — **8.**	
8	Die terminale Klaue des 2. Thoraxbeines so lang wie die 3 terminalen Glieder des Beines	18. **E. corpulenta**
	Die terminale Klaue des 2. Thoraxbeines etwa so lang wie das 3. Glied am Dorsalrande gemessen	20. **E. capensis**
9	Die vordere Furcalklaue wenigstens $^3/_4$ so lang wie der Vorderrand des Stammes	3. **E. elliptica**
	Diese Klaue höchstens $^2/_3$ so lang wie der Vorderrand des Stammes — **10.**	
10	Vorder- und Hinterende der Schale ähnlich, beide Enden stark verschmälert	2. **E. lilljeborgi**
	Beide Enden auffallend verschieden gestaltet, meist das vordere breiter gerundet als das hintere	1. **E. virens**
11	Am Vorderrande wird rechts der Saum vom Schalenrande um das mehrfache seiner Breite überragt	17. **E. fuscata**
	Am Vorderrande wird rechts der Saum nicht oder nur unbedeutend durch den Schalenrand überragt — **12.**	
12	Die rechte Schale zeigt am Vorderrande eine auffällige, radiäre Streifung, die Streifen viel dicker als die Porenkanäle	12. **E. radiata**
	Rechte Schale ohne solche Streifung — **13.**	
13	Oberfläche beider Schalen mit dichter und auffälliger Streifung, die Streifen verlaufen überwiegend dem Dorsal- und Ventralrande parallel	13. **E. syngramma**
	Oberfläche der Schale ohne solche Streifung — **14.**	
14	Größer als 1·2 mm	2. **E. lilljeborgi**
	Kleiner als 1·2 mm	4. **E. reticulata**
15	Hinterende der Schale gezähnelt	11. **E. zenkeri**
	Hinterende der Schale nicht gezähnelt — **16.**	
16	Größer als 1·5 mm — **17.**	
	Kleiner als 1·5 mm — **20.**	
17	Größer als 3 mm	8. **E. nobilis**
	Kleiner als 3 mm — **18.**	
18	Vom Rücken gesehen das Hinterende deutlich schmaler als das Vorderende	7. **E. oblongata**
	Vom Rücken gesehen beide Enden ähnlich gestaltet — **19.**	
19	Vom Rücken gesehen Breite gleich $^1/_2$ der Länge . . .	6. **E. glacialis**
	Vom Rücken gesehen Breite kleiner als $^1/_2$ der Länge .	5. **E. lutaria**
20	Vom Rücken gesehen Breite gleich $^1/_3$ der Länge . . .	10. **E. reptans**
	Vom Rücken gesehen Breite größer als $^1/_2$ der Länge . .	9. **E. pigra**

1. **E. virens** (Jurine[?], G. Brady) ?1820 *Monoculus puber* (non *Cypris pubera* Müller 1785), Jurine, Hist. Monocles, p. 171 t. 18 f. 1, 2 | ?1820 *M. virens*, Jurine, Hist. Monocles, p. 174 t. 18 f. 15, 16 | 1825 *Cypris v.*, Desmarest, Consid. gén. Crust., p. 384 | ?1835 *C. tristriata*, W. Baird in: Hist. Berwick. Club, *v.* 1 p. 99 t. 3 f. 13 | ?1850 *C. t.*, W. Baird, Brit. Entom., p. 152 t. 18 f. 1—3 | ?1850 *C. theobromacea*, Haupt in: KB. Ver. Regensburg, *v.* 4 p. 151 | 1851 *C. ornata*, S. Fischer in: Mém. prés. Ac. St.-Pétersb., *v.* 7 p. 157 t. 9 f. 7—10 | 1868 *C. virens*, G. S. Brady in: Tr. Linn. Soc. London, *v.* 26 p. 364 t. 23 f. 23—32; t. 36 f. 1 | 1870 *C. ventricosa*, G. S. Brady & D. Robertson in: Ann. nat. Hist., ser. 4 *v.* 6 p. 12 t. 4 f. 1—3 | 1872 *C. pubera*, Frič in: Arch. Landesdf. Böhmen, *v.* 2 IV p. 226 | (non 1887 *C. virens*, Herrick in: Mem. Denison Ass., *v.* 1 nr. 1 p. 24 t. 6 f. 3) | ?1887 *C. helena*, Moniez in: Bull. Soc. Étud. Paris, 1887 p. 2 | (non 1895 *C. virens*, Turner in: Rep. Surv. Minnesota, Zool. *v.* 2 p. 321 t. 74 f. 3) | 1900 *C. v.*, G. W. Müller in: Zool., *v.* (Heft) 30 p. 62 t. 15 f. **1—4**, **7—10**, 16—18 | 1900 *Eucypris v.*, Daday, Ostr. Hungar., p. 143.

Diese Art zerfällt in 3 Unterarten:

1a. **E. virens media** (G. W. Müll.) 1900 *Cypris v. var. m.*, G. W. Müller in: Zool., *v.* (Heft) 30 p. 62 t. 15 f. **1**, **7**.

Linke Schale des ♀: Höhe etwa $^3/_5$ der Länge, am höchsten wenig hinter der Mitte; der Dorsalrand bildet einen stumpfen Winkel mit abgerundeter Ecke, dessen hinterer Schenkel deutlich steiler abfällt als der vordere; der hintere Schenkel bildet auf etwa $^{11}/_{12}$ der Länge mit dem Hinterrande eine deutliche, abgerundete Ecke; Vorderende mäßig breit gerundet, Hinterrand breiter gerundet, steil abfallend; Ventralrand in der Mundgegend deutlich vorgewölbt; neben dem Vorderrande finden sich etwa 5 deutlich warzenartig erhobene Porenkanäle. Vom Rücken gesehen ist die Breite etwa $^1/_2$ der Länge, am breitesten hinter der Mitte; Hinterende wenig, Vorderende stärker zugespitzt; hier die Spitze abgestutzt; neben dem Vorderende sind die Warzen des Vorderrandes als deutliche Spitzen sichtbar. Schwimmborsten der 2. Antenne wohl entwickelt. Klauen des 3. Kaufortsatzes der Maxille ungezähnelt. Furca mit deutlich gebogenem Vorderrande und fast geradem Hinterrande; die Klauen schlank, wenig gebogen; die vordere mißt etwa $^2/_3$ des Vorderrandes. — L. ♀ 1·8—2·2 mm.

1b. **E. virens obtusa** (G. W. Müll.) 1900 *Cypris v. var. o.*, G. W. Müller in: Zool., *v.* (Heft) 30 p. 63 t. 15 f. **3**, **4**, **8**, **10**.

Die Ecke zwischen Dorsal- und Hinterrand ist weiter nach hinten verschoben, derart, daß der Hinterrand links etwa senkrecht abfällt oder mit dem Ventralrande einen stumpfen Winkel bildet. Vom Rücken gesehen ist das Hinterende gerundet. Sonst wie C. virens media. — L. ♀ 1·6—1·9 mm.

1c. **E. virens acuminata** (G. W. Müll.) 1900 *Cypris v. var. a.*, G. W. Müller in: Zool., *v.* (Heft) 30 p. 63 t. 15 f. **2**, **9**.

Die Ecke zwischen Dorsal- und Hinterrand ist nach vorn verschoben und undeutlich oder ganz unterdrückt; das Hinterende ist schmal gerundet, deutlich schmaler als das Vorderende. Vom Rücken gesehen sind beide Enden in ähnlicher Weise zugespitzt. Sonst wie C. virens media. Zwischen den 3 Formen finden sich alle Übergänge. — L. ♀ 2·1—2·3 mm.

Verbreitung aller 3 Varietäten: Nord- und Mitteleuropa; Algier, in salzigem Wasser; Azoren; Nordamerika.

2. **E. lilljeborgi** (G. W. Müll.) ?1853 *Cypris virens* (part.), Lilljeborg, Clad. Ostr. Cop., p. 117 t. 10 f. 23—25; t. 19 f. 8 | ?1887 *C. v. var. monilifera* (non *C. m.* G. Brady 1885), G. S. Brady in: Rep. Fish. Board Scotl., *v.* 5 p. 329 t. 19 f. 1, 2 | 1900 *C. lilljeborgi*, G. W. Müller in: Zool., *v.* (Heft) 30 p. 64 t. 15 f. **5**, **6**, 14, 15.

Linke Schale des ♀: Höhe etwas größer als $^1/_2$ der Länge, am höchsten wenig vor der Mitte; der Dorsalrand bildet einen stumpfen Winkel mit wenig abgerundeter Spitze, dessen beide Schenkel in flachem Bogen verlaufen, sehr deutlich und ungefähr gleich stark abfallen und ohne Andeutung einer Grenze (hintere bisweilen angedeutet) in Vorder- und Hinterrand übergehen; Vorderende mäßig breit, Hinterende etwas schmaler gerundet; Ventralrand fast gerade, in der Mundgegend ausgebuchtet; Warzen nahe dem Vorderrande wie bei E. virens. Vom Rücken gesehen ist die Breite annähernd $^1/_2$ der Länge; Vorderende spitz, die Spitze abgestutzt, neben der Spitze höckrig; Hinterende gerundet. — L. ♀ 1·37—1·6 mm.

Nordeuropa.

3. **E. elliptica** (W. Baird) 1846 *Cypris e.*, W. Baird in: Hist. Berwick. Club, *v.* 2 p. 152 (descr. nulla) | ?1850 *C. e.*, W. Baird, Brit. Entom., p. 158 t. 19 f. 12 | 1900 *C. e.*, G. W. Müller in: Zool., *v.* (Heft) 30 p. 61 t. 16 f. 7, **14**, **15**; t. 17, f. **7**.

Linke Schale des ♀: Höhe etwa $^5/_9$ der Länge, am höchsten vor der Mitte; der Dorsalrand bildet eine ziemlich deutliche Ecke, von der aus er nach vorn und hinten annähernd geradlinig und gleich stark abfällt; auf etwa $^5/_6$ der Länge bildet er eine undeutliche Ecke mit dem Hinterrande; Vorderrand breit, Hinterrand viel schmaler gerundet, in der dorsalen Hälfte ziemlich steil abfallend; Ventralrand in der Mundgegend deutlich vorgewölbt, nicht oder nur undeutlich eingebuchtet. Vom Rücken gesehen ist die Breite etwa $^5/_9$ der Länge, am breitesten hinter der Mitte; Vorderende zugespitzt, die Seiten neben der Spitze stark eingedrückt; neben der Spitze kleine Höcker, Hinterende gerundet. Schwimmborsten der 2. Antenne wohl entwickelt. Klauen des 3. Kaufortsatzes der Maxille ungezähnelt. Furcaläste schlank; Hinterrand gerade, Vorderrand deutlich S-förmig gebogen; vordere Klaue fast gerade, schlank, fast so lang wie der Vorderrand; die hintere Klaue mißt weniger als $^2/_3$ der vorderen und ist schwach gebogen. — L. ♀ 1·6—1·9 mm.

Nordeuropa.

4. **E. reticulata** (Zadd.) ?1844 *Cypris r.*, Zaddach, Syn. Crust. Pruss., p. 34 | ?1864 *C. affinis*, G. S. Brady in: Ann. nat. Hist., ser. 3 *v.* 13 p. 60 t. 3 f. 6—11 | ?1868 *C. tessellata* (Larve?), G. S. Brady in: Tr. Linn. Soc. London, *v.* 26 p. 366 t. 23 f. 39—45 | ?1897 *C. reticulata*, R. Sharpe in: Bull. Illinois Lab., *v.* 4 p. 441 t. 43 f. 3, 4 | 1900 *C. r.*, G. W. Müller in: Zool., *v.* (Heft) 30 p. 68 t. 16 f. **3**, **4**, 13 | ?1900 *Eucypris r.*, Daday, Ostr. Hungar., p. 145 | ?1900 *Cypris affinis, C. a. reticulata, C. r.* (part.?), Kaufmann in: Rev. Suisse Zool., *v.* 8 p. 272 t. 31 f. **26**; Figurenerklärung zu t. 15 und 18; t. 15 f. **17**, **18**, 19, 20; t. 18 f. 10—13.

Schale im Profil der von C. elliptica ähnlich, doch liegt der höchste Punkt in der Mitte. Vom Rücken gesehen beide Enden gerundet, die Rundung an den Schalenrändern etwas unterbrochen, vorn nicht eingedrückt, nicht höckrig. Schwimmborsten der 2. Antenne wohl entwickelt. Von den 2 Klauen des 3. Kaufortsatzes der Maxille eine deutlich, eine undeutlich gezähnelt. Furca schlank, fast gerade; Hinterrand proximal deutlich, Vorderrand distal schwach gebogen; vordere Klaue wenig länger als $^1/_2$ des Vorderrandes. — L. ♀ 1·1—1·2 mm.

Nordeuropa; Ungarn?; Nordamerika?

5. **E. lutaria** (C. L. Koch) 1805 *Cypris strigata* (non *C. s.* O. F. Müller 1785), Ramdohr, Monoculusart., p. 14 t. 4 | 1820 *Monoculus ornatus* (non *Cypris o.* O. F. Müller 1785), Jurine, Hist. Monocles, p. 170 t. 3 f. 4—6 | 1838 *Cypris lutaria*, C. L.

Koch, C. M. A., fasc. 21 nr. 15 | 1844 *C. jurinii*, Zaddach, Syn. Crust. Pruss., p. 36 | ?1853 *C. lucida*, Lilljeborg, Clad. Ostr. Cop., p. 122 t. 25 f. 7—10 | 1853 *C. jurinii*, Lilljeborg, Clad. Ostr. Cop., p. 125 t. 11 f. 24—26 | 1870 *C. ornata* (part.), G. S. Brady in: Nat. Hist. Tr. Northumb., *v.* 3 p. 364 t. 14 f. 1—3 | 1889 *Erpetocypris strigata*, G. S. Brady & A. M. Norman in: Tr. R. Dublin Soc., ser. 2 *v.* 4 p. 85 t. 8 f. 14, 15 | 1891 *Herpetocypris jurinii*, G. O. Sars in: Forh. Selsk. Christian., 1890 nr. 1 p. 60 (Synonymie) | ?1895 *Erpetocypris peregrina*, Croneberg in: Bull. Soc. Moscou, ser. 2 *v.* 8 p. 299 t. 7 f. 15 | 1900 *Cypris strigata*, G. W. Müller in: Zool., *v.* (Heft) 30 p. 74 t. 15 f. **11—13**, 19, 20 | 1900 *Herpetocypris peregrina*, Kaufmann in: Rev. Suisse Zool., *v.* 8 p. 289 t. 16 f. **10, 11**, 12 t. 21 f. **5**—8 | 1900 *H. strigata*, Daday, Ostr. Hungar., p. 166.

Fig. 51. **Eucypris lutaria.** Furcalast ($^{45}/_{1}$).

Linke Schale des ♀: Höhe etwa gleich $^{1}/_{2}$ der Länge, am höchsten in der Mitte oder wenig davor; der Dorsalrand bildet einen sehr stumpfen Winkel mit stark abgerundeter Spitze, dessen vorderer Schenkel ohne Andeutung einer Grenze in den breit gerundeten Vorderrand übergeht; der hintere Rand bildet einen flachen Bogen, der anfangs sehr wenig, im letzten Viertel der Länge stärker abfällt; er geht ebenfalls ohne Andeutung einer Grenze in den viel schmaler als der Vorderrand gerundeten Hinterrand über; Ventralrand fast gerade. Behaarung der Schale kurz und fein; Färbung bis auf einen breiten, dem Vorder- und Ventralrande folgenden, schmutzig weißen Streifen schmutzig blaugrün, bisweilen lebhaft gelb. Vom Rücken gesehen ist die Breite annähernd $^{1}/_{2}$ der Länge ($^{5}/_{11}$), am breitesten in der Mitte; beide Enden zugespitzt. Schwimmborsten der 2. Antenne kurz. Klauen des 3. Kaufortsatzes der Maxille meist gezähnelt, selten ungezähnelt. Hinterrand der Furca annähernd gerade, Vorderrand deutlich gebogen; neben dem Hinterrande lateral und distal eine wellige Reihe feiner Börstchen. — L. 2·0—2·6 mm. — Fig. 51.

Nord- und Mitteleuropa, Asien.

6. **E. glacialis** (O. Sars) 1886 *Cypris jurinii* (non Zaddach 1844), G. O. Sars in: Norske Nordhavs-Exp., *v.* 6 Crust. II p. 75 (descr. nulla) | 1891 *Herpetocypris glacialis*, G. O. Sars in: Forh. Selsk. Christian., 1890 nr. 1 p. 61 | 1896 *H. (Candona) g.*, G. S. Brady & A. M. Norman in: Tr. R. Dublin Soc., ser. 2 *v.* 5 p. 722 t. 68 f. **1, 2** (Tafelerklärung) | 1908 *H. g.*, Ekman in: Naturw. Unters. Sarekgebirg., *v.* 4 p. 173.

Höhe deutlich größer als $^{1}/_{2}$ der Länge ($^{88}/_{162}$), am höchsten vor der Mitte; beide Enden annähernd gleich breit gerundet. Vom Rücken gesehen ist die Breite gleich $^{1}/_{2}$ der Länge, beide Enden ähnlich gestaltet. Farbe glänzend weiß. Die Schwimmborsten der 2. Antenne reichen nicht bis zur Basis des terminalen Gliedes. Dornen der Maxille gezähnt. Furca der von E. lutaria ähnlich. — L. 1·62 mm.

Arktis (Spitzbergen, Bäreninsel, Barents-Insel, Finmarken, Sarekgebirge).

7. **E. oblongata** (O. Sars) 1896 *Cypris o.*, G. O. Sars in: Arch. Naturv. Kristian., *v.* 19 nr. 1 p. 29 t. 4 f. 6—9.

Schale des ♀ gestreckt, Höhe deutlich kleiner als $^{1}/_{2}$ der Länge, am höchsten vor der Mitte; Dorsalrand flach gewölbt; Vorderende mäßig breit, Hinterende schmal gerundet; Rundung dorsal etwas eingedrückt; Ventralrand flach eingebuchtet. Vom Rücken gesehen ist die Breite etwa $^{1}/_{5}$ der Länge, am breitesten vor der Mitte; beide Enden zugespitzt, das hintere stärker. Vorder- und Hinterrand der Furca deutlich gekrümmt; Hinterrand glatt; die Klauen deutlich gekrümmt, ungezähnelt; die vordere mißt etwa die

Hälfte des Vorderrandes und die vordere Borste etwa $^1/_3$ der vorderen Klaue; die hintere entspringt auf etwa $^6/_7$ des Hinterrandes. — L. ♀ 1·9, ♂ 1·6 mm.

Westaustralien.

8. **E. nobilis** (O. Sars) 1901 *Amphicypris n.*, G. O. Sars in: Arch. Naturv. Kristian., *v.* 24 nr. 1 p. 18 t. 4 | 1905 *Eucypris n.*, Daday in: Zool., *v.* (Heft) 44 p. 243 (descr. nulla).

Höhe annähernd $^1/_2$ der Länge, am höchsten hinter der Mitte; Dorsalrand flach gewölbt, gegen Vorder- und Hinterrand nicht abgegrenzt, beide Enden breit gerundet; Ventralrand fast gerade. Vom Rücken gesehen Breite wenig größer als $^1/_3$ der Länge, am breitesten in der Mitte, die Seiten bilden Bogen, welche gleichmäßig vom vorderen zum hinteren Ende verlaufen; beide Enden zugespitzt. Gelb. Furca schlank, fast gerade; Hinterrand mit einer gleichmäßigen Reihe feiner Stacheln, welche fast bis zur Basis reicht; die vordere Klaue mißt etwas über $^1/_2$ des Vorderrandes, die hintere etwa $^2/_3$ der vorderen, die vordere Borste $^1/_4$ der vorderen Klaue. — L. 3·20 mm.

Argentinien, Paraguay.

9. **E. pigra** (S. Fisch.) 1851 *Cypris p.*, S. Fischer in: Mém. prés. Ac. St.-Pétersb., *v.* 7 p. 158 t. 9 f. 11—16 | 1870 *C. tumefacta*, G. S. Brady & D. Robertson in: Ann. nat. Hist., ser. 4 *v.* 6 p. 13 t. 4 f. 4—6 | 1889 *Erpetocypris t.*, G. S. Brady & A. M. Norman in: Tr. R. Dublin Soc., ser. 2 *v.* 4 p. 87 t. 8 f. 5—7; t. 13 f. 18 | 1891 *Herpetocypris t.*, G. O. Sars in: Forh. Selsk. Christian., 1890 nr. 1 p. 62 | 1900 *Cypris t.*, G. W. Müller in: Zool., *v.* (Heft) 30 p. 73 t. 17 f. **4, 8,** 13 | 1900 *Prionocypris t.*, Kaufmann in: Rev. Suisse Zool., *v.* 8 p. 295 t. 16 f. **13—15**; t. 21 f. 9—13.

Linke Schale des ♀: Höhe etwa $^5/_9$ der Länge, am höchsten wenig vor der Mitte; der Dorsalrand bildet einen Winkel mit stark abgerundeter Spitze, dessen beide Schenkel annähernd gerade sind und deutlich abfallen, der vordere steiler als der hintere; der Dorsalrand gegen den Vorderrand nicht, gegen den Hinterrand nur sehr undeutlich abgegrenzt; Vorderende schmal, Hinterende deutlich breiter gerundet; Ventralrand fast gerade, in der Mundgegend deutlich ausgebuchtet. Schale dünn behaart, gelbweiß pigmentiert. Vom Rücken gesehen ist die Breite wenig größer als $^1/_2$ der Länge, am breitesten hinter der Mitte; beide Enden zugespitzt, das vordere etwa rechtwinklig, das hintere stumpfwinklig. Schwimmborsten der 2. Antenne kurz. Klauen des 3. Kaufortsatzes der Maxille ungezähnelt. Furca kräftig; Hinterrand fast gerade, Vorderrand deutlich gebogen; der Hinterrand distal derb, proximal zart. — L. ♀ 0·87—1·0 mm.

Nordeuropa.

10. **E. reptans** (Kaufmann)

Diese Art zerfällt in 2 Unterarten:

10a. **E. reptans reptans** (Kaufmann) 1900 *Microcypris r.*, Kaufmann in: Zool. Anz., *v.* 23 p. 132 | 1900 *M. r.*, Kaufmann in: Rev. Suisse Zool., *v.* 8 p. 301 t. 16 f. 16—18; t. 21 f. 14—16 | 1905 *Cypris kaufmanni*, Masi in: Boll. Soc. zool. Ital., ser. 2 *v.* 6 p. 123.

Schale des ♀: Höhe deutlich größer als $^1/_2$ der Länge ($^8/_{13}$), am höchsten etwa in der Mitte; der Dorsalrand bildet einen stumpfen Winkel mit stark gerundeter Ecke, dessen vorderer Schenkel stärker abfällt als der hintere; Vorderende ziemlich schmal, Hinterende etwas breiter gerundet; Ventralrand schwach eingebuchtet. Vom Rücken gesehen ist die Breite $^1/_2$

der Länge; vorn wenig zugespitzt, hinten stumpf. Schwimmborsten der 2. Antenne kurz; sie reichen nur bis zur halben Länge des subterminalen Gliedes. Klauen der 3. Maxillarlade gezähnelt. Furca mit deutlich gebogenem Vorder- und fast geradem Hinterrande; die vordere Klaue mißt $^2/_3$ des Vorderrandes. — L. ♀ 1·04 mm.

Schweiz.

10b. **E. reptans limbata** (Masi) 1905 *Cypris kaufmanni var. l.*, Masi in: Boll. Soc. zool. Ital., ser. 2 *v.* 6 p. 123.

Die Schwimmborsten der 2. Antenne reichen bis zum letzten Gliede; sonst wie die typische Form.

Süditalien.

11. **E. zenkeri** (C. Chyzer) 1858 *Cypris z.*, C. Chyzer in: Verh. Ges. Wien, *v.* 8 p. 514 | 1861 *Candona serrata*, A. M. Norman in: Tr. Tyneside Club, *v.* 5 p. 148 t. 3 f. 1—6 | 1868 *Cypris s.*, G. S. Brady in: Tr. Linn. Soc. London, *v.* 26 p. 371 t. 25 f. 15—19; t. 36 f. 3 | 1880 *C. bicolor*, G. W. Müller in: Z. Naturw., *v.* 53 p. 236 t. 4 f. 24—26 | 1889 *Erpetocypris serrata*, G. S. Brady & A. M. Norman in: Tr. R. Dublin Soc., ser. 2 *v.* 4 p. 87 (Synonymie) | 1896 *Prionocypris s.*, G. S. Brady & A. M. Norman in: Tr. R. Dublin Soc., ser. 2 *v.* 5 p. 724 (Synonymie) | 1900 *Cypris s.*, G. W. Müller in: Zool., *v.* (Heft) 30 p. 72 t. 14 f. **3, 11**, 14 | ?1900 *Herpetocypris zenkeri*, Daday, Ostr. Hungar., p. 168.

Umriß der linken Schale ähnlich wie bei E. ornata (nr. 15), am höchsten auf $^2/_5$ der Länge; der Winkel, den der Dorsalrand bildet, deutlich ausgeprägt, der hintere Schenkel etwas konkav; hintere ventrale Ecke beiderseits mit 6—8 flachen, wenig auffälligen Zähnen; an der Grenze von Vorder- und Ventralrand links 3 oder 4 sehr undeutliche Zähne (fehlen rechts). Schale zum größten Teile dunkel grauschwarz oder schmutzig grün pigmentiert. Vom Rücken gesehen ist die Breite $^6/_{13}$ der Länge; beide Enden zugespitzt, die Spitzen abgestutzt. Die Schwimmborsten der 2. Antenne erreichen das letzte Glied nicht. Klauen des 3. Kaufortsatzes der Maxille ungezähnelt. Furca mit fast geradem Hinterrande und deutlich gebogenem Vorderrande; Klauen sehr zart gewimpert, die vordere mißt wenig über $^1/_2$ der Länge des Vorderrandes. — L. ♀ 1·2—1·5, gewöhnlich 1·4—1·5 mm.

Nord- und Mitteleuropa.

12. **E. radiata** (G. W. Müll.) 1908 *Cypris r.*, G. W. Müller in: D. Südp.-Exp., *v.* 10 p. 146.

Linke Schale des ♀: Höhe annähernd $^2/_3$ der Länge, am höchsten etwa auf $^7/_{10}$ der Länge, Dorsalrand stark gewölbt, gegen Vorder- und Hinterrand nicht abgegrenzt; Vorderende breit, Hinterende etwas schmaler gerundet. Vorderrand stumpf sägeartig gezähnelt. Rechte Schale der linken in der Form ähnlich, Rand weniger deutlich gezähnelt. Nahe dem Vorderrande finden sich nur rechts etwa 20 kurze, dicke, dunkle, radiäre Streifen. Vom Rücken gesehen eiförmig, Breite annähernd $^2/_3$ der Länge, Vorderende zugespitzt, Hinterende gerundet. Die Schwimmborsten der 2. Antenne überragen die Spitzen der Klauen wenig. Furca schlank, schwach S-förmig gebogen, an der Basis kolbig erweitert, die terminalen Klauen schlank, fast gerade, die vordere mißt wenig mehr als die Hälfte des Vorderrandes, die vordere Borste mißt etwa $^1/_6$ der vorderen Klaue. — L. ♀ 1·4 mm, ♂ unbekannt.

Südafrika.

13. **E. syngramma** (G. W. Müll.) 1908 *Cypris s.*, G. W. Müller in: D. Südp.-Exp., *v.* 10 p. 148 t. 19 f. **3, 6**.

Linke Schale des ♀: Höhe etwa $^{7}/_{10}$ der Länge, am höchsten etwas vor der Mitte, Dorsalrand sehr stark gewölbt, beide Enden stark verschmälert, ähnlich gerundet. Oberfläche mit dichter, auffälliger Streifung, die Streifen verlaufen zum größeren Teile dem Ventralrande parallel. Vom Rücken gesehen ist die Breite etwa $^{3}/_{4}$ der Länge, am breitesten wenig hinter der Mitte. Hinterende stumpfwinklig zugespitzt, nahe dem Vorderende die Schalen eingedrückt. Die Schwimmborsten der 2. Antenne reichen bis zur Spitze der Klauen. Furca schlank, Vorderrand fast gerade, die vordere Klaue mißt etwa $^{2}/_{3}$ des Vorderrandes, die hintere nur annähernd $^{1}/_{2}$ der vorderen, die vordere Borste weniger als $^{1}/_{4}$ der vorderen Klaue. — L. ♀ 1·0—1·1 mm, ♂ unbekannt.

Südafrika.

14. **E. crassa** (Müll.) 1785 *Cypris c.*, O. F. Müller, Entom., p. 61 t. 6 f. 1, 2 | 1788 *Monoculus crassus*, J. F. Gmelin, Syst. Nat., *v.* 5 p. 3003 | 1844 *Cypris ovata*, Zaddach, Syn. Crust. Pruss., p. 37 | 1851 *C. dromedarius*, S. Fischer in: Mém. prés. Ac. St.-Pétersb., *v.* 7 p. 153 t. 7 f. 5—9 | 1900 *C. crassa*, G. W. Müller in: Zool., *v.* (Heft) 30 p. 60 t. 17 f. **1**, **6**, 12, 15, 16.

Linke Schale des ♀: Höhe annähernd $^{3}/_{4}$ der Länge, am höchsten auf $^{1}/_{3}$ der Länge; der Dorsalrand bildet einen Winkel mit stark gerundeter Ecke, dessen hinterer Schenkel annähernd geradlinig ist, deutlich abfällt und auf $^{4}/_{5}$ der Länge sich in gerundeter Ecke gegen den Hinterrand abgrenzt; der Hinterrand bildet dorsal eine schwach konkave Linie, in der ventralen Hälfte eine starke Rundung; Vorderrand breit gerundet, Ventralrand deutlich eingebuchtet; verschmolzene Zone ungewöhnlich breit (etwa $^{1}/_{20}$ der Länge); Oberfläche auffällig punktiert. Vom Rücken gesehen ist die Breite die Hälfte der Länge; nahe dem vorderen und hinteren Ende sind die Seiten deutlich konkav, so daß beide Enden schnabelartig zugespitzt erscheinen. Schwimmborsten der 2. Antenne reichen bis zur Spitze der Klauen. Klauen der Maxille ungezähnelt. Furca deutlich gebogen; die Klauen schlank, schwach gebogen; die vordere Klaue länger als $^{2}/_{3}$ des Vorderrandes. — L. ♀ 1·95—2·05 mm.

Nordeuropa.

15. **E. ornata** (Müll.) 1776 *Cypris o.*, O. F. Müller, Zool. Dan. Prodr., p. 199 | 1785 *C. o.*, O. F. Müller, Entom., p. 51 t. 3 f. 4—6 | 1788 *Monoculus ornatus*, J. F. Gmelin, Syst. Nat., *v.* 6 p. 3002 | (non 1820 *M. o.*, Jurine, Hist. Monocles, p. 170 t. 3 f. 4—6) | (non 1847 *Cypris ornata*, O. G. Costa, Fauna Reg. Napoli, Crostacei, Entomos. branch., Ostr., p. 9 t. 3 f. 4—6) | (non 1851 *C. o.*, S. Fischer in: Mém. prés. Ac. St.-Pétersb., *v.* 7 p. 157 t. 9 f. 7—10) | (non 1871 *C. o.*, Heller in: Ber. Ver. Innsbruck, *v.* 1 p. 92) | 1870 *C. o.* (part.), G. S. Brady in: Tr. Nat. Hist. Soc. Northumb., *v.* 3 p. 364 t. 14 f. 1—3 | (non 1872 *C. o.*, Frič in: Arch. Landesdf. Böhmen, *v.* 2 nr. 4 p. 226) | 1900 *C. o.*, G. W. Müller in: Zool., *v.* (Heft) 30 p. 69 t. 14 f. **5**, **7**, 15 | ?1900 *Eucypris o.*, Daday, Ostr. Hungar., p. 141.

Linke Schale des ♀: Höhe $^{5}/_{9}$ der Länge, am höchsten auf $^{3}/_{8}$ der Länge; der Dorsalrand bildet einen stark gerundeten Winkel, dessen hinterer Schenkel annähernd geradlinig deutlich abfällt und sich auf $^{9}/_{10}$ der Länge und $^{2}/_{3}$ der Höhe stumpfwinklig gegen den Hinterrand abgrenzt; Vorderrand breit, Hinterrand schmal gerundet (besonders in der ventralen Hälfte); Ventralrand fast gerade; Oberfläche mit polygonaler Felderung (Facettenbildung?). Schale zum Teil mit lebhaft grüner Pigmentierung, zum großen Teile nicht pigmentiert. Vom Rücken gesehen ist die Breite $^{5}/_{9}$ der Länge; beide Enden zugespitzt, das vordere stärker, etwas schnabelförmig. Klauen der Maxille

ungezähnelt. Furca mit schwach gebogenem Hinterrande und deutlich gebogenem Vorderrande; die vordere Klaue annähernd so lang wie der Vorderrand. — L. ♀ 1·8—2 mm.

Europa.

16. **E. clavata** (W. Baird)

Diese Art zerfällt in 2 Unterarten:

16a. **E. clavata laevis** (G. W. Müll.) 1838 *Cypris c.*, W. Baird in: Mag. Zool. Bot., *v.* 2 p. 137 t. 5 f. 16 | 1850 *C. c.*, W. Baird, Brit. Entom., p. 157 t. 18 f. 4 | 1891 *C. c.*, Vávra in: Arch. Landesdf. Böhmen, *v.* 8 nr. 3 p. 101 | ?1900 *Eucypris c.*, Daday, Ostr. Hungar., p. 137 | 1900 *Cypris lienenklausi var. laevis*, G. W. Müller in: Zool., *v.* (Heft) 30 p. 71 t. 17 f. 3.

Linke Schale des ♀: Höhe deutlich größer als $^1/_2$ der Länge, am höchsten auf $^1/_3$ der Länge; der Dorsalrand bildet einen stumpfen Winkel mit abgerundeter Spitze, dessen Schenkel nach vorn und hinten deutlich abfallen; der hintere Schenkel gerade, setzt sich in undeutlicher, stark abgerundeter Ecke gegen den Hinterrand ab. Vorderende mäßig breit, Hinterende deutlich schmaler gerundet. Ventralrand annähernd gerade, schwach konvex; der Saum entspringt in nächster Nähe des Schalenrandes, rechte Schale der linken ähnlich, der Saum entfernt sich am Vorderrande weit vom Schalenrande. Vom Rücken gesehen ist die Breite etwas kleiner als $^1/_2$ der Länge. Hinterende wenig, Vorderende deutlich zugespitzt. Die Schwimmborsten der 2. Antenne überragen die Spitzen der Klauen deutlich. Furca mit fast geradem Hinterrande und schwach gebogenem Vorderrande, die vordere Klaue wenig länger als $^1/_2$ des Vorderrandes, die vordere Borste mißt etwa $^1/_3$ der vorderen Klaue. — L. 2·1—2·2 mm.

Nord- und Mitteleuropa.

16b. **E. clavata serrata** (G. W. Müll.) 1900 *Cypris lienenklausi var. s.*, G. W. Müller in: Zool., *v.* (Heft) 30 p. 70 t. 17 f. 2, 3, 9—11, 14.

Von E. clavata laevis unterschieden in folgenden Punkten: Der Vorderrand mit etwa 15 undeutlichen, flachen Zähnen, der Hinterrand mit ebensoviel sägeartig nach hinten und oben gerichteten Zähnen (bei E. clavata laevis beide Ränder glatt). Der Saum entfernt sich rechts weniger weit vom Schalenrande. — L. 2—2·1 mm.

Norddeutschland.

17. **E. fuscata** (Jurine)

Diese Art zerfällt in 2 Unterarten:

17a. **E. fuscata major** (G. W. Müll.) ?1776 *Cypris strigata*, O. F. Müller, Zool. Dan. Prodr., p. 199 | ?1785 *C. s.*, O. F. Müller, Entom., p. 54 t. 4 f. 4—6 | 1820 *Monoculus fuscatus* (part.), Jurine, Hist. Monocles, p. 174 t. 19 f. 1, 2 | 1825 *Cypris fuscata*, Desmarest, Consid. gén. Crust., p. 385 | ?1837 *C. adusta*, C. L. Koch, C. M. A., fasc. 11 nr. 3 | ?1844 *C. insignis*, Zaddach, Syn. Crust. Pruss., p. 31 | ?1851 *C. hirsuta*, S. Fischer in: Mém. prés. Ac. St.-Pétersb., *v.* 7 p. 159 t. 10 f. 6—8 | 1864 *C. oblonga*, G. S. Brady in: Ann. nat. Hist., ser. 3 *v.* 13 p. 59 t. 3 f. 1—4 | (non 1894 *C. fuscata*, Turner in: Bull. Denison Univ., *v.* 8 II p. 16 t. 7 f. 41—46) | (non 1895 *C. f.*, Turner in: Rep. Surv. Minnesota, Zool. *v.* 2 p. 320 t. 71 f. 41—46; t. 72 f. 7) | 1900 *C. f. var. major*, G. W. Müller in: Zool., *v.* (Heft) 30 p. 66 t. 16 f. 5, 6, 9 | 1900 *Eucypris f.*, Daday, Ostr. Hungar., p. 149.

Linke Schale des ♀: Höhe etwa $^3/_5$ der Länge, am höchsten etwas vor der Mitte; der Dorsalrand bildet einen stumpfen Winkel mit wenig abgerundeter Ecke, dessen beide Schenkel gerade sind, der vordere fällt etwas

steiler ab als der hintere, beide Schenkel gehen ohne Andeutung einer Grenze in Vorder- und Hinterrand über; beide Enden breit, das vordere deutlich breiter gerundet, Ventralrand schwach konvex. Oberfläche mäßig dicht mit kurzen Haaren bedeckt; diese entspringen aus Porenkanälen, die nur nahe dem hinteren und vorderen Rande deutlich sind. Färbung schön kastanienbraun, selten schmutzig braungrün; farblos sind die Schließmuskelansätze, blaß pigmentiert ein besonders nach hinten scharf begrenzter, etwa dreieckiger Fleck in der Augengegend; weniger blaß, aber heller als die Umgebung ist die Region der Leberschläuche und Eierstöcke. Vom Rücken gesehen ist die Breite größer als $^1/_2$ der Länge, am breitesten wenig hinter der Mitte; beide Enden sehr wenig zugespitzt. Schwimmborsten der 2. Antenne wohl entwickelt. Klauen der Maxille gezähnelt. Furca schlank, schwach S-förmig gekrümmt; Klauen schwach gebogen; die vordere mißt über $^1/_2$ des Vorderrandes. — L. ♀ 1·37—1·48 mm.

Europa, Nordamerika.

17b. **E. fuscata affinis** (S. Fisch.) 1820 *Monoculus fuscatus* (part.), Jurine, Hist. Monocles, p. 174 t. 19 f. 1, 2 | 1851 *Cypris affinis*, S. Fischer in: Mém. prés. Ac. St.-Pétersb., *v.* 7 p. 160 t. 10 f. 9—11 | 1900 *C. fuscata var. minor*, G. W. Müller in: Zool., *v.* (Heft) 30 p. 66 t. 16 f. **8** | 1900 *C. affinis* (part.), Kaufmann in: Rev. Suisse Zool., *v.* 8 p. 272 t. 15 f. **17, 18,** 19, 20; t. 18 f. 10—13; t. 31 f. 26 | ?1900 *Eucypris obliqua*, Daday, Ostr. Hungar., p. 154.

Von E. fuscata major unterschieden in folgenden Punkten: Höhe $^{11}/_{20}$ der Länge, Ventralrand in der Mundgegend etwas vorgewölbt; Porenkanäle auf der ganzen Schale deutlich; Grundfarbe stets schmutzig braungrün; in der Augengegend, auf den Ovarien sowie an einem dorsal von den Ovarien liegenden größeren Fleck fehlt das Pigment vollständig; diese Flecke sind scharf begrenzt. — L. 1·11—1·3 mm.

Nordeuropa; Ungarn?

18. **E. corpulenta** (O. Sars) 1896 *Cypris c.*, G. O. Sars in: Skr. Vidensk. Christian., 1895 nr. 8 p. 30 t. 5 f. 2a, b | 1908 *C. c.*, G. W. Müller in: D. Südp.-Exp., *v.* 10 p. 150.

Linke Schale des ♀: Höhe etwa $^5/_8$ der Länge, am höchsten wenig vor der Mitte, der Dorsalrand bildet einen stumpfen Winkel mit abgerundeter Ecke, dessen vorderer Schenkel gerade, dessen hinterer Schenkel gebogen ist; Vorderende ziemlich breit, Hinterende deutlich schmaler gerundet mit Andeutung einer Ecke auf halber Höhe, Ventralrand deutlich eingebuchtet. Oberfläche ziemlich dicht mit kleinen, wenig scharf konturierten Gruben bedeckt, ferner finden sich ziemlich dicht kurze aber kräftige Borsten. Der Saum entspringt vorn auf dem Schalenrande. Rechte Schale der linken ähnlich, der Saum entfernt sich vorn weit vom Schalenrande. Vom Rücken gesehen ist die Breite $^5/_8$ der Länge, am breitesten wenig hinter der Mitte. Vorderende deutlich, Hinterende undeutlich zugespitzt. Die Schwimmborsten der 2. Antenne überragen die terminalen Klauen deutlich. Terminales Glied des Maxillartasters lang und schlank, nach der Spitze hin deutlich verjüngt. 2. Thoraxbein gedrungen, die Klaue sehr kräftig, so lang wie die 3 letzten Glieder zusammen, die Borste des 2. Gliedes behaart, die des 3. Gliedes etwa $^2/_3$ so lang wie die terminale Klaue. Furca schlank, fast gerade, die Klauen fast gerade, schlank, die terminale etwa $^2/_3$ so lang wie der Vorderrand, die hintere etwa $^2/_3$ der vorderen, die vordere Borste mißt etwa $^1/_6$ der benachbarten Klaue. — L. ♀ 1·9—2 mm.

Südafrika.

19. **E. trichota** (G. W. Müll.) 1908 *Cypris t.*, G. W. Müller in: D. Südp.-Exp., *v.* 10 p. 152.

E. corpulenta ähnlich, von dieser in folgenden Punkten unterschieden; Vorder- und Hinterende der Schale ähnlich gestaltet, die Schwimmborsten überragen die Spitzen der Klauen nicht oder nur wenig; 2. Thoraxbein schlanker, die terminale Borste des 2. Gliedes unbehaart, die des 3. Gliedes etwa $^1/_2$ so lang wie die terminale Klaue, diese deutlich länger als die 3 letzten Glieder zusammen. Furca an der Basis kolbig aufgetrieben, entsprechend ist hier der Hinterrand gewölbt, die längere Klaue mißt wenig mehr als $^1/_2$ des Vorderrandes, die hintere weniger als $^2/_3$ der vorderen. — L. 3 mm.

Südafrika.

20. **E. capensis** (G. W. Müll.) 1908 *Cypris c.*, G. W. Müller in: D. Südp.-Exp., *v.* 10 p. 153 t. 19 f. 2.

E. corpulenta ähnlich, von dieser und E. trichota unterschieden durch den Bau des 2. Thoraxbeines, dessen terminale Klaue kurz, nicht länger als der Dorsalrand des 3. und 4. (mehr oder weniger vollständig verschmolzenen) Gliedes. Furca der von E. trichota ähnlich, die hintere Klaue mißt $^3/_4$ der vorderen. — L. ♀ 1·8—1·95 mm.

Südafrika.

8. Gen. **Cypris** O. F. Müller

? 1758 *Monoculus*, Linné, Syst. Nat., p. 634 | 1776 *Cypris* (part.), O. F. Müller, Zool. Dan. Prodr., p. 198 | 1850 *C.* (part.), W. Baird, Brit. Entom., p. 151 | 1889 *C.* (part.), G. S. Brady & A. M. Norman in: Tr. R. Dublin Soc., ser. 2 *v.* 4 p. 73 | 1891 *Eucypris* (part.), Vávra in: Arch. Landesdf. Böhmen, *v.* 8 nr. 3 p. 90 | 1898 *Eurycypris*, G. W. Müller in: Abh. Senckenb. Ges., *v.* 21 p. 263 | (1898 non *Cypris*, G. W. Müller in: Abh. Senckenb. Ges., *v.* 21 p. 265) | (1900 non *C.*, G. W. Müller in: Zool., *v.* (Heft) 30 p. 55) | 1900 *C.*, Daday, Ostr. Hungar., p. 126 | 1900 *Eurycypris*, G. W. Müller in: Zool., *v.* (Heft) 30 p. 53.

Schale stets breit (Breite größer als $^1/_2$ der Länge), ventral stark abgeflacht; die Saumlinie entfernt sich beiderseits vorn und hinten weit vom Schalenrande, sie entspringt proximal von der Verschmelzungslinie. Letztes Glied des Maxillartasters zylindrisch oder distal verjüngt, mindestens noch einmal so lang wie es an der Basis breit ist; 3. Kaufortsatz der Maxille mit 2 zahnartigen Borsten. 2. und 3. Glied des Endopodit des 2. Thoraxbeines verschmolzen.

6 Arten.

Übersicht der Arten:

1 { Vom Rücken gesehen werden die Seiten der Schalen von umfangreichen Spitzen überragt — **2.**
Vom Rücken gesehen fehlen ähnliche Spitzen — **3.**

2 { Vom Rücken gesehen finden sich jederseits 4—6 Spitzen . **5. C. neumanni**
Vom Rücken gesehen findet sich jederseits eine Spitze . . **6. C. bispinosa**

3 { Vom Rücken gesehen ist die Breite mindestens $^3/_4$ der Länge — **4.**
Vom Rücken gesehen ist die Breite kleiner als $^3/_4$ der Länge **1. C. pubera**

4 { Größer als 1·5 mm — **5.**
Kleiner als 1·5 mm . . . . . **3. C. subglobosa**

5 { Vom Rücken gesehen die rechte Schale vorn stark zugespitzt, hinter der Spitze deutlich eingedrückt . . . . 2. **C. latissima**
Vom Rücken gesehen die rechte Schale vorn abgestumpft, in der Nachbarschaft der Spitze nicht deutlich eingedrückt 4. **C. puberoides**

1. **C. pubera** (Müll.) ?1776 *C. p.*, O. F. Müller, Zool. Dan. Prodr., p. 198 | ?1785 *C. p.* (part.), O. F. Müller, Entom., p. 56 t. 5 f. 1—5 | 1818 *C. conchacea*, Lamarck, Hist. An. s. Vert., *v.* 5 p. 124 (descr. nulla) | 1820 *Monoculus ovatus*, Jurine, Hist. Monocles, p. 179 t. 17 f. 5, 6 | 1825 *Cypris ovata*, Desmarest, Consid. gén. Crust., p. 383 | ?1850 *C. hamata*, Haupt in: KB. Ver. Regensburg, *v.* 4 p. 150 | ?1850 *C. cuneata* (juv.?), W. Baird in: P. zool. Soc. London, *v.* 18 p. 255 t. 18 f. 22—24 | 1861 *C. punctillata*, A. M. Norman in: Tr. Tyneside Club, *v.* 5 p. 145 t. 3 f. 11—14 | 1870 *C. puber*, Plateau in: Mém. cour. Ac. Belgique, *v.* 34 nr. 3 p. 54 t. 1 f. 25 | (non 1872 *C. pubera*, Frič in: Arch. Landesdf. Böhmen, *v.* 2 IV p. 226) | 1898 *Eurycypris p.*, G. W. Müller in: Abh. Senckenb. Ges., *v.* 21 p. 263 (Synonymie) | 1900 *E. p.*, G. W. Müller in: Zool., *v.* (Heft) 30 p. 54 t. 13 f. **1, 2**, 3—11 | ?1900 *Cypris unidentata*, Cosmovici in: Bull. Soc. zool. France, *v.* 25 p. 160.

Fig. 52.
Cypris pubera.
3. Kaufortsatz der Maxille ($^{203}/_{1}$).

Linke Schale des ♀: Höhe etwa $^{3}/_{5}$ der Länge, am höchsten vor der Mitte; der Dorsalrand bildet einen stumpfen Winkel mit abgerundeter Spitze; er ist gegen den Vorderrand nicht, gegen den Hinterrand meist etwa auf $^{7}/_{8}$ der Länge stumpfwinklig abgegrenzt; Vorderrand gerundet; Hinterrand fast geradlinig steil abfallend, in der ventralen Hälfte gerundet; Ventralrand annähernd gerade; Vorderrand mit etwa 9 schlanken Zähnen, hintere ventrale Ecke mehr oder weniger deutlich gezähnelt. Rechts entspringen die Zähne des Vorderrandes lateral vom Rande. Oberfläche nahe dem vorderen und hinteren Ende mit flachen Gruben bedeckt. Vom Rücken gesehen ist die Breite etwa $^{3}/_{5}$ der Länge; beide Enden ähnlich gestaltet, undeutlich zugespitzt. Furca schlank, schwach gebogen; die Klauen fast gerade. — L. ♀ 2·0—2·6 mm, ♂ unbekannt. — Fig. 52, 53.

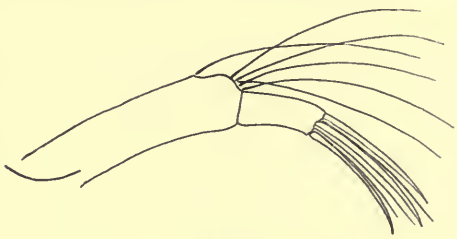

Fig. 53.
Cypris pubera. Maxillartaster ($^{200}/_{1}$).

Europa; Sibirien; Nordamerika.

2. **C. latissima** (G. W. Müll.) 1898 *Eurycypris l.*, G. W. Müller in: Abh. Senckenb. Ges., *v.* 21 p. 264 t. 13 f. 15—21.

Schale im Profil der von C. pubera ähnlich; Dorsalrand rechts gewölbt, Ränder nicht gezähnelt; Ventralfläche scharfkantig gegen die Seiten abgegrenzt; vom Rücken gesehen sehr breit, Breite $^{3}/_{9}$ der Länge; das hintere Ende bildet einen sehr stumpfen, das vordere bei vollständig geschlossener Schale einen spitzen Winkel; die linke Schale ist neben dem Vorderende flach, die rechte tiefer eingedrückt. Furca fast gerade; vordere Klaue kräftig, deutlich gebogen; die vordere Borste mißt etwa $^{1}/_{5}$ der vorderen Klaue. — L. ♀ 2 mm, ♂ unbekannt.

Madagaskar.

3. **C. subglobosa** Sowerby ?1840 *C. s.*, Sowerby in: Malcolmson in: Tr. geol. Soc. London, ser. 2 *v.* 5 t. 47 f. 3 (Erklärung) | 1859 *C. s.*, W. Baird in: P. zool. Soc. London, *v.* 27 p. 232 t. 63 f. 2 | 1886 *Chlamydotheca s.*, G. S. Brady in: J. Linn. Soc. London, *v.* 19 p. 300 t. 38 f. **24—27** | 1906 *Eurycypris s.*, Vávra in: Zool. Jahrb. Syst., *v.* 23 p. 420 t. 24 f. **9—11**, 12, 13.

Schale der von C. latissima ähnlich, aber nicht so breit; Breite gleich $^3/_4$ der Länge, am Vorderende nur wenig eingedrückt. — L. 1·2 mm.

Vorderindien, Ceylon, Java.

4. **C. puberoides** Vávra 1897 *C. p.*, Vávra in: D.-O.-Afr., *v.* 4 p. 27 | 1898 *Eurycypris p.*, G. W. Müller in: Abh. Senckenb. Ges., *v.* 21 p. 263 (Synonymie).

Schale im Profil der von C. pubera (nr. 1) und C. latissima (nr. 2) ähnlich; der Dorsalrand gewölbt, nicht winklig gebogen; vom Rücken ähnlich wie C. latissima, das Vorderende tief ausgeschnitten, beide Schalen neben der Spitze nur ganz flach eingedrückt. Beide Furcalklauen dünn und fast gerade; die vordere Borste mißt etwa $^1/_3$ der vorderen Klaue. — L. ♀ und ♂ 2·0 mm.

Ostafrika.

5. **C. neumanni** (G. W. Müll.) 1900 *Eurycypris n.*, G. W. Müller in: Zool. Jahrb. Syst., *v.* 13 p. 259 t. 23 f. **14**, 15, **16**, 17—21.

Von den anderen Arten der Gattung dadurch unterschieden, daß die Kante, welche die Ventralfläche gegen die Seiten abgrenzt, in 4—6 Spitzen erhoben ist, welche die Seiten in der Rückenansicht dornig erscheinen lassen. — L. ♀ und ♂ 2·5—2·9 mm.

Ostafrika.

6. **C. bispinosa** H. Luc. 1846 *C. b.*, H. Lucas in: Expl. Algérie, An. artic., *v.* 1 Crust. p. 82 t. 8 f. 7 | 1868 *C. b.*, G. S. Brady in: Tr. Linn. Soc. London, *v.* 26 p. 366 t. 26 f. 14—17 | 1905 *C. (Eurycypris) b.*, Masi in: Boll. Soc. zool. Ital., ser. 2 *v.* 6 p. 119.

Schale: Höhe etwas größer als $^1/_2$ der Länge, am höchsten vor der Mitte; der Dorsalrand bildet einen Winkel mit wenig abgerundeter Ecke, dessen vorderer und hinterer Schenkel geradlinig und sehr deutlich abfallen, der vordere deutlicher als der hintere; der vordere geht ohne Andeutung einer Grenze in den schmal gerundeten Vorderrand über; der hintere Schenkel bildet auf $^1/_2$ der Höhe nahe dem Hinterende mit dem Hinterrande einen deutlichen Winkel; der Hinterrand fällt als deutlich konkave Linie steil ab und bildet mit dem im hinteren Viertel aufsteigenden Ventralrande auf etwa $^1/_4$ der Höhe eine abgerundete Spitze; an der Grenze von Ventralfläche und Seiten erhebt sich eine nach hinten in eine Spitze ausgezogene, umfangreiche Leiste. Vom Rücken gesehen ist die Breite $^3/_5$ der Länge; beide Enden zugespitzt, das vordere beiderseits etwas eingedrückt; die erwähnte Leiste erscheint als lange, nach hinten gerichtete Spitze, die auf etwa $^3/_4$ der Länge endet. — L. 2·8 mm.

Algier, Frankreich, Süditalien, England, Azoren, Kanarische Inseln; im Brackwasser und Süßwasser.

9. Gen. **Candonocypris** O. Sars

1895 *Candonocypris*, G. O. Sars in: Skr. Vidensk. Christian., 1894 nr. 5 p. 34 | 1898 *Cypris* (part.), G. W. Müller in: Abh. Senckenb. Ges., *v.* 21 p. 265.

Schale gestreckt, Höhe meist nicht größer als $^1/_2$ der Länge. Die Saumlinie verläuft beiderseits vorn und hinten proximal von der Verschmelzungs-

linie. Zwischen Saumlinie und Innenrand findet sich links stets (?) eine deutliche Leiste. Das subterminale Glied der 2. Antenne trägt terminal nahe dem vorderen Rande eine kurze, klauenartige Borste. Das letzte Glied des Maxillartasters nach der Spitze hin stark verbreitert, an der Spitze annähernd so breit oder breiter als der Vorderrand lang; der 3. Kaufortsatz der Maxille mit 2 zahnartigen Borsten. Stammglied des Greiforganes des ♂ einerseits oder beiderseits tief ausgeschnitten, so daß sich die Borsten weit vom Ursprunge des Fingers befinden; Furca wohl entwickelt.

4 Arten.

Übersicht der Arten:

1 { Länger als 3 mm — 2.
  { Kürzer als 3 mm — 3.

2 { Die Schwimmborsten der 2. Antenne erreichen die Spitzen der Klauen . . . . . 1. C. bicornis
  { Die Schwimmborsten der 2. Antenne erreichen die Spitzen der Klauen nicht . . . . . 2. C. voeltzkowi

3 { Vordere Furcalborste 1/3 so lang wie die vordere Klaue 3. C. candonoides
  { Vordere Furcalborste 1/2 so lang wie die vordere Klaue 4. C. assimilis

1. **C. bicornis** (G. W. Müll.) 1900 *Cypris b.*, G. W. Müller in: Zool. Jahrb. Syst., *v.* 13 p. 261 t. 23 f. **1, 2,** 3—13.

Schale: Höhe etwa 1/2 der Länge, am höchsten vor der Mitte, etwa auf 2/5 der Länge; der Dorsalrand bildet einen Winkel mit abgerundeter Spitze und ist gegen Vorder- und Hinterrand nicht abgegrenzt; Vorderende breit gerundet, Hinterrand steil abfallend; hintere, ventrale Ecke in eine Spitze ausgezogen; hinter den Schließmuskelansätzen erhebt sich eine umfangreiche, nach hinten gerichtete Spitze (kann fehlen). Furca fast gerade; die längere Klaue mißt etwas über 1/2 des Vorderrandes, die vordere Borste 1/3 der vorderen Klaue; der Hinterrand gesägt gewimpert. — L. ♀ 3·7, ♂ 3·5 mm.

Ostafrika (Massai Njika).

2. **C. voeltzkowi** (G. W. Müll.) 1898 *Cypris v.*, G. W. Müller in: Abh. Senckenb. Ges., *v.* 21 p. 265 t. 14 f. **1—3**, 4—13.

Schale gestreckt, Höhe etwa 4/9 der Länge, am höchsten vor 1/3 der Länge; Dorsalrand stumpfwinklig, nach hinten stark abfallend, gegen den Vorderrand nicht, gegen den Hinterrand auf etwa 3/4 der Länge undeutlich winklig abgegrenzt; Hinterende ziemlich spitz, Vorderende breit gerundet. Vom Rücken gesehen schmal, Breite etwa 1/3 der Länge; beide Enden stark zugespitzt. 2. Antenne beim ♂ mit 5 gefiederten Schwimmborsten, die bis zur Spitze des letzten Gliedes (ohne Klauen) reichen; beim ♀ an ihrer Stelle 2 ungefiederte Borsten. — L. ♀ bis 7, ♂ 6 mm.

Madagaskar.

3. **C. candonoides** (R. L. King [?]), O. Sars ?1855 *Cypris c.*, R. L. King in: P. R. Soc. Van Diemensland, *v.* 3 p. 66 t. 10 f. F | 1890 *Herpetocypris stanleyana*, G. O. Sars in: Forh. Selsk. Christian., 1889 nr. 8 p. 35 t. 2 f. **1, 2**; t. 5 f. 5—7 | 1895 *Candonocypris candonoides*, G. O. Sars in: Skr. Vidensk. Christian., 1894 nr. 5 p. 35 t. 5 f. 1**a**, **b**, c.

Schale gestreckt, Höhe kleiner als 1/2 der Länge, am höchsten auf 3/5 der Länge; Dorsalrand ziemlich stark gewölbt, gegen Vorder- und Hinterrand nicht abgegrenzt; beide Enden links mäßig breit gerundet, rechts das Hinterende deutlich schmaler als das Vorderende. Gelb und grün gefärbt.

Vom Rücken gesehen schmal, Breite $^2/_5$ der Länge, am breitesten hinter der Mitte; vorn deutlich, hinten undeutlich zugespitzt; die rechte Schale überragt die linke vorn und hinten deutlich. Furca schlank, deutlich gebogen; vordere Klaue weniger lang als die Hälfte des Vorderrandes; vordere Borste $^1/_3$ der vorderen Klaue. — L. ♀ 1·8 mm, ♂ unbekannt.

Neuseeland; Australien?; Südafrika.

4. **C. assimilis** O. Sars 1895 *C. a.*, G. O. Sars in: Skr. Vidensk. Christian., 1894 nr. 5 p. 36 t. 5 f. 2**a**, **b**, c (auf der Tafel: *Herpetocypris a.*).

Von C. candonoides unterschieden in folgenden Punkten. Schale am höchsten in der Mitte; Hinterende beiderseits ähnlich gerundet wie das Vorderende; Farbe mehr oder weniger dunkelbraun; die rechte Schale überragt hinten die linke nicht. Vordere Furcalborste länger als $^1/_2$ der vorderen Klaue. — L. ♀ 1·6 mm, ♂ unbekannt.

Neuseeland.

10. Gen. **Hungarocypris** Vávra

1906 *Hungarocypris*, Vávra in: Zool. Jahrb. Syst., *v.* 23 p. 416.

Hinterrand der Furca mit 2 Borsten, sonst wie Candonocypris.

2 Arten.

Übersicht der Arten.

Die beiden Borsten des Hinterrandes der Furca sind annähernd gleichlang . . . . . 1. **H. madarászi**

Die proximale Borste am Hinterrande der Furca nur etwa $^1/_2$ so lang wie die distale . . . . . 2. **H. gawemülleri**

1. **H. madarászi** (Örley) 1858 *Cypris dispar* (non S. Fischer 1851), C. Chyzer in: Verh. Ges. Wien, *v.* 8 p. 513 | 1879 *C. hungarica*, Margó, Budapest és környéke állattani tekintetben, p. 112 (nom. nud.) | 1886 *Notodromas madarászi*, Örley in: Term. Füzetek, *v.* 10 p. 100 t. 10, 11 | 1889 *Cyprois m.*, G. S. Brady & A. M. Norman in: Tr. R. Dublin Soc., ser. 2 *v.* 4 p. 97 (Synonymie) | 1892 *C. dispar*, Daday in: Term. Füzetek, *v.* 15 p. 302 | 1895 *C. d.*, Daday in: Term. Füzetek, *v.* 18 Beilage p. 6, 10 | 1906 *Hungarocypris d.*, Vávra in: Zool. Jahrb. Syst., *v.* 23 p. 416 (Synonymie).

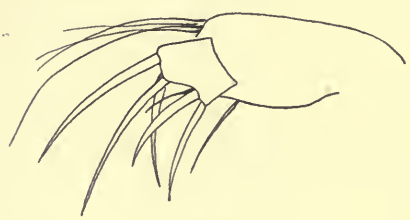

Fig. 54.
Hungarocypris madarászi. Maxillartaster ($^{115}/_1$).

Linke Schale des ♂: Höhe etwas größer als $^1/_2$ der Länge, am höchsten wenig vor der Mitte, Dorsalrand gewölbt, mit Andeutung einer Ecke, gegen Vorder- und Hinterrand nicht abgegrenzt; Vorderende breit gerundet, Hinterrand steil, fast senkrecht und gerade abfallend, bildet mit dem deutlich S-förmig geschwungenen Ventralrande einen Winkel, der deutlich größer als ein rechter ist, mit deutlicher Spitze; am freien Schalenrande findet sich eine breite, verschmolzene Zone; rechts bildet der Dorsalrand einen deutlichen Winkel, die hintere, ventrale Ecke ist stark abgerundet, sonst ähnlich wie links. Beim ♀ ist diese Ecke beiderseits abgerundet. Furca schlank, schwach gebogen, die Klauen dünn, die hintere so lang wie die vordere, beide kürzer als die Hälfte des Vorderrandes, die beiden Borsten des Hinterrandes annähernd gleich lang. — L. 4·5—5 mm.

Südeuropa (Ungarn, Dalmatien), Nordafrika, Asien (Birket Abbadi, Mongolei).

2. **H. gawemülleri** Vávra 1906 *H. g.*, Vávra in: Zool. Jahrb. Syst., *v.* 23 p. 417 t. 24 f. 1, 2—8.

Höhe etwa $^5/_9$ der Länge, am höchsten deutlich vor der Mitte, der Dorsalrand bildet einen stumpfen Winkel mit wenig abgerundeter Ecke, dessen hinterer Schenkel etwas stärker abfällt als der vordere; Vorderende breit, Hinterende deutlich schmaler gerundet. Schalenrand mit breiter, verschmolzener Zone. Furca der von H. madarászi ähnlich, die Klauen länger als die Hälfte des Stammes, von den beiden Borsten des Hinterrandes mißt die proximale weniger als $^1/_2$ der distalen. — L. 3·2 mm.

Sumatra.

11. Gen. **Chlamydotheca** Saussure

1858 *Chlamydotheca* (Subgen.), Saussure in: Mém. Soc. Genève, *v.* 14 p. 487 | 1892 *Pachycypris*, Claus in: Arb. Inst. Wien, *v.* 10 p. 201 | 1898 *Chlamydotheca*, Vávra in: Ergeb. Hamb. Magalh.-Sammelr., *v.* 2 Ostr. p. 16 | 1901 *Cypris* (part.), G. O. Sars in: Arch. Naturv. Kristian., *v.* 24 nr. 1 p. 20.

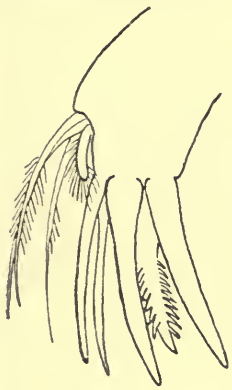

Fig. 55.
Chlamydotheca speciosa.
3. Kaufortsatz der Maxille ($^{48}/_1$).

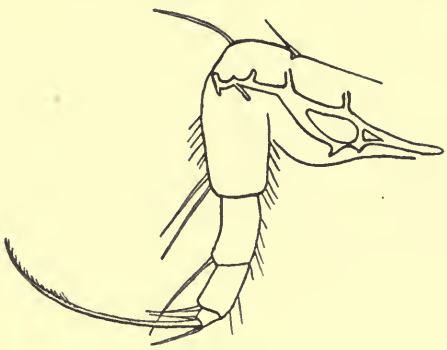

Fig. 56.
Chlamydotheca speciosa.
2. thoracale Gliedmaße ($^{50}/_1$).

Saum vorn beiderseits, hinten (stets?) nur rechts deutlich proximal verschoben. Terminales Glied des Maxillartasters distal deutlich verbreitert. 3. Kaufortsatz der Maxille mit 3 zahnartigen Borsten (Fig. 55). Das 1. Glied des Endopodit des 2. Thoraxbeines trägt an der distalen, ventralen Ecke 2 Borsten (Fig. 56). Furca gestreckt.

7 Arten.

Übersicht der sicheren Arten:

1 { Höhe annähernd $^1/_2$ der Länge — **2.**
  Höhe deutlich größer als $^1/_2$ der Länge — **3.**

2 { Die hintere Furcalborste etwa so lang wie die hintere Furcalklaue . . . . . 1. C. symmetrica
  Die hintere Furcalborste viel kürzer als die hintere Furcalklaue (weniger als $^1/_2$) . . . . . 2. C. flexilis

3 { An der vorderen, ventralen Ecke bildet der Schalenrand einen hakenartigen Einschnitt — **4.**
  An Stelle dieses Einschnittes findet sich nur eine flache, stumpfwinklige Bucht — **5.**

4 { Dorsalrand stark gewölbt . . . . . 3. **C. incisa**
  { Dorsalrand in der Mitte abgeflacht, fast gerade . . . . 6. **C. limbata**

5 { Die vordere Furcalborste länger als $^1/_2$ der vorderen Klaue 4. **C. speciosa**
  { Die vordere Furcalborste kürzer als $^1/_2$ der vorderen Klaue — **6.**

6 { Die vordere Furcalborste mißt mehr als $^1/_3$ der vorderen Klaue 7. **C. azteca**
  { Die vordere Furcalborste mißt nur $^1/_4$ der vorderen Klaue 5. **C. mexicana**

1. **C. symmetrica** Vávra 1898 *C. s.*, Vávra in: Ergeb. Hamb. Magalh.-Sammelr., *v.* 2 Ostr. p. 18 f. **1, 2,** 3—7.

Schale: Höhe annähernd $^1/_2$ der Länge, am höchsten etwas hinter der Mitte; Dorsalrand flach gewölbt, gegen Vorder- und Hinterrand nicht abgegrenzt; beide Enden breit gerundet; Ventralrand flach eingebuchtet. Vom Rücken gesehen ist die Breite etwa $^1/_3$ der Länge; beide Enden ähnlich, wenig zugespitzt; beide Schalen gleich lang. Furca kräftig, schwach gebogen; der ganze Hinterrand fein gezähnelt; die längere Klaue weniger als $^1/_2$ des Vorderrandes; die vordere Borste etwa $^1/_4$ der vorderen Klaue; die hintere Borste etwa so lang wie die hintere Klaue. — L. ♀ 2·75 mm, ♂ unbekannt.

Feuerland; Falklandsinseln.

2. **C. flexilis** (G. Brady) 1902 *Cypris f.*, G. S. Brady in: Tr. zool. Soc. London, *v.* 16 p. 192 t. 23 f. 11—15.

Schale der von C. symmetrica ähnlich, Hinterrand und Ventralrand bilden eine ziemlich deutliche Ecke (links; rechts?). Furca schlank, annähernd gerade, der Hinterrand sehr fein bewimpert, die hintere Borste nur $^1/_2$ so lang wie die hintere Klaue. — L. 4 mm.

Westindien (Sainte Croix).

3. **C. incisa** (Claus) 1892 *Pachycypris i.*, Claus in: Arb. Inst. Wien, *v.* 10 p. 205 t. 8 f. **7, 8,** 9—15 | 1901 *Cypris labiata,* G. O. Sars in: Arch. Naturv. Kristian., *v.* 24 nr. 1 p. 20 t. 5 f. **1—3,** 4—9.

Schale: Höhe deutlich größer als $^1/_2$ der Länge, am höchsten in der Mitte; Dorsalrand deutlich gewölbt, gegen Vorder- und Hinterrand nicht abgegrenzt; beide Enden gerundet, das vordere breiter; Ventralrand schwach gewölbt, am vorderen Ende hakig ausgeschnitten. Vom Rücken gesehen ist die Breite größer als $^1/_2$ der Länge; Vorderende keilförmig zugespitzt, Hinterende gerundet. Dunkel gebändert. Furcaläste fast gerade. Klauen schlank, schwach gebogen; Länge der vorderen Klaue $^1/_2$ des Vorderrandes, der hinteren nur $^1/_2$ der vorderen, vordere Borste etwa $^1/_4$ der vorderen Klaue. — L. ♀ 2·25—2·5 mm, ♂ unbekannt.

Argentinien.

4. **C. speciosa** (Dana).

Diese Art zerfällt in 2 Unterarten:

4a. **C. speciosa speciosa** (Dana) 1852 *Cypris s.*, J. D. Dana in: P. Amer. Ac., *v.* 2 p. 49 | 1852 & 55 *C. s.*, J. D. Dana in: U. S. expl. Exp., *v.* 13II p. 1285; t. 90 f. **6** | 1862 *C. texasiensis,* W. Baird in: Ann. nat. Hist., ser. 3 *v.* 10 p. 4 t. 1 f. 3 | 1892 *C. herricki,* Turner in: Bull. Denison Univ., *v.* 6 p. 71 t. 2 f. 1—10 | 1892 *Pachycypris leuckarti,* Claus in: Arb. Inst. Wien, *v.* 10 p. 203 t. 2 f. 5—9; t. 9 f. **1, 2,** 3—8 t. 10 | 1895 *Cypris (P.) l.*, Claus in: Arb. Inst. Wien, *v.* 11 p. 32 | 1898 *Chlamydotheca herricki,* Vávra in: Ergeb. Hamb. Magalh.-Sammelr., *v.* 2 Ostr. p. 17 (Synonymie) | ?1901 *Cypris arcuata,* G. O. Sars in: Arch. Naturv. Kristian., *v.* 24 nr. 1 p. 23 t. 5 f. **10, 11,** 12.

Schale: Höhe deutlich größer als $^1/_2$ der Länge, am höchsten etwa auf $^1/_3$ der Länge; Dorsalrand stumpfwinklig, mit stark gerundeter Spitze,

gegen Vorder- und Hinterrand nicht abgegrenzt; Hinterende breiter gerundet als das vordere; Ventralrand schwach S-förmig geschwungen, am vorderen Ende eine flache Bucht. Vom Rücken gesehen ähnlich wie C. incisa. Schale mit umfangreicher, schwarzbrauner Pigmentierung; diese besteht aus 4 in der hinteren Schalenhälfte liegenden, schräg nach hinten absteigenden Bändern, die in der vorderen Hälfte zu zwei verschmelzen und einem dem Schalenrande parallelen Streifen. Furca gerade, der von C. incisa ähnlich; die vordere Borste länger als $^1/_2$ der vorderen Klaue. — L. ♀ $3^1/_3$ mm, ♂ unbekannt (Fig. 55. 56, p. 183).

Nord- und Südamerika.

4b. **C. speciosa pallida** (Claus) 1892 *Pachycypris leuckarti var. p.*, Claus in: Arb. Inst. Wien, *v.* 10 p. 205.

Pigmentierung auf zwei schräge Mittelstreifen beschränkt, sonst wie C. speciosa speciosa.

5. **C. mexicana** R. Sharpe 1903 *C. m.*, R. Sharpe in: P. U. S. Mus., *v.* 26 p. 976 t. 64 f. 1—6.

Schale des ♀: Höhe etwa $^3/_5$ der Länge, am höchsten etwa auf halber Länge; Dorsalrand flach, etwas unregelmäßig gewölbt, das Hinterende breit, das Vorderende deutlich schmaler gewölbt, durch eine deutliche Bucht gegen den Ventralrand abgegrenzt; Zeichnung ähnlich wie bei C. speciosa, weniger umfangreich; vom Rücken gesehen am breitesten etwa auf halber Länge, Breite deutlich größer als die halbe Länge, Vorderende zugespitzt, die Seiten nahe dem Vorderende deutlich eingedrückt. Furca schlank, gerade, die vordere Borste mißt etwa $^1/_4$ der vorderen Klaue. — L. 2·75 mm.

Mexico (Durango).

6. **C. limbata** (Wrzski.) 1893 *Cypris (Eucypris) l.*, Wierzejski in: Rozpr. Ak. Krakow, *v.* 24 p. 240 t. 7 f. **30a**, 31—34 | 1898 *Pachycypris (Chlamydotheca) incisa*, Vávra in: Ergeb. Hamb. Magalh.-Sammelr., *v.* 2 Ostr. p. 17 (Synonymie).

Schale: Höhe $^3/_5$ der Länge, am höchsten vor der Mitte; Dorsalrand flach, fast gerade, wenig nach hinten abfallend, gegen Vorder- und Hinterrand undeutlich abgegrenzt; Vorderende breit gerundet; Hinterrand steil abfallend, bildet mit dem Ventralrande einen spitzen Winkel mit stark abgerundeter Spitze. Ventralrand wie bei C. incisa (nr. 3). Letztes Glied des Maxillartasters mit einer starken, die übrigen Borsten des Gliedes etwa um ihre Länge überragenden Borste. — L. ♀ 2·3 mm, ♂ unbekannt.

Argentinien; Paraguay.

7. **C. azteca** (Sauss.) 1858 *Cypris (Chlamydotheca) a.*, Saussure in: Mém. Soc. Genève, *v.* 14 II p. 487 t. 6 f. **45, 46**, 47—54.

Schale: Höhe etwa $^3/_5$ der Länge, am höchsten hinter der Mitte; Dorsalrand flach gewölbt, gegen den Vorderrand nicht, gegen den Hinterrand ziemlich deutlich stumpfwinklig abgegrenzt; Vorderrand breit gerundet; Hinterrand in den dorsalen zwei Dritteln fast geradlinig, steil abfallend, im ventralen Drittel in flacher Rundung in den Ventralrand übergehend; Ventralrand am vorderen Ende mit flacher, aber deutlicher, stumpfwinkliger Bucht. Vom Rücken gesehen ähnlich wie C. incisa (nr. 3). Gelb und grün gefärbt. — L. 3·3 mm.

Mexico; Texas.

12. Gen. **Strandesia** Stuhlmann

1888 *Strandesia,* Stuhlmann in: SB. Ak. Berlin, p. 1260 | 1892 *Acanthocypris,* Claus in: Arb. Inst. Wien, *v.* 10 p. 196 | 1895 *Strandesia* (Subgen.), Vávra in: Mt. Mus. Hamburg, *v.* 12 p. 18 | 1895 *Cypricercus,* G. O. Sars in: Skr. Vidensk. Christian., 1895 nr. 8 p. 37 | 1901 *Neocypris,* G. O. Sars in: Arch. Naturv. Kristian., *v.* 24 nr. 1 p. 29 | ? 1903 *Spirocypris* (part.), R. Sharpe in: P. U. S. Mus., *v.* 26 p. 981.

Schale von sehr verschiedenem Habitus, der Saum kann beiderseits auf dem Schalenrande entspringen, oder es findet sich rechts oder rechts und links neben ihm eine äußere Leiste, die im Profil den Saum verdecken kann, ihn aber niemals weit überragt. Links findet sich stets in der Nachbarschaft des Schalenrandes innen eine auffällige Leiste, welche häufig mit der äußeren Schalenlamelle durch eine Reihe von Balken verbunden ist. Terminales Glied des Maxillartasters schlank, etwa noch einmal so lang wie an der Basis breit; der dritte Kaufortsatz mit 2 verstärkten Borsten. Furca lang und schlank, sie erreicht mit der vorderen Klaue wenigstens die Hälfte der Gesamtlänge des Tieres, die vordere Klaue mißt höchstens die Hälfte der Furca, die vordere Borste stets länger als die hintere, sie mißt wenigstens die Hälfte der vorderen Klaue, die hintere Borste entfernt sich ungefähr um das 1—2fache der Dicke der hinteren Klaue von dieser, die Klauen glatt oder beborstet, nur ausnahmsweise grob gezähnt.

16 sichere, 2 unsichere Arten.

Übersicht der Arten:

1	Rechte Schale mit umfangreichem, dorsalem Fortsatze, welcher im Profil die linke weit überragt — **2.**	
	Rechte Schale ohne solchen Fortsatz, beide Schalen in der Dorsalregion annähernd symmetrisch — **4.**	
2	Rechte Schale mit Dorn am Hinterrande	1. **S. bicuspis**
	Rechte Schale ohne Dorn — **3.**	
3	Fortsatz der rechten Schale vorn und hinten in eine Spitze ausgezogen	2. **S. mercatorum**
	Fortsatz der rechten Schale vorn und hinten nicht in eine Spitze ausgezogen	3. **S. strandesioides**
4	Schale am Hinterrande deutlich unsymmetrisch, die rechte mit einem die linke überragenden Fortsatze — **5.**	
	Schale am Hinterrande symmetrisch — **7.**	
5	Der Fortsatz der rechten Schale bildet eine dornartige Spitze	4. **S. acanthigera**
	Der Fortsatz der rechten Schale abgerundet — **6.**	
6	Höhe gleich $^1/_2$ der Länge	6. **S. episphaena**
	Höhe größer als $^1/_2$ der Länge	5. **S. obtusata**
7	Oberfläche mit einem Netzwerk von deutlichen Leisten	16. **S. reticulata**
	Oberfläche ohne Leisten — **8.**	
8	Höhe kleiner als $^1/_2$ der Länge	7. **S. cuneata**
	Höhe gleich oder größer als $^1/_2$ der Länge — **9.**	
9	Größer als 1 mm — **10.**	
	Kleiner als 1 mm — **14.**	
10	Dorsalrand mit deutlicher Ecke in der vorderen Schalenhälfte — **11.**	
	Dorsalrand gewölbt, ohne Ecke — **12.**	
11	Größer als 1·2 mm	13. **S. taeniata**
	Kleiner als 1·2 mm	14. **S. purpurascens**

12 { Behaarung am Hinterrande der Furca fein, nur bei starker Vergrößerung sichtbar . . . . . 10. **S. maculata**
Behaarung am Hinterrande der Furca deutlich — **13.**

13 { Größer als 1·5 mm . . . . . 8. **S. mutica**
Kleiner als 1·5 mm . . . . . 11. **S. vávrai**

14 { Hinterrand der Furcalklauen glatt . . . . . 15. **S. kraepelini**
Hinterrand der Furcalklauen deutlich behaart — **15.**

15 { Am höchsten vor halber Länge . . . . . 12. **S. vittata**
Am höchsten hinter halber Länge . . . . . 9. **S. variegata**

1. **S. bicuspis** (Claus)

Diese Art zerfällt in 2 Unterarten:

1a. **S. bicuspis bicuspis** (Claus) 1892 *Acanthocypris b.*, Claus in: Arb. Inst. Wien, *v.* 10 p. 199 t. 7 f. **1—3**, 4—12; t. 8 f. 1—6 | 1901 *Neocypris gladiator*, G. O. Sars in: Arch. Naturv. Kristian., *v.* 24 nr. 1 p. 29 t. 6 f. **13, 14**; t. 7 f. 1—7 | 1905 *Eucypris bicuspis*, Daday in: Zool., *v.* (Heft) 44 p. 243 (Synonymie).

Schale des ♀: Höhe (ohne Aufsatz) etwa $^1/_2$ der Länge, am höchsten in der Mitte; Dorsalrand flach gewölbt; Vorder- und Hinterende ähnlich gestaltet, breit gerundet; rechte Schale dorsal mit am Vorderrande flach beginnendem, nach hinten wenig verbreitertem, auf etwa $^2/_3$ der Schalenlänge spitz endendem Aufsatz; rechte Schale mit kurzem, oft abgestumpftem Dorne am Hinterrande. Vom Rücken gesehen ist die Breite $^3/_7$ der Länge, beide Enden schnabelförmig zugespitzt. Furca schwach gebogen, der Hinterrand gesägt gezähnelt, Klauen grob gezähnelt. — L. ♀ 2 mm, ♂ unbekannt.

Südamerika.

1b. **S. bicuspis mucronata** (Claus) 1892 *Acanthocypris b. var. m.*, Claus in: Arb. Inst. Wien, *v.* 10 p. 201 t. 11 f. **1, 7** | 1896 *Cypris (A.) m.*, Claus in: Arb. Inst. Wien, *v.* **11** p. 32, 33 | (non 1901 *Neocypris m.*, G. O. Sars in: Arch. Naturv. Kristian., *v.* 24 nr. 1 p. 36 t. 8 f. 5, 6).

Der Aufsatz der rechten Schale hinten abgestumpft; Dorn der rechten Schale stark hervortretend, spitz, sonst wie S. bicuspis bicuspis.

Venezuela.

2. **S. mercatorum** Vávra 1895 *S. m.*, Vávra in: Mt. Mus. Hamburg, *v.* 12 p. 19.

Linke Schale: Höhe etwa $^1/_2$ der Länge, am höchsten etwa auf $^1/_3$ der Länge; Dorsalrand gerade, nach hinten abfallend; Vorderende breiter gerundet als das hintere; Ventralrand deutlich eingebuchtet. Die rechte Schale trägt auf dem Rücken im mittleren Drittel einen zeltartigen Aufsatz, der meist an beiden Enden in eine Spitze ausgezogen ist. Vom Rücken gesehen ist die Breite annähernd $^1/_2$ der Länge; beide Enden abgerundet, das vordere breiter. Furca gerade; Klauen schlank, gerade, nur an der Spitze wenig gebogen; die vordere Borste länger als $^1/_2$ der vorderen Klaue. — L. ♀ und ♂ 2·2 mm.

Sansibar.

3. **S. strandesioides** (G. W. Müll.) 1898 *Cypris s.*, G. W. Müller in: Abh. Senckenb. Ges., *v.* 21 p. 268 t. 13 f. 22; t. 14 f. **14—16**, 17, 18, 21—24.

Linke Schale des ♀: Höhe etwa $^2/_3$ der Länge, am höchsten auf $^2/_5$ der Länge. Der Dorsalrand bildet hier einen stumpfen Winkel mit wenig gerundeter Spitze, dessen vorderer und hinterer Schenkel deutlich und anfangs geradlinig abfällt; Vorderende breit, Hinterende schmaler gerundet; Ventral-

rand stark konvex. Rechts entspringt neben dem Schloßrande ein kammartiger Aufsatz; er erreicht etwa $^1/_{10}$ der Schalenhöhe, seine Kontur ist dem Schloßrande annähernd parallel, seine Enden sind nicht scharf markiert. Vom Rücken gesehen ist die Breite $^3/_5$ der Länge; die Seiten bilden Bogen, welche nahe dem vorderen und hinteren Ende deutlich eingedrückt sind. Furca schlank, beim ♂ deutlich, beim ♀ weniger deutlich S-förmig gebogen. Die Hodenschläuche treten über den Schließmuskelansätzen in die vordere Schalenhälfte ein und biegen nahe dem vorderen Schalenrande um. — L. ♀ bis 2·15, ♂ bis 2 mm.

Madagaskar.

4. **S. acanthigera** (nom. nov.), G. W. Müll. 1901 *Neocypris mucronata* (non *Acanthocypris m.* Claus 1896), G. O. Sars in: Arch. Naturv. Kristian., *v.* 24 nr. 1 p. 36 t. 8 f. 5, 6 | 1905 *Eucypris m.*, Daday in: Zool., *v.* (Heft) 44 p. 248.

Schale des ♀: Höhe etwa $^1/_2$ der Länge, am höchsten wenig vor der Mitte, Dorsalrand mäßig stark gewölbt, gegen Vorder- und Hinterrand nicht abgegrenzt, Vorderende breit, Hinterende viel schmaler gerundet, rechts am Hinterrande wenig über halber Höhe ein deutlicher, dornartiger Fortsatz, der gerade nach hinten gerichtet ist; Ventralrand gerade, im hinteren Drittel in flachem Bogen zum Hinterrande aufsteigend, in den er ohne Andeutung einer Grenze übergeht. — L. ♀ 1·20 mm, ♂ unbekannt.

Brasilien (São Paulo); Paraguay.

5. **S. obtusata** (O. Sars) 1901 *Neocypris o.*, G. O. Sars in: Arch. Naturv. Kristian., *v.* 24 nr. 1 p. 34 t. 8 f. 1, 2.

Schale des ♀: Höhe deutlich größer als $^1/_2$ der Länge, am höchsten vor der Mitte, Dorsalrand stark gewölbt mit Andeutung einer Ecke, Vorder- und Hinterrand breit gerundet, der vordere etwas breiter als der hintere, an Stelle des Dornes bei S. acanthigera ein flacher, warzenartiger Fortsatz. — L. ♀ 1·2 mm, ♂ unbekannt.

Brasilien (São Paulo).

6. **S. episphaena** (G. W. Müll.) 1908 *Cypricercus e.*, G. W. Müller in: D. Südp.-Exp., *v.* 10 p. 155 f. 1, 2, 3, 4—8.

Linke Schale des ♀: Höhe etwa $^1/_2$ der Länge, am höchsten vor der Mitte, der deutlich gewölbte Dorsalrand geht ohne Andeutung einer Grenze in den Vorder- und Hinterrand über; Vorderende breit gerundet, Hinterende stark verjüngt, läuft in eine stark abgerundete Spitze aus, die etwa auf $^3/_7$ der Schalenhöhe liegt. Ventralrand schwach S-förmig gebogen, im hinteren Drittel deutlich in flachem Bogen aufsteigend. Oberfläche gefeldert, die Grenzen der Felder werden durch Reihen länglicher Gruben gebildet; in jedem Felde findet sich eine flache, scharf konturierte Grube. Rechte Schale etwas niedriger, das Hinterende deutlicher zugespitzt, die schlankere, nur wenig abgerundete Spitze liegt etwa auf $^1/_3$ der Schalenhöhe. Furca S-förmig gebogen, der Hinterrand kahl, die vordere Klaue mißt etwa $^1/_3$ des Vorderrandes, die vordere Borste $^1/_2$—$^2/_3$ der vorderen Klaue. — L. ♀ 1·5—1·6 mm, ♂ unbekannt.

Südafrika bei Simonstown.

7. **S. cuneata** (O. Sars) 1895 *Cypricercus cuneatus*, G. O. Sars in: Skr. Vidensk. Christian., 1895 nr. 8 p. 38 t. 6 f. 1 a—c, d—h.

Schale gestreckt; Höhe deutlich kleiner als $^1/_2$ der Länge, am höchsten etwa in der Mitte; Dorsalrand mäßig stark gewölbt; Ventralrand in der

hinteren Hälfte deutlich aufsteigend; Vorderende mäßig breit gerundet; Hinterende keilförmig zugespitzt, die abgerundete Spitze liegt unter halber Höhe. Oberfläche glatt, dünn behaart. Vom Rücken gesehen ist die Breite etwa $^1/_2$ der Länge, die linke Schale überragt die rechte. Furca schwach S-förmig gebogen, der Hinterrand im distalen Drittel fein gezähnelt; die vordere Klaue mißt $^1/_3$ der Länge des Vorderrandes, die vordere Borste $^1/_2$ der Länge der vorderen Klaue. — L. ♀ 1·75, ♂ 1·55 mm.

Südafrika.

8. **S. mutica** (O. Sars) 1901 *Neocypris m.*, G. O. Sars in: Arch. Naturv. Kristian., *v.* 24 nr. 1 p. 32 t. 7 f. **8, 9**, 10—13 | 1905 *Eucypris m.*, Daday in: Zool., *v.* (Heft) 44 p. 243 (Synonymie).

Schale gestreckt, Höhe gleich $^1/_2$ der Länge, am höchsten etwas hinter der Mitte, Dorsalrand flach gewölbt, Vorderende mäßig breit gerundet, das Hinterende keilförmig zugespitzt, die stark abgerundete Spitze liegt auf halber Höhe. Vom Rücken gesehen ist die Breite kleiner als $^1/_2$ der Länge, die Seiten flach gewölbt, beide Enden in ähnlicher Weise gerundet. Furca schlank, schwach S-förmig gebogen, die vordere Klaue mißt $^2/_5$ des Vorderrandes der Furca, die vordere Borste länger als $^1/_2$ der vorderen Klaue, Hinterrand deutlich gesägt beborstet. — L. ♀ 1·6 mm, ♂ unbekannt.

Südamerika.

9. **S. variegata** (O. Sars) 1901 *Neocypris v.*, G. O. Sars in: Arch. Naturv. Kristian., *v.* 24 nr. 1 p. 33 t. 7 f. **14, 15**, 16 | 1905 *Eucypris v.*, Daday in: Zool., *v.* (Heft) 44 p. 247 (Synonymie).

Schale: Höhe wenig größer als $^1/_2$ der Länge, am höchsten etwas hinter $^1/_2$ der Länge, Dorsalrand stark gewölbt, gegen Vorder- und Hinterrand nicht abgegrenzt, Vorderende ziemlich schmal, Hinterende noch etwas schmaler gerundet, wie bei S. cuneata und S. mutica keilförmig verjüngt, aber die Keilform noch stärker unterdrückt als bei S. mutica, stark abgerundet. Furcaläste fast gerade, der Hinterrand gesägt behaart, die vordere Klaue mißt etwa $^1/_3$ des Vorderrandes, die vordere Borste etwas länger als $^1/_2$ der benachbarten Klaue. — L. ♀ 0·9 mm.

Brasilien (São Paulo); Paraguay.

10. **S. maculata** (G. W. Müll.) 1908 *Cypricercus maculatus*, G. W. Müller in: D. Südp.-Exp., *v.* 10 p. 157 f. **1, 2**, 3—9.

Linke Schale des ♀: Höhe etwa $^1/_2$ der Länge, am höchsten etwa in der Mitte. Dorsalrand stark gewölbt, gegen Vorder- und Hinterrand nicht abgegrenzt, Vorderende ziemlich breit, Hinterende deutlich schmaler gerundet; der Ventralrand in der vorderen Hälfte fast gerade, im hinteren Drittel sehr langsam in flachem Bogen aufsteigend. Rechts liegt der höchste Punkt deutlich vor der Mitte, der Dorsalrand ist stärker gewölbt, der Ventralrand in der Mundgegend deutlich vorgewölbt. Furca schlank, deutlich S-förmig gebogen, der Hinterrand sehr fein behaart, Behaarung schwer nachzuweisen. Klauen schwach gebogen und fast kahl, die vordere mißt etwas mehr als $^1/_3$ des Vorderrandes, die vordere Borste etwas mehr als $^1/_2$ der benachbarten Klaue. — L. ♀ 1·7, ♂ 1·6 mm.

Südafrika (Simonstown).

11. **S. vávrai** (G. W. Müll.) 1898 *Cypris v.*, G. W. Müller in: Abh. Senckenb. Ges., *v.* 21 p. 266 t. 16 f. **1—3**, 4—6.

Schale des ♀: Höhe etwa $^3/_5$ der Länge, am höchsten wenig vor der Mitte; der Dorsalrand bildet einen Bogen, der ohne Grenze in den Vorder- und Hinterrand übergeht; Vorderende breit, Hinterende weniger breit gerundet; Ventralrand rechts annähernd gerade, links deutlich konvex. Vom Rücken gesehen ist die Breite $^7/_{11}$ der Länge, am breitesten in der Mitte; beide Enden ähnlich gestaltet, etwas abgestumpft. Furca schlank, schwach gebogen, der Hinterrand in der distalen Hälfte gesägt behaart, die Klauen annähernd gerade, am Hinterrande mit deutlicher Borstenreihe, die vordere Klaue mißt annähernd $^1/_2$ des Vorderrandes; die vordere Borste $^2/_3$ der benachbarten Klaue. — L. ♀ 1·15—1·44 mm, ♂ unbekannt.

Madagaskar.

12. **S. vittata** (O. Sars) 1903 *Cypris v.*, G. O. Sars in: Arch. Naturv. Kristian., *v.* 25 nr. 8 p. 22 t. 2 f. 3, 3a—c.

Schale der von S. vávrai ähnlich, vom Rücken gesehen etwas stärker komprimiert. Furca schwach S-förmig gebogen, der Hinterrand fast in ganzer Länge mit deutlicher Borstenreihe. Vordere Klaue deutlich kleiner als die Hälfte des Vorderrandes, vordere Borste etwa $^1/_2$ der benachbarten Klaue. — L. ♀ 0·86 mm.

China.

13. **S. taeniata** (Vávra) 1895 *Cypris t.*, Vávra in: Mt. Mus. Hamburg, *v.* 12 p. 22 f. 9, **1, 2,** 3—5.

Schale des ♀: Höhe etwa $^3/_5$ der Länge, am höchsten vor der Mitte; der Dorsalrand bildet einen sehr stumpfen Winkel mit deutlicher Spitze, dessen beide Schenkel annähernd geradlinig und gleich stark abfallen; Vorderende breit, Hinterende deutlich schmaler gerundet; Ventralrand undeutlich gebuchtet, im hinteren Drittel deutlich aufsteigend. Vom Rücken gesehen ist die Breite $^7/_{13}$ der Länge; beide Enden ähnlich gestaltet, wenig zugespitzt. Finger am Greiforgan des ♂ rechts dick, in der Mitte stark gewölbt, links schlank. Furca schwach S-förmig gebogen; distale Hälfte des Hinterrandes gewimpert; Klauen fast gerade, schwach bedornt; die vordere mißt annähernd $^1/_2$ des Vorderrandes, die vordere Borste annähernd $^2/_3$ der vorderen Klaue. — L. ♀ 1·3 mm, ♂ etwas kleiner.

Sansibar.

14. **S. purpurascens** (G. Brady[?], O. Sars) ?1886 *Cypris p.*, G. S. Brady in: J. Linn. Soc. London, *v.* 19 p. 298 t. 38 f. 12—14 | 1903 *C. p.*, G. O. Sars in: Arch. Naturv. Kristian., *v.* 25 nr. 8 p. 20 t. 2 f. 2 | (non 1907 *C. p.*, Apstein in: Zool. Jahrb. Syst., *v.* 25 p. 226).

S. taeniata sehr ähnlich, die vordere Furcalklaue verhältnismäßig kürzer, mißt wenig mehr als $^1/_3$ des Vorderrandes, die vordere Borste mißt etwa $^3/_4$ der benachbarten Klaue. — L. ♀ 1·03 mm, ♂ unbekannt.

Sumatra, Indien(?).

15. **S. kraepelini** (G. W. Müll.) 1906 *Cypris k.*, G. W. Müller in: Mt. Mus. Hamburg, *v.* 23 p. 139.

Schale der von S. taeniata (nr. 13) ähnlich, Höhe etwa $^5/_9$ der Länge, Hinterende viel schmaler gerundet als das Vorderende. Furca schlank, fast gerade; Wimperung des Hinterrandes sehr fein, schwer nachweisbar; die Klauen fast gerade, kahl, die vordere annähernd halb so lang wie der Vorder-

rand, die vordere Borste deutlich länger als $^1/_2$ der benachbarten Klaue. — L. ♀ 0·8—0·87 mm, ♂ unbekannt.

Java.

16. **S. reticulata** (Daday) 1898 *Cypricercus reticulatus*, Daday in: Term. Füzetek, *v.* 21 (Anh.) p. 75 f. 37.

Schale des ♀: Höhe etwas größer als $^1/_2$ der Länge, am höchsten auf $^2/_5$ der Länge; Dorsalrand gewölbt, nach hinten stärker abfallend als nach vorn; Vorderende deutlich breiter gerundet als das Hinterende; Ventralrand fast gerade. Die Oberfläche der Schale wird durch erhabene Leistchen in polygonale, fein punktierte Felder geteilt. Vom Rücken gesehen ist die Breite kleiner als $^1/_2$ der Länge; Vorderende zugespitzt; Hinterende in der Mitte eingebuchtet. Schale des ♂ am höchsten in der Mitte; Dorsalrand nach vorn und hinten gleich stark abfallend; Hinterrand bucklig vorgewölbt, sonst wie das ♀. Furca schlank, beim ♀ gerade, beim ♂ deutlich S-förmig gebogen; der Hinterrand distal in großem Umfange (mehr als $^1/_2$) fein gezähnelt, die vordere Borste mißt $^1/_2$ der vorderen Klaue. — L. ♀ 1·0—1·3, ♂ 0·8—1·2 mm.

Ceylon.

S. elliptica (O. Sars) 1901 *Neocypris e.*, G. O. Sars in: Arch. Naturv. Kristian., *v.* 24 nr. 1 p. 35 t. 8 f. **3, 4.**

Brasilien (Itatiba).

S. vinciguerrae (Masi) 1905 *Cypris v.*, Masi in: Monit. zool. Ital., *v.* 16 p. 241.

Süditalien.

13. Gen. **Dolerocypris** Kaufmann

1776 *Cypris* (part.), O. F. Müller, Zool. Dan. Prodr., p. 198 | 1788 *Monoculus* (part.), J. F. Gmelin, Syst. Nat., *v.* 5 p. 2996 | 1889 *Erpetocypris* (part.), G. S. Brady & A. M. Norman in: Tr. R. Dublin Soc., ser. 2 *v.* 4 p. 84 | 1890 *Stenocypris* (part.), G. O. Sars in: Forh. Selsk. Christian., 1889 nr. 8 p. 27 | 1900 *Cypris* (part.), G. W. Müller in: Zool., *v.* (Heft) 30 p. 51 | 1900 *Eucypris* (part.), Daday, Ostr. Hungar., p. 139 | 1900 *Dolerocypris*, Kaufmann in: Rev. Suisse Zool., *v.* 8 p. 277.

Schale gestreckt, Höhe kleiner als $^1/_2$ der Länge, stark komprimiert, Breite stets kleiner als die Höhe. Terminales Glied des Maxillartasters distal nicht verbreitert, etwa so lang wie breit. 3. Kaufortsatz der Maxille mit 2 zahnartigen Borsten. Furca kräftig, die Klauen kräftig gesägt, die vordere Borste mißt mindestens $^1/_2$ der vorderen Klaue. Die hintere Borste entspringt dicht neben der hinteren Klaue, ihr Abstand geringer als die Breite der Klaue; die Klauen grob gesägt.

5 Arten.

Übersicht der Arten:

1 { Hintere, ventrale Ecke links mit deutlicher Spitze oder Ecke — **2.**
Hintere, ventrale Ecke beiderseits ohne deutliche Ecke oder Spitze — **3.**

2 { Hintere, ventrale Ecke rechts mit deutlicher Spitze **4. D. clavigera**
Hintere, ventrale Ecke rechts ohne deutliche Spitze **5. D. madagascarensis**

3 { Hinterer Furcaldorn deutlich S-förmig gebogen . . **3. D. tenuis**
Hinterer Furcaldorn nicht S-förmig gebogen — **4.**

4 { Größer als 1·8 mm . . . . . **2. D. sinensis**
Kleiner als 1·8 mm . . . . . **1. D. fasciata**

1. **D. fasciata** (Müll.) 1776 *Cypris f.*, O. F. Müller, Zool. Dan. Prodr., p. 199 | 1785 *C. f.*, O. F. Müller, Entom., p. 53 t. 4 f. 1—3 | 1788 *Monoculus fasciatus*, J. F. Gmelin. Syst. Nat., *v.* 5 p. 3003 | 1837 *Cypris ephippiata*, C. L. Koch, C. M. A., fasc. 12 nr. 1, 2 | (non 1851 *C. fasciata*, S. Fischer in: Mém. prés. Ac. St.-Pétersb., *v.* 7 p. 151 t. 5 f. 9—19; t. 6 f. 1, 2) | 1863 *C. angustata*, G. O. Sars in: Nyt Mag. Naturv., *v.* 12 p. 221 | 1889 *Erpetocypris fasciata*, G. S. Brady & A. M. Norman in: Tr. R. Dublin Soc., ser. 2 *v.* 4 p. 86 t. 9 f. 13, 14; t. 12 f. 1 | 1891 *Stenocypris f.*, G. O. Sars in: Forh. Selsk. Christian., 1890 nr. 1 p. 58 | 1900 *Cypris f.*, G. W. Müller in: Zool., *v.* (Heft) 30 p. 55 t. 14 f. 1, 2, 8, 9, 10, 16 | 1900 *Dolerocypris f.*, Kaufmann in: Rev. Suisse Zool., *v.* 8 p. 278 t. 20 f. 13, 14, 15; t. 22 f. 1—3 | 1900 *Eucypris f.*, Daday, Ostr. Hungar., p. 139 | ?1903 *Dolerocypris f.*, G. O. Sars in: Arch. Naturv. Kristian., *v.* 25 p. 36 t. 4 f. 6.

Schale gestreckt, Höhe etwa $^3/_7$ der Länge, am höchsten in der Mitte; der Dorsalrand bildet einen Bogen, der ohne Andeutung einer Grenze in Vorder- und Hinterrand übergeht; Vorderende schmal, Hinterende noch schmaler gerundet; Ventralrand gerade oder schwach konvex. Vom Rücken gesehen schmal, Breite etwa $^1/_3$ der Länge, beide Enden zugespitzt. Die Schwimmborsten der 2. Antenne erreichen die Spitzen der Klauen. Furca kräftig, fast gerade, der Hinterrand in der distalen Hälfte gewimpert; die Klauen kräftig, grob gesägt, die vordere länger als die Hälfte des Vorderrandes; die vordere Borste mißt die Hälfte der vorderen Klaue. — L. ♀ 1·5—1·65 mm, ♂ unbekannt.

Nordeuropa, Schweiz, Ungarn, Sibirien; Sumatra.

2. **D. sinenis** O. Sars 1903 *D. s.*, G. O. Sars in: Arch. Naturv. Kristian., *v.* 25 nr. 8 p. 37 t. 4 f. 7, 7a, 7b.

D. fasciata sehr nahestehend; das Hinterende breiter gerundet als bei D. fasciata, etwa so breit wie das Vorderende. — L. ♀ 1·93 mm.

China.

3. **D. tenuis** (Daday) 1905 *Eucypris t.*, Daday in: Zool., *v.* (Heft) 44 p. 246 t. 16 f. 1, 2, 3, 4.

Schale der von D. fasciata ähnlich, das Hinterende etwas breiter gerundet; Furca mit fast geradem Hinterrande, schwach S-förmig gebogenem Vorderrande, Hinterrand in ganzer Länge deutlich gewimpert. Die Klauen deutlich gesägt, die vordere mißt $^1/_2$ des Vorderrandes, die hintere deutlich S-förmig gebogen, die vordere Borste mißt über $^3/_4$ der vorderen Klaue. — L. ♀ 1·2—1·25 mm.

Paraguay.

4. **D. clavigera** (G. W. Müll.) 1898 *Cypris c.*, G. W. Müller in: Abh. Senckenb. Ges., *v.* 21 p. 269 t. 16 f. 14—16, 17—21.

Schale dünn, zerbrechlich, gestreckt, Höhe etwa $^3/_8$ der Länge, am höchsten auf $^1/_4$ der Länge, Dorsalrand (links) schwach gewölbt, nach hinten in flachem Bogen absteigend, Ventralrand hinten in flachem Bogen langsam aufsteigend; Vorderende breit. Hinterende schmal gerundet, die Rundung hinten abgestutzt, etwa an der Grenze von Hinter- und Ventralrand beiderseits eine kleine, aber deutliche Spitze; am Ventralrande eine Reihe kolbenförmiger Haare. Oberfläche fein längsgestreift. Furca kräftig, gerade, der Hinterrand in ganzer Länge deutlich gewimpert, die Klauen grob gesägt, die vordere deutlich kleiner als $^1/_2$ des Vorderrandes, die vordere Borste annähernd so lang wie die benachbarte Klaue, behaart. — L. ♀ & ♂ 0·75—0·8 mm.

Madagaskar.

5. **D. madagascarensis** (G. W. Müll.) 1898 *Cypris m.*, G. W. Müller in: Abh. Senckenb. Ges., *v.* 21 p. 271 t. 16 f. **7**, 8, 9, **10**, **11**, 12, 13.

Linke Schale gestreckt, Höhe etwa $^2/_5$ der Länge, Dorsalrand horizontal, gerade, fällt im letzten Drittel oder Viertel in flachem Bogen deutlich nach hinten ab; der Hinterrand fällt in schwach S-förmig geschwungener Linie fast senkrecht ab und bildet mit dem fast geraden, hinten wenig aufsteigenden Ventralrande eine scharfe Ecke; rechts findet sich hinten eine stark abgerundete Spitze, zu der der Ventralrand deutlich aufsteigt. Vom Rücken gesehen schmal, Breite etwa $^2/_5$ der Länge. Furca deutlich gebogen; Hinterrand in ganzer Länge grob gezähnelt; die Zähne sägeartig angeordnet, Furcaldornen grob gezähnelt; die vordere Klaue mißt weniger als $^1/_2$ des Vorderrandes, die vordere Borste annähernd so lang wie die vordere Klaue, behaart. — L. ♀ 1·5—1·6, ♂ 1·4—1·5 mm.

Madagaskar.

14. Gen. **Herpetocypris** G. Brady & Norman

1835 *Cypris* (part.), W. Baird in: Hist. Berwick. Club, *v.* 1 p. 98 | 1845 *Candona* (part.), W. Baird in: Hist. Berwick. Club, *v.* 2 p. 153 | 1853 *Cypris* (part.), Lilljeborg, Clad. Ostr. Cop., p. 102 | 1889 *Erpetocypris* (part.), G. S. Brady & A. M. Norman in: Tr. R. Dublin Soc., ser. 2 *v.* 4 p. 84 | 1890 *Herpetocypris*, G. O. Sars in: Forh. Selsk. Christian., 1889 nr. 8 p. 34 | 1900 *Cypris* (part.), G. W. Müller in: Zool., *v.*(Heft) 30 p. 51 | 1900 *Herpetocypris* (part.), Kaufmann in: Rev. Suisse Zool., *v.* 8 p. 281 | 1908 *Erpetocypris*, G. W. Müller in: D. Südp.-Exp., *v.* 10 p. 168.

Schale gestreckt, Höhe stets kleiner als die halbe Länge, komprimiert. Der sehr schmale Saum entspringt beiderseits auf dem Schalenrande. Verschmolzene Zone links deutlich, rechts verschieden. Leiste links (stets?) umfangreich. Oberfläche dicht punktiert, zwischen größeren borstentragenden Punkten finden sich sehr zahlreiche kleinere borstenlose. Stets überragt die linke Schale deutlich die rechte. Letztes Glied des Maxillartasters distal deutlich verbreitert, dritter Kaufortsatz der Maxille mit 2 zahnartig verstärkten Borsten. Furca kräftig, nicht deutlich unsymmetrisch, die vordere Klaue kürzer als die Hälfte des Vorderrandes, die vordere Borste länger als $^1/_3$ der vorderen Klaue (meist $^1/_2$ oder mehr), die hintere Borste klein, entspringt dicht hinter der hinteren Klaue, ihr Abstand geringer als die Klaue an ihrer Basis breit.

5 Arten.

Übersicht der Arten:

1	Die Schwimmborsten der 2. Antenne reichen bis zur Spitze der Klauen — **2.**	
	Die genannten Borsten reichen nicht bis zur Spitze der Klauen — **4.**	
2	Größer als 2 mm — **3.**	
	Kleiner als 2 mm	5. **H. helenae**
3	Hinterrand der Furca gerade	4b. **H. intermedia latialis**
	Hinterrand der Furca in der distalen Hälfte mit flachen Bogen	1. **H. chevreuxi**
4	Hinterer Rand der Furca mit 4 oder 5 Gruppen von Zähnchen (bisweilen Anfänge einer 6.) — **4.**	
	Hinterer Rand der Furca mit 7 Gruppen von Zähnchen	4. **H. intermedia**
5	Die hintere Furcalklaue größer als die Hälfte der vorderen	2. **H. reptans**
	Die hintere Furcalklaue mißt die Hälfte der vorderen	3. **H. brevicaudata**

1. **H. chevreuxi** (O. Sars) 1896 *Stenocypris c.*, G. O. Sars in: Arch. Naturv. Kristian., *v.* 18 nr. 7 p. 5 t. 1, 2.

Linke Schale des ♀: Höhe $^2/_5$ der Länge; Dorsalrand gerade und horizontal, auf $^1/_4$ der Länge stumpfwinklig gegen den Vorderrand abgegrenzt, im hinteren Drittel der Schale in flachem Bogen deutlich nach hinten abfallend; Vorderende mäßig breit, Hinterende schmaler gerundet; Ventralrand flach, aber deutlich eingebuchtet, im hinteren Drittel aufsteigend. Rechte Schale kleiner als die linke, sonst ihr ähnlich. Die Schwimmborsten der 2. Antenne erreichen die Spitzen der Klauen. Hinterrand der Furca in der distalen Hälfte mit 4 oder 5 flachen Bogen, welche schlanke Zähnchen tragen. — L. des ♀ 2·4 mm, ♂ unbekannt.

Algier, England.

2. **H. reptans** (W. Baird)

Diese Art zerfällt in 2 Unterarten:

2a. **H. reptans reptans** (W. Baird) 1835 *Cypris r.*, W. Baird in: Hist. Berwick. Club, *v.* 1 p. 99 t. 3 f. 11 | 1845 *Candona r.*, W. Baird in: Hist. Berwick. Club, *v.* 2 p. 153 | 1850 *C. r.*, W. Baird, Brit. Entom., p. 160 t. 19 f. 3 | 1853 *Cypris r.*, Lilljeborg, Clad. Ostr. Cop., p. 123 t. 11 f. 21—23; t. 12 f. 7—9 | ?1864 *Candona virescens* (Larve?), G. S. Brady in: Ann. nat. Hist., ser. 3 *v.* 13 p. 61 t. 4 f. 1—5 | 1872 *Cypris ornata*, Frič in: Arch. Landesdf. Böhmen, *v.* 2 II p. 226 | 1889 *Erpetocypris reptans*, G. S. Brady & A. M. Norman in: Tr. R. Dublin Soc., ser. 2 *v.* 4 p. 84 t. 13 f. 27 | 1891 *Herpetocypris r.*, G. O. Sars in: Forh. Selsk. Christian., 1890 nr. 1 p. 17 (Synonymie) | 1900 *Cypris r.*, G. W. Müller in: Zool., *v.* (Heft) 30 p. 58 t. 14 f. 4, 6, 12, 13, 17 | ?1903 *Herpetocypris r.*, R. Sharpe in: P. U. S. Mus., *v.* 26 p. 979 t. 65 f. 1—4.

Linke Schale des ♀: Höhe annähernd die Hälfte der Länge; der Dorsalrand verläuft in der Mitte annähernd horizontal und geradlinig und geht ohne deutliche Grenze in das sehr breit gerundete, zum Teil fast senkrecht abfallende Hinterende und in das schmaler gerundete Vorderende über; Ventralrand flach eingebuchtet; die rechte Schale der linken ähnlich. Schale mit umfangreichen dunkelgrünen Flecken auf schmutzigweißem oder gelblichem Grunde. Vom Rücken gesehen schmal, Breite etwa $^1/_3$ der Länge. Die Schwimmborsten der 2. Antenne reichen zum Teil bis an die Basis des letzten Gliedes, sind aber meist beträchtlich kürzer. Furca links gerade oder schwach gebogen, rechts stets deutlich gebogen; Hinterrand mit 4 oder 5 flachen, gezähnelten Bogen; vordere Klaue etwa $^4/_9$ des Vorderrandes; vordere Borste länger als die Hälfte der vorderen Klaue, so lang wie die hintere Klaue. — L. 2·1—2·64 mm.

Europa: Nordafrika, in süßem und salzigem Wasser; Chile. Nordamerika?

2b. **H. reptans curvata** Kaufmann 1900 *H. r. var. c.*, Kaufmann in: Rev. Suisse Zool., *v.* 8 p. 285 t. 16 f. 4, 5; t. 18 f. 27.

Rückenrand gleichmäßig gewölbt, Ventralrand gerade; die dunkle Färbung beschränkt sich auf einige kleine Flecke in der dorsalen Schalenhälfte. — L. 2·3 mm.

Schweiz.

3. **H. brevicaudata** Kaufmann 1900 *H. b.*, Kaufmann in: Rev. Suisse Zool., *v.* 8 p. 286 t. 16 f. 6, 7; t. 18 f. 28—31.

Schale ähnlich der von H. reptans; Dorsalrand gewölbt; dunkle Flecke fehlen fast vollständig. Von den rudimentären Schwimmborsten der 2. Antenne reichen die längsten nur halbwegs bis zur Basis des letzten Gliedes.

Die vordere Borste der Furca und die hintere Klaue mißt nur $^1/_2$ der vorderen Klaue. — L.?

Schweiz.

4. **H. intermedia** Kaufmann

Diese Art zerfällt in 2 Unterarten:

4a. **H. intermedia intermedia** Kaufmann 1900 *H. i.*, Kaufmann in: Rev. Suisse Zool., *v.* 8 p. 288 t. 16 f. **8**, 9; t. 21 f. 1—4.

Schale der von H. brevicaudata ähnlich, satt grün gefärbt bis auf einen hellen Fleck um die Schließmuskelansätze und zwei helle Streifen über den Eierstöcken und Leberschläuchen. Die Schwimmborsten der 2. Antenne reichen bis zur Mitte der Endklauen oder etwas über dieselbe hinaus. Hinterrand der Furca mit 7 oder 8 Gruppen von Zähnchen. — L. 2·01 mm.

Schweiz.

4b. **H. intermedia latialis** (Masi) 1905 *Cypris i. var. l.*, Masi in: Boll. Soc. zool. Ital., ser. 2 *v.* 6 p. 124.

Von der typischen Form dadurch unterschieden, daß die Schwimmborsten die Spitzen der Klauen erreichen.

Süditalien.

5. **H. helenae** (G. W. Müll.) 1908 *Erpetocypris h.*, G. W. Müller in: D. Südp.-Exp., *v.* 10 p. 169 f.

Linke Schale des ♀: Höhe $^8/_{17}$ der Länge, am höchsten auf $^3/_5$ der Länge, Dorsalrand flach gewölbt, gegen Vorder- und Hinterrand nicht deutlich abgegrenzt, Vorderrand breit gerundet, Hinterrand in der dorsalen Hälfte in flachem Bogen steil abfallend, in der ventralen ziemlich schmal gerundet; rechte Schale der linken ähnlich, hinten etwas breiter gerundet. Die Schwimmborsten der 2. Antenne erreichen die Spitzen der Klauen dieser Gliedmaße; basales Glied des Maxillartasters an seinem vorderen (dorsalen) Rande gezähnt. Furca kräftig, Vorderrand deutlich konkav, Hinterrand fast gerade, im distalen Drittel 3 sehr flache Buchten, die distale Hälfte sehr dicht mit kurzen Spitzen besetzt; vordere Borste länger als $^1/_2$ der vorderen Klaue. — L. ♀ 1·85—1·95 mm, ♂ unbekannt.

St. Helena.

15. Gen. **Stenocypria** G. W. Müller

1851 *Cypris* (part.), S. Fischer in: Mém. prés. Ac. St.-Pétersb., *v.* 7 p. 142 | 1895 *Stenocypris* (part.), Croneberg in: Bull. Soc. Moscou, ser. 2 *v.* 8 p. 301 | 1900 *Cypris* (part.), G. W. Müller in: Zool., *v.* (Heft) 30 p. 57 | 1900 *Eucypris* (part.), Daday, Ostr. Hungar., p. 132 | 1901 *Stenocypria*, G. W. Müller in: Zool. Anz., *v.* 24 p. 571.

Schale wie bei Herpetocypris. Von dieser Gattung durch folgende Merkmale unterschieden: Terminales Glied des Maxillartasters distal nicht verbreitert, etwa so lang wie breit, Abstand der hinteren Furcalborste wenigstens so groß wie die hintere Furcalklaue an ihrer Basis breit. Klauen und Hinterrand nur fein gewimpert.

1 Art.

1. **S. fischeri** (Lillj.) 1851 *Cypris fasciata* (non O. F. Müller 1776), S. Fischer in: Mém. prés. Ac. St.-Pétersb., *v.* 7 p. 151 t. 5 f. 9—19; t. 6 f. 1, 2 | 1883 *C. fischeri*, Lilljeborg in: Int. Fish. Exh. London, Swed. Cat. p. 146 (Synonymie) | ? 1891 *C. trifasciata*, Sowinsky in: Mém. Soc. Kiew, *v.* 11 nr. 2 p. 140 (descr. nulla) | 1895 *Stenocypris fischeri*,

Croneberg in: Bull. Soc. Moscou, ser. 2 *v.* 8 p. 301 t. 7 f. 17 | 1900 *Cypris f.*, G. W. Müller in: Zool., *v.* (Heft) 30 p. 57 t. 12 f. **17**, **18**, 19—24 | 1900 *Eucypris f.*, Daday, Ostr. Hungar., p. 152 f. 18 | 1901 *Stenocypria f.*, G. W. Müller in: Zool. Anz., *v.* 24 p. 572.

Schale: Höhe etwa $^3/_7$ der Länge, am höchsten hinter der Mitte; Dorsalrand flach gewölbt, gegen Vorder- und Hinterrand nicht abgegrenzt; Vorder- und Hinterrand fallen in ihrer ventralen Hälfte steil ab und bilden mit dem schwach geschwungenen Ventralrande eine mehr oder weniger deutliche Ecke. Der Innenrand bildet am Hinterende eine stark geschwungene, bisweilen beiderseits verschiedene Linie. Vom Rücken gesehen stark komprimiert. Breite etwa $^2/_5$ der Länge, vorn und hinten zugespitzt; die linke Schale überragt vorn und hinten die rechte bedeutend. Furca schlank, deutlich gebogen; Hinterrand etwa zur Hälfte deutlich gewimpert. — L. ♀ 2·0—2·15 mm, ♂ unbekannt.

Nordeuropa; Ungarn; Sibirien; Algier, in salzigem Wasser.

16. Gen. **Acocypris** Vávra

1895 *Acocypris*, Vávra in: Mt. Mus. Hamburg, *v.* 12 p. 14.

Schale mit den Charakteren wie Herpetocypris, abgesehen vom Saume, der etwas proximal verschoben sein kann. Terminales Glied des Maxillartasters distal nicht deutlich verbreitert, mäßig gestreckt (Breite größer als $^1/_2$ der Länge). Furca kräftig, hintere Borste fehlt, Bewaffnung des Hinterrandes nicht (oder wenigstens nicht auffällig) unsymmetrisch.

1 Art.

1. **A. capillata** Vávra 1895 *A. c.*, Vávra in: Mt. Mus. Hamburg, *v.* 12 p. 15 f. 6.

Höhe etwa $^2/_5$ der Länge, am höchsten in der Mitte; Dorsalrand stark gewölbt, gegen Vorder- und Hinterrand nicht abgegrenzt; Vorderende beiderseits schmal gerundet; Hinterende rechts mit abgerundeter, links mit langer, scharfer Spitze; Ventralrand in der hinteren Hälfte aufsteigend. Furca lang, schlank; Vorderrand fast gerade; längere Klaue $^1/_2$ des Vorderrandes, vordere Borste $^2/_3$ der längeren Klaue; Hinterrand gewimpert gesägt. — **L. 3 mm.**

Ostafrika, Madagaskar.

17. Gen. **Stenocypris** O. Sars

1890 *Stenocypris* (part.), G. O. Sars in: Forh. Selsk. Christian., 1889 nr. 8 p. 27 | 1895 Subgen. *S.*, Vávra in: Mt. Mus. Hamburg, *v.* 12 p. 4, 10 | (non 1896 *S.*, G. O. Sars in: Arch. Naturv. Kristian., *v.* 18 nr. 7 p. 4).

Schale mit den gleichen Charakteren wie Herpetocypris (bisweilen erreicht die Höhe die halbe Länge). Terminales Glied des Maxillartasters mäßig gestreckt (Länge beträgt höchstens die doppelte Breite), distal nicht erweitert. Hintere Furcalborste fehlt. Hinterrand der Furca auffallend unsymmetrisch, auf einer Seite mit sehr derben, auffallend langen, auf der anderen mit kleinen Spitzen.

11 Arten.

Übersicht der Arten:

1 { Das Hinterende der Schale einerseits oder beiderseits mit deutlicher Spitze — 2.
1 { Das Hinterende beiderseits gerundet — 5.

2	Das Hinterende links mit, rechts ohne deutliche Spitze .	11. **S. ametra**
	Das Hinterende beiderseits mit Spitze — **3.**	
3	Das Hinterende mit 2 sägeartigen Spitzen	10. **S. bimucronata**
	Das Hinterende mit einfacher Spitze — **4.**	
4	Vordere Furcalborste vorhanden	5. **S. acuta**
	Vordere Furcalborste fehlend	4. **S. cultrata**
5	Größer als 2·4 mm — **6.**	
	Kleiner als 2·4 mm — **7.**	
6	Linker Furcalast am Hinterrande fein bewimpert	8. **S. derupta**
	Linker Furcalast am Hinterrande mit deutlichen Spitzen	3. **S. aldabrae**
7	Vordere Furcalborste länger als $^1/_2$ der vorderen Furcalklaue — **8.**	
	Vordere Furcalborste kürzer als $^1/_2$ der vorderen Furcalklaue	9. **S. ceylonica**
8	Freier Rand der Schale mit einer breiten, auffällig radiär gestreiften Zone	7. **S. malcolmsoni**
	Freier Rand der Schale ohne solche Zone — **9.**	
9	Größer als 2 mm	2. S. **exsiccata**
	Kleiner als 2 mm — **10.**	
10	Höhe gleich $^1/_2$ der Länge	1. **S. sinuata**
	Höhe deutlich kleiner als $^1/_2$ der Länge	6. **S. fontinalis**

1. **S. sinuata** G. W. Müll. 1898 *S. s.*, G. W. Müller in: Abh. Senckenb. Ges., *v.* 21 p. 273 t. 17 f. 9—13, 15—20, 23.

Schale: Höhe etwa gleich $^1/_2$ der Länge, am höchsten in der Mitte; Dorsalrand ziemlich stark gewölbt, beide Enden gerundet, das hintere etwas schmaler als das vordere; Ventralrand annähernd gerade. Vom Rücken gesehen sehr schmal, Breite weniger als $^1/_3$ der Länge. Furca annähernd gerade; die beiderseits proximalwärts gleichmäßig, ohne Unterbrechung an Größe abnehmenden Spitzen des Hinterrandes reichen etwa bis zur Mitte. — L. ♂ und ♀ 1·55—1·7 mm.

Madagaskar.

2. **S. exsiccata** Vávra 1897 *S. e.*, Vávra in: D.-O.-Afr., *v.* 4 p. 16.

Schale der von S. sinuata ähnlich, etwas gestreckter, Höhe $^5/_{11}$ der Länge; Hinterende undeutlich zugespitzt, die Spitze breit gerundet. Furca schwach gebogen; die Spitzen des rechten Hinterrandes kurz, zu 4 dicht nebeneinander stehenden Gruppen vereinigt; linker Hinterrand glatt. — L. ♀ 2·2 mm, ♂?

Ostafrika.

3. **S. aldabrae** G. W. Müll. ? 1836 *Cypris aristata*, R. Templeton in: Tr. ent. Soc. London, *v.* 1 p. 197 t. 22 f. 14 | 1898 *Stenocypris aldabrae*, G. W. Müller in: Abh. Senckenb. Ges., *v.* 21 p. 275 t. 17 f. 1—8.

Schale der von S. exsiccata ähnlich; Hinterende stärker zugespitzt, Spitze abgerundet. Furca rechts stark gebogen; die Zähne des Hinterrandes nehmen nicht gleichmäßig an Größe ab, vielmehr folgt etwa in der Mitte der Reihe auf

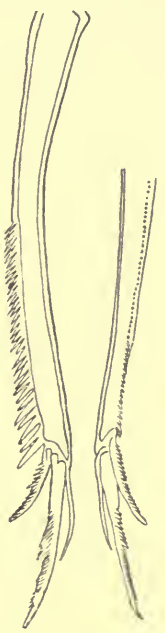

Fig. 57. **Stenocypris aldabrae.** Furcaläste ($^{75}/_1$).

einen kleineren ein größerer; sie stehen dicht und sind nicht deutlich durch Lücken in Gruppen gesondert; Hinterrand des linken Astes mit einer Spitzenreihe, die neben dem Rande entspringt und den Rand nur an ihrem distalen Ende überragt. — L. 2·9—3·5 mm. — Fig. 57.

Insel Aldabra bei Madagaskar; Natal.

4. **S. cultrata** G. W. Müll. 1900 *S. c.*, G. W. Müller in: Zool. Jahrb. Syst., *v.* 13 p. 265 t. 23 f. 22—28.

Schale der von S. aldabrae ähnlich, Höhe etwa $^3/_7$ der Länge; Hinterende scharf zugespitzt; Ventralrand unregelmäßig gebuchtet, im hinteren Viertel mit etwa 9 flachen aber spitzen, nach hinten gerichteten Sägezähnen; ähnliche, weniger deutliche Zähne finden sich auch dorsal von der Spitze am Hinterrande. Furca rechts fast gerade; die Spitzen sind links zu etwa 8 Gruppen von 2—6 Zähnen vereinigt; vordere Borste fehlt. — L. ♀ 3·9—4·7 mm; ♂ unbekannt.

Ostafrika.

5. **S. acuta** Vávra 1895 *S. a.*, Vávra in: Mt. Mus. Hamburg, *v.* 12 p. 11 f. 4.

Schale der von S. cultrata ähnlich, aber gestreckter, Höhe nur etwa $^1/_3$ der Länge. Vordere Furcalborste vorhanden. — L. ♀ 3·8 mm, ♂ etwas kleiner.

Ostafrika.

6. **S. fontinalis** Vávra 1895 *S. f.*, Vávra in: Mt. Mus. Hamburg, *v.* 12 p. 13 f. 5 1, 2, 3.

Schale gestreckt, Höhe etwa $^1/_3$ der Länge; am höchsten in der Mitte; Dorsalrand sehr flach gewölbt; Vorder- und Hinterende ähnlich gestaltet, schmal gerundet; Hinterrand in seiner oberen Hälfte etwas eingedrückt; Ventralrand flach ausgebuchtet. Rechter Furcalast deutlich gebogen; Hinterrand mit in 4 Gruppen angeordneten Spitzen; linker Ast mit glattem Hinterrande. — L. ♀ 1·7 mm. (♂ nur als Larven bekannt).

Sansibar.

7. **S. malcolmsoni** (G. Brady) 1859 *Cypris cylindrica* (non *C. c.* Sowerby 1834) *C. typica* + *C. t. var. major (?)*, W. Baird in: P. zool. Soc. London, *v.* 27 p. 233 t. 63 f. 3, 4 | 1886 *C. malcolmsoni*, G. S. Brady in: J. Linn. Soc. London, *v.* 19 p. 297 t. 38 f. 5—7 | 1890 *Stenocypris m.*, G. O. Sars in: Forh. Selsk. Christian., 1889 nr. 8 p. 28 t. 1 f. 7, 8; t. 5 f. 1—4 | ? 1898 *S. major*, Daday in: Term. Füzetek, *v.* 21 Anh. p. 69 f. 34.

Schale gestreckt, Höhe etwa $^7/_{17}$ der Länge; Dorsalrand annähernd horizontal und gerade; Vorder- und Hinterende gerundet, das hintere schmaler; Ventralrand deutlich eingebuchtet; am ganzen freien Schalenrande erstrecken sich von der schmalen, verschmolzenen Zone aus schmale Fortsätze derselben, welche als derbe radiäre Linien erscheinen, ziemlich weit nach der Mitte der Schale hin. Rechter Furcalast schwach gebogen; die Zähne des Hinterrandes nehmen sehr rasch und gleichmäßig an Größe ab und stehen nicht in Gruppen; Hinterrand links fast ganz glatt; vordere Borste so lang wie die vordere Klaue. — L. ♀ 1·7—2·1 mm; ♂ unbekannt

Indien, Ceylon, Celebes, Australien, Ostafrika. Sumatra.

8. **S. derupta** Vávra 1906 *S. d.*, Vávra in: Zool. Jahrb. Syst., *v.* 23 p. 426 t. 24 f. 21, 22—24.

Schale gestreckt, Höhe $^1/_3$ der Länge, am höchsten etwa in der Mitte. Dorsalrand flach gewölbt, Vorderende schmal gerundet, der Hinterrand bildet

auf $^3/_4$ der Länge mit dem Dorsalrande einen deutlichen, stumpfen Winkel mit stark abgerundeter Spitze, er fällt fast geradlinig ab, bildet mit dem Ventralrande einen spitzen Winkel mit stark abgerundeter Spitze. Rand mit ähnlicher radiärer Streifung wie bei S. malcolmsoni. Furca letzterer Art ähnlich, die vordere Borste nur etwa $^1/_2$ so lang wie die vordere Klaue. — L. ♀ 2·5 mm, ♂ unbekannt.

Sumatra.

9. **S. ceylonica** Daday 1898 *S. c.*, Daday in: Term. Füzetek, *v.* 21 Anh. p. 71 f. 35.

Schale gestreckt, Höhe etwa $^2/_5$ der Länge, am höchsten vor der Mitte; Dorsalrand flach gewölbt; Vorderende breit gerundet; Hinterende zugespitzt, die abgerundete Spitze liegt etwa in halber Schalenhöhe und ihr dorsaler Rand ist deutlich eingebuchtet; Ventralrand deutlich eingebuchtet, im hinteren Drittel deutlich aufsteigend. Furca rechts stark gebogen, links gerade; die Spitzen des Hinterrandes reichen rechts etwa bis zur halben Länge, nehmen gleichmäßig an Größe ab und stehen nicht in Gruppen. — L. 1·7 mm (♂?).

Ceylon.

10. **S. bimucronata** Vávra 1906 *S. b.*, Vávra in: Zool. Jahrb. Syst., *v.* 23 p. 428 t. 25 f. 25, 26, 27—33.

Schale von ♀ und ♂: Höhe gleich $^1/_2$ der Länge, am höchsten auf der Mitte, der Dorsalrand bildet einen stark gewölbten Bogen, der ohne Andeutung einer Grenze in den ziemlich schmal gerundeten Vorderrand übergeht, nach hinten ohne Unterbrechung bis zu der hinteren, ventralen Ecke verläuft, wo er mit dem Ventralrande einen rechten Winkel bildet, dessen Spitze durch zwei dorsalwärts gerichtete Sägezähne ausgezeichnet ist, die links deutlich größer sind als rechts. Der rechte Furcalast viel kräftiger als der linke, die vordere Borste so lang wie $^2/_3$ der Endklaue; der Hinterrand rechts bis über die Hälfte mit großen, allmählich an Größe abnehmenden Zähnen besetzt, sie bilden 3 Gruppen, deren jede mit einem größeren Dorn beginnt; links der Hinterrand im distalen Sechstel fein behaart. — L. ♀ 2·5 mm, ♂ kleiner.

Sumatra.

11. **S. ametra** G. W. Müll.

Diese Art zerfällt in 2 Unterarten:

11a. **S. ametra ametra** G. W. Müll. 1908 *S. a. typica*, G. W. Müller in: D. Südp.-Exp., *v.* 10 p. 171 f.

Linke Schale des ♂: Höhe etwa $^3/_7$ der Länge, am höchsten etwa in der Mitte; der Dorsalrand bildet einen flachen Bogen, der nach vorn ohne Andeutung einer Grenze bis zu einer auf etwa $^1/_3$ der Höhe liegenden deutlichen aber abgerundeten Ecke verläuft, von der aus der Vorderrand in flachem Bogen in den Ventralrand übergeht; Hinterrand nur sehr undeutlich gegen den Dorsalrand abgegrenzt, fällt in flachem Bogen steil ab, bildet mit dem Ventralrande eine deutliche, wenig abgestumpfte, dorsal durch eine flache Bucht abgegrenzte Spitze. Rechts der Vorderrand ohne Ecke, die hintere ventrale Ecke abgerundet. An der Furca mißt die vordere Borste $^1/_2$ der vorderen Klaue, Hinterrand rechts in den distalen zwei Fünfteln bedornt, die etwa 25 Dornen nehmen nicht ganz regelmäßig proximal an Länge ab, indem auf kürzere Dornen wieder längere folgen. Links der Hinterrand fein bedornt. — L. ♂ 2·8 mm, ♀ unbekannt.

Simonstown, Südafrika.

11b. **S. ametra minor** G. W. Müll. 1908 *S. a. var. m.*, G. W. Müller in: D. Südp.-Exp., *v.* 10 p. 173 f.

Schale höher als bei der typischen Form, Höhe annähernd gleich $^1/_2$ der Länge. Ecke am Vorderrande der linken Schale wenig deutlich, sonst wie die andere Unterart. — L. ♂ 2·1 mm, ♀ unbekannt.

Simonstown, Südafrika.

18. Gen. **Ilyodromus** O. Sars

1855 *Candona* (part.), R. L. King in: P. R. Soc. Van Diemensland, *v.* 3 p. 66 | 1886 *Cypris* (part.), G. S. Brady in: P. zool. Soc. London, p. 88 | 1889 *Erpetocypris* (part.), G. S. Brady & A. M. Norman in: Tr. R. Dublin Soc., ser. 2 *v.* 4 p. 89 | 1890 *Herpetocypris* (part.), G. O. Sars in: Forh. Selsk. Christian., 1889 nr. 8 p. 41 | 1895 *Ilyodromus*, G. O. Sars in: Skr. Vidensk. Christian., 1894 nr. 5 p. 38.

Schale von ähnlichem Habitus wie Herpetocypris, Punktierung wie dort beschrieben, Leiste scheint stets zu fehlen. Terminales Glied des Maxillartasters kurz und gedrungen, etwa so lang wie breit, zylindrisch oder distal erweitert, 3. Kaufortsatz der Maxille mit 2 zahnartigen Borsten. Furca kräftig, die hintere Borste den Klauen ähnlich gestaltet aber kürzer, vordere Borste meist kürzer als die Hälfte der vorderen Klaue.

11 sichere, 1 unsichere Art.

Übersicht der Arten:

1 { Schale deutlich längsgestreift — **5.**
Schale glatt — **2.**

2 { Dorsalrand gerade, in der Augengegend gegen den Vorderrand winklig abgegrenzt — **3.**
Dorsalrand gewölbt — **4.**

3 { L. 1·2 mm . . . . . 9. **I. viridulus**
L. 1·5 mm . . . . . 8. **I. smaragdinus**

4 { Hinterrand der Furca glatt . . . . . 11. **I. anisitsi**
Hinterrand der Furca beborstet . . . . . 10. **I. olivaceus**

5 { Größer als 1·5 mm — **6.**
Kleiner als 1·5 mm — **7.**

6 { Ventralrand flach ausgebuchtet, fast gerade . . . . . 2. **I. stanleyanus**
Ventralrand tief ausgebuchtet . . . . . 1. **I. varrovillius**

7 { Der Dorsalrand grenzt sich gegen den Vorderrand deutlich winklig ab — **8.**
Der Dorsalrand grenzt sich gegen den Vorderrand nicht winklig ab — **9.**

8 { Vom Rücken gesehen Vorder- und Hinterende ähnlich gestaltet . . . . . 3. **I. obtusus**
Vom Rücken gesehen das Vorderende viel weniger stark zugespitzt als das Hinterende . . . . . 4. **I. substriatus**

9 { Hinterrand der Furca in der distalen Hälfte gezähnt . 7. **I. pectinatus**
Hinterrand der Furca glatt — **10.**

10 { Höhe gleich $^1/_2$ der Länge . . . . . 6. **I. kerguelensis**
Höhe deutlich kleiner als $^1/_2$ der Länge . . . . . 5. **I. ellipticus**

1. **I. varrovillius** (R. L. King) ?1855 *Cypris varrovillia*, R. L. King in: P. R. Soc. Van Diemensland, *v.* 3 p. 66 t. 10 f. D | 1895 *Ilyodromus varrovillius*, G. O. Sars in: Skr. Vidensk. Christian., 1894 nr. 5 p. 41 t. 6 f. 1a, b, c.

Schale gestreckt, Höhe etwa $^3/_7$ der Länge; Dorsalrand gerade, annähernd horizontal, auf etwa $^1/_3$ und $^7/_9$ stumpfwinklig gegen Vorder- und

Hinterrand abgegrenzt; Vorderende breit, Hinterende schmal gerundet; Ventralrand stark eingebuchtet; deutlich längsgestreift, grün. Vom Rücken gesehen schmal, Breite $^1/_3$ der Länge; beide Enden zugespitzt, vorn stärker als hinten. Furca kurz und kräftig; Vorderrand deutlich gebogen, Hinterrand fast gerade; vordere Klaue annähernd $^1/_2$ des Vorderrandes; vordere Borste $^1/_3$ der vorderen Klaue. — L. ♀ 1·65 mm, ♂ unbekannt.

Neuseeland; Australien?

2. **I. stanleyanus** (R. L. King) 1855 *Candona stanleyana*, R. L. King in: P. R. Soc. Van Diemensland, *v.* 3 p. 66 t. 10 f. H | 1886 *Cypris s.*, G. S. Brady in: P. zool. Soc. London, p. 89 t. 8 f. 3, 4 | (non 1890 *Herpetocypris s.*, G. O. Sars in: Forh. Selsk. Christian., 1889 nr. 8 p. 35 t. 2 f. 1, 2; t. 5 f. 5—7) | 1895 *Ilyodromus stanleyanus*, G. O. Sars in: Skr. Vidensk. Christian., 1894 nr. 5 p. 39 t. 5 f. 3a—e.

I. varrovillius sehr ähnlich; Schale weniger gestreckt (Höhe etwa $^7/_{15}$ der Länge), Hinterende breiter gerundet, Ventralrand nur ganz flach eingebuchtet. — L. 1·65 mm.

Neuseeland; Südaustralien.

3. **I. obtusus** O. Sars 1895 *I. o.*, G. O. Sars in: Skr. Vidensk. Christian., 1894 nr. 5 p. 46 t. 6 f. 4a, b, c, d.

Schale mäßig gestreckt, Höhe annähernd $^1/_2$ der Länge, am höchsten auf $^4/_7$ der Länge; Dorsalrand flach gewölbt, gegen den Vorderrand deutlich, gegen den Hinterrand nicht abgegrenzt; Hinterende breiter gerundet als das Vorderende; Ventralrand deutlich ausgebuchtet; sehr deutlich längsgestreift, grün. Vom Rücken gesehen schmal, Breite etwas mehr als $^1/_3$ der Länge; Vorderende und Hinterende ähnlich gestaltet, deutlich zugespitzt. Furca wie bei I. varrovillius. — L. ♀ 1·4 mm, ♂ unbekannt.

Neuseeland.

4. **I. substriatus** O. Sars 1895 *I. s.*, G. O. Sars in: Skr. Vidensk. Christian., 1894 nr. 5 p. 45 t. 6 f. 3a—c.

I. obtusus sehr ähnlich; Dorsalrand gerade, Vorder- und Hinterende ungefähr gleich breit gerundet, Streifung fein. Vom Rücken gesehen ist das Hinterende viel weniger stark zugespitzt als das Vorderende. — L. ♀ 1·4 mm.

Neuseeland.

5. **I. ellipticus** O. Sars 1896 *I. e.*, G. O. Sars in: Arch. Naturv. Kristian., *v.* 18 nr. 3 p. 57 t. 7 f. 4a—c.

Schale gestreckt, Höhe deutlich kleiner als $^1/_2$ der Länge, am höchsten in der Mitte; Dorsalrand flach gewölbt, gegen Vorder- und Hinterrand nicht abgegrenzt; beide Enden ähnlich abgerundet; Ventralrand fast gerade; sehr fein längsgestreift, durchsichtig, gelb, beide Enden grün. Vom Rücken gesehen schmal, Breite $^1/_3$ der Länge; Vorderende spitz, Hinterende gerundet. Hinterrand der Furca glatt, die vordere Furcalborste $^1/_3$ so lang wie die benachbarte Klaue. — L. ♀ 1·18 mm, ♂ unbekannt.

Australien (bei Sydney).

6. **I. kerguelensis** G. W. Müll. 1906 *I. k.*, G. W. Müller in: Ergeb. Tiefsee-Exp., *v.* 8 p. 136 t. 35 f. 9—12, 14, 15, 16—19.

Schale der von I. ellipticus ähnlich, höher, Höhe gleich $^1/_2$ der Länge, vom Rücken gesehen beide Enden zugespitzt. Hinterrand der Furca glatt; vordere Furcalborste $^1/_6$ der benachbarten Klaue. — L. ♀ 1·25—1·35 mm, ♂ unbekannt.

Kerguelen.

7. **I. pectinatus** R. Sharpe 1908 *I. p.*, R. Sharpe in: P. U. S. Mus., *v.* 35 p. 413 t. 57 f. 1, 2—5.

Schale der von I. kerguelensis ähnlich, Oberfläche außer der Streifung mit vereinzelten kleinen, papillaren Erhebungen (von Sternform?). Hinterrand der Furca in der distalen Hälfte gezähnt; vordere Borste länger als die Hälfte der vorderen Klaue. — L. ♂ 1·18 mm, ♀ wenig kleiner.

Südcarolina, Europa(?).

8. **I. smaragdinus** O. Sars 1895 *I. s.*, G. O. Sars in: Skr. Vidensk. Christian., 1894 nr. 5 p. 43 t. 6 f. 2**a**, **b**, c.

Schale mäßig gestreckt, Höhe etwa $^1/_2$ der Länge, am höchsten auf $^3/_4$ der Länge; Dorsalrand gerade, auf $^1/_4$ und $^3/_4$ der Länge winklig gegen Vorder- und Hinterrand abgegrenzt; Vorderende schmaler gerundet als das Hinterende; Ventralrand flach aber deutlich eingebuchtet; Oberfläche glatt, grün. Vom Rücken gesehen schmal, Breite $^3/_8$ der Länge; vorn stärker zugespitzt als hinten. — L. ♀ 1·5 mm.

Neuseeland.

9. **I. viridulus** (G. Brady) 1886 *Cypris viridula*, G. S. Brady in: P. zool. Soc. London, p. 88 t. 8 f. 1, 2 | ?1887 *C. bombycina*, G. S. Brady in: Steel in: P. nat. Hist. Soc. Glasgow, ser. 2 *v.* 1 P. p. 68 (descr. nulla) | 1890 *Herpetocypris viridula*, G. O. Sars in: Forh. Selsk. Christian., 1889 nr. 8 p. 41 t. 2 f. **3**, **4**; t. 5 f. 8—11 | 1896 *Ilyodromus viridulus*, G. O. Sars in: Arch. Naturv. Kristian., *v.* 18 p. 56 (Synonymie).

I. smaragdinus ähnlich; Dorsalrand nicht deutlich gegen den Hinterrand abgegrenzt. Verschmolzene Zone deutlich. Vom Rücken gesehen ist das Hinterende schmal gerundet, Vorderende zugespitzt. — L. ♀ 1·2 mm.

Australien.

10. **I. olivaceus** (G. Brady & Norm.) 1889 *Erpetocypris olivacea*, G. S. Brady & A. M. Norman in: Tr. R. Dublin Soc., ser. 2 *v.* 4 p. 89 t. 8 f. 3, 4 | 1891 *Herpetocypris o.*, G. O. Sars in: Forh. Selsk. Christian., 1890 nr. 1 p. 62 | 1891 *Cypris o.*, Vávra in: Arch. Landesdf. Böhmen, *v.* 8 nr. 3 p. 88 | ?1893 *Erpetocypris violacea*, T. Scott in: P. phys. Soc. Edinb., *v.* 12 p. 51 (nom. nud.) | 1895 *Ilyodromus olivaceus*, G. O. Sars in: Skr. Vidensk. Christian., 1894 nr. 5 p. 39 (Synonymie) | ?1900 *I. o.*, Kaufmann in: Rev. Suisse Zool., *v.* 8 p. 299 t. 20 f. **7**, **8**, 9; t. 21 f. 17—21.

Fig. 58. **Ilyodromus olivaceus.** Furca ($^{115}/_1$).

Schale mäßig gestreckt, Höhe etwa $^1/_2$ der Länge, am höchsten in der Mitte. Dorsalrand deutlich gewölbt, gegen Vorder- und Hinterrand nicht abgegrenzt, Vorderende wenig breiter gerundet als das Hinterende. Ventralrand fast gerade, schwach ausgebuchtet; Oberfläche nicht gefurcht; grün. Furca schwach gebogen, der Hinterrand in der distalen Hälfte dicht mit deutlichen Börstchen besetzt; vordere Furcalborste annähernd halb so lang wie die vordere Klaue. L. 1·3 mm. — Fig. 58.

Nord-, Mittel- und Südeuropa.

11. **I. anisitsi** (Daday) 1905 *Eucypris a.*, Daday in: Zool., *v.* (Heft) 44 p. 244 t. 15 f. **14—16**, 17—22.

Schale der von I. olivaceus ähnlich, der Dorsalrand flacher gewölbt. Hinterrand der Furca glatt, die vordere Borste mißt etwa $^1/_6$ der vorderen Klaue. — L. 1—1·2 mm.

Paraguay.

I. robertsoni (G. Brady & Norm.) 1889 *Erpetocypris r.*, G. S. Brady & A. M. Norman in: Tr. R. Dublin Soc., ser. 2 *v.* 4 p. 88 | 1896 *Ilyodromus r.*, G. S. Brady & A. M. Norman in: Tr. R. Dublin Soc., ser. 2 *v.* 5 p. 724 (Synonymie).

England.

19. Gen. **Isocypris** G. W. Müller

1908 *Isocypris*, G. W. Müller in: D. Südp.-Exp., *v.* 10 p. 159.

Schale sehr stark seitlich komprimiert, der Saum entspringt beiderseits auf dem Schalenrande, Leiste vorhanden, beiderseits gleich stark entwickelt und von gleichem Verlaufe. Der Innenrand fällt am Hinterende mit dem Schalenrande zusammen, beide Schalen fast vollständig symmetrisch, so daß sie sich weder am Vorder- noch am Hinterende umfassen. Terminales Glied des Maxillartasters kurz, distal deutlich verbreitert, dritter Kaufortsatz der Maxille mit 2 zahnartigen Borsten. Furca ziemlich kurz und kräftig, die vordere Borste mißt weniger als $^1/_2$ der vorderen Klaue, ist kahl. Abstand der hinteren Borste von der hinteren Klaue gering, höchstens die doppelte Breite der hinteren Klaue an ihrer Basis.

2 Arten.

Übersicht der Arten:

Verschmelzungslinie am Vorderrande glatt, dem Schalenrande parallel . . . . . 1. I. perangusta
Verschmelzungslinie am Vorderrande unregelmäßig gezackt . . . 2. I. priomena

1. **I. perangusta** G. W. Müll. 1908 *I. p.*, G. W. Müller in: D. Südp.-Exp., *v.* 10 p. 159 f.

Schale dünn, durchscheinend, Höhe gleich $^1/_2$ der Länge, am höchsten in der Mitte; der Dorsalrand bildet einen flachen Bogen, der gegen den Hinterrand nicht, gegen den Vorderrand durch eine flache Bucht abgegrenzt ist. Vorderende breit, Hinterende viel schmaler gerundet. Ventralrand flach eingebuchtet. Die Verschmelzungslinie verläuft vorn dem Schalenrande parallel, in geringer Entfernung von ihm. Oberfläche glatt, mit zahlreichen Punkten, die sämtlich zu Borsten gehören. An der Furca entfernt sich die hintere Borste von der hinteren Klaue um die Breite der letzteren. — L. ♀ 1·15—1·2 mm, ♂ unbekannt.

Südafrika (Simonstown).

2. **I. priomena** G. W. Müll. 1908 *I. p.*, G. W. Müller in: D. Südp.-Exp., *v.* 10 p. 161 f.

Schale der von I. perangusta sehr ähnlich, in folgenden Punkten unterschieden: Die Einbuchtung in der Augengegend viel deutlicher; Verschmelzungslinie am Vorderrande unregelmäßig gezackt; zwischen den borstentragenden Porenkanälen finden sich Reihen länglicher Grübchen, wodurch stellenweise eine polygonale Felderung entsteht. An der Furca entfernt sich die hintere Borste von der hinteren Klaue um das Doppelte von deren basaler Breite. — L. ♀ 1·5 mm, ♂ unbekannt.

Südafrika (Simonstown).

20. Gen. **Astenocypris** nom. nov. G. W. Müller

1903 *Leptocypris* (non *Leptocypris* Boulenger 1900), G. O. Sars in: Arch. Naturv. Kristian., *v.* 25 nr. 8 p. 28.

Schale sehr stark komprimiert, annähernd symmetrisch. Terminales Glied des Maxillartasters schlank, etwa noch einmal so lang, wie es an der

Basis breit ist; zahnartige Borsten? Furca sehr kräftig, der Hinterrand grob gesägt, nicht behaart oder gezähnelt; die vordere Borste länger als die Hälfte der vorderen Klaue; die hintere Borste schlank, steht in geringem Abstand von der hinteren Klaue.

1 Art.

1. **A. papyracea** (O. Sars) 1903 *Leptocypris p.*, G. O. Sars in: Arch. Naturv. Kristian., *v.* 25 nr. 8 p. 29 t. 3 f. 4, 4 a—c.

Schale dünn und durchsichtig, gestreckt, Höhe annähernd $^1/_2$ der Länge, am höchsten in der Mitte; Dorsalrand flach gewölbt, gegen beide Enden nicht abgegrenzt, Vorderende breit gerundet, Hinterrand in der ventralen Hälfte senkrecht abfallend, bildet mit dem schwach S-förmig geschwungenen Ventralrande einen Winkel, der etwas größer ist als ein rechter, mit etwas abgerundeter Spitze. Oberfläche fein längsgestreift, Hinterrand der Furca mit 7 umfangreichen Zähnen, die basal an Umfang abnehmen, die Klauen grob gesägt, die vordere kürzer als $^1/_2$ des Vorderrandes, die vordere Borste annähernd so lang wie die vordere Klaue. — L. ♀ 1·84 mm, ♂ unbekannt.

Sumatra.

21. Gen. **Cypretta** Vávra

1855 *Cypris* (part.), R. L. King in: P. R. Soc. Van Diemensland, *v.* 3 p. 64 | 1886 *Cypridopsis* (part.), G. S. Brady in: P. zool. Soc. London, p. 91 | 1895 *C.* (part.), G. O. Sars in: Skr. Vidensk. Christian., 1894 nr. 5 p. 30 | 1895 *Cypretta* + *Cypridella*, Vávra in: Mt. Mus. Hamburg, *v.* 12 p. 6 | 1898 *Cypretta*, G. W. Müller in: Abh. Senckenb. Ges., *v.* 21 p. 283 | 1898 *C.* + *Pionocypris*, Vávra in: Ergeb. Hamb. Magalh.-Sammelr., *v.* 2 Ostr. p. 12, 13.

Schale sehr kurz und hoch, Höhe wenigstens $^2/_3$ der Länge, Breite annähernd so groß wie die Höhe oder größer. Vorderrand der Schale mit grober, radiärer Streifung proximal von der verschmolzenen Zone; Ovarium in der hinteren Hälfte spiralig aufgerollt (stets?). Terminales Glied des Maxillartasters gestreckt, etwa noch einmal so lang wie breit, zylindrisch; 3. Kaufortsatz der Maxille mit 2 zahnartigen Borsten. Furca schlank und schwach, vordere Borste klein oder fehlend, vordere Klaue stets länger als die Hälfte des Vorderrandes, meist über $^2/_3$. ♂ unbekannt. Durchweg kleine Formen von höchstens 1 mm L.

11 Arten.

Übersicht der Arten:

1	Vordere Furcalborste vorhanden — **2.**	
	Vordere Furcalborste fehlt — **6.**	
2	Hintere Furcalborste länger als $^1/_2$ der hinteren Klaue . .	1. **C. globulus**
	Hintere Furcalborste kürzer als $^1/_2$ der hinteren Klaue — **3.**	
3	Abstand der hinteren Borste von der hinteren Klaue kleiner als die doppelte Breite der Furca am Ursprunge der Borste — **4.**	
	Abstand der hinteren Borste von der hinteren Klaue größer als die Breite der Furca am Ursprunge der Borste . .	4. **C. remota**
4	Vorderrand der Furca deutlich S-förmig gebogen	5. **C. lemurensis**
	Vorderrand der Furca nicht S-förmig gebogen, fast gerade — **5.**	
5	Vordere Furcalklaue fast gerade, nur am Ende schwach gebogen	2. **C. minna**
	Vordere Furcalklaue in ganzer Länge ziemlich gleichmäßig gebogen	3. **C. dubiosa**

6 { Hintere Borste fehlt . . . . . 11. **C. sarsi**
  { Hintere Borste vorhanden — **7.**

7 { Vordere Klaue so lang wie der Vorderrand der Furca . . 7. **C. tenuicauda**
  { Vordere Klaue deutlich kürzer als der Vorderrand — **8.**

8 { Schale länger als 0·70 mm — **9.**
  { Schale kürzer als 0·70 mm — **10.**

9 { Schale in der Mitte dünn behaart . . . . . 9. **C. turgida**
  { Schale in der Mitte dicht behaart . . . . . 8. **C. viridis**

10 { Hintere Furcalklaue gerade, mit der Furca verschmolzen . 6. **C. costata**
   { Hintere Furcalklaue wellig gebogen, nicht verschmolzen . 10. **C. papuana**

1. **C. globulus** (O. Sars) 1890 *Cypridopsis g.*, G. O. Sars in: Forh. Selsk. Christian., 1889 nr. 8 p. 53 t. 2 f. **9, 10**; t. 7 f. 1—11 | 1898 *Pionocypris g.*, Vávra in: Ergeb. Hamb. Magalh.-Sammelr., *v.* 2 Ostr. p. 13 (Synonymie) | 1898 *Cypretta g.*, G. W. Müller in: Abh. Senckenb. Ges., *v.* 21 p. 283 (Synonymie).

Schale: Höhe reichlich $^2/_3$ der Länge, am höchsten in der Mitte; Dorsalrand deutlich winklig gebogen; Hinterrand wenig breiter gerundet als der Vorderrand; Ventralrand annähernd gerade. Vom Rücken gesehen sehr breit, Breite $^4/_5$ der Länge. Furca gerade; vordere Borste vorhanden; die vordere Klaue mißt etwa $^3/_4$ des Vorderrandes, die hintere Borste etwa $^3/_4$ der hinteren Klaue. — L. ♀ 0·7 mm.

Australien; Ceylon.

2. **C. minna** (R. L. King) 1855 *Cypris m.*, R. L. King in: P. R. Soc. Van Diemensland, *v.* 3 p. 64 t. 10 f. B | 1886 *Cypridopsis m.*, G. S. Brady in: P. zool. Soc. London, p. 91 t. 10 f. 1—3 | (non 1895 *C. m.*, G. O. Sars in: Skr. Vidensk. Christian., 1894 nr. 5 p. 31 t. 4 f. 3a—cd) | 1896 *C. m.*, G. O. Sars in: Arch. Naturv. Kristian., *v.* 18 nr. 3 p. 59 t. 7 f. 5a—c | 1898 *Pionocypris m.*, Vávra in: Ergeb. Hamb. Magalh.-Sammelr., *v.* 2 Ostr. p. 13 (Synonymie) | 1900 *Cypretta m.*, Daday, Ostr. Hungar., p. 184 (Synonymie).

Schale der von C. globulus ähnlich, Höhe $^4/_5$ der Länge; vom Rücken gesehen die Breite etwa $^2/_3$ der Länge. Furca der von C. globulus ähnlich; die hintere Borste mißt nur etwa $^1/_4$ der hinteren Klaue; die vordere Klaue fast gerade, am Ende schwach gebogen. — L. 0·92 mm.

Australien, Ceylon.

3. **C. dubiosa** (Daday) 1901 *Cypridella d.*, Daday in: Term. Füzetek, *v.* 24 p. 44.

Schale: Höhe etwa $^3/_4$ der Länge, am höchsten in der Mitte; Dorsalrand gewölbt; Vorderrand breit gerundet, etwas schräg abgestutzt; Hinterrand schmaler gerundet als der Vorderrand. Vom Rücken gesehen Breite $^5/_6$ der Länge, hinten in der Mitte eingebuchtet. Furca mit geradem Vorderrande; vordere Borste vorhanden; vordere Klaue in ganzer Länge deutlich gebogen, hintere Borste sehr kurz. — L. 0·45—0·6 mm.

Neuguinea.

4. **C. remota** (Vávra) 1906 *Cypridella r.*, Vávra in: Zool. Jahrb. Syst., *v.* 23 p. 430 t. 25 f. **34, 35**, 36.

Schale: Höhe etwas größer als $^2/_3$ der Länge, am höchsten etwa in der Mitte, Dorsalrand stark gewölbt, gegen Vorder- und Hinterrand nicht abgegrenzt, Vorderende etwas breiter gerundet als das Hinterende, Ventralrand flach, in der Mitte deutlich konkav. Furca schlank, fast gerade, Klauen schlank, schwach gebogen, die vordere mißt $^2/_3$ des Vorderrandes; vordere und hintere Borste vorhanden, die hintere entfernt sich weit von der hinteren

Klaue, ihr Abstand etwa drei mal so groß wie die Furca an ihrem Ursprunge breit ist. — L. ♀ 0·85 mm, ♂ unbekannt.

Sumatra.

5. **C. lemurensis** (Vávra) 1895 *Cypridella l.*, Vávra in: Mt. Mus. Hamburg, *v.* 12 p. 9 f. 3.

Schale: Höhe reichlich $^3/_4$ der Länge, am höchsten in der Mitte; Dorsalrand stark gewölbt; Vorder- und Hinterrand ähnlich, breit gerundet; Ventralrand gerade. Vom Rücken gesehen eiförmig, Breite größer als $^1/_2$ der Länge; beide Enden wenig zugespitzt. Vorderrand der Furca deutlich S-förmig gebogen, vordere Borste vorhanden, klein, die Furcalklauen glatt und fast gerade. Abstand der hinteren Borste von der benachbarten Klaue etwa so groß wie die Breite der Furca am Ursprunge der Borste. Die Hodenschläuche treten in die vordere Schalenhälfte ein, bilden dort eine Spirale. — L. 0·95 mm.

Sansibar.

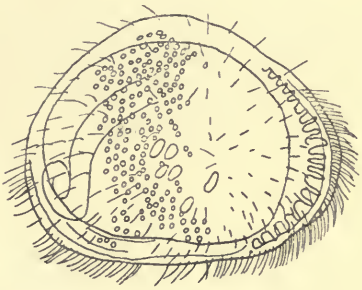

Fig. 59.
Cypretta costata. Rechte Schale ($^{75}/_1$).

6. **C. costata** G. W. Müll. 1898 *C. c.*, G. W. Müller in: Abh. Senckenb. Ges., *v.* 21 p. 283 t. 18 f. 15—23.

Schale hoch, Höhe $^4/_5$ der Länge, am höchsten in der Mitte; der Dorsalrand bildet einen stumpfen Winkel mit stark gerundeter Ecke; beide Enden breit gerundet, das hintere etwas breiter. Vom Rücken gesehen breit eiförmig; die Breite etwa $^4/_5$ der Länge. Furca schwach S-förmig gebogen; vordere Borste fehlt; vordere Klaue etwa $^3/_4$ des Stammes, in ganzer Länge deutlich gebogen; hintere Klaue $^1/_2$ der vorderen, gerade; hintere Borste sehr klein. — L. 0·58—0·66 mm. — Fig. 59.

Madagaskar.

7. **C. tenuicauda** Vávra 1895 *C. t.*, Vávra in: Mt. Mus. Hamburg, *v.* 12 p. 7 f. 2.

Schale kurz, Höhe $^2/_3$ der Länge, am höchsten hinter der Mitte; Dorsalrand gewölbt; Hinterrand breiter gerundet als der Vorderrand; Ventralrand gerade. Vom Rücken gesehen breit eiförmig, die Breite $^5/_6$ der Länge. Furca gerade; vordere Borste fehlt; vordere Klaue so lang wie der Vorderrand, in ganzer Länge deutlich gebogen; hintere Klaue fast gerade; hintere Borste sehr kurz. — L. 0·6 mm.

Sansibar.

8. **C. viridis** (G. M. Thoms.) 1879 *Cypris v.*, G. M. Thomson in: Tr. N. Zealand Inst., *v.* 11 p. 253 t. 11 f. A 2a—g | 1895 *Cypridopsis v.*, G. O. Sars in: Skr. Vidensk. Christian., 1894 nr. 5 p. 32 t. 4 f. 4a, b, c | ? 1898 *Cypris v.*, G. S. Brady in: Tr. zool. Soc. London, *v.* 14 p. 440 t. 45 f. 22, 23 | 1898 *Pionocypris v.*, Vávra in: Ergeb. Hamb. Magalh.-Sammelr., *v.* 2 Ostr. p. 13 (Synonymie) | 1900 *Cypretta v.*, Daday, Ostr. Hungar., p. 184 (Synonymie).

Schale: Höhe ungefähr $^2/_3$ der Länge, am höchsten in der Mitte; Dorsalrand gewölbt; Hinterende breiter gerundet als das vordere; Ventralrand gerade; die ganze Oberfläche dicht behaart; dunkelgrün. Vom Rücken gesehen Breite $^2/_3$ der Länge. Furca sehr schlank, gerade; vordere Borste

fehlt; vordere Klaue etwa $^3/_4$ des Vorderrandes; beide Klauen schwach gebogen. — L. 0·95 mm.

Australien; Neuseeland.

9. **C. turgida** (O. Sars) 1895 *Cypridopsis minna* (non *Cypris m.* R. L. King 1855), G. O. Sars in: Skr. Vidensk. Christian., 1894 nr. 5 p. 30 t. 4 f. 3a—c, d | 1896 *C. turgida*, G. O. Sars in: Arch. Naturv. Kristian., *v.* 18 nr. 3 p. 62 (Synonymie) | 1898 *Pionocypris t.*, Vávra in: Ergeb. Hamb. Magalh.-Sammelr., *v.* 2 Ostr. p. 13 (Synonymie) | 1900 *Cypretta t.*, Daday, Ostr. Hungar., p. 184 (Synonymie).

Schale der von C. viridis sehr ähnlich, in der Mitte dünn behaart, olivengrün oder gelbbraun; vom Rücken gesehen Breite $^4/_5$ der Länge. Furca distal schwach S-förmig gebogen; die längere Klaue deutlich gebogen. — L. 0·89 mm.

Neuseeland; Australien; China.

10. **C. papuana** Vávra 1901 *C. p.*, Vávra in: Arch. Naturg., *v.* 67 1 p. 183 t. 8 f. 16; t. 9 f. 17, 18—20.

Schale des ♀: Höhe $^7/_9$ der Länge, am höchsten in der Mitte; Dorsalrand gewölbt, beide Enden gerundet, ähnlich gestaltet; Ventralrand seicht gebuchtet. Vom Rücken gesehen Breite etwa gleich der Höhe; Hinterende breit gerundet, Vorderende zugespitzt. Furca schlank, schwach S-förmig gebogen; vordere Klaue schwach gebogen, gleich $^3/_4$ des Vorderrandes; hintere Klaue unregelmäßig S-förmig gebogen, gleich $^1/_2$ der vorderen; vordere Borste fehlt, hintere klein. — L. des ♀ 0·78 mm.

Bismarckarchipel.

11. **C. sarsi** G. Brady 1902 *C. s.*, G. S. Brady in: Tr. zool. Soc. London, *v.* 14 p. 195 t. 25 f. 10—15.

Höhe der Schale gleich $^2/_3$ der Länge, am höchsten in der Mitte, Dorsalrand stark gewölbt, Vorderende etwas breiter als das Hinterende gerundet. Oberfläche mit kleinen Gruben. Furca schlank, die vordere Klaue annähernd gerade und reichlich $^3/_4$ so lang wie der Vorderrand; vordere und hintere Borste fehlen, durch letzteres Merkmal von den übrigen Arten unterschieden. — L. 0·77 mm.

Westindien, (St. Thomas), Natal.

22. Gen. **Cypridopsis** G. Brady

1785 *Cypris* (part.), O. F. Müller, Entom., p. 48 | 1850 *C.* (part.), W. Baird, Brit. Entom., p. 151 | 1854 *Cypria* (s. l.), Zenker in: Arch. Naturg., *v.* 20 1 p. 77 | 1867 *Cypridopsis*, G. S. Brady in: Intell. Observ., *v.* 12 p. 117 | 1868 *C.*, G. S. Brady in: Tr. Linn. Soc. London, *v.* 26 p. 375 | 1891 *Potamocypris*, G. O. Sars in: Forh. Selsk. Christian., 1890 nr. 1 p. 63 | 1896 *Cypridopsis* + *P.*, G. O. Sars in: Skr. Vidensk. Christian., 1895 nr. 8 p. 41, 43 | 1896 *Pionocypris*, G. S. Brady & A. M. Norman in: Tr. R. Dublin Soc., ser. 2 *v.* 5 p. 725 | 1898 *Candonella* (part.), Vávra in: Ergeb. Hamb. Magalh.-Sammelr., *v.* 2 Ostr. p. 12 | 1901 *Cypridopsis* + *Cypridopsella* (part.), Kaufmann in: Rev. Suisse Zool., *v.* 8 p. 304, 311 | 1905 *Proteocypris*, G. S. Brady in: Tr. nat. Hist. Soc. Northumb., ser. 2 *v.* 1 p. 335 t. 10 f. 1—12.

Schwimmborsten der 2. Antenne wohl entwickelt. Terminales Glied des Maxillartasters zylindrisch, gestreckt; 3. Kaufortsatz der Maxille mit 2 zahnartigen Borsten. 1 Thoraxbein mit mehr oder weniger umfangreicher Atemplatte, welche aus wenigstens 2 Strahlen besteht. Furca mit sehr kurzem Stamme; er trägt an Stelle der vorderen Klaue eine lange Borste (Geißel), die stets deutlich länger ist als der Stamm und oft die mehrfache

Länge des Vorderrandes erreicht; vordere Borste und hintere Klaue fehlen; hintere Borste fast stets vorhanden, meist sehr klein. Durchweg sehr kleine Formen von weniger als 1 mm Länge.

13 sichere, 18 unsichere Arten.

Übersicht der sicheren Arten:

1	Schale nur mit typischen Borsten — **3.**	
	Borsten der Schale zum Teil in dornartige Gebilde umgestaltet — **2.**	
2	Schale glatt, ohne deutliche Gruben	11. **C. echinata**
	Schale mit deutlichen Gruben	10. **C. aculeata**
3	Die Furca trägt außer der terminalen Borste (Geißel) noch eine kleine Borste — **5.**	
	Furca nur mit Geißel, ohne weitere Borste — **4.**	
4	Größer als 0·7 mm	9. **C. triquetra**
	Kleiner als 0·7 mm	6. **C. punctillata**
5	Größer als 0·5 mm — **6.**	
	Kleiner als 0·5 mm	8. **C. parva**
6	Dorsalrand in der Augengegend deutlich eingedrückt	12. **C. granulosa**
	Dorsalrand in der Augengegend nicht eingedrückt — **7.**	
7	Schale mit warzenartigen Erhebungen	13. **C. dentatomarginata**
	Schale ohne warzenartige Erhebungen — **8.**	
8	Der Vorderrand der Furca mißt weniger als $^1/_2$ der Geißel — **9.**	
	Der Vorderrand der Furca mißt mindestens $^1/_2$ der Geißel — **11.**	
9	Höhe der Schale $^2/_3$ der Länge	7. **C. vidua**
	Höhe deutlich kleiner als $^2/_3$ der Länge — **10.**	
10	Länge mehr als 0·7 mm	4. **C. hartwigi**
	Länge weniger als 0·7 mm	5. **C. elongata**
11	Dorsalrand stark gewölbt, mit ziemlich deutlicher, winkliger Knickung	1. **C. newtoni**
	Dorsalrand flach gewölbt, ohne Andeutung einer Knickung — **12.**	
12	Vorderrand der Furca gerade	2. **C. albida**
	Vorderrand der Furca stark gekrümmt	3. **C. salina**

1. **C. newtoni** G. Brady & D. Roberts. 1870 *C. n.*, G. S. Brady & D. Robertson in: Ann. nat. Hist., ser. 4 *v.* 6 p. 14 t. 7 f. 14—16 | ?1887 *Cypridopsis hystrix*, Herrick in: Mem. Denison Ass., *v.* 1 nr. 1 p. 30 t. 4 f. 6 | ?1888 *C. lunata*, Moniez in: Barrois, Matér. Açores, Crust. p. 9 | 1898 *Candonella newtoni*, Vávra in: Ergeb. Hamb. Magalh.-Sammelr., *v.* 2 Ostr. p. 12 (Synonymie) | 1898 *Cypridopsis aldabrae*, G. W. Müller in: Abh. Senckenb. Ges., *v.* 21 p. 281 t. 18 f. 1—14 | 1900 *C. newtoni*, G. W. Müller in: Zool., *v.* (Heft) 30 p. 83 t. 17 f. 5, 17—20 | 1900 *Potamocypris n.*, Daday, Ostr. Hungar., p. 193.

Fig. 60. **Cypridopsis newtoni.** Furcalast ($^{160}/_1$).

Linke Schale des ♀: Höhe etwa $^7/_{11}$ der Länge, am höchsten wenig vor der Mitte; der Dorsalrand bildet einen Winkel mit stark abgerundeter Spitze, dessen vorderer Schenkel steiler abfällt als der hintere; beide gehen ohne Andeutung einer Grenze in den Vorder- und Hinterrand über; beide Enden ähnlich gestaltet, schmal gerundet; Ventralrand flach aber deutlich eingebuchtet; Vorder- und Ventralrand, letzterer mit Ausnahme der Mitte, werden von einem breiten, durchsichtigen Saume überragt. Oberfläche mit kleinen, wenig scharf konturierten Gruben bedeckt, dicht behaart. Grün oder orangefarben. Vom Rücken gesehen

Breite annähernd $^1/_2$ der Länge, Hinterende abgestumpft, Vorderende zugespitzt. Stamm der Furca etwa $^2/_3$ so lang wie die Geißel. — L. ♀ 0·5—0·77 mm, ♂ (fehlt in Nordeuropa) 0·62—0·7 mm. — Fig. 60.

Europa; Nordasien?; Nordamerika?; Azoren?; Aldabra [bei Madagascar].

2. **C. albida** (Vávra) 1897 *Candonella a.*, Vávra in: D.-O.-Afr., *v.* 4 p. 12 f. 3 | 1900 *Potamocypris a.*, Daday, Ostr. Hungar., p. 193 (Synonymie).

Schale des ♀: Höhe reichlich $^1/_2$ der Länge ($^7/_{13}$), am höchsten in der Mitte; Dorsalrand gewölbt; Vorderende breit, Hinterende etwas schmaler gerundet; Ventralrand in der Mundgegend deutlich vorgewölbt. Vom Rücken gesehen Breite annähernd $^1/_2$ der Länge; beide Enden zugespitzt, die rechte Schale überragt beiderseits deutlich die linke. Schale des ♂ etwas niedriger. Vorderrand der Furca gerade, er mißt etwa $^1/_2$ der Geißel, diese nicht durch eine Einschnürung vom Stamme abgegrenzt. — L. ♀ und ♂ 0·65 mm.

Ostafrika, Ceylon(?).

3. **C. salina** (G. Brady) 1904 *Proteocypris s.*, G. S. Brady in: Tr. nat. Hist. Soc. Northumb., ser. 2 *v.* 1 p. 335 t. 10 f. 1—12.

Schale der von C. albida ähnlich, ohne Ausbuchtung in der Mundgegend. Stamm der Furca stark gekrümmt, besonders der Vorderrand, Hinterrand mit deutlicher Borste, der Vorderrand des Stammes gleich $^1/_2$ der Geißel, die Geißel sehr deutlich durch eine Einschnürung abgegrenzt. — L. ♀ und ♂ 0·55 mm.

Küste von Natal; marin.

4. **C. hartwigi** G. W. Müll. 1900 *C. h.*, G. W. Müller in: Zool., *v.* (Heft) 30 p. 82 t. 18 f. 5, 20—22.

Linke Schale des ♀: Höhe etwa $^1/_2$ der Länge, am höchsten etwa in der Mitte; der Dorsalrand bildet einen Winkel mit wenig abgerundeter Spitze, dessen beide Schenkel annähernd geradlinig verlaufen; der vordere fällt wenig steiler ab als der hintere, beide gehen ohne Andeutung einer Ecke in den Vorder- resp. Hinterrand über; Vorderende ziemlich schmal, Hinterende noch schmaler gerundet; Ventralrand in der Mundgegend deutlich ausgebuchtet; am Vorderrande ein breiter, durchsichtiger Saum. Rechte Schale der linken ähnlich; Dorsalrand gewölbt, in der Nachbarschaft des Vorderrandes eine Reihe von etwa 12 halbkreisförmigen, scharf konturierten Flecken (Pfeiler zwischen innerer und äußerer Schalenlamelle?). Vorderrand der Furca mißt etwa $^1/_3$ der Geißel. — L. ♀ 0·8 mm, ♂ unbekannt.

Norddeutschland.

5. **C. elongata** (Kaufmann) 1900 *Cypridopsella e.*, Kaufmann in: Zool. Anz., *v.* 23 p. 131 | 1900 *C. e.*, Kaufmann in: Rev. Suisse Zool., *v.* 8 p. 314 t. 19 f. 14, 15; t. 22 f. 20—23.

Schale des ♀: Höhe etwas über $^1/_2$ der Länge, am höchsten hinter der Mitte; Dorsalrand gewölbt; Vorderende schmaler gerundet als das Hinterende, Ventralrand in der Mundgegend deutlich ausgebuchtet. Vom Rücken gesehen Breite annähernd $^2/_3$ der Länge. Stamm der Furca nicht deutlich von der Geißel abgegrenzt; der Vorderrand etwa gleich $^1/_5$ der Geißel. — L. ♀ 0·62 mm, ♂ unbekannt.

Schweiz.

MARINE BIOLOGICAL LABORATORY WOODS HOLE LIBRARY

6. **C. punctillata** G. Brady 1907 *C. p.*, G. S. Brady in: Ann. Natal Govt. Mus., *v.* 1 p. 175 t. 31 f. 7—11.

Schale: Höhe etwas größer als $^1/_2$ der Länge, Dorsalrand stark gewölbt, links stärker als rechts, beide Enden ziemlich schmal gerundet, das vordere etwas breiter als das hintere; vordere, ventrale Ecke der linken und bisweilen auch der rechten Schale fein gezähnelt, grün. Furca ohne hintere Borste, der ziemlich dicke Stamm nicht deutlich gegen die Geißel abgegrenzt. — L. 0·57 mm.

Natal.

7. **C. vidua** (Müll.)

Diese Art zerfällt in 3 Unterarten:

7a. **C. vidua vidua** (Müll.) 1776 *Cypris v.*, O. F. Müller, Zool. Dan. Prodr., p. 199 | 1785 *C. v.*, O. F. Müller, Entom., p. 55 t. 4 f. 7—9 | 1788 *Monoculus (C.) v.*, J. F. Gmelin, Syst. Nat., *v.* 5 p. 3002 | 1793 *M. viduatus*, J. C. Fabricius, Ent. syst., *v.* 2 p. 496 | ? 1840 *Cypris strigata*, C. L. Koch, C. M. A., Heft 36 nr. 19 | ? 1845 *C. sella*, W. Baird in: Hist. Berwick. Club, *v.* 2 p. 152 (descr. nulla) | ? 1850 *C. s.*, W. Baird, Brit. Entom., p. 158 t. 19 f. 5 | 1854 *Cypria vidua*, Zenker in: Arch. Naturg., *v.* 20 i p. 79 (Synonymie) | 1867 *Cypridopsis v.*, G. S. Brady in: Intell. Observ., *v.* 12 p. 117 (descr. nulla) | 1896 *Pionocypris v.*, G. S. Brady & A. M. Norman in: Tr. R. Dublin Soc., ser. 2 *v.* 5 p. 726 t. 64 f. 19 | 1900 *Cypridopsis v.*, G. W. Müller in: Zool., *v.* (Heft) 30 p. 80 t. 19 f. **2**, **3**, 4—6.

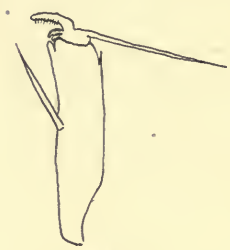

Fig. 61.
Cypridopsis vidua. Terminale Glieder der 3. thoracalen Gliedmaße ($^{240}/_1$).

Linke Schale des ♀: Höhe $^2/_3$ der Länge, am höchsten in der Mitte oder wenig dahinter; der Dorsalrand bildet einen Winkel mit gerundeter Spitze, dessen beide Schenkel annähernd geradlinig und sehr deutlich abfallen; beide Enden mäßig breit gerundet, das Vorderende wenig breiter; Ventralrand fast gerade, in der Mundgegend mehr oder weniger deutlich ausgebuchtet. Oberfläche besonders in der Mitte mit scharf konturierten Gruben. In der dorsalen Hälfte mit 4 dunklen Flecken, welche sich in der Rückenansicht mit denen der anderen Seite zu 4 Querbändern vereinigen: durch Auslöschen oder Verschmelzen der Bänder erleidet die Zeichnung mancherlei Abänderungen. Vom Rücken gesehen breit, Breite etwas größer als $^2/_3$ der Länge, am breitesten in der Mitte. Vorderrand der Furca nicht ganz $^1/_2$ so lang wie die Geißel. — L. 0·62—0·7 mm. — Fig. 61.

Nord- und Mitteleuropa; Nord- und Südamerika; Azoren.

7b. **C. vidua obesa** G. Brady & D. Roberts. 1869 *C. o.*, G. S. Brady & D. Robertson in: Ann. nat. Hist., ser. 4 *v.* 3 p. 364 t. 18 f. 5—7 | 1870 *Cypridopsis vidua var. o.*, G. S. Brady & D. Robertson in: Ann. nat. Hist., ser. 4 *v.* 6 p. 15 | 1896 *Pionocypris o.*, G. S. Brady & A. M. Norman in: Tr. R. Dublin Soc., ser. 2 *v.* 5 p. 726 (Synonymie) | 1900 *Cypridopsis vidua var. o.*, G. W. Müller in: Zool., *v.* (Heft) 30 p. 81 | ? 1900 *Cypridopsella tumida*, Kaufmann in: Zool. Anz., *v.* 23 p. 131 | 1900 *C. t.*, Kaufmann in: Rev. Suisse Zool., *v.* 8 p. 313 t. 19 f. **10**, **11**, **12**, 13; t. 22 f. 15—19.

Schale fast gleichmäßig grün, ohne dunkle Zeichnung; sonst wie C. vidua vidua.

Nordeuropa; Ungarn?

7c. **C. vidua helvetica** Kaufmann 1893 *C. h.*, Kaufmann in: Mt. Ges. Bern, 1892 p. 76 | 1900 *C. h.*, Kaufmann in: Rev. Suisse Zool., *v.* 8 p. 310 t. 19 f. 4, 5; t. 22 f. 10, 11 | 1900 *Potamocypris h.*, Daday, Ostr. Hungar., p. 193 (Synonymie).

Schale glatt, ohne Grübchen; sonst wie Unterart vidua.

Schweiz.

8. **C. parva** G. W. Müll. 1900 *C. p.*, G. W. Müller in: Zool., *v.* (Heft) 30 p. 81 t. 18 f. **1, 2,** 11, 12.

Linke Schale des ♀: Umriß ähnlich wie bei C. vidua, aber etwas niedriger, der Dorsalrand stärker abgerundet, das Vorderende schmaler gerundet als das Hinterende; am Vorderrande ist im Profil eine ziemlich breite, von unverzweigten Porenkanälen durchbohrte, verschmolzene Zone deutlich sichtbar. Oberfläche glatt bis auf wenige, undeutliche Gruben in der Nachbarschaft der Schließmuskelansätze. Vom Rücken gesehen Breite annähernd $^2/_3$ der Länge, am breitesten deutlich hinter der Mitte. Der Vorderrand der Furca mißt $^1/_3$ der Länge der Geißel; Hinterrandborste fehlt. — L. 0·49 m.

Norddeutschland (Umgegend von Berlin).

9. **C. triquetra** G. W. Müll. 1908 *C. t.*, G. W. Müller in: D. Südp.-Exp., *v.* 10 p. 164 f.

Linke und rechte Schale des ♀: Höhe etwa $^7/_{10}$ der Länge, am höchsten auf $^1/_2$ der Länge. Der Dorsalrand bildet einen Winkel mit stark abgerundeter Ecke, dessen vorderer und hinterer Schenkel ziemlich gleich stark abfallen und ohne Andeutung einer Grenze in den breit gerundeten Vorder- und Hinterrand übergehen. Oberfläche dicht mit kleinen, ziemlich scharf begrenzten Gruben bedeckt. Borsten der Fläche klein, wenig auffällig, die des Randes länger und kräftiger. Furcalstamm ohne hintere Borste, etwa $^1/_2$ so lang wie die Geißel. — L. ♀ 0·8—0·85 mm, ♂ unbekannt.

Südafrika (Simonstown).

10. **C. aculeata** (Costa) 1847 *Cypris a.*, O. G. Costa, Fauna Reg. Napoli, Crostacei, Ostr. p. 11 t. 3 f. 5 | 1853 *C. a.*, Lilljeborg, Clad. Ostr. Cop., p. 117 t. **11** f. 15. 16 | ? 1855 *C. biplicata (juv.)*, S. Fischer in: Abh. Bayer. Ak., *v.* 7 p. 643 t. 19 f. 7, 8 | 1867 *Cypridopsis aculeata*, G. S. Brady in: Intell. Observ., *v.* 12 p. 117 (Synonymie) | 1886 *Cypria a.*, G. O. Sars in: Norske Nordhavs-Exp., *v.* 6 nr. 15 Crust. II p. 75 (descr. nulla) | 1891 *Potamocypris a.*, G. O. Sars in: Forh. Selsk. Christian., 1890 nr. 1 p. 63 (Synonymie) | 1898 *Candonella a.*, Vávra in: Ergeb. Hamb. Magalh.-Sammelr., **v. 3** p. 12 (Synonymie) | 1900 *Cypridopsis a.*, G. W. Müller in: Zool., *v.* (Heft) 30 p. 85 t. 18 f. **10,** 18, 19; t. 19 f. **1.**

Linke Schale des ♀ ähnlich wie bei C. vidua, aber höher, Höhe $^7/_{10}$ der Länge. Oberfläche dicht mit rundlichen Gruben bedeckt, trägt zahlreiche starke, dornartige Gebilde. Vom Rücken gesehen Breite reichlich $^1/_2$ der Länge, am breitesten hinter der Mitte; Hinterende gerundet, Vorderende zugespitzt. — L. ♀ 0·65—0·75 mm, ♂ unbekannt.

Europa; Island, Afrika, Zentralasien. Brackwasser.

11. **C. echinata** G. W. Müll. 1908 *C. e.*, G. W. Müller in: D. Südp.-Exp., *v.* 10 p. 165 f.

Linke Schale des ♀: Höhe reichlich $^5/_8$ der Länge, am höchsten wenig vor $^1/_2$ der Länge. Der Dorsalrand bildet einen Winkel mit stark abgerundeter Ecke, dessen vorderer und hinterer Schenkel deutlich fast geradlinig abfällt, Vorderrand breit, Hinterrand weniger breit gerundet, beide gegen den Dorsalrand nicht abgegrenzt. Rechte Schale der linken ähnlich, der höchste Punkt liegt weiter nach vorn. Oberfläche dicht mit kurzen, dicken, an ihrer Basis eingeschnürten und scharf abgesetzten, meist schwach gekrümmten und nach hinten gerichteten Spitzen besetzt; frei von Spitzen ist ein schmaler Streifen am Vorder-, Ventral- und Hinterrande, wo sich

lange, schlanke Borsten finden; zwischen den Spitzen stehen vereinzelte typische Borsten. Keine Gruben. Geißel der Furca etwa noch einmal so lang wie der Stamm, letzterer mit deutlicher Borste am Hinterrande. — L. ♀ 0·7 mm, ♂ unbekannt.

Südafrika bei Simonstown.

12. **C. granulosa** (Daday) 1902 *Potamocypris g.*, Daday in: Term. Füzetek, *v.* 25 p. 293 t. 14 f. 14—20.

Rechte Schale: Höhe etwa $^3/_5$ der Länge, am höchsten deutlich von der Mitte, Dorsalrand stark gewölbt, mit Andeutung einer Ecke, in der vorderen Hälfte in der Augengegend deutlich eingedrückt, Vorderrand mäßig breit, Hinterrand sehr schmal gerundet, etwas zugespitzt. Oberfläche mit in Längsreihen angeordneten kleinen Körnchen. Furcalanhänge mit ziemlich umfangreicher hinterer Borste, etwa halb so lang wie die Geißel. — L. 0·6—0·62 mm.

Patagonien.

13. **C. dentatomarginata** (Daday) 1902 *Potamocypris d.*, Daday in: Term. Füzetek, *v.* 25 p. 291 t. 14 f. 3—8.

Schale von ähnlichen Umrissen wie bei C. triquetra, der Winkel des Dorsalrandes stärker abgerundet; Oberfläche mit dunkelbraunen, warzenartigen Erhebungen, zwischen denen sich lichte Äderchen hinziehen, die die Schale in polygonale Felder teilen; dicht beborstet. Furcaläste mit hinterer Borste, die Geißel nicht länger als der Stamm. — L. 0·75 mm.

Patagonien, Turkestan.

C. adusta O. Sars 1903 *C. a.*, G. O. Sars in: Arch. Naturv. Kristian., *v.* 25 nr. 8 p. 34 t. 4 f. 4, 4a, b.

Sumatra.

C. assimilis O. Sars 1896 *C. a.*, G. O. Sars in: Skr. Vidensk. Christian., 1895 nr. 8 p. 42 t. 6 f. 3 | 1900 *Cypretta a.*, Daday, Ostr. Hungar., p. 184 (Synonymie).

Südafrika; Ceylon.

C. concolor Daday 1900 *C. vidua var. c.*, Daday, Ostr. Hungar., p. 190 f. 30.

Der Saum der rechten Schale an der Basis gezähnelt, Schale glatt, einfarbig.

Ungarn.

C. dubia O. Sars 1903 *C. d.*, G. O. Sars in: Arch. Naturv. Kristian., *v.* 25 nr. 8 p. 35 t. 4 f. 5, 5a, b.

Sumatra.

C. exigua O. Sars 1903 *C. e.*, G. O. Sars in: Arch. Naturv. Kristian., *v.* 25 nr. 8 p. 33 t. 4 f. 3, 3a, b.

Sumatra.

C. flavescens O. Sars 1901 *C. f.*, G. O. Sars in: Arch. Naturv. Kristian., *v.* 24 nr. 1 p. 40 t. 8 f. 11, 12.

Brasilien (São Paulo: Itatiba); Paraguay.

C. granulata (O. Sars) 1903 *Cypridopsella g.*, G. O. Sars in: Annuaire Mus. St.-Pétersb., *v.* 8 p. 31 t. 16 f. 4a, b.

Zentralasien.

C. gregaria (O. Sars) 1896 *Potamocypris g.*, G. O. Sars in: Skr. Vidensk. Christian., 1895 nr. 8 p. 43 t. 6 f. 4 | 1898 *Candonella g.*, Vávra in: Ergeb. Hamb. Magalh.-Sammelr., *v.* 2 Ostr. p. 12 (Synonymie).

Schale im Profil und in der Ansicht vom Rücken C. aculeata sehr ähnlich, aber ohne Dornen. — L. ♀ 0·7 mm, ♂ unbekannt.

Südafrika.

C. intermedia (Daday) 1900 *Potamocypris i.*, Daday, Ostr. Hungar., p. 200 f. 34.

Ungarn.

C. (?)marmorata G. Brady 1886 *C. m.*, G. S. Brady in: J. Linn. Soc. London, *v.* 19 p. 303 t. 39 f. 7—9.

Ceylon.

C. obscura O. Sars 1901 *C. o.*, G. O. Sars in: Arch. Naturv. Kristian., *v.* 24 nr. 1 p. 39 t. 8 f. 9, 10.

Argentinien; Paraguay.

C. (?)paradisea (Vávra) 1898 *Candonella p.*, Vávra in: Ergeb. Hamb. Magalh.-Sammelr., *v.* 3 Ostr. p. 13 f. 3 | 1900 *Potamocypris p.*, Daday, Ostr. Hungar., p. 193 (Synonymie).

Schale des ♀: Höhe $^{6}/_{11}$ der Länge, am höchsten etwas vor der Mitte; Dorsalrand sehr flach gewölbt; Vorderende schmal, Hinterende breiter gewölbt; Ventralrand deutlich eingebuchtet, Mundgegend nicht ausgezeichnet. Vom Rücken gesehen Breite $^{5}/_{11}$ der Länge; beide Enden in ähnlicher Weise schmal gerundet. Maxillartaster? Geißel der Furca verhältnismäßig kurz. — L. ♀ 0·55 mm, ♂ unbekannt.

Chile.

C. pincta (Straus) 1821 *Cypris p.*, Straus in: Mém. Mus. Paris, *v.* 7 p. 59 t. 1 f. 17—19 | 1889 *Cypridopsis picta*, G. S. Brady & A. M. Norman in: Tr. R. Dublin Soc., ser. 2 *v.* 4 p. 92 t. 10 f. **30, 31** | 1896 *Pionocypris p.*, G. S. Brady & A. M. Norman in: Tr. R. Dublin Soc., ser. 2 *v.* 5 p. 727 (Synonymie).

Frankreich; Belgien; Norwegen.

C. pinguis O. Sars 1901 *C. p.*, G. O. Sars in: Arch. Naturv. Kristian., *v.* 24 nr. **1** p. 41 t. 8 f. 13, 14.

Argentinien.

C. silvestrii (Daday) 1902 *Potamocypris s.*, Daday in: Term. Füzetek, *v.* 25 p. 292 t. 14 f. 9—13.

Patagonien.

C. viduella O. Sars 1896 *C. v.*, G. O. Sars in: Skr. Vidensk. Christian., 1895 nr. 8 p. 41 t. 6 f. 2.

Südafrika.

C. virescens (G. Brady) 1902 *Candonella v.*, G. S. Brady in: Tr. zool. Soc. London, *v.* 16 p. 193 t. 25 f. 16—29.

Cadix.

C. sp., G. Brady 1902 *C. marmorata* (non *C. m.* G. S. Brady 1886), G. S. Brady in: Tr. zool. Soc. London, *v.* 16 p. 193 t. 23 f. 1, 2.

Bahia.

23. Gen. **Potamocypris** G. Brady

1870 *Potamocypris*, G. S. Brady in: Tr. nat. Hist. Soc. Northumb., *v.* 3 p. 365 | ?1891 *Candonella*, Claus in: Arb. Inst. Wien, *v.* 9 p. 231 | (? non 1896 *Potamocypris*, G. O. Sars in: Skr. Vidensk. Christian., 1895 nr. 8 p. 43) | 1900 *P.* (part.), G. W. Müller in: Zool., *v.* (Heft) 30 p. 86 | 1900 *Paracypridopsis*, Kaufmann in: Zool. Anz., *v.* 23 p. 131 | 1900 *P.*, Kaufmann in: Rev. Suisse Zool., *v.* 8 p. 315.

Schwimmborsten der 2. Antenne wohl entwickelt oder zurückgebildet. Terminales Glied des Maxillartasters nach der Spitze hin verbreitert; der terminale Rand so breit oder breiter wie der Vorderrand. Die Atemplatte des 1. Thoraxbeines besteht nur aus 1 oder 2 Strahlen. Sonst wie Cypridopsis.

9 sichere, 2 unsichere Arten.

Übersicht der sicheren Arten:

1	Die Schwimmborsten der 2. Antenne erreichen die Spitzen der Klauen oder überragen sie — **4.**	
	Die Schwimmborsten der 2. Antenne reichen höchstens bis zum Ursprunge des terminalen Gliedes — **2.**	
2	Furca ohne Reste einer hinteren Borste	1. **P. fulva**
	Furca mit Resten einer hinteren Borste — **3.**	
3	Länge weniger als 0·6 mm	4. **P. similis**
	Länge mehr als 0·6 mm	3. **P. zschokkei**
4	Oberfläche der Schale glatt — **5.**	
	Oberfläche der Schale mit Gruben — **7.**	
5	Schale am höchsten in der Mitte — **6.**	
	Schale am höchsten vor der Mitte	5. **P. villosa**
6	An der Furca grenzen sich Stamm und Geißel deutlich gegeneinander ab, der Stamm viel breiter als die Geißel	7. **P. montevidea**
	Stamm und Geißel der Furca grenzen sich nicht deutlich gegeneinander ab, Stamm kaum breiter als die Geißel	9. **P. reniformis**
7	Dorsalrand einerseits oder beiderseits mit deutlicher Ecke in der vorderen Schalenhälfte — **8.**	
	Dorsalrand links mit Andeutung einer Ecke in der hinteren Schalenhälfte	8. **P. almásyi**
8	Größer als 0·6 mm	6. **P. smaragdina**
	Kleiner als 0·6 mm	2. **P. variegata**

1. **P. fulva** (G. Brady) 1868 *Bairdia f.*, G. S. Brady in: Tr. Linn. Soc. London, *v.* 26 p. 474 t. 28 f. 21 | 1870 *Potamocypris f.*, G. S. Brady in: Tr. nat. Hist. Soc. Northumb., *v.* 3 p. 366 t. 14 f. 4 | 1900 *P. f.*, G. W. Müller in: Zool., *v.* (Heft) 30 p. 86 t. 18 f. **6—8**, 9, 13, 14.

Fig. 63. **Potamocypris fulva.** Furcaläste (200/1).

Linke Schale des ♀: Höhe etwa $^{11}/_{20}$ der Länge, am höchsten etwa auf $^{5}/_{11}$ der Länge; der Dorsalrand bildet einen stumpfen Winkel mit gerundeter Spitze; sein vorderer Schenkel fällt in flachem Bogen ziemlich steil ab und geht etwa auf halber Höhe in die stärkere Rundung des Vorderrandes über; der hintere Schenkel fällt deutlich, aber weniger stark und annähernd geradlinig ab und bildet auf $^{3}/_{4}$ der Länge mit dem Hinterrande einen stumpfen Winkel mit stark gerundeter Spitze; der Hinterrand fällt steil und fast geradlinig ab und bildet mit dem Ventralrande eine stark abgerundete Ecke; der Ventralrand ist deutlich eingebuchtet. Rechte Schale beträchtlich höher (Höhe $^{7}/_{12}$ der Länge), der höchste Punkt liegt in oder wenig vor der Mitte; Dorsalrand gewölbt, die Winkel der linken Schale fehlen ganz oder sind nur angedeutet; sonst wie links. Oberfläche glatt, mit zahlreichen, sehr auffälligen Poren-

kanälen, grün oder gelb. Vom Rücken gesehen schmal, Breite $^1/_3$ der Länge; die Seiten verlaufen im mittleren Drittel annähernd parallel; beide Enden zugespitzt, die Spitzen etwas abgestumpft; die rechte Schale umfaßt und überragt die linke deutlich. Am 1. Thoraxbein als Rest einer Atemplatte eine einfache Borste. Furca ohne Rest einer hinteren Borste. — L. 0·7—0·72 mm.

Nordeuropa.

2. **P. variegata** (G. Brady & Norm.) 1889 *Cypridopsis v.*, G. S. Brady & A. M. Norman in: Tr. R. Dublin Soc., ser. 2 *v.* 4 p. 91 t. 8 f. 20, 21 | 1898 *Candonella v.*, Vávra in: Ergeb. Hamb. Magalh.-Sammelr., *v.* 2 Ostr. p. 12 (Synonymie) | 1900 *Cypridopsis v.*, G. W. Müller in: Zool., *v.* (Heft) 30 p. 84 t. 18 f. **3, 4,** 15—17 | (non 1900 *Paracypridopsis v.*, Kaufmann in: Rev. Suisse Zool., *v.* 8 p. 316 t. 19 f. 16, 17; t. 22 f. 24, 25) | 1900 *Potamocypris v.*, Daday, Ostr. Hungar., p. 193 (Synonymie).

Linke Schale des ♀ ähnlich wie die von P. fulva, etwas höher ($^3/_5$), der Hinterrand steiler abfallend. Rechte Schale höher (Höhe $^2/_3$ der Länge); der Dorsalrand bildet einen deutlichen Winkel mit abgerundeter Ecke; übrigens ähnlich wie bei P. fulva. Oberfläche dicht mit mäßig scharf konturierten Gruben bedeckt; mit **2** lebhaft grünen Flecken oder Streifen, die vom Dorsalrande ausgehend bis etwa zur halben Schalenhöhe reichen. Vom Rücken gesehen Breite etwa $^1/_2$ der Länge; beide Enden zugespitzt, die Spitzen abgestumpft. Die Schwimmborsten der 2. Antenne überragen zum Teil wenig die Spitzen der Klauen. Furca mit hinterer Borste; ihr Stamm etwa $^1/_3$ so lang wie die Geißel. — L. 0·51—0·56 mm.

Nordeuropa.

3. **P. zschokkei** (Kaufmann) 1900 *Paracypridopsis z.*, Kaufmann in: Zool. Anz., *v.* 23 p. 131 | 1900 *P. z.*, Kaufmann in: Rev. Suisse Zool., *v.* 8 p. 317 t. 19 f. **18, 19,** 20; t. 22 f. 26—30.

Linke Schale der von P. fulva ähnlich, gestreckter, Höhe kleiner als $^1/_2$ der Länge. Rechte Schale höher als die linke; der Dorsalrand dem der linken ähnlich gestaltet; die Ecken etwas stärker abgerundet. Oberfläche glatt, nicht auffällig punktiert, hellgrün. Vom Rücken gesehen schmal eiförmig, Breite etwa $^1/_3$ der Länge, beide Schalen gleich lang. Atemplatte des 1. Thoraxbeines mit 2 Borsten; Furca mit kleiner, hinterer Borste. — L. 0·77 mm.

Schweiz.

4. **P. similis** (nom. nov.), G. W. Müll. 1900 *Paracypridopsis variegata* (non *Potamocypris v.* G. Brady & Norman 1889), Kaufmann in: Rev. Suisse Zool., *v.* 8 p. 316 t. 19 f. **16, 17**; t. 22 f. 24, 25.

Schalenkontur des ganzen Tieres der der linken Schale von P. fulva (nr. 1) ähnlich, das Hinterende etwas breiter gerundet; Ventralrand links eingebuchtet, rechts gerade. Oberfläche mit Grübchen; gelblichweiß, mit 2 dunklen, fast schwarzen Flecken in der dorsalen Schalenhälfte. Vom Rücken gesehen Breite $^1/_2$ der Länge, elliptisch; die linke Schale überragt an beiden Enden die rechte. Atemplatte des 1. Thoraxbeines mit 2 Borsten. Furca mit kleiner, hinterer Borste. — L. 0·55 mm.

Schweiz.

5. **P. villosa** (Jurine)

Diese Art zerfällt in 2 Unterarten:

5a. **P. villosa villosa** (Jurine) 1820 *Monoculus villosus*, Jurine, Hist. Monocles, p. 178 t. 19 f. 14, 15 | 1825 *Cypris villosa,* Desmarest, Consid. gén. Crust., p. 386 | ?1835

C. westwoodii, W. Baird in: Hist. Berwick. Club, *v.* 1 p. 99 t. 3 f. 12 | ?1850 *C. w.*, W. Baird, Brit. Entom., p. 156 t. 19 f. 9 | 1867 *Cypridopsis villosa*, G. S. Brady in: Intell. Observ., *v.* 12 p. 117 (Synonymie) | 1891 *C. v.*, Vávra in: Arch. Landesdf. Böhmen. *v.* 8 nr. 3 p. 79 | 1891 *Potamocypris v.*, G. O. Sars in: Forh. Selsk. Christian., 1890 nr. 1 p. 63 (Synonymie) | 1893 *Cypridopsis (Candonella) v.*, Vávra in: SB. Böhm. Ges., 1893 nr. 46 p. 2 (Synonymie) | 1898 *Candonella v.*, Vávra in: Ergeb. Hamb. Magalh.-Sammelr., *v.* 2 Ostr. p. 12 (Synonymie) | 1900 *Cypridopsella v.*, Kaufmann in: Rev. Suisse Zool., *v.* 8 p. 311 t. 19 f. 6—8, 9; t. 22 f. 12—14.

Linke Schale des ♀ ähnlich wie bei P. fulva (nr. 1), die Ecke an der Grenze vom Dorsal- und Hinterende unterdrückt, das Hinterende schmal gerundet. Rechte Schale ebenfalls ähnlich wie bei P. fulva; Ventralrand gerade. Oberfläche glatt, Färbung grün. Vom Rücken gesehen Breite deutlich kleiner als $^1/_2$ der Länge, beide Enden zugespitzt. Die Schwimmborsten der 2. Antenne überragen die Spitzen der Klauen nur wenig. Stamm der Furca nicht deutlich gegen die sehr lange Geißel abgegrenzt. — L. 0·68—0·75 mm.

Nord- und Mitteleuropa; Turkestan; Tunis?; Algier in salzigem Wasser?; Südpatagonien; China?

5b. **P. villosa crassipes** (Masi) 1905 *Cypridopsis v. var. c.*, Masi in: Boll. Soc. zool. Ital., ser. 2 *v.* 6 p. 125.

Von der typischen Form durch folgende Merkmale unterschieden: Schale höher; die Schwimmborsten der 2. Antenne überragen die Klauen um $^1/_3$ ihrer Länge.

Süditalien.

6. **P. smaragdina** (Vávra) 1891 *Cypridopsis s.*, Vávra in: Arch. Landesdf. Böhmen, *v.* 8 nr. 3 p. 80 | 1898 *Candonella s.*, Vávra in: Ergeb. Hamb. Magalh.-Sammelr., *v.* 2 Ostr. p. 12 (Synonymie) | 1900 *Potamocypris s.*, Daday, Ostr. Hungar., p. 193 (Synonymie) | ?1905 *Cypridopsis dubia*, Masi in: Boll. Soc. zool. Ital., ser. 2 *v.* 6 p. 125.

Schale des ♀: Höhe etwa $^7/_{10}$ der Länge, am höchsten vor der Mitte; der Dorsalrand bildet einen stumpfen, stark abgerundeten Winkel, dessen beide Schenkel stark abfallen; der vordere stärker; Hinterrand gegen den Dorsalrand nicht abgegrenzt; Vorderende schmal, Hinterende noch schmaler gerundet; beide Enden mit breitem, durchsichtigem Saume. Oberfläche mit kleinen Gruben; Farbe grün. Vom Rücken gesehen Breite kleiner als $^1/_2$ der Länge, Enden wenig zugespitzt. Die Schwimmborsten der 2. Antenne überragen die Klauen um $^1/_3$ ihrer Länge. Geißel von der Furca nicht deutlich abgegrenzt. — L. 0·68 mm.

Böhmen; Nordamerika; Schweiz.

7. **P. montevidea** (Vávra) 1898 *Candonella m.*, Vávra in: Ergeb. Hamb. Magalh.-Sammelr., *v.* 2 Ostr. p. 15 f. 4 | 1900 *Potamocypris m.*, Daday, Ostr. Hungar., p. 193 (Synonymie).

Schale: Höhe $^7/_{12}$ der Länge, am höchsten in der Mitte; Dorsalrand ziemlich stark gewölbt; Vorderrand breit, Hinterrand etwas schmaler gerundet; Ventralrand deutlich eingebuchtet; der durchsichtige Saum am Vorder- und Hinterende deutlich sichtbar. Vom Rücken gesehen schmal, Breite $^{23}/_{60}$ der Länge, beide Enden wenig zugespitzt, das vordere stark abgestutzt. Die Schwimmborsten der 2. Antenne überragen deutlich die Spitzen der Klauen. Furcalstamm deutlich von der terminalen Borste abgegrenzt, sein Vorder-

rand mißt etwa $^1/_3$ der Geißel, sein Hinterrand mit kurzer Borste. — L. ♀ 0·6 mm (♂?).

Uruguay.

8. **P. almásyi** Daday 1903 *P. a.*, Daday in: Zool. Jahrb. Syst., *v.* 19 p. 519 t. 29 f. 89—97.

Rechte Schale: Höhe deutlich größer als $^1/_2$ der Länge, am höchsten in der Mitte. Dorsalrand stark gewölbt, gegen Vorder- und Hinterrand nicht abgegrenzt, beide Enden gerundet, das vordere breiter als das hintere, der Ventralrand flach eingebuchtet, Vorder- und Hinterrand mit breitem Cuticularsaum (?). Linke Schale am höchsten hinter der Mitte, der Dorsalrand bildet einen undeutlichen Winkel. Schale fein granuliert, spärlich beborstet, mit grasgrünem Farbfleck am Rücken, im übrigen gelblichgrün. Die Schwimmborsten überragen die terminalen Klauen etwa um deren Länge. — L. ♀ 0·58 mm, ♂ unbekannt.

Turkestan.

9. **P. reniformis** (G. Brady) 1907 *Proteocypris r.*, G. S. Brady in: Ann. Natal Govt. Mus., *v.* 1 p. 176 t. 30 f. 1, 2, 3—9.

Schale: Höhe größer als $^1/_2$ der Länge, am höchsten in der Mitte. Dorsalrand flach gewölbt, gegen Vorder- und Hinterrand nicht abgegrenzt. Vorderende breit gerundet, Hinterrand steil in flachem Bogen abfallend, bildet mit dem Ventralrande eine stark abgerundete Ecke. Ventralrand deutlich ausgebuchtet. Die rechte Schale überragt vorn, hinten und am Ventralrande die linke beträchtlich (?). Die Schwimmborsten der 2. Antenne überragen die Spitzen der Klauen weit. Die Furca erscheint wie eine einfache Borste mit sehr wenig verdicktem Basalstücke. — L. 0·5 mm.

Natal.

P. arcuata (O. Sars) 1903 *Cypridopsella a.*, G. O. Sars in: Annuaire Mus. St.-Pétersb., *v.* 8 p. 31 t. 16 f. 5, 5a.

Zentralasien.

P. ophthalmica (S. Fisch.) ?1855 *Cypris o.*, S. Fischer in: Abh. Bayer. Ak., *v.* 7 p. 645 t. 19 f. 14—17 | ?1894 *Cypridopsis verrucosa*, Daday in: Math. term. Értes., *v.* 12 p. 144 | 1900 *Potamocypris ophthalmica*, Daday, Ostr. Hungar., p. 202.

Madeira, Südeuropa.

24. Gen. **Zonocypris** G. W. Müller

1898 *Zonocypris*, G. W. Müller in: Abh. Senckenb. Ges., *v.* 21 p. 284.

Schale mit auffälliger Skulptur; rechte Schale vorn und hinten mit einer Reihe von Höckern auf dem Rande oder nahe demselben. 2. Antenne kurz und gedrungen; das vorletzte Glied beim ♀ mit 2 sehr starken, kurzen und dicken Klauen, von denen eine gezähnelt und an der Basis etwa so dick wie das letzte Glied ist, dieses nur mit einer viel schwächeren Klaue und einigen Borsten; beim ♂ das vorletzte Glied mit 2 viel längeren und schlankeren Klauen, das letzte mit einer denen des vorletzten ähnlichen Klaue. 3. Kaufortsatz der Maxille mit 2 zahnartigen Borsten. Letztes Glied des 3. Thoraxbeines mit hakenartigem Fortsatze. Furca rudimentär, schwer nachzuweisen; Stamm nur mit Geißel oder auch mit kleiner, hinterer Borste. Durchweg sehr kleine Formen von höchstens 0·75 mm Länge.

3 Arten.

Übersicht der Arten:

1	Schale mit einem Netzwerk von auffälligen Leisten	4. **Z. tuberosa**
	Schale mit konzentrischen Leisten — **2.**	
2	Vom Rücken gesehen eiförmig, die Seiten bilden Bogen — **3.**	
	Vom Rücken gesehen viereckig, die Seiten bilden annähernd rechte Winkel mit wenig abgerundeten Spitzen	3. **Z. elegans**
3	Finger des rechtsseitigen Greiforganes kolbig, nach der Spitze hin verbreitert	1. **Z. madagascarensis**
	Finger des rechtsseitigen Greiforganes nach der Spitze hin verjüngt	2. **Z. costata**

1. **Z. madagascarensis** G. W. Müll. 1898 *Z. m.*, G. W. Müller in: Abh. Senckenb. Ges., *v.* 21 p. 285 t. 19 f. 19—31.

Schale: Höhe deutlich größer als $^1/_2$ der Länge, am höchsten in der Mitte; Dorsalrand ziemlich stark gewölbt; beide Schalenenden ähnlich, das vordere wenig stumpfer gerundet als das hintere; Ventralrand annähernd gerade; mit auffälliger konzentrischer Streifung. Vom Rücken gesehen Breite etwa $^2/_3$ der Länge, eiförmig, vorn und hinten undeutlich zugespitzt. Greiforgan des ♂ links mit schlankem, rechts mit sehr plumpem, distalwärts verdicktem Finger. — L. ♀ 0·46—0·5, ♂ 0·42 mm.

Madagaskar.

2. **Z. costata** (Vávra) 1897 *Cypridopsis c.*, Vávra in: D.-O.-Afr., *v.* 4 p. 10, 11 f. 2 | 1898 *Zonocypris c.*, G. W. Müller in: Abh. Senckenb. Ges., *v.* 21 p. 286 (Synonymie).

Im Profil Z. madagascarensis ähnlich, Dorsalrand flacher gewölbt; vom Rücken gesehen breiter, Breite $^4/_5$ der Länge; Hinterende sehr breit gerundet. Finger des rechten Greiforganes des ♂ von der Basis an ziemlich gleichmäßig verjüngt. — L. ♀ und ♂ 0·75 mm.

Ostafrika.

3. **Z. elegans** G. W. Müll. 1898 *Z. e.*, G. W. Müller in: Abh. Senckenb. Ges., *v.* 21 p. 286 t. 17 f. 14, 21, 22.

Schale im Profil der von Z. madagascarensis ähnlich; vom Rücken gesehen breiter, Breite $^{17}/_{20}$ der Länge; am breitesten auf $^3/_4$ der Länge, wo die Seiten annähernd rechte Winkel mit wenig abgestumpfter Spitze bilden; Hinterende breit, stumpfwinklig, Vorderende spitzwinklig. — L. ♀ 0·5 mm, ♂ unbekannt.

Madagaskar.

4. **Z. tuberosa** G. W. Müll. 1908 *Z. t.*, G. W. Müller in: D. Südp.-Exp., *v.* 10 p. 167 f. t. 19 f. 1, 5.

Linke Schale des ♀: Höhe etwa $^4/_7$ der Länge, am höchsten wenig hinter $^1/_2$ der Länge, Dorsalrand ziemlich stark gewölbt, gegen Vorder- und Hinterrand nicht abgegrenzt, beide Enden gerundet, das Hinterende wenig breiter als das vordere. Ventralrand fast gerade; Oberfläche mit auffälligem Netzwerk von schmalen, scharf konturierten Leisten, welche polygonale Felder bilden; ferner finden sich größere und kleinere konische Warzen; frei von dieser Skulptur bleibt nur ein schmaler Randstreifen. Rechte Schale der linken ähnlich. — L. ♀ und ♂ 0·7—0·8 mm.

Südafrika (Simonstown).

25. Gen. **Megalocypris** O. Sars

1898 *Megalocypris*, G. O. Sars in: Arch. Naturv. Kristian., *v.* 20 nr. 8 p. 4.

Schale gestreckt, Höhe kleiner als $^1/_2$ der Länge. Schwimmborsten der 2. Antenne sehr kurz, nicht gefiedert. Terminales Glied des Maxillartasters etwa quadratisch, distal deutlich erweitert. Greiforgan des ♂ rechts und links ähnlich gestaltet, der Stamm distalwärts stark verbreitert, der distale Rand bogig ausgeschnitten. Furca schwach; kürzer als $^1/_2$ der Schalenlänge; vordere Klaue kürzer als $^1/_2$ des Vorderrandes, vordere Borste etwa $^1/_2$ so lang wie die vordere Klaue. Abstand der hinteren Borste etwa doppelt so groß wie die hintere Furcalklaue an ihrer Basis breit. Ductus ejaculatorius rudimentär, ohne deutliche Chitinstrahlen. (Zu Candonocypris?)

1 Art.

1. **M. princeps** O. Sars 1898 *M. p.*, G. O. Sars in: Arch. Naturv. Kristian., *v.* 20 nr. 8 p. 5 t. 1.

Schale gestreckt; Dorsalrand gerade, fast horizontal, auf $^2/_7$ gegen den Vorderrand, auf $^3/_4$ gegen den Hinterrand winklig abgesetzt; Vorderrand gerundet, Hinterrand undeutlich zugespitzt, Ventralrand deutlich ausgebuchtet. Vom Rücken gesehen Breite etwa $^2/_5$ der Länge, beide Enden schnabelartig zugespitzt. Furca schwach gebogen; vordere Klaue nur $^1/_3$ des Vorderrandes, vordere Borste $^1/_2$ der vorderen Klaue; Hinterrand fein gewimpert. — L. ♀ 7·30, ♂ 6·5—7 mm.

Südafrika.

26. Gen. **Scottia** G. Brady & A. M. Norman

1889 *Scottia*, G. S. Brady & A. M. Norman in: Tr. R. Dublin Soc., ser. 2 *v.* 4 p. 72.

1. Thoraxbein mit umfangreicher Atemplatte. 2. Thoraxbein mit zwei langen, terminalen Klauen. Furca mit kurzen, sehr kräftigen Klauen; die vordere Borste länger als die Hälfte der vorderen Klaue; die hintere Borste sehr kräftig. Ductus ejaculatorius mit zahlreichen dichtstehenden Chitinstrahlen.

1 Art.

1. **S. browniana** (Jones) ?1850 *Cypris b.*, T. R. Jones in: Ann. nat. Hist., ser. 2 *v.* 6 p. 25 t. 3 f. 1 | 1889 *Scottia b.*, G. S. Brady & A. M. Norman in: Tr. R. Dublin Soc., ser. 2 *v.* 4 p. 72 t. 9 f. **23, 24**; t. 11 f. 19—25.

Schale: Höhe etwa $^5/_8$ der Länge, am höchsten auf $^3/_5$ der Länge; der Dorsalrand bildet einen starken Bogen, ist gegen Vorder- und Hinterrand nicht abgegrenzt; Vorderende schmal, Hinterende breit gerundet; Ventralrand fast gerade. Vom Rücken gesehen Breite etwa $^5/_8$ der Länge, beide Enden breit gerundet. Schwimmborsten der 2. Antenne kurz, erreichen das letzte Glied nicht; die Klauen der beiden letzten Glieder (zum Teil?) mit einer Reihe kammartiger Zähne. Furca kräftig, schwach gebogen; die Klauen kurz, die längere kürzer als $^1/_2$ des Vorderrandes; die kürzere nur wenig kürzer, schwach S-förmig gebogen, mit kammartiger Zahnreihe; die vordere an der Spitze zweiteilig (?); vordere Borste länger als $^1/_2$ der vorderen Klaue; hintere Borste kräftig, gewimpert, entspringt auf etwa $^3/_4$ der Länge. — L. 0·8 mm.

Schottland (Insel Bute); Dänemark; auch fossil.

Cyprinarum genera dubia et species dubiae

127 Arten.

Cypricercus affinis Daday 1901 *C. a.*, Daday in: Term. Füzetek, *v.* 24 p. 48 f. 23.

Schale des ♀: Höhe etwa $^4/_7$ der Länge, am höchsten vor der Mitte; Dorsalrand stark gewölbt; Ventralrand stark ausgebuchtet, hinten stark aufsteigend; Vorderende mäßig breit gerundet; Hinterende schmaler, schwach keilförmig zugespitzt. Vom Rücken gesehen Breite etwa $^1/_2$ der Länge, schmal eiförmig, die linke Schale überragt hinten die rechte beträchtlich. Schale des ♂ niedriger, Höhe gleich $^1/_2$ der Länge, am höchsten in der Mitte; Hinterende dem Vorderende ähnlich. Furca säbelförmig gekrümmt; Hinterrand fein behaart; vordere Borste gleich $^1/_2$ der vorderen Klaue; hintere Borste fehlt. — L. 0·45—0·6 mm.

Neuguinea (Seleo).

Candona ahlefeldi T. Studer 1878 *C. a.*, T. Studer in: Arch. Naturg., *v.* 44 1 p. 110 t. 4 f. 5.

Kerguelen.

Paracypridopsis albida O. Sars 1901 *P. a.*, G. O. Sars in: Arch. Naturv. Kristian., *v.* 24 nr. 1 p. 44 t. 8 f. 19, 20.

Brasilien (São Paulo).

Cypris albuquerquensis Turn. 1895 *C.(?) a.*, Turner in: Rep. Surv. Minnesota, Zool. *v.* 2 p. 329 t. 78.

Neumexiko.

Cypris altissima Chambers 1877 *C. altissimus*, Chambers in: Bull. U. S. geol. Surv., *v.* 3 p. 152 f. 2 | 1895 *C. a.*, Turner in: Rep. Surv. Minnesota, Zool. *v.* 2 p. 323 t. 79 f. 10—13.

Colorado.

Cyprinotus americanus Cushman 1905 *C. a.*, Cushman in: Amer. Natural., *v.* 39 p. 791 t. 1 f. 1—8.

Nantucket, Nordamerika.

Cypris aratra G. Brady 1904 *C. a.*, G. S. Brady in: P. zool. Soc. London, *v.* 2 p. 125 t. 7 f. 34—38.

Schale am höchsten auf halber Länge, Höhe größer als $^1/_2$ der Länge, Dorsalrand gewölbt, gegen Vorder- und Hinterrand nicht abgegrenzt, Vorderende breit, Hinterende schmal gerundet, Ventralrand schwach konvex. Oberfläche dicht mit zarten, horizontalen Furchen und zerstreuten, langen Haaren bedeckt. Vom Rücken gesehen Breite etwa $^3/_4$ der Länge, beide Enden abgestumpft, die linke Schale überragt die rechte weit. Die Schwimmborsten der 2. Antenne erreichen die Spitzen der Klauen. Furca schlank, die Klauen schlank, dünn, fast gerade, die vordere mißt über $^1/_2$ des Vorderrandes, vordere Borste fehlt (?). — L. 1·0 mm.

Natal.

Herpetocypris arctica T. Scott 1899 *H. a.*, T. Scott in: J. Linn. Soc. London, *v.* 27 p. 83 t. 4 f. 2—6.

Franz Joseph-Land.

Eucypris areguensis Daday 1905 *E. a.*, Daday in: Zool., *v.* (Heft) 44 p. 243 t. 15 f. 11—13.

Schale gestreckt, Höhe $^5/_{12}$ der Länge, am höchsten in der Mitte, Dorsalrand deutlich gewölbt, gegen Vorder- und Hinterrand nicht abgegrenzt, Vorderende etwas breiter als das Hinterende gerundet, Ventralrand deutlich eingebuchtet; am Vorder-, Hinter- und Bauchrande zahlreiche lange Borsten. Vom Rücken gesehen stark komprimiert, Breite etwa $^1/_3$ der Länge, am breitesten auf halber Länge, beide Enden stark zugespitzt. Die Schwimmborsten der 2. Antenne überragen die Spitze der Klauen. Furca annähernd gerade, der Hinterrand schwach wellig gebogen, die vordere Klaue kräftig, schwach gebogen, sie mißt mehr als $^1/_2$ des Vorderrandes, die hintere mißt weniger als $^1/_2$ der vorderen, ist stärker gebogen, die hintere Borste der hinteren Klaue ähnlich gestaltet, ihr genähert, die vordere Borste mißt etwa $^1/_4$ der vorderen Klaue, Klauen und Stamm am Hinterrande glatt. — L. 1·2 mm.

Paraguay.

Cypris aspera S. Fisch. 1855 *C. a.*, S. Fischer in: Abh. Bayer. Ak., *v.* 7 p. 653 t. 19 f. 45—48.

Madeira.

Chlamydotheca australis G. Brady 1886 *C. a.*, G. S. Brady in: P. zool. Soc. London, p. 91 t. 9 f. 4—8 | 1895 *Cypris bennelong*, G. O. Sars in: Skr. Vidensk. Christian., 1894 nr. 5 p. 24 t. 4 f. 1a—d.

Australien.

Cypris barbata S. Forb. 1893 *C. barbatus*, S. A. Forbes in: Bull. U. S. Fish Comm., *v.* 11 p. 244 t. 37 f. 2, 3; t. 38 | 1895 *Erpetocypris b.*, Turner in: Rep. Surv. Minnesota, Zool. *v.* 2 p. 316 t. 77.

Schale: Höhe $^2/_5$ der Länge, am höchsten auf $^3/_4$ der Länge; Dorsalrand gerade, nach vorn deutlich abfallend, gegen den breit gerundeten Vorderrand nicht abgegrenzt; mit dem mäßig steil (unter etwa 45°) abfallenden Hinterrande bildet er einen stumpfen Winkel mit stark gerundeter Ecke; Hinterrand in der dorsalen Hälfte gerade, in der ventralen gerundet; Ventralrand schwach konvex. Furca schlank, deutlich S-förmig gebogen; Hinterrand dicht besetzt mit starken, kurzen Dornen, die distal an Länge zunehmen. — L. ♀ 4 mm.

Nordamerika.

Cypris belcheri W. Baird 1852 *C. b.*, W. Baird in: P. zool. Soc. London, *v.* 20 p. 7 t. 23 f. 4 (Stenocypris?).

Herkunft? Östliche Meere?

Cypris bennelong R. L. King 1855 *C. b.*, R. L. King in: P. R. Soc. Van Diemensland. *v.* 31 p. 63 t. 10 f. A (Larve?) | (non 1895 *C. b.*, G. O. Sars in: Skr. Vidensk. Christian., 1894 nr. 5 p. 24 t. 4 f. 1a—d) | ?1905 *Eucypris b.*, Daday in: Zool., *v.* (Heft) 44 p. 247.

Australien, Patagonien (?).

Cypris blanchardi Moniez 1891 *C. b.*, Moniez in: Mém. Soc. zool. France, *v.* 4 p. 252 f. 12—15.

Algier (Salzsee Chegga).

Candona brachyura Heller 1871 *C. b.*, Heller in: Ber. Ver. Innsbruck, *v.* 1 p. 93 t. 2 f. 1—8 | 1891 *Candonella b.*, Claus in: Arb. Inst. Wien, *v.* 9 p. 231 (descr. nulla).

Schwimmborsten fehlen (vollständig?); Furca rudimentär. Vermutlich zu Gen. Potamocypris gehörig.

Tirol.

Cypris burlingtonensis Turn. 1894 *C. b.*, Turner in: Bull. Denison Univ., *v.* 8 II p. 17 t. 7 f. 14—23 | 1895 *Cyprinotus b.*, Turner in: Rep. Surv. Minnesota, Zool. *v.* 2 p. 333 t. 70 f. 14—23.

Nordamerika.

Cypris carinata R. L. King 1855 *C. c.*, R. L. King in: P. R. Soc. Van Diemensland, *v.* 3 I p. 61 t. 9 C 1—4.

Australien (Denham court).

Cypris celtica W. Baird 1859 *C. c.*, W. Baird in: Ann. nat. Hist., ser. 3 *v.* 4 p. 282 t. 6 f. 1.

Jerusalem.

Cypridopsis? chavesi Moniez 1888 *C.? c.*, Moniez in: Barrois, Matér. Açores Crust., p. 10.

Azoren.

Cypris chilensis Dana 1852 *C. c.*, J. D. Dana in: P. Amer. Ac., *v.* 2 p. 50 | 1852 & 55 *C. c.*, J. D. Dana in: U. S. expl. Exp., *v.* 13 II p. 1285; t. 90 f. 1, 7.

Valparaiso (Süßwasser).

Cypris chittyensis W. Baird 1862 *C. c.*, W. Baird in: Ann. nat. Hist., ser. 3 *v.* 10 p. 4 t. 1 f. 4.

(Zu Gen. Stenocypris?)

Jamaica.

Cypris clarkii R. L. King 1855 *C. c.*, R. L. King in: P. R. Soc. Van Diemensland, *v.* 3 I p. 63 t. 10 f. E.

Australien (Sydney, Paramatta), Süßwasser.

Candonopsis complanata G. Brady 1902 *C. c.*, G. S. Brady in: Tr. zool. Soc. London, *v.* 16 p. 196 t. 25 f. 30—36.

Nordafrika (Biskra).

Monoculus conchaceus L. 1758 *M. c.*, Linné, Syst. Nat., ed. 10 p. 635 | 1778 *M. c.*, Geer, Mém. Hist. Ins., *v.* 7 p. 476 t. 29 f. 5—10 | ? 1820 *M. c.*, Jurine, Hist. Monocles, p. 171 t. 17 f. 7, 8 | ? 1825 *Cypris conchacea*, Desmarest, Consid. gén. Crust., p. 383 | 1902 *Eucypris c.*, Daday in: Term. Füzetek, *v.* 25 p. 294 (Synonymie).

Nordeuropa, Patagonien.

Cypris declivis S. Fisch. 1855 *C. d.*, S. Fischer in: Abh. Bayer. Ak., *v.* 7 p. 642 t. 19 f. 4—6.

Ägypten.

Cypris decorata O. Sars 1903 *C. d.*, G. O. Sars in: Arch. Naturv. Kristian., *v.* 25 nr. 8 p. 23 t. 2 f. 4, 4 a, b.

China.

Cypris donnetii W. Baird 1850 *C. d.*, W. Baird in: P. zool. Soc. London, *v.* 18 p. 254 t. 18 f. 19—21.

Coquimbo (Süßwasser); Titicacasee?

Herpetocypris dubia T. Scott 1899 *H. (?) d.*, T. Scott in: J. Linn. Soc. London, *v.* 27 p. 82 t. 4 f. 7—11 (Larve?).

Franz Joseph-Land.

Cypris dugesi Herrick 1887 *C. d.*, Herrick in: Mem. Denison Ass., *v.* 1 nr. 1 p. 26 t. 4 f. 7 (?) | ? 1894 *C. fuscata*, Turner in: Bull. Denison Univ., *v.* 8II p. 16 t. 7 f. 41—46 | ? 1895 *C. f.*, Turner in: Rep. Surv. Minnesota, Zool. *v.* 2 p. 320 t. 71 f. 41—46; t. 72 f. 7; t. 76 f. 9.

Nordamerika.

Cyprinotus elatior Vávra 1897 *C. e.*, Vávra in: D.-O.-Afr., *v.* 4 p. 18 f. 6.

Ostafrika.

Eucypris fabaeformis Daday 1901 *E. f.*, Daday in: Term. Füzetek, *v.* 24 p. 46 f. 22.

Schale gestreckt, Höhe annähernd (?) $^1/_2$ der Länge (nach dem Text 5 : 13), am höchsten vor der Mitte; der Dorsalrand bildet einen flachen Bogen; Vorderrand mäßig breit, Hinterrand schmal gerundet; Ventralrand auf $^1/_3$ stark gebuchtet, im letzten Drittel deutlich aufsteigend; dünn, wenig verkalkt, biegsam; Oberfläche dünn, Ränder stark behaart. Vom Rücken gesehen schmal, Breite nur $^1/_4$ ($^1/_6$?) der Länge. Furcaläste gerade bis auf das stark gebogene proximale Viertel; Hinterrand mit einer Reihe feiner Dornen; vordere Klaue fast gerade, hintere S-förmig gekrümmt, beide stark gezähnelt; vordere Borste über $^1/_2$ der vorderen Klaue; hintere Borste dicht neben der hinteren Klaue. — L. 1·3 mm.

Neuguinea.

Cypris flabella Vávra 1897 *C. f.*, Vávra in: D.-O.-Afr., *v.* 4 p. 25 f. 10.

Schale des ♀: Höhe $^{13}/_{23}$ der Länge, am höchsten vor der Mitte; der Dorsalrand bildet einen stumpfen Winkel mit stark gerundeter Ecke, dessen beide Schenkel geradlinig und annähernd gleich stark abfallen; beide gehen ohne Andeutung einer Grenze, der eine in den breit gerundeten Vorderrand, der andere in den viel schmaler gerundeten Hinterrand über; Ventralrand fast gerade. Vom Rücken gesehen Breite annähernd $^1/_2$ der Länge, am breitesten hinter der Mitte; Vorderende deutlich, Hinterende wenig zugespitzt. Stamm der Greiforgane gegabelt; der eine die Borsten tragende Ast sehr kurz, der andere den Finger tragende sehr lang, er mißt etwa $^1/_2$ der Gesamtlänge des Stammes; der Finger beiderseits schlank, schwach gekrümmt, beiderseits ähnlich. Furca mit geradem Vorderrande, geschwungenem Hinterrande; letzterer ist fein bedornt, die Dornen sägeartig angeordnet; die Klauen schlank, schwach gebogen, die vordere kürzer als $^1/_2$ des Vorderrandes. — L. ♀ & ♂ 2·5 mm (zu Gen. Candonocypris?).

Ostafrika.

Cyprinotus flavescens G. Brady 1898 *C. f.*, G. S. Brady in: Tr. zool. Soc. London, *v.* 14 p. 440 t. 46 f. 28, 29.

Neuseeland.

Cyprinotus fragilis G. Brady 1902 *C. f.*, G. S. Brady in: Tr. zool. Soc. London, *v.* 16 p. 196 t. 23 f. 9, 10; t. 25 f. 37—39.

Nordafrika (Biskra).

Cypris galbinea C. L. Koch 1838 *C. g.* (Larve), C. L. Koch, C. M. A., Heft 21 nr. 19.

Unkenntliche Darstellung einer bekannten Art?

Erlangen.

Cypris gibbosa W. Baird 1838 *C. g.*, W. Baird in: Mag. Zool. Bot., *v.* 2 p. 137 t. 5 f. 15 | 1850 *C. g.*, W. Baird, Brit. Entom., p. 156 t. 19 f. 8.

Unkenntliche Darstellung einer bekannten Art?

England.

Cypridopsis globosa G. Brady 1886 *C. g.*, G. S. Brady in: J. Linn. Soc. London, *v.* 19 p. 303 t. 39 f. 1—3.

Ceylon.

Proteocypris globuloides G. Brady 1907 *P.(?) g.*, G. S. Brady in: Ann. Natal Govt. Mus., *v.* 1 p. 177 t. 30 f. 10—18.

Natal.

Cypris granulata Daday 1898 *C. g.*, Daday in: Term. Füzetek, *v.* 21 Anh. p. 73 f. 36.

Schale des ♀: Höhe $^3/_5$ der Länge, am höchsten vor der Mitte; der Dorsalrand bildet einen Winkel mit mäßig gerundeter Spitze, dessen beide Schenkel geradlinig und sehr deutlich abfallen, der hintere deutlicher als der vordere; Vorderende breit, Hinterende schmal gerundet; Ventralrand flach gebuchtet; Vorderrand von einer breiten, durchsichtigen, am Rande gezähnelten und radiär gestreiften Zone umgeben; eine ähnliche Bildung, aber schmaler, am Hinterende. Oberfläche mit zahlreichen rundlichen Erhebungen. Vom Rücken gesehen Breite $^4/_5$ der Länge, am breitesten hinter der Mitte; die Seiten konvergieren nach vorn unter annähernd 90°, nach hinten unter einem stumpfen Winkel. Die Schwimmborsten der 2. Antenne erreichen die Spitzen der Klauen. Furca deutlich gebogen, Hinterrand glatt; vordere Klaue über $^1/_2$ des Vorderrandes, schwach gebogen; hintere Klaue borstenförmig, S-förmig gebogen, halb so lang wie die vordere Klaue; hintere Borste ähnlich gestaltet wie die hintere Klaue, so lang wie diese. — L. 1·8—2 mm.

Ceylon.

Cypris halyi G. Brady 1886 *C. h.*, G. S. Brady in: J. Linn. Soc. London, *v.* 19 p. 299 t. 38 f. 15—17.

Ceylon.

Cypris helicina S. Fisch. 1847 *C. h.*, S. Fischer in: Mém. prés. Ac. St.-Pétersb., *v.* 6 p. 193 t. 10 f. 5 | 1900 *Potamocypris h.*, Daday, Ostr. Hungar., p. 193 (Synonymie).

Unkenntliche Darstellung einer bekannten Art?

Rußland.

Candona hispida (W. Baird) 1835 *Cypris h.*, W. Baird in: Hist. Berwick. Club, *v.* 1 p. 99 t. 3 f. 14 | 1845 *Candona h.*, W. Baird in: Hist. Berwick. Club, *v.* 2 p. 153 | 1850 *C. h.*, W. Baird, Brit. Entom., p. 161 t. 19 f. 4.

Unkenntliche Darstellung einer bekannten Art?

England.

Cypridopsella hispida O. Sars 1901 *C. h.*, G. O. Sars in: Arch. Naturv. Kristian., *v.* 24 nr. 1 p. 42 t. 8 f. 15, 16.

Brasilien (São Paulo: Itatiba).

Cypris iheringi O. Sars 1901 *C. i.*, G. O. Sars in: Arch. Naturv. Kristian., *v.* 24 nr. 1 p. 25 t. 6 f. 1—4 | 1905 *Eucypris i.*, Daday in: Zool., *v.* (Heft) 44 p. 248.

Höhe deutlich größer als $^1/_2$ der Länge, Dorsalrand im mittleren Drittel annähernd horizontal und gerade, gegen Vorder- und Hinterrand nicht abgegrenzt; Hinterrand breit, Vorderrand schmaler gerundet; der Hinterrand rechts an der Grenze gegen den Ventralrand mit ventralwärts gerichtetem, dornartigem Fortsatz; Ventralrand annähernd gerade. Vom Rücken gesehen Breite etwa $^1/_2$ der Länge, am breitesten in der Mitte; Vorderende zugespitzt, die Seite hier wenig eingedrückt. Furca schlank, annähernd gerade; Hinterrand in den distalen 2 Dritteln mit Börstchenreihe; vordere Klaue gleich $^1/_2$ des Vorderrandes; vordere Borste reichlich $^1/_3$ der vorderen Klaue. — L. 3·62 mm.

Brasilien (São Paulo: Itatiba), Paraguay.

Cypris inermis G. Brady 1904 *C. i.*, G. S. Brady in: P. zool. Soc. London, *v.* 2 p. 125 t. 8 f. 44—49.

Schale des ♀ gestreckt, Höhe deutlich kleiner als $^1/_2$ der Länge; am höchsten vor der Mitte. Dorsalrand flach gewölbt, Vorderende breit, Hinterende deutlich schmaler gerundet. Ventralrand gerade. Der freie Schalenrand mit langen, feinen Haaren dicht besetzt. Furca kräftig, Hinterrand fast gerade, Vorderrand schwach S-förmig geschwungen; Hinterrand mit einer feinen Borstenreihe; die vordere Klaue mißt etwa $^1/_2$ des Vorderrandes, die vordere Borste etwa $^2/_3$ der vorderen Klaue, die hintere Borste steht der hinteren Klaue sehr nahe (Abstand geringer als die Breite der hinteren Klaue an ihrer Basis?). — L. ♀ 0·95 mm, ♂?

Natal.

Cypris inflata O. Sars 1903 *C. i.*, G. O. Sars in: Annuaire Mus. St.-Pétersb., *v.* 8 p. 222 t. 16 f. 2a—d.

Zentralasien (Akmolinsk: Salzsee Djar-sor).

Cypris inornata O. Sars 1901 *C. i.*, G. O. Sars in: Arch. Naturv. Kristian., *v.* 24 nr. 1 p. 27 t. 6 f. 9—12.

Brasilien (São Paulo).

Cypris intumescens G. Brady 1907 *C. i.*, G. S. Brady in: Ann. Natal Govt. Mus., *v.* 1 p. 173 t. 29 f. 1—5.

Natal.

Cypris laetevirens G. Brady 1902 *C. l.*, G. S. Brady in: Tr. zool. Soc. London, *v.* 16 p. 193 t. 23 f. 3—5.

Cadix.

Cypris leana O. Sars 1896 *C. l.*, G. O. Sars in: Arch. Naturv. Kristian., *v.* 18 nr. 3 p. 50 t. 7 f. 2.

Australien.

Cypris longiseta Moniez 1892 *C. l.*, Moniez in: Weber, Reise Niederl. O.-Ind., *v.* 2 p. 133.

Sumatra.

Candona lutea R. L. King 1855 *C. l.*, R. L. King in: P. R. Soc. Van Diemensland, *v.* 3 p. 67 t. 10 f. K | (non 1886 *C. l.*, G. S. Brady in: P. zool. Soc. London, p. 92 t. 10 f. 7, 8).

Westaustralien, im Süßwasser.

Cypris luxata G. Brady 1886 *C. l.*, G. S. Brady in: J. Linn. Soc. London, *v.* 19 p. 298 t. 38 f. **8—11** | ?1907 *C. l.*, Apstein in: Zool. Jahrb. Syst., *v.* 25 p. 230 f. U.

Ceylon.

Cypris madeirensis S. Fisch. 1855 *C. m.*, S. Fischer in: Abh. Bayer. Ak., *v.* 7 p. 646 t. 19 f. 18—20, 53.

Madeira.

Cypris mareotica S. Fisch. 1855 *C. m.*, S. Fischer in: Abh. Bayer. Ak., *v.* 7 p. 653 t. 19 f. 39—41 | ?1891 *C. m.*, Moniez in: Mém. Soc. zool. France, *v.* 4 p. 254 f. 16—25.

Ägypten; Algier, in salzigem Wasser.

Cypris minnesotensis Herrick 1887 *C. m.*, Herrick in: Mem. Denison Ass., *v.* 1 nr. 1 p. 28 t. 4 f. 2 | 1895 *Erpetocypris m.*, Turner in: Rep. Surv. Minnesota, Zool. *v.* 2 p. 315 t. 72 f. 2.

Zu Gen. Dolerocypris?

Minnesota.

Cypris monilifera G. Brady 1886 *C. m.*, G. S. Brady in: J. Linn. Soc. London, *v.* 19 p. 298 t. 39 f. 10—12.

Ceylon.

Cypris mucronata R. Templ. 1836 *C. m.*, R. Templeton in: Tr. ent. Soc. London, *v.* 1 p. 198 t. 22 f. 15.

Larve?

Mauritius.

Cypris mytiloides G. Brady 1886 *C. m.*, G. S. Brady in: P. zool. Soc. London, p. 89 t. 9 f. 1—3.

Schale gestreckt, Höhe etwa $^4/_9$ der Länge, am höchsten auf $^1/_4$ der Länge; der Dorsalrand bildet einen Winkel mit wenig gerundeter Spitze, dessen beide Schenkel annähernd geradlinig abfallen, der vordere stärker als der hintere; der vordere Schenkel geht ohne Andeutung einer Grenze in den mäßig breit gerundeten Vorderrand über; der hintere bildet auf $^3/_4$ der Länge mit dem Hinterrande eine stark abgerundete Ecke; der Hinterrand ist deutlich konvex, fällt wenig steil ab und bildet mit dem Ventralrande eine lange Spitze; Ventralrand schwach eingebuchtet, nach hinten kaum merklich aufsteigend. Vom Rücken gesehen schmal, Breite weniger als $^1/_3$ der Länge, beide Enden stark zugespitzt. Furca schlank; die vordere Klaue fast gerade, gesägt, mißt reichlich $^2/_3$ des Vorderrandes; hintere Klaue fehlt; vordere und hintere Borste $= ^1/_3$ der Klaue; die hintere Borste entspringt nahe der Klaue auf $^9/_{10}$ der Länge. — L. 5 mm.

Australien (Känguruh-Inseln), im Süßwasser.

Cypridopsella nana O. Sars 1901 *C. n.*, G. O. Sars in: Arch. Naturv. Kristian., *v.* 24 nr. 1 p. 43 t. 8 f. 17, 18.

Brasilien (São Paulo: Itatiba).

Cypris nitens S. Fisch. 1855 *C. n.*, S. Fischer in: Abh. Bayer. Ak., *v.* 7 p. 648 t. 19 f. 24—26, 43.

Herkunft? vermutlich Sizilien; Azoren.

Cypris obliqua G. Brady 1867 *C. o.*, G. S. Brady in: Intell. Observ., *v.* 12 p. 117 | 1868 *C. o.*, G. S. Brady in: Tr. Linn. Soc. London, *v.* 26 p. 364 t. 23 f. 33—38 | 1889 *C. o.*, G. S. Brady & A. M. Norman in: Tr. R. Dublin Soc., ser. 2 *v.* 4 p. 77 t. 12 f. 10.

Schale mäßig gestreckt, Höhe wenig mehr als $^1/_2$ der Länge, am höchsten in der Mitte; Dorsalrand gewölbt, gegen Vorder- und Hinterrand nicht abgegrenzt; beide Enden breit gerundet, das vordere etwas breiter als das hintere; Ventralrand fast gerade. Vom Rücken gesehen Breite etwa $^1/_2$ der Länge, am breitesten wenig hinter der Mitte; beide Enden zugespitzt, das vordere schärfer. Oberfläche ziemlich dicht mit auffälligen, runden, scharf konturierten Gruben bedeckt. — L. 1·15 mm.

England; Frankreich; Azoren.

Herpetocypris obliqua Daday 1902 *H. o.*, Daday in: Term. Füzetek, *v.* 25 p. 296 t. 15 f. 8—13, f. 3a, b.

Schale gestreckt, Höhe deutlich kleiner als $^1/_2$ der Länge, am höchsten in der Mitte, das mittlere Drittel fast gerade und horizontal, beide Enden gerundet, das vordere (?) schmaler als das hintere, Ventralrand gerade, Oberfläche fein und vieleckig gefeldert. Vom Rücken gesehen Breite wenig mehr als $^1/_3$ der Länge, am breitesten in der Mitte, beide Enden zugespitzt. Die Schwimmborsten der 2. Antenne überragen das subterminale Glied nicht. 1. Kaufortsatz der Maxille mit 2 zahnartigen Borsten. Das 2. Glied des 2. Thoraxbeines trägt terminal und ventral 2 lange Borsten, die Endkralle länger als die 3 terminalen Glieder zusammen. Furca schlank, an der Basis gekrümmt, im übrigen gerade, der Hinterrand mit Borstenreihe, die Furcaldornen kräftig, mäßig gebogen, der vordere mißt weniger als $^1/_2$ des Vorderrandes, die vordere Borste mißt $^1/_4$ der benachbarten Klaue. — L. 4 mm.

Patagonien, Turkestan.

Cypris odiosa Moniez 1892 *C. o.*, Moniez in: Weber, Reise Niederl. O.-Ind., *v.* 2 p. 131.

Schale: Höhe $^1/_2$ der Länge, vom Rücken gesehen Breite $^1/_2$ der Länge; glatt, dünn behaart; gleichmäßig gelb (Spiritusexemplare). Schwimmborsten der 2. Antenne reichen bis zur Spitze der Klauen. Furcaläste mit Klaue 1·4 mm lang, schlank (45 μ breit); Hinterrand distal auf $^2/_3$ gezähnelt, Zähne nadelartig, proximalwärts an Länge abnehmend, in Gruppen geteilt; vordere Klaue mißt $^2/_5$ der Furca, gerade, nur an der Spitze schwach gebogen, distal mit 2 Gruppen grober Zähne; hintere Klaue $^1/_2$ der vorderen; vordere Borste $^5/_8$ der vorderen Klaue; hintere Borste fehlt (?). — L. ♀ 2·33 mm, ♂ unbekannt.

Sumatra und Celebes.

Cypris onusta Masi 1905 *C. o.*, Masi in: Boll. Soc. zool. Ital., ser. 2 *v.* 6 p. 119.

Rechte Schale: Höhe etwa $^4/_9$ der Länge, am höchsten auf $^2/_5$ der Länge, der Dorsalrand bildet einen stumpfen, ziemlich stark abgerundeten Winkel, dessen beide Schenkel geradlinig und ziemlich gleich stark abfallen; Vorderrand nicht gegen den Dorsalrand abgegrenzt, mäßig breit gerundet; Dorsal- und Hinterrand bilden auf etwa $^5/_6$ der Länge eine ziemlich deutliche, stumpfwinklige Ecke, Hinterrand in seiner dorsalen Hälfte gerade, steil unter etwa 60° abfallend, in der ventralen schmal gerundet; verschmolzene Zone breit, der Saum entfernt sich am vorderen und hinteren Ende weit vom Schalenrande. Schwimmborsten wohl entwickelt, Furca schlank, an der Basis kolbig erweitert, im übrigen gerade; die vordere Klaue mißt etwa $^1/_2$ des Vorderrandes, die hintere $^7/_9$ der vorderen, die vordere Borste etwa $^1/_3$ der vorderen Klaue. — L. 1·75 mm.

Süditalien.

Cypris ophthalma C. L. Koch 1844 *C. o.*, C. L. Koch, C. M. A., fasc. 36 nr. 17.
Unkenntliche Darstellung einer bekannten Art?
Regensburg.

Cypris orientalis W. Baird 1859 *C. o.*, W. Baird in: Ann. nat. Hist., ser. 3 *v.* 4 p. 282 t. 6 f. 2.
Jerusalem.

Cypris ovalis O. Sars 1903 *C. o.*, G. O. Sars in: Annuaire Mus. St.-Pétersb., *v.* 8 p. 223 t. 16 f. 3a, b.
Zentralasien (Mongolei: Baroldushtu).

Cypris palermitana S. Fisch. 1855 *C. p.*, S. Fischer in: Abh. Bayer. Ak., *v.* 7 p. 648 t. 19 f. 23a, b.
Zu Gen. Cyprinotus?
Sizilien.

Cypris parabolica C. L. Koch 1837 *C. p.*, C. L. Koch, C. M. A., fasc. 11 nr. 4 | 1889 *Candona p.*, (Larve?) G. S. Brady & A. M. Norman in: Tr. R. Dublin Soc., ser. 2 *v.* 4 p. 106 t. 13 f. 28—30.
Unkenntliche Darstellung einer bekannten Art?
Süddeutschland; Finnland.

Spirocypris passaica R. Sharpe 1903 *S. p.*, R. Sharpe in: P. U. S. Mus., *v.* 26 p. 982 t. 66 f. 1—3.
Newjersey, Nordamerika.

Stenocypris perarmata G. Brady 1904 *S. p.*, G. S. Brady in: P. zool. Soc. London, *v.* 2 p. 126 t. 8 f. 50—57.

Schale gestreckt, Höhe etwas mehr als $^1/_3$ der Länge, am höchsten auf halber Länge, Dorsalrand flach gewölbt, Vorderrand mäßig breit gerundet, Hinterende schmal, in der dorsalen Hälfte eingedrückt, Ventralrand in der Mundgegend stark vorgewölbt; vom Rücken gesehen stark komprimiert, Breite $^1/_4$ der Länge, Furca schlank, die Klauen stark gezähnelt, vordere Borste länger als $^1/_2$ der benachbarten Klaue, hintere Borste fehlt; Hinterrand nahe der Spitze mit 9 oder 10 starken Spitzen bewaffnet, zwischen denen sich Borsten finden. (Einerseits oder beiderseits?) — L. 1·6 mm.
Natal.

Cypris perforata Cosmovici 1900 *C. p.*, Cosmovici in: Bull. Soc. zool. France, *v.* 25 p. 160 f. 6.
Rumänien.

Cypris phaseolus H. Luc. 1849 *C. p.*, H. Lucas in: Expl. Algérie, An. artic., *v.* 1 p. 83 t. 8 f. 8.
Algier.

Cypris prasina S. Fisch. 1855 *C. p.*, S. Fischer in: Abh. Bayer. Ak., *v.* 7 p. 644 t. 19 f. 9—13, 51, 52 | 1872 *C. p.*, G. S. Brady & D. Robertson in: Ann. nat. Hist., ser. 4 *v.* 9 p. 55 (descr. nulla) | (non 1889 *C. p.*, G. S. Brady & A. M. Norman in: Tr. R. Dublin Soc., ser. 2 *v.* 4 p. 78 (descr. nulla).
Sizilien.

Cypris psittacea O. Sars 1901 *C. p.*, G. O. Sars in: Arch. Naturv. Kristian., *v.* 24 nr. 1 p. 24 t. 5 f. 13—15.

Schale: Höhe etwas größer als $^1/_2$ der Länge, am höchsten etwa auf $^1/_2$ der Länge; Dorsalrand stark gewölbt, gegen Vorder- und Hinterrand

nicht abgegrenzt; Vorderrand sehr breit gerundet, bildet auf etwa $^1/_6$ der Höhe eine scharfe Ecke, die den Ventralrand gegen den Vorderrand abgrenzt; Hinterrand etwas schmaler gerundet als der Vorderrand, rechts mit deutlichem, spitzem Fortsatze in der ventralen Hälfte; Ventralrand stark konvex. Vom Rücken gesehen Breite etwa gleich $^1/_2$ der Länge; die Seiten bilden Bogen, welche nahe dem Vorderende beiderseits deutlich eingedrückt sind. Furca schlank, fast gerade; Hinterrand mit sägeartig angeordneten Borsten; vordere Borste so lang wie die hintere Klaue und etwa gleich $^2/_3$ der vorderen Klaue. — L. 1·5 mm.

Brasilien (São Paulo).

Cypris pubescens Dana 1852 *C. p.*, J. D. Dana in: P. Amer. Ac., *v.* 2 p. 50 | 1852 & 55 *C. p.*, J. D. Dana in: U. S. expl. Exp., *v.* 13II p. 1287; t. 90 f. 8 | 1900 *Cypridopsis p.*, Daday, Ostr. Hungar., p. 187 (Synonymie).

Neusüdwales (Sydney) im Süßwasser.

Monoculus punctatus Jur. 1820 *M. p.*, Jurine, Hist. Monocles, p. 175 t. 19 f. 3, 4 | 1825 *Cypris punctata*, Desmarest, Consid. gén. Crust., p. 385.

Unkenntliche Darstellung einer bekannten Art? (Larve?)

Schweiz.

Cypris pustulosa O. Costa 1847 *C. p.*, O. G. Costa, Fauna Reg. Napoli, Crostacei, Ostr. p. 10 t. 3 f. 2 (im Text irrtümlich f. 3).

Schalenoberfläche mit zahlreichen deutlichen Warzen besetzt. — L. 1·4 mm.

Lago di Agnano bei Neapel.

Cypris quadripartita Plateau 1870 *C. q.*, Plateau in: Mém. cour. Ac. Belgique, *v.* 34 nr. 3 p. 56 t. 1 f. 28.

Unkenntliche Darstellung einer bekannten Art?

Belgien.

Cypris reniformis Fér. 1806 *C. r.*, Férussac in: Ann. Mus. Paris, *v.* 7 p. 215 t. 12 f. 4.

Unkenntliche Darstellung einer bekannten Art?

Südfrankreich.

Cypris richardi Moniez 1892 *C. r.*, Moniez in: Weber, Reise Niederl. O.-Ind., *v.* 2 p. 130 t. 10 f. 12—16.

Höhe etwa $^1/_2$ der Länge; Dorsalrand und Ventralrand fast gleich stark gewölbt; beide Enden zugespitzt, das hintere stärker als das vordere. Oberfläche mit Rippen, die dem Dorsalrande parallel verlaufen; rechte Schale am Hinterrande gezähnelt. Furca lang und dünn, mit Klaue annähernd $^1/_2$ der Schalenlänge; vordere Klaue annähernd halb so lang wie die Furca; Borsten klein; Klauen und Furca glatt. (Larve?) — L. 1 mm.

Celebes.

Cypris rivularis S. Fisch. 1855 *C. r.*, S. Fischer in: Abh. Bayer. Ak., *v.* 7 p. 651 t. 19 f. 34, 35.

Zu Gen. Cyprinotus?

Sizilien.

Cypris rubida Zadd. 1844 *C. r.*, Zaddach, Syn. Crust. Pruss., p. 36.

Unkenntliche Darstellung einer bekannten Art?

Ostpreußen.

Eucypris sarsii Daday 1902 *E. s.*, Daday in: Term. Füzetek, *v.* 25 p. 294 t. 15 f. 1—7.

Patagonien.

Cypris sarsi Moniez 1892 *C. s.*, Moniez in: Weber, Reise Niederl. O.-Ind., *v.* 2 p. 132 t. 10 f. 17—22.

Zu Gen. Cypretta?

Celebes.

Cypris schomburgkii W. Baird 1852 *C. s.*, W. Baird in: P. zool. Soc. London, *v.* 20 p. 8 t. 23 f. 3.

Schale gestreckt, Höhe $^2/_5$ der Länge; Dorsalrand annähernd horizontal, wenig gewölbt; Vorderende breit gerundet, Hinterende im letzten Viertel keilförmig zugespitzt; die nicht abgerundete Spitze liegt wenig unter $^1/_2$ der Schalenhöhe. Vom Rücken gesehen schmal, Breite $^1/_3$ der Länge; beide Enden zugespitzt. — L. 5 mm. (Zu Gen. Strandesia?)

San Domingo [Westindien].

Cypris scottii R. L. King 1855 *C. s.*, R. L. King in: P. R. Soc. Van Diemensland, *v.* 3 p. 63 t. 10 f. C.

Australien (Denham Court), im Süßwasser.

Cypris sculpta Klintz 1908 *C. s.*, Klintz in: Arch. Hydrob. Plankton., *v.* 3 p. 274 t. 2.

Schale des ♀: Höhe deutlich kleiner als $^1/_2$ der Länge, am höchsten auf $^1/_2$ der Länge, Dorsalrand deutlich gewölbt, gegen Vorder- und Hinterrand nicht abgegrenzt, der Bogen des Dorsalrandes setzt sich gleichmäßig fort bis zu einer etwa auf $^1/_4$ der Schalenhöhe liegenden, deutlichen, wenig abgerundeten Ecke, in der er mit dem im hinteren Fünftel aufsteigenden Ventralrande zusammenstößt; Vorderrand mäßig breit gewölbt, Ventralrand stark ausgebuchtet, am Rande eine breite, verschmolzene Zone. Furcaläste kräftig, der Hinterrand (beiderseits?) deutlich gesägt, die Klauen kräftig, am Hinterrande gesägt, die vordere Borste mißt etwa $^3/_4$ der vorderen Klaue, hintere Borste fehlt(?). — L. ♀ 1·8—2 mm, ♂ unbekannt. (Herpetocypris oder Stenocypris?)

Weißer Nil, südlich von Kartum.

Cypris semilunaris S. Fisch. 1851 *C. s.*, S. Fischer in: Mém. prés. Ac. St.-Pétersb., *v.* 7 p. 161 t. 10 f. 15—17 | 1854 *Cypria s.*, Zenker in: Arch. Naturg., *v.* 20 1 p. 79 (Synonymie).

Unkenntliche Darstellung einer bekannten Art?

Rußland.

Cypris socialis S. Fisch. 1855 *C. s.*, S. Fischer in: Abh. Bayer. Ak., *v.* 7 p. 641 t. 19 f. 1—3, 49, 50.

Sizilien.

Eucypris striata (Jur. [?]) Daday ?1820 *Monoculus striatus*, Jurine, Hist. Monocles, p. 177 t. 19 f. 11 | ?1825 *Cypris striata*, Desmarest, Consid. gén. Crust., p. 386 | ?1844 *C. s.*, Zaddach, Syn. Crust. Pruss., p. 32 | 1900 *Eucypris s.*, Daday, Ostr. Hungar., p. 147.

Schale: Höhe reichlich $^1/_2$ der Länge; Dorsalrand deutlich gewölbt; Vorderrand mäßig breit, Hinterrand schmal gerundet; Vorderrand der rechten Schale mit breitem, scharf abgesetztem Rande (Saum oder verschmolzene

Zone). Oberfläche mit scharfen Längsrippen. Vom Rücken gesehen Breite etwa $^5/_7$ der Länge, am breitesten auf halber Länge; die Seiten verlaufen als starke Bogen ziemlich gleichmäßig vom vorderen zum hinteren Ende. Ein Greiforgan des ♂ mit langem, schlankem, stark gebogenem Finger; der Finger der anderen Seite ebenfalls lang, helmförmig erweitert. Furca lang, sehr schlank, stark gebogen. — L. 1·2—1·6 mm.

Ungarn; Schweiz?, Westpreußen?

Cypris sydneia R. L. King 1855 *C. s.*, R. L. King in: P. R. Soc. Van Diemensland, *v.* 3 p. 65 t. 10 f. M | ?1879 *C. ciliata*, G. M. Thomson in: Tr. N. Zealand Inst., *v.* 11 p. 253 t. 11 f. A. 1a—g | 1895 *C. sydneia*, G. O. Sars in: Skr. Vidensk. Christian., 1894 nr. 5 p. 27 t. 4 f. 2a—c.

Zu Gen. Cyprinotus?

Australien; Neuseeland.

Cypris tatei G. Brady 1886 *C. t.*, G. S. Brady in: P. zool. Soc. London, p. 89 t. 8 f. 5, 6.

Adelaide, im Brackwasser.

Cypris tenuicauda G. Brady 1886 *C. t.*, G. S. Brady in: J. Linn. Soc. London, *v.* 19 p. 299 t. 38 f. 18—20.

Ceylon.

Cypris tessellata S. Fisch. 1851 *C. t.*, S. Fischer in: Mém. prés. Ac. St. Pétersb., *v.* 7 p. 159 t. 10 f. 1—5.

Unkenntliche Darstellung einer bekannten Art? (Larve?)

Rußland; Azoren.

Cypris testudinaria R. Sharpe 1897 *C. t.*, R. Sharpe in: Bull. Illinois Lab., *v.* 4 p. 444 t. 44 f. 1—4.

Nordamerika (Bloomington, Illinois?).

Herpetocypris testudinaria Cushman 1908 *H. t.*, Cushman in: P. U. S. Mus., *v.* 33 p. 706 t. 58 f. 1—10.

Labrador.

Cypris triangularis W. Baird 1854 *C. t.*, W. Baird in: P. zool. Soc. London, *v.* 22 p. 6 | (non 1855 *C. t.*, S. Fischer in: Abh. Bayer. Ak., *v.* 7 p. 649 t. 19 f. 27, 28).

Kordofan.

Cypris tricincta C. L. Koch 1837 *C. t.*, C. L. Koch, C. M. A., fasc. 10 nr. 1.

Unkenntliche Darstellung einer bekannten Art?

Regensburg.

Cypris tridentata Cosmovici 1900 *C. t.*, Cosmovici in: Bull. Soc. zool. France, *v.* 25 p. 160 f. 7.

Bulgarien.

Cypris trigona O. Sars 1896 *C. t.*, G. O. Sars in: Skr. Vidensk. Christian., 1895 nr. 8 p. 32 t. 5 f. 3.

Südafrika.

Cypris trigonella G. Brady 1868 *C. t.*, G. S. Brady in: Tr. Linn. Soc. London, *v.* 26 p. 369 t. 25 f. 41—44.

Unkenntliche Darstellung einer bekannten Art? (Larve?)

England; Frankreich?; Azoren.

Spirocypris tuberculata R. Sharpe 1908 *S. t.*, R. Sharpe in: P. U. S. Mus., *v.* 35 p. 406 t. 50 f. 1—2; t. 54 f. 4; t. 55 f. 1—6.

Schale: Höhe größer als $^1/_2$ der Länge ($^4/_7$), am höchsten auf halber Länge, Dorsalrand flach gewölbt, gegen Vorder- und Hinterrand nicht abgegrenzt, beide Enden in ähnlicher Weise breit gerundet; Oberfläche dicht bedeckt mit umfangreichen, rundlichen Warzen, welche kurze Haare tragen; vom Rücken gesehen breit oval, Breite über $^2/_3$ der Länge; die Hodenschläuche treten in die vordere Schalenhälfte ein, rollen sich dort spiralig auf. Die Schwimmborsten der 2. Antenne überragen die Spitzen der Klauen nur wenig. Furca annähernd gerade, schlank, Hinterrand unbehaart, terminale Klaue schlank, fast gerade, halb so lang wie der Vorderrand, vordere Borste etwa $^1/_3$ so lang wie die benachbarte Klaue, die Hinterrandborste entfernt sich weit von der hinteren Klaue. — L. 0·93 mm.

Nordamerika (Chicago).

Cypris ungulata Moniez 1891 *C. u.*, Moniez in: Mém. Soc. zool. France, *v.* 4 p. 247.

Algier, in Salzseen.

Monoculus unifasciatus Jur. 1820 *M. u.*, Jurine, Hist. Monocles, p. 176 t. 19 f. 9, 10 | 1825 *Cypris u.*, Desmarest, Consid. gén. Crust., p. 386.

Unkenntliche Darstellung einer bekannten Art? (Larve?)

Schweiz, Belgien.

Cypris unispinosa W. Baird 1862 *C. u.*, W. Baird in: Ann. nat. Hist., ser. 3 *v.* 10 p. 3 t. 1 f. 2 | 1887 *C. perelegans*, Herrick in: Mem. Denison Ass., *v.* 1 nr. 1 p. 27 t. 3 f. 7—12 | 1901 *C. spectabilis*, G. O. Sars in: Arch. Naturv. Kristian., *v.* 24 nr. 1 p. 26 t. 6 f. 5—8.

Schale gestreckt; Höhe kleiner als $^1/_2$ der Länge; Dorsalrand annähernd horizontal; rechte Schale hinten ventral mit deutlicher Spitze, linke daselbst gerundet. Vom Rücken gesehen Breite wenig mehr als $^1/_3$ der Länge, beide Enden zugespitzt. — L. 4·2 mm. Zu Gen. Chlamydotheca?

Sandwichsinseln; Jamaica.

Candona d'urbani W. Baird 1862 *C. d.*, W. Baird in: Ann. nat. Hist., ser. 3 *v.* 10 p. 2.

Schale: Höhe $^1/_2$ der Länge; Dorsalrand horizontal, gerade; Vorderende mäßig breit gerundet; Hinterrand annähernd geradlinig und ziemlich steil abfallend, bildet mit dem Ventralrande eine stark abgerundete Ecke; Ventralrand deutlich eingebuchtet. Vom Rücken gesehen Breite etwa $^2/_5$ der Länge; beide Enden stark zugespitzt; am vorderen Ende schwach aber deutlich, am hinteren Ende stark eingedrückt. — L. 6·5 mm. Zu Gen. Candonocypris?

Kapkolonie.

Cypris venusta Vávra 1897 *C. v.*, Vávra in: D.-O.-Afr., *v.* 4 p. 23 f. 9.

Schale des ♀: Höhe reichlich $^1/_2$ der Länge, am höchsten vor der Mitte; hier ist der Dorsalrand buckelartig erhoben; hinter dem Buckel senkt sich der Schalenrand in mäßig flachem Bogen bis zur hinteren auf etwa $^1/_6$ der Schalenhöhe liegenden Spitze; Vorderende breit gerundet; Ventralrand im vorderen Drittel deutlich, in der hinteren Hälfte flach eingebuchtet, im letzten Fünftel schwach aufsteigend; mit dem Hinterrande bildet er eine deutliche, nicht abgerundete Ecke. Vom Rücken gesehen Breite $^2/_5$ der

Länge; beide Enden ähnlich gestaltet. An den Greiforganen des ♂ ist der Stamm beiderseits terminal tief eingeschnitten, der Finger beiderseits schlank, schwach gebogen, rechts kürzer als links, im übrigen ähnlich wie links. Furca annähernd gerade; Hinterkante zart gewimpert; Klauen schlank, fast gerade; die längere mißt $^1/_2$ des Vorderrandes, die vordere Borste annähernd $^1/_2$ der vorderen Klaue. — L. ♀ und ♂ 3·6 mm. Zu Gen. Candonocypris?

Ostafrika.

Cypris verreauxii W. Baird 1862 *C. v.*, W. Baird in: Ann. nat. Hist., ser. 3 *v.* 10 p. 5 t. 1 f. 5.

Chile.

Cypris villosa C. L. Koch 1838 *C. v.*, C. L. Koch, C. M. A., fasc. 21 nr. 24.

Unkenntliche Darstellung einer bekannten Art?

Erlangen.

Cypris vitiensis Dana 1852 *C. v.*, J. D. Dana in: P. Amer. Ac., *v.* 2 p. 50 | 1852 & 55 *Candona* (?) *v.*, J. D. Dana in: U. S. expl. Exp., *v.* 13II p. 1288; t. 90 f. 9.

Fidschiinseln im Süßwasser.

Cypris vitrea Hald. 1842 *C. v.*, S. S. Haldeman in: P. Ac. Philad., *v.* 1 p. 166.

Nordamerika (Chicquesalunga).

Cypris weberi Moniez 1892 *C. w.*, Moniez in: Weber, Reise Niederl. O.-Indien, *v.* 2 p. 129 t. 10 f. 6—11.

Schale: Höhe etwa $^2/_3$ der Länge (ohne Fortsätze); Dorsalrand gewölbt; Ventralrand gerade, vorn wenig breiter gerundet als hinten; Vorderrand der linken Schale in zwei lange, gebogene Spitzen ausgezogen, von denen die längere (= $^1/_4$ der Schalenlänge) auf halber Höhe, die kürzere etwa an der Grenze von Vorder- und Ventralrand steht; rechts der Hinterrand in eine Spitze von etwa $^1/_3$ der Schalenlänge ausgezogen. Ränder gezähnelt. Furca schlank, deutlich S-förmig gebogen, mit Klaue etwa $^1/_2$ so lang wie die Schale; die vordere Klaue annähernd $^1/_2$ der Furca; vordere und hintere Borste klein. — L. ♀ 1·15 mm, ♂?

Celebes.

Cypris yallahensis W. Baird 1862 *C. y.*, W. Baird in: Ann. nat. Hist., ser. 3 *v.* 10 p. 5 t. 1 f. 6 | 1905 *Cypridopsis y.*, Daday in: Zool. *v.* (Heft) 44 p. 252 (Synonymie).

Jamaica, Paraguay.

Cypris sp. 1852 *C. cuneata* (non *C. c.*, W. Baird 1850 = *Cypris pubera* juv.) W. Baird in: P. zool. Soc. London, *v.* 20 t. 23 f. 2; Figurenerklärung.

Im Text nicht erwähnt; zu Gen. Cypris?

Herkunft?

Cypris sp. 1877 *C. grandis* (non *C. g.* Reuss 1852), Chambers in: Bull. U. S. geol. Surv., *v.* 3 p. 151 f. 1 | 1895 *Cyprinotus g.*, Turner in: Rep. Surv. Minnesota, Zool. *v.* 2 p. 334 t. 79 f. 1—9.

Nordamerika.

Cypris sp. 1900 *C. incongruens var. elongata* (non *C. i.* Ramdohr 1805, non *C. elongata* Reuss 1854), Kaufmann in: Rev. Suisse Zool., *v.* 8 p. 269 t. 15 f. 13; t. 18 f. 6—9.

Schweiz.

Cypris sp. 1853 *C. incongruens* (non *C. i.* Ramdohr 1805), Lilljeborg, Clad. Ostr. Cop., p. 119 t. 9 f. 6, 7; t. 11 f. 1—4; t. 12 f. 6.

Unkenntliche Darstellung einer bekannten Art?

Schweden.

Cypris sp. 1847 *C. ornata* (non *C. o.* O. F. Müller 1785), O. G. Costa in: Fauna Reg. Napoli, Crostacei, Ostr. p. 9 t. 3 f. 2 (richtiger f. 3).

Neapel im Süßwasser.

Cypris sp. 1864 *C. ornata* (non *C. o.* O. F. Müller 1785), Saccardo, Cenni anim. entom. p. 10.

Patria?

Cypris sp. 1870 *C. ornata* (non *C. o.* O. F. Müller 1785), Heller in: Ber. Ver. Innsbruck, *v.* 1 p. 92.

Verschiedene bekannte Arten?

Tirol.

Cypris sp. 1847 *C. ovum* (non *C. o.* Desmarest 1825), O. G. Costa, Fauna Reg. Napoli, Crostacei, Ostr. p. 8.

Neapel.

Cypris sp. 1893 *Eucypris similis* (non *Cypris s.* Reuss 1854), Wierzejski in: Rozpr. Ak. Krakow, *v.* 24 p. 241 t. 7 f. 35—39.

Zu Gen. Cyprinotus?

Argentinien.

Cypris sp. 1855 *C. triangularis* (non *C. t.* W. Baird 1854), S. Fischer in: Abh. Bayer. Ak., *v.* 7 p. 649 t. 19 f. 27, 28.

Sizilien.

Cypris sp. 1887 *C. virens* (non *Monoculus v.* Jurine 1820), Herrick in: Mem. Denison Ass., *v.* 1 nr. 1 p. 24 t. 6 f. 3 | 1895 *C. v.*, Turner in: Rep. Surv. Minnesota, Zool. *v.* 2 p. 321 t. 74 f. 3.

Ohio.

Cypridarum genera dubia et species dubiae

Cypris agilis Hald. 1841 *C. a.*, S. S. Haldeman in: P. Ac. Philad., *v.* 1 p. 53.

Lancaster county [Pennsylvania], im Süßwasser.

Cypris albida Dana 1852 *C. a.*, J. D. Dana in: P. Amer. Ac., *v.* 2 p. 49 | 1852 & 55 *Candona? a.*, J. D. Dana in: U. S. expl. Exp., *v.* 13II p. 1289; t. 90 f. 10.

Valparaiso im Süßwasser.

Cypris australis Lubb. 1856 *C. a.*, Lubbock in: Tr. ent. Soc. London, ser. 2 *v.* 3 p. 234.

Uruguai im Süßwasser.

Argilloecia badia G. Brady 1880 *A. b.*, G. S. Brady in: Rep. Voy. Challenger, Zool. *v.* 1 Part 3 p. 40 t. 6 f. 3 | ?1901 *A. b.*, Egger in: Abh. Bayer. Ak., *v.* 21 p. 422 t. 4 f. 6, 7.

Ostküste von Australien 3·5—19 m Tiefe; 18° s. Br., 116° ö. L., 357 m Tiefe?; 22° s. Br., 154° ö. L., 951 m Tiefe?; Island; südliches Norwegen (marin).

Cypris balnearia Moniez 1893 *C. b.*, Moniez in: Bull. Soc. zool. France, *v.* 18 p. 140 f. 1—7.

Zu Gen. Cyprinotus?

Algier (warme Süßwasser-Quellen von Hamman-Meskoutine).

Cythere bifasciata Say 1817 *C. b.*, Say in: J. Ac. Philad., *v.* 1 p. 439.

Georgia und Ost-Florida im Süßwasser.

Cypris brasiliensis Lubb. 1856 *C. b.*, Lubbock in: Tr. ent. Soc. London, ser. 2 *v.* 3 p. 234.

Uruguai im Süßwasser.

Cypris(?) cambrica G. Brady & D. Roberts. 1872 *C.(?) c.*, G. S. Brady & D. Robertson in: Ann. nat. Hist., ser. 4 *v.* 9 p. 55 t. 1 f. 3, 4 | 1889 *C. (?) c.*, G. S. Brady & A. M. Norman in: Tr. R. Dublin Soc., ser. 2 *v.* 4 p. 79 t. 8 f. 12, 13.

England (Süßwasser?).

Cypris curvata G. Brady 1878 *C. c.*, G. S. Brady in: Nares, Voy. Polar Sea, *v.* 2 App. 7 p. 253.

Spitzbergen im Süßwasser.

Pontocypris davisoni G. Brady 1868 *P. d.*, G. S. Brady in: Ann. nat. Hist., ser. 4 *v.* 2 p. 179 t. 13 f. 9, 10.

Mauritius; Magalhaensstraße (marin).

Cypris discolor Hald. 1842 *C. d.*, S. S. Haldeman in: P. Ac. Philad., *v.* 1 p. 166.

Nordamerika (Chiquesalunga), im Süßwasser.

Cypris elegans Moniez 1888 *C. e.*, Moniez in: Barrois, Matér. Açores, Crust. p. 9.

Azoren; Frankreich.

Pontocypris elegans A. Scott 1905 *P. e.*, A. Scott in: Herdman, Rep. Ceylon Pearl. Fish., Suppl. Rep. 22 p. 371 t. 1 f. 19—20.

Küste von Ceylon, marin.

Cypris elongata W. Baird 1835 *C. e.*, W. Baird in: Hist. Berwick. Club, *v.* 1 p. 99 t. 3 f. 10 | 1850 *C. e.*, W. Baird, Brit. Entom., p. 156 t. 19 f. 6.

Unkenntliche Darstellung einer bekannten Art? (Larve?)

Belgien, England im Süßwasser.

Macrocypris elongata Seg. 1883 *M. e.*, Seguenza in: Natural. Sicil., *v.* 2 p. 204; *v.* 3 p. 76 | 1885 *M. e.*, Seguenza in: Natural. Sicil., *v.* 4 t. 2 f. 5.

Hafen von Messina.

Cypris exserta S. Fisch. 1855 *C. e.*, S. Fischer in: Abh. Bayer. Ak., *v.* 7 p. 647 t. 19 f. 21, 22, 42.

Ägypten, Sizilien im Süßwasser.

Cypridopsis funebris G. Brady 1886 *C. f.*, G. S. Brady in: P. zool. Soc. London, p. 91 t. 8 f. 7—9 | ?1887 *C. orba*, G. S. Brady in: Steel in: P. nat. Hist. Soc. Glasgow, ser. 2 *v.* 1 III p. 68 (descr. nulla).

Südaustralien im Süßwasser.

Cypris furfuracea G. Brady 1886 *C. f.*, G. S. Brady in: J. Linn. Soc. London, *v.* 19 p. 299 t. 38 f. 21—23.

Ceylon im Süßwasser.

Cypris gibberula C. L. Koch 1838 *C. g.*, C. L. Koch, C. M. A., fasc. 21 nr. 20.

Larve; unkenntliche Darstellung einer bekannten Art?

Regensburg.

Cypris hispida De Kay 1844 *C. h.*, De Kay, Zool. N. York, Part 6 p. 64 t. 10 f. 48, 49.

Newyork im Süßwasser.

Cypris incana Zadd. 1844 *C. i.*, Zaddach, Syn. Crust. Pruss., p. 33.

Unkenntliche Darstellung einer bekannten Art?

Ostpreußen im Süßwasser.

Cypris? incarum Moniez 1889 *C.(?) i.*, Moniez in: Rev. biol. Nord France, *v.* 1 p. 421 f. 1, 2—6.

Titicacasee.

Cypris joanna W. Baird 1835 *C. j.*, W. Baird in: Hist. Berwick. Club, *v.* 1 p. 99 t. 3 f. 8 | 1850 *C. j.*, W. Baird, Brit. Entom., p. 155 t. 18 f. 5.

Unkenntliche Darstellung einer bekannten Art?

England im Süßwasser.

Cypris lateraria R. L. King 1855 *C. l.*, R. L. King in: P. R. Soc. Van Diemensland, *v.* 3 p. 65 t. 10 f. G | 1896 *C. l.*, G. O. Sars in: Arch. Naturv. Kristian., *v.* 18 nr. 3 p. 53 t. 7 f. 3a—c.

Schale des ♀: Höhe etwas größer als $^1/_2$ der Länge, am höchsten auf $^1/_3$ der Länge; der Dorsalrand bildet einen Winkel mit wenig gerundeter Spitze, dessen beide Schenkel geradlinig sind und deutlich abfallen, der vordere stärker als der hintere; der vordere geht ohne Andeutung einer Grenze in den breit gerundeten Vorderrand über; der hintere bildet auf etwa $^8/_9$ der Länge mit dem Hinterrande eine undeutliche Ecke; Hinterrand steil in flachem Bogen abfallend; Ventralrand deutlich gebuchtet. Oberfläche schuppig, mit zerstreuten, stumpfen Warzen, die besonders reichlich nahe dem vorderen und hinteren Ende stehen. Vom Rücken gesehen Breite reichlich $^1/_2$ der Länge; das Vorderende deutlich, das Hinterende weniger deutlich zugespitzt. Schwimmborsten der 2. Antenne sehr lang. Furcaläste annähernd gerade; Hinterrand glatt; Klauen fast gerade, die vordere $^1/_2$ so lang wie der Vorderrand; die vordere Borste kurz, die hintere entspringt etwa auf $^6/_7$ der Länge. — L. ♀ 1 mm, ♂?

Australien im Süßwasser.

Monoculus lenticularis L. 1758 *M. l.*, Linné, Syst. Nat., ed. 10 p. 635.

Unkenntliche Darstellung einer bekannten Art?

Finnland im Süßwasser.

Cypris lucida C. L. Koch 1838 *C. l.*, C. L. Koch, C. M. A., fasc. 21 nr. 18.

Unkenntliche Darstellung einer bekannten Art?

Erlangen.

Cypris lutea Risso 1816 *C. l.*, Risso, Hist. Crust. Nice, p. 165.

Nizza im Süßwasser.

Cypris maculata C. L. Koch 1837 *C. m.*, C. L. Koch, C. M. A., fasc. 10 nr. 2.

Unkenntliche Darstellung einer bekannten Art?

Regensburg.

Aglaja? meridionalis G. Brady 1880 *A.? m.*, G. S. Brady in: Rep. Voy. Challenger, Zool. *v.* 1 Part 3 p. 34 t. 30 f. 7 | ?1901 *A. m.*, Egger in: Abh. Bayer. Ak., *v.* 21 p. 418 t. 1 f. 37—39.

Falklandsinseln; Mauritius 411 m Tiefe?; 10° n. Br., 17° w. L., 677 m Tiefe?; 18° s. Br., 116° ö. L., 357 m Tiefe?

Argilloecia meridionalis G. Brady 1870 *A. m.*, G. S. Brady in: Folin & Périer, Fonds Mer, *v.* 1 p. 198 t. 27 f. 9, 10.

Magalhaensstraße.

Argilloecia messanensis Seg. 1884 & 85 *A. m.*, Seguenza in: Natural. Sizil., *v.* 3 p. 41; *v.* 4 t. 2 f. 4.

Hafen von Messina.

Cypris moniezi Guerne 1888 *C. m.*, Guerne in: Camp. scient. Hirondelle, *v.* 3 p. 48.

Azoren im Süßwasser.

Cypris novae-zealandiae W. Baird 1843 *C. n.-z.*, W. Baird in: Dieffenbach, Trav. N. Zealand, *v.* 2 p. 268 | 1879 *C. n.-z.*, G. M. Thomson in: Tr. N. Zealand Inst., *v.* 11 p. 252.

Neuseeland im Süßwasser.

Cypris ochracea Nic. 1849 *C. o.*, H. Nicolet in: Gay, Hist. Chile., *v.* 3 p. 294.

Chile im Süßwasser.

Paracypris ovalis G. Brady 1868 *P. o.*, G. S. Brady in: Folin & Périer, Fonds Mer, *v.* 1 p. 72 t. 10 f. 1, 2.

Nördlich von Java.

Cypris pellucens Ramdohr 1808 *C. p.*, Ramdohr in: Mag. Ges. Fr. Berlin, *v.* 2 p. 92 t. 3 f. 21.

Unkenntliche Darstellung einer bekannten Art? (Larve?)

Norddeutschland im Süßwasser.

Cypris pilosa Müll. 1776 *C. p.*, O. F. Müller, Zool. Dan. Prodr., p. 199 | 1785 *C. p.*, O. F. Müller, Entom., p. 59 t. 6 f. 5, 6 | 1788 *Monoculus pilosus*, J. F. Gmelin, Syst. Nat., *v.* 5 p. 3002.

Unkenntliche Darstellung einer bekannten Art?

Schweden; Ostpreußen; Kroatien im Süßwasser.

Cypris pullipes Meeker 1871 *C. p.*, J. W. Meeker in: Amer. J. Micr. Chicago, *v.* 1 p.? (fide 1898, Vávra in: Ergeb. Hamburg. Magalh.-Sammelr., *v.* 3 Ostr. p. 23).

Nordamerika.

Phlyctenophora(?) reniformis G. Brady 1890 *P.(?) r.*, G. S. Brady in: Tr. R. Soc. Edinb., *v.* 35 p. 491 t. 1 f. 9, 10.

Fidschiinseln; Samoainseln; marin.

Cypris sardoa A. Costa 1883 *C. s.*, A. Costa in: Atti Acc. Napoli, ser. 2 *v.* 1 nr. 2 p. 109.

Sardinien im Süßwasser.

Cypris scabra Hald. 1842 *C. s.*, S. S. Haldeman in: P. Ac. Philad., *v.* 1 p. 184.

Massachusetts (Cambridge).

Macrocypris setigera G. Brady 1880 *M. s.*, G. S. Brady in: Rep. Voy. Challenger, Zool. *v.* 1 Part 3 p. 43 t. 1 f. 1 | ?1901 *M. s.*, Egger in: Abh. Bayer. Ak., *v.* 21 p. 423 t. 1 f. 21, 22.

Australien (Port Jackson); Mauritius, 411 m Tiefe?; 18° s. Br., 116° ö. L., 357 m Tiefe?; Mittelmeer.

Pontocypris sicula G. Brady 1890 *P. s.*, G. S. Brady in: Tr. R. Soc. Edinb., *v.* 35 p. 492 t. 1 f. 7, 8.

Schale gestreckt, Höhe etwa $^1/_3$ der Länge, am höchsten etwas vor der Mitte; Dorsalrand gewölbt, bildet mit dem Vorderrande auf etwa $^1/_2$ der Höhe eine deutliche, wenig abgerundete Ecke, von der aus der Vorderrand stark nach hinten und ventralwärts abfällt, so daß er in flachem Bogen in den Ventralrand übergeht; nach hinten geht der Bogen des Dorsalrandes in eine flach abfallende, gerade Linie über, welche mit dem Ventralrande einen sehr spitzen Winkel mit scharfer Spitze bildet; Ventralrand gerade, nicht zur Spitze aufsteigend. — L. 0·9 mm.

Fidschiinseln, Elliceinseln (Funafuti) marin.

Cypris simplex Hald. 1841 *C. s.*, S. S. Haldeman in: P. Ac. Philad., *v.* 1 p. 53.

Pennsylvania (Lancaster county).

Cypris spinosa Risso 1816 *C. s.*, Risso, Hist. Crust. Nice, p. 165.

Nizza im Süßwasser.

Cypris stobarti R. L. King 1855 *C. s.*, R. L. King in: P. R. Soc. Van Diemensland, *v.* 3 p. 62 t. 9 B.

Ostaustralien im Süßwasser.

Cypris stygia Joseph 1882 *C. s.*, G. Joseph in: Berlin. ent. Z., *v.* 26 p. 4.

Höhlen von Krain im Süßwasser.

Cypris thermalis O. Costa 1847 *C. t.*, O. G. Costa, Fauna Reg. Napoli, Crostacei, Ostr. p. 8 t. 3 f. 1.

Ischia im Süßwasser.

Macrocypris trigona Seg. 1883 *M. t.*, Seguenza in: Natural. Sicil., *v.* 2 p. 225; *v.* 3 p. 77 | 1885 *M. t.*, Seguenza in: Natural. Sicil., *v.* 4 t. 2 f. 7.

Hafen von Messina.

Pontocypris tumida A. Scott 1905 *P. t.*, A. Scott in: Herdman, Rep. Ceylon Pearl. Fish., Suppl. Rep. 22 p. 371 t. 1 f. 30, 31.

Küste von Ceylon, marin.

Pontocypris variegata G. Brady 1869 *P. v.*, G. S. Brady in: Folin & Périer, Fonds Mer, *v.* 1 p. 138 t. 17 f. 1, 2.

Capverdische Inseln (St. Vincent), marin.

Phlyctenophora viridis G. Brady 1890 *P. v.*, G. S. Brady in: Tr. R. Soc. Edinb., *v.* 35 p. 490 t. 1 f. 1, 2.

Samoainseln; Fidschiinseln; Neucaledonia (Numea); marin.

Cypris vulgaris O. Costa (?) 1838 *C. v.*, O. G. Costa, Fauna Reg. Napoli, Crostacei Cat. p. 7 (nom. nud.).

Cypris vulturis O. Costa 1847 *C. v.*, O. G. Costa, Fauna Reg. Napoli, Crostacei, Ostr. p. 12 t. 3 f. 6.

Neapel im Süßwasser.

Paracypris sp., Egg. 1901 *P. polita* (non *P. p.* O. Sars 1865), Egger in: Abh. Bayer. Ak., *v.* 21 p. 418 t. 4 f. 52, 53.

10° n. Br., 17° w. L., 677 m Tiefe; 18° s. Br., 116° ö. L., 357 m Tiefe.

2. Fam. **Darwinulidae**

1. Antenne gedrungen, 6-gliedrig. 2. Antenne (Fig. 63) mit dorsalwärts gerichtetem Stamm; Exopodit rudimentär, Endopodit gedrungen, 3-gliedrig; das 1. Glied des Endopodit trägt ventral und proximal eine Gruppe von Sinnesborsten; im übrigen ist der Endopodit mit klauenartigen Borsten bewaffnet. 1. Glied des Mandibulartasters (Fig. 64) umfangreich, mit zahlreichen starken Borsten. 1. Thoraxbein mit nach vorn gerichtetem Kaufortsatz und kurzem, 3-gliedrigem Endopodit; der Stamm mit umfangreicher Atemplatte.

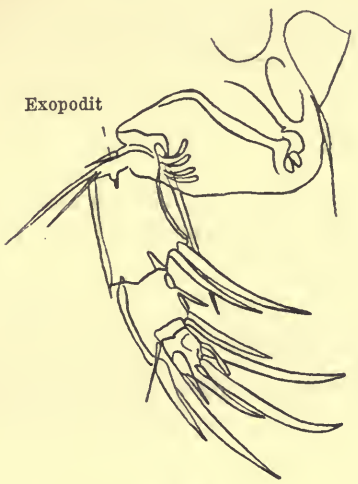

Fig. 63.
Darwinula aurea. 2. Antenne ($^{300}/_{1}$).

Fig. 64.
Darwinula aurea. Mandibel ($^{256}/_{1}$).

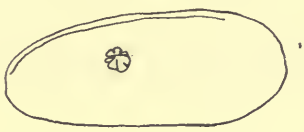

Fig. 65.
Darwinula aurea.
Linke Schale ($^{54}/_{1}$).

2. und 3. Thoraxbein gestreckte Schreitbeine, sehr ähnlich gestaltet, mit 4-gliedrigen Endopoditen; das 3. Thoraxbein nicht nach oben gebogen. Furca fehlt vollständig. Anatomie des ♂ unbekannt. Süßwasserbewohner.

1 Gattung.

1. Gen. **Darwinula** G. Brady & Norman

1870 *Argilloecia* (part.), G. S. Brady & D. Robertson in: Ann. nat. Hist., ser. 4 *v.* 6 p. 10 | 1870 *Polycheles* (non *P.* Heller 1862), G. S. Brady & D. Robertson in: Ann. nat. Hist., ser. 4 *v.* 6 p. 25 | 1872 *Darwinella* (non *D.* Fr. Müller 1865), G. S. Brady & D. Robertson in: Ann. nat. Hist., ser. 4 *v.* 9 p. 50 | 1889 *Darwinula*, G. S. Brady & A. M. Norman in: Tr. R. Dublin Soc., ser. 2 *v.* 4 p. 121 | 1900 *D.*, G. W. Müller in: Zool., *v.* (Heft) 30 p. 96.

Mit der Diagnose der Familie.

2 Arten.

Übersicht der Arten:

Am Mandibulartaster sind die längsten Borsten des Basalgliedes so lang wie die 2 letzten Glieder zusammen . . . . . 1. **D. aurea**

Am Mandibulartaster sind die längsten Borsten des Basalgliedes nicht länger als das subterminale Glied . . . . . 2. **D. setosa**

1. **D. aurea** (G. Brady & D. Roberts.) 1870 *Argilloecia(?) a.* + *Polycheles stevensoni*, G. S. Brady & D. Robertson in: Ann. nat. Hist., ser. 4 *v.* 6 p. 16 t. 8 f. 4, 5; p. 25 t. 7 f. 1—7; t. 10 f. 4—14 | 1872 *Darwinella s.*, G. S. Brady & D. Robertson in: Ann. nat. Hist., ser. 4 *v.* 9 p. 50 (Synonymie) | 1889 *Darwinula s.*, G. S. Brady & A. M. Norman in: Tr. R. Dublin Soc., ser. 2 *v.* 4 p. 122 t. 10 f. 7—13; t. 13 f. 1—9; t. 23 f. 5 | 1895 *D. improvisa*, Turner in: Rep. Surv. Minnesota, Zool. *v.* 2 p. 336 t. 81 f. 1—3, 13 | 1900 *D. stevensoni*, G. W. Müller in: Zool., *v.* (Heft) 30 p. 97 t. 12 f. 10—23.

Linke Schale des ♀: Höhe etwa $^2/_5$ der Länge, am höchsten auf $^3/_4$ der Länge. Der Dorsalrand steigt nach vorn in flachem Bogen ab; Vorderende schmal, Hinterende breit, fast halbkreisförmig gerundet; Ventralrand gerade. Vom Rücken gesehen schmal, Breite wenig über $^1/_3$ der Länge; Vorderende zugespitzt, Hinterende gerundet. Die längsten Borsten am 1. Gliede des Mandibulartasters so lang wie die beiden terminalen Glieder des Tasters. — L. 0·68—0·75 mm. — Fig. 63—65.

Europa, Nordamerika, Kleinasien.

2. **D. setosa** Daday 1902 *D. s.*, Daday in: Term. Füzetek, *v.* 25 p. 298 t. 65 f. 14—22.

Schale der von D. aurea ähnlich, von dieser Art dadurch unterschieden, daß die längsten Borsten des 1. Tastergliedes der Mandibel nur so lang sind wie das subterminale Glied. — L. 0·6 mm.

Patagonien.

3. Fam. **Nesideidae**

Schale durchweg derb; stets überragt die linke am Dorsalrande die rechte beträchtlich. Schloßrand ohne Zähne. 1. Antenne 7- (bisweilen

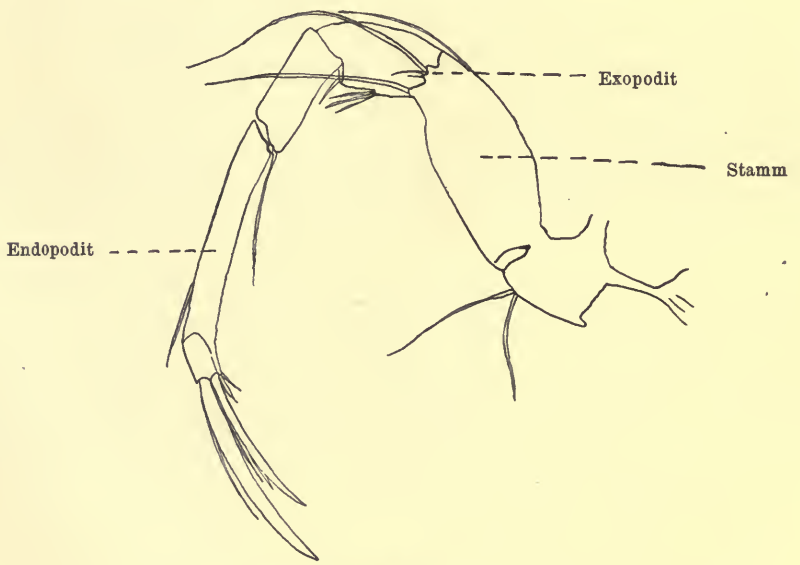

Fig. 66.
Nesidea frequens. 2. Antenne.

6-?) gliedrig durch Verschmelzung des 7. und 8. Gliedes, trägt an den 3 letzten Gliedern sehr lange, biegsame Borsten. Die 2. Antenne (Fig. 66)

hat an Stelle des Exopodit eine kleine Platte mit 3 Borsten oder Spitzen; Endopodit gestreckt, 4-gliedrig. Mandibel mit 4-gliedrigem Taster; Atemplatte mit 3 Strahlen. 1.—3. Thoraxbein (Fig. 67) ähnlich gestaltete Schreitbeine; Stamm ziemlich frei vom Körper abgegliedert, nach vorn gerichtet; Endopodit nach hinten gerichtet; sein letztes, sehr kleines Glied trägt eine umfangreiche

Fig. 67.
Nesidea raripila. 1. thoracale Gliedmaße ($^{160}/_{1}$).

Klaue, neben ihr 2 sehr kleine Börstchen; der Hinterrand des Stammes des 1. Thoraxbeines trägt eine meist umfangreiche Atemplatte, das 1. Glied seines Endopodit trägt terminal und ventral 2 Borsten. Furca verschieden gestaltet, mit wenigstens 3 Borsten, von denen wenigstens 1 lang und kräftig ist.

3 Gattungen.

Übersicht der Gattungen:

1 Hinterrand des Stammes des 2. und 3. Thoraxbeines kahl, ohne Borsten . . . . . 3. Gen. **Anchistrocheles**
1 Hinterrand des Stammes des 2. und 3. Thoraxbeines mit Doppelborste — **2.**

2 Furca mit höchstens 3 langen Borsten . . . . . 2. Gen. **Bythocypris**
2 Furca mit wenigstens 5 langen Borsten . . . . . 1. Gen. **Nesidea**

1. Gen. **Nesidea** O. G. Costa

1847(?) *Nesidea*, O. G. Costa in: Atti Acc. Pontan., *v.* 5 p. 183, 187 | 1849 *N.*, O. G. Costa, Fauna Reg. Napoli, Crostacei, Ostr. p. 1 | 1862 *Bairdia*, Mac Coy, Carbon. Foss. Ireland, p. 164 | 1866 *B.* (part.), G. O. Sars in: Forh. Selsk. Christian., 1865 p. 19 | 1867 *B.*, G. S. Brady in: Intell. Observ., *v.* 12 p. 119 | 1887 *B.*, G. O. Sars in: Arch. Naturv. Kristian., *v.* 12 p. 290 | 1894 *B.*, G. W. Müller in: F. Fl. Neapel, *v.* 21 p. 267.

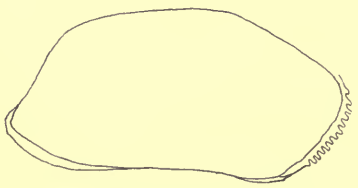

Fig. 68.
Nesidea reticulata. Rechte Schale.

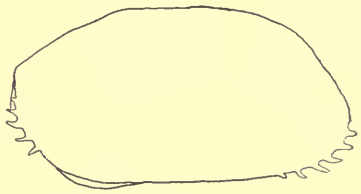

Fig. 69.
Nesidea reticulata. Linke Schale.

Die Schale (Fig. 68, 69) zeigt meist einen sehr charakteristischen Habitus. Der meist stark gewölbte Dorsalrand bildet mit dem Vorderrande

eine mehr oder weniger deutliche gerundete Ecke, die vordere Ecke, von der aus der Ventralrand in flachem Bogen nach hinten abfällt; am hinteren Ende findet sich eine meist deutliche Ecke oder Spitze; ein Hinterrand findet sich nicht oder nur sehr undeutlich abgegrenzt, vielmehr reicht der Dorsalrand ohne Andeutung einer Abgrenzung bis zur hinteren Ecke, ebenso der Ventralrand. Der linke Dorsalrand ist stets anders gestaltet als der rechte: der höchste Punkt liegt weiter nach vorn, er ist meist winklig gebogen und fällt nach hinten deutlich ab. Häufig wird der eigentliche Schalenrand von einer verkalkten Lamelle (Lippe) überragt; sie ist häufig gezähnelt und hat nichts mit dem Saume zu tun. 2. Antenne (Fig. 66, p. 240) schlank, besonders das 2. und 3. Glied des Endopodit. Atemplatte der Maxille mit einer Gruppe von wenigstens 5 (stets?) ungefiederten, nach hinten gerichteten Strahlen. 1.—3. Thoraxbein mit 4-gliedrigem Endopodit; das letzte Glied sehr klein, undeutlich von der Endklaue gesondert; der Hinterrand des Stammes des 1. Thoraxbeines trägt eine umfangreiche Atemplatte (Fig. 67, p. 241), von deren Strahlen einige am Ventralrande ungefiedert sind. Furca stabförmig, mit 7 in der distalen Hälfte des Hinterrandes dicht beieinander stehenden Borsten, von denen wenigstens 5 lang und kräftig sind. ♀ mit umfangreichem Genitalhöcker, an dessen vorderem Rande die Begattungsöffnung liegt; am hinteren Rand mündet zusammen mit dem Eileiter der Ausführungsgang des Receptaculum seminis, dessen Endteil erhärtet, spiral aufgewunden oder strickartig gedreht ist.

22 sichere, 23 unsichere Arten.

1. **N. reticulata** (G. W. Müll.) 1894 *Bairdia r.*, G. W. Müller in: F. Fl. Neapel, *v.* 21 p. 273 t. 13 f. 35; t. 15 f. 1, 2, 3, 4, 30, 37.

Linke Schale: Höhe $^1/_2$ der Länge; Dorsalrand im mittleren Drittel der Schalenlänge gerade und horizontal, stark im vorderen und stärker im hinteren Drittel abfallend, über der hinteren Ecke gerade; vordere und hintere Ecke abgerundet; Ventralrand gerade, im hinteren Drittel deutlich aufsteigend, hier mit etwa 6 starken Zähnen; Vorderrand mit etwa 4 starken Zähnen. Rechte Schale: Vorderrand und hintere Hälfte des Ventralrandes mit breiter, verkalkter Lippe, die am Vorderrande in etwa 12 stumpfe Zähne gespalten ist. Oberfläche glatt. Vom Rücken gesehen Breite $^1/_2$ der Länge, am breitesten etwa in der Mitte; die Seiten bilden in der Mitte flache Bogen und konvergieren an beiden Enden stark; beide Enden undeutlich zugespitzt, gezähnelt. — L. 0·9—0·96 mm. — Fig. 68, 69, p. 241.

Golf von Neapel.

2. **N. acanthigera** (G. Brady) 1867 *Bairdia a.*, G. S. Brady in: Intell. Observ., *v.* 12 p. 119 (descr. nulla) | 1868 *B. a.*, G. S. Brady in: Tr. Linn. Soc. London, *v.* 26 p. 390 t. 27 f. 18—21 | ?1880 *B. a.*, G. S. Brady in: Rep. Voy. Challenger, Zool. *v.* 1 Part 3 p. 61 t. 9 f. 4 | ?1901 *B. a.*, Egger in: Abh. Bayer. Ak., *v.* 21 p. 425 t. 2 f. 16.

Umriß der linken Schale ähnlich wie bei N. reticulata; Dorsalrand flach gewölbt; vordere und hintere Ecke unterdrückt; beide Enden gerundet, das hintere mit etwa 4 Zähnen; Rechte Schale? Vom Rücken ähnlich wie N. reticulata. — L. 0·77 mm.

Küste von England; Capverdische Inseln? 10° n. Br., 17° w. L., 677 m Tiefe? Kerguelen 104 m Tiefe? Fidschiinseln 3200 m Tiefe?

Cocosinsel (Indischer Ozean).

3. **N. angulata** (G. Brady) 1870 *Bairdia a.*, G. S. Brady in: Folin & Périer, Fonds Mer, *v.* 1 p. 199 t. 27 f. 11, 12 | 1880 *B. a.*, G. S. Brady in: Rep. Voy. Challenger, Zool. *v.* 1 Part 3 p. 59 t. 11 f. 5.

Linke Schale der von N. reticulata ähnlich, höher, Vorderende gerundet, Ventralrand in der Mundregion stark eckig vorgewölbt. Rechte Schale? Vom Rücken gesehen stark komprimiert, Breite etwa $^1/_3$ der Länge, Seiten fast gerade, parallel; beide Enden zugespitzt, in der Mitte winklig eingeschnitten. — L. 0·9 mm.

Magalhaensstraße; Azoren; Torresstraße, bis 820 m Tiefe.

4. **N. tuberculata** (G. Brady) ?1870 *Bairdia rhomboidea* (non *B. r.* Kirkby 1858), G. S. Brady in: Folin & Périer, Fonds Mer, *v.* 1 p. 162 t. 19 f. 14, 15 | 1880 *B. tuberculata*, G. S. Brady in: Rep. Voy. Challenger, Zool. *v.* 1 Part 3 p. 60 t. 10 f. 3.

Umriß der linken Schale ähnlich wie bei N. reticulata (nr. 1.); der Vorderrand unregelmäßig stumpf gezähnelt, die Zähnelung erstreckt sich dorsalwärts von der vorderen Ecke; ähnlich am Hinterende. Oberfläche dicht mit kleinen, rundlichen Warzen bedeckt. Vom Rücken gesehen bilden die Seiten Bogen, welche ziemlich gleichmäßig von einem Ende bis zum anderen verlaufen. — L. 0·77 mm.

Mauritius?; Admiralitätsinseln; Neucaledonia (Numea).

5. **N. raripila** (G. W. Müll.) 1894 *Bairdia r.*, G. W. Müller in: F. Fl. Neapel, *v.* 21 p. 274 t. 13 f. 37; t. 15 f. 5—7, 28.

Schalenumriß ähnlich wie bei N. reticulata (nr. 1); der Dorsalrand links im mittleren Drittel deutlich nach hinten abfallend, über der etwa rechtwinkligen hinteren Ecke deutlich eingebuchtet; Vorderrand und hinteres Ende des Ventralrandes bis zur hinteren Ecke mit zahlreichen Zähnen, ebenso rechts. Oberfläche mit flachen aber deutlichen Gruben. Vom Rücken gesehen ähnlich wie N. reticulata, aber die Seiten nahe beiden Enden stark bogig eingedrückt; beide Enden zweispitzig. — L. 0·66—0·7 mm. — Fig. 67, p. 241.

Golf von Neapel.

6. **N. numensis** (nom. nov.), G. W. Müll. 1890 *Bairdia ventricosa* (non *B. v.* Kirkby 1858), G. S. Brady in: Tr. R. Soc. Edinb., *v.* 35 p. 494 t. 4 f. 17, 18.

Schale der von N. reticulata ähnlich; vordere Ecke ganz unterdrückt, hintere deutlich; dorsalwärts von ihr der Schalenrand gerade; Vorderrand in seiner ventralen Hälfte fein gesägt, ebenso das hintere Ende. Oberfläche dicht mit kleinen, runden Gruben bedeckt. Vom Rücken gesehen ähnlich wie N. raripila. — L. 0·75 mm.

Neucaledonia (Numea), Indischer Ozean (Cocosinsel), Funafuti.

7. **N. fortificata** (G. Brady) 1880 *Bairdia f.*, G. S. Brady in: Rep. Voy. Challenger, Zool. *v.* 1 Part 3 p. 59 t. 11 f. 4.

Linke Schale: Höhe etwas größer als $^1/_2$ der Länge, am höchsten in der Mitte; Dorsalrand gewölbt, verläuft als annähernd gleichmäßiger Bogen bis zur vorderen und hinteren Ecke, in deren Nachbarschaft er eingedrückt ist, hinten deutlicher als vorn; vordere Ecke undeutlich, hintere deutlich, sie liegt über $^1/_2$ der Höhe; Ventralrand gerade, ganz nahe dem Hinterende steil zur hinteren Ecke aufsteigend. Beide Enden mit 9 oder 10 stumpfen Zähnen. Oberfläche dicht mit kleinen, runden Gruben bedeckt. — L. 1·1 mm.

Torresstraße.

8. **N. formosa** (G. Brady) 1868 *Bairdia f.*, G. S. Brady in: Ann. nat. Hist., ser. 4 *v.* 2 p. 221 t. 14 f. 5—7 | (non 1880 *B. f.*, G. S. Brady in: Rep. Voy. Challenger, Zool. *v.* 1 Part 3 p. 52 t. 10 f. 1) | 1894 *B. serrata*, G. W. Müller in: F. Fl. Neapel, *v.* 21 p. 273 t. 13 f. 41; t. 14 f. 13—15, 25; t. 15 f. 23.

Linke Schale: Höhe $^5/_8$ der Länge, am höchsten in der Mitte; der Dorsalrand bildet einen starken Bogen, der fast gleichmäßig von der vorderen bis zur hinteren Ecke verläuft; vordere Ecke ziemlich deutlich, liegt über $^1/_2$ der Höhe; hintere Ecke deutlich, liegt etwa auf $^1/_3$ der Höhe; Vorderrand mit etwa 6 schlanken, divergierenden Zähnen; Ventralrand fast gerade, im hinteren Drittel grob gezähnelt; die Zähne nehmen nach hinten an Größe zu. Rechte Schale, abgesehen von der Bildung des Dorsalrandes, der linken ähnlich, auch in der Zähnelung des Randes. Oberfläche dicht mit kleinen Gruben bedeckt, nicht pigmentiert. — L. 1·04—1·15 mm.

Mittelmeer.

9. **N. nodulifera** (G. Brady) 1890 *Bairdia n.*, G. S. Brady in: Tr. R. Soc. Edinb., *v.* 35 p. 495 t. 1 f. 13—16.

Schale im Profil der von N. formosa ähnlich, etwas niedriger; Dorsalrand nahe der hinteren Ecke deutlich eingedrückt; Vorderrand in seiner ventralen Hälfte ebenso wie der aufsteigende Teil des Ventralrandes fein gesägt. Oberfläche dicht mit kleinen Gruben bedeckt. Vom Rücken gesehen Breite annähernd $^1/_2$ der Länge, am breitesten in der Mitte, die Seiten bilden flache Bogen, welche nahe dem Vorderende unregelmäßig wellig verlaufen, nahe dem Hinterende deutlich winklig eingedrückt sind; durch dieses Merkmal von allen anderen Arten unterschieden (soweit die Rückenansicht bekannt). — L. 0·8 mm.

Fidschiinseln (Levuka).

10. **N. obscura** (G. W. Müll.) 1884 *Bairdia o.*, G. W. Müller in: F. Fl. Neapel, *v.* 21 p. 269 t. 13 f. 33; t. 14 f. **5**, 28, 29.

Linke Schale: Höhe annähernd $^2/_3$ der Länge, am höchsten wenig vor der Mitte; Dorsalrand in der Mitte stark gewölbt, nach beiden Enden fast geradlinig stark bis zur vorderen und hinteren Ecke abfallend, nahe der hinteren Ecke undeutlich winklig gebogen; vordere Ecke stark gerundet; Vorderrand stark zurücktretend; hintere Ecke deutlich stumpfwinklig; Ventralrand gerade oder konvex, im hinteren Drittel zur hinteren Ecke aufsteigend, hier grob gesägt; Vorderrand glatt, in der Mundgegend von einer verkalkten Lippe überragt. Rechte Schale niedriger, nahe beiden Enden flach gebuchtet; Zähnelung wie links. Aufsatz des Penis kurz mit gerundeter Basis, mit einem distalen breiten, kurzen, stumpf gerundeten und einem proximalen, schlankeren Fortsatze. Am Genitalhöcker des ♀ ist der distale Ast des erhärteten Endstückes deutlich dünner als der proximale; beide sind strickartig umeinander gewunden. — L. 1·1—1·2 mm.

Golf von Neapel.

11. **N. decipiens** (G. W. Müll.) 1894 *Bairdia d.*, G. W. Müller in: F. Fl. Neapel, *v.* 21 p. 269 t. 13 f. 29; t. 14 f. **10**, 21, 22.

Schale der von N. obscura ähnlich. Am Aufsatz des Penis der distale Fortsatz kurz und ebenso schlank wie der längere proximale. Am Genitalhöcker des ♀ ist der distale und proximale Abschnitt ungefähr gleich stark. — L. 1·18—1·25 mm.

Golf von Neapel.

12. **N. frequens** (G. W. Müll.) 1894 *Bairdia f.*, G. W. Müller in: F. Fl. Neapel, *v.* 21 p. 270 t. 13 f. 36; t. 14 f. **4**, 23.

Schale der von N. obscura ähnlich, etwas höher. Am Aufsatz des Penis beide Fortsätze ungefähr gleich groß (der distale wenig größer) und

beide kurz; der distale mißt nur etwa $^1/_3$ der Gesamtlänge des Aufsatzes. Genitalhöcker des ♀ ähnlich wie bei N. obscura. — L. 1·1—1·3 mm. — (Fig. 66, p. 240).

Golf von Neapel.

13. **N. subdeltoidea** (Münst.[?] O. Sars) ?1830 *Cythere s.*, Münster in: N. Jahrb. Min., *v.* 1 p. 64 | ?1851 *Bairdia s.*, Bosquet in: Mém. cour. Ac. Belgique, *v.* 24 [nr. 3] p. 29 t. 1 f. 13 | ?1857 *B. s.*, A. White, Hist. Brit. Crust., p. 293 | ?1866 *B. s.*, G. S. Brady in: Tr. zool. Soc. London, *v.* 5 p. 364 t. 57 f. 8 | 1887 *B. s.*, G. O. Sars in: Arch. Naturv. Kristian., *v.* 12 p. 292 t. 15 f. **3**, **4**; t. 17, 18 | ?1901 *B. s.*, Egger in: Abh. Bayer. Ak., *v.* 21 p. 428 t. 2 f. 20, 21.

Schale der von N. obscura ähnlich. Aufsatz des Penis mit zwei ungefähr gleich langen, basalwärts gebogenen Fortsätzen von ungefähr der halben Gesamtlänge des Aufsatzes. — L. ♀ 1·23, ♂ 1·09 mm.

Mittelmeer; Kerguelen 104 m Tiefe?; Australien?; Haiti?; Westindien?

14. **N. mediterranea** (G. W. Müll.) 1894 *Bairdia m.*, G. W. Müller in: F. Fl. Neapel, *v.* 21 p. 270 t. 13 f. 27; t. 14 f. **1**, **2**, 26.

Schale der von N. obscura ähnlich, auch der Genitalhöcker des ♀. Am Aufsatz des Penis der distale Fortsatz schlank, gebogen, der proximale sehr umfangreich, an der Spitze hakig gebogen, länger als $^1/_2$ der Gesamtlänge des Aufsatzes. — L. 1·04—1·15 mm.

Golf von Neapel.

15. **N. villosa** (G. Brady) 1880 *Bairdia v.*, G. S. Brady in: Rep. Voy. Challenger, Zool. *v.* 1 Part 3 p. 50 t. 3 f. 3; t. 5 f. 2; t. 8 f. 4 | (non 1901 *B. v.*, Egger in: Abh. Bayer. Ak., *v.* 21 p. 429 t. 2 f. 25—27) | 1908 *Nesidea v.*, G. W. Müller in: D. Südp.-Exp., *v.* 10 p. 100 (Synonymie).

Linke Schale ähnlich wie bei N. obscura, hintere Ecke abgerundet, Ventralrand nicht gezähnelt, dicht mit dicken, braunen Haaren bedeckt. Furca mit 7 Borsten, von denen die 2. sehr stark und lang, sie trägt nahe dem Ende an der konvexen Seite eine einzelne Seitenborste, an der konkaven deren eine Reihe. — L. 1·4 mm.

Tristan d'Acunha 182—244 m Tiefe; Kerguelen bis 218 m Tiefe; Baßstraße; südlicher Indischer Ozean (Prince Edwards-Insel); Ceylon.

16. **N. labiata** G. W. Müll. 1908 *N. l.*, G. W. Müller in: D. Südp.-Exp., *v.* 10 p. 99 t. 14 f. 1—6.

Linke Schale: Höhe annähernd $^2/_3$ der Länge, am höchsten etwa in der Mitte, Dorsalrand in der Mitte deutlich gewölbt, vorn und hinten fast gerade und ziemlich steil abfallend, gegen Vorder- und Hinterrand nicht winklig abgegrenzt, beide Enden gerundet; Vorder- und Hinterrand mit schmaler, verkalkter Lippe, die des Vorderrandes ganzrandig, die des Hinterrandes gezähnelt. Rechts Höhe etwa $^3/_5$ der Länge, am höchsten vor der Mitte, Dorsalrand winklig gebogen, Lippe sehr breit, vorn glattrandig, hinten gesägt. Beide Schalen undurchsichtig, nicht pigmentiert, mit langen, dunkelbraunen Haaren mäßig dicht besetzt. Furca mit 6 Borsten, von denen 3 terminal, 3 am Hinterrande entspringen; von den 3 terminalen ist die mittlere etwa noch einmal so lang wie die beiden benachbarten. — L. ♀ 1·8 mm, ♂ etwas kleiner.

Antarktis, Gaußstation, in 385 m Tiefe.

17. **N. minor** (G. W. Müll.) 1894 *Bairdia m.*, G. W. Müller in: F. Fl. Neapel, *v.* 21 p. 271 t. 13 f. 34; t. 14 f. **3**, 19.

Schale der von N. obscura ähnlich. Aufsatz des Penis nicht geteilt, zugespitzt. Erhärtetes Endstück des Ausführungsganges im Genitalhöcker des ♀ ähnlich wie bei N. obscura; beide Schenkel bilden nahe der Mündung eine sehr weite Schlinge. L. 1·0—1·1 mm.

Golf von Neapel.

18. **N. longevaginata** (G. W. Müll.) 1894 *Bairdia l.*, G. W. Müller in: F. Fl. Neapel, *v.* 21 p. 271 t. 13 f. 30, 31; t. 14 f. **6**, **7**, 27.

Linke Schale ähnlich wie die von N. obscura, etwas gestreckter; Dorsalrand über der hinteren Ecke deutlich ausgebuchtet, schwach S-förmig gebogen. Von N. obscura und ähnlichen Arten dadurch unterschieden, daß der Vorderrand beiderseits von einer schmalen, verkalkten Lippe überragt wird, die links zum Teil in spitze, dorsalwärts gerichtete Zähne aufgelöst ist; Zähnelung des Ventralrandes ähnlich wie bei N. obscura. — L. 1·20—1·30 mm.

Golf von Neapel.

19. **N. corpulenta** (G. W. Müll.) 1894 *Bairdia c.*, G. W. Müller in: F. Fl. Neapel, *v.* 21 p. 272 t. 13 f. 39, 40; t. 14 f. **8**, **9**, **11**, 24; t. 15 f. 24.

Umriß der linken Schale ähnlich wie bei N. longevaginata, etwas höher, Höhe deutlich größer als $^1/_2$ der Länge; vordere Ecke deutlich; Vorderrand in seinen dorsalen 2 Dritteln stark gezähnelt, ebenso der aufsteigende Teil des Ventralrandes. Rechte Schale an entsprechender Stelle mit breiter, verkalkter Lippe, deren Rand glatt oder schwach gezähnelt ist. Oberfläche mit zahlreichen kleinen, runden, nicht scharf begrenzten Gruben bedeckt. Vom Rücken gesehen Breite größer als $^1/_2$ der Länge; Seiten in der Mitte stark gewölbt; im vorderen und hinteren Drittel konvergieren sie fast geradlinig zu den zugespitzten, etwas eingeschnittenen Enden. — L. 0·91—0·94 mm.

Golf von Neapel.

20. **N. crosskeyana** (G. Brady) 1866 *Bairdia c.*, G. S. Brady in: Tr. zool. Soc. London, *v.* 5 p. 366 t. 57 f. 10 | ?1880 *B. c.*, G. S. Brady in: Rep. Voy. Challenger, Zool. *v.* 1 Part 3 p. 58 t. 9 f. 3 | ?1889 *B. crosskeiana*, G. S. Brady & A. M. Norman in: Tr. R. Dublin Soc., ser. 2 *v.* 4 p. 115 t. 17 f. 3, 4 | (non 1901 *B. crosskeyana*, Egger in: Abh. Bayer. Ak., *v.* 21 p. 426 t. 2 f. 22—24).

Linke Schale: Höhe größer als $^1/_2$ der Länge, am höchsten vor der Mitte; Dorsalrand stark gewölbt, nahe dem Hinterende deutlich ausgebuchtet; vordere Ecke stark abgerundet; hintere sehr deutlich, liegt etwa auf $^1/_3$ der Höhe; Vorderrand mit einzelnen kurzen Warzen oder Spitzen; Ventralrand konvex, in seinem hinteren aufsteigenden Drittel mit einer schuppigen, unregelmäßig gezähnelten Lippe. Rechte Schale am Vorderrande gezähnelt; Ventralrand? Oberfläche glatt. Vom Rücken gesehen Breite $^1/_2$ der Länge, am breitesten deutlich vor der Mitte auf $^2/_5$ der Länge; die Seiten bilden hier starke Bogen, konvergieren im übrigen fast geradlinig zu den zugespitzten Enden. — L. 1 mm.

Mittelmeer; Golf von Biscaya?; Südseeinseln?; Cocosinsel.

21. **N. globulus** (G. Brady) 1880 *Bairdia g.*, G. S. Brady in: Rep. Voy. Challenger, Zool. *v.* 1 Part 3 p. 54 t. 9 f. 1.

Linke Schale sehr hoch, Höhe etwa $^5/_7$ der Länge, am höchsten etwa in der Mitte; Dorsalrand stark gewölbt, über der hinteren Ecke gerade; vordere Ecke ganz unterdrückt, hintere Ecke sehr deutlich, bildet einen

stumpfen Winkel mit wenig abgerundeter Spitze; Vorderrand dicht mit kleinen Zähnen besetzt; Ventralrand stark konvex, nicht gezähnelt. Oberfläche mit kleinen, undeutlichen, zerstreut stehenden Gruben, im übrigen glatt. Vom Rücken gesehen sehr breit, Breite $^2/_3$ der Länge; die Seiten bilden starke Bogen, welche ziemlich gleichmäßig von einem Ende zum anderen verlaufen. — L. 1·3 mm.

Bismarckarchipel, Admiralitätsinseln.

22. **N. subcircinata** (G. Brady & Norm.) 1880 *Bairdia formosa* (non *B. f.* G. S. Brady 1868), G. S. Brady in: Rep. Voy. Challenger, Zool. *v.* 1 Part 3 p. 52 t. 10 f. 1 a—c | 1889 *B. subcircinata*, G. S. Brady & A. M. Norman in: Tr. R. Dublin Soc., ser. 2 *v.* 4 p. 113.

Linke Schale: Höhe $^3/_4$ der Länge; Dorsalrand stark gewölbt, über der hinteren Ecke gerade oder schwach konkav; vordere Ecke ganz unterdrückt, hintere stark abgerundet; Vorderrand mit 4 stumpfen Zähnen, die aber nur von der medialen Seite sichtbar sind; Ventralrand gerade, nur im letzten Viertel deutlich aufsteigend, hier mit etwa 4 Zähnen. Rechte Schale mit dicht gezähneltem Vorderrande. Oberfläche mit zahlreichen kleinen, warzenartigen Erhebungen. — L. 1·55 mm.

Atlantischer Ozean zwischen 56° n. Br. und 9° s. Br., 1270—2200 m Tiefe; Ceylon.

N. amygdaloides (G. Brady) 1866 *Bairdia a.*, G. S. Brady in: Tr. zool. Soc. London, *v.* 5 p. 364 t. 57 f. 6 | ?1870 *B. dewattrei*, G. S. Brady in: Folin & Périer, Fonds Mer, *v.* 1 p. 199 t. 27 f. 17, 18 | ?1880 *B. amygdaloides*, G. S. Brady in: Rep. Voy. Challenger, Zool. *v.* 1 Part 3 p. 54 t. 9 f. 5; t. 10 f. 2.

Australien; Neuguinea?; Admiralitätsinseln; Magalhaensstraße?; Cuba; Vera Cruz; Honolulu?; Cocosinsel; Fidschiinseln; Neucaledonien; Island; südliches Norwegen.

N. elegans (G. Brady) 1869 *Bairdia e.*, G. S. Brady in: Folin & Périer, Fonds Mer, *v.* 1 p. 156 t. 16 f. 11, 12.

Hongkong.

N. expansa (G. Brady) 1880 *Bairdia e.*, G. S. Brady in: Rep. Voy. Challenger, Zool. *v.* 1 Part 3 p. 58 t. 11 f. 2.

Honolulu 91 m Tiefe; Fidschiinseln; Samoainseln; Neucaledonia; Messina.

N. folini (G. Brady) 1886 *Bairdia f.*, G. S. Brady in: Folin & Périer, Fonds Mer, *v.* 4 p. 195 t. 14 f. 4, 5 | 1889 *B. f.*, G. S. Brady & A. M. Norman in: Tr. R. Dublin Soc., ser. 2 *v.* 4 p. 242.

Atlantischer Ozean?, 1918 m Tiefe.

N. fusca (G. Brady) 1866 *Bairdia f.*, G. S. Brady in: Tr. zool. Soc. London, *v.* 5 p. 364 t. 57 f. 9 | ?1880 *B. f.*, G. S. Brady in: Rep. Voy. Challenger, Zool. *v.* 1 Part 3 p. 49 t. 7 f. 2 | (non 1901 *B. f.*, Egger in: Abh. Bayer. Ak., *v.* 21 p. 427 t. 7 f. 46).

Australien; Magalhaensstraße; 56° 11′ n. Br., 37° 41′ w. L.

N. hirsuta (G. Brady) 1880 *Bairdia h.*, G. S. Brady in: Rep. Voy. Challenger, Zool. *v.* 1 Part 3 p. 50 t. 8 f. 3.

38° s. Br., 88° w. L., 3340 m Tiefe; 33° s. Br., 78° w. L., 2500 m Tiefe; Neucaledonia (Numea); Arabisches Meer; Canarische Inseln; Küste von Marocco; Funafuti; Ceylon; Küste von Irland.

N. hirta O. G. Costa 1847(?) *N. h.*, O. G. Costa in: Atti Acc. Pontan., *v.* 5 p. 183 t. 4 | 1849 *N. h.*, O. G. Costa in: Fauna Reg. Napoli, Crostacei, Ostr. p. 1 t. 2.

Golf von Neapel.

N. inornata (A. Scott) 1905 *Bairdia i.*, A. Scott in: Herdman, Rep. Ceylon Pearl Fish., Suppl. Rep. 22 p. 372 t. 1 f. 11, 12.

Ceylon.

N. longisetosa (G. Brady) 1902 *Bairdia l.*, G. S. Brady in: Tr. zool. Soc. London, *v.* 16 p. 197 t. 25 f. 8, 9.

Westindien (St. Thomas).

N. messanensis (Seg.) 1884 & 85 *Bairdia m.*, Seguenza in: Natural. Sicil., *v.* 3 p. 126; *v.* 4 t. 2 f. 9.

Sizilien.

N. milne-edwardsi (G. Brady) 1869 *Bairdia m.-e.*, G. S. Brady in: Folin & Périer, Fonds Mer, *v.* 1 p. 139 t. 17 f. 3, 4 | ?1880 *B. m.-e.* (part.?), G. S. Brady in: Rep. Voy. Challenger, Zool. *v.* 1 Part 3 p. 56 t. 10 f. 4.

Capverdische Inseln (St. Vincent); Neucaledonien; Fidschiinseln; Samoainseln; Island; südliches Norwegen; Indischer Ozean (Cocosinsel); Funafuti.

N. obliquata (O. Sars) 1862 *Cythere (Bairdia) inflata* (non *C. i.* Mac Coy 1862), A. M. Norman in: Ann. nat. Hist., ser. 3 *v.* 9 p. 49 t. 3 f. 6—8 | 1866 *B. obliquata*, G. O. Sars in: Forh. Selsk. Christian., 1865 p. 24 | ?1868 *B. inflata* (part.?), G. S. Brady in: Tr. Linn. Soc. London, *v.* 26 p. 388 t. 27 f. 9—17; t. 28 f. 5.

Golf von Biscaya; Küste von England und Skandinavien.

N. ovata (Bosquet) ?1853 *Cytheridea o.*, Bosquet in: Mém. Carte géol. Néerlande, *v.* 2 p. 73 t. 5 f. 6 a—d | 1865 *Bairdia o.*, G. S. Brady in: Tr. zool. Soc. London, *v.* 5 p. 364 t. 57 f. 7 | 1880 *B. o.*, G. S. Brady in: Rep. Voy. Challenger, Zool. *v.* 1 Part 3 p. 53 t. 7 f. 3.

Abrothos; Südafrika (Simonsbay), 36 m Tiefe; 39° s. Br., 171° ö. L., 273 m Tiefe.

N. robusta (A. Scott) 1905 *Bairdia r.*, A. Scott in: Herdman, Rep. Ceylon Pearl Fish., Suppl. Rep. 22 p. 373 t. 1 f. 13, 14.

Ceylon.

N. simplex (G. Brady) 1880 *Bairdia s.*, G. S. Brady in: Rep. Voy. Challenger, Zool. *v.* 1 Part 3 p. 51 t. 7 f. 1.

Heardinsel (südöstlich der Kerguelen), 118 m Tiefe; Fidschiinseln; Funafuti.

N. tenera (G. Brady) 1886 *Bairdia t.*, G. S. Brady in: J. Linn. Soc. London, *v.* 19 p. 304 t. 39 f. 13—15 | ?1890 *B. t.*, G. S. Brady in: Tr. R. Soc. Edinb., *v.* 35 p. 493 t. 1 f. 11, 12.

Ceylon; Samoainseln?; Indischer Ozean (Cocosinsel); Funafuti.

N. victrix (G. Brady) 1869 *Bairdia v.*, G. S. Brady in: Folin & Périer, Fonds Mer, *v.* 1 p. 152 t. 18 f. 17, 18 | ?1880 *B. v.*, G. S. Brady in: Rep. Voy. Challenger, Zool. *v.* 1 Part 3 p. 56 t. 10 f. 5.

Karibisches Meer (Colon); Westindien; Küste von Nordbrasilien?; Azoren?; Westküste von Nordafrika; Tristan d'Acunha?; Kerguelen?; Australien?

N. woodwardiana (G. Brady) 1880 *Bairdia w.*, G. S. Brady in: Rep. Voy. Challenger, Zool. *v.* 1 Part 3 p. 57 t. 11 f. 1 | ?1886 *B. wordwiana*, O. & E. Terquem in: Bull. Soc. zool. France, *v.* 11 p. 339 (descr. nulla).

Tongatabu, 33 m Tiefe; Funafuti; Fidschiinseln; Indischer Ozean (Cocosinsel); Island?; südliches Norwegen?; Ceylon.

N. sp. 1886 *Bairdia affinis* (non *B. a.* Terquem 1885), G. S. Brady in: Folin & Périer. Fonds Mer, *v.* 4 p. 195 t. 14 f. 6, 7 | 1889 *B. a.*, G. S. Brady & A. M. Norman in: Tr. R. Dublin Soc., ser. 2 *v.* 4 p. 242.

Verbreitung? Atlantischer Ozean?

N. sp. 1880 *Bairdia attenuata* (non *B. a.* Reuss 1846), G. S. Brady in: Rep. Voy. Challenger, Zool. *v.* 1 Part 3 p. 59 t. 11 f. 3 | ?1901 *B. a.*, Egger in: Abh. Bayer. Ak., *v.* 21 p. 425 t. 2 f. 9—12.

Torresstraße; Honolulu; Arabisches Meer; 10° n. Br., 17° w. L., 677 m Tiefe?; Indischer Ozean.

N. sp. 1901 *Bairdia crosskeyana* (non *B. c.* G. Brady 1866), Egger in: Abh. Bayer. Ak., *v.* 21 p. 426 t. 2 f. 22—24.

Mauritius, 137 m Tiefe.

N. sp. 1868 *Bairdia foveolata* (non *B. f.* Bosquet 1850), G. S. Brady in: Folin & Périer, Fonds Mer, *v.* 1 p. 56 t. 7 f. 4—6 | ?1880 *B. f.* (part.?), G. S. Brady in: Rep. Voy. Challenger, Zool. *v.* 1 Part 3 p. 55 t. 8 f. 1.

Mauritius; Arabisches Meer; nördlich von Java; Australien?; Hongkong?; Südseeinseln; Bermudas?; Capverdische Inseln (St. Vincent)?; südliches Norwegen; Island; Funafuti.

N. sp. 1901 *Bairdia foveolata* (non *B. f.* G. Brady 1868), Egger in: Abh. Bayer. Ak., *v.* 21 p. 426 t. 2 f. 1—4.

Amboina 54 m Tiefe; Mauritius 411 m Tiefe; 6° n. Br., 11° w. L., 68 m Tiefe; Ceylon.

2. Gen. **Bythocypris** G. Brady

1866 *Bairdia* (s. l.), G. S. Brady in: Tr. zool. Soc. London, *v.* 5 p. 363 | 1880 *Bythocypris*, G. S. Brady in: Rep. Voy. Challenger, Zool. *v.* 1 Part 3 p. 45 | 1887 *B.*, G. O. Sars in: Arch. Naturv. Kristian., *v.* 12 p. 290 | 1894 *B.*, G. W. Müller in: F. Fl. Neapel, *v.* 21 p. 275.

Dorsalrand der Schale gewölbt; die Ecke zwischen Dorsalrand und Vorderrand weniger deutlich als bei Nesidea oder ganz unterdrückt. 2. Antenne gedrungener, besonders das 2. und 3. Glied; Maxille, Thoraxbeine ähnlich wie bei Nesidea. Furca mit einer terminalen und einer subterminalen, dem hinteren Rande angehörenden, umfangreichen Borste; in größerer Entfernung von dieser findet sich am Hinterrande eine deutliche, bisweilen sehr umfangreiche Borste; proximal von dieser können noch einige sehr kleine Borsten stehen. Genitalhöcker ohne erhärtetes Endstück (stets?).

3 sichere, 1 unsichere Art.

1. **B. bosquetiana** (G. Brady) 1866 *Bairdia b.* (juv.), G. S. Brady in: Tr. zool. Soc. London, *v.* 5 p. 364 t. 57 f. 5 | 1889 *Bythocypris b.*, G. S. Brady & A. M. Norman in: Tr. R. Dublin Soc., ser. 2 *v.* 4 p. 120 t. 14 f. 34, 35 | 1894 *B. b.*, G. W. Müller in: F. Fl. Neapel, *v.* 21 p. 275 t. 13 f. 38; t. 14 f. **16, 17**, 18, 20, 31; t. 15 f. 13—17, 26, 27, 34.

Linke Schale: Höhe etwas größer als $^1/_2$ der Länge; Dorsalrand flach gewölbt, gegen Vorder- und Hinterrand nicht abgegrenzt; beide Enden gerundet, das hintere schmaler; Ventralrand deutlich eingebuchtet. Oberfläche glatt. Hinterrandborste der Furca länger als die subterminale Borste; proximal von ihr 4 kleine Börstchen. — L. ♀ 1·08—1·12 mm; ♂ unbekannt.

Atlantischer Ozean; Westindien; Mittelmeer; Baßstraße; bis 1270 m Tiefe.

2. **B. complanata** (G. Brady)

Diese Art zerfällt in 2 Unterarten:

2a. **B. complanata complanata** (G. Brady) 1867 *Bairdia c.*, G. S. Brady in: A. M. Norman in: Rep. Brit. Ass., Meet 36 p. 198 (nom. nud.) | 1868 *B. c.*, G. S. Brady in:

Tr. Linn. Soc. London, *v.* 26 p. 390 t. 34 f. 1—4 | 1887 *Bythocypris c.*, G. O. Sars in: Arch. Naturv. Kristian., *v.* 12 p. 289 (Synonymie) | 1889 *Bairdia c.*, G. S. Brady & A. M. Norman in: Tr. R. Dublin Soc., ser. 2 *v.* 4 p. 116 t. 13 f. 20—26.

Schale der von B. bosquetiana ähnlich, gestreckter, Höhe kleiner als $^1/_2$ der Länge, Ventralrand flach ausgebuchtet. Furca ebenfalls ähnlich; proximal von der Hinterrandborste entspringen nur 2 kleine Börstchen. — L. 1·3 mm.

Küste von Norwegen; England; Shetlandinseln; Hafen v. Messina.

2b. **B. complanata sinuata** (Seg.) 1880 *Bairdia c. var. s.*, Seguenza in: Atti Acc. Lincei Mem., ser. 3 *v.* 6 p. 191, 288 | 1883 *B. c. var. s.*, Seguenza in: Natural. Sicil., *v.* 2 p. 259.

Von der typischen Form dadurch unterschieden, daß der Ventralrand stärker ausgebuchtet, der Vorderrand breiter gerundet und die Schale stärker komprimiert ist.

Sizilien.

3. **B. reniformis** G. Brady 1880 *B. r.*, G. S. Brady in: Rep. Voy. Challenger, Zool., *v.* 1 Part 3 p. 46 t. 5 f. 1 | ?1901 *B. r.*, Egger in: Abh. Bayer. Ak., *v.* 21 p. 425 t. 1 f. 40, 41.

Schale der von B. bosquetiana ähnlich; Höhe deutlich größer als $^1/_2$ der Länge, Dorsalrand stark gewölbt. Furca S-förmig gebogen, die Hinterrandborste kleiner als die subterminale; proximal von ihr kleine Börstchen. — L. 1·3 mm.

Westindien (Culebrainsel); Küste von Nordbrasilien; Bismarckarchipel (Admiralitätsinseln); Baßstraße; zwischen 73 und 735 m Tiefe; Kerguelen?

B. obtusata (O. Sars) 1866 *Bairdia o.*, G. O. Sars in: Forh. Selsk. Christian., 1865 p. 24 | 1868 *B. o.*, G. S. Brady in: Tr. Linn. Soc. London, *v.* 26 p. 390 t. 34 f. 22—25 | 1887 *Bythocypris o.*, G. O. Sars in: Arch. Naturv. Kristian., *v.* 12 p. 289 (Synonymie) | ?1901 *B. o.*, Egger in: Abh. Bayer. Ak., *v.* 21 p. 427 t. 2 f. 5.

Küste von Norwegen und Irland; Kerguelen 1485 m Tiefe?

3. Gen. **Anchistrocheles** G. Brady & Norman

1889 *Anchistrocheles*, G. S. Brady & A. M. Norman in: Tr. R. Dublin Soc., ser. 2 *v.* 4 p. 110 | 1890 *A.*, G. S. Brady in: Tr. R. Soc. Edinb., *v.* 35 p. 496 | 1908 *A.*, G. W. Müller in: D. Südp.-Exp., *v.* 10 p. 100.

Schale von ähnlichem Habitus wie bei Nesidea. Kauteil und Taster der Mandibel viel schlanker als bei Nesidea und Bythocypris, ebenso der Kauteil der Maxille. An der Atemplatte des 1. Thoraxbeines sind die 4 borstenartigen Strahlen des Ventralrandes dicht zusammengedrängt. Hinterrand des Stammes des 2. (und 3.?) Thoraxbeines ohne Borsten. Furca mit nur 3 oder 4 Borsten.

2 Arten

Übersicht der Arten:

Linke Schale am Hinterende in eine Spitze ausgezogen . . . . . 2. **A. aculeata**
Linke Schale ohne Spitze am Hinterende . . . . . 1. **A. fumata**

1. **A. fumata** G. Brady 1890 *A. f.*, G. S. Brady in: Tr. R. Soc. Edinb., *v.* 35 p. 497 t. 3 f. 13, 14.

Linke Schale: Höhe annähernd $^1/_2$ der Länge, am höchsten etwas hinter der Mitte; Dorsalrand flach gewölbt; Vorderrand ebenfalls flach gewölbt, zurücktretend, bildet mit dem Dorsalrande eine stark abgerundete Ecke; Hinterrand schmal gerundet; Ventralrand tief eingebuchtet; Ränder glatt; Oberfläche glatt. Vom Rücken gesehen sehr schmal, Breite nur etwa $^1/_4$ der Länge; Hinterende abgerundet; Vorderende zugespitzt. — L. 0·75 mm.

Samoa.

2. **A. aculeata** G. W. Müll. 1908 *A. a.*, G. W. Müller in: D. Südp.-Exp., *v.* 10 p. 101 t. 14 f. 7, 8, 9—14; t. 15 f. 1—5.

Linke Schale: Höhe etwa $^3/_5$ der Länge (ohne Spitzen), am höchsten etwas vor der Mitte, der Dorsalrand setzt sich aus 3 fast geraden, etwa gleich langen Stücken zusammen, von denen das mittlere wenig nach hinten, das vordere steil nach vorn, das hintere steil nach hinten abfällt, die Stücke durch stumpfe Winkel mit stark gerundeten Ecken gegeneinander abgegrenzt, ähnlich Vorder- und Dorsalrand; Vorderrand stark zurücktretend, mit etwa 7 schlanken Spitzen; Dorsalrand und Hinterrand scharf gegeneinander abgegrenzt, an der Grenze eine schlanke nach hinten gerichtete Spitze, die etwa auf halber Schalenhöhe liegt. Keine Lippen, der Saum überragt den Schalenrand nicht; mäßig dicht mit langen dunklen Borsten besetzt. Rechte Schale der linken ähnlich, aber ohne die hintere Spitze, an ihrer Stelle eine deutliche, wenig abgerundete Ecke. Furca mit 4 Dornen, von denen der distale der längste ist, vor ihm keine Borste oder Spitze. — L. ♀ und ♂ 1·1—1·15 mm.

Antarktis, Gaußstation.

Species incertae sedis

Bairdia abyssicola G. Brady 1880 *B. a.*, G. S. Brady in: Rep. Voy. Challenger, Zool. *v.* 1 Part 3 p. 52 t. 7 f. 4 | ?1889 *B. a.*, G. S. Brady & A. M. Norman in: Tr. R. Dublin Soc., ser. 2 *v.* 4 p. 241.

Australien (Port Jackson), 3750 m Tiefe.

Anchistrocheles bradyi A. Scott 1905 *A. b.*, A. Scott in: Herdman, Rep. Ceylon Pearl Fish., Suppl. Rep. 22 p. 373 t. 1 f. 34, 35.

4. Fam. **Cytheridae**

Schale von überaus wechselnder Form, meist stark verkalkt, oft mit komplizierter Skulptur; Schloßrand häufig mit Zähnen, und zwar findet sich sehr verbreitet je ein starker Zahn rechts am vorderen und hinteren Ende des Schlosses; zu diesen können kleinere der linken Schale kommen, distal oder distal und proximal neben denen der rechten Schale stehend; schließlich kann der ganze Raum zwischen den beiden starken Zähnen gezähnelt sein. 1. Antenne 5—7-gliedrig; das 2. und 3. Glied (verglichen mit den Nesideiden Cypriden) ist stets verschmolzen; ferner ist das 7. borstenlose Glied meist ausgefallen und das 5. und 6. häufig verschmolzen; die 1. Antenne ist bald schlank, bald gedrungen; die Borsten meist kurz, häufig klauenartig gestaltet, besonders die des Dorsalrandes. 2. Antenne (Fig. 71) mit gestrecktem Endopodit, dessen 2. und 3. Glied häufig verschmolzen, ohne Schwimmborsten; der Exopodit bildet eine lange, häufig gekniete Borste (Spinnborste), welche den Ausführungsgang einer Drüse aufnimmt. Mandibel bisweilen mit griffel- oder grätenförmigem, zahnlosem Basalglied und mehr oder weniger weit zurück-

gebildetem Taster. Kaufortsätze und Taster der Maxille bisweilen zurückgebildet; an der Atemplatte entweder alle Strahlen ähnlich, oder einer oder einige proximale des hinteren Randes abweichend gestaltet; wir unterscheiden

Fig. 70.
Paracytherois flexuosa. Mundkegel mit 1. und 2. Antenne ($^{200}/_{1}$).

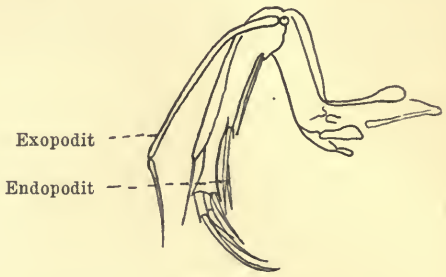

Fig. 71.
Eucytherura gibbera. 2. Antenne ($^{200}/_{1}$).

1. aberrante Strahlen (Fig. 72), sie sind ungefiedert, meist gerade, schräg ventralwärts und nach hinten, selten nach dem Munde hin gerichtet, nicht deutlich in 2 Abschnitte gegliedert und stets nur in der Einzahl vorhanden. 2. Die mundwärts gerichteten Strahlen (Fig. 75, p. 263) entspringen in großer Entfernung von den typischen Strahlen, meist auf besonderem Fortsatz und sind fast ausnahmslos in ein längeres, gerades Basalstück, welches in der Ruhe dem Hinterrande des Stammes parallel liegt und in ein gekrümmtes Endstück ge-

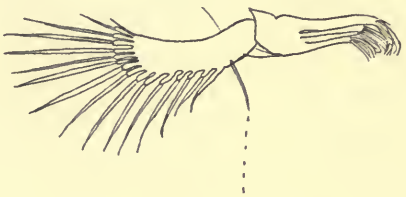

Fig. 72.
Xestoleberis plana. Maxille ($^{160}/_{1}$).

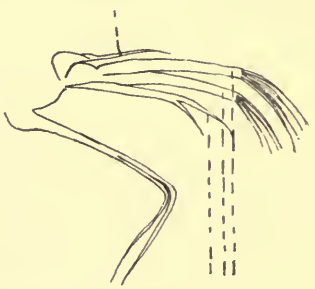

Fig. 73.
Paradoxostoma rubrum. Maxille mit der Basis der Atemplatte ($^{200}/_{1}$).

gliedert, welches ähnlich gerichtet ist, wie die Borsten der Kaufortsätze, und finden sich fast stets in der Mehrzahl. 1.—3. Thoraxbein ähnlich wie bei den Nesideiden; der Stamm des 1. Beines trägt am Hinterrande eine kleine, rudimentäre Atemplatte mit höchstens 4 Strahlen oder an ihrer Stelle eine Doppelborste, eine einfache Borste oder gar nichts; das 1. Glied des Endopodit trägt terminal und ventral eine einfache Borste; das 4. Glied des Endopodit ist stets mit der terminalen Klaue verschmolzen. Bürstenförmiges Organ beim ♂ stets vorhanden, weit nach vorn gerückt. Furca beim ♀ auf eine kleine Platte mit gewöhnlich 2, selten mehr Borsten reduziert, bisweilen ganz geschwunden, beim ♂ meist mit dem Penis verschmolzen. Durchweg sehr kleine Formen, welche nur ausnahmsweise 1 mm erreichen, häufig unter 0·5 mm bleiben. Fast ausnahmslos marin.

31 Gattungen mit 374 sicheren, 404 unsicheren Arten.

Übersicht der Gattungen:

1	Das 3. Thoraxbein trägt in beiden Geschlechtern außer der terminalen Klaue noch andere Borsten — **2.**	
	Das 3. Thoraxbein trägt außer der terminalen Klaue beim ♂ keinerlei Borsten (♀ unbekannt)	14. Gen. **Linocheles**
2	1. Antenne deutlich 7-gliedrig, mit langen, den letzten 6 Gliedern an Länge wenigstens gleichkommenden Borsten; das vorletzte Glied borstenlos (Fig. 74, p. 259) — **3.**	
	1. Antenne 6- oder weniger-gliedrig; die Borsten fast ausnahmslos kürzer; häufig dornartig, bisweilen fast ganz zurückgebildet (Fig. 89, p. 336) — **5.**	
3	Maxille mit Kaufortsätzen und Taster von typischem Bau, jeder Fortsatz mit mehreren Borsten — **4.**	
	Taster und Kaufortsätze der Maxille ohne Borsten (richtiger mit je einer nicht abgegliederten Borste)	3. Gen. **Sclerochilus**
4	Atemplatte der Maxille mit 3 mundwärts gerichteten Strahlen	2. Gen. **Pseudocythere**
	Atemplatte der Maxille mit 4 mundwärts gerichteten Strahlen	1. Gen. **Bythocythere**
5	Atemplatte der Maxille mit 1 oder mehreren mundwärts gerichteten Strahlen (Fig. 75, p. 263) — **6.**	
	Atemplatte der Maxille ohne mundwärts gerichtete Strahlen — **14.**	
6	Atemplatte der Maxille mit 1 oder 2 mundwärts gerichteten Strahlen — **7.**	
	Atemplatte der Maxille mit 3 mundwärts gerichteten Strahlen; Maxille ohne Kaufortsätze und Taster	4. Gen. **Paracythere**
7	Atemplatte der Maxille mit einem mundwärts gerichteten Strahl	12. Gen. **Microcythere**
	Atemplatte der Maxille mit 2 mundwärts gerichteten Strahlen — **8.**	
8	2. Glied der 1. Antenne mit Borste am ventralen Rande; Schale meist flügelartig verbreitert und mit komplizierter Skulptur; Mund und Kauwerkzeuge typisch — **9.**	
	2. Glied der 1. Antenne ohne Borste am ventralen Rande; Schale glatt, selten fein gestreift, stark komprimiert. Freßwerkzeuge mehr oder weniger vollkommen zum Saugen eingerichtet — **11.**	
9	Stamm der beiden mundwärts gerichteten Strahlen der Atemplatte der Maxille sehr verschieden lang	5. Gen. **Cytherura**
	Stamm der genannten Strahlen annähernd gleich lang — **10.**	
10	Furca des ♀ mit 1 oder 2 Borsten	6. Gen. **Cytheropteron**
	Furca des ♀ mit 4 Borsten	7. Gen. **Eucytherura**

11	Die 1. Antenne entbehrt durchaus der Borsten bis auf eine terminale	11. Gen. **Xiphichilus**
	1. Antenne mit Borsten, die klauenartig umgestaltet sein können — **12.**	
12	Maxille mit 3 schlanken Kaufortsätzen und diesen ähnlichem Taster, jeder Fortsatz mit mehreren Borsten	8. Gen. **Cytherois**
	Maxille mit nur 2 Kaufortsätzen von annähernd typischem Bau, diese lang und schlank. mit wenigen Borsten — **13.**	
13	Mund mit ringförmiger Saugscheibe (Fig. 82, p. 283)	9. Gen. **Paradoxostoma**
	Mund in eine feine Spitze ausgezogen (Fig. 70, p. 252)	10. Gen. **Paracytherois**
14	Atemplatte der Maxille mit aberrantem Strahl (Fig. 72, p. 252) — **15.**	
	Atemplatte der Maxille ohne aberranten Strahl (Fig. 88, p. 323).	
15	Innenrand der Schale und Verwachsungslinie fallen im ganzen Umfange zusammen; Höhe kleiner als $^2/_3$ der Breite	16. Gen. **Paracytheridea**
	Die genannten Linien sind zum mindesten nahe dem Vorderrande getrennt; Höhe stets größer als $^2/_3$ der Breite — **16.**	
16	Das vorletzte Glied der 1. Antenne ohne Borsten	18. Gen. **Pseudoloxoconcha**
	Das genannte Glied mit Borsten — **17.**	
17	Die Borsten der 3 terminalen Glieder der 1. Antenne fast sämtlich klauenartig, auch die des ventralen (vorderen) Randes — **18.**	
	Die genannten Borsten nicht oder nur zum kleineren Teile klauenartig, die des ventralen Randes nicht verstärkt — **19.**	
18	Terminales Glied der 1. Antenne etwa noch einmal so lang wie an der Basis breit	19. Gen. **Cytheroma**
	Terminales Glied der 1. Antenne 5mal so lang wie an der Basis breit	20. Gen. **Paracytheroma**
19	Bei geschlossener Schale umfaßt am vorderen und hinteren Körperende die linke Schale die rechte — **20.**	
	Beide Schalen legen sich einfach aneinander .	17. Gen. **Loxoconcha**
20	Terminales Glied der 2. Antenne mit 2 annähernd gleich starken Klauen	13. Gen. **Xestoleberis**
	Terminales Glied mit einer starken und langen Klaue, neben welcher beim ♀ eine kleine Borste, beim ♂ eine kürzere gekämmte Klaue	15. Gen. **Microxestoleberis**
21	1. Antenne terminal mit 4 Borsten, von denen 2 in großem Umfange (mindestens $^1/_3$ der kürzeren der beiden Borsten) verschmolzen sind (Süß- oder Brackwasser)	26. Gen. **Limnocythere**
	1. Antenne terminal mit 4 getrennt voneinander entspringenden oder mit weniger Borsten, von denen 2 aus sehr kurzer gemeinsamer Basis entspringen können — **22.**	
22	Maxille mit 3 deutlichen Kaufortsätzen — **24.**	
	Maxille mit nur 2 deutlichen Kaufortsätzen oder ohne deutliche Kaufortsätze — **23.**	

23
- 2 Kaufortsätze vorhanden, deren jeder mehrere Borsten trägt . . . . . 27. Gen. **Eucythere**
- An Stelle von 2 Kaufortsätzen 2 einfache Borsten . . . . . 23. Gen. **Entocythere**

24
- Der Maxillartaster so lang oder länger als der benachbarte Kaufortsatz, mit mehr als 2 Borsten — **25.**
- Der Maxillartaster kürzer als der benachbarte Kaufortsatz, mit nur 2 Borsten, die nebeneinander entspringen (Süßwasser) . . . . . 22. Gen. **Metacypris**

25
- 1. Antenne deutlich 6-gliedrig; die 4 letzten Glieder sämtlich wenigstens doppelt so lang wie breit; alle Borsten schlank . . . . . 21. Gen. **Microcytherura**
- 1. Antenne 6- oder weniger-gliedrig, das 4. und 5. (5. und 6.) Glied gewöhnlich verschmolzen, gedrungen, wenigstens bei einem der 4 terminalen Glieder ist die Breite größer als $^1/_2$ der Länge. Borsten wenigstens zum Teil deutlich klauenartig gestaltet — **26.**

26
- Das vorletzte Glied [1]) des Mandibulartasters nach der Mitte hin stark erweitert; seine dorsale Borstengruppe entspringt fast ausnahmslos direkt hinter der breitesten Stelle, selten subterminal; terminales Glied kurz, weniger als doppelt so lang wie an der Basis breit (Fig. 87, p. 317) — **27.**
- Das vorletzte Glied [1]) des Mandibulartasters nach der Mitte hin nicht erweitert; die dorsale Borstengruppe entspringt ganz am Ende des Gliedes, meist auf besonderem, den Ursprung des letzten Gliedes überragendem Fortsatz; das letzte Glied schlank, wenigstens doppelt so lang wie breit (Fig. 90, p. 336) — **29.**

27
- 1. Thoraxbein deutlich 4-gliedrig (Endopodit 3-gliedrig) — **28.**
- 1. Thoraxbein 3-gliedrig (Endopodit 2-gliedrig) 28. Gen. **Krithe**

28
- Endopodit des 2. Thoraxbeines beim ♂ rechts zurückgebildet, kurz, nicht oder nur wenig länger als der Stamm, gegen denselben eingeschlagen . . . . . 25. Gen. **Cytheridea**
- Endopodit des 2. Thoraxbeines bei ♀ und ♂ rechts und links wohl entwickelt . . . . . 24. Gen. **Cythere**

29
- Hinterrand des 1. Gliedes (Stammes) des 1. Thoraxbeines beim ♂ ohne Borste; Spinnborste 3-gliedrig . . . . . 31. Gen. **Cytheretta**
- Hinterrand des 1. Gliedes (Stammes) des 1. Thoraxbeines beim ♂ mit Borste; Spinnborste 2-gliedrig oder ungegliedert — **30.**

30
- 3. Glied des Mandibulartasters [1]) sehr lang, länger als das 1. und 2., gewöhnlich wie das 1., 2. und 4. Glied . . . . . 30. Gen. **Cytherideis**
- 3. Glied des Mandibulartasters kürzer als das 1. und 2. . . . . 29. Gen. **Cythereis**

[1]) Der Mandibulartaster ist 4-gliedrig gedacht, ohne Rücksicht auf Verschmelzung.

1. Gen. **Bythocythere** O. Sars

1866 *Bythocythere*, G. O. Sars in: Forh. Selsk. Christian., 1865 p. 82 | 1866 *Jonesia*, G. S. Brady in: Tr. zool. Soc. London, *v.* 5 p. 362.

Schale meist ohne deutliche Skulptur; Schloßrand ohne deutliche Zähne. 1. Antenne 7-gliedrig, mit langen, schlanken Borsten; das vorletzte Glied ohne Borsten. Endopodit der 2. Antenne 3-gliedrig. Maxille mit typisch gebildeten Kaufortsätzen, deren jeder mehrere Borsten trägt; die Atemplatte mit 4 mundwärts gerichteten Strahlen. 1. Glied (Stamm) des 1. Thoraxbeines am hinteren Rande mit kleiner Platte, welche 2 lange, gefiederte und 2 kurze, ungefiederte Borsten trägt. Furca schmal, ventralwärts gerichtet, mit 3 Borsten.

12 sichere, 1 unsichere Art.

1. **B. velifera** G. Brady 1880 *B. v.*, G. S. Brady in: Rep. Voy. Challenger, Zool. *v.* 1 Part 3 p. 143 t. 33 f. 5 a—c | (non 1901 *B. v.*, Egger in: Abh. Bayer. Ak., *v.* 21 p. 463 t. 5 f. 32—34).

Schale annähernd rhomboidal; Höhe größer als $^1/_2$ der Länge; Dorsalrand gerade, horizontal, bildet mit dem Vorderrande einen stumpfen Winkel mit wenig abgerundeter Spitze; der Ventralrand wird fast vollständig durch einen flügelartigen Fortsatz verborgen; Hinterrand fast gerade zu einer spitzen Ecke aufsteigend, welche auf etwa $^4/_5$ der Höhe liegt. Vom Rücken gesehen sehr breit, breiter als lang, am breitesten auf $^5/_7$ der Länge, wo die flügelartigen Fortsätze eine deutliche Ecke bilden; Hinterrand der Flügel wellig gebogen, Vorderrand in flachem Bogen stark nach vorn konvergierend. Oberfläche glatt. — L. 0·52 mm.

Torres-Straße.

2. **B. arenacea** G. Brady 1880 *B. a. (B. arenosa)*, G. S. Brady in: Rep. Voy. Challenger, Zool. *v.* 1 Part 3 p. 142 t. 33 f. 3 a—c; Figurenerklärung.

Schale des ♀ im Profil der von B. velifera ähnlich, doch wird der Ventralrand nicht durch die Flügel verdeckt; die hintere sehr deutliche Spitze liegt etwa auf halber Höhe. — Vom Rücken gesehen Breite etwa $^5/_8$ der Länge; am breitesten etwa in der Mitte; die Seiten bilden Bogen, welche nach beiden Enden konvergieren und nach hinten auf etwa $^7/_9$ der Länge durch einen einspringenden Winkel von 90° mit scharfer Spitze unterbrochen werden. Hinterende zugespitzt. Vorderende abgestumpft. Oberfläche mit zahlreichen kleinen Warzen. — L. 0·7 mm.

Torres-Straße; Funafuti.

3. **B. orientalis** G. Brady 1869 *B. o.*, G. S. Brady in: Folin & Périer, Fonds Mer, *v.* 1 p. 159 t. 16 f. 21—23 | ?1880 *B. o.* (part.), G. S. Brady in: Rep. Voy. Challenger, Zool. *v.* 1 Part 3 p. 141 t. 6 f. 6.

Schale im Profil ähnlich der von B. velifera; Ecke zwischen Dorsal- und Vorderrand ganz unterdrückt; hintere Ecke wenig abgestumpft, liegt auf etwa $^2/_3$ der Höhe. Vom Rücken gesehen Breite etwa $^3/_4$ der Länge, am breitesten auf $^5/_8$ der Länge, wo die Seiten eine abgestumpfte Ecke bilden, von der aus sie nach vorn in unregelmäßig gewellter, überwiegend konvexer, nach hinten in ebenfalls unregelmäßig gewellter, aber überwiegend konkaver Linie konvergieren. Oberfläche undeutlich gewellt. — L. 0·52 mm.

Hongkong.

4. **B. insignis** O. Sars 1870 *B. i.*, G. O. Sars in: Forh. Selsk. Christian., 1869 p. 173 | 1889 *B. i.*, G. S. Brady & A. M. Norman in: Tr. R. Dublin Soc., ser. 2 *v.* 4 p. 221 t. 23 f. **1, 2.**

Schale im Profil ähnlich wie von B. orientalis, doch fällt der Dorsalrand deutlich nach hinten ab; der dorsale Rand der hinteren stark abgerundeten Spitze liegt in der Verlängerung des Dorsalrandes. Ansicht vom Rücken ebenfalls ähnlich wie bei B. orientalis; Breite $^2/_3$ der Länge, am breitesten auf $^2/_3$ der Länge. Die Seiten bilden hier deutliche, wenig abgerundete Ecken, von denen aus sie nach vorn fast geradlinig, nur in schwach geschwungener Linie bis zur Spitze konvergieren, während sie hinter der Spitze deutlich winklig eingedrückt sind. — L. 0·76 mm.

Lofoten, 218 m Tiefe.

5. **B. bicristata** G. Brady & Norm. 1889 *B. b.*, G. S. Brady & A. M. Norman in: Tr. R. Dublin Soc., ser. 2 *v.* 4 p. 222 t. 19 f. **15, 16.**

Schale im Profil der von B. velifera ähnlich; Höhe etwa $^2/_3$ der Länge; Ecke zwischen Dorsal- und Vorderrand angedeutet; Vorderende breit gerundet; der Ventralrand wird nicht durch die flügelartigen Fortsätze verdeckt und geht in flachem Bogen in den Hinterrand über; letzterer verläuft in der dorsalen Hälfte in unregelmäßig gewellter Linie und bildet mit dem Dorsalrande einen annähernd rechten Winkel. Vom Rücken gesehen ähnlich wie bei B. insignis, doch liegt die größte Breite etwas weiter nach hinten, etwa auf $^3/_4$ der Länge. — L. 0·65 mm.

Shetlandinseln.

6. **B. recta** (G. Brady) 1868 *Cytheropteron rectum*, G. S. Brady in: Tr. Linn. Soc. London, *v.* 26 p. 450, 476 | 1886 *Bythocythere pavo* (juv.), Malcomson in: P. Belfast Club, ser. 2 *v.* 2 App. 9 p. 261 t. 25 f. 5—7 | 1889 *B. recta*, G. S. Brady & A. M. Norman in: Tr. R. Dublin Soc., ser. 2 *v.* 4 p. 222 t. 19 f. **13, 14.**

Schale im Profil ähnlich wie von B. arenacea (nr. 2); Hinterende stark abgerundet. Vom Rücken gesehen Breite annähernd $^2/_3$ der Länge, am breitesten auf $^3/_4$ der Länge; die Seiten bilden hier eine stark abgerundete Ecke, von der aus sie nach vorn in flachem Bogen bis zur vorderen Spitze, nach hinten in einer wenig winklig eingedrückten Linie bis zur hinteren Spitze konvergieren. — L. 0·5 mm.

Küste von England; Norwegen; Golf von Biscaya.

7. **B. turgida** O. Sars 1866 *B. t.*, G. O. Sars in: Forh. Selsk. Christian., 1865 p. 84 | ?1868 *B. t.*, G. S. Brady in: Tr. Linn. Soc. London, *v.* 26 p. 452 t. 34 f. 35—38 | ?1870 *B. t.*, G. S. Brady in: Tr. nat. Hist. Soc. Northumb., *v.* 3 p. 372 t. 13 f. 1—4.

Schale des ♀ annähernd rhomboidal; Höhe etwas größer als $^1/_2$ der Länge, vorn und hinten ungefähr gleich hoch; Dorsalrand etwas gewölbt; Vorderrand schief gerundet; Hinterrand in der dorsalen Hälfte etwas ausgeschnitten, in der ventralen mit 5—7 kleinen Zähnen; Oberfläche mit kleinen, runden Gruben. Vom Rücken gesehen die Breite etwas größer als die Höhe; annähernd sechseckig, nach vorn allmählich, nach hinten plötzlich zugespitzt. — L. ♀ 0·84, ♂ 0·90 mm.

Küste von Norwegen; England?; Spitzbergen?; Lorenzobusen?; Golf von Biscaya.

8. **B. constricta** O. Sars 1866 *B. c.*, G. O. Sars in: Forh. Selsk. Christian., 1865 p. 85 | ?1868 *B. c.*, G. S. Brady in: Tr. Linn. Soc. London, *v.* 26 p. 451 t. 35 f. 47—52 | (non 1901 *B. c.*, Egger in: Abh. Bayer. Ak., *v.* 21 p. 462 t. 7 f. 26—28).

Schale: Höhe etwa $^1/_2$ der Länge; Dorsalrand gerade, nach vorn wenig abfallend; Vorderende breit gerundet, nicht winklig gegen den Dorsalrand abgegrenzt; der Hinterrand ist in über halber Höhe in einen abgestumpften Fortsatz ausgezogen und nicht winklig gegen Dorsal- und Ventralrand abgegrenzt. Vom Rücken gesehen die Breite größer als die Höhe, am breitesten hinter halber Länge; bauchig, in der Mitte eingeschnürt; das Vorderende stärker vorgestreckt und zugespitzt. — L. 0·74 mm.

Küste von Norwegen; Spitzbergen; Küste von England?; Golf von Biscaya?

9. **B. retusa** G. Brady 1886 *B. r.*, G. S. Brady in: J. Linn. Soc. London, *v.* 19 p. 315 t. 40 f. 22—24.

Höhe etwa $^1/_2$ der Länge, am höchsten etwa auf $^1/_3$ der Länge, von wo der Dorsalrand in schwach geschwungener Linie nach hinten abfällt; auf $^6/_7$ der Länge bildet er mit dem Dorsalrande eine deutliche stumpfwinklige Ecke; Vorderende breit gerundet; Ventralrand flach gewölbt, geht ohne Andeutung einer Grenze in den Hinterrand über, welcher auf wenig mehr als halber Höhe eine wenig gerundete Spitze bildet; Oberfläche mit schwachen Papillen, einer scharfen Querfurche auf halber Länge und einer Längskante auf halber Höhe hinter der Furche. Vom Rücken gesehen Breite reichlich $^1/_2$ der Länge, am breitesten ungefähr auf $^1/_2$ der Länge, von wo die Seiten zur vorderen Spitze in schwach geschwungener, zur hinteren Spitze in deutlich geschwungener und winklig eingedrückter Linie verlaufen. — L. 0·66 mm.

Ceylon.

10. **B. pumilio** G. Brady 1880 *B. p.*, G. S. Brady in: Rep. Voy. Challenger, Zool. *v.* 1 Part 3 p. 142 t. 33 f. 4 a—d.

Schale gestreckt; Höhe kleiner als $^1/_2$ der Länge; Dorsal und Ventralrand annähernd gerade, parallel; beide Enden flach gerundet, das hintere schmaler, beide in der ventralen Hälfte gezähnelt. Oberfläche warzig. Vom Rücken gesehen Breite etwas größer als $^1/_2$ der Länge; die Seiten verlaufen in der Mitte parallel und bilden etwa auf $^1/_4$ und $^3/_4$ der Länge eine deutliche, wenig gerundete Ecke, von der aus sie zum vorderen und hinteren Ende konvergieren, wobei sie nahe dem Hinterende von 2 Spitzen überragt werden. — L. 0·39 mm.

Kerguelen.

11. **B. dromedaria** O. Sars 1866 *B. d.*, G. O. Sars in: Forh. Selsk. Christian., 1865 p. 86 | 1889 *B. d.*, G. S. Brady & A. M. Norman in: Tr. R. Dublin Soc., ser. 2 *v.* 4 p. 223 t. 20 f. 11, 12.

Schale unregelmäßig eiförmig; Höhe größer als $^1/_2$ der Länge, am höchsten vor der Mitte; Dorsalrand stark gewölbt, gegen das gerundete Vorderende nicht abgegrenzt, in der hinteren Hälfte stark eingedrückt; der Hinterrand bildet auf $^2/_3$ der Höhe eine wenig abgestumpfte Spitze. Vom Rücken gesehen Breite deutlich größer als $^1/_2$ der Länge, am breitesten etwa in der Mitte; die Seiten bilden Bogen, welche nahe den Enden deutlich eingedrückt sind; beide Enden zugespitzt. — L. 0·8 mm.

Norwegen (Christiania Fjord).

12. **B. simplex** (Norm.) 1865 *Cythere s.*, A. M. Norman in: Tr. nat. Hist. Soc. Northumb., *v.* 1 p. 17 t. 5 f. 1—4 | 1866 *Bythocythere acuminata*, G. O. Sars in: Forh. Selsk. Christian., 1865 p. 86 | 1866 *Jonesia simplex*, G. S. Brady in: Tr. zool. Soc. London, *v.* 5 p. 363 t. 57 f. 11 | 1868 *Bythocythere s.*, G. S. Brady in: Tr. Linn. Soc. London, *v.* 26 p. 450 t. 33 f. 23—27; t. 40 f. 8.

Schale gestreckt; Höhe deutlich kleiner als $^1/_2$ der Länge; Dorsalrand gerade; Vorderende gerundet; Ventralrand in der hinteren Hälfte deutlich konvex; Hinterrand in eine auf etwa halber Höhe liegende deutliche Spitze ausgezogen, gegen Dorsal- und Ventralrand nicht winklig abgegrenzt. Vom Rücken gesehen sehr schmal; Breite annähernd $^1/_3$ der Länge; beide Enden zugespitzt. — L. 1·25—1·30 mm.

Küste von Norwegen; Lofoten; Baffins-Bai; Küste von England.

B. sp., 1880 *B. orientalis* (part.), (non *B. o.* G. S. Brady 1869), G. S. Brady in: Rep. Voy. Challenger, Zool. *v.* 1 Part 3 p. 141 t. 32 f. 2.

Torres-Straße.

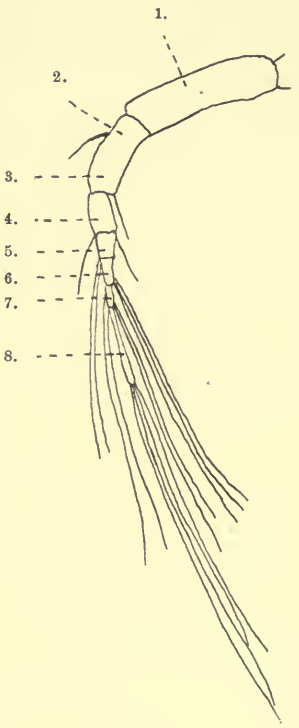

Fig. 74.
Pseudocythere caudata.
1. Antenne, 1.—8. Glied ($^{240}/_1$).

2. Gen. **Pseudocythere** O. Sars

1866 *Pseudocythere*, G. O. Sars in: Forh. Selsk. Christian., 1865 p. 87 | 1894 *P.*, G. W. Müller in: F. Fl. Neapel, *v.* 21 p. 284.

Schale mit geradem Dorsalrande; Schloßrand nur mit Andeutung von Zähnen. 1. Antenne (Fig. 74) wie bei Bythocythere. 2. Antenne mit 4-gliedrigem Endopodit. Kaufortsätze der Maxille von typischem Bau; die Atemplatte trägt auf kleinem Fortsatz 3 lange, mundwärts gerichtete, an der Spitze gebogene Strahlen. Hinterrand des 1. Gliedes (Stammes) des 1. Thoraxbeines mit ähnlicher Platte wie bei Bythocythere. Furca beim ♂ schlank, mit 3 Borsten, beim ♀ klein, nur aus 1 Borste bestehend.

4 Arten.

Übersicht der Arten:

1 { Ventralrand der Schale gegen den Hinterrand durch eine Spitze abgegrenzt — **2.**
Ventralrand der Schale gegen den Hinterrand nicht durch eine Spitze abgegrenzt . . . . . **3. P. fuegiensis**

2 { Vorderrand mit ein oder zwei zahnartigen Vorsprüngen am Vorderrande . . . . . **4. P. minuta**
Vorderrand ohne zahnartige Vorsprünge am Vorderrande — **3.**

3 { Die verschmolzene Zone wird hinter den Schließmuskelansätzen von etwa 15 Porenkanälen durchsetzt . . . . . **1. P. caudata**
Die verschmolzene Zone wird hinter den Schließmuskelansätzen von etwa 8 Porenkanälen durchsetzt . . . . . **2. P. similis**

1. **P. caudata** O. Sars 1866 *P. c.*, G. O. Sars in: Forh. Selsk. Christian., 1865 p. 88 | ?1880 *P. c.*, G. S. Brady in: Rep. Voy. Challenger, Zool. *v.* 1 Part 3 p. 144 t. 1 f. 6, a—d | 1894 *P. c.*, G. W. Müller in: F. Fl. Neapel, *v.* 21 p. 284 t. 16 f. **5, 10,** 30—36 | (non 1901 *P. c.*, Egger in: Abh. Bayer. Ak., *v.* 21 p. 463 t. 8 f. 33, 34).

Schale etwa doppelt so lang wie hoch, am höchsten nahe dem vorderen Ende; Dorsalrand gerade, deutlich nach hinten abfallend; Vorderende breit gerundet; Ventralrand in der hinteren Hälfte schwach aufsteigend, durch eine

vorstehende Spitze gegen den Hinterrand abgegrenzt; dieser steil aufsteigend, dorsal in einen schräg abgestutzten Fortsatz ausgezogen, dessen Dorsalrand die Verlängerung des eigentlichen Dorsalrandes bildet; Oberfläche glatt. Die verschmolzene Zone wird in der hinteren Schalenhälfte hinter den Schließmuskelansätzen von etwa 15 Porenkanälen durchsetzt. Aufsatz des Penis mit spitzwinkliger, gerundeter Ecke am Außenrande. — L. 0·52 bis 0·6 mm. — (Fig. 74, p. 259).

Nordatlantischer Ozean, Franz Joseph-Land, Island, Küste von Norwegen, Mittelmeer, Küste von Brasilien?; Kerguelen?; Prince Edwards-Insel?

2. **P. similis** G. W. Müll. 1908 *P. s.*, G. W. Müller in: D. Südp.-Exp., *v.* **10** p. 106 t. 10 f. 13—16.

P. caudata sehr ähnlich, die Porenkanäle in der hinteren verschmolzenen Zone viel seltener, etwa 8 vorhanden. Aufsatz des Penis mit stark abgerundeter Ecke am inneren Rande. — L. ♀ 0·7—0·8 mm, ♂ 0·57—0·7 mm.

Antarktis, Gaußstation, in 385 m Tiefe.

3. **P. fuegiensis** G. Brady 1880 *P. f.*, G. S. Brady in: Rep. Voy. Challenger, Zool. *v.* 1 Part 3 p. 145 t. 1 f. 7 a—d | (non 1901 *P. f.*, Egger in: Abh. Bayer. Ak., *v.* 21 p. 464 t. 8 f. 39, 40).

Schale im Umriß der von P. caudata ähnlich, gestreckter; Ventralrand gegen den Hinterrand nicht durch eine Spitze abgegrenzt; der Dorsalrand des hinteren Fortsatzes liegt nicht in der Verlängerung des Dorsalrandes der übrigen Schale. — L. 1·1 mm.

52° 50′ s. Br., 73° 53′ w. L., in 450 m Tiefe.

4. **P. minuta** A. Scott 1905 *P. m.*, A. Scott in: Herdman, Rep. Ceylon Pearl Fish., Suppl. Rep. 22 p. 373 t. 1 f. 28, 29.

Schale im Umriß der von P. caudata ähnlich, am Vorderrande eine oder 2 zahnartige Spitzen. Schale mit Gruben, die in nach hinten in flachem Bogen aufsteigenden Reihen angeordnet sind. — L. 0·35 mm.

Küste von Ceylon.

3. Gen. **Sclerochilus** O. Sars

1866 *Sclerochilus*, G. O. Sars in: Forh. Selsk. Christian., 1865 p. 89 | 1868 *S.*, G. S. Brady in: Tr. Linn. Soc. London, *v.* 26 p. 455 | 1894 *S.*, G. W. Müller in: F. Fl. Neapel, *v.* 21 p. 281.

Schale mit gekrümmtem Dorsalrande; Oberfläche glatt; Schloßrand ohne Zähne. 1. Antenne wie bei Bythocythere. Endopodit der 2. Antenne 4-gliedrig. Maxille mit 4 borstenlosen (richtiger je eine nicht abgegrenzte Borste tragenden), am Ende stark gekrümmten Fortsätzen an Stelle der 3 Kaufortsätze und des Tasters; von diesen 4 Fortsätzen sind 2 oder 3 kräftig, 2 oder 1 schwach entwickelt. Hinterrand des 1. Gliedes (Stammes) des 1. Thoraxbeines mit kleiner Platte, welche 3 Borsten trägt. Furca beim ♀ breit und kurz, beim ♂ gestreckt, in beiden Geschlechtern mit 5 Borsten.

7 Arten.

Übersicht der Arten:

1 { Maxille mit 4 Fortsätzen, von denen einer (1. Kaufortsatz) viel dicker, länger und stärker gekrümmt ist als die anderen — **2.**
1 { 3 Fortsätze der Maxille (1. und 2. Kaufortsatz und Taster) etwa gleich lang und ähnlich gebogen — **3.**

2 { Höhe gleich $^1/_2$ der Länge . . . . . 6. **S. aequus**
  { Höhe deutlich größer als $^1/_2$ der Länge . . . . . 7. **S. meridionalis**

3 { Die 3 Fortsätze der Maxille annähernd gleich stark — **4.**
  { Einer der 3 Fortsätze (1. Kaufortsatz) deutlich kräftiger als die benachbarten, besonders als der 2. Kaufortsatz . . 5. **S. compressus**

4 { Größer als 0·65 mm — **5.**
  { Kleiner als 0·65 mm — **6.**

5 { Dorsalrand im mittleren Drittel annähernd gerade . . . . 4. **S. antarcticus**
  { Dorsalrand im ganzen Umfange deutlich gewölbt . . . . 3. **S. reniformis**

6 { Schale pigmentiert . . . . . 1. **S. contortus**
  { Schale nicht pigmentiert . . . . . 2. **S. abbreviatus**

1. **S. contortus** (Norm.) 1861 *Cythere contorta*, A. M. Norman in: Tr. Tyneside Club, *v.* 5 p. 150 t. 3 f. 15 | ?1866 *Sclerochilus contortus*, G. O. Sars in: Forh. Selsk. Christian., 1865 p. 90 | 1868 *S. c.*, G. S. Brady in: Tr. Linn. Soc. London, *v.* 26 p. 455 t. 34 f. 5—10; t. 41 f. 7 | 1894 *S. c.*, G. W. Müller in: F. Fl. Neapel, *v.* 21 p. 282 t. 16 f. **1, 2, 7,** 12—19, 22.

Schale des ♀: Höhe etwa $^1/_2$ der Länge, am höchsten hinter der Mitte; Dorsalrand stark gewölbt, gegen Vorder- und Hinterrand nicht abgegrenzt; Vorderende mäßig breit, Hinterende deutlich schmaler gerundet; der hinterste Punkt liegt etwa in halber Höhe; Ventralrand tief eingebuchtet. Lebhaft braungelb pigmentiert. 1., 2. Kaufortsatz und Taster der Maxille gleich stark entwickelt, der 3. Kaufortsatz ähnlich gebogen wie die anderen, aber viel schlanker, borstenförmig. Basalstück des Penis am Dorsalrande in eine scharfe Spitze ausgebogen. — L. 0·57—0·6 mm.

Küste von Europa; Franz Joseph-Land; Arktische Meere; Kerguelen; Heard-Insel; Neuseeland.

2. **S. abbreviatus** G. Brady & D. Roberts. 1869 *S. contortus var. a.*, G. S. Brady & D. Robertson in: Ann. nat. Hist., ser. 4 *v.* 3 p. 372 t. 20 f. 15, 16 | 1894 *S. levis*, G. W. Müller in: F. Fl. Neapel, *v.* 21 p. 283 t. 16 f. **3, 8,** 20, 23, 28.

Schale der von S. contortus ähnlich, etwas kürzer, nicht pigmentiert. Basalstück des Penis mit stumpf gerundeter Ecke. — L. 0·52—0·54 mm.

Golf von Neapel; Madeira; Küste von England.

3. **S. reniformis** G. W. Müll. 1908 *S. r.*, G. W. Müller in: D. Südp.-Exp., *v.* 10 p. 103 t. 15 f. **6,** 7—9, **10.**

Schale der von S. contortus ähnlich, Dorsalrand weniger stark gewölbt; das Hinterende breiter gerundet als das Vorderende. Pigmentierung? Maxille ähnlich wie bei S. contortus, aber der 3. Kaufortsatz kürzer, nur schwach gebogen. Das Basalstück des Penis an der lateralen Ecke mit kurzem, gerundetem Fortsatz. — L. ♀ 0·7—0·8, ♂ 0·8 mm.

Antarktis, Gaußstation, in 385 m Tiefe.

4. **S. antarcticus** G. W. Müll. 1908 *S. a.*, G. W. Müller in: D. Südp.-Exp., *v.* 10 p. 104 f.

Rechte Schale des ♀: Höhe etwa $^7/_{17}$ der Länge, am höchsten etwa in der Mitte; der Dorsalrand in der Mitte annähernd gerade, bildet auf $^1/_4$ und $^3/_4$ der Länge eine abgerundete aber immerhin ziemlich deutliche Ecke, von der aus er deutlich zum Vorder- und Hinterrande abfällt, beide Enden mäßig und annähernd gleich breit gerundet. Ventralrand deutlich eingebuchtet. Schale des ♂ der des ♀ ähnlich, hinten etwas höher. Kaufortsatz der Maxille wie bei S. reniformis. — L. ♀ 0·73 mm, ♂ wenig kleiner.

Antarktis, Gaußstation, in 385 m Tiefe.

5. **S. compressus** G. W. Müll. 1908 *S. c.*, G. W. Müller in: D. Südp.-Exp., *v.* 10 p. 103 t. 15 f. **11**, 12—14, **15**, 16, 17.

Rechte Schale des ♀: Höhe wenig kleiner als $^1/_2$ der Länge, am höchsten etwas hinter der Mitte; Dorsalrand flach gewölbt, gegen Vorder- und Hinterrand nicht abgegrenzt, Vorderende schmal, Hinterende breit gerundet, Ventralrand fast gerade. Schale des ♂ etwas gestreckter, Dorsalrand in der Mitte fast gerade. An der Maxille ist der 2. Kaufortsatz viel schlanker als der 1. Am Penis ist der Aufsatz derart gedreht, daß er zum Basalstück etwa rechtwinklig steht, im Profil stabförmig erscheint. — L. ♀ 0·63, ♂ 0·58 mm.

Antarktis, Gaußstation, in 385 m Tiefe.

6. **S. aequus** G. W. Müll. 1894 *S. a.*, G. W. Müller in: F. Fl. Neapel, *v.* 21 p. 284 t. 16 f. **4**, **9**, 21, 24—26, 29.

Schale des ♀: Höhe etwa $^1/_2$ der Länge; Dorsalrand stark gewölbt; Hinter- und Vorderende ähnlich gestaltet, ziemlich schmal gerundet; der hinterste Punkt liegt unter halber Höhe, nahe dem Ventralrande; letzterer ist fast ganz gerade. An der Maxille ist der 1. Kaufortsatz sehr dick, stark gebogen, der Taster viel schlanker, weniger gebogen, der 2. und 3. Kaufortsatz borstenförmig, fast gerade. — L. ♀ 0·5 mm.

Golf von Neapel.

7. **S. meridionalis** G. W. Müll. 1908 *S. m.*, G. W. Müller in: D. Südp.-Exp., *v.* 10 p. 104 f.; t. 19 f. 8, 11, 14.

Linke Schale des ♀: Höhe etwa $^5/_9$ der Länge, am höchsten deutlich hinter der Mitte, Dorsalrand stark gewölbt, gegen Vorder- und Hinterrand nicht abgegrenzt, Vorderende schmal, Hinterende deutlich breiter gerundet. Schale des ♂ der des ♀ ähnlich. Maxille wie bei S. aequus. — L. ♀ 0·57—0·6, ♂ 0·55 mm.

Antarktis, Gaußstation.

4. Gen. **Paracythere** G. W. Müller

1894 *Paracythere*, G. W. Müller in: F. Fl. Neapel, *v.* 21 p. 285.

Schale dünn, glatt; Schloß ohne Zähne. 1. Antenne 6-gliedrig; die beiden letzten Glieder sehr klein, mit wenigen, schlanken Borsten. Mandibel mit schwachem Kaufortsatz und plumpem, 3-gliedrigem Taster; Atemplatte mit nur einer Borste. Maxille ohne Kaufortsätze und Taster; an ihrer Stelle 3 mundwärts gerichtete Strahlen der Atemplatte. Hinterrand des 1. Gliedes (Stammes) des 1. Thoraxbeines mit einer einfachen Borste. Furca mit 2 Borsten.

1 Art.

1. **P. minima** G. W. Müll. 1894 *P. m.*, G. W. Müller in: F. Fl. Neapel, *v.* 21 p. 286 t. 16 f. **6**, 37—41.

Schale des ♀: Höhe annähernd $^1/_2$ der Länge; Dorsalrand in der Mitte gerade, annähernd horizontal, im vorderen und hinteren Drittel stark abfallend; Vorderende breit, Hinterende etwas schmaler gerundet; Ventralrand deutlich eingebuchtet. — L. 0·32 mm.

Golf von Neapel.

5. Gen. **Cytherura** O. Sars

1785 *Cythere* (part.), O. F. Müller, Entom., p. 63 | 1793 *Monoculus* (part.), J. C. Fabricius, Ent. syst., *v.* 2 p. 494 | 1838 *Cythere* (part.), W. Baird in: Mag. Zool. Bot., *v.* 2 p. 138 | 1866 *Cytherura* (s. str.), G. O. Sars in: Forh. Selsk. Christian., 1865 p. 69 | 1868 *C.*, G. S. Brady in: Tr. Linn. Soc. London, *v.* 26 p. 439 | 1894 *C.*, G. W. Müller in: F. Fl. Neapel, *v.* 21 p. 287.

Schale meist mit geradem Dorsalrande, hinten meist in einen Fortsatz ausgezogen, häufig mit komplizierter Skulptur und flügelartigen Fortsätzen (Fig. 75); Schloßrand mit 2 größeren, einfachen Zähnen der rechten, 2 kleineren der linken Schale (alle können fehlen), dazwischen glatt; Innenrand und Verwachsungslinie fallen in ganzem Umfange zusammen und bilden in der hinteren Schalenhälfte (stets?) einen nach hinten offenen Bogen. 1. Antenne schlank, 6-gliedrig, mit schlanken Borsten; das terminale Glied wenigstens $^1/_2$ so lang wie das subterminale; das 2. Glied mit ventraler Borste. Atemplatte der Maxille mit 2 mundwärts gerichteten Strahlen (Fig. 76) von sehr verschiedener Länge;

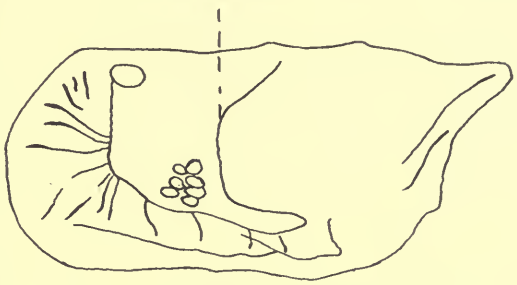

Fig. 75.
Cytherura acuta. Linke Schale ($^{135}/_1$).

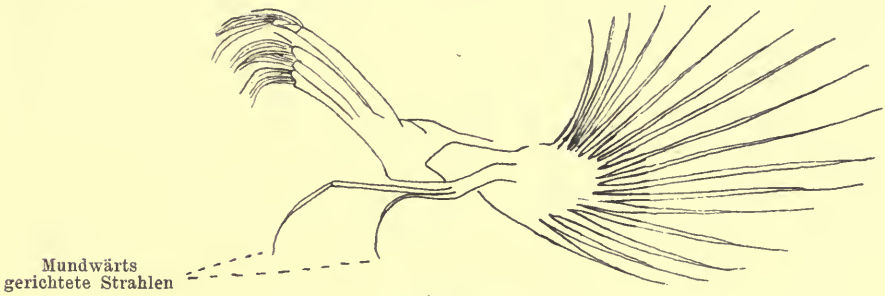

Fig. 76.
Cytherura alata. Maxille ($^{240}/_1$).

das Basalstück des hinteren Strahles erreicht höchstens $^1/_2$ der Länge des vorderen Basalstückes. 1. Thoraxbein mit Doppelborste am Hinterrande des 1. Gliedes (Stammes). Furcalborsten fehlen.

32 sichere, 13 unsichere Arten.

1. **C. mediterranea** G. W. Müll. 1894 *C. m.*, G. W. Müller in: F. Fl. Neapel, *v.* 21 p. 289 t. 18 f. 6, 9; t. 19 f. 18.

Höhe der Schale weniger als $^1/_2$ der Länge; Dorsal- und Ventralrand parallel; Vorderrand breit gerundet; Hinterrand stumpfwinklig gegen Dorsal- und Ventralrand abgegrenzt, in einen Fortsatz ausgezogen, dessen Spitze etwa auf $^3/_4$ der Höhe liegt; an der Grenze der Ventralfläche erhebt sich flügelartig eine Leiste, die nahe dem Vorderende beginnt und etwas hinter $^2/_3$ der Schalenlänge spitzwinklig endet; über den Flügeln ist die hintere Schalenhälfte ziemlich gleichmäßig mit runden Gruben bedeckt, die beim ♂

zahlreicher und kleiner sind als beim ♀. Vom Rücken gesehen Breite etwa $^5/_{11}$ der Länge; die Flügel enden auf $^8/_{11}$ der Länge spitzwinklig, bewahren vor den Spitzen die gleiche Breite; Hinterende in einen deutlich abgesetzten Fortsatz ausgezogen. — L. ♀ 0·47, ♂ 0·44 mm.

Golf von Neapel.

2. **C. cornuta** G. Brady 1867 *C. c.*, G. S. Brady in: Intell. Observ., *v.* 12 p. 124 | ? 1868 *C. affinis* (juv.?), G. S. Brady in: Tr. Linn. Soc. London, *v.* 26 p. 443 t. 32 f. 19—21 | 1868 *C. gibba* (♂), G. S. Brady in: Tr. Linn. Soc. London, *v.* 26 p. 444 t. 32 f. 68—70 | 1889 *C. cornuta* (♂), G. S. Brady & A. M. Norman in: Tr. R. Dublin Soc., ser. 2 *v.* 4 p. 192 t. 18 f. **21, 22**.

Schale des ♀ der von C. mediterranea ähnlich; die Flügel reichen weniger weit nach vorn, hintere Schalenhälfte undeutlich netzförmig. Schale des ♂ ohne Flügel, vom Rücken gesehen Breite nur $^1/_2$ der Länge, am breitesten auf etwa $^2/_3$ der Länge, Seiten gerundet; nach vorn und hinten keilförmig verjüngt, nahe dem Hinterende etwas eingedrückt, wodurch sich ein hinterer Fortsatz abgrenzt. — L. ♀ 0·40, ♂ 0·45 mm.

Küste von England; Dardanellen.

3. **C. ventricosa** G. W. Müll. 1894 *C. v.*, G. W. Müller in: F. Fl. Neapel, *v.* 21 p. 292 t. 18 f. **5, 15**; t. 19 f. 11.

Schalenkontur der von C. mediterranea ähnlich; an Stelle der dort einfachen Flügel treten hier 3 parallele, kulissenartig sich hintereinanderschiebende hohe Leisten; über den Flügeln 5 annähernd parallele Rippen, zwischen diesen Querleisten, die Leisten und Rippen von Punktreihen begleitet. Vom Rücken gesehen C. mediterranea ähnlich, doch breiter. — L. ♀ 0·46, ♂ 0·49 mm.

Golf von Neapel.

4. **C. acuminata** G. W. Müll. 1894 *C. a.*, G. W. Müller in: F. Fl. Neapel, *v.* 21 p. 291 t. 18 f. **4, 16**; t. 19 f. 15.

Schalenkontur und Verlauf der Flügel im Profil ähnlich wie bei C. mediterranea, doch reichen die Flügel weiter nach vorn und hinten. Skulptur über den Flügeln ähnlich wie bei C. ventricosa, doch ohne Punktreihen. In der Ansicht vom Rücken zeigt sich die Schale, abgesehen vom Hinterrande, von einer breiten, flügelartigen Leiste umzogen, welche in einen die Anheftung an der Schale weit überragenden, nach hinten gerichteten Fortsatz ausgezogen ist; die Spitze dieses Fortsatzes liegt etwa auf $^{10}/_{11}$ der Länge. — L. ♀ 0·51, ♂ 0·54 mm.

Golf von Neapel.

5. **C. acuta** (nom. nov.), G. W. Müll. 1894 *C. nigrescens* (non *Cythere n.* W. Baird 1838), G. W. Müller in: F. Fl. Neapel, *v.* 21 p. 290 t. 18 f. **3, 11, 14**; t. 19 f. 14.

Kontur und Verlauf der Flügel im Profil ähnlich wie bei C. mediterranea; Skulptur über den Flügeln ähnlich wie bei C. ventricosa, mit Punktreihen neben den Leisten. Vom Rücken gesehen zeigen sich die Flügel in eine nach außen, resp. außen und hinten gerichtete Spitze ausgezogen, derart daß die Schale bei dieser Spitze am breitesten, sich von hier aus nach vorn und hinten stark verschmälert; die Spitze liegt beim ♀ etwa auf $^2/_3$, beim ♂ auf $^7/_{12}$ der Länge. — L. ♀ 0·44, ♂ 0·5 mm. — (Fig. 75, p. 263).

Golf von Neapel.

6. **C. neglecta** G. W. Müll. 1894 *C. n.*, G. W. Müller in: F. Fl. Neapel, *v.* 21 p. 290 t. 8 f. **14, 18**; t. 32 f. 38.

Kontur und Verlauf der Flügel im Profil ähnlich wie bei C. mediterranea. Über den Flügeln in mehr als halber Schalenhöhe eine starke, annähernd horizontal verlaufende Rippe, über und unter dieser ein unregelmäßiges Netzwerk dünner, von kleinen Gruben begleiteter Rippen oder von Grubenreihen. Ansicht vom Rücken ähnlich wie bei C. mediterranea; vorn breiter gerundet. — L. ♀ 0·44, ♂ 0·47 mm.

Golf von Neapel.

7. **C. alata** G. W. Müll. 1894 *C. a.*, G. W. Müller in: F. Fl. Neapel, *v.* 21 p. 288 t. 18 f. **1, 7, 8**; t. 19 f. 9.

Kontur und Verlauf der Rippen im Profil ähnlich wie bei C. mediterranea (nr. 1); über den Flügeln in der hinteren Schalenhälfte mit weitmaschigem (♂) oder engmaschigem (♀) Netzwerk von gleichmäßig entwickelten Rippen, ohne Andeutung von Horizontalrippen, ohne Punktreihen; in den Feldern beim ♂ zahlreiche, beim ♀ weniger zahlreiche scharf begrenzte Gruben. Vom Rücken gesehen am breitesten bei der Spitze der Flügel; der Hinterrand der Flügel nahe ihrem Ursprunge in eine zweite nach hinten gerichtete Spitze ausgezogen, welche beim ♂ durch die darüber gewölbte Schale verborgen wird. — L. ♀ bis 0·56, ♂ bis 0·58 mm. — Fig. 76 p. 263.

Golf von Neapel.

8. **C. paradoxa** G. W. Müll. 1894 *C. p.*, G. W. Müller in: F. Fl. Neapel, *v.* 21 p. 294 t. 17 f. **3, 9**; t. 19 f. 12.

Unterscheidet sich von den anderen Arten mit spitzen, flügelartigen Fortsätzen, besonders durch die Beschaffenheit der Schale über den Flügeln; dieselbe ist glatt, abgesehen von folgenden 4 sehr hohen Leisten: 1) einer sehr kurzen neben den Schließmuskelansätzen, 2) einer langen, wenig nach hinten aufsteigenden, am hinteren Ende herabgebogenen in der oberen Schalenhälfte, 3) einer stärker aufsteigenden, dorsalwärts von der 2., 4) einer den dorsalen Schalenrand begleitenden, ihn im Profil bedeckenden. — L. 0·58 mm.

Golf von Neapel.

9. **C. concinna** A. Scott 1905 *C. c.*, A. Scott in: Herdman, Rep. Ceylon Pearl Fish., Suppl. Rep. 22 p. 376 t. 2 f. 7, 8.

Schale im Profil der von C. mediterranea (nr. 1) ähnlich; Oberfläche gleichmäßig mit zahlreichen, rundlichen Gruben, die nicht in Reihen angeordnet sind. Vom Rücken gesehen C. alata ähnlich, die Spitze der Flügel abgestumpft, der Hinterrand unregelmäßig gezackt. — L. 0·53 mm.

Küste von Ceylon.

10. **C. punctata** G. W. Müll. 1894 *C. p.*, G. W. Müller in: F. Fl. Neapel, *v.* 21 p. 292 t. 18 f. **2, 10, 12, 13**; t. 19 f. 13.

Schalenkontur und Verlauf der Rippen im Profil ähnlich wie bei C. mediterranea (nr. 1); der Raum über den Flügeln beim ♀ glatt und durch einige stark vortretende Rippen in größere und kleinere Felder getrennt, beim ♂ durch deutliche, von Grubenreihen begleitete Rippen in große polygonale Felder geteilt; in beiden Geschlechtern eine über halber Schalenhöhe liegende, etwa horizontal verlaufende Rippe sehr stark entwickelt. In der

Ansicht vom Rücken oder besser vom Bauch zeigt sich, daß beim ♀ die Flügel an ihrer breitesten Stelle, die wenig hinter halber Schalenlänge liegt, nicht in eine Spitze ausgezogen sind, vielmehr eine stumpf gerundete Ecke bilden, von der aus sie sich deutlich verschmälern, um auf $^6/_7$ der Schalenlänge eine deutliche, nach hinten gerichtete Spitze zu bilden; diese hintere Hälfte der Flügel wird in der Ansicht vom Rücken fast ganz verdeckt von der oben erwähnten Rippe der oberen Schalenhälfte. Beim ♂ sind die Flügel schmaler, werden bis auf die hinterste Ecke des hier mehr nach außen gerichteten Fortsatzes von der horizontalen Rippe der oberen Schalenhälfte verdeckt. — L. ♀ bis 0·58, ♂ bis 0·65 mm.

Golf von Neapel.

11. **C. dispar** G. W. Müll. 1894 *C. d.*, G. W. Müller in: F. Fl. Neapel, *v.* 21 p. 293 t. 19 f. 16; t. 20 f. **1, 6, 7**.

Gestalt der Schale, im besonderen der Flügel, in beiden Geschlechtern ähnlich wie bei C. punctata ♀; der Fortsatz am hinteren Ende der Flügel in beiden Geschlechtern schräg nach hinten und lateral gerichtet, abgerundet. In beiden Geschlechtern ist die hintere Schalenhälfte durch deutliche Rippen in polygonale Felder geteilt; die Rippen sind nicht von Grubenreihen begleitet. — L. 0·4—0·42 mm.

Golf von Neapel.

12. **C. costata** G. W. Müll. 1894 *C. c.*, G. W. Müller in: F. Fl. Neapel, *v.* 21 p. 295 t. 8 f. **11, 15**; t. 32 f. 33.

Schale gestreckt, Höhe etwa $^1/_2$ der Länge; Dorsalrand flach gewölbt, gegen den Vorderrand nicht, gegen den Hinterrand nur undeutlich abgegrenzt; hinterer Fortsatz breit, schräg abgestutzt, der hinterste Punkt liegt unter halber Höhe; der flügelartige Fortsatz begleitet in fast gleicher Breite die Schale vom Vorderrande bis annähernd zum hinteren Ende und bildet weit hinten eine in der Ansicht vom Rücken nicht sichtbare Ecke; dorsal vom Flügel verlaufen 7 schmale, scharfe Rippen annähernd horizontal. Vom Rücken gesehen Breite etwa $^{10}/_{17}$ der Länge; die Seiten bilden Bogen, welche fast gleichmäßig zu dem abgestutzten Vorderende und dem etwas zugespitzten Hinterende verlaufen. — L. 0·58 mm.

Golf von Neapel.

13. **C. producta** G. Brady 1867 *C. p.*, G. S. Brady in: A. M. Norman in: Rep. Brit. Ass., Meet. 36 p. 198 (descr. nulla) | 1868 *C. p.*, G. S. Brady in: Tr. Linn. Soc. London, *v.* 26 p. 443 t. 32 f. 60, 61 | 1889 *C. p.*, G. S. Brady & A. M. Norman in: Tr. R. Dublin Soc., ser. 2 *v.* 4 p. 199 t. 19 f. **5, 6**.

Höhe etwas über $^1/_2$ der Länge, am höchsten vor der Mitte; Dorsalrand stark gewölbt, verläuft ohne Andeutung einer Grenze bis zur Spitze des unter halber Höhe liegenden, abgerundeten, hinteren Fortsatzes; Flügel ähnlich wie bei C. costata, doch verlaufen sie nicht so weit nach vorn; Schale über den Flügeln glatt. Ansicht vom Rücken ähnlich wie bei C. costata, doch beide Enden zugespitzt. — L. 0·51 mm.

Küste von Nordeuropa.

14. **C. cryptifera** G. Brady 1880 *C. c.*, G. S. Brady in: Rep. Voy. Challenger, Zool. *v.* 1 Part 3 p. 134 t. 32 f. 4 a—c.

Schale: Höhe $^1/_2$ der Länge; Dorsalrand gerade, dem Ventralrande annähernd parallel, Vorderrand gerundet, gezähnt; Hinterrand gegen den

Ventralrand mit deutlicher Ecke abgesetzt, in der ventralen Hälfte doppelt ausgebuchtet, in der dorsalen Hälfte in einen deutlichen, quer abgestutzten, gegen den Dorsalrand durch eine Ecke abgegrenzten Fortsatz ausgezogen; Flügel ähnlich wie bei C. costata; vom vorderen Ende der Flügel steigt eine umfangreiche Rippe schräg nach hinten auf; der Raum dorsal und ventral von dieser mit unregelmäßigen Gruben. Vom Rücken gesehen ähnlich wie C. producta. — L. 0·4 mm.

Baßstraße.

15. **C. clausi** G. Brady 1880 *C. c.*, G. S. Brady in: Rep. Voy. Challenger, Zool. *v.* 1 Part 3 p. 134 t. 32 f. 8 a—d | ?1901 *C. c.*, Egger in: Abh. Bayer. Ak., *v.* 21 p. 458 t. 8 f. 47—49.

Schale: Höhe $^1/_2$ der Länge; Dorsal- und Ventralrand annähernd gerade, parallel; Vorderrand gerundet; Hinterrand gegen Dorsal- und Ventralrand nicht scharfwinklig abgegrenzt; der hintere Fortsatz schräg abgestutzt, seine ventrale Ecke liegt etwa in halber Höhe. Ohne deutliche flügelartige Fortsätze. Oberfläche mit zahlreichen unregelmäßigen, polygonalen Gruben. Vom Rücken gesehen Breite $^1/_2$ der Länge, am breitesten etwa in der Mitte; die Seiten bilden Bogen, welche ziemlich gleichmäßig bis zum vorderen Ende verlaufen und vor dem hinteren Ende durch einen einspringenden, rechten Winkel unterbrochen sind, wodurch sich ein hinterer Fortsatz scharf abgrenzt. Vorderende schmal abgestutzt. — L. 0·5 mm.

Südafrika (Simonsbay); 18° s. Br., 116° ö. L., 357 m Tiefe?

16. **C. costellata** G. Brady 1880 *C. c.*, G. S. Brady in: Rep. Voy. Challenger, Zool. *v.* 1 Part 3 p. 134 t. 32 f. 7 a—d.

Schalenkontur ähnlich wie bei C. clausii; Dorsalrand schwach gewölbt; Hinterrand stumpfwinklig gegen den Ventralrand abgegrenzt; der hintere Fortsatz deutlich, liegt über halber Höhe, seine Spitze abgerundet; ohne deutliche Flügel; Oberfläche mit zahlreichen anastomosierenden Rippen, zwischen denen einige Längsrippen durch Stärke ausgezeichnet sind. Vom Rücken gesehen Breite kleiner als $^1/_2$ der Länge; Seiten parallel, beide Enden keilförmig zugespitzt; die Seiten der hinteren Spitze eingedrückt, wodurch ein hinterer Fortsatz abgegrenzt wird. — L. 0·5 mm.

Kergueleninseln.

17. **C. affinis** O. Sars 1865 *Cythere a.*, G. O. Sars in: M. Sars, Foss. Dyrelev. Qvart., p. 117 (descr. nulla) | 1866 *Cytherura a.*, G. O. Sars in: Forh. Selsk. Christian., 1865 p. 77 | (non 1868 *C. a.*, G. S. Brady in: Tr. Linn. Soc. London, *v.* 26 p. 443 t. 32 f. 19—21) | 1889 *C. a.*, G. S. Brady & A. M. Norman in: Tr. R. Dublin Soc., ser. 2 *v.* 4 p. 193 t. 18 f. 19, 20.

Schalenkontur der von C. costellata ähnlich; Rücken stärker gewölbt; Hinterrand nicht winklig gegen den Ventralrand abgegrenzt; Oberfläche mit runden Gruben, welche sich mehr oder weniger deutlich in Längsreihen anordnen. Vom Rücken gesehen ähnlich wie C. costellata. — L. 0·6 mm.

Küste von Skandinavien.

18. **C. striata** O. Sars 1865 *Cythere s.*, G. O. Sars in: M. Sars, Foss. Dyrelev. Qvart., p. 117 (descr. nulla) | 1866 *Cytherura s.*, G. O. Sars in: Forh. Selsk. Christian., 1865 p. 74 | 1869 *C. quadrata*, A. M. Norman in: Rep. Brit. Ass., Meet. 38 p. 292 (descr. nulla) | 1872 *C. q.*, G. S. Brady & D. Robertson in: Ann. nat. Hist., ser. 4 *v.* 9 p. 55 t. 1 f. 10, 11 | 1889 *C. striata* (♀), G. S. Brady & A. M. Norman in: Tr. R. Dublin Soc., ser. 2 *v.* 4 p. 196 t. 18 f. 17, 18.

Schalenkontur des ♀ ähnlich wie bei C. clausi (nr. 15); Dorsalrand schwach gewölbt; der hintere Fortsatz kurz aber deutlich, ventral und dorsal durch eine Einbuchtung abgegrenzt, schräg abgestutzt, liegt unter halber Höhe; Oberfläche mit Reihen von Gruben, zwischen denen sich Längsrippen erheben. Schale des ♂ gestreckter, der hintere Fortsatz nicht abgegrenzt. Vom Rücken gesehen Breite deutlich kleiner als $^1/_2$ der Länge, am breitesten wenig vor der Mitte, nach vorn stark keilförmig konvergierend, Vorderende zugespitzt, nach hinten sehr schwach konvergierend; auf etwa $^5/_6$ der Länge biegen die Seiten plötzlich mit stark abgerundeter Ecke medialwärts ein, so daß ein quer abgestutzter hinterer Rand entsteht, aus dessen Mitte sich ein keilförmiger Fortsatz erhebt. — L. 0·4 mm.

Küsten von Europa.

19. **C. angulata** G. Brady 1867 *C. a.*, G. S. Brady in: A. M. Norman in: Rep. Brit. Ass., Meet. 36 p. 198 (descr. nulla) | 1868 *C. a.*, G. S. Brady in: Tr. Linn. Soc. London, *v.* 26 p. 440 t. 32 f. 22—25 | ?1870 *C. insolita*, G. S. Brady in: Tr. nat. Hist. Soc. Northumb., *v.* 3 p. 371 t. 13 f. 11, 12.

Höhe der Schale etwa $^1/_2$ der Länge, am höchsten in der Mitte; Dorsalrand stark gewölbt; Hinterrand deutlich winklig gegen den Ventralrand abgesetzt, mit umfangreichem, quer abgestutztem Fortsatz, der über $^1/_2$ der Schalenhöhe liegt; sein Dorsalrand bildet mit dem übrigen Dorsalrande eine konkave Linie. Oberfläche glatt oder spärlich punktiert. Vom Rücken gesehen schmal, Breite etwa $^1/_3$ der Länge; Seiten annähernd parallel; Vorderende keilförmig zugespitzt; Hinterende quer abgestutzt, mit mittlerem, scharf abgesetztem, umfangreichem Fortsatze. — L. 0·4 mm.

Küste von Nordeuropa.

20. **C. nigrescens** (W. Baird) 1838 *Cythere n.*, W. Baird in: Mag. Zool. Bot., *v.* 2 p. 143 t. 5 f. 27 | 1866 *Cytherura n.*, G. O. Sars in: Forh. Selsk. Christian., 1865 p. 71 | 1888 *C. n.*, Dahl in: Zool. Jahrb. Syst., *v.* 3 p. 627 t. 18 f. **96, 97**, 98, 107—109; t. 19 f. 110—114 | (non 1894 *C. n.*, G. W. Müller in: F. Fl. Neapel, *v.* 21 p. 290 t. 18 f. 3, 11, 14; t. 19 f. 14) | (non 1901 *C. n.*, Egger in: Abh. Bayer. Ak., *v.* 21 p. 459 t. 8 f. 10, 11).

Schalenkontur ähnlich wie bei C. angulata; der stark gewölbte Dorsalrand verläuft in gleicher Weise bis zur hinteren gerundeten Spitze, welche etwa auf halber Schalenhöhe liegt. Oberfläche dicht mit Grübchen bedeckt, zwischen denen einige netzförmig verlaufende Linien frei bleiben. Vom Rücken gesehen Breite kleiner als $^1/_2$ der Länge, am breitesten auf $^1/_2$ der Länge; die Seiten bilden Bogen, welche annähernd gleichmäßig bis zu beiden Körperenden verlaufen und nahe dem Vorderende sehr schwach, nahe dem Hinterende deutlicher eingedrückt sind; ein hinterer Fortsatz ist nur undeutlich abgegrenzt. — L. 0·4—0·43 mm.

Küste von Nordeuropa.

21. **C. gibba** (Müll.) 1785 *Cythere g.* (♂), *C. gibbera* (♀), O. F. Müller, Entom., p. 66 t. 7 f. 5, 6; t. 7 f. 10—12 | 1788 *Monoculus gibber* + *M. gibbus*, J. F. Gmelin, Syst. Nat., *v.* 5 p. 3001 | 1793 *M. coarctatus*, J. C. Fabricius, Ent. syst., *v.* 2 p. 495 | 1840 *Cythere gibbosa*, H. Milne-Edwards, Hist. nat. Crust., *v.* 3 p. 408 | ?1854 *C. gibba*, Zenker in: Arch. Naturg., *v.* 20i p. 84 t. 5 f. D | 1866 *Cytherura g.* (♂ & ♀), G. O. Sars in: Forh. Selsk. Christian., 1865 p. 70 | 1868 *C. robertsoni* (♀), G. S. Brady in: Tr. Linn. Soc. London, *v.* 26 p. 444 t. 32 f. 16—18 | 1889 *C. gibba*, G. S. Brady & A. M. Norman in: Tr. R. Dublin Soc., ser. 2 *v.* 4 p. 190 t. 18 f. **13—16**; t. 22 f. 6—12; t. 23 f. 8 | ?1901 *C. g.*, Egger in: Abh. Bayer. Ak., *v.* 21 p. 458 t. 8 f. 28—30.

Schale des ♀: Höhe etwa $^1/_2$ der Länge; Dorsal- und Ventralrand annähernd parallel; Hinterrand gegen Dorsal- und Ventralrand nicht winklig

abgegrenzt, mit kurzem, breitem, nur undeutlich abgegrenztem, abgestutztem Fortsatz, der über halber Höhe liegt; ohne Flügel aber mit kugligem Wulst am Rande der Ventralfläche und etwa in halber Schalenlänge; mit polygonaler, durch schmale, scharfe Rippen hergestellter Felderung, welche sich fast über die ganze, dorsale Schalenhälfte erstreckt; die Felder dicht mit kleinen Gruben bedeckt. Vom Rücken gesehen Breite $^7/_{12}$ der Länge, am breitesten hinter der Mitte; die Seiten bilden starke Bogen, die ziemlich gleichmäßig vom schwach zugespitzten Vorderende bis zum Hinterende verlaufen, an welchem durch einen deutlichen Eindruck ein Fortsatz abgegrenzt wird; die bei der Profilansicht erwähnten Wülste erscheinen als kurze, stärkere Bogen, welche die Regelmäßigkeit der seitlichen Bogen unterbrechen, dieselben überragen; diese kurzen Bögen sind nach hinten deutlich, nach vorn undeutlich abgegrenzt. Schale des ♂ der des ♀ ähnlich; der Wulst viel kleiner, in der Rückenansicht nicht sichtbar; in dieser Ansicht schmal, Breite etwa $^1/_2$ der Länge, am breitesten auf $^2/_3$ der Länge, nach vorn keilförmig zugespitzt; in der hinteren Hälfte verlaufen die Seiten annähernd parallel, wenden sich erst auf etwa $^5/_6$ der Länge medialwärts; ein hinterer Fortsatz ist abgegrenzt. — L. ♀ 0·45, ♂ 0·55 mm.

In Brackwasser an der nordeuropäischen Küste; 18° s. Br., 116° ö. L., 357 m Tiefe?

22. **C. sella** O. Sars ?1866 *C. s.*, G. O. Sars in: Forh. Selsk. Christian., 1865 p. 73 | 1867 *C. cuneata* (♂), G. S. Brady in: Intell. Observ., *v.* 12 p. 124 | 1868 *C. c.* (♂), G. S. Brady in: Tr. Linn. Soc. London, *v.* 26 p. 442 t. 32 f. 35—38, 63 | ?1869 *C. flavescens* (♀), G. S. Brady in: Ann. nat. Hist., ser. 4 *v.* 3 p. 49 t. 8 f. 13—15 | 1889 *C. sella*, G. S. Brady & A. M. Norman in: Tr. R. Dublin Soc., ser. 2 *v.* 4 p. 194 t. 18 f. 3—6.

Schale des ♀ im Profil der von C. gibba ähnlich, aber der hintere Fortsatz weniger deutlich abgegrenzt, abgerundet; Skulptur ebenfalls ähnlich, doch mit ausgesprochenen Längsrippen; der Wulst am Ventralrande fehlt. Vom Rücken gesehen Breite deutlich kleiner als $^1/_2$ der Länge, am breitesten wenig hinter der Mitte; die Seiten bilden flache Bogen, ein hinterer Fortsatz ist deutlich abgegrenzt. Schale des ♂ wenig gestreckter, der hintere Fortsatz nicht abgegrenzt, breit gerundet; vom Rücken ähnlich wie das ♂ von C. gibba, vorn nicht zugespitzt, sondern gerundet. — L. ♀ 0·43, ♂ 0·48 mm.

Küste von Europa.

23. **C. clavata** G. Brady 1880 *C. c.*, G. S. Brady in: Rep. Voy. Challenger, Zool. *v.* 1 Part 3 p. 133 t. 29 f. 7 a—d.

Schale: Umriß im Profil ähnlich wie bei C. gibba ♀; der hintere Fortsatz kurz und breit, aber deutlich abgegrenzt, quer abgestutzt, liegt wenig über halber Höhe; mit starkem, querem Eindruck auf halber Schalenlänge und zahlreichen, zarten, anastomosierenden Längslinien. Vom Rücken ähnlich wie C. gibba ♀; aber das Vorderende gerundet, über der Rundung erhebt sich eine mittlere Spitze; die Seiten auf halber Länge etwas eingedrückt, beim ♀ deutlicher als beim ♂. — L. 0·65 mm.

Falklandsinseln.

24. **C. curvistriata** G. Brady 1880 *C. c.*, G. S. Brady in: Rep. Voy. Challenger, Zool. *v.* 1 Part 3 p. 131 t. 32 f. 10 a—d.

Schalenkontur ähnlich wie bei C. gibba ♀, Höhe etwas größer als $^1/_2$ der Länge; der Hinterrand auf etwa $^5/_6$ der Schalenlänge dorsal mit deutlicher, ventral mit abgerundeter Ecke abgegrenzt; er bildet einen Winkel mit gleichen Schenkeln und stark abgestutzter Spitze ohne Andeutung eines Fortsatzes; Oberfläche mit nicht sehr auffälligen, gebogenen Längsrippen,

der Raum zwischen diesen mit eckigen Gruben. Vom Rücken gesehen Breite größer als $^1/_2$ der Länge, am breitesten hinter der Mitte, Seiten oval; das Vorderende abgestutzt, mit mittlerer Spitze; das Hinterende treppenartig gebildet. — L. 0·40 mm.

Australien (Port Jackson).

25. **C. similis** O. Sars 1866 *C. s.*, G. O. Sars in: Forh. Selsk. Christian., 1865 p. 72 | ?1868 *C. s.* (♂?), G. S. Brady in: Tr. Linn. Soc. London, *v.* 26 p. 442 t. 32 f. 56—59 | ?1868 *C. sarsii*, G. S. Brady in: Tr. Linn. Soc. London, *v.* 26 p. 442 t. 32 f. 39—42 | 1870 *C. propinqua*, G. S. Brady & D. Robertson in: Ann. nat. Hist., ser. 4 *v.* 6 p. 24 t. 10 f. 1, 2 | 1889 *C. similis*, G. S. Brady & A. M. Norman in: Tr. R. Dublin Soc., ser. 2 *v.* 4 p. 203 t. 18 f. **7—9**.

Schale des ♂ im Profil der von C. curvistriata ähnlich, etwas gestreckter; Oberfläche glatt oder nach den Enden hin mit undeutlichem Netzwerk. Schale des ♀ höher, der Dorsalrand gewölbt, gegen den Hinterrand nicht abgegrenzt. Vom Rücken gesehen schmal, Breite etwa $^5/_{12}$ der Länge, am breitesten auf etwa $^2/_3$ der Länge; die Seiten bilden flache Bogen; beide Enden zugespitzt; am hinteren Ende ein mittlerer Fortsatz durch eine flache Bucht abgegrenzt. — L. 0·55 mm.

Küste von Nordeuropa.

26. **C. rara** G. W. Müll. 1894 *C. r.*, G. W. Müller in: F. Fl. Neapel, *v.* 21 p. 299 t. 17 f. **14, 15**; t. 19 f. 20 | 1895 *C. gracilis*, Lienenklaus in: Jahresber. Ver. Osnabrück, *v.* 10 p. 149 t. 3 f. 3a—c | ?1901 *C. g.*, Egger in: Abh. Bayer. Ak., *v.* 21 p. 459 t. 8 f. 26, 27.

Schale: Höhe etwa $^5/_8$ der Länge; Dorsalrand wenig nach hinten abfallend, annähernd gerade; der Hinterrand bildet einen Winkel mit etwas längerem dorsalen, kürzerem ventralen Schenkel, die nicht abgerundete Spitze liegt wenig unter $^1/_2$ der Höhe; er ist ventral deutlich, dorsal undeutlich gegen Ventral- und Dorsalrand abgegrenzt. Oberfläche mit großen, scharf begrenzten, meist viereckigen Gruben bedeckt, die sich zum Teil in Längsreihen ordnen. Vom Rücken gesehen Breite annähernd $^1/_2$ der Länge, am breitesten auf $^1/_3$ der Länge, von hier nach vorn stark in flachem Bogen, nach hinten schwach und geradlinig konvergierend; auf $^6/_7$ der Länge wenden sich die Seiten in stumpfem Winkel medialwärts, so daß sie hier stumpfwinklig abgestutzt erscheinen, in der Mitte des Hinterrandes erhebt sich ein umfangreicher Fortsatz. — L. 0·35 mm.

Golf von Neapel; 18° s. Br., 116° ö. L., 357 m Tiefe?

27. **C. reticulata** G. W. Müll. 1894 *C. r.*, G. W. Müller in: F. Fl. Neapel, *v.* 21 p. 298 t. 17 f. **12, 13**; t. 19 f. 17.

Umriß der Schale ähnlich wie bei C. rara, gestreckter; Dorsalrand flach gewölbt; Spitze des Winkels des Hinterrandes abgerundet, liegt über halber Höhe. Oberfläche dicht mit kleinen, polygonalen, durch flache, aber scharf begrenzte Rippen getrennte Gruben bedeckt; einzelne Rippen und zwar besonders Längsrippen sind durch Stärke ausgezeichnet. Vom Rücken gesehen ähnlich wie C. rara, aber am breitesten nahe der hinteren Ecke; die Seiten in flach konkaver Linie konvergierend. — L. 0·41—0·45 mm.

Golf von Neapel.

28. **C. notalis** G. W. Müll. 1908 *C. n.*, G. W. Müller in: D. Südp.-Exp., *v.* 10 p. 106 t. 18 f. **4**.

Schalenumriß links ähnlich wie bei C. rara, Höhe etwa $^1/_2$ der Länge, die hintere Spitze stark abgerundet, liegt auf halber Höhe. Oberfläche dicht

mit rundlichen, scharf konturierten, kleinen Gruben bedeckt; dieselben ordnen sich zu undeutlichen, überwiegend in der Längsrichtung verlaufenden Reihen an, die zwischen sich undeutliche Rippen erkennen lassen. Die Gruben fehlen nur am Vorderrande. Rechte Schale hinten stark abgestutzt und gerundet. Vom Rücken gesehen länglich oval, Breite etwa $^1/_2$ der Länge, am breitesten etwa auf halber Länge, beide Enden etwas unregelmäßig abgerundet. — L. ♀ 0·5 mm, ♂ unbekannt.

Antarktis, Gaußstation, in 385 m Tiefe.

29. **C. sulcata** G. W. Müll. 1894 *C. s.*, G. W. Müller in: F. Fl. Neapel, *v.* 21 p. 297 t. 17 f. **4, 10**; t. 19 f. 19.

Schale gestreckt, Höhe etwa $^{11}/_{25}$ der Länge; Dorsalrand flach gewölbt; der Bogen verläuft ohne Andeutung einer Grenze bis zur oberen Ecke der hinteren, stark abgestutzten Spitze, die etwa in halber Schalenhöhe liegt. Oberfläche mit flachen, durch scharfe Rippen getrennten Furchen; die Furchen verlaufen überwiegend horizontal, einige kurze steigen zum Auge auf, alle konvergieren nach einem Punkte am Vorderrande in der ventralen Schalenhälfte; in jeder Furche eine meist einfache Reihe von runden Gruben. Vom Rücken gesehen Breite $^{10}/_{23}$ der Länge; die Seiten bilden flache Bogen; Vorderende breit gerundet; Hinterende stumpfwinklig zugespitzt, beim ♀ nur undeutlich, beim ♂ deutlicher gegen die Seiten abgesetzt, ohne deutlichen mittleren Fortsatz. — L. ♀ 0·49, ♂ 0·53 mm.

Golf von Neapel.

30. **C. simplex** G. Brady & Norm. ?1872 *C. s.*, G. S. Brady & D. Robertson in: Ann. nat. Hist., ser. 4 *v.* 9 p. 66 (descr. nulla) | ?1874 *C. sarsii*, G. S. Brady & D. Robertson in: Ann. nat. Hist., ser. 4 *v.* 13 p. 117 t. 4 f. 6, 7 | 1889 *C. simplex*, G. S. Brady & A. M. Norman in: Tr. R. Dublin Soc., ser. 2 *v.* 4 p. 200 t. 18 f. **1, 2** | 1894 *C. s.*, G. W. Müller in: F. Fl. Neapel, *v.* 21 p. 299 t. 17 f. **5, 11**; t. 32 f. 39.

Von allen anderen Arten der Gattung unterschieden durch den Mangel jeder Skulptur und durch die tiefe Lage der hinteren, stark abgerundeten Spitze zwischen $^1/_4$ und $^1/_3$ der Höhe. Vom Rücken gesehen schmal, Breite etwa $^2/_5$ der Länge; die Seiten bilden flache Bogen, beide Enden zugespitzt, ein hinterer Fortsatz nicht angedeutet. — L. 0·35—0·5 mm.

Küste von England; Golf von Neapel.

31. **C. cribriformis** G. W. Müll. 1894 *C. c.*, G. W. Müller in: F. Fl. Neapel, *v.* 21 p. 295 t. 17 f. **1, 6**; t. 19 f. 10.

Von allen anderen Arten der Gattung ohne deutliche, flügelartige Leisten unterschieden durch die große Breite der Schale, verbunden mit der flachen Form der Seiten. Vom Rücken gesehen Breite $^4/_7$ der Länge, am breitesten etwa in der Mitte; die Seiten bilden flache Bogen, welche sich erst nahe dem vorderen und hinteren Ende stark medialwärts wenden, vorn im Bogen, hinten mit Andeutung einer Ecke; Vorderende breit gerundet, mit 2 kleinen Spitzen; Hinterende in der Mitte zu einem Fortsatze erhoben, der nicht scharf abgesetzt ist. Oberfläche durch undeutliche, zum Teil horizontal verlaufende Rippen in meist viereckige Felder geteilt, in denen zahlreiche runde Gruben sind. — L. 0·58 mm.

Golf von Neapel.

32. **C. incongruens** G. W. Müll. 1894 *C. i.*, G. W. Müller in: F. Fl. Neapel, *v.* 21 p. 296 t. 17 f. **2, 7, 8**; t. 19 f. 7.

Schale des ♂ ähnlich wie bei C. cribriformis; in der Ansicht vom Rücken treten an Stelle der starken Rundung am Vorderende flache Bogen;

neben den kleinen, mittleren Spitzen überragen 4 zum Teil sich deckende den Bogen des Vorderendes; der Hinterrand links stumpfwinklig, rechts fast rechtwinklig gegen die flachen Seiten abgegrenzt. Beim ♀ bilden die Seiten stärkere Bogen; die winklige Grenze zwischen Seiten und Hinterrand ist links fast ganz unterdrückt, rechts deutlich. Oberfläche mit flachen, in der ventralen Hälfte meist viereckigen, in der dorsalen rundlichen Gruben, welche in der Mitte einen stark lichtbrechenden Punkt zeigen. — L. 0·58 mm.

Golf von Neapel.

C. acris G. Brady 1868 *C. a.*, G. S. Brady in: Ann. nat. Hist., ser. 4 *v.* 2 p. 224 t. 15 f. 3, 4.

Tenedos.

C. acuticostata O. Sars 1866 *C. a.*, G. O. Sars in: Forh. Selsk. Christian., 1865 p. 76 | 1868 *C. a.*, G. S. Brady in: Tr. Linn. Soc. London, *v.* 26 p. 445 t. 32 f. 1—11.

Küste von Europa.

C. curvicostata G. Brady 1890 *C. c.*, G. S. Brady in: Tr. R. Soc. Edinb., *v.* 35 t. 3 f. 28, 29 (im Text nicht erwähnt; identisch mit C. longicaudata des Verzeichnisses p. 521?).

C. exserta G. Brady & Norm. 1889 *C. e.*, G. S. Brady & A. M. Norman in: Tr. R. Dublin Soc., ser. 2 *v.* 4 p. 196 t. 20 f. **24, 25.**

Küste von Norwegen (Stoksund).

C. lineata G. Brady 1867 *C. l.*, G. S. Brady in: Intell. Observ., *v.* 12 p. 124 | 1868 *C. l.*, G. S. Brady in: Tr. Linn. Soc. London, *v.* 26 p. 441 t. 32 f. 30—34, 67.

Küste von England.

C. nervosa G. Brady 1869 *C. n.*, G. S. Brady in: Folin & Périer, Fonds Mer, *v.* 1 p. 114 t. 13 f. 13, 14.

Küste von Syrien.

C. obtusata G. Brady 1869 *C. o.*, G. S. Brady in: Ann. nat. Hist., ser. 4 *v.* 3 p. 46 (descr. nulla).

Piraeus.

C. rudis G. Brady 1868 *C. r.*, G. S. Brady in: Ann. nat. Hist., ser. 4 *v.* 2 p. 34 t. 5 f. 15—17 | ?1871 *C. granulosa*, G. S. Brady & Crosskey in: Geol. Mag., *v.* 8 p. 64 t. 2 f. 14, 15 | 1879 *C. granulata*, G. S. Brady in: Folin & Périer, Fonds Mer, *v.* 3 p. 118 (descr. nulla) | ?1880 *C. rudis*(?), G. S. Brady in: Rep. Voy. Challenger, Zool. *v.* 1 Part 3 p. 132 t. 32 f. 3 a—d | 1889 *C. r.* (part.)?, G. S. Brady & A. M. Norman in: Tr. R. Dublin Soc., ser. 2 *v.* 4 p. 204 t. 18 f. **10—12**; t. 19 f. 21.

Arktische Meere; Magalhaens-Straße.

C. speciosa Seg. 1885 *C. s.*, Seguenza in: Natural. Sicil., *v.* 4 p. 78 [t. 2 f. 7?].

Hafen von Messina.

C. sp. 1901 *C. alata* (non *C. a.* G. W. Müller 1894), Egger in: Abh. Bayer. Ak., *v.* 21 p. 457 t. 8 f. 35—37.

18° s. Br., 116° ö. L., 357 m Tiefe.

C. sp. 1890 *C. mucronata* (non *C. m.* G. S. Brady 1880), T. Scott in: Rep. Fish. Board Scotl., *v.* 8 p. 323 t. 12 f. 3, 5 | 1896 *C. m.* (? Larve von *C. producta*), G. S. Brady & A. M. Norman in: Tr. R. Dublin Soc., ser. 2 *v.* 5 p. 736 t. 63 f. 18, 19.

Schottland (Vor St. Monace).

C. sp. 1901 *C. nigrescens* (non *Cythere [Cytherura] n.* W. Baird 1838), Egger in: Abh. Bayer. Ak., *v.* 21 p. 459 t. 8 f. 10, 11.

10° n. Br., 17° w. L., 677 m Tiefe.

C. sp. 1901 *C. undata* (non *C. u.* O. Sars 1865), Egger in: Abh. Bayer. Ak., *v.* 21 p. 460 t. 4 f. 38, 39.

18° s. Br., 116° ö. L., 357 m Tiefe.

6. Gen. **Cytheropteron** O. Sars

1866 *Cytheropteron* (part.), G. O. Sars in: Forh. Selsk. Christian., 1865 p. 79 | 1894 *C.*, G. W. Müller in: F. Fl. Neapel, *v.* 21 p. 300.

Schale mit ähnlichen Umrissen wie bei Cytherura, auch häufig mit flügelartigen Fortsätzen; Oberfläche glatt oder mit kleinen, selten großen Gruben; Dorsalrand meist gewölbt. Schloßrand zwischen den beiden starken Zähnen der rechten Schale mehr oder weniger umfangreich gezähnelt, stets mit mehr als 2 Zähnen; Innenrand und Verwachsungslinie fallen zusammen bis auf ein kleines Stück am Vorderrande, wo sie sich stets (?) voneinander entfernen; beide bilden in der hinteren Schalenhälfte eine senkrechte Linie oder einen nach vorn offenen, niemals einen nach hinten offenen Bogen. 1. Antenne 5- oder 6-gliedrig; das letzte Glied weniger als halb so lang wie das vorletzte; das 2. Glied mit ventraler Borste. Atemplatte der Maxille mit 2 mundwärts gerichteten Strahlen, die annähernd gleich lang sind. Hinterrand des 1. Gliedes (Stammes) des 1. Thoraxbeines mit Doppelborste. Furca des ♀ klein, mit 1 oder 2 Borsten.

Wo nicht ausdrücklich anders bemerkt, gelten folgende Merkmale: Dorsalrand gewölbt, geht ohne Andeutung einer Grenze in den gerundeten Vorderrand über; Ventralrand und Hinterrand nicht gegeneinander abgegrenzt, oder die Grenze im Profil durch die Flügel verborgen; Hinterrand in eine meist abgerundete Spitze ausgezogen, welche über halber Höhe liegt. Ich beschränke mich meist auf Beschreibung der charakteristischen Ansicht vom Rücken.

24 sichere, 5 unsichere Arten.

1. **C. latum** G. W. Müll. 1894 *C. l.*, G. W. Müller in: F. Fl. Neapel, *v.* 21 p. 300 t. 20 f. **3, 9**; t. 21 f. 10—14.

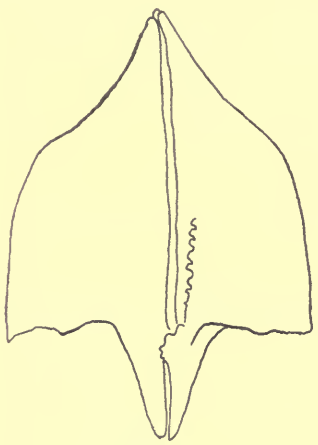

Fig. 77.
Cytheropteron latum. Ansicht vom Rücken ($^{135}/_{1}$).

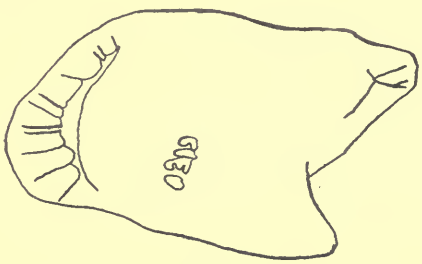

Fig. 78.
Cytheropteron latum. Linke Schale ($^{135}/_{1}$).

Vom Rücken gesehen Breite etwa $^{7}/_{10}$ der Länge, am breitesten auf etwa $^{4}/_{5}$ der Länge, wo die starken Flügel einen spitzen Winkel bilden; der Hinterrand der Flügel schneidet mit einer zur Achse etwa senkrechten, aus zwei Bogen zusammengesetzten Linie ab; über dieser Linie erhebt sich

das schmale, keilförmig zugespitzte Hinterende der Schale; nach vorn konvergieren die Seiten bis zu etwa $^1/_3$ der Schalenlänge wenig und sind fast geradlinig; von da aus konvergieren sie stark in schwach S-förmig geschwungener Linie zum zugespitzten Vorderende. Oberfläche mit kleinen, flachen, mehr oder weniger deutlich konturierten Gruben bedeckt. — L. 0·42 mm. — Fig. 77, 78.

Golf von Neapel.

2. **C. abyssorum** G. Brady 1880 *C. a.*, G. S. Brady in: Rep. Voy. Challenger, Zool. *v.* 1 Part 3 p. 138 t. 34 f. 3 a—d.

Hinterrand in eine scharfe Spitze ausgezogen. Ansicht vom Rücken der von C. latum ähnlich, am breitesten auf etwa $^3/_5$ der Schalenlänge; Hinterrand der Flügel gerade; Hinterende zu beiden Seiten der Spitze deutlich eingedrückt. Oberfläche nur zum Teil mit etwas eckigen Gruben besetzt. — L. 0·5 mm.

42° 42′ s. Br., 134° 10′ ö. L., 4755 m Tiefe.

3. **C. assimile** G. Brady 1880 *C. a.*, G. S. Brady in: Rep. Voy. Challenger, Zool. *v.* 1 Part 3 p. 138 t. 34 f. 2 a—d.

C. abyssorum ähnlich; im Profil Hinterende mit gerundeter Spitze; in der Ansicht vom Rücken Breite etwa $^3/_5$ der Länge; hintere Ecke der Flügel stumpfwinklig; Oberfläche dicht mit etwas stumpfwinkligen Gruben bedeckt. — L. 0·75 mm.

Kerguelen, Heardinseln; Funafuti.

4. **C. arcuatum** G. Brady, Crosskey & D. Roberts. 1874 *C. a.*, G. S. Brady, Crosskey & D. Robertson in: Pal. Soc. Mon., p. 203 t. 8 f. 16—18; t. 14 f. 19—22 | 1889 *C. a.*, G. S. Brady & A. M. Norman in: Tr. R. Dublin Soc., ser. 2 *v.* 4 p. 213 t. 19 f. 28—30 | ?1901 *C. a.*, Egger in: Abh. Bayer. Ak., *v.* 21 p. 461 t. 7 f. 18—20.

Ansicht vom Rücken der von C. latum ähnlich; Ecke der Flügel rechtwinklig; Hinterrand derselben gerade; nach vorn von der Ecke bildet der schwach konvergierende Teil mit dem stark konvergierenden einen mehr oder weniger deutlichen stumpfen Winkel, dessen beide Schenkel annähernd gerade sind. Oberfläche unregelmäßig quer gewellt und gefurcht. — L. 0·44 mm.

Baffinsbay; Kap Frazer; 18° s. Br., 116° ö. L., 357 m Tiefe.

5. **C. hamatum** O. Sars 1868 *C. vespertilis* (non *Cypridina v.* Reuss 1850), G. S. Brady in: Ann. nat. Hist., ser. 4 *v.* 2 p. 33 t. 5 f. 6, 7 | 1870 *C. hamatum*, G. O. Sars in: Forh. Selsk. Christian., 1869 p. 172 | 1889 *C. h.*, G. S. Brady & A. M. Norman in: Tr. R. Dublin Soc., ser. 2 *v.* 4 p. 212 t. 20 f. **13—15**.

Im Profil Vorderrand gezähnelt; vom Rücken gesehen C. latum ähnlich, die Ecken der Flügel in schlanke, gebogene, hornartige Fortsätze ausgezogen. Oberfläche fein punktiert. — L. 0·7 mm.

Lofoten; Küste von Norwegen; Spitzbergen; Davisstraße.

6. **C. alatum** O. Sars 1866 *C. a.*, G. O. Sars in: Forh. Selsk. Christian., 1865 p. 81 | 1872 *C. inornatum* (juv.), G. S. Brady & D. Robertson in: Ann. nat. Hist., ser. 4 *v.* 9 p. 61 t. 2 f. 1—3 | 1889 *C. alatum*, G. S. Brady & A. M. Norman in: Tr. R. Dublin Soc., ser. 2 *v.* 4 p. 214 t. 20 f. **8—10**.

Vom Rücken gesehen Breite etwa gleich der Länge; die Flügel bilden eine nach hinten und lateralwärts gerichtete Spitze, von der aus die Seiten sofort stark, fast direkt nach der Spitze hin konvergieren; auf etwa $^1/_4$ der Länge bilden die Seiten stumpfe Winkel, deren vorderer Schenkel einen kon-

kaven Bogen macht; der Hinterrand der Flügel setzt sich nicht scharf gegen die eigentliche Schale ab, geht in flachem, konkavem Bogen in das Hinterende über und ist grob gezähnelt. Oberfläche glatt oder fein punktiert. — L. 0·7 mm.

Shetlandinseln; Küste von Norwegen und England; Funafuti.

7. **C. crassipinatum** G. Brady & Norm. 1889 *C. c.*, G. S. Brady & A. M. Norman in: Tr. R. Dublin Soc., ser. 2 *v.* 4 p. 212 t. 20 f. **16—18.**

Vom Rücken gesehen Breite über $^4/_5$ der Länge; die Ecke der Flügel spitzwinklig, die Seiten nach vorn in flachem Bogen, aber ohne Andeutung einer Ecke zur Spitze konvergierend; der Bogen neben der Spitze und neben der Ecke etwas eingedrückt; Hinterrand der Flügel S-förmig gebogen, gegen die hintere Schalenhälfte nicht scharf abgegrenzt. Oberfläche mit unregelmäßigen Gruben. — L. 0·4 mm.

Küste von Irland.

8. **C. intermedium** G. Brady 1878 *C. i.*, G. S. Brady in: Tr. zool. Soc. London, *v.* 10 p. 403 t. 69 f. 3 a—c | 1880 *C. i.*, G. S. Brady in: Rep. Voy. Challenger, Zool. *v.* 1 Part 3 p. 137 t. 34 f. 1 a—d | (non 1901 *C. i.*, Egger in: Abh. Bayer. Ak., *v.* 21 p. 461 t. 7 f. 6—9).

Vom Rücken gesehen Breite $^4/_7$ der Länge; Ecke der Flügel stumpfwinklig, wenig abgerundet; Seiten nach vorn in sehr flachem Bogen zur Spitze konvergierend, neben der Spitze deutlich eingedrückt; Hinterrand der Flügel gerade, mit der hinteren Schalenhälfte einen ziemlich deutlichen, stumpfen Winkel bildend. Oberfläche fast glatt. — L. 0·5 mm.

Atlantische Küste von Spanien (Vigo), 20 m Tiefe; Funafuti.

9. **C. punctatum** G. Brady 1867 *C. p.*, G. S. Brady in: A. M. Norman in: Rep. Brit. Ass., Meet. 36 p. 198 (descr. nulla) | 1867 *C. tricorne* (non *Cythere tricorne* Bornemann 1855), G. S. Brady in: A. M. Norman in: Rep. Brit. Ass., Meet. 36 p. 208 (descr. nulla) | 1868 *C. punctatum*, G. S. Brady in: Tr. Linn. Soc. London, *v.* 26 p. 449 t. 34 f. 45—48.

Vom Rücken gesehen C. intermedium ähnlich, etwas breiter; Ecke deutlich, rechtwinklig; die ganze Oberfläche fein punktiert. — L. 0·46 mm.

Küste von Norwegen; Franz Joseph-Land; England; Bay von Biscaya.

10. **C. wellingtoniense** G. Brady 1880 *C. w.*, G. S. Brady in: Rep. Voy. Challenger, Zool. *v.* 1 Part 3 p. 136 t. 34 f. 4 a—d.

Vom Rücken gesehen Breite etwa $^7/_{12}$ der Länge; die Ecken der Flügel abgerundet; nach vorn verlaufen die Seiten in gleichmäßigem, ziemlich starkem, nicht eingedrücktem Bogen bis zur Spitze; Hinterrand der Flügel gerade, sehr kurz; die Seiten der eigentlichen Schale reichen fast bis an die Spitze der Flügel (etwa $^1/_{10}$ der Gesamtbreite bleibt frei); Hinterende keilförmig zugespitzt. Hintere Hälfte mit dicht stehenden kleinen Punkten. — L. 0·5—0·75 mm.

Küste von Neuseeland.

11. **C. latissimum** (Norm.) 1862 (?) *Cythere obesa* (non *Cytherina o.* Reuss 1850), A. M. Norman (in MS.) in: Tr. Tyneside Club, *v.* 5 p. 266 | 1865 *C. latissima*, A. M. Norman in: Tr. nat. Hist. Soc. Northumb., *v.* 1 p. 19 t. 6 f. 5—8 | 1866 *C. convexum*, G. O. Sars in: Forh. Selsk. Christian., 1865 p. 80, 130 | 1868 *Cytheropteron latissimum*, G. S. Brady in: Tr. Linn. Soc. London, *v.* 26 p. 448 t. 34 f. 26—30.

Ansicht vom Rücken der von C. wellingtoniense sehr ähnlich; Oberfläche mit ziemlich großen, länglichen Gruben, welche zu queren, in flachem Bogen verlaufenden Reihen angeordnet sind. — L. 0·63 mm.

Küste von Nordeuropa; Baffinsbay; Franz Joseph-Land.

12. **C. rarum** G. W. Müll. 1894 *C. r.*, G. W. Müller in: F. Fl. Neapel, *v.* 21 p. 304 t. 20 f. **12, 15**; t. 21 f. 17, 19.

Im Profil Dorsalrand gerade, annähernd horizontal; der dorsale Rand des hinteren Schalenfortsatzes liegt annähernd in der Verlängerung des Dorsalrandes. Vom Rücken gesehen Breite etwa $^2/_3$ der Länge; Seiten von der stark abgerundeten Ecke der Flügel aus nach vorn in flachem Bogen konvergierend, neben dem Vorderende deutlich eingedrückt; Vorderende unregelmäßig abgestutzt; der Hinterrand der Flügel wird durch zwei kleine aber starke Bogen gebildet; Hinterende etwa treppenartig gestaltet; neben dem mittleren Fortsatz 2 Spitzen. Oberfläche mit scharfen Gruben und Leisten. — L. 0·35 mm.

Golf von Neapel.

13. **C. rotundatum** G. W. Müll. 1894 *C. r.*, G. W. Müller in: F. Fl. Neapel, *v.* 21 p. 301 t. 20 f. **4, 10**; t. 21 f. 20.

Schale vom Rücken gesehen: Breite etwa $^7/_{10}$ der Länge; die Flügel bilden keine deutliche Ecke, vielmehr einen starken, etwas unregelmäßigen Bogen, der nach vorn in die annähernd geradlinig konvergierenden Seiten übergeht und sich nach hinten auf etwa $^7/_{10}$ der Länge stumpfwinklig, aber deutlich gegen das keilförmig zugespitzte Hinterende abgrenzt. Oberfläche besonders in der hinteren ventralen Hälfte mit rundlichen Gruben, die weite Räume zwischen sich freilassen. — L. 0·44—0·46 mm.

Golf von Neapel.

14. **C. pyramidale** G. Brady 1868 *C. p.*, G. S. Brady in: Ann. nat. Hist., ser. 4 *v.* 2 p. 34 t. 5 f. 11—14 | 1889 *C. p.*, G. S. Brady & A. M. Norman in: Tr. R. Dublin Soc., ser. 2 *v.* 4 p. 208 t. 20 f. **1—3**.

Schale vom Rücken gesehen der von C. rotundatum ähnlich; die Seiten nahe dem Vorderende etwas eingedrückt. Oberfläche mit ziemlich dicht stehenden, meist ovalen Gruben, die den größeren Teil der dorsalen Hälfte einnehmen und mehr oder weniger deutlich in Querreihen geordnet sind. — L. 0·54 mm.

Arktische Meere.

15. **C. gibbosum** G. Brady 1868 *C. g.*, G. S. Brady in: Folin & Périer, Fonds Mer, *v.* 1 p. 79 t. 10 f. 11—13.

In der Ansicht vom Rücken C. rotundatum ähnlich; die Bogen, welche die Flügel und Seiten bilden, unregelmäßig treppenartig gestaltet. Oberfläche mit zahlreichen runden Gruben. — L. 0·95 mm.

Südchinesisches Meer.

16. **C. abyssicolum** G. W. Müll. 1894 *C. a.*, G. W. Müller in: F. Fl. Neapel, *v.* 21 p. 302 t. 20 f. **5, 11**; t. 21 f. 4—9.

Vom Rücken gesehen Breite wenig größer als $^1/_2$ der Länge; am breitesten wenig hinter der Mitte; die Seiten bilden hier stumpfe Winkel mit stark gerundeten Ecken, deren beide Schenkel annähernd geradlinig oder eingedrückt mit denen der anderen Seite nach vorn und hinten konvergieren;

vordere Hälfte keilförmig zugespitzt, hintere auf etwa $^9/_{10}$ der Länge querbogig abgestutzt, mit mittlerem, schmalem, an seiner Basis scharf abgesetztem Fortsatz. Oberfläche mit starker, aufsteigender Rippe, die in der Ansicht vom Rücken zum Teil die Flügel verbirgt; mit ziemlich scharf begrenzten, rundlichen Gruben bedeckt. — L. 0·4 mm.

Golf von Neapel.

17. **C. gaussi** G. W. Müll. 1908 *C. g.*, G. W. Müller in: D. Südp. Exp., *v.* 10 p. 110 t. 16 f. 1, 5.

Vom Rücken gesehen Breite etwa $^2/_3$ der Länge, am breitesten etwa in der Mitte; die Seiten bilden im mittleren Drittel flache Bogen, im vorderen Drittel konvergieren sie fast geradlinig zu dem zugespitzten, wenig klaffenden Vorderende; im hinteren Drittel verlaufen die Seiten stark S-förmig geschwungen zur hinteren, wenig klaffenden Spitze; die hintere Ecke der Flügel stark abgerundet, wenig vortretend. Oberfläche mit rundlichen, mäßig scharf konturierten Gruben bedeckt, zwischen den Gruben erheben sich einige mehr oder weniger auffällige, flache Rippen. — L. ♀ und ♂ 0·74—0·78 mm.

Antarktis, Gaußstation, in 385 m Tiefe.

18. **C. subcircinatum** O. Sars 1866 *C. s.*, G. O. Sars in: Forh. Selsk. Christian., 1865 p. 81 | (non 1868 *C. s.*, G. S. Brady in: Tr. Linn. Soc. London, *v.* 26 p. 447 t. 34 f. 39—42) | 1889 *C. s.*, G. S. Brady & A. M. Norman in: Tr. R. Dublin Soc., ser. 2 *v.* 4 p. 209 t. 20 f. 26—28.

Vom Rücken gesehen Breite etwa $^2/_3$ der Länge, am breitesten wenig hinter der Mitte; die Seiten bilden starke Bogen, welche ziemlich gleichmäßig zu den beiden zugespitzten Enden verlaufen und nahe dem Vorderende wenig, nahe dem Hinterende etwas deutlicher eingedrückt sind; Flügel nicht deutlich, wenigstens nicht vom Rücken sichtbar. Oberfläche mit kleinen, unregelmäßig zerstreuten Gruben bedeckt. — L. 0·5 mm.

Küste von Norwegen; Franz Joseph-Land.

19. **C. inflatum** Crosskey, G. Brady & D. Roberts. (in MS.) 1868 *C. i.*, G. S. Brady in: Ann. nat. Hist., ser. 4 *v.* 2 p. 33 t. 5 f. 8—10 | 1889 *C. i.*, G. S. Brady & A. M. Norman in: Tr. R. Dublin Soc., ser. 2 *v.* 4 p. 209 t. 20 f. 19—21.

C. subcircinatum sehr ähnlich, aber größer. — L. 0·65 mm.

Arktische Meere; Nördl. Atlantischer Ozean.

20. **C. videns** G. W. Müll. 1894 *C. v.*, G. W. Müller in: F. Fl. Neapel, *v.* 21 p. 303 t. 20 f. 2, 8; t. 21 f. 16, 18.

Vom Rücken gesehen Breite annähernd $^1/_2$ der Länge, ungefähr gleich breit auf etwa $^2/_5$ und $^4/_5$ der Länge, dazwischen deutlich eingedrückt, wellig gestaltet; in den vorderen $^2/_5$ konvergieren die Seiten stark und annähernd geradlinig zu dem abgerundeten, in der Mitte eingeschnittenen Vorderende. Auf $^4/_5$ ist die Schale quer abgestutzt, das letzte Fünftel bildet einen konischen, mittleren Fortsatz. Oberfläche glatt, durch wenige schmale, scharf begrenzte Rippen in Felder zerlegt, in denen sich wenige, scharf begrenzte, runde Warzen erheben. — L. 0·32—0·36 mm.

Golf von Neapel.

21. **C. anomalum** G. W. Müll. 1908 *C. a.*, G. W. Müller in: D. Südp.-Exp., *v.* 10 p. 113 t. 16 f. 3, 6.

Linke Schale des ♀: Höhe gleich $^1/_2$ der Länge, der Dorsalrand wird von einer dünnen Rippe begleitet, die bald gerade, bald ausgebuchtet ist, ent-

sprechend auch die Form des Dorsalrandes wechselnd sowie seine Abgrenzung gegen Vorder- und Hinterrand. Vorderrand breit gerundet, mit wenigen, stumpfen Zähnen, Hinterrand keilförmig verjüngt, die Spitze des Keiles breit, fast senkrecht abgestutzt, der ventrale Rand des Keiles gegen den Ventralrand meist durch eine Spitze abgegrenzt; keine Flügel, aber die Ventralfläche scharfkantig gegen die Seiten abgesetzt; Oberfläche mit umfangreichen, blattartigen Rippen, von denen eine den Dorsalrand begleitet, eine andere den Vorderrand umzieht, eine 3. die Grenze zwischen Seiten- und Ventralfläche bildet, eine 4. und 5. auf der Fläche verläuft; ferner auf der Fläche ein großmaschiges Netzwerk von schwächeren Rippen in verschiedener Ausbildung; rechts noch eine weitere, blattartige Rippe nahe dem Dorsalrande. Schale des ♂ der des ♀ ähnlich. — L. ♀ 0·48—0·51, ♂ 0·54 mm.

Antarktis, Gaußstation, in 385 m Tiefe.

22. **C. stationis** G. W. Müll. 1908 *C. s.*, G. W. Müller in: D. Südp.-Exp., *v.* 10 p. 112 t. 16 f. 4, 7.

Rechte Schale des ♂: Höhe etwa $^4/_7$ der Länge, am höchsten in der Mitte, Dorsalrand stark gewölbt, gegen Vorder- und Hinterrand nicht abgegrenzt, Vorderrand ziemlich schmal gerundet, undeutlich gezähnt; Hinterende keilförmig zugespitzt, die Spitze breit, fast senkrecht abgestutzt; hintere ventrale Ecke mehr oder weniger deutlich; keine flügelartigen Fortsätze; Oberfläche mit Längsrippen, von denen 4 schwach nach hinten absteigende über den Schließmuskelansätzen, 3 oder 4 in ihrer hinteren Hälfte schwach aufsteigende in der Höhe der Schließmuskelansätze, bezüglich ventral vor ihnen liegen; zwischen den Längsrippen verlaufen Querrippen, so daß eine unregelmäßige rhombische Felderung entsteht, die einzelnen Felder sind flache Gruben, die durch mäßig scharfe Rippen getrennt sind. Linke Schale der rechten ähnlich, hintere Spitze nicht abgestumpft, vielmehr gerundet. Schale des ♀ der des ♂ ähnlich. — L. ♀ und ♂ 0·57—0·66 mm.

Antarktis, Gaußstation, in 385 m Tiefe.

23. **C. irregularis** G. W. Müll. 1908 *C. i.*, G. W. Müller in: D. Südp.-Exp., *v.* 10 p. 109 t. 18 f. 2, 3, 8.

Linke Schale des ♀: Höhe deutlich größer als $^1/_2$ der Länge, am höchsten in der Mitte, Dorsalrand S-förmig gebogen, in der hinteren Hälfte eingedrückt, gegen Vorder- und Hinterrand in stark abgerundeter Ecke abgegrenzt; der Vorderrand fällt in der dorsalen Hälfte fast geradlinig ab, ist in der ventralen ziemlich schmal gerundet. Der Hinterrand etwa rechtwinklig zugespitzt, die Spitze des Winkels stark abgestutzt, die Schenkel gerade oder schwach eingebuchtet, keine Grenze zwischen Hinter- und Ventralrand. Keine flügelartigen Fortsätze, Oberfläche mit scharfkantigen Rippen bedeckt, welche ein unregelmäßiges, weitmaschiges Netzwerk bilden, Rippen sehr verschieden hoch, erheben sich aber sämtlich scharfkantig; die Felder mit kleinen, scharf konturierten Gruben. Rechte Schale am höchsten vor der Mitte, Dorsalrand flach gewölbt, hintere Ecke abgerundet, sonst der linken ähnlich. Schale des ♂ deutlich niedriger, nach hinten stärker abfallend. — L. ♀ 0·5—0·55 mm, ♂ 0·48 mm.

Antarktis, Gaußstation, in 385 m Tiefe.

24. **C. fallax** G. W. Müll. 1908 *C. f.*, G. W. Müller in: D. Südp.-Exp., *v.* 10 p. 107 t. 18 f. 5, 6, 10.

Linke Schale des ♂: Höhe annähernd $^1/_2$ der Länge, am höchsten auf $^1/_4$ der Länge, wo sich der Vorderrand in deutlicher stumpfwinkliger, wenig

abgerundeter Ecke gegen den geraden, nach hinten abfallenden Dorsalrand abgrenzt; Vorder- und Hinterrand sehr schief, der vordere in der dorsalen Hälfte fast gerade unter etwa 45° abfallend, in der ventralen Hälfte gerundet, der hintere ähnlich, die Rundung in der dorsalen Hälfte. Der Hinterrand grenzt sich gegen den Dorsalrand in stark gerundeter, meist etwas vortretender Ecke ab, mit dem Ventralrande bildet er einen stumpfen Winkel mit stark gerundeter Ecke. Ventralrand fast gerade. Ventralfläche nicht scharfkantig gegen die Seiten abgegrenzt. Oberfläche mit flachen, polygonalen Gruben, die sich durch schmale, scharf konturierte Kanten gegeneinander abgrenzen; in jeder Grube ein Porenkanal. Rechte Schale der linken ähnlich, Hinterrand mit mehr oder weniger deutlicher Ecke auf etwa halber Höhe. Schale des ♀ höher, Höhe deutlich größer als $^1/_2$ der Länge, Dorsalrand stärker abfallend, mehr oder weniger deutlich gewölbt, sonst der des ♂ ähnlich, ziemlich variabel. — L. ♀ 0·64—0·66, ♂ 0·6—0·65 mm.

Antarktis, Gaußstation, in 385 m Tiefe.

C. acutum G. Brady 1869 *C. a.*, G. S. Brady in: Ann. nat. Hist., ser. 4 *v.* 3 p. 49 t. 8 f. 1—4.

Dardanellen.

C. depressum G. Brady & Norm. 1868 *C. subcirratum* (non *C. s.* O. Sars 1866), G. S. Brady in: Tr. Linn. Soc. London, *v.* 26 p. 447 t. 34 f. 39—42 | 1889 *C. depressum*, G. S. Brady & A. M. Norman in: Tr. R. Dublin Soc., ser. 2 *v.* 4 p. 218 t. 20 f. **22, 23**.

Küste von England und Holland.

C. laeve G. Brady & Norm. 1889 *C. l.*, G. S. Brady & A. M. Norman in: Tr. R. Dublin Soc., ser. 2 *v.* 4 p. 210 t. 20 f. **29—31**.

49° 4′ n. Br., 12° 22′ w. L., 1068 m Tiefe.

C. nodosum G. Brady 1867 *C. n.*, G. S. Brady in: A. M. Norman in: Rep. Brit. Ass., Meet. 36 p. 198 (descr. nulla) | 1868 *C. n.*, G. S. Brady in: Tr. Linn. Soc. London, *v.* 26 p. 448 t. 34 f. 31—34.

Küste von Nordeuropa; Golf von Biscaya; Cape Frazer.

C. sp. 1901 *C. intermedium* (non *C. i.* G. S. Brady 1878), Egger in: Abh. Bayer. Ak., *v.* 21 p. 461 t. 7 f. 6—9.

18° s. Br., 116° ö. L., 357 m Tiefe; Mauritius 411 m Tiefe; Kerguelen 104 m Tiefe.

7. Gen. **Eucytherura** G. W. Müller

1894 *Eucytherura*, G. W. Müller in: F. Fl. Neapel, *v.* 21 p. 305.

Schale derb, mit geradem Dorsalrande, fast senkrecht abfallendem, wenig gebogenem Vorderrande; Hinterrand in eine Spitze ausgezogen, die über halber Höhe liegt. Schloß nur mit vorderem und hinterem Zahn der rechten Schale, dazwischen bisweilen fein gezähnelt. Innenrand und Verwachsungslinie fallen (stets?) in ganzem Umfang zusammen und verlaufen dem Schalenrande annähernd parallel. 1. Antenne schlank, undeutlich 6-gliedrig; das 2. Glied mit ventraler Borste. Atemplatte der Maxille mit 2 ungefähr gleich langen, mundwärts gerichteten Strahlen. 1. Glied (Stamm) des 1. und 2. Thoraxbeines mit Doppelborste am Hinterrande. Furca des ♀ breit, mit Borsten.

5 Arten.

1. **E. angulata** G. W. Müll. 1894 *E. a.*, G. W. Müller in: F. Fl. Neapel, *v.* 21 p. 307 t. 20 f. **18**.

Vom Rücken gesehen Breite annähernd $^3/_5$ der Länge, am breitesten etwa auf $^2/_3$ der Länge, wo die Seiten scharfe Ecken bilden, von denen

aus sie in unregelmäßig gebrochener Linie zum hinteren zugespitzten Ende konvergieren; nach vorn konvergieren die Seiten zunächst annähernd geradlinig, divergieren aber im vorderen Drittel, um auf etwa $^1/_4$ der Schalenlänge eine zweite Ecke zu bilden, deren Abstand von der Mittellinie geringer als der der hinteren Ecke ist, etwa gleich $^1/_4$ der Schalenlänge; von dieser Ecke konvergieren die Seiten in unregelmäßig gebrochener Linie zur vorderen, tief eingeschnittenen Spitze. — L. ♀ 0·33 mm, ♂ unbekannt.

Golf von Neapel.

2. **E. gibbera** G. W. Müll. 1894 *E. g.*, G. W. Müller in: F. Fl. Neapel, *v.* 21 p. 307 t. 19 f. 21—26; t. 20 f. **14, 16, 19**; t. 21 f. 1, 2.

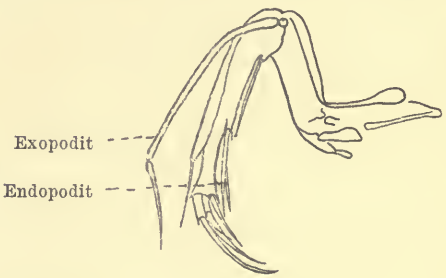

Fig. 79.
Eucytherura gibbera. 2. Antenne ($^{300}/_1$).

Vom Rücken gesehen Breite gleich $^2/_3$ der Länge, am breitesten auf etwa $^2/_3$ der Länge, wo sich breite, stumpfe Höcker finden; von hier aus konvergieren die Seiten nach hinten in unregelmäßig gewellter Linie zum zugespitzten Hinterende, nach vorn in S-förmig geschwungener Linie zum tief eingeschnittenen Vorderende; diese S-förmige Linie wird überragt und unterbrochen von größeren und kleineren Warzen, von denen eine etwa in der Mitte, eine andere etwas hinter $^1/_3$ der Schalenlänge liegt. — L. 0·36—0·4 mm. — Fig. 79.

Golf von Neapel.

3. **E. complexa** (G. Brady) ?1867 *Cythere c.*, G. S. Brady in: Rep. Brit. Ass., Meet. 36 p. 210 | 1868 *C. limicola* (part.), (non *C. l.* A. M. Norman 1865), G. S. Brady in: Tr. Linn. Soc. London, *v.* 26 p. 405 t. 31 f. 43—46 | 1889 *C. complexa*, G. S. Brady & A. M. Norman in: Tr. R. Dublin Soc., ser. 2 *v.* 4 p. 145 t. 19 f. **31, 32** | 1894 *Eucytherura c.*, G. W. Müller in: F. Fl. Neapel, *v.* 21 p. 306 t. 20 f. **13, 17**; t. 21 f. 3 (err.: *E. dilatata* in Erklärung zu t. 20).

Vom Rücken gesehen sind die Schalen in der Mitte stark eingeschnürt, vor und hinter dieser Einschnürung fast halbkuglig erweitert; die hintere Erweiterung ist etwas umfangreicher als die vordere; bei der hinteren erreicht die Schale eine Breite von $^4/_7$, bei der vorderen von $^{11}/_{21}$ der Länge; von der vorderen Erweiterung konvergieren die Seiten fast geradlinig zur vorderen, wenig eingeschnittenen Spitze, von der hinteren in unregelmäßiger, tief eingeschnittener Linie zur hinteren, deutlichen Spitze. — L. 0·33—0·35 mm.

Küste von England; Norwegen; Mittelmeer.

4. **E. alata** G. W. Müll. 1894 *E. a.*, G. W. Müller in: F. Fl. Neapel, *v.* 21 p. 307 t. 20 f. **20**.

Vom Rücken gesehen Breite gleich $^7/_9$ der Länge; am breitesten auf $^2/_3$ der Länge; die Seiten bilden ziemlich unregelmäßig gewellte, besonders in der Augengegend stark unterbrochene Bogen, welche zum vorderen, tief eingeschnittenen Ende konvergieren; nach hinten reichen diese Bogen etwas über die breiteste Stelle bis zu $^7/_9$ der Länge; hier bilden die Seiten gerundete Ecken, von denen aus sie in unregelmäßiger, im ganzen stark konvexer Linie zum wenig zugespitzten Hinterende konvergieren. — L. 0·32 mm.

Golf von Neapel.

5. **E. punctata** G. W. Müll. 1908 *E. p.*, G. W. Müller in: D. Südp.-Exp., *v.* 10 p. 114 t. 17 f. **2, 9.**

Linke Schale des ♀ im Profil: Höhe (ohne flügelartigen Fortsatz) wenig über $^1/_3$ der Länge, Dorsalrand annähernd gerade, in seiner vorderen Hälfte dem Ventralrande parallel, auf $^1/_6$ resp. $^5/_6$ der Länge stumpfwinklig gegen Vorder- resp. Hinterrand abfallend, Vorderrand breit gerundet, aus flachen Bogen zusammengesetzt, Hinterrand spitzwinklig, die Spitze des Winkels schräg abgestutzt, der dorsale Schenkel des Winkels liegt annähernd in der Verlängerung des Dorsalrandes; Ventralrand im Profil durch flügelartige Fortsätze verdeckt, welche auf etwa $^6/_7$ der Länge mit nach hinten gerichtetem, flachem Bogen endigen; Oberfläche durch flache Leisten in polygonale Felder geteilt; die Felder dicht und auffällig punktiert. Vom Rücken gesehen sehr breit, Breite einschließlich einer die flügelartigen Fortsätze umziehenden breiten, durchsichtigen Leiste etwa $^2/_3$ der Länge; die Seiten konvergieren nach vorn in flachem Bogen, nach hinten treffen die Flügel auf etwa $^7/_9$ der Schalenlänge die eigentliche Schale, entsenden von hier aus noch einen gerundeten Fortsatz nach hinten. — L. ♀ 0·62 mm, ♂ unbekannt.

Antarktis, Gaußstation, in 385 m Tiefe.

8. Gen. **Cytherois** G. W. Müller

1866 *Paradoxostoma* (part.), G. O. Sars in: Forh. Selsk. Christian., 1865 p. 91 | 1884 *Cytherois*, G. W. Müller in: Arch. Naturg., *v.* 501 p. 15 | 1888 *Paradoxostoma* (part.), Dahl in: Zool. Jahrb. Syst., *v.* 3 p. 630 | 1894 *Cytherois*, G. W. Müller in: F. Fl. Neapel, *v.* 21 p. 309.

Schale gestreckt, mit glatter Oberfläche, mit schmaler, verschmolzener Zone und wenigen rand- und flächenständigen Porenkanälen. 1. Antenne 5- oder 6-gliedrig, dünn, mit kurzen, schlanken Borsten besetzt; das auffallend lange 2. Glied ventral ohne Borste. Mandibel mit gestrecktem, zahnlosem oder schwach gezähneltem Kaufortsatz, mit schlankem, 2-gliedrigem, wenige Borsten tragendem Taster. Maxille mit 3 schlanken, schwachen, aber deutlichen Kaufortsätzen und ungegliedertem Taster, der eben so lang ist wie die Kaufortsätze. 1. Glied (Stamm) des 1. und 2. Toraxbeines ohne Borste am Hinterrande. Furca des ♀ ohne deutlichen Stamm, mit 1 oder 2 Borsten. Mund konisch vorstehend; die Mundöffnung klein, mit Lippen, die eine Art Saugscheibe, aber keinen geschlossenen Ring bilden, zum Saugen eingerichtet.

8 Arten.

1. **C. fischeri** (O. Sars) 1866 *Paradoxostoma f.*, G. O. Sars in: Forh. Selsk. Christian., 1865 p. 96 | ?1869 *Sclerochilus (?) gracilis*, G. S. Brady & D. Robertson in: Ann. nat. Hist., ser. 4 *v.* 3 p. 372 t. 20 f. 11, 12 | 1884 *Cytherois virens*, G. W. Müller in: Arch. Naturg., *v.* 501 p. 16 t. 2 f. 10—13 | 1888 *Paradoxostoma fischeri*, Dahl in: Zool. Jahrb. Syst., *v.* 3 p. 631 t. 19 f. 115—126 | 1889 *Cytherois f.*, G. S. Brady & A. M. Norman in: Tr. R. Dublin Soc., ser. 2 *v.* 4 p. 228 t. 21 f. **20—22.**

Schale gestreckt, Höhe etwa $^2/_5$ der Länge, am höchsten in der Mitte; Dorsalrand stark gewölbt, beide Enden schmal gerundet; Ventralrand fast gerade; dunkelgrün. Kaufortsatz der Mandibel zahnlos. — L. 0·54 mm.

Küste von Nordeuropa; Mittelmeer.

2. **C. vitrea** (O. Sars) 1865 *Paradoxostoma vitreum*, G. O. Sars in: Forh. Selsk. Christian., 1865 p. 95 | 1889 *P. v.*, G. S. Brady & A. M. Norman in: Tr. R. Dublin Soc., ser. 2 *v.* 4 p. 232 t. 21 f. **27, 28** | 1891 *Cytherois vitrea*, G. O. Sars in: Forh. Selsk. Christian., 1890 nr. 1 p. 75 (Synonymie).

Schale der von C. fischeri ähnlich; aber der höchste Punkt nach hinten verschoben, er liegt etwa auf $^3/_5$ der Schalenlänge, dementsprechend das Hinterende etwas breiter gerundet. Sehr durchsichtig. Kaufortsatz der Mandibel ebenfalls zahnlos. — L. ♀ 0·51, ♂ 0·53 mm.

Küste von Norwegen, Shetlandinseln und Färöer.

3. **C. succinea** G. W. Müll. 1894 *C. s.*, G. W. Müller in: F. Fl. Neapel, *v.* 21 p. 311 t. 21 f. 28. **29**, **30**, 31.

Schale der von C. fischeri ähnlich, wenig höher, von dieser und den anderen Arten dadurch unterschieden, daß der Bogen des Dorsalrandes hinten ziemlich gleichmäßig bis zum Ventralrande verläuft und mit diesem fast in der Höhe des Ventralrandes eine deutliche, etwas abgerundete Ecke bildet. Getrübt, bernsteinfarben. Kaufortsatz der Mandibel mit 2 kleinen Zähnen. — L. 0·29 mm.

Golf von Neapel.

4. **C. incongruens** G. W. Müll. 1894 *C. i.*, G. W. Müller in: F. Fl. Neapel, *v.* 21 p. 311 t. 21 f. 32—35; t. 22 f. **2**, **3**, **7**.

Schale deutlich höher als bei den anderen Arten; Höhe gleich $^1/_2$ der Länge, am höchsten hinter der Mitte; beide Enden schmal gerundet, das hintere etwas breiter; die rechte Schale überragt im Profil die linke am Dorsalrande beträchtlich. Gelblich, mit dunklem Pigmentfleck über dem Schließmuskelansatz. Kaufortsatz der Mandibel mit 1 oder 2 langen, schlanken Zähnen. — L. 0·31 mm.

Golf von Neapel.

5. **C. ovalis** G. W. Müll. 1908 *C. o.*, G. W. Müller in: D. Südp.-Exp., *v.* 10 p. 117.

C. incongruens ähnlich, etwas gestreckter; Höhe kleiner als $^1/_2$ der Länge. Die rechte Schale überragt im Profil die linke am Rücken nur wenig; Oberfläche mit feiner, dichter Horizontalstreifung. Der eine Kaufortsatz der Mandibel ungezähnt, der andere mit zwei kurzen, spitzen Zähnen. Penis mit zwei Fortsätzen, einem lateralen, breiteren, mit S-förmig geschwungenem Rande und einem medialen, schlanken, stabförmigen. — L. ♀ und ♂ 0·55 mm.

Antarktis, Gaußstation, in 385 m Tiefe.

6. **C. minor** G. W. Müll. 1908 *C. m.*, G. W. Müller in: D. Südp.-Exp., *v.* 10 p. 118.

C. ovalis sehr ähnlich, Schale ohne Streifung, Penis mit nur einem Fortsatz, der breit, schnabelartig zugespitzt ist. — L. ♀ und ♂ 0·45 mm.

Antarktis, Gaußstation, in 385 m Tiefe.

7. **C. frequens** G. W. Müll. 1894 *C. f.*, G. W. Müller in: F. Fl. Neapel, *v.* 21 p. 310 t. 21 f. 21—27; t. 22 f. **1**, **8**, 9.

Schale der von C. fischeri ähnlich; von dieser und den anderen Arten unterschieden durch die Bildung des Ventralrandes und Vorderendes; der Ventralrand ist in der Mitte deutlich eingebuchtet, steigt im hinteren Drittel sehr schwach, im vorderen Viertel deutlich auf und bildet auf etwa $^1/_3$ der Höhe mit dem bis dahin in gleichmäßigem Bogen verlaufenden Dorsalrande eine stark abgerundete Ecke, so daß das Vorderende stark zugespitzt erscheint. Färbung sehr schwankend. — L. 0·41—0·47 mm.

Golf von Neapel.

8. **C. zostericola** Cushman 1906 *C. z.*, Cushman in: P. Boston Soc., *v.* 32 p. 369 t. 31 f. 35—41.

Schale gestreckt, Höhe deutlich kleiner als $^1/_2$ der Länge, am höchsten hinter der Mitte; Dorsalrand stumpfwinklig gebogen, die Spitze des Winkels stark abgerundet, beide Enden schmal gerundet; Kaufortsatz der Mandibel mit einem großen Zahne und Andeutung von 3 kleineren. — L. 0·5 mm.

Ostküste von Nordamerika (Vineyard Sound).

9. Gen. **Paradoxostoma** S. Fischer

1855 *Paradoxostoma,* S. Fischer in: Abh. Bayer. Ak., *v.* 7 p. 654 | 1866 *P.* (part.), G. O. Sars in: Forh. Selsk. Christian., 1865 p. 91 | 1868 *P.*, G. S. Brady in: Tr. Linn. Soc. London, *v.* 26 p. 456 | 1894 *P.*, G. W. Müller in: F. Fl. Neapel, *v.* 21 p. 312.

Von Cytherois unterschieden durch folgende Merkmale: 2. Glied der 1. Antenne nicht auffallend verlängert. Basalglied der Mandibel lang und dünn, stiletförmig, stets ungezähnelt; Taster lang und dünn, 4-, 3- oder 2-

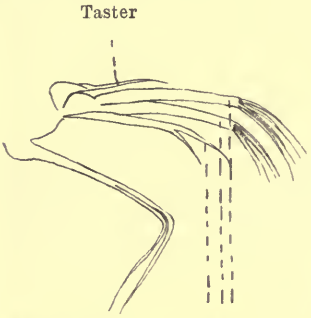

Fig. 80. **Paradoxostoma rubrum.** Maxille mit der Basis der Atemplatte ($^{300}/_1$).

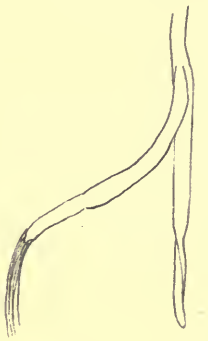

Fig. 81. **Paradoxostoma parallelum.** Mandibel ($^{300}/_1$).

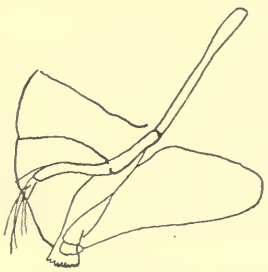

Fig. 82. **Paradoxostoma triste.** Mundkegel mit Mandibel, deren distales Stück des Basalgliedes in der Mundhöhle eingeschlossen ist ($^{160}/_1$).

gliedrig, nur am Ende mit wenigen Borsten. Maxille (Fig. 80) nur mit 2 deutlichen Kaufortsätzen (2. und 3.); diese lang und schlank, mit wenigen langen, gebogenen Borsten; an Stelle des 1. Kaufortsatzes ein kurzer Stamm mit 2 Borsten oder eine einfache Borste; Taster durch eine einfache kurze Borste vertreten oder ganz fehlend. Die Lippen bilden einen geschlossenen Ring, in dessen Mitte die Spitzen der Mandibeln austreten (Fig. 81, 82). Am Penis unterscheiden wir ein großes, meist etwa halbkreisförmiges Basalstück und 3 Aufsätze, einen medialen, einen lateralen und einen zwischen beiden stehenden mittleren, welcher meist der größte ist; das Begattungsrohr kann frei hervortreten oder nicht.

32 sichere, 8 unsichere Arten.

1. **P. striatum** G. W. Müll. 1894 *P. s.*, G. W. Müller in: F. Fl. Neapel, *v.* 21 p. 313 t. 22 f. 27; t. 23 f. 22, 23, 44, 45.

Höhe etwa $^1/_2$ der Länge, am höchsten in der Mitte; der Dorsalrand bildet einen starken Bogen, welcher ohne Unterbrechung bis zum vorderen und hinteren Körperende verläuft; Vorderende schmal, stark gerundet; Hinterende mit gerundeter Spitze; der vorderste Punkt liegt etwa auf $^1/_3$, der

hinterste unter $^1/_3$ der Höhe; Ventralrand annähernd gerade. Oberfläche mit feinen, parallelen Streifen, welche sich zu undeutlichen, polygonalen Feldern gruppieren. — L. 0·72 mm.

Golf von Neapel.

2. **P. planum** G. W. Müll. 1894 *P. p.*, G. W. Müller in: F. Fl. Neapel, *v.* 21 p. 314 t. 23 f. **19**, 47.

Schalenumriß ähnlich wie bei P. striatum, aber gestreckter; Höhe etwa $^2/_5$ der Länge; beide Enden schmaler. Oberfläche glatt. — L. 0·44—0·50 mm.

Golf von Neapel.

3. **P. cylindricum** G. W. Müll. 1894 *P. c.*, G. W. Müller in: F. Fl. Neapel, *v.* 21 p. 323 t. 23 f. **17**, 39.

Schale ähnlich wie P. striatum und P. planum, doch noch gestreckter; Höhe annähernd $^1/_3$ der Länge; der Ventralrand steigt im vorderen Viertel deutlich, im hinteren Drittel sehr schwach auf; der vorderste Punkt liegt etwa auf $^1/_3$, der hinterste auf $^1/_4$ der Höhe; der Dorsalrand ist über der hinteren Spitze schwach konkav, wodurch sie undeutlich abgesetzt erscheint. — L. 0·59 mm.

Golf von Neapel.

4. **P. acuminatum** G. W. Müll. 1894 *P. a.*, G. W. Müller in: F. Fl. Neapel, *v.* 21 p. 323 t. 23 f. **16**; t. 24 f. 3.

Schale der von P. cylindricum sehr ähnlich, aber wenig höher; Höhe wenig mehr als $^1/_3$ der Länge; der Ventralrand steigt im hinteren Drittel deutlich auf; der hinterste Punkt liegt auf $^2/_5$ der Höhe. — L. 0·66—0·75 mm.

Golf von Neapel.

5. **P. rubrum** G. W. Müll. 1894 *P. r.*, G. W. Müller in: F. Fl. Neapel, *v.* 21 p. 324 t. 22 f. 33; t. 24 f. 4; t. 28 f. **25**.

Schalenumriß ähnlich wie bei P. cylindricum, Höhe etwa $^3/_8$ der Länge; Vorderende breiter gerundet; die hintere Spitze, welche annähernd auf halber Höhe liegt, dorsal mit flachem, ventral mit deutlich konkavem Rande, dadurch deutlich abgesetzt, besonders ventral; mit lebhaft roter Pigmentierung von wechselndem Umfange. — L. 0·79—0·83 mm. — Fig. 80, p. 283.

Golf von Neapel.

6. **P. angustum** G. W. Müll. 1894 *P. a.*, G. W. Müller in: F. Fl. Neapel, *v.* 21 p. 314 t. 23 f. **18**, **41**, 42.

Schale mäßig gestreckt, Höhe etwa $^2/_5$ der Länge, am höchsten etwas hinter der Mitte; Vorderende schmal gerundet; Ventralrand gerade, bildet auf $^2/_3$ seiner Länge einen stumpfen Winkel mit gerundeter Spitze, dessen hinterer Schenkel geradlinig zu der wenig abgerundeten hinteren Spitze aufsteigt; diese liegt ziemlich genau auf $^1/_2$ der Höhe. Medialer Aufsatz des Penis medialwärts gebogen, spitz endigend. — L. 0·65—0·67 mm.

Golf von Neapel.

7. **P. mediterraneum** G. W. Müll. 1894 *P. m.*, G. W. Müller in: F. Fl. Neapel, *v.* 21 p. 315 t. 23 f. **20**, 48.

Schale der von P. angustum ähnlich, Höhe $^4/_9$ der Länge; Vorderende breiter gerundet; der Ventralrand bildet in seiner hinteren Hälfte einen

flachen Bogen. Medialer Fortsatz des Penis kurz, gerade, am Ende gerundet. — L. 0·62—0·68 mm.

Golf von Neapel.

8. **P. intermedium** G. W. Müll. 1894 *P. i.*, G. W. Müller in: F. Fl. Neapel, *v.* 21 p. 316 t. 22 f. 24, 26; t. 23 f. 5, 28.

Schale der von P. parallelum ähnlich, etwas höher; Dorsalrand deutlich gewölbt; Hinterrand steiler zur Spitze aufsteigend. Großer Aufsatz des Penis stark medialwärts gebogen mit abgesetzter Spitze. — L. 0·58—0·66 mm.

Golf von Neapel.

9. **P. parallelum** G. W. Müll. 1894 *P. p.*, G. W. Müller in: F. Fl. Neapel, *v.* 21 p. 316 t. 22 f. 29; t. 23 f. 3, 35.

Schale gestreckt, Höhe (beim ♂) $^5/_{14}$ der Länge, am höchsten hinter der Mitte; Dorsalrand flach gewölbt; Vorderende mäßig breit gerundet; der vorderste Punkt liegt etwa auf halber Höhe, der hinterste Punkt deutlich über halber Höhe; der Hinterrand bildet hier eine wenig abgerundete Spitze, zu der er steil unter etwa 45° aufsteigt. Großer Aufsatz des Penis stark medialwärts gebogen, Spitze nicht abgesetzt. — L. 0·62—0·67 mm. — Fig. 81, p. 283.

Golf von Neapel.

10. **P. fuscum** G. W. Müll. 1894 *P. f.*, G. W. Müller in: F. Fl. Neapel, *v.* 21 p. 316 t. 23 f. 4, 30, 30a.

Schale der von P. intermedium ähnlich; Höhe $^4/_9$ der Länge. Großer Aufsatz des Penis nicht medialwärts gebogen; Begattungsrohr umfangreich, stark lateralwärts gebogen. — L. 0·5—0·52 mm.

Golf von Neapel.

11. **P. taeniatum** G. W. Müll. 1894 *P. t.*, G. W. Müller in: F. Fl. Neapel. *v.* 21 p. 317 t. 23 f. 6, 31.

Schale der von P. intermedium ähnlich; Höhe etwa $^4/_9$ der Länge, mit 2 schwarzen Querbändern, einem in der Gegend der Schließmuskelansätze, einem nahe dem Hinterende, beide von wechselndem Umfange, bisweilen zu einem verschmolzen. Am Penis der große, mittlere Fortsatz medialwärts gerichtet, mit abgerundeter Spitze, der laterale Fortsatz unregelmäßig gestaltet, er überragt den medialen nicht; Begattungsrohr nicht frei hervortretend. — L. 0·58—0·62 mm.

Golf von Neapel.

12. **P. kerguelense** G. W. Müll. 1908 *P. k.*, G. W. Müller in: D. Südp.-Exp., *v.* 10 p. 120f.

Schale der von P. taeniatum sehr ähnlich, auch mit 2 schwarzen Querbändern. Am Penis ist der laterale Fortsatz schlank, stabförmig. — L. 0·7—0·73 mm.

Kerguelen.

13. **P. triste** G. W. Müll. 1894 *P. t.*, G. W. Müller in: F. Fl. Neapel, *v.* 21 p. 317 t. 23 f. 1, 26, 29.

Schale der von P. intermedium ähnlich, aber höher (Höhe $^4/_9$ der Länge) und von dieser und den ähnlichen Arten dadurch unterschieden, daß sie nach vorn stark abfällt, der Vorderrand schmal gerundet ist und der

vorderste Punkt sehr niedrig, auf etwa $^1/_4$ der Schalenhöhe, liegt; der hinterste Punkt liegt auf etwa $^3/_4$ der Schalenhöhe, der Hinterrand steigt steil unter etwa 60° zu ihm auf. Penis mit umfangreichem, frei hervortretendem Begattungsrohr; der mediale Fortsatz am Ende quer abgestutzt, kleiner als der mittlere. — L. 0·7—0·73 mm. — Fig. 82, p. 283.

Golf von Neapel.

14. **P. variabile** (W. Baird) ?1835 *Cythere variabilis,* W. Baird in: Hist. Berwick. Club, *v.* 1 p. 98 t. 3 f. 7 a, b | ?1850 *C. v.*, W. Baird, Brit. Entom., p. 170 t. 21 f. 10, 11 | 1866 *Paradoxostoma variabile*, G. O. Sars in: Forh. Selsk. Christian., 1865 p. 93 | ?1868 *P. v.* (part.), G. S. Brady in: Tr. Linn. Soc. London, *v.* 26 p. 457 t. 35 f. 1—7, 12—17; t. 41 f. 8 | 1888 *P. v.*, Dahl in: Zool. Jahrb. Syst., *v.* 3 p. 633 t. 19 f. **127**, 128—136.

Schale der von P. triste ähnlich; Höhe etwa $^1/_2$ der Länge. Medialer Fortsatz des Penis sehr klein, etwa halbkreisförmig. — L. 0·71 mm.

Küste von Norwegen; England; Westliche Ostsee; Arktische Meere.

15. **P. simile** G. W. Müll. 1894 *P. s.*, G. W. Müller in: F. Fl. Neapel, *v.* 21 p. 318 t. 22 f. 30; t. 23 f. **2**, 25, 27, 32.

Schale der von P. triste sehr ähnlich. Medialer Fortsatz des Penis zugespitzt, größer als der mittlere. — L. 0·73—0·77 mm.

Golf von Neapel.

16. **P. sanctpauli** G. W. Müll. 1908 *P. s.*, G. W. Müller in: D. Südp.-Exp., *v.* 10 p. 119 f.

Schale der von P. triste ähnlich, von dieser und den ähnlichen Formen unterschieden durch die beträchtlichere Höhe, die größer als $^1/_2$ der Länge ($^8/_{15}$) ist. — L. ♀ 0·5 mm, ♂ unbekannt.

Indischer Ozean (St. Paul).

17. **P. maculatum** G. W. Müll. 1894 *P. m.*, G. W. Müller in: F. Fl. Neapel, *v.* 21 p. 319 t. 23 f. **11**, 38.

Schale hoch, Höhe etwa $^4/_7$ der Länge, am höchsten hinter der Mitte; Dorsalrand stark gewölbt, nach vorn und hinten stark abfallend, der vorderste Punkt liegt etwa auf $^1/_5$, der hinterste auf etwa $^3/_5$ der Höhe, wo der Hinterrand eine deutliche, wenig abgestutzte Spitze bildet, zu der er in flachem Bogen unter etwa 45° aufsteigt. Braun gefleckt. — L. 0·4—0·43 mm.

Golf von Neapel.

18. **P. obliquum** O. Sars 1866 *P. o.*, G. O. Sars in: Forh. Selsk. Christian., 1865 p. 97 | 1868 *P. o.*, G. S. Brady in: Tr. Linn. Soc. London, *v.* 26 p. 459 t. 35 f. 18—21.

Schale der von P. maculatum sehr ähnlich; der hinterste Punkt liegt auf halber Höhe; nicht gefleckt. — L. 0·72 mm.

Küste von England und Norwegen.

19. **P. caecum** G. W. Müll. 1894 *P. c.*, G. W. Müller in: F. Fl. Neapel, *v.* 21 p. 319 t. 23 f. **13**, 33, 34.

Schale ähnlich wie die von P. maculatum, von dieser und den ähnlichen Arten unterschieden durch den sehr steil unter etwa 65° aufsteigenden Hinterrand, er bildet auf etwa $^2/_3$ der Höhe einen stumpfen Winkel mit abgerundeter Spitze und geht in flachem Bogen in den Ventralrand über. — L. 0·45—0·51 mm.

Golf von Neapel.

20. **P. hypselum** G. W. Müll. 1908 *P. h.*, G. W. Müller in: D. Südp.-Exp., *v.* 10 p. 118 t. 19 f. 7.

Schale der von P. maculatum ähnlich, nicht pigmentiert, hintere Spitze abgerundet. Penis mit sehr umfangreichem, schnabelförmigem, mittlerem Fortsatz und unregelmäßig S-förmig gekrümmtem Begattungsrohr. — L. ♀ 0·72, ♂ 0·68 mm.

Antarktis, Gaußstation, in 385 m Tiefe.

21. **P. antarcticum** G. W. Müll. 1908 *P. a.*, G. W. Müller in: D. Südp.-Exp., *v.* 10 p. 121 f.

Schale der von P. triste (nr. 13) ähnlich, der Hinterrand steigt weniger steil auf, die Ecke an der Grenze von Dorsal- und Hinterrand quer abgestutzt. Penis mit einem einzigen, sehr umfangreichen, schnabelförmigen, medial gerichteten Fortsatz, der dem mittleren und medialen Fortsatz entsprechen dürfte, ohne frei vortretendes Begattungsrohr. — L. ♀ 0·78 mm, ♂ wenig kleiner.

Antarktis, Gaußstation, in 385 m Tiefe.

22. **P. magellanicum** G. W. Müll. 1906 *P. magellanica*, G. W. Müller in: Résult. Voy. Belgica, Ostr. p. 7 f. 12—15.

Schale des ♂: Höhe kaum größer als $^1/_2$ der Länge, am höchsten in der Mitte, Dorsalrand stark gewölbt, nach vorn stark abfallend; Vorderende ziemlich schmal gerundet; die hintere Ecke liegt etwa auf $^1/_2$ der Höhe, ist ziemlich stark gerundet, ventral von ihr fällt der Hinterrand steil ab, geht in flachem Bogen in den Ventralrand über. Penis mit einfachem Aufsatz, der in einen langen, lanzettförmigen, ventral gerichteten Fortsatz ausgezogen ist. — L. ♂ 0·65 mm, ♀ unbekannt.

Magalhaens-Straße.

23. **P. versicolor** G. W. Müll. 1894 *P. v.*, G. W. Müller in: F. Fl. Neapel, *v.* 21 p. 322 t. 23 f. 8, 49.

Höhe etwas kleiner als $^1/_2$ der Länge, am höchsten etwas hinter der Mitte; Dorsalrand deutlich gewölbt, nach vorn stark abfallend; Vorderende keilförmig zugespitzt, mit stark abgerundeter Spitze; der Ventralrand bildet auf $^6/_7$ der Länge mit dem steil unter etwa 60° aufsteigenden Hinterrande einen stumpfen Winkel mit wenig abgerundeter Spitze; die hintere Spitze liegt auf etwa $^3/_4$ der Höhe; sie ist abgerundet aber deutlich; vor ihr ist der Dorsalrand eingedrückt, konkav, wodurch sich diese Form von allen ähnlichen, deren hintere Spitze über halber Höhe liegt, unterscheidet. — L. 0·50—0·54 mm.

Golf von Neapel.

24. **P. retusum** G. Brady 1890 *P. r.*, G. S. Brady in: Tr. R. Soc. Edinb., *v.* 35 p. 513 t. 4 f. 20.

Schale durch die Gestaltung des Hinterendes, besonders durch die Konkavität des Dorsalrandes vor der hinteren Spitze P. versicolor ähnlich, doch etwas gestreckter; der Hinterrand steigt viel weniger steil auf und geht in flachem Bogen in den Ventralrand über. — L. 0·52 mm.

Samoa.

25. **P. rotundatum** G. W. Müll. 1894 *P. r.*, G. W. Müller in: F. Fl. Neapel, *v.* 21 p. 315 t. 23 f. 12; t. 24 f. 1, 2.

Schale: Höhe etwa $^1/_2$ der Länge, am höchsten wenig hinter der Mitte; Vorderende ziemlich breit gerundet; am Hinterrande fehlt eine deutliche Spitze oder Ecke, vielmehr ist das Hinterende ähnlich, wenn auch schmaler gerundet als das Vorderende; der vorderste Punkt liegt etwa auf $^1/_3$, der hinterste wenig über $^1/_2$ der Höhe. Der mediale Fortsatz des Penis ist kolbig erweitert, mit dornartiger Spitze am lateralen Rande. — L. 0·55—0·59 mm.

Golf von Neapel.

26. **P. abbreviatum** O. Sars 1866 *P. a.*, G. O. Sars in: Forh. Selsk. Christian., 1865 p. 94 | 1868 *P. a.*, G. S. Brady in: Tr. Linn. Soc. London, *v.* 26 p. 458 t. 35 f. 22—25 | 1880 *P. a.*, G. S. Brady in: Rep. Voy. Challenger, Zool. *v.* 1 Part 3 p. 150 t. 35 f. 1a—d.

Schale der von P. rotundatum ähnlich, doch beträchtlich höher, Höhe etwa $^2/_3$ der Länge; dementsprechend das Hinterende breit gerundet. — L. 0·51—0·55 mm.

Küste von Norwegen; England; Holland; Golf von Biscaya: Kerguelen.

27. **P. pulchellum** O. Sars 1866 *P. p.*, G. O. Sars in: Forh. Selsk. Christian., 1865 p. 95 | 1889 *P. p.*, G. S. Brady & A. M. Norman in: Tr. R. Dublin Soc., ser. 2 *v.* 4 p. 231 t. 21 f. 29, 30.

Schale der von P. rotundatum ähnlich, doch liegt der hinterste Punkt unter halber Höhe, wodurch das Hinterende dem Vorderende noch ähnlicher wird; dementsprechend ist auch der Dorsalrand in seiner hinteren Hälfte stärker gewölbt. — L. 0·50 mm.

Küste von Norwegen und England.

28. **P. rarum** G. W. Müll. 1894 *P. r.*, G. W. Müller in: F. Fl. Neapel, *v.* 21 p. 320 t. 23 f. 14, 43.

Schale der von P. rotundatum ähnlich; der höchste Punkt liegt etwa auf $^2/_3$ der Länge, von wo aus der Dorsalrand nach beiden Seiten deutlich abfällt; Hinterende quer abgestutzt durch einen sehr flachen, etwa senkrecht stehenden Bogen, der zwischen $^1/_2$ und $^3/_4$ der Schalenhöhe liegt; zu diesem flachen Bogen steigt der Ventralrand in seinem hinteren Viertel auf. Medialer Fortsatz des Penis schlank, fast gerade, nicht kolbig verdickt. — L. 0·58 mm.

Golf von Neapel.

29. **P. atrum** G. W. Müll. 1894 *P. a.*, G. W. Müller in: F. Fl. Neapel, *v.* 21 p. 320 t. 23 f. 15, 46, 50.

Schale der von P. rarum ähnlich; nach vorn wenig verschmälert; Vorderende breit gerundet; der vorderste Punkt liegt auf etwa $^3/_8$ der Höhe; Hinterende quer abgestutzt durch einen flachen, sehr steil, doch nicht senkrecht aufsteigenden Bogen; derselbe reicht etwa von $^1/_4$ bis $^3/_4$ der Höhe, grenzt sich aber dorsal und ventral nur undeutlich ab und geht in den Ventralrand in flachem Bogen über. Medialer Ast des Penis lang und schlank, an der Spitze hakig umgebogen. — L. 0·63—0·67 mm.

Golf von Neapel.

30. **P. breve** G. W. Müll. 1894 *P. b.*, G. W. Müller in: F. Fl. Neapel, *v.* 21 p. 321 t. 23 f. 7, 40.

Schale: Höhe etwa $^4/_7$ der Länge, am höchsten hinter der Mitte; der Dorsalrand bildet einen deutlichen Bogen, der nach beiden Seiten deutlich abfällt; Vorderende schmal gerundet; der vorderste Punkt liegt etwa auf

$^1/_4$ der Höhe; Hinterende wie bei P. atrum durch einen steil aufsteigenden, flachen Bogen abgegrenzt; derselbe nimmt ungefähr die ventralen 2 Drittel der Höhe ein und grenzt sich gegen den Ventralrand in einer ziemlich deutlichen, gerundeten Ecke ab. Medialer Fortsatz des Penis sehr kurz. — L. 0·38 mm.

Golf von Neapel.

31. **P. attenuatum** A. Scott 1905 *P. a.*, A. Scott in: Herdman, Rep. Ceylon Pearl Fish., Suppl. Rep. 22 p. 374 t. 1 f. 32, 33.

Schale gestreckt, Höhe etwa $^2/_5$ der Länge, am höchsten in der hinteren Hälfte, Dorsalrand flach gewölbt, er bildet auf etwa $^2/_3$ der Höhe mit dem Hinterrande eine abgerundete Ecke; Hinterrand gerade, steil unter etwa 65° abfallend, bildet mit dem Ventralrande eine deutliche, scharf vortretende Ecke, durch diese Ecke von allen ähnlichen Formen unterschieden. — L. 0·6 mm.

Ceylon, (Golf von Monaar).

32. **P. incongruens** G. W. Müll. 1894 *P. i.*, G. W. Müller in: F. Fl. Neapel, *v.* 21 p. 321 t. 23 f. **24**, 36, 37.

Schale: Höhe etwa $^1/_2$ der Länge, am höchsten auf etwa $^2/_3$ der Länge, von wo der Dorsalrand annähernd geradlinig und stark abfällt zum schmal gerundeten Vorderende; der Hinterrand bildet eine wenig wellig gebogene, ungefähr senkrechte Linie, welche gegen den Dorsalrand durch eine abgestumpfte (nicht abgerundete) Ecke, gegen den Ventralrand durch eine vortretende, nach hinten gerichtete, deutliche Spitze abgegrenzt ist; die Spitzen beider Schalen decken sich im Profil nicht; die der rechten Schale tritt stärker vor, liegt mehr dorsal. — L. 0·66—0·74 mm.

Golf von Neapel.

P. cingalense G. Brady 1885 *P. c.*, G. S. Brady in: J. Linn. Soc. London, *v.* 19 p. 315 t. 40 f. **35, 36.**

Ceylon.

P. dispar S. Fisch. 1855 *P. d.*, S. Fischer in: Abh. Bayer. Ak., *v.* 7 p. 654 t. 20 f. 1—8.

Madeira.

P. ensiforme G. Brady 1867 *P. e.*, G. S. Brady in: A. M. Norman in: Rep. Brit. Ass., Meet. 36 p. 198 (descr. nulla) | 1868 *P. e.*, G. S. Brady in: Tr. Linn. Soc. London, *v.* 26 p. 460 t. 35 f. 8—11 | ?1880 *P. e.*, G. S. Brady in: Rep. Voy. Challenger, Zool. *v.* 1 Part 3 p. 150 t. 35 f. 3a—d | ?1901 *P. e.*, Egger in: Abh. Bayer. Ak., *v.* 21 p. 465 t. 4 f. 59, 60.

Vielleicht identisch mit P. simile; doch ohne Kenntnis des Penis nicht zu identifizieren.

Küste von Norwegen und England; Golf von Biscaya; Vigo-Bay?; Mittelmeer; 18° s. Br., 116° ö. L., 357 m Tiefe?

P. hibernicum G. Brady 1867 *P. h.*, G. S. Brady in: A. M. Norman in: Rep. Brit. Ass., Meet. 36 p. 206 (descr. nulla) | ?1867 *P. sarniense*, G. S. Brady in: Intell. Observ., *v.* 12 p. 126 | 1868 *P. hibernicum*, G. S. Brady in: Tr. Linn. Soc. London, *v.* 26 p. 460 t. 35 f. 35, 36; t. 40 f. 7 | ?1868 *P. sarniense*, G. S. Brady in: Tr. Linn. Soc. London, *v.* 26 p. 460 t. 35 f. 26—29; t. 40 f. 9 | 1889 *P. hibernicum*, G. S. Brady & A. M. Norman in: Tr. R. Dublin Soc., ser. 2 *v.* 4 p. 232 t. 21 f. **15—17.**

Küste von England.

P. hodgei G. Brady 1870 *P. h.*, G. S. Brady in: Tr. nat. Hist. Soc. Northumb., *v.* 3 p. 371 t. 12 f. 12, 13 | 1889 *P. h.*, G. S. Brady & A. M. Norman in: Tr. R. Dublin Soc., ser. 2 *v.* 4 p. 235 t. 21 f. **7, 8.**

Küste von England.

P. novae-caledoniae G. Brady 1890 *P. n.-c.*, G. S. Brady in: Tr. R. Soc. Edinb., *v.* 35 p. 512 t. 4 f. 19.

Südsee (Neucaledonia).

P. ovatum G. Brady 1890 *P. o.*, G. S. Brady in: Tr. R. Soc. Edinb., *v.* 35 p. 512 t. 3 f. 32, 33.

Südsee (Fidschiinseln).

P. stebbingi A. Scott 1905 *P. s.*, A. Scott in: Herdman, Rep. Ceylon Pearl Fish., Suppl. Rep. 22 p. 374 t. 2 f. 1, 2.

Ceylon.

10. Gen. **Paracytherois** G. W. Müller

1894 *Paracytherois*, G. W. Müller in: F. Fl. Neapel, *v.* 21 p. 324.

Schale gestreift oder glatt; rand- und flächenständige Porenkanäle in geringer Zahl vorhanden, die letzteren stets sehr auffällig. 1. Antenne 5-gliedrig (Fig. 83); 2. Glied ohne ventrale Borste, länger als die 3 letzten Glieder zusammen. Basalglied der Mandibel sehr lang und dünn, grätenförmig; Taster durch eine undeutlich gegliederte Borste vertreten oder ganz fehlend. An der Maxille fehlt der 1. Kaufortsatz vollständig; der 2. und 3. lang und schlank, mit je 2 Borsten; Reste eines Tasters in verschiedenem Umfange vorhanden; Atemplatte mit 2 mundwärts gerichteten Strahlen. Mundkegel weit schnabelartig vorgestreckt; die Unterlippe (Paragnathe) bildet eine Verlängerung des Schnabels, sie endet spitz.

Fig. 83.
Paracytherois flexuosa. Mundkegel mit 1. und 2. Antenne ($^{300}/_{1}$).

8 Arten.

1. **P. rara** G. W. Müll. 1894 *P. r.*, G. W. Müller in: F. Fl. Neapel, *v.* 21 p. 325 t. 22 f. **12, 14, 23.**

Schale gestreckt, Höhe etwa $^{1}/_{3}$ der Länge, am höchsten in der Mitte; der Dorsalrand bildet einen flachen Bogen, der ohne Andeutung einer Grenze bis zum abgerundeten Vorderende und bis zu einer stark abgerundeten, etwa rechtwinkligen Ecke reicht, welche unter $^{1}/_{4}$ der Schalenhöhe liegt; Ventralrand deutlich ausgebuchtet, im letzten Viertel zu der genannten Ecke aufsteigend; der Innenrand steigt im vorderen Drittel bis zur Höhe der Schließmuskelansätze auf, die er im Bogen umzieht, auf $^{2}/_{3}$ der Länge steigt er wieder ab; die so entstandene Ausbuchtung des Innenrandes mißt $^{2}/_{5}$ der Schalenlänge. Oberfläche mit sehr feiner Streifung. — L. 0·41 mm.

Golf von Neapel.

2. **P. similis** G. W. Müll. 1908 *P. s.*, G. W. Müller in: D. Südp.-Exp., *v.* 10 p. 122 f.

P. rara sehr ähnlich, Höhe $^2/_5$ der Länge, Hinterende abgerundet, ohne Andeutung einer Ecke am Hinterende, die Bucht des Innenrandes ist am Ausgange gemessen viel schmaler, mißt nur $^1/_5$ der Länge. — L. ♀ 0·48—0·52 mm, ♂ unbekannt.

Antarktis, Gaußstation, in 385 m Tiefe.

3. **P. striata** G. W. Müll. 1894 *P. s.*, G. W. Müller in: F. Fl. Neapel, *v.* 21 p. 325 t. 22 f. **10, 11**, 13, 15, 16, 19, 21.

Schale der von P. rara ähnlich; Hinterende mit abgerundeter Spitze, welche etwa auf $^1/_3$ der Schalenhöhe liegt; der vorderste Punkt liegt auf $^1/_5$ der Höhe; der Innenrand verläuft im mittleren Drittel näher dem Ventralrande als den Schließmuskelansätzen, annähernd geradlinig und wenig aufsteigend. Skulptur wie bei P. rara. — L. 0·53—0·56 mm.

Golf von Neapel.

4. **P. producta** (G. Brady & Norm.) 1889 *Paradoxostoma productum*, G. S. Brady & A. M. Norman in: Tr. R. Dublin Soc., ser. 2 *v.* 4 p. 236 t. 21 f. **9, 10** | 1894 *Paracytherois oblonga*, G. W. Müller in: F. Fl. Neapel, *v.* 21 p. 326 t. 22 f. **4**, 20.

Schale der von P. striata ähnlich; die hintere Spitze liegt auf etwa $^1/_4$ der Höhe, der vorderste Punkt wenig unter $^1/_2$ der Höhe; der Dorsalrand bildet hier mit dem Vorderrande eine stark gerundete Ecke, von der aus der Vorderrand stark nach hinten zurückweicht; der Innenrand verläuft im mittleren Drittel in deutlich S-förmig geschwungener Linie, er liegt ventral von den Schließmuskelansätzen, diesen näher als dem Schalenrande. Skulptur wie bei P. rara. — L. 0·4 mm.

Norwegen; Golf von Neapel.

5. **P. flexuosa** (G. Brady) 1867 *Paradoxostoma flexuosum*, G. S. Brady in: A. M. Norman in: Rep. Brit. Ass., Meet. 36 p. 198 (descr. nulla) | 1867 *Bythocythere? flexuosa*, G. S. Brady in: Rep. Brit. Ass., Meet. 36 p. 211 (descr. nulla) | 1889 *Paradoxostoma flexuosum*, G. S. Brady & A. M. Norman in: Tr. R. Dublin Soc., ser. 2 *v.* 4 p. 236 t. 21 f. 11, 12 | 1894 *Paracytherois acuminata*, G. W. Müller in: F. Fl. Neapel, *v.* 21 p. 326 t. 22 f. **5**, 17, 18, 22.

Schale sehr gestreckt, Höhe nur annähernd $^1/_3$ der Länge, am höchsten in der Mitte; der Dorsalrand bildet einen stumpfen Winkel mit stark gerundeter Spitze; beide Enden sind keilförmig zugespitzt, die Spitzen stark abgerundet; die hintere Spitze liegt wenig unter $^1/_2$ der Höhe, die vordere deutlich tiefer. Oberfläche glatt. — L. 0·5 mm. — Fig. 83.

Küsten von Europa; Franz Joseph-Land.

6. **P. vanhöffeni** G. W. Müll. 1908 *P. v.*, G. W. Müller in: D. Südp.-Exp., *v.* 10 p. 123 f.

Schale des ♀: Höhe etwa $^2/_5$ der Länge, am höchsten etwas hinter der Mitte. Dorsalrand stark gewölbt, beide Enden schmal gerundet, das hintere deutlich schmaler als das vordere, Ventralrand fast gerade, zum Hinterende nicht aufsteigend. Der Innenrand verläuft dem Schalenrande annähernd parallel, in mäßiger Entfernung von ihm, die Verschmelzungslinie fällt fast in ganzer Länge mit ihm zusammen. — L. ♀ 0·57 mm, ♂ unbekannt.

Antarktis, Gaußstation, in 385 m Tiefe.

7. **P. sulcata** G. W. Müll. 1894 *P. s.*, G. W. Müller in: F. Fl. Neapel, *v.* 21 p. 327 t. 22 f. **6**.

Schale gestreckt, Höhe kleiner als $^1/_3$ der Länge, am höchsten vor der Mitte; der Dorsalrand bildet einen flachen Bogen; Vorderende mäßig breit gerundet, Hinterende zugespitzt; die scharf ausgeprägte Spitze liegt auf etwa $^1/_4$ der Höhe. Schale stark gerippt; die Rippen stehen weit auseinander; an der breitesten Stelle finden sich etwa 16 Rippen. — L. 0·29 mm.

Golf von Neapel.

8. **P. parallela** G. W. Müll. 1908 *P. p.*, G. W. Müller in: D. Südp.-Exp., *v.* 10 p. 123 t. 19 f. 4.

Schale: Höhe etwa $^1/_3$ der Länge, am höchsten etwa auf $^3/_4$ der Länge, hier bildet der Dorsalrand eine deutliche, wenig abgerundete, stumpfwinklige Ecke, von der aus er nach vorn annähernd geradlinig, schwach bis zu etwa $^1/_4$ der Länge abfällt, wo er in stark abgerundeter, stumpfwinkliger Ecke in den abgerundeten, undeutlich keilförmig gestalteten Vorderrand übergeht. Hinterende deutlich keilförmig zugespitzt, die wenig abgestumpfte Spitze des Keiles liegt über $^1/_2$ der Höhe. — L. ♀ und ♂ 0·63 mm.

Antarktis, Gaußstation, in 385 m Tiefe.

11. Gen. **Xiphichilus** G. Brady

1870 *Xiphichilus*, G. S. Brady in: Tr. nat. Hist. Soc. Northumb., *v.* 3 p. 369 | 1880 *X.*, G. S. Brady in: Rep. Voy. Challenger, Zool. *v.* 1 Part 3 p. 148 | 1889 *Machaerina*, G. S. Brady & A. M. Norman in: Tr. R. Dublin Soc., ser. 2 *v.* 4 p. 237 | 1901 *Xiphochilus*, Egger in: Abh. Bayer. Ak., *v.* 21 p. 464.

Schale gestreckt, dünn, glatt, vom Rücken gesehen sehr schmal. 1. Antenne 6-gliedrig; bis auf 1 Borste am Ende des letzten Gliedes fehlen Borsten vollständig. Basalglied der Mandibel sehr lang und dünn, griffelförmig; Taster (?) 2-gliedrig, schlank, in 2 langen Borsten endigend. Abdomen in 2 lange, spitze Fortsätze ausgezogen. (Sonst wie Paradoxostoma?)

3 Arten.

1. **X. complanatus** G. Brady 1880 *X. c.*, G. S. Brady in: Rep. Voy. Challenger, Zool. *v.* 1 Part 3 p. 148 t. 35 f. 4a—d | (non 1901 *Xiphochilus c.*, Egger in: Abh. Bayer. Ak., *v.* 21 p. 464 t. 4 f. 36, 37).

Schale gestreckt, Höhe reichlich $^2/_5$ der Länge, am höchsten auf $^3/_5$ der Länge; der Dorsalrand bildet einen starken Bogen, welcher nach vorn ohne Andeutung einer Grenze in das schmal gerundete Vorderende übergeht, nach hinten bis zu einer deutlichen, etwa rechtwinkligen, sehr wenig abgestumpften Spitze reicht, welche etwas ventral in der Hälfte der Schalenhöhe liegt; Ventralrand gerade, im letzten Fünftel der Schalenlänge zu der erwähnten Spitze steil aufsteigend. — L. 0·77 mm.

Kerguelen; Island; südl. Norwegen.

2. **X. amygdaloides** G. Brady 1870 *X. a.*, G. S. Brady in: Tr. nat. Hist. Soc. Northumb., *v.* 3 p. 370 t. 13 f. 8—10 | 1889 *Machaerina a.*, G. S. Brady & A. M. Norman in: Tr. R. Dublin Soc., ser. 2 *v.* 4 p. 238 t. 17 f. 20, 21.

Höhe etwa $^3/_8$ der Länge; der Dorsalrand im mittleren Drittel annähernd gerade und horizontal, im vorderen und hinteren Drittel deutlich abfallend, vorn in deutlich konvexer, hinten in gerader Linie; beide Enden zugespitzt, stark abgerundet; das hintere, etwas stärker abgerundete Ende liegt auf $^1/_2$ der Höhe, das vordere etwas tiefer. — L. 0·5 mm.

Shetlandinseln; Golf von Biscaya, Mittelmeer.

3. **X. tenuissimus** (Norm.) 1869 *Bythocythere tenuissima*, A. M. Norman in: Rep. Brit. Ass., Meet. 38 p. 294 | 1870 *Xiphichilus tenuissimus*, G. S. Brady in: Tr. nat. Hist. Soc. Northumb., *v.* 3 p. 369 t. 12 f. 6—9; t. 14 f. 5—10 | 1889 *Machaerina tenuissima*, G. S. Brady & A. M. Norman in: Tr. R. Dublin Soc., ser. 2 *v.* 4 p. 238 t. 21 f. **13, 14.**

Schale sehr gestreckt. Höhe kleiner als $^1/_3$ der Länge, am höchsten etwa auf $^1/_2$ der Länge. Dorsalrand und Ventralrand bilden ähnlich flache Bogen, von denen der dorsale nahe dem Hinterende, der ventrale in der vorderen Hälfte etwas eingedrückt ist; beide Bogen treffen sich in 2 scharfen Spitzen, welche etwa auf halber Höhe liegen. — L. 1·15 mm.

Küste von England; Shetlandinseln; St. Magnus Bay.

12. Gen. **Microcythere** G. W. Müller

1894 *Microcythere*, G. W. Müller in: F. Fl. Neapel, *v.* 21 p. 327.

Schale dünn, zerbrechlich, glatt; am Ventralrande stark abgeflacht; der Innenrand fällt auf etwa der Mitte zwischen Vorderende und Schließmuskelansätzen in mehr oder weniger deutlicher, S-förmig geschwungener Linie annähernd senkrecht ab; die Verschmelzungslinie verläuft an beiden Enden dem Schalenrande parallel, in geringer Entfernung von ihm. 1. Antenne meist 5-, seltener 6-gliedrig (durch Verschmelzung des 3.—5. oder 4. und 5. Gliedes); das vorletzte Glied borstenlos, häufig mit dem drittletzten Gliede verschmolzen, in diesem Falle aber immer scharf abgegrenzt; die Borsten nicht klauenartig umgestaltet, bisweilen aber mit starkem, scharf abgesetztem Basalstück; das 2. Glied mit langer, ventraler Borste. Mandibel mit kräftigem Kaufortsatz und wohl entwickeltem Taster. Maxille von typischem Bau; die Atemplatte mit einem kräftigen, mundwärts gerichteten Strahl. Furca beim ♀ (stets?) fehlend. Durchweg sehr kleine Formen von weniger als $^1/_2$ mm Länge.

10 Arten.

1. **M. inflexa** G. W. Müll. 1894 *M. i.*, G. W. Müller in: F. Fl. Neapel, *v.* 21 p. 328 t. 24 f. 30—32, **40—42, 48, 50.**

Höhe deutlich kleiner als die Hälfte der Länge, am höchsten in der Mitte; Dorsalrand gewölbt, gegen den Vorder- und Hinterrand nicht abgegrenzt; Vorderende schmal gerundet; das Hinterende bildet links einen ziemlich deutlichen, annähernd rechten Winkel mit abgerundeter Ecke und ist rechts stärker abgerundet. Vom Rücken gesehen Breite annähernd gleich $^1/_2$ der Länge; am breitesten hinter der Mitte; die Seiten gewölbt. Der Raum zwischen hinterem und vorderem Schloßzahn ungezähnelt; die linke Schale umfaßt die rechte. An der 1. Antenne ist das 4. und 5. Glied verschmolzen, das (vorletzte) borstenlose deutlich getrennt, die Borsten des Dorsalrandes deutlich gegliedert. Penis mit langem, schlankem, an seiner Basis etwas stiefelförmig erweitertem, terminalem Fortsatz, der etwa so lang wie das Basalstück breit ist. — L. 0·33 mm.

Golf von Neapel.

2. **M. obliqua** G. W. Müll. 1894 *M. o.*, G. W. Müller in: F. Fl. Neapel, *v.* 21 p. 329 t. 24 f. 5—8, **45, 49.**

Schale der von M. inflexa ähnlich. An der 1. Antenne ist das 3.—5. Glied verschmolzen, das borstenlose Glied deutlich gesondert, die dorsalen Borsten des 3.—5. Gliedes deutlich gegliedert. Terminaler Fortsatz des Penis viel kürzer als das Basalstück breit. — L. 0·26 mm.

Golf von Neapel.

3. **M. levis** G. W. Müll. 1894 *M. l.*, G. W. Müller in: F. Fl. Neapel, *v.* 21 p. 329 t. 24 f. 25, 26, **53, 58**.

Schale im Umriß der von M. inflexa ähnlich; höher; Höhe gleich $^1/_2$ der Länge, am höchsten hinter der Mitte. Vom Rücken gesehen Breite etwa $^2/_5$ der Länge, am breitesten hinter der Mitte; Hinterende gerundet, Vorderende zugespitzt, die Seiten nahe dem Vorderende wenig eingedrückt. An der 1. Antenne das 4. und 5. Glied verschmolzen, das 6. deutlich gesondert, die Sonderung der dorsalen Borsten des 3.—5. Gliedes in Basalstück und Spitze nicht deutlich. Der terminale Fortsatz des Penis schlank, schwach S-förmig gebogen. — L. 0·31 mm.

Golf von Neapel.

4. **M. nana** G. W. Müll. 1894 *M. n.*, G. W. Müller in: F. Fl. Neapel, *v.* 21 p. 329 t. 24 f. 16—19, **46, 62**.

Schale der von M. inflexa (nr. 1) ähnlich; beide Enden gerundet, das hintere schmaler als das vordere. Vom Rücken gesehen das hintere Ende etwas zugespitzt; die linke Schale überragt vorn die rechte sehr weit. An der 1. Antenne das vorletzte borstenlose Glied mit den beiden vorhergehenden verschmolzen, die dorsalen Borsten ohne Sonderung in Basalstück und Spitze. Der terminale Fortsatz des Penis lang, schlank, zugespitzt, länger als das Basalstück breit ist. — L. 0·25 mm.

Golf von Neapel.

5. **M. frigida** G. W. Müll. 1908 *M. f.*, G. W. Müller in: D. Südp.-Exp., *v.* 10 p. 124 f. t. 19 f. 12, 13.

Linke Schale des ♀: Höhe etwa $^4/_9$ der Länge, am höchsten etwa auf $^3/_5$ der Länge, Dorsalrand deutlich gewölbt, gegen Vorder- und Hinterrand nicht abgegrenzt, nach hinten verläuft der Bogen bis zu einer annähernd rechtwinkligen, wenig abgerundeten Ecke, in der sich Hinterrand und Ventralrand treffen, Vorderende schmal gerundet, Ventralrand deutlich konvex. Schale des ♂ etwas gestreckter, sonst der des ♀ ähnlich. Vom Rücken gesehen (freiliegend) neigt sich die Schale stark nach rechts, Breite weniger als $^1/_2$ der Länge, die linke Schale umfaßt die rechte, Schloß zwischen den Hauptzähnen glatt. An der 1. Antenne 2. und 3. (2.—4.) Glied am Dorsalrande lang und dünn behaart, die dorsalen Borsten mit Sonderung in dickeres basales und schlankeres distales Stück, aber beide Stücke nicht scharf abgegrenzt. — L. ♀ und ♂ 0·4 mm.

Antarktis, Gaußstation.

6. **M. rara** G. W. Müll. 1894 *M. r.*, G. W. Müller in: F. Fl. Neapel, *v.* 21 p. 330 t. 24 f. 27—29, **43, 44, 61**.

Schale gestreckt, Höhe etwa $^3/_7$ der Länge; Dorsalrand flach gewölbt, fast gerade und horizontal; Vorderende zugespitzt, die etwas abgerundete Spitze liegt etwa auf $^1/_4$ der Höhe; Hinterrand steil abfallend, links steiler als rechts, links in der ventralen Hälfte annähernd senkrecht. Vom Rücken gesehen Schloßrand wie bei M. inflexa; Breite etwa $^3/_7$ der Länge; die Seiten im mittleren Drittel fast gerade und parallel, wenig nach vorn konvergierend; Hinterende gerundet, Vorderende zugespitzt, klaffend. An der 1. Antenne ist das borstenlose vorletzte Glied deutlich gesondert, nur das 4. und 5. Glied verschmolzen, die dorsalen Borsten des 3.—5. Gliedes mit ziemlich deutlicher Sonderung in Basalstück und Spitze. Fortsatz des Penis winklig gebogen. — L. 0·24 mm.

Golf von Neapel.

7. **M. hians** G. W. Müll. 1894 *M. h.*, G. W. Müller in: F. Fl. Neapel, *v.* 21 p. 330 t. 24 f. 9—15, **47, 52.**

Schale im Profil der von M. rara ähnlich, die beiden Enden etwas stärker abgerundet. Vom Rücken gesehen die Seiten flach gewölbt, am Vorderende deutlich eingedrückt; das Vorderende stark klaffend. An der 1. Antenne das 4. und 5. (5. und 6.) Glied verschmolzen und terminal über den Ursprung des vorletzten borstenlosen, deutlich abgesetzten Gliedes verlängert; außer den dorsalen Borsten des 3.—5. Gliedes zeigen auch 2 ventrale des 5. Gliedes eine deutliche Sonderung in Basalstück und Spitze. Terminaler Fortsatz des Penis schlank, an der Basis fast rechtwinklig gebogen. — L. 0·26—0·28 mm.

Golf von Neapel.

8. **M. gibba** G. W. Müll. 1894 *M. g.*, G. W. Müller in: F. Fl. Neapel, *v.* 21 p. 331 t. 24 f. 20—24, **51, 56.**

Schale im Profil der von M. rara ähnlich; nahe dem Hinterende ist die ventrale Fläche bucklig vorgewölbt; der Buckel erscheint im Profil als eine den Ventralrand verdeckende Warze. Vom Rücken gesehen ebenfalls ähnlich wie M. rara; die Seiten deutlich konvergierend; die rechte Schale umfaßt vorn und hinten die linke, wodurch sich die Art von der 1.—6. Species unterscheidet; durch das ungezähnelte Mittelstück des Schloßrandes unterscheidet sie sich von der 9. und 10. Species. An der 1. Antenne ist das 4.—6. Glied verschmolzen. — L. 0·42 mm.

Golf von Neapel.

9. **M. dentata** G. W. Müll. 1894 *M. d.*, G. W. Müller in: F. Fl. Neapel, *v.* 21 p. 331 t. 24 f. 33—37, **54, 55, 59.**

Schale im Profil und in der Ansicht vom Rücken der von M. inflexa ähnlich, aber der Raum zwischen vorderem und hinterem Schloßzahn deutlich gezähnelt; die rechte Schale umfaßt die linke. An der 1. Antenne nur das 4. und 5. Glied verschmolzen, kurz, kaum länger als breit; die dorsalen Borsten des 3.—5. Gliedes nur zum Teil mit Andeutung einer Sonderung in Basalstück und Spitze. Penis mit terminal stark erweitertem Fortsatz. — L. 0·28 mm.

Golf von Neapel.

10. **M. depressa** G. W. Müll. 1894 *M. d.*, G. W. Müller in: F. Fl. Neapel, *v.* 21 p. 332 t. 24 f. 38, 39, **57, 60.**

Schale sehr gestreckt, links fast 3 mal so lang wie hoch; Dorsalrand sehr flach gewölbt; Vorderende sehr schmal gerundet; hinten bildet der steil abfallende Hinterrand mit dem Ventralrande einen Winkel mit sehr wenig abgerundeter Spitze, der deutlich kleiner ist als ein rechter. Vom Rücken gesehen ähnlich wie M. dentata, auch in der Bildung des Schloßrandes und dem Übergreifen der rechten Schale. 1. Antenne ähnlich wie bei M. dentata; die dorsalen Borsten des 3.—5. Gliedes mit sehr zarter Spitze, die deutlich vom stärkeren Basalstück abgegrenzt ist. Fortsatz des Penis kurz, schlank. — L. 0·27 mm.

Golf von Neapel.

13. Gen. **Xestoleberis** O. Sars

1785 *Cythere* (part.), O. F. Müller, Entom., p. 64 | 1850 *C.* (part.), W. Baird, Brit. Entom., p. 163 | 1866 *Xestoleberis*, G. O. Sars in: Forh. Selsk. Christian., 1865 p. 66 | 1894 *X.*, G. W. Müller in: F. Fl. Neapel, *v.* 21 p. 332.

Schale glatt, ausnahmsweise skulpturiert (?); hinter dem Auge ein nierenförmiger Fleck; Dorsalrand stark gewölbt; die Verwachsungslinie verläuft am Vorderrande und meist auch am Hinterrande in geringer Entfernung vom Schalenrande, demselben parallel, und ist von zahlreichen, meist unverzweigten Porenkanälen durchbohrt; sie entfernt sich am Vorderrande stets weit vom Innenrande. Ventral häufig stark abgeflacht, so daß im Profil der eigentliche Ventralrand, eventuell auch der Hinterrand der Beobachtung entzogen, durch die vorgewölbte Schale verdeckt ist, welche dann einen falschen Ventral- resp. Hinterrand bildet. In der Ansicht vom Rücken umfaßt die linke Schale vorn und hinten weit die rechte; Schloß mit 2 langen, flachen Zähnen an der rechten Schale, die selbst gezähnelt sein können; zwischen diesen Zähnen ist der Schloßrand ungezähnelt. 1. Antenne 6-gliedrig; Borsten kurz, ohne deutliche Differenzierung in Klauen und Borsten. Endopodit der 2. Antenne 3-gliedrig; das letzte Glied mit 2 annähernd gleich starken Klauen, neben denen bisweilen noch eine kleine, schwache Borste nachweisbar ist. Maxille von typischem Bau, mit aberrantem, ungefiedertem Strahl. (Fig. 84.) Furca des ♀ besteht aus kurzem Stamm, der 2 Borsten trägt. Am Penis unterscheiden wir stets ein Basalstück und einen einfachen, ausnahmsweise zweiteiligen Aufsatz; das Vas deferens tritt in der Ruhe nicht frei hervor, ist aber deutlich als meist spiralig gewundener oder geschlungener Kanal im Basalstücke sichtbar; distalwärts von dem als Erweiterung kenntlichen Muskelansatz bezeichnen wir es als Begattungsrohr.

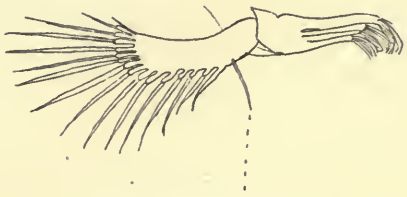

Aberranter Strahl

Fig. 84.
Xestoleberis plana. Maxille ($^{100}/_{1}$).

19 sichere, 21 unsichere Arten.

1. **X. parva** G. W. Müll. 1894 *X. p.*, G. W. Müller in: F. Fl. Neapel, *v.* 21 p. 334 t. 25 f. **6, 10, 11, 15,** 29, 30.

Rechte Schale des ♀: Höhe $^1/_2$ der Länge, am höchsten wenig hinter der Mitte; Dorsalrand stark gewölbt, gegen Vorder- und Hinterrand nicht abgegrenzt; Vorderende schmal gerundet; Hinterrand steil abfallend, bildet mit dem Ventralrande eine stark abgerundete Ecke; Ventralrand im Profil fast vollständig verdeckt; der falsche Ventralrand gerade, hinten wenig aufsteigend. Vom Rücken gesehen Breite deutlich größer als $^1/_2$ der Länge, am breitesten hinter der Mitte; Seiten gewölbt, Vorderende zugespitzt; Hinterende breit gerundet. Sehr durchsichtig, nicht pigmentiert. Klaue vom 1. und 2. Thoraxbein kürzer, vom 3. Thoraxbein länger als das terminale Glied. Aufsatz des Penis von der Basis an gleichmäßig bis zu $^1/_2$ der Höhe konisch verjüngt; das terminale Stück nicht oder nur undeutlich verjüngt, gerundet. Das Vas deferens bildet eine doppelte Schlinge, das Begattungsrohr einen flachen, nach oben offenen Bogen. — L. 0·41 mm.

Golf von Neapel.

2. **X. dispar** G. W. Müll. 1894 *X. d.*, G. W. Müller in: F. Fl. Neapel, *v.* 21 p. 334 t. 25 f. **2, 3, 9,** 35.

Schale des ♀ im Profil der von X. parva ähnlich, wenig höher, hintere ventrale Ecke fast vollständig unterdrückt; ebenso vom Rücken gesehen, aber etwas schmaler. Schale des ♂ gestreckter, Höhe etwa $^2/_5$ der Länge,

hintere ventrale Ecke (rechts) ziemlich deutlich; Ventralrand im Profil der Beobachtung nicht entzogen; Schale vom Rücken gesehen schmaler, in beiden Geschlechtern in der Umgebung der Schließmuskelansätze oder, besonders beim ♂, auch in größerem Umfange braun pigmentiert, mehr oder weniger stark getrübt. Klaue des 1.—3. Thoraxbeines kürzer als das zugehörige terminale Glied; Klaue des 1. Thoraxbeines in ganzer Länge ziemlich gleichmäßig gebogen. Aufsatz des Penis dicht über der Basis medial auf $^1/_2$ seiner Breite verschmälert, der schmalere Teil ziemlich verschieden gestaltet. Das Vas deferens bildet eine Spirale von reichlich $^4/_3$ Umläufen, von denen etwa ein Umlauf auf das Begattungsrohr kommt. — L. ♀ 0·64—0·69, ♂ 0·48—0·58 mm.

Golf von Neapel; ?Küste von California.

3. **X. ramosa** G. W. Müll. 1908 *X. r.*, G. W. Müller in: D. Südp.-Exp., *v.* 10 p. 128 f.

Linke Schale des ♂: Höhe deutlich größer als $^1/_2$ der Länge, am höchsten etwa auf $^4/_7$ der Länge. Der Dorsalrand bildet einen deutlichen Bogen, der ohne Andeutung einer Grenze in den ziemlich breit gerundeten Vorderrand übergeht. An der Grenze von Dorsal- und Hinterrand findet sich die Andeutung einer Ecke. Der Hinterrand fällt in flachem Bogen steil ab, bildet mit dem Ventralrande eine ziemlich deutliche Ecke mit mehr oder weniger stark abgerundeter Spitze. Ventralrand deutlich S-förmig geschwungen, im hinteren Drittel deutlich aufsteigend. Oberfläche ziemlich dicht mit mäßig großen Porenkanälen bedeckt, die Verschmelzungslinie ist in ganzem Umfange im Profil sichtbar; die Porenkanäle des Randes sind zu Gruppen von zwei bis sechs vereinigt, welche aus gemeinsamem Stamme entspringen, einzeln stehen sie in der dorsalen Hälfte des Vorderrandes und in der hinteren Hälfte des Ventralrandes, hier untermischt mit kleinen Gruppen. Schale des ♀ der des ♂ ähnlich, etwas höher, Hinterende etwas breiter. Die Porenkanäle des Vorderrandes sind ebenfalls zu Gruppen vereinigt. Vom Rücken gesehen Breite etwa $^1/_2$ der Länge, am breitesten etwa auf $^3/_5$ der Länge; die Seiten bilden Bogen, welche ohne Andeutung einer Grenze bis zu beiden Enden verlaufen. Hinterende gerundet, vorderes undeutlich zugespitzt. Die Klauen der Thoraxbeine kurz, stark gekrümmt, das dritte mit zwei Borsten am Vorderrande des proximalen Gliedes (ohne die Knieborste). Der Aufsatz des Penis nach der Spitze hin verjüngt, medialwärts gekrümmt, terminal mehr oder weniger deutlich zugespitzt. Vas deferens? — L. ♀ 0·6—0·65, ♂ 0·57—0·6 mm.

Küste von Südafrika (Simonstown).

4. **X. rigusa** G. W. Müll. 1908 *X. r.*, G. W. Müller in: D. Südp.-Exp., *v.* 10 p. 125 f. t. 19 f. 10.

Linke Schale des ♀: Höhe annähernd $^2/_3$ der Länge, am höchsten wenig hinter der Mitte, Dorsalrand gewölbt, Vorderrand schmal, Hinterrand sehr breit gerundet. Ventralrand fast gerade. Oberfläche mit mäßig großen Porenkanälen ziemlich dicht bedeckt. Verschmolzene Partie nur am Vorderrande sichtbar, wo sie von einzelnen kurzen, plumpen Porenkanälen durchsetzt wird. Rechte Schale der linken ähnlich, wenig höher, der Ventralrand deutlich eingebuchtet, das Vorderende bisweilen mit Andeutung einer Ecke. Schale des ♂ wenig höher, der Dorsalrand viel stärker gewölbt, das Hinterende ziemlich schmal, wenig breiter als das Vorderende gerundet; der Ventralrand konvex. Vom Rücken gesehen ist das ♀ sehr breit, Breite an-

nähernd $^3/_4$ der Länge, am breitesten etwa auf $^2/_3$ der Länge; die Seiten bilden flache Bogen, welche nach vorn bis zu etwa $^1/_4$ der Länge wenig, von da an stark konvergieren, hier schwach eingedrückt (konkav) sind. Hinterende sehr breit gerundet, Vorderende zugespitzt, die Spitze abgestutzt. Schale des ♂ vom Rücken gesehen etwas schmaler, Breite etwa $^7/_{10}$ der Länge, am breitesten etwas vor $^2/_3$ der Länge. Die Seiten bilden starke Bogen, welche sich dem Vorder- und Hinterende ungefähr gleich schnell nähern; das Hinterende viel schmaler gerundet als beim ♀, das Vorderende ähnlich gestaltet wie beim ♀. Schale in beiden Geschlechtern nur wenig getrübt. Penis mit kurzem, terminal breit gerundetem Aufsatze. Das Vas deferens nähert sich der Basis stärker als gewöhnlich, auf etwa $^1/_5$ der Gesamtlänge des Penis, bildet eine sehr langgezogene Schlinge. — L. ♀ 0·63—0·66, ♂ 0·55—0·57 mm.

Antarktis, Gaußstation, in 385 m Tiefe.

5. **X. meridionalis** G. W. Müll. 1908 *X. m.*, G. W. Müller in: D. Südp.-Exp., *v.* 10 p. 130 f.

Linke Schale des ♀: Höhe etwas größer als $^1/_2$ der Länge ($^6/_{11}$), am höchsten deutlich hinter der Mitte, Dorsalrand stark gewölbt. Vorderende schmal, Hinterende mäßig breit gerundet, Ventralrand fast gerade, in den hinteren $^2/_5$ in flachem Bogen aufsteigend, gegen den Vorderrand in mehr oder weniger deutlicher Ecke abgerundet. Punktierung, verschmolzene Zone und Porenkanäle ähnlich wie bei X. rigusa. Schale des ♂ der des ♀ ähnlich, im Verhältnis etwas niedriger, vom Rücken gesehen schmaler, etwa 1 : 2. Am dritten Thoraxbeine ist die Borste des zweiten Gliedes etwa so lang wie das dritte; die terminale Klaue etwa so lang wie das 2. und 3. Glied des Endopodit. Am Penis ist der Aufsatz von seiner Basis an nach der Spitze hin verjüngt, terminal zugespitzt, die Spitze mehr oder weniger stark abgestumpft; der mediale Rand bildet einen einspringenden Winkel. Das Vas deferens bildet eine etwas unregelmäßige 8-artige Figur. — L. ♀ 0·52—0·61, ♂ 0·46—0·56 mm.

Antarktis, Gaußstation, in 385 m Tiefe.

6. **X. kerguelensis** G. W. Müll. 1908 *X. k.*, G. W. Müller in: D. Südp.-Exp., *v.* 10 p. 131 f.

Linke Schale des ♂: Höhe wenig größer als $^1/_2$ der Länge, am höchsten wenig hinter der Mitte, Dorsalrand stark gewölbt, Vorderrand schmal, Hinterrand etwas breiter gerundet. Schale des ♀ der des ♂ sehr ähnlich. Vom Rücken gesehen erscheint das Tier freiliegend in beiden Geschlechtern sehr schief, stark nach rechts geneigt. Beim ♀ Breite etwa $^4/_7$ der Länge, am breitesten etwa auf $^4/_7$ der Länge. Die Seiten bilden flache Bogen, welche gleichmäßig bis zur vorderen abgerundeten Spitze verlaufen, Hinterende breit gerundet. Schale des ♂ schmaler, das Hinterende schmaler gerundet. Die ventrale Klaue der zweiten Antenne des ♂ gekämmt, die des ♀ nicht. Am Penis ist der Aufsatz keilartig verjüngt, zugespitzt, Spitze bisweilen hakig umgebogen; das Vas deferens beschreibt eine ähnliche Figur wie bei X. meridionalis. — L. ♀ 0·52—0·54, ♂ 0·47—0·54 mm.

Kerguelen.

7. **X. aurantia** (W. Baird) 1838 *Cythere a.*, W. Baird in: Mag. Zool. Bot., *v.* 2 p. 143 t. 5 f. 26 | 1850 *C. a.*, W. Baird, Brit. Entom., p. 171 t. 21 f. 8 | ?1853 *C. nitida*, Lilljeborg, Clad. Ostr. Cop., p. 169 t. 19 f. 6, 7 | ?1854 *C. viridis*, Zenker in: Arch. Naturg., *v.* 201 p. 86 t. 5 f. A | 1866 *Xestoleberis nitida*, G. O. Sars in: Forh. Selsk.

Christian., 1865 p. 67 | 1868 *X. aurantia*, G. S. Brady in: Tr. Linn. Soc. London, *v.* 26 p. 437 t. 27 f. 34—37; t. 39 f. 6 | 1888 *X. a.*, Dahl in: Zool. Jahrb. Syst., *v.* 3 p. 619 t. 17 f. **59, 60,** 61—67; t. 18 f. 68—71 | ?1901 *X. a.*, Egger in: Abh. Bayer. Ak., *v.* 21 p. 455 t. 4 f. 61, 62.

Schale in beiden Geschlechtern und Penis ähnlich wie bei X. dispar (nr. 2); von dieser Art dadurch unterschieden, daß die Klaue des 1. Thoraxbeines so lang, die des 3. (2. und 3.?) länger als das zugehörige terminale Glied ist; ferner ist die Klaue des 1. Thoraxbeines proximal annähernd gerade, ihr distales Viertel gebogen. — L. ♀ 0·58; ♂ etwas kleiner.

Küste von Nordeuropa; Arktische Meere; 10° n. Br., 17° w. L., 677 m Tiefe?; Hongkong; 18° s. Br., 116° ö. L., 357 m Tiefe; Ceylon.

8. **X. pellucida** G. W. Müll. 1894 *X. p.*, G. W. Müller in: F. Fl. Neapel, *v.* 21 p. 335 t. 25 f. **12,** 16, **17,** 25—28.

Schale gestreckt, Höhe in beiden Geschlechtern etwa $^1/_2$ der Länge, am höchsten in der Mitte; Dorsalrand mäßig stark gewölbt; Vorderende ziemlich breit gewölbt; Ecke zwischen Hinter- und Ventralrand rechts deutlich, links fast ganz unterdrückt. Der eigentliche Schalenrand entzieht sich nur rechts an der hinteren Ecke und am Hinterrande der Beobachtung. Vom Rücken gesehen Breite etwas kleiner als $^1/_2$ der Länge, sonst ähnlich wie X. aurantia; linke Schale nahe dem Vorderende etwas geknickt. Nicht pigmentiert, meist sehr durchsichtig. Die Klauen sämtlicher Thoraxbeine kürzer als das zugehörige terminale Glied, stark gekrümmt. Penis dem von X. aurantia ähnlich. — L. 0·47—0·50 mm.

Golf von Neapel.

9. **X. plana** G. W. Müll. 1894 *X. p.*, G. W. Müller in: F. Fl. Neapel, *v.* 21 p. 333 t. 25 f. **1, 7, 8,** 18—24, 31, 36.

Rechte Schale des ♂: Höhe kleiner als $^1/_2$ der Länge (etwa $^4/_9$), am höchsten etwa in der Mitte; Dorsalrand sehr flach gewölbt; nach vorn setzt sich der Bogen flach abfallend ohne Andeutung einer Abgrenzung des Vorderrandes bis zu einer auf etwa $^1/_4$ der Höhe liegenden, abgerundeten Spitze fort; Hinterrand steil abfallend, bildet mit dem Ventralrande eine stark gerundete Ecke; der eigentliche Ventralrand im Bereich der hinteren $^2/_3$ im Profil der Beobachtung entzogen; der falsche Ventralrand fast gerade, in der Mundgegend ausgebuchtet. Schale des ♀ der des ♂ ähnlich. Vom Rücken gesehen Breite etwa $^5/_9$ der Länge, am breitesten etwa auf $^2/_3$ der Länge, von hier aus im mittleren Drittel wenig und fast geradlinig, im vorderen Drittel stark und ebenfalls fast geradlinig konvergierend; Vorderende zugespitzt, Hinterende breit gerundet. Klaue des 1.—3. Thoraxbeines nur schwach gebogen, kürzer als das terminale Glied. Das Begattungsrohr bildet annähernd einen Kreis, der vom zuführenden Vas deferens in S-förmig geschwungener Linie durchquert wird. — L. ♀ und ♂ 0·59—0·63 mm. — Fig. 84, p. 296.

Golf von Neapel.

10. **X. squamigera** A. Scott 1905 *X. s.*, A. Scott in: Herdman, Rep. Ceylon Pearl Fish., Suppl. Rep. 22 p. 375 t. 1 f. 23—25; t. 2 f. 48, 49.

Schale im Profil gestreckt, Höhe $^2/_5$ der Länge, am höchsten hinter der Mitte, Dorsalrand stark gewölbt, bildet einen starken Bogen, der fast bis zum Ventralrande verläuft, mit diesem eine abgerundete Ecke bildend, die hinten etwas breiter ist als vorn; Ventralrand fast gerade. Vom Rücken

gesehen breit, Breite $^3/_5$ der Länge, am breitesten hinter der Mitte, Vorderende zugespitzt, die Schalen neben der Spitze etwas eingedrückt, das Hinterende sehr breit gerundet. — L. 0·52 mm.

Ceylon.

11. **X. margaritea** (G. Brady) ?1866 *Cytheridea m.*, G. S. Brady in: Tr. zool. Soc. London, *v.* 5 p. 370 t. 58 f. 6 | (non 1880 *Xestoleberis m.*, G. S. Brady in: Rep. Voy. Challenger, Zool. *v.* 1 Part 3 p. 127 t. 30 f. 2a—g) | ?1886 *X. margaritacea*, O. & E. Terquem in: Bull. Soc. zool. France, *v.* 11 p. 339 (descr. nulla) | (non 1889 *X. margaritea*, G. S. Brady & A. M. Norman in: Tr. R. Dublin Soc., ser. 2 *v.* 4 p. 190 t. 16 f. 25, 26) | 1889 *X. m.*, G. S. Brady & A. M. Norman in: Tr. R. Dublin Soc., ser. 2 *v.* 4 p. 246 | 1894 *X. m.*, G. W. Müller in: F. Fl. Neapel, *v.* 21 p. 336 t. 25 f. 43, 44; t. 26 f. **2, 7** | ?1901 *X. m.*, Egger in: Abh. Bayer. Ak., *v.* 21 p. 456 t. 3 f. 27—30.

Schale von ♀ und ♂: Höhe etwas größer als $^1/_2$ der Länge, am höchsten in der Mitte, Dorsalrand stark gewölbt; Vorderende ziemlich schmal, Hinterende sehr breit gerundet; Hinterrand in flachem Bogen fast senkrecht abfallend; hintere, ventrale Ecke vorhanden, aber stark abgerundet; der eigentliche Schalenrand in ganzem Umfange sichtbar. Schale ziemlich durchsichtig; 3 für diese Art sehr charakteristische, schwarzbraune Flecke nahe dem Dorsalrande. Vom Rücken gesehen ähnlich wie X. aurantia (nr. 7). Klauen des 1.—3. Thoraxbeines stark gekrümmt, kürzer als das zugehörige terminale Glied. Penis ähnlich wie bei X. aurantia; Aufsatz nahe der Basis nicht so stark und nicht so plötzlich verschmälert. — L. 0·48—0·54 mm.

Angeblich in allen Meeren verbreitet.

12. **X. capensis** G. W. Müll. 1908 *X. c.*, G. W. Müller in: D. Südp.-Exp., *v.* 10 p. 127 f.

Linke Schale des ♂: Höhe etwa $^5/_9$ der Länge, am höchsten etwas hinter halber Länge, Dorsalrand ziemlich flach gewölbt, gegen Vorder- und Hinterrand nicht abgegrenzt; beide Enden ziemlich breit gerundet, das hintere deutlich breiter als das vordere. Der Hinterrand geht ohne Andeutung einer Grenze in den flach S-förmig geschwungenen Ventralrand über. Oberfläche ziemlich dicht mit großen, auffälligen Porenkanälen bedeckt. Die Verschmelzungslinie ist fast in ganzem Umfange im Profil sichtbar. Die verschmolzene Zone wird durchsetzt von zweierlei Porenkanälen, kurzen, dicken, an der Basis nicht scharf abgesetzten, die in ähnlicher Weise wie die flächenständigen endigen, und längeren, schlanken, an der Basis scharf abgesetzten, mit wenig auffälliger Mündung. Beiderlei Porenkanäle stehen annähernd regelmäßig abwechselnd am Vorderrande. Schale etwas getrübt. Rechte Schale der linken ähnlich, an der Grenze von Hinter- und Ventralrand eine mehr oder weniger deutliche stumpfwinklige Ecke. Schale des ♀ der des ♂ ähnlich, wenig höher. Vom Rücken gesehen (♂) Breite etwa $^1/_3$ der Länge, am breitesten auf $^1/_2$ der Länge; die Seiten bilden Bogen, welche ohne Andeutung einer Grenze zu den beiden Enden verlaufen, Vorderende zugespitzt, Hinterende gerundet. Die Klauen der drei Thoraxbeine in ganzer Länge gleichmäßig gebogen; das zweite Glied des dritten Beines am Vorderrande behaart, mit sehr kleiner, terminaler Borste; die Furcalborsten sehr kräftig, auffallend verschieden lang. Am Penis ist der Aufsatz schlank, keilförmig zugespitzt; das Vas deferens ist im Bereich des eintretenden und des austretenden Astes deutlich S-förmig geschwungen, an der Grenze beider Äste bildet es eine längliche Schlinge, die Mündung liegt nahe dem medialen Rande. — L. ♀ 0·55, ♂ 0·49 mm.

Küste von Südafrika (bei Simonstown).

13. **X. decipiens** G. W. Müll. 1894 *X. d.*, G. W. Müller in: F. Fl. Neapel, *v.* 21 p. 337 t. 25 f. 40; t. 26 f. **4**.

Schale im Profil der von X. margaritea ähnlich, aber höher; Höhe beim ♀ etwa $^5/_8$, beim ♂ etwa $^{10}/_{17}$ der Länge; dementsprechend der Dorsalrand stärker gewölbt. Die Art unterscheidet sich von den Arten der Gattung mit im Profil sichtbarem Ventral- und Hinterrand dadurch, daß die Verwachsungslinie sich in der hinteren Hälfte, besonders näher der hinteren ventralen Ecke, weit vom Schalenrande entfernt, fast vollständig mit dem Innenrande zusammenfällt; die hier verlaufenden, randständigen Porenkanäle sind lang, an der Spitze reich verzweigt (sonst stets kurz, unverzweigt oder spärlich, meist nahe dem Ursprunge verzweigt). Pigmentierung der Schale und Penis ähnlich wie bei X. fuscomaculata. — L. 0·48—0·57 mm.

Golf von Neapel.

14. **X. fuscomaculata** G. W. Müll. 1894 *X. f.*, G. W. Müller in: F. Fl. Neapel, *v.* 21 p. 337 t. 25 f. 41, 42; t. 26 f. **3**.

Schale der von X. margaritea ähnlich; Hinterende stark gerundet; hintere ventrale Ecke ganz unterdrückt; mit braunroter Zeichnung, die ziemlich regelmäßig aus einem schmalen Streifen nahe dem Vorder- und Hinterrande, aus einem in der Augengegend senkrecht absteigenden, ventral nach vorn gebogenen Streifen und einer Gruppe von Flecken in der hinteren Schalenhälfte besteht. Klauen des 1.—3. Thoraxbeines schlank, kürzer als das zugehörige Glied, stark gekrümmt. Aufsatz des Penis über der Basis nur wenig eingeschnürt, medialwärts gekrümmt, verjüngt, terminal abgerundet; Verlauf des Vas deferens ähnlich wie bei X. plana. — L. 0·55—0·6 mm.

Golf von Neapel.

15. **X. rara** G. W. Müll. 1894 *X. r.*, G. W. Müller in: F. Fl. Neapel, *v.* 21 p. 338 t. 39 f. **5**, **23**, 36—38.

Schale hoch, Höhe $^2/_3$ der Länge, am höchsten hinter der Mitte; Dorsalrand stark gewölbt; Vorderende ziemlich breit gerundet, der vorderste Punkt liegt etwa auf $^1/_3$ der Höhe; Hinterende breiter, der hinterste Punkt liegt etwa auf $^1/_2$ der Höhe; Hinterrand gegen Dorsal- und Ventralrand nicht abgegrenzt; Schalenrand in ganzem Umfange im Profil sichtbar; Ventralrand im hinteren Drittel stark aufsteigend. Mit dunklem Fleck in der Nachbarschaft der Schließmuskelansätze und blasseren, über die Schale zerstreuten Flecken. Vom Rücken gesehen Breite etwa $^5/_8$ der Länge, am breitesten in der Mitte; die Seiten bilden starke Bogen; beide Enden zugespitzt, das hintere nur wenig stumpfer als das vordere. Klaue des 1. Thoraxbeines so lang, des 2. und 3. Thoraxbeines länger als das zugehörige terminale Glied. Aufsatz des Penis links mit schlankem Nebenast; der Hauptast von der Basis aus gleichmäßig bis zur Spitze verjüngt, zugespitzt; die Höhe des Aufsatzes etwa gleich der Breite; rechts der Hauptast kürzer, abgestumpft, der Nebenast nur angedeutet. Das Begattungsrohr bildet eine stark S-, fast 8-förmig geschwungene Linie. — L. 0·54—0·58 mm.

Golf von Neapel.

16. **X. communis** G. W. Müll. 1894 *X. c.*, G. W. Müller in: F. Fl. Neapel, *v.* 21 p. 338 t. 25 f. 32, 33, 39; t. 26 f. **1**, **6**.

Schale der von X. rara ähnlich, von ihr unterschieden dadurch, daß der höchste Punkt etwa auf halber Länge liegt und der Dorsalrand hier

sehr stark gewölbt, häufig (links) etwas geknickt ist; vorderes und hinteres Ende ähnlich gestaltet; hinten liegt der hinterste Punkt deutlich unter halber Höhe, vorn wenig tiefer als hinten. Schale lebhaft braunrot pigmentiert, mit komplizierter Zeichnung. Vom Rücken gesehen ähnlich wie X. rara. Klauen der Thoraxbeine ähnlich wie bei X. rara; terminales Glied des 2. Thoraxbeines und Klaue beim ♂ länger als beim ♀; das Glied eingeschnürt. Penis ähnlich wie bei X. rara; der linke Aufsatz schlanker, Höhe deutlich größer als die Breite; der rechte ebenfalls zugespitzt, kurz, medialwärts gerichtet. — L. 0·47—0·54 mm.

Golf von Neapel.

17. **X. ventricosa** G. W. Müll. 1894 *X. v.*, G. W. Müller in: F. Fl. Neapel, *v.* 21 p. 335 t. 25 f. **4, 5, 14,** 34, 38.

Schale hoch, Höhe etwa $^5/_8$ der Länge, am höchsten hinter der Mitte; Dorsalrand mäßig stark gewölbt; Schale nach vorn stark verschmälert; Vorderende mäßig breit gerundet; der Hinterrand bildet eine gerundete Ecke, die über halber Höhe liegt und links deutlicher als rechts ist; der eigentliche Ventralrand in der hinteren Hälfte stark vorgewölbt; im hinteren Drittel steigt er in starkem Bogen zur hinteren Ecke auf. Nicht pigmentiert, sehr undurchsichtig. Vom Rücken gesehen Breite etwa $^3/_4$ der Länge; am breitesten auf $^2/_3$ der Länge; Hinterende breit gerundet, Vorderende zugespitzt. Die Klauen des 1.—3. Thoraxbeines lang und schlank, länger als das zugehörige terminale Glied. Aufsatz des Penis mit Haupt- und Nebenast; der Hauptast nahe der Basis stark verschmälert, zugespitzt, der Nebenast hakig gekrümmt. Das Vas deferens steigt in stark S-förmig geschwungener Linie zum Muskelansatz auf und bildet hier einen spitzen Winkel mit dem Begattungsrohr, das einen nach oben offenen, annähernd rechten Winkel bildet. — L. 0·42—0·44 mm.

Golf von Neapel.

18. **X. tumida** A. Scott 1905 *X. t.*, A. Scott in: Herdman, Rep. Ceylon Pearl Fish., Suppl. Rep. 22 p. 375 t. 2 f. 3, 4.

Schale im Profil hoch, Höhe annähernd $^2/_3$ der Länge, am höchsten hinter halber Länge, Dorsalrand stark gewölbt, das Hinterende sehr breit, das vordere deutlich schmaler gerundet, Ventralrand in der hinteren Hälfte deutlich konvex. Vom Rücken gesehen sehr breit, Breite etwa $^5/_6$ der Länge, am breitesten in der hinteren Hälfte, Hinterende breit gerundet, Vorderende zugespitzt, beide Schalen bilden hier miteinander einen Winkel von etwa 90°. — L. 0·6 mm.

Ceylon.

19. **X. irrasa** A. Scott 1905 *X. i.*, A. Scott in: Herdman, Rep. Ceylon Pearl Fish., Suppl. Rep. 22 p. 375 t. 2 f. 5, 6, 46, 47.

Schale im Profil: Höhe $^2/_3$ der Länge, am höchsten auf halber Länge. Dorsalrand stark gewölbt, Hinterende breit, Vorderende deutlich schmaler gerundet, Ventralrand in der Mitte konvex; Oberfläche mit zahlreichen, konzentrischen, dornigen Rippen, mit kurzen, steifen Haaren bedeckt; vom Rücken gesehen Breite $^2/_3$ der Länge, am breitesten hinter halber Länge, Hinterende breit gerundet, Vorderende zugespitzt, die Spitze abgerundet. — L. 0·53 mm.

Ceylon.

X. africana G. Brady 1880 *X. a.*, G. S. Brady in: Rep. Voy. Challenger, Zool. *v.* 1 Part 3 p. 126 t. 30 f. 4a—c | ?1901 *X. a.*, Egger in: Abh. Bayer. Ak., *v.* 21 p. 454 t. 3 f. 34—36.

Südafrika (Simonsbay), in 30—36 m Tiefe; an verschiedenen anderen Stellen im südlichen Atlantischen Ozean in 91 und 677 m Tiefe; bei Mauritius?; im Indischen Ozean, nahe der Australischen Küste in 357 und 677 m Tiefe?; Neuseeland.

X. compressa Seg. 1885 *X. c.*, Seguenza in: Natural. Sicil., *v.* 4 p. 45 t. 2 f. 3.

Hafen von Messina.

X. curta (G. Brady) 1865 *Cytheridea (?) c.*, G. S. Brady in: Tr. zool. Soc. London, *v.* 5 p. 370 t. 58 f. 7 | ?1868 *Xestoleberis c.*, G. S. Brady in: Folin & Périer, Fonds Mer, *v.* 1 p. 79 t. 10 f. 16—18 | ?1880 *X. c.*, G. S. Brady in: Rep. Voy. Challenger, Zool. *v.* 1 Part 3 p. 126 t. 31 f. 6.

Verschiedene Meere, in Tiefen bis zu 2514 m.

X. depressa (O. Sars) 1865 *Cythere d.*, G. O. Sars in: M. Sars, Foss. Dyrelev. Qvart., p. 116—118? (descr. nulla) | 1866 *Xestoleberis d.*, G. O. Sars in: Forh. Selsk. Christian., 1865 p. 68 | ?1868 *X. d.*, G. S. Brady in: Tr. Linn. Soc. London, *v.* 26 p. 438 t. 27 f. 27—33 | ?1880 *X. d.*, G. S. Brady in: Rep. Voy. Challenger, Zool. *v.* 1 Part 3 p. 124 t. 31 f. 1a—g.

Küste von Nordeuropa; Arktische Meere; Mittelmeer; Kerguelen?; Indischer Ozean (Cocos-Inseln), Ostküste von Nordamerika.

X. expansa G. Brady 1880 *X. e.*, G. S. Brady in: Rep. Voy. Challenger, Zool. *v.* 1 Part 3 p. 129 t. 30 f. 3a—d.

35° s. Br., 50° w. L., 3473 m Tiefe; Arabisches Meer.

X. gracilis G. Brady 1890 *X. g.*, G. S. Brady in: Tr. R. Soc. Edinb., *v.* 35 p. 508 t. 3 f. 9, 10.

Bismarck-Archipel; Samoa-Inseln; Funafuti.

X. granulosa G. Brady 1880 *X. g.*, G. S. Brady in: Rep. Voy. Challenger, Zool. *v.* 1 Part 3 p. 125 t. 30 f. 5a—d | ?1901 *X. g.*, Egger in: Abh. Bayer. Ak., *v.* 21 p. 455 t. 3 f. 44—46.

Bei Australien; Neucaledonia; 10° n. Br., 17° w. L., 677 m Tiefe?; Island; südliches Norwegen.

X. intermedia G. Brady 1868 *X. i.*, G. S. Brady in: Folin & Périer, Fonds Mer, *v.* 1 p. 94 t. 12 f. 3—7 | ?1880 *X. i. (?)*, *X. margaritea*, G. S. Brady in: Rep. Voy. Challenger, Zool. *v.* 1 Part 3 p. 128 t. 33 f. 2a—d; p. 127 t. 30 f. 2a—g | ?1889 *X. m.*, G. S. Brady & A. M. Norman in: Tr. R. Dublin Soc., ser. 2 *v.* 4 p. 190 t. 16 f. 25, 26.

Mittelmeer; Capverdische Inseln; Ceylon; Karibisches Meer; Torres-Str.?; Funafuti.

X. labiata G. Brady & D. Roberts. 1874 *X. l.*, G. S. Brady & D. Robertson in: Ann. nat. Hist., ser. 4 *v.* 13 p. 116 t. 4 f. 8—15 | ?1889 *X. l.*, G. S. Brady & A. M. Norman in: Tr. R. Dublin Soc., ser. 2 *v.* 4 p. 189 t. 16 f. 27, 28.

Küsten von Europa.

X. luxata G. Brady 1898 *X. l.*, G. S. Brady in: Tr. zool. Soc. London, *v.* 14 p. 441 t. 46 f. 20—27.

Neuseeland (Lyttelton Harbour).

X. nana G. Brady 1880 *X. n.*, G. S. Brady in: Rep. Voy. Challenger, Zool. *v.* 1 Part 3 p. 126 t. 31 f. 5a—c | ?1901 *X. n.*, Egger in: Abh. Bayer. Ak., *v.* 21 p. 456 t. 3 f. 31—33.

Tonga-Inseln; 130° s. Br., 175° w. L., 1655 m Tiefe?; 18° s. Br., 116° ö. L., 357 m Tiefe?; Funafuti.

X. olivacea G. Brady 1898 *X. o.*, G. S. Brady in: Tr. zool. Soc. London, *v.* 14 p. 442 t. 46 f. 6, 7.

Neuseeland (Brighton).

X. polita G. Brady 1870 *X. p.*, G. S. Brady in: Folin & Périer, Fonds Mer, *v.* 1 p. 202 t. 27 f. 15, 16 | 1880 *X. p.*, G. S. Brady in: Rep. Voy. Challenger, Zool. *v.* 1 Part 3 p. 127 t. 31 f. 7.

Magalhaensstraße; Falklandinseln?

X. producta Seg. 1880 *X. p.*, Seguenza in: Atti Acc. Lincei Mem., ser. 3 *v.* 6 p. 291 | 1884 *X. p.*, Seguenza in: Natural. Sicil., *v.* 3 p. 319 t. 1 f. 13.

Hafen von Messina.

X. reniformis G. Brady 1907 *X. r.*, G. S. Brady in: Nat. antarct. Exp., *v.* 3 nr. 5 p. 6 t. 1 f. 4, 5.

Antarktis.

X. saccata Seg. 1884 *X. s.*, Seguenza in: Natural. Sicil., *v.* 3 p. 321 t. 1 f. 14.

Hafen von Messina.

X. setigera G. Brady 1880 *X. s.*, G. S. Brady in: Rep. Voy. Challenger, Zool. *v.* 1 Part 3 p. 125 t. 31 f. 2a—d, 3a—c | ?1901 *X. s.*, Egger in: Abh. Bayer. Ak., *v.* 21 p. 456 t. 3 f. 37—39.

Südlicher Indischer Ozean (Kerguelen, Heard-Insel, Prince Edwards-Insel); 6° n. Br., 11° w. L.?; Funafuti.

X. sulcata G. Brady 1886 *X. s.*, G. S. Brady in: J. Linn. Soc. London, *v.* 19 p. 314 t. 40 f. 28—30.

Ceylon.

X. tumefacta G. Brady 1880 *X. t.*, G. S. Brady in: Rep. Voy. Challenger, Zool. *v.* 1 Part 3 p. 128 t. 31 f. 4a—d.

Admiralitäts-Inseln; Ceylon; Neucaledonia (Numea)? Funafuti.

X. variegata G. Brady 1880 *X. v.*, G. S. Brady in: Rep. Voy. Challenger, Zool. *v.* 1 Part 3 p. 129 t. 31 f. 8a—g.

Kap Verden (St. Vincent); Tonga-Inseln; Ceylon; Neucaledonia; Fidschi-Inseln; Samoa-Inseln.

X. sp. 1898 *X. compressa* (non *X. c.* Seguenza 1885), G. S. Brady in: Tr. zool. Soc. London, *v.* 14 p. 442 t. 46 f. 10—19.

Neuseeland (Brighton); Funafuti; Ceylon.

14. Gen. **Linocheles** G. Brady

1907 *Linocheles*, G. S. Brady in: Nat. antarct. Exp., *v.* 3 nr. 5 p. 7.

Das letzte Beinpaar beim ♂ sehr lang und dünn, besonders das terminale Glied und die terminale Klaue, übrigens ohne Borsten. (Im übrigen wie Xestoleberis?)

1 Art.

1. **L. vagans** G. Brady 1907 *L. v.*, G. S. Brady in: Nat. antarct. Exp., *v.* 3 nr. 5 p. 7 t. 3 f. 11—18.

Schale des ♂: Höhe deutlich größer als $^1/_2$ der Länge, am höchsten hinter der Mitte, Dorsalrand stark gewölbt, Vorderende ziemlich schmal, Hinterende deutlich breiter gerundet. Vom Rücken gesehen Breite etwas kleiner als $^1/_2$ der Länge, am breitesten hinter der Mitte, Hinterende schmal

gerundet, Vorderende zugespitzt, die Spitze abgestumpft. Am 3. Thoraxbein ist das terminale Glied länger als die beiden vorhergehenden zusammen, die terminale Klaue länger als das terminale Glied. — L. ♂ 0·64 mm, ♀ unbekannt.

Antarktis, unter 49° s. Br., 172 ö. L. und 58° s. Br., 154 w. L., pelagisch (?).

15. Gen. **Microxestoleberis** G. W. Müller

1894 *Microxestoleberis*, G. W. Müller in: F. Fl. Neapel, *v.* 21 p. 339.

Schale glatt, am Ventralrande stark abgeflacht, an der hinteren, ventralen Ecke in einen Fortsatz ausgezogen; nierenförmiger Fleck hinter dem Auge und Verlauf von Verwachsungslinie und Innenrand ähnlich wie bei Xestoleberis. 1. Antenue 6-gliedrig; einige Borsten lang, so lang wie die 5 letzten Glieder, alle schlank und biegsam. 2. Antenne mit 3-gliedrigem Endopodit, dessen letztes Glied in beiden Geschlechtern eine kräftige, lange Klaue trägt; neben ihr steht beim ♀ eine feine Borste, beim ♂ eine kurze, gekämmte Klaue. Maxille und Furca wie bei Xestoleberis.

1 Art.

1. **M. nana** G. W. Müll. 1894 *M. n.*, G. W. Müller in: F. Fl. Neapel, *v.* 21 p. 339 t. 39 f. **1, 6, 7,** 40—48.

Schale gestreckt, Höhe deutlich kleiner als $^1/_2$ der Länge, am höchsten in der Mitte; Dorsalrand sehr flach gewölbt, fast gerade und horizontal; Vorderende ziemlich breit gerundet; Hinterrand in der dorsalen Hälfte sehr breit gerundet, in der ventralen in einen Fortsatz ausgezogen, dessen wenig abgerundete Spitze etwa auf $^1/_4$ der Höhe liegt; ventral stark abgeflacht, die Fläche scharfkantig abgesetzt, der Rand etwas flügelartig ausgezogen. Vom Rücken gesehen Breite $^3/_5$ der Länge; die Seiten bilden sehr flache, nach vorn wenig konvergierende Bogen; beide Enden zugespitzt, die vordere Spitze quer abgestutzt, die hintere tief gespalten, zweizipflig. — L. 0·35 mm.

Golf von Neapel.

16. Gen. **Paracytheridea** G. W. Müller

1894 *Paracytheridea*, G. W. Müller in: F. Fl. Neapel, *v.* 21 p. 340.

Schale derb, flügelartig verbreitert, so daß ihre Breite viel größer ist als die Höhe; Innenrand und Verwachsungslinie fallen in ganzem Umfange zusammen. 1. Antenne 5-gliedrig; vor- und drittletztes Glied nicht verschmolzen; vorletztes Glied mit 2 klauenartigen, hakig dorsalwärts gebogenen Borsten. Endopodit der 2. Antenne 3-gliedrig; das letzte Glied mit einer starken Klaue und einer schwachen Borste. Maxille ähnlich wie bei Xestoleberis; der aberrante Strahl stark mundwärts gerichtet. Furca mit 2 sehr kleinen Borsten.

2 Arten.

1. **P. bovettensis** (Seg.) 1880 *Cytheropteron b.*, Seguenza in: Atti Acc. Lincei Mem., ser. 3 *v.* 6 p. 365 t. 17 f. 54 | 1894 *Paracytheridea depressa*, G. W. Müller in: F. Fl. Neapel, *v.* 21 p. 341 t. 26 f. 16—26; t. 29 f. **4, 8.**

Schale mit sehr breiter, kantig gegen die Seiten abgegrenzter Ventralfläche. Im Profil ist der Ventralrand vollständig durch die seitlichen Kanten verdeckt; Schale niedrig, Höhe etwa $^{11}/_{27}$ der Länge, am höchsten auf etwa $^1/_4$ der Länge, nach hinten verschmälert; Dorsal- und Ventralrand ziemlich

unregelmäßig gestaltet; Vorderende breit gerundet, Hinterende zugespitzt. Vom Rücken gesehen Breite etwa $^7/_{10}$ der Länge, am breitesten etwa auf $^2/_3$ der Länge; die Seiten bilden hier eine scharfe Spitze, von der aus sie in schwach S-förmig geschwungener, unregelmäßig gewellter Linie zum breit gerundeten Vorderende, in treppenartig gestalteter Linie zum zugespitzten Hinterende konvergieren. — L. 0·52—0·54 mm.

Golf von Neapel.

2. **P. perplexa** A. Scott 1905 *P. p.*, A. Scott in: Herdman, Rep. Ceylon Pearl Fish., Suppl. Rep. 22 p. 376 t. 1 f. 26, 27.

Schale der von P. bovettensis ähnlich, von dieser in folgenden Punkten unterschieden: in der Ansicht vom Rücken verlaufen die Schalen von der hinteren Ecke der flügelartigen Fortsätze nicht geschwungen, sondern fast gerade und parallel nach vorn; Vorderende in der Mitte breit klaffend. Am Hinterende findet sich neben der Spitze jederseits eine etwa halbkreisförmige, stark abgesetzte Vorwölbung. — L. 0·65 mm.

Ceylon.

17. Gen. **Loxoconcha** O. Sars

1785 *Cythere* (part.), O. F. Müller, Entom., p. 63 | 1788 *Monoculus* (part.), J. F. Gmelin, Syst. Nat., *v.* 5 p. 3001 | 1850 *Cythere* (part.), W. Baird, Brit. Entom., p. 163 | 1866 *Loxoconcha*, G. O. Sars in: Forh. Selsk. Christian., 1865 p. 61 | 1866 *Normania*, G. S. Brady in: Tr. zool. Soc. London, *v.* 5 p. 382 | 1894 *Loxoconcha*, G. W. Müller in: F. Fl. Neapel, *v.* 21 p. 342.

Schale meist mit scharf umschriebenen Gruben oder anderer Skulptur bedeckt, selten glatt; Umriß meist annähernd rhomboidal. Innenrand und Verwachsungslinie fallen meist fast vollständig zusammen, sind aber stets am Vorderrande getrennt. Beim Schließen legen sich die Schalenränder einfach aneinander. 1. Antenne schlank, 6-gliedrig; Borsten schlank, bisweilen einzelne schwach klauenartig gestaltet. Terminales Glied der 2. Antenne mit 2 annähernd gleich langen Endklauen. Maxille und Furca wie bei Xestoleberis.

28 sichere, 22 unsichere Arten.

1. **L. bairdi** (nom. nov.), G. W. Müll. 1850 *Cythere impressa* (non. *C. i.* Mc Coy 1847), W. Baird, Brit. Entom., p. 173 t. 21 f. 9 | ?1854 *C. flavida*, Zenker in: Arch. Naturg., *v.* 20 1 p. 86 t. 5 f. B | 1855 *C. rhomboidea*, S. Fischer in: Abh. Bayer. Ak., *v.* 7 p. 656 (descr. nulla) | 1866 *Loxoconcha r.*, G. O. Sars in: Forh. Selsk. Christian., 1865 p. 62 | 1868 *L. impressa*, G. S. Brady in: Tr. Linn. Soc. London, *v.* 26 p. 433 t. 25 f. 35—40; t. 40 f. 4 | ?1889 *L. i.*, G. S. Brady & A. M. Norman in: Tr. R. Dublin Soc., ser. 2 *v.* 4 p. 183 t. 23 f. 7 | 1894 *L. i.*, G. W. Müller in: F. Fl. Neapel, *v.* 21 p. 342 t. 27 f. 16, 17, 20; t. 28 f. 1, 6.

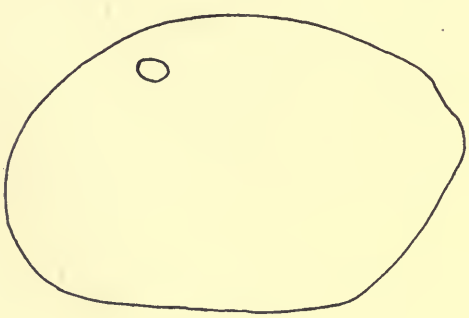

Fig. 85.
Loxoconcha bairdi. Schalenumriß (100/1).

Schale des ♀: Höhe etwa $^5/_6$ der Länge; am höchsten etwa in der Mitte; Dorsalrand flach gewölbt, gegen den Vorderrand undeutlich, gegen den Hinterrand deutlich in gerundeter Ecke abgegrenzt; Vorderrand in der ventralen Hälfte stumpf gerundet; Ventralrand gerade, bildet mit dem

Hinterrande einen stumpfen Winkel mit gerundeter Ecke; der Hinterrand steigt annähernd geradlinig und ziemlich steil auf und bildet auf etwa $^2/_3$ der Schalenhöhe eine abgerundete Ecke. Schale des ♂ etwas gestreckter; Dorsalrand abgeflacht, deutlich winklig gegen den Vorderrand abgegrenzt. Oberfläche in beiden Geschlechtern mit meist scharf begrenzten, runden Gruben bedeckt, meist mit zerstreuten, blauschwarzen Pigmentflecken. Vom Rücken gesehen Breite annähernd $^1/_2$ der Länge, am breitesten in der Mitte; die Seiten bilden Bogen, welche ziemlich gleichmäßig bis zu beiden Enden verlaufen und nach beiden Enden etwa gleich stark konvergieren. Klaue des 1. Thoraxbeines gebogen, nicht geknickt. — L. ♀ 0·58—0·65, ♂ 0·62—0·71 mm.

Küsten von Europa; Ostküste von Nordamerika.

2. **L. stellifera** G. W. Müll. 1894 *L. s.*, G. W. Müller in: F. Fl. Neapel, *v.* 21 p. 343 t. 27 f. 15, 18; t. 28 f. **2, 7.**

Schalenumrisse ähnlich wie bei L. bairdi. Oberfläche glatt oder mit kleinen, flachen Gruben; mit zahlreichen, stark sternförmig verzweigten Pigmentflecken, welche die hintere Hälfte dunkel blauschwarz färben. Klaue des 1. Thoraxbeines deutlich winklig gebogen. — L. ♀ 0·65—0·69, ♂ 0·75 mm.

Golf von Neapel.

3. **L. minima** G. W. Müll. 1894 *L. m.*, G. W. Müller in: F. Fl. Neapel, *v.* 21 p. 344 t. 39 f. **4, 27,** 35.

Schale der von L. bairdi ähnlich; Dorsalrand in beiden Geschlechtern gerade; die stark abgerundete Ecke des Hinterrandes liegt auf $^1/_2$ der Höhe. Oberfläche stets dicht mit kleinen Gruben bedeckt; Pigmentierung ähnlich wie bei L. bairdi, ebenso Klaue des 1. Thoraxbeines. — L. ♀ 0·54, ♂ 0·62 mm.

Golf von Neapel.

4. **L. pumicosa** G. Brady 1880 *L. p.*, G. S. Brady in: Rep. Voy. Challenger, Zool. *v.* 1 Part 3 p. 118 t. 28 f. 2a—d.

Schale ähnlich wie bei L. bairdi; an Stelle der Ecke am Hinterrande ein kurzer, quer abgestutzter Fortsatz. Vom Rücken gesehen Breite $^7/_{10}$ der Länge. — L. 0·52 mm.

10° 36′ s. Br., 141° 55′ ö. L.; Südsee-Inseln.

5. **L. honoluliensis** G. Brady 1880 *L. h.*, G. S. Brady in: Rep. Voy. Challenger, Zool. *v.* 1 Part 3 p. 117 t. 28 f. 6a—f.

Schalenumriß ähnlich wie bei L. bairdi; Ecke zwischen Dorsal- und Hinterrand ganz unterdrückt; Hinterrand dorsal und ventral der Ecke flach eingedrückt. Oberfläche mit weit voneinander stehenden, runden Punkten oder mit unregelmäßigem Netzwerk. Vom Rücken gesehen die Seiten in der hinteren Hälfte wenig eingedrückt. — L. 0·6 mm.

Honolulu; Neucaledonia; Fidschi-Inseln; Samoa-Inseln; Indischer Ozean (Cocos-Insel, Ceylon).

6. **L. viridis** (Müll.) 1785 *Cythere v.*, O. F. Müller, Entom., p. 64 t. 7 f. 1, 2 | 1788 *Monoculus v.*, J. F. Gmelin, Syst. Nat., *v.* 5 p. 3001 | 1818 *Cytherina v.*, Lamarck, Hist. An. s. Vert., *v.* 5 p. 125 (Synonymie) | (non 1854 *Cythere v.*, Zenker in: Arch. Naturg., *v.* 201 p. 86 t. 5 f. A) | (non 1866 *C. v.*, G. O. Sars in: Forh. Selsk. Christian., 1865 p. 30) | 1868 *Loxoconcha elliptica* (part.?), G. S. Brady in: Intell. Observ., *v.* 12 p. 123 | (non 1868 *Cythere viridis*, G. S. Brady in: Tr. Linn. Soc. London, *v.* 26 p. 397 t. 28 f. 40, 41, 57—59; t. 38 f. 8) | 1868 *Loxoconcha elliptica*, G. S. Brady in: Tr. Linn. Soc. London, *v.* 26 p. 435 t. 27 f. 38, 39, 45—48; t. 40 f. 3 | (non 1880 *Cythere viridis*, G. W. Müller in: Z. Naturw., *v.* 53 p. 237) | 1880 *C. flavida*, G. W. Müller in: Z. Naturw., *v.* 53 p. 237

t. 5 f. 4 | 1888 *Loxoconcha elliptica*, Dahl in: Zool. Jahrb. Syst., *v.* 3 p. 625 t. 18 f. 90–95, 99—106 | 1889 *L. viridis*, G. S. Brady & A. M. Norman in: Tr. R. Dublin Soc., ser. 2 *v.* 4 p. 185 (descr. nulla).

Schale ähnlich wie bei L. bairdi; von dieser und den ähnlichen Arten dadurch unterschieden, daß die hintere Ecke vollständig unterdrückt und das Hinterende breit gerundet ist. — L. 0·60 mm.

Küste von Europa, besonders in etwas brackigem Wasser; auch im Süßwasser der Shetland-Inseln.

7. **L. pellucida** G. W. Müll. 1894 *L. p.*, G. W. Müller in: F. Fl. Neapel, *v.* 21 p. 345 t. 27 f. 1, 2, 3, **6**, 7.

Schale im Profil und in der Ansicht vom Rücken ähnlich wie bei L. bairdi; von dieser und allen ähnlichen Arten unterschieden durch eine kleine vortretende Spitze an der Grenze von Ventral- und Hinterrand. Oberfläche glatt, Schale sehr durchsichtig. — L. 0·48—0·5 mm.

Golf von Neapel.

8. **L. laevior** G. W. Müll. 1908 *L. l.*, G. W. Müller in: D. Südp.-Exp., *v.* 10 p. 134 f.

Schale der von L. pellucida ähnlich, viel gestreckter; Höhe annähernd $^1/_2$ der Länge (anstatt $^{10}/_{17}$), die Verwachsungslinie verläuft am Vorderrande in einfachem, annähernd gleichmäßigem Bogen dem Schalenrande ungefähr parallel. — L. ♀ 0·5 mm.

Antarktis, Gaußstation.

9. **L. turbida** (nom. nov.), G. W. Müll. 1894 *L. levis* (non *L. l.* G. S. Brady 1867), G. W. Müller in: F. Fl. Neapel, *v.* 21 p. 344 t. 27 f. 8, 19, 22; t. 28 f. **4**, **8**.

Schalenumriß ähnlich wie bei L. bairdi (nr. 1); Dorsalrand annähernd gerade; Schale ziemlich glatt, mit zerstreuten, kleinen Gruben. Vom Rücken Breite etwas größer als $^1/_2$ der Länge, die Seiten nahe den beiden Enden etwas winklig eingedrückt, wodurch vorn und hinten ein mittlerer Fortsatz abgegrenzt wird. — L. 0·5 mm.

Golf von Neapel.

10. **L. fragilis** O. Sars 1866 *L. f.*, G. O. Sars in: Forh. Selsk. Christian., 1865 p. 65 | 1889 *L. f.*, G. S. Brady & A. M. Norman in: Tr. R. Dublin Soc., ser. 2 *v.* 4 p. 187 t. 17 f. 32—34.

Schalenumriß ähnlich wie bei L. bairdi (nr. 1); Vorderrand breit gerundet; Hinterrand beim ♀ mit kurzem Fortsatz, beim ♂ mit deutlich winkliger Ecke. Vom Rücken gesehen schmal, Breite deutlich kleiner als $^1/_2$ der Länge. Schale glatt, dünn, durchsichtig, sehr zerbrechlich. — L. 0·5 mm.

Küste von Nordeuropa.

11. **L. guttata** (Norm.) 1865 *Cythere g.*, A. M. Norman in: Tr. nat. Hist. Soc. Northumb., *v.* 1 p. 19 t. 6 f. 9—12 | 1866 *Loxoconcha granulata*, G. O. Sars in: Forh. Selsk. Christian., 1865 p. 64 | 1868 *L. guttata*, G. S. Brady in: Tr. Linn. Soc. London, *v.* 26 p. 436 t. 27 f. 40—44 | ?1901 *L. g.* (Larve?), Egger in: Abh. Bayer. Ak., *v.* 21 p. 453 t. 3 f. 4—6.

Schale der von L. bairdi (nr. 1) ähnlich; Ansicht vom Rücken ähnlich wie bei L. turbida, aber fast die ganze Schalenoberfläche mit dichtstehenden, tiefen, winkligen Gruben bedeckt. — L. 0·53 mm.

Küste von Europa; Vigo-Bucht; Island?; Mauritius, 411 m Tiefe?; Ostküste von Nordamerika.

12. **L. africana** G. Brady 1880 *L. a.*, G. S. Brady in: Rep. Voy. Challenger, Zool. *v.* 1 Part 3 p. 118 t. 28 f. 3a—d.

Schalenumriß ähnlich wie bei L. bairdi (nr. 1); die Ecke des Hinterrandes stark abgerundet. Oberfläche glatt, zum Teil mit kleinen, runden Punkten. Vom Rücken gesehen konvergieren die Seiten nach hinten viel weniger als nach vorn, so daß ein breites, stumpfwinklig zugespitztes Hinterende entsteht. — L. 0·6 mm.

Capverdische Inseln.

13. **L. sinensis** G. Brady 1869 *L. s.*, G. S. Brady in: Folin & Périer, Fonds Mer, *v.* 1 p. 158 t. 16 f. 17, 18 | 1880 *L. s.*, G. S. Brady in: Rep. Voy. Challenger, Zool. *v.* 1 Part 3 p. 120 t. 29 f. 2 | ?1901 *L. s.*, Egger in: Abh. Bayer. Ak., *v.* 21 p. 453 t. 3 f. 9—11.

Schalenumriß ähnlich wie bei L. bairdi (nr. 1), in der Ansicht vom Rücken ähnlich wie bei L. africana; die Seiten in der hinteren Hälfte fast parallel; das Hinterende quer abgestutzt, mit mittlerem Fortsatz. — L. 0·52 mm.

Südchinesisches und Japanisches Meer; Mauritius, 411 m Tiefe?

14. **L. hastata** G. Brady 1869 *L. h.*, G. S. Brady in: Folin & Périer, Fonds Mer, *v.* 1 p. 159 t. 16 f. 19, 20.

Schalenumriß ähnlich wie bei L. bairdi (nr. 1); Oberfläche mit konzentrisch angeordneten Gruben bedeckt. Vom Rücken gesehen Breite annähernd $^1/_2$ der Länge, am breitesten etwa auf $^2/_3$ der Länge; die Seiten bilden hier eine scharfe Ecke, vor der sie schwach, im vorderen Drittel stark konvergieren und hinter der sie in unregelmäßig gewellter Linie zum Hinterende konvergieren. — L. 0·5 mm.

Hongkong.

15. **L. dorso-tuberculata** (G. Brady) 1866 *Normania d.*, G. S. Brady in: Tr. zool. Soc. London, *v.* 5 p. 383 t. 61 f. 14.

Schale im Profil und in der Ansicht vom Rücken ähnlich wie bei L. bairdi (nr. 1); unterschieden durch eine umfangreiche Warze nahe der Ecke zwischen Dorsal- und Hinterrand, die in der Ansicht vom Rücken die Seiten nicht überragt. — L. 0·57 mm.

Westindien; Neucaledonia (Numea).

16. **L. sculpta** G. Brady ?1869 *L. s.*, G. S. Brady in: Folin & Périer, Fonds Mer, *v.* 1 p. 140 t. 18 f. 5, 6 | 1880 *L. s.*, G. S. Brady in: Rep. Voy. Challenger, Zool. *v.* 1 Part 3 p. 119 t. 29 f. 5.

Schale ähnlich wie bei L. dorso-tuberculata; in der Ansicht vom Rücken überragt die dorsale Warze die Seiten und ist zu beiden Seiten des Hinterendes als rechtwinklige, deutlich vortretende Ecke sichtbar. — L. 0·5 mm.

Cap Verden (St.-Vincent); Torresstraße (Booby-Insel); Ceylon.

17. **L. parallela** G. W. Müll. 1894 *L. p.*, G. W. Müller in: F. Fl. Neapel, *v.* 21 p. 345 t. 27 f. 23; t. 28 f. 3, 9.

Schale gestreckter als bei Species 1—15; Höhe beim ♀ etwa $^1/_2$ der Länge, beim ♂ weniger; Dorsal- und Ventralrand parallel; übrigens ähnlich wie bei L. bairdi. Oberfläche mit scharf begrenzten, rundlichen Gruben bedeckt, die ziemlich weit voneinander stehen. Vom Rücken gesehen schmal, Breite etwa nur $^2/_5$ der Länge; die Seiten bilden sehr flache Bogen, ver-

laufen fast parallel und sind nahe dem Vorderende wenig, nahe dem Hinterende deutlich eingedrückt; beide Enden zugespitzt. — L. 0·64 mm.

Golf von Neapel.

18. **L. meridionalis** G. W. Müll. 1908 *L. m.*, G. W. Müller in: D. Südp.-Exp., *v.* 10 p. 133 t. 18 f. 1, 9.

Schalenumriß ähnlich wie bei L. parallela, höher, Höhe $^3/_5$ der Länge, Oberfläche mit polygonalen, durch scharfkantige Rippen getrennten, tiefen Gruben, in den Gruben kleine, scharf konturierte, rundliche Gruben, nur ein schmaler Streifen am vorderen und hinteren Schalenrande glatt. Vom Rücken gesehen Breite $^1/_2$ der Länge, am breitesten etwa in der Mitte, die Seiten bilden flache, im hinteren Viertel stärker gekrümmte Bogen; das Vorderende wird gebildet durch einen scharf gegen die oben erwähnten Bogen abgesetzten Fortsatz mit parallelen Rändern von $^1/_8$ Schalenlänge, terminal ist der Fortsatz zugespitzt; das Hinterende ähnlich, der Fortsatz kürzer und breiter. — L. 0·65 mm.

Antarktis, Gaußstation, in 385 m Tiefe.

19. **L. laevata** (Norm.) 1865 *Cythere l.*, A. M. Norman in: Tr. nat. Hist. Soc. Northumb., *v.* 1 p. 18 t. 5 f. 13—16 | 1865 *C. longipes*, G. O. Sars in: M. Sars, Foss. Dyrelev. Qvart., p. 118 (descr. nulla) | 1866 *Loxoconcha l.*, G. O. Sars in: Forh. Selsk. Christian., 1865 p. 63 | 1868 *L. tamarindus*, G. S. Brady in: Tr. Linn. Soc. London, *v.* 26 p. 435 t. 25 f. 45—48 | 1886 *L. cuneiformis*, Malcomson in: P. Belfast Club, ser. 2 *v.* 2 App. 9 p. 261 t. 25 f. 1, 2 (fide 1889 G. S. Brady & A. M. Norman in: Tr. R. Dublin Soc., ser. 2 *v.* 4 p. 186).

Schalenumriß ähnlich wie bei L. parallela (nr. 17). Oberfläche ohne Gruben. Vom Rücken gesehen bilden die Seiten Bogen, welche gleichmäßig von einem zum anderen Ende verlaufen. — L. 0·52 mm.

Küste von Europa.

20. **L. pusilla** G. Brady & D. Roberts. 1870 *L. p.*, G. S. Brady & D. Robertson in: Ann. nat. Hist., ser. 4 *v.* 6 p. 23 t. 8 f. 1—3 | 1889 *L. p.*, G. S. Brady & A. M. Norman in: Tr. R. Dublin Soc., ser. 2 *v.* 4 p. 186 t. 17 f. 24, 25.

L. laevata sehr ähnlich; unterschieden durch geringere Größe. — L. 0·4 mm.

Küste von England.

21. **L. versicolor** G. W. Müll. 1894 *L. v.*, G. W. Müller in: F. Fl. Neapel, *v.* 21 p. 346 t. 27 f. 4; t. 28 f. 5, 10.

Schalenumriß ähnlich wie bei L. parallela (nr. 17), etwas gestreckter; von Species 1—19 unterschieden durch die Skulptur: die Oberfläche ist durch schmale, scharf begrenzte Rippen in meist viereckige Felder mit gerundeten Ecken geteilt. Vom Rücken gesehen Breite (beim ♂) annähernd $^1/_2$ der Länge, die Seiten verlaufen gerade und parallel, nähern sich in den vorderen 2 Fünfteln in flachem Bogen und bilden auf etwa $^7/_{10}$ der Länge stark gerundete Ecken, hinter denen sie treppenartig gestaltet sind. — L. ♀ 0·43, ♂ 0·47 mm.

Golf von Neapel.

22. **L. variolata** G. Brady ?1878 *L. v.*, G. S. Brady in: Tr. zool. Soc. London, *v.* 10 p. 400 t. 68 f. 4a—d | 1880 *L. v.*, G. S. Brady in: Rep. Voy. Challenger, Zool. *v.* 1 Part 3 p. 121 t. 29 f. 6a—d | ?1901 *L. v.*, Egger in: Abh. Bayer. Ak., *v.* 21 p. 454 t. 3 f. 12—14.

Höhe annähernd $^2/_3$ der Länge; Dorsal- und Ventralrand annähernd parallel; beide Enden gerundet. Oberfläche mit eckigen Gruben. Vom Rücken gesehen ähnlich wie L. versicolor. — L. 0·49 mm.

Torresstraße (Booby-Insel); 6° n. Br., 11° w. L., 68 m Tiefe?

23. **L. littoralis** G. W. Müll. 1894 *L. l.*, G. W. Müller in: F. Fl. Neapel, *v.* 21 p. 346 t. 27 f. 9; t. 29 f. 1, 7.

Schale ähnlich wie bei L. versicolor, unterschieden durch die Rückenansicht: Breite etwa $^1/_2$ der Länge; die Seiten bilden auf $^7/_{10}$ der Länge eine scharfe, etwa rechtwinklige Ecke und vor derselben flache, anfangs wenig divergierende, darauf konvergierende Bogen, an deren Stelle in den vorderen $^3/_{10}$ eine gewellte Linie tritt; hinter den Spitzen verschmälern sich die Seiten auf etwa $^7/_{10}$ der Breite, bewahren diese Breite bis etwa $^8/_{10}$ der Länge und bilden dort scharfe, stumpfwinklige Ecken, von denen aus sie annähernd geradlinig zur hinteren Spitze verlaufen. — L. 0·42 mm.

Golf von Neapel.

24. **L. mediterranea** G. W. Müll. 1894 *L. m.*, G. W. Müller in: F. Fl. Neapel, *v.* 21 p. 347 t. 26 f. 33—42; t. 29 f. **3, 10**.

Schalenumriß ähnlich wie bei L. parallela; die Ecke des Hinterrandes fast ganz unterdrückt, so daß der Hinterrand in seiner dorsalen Hälfte fast senkrecht abfällt; Skulptur ähnlich wie bei L. versicolor, doch sind die Rippen zum Teil geschwunden, wodurch benachbarte Felder zum Teil zu unregelmäßigen Figuren verschmolzen sind. Vom Rücken ähnlich wie L. littoralis; Breite größer als $^1/_2$ der Länge, die vordere Ecke liegt auf etwa $^4/_5$ der Länge; die Seiten konvergieren von ihr aus schwach in etwas unregelmäßig geschwungener Linie; die hintere Ecke ist rechtwinklig und liegt annähernd auf gleicher Breite mit dem Hinterende, welches sich als breiter, mittlerer Fortsatz über den quer abgestutzten Hinterrand erhebt. — L. 0·59 mm.

Golf von Neapel.

25. **L. anomala** G. Brady 1880 *L. a.*, G. S. Brady in: Rep. Voy. Challenger, Zool. *v.* 1 Part 3 p. 123 t. 27 f. 5 a—d.

Schale im Profil ähnlich wie L. bairdi (nr. 1); der Hinterrand in einen quer abgestutzten Fortsatz ausgezogen. Oberfläche dicht mit flachen Gruben bedeckt. Vom Rücken gesehen Breite etwa $^2/_3$ der Länge, am breitesten auf $^2/_3$ der Länge; die Seiten bilden hier stark abgerundete Ecken, von denen aus die Seiten annähernd geradlinig bis zur vorderen Spitze konvergieren; bei der Ecke verschmälert sich die Schale plötzlich auf etwa $^3/_4$ ihrer Breite und bildet einen einspringenden Winkel, von dem aus die Seiten in schwach geschwungener Linie zum Hinterende konvergieren. — L. 0·5 mm.

Honolulu; Neucaledonia; Fidschiinseln; Indischer Ozean (Cocos-Insel, Ceylon).

26. **L. alata** G. Brady 1868 *L. a.*, G. S. Brady in: Ann. nat. Hist., ser. 4 *v.* 2 p. 223 t. 14 f. 8—13 | ?1880 *L. a.* (part.?), G. S. Brady in: Rep. Voy. Challenger, Zool. *v.* 1 Part 3 p. 122 t. 27 f. 6 a—j.

Schale der von L. anomala ähnlich; aber im Profil die Ecke des Hinterrandes fast ganz unterdrückt, die Gruben in konzentrischen Reihen angeordnet. — L. 0·51 mm.

Tenedos; Honolulu?; Indischer Ozean (Cocos-Insel, Ceylon?); Funafuti.

27. **L. gibbera** G. Brady ?1880 *L. alata* (part.?), G. S. Brady in: Rep. Voy. Challenger, Zool. *v.* 1 Part 3 p. 122 t. 24 f. 6a—j | 1885 *L. gibbera*, G. S. Brady in: J. Linn. Soc. London, *v.* 19 p. 312 t. 40 f. **25—27** | ?1890 *L. g.*, G. S. Brady in: Tr. R. Soc. Edinb., *v.* 35 p. 508 t. 4 f. 27, 28.

Schale ähnlich wie bei L. alata; nahe dem vorderen und hinteren Ende des Dorsalrandes eine Warze. Vom Rücken gesehen verlaufen die Seiten von der Ecke aus bis etwa $^1/_3$ der Länge parallel. — L. 0·46 mm.

Ceylon; Fidschiinseln.

28. **L. decipiens** G. W. Müll. 1894 *L. d.*, G. W. Müller in: F. Fl. Neapel, *v.* 21 p. 347 t. 27 f. 10—14, 24; t. 29 f. **2, 9.**

Schale im Profil: Höhe annähernd $^1/_2$ der Länge; Dorsalrand annähernd horizontal und gerade; Hinterrand durch eine kleine Spitze gegen den Ventralrand abgegrenzt, mit umfangreichem, nach der Spitze zu wenig verjüngtem, am Ende bogig ausgeschnittenem Fortsatz, dessen dorsaler Rand eine Fortsetzung des Schloßrandes bildet. Oberfläche mit schmalen, scharfen, überwiegend horizontal verlaufenden Rippen, welche wenig miteinander anastomosieren. — L. 0·42—0·47 mm.

Golf von Neapel.

L. affinis (G. Brady) 1866 *Normania a.*, G. S. Brady in: Tr. zool. Soc. London, *v.* 5 p. 382 t. 61 f. 12.

Östliches Mittelmeer.

L. angustata G. Brady 1869 *L. a.*, G. S. Brady in: Ann. nat. Hist., ser. 4 *v.* 3 p. 48 t. 8 f. 16, 17.

Beschik-Bai.

L. australis G. Brady 1880 *L. a.*, G. S. Brady in: Rep. Voy. Challenger, Zool. *v.* 1 Part 3 p. 119 t. 28 f. 5 a—f; t. 29 f. 3a—d.

Verschiedene Arten?

Australien (Port Jackson, Torresstraße); Neucaledonia; Funafuti; Ceylon.

L. avellana (G. Brady) 1866 *Normania a.*, G. S. Brady in: Tr. zool. Soc. London, *v.* 5 p. 382 t. 61 f. 15 | ?1880 *Loxoconcha a.*, G. S. Brady in: Rep. Voy. Challenger, Zool. *v.* 1 Part 3 p. 117 t. 28 f. 1a—f | ?1884 & 85 *L. a.*, Seguenza in: Natural. Sicil., *v.* 3 p. 254; *v.* 4 t. 2 f. 11.

Westindien; Mittelmeer?; Ceylon?; Australien; Pazifischer Ozean; Indischer Ozean (Cocos-Insel).

L. brevis G. Brady 1868 *L. b.*, G. S. Brady in: Folin & Périer, Fonds Mer, *v.* 1 p. 64 t. 7 f. 15, 16.

Malayischer Archipel.

L. cuboidea G. Brady 1875 *L. c.*, G. S. Brady in: Folin & Périer, Fonds Mer, *v.* 2 p. 21 (descr. nulla).

Golf von Biscaya.

L. elegans G. Brady 1870 *L. e.*, G. S. Brady in: Folin & Périer, Fonds Mer, *v.* 1 p. 239 t. 30 f. 22, 23.

Cuba; Magalhaensstraße.

L. glabra (G. Brady) 1866 *Normania g.*, G. S. Brady in: Tr. zool. Soc. London, *v.* 5 p. 382 t. 61 f. 11.

Levante; Beschikbay.

L. gracilis G. Brady 1890 *L. g.*, G. S. Brady in: Tr. R. Soc. Edinb., *v.* 35 p. 506 t. 4 f. 24—26.

Südseeinseln.

L. lata G. Brady 1868 *L. l.*, G. S. Brady in: Folin & Périer, Fonds Mer, *v.* 1 p. 102 t. 13 f. 1—4.

Dardanellen; Mittelmeer.

L. levis? G. Brady 1871 *L. l.?*, G. S. Brady in: Folin & Périer, Fonds Mer, *v.* 1 p. 242 t. 32 f. 7, 8 | (non 1894 *L. l.*, G. W. Müller in: F. Fl. Neapel, *v.* 21 p. 344 t. 27 f. 8, 19, 22; t. 28 f. **4, 8.**

Bahama-Inseln; Kuba.

L. lilljeborgii G. Brady 1868 *L. l.*, G. S. Brady in: Ann. nat. Hist., ser. 4 *v.* 2 p. 183 t. 13 f. 11—15.

Mauritius.

L. maculata (S. Fisch.) 1855 *Cythere m.*, S. Fischer in: Abh. Bayer. Ak., *v.* 7 p. 656 t. 20 f. 9—12.

Küste von Madeira.

L. modesta (G. Brady) 1866 *Normania m.*, G. S. Brady in: Tr. zool. Soc. London, *v.* 5 p. 383 t. 61 f. 13.

Smyrna.

L. papillosa G. Brady 1886 *L. p.*, G. S. Brady in: J. Linn. Soc. London, *v.* 19 p. 313 t. 40 f. 33, 34.

Ceylon.

L. punctata G. M. Thoms. 1879 *L. p.*, G. M. Thomson in: Tr. N. Zealand Inst., *v.* 11 p. 255 f. B 3a—k | ?1898 *L. p.*, G. S. Brady in: Tr. zool. Soc. London, *v.* 14 p. 441 t. 46 f. 3—5 | ?1905 *L. p.*, G. O. Sars in: Zool. Jahrb. Syst., *v.* 21 p. 401 t. 19 f. 162—172.

Pazifischer Ozean (Neu-Seeland, flacher Strand; Chathaminsel).

L. raulini G. Brady 1868 *L. r.*, G. S. Brady in: Folin & Périer, Fonds Mer, *v.* 1 p. 99 t. 12 f. 11—13.

Kykladen.

L. rotunda G. Brady 1869 *L. r.*, G. S. Brady in: Folin & Périer, Fonds Mer *v.* 1 p. 140 t. 18 f. 3, 4.

Cap Verden (St. Vincent).

L. seminulum Seg. 1884 & 85 *L. s.*, Seguenza in: Natural. Sicil., *v.* 3 p. 256 *v.* 4 t. 2 f. 12.

Hafen von Messina.

L. subrhomboidea G. Brady 1880 *L. s.*, G. S. Brady in: Rep. Voy. Challenger, Zool. *v.* 1 Part 3 p. 121 t. 28 f. 4a—d.

Südafrika (Simonsbay).

L. tenuis Seg. 1884 & 85 *L. t.*, Seguenza in: Natural. Sicil., *v.* 3 p. 255; *v.* 4 t. 2 f. 13.

Hafen von Messina.

L. tumida G. Brady 1869 *L. t.*, G. S. Brady in: Ann. nat. Hist., ser. 4 *v.* 3 p. 48 t. 8 f. 11, 12.

Mittelmeer (Beschikbay; Piraeus; Sicilien); Funafuti.

MARINE BIOLOGICAL LABORATORY WOODS HOLE LIBRARY MASS.

18. Gen. **Pseudoloxoconcha** G. W. Müller

1894 *Pseudoloxoconcha*, G. W. Müller in: F. Fl. Neapel, *v.* 21 p. 348.

Schale dünn, zerbrechlich; Innenrand und Verwachsungslinie fallen nur am Ventralrande zusammen; Schloß ohne Zähne. 1. Antenne 5-gliedrig, mit sehr wenigen Borsten: 2. und 3. Glied mit je 1, letztes Glied mit 2, vorletztes ohne Borsten. Kaufortsatz der Mandibel mit einem langen, schlanken, stark gekrümmten Zahn, dahinter kürzere, gerade; Taster 4-gliedrig; Vorderrand des 3. Gliedes stark winklig gebogen; der distale Schenkel des Winkels stark behaart. Maxille wie bei Xestoleberis. Furca mit 2 sehr kleinen Borsten.

1 Art.

1. **P. minima** G. W. Müll. 1894 *P. m.*, G. W. Müller in: F. Fl. Neapel, *v.* 21 p. 349 t. 26 f. 27—32.

Schale gestreckt, Höhe etwa $^5/_{12}$ der Länge; am höchsten vor $^1/_3$ der Länge, wo der Dorsalrand eine stark abgerundete Ecke bildet, von der aus er annähernd geradlinig nach hinten abfällt; auf etwa $^4/_5$ setzt er sich stumpfwinklig gegen den Hinterrand ab; Vorderrand breit gerundet, besonders in der ventralen Hälfte; das Hinterende ist keilförmig zugespitzt, die Spitze des Keiles schräg abgestutzt, sein dorsaler Rand schwach konkav, sein ventraler nahe dem Ventralrande in 2 Spitzen ausgezogen. Hintere Schalenhälfte mit wenigen flachen, aber scharfen, annähernd horizontalen, nach hinten konvergierenden Rippen. Vom Rücken gesehen schmal; Breite kleiner als die Höhe. — L. 0·26 mm.

Golf von Neapel.

19. Gen. **Cytheroma** G. W. Müller

1894 *Cytheroma*, G. W. Müller in: F. Fl. Neapel, *v.* 21 p. 349.

Schale glatt; Innenrand und Verwachsungslinie entfernen sich am Vorder- und Hinterrande weit voneinander; Schloß mit 2 flachen Zähnen an der rechten Schale, im übrigen ungezähnelt. 1. Antenne 6-gliedrig; die 4 letzten Glieder sind in der Ruhe dorsalwärts gewandt und bilden mit dem 2. ein deutliches Knie; die Borsten der 3 letzten Glieder, auch die des ventralen (vorderen) Randes, sind mit Ausnahme der gekeulten Sinnesborste des letzten Gliedes klauenartig verdickt, gekrümmt; das terminale Glied etwa 2 mal so lang, wie es an der Basis breit ist. Atemplatte der Mandibel mit 1 langen und 1 kurzen Strahl. Maxille wie bei Xestoleberis. Das 1. Glied des 3. Thoraxbeines mit kleiner Borste am Vorderrande, ohne Borste am Hinterrande und ohne terminale Borste. Furca klein, mit 2 Borsten, neben ihr ein umfangreicher Genitalhöcker.

1 Art.

1. **C. variabilis** G. W. Müll. 1894 *C. v.*, G. W. Müller in: F. Fl. Neapel, *v.* 21 p. 350 t. 26 f. 5, 9—15.

Schale dünn, durchsichtig, gestreckt; Höhe etwa $^2/_5$ der Länge, am höchsten etwa in der Mitte; Dorsalrand gewölbt, gegen Vorder- und Hinterrand nicht abgegrenzt; Vorderende breit gerundet; Hinterende zugespitzt, die Spitze stark abgerundet; Ventralrand gerade, nicht zur hinteren Spitze aufsteigend. Oberfläche glatt. Vom Rücken gesehen Breite etwa $^1/_3$ der Länge, am breitesten in der Mitte; die Seiten bilden flache Bogen, welche gleichmäßig

bis zu den beiden zugespitzten Enden verlaufen. — L. 0·37—0·4 mm; ♂ unbekannt.

Golf von Neapel.

20. Gen. **Paracytheroma** Juday

1907 *Paracytheroma,* Juday in: Univ. Calif. Publ. Zool., *v.* 3 p. 137.

Cytheroma nahe stehend, von ihr in folgenden Punkten unterschieden: terminales Glied der 1. Antenne 5 mal so lang wie breit, von den 3 terminalen Borsten dieses Gliedes nur eine klauenartig; Atemplatte der Mandibel mit 2 langen Strahlen. Das 1. Glied des 3. Thoraxbeines mit kleiner Borste am Vorderrande, deutlicher Borste am Hinterrande und am Ende.

1 Art.

1. **P. pedrensis** Juday 1907 *P. p.,* Juday in: Univ. Calif. Publ. Zool., *v.* 3 p. 138 t. 18 f. 3—12.

Schale: Höhe reichlich $^1/_2$ der Länge, am höchsten auf etwa $^3/_4$ der Länge, wo sich der Dorsalrand in stumpfwinkliger, abgerundeter Ecke gegen den breit gerundeten Hinterrand abgrenzt; Dorsalrand gerade, fällt deutlich nach vorn ab, geht ohne Andeutung einer Grenze in den Vorderrand über, der deutlich schmaler gerundet ist als der Hinterrand. Der Innenrand verläuft dem Schalenrande annähernd parallel, entfernt sich nur am Vorderrande etwas weiter von ihm. Penis mit umfangreichem, zugespitztem Fortsatze. — L. 0·57 mm.

California (San Pedro); (pelagisch(?)).

21. Gen. **Microcytherura** G. W. Müller

1894 *Microcytherura,* G. W. Müller in: F. Fl. Neapel, *v.* 21 p. 383.

Schale dünn, skulpturiert; der Innenrand verläuft in geringer Entfernung dem Schalenrande annähernd parallel; die Verwachsungslinie fällt in ganzem Umfange mit ihm zusammen; Schloß mit 2 flachen Zähnen an der rechten Schale, im übrigen zahnlos. 1. Antenne 6-gliedrig, schlank; alle Borsten dünn; das 2. Glied ohne ventrale Borste. Maxille von typischem Bau; Atemplatte ohne mundwärts gerichteten oder aberranten Strahl. Furca des ♀ undeutlich.

1 Art.

1. **M. nigrescens** G. W. Müll. 1894 *M. n.,* G. W. Müller in: F. Fl. Neapel, *v.* 21 p. 383 t. 39 f. **2, 25,** 39, 49—56.

Schale gestreckt, Höhe annähernd $^1/_2$ der Länge; Dorsalrand annähernd gerade und horizontal, bildet mit dem schräg abfallenden Hinterrande auf etwa $^2/_3$ der Länge einen stumpfen Winkel mit abgerundeter Ecke; Vorderende breit gerundet; Hinterrand fällt in der dorsalen Hälfte unter etwa 45° annähernd geradlinig ab und bildet in der ventralen Hälfte eine stark abgerundete Spitze. Oberfläche bedeckt mit einem Netzwerk vorwiegend horizontal verlaufender Linien, die aber nur in der Mitte der Schale deutlich entwickelt sind; ferner finden sich teils in Reihen, teils unregelmäßig angeordnete kleine, scharf begrenzte Gruben. Vom Rücken gesehen Breite etwa $^1/_2$ der Länge, am breitesten etwa in der Mitte; die Seiten bilden Bogen,

welche ziemlich gleichmäßig bis zu den beiden ähnlich gestalteten Enden verlaufen. — L. 0·38—0·43 mm.

Golf von Neapel.

22. Gen. **Metacypris** G. Brady & D. Robertson

1870 *Metacypris*, G. S. Brady & D. Robertson in: Ann. nat. Hist., ser. 4 *v.* 6 p. 19 | 1881 *Elpidium*, Fr. Müller in: Arch. Mus. Rio Jan., *v.* 4 p. 27 | 1900 *Metacypris*, G. W. Müller in: Zool., *v.* (Heft) 30 p. 95.

Schale sehr breit; rechte Schale mit Zahn am vorderen und hinteren Ende des Schloßrandes. 1. Antenne 6- oder 5-gliedrig; das 2. (aus dem 2. und 3. verschmolzene) Glied mit Borste am ventralen Rande. Mandibel mit kurzem, undeutlich 3-gliedrigem Taster; die 2 terminalen Glieder vollständig verschmolzen. Maxille mit 3 schlanken, wenige Borsten tragenden Kaufortsätzen; der Taster, viel kürzer als der benachbarte Kaufortsatz, trägt terminal 2 lange, gefiederte Borsten, von denen die eine aus der Verschmelzung des terminalen Tastergliedes mit einer Borste hervorgegangen ist; Atemplatte ohne mundwärts gerichteten oder aberranten Strahl (bei M. bromeliarum auf der medialen, hinteren Fläche nahe dem Vorderrande mit einer langen gefiederten Borste). Furca des ♀ mit 3 Borsten, zu denen noch 2 kleine Spitzen kommen können.

Süßwasser.

2 Arten.

1. **M. cordata** G. Brady & D. Roberts.

Diese Art zerfällt in zwei Unterarten:

1a. **M. cordata cordata** G. Brady & D. Roberts. 1870 *M. c.*, G. S. Brady & D. Robertson in: Ann. nat. Hist., ser. 4 *v.* 6 p. 20 t. 6 f. 1—9 | 1900 *M. c.*, G. W. Müller in: Zool., *v.* (Heft) 30 p. 95 t. 21 f. **1**, **2**, 3, 4, **5**, 6—9.

Linke Schale des ♀: Höhe etwa $^5/_8$ der Länge; der Dorsalrand verläuft im mittleren Drittel annähernd geradlinig und horizontal und ist gegen Vorder- und Hinterrand undeutlich abgegrenzt; beide Enden sind mäßig breit gerundet, die Rundung liegt in der ventralen Hälfte; Ventralrand im Profil zum größten Teile verdeckt durch die bauchig vorgewölbten Seiten. Oberfläche ziemlich gleichmäßig mit kleinen, rundlichen Gruben bedeckt, die sich mehr oder weniger deutlich in Reihen ordnen, mit zerstreuten Borsten. Vom Rücken gesehen sehr breit, Breite $^4/_5$ der Länge; Hinterende sehr breit gerundet; Vorderende zugespitzt, die Spitze abgestutzt. Beim ♂ liegt am Hinterrande die Rundung in der dorsalen Hälfte. — L. ♀ 0·56 mm, ♂ wenig kleiner.

Nordeuropa; Ungarn.

1b. **M. cordata neocomensis** Thiébaud 1906 *M. c. var. n.*, Thiébaud in: Zool. Anz., *v.* 29 p. 799.

Schale mit 3 Reihen langer Haare. — L. 0·65 mm.

Schweiz.

2. **M. bromeliarum** (Fr. Müll.) 1881 *Elpidium b.*, Fr. Müller in: Arch. Mus. Rio Jan., *v.* 4 p. 27 t. 2.

Schale des ♀ im Profil der von M. cordata ähnlich; der Dorsalrand gewölbt; Hinterende sehr breit gerundet. Oberfläche fast glatt, ohne deutliche Gruben. Auch vom Rücken gesehen M. cordata ähnlich; am Vorderende ein-

geschnitten. Dorsalrand des 1. Gliedes der 1. Antenne terminal mit fein und dicht behaarter Warze. — L. ♀ 1·2—1·3 mm.

Im Regenwasser in den Blattwinkeln von Bromeliaceen auf den Urwaldbäumen Südbrasiliens.

23. Gen. **Entocythere** Wm. S. Marshall

1903 *Entocythere,* Wm. S. Marshall in: Tr. Wisconsin Ac., *v.* 14 p. 120.

1. Antenne 6-gliedrig, mit dünnen, gegliederten Borsten. 2. Antenne mit 4-gliedrigem Endopodit, terminal mit 3 kurzen, starken Klauen, Mandibel kräftig, mit wohl entwickeltem 4-gliedrigem Taster, Maxille mit umfangreichem, ungegliedertem Taster, der terminal 2 Borsten trägt, an Stelle der Kaufortsätze zwei ungegliederte Borsten. Beine mit großer, gebogener und gezähnter terminaler Klaue. Furcaläste kurz und dick.

1 Art.

1. **E. cambaria** Wm. S. Marsh. 1903 *E. c.,* Wm. S. Marshall in: Tr. Wisconsin Ac., *v.* 14 p. 120 t. 10, 11.

Schale annähernd nierenförmig, vorn schwach zugespitzt, chitinös, dünn und zart, mit wenigen, kurzen Borsten, stark zusammengedrückt. — L. 0·6 mm.

Nordamerika (Wisconsin), in der Kiemenhöhle verschiedener Cambrusarten.

24. Gen. **Cythere** O. F. Müller

1785 *Cythere* (part.), O. F. Müller, Entom., p. 63 | 1788 *Monoculus* (part.), J. F. Gmelin, Syst. Nat., *v.* 5 p. 3001 | 1818 *Cytherina* (part.), Lamarck, Hist. An. s. Vert., *v.* 5 p. 125 | 1866 *Cythere*, G. O. Sars in: Forh. Selsk. Christian., 1865 p. 28 | 1868 *C.* (part.), G. S. Brady in: Tr. Linn. Soc. London, *v.* 26 p. 394 | 1880 *C.* (part.), G. S. Brady in: Rep. Voy. Challenger, Zool. *v.* 1 Part 3 p. 62 | 1889 *C.* (part.), G. S. Brady & A. M. Norman in: Tr. R. Dublin Soc., ser. 2 *v.* 4 p. 125 | 1894 *C.*, G. W. Müller in: F. Fl. Neapel, *v.* 21 p. 350.

Schale derb, meist mit Gruben, ohne deutliche Flügel; randständige Porenkanäle meist reich verzweigt; rechte Schale mit je einem großen Zahne an beiden Enden des Schlosses; der Raum zwischen diesen Zähnen glatt oder gezähnelt (Fig. 86); bisweilen die nächsten Zähne neben den Hauptzähnen besonders stark entwickelt. Die Schalenränder greifen vorn und hinten nicht übereinander. 1. Antenne mehr oder weniger gedrungen; 5. und 6. Glied meist deutlich verschmolzen, mit Klauen bewaffnet. 2. Antenne 4-gliedrig durch Verschmelzung des 2. und 3. Innenastgliedes; Spinnborste in beiden Geschlechtern stets wohl entwickelt. Mandibel (Fig. 87) mit kräftigem Kaufortsatz; das 3. Tasterglied ist nach der Mitte hin deutlich erweitert und sein Dorsalrand bildet einen stumpfen Winkel; die dorsale

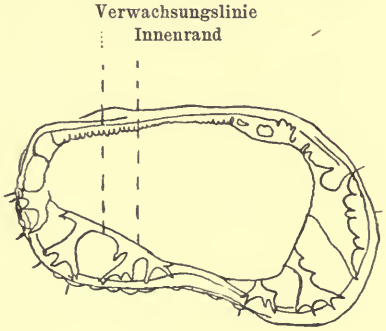

Fig. 86.
Cythere diffusa.
Linke Schale von der medialen Seite ($^{120}/_{1}$).

Fig. 87.
Cythere diffusa.
Mandibel ($^{180}/_{1}$).

Borstengruppe entspringt neben der Spitze dieses Winkels; das terminale Tasterglied kurz, gedrungen, nicht oder nur ganz unbedeutend länger, als es an der Basis breit ist. Maxille von typischem Bau; Atemplatte ohne aberranten oder mundwärts gerichteten Strahl. 1.—3. Thoraxbein mäßig gestreckt; Endopodit 3-gliedrig. Furca mit 2 Borsten auf kurzem Stamm.

21 sichere, 5 unsichere Arten.

1. **C. lutea** Müll.[?] O. Sars 1785 *C. l.*, O. F. Müller, Entom., p. 65 t. 7 f. 3, 4 | 1788 *Monoculus luteus*, J. F. Gmelin, Syst. Nat., *v.* 5 p. 3001 | 1818 *Cytherina lutea*, Lamarck, Hist. An. s. Vert., *v.* 5 p. 125 | ? 1835 *Cythere reniformis*, W. Baird in: Hist. Berwick. Club, *v.* 1 p. 98 t. 3 f. 5 | ? 1850 *C. r.*, W. Baird, Brit. Entom., p. 169 t. 20 f. 5a—f | 1855 *C. zenkeri*, S. Fischer in: Abh. Bayer. Ak., *v.* 7 p. 656 (descr. nulla) | 1866 *C. lutea*, G. O. Sars in: Forh. Selsk. Christian., 1865 p. 28 | ? 1868 *C. l.* (part.?), G. S. Brady in: Tr. Linn. Soc. London, *v.* 26 p. 395 t. 28 f. 47—56; t. 39 f. 2 | ? 1868 *C. viridis* (part.), G. S. Brady in: Tr. Linn. Soc. London, *v.* 26 p. 397 t. 28 f. 40, 41, 57—59 | (non 1880 *C. lutea*, G. W. Müller in: Z. Naturw., *v.* 53 p. 237 t. 5 f. 1) | 1888 *C. l.*, Dahl in: Zool. Jahrb. Syst., *v.* 3 p. 606 t. 16 f. 1, 2—12, 27—29.

Höhe der Schale etwa $^5/_8$ der Länge, am höchsten in der Mitte; Dorsalrand schwach gewölbt, beide Enden breit gerundet; Ventralrand deutlich ausgebuchtet; Oberfläche dicht mit Grübchen bedeckt, zwischen denen sich die borstentragenden Kanäle sehr auffällig abheben. Vom Rücken gesehen Breite kleiner als $^1/_2$ der Länge, am breitesten etwa auf $^1/_2$ der Länge; die Seiten bilden Bogen, welche ziemlich gleichmäßig bis zum vorderen und hinteren Körperende verlaufen und nahe dem hinteren Körperende etwas eingedrückt sind; beide Enden zugespitzt. Schale braungelb, Gliedmaßen lebhaft gelb. Das subterminale (verschmolzene 4. und 5.) Glied der 1. Antenne gestreckt, fast 3mal so lang wie an der Basis breit; das terminale Glied gestreckt, etwa $^1/_2$ so lang wie das vorhergehende. — L. 0·70—0·75 mm.

Küste von Nordeuropa; Arktische Meere; Mittelmeer; Salzlimane bei Odessa.

2. **C. cyamos** Norm. 1866 *C. viridis* (non *C. v.* O. F. Müller 1785), G. O. Sars in: Forh. Selsk. Christian., 1865 p. 30 | ? 1868 *C. v.* (part.?), G. S. Brady in: Tr. Linn. Soc. London, *v.* 26 p. 397 t. 28 f. 40, 41, 57—59 | 1905 *C. cyamos*, A. M. Norman in: Irish Natural., *v.* 14 p. 144 (Synonymie).

Schale der von C. lutea ähnlich; am höchsten vor der Mitte; der Dorsalrand bildet in der Augengegend einen deutlichen Winkel und fällt von hier aus annähernd geradlinig schwach nach hinten ab. Vom Rücken gesehen Vorderende zugespitzt, Hinterende abgerundet. Farbe braungrün. Das subterminale Glied der 1. Antenne ähnlich wie bei C. lutea; das terminale annähernd so lang wie das subterminale. — L. ♀ 0·5 mm.

Küste von Norwegen und England.

3. **C. lobiancoi** (nom. nov.), G. W. Müll. 1894 *C. elegans* (non *C. e.* Bosquet 1854), G. W. Müller in: F. Fl. Neapel, *v.* 21 p. 352 t. 28 f. 20, 29.

Schale des ♀: Höhe etwas größer als $^1/_2$ der Länge, am höchsten vor der Mitte; Dorsalrand gerade, deutlich abfallend, nahe dem hinteren Ende mehr oder weniger eingedrückt; Vorderende breit gerundet, mit undeutlichen, weit auseinanderstehenden Zähnen, besonders in der Ventralhälfte; Hinterrand breit gerundet, gegen den Dorsalrand mit gerundeter Ecke abgegrenzt; Ventralrand deutlich ausgebuchtet, etwas wellig oder gezähnelt. Oberfläche mit annähernd gleich großen, rundlichen, durch schmale Rippen getrennten Gruben, die auf einem breiten Streifen am Vorder- und Hinterrande fehlen und in der Gegend der Schließmuskelansätze undeutlich sind; von

Rippen sind vorhanden eine Dorsalrandrippe, die im Profil zum Teil den Schloßrand verdeckt, eine Vorderrandrippe und eine Ventralrippe; letztere endet auf etwa $^3/_4$ der Schalenlänge mit stark vortretender Ecke. Vom Rücken gesehen Breite $^2/_5$ der Länge; die Seiten verlaufen annähernd parallel, konvergieren aber im vorderen Drittel; vorderes Ende stumpf, unregelmäßig gerundet, hinteres quer abgestutzt, die Ecken konisch vortretend. Das 4. und 5. Glied der 1. Antenne vollkommen verschmolzen, gedrungen, über halb so breit wie lang, deutlich über den Ursprung des terminalen Gliedes verlängert. — L. ♀ 0·48 mm, ♂ unbekannt.

Golf von Neapel.

4. **C. mediterranea** G. W. Müll. 1894 *C. m.*, G. W. Müller in: F. Fl. Neapel, *v.* 21 p. 353 t. 27 f. 34; t. 28 f. **13**; t. 32 f. 34.

Schale im Profil der von C. lobiancoi ähnlich; Hinterrand mit 1 oder 2 stumpfen Höckern; Vorderrand mit breiten, stumpfen Zähnen in der ventralen Hälfte. Oberfläche mit Gruben von ähnlicher Anordnung wie bei C. lobiancoi, doch ohne Unterbrechung in der Gegend der Schließmuskelansätze; die etwa 50 Gruben von sehr verschiedener Größe, die verschiedenen Größen unregelmäßig gemischt. Ansicht vom Rücken ähnlich wie bei C. lobiancoi. — L. ♀ und ♂ 0·53—0·56 mm.

Golf von Neapel.

5. **C. littoralis** G. W. Müll. 1894 *C. l.*, G. W. Müller in: F. Fl. Neapel, *v.* 21 p. 353 t. 28 f. **18.**

Schale im Profil der von C. lobiancoi ähnlich; Hinterrand mit flacher Bucht in der dorsalen Hälfte; Vorderrand ungezähnelt; Oberfläche mit über 100 großen neben sehr kleinen Gruben; die letzteren sind viel zahlreicher und vereinigen sich zu größeren Gruppen, zwischen denen größere Gruben fehlen. — L. ♀ 0·38—0·42 mm, ♂ unbekannt.

Golf von Neapel.

6. **C. canaliculata** (Reuss [?]) (G. Brady) 1850 *Cypridina c.*, Reuss in: Haidingers naturw. Abh., *v.* 3 p. 36 t. 9 f. 12 | 1866 *Cythere c.*, G. S. Brady in: Tr. zool. Soc. London, *v.* 5 p. 373 t. 59 f. 4 | ?1880 *C. c.*, G. S. Brady in: Rep. Voy. Challenger, Zool. *v.* 1 Part 3 p. 73 t. 14 f. 7 a—d | (non 1901 *C. c.*, Egger in: Abh. Bayer. Ak., *v.* 21 p. 432 t. 4 f. 15, 16).

Schale der von C. mediterranea ähnlich; die Gruben viel größer, nur etwa 15 vorhanden. — L. 0·42 mm.

Australien (Hubsons-Bay, Baßstraße).

7. **C. discrepans** G. W. Müll. 1894 *C. d.*, G. W. Müller in: F. Fl. Neapel, *v.* 21 p. 355 t. 27 f. 30; t. 28 f. **15.**

Schale im Umriß der von C. lobiancoi ähnlich; Vorderrand in seiner ventralen Hälfte dicht mit stumpfen Zähnen bedeckt. Fast die ganze Oberfläche wird durch schmale, scharf begrenzte Rippen in große, unregelmäßige Felder geteilt. — L. ♀ und ♂ 0·48 mm.

Golf von Neapel.

8. **C. diffusa** G. W. Müll. 1894 *C. d.*, G. W. Müller in: F. Fl. Neapel, *v.* 21 p. 354 t. 27 f. 25—29, 33; t. 28 f. **16, 28.**

Schale im Profil der von C. lobiancoi ähnlich; Vorderrand glatt oder mit einzelnen undeutlichen Zähnen; Hinterrand dicht gewellt. Oberfläche

getrübt (rauh?), so daß die Skulptur schwer zu erkennen ist; in ähnlichem Umfang wie bei C. lobiancoi mit annähernd gleich großen, undeutlich konturierten Gruben bedeckt, zwischen welchen sich deutlich eine dicht über den Schließmuskelansätzen beginnende, schräg nach hinten aufsteigende Rippe erhebt. — L. ♀ und ♂ 0·49—0·52 mm.

Golf von Neapel.

9. **C. pallida** G. W. Müll. 1894 *C. p.*, G. W. Müller in: F. Fl. Neapel, *v.* 21 p. 354 t. 28 f. 17.

Schale auch in der Skulptur ähnlich wie bei C. diffusa; aber nicht getrübt, Hinterrand nicht gewellt, Vorderrand flach gezähnelt, mit umfangreicher warzenartiger Bildung in der dorsalen Hälfte. — L. ♀ 0·49—0·52 mm, ♂ unbekannt.

Golf von Neapel.

10. **C. crispata** G. Brady 1866 *C. cicatricosa* (non *C. c.* Bosquet 1850), G. O. Sars in: Forh. Selsk. Christian., 1865 p. 33 | ? 1868 *C. crispata*, G. S. Brady in: Ann. nat. Hist., ser. 4 *v.* 2 p. 221 t. 14 f. 14, 15 | (non 1880 *C. c.*, G. S. Brady in: Rep. Voy. Challenger, Zool. *v.* 1 Part 3 p. 72 t. 14 f. 8a—d) | 1889 *C. c.*, G. S. Brady & A. M. Norman in: Tr. R. Dublin Soc., ser. 2 *v.* 4 p. 131 t. 15 f. 1, 2.

Schalenumriß ähnlich wie bei C. lobiancoi (nr. 3); hintere dorsale Ecke sehr deutlich; Vorder- und Hinterrand glatt; Oberfläche unregelmäßig wellig, mit mehr oder weniger deutlichen, steil nach hinten aufsteigenden Rippen. — L. 0·42 mm.

Küsten von Europa; Neuseeland.

11. **C. porcellanea** G. Brady 1869 *C. p.*, G. S. Brady in: Ann. nat. Hist., ser. 4 *v.* 3 p. 47 t. 7 f. 1—4 | ? 1869 *C. propinqua* (part.?), G. O. Sars in: Nyt Mag. Naturv., *v.* 16 p. 361 | 1889 *C. porcellanea*, G. S. Brady & A. M. Norman in: Tr. R. Dublin Soc., ser. 2 *v.* 4 p. 127 t. 14 f. 22—24.

Schale des ♀: Höhe etwa $^1/_2$ der Länge, am höchsten etwa in der Mitte; Dorsalrand winklig gebogen, in der hinteren Hälfte eingedrückt; hintere dorsale Ecke ziemlich deutlich; beide Enden gerundet. Schale des ♂ gestreckter; hintere dorsale Ecke sehr deutlich. Oberfläche glatt, mit wenigen zerstreuten, undeutlichen Punkten. Vom Rücken gesehen ähnlich wie C. badia. — L. 0·5 mm.

Küste von England und Skandinavien.

12. **C. badia** Norm. 1862 *C. b.*, A. M. Norman in: Ann. nat. Hist., ser. 3 *v.* 9 p. 48 t. 3 f. 13—15 | 1889 *C. b.*, G. S. Brady & A. M. Norman in: Tr. R. Dublin Soc., ser. 2 *v.* 4 p. 130 t. 15 f. 3, 4.

Schale im Profil ähnlich wie bei C. lobiancoi (nr. 3); hintere dorsale Ecke vollständig unterdrückt; Hinterende gerundet; Vorderrand ungezähnelt; Oberfläche unregelmäßig, mit Gruben und Furchen. Vom Rücken gesehen Breite etwa $^2/_5$ der Länge; am breitesten in der Mitte; die Seiten bilden flache Bogen, welche gleichmäßig zu beiden wenig abgestumpften Enden konvergieren. — L. 0·5—0·6 mm.

Küste von England; Mittelmeer.

13. **C. castanea** O. Sars 1866 *C. c.*, G. O. Sars in: Forh. Selsk. Christian., 1865 p. 32 | 1868 *C. c.*, G. S. Brady in: Tr. Linn. Soc. London, *v.* 26 p. 398 t. 28 f. 27; t. 38 f. 6 | 1889 *C. pellucida*, G. S. Brady & A. M. Norman in: Tr. R. Dublin Soc., ser. 2 *v.* 4 p. 126 t. 14 f. 13—15 | ? 1901 *Loxoconcha castanea*, Egger in: Abh. Bayer. Ak., *v.* 21 p. 452 t. 4 f. 54—56.

Schale des ♀ ähnlich wie bei C. lobiancoi; Höhe etwas kleiner als $^1/_2$ der Länge; hintere dorsale Ecke deutlich, Ränder ungezähnelt; Oberfläche sehr dicht mit kleinen, annähernd gleich großen Gruben bedeckt. Schale des ♂ gestreckter. Vom Rücken gesehen Breite etwa $^1/_3$ der Länge; die Seiten annähernd parallel; das vordere Ende zugespitzt, das hintere abgerundet. — L. 0·62 mm.

Küsten von Europa; 18° s. Br., 116° ö. L., 357 m Tiefe?

14. **C. fuscata** G. Brady 1869 *C. f.*, G. S. Brady in: Ann. nat. Hist., ser. 4 *v.* 3 p. 47 t. 7 f. 5—8 | 1889 *C. f.*, G. S. Brady & A. M. Norman in: Tr. R. Dublin Soc., ser. 2 *v.* 4 p. 148 t. 15 f. 9—11.

Schale ähnlich wie die von C. lobiancoi, die des ♂ gestreckter (Höhe = $^1/_2$ der Länge), die des ♀ gedrungener (Höhe etwa $^3/_5$ der Länge); Augenecke beim ♂ deutlich, beim ♀ weniger deutlich; hintere dorsale Ecke in beiden Geschlechtern deutlich. Oberfläche dicht mit kleinen Gruben bedeckt. Vom Rücken gesehen die Seiten annähernd parallel; Vorderende zugespitzt; Hinterende abgestutzt, stumpfwinklig. — L. ♀ 0·60, ♂ 0·75 mm.

Küste von England und Holland; Brackwasser.

15. **C. fabaeformis** G. W. Müll. 1894 *C. f.*, G. W. Müller in: F. Fl. Neapel, *v.* 21 p. 356 t. 27 f. 35; t. 29 f. **11, 16.**

Schale des ♀: Höhe annähernd $^1/_2$ der Länge; Dorsalrand kaum merklich eingedrückt; hintere dorsale Ecke stumpfwinklig, stark abgerundet; Hinterrand stark gerundet; Ventralrand tief eingebuchtet; Oberfläche mit runden Gruben, die durch stärkere Rippen zu Gruppen von 3 oder 4 vereinigt werden. Schale des ♂ gestreckter. Vom Rücken gesehen Breite etwa $^1/_3$ der Länge, am breitesten in der vorderen Hälfte, wo die Seiten flache Bogen bilden; nach hinten konvergieren die Seiten annähernd geradlinig und bilden auf etwa $^6/_7$ der Länge eine stumpfwinklige Ecke. — L. ♀ 0·64—0·66, ♂ 0·69 mm.

Golf von Neapel.

16. **C. macallana** G. Brady & D. Roberts. 1869 *C. m.*, G. S. Brady & D. Robertson in: Ann. nat. Hist., ser. 4 *v.* 3 p. 367 t. 19 f. 5—9 | ?1869 *C. propinqua* (part.?), G. O. Sars in: Nyt Mag. Naturv., *v.* 16 p. 361 (Anmerk.) | 1889 *C. macallana*, G. S. Brady & A. M. Norman in: Tr. R. Dublin Soc., ser. 2 *v.* 4 p. 128 t. 14 f. 19—21 | 1894 *C. levis*, G. W. Müller in: F. Fl. Neapel, *v.* 21 p. 357 t. 27 f. 31; t. 28 f. **11, 12.**

Schale des ♀: Höhe annähernd $^1/_2$ der Länge, am höchsten vor der Mitte; Dorsalrand flach gewölbt; Hinterende meist abgestutzt; Hinterrand annähernd senkrecht aufsteigend, mehr oder weniger deutlich gegen Dorsal- und Ventralrand winklig abgegrenzt. Schale des ♂ gestreckter, Höhe etwa $^2/_5$ der Länge; der Ventralrand steigt links im hinteren Sechstel deutlich auf; der aufsteigende Teil ist meist deutlich winklig gegen Ventral- und Dorsalrand abgegrenzt; rechts sind beide Ecken unterdrückt, wie auch beim ♀. Oberfläche glatt bis auf wenige undeutliche Gruben. Vom Rücken gesehen ist beim ♂ die Breite deutlich kleiner als $^1/_2$ der Länge, sie ist am breitesten etwa auf $^1/_2$ der Länge; die Seiten bilden sehr flache Bogen; Vorderende stumpf, etwas unregelmäßig gerundet, Hinterende quer abgestutzt; beim ♀ bilden die Seiten stärkere Bogen. — L. ♀ 0·41, ♂ 0·43 mm.

Küste von England; Mittelmeer.

17. **C. pellucida** W. Baird 1850 *C. p.*, W. Baird, Brit. Entom., p. 173 t. 21 f. 7 | ?1866 *C. p.*, G. O. Sars in: Forh. Selsk. Christian., 1865 p. 31 | 1868 *C. p.*, G. S. Brady in: Tr. Linn. Soc. London, *v.* 26 p. 397 t. 28 f. 22—26, 28 | (non 1889 *C. p.*, G. S. Brady

& A. M. Norman in: Tr. R. Dublin Soc., ser. 2 *v.* 4 p. 126 t. 14 f. 13—15) | 1889 *C. confusa*, G. S. Brady & A. M. Norman in: Tr. R. Dublin Soc., ser. 2 *v.* 4 p. 127 t. 14 f. 16—18.

Schale der von C. macallana ähnlich, gestreckter, Höhe beim ♀ etwa $^1/_3$ der Länge. Oberfläche mit unregelmäßigen, zum Teil länglichen Gruben ziemlich dicht bedeckt. Vom Rücken ähnlich wie C. macallana. — L. 0·7 mm.

Küste von Europa.

18. **C. rara** G. W. Müll. 1894 *C. r.*, G. W. Müller in: F. Fl. Neapel, *v.* 21 p. 355 t. 27 f. 32; t. 29 f. 12, 14.

Schale des ♀: Höhe annähernd $^1/_2$ der Länge, am höchsten wenig vor der Mitte; der Dorsalrand bildet einen flachen Bogen, der Hinterrand annähernd eine gerade Linie, die steil nach vorn abfällt und mit dem Dorsalrande einen etwa rechten Winkel mit wenig gerundeter Ecke, mit dem Ventralrande einen stumpfen Winkel mit deutlich gerundeter Ecke bildet; Ventralrand deutlich eingebuchtet. Oberfläche mit flachen, kleinen, scharf konturierten, rundlichen Gruben bedeckt, die stellenweise eine wenig deutliche Anordnung in Längsreihen zeigen. Schale des ♂ etwas gestreckter, Hinterrand flach gewölbt. Vom Rücken gesehen Breite etwa $^4/_{11}$ der Länge; die Seiten verlaufen fast parallel; Hinterende gerundet, Vorderende zugespitzt; beide Enden in der Mitte eingeschnitten. — L. ♀ und ♂ 0·36—0·40 mm.

Golf von Neapel.

19. **C. ochracea** G. Brady 1890 *C. o.*, G. S. Brady in: Tr. R. Soc. Edinb., *v.* 35 p. 498 t. 2 f. 8, 9.

Schale im Profil der von C. rara ähnlich; hintere, ventrale Ecke ganz unterdrückt; Oberfläche dicht mit kleinen Gruben bedeckt, welche zu Furchen zusammenfließen, die am Vorderrande annähernd konzentrisch angeordnet sind, im übrigen schräg aufsteigen. Vom Rücken gesehen Breite kleiner als $^1/_2$ der Länge, am breitesten hinter der Mitte; die Seiten konvergieren langsam in flachem Bogen zum vorderen zugespitzten Ende, nach hinten stark und fast gradlinig im letzten Fünftel der Länge zum hinteren Ende. — L. 0·5 mm.

Neucaledonia (Numea).

20. **C. americana** Sharpe 1908 *C. a.*, R. Sharpe in: P. U. S. Mus., *v.* 35 p. 420 t. 60 f. 1—6.

Schale: Höhe $^5/_9$ der Länge, am höchsten etwa auf $^2/_3$ der Länge, wo der Dorsalrand eine undeutliche Ecke bildet, Dorsalrand gegen Vorder- und Hinterrand nicht abgegrenzt, beide Enden sehr breit, einander ähnlich gerundet, Ventralrand fast gerade. Oberfläche glatt bis auf einzelne kleine, runde Erhebungen. Vom Rücken gesehen Breite etwa $^4/_7$ der Länge, Hinterende breit gerundet, Vorderende zugespitzt. — L. 1·2 mm.

Brighton Beach bei Newyork; Jamaica.

21. **C. papillosa** Sharpe 1908 *C. p.*, R. Sharpe in: P. U. S. Mus., *v.* 35 p. 421 t. 61 f. 1—4.

Schale: Höhe etwa $^5/_8$ der Länge, am höchsten auf halber Länge, Dorsalrand stark gewölbt, gegen das mäßig breit gerundete Vorderende nicht abgegrenzt, nach hinten steiler und annähernd geradlinig abfallend, nahe dem Ende auf etwa halber Höhe findet sich eine deutliche, stumpfwinklige Ecke, von der aus der Hinterrand geradlinig und steil abfällt, er bildet mit dem geraden Ventralrande eine stark abgerundete Ecke. Hinter den Schließ-

muskelansätzen finden sich dorsal und ventral von ihnen zwei ziemlich umfangreiche warzenartige Vorsprünge. Vom Rücken gesehen Breite (von den Warzen abgesehen) etwa $^1/_2$ der Länge, am breitesten in der Mitte, beide Enden etwas zugespitzt, das vordere deutlicher. Auf etwa $^2/_5$ der Länge werden die Seiten von den Warzen überragt. — L. 0·8—0·85 mm.

Brighton Beach bei Newyork.

C. cancellata G. Brady 1868 *C. c.*, G. S. Brady in: Folin & Périer, Fonds Mer, *v.* 1 p. 62 t. 7 f. 9—11 | ?1880 *C. c.* (part.?), G. S. Brady in: Rep. Voy. Challenger, Zool. *v.* 1 Part 3 p. 73 t. 14 f. 9a—c | 1886 *C. c.*, G. S. Brady in: J. Linn. Soc. London, *v.* 19 p. 306.

Tonga-Inseln (Tongatabu)?; Torresstraße?; Java; Ceylon; Island; südliches Norwegen.

C. crenata G. Brady 1880 *C. crispata* (non *C. c.* G. Brady 1868), G. S. Brady in: Rep. Voy. Challenger, Zool. *v.* 1 Part 3 p. 72 t. 14 f. 8a—d | 1890 *C. crenata*, G. S. Brady in: Tr. R. Soc. Edinb., *v.* 35 p. 497 t. 2 f. 35, 36.

Australien (Port Jackson, Torresstraße); Hongkong; Neucaledonia?; Fidschiinseln?; Samoainseln?

C. demissa G. Brady 1868 *C. d.*, G. S. Brady in: Ann. nat. Hist., ser. 4 *v.* 2 p. 180 t. 12 f. 1, 2 | ?1880 *C. d.*, G. S. Brady in: Rep. Voy. Challenger, Zool. *v.* 1 Part 3 p. 66 t. 12 f. 7a—j.

Mauritius; Australien (Port Jackson?); Fidschiinseln; Samoainseln; Island; südliches Norwegen.

C. sp. 1880 *C. darwinii* (non *C. d.* G. Brady 1868), G. S. Brady in: Rep. Voy. Challenger, Zool. *v.* 1 Part 3 p. 97 t. 25 f. 2.

Hongkong; Japan (Inland-See); Ceylon?

C. sp. 1901 *C. obtusalata* (non *C. o.* G. Brady 1880), Egger in: Abh. Bayer. Ak., *v.* 21 p. 443 t. 8 f. 12—15.

Kerguelen 104 m Tiefe; Mauritius 411 m Tiefe; 10° n. Br., 17° w. L., 677 m Tiefe; 6° n. Br., 11° w. L., 68 m Tiefe.

25. Gen. **Cytheridea** Bosquet

1851 *Cytheridea*, Bosquet in: Mém. cour. Ac. Belgique, *v.* 24 [nr. 3] p. 37 | 1856 *Cyprideis*, Jones in: Pal. Soc. Mon., p. 20 | 1866 *C.* + *Cytheridea*, G. O. Sars in: Forh. Selsk. Christian., 1865 p. 49, 55 | 1868 *Cytheridea*, G. S. Brady in: Tr. Linn. Soc. London, *v.* 26 p. 421 | 1894 *C.*, G. W. Müller in: F. Fl. Neapel, *v.* 21 p. 359.

Schale derb, glatt oder schwach skulpturiert; Innenrand und Verwachsungslinie fallen ganz oder fast ganz zusammen und verlaufen dem Schalenrande in geringer Entfernung parallel. 1. Antenne mäßig gedrungen, 5-gliedrig; Borsten kurz, meist dornartig; von den terminalen 3 Borsten entspringen 2 aus sehr kurzer, gemeinsamer Basis. Mandibel mit wohl entwickeltem, gestrecktem, 3- oder 4-gliedrigem Taster, dessen vorletztes Glied in der Mitte erweitert ist; vor der Erweiterung entspringt eine Borstengruppe. Maxille

Fig. 88.
Cytheridea rubra. Maxille (300/1).

(Fig. 88) von typischem Bau; Atemplatte ohne mundwärts gerichteten oder aberranten Strahl. 1. Thoraxbein bisweilen sexuell verschieden, beim ♀ sehr kurz, beim ♂ wohl entwickelt oder wenigstens länger als beim ♀; 2. Thoraxbein des ♂ links wohl entwickelt oder verlängert, rechts die 3 letzten Glieder mehr oder weniger zurückgebildet. Furca des ♀ verschieden gestaltet.

17 sichere, 4 unsichere Arten.

1. **C. mülleri** (Münst.) ?1838 *Cythere m.*, Münster in: Roemer in: N. Jahrb. Min., p. 516 t. 6 f. 6 | 1866 *Cytheridea m.*, G. S. Brady in: Tr. zool. Soc. London, *v.* 5 p. 371 t. 58 f. 11 | 1894 *C. m.*, G. W. Müller in: F. Fl. Neapel, *v.* 21 p. 362 t. 39 f. **3, 26,** 28—34 | ?1901 *C. m.* (Larve?), Egger in: Abh. Bayer. Ak., *v.* 21 p. 447 t. 7 f. 63, 64.

Schale: Höhe annähernd $^1/_2$ der Länge, am höchsten auf $^1/_3$ der Länge; der Dorsalrand fällt nach hinten im mittleren Drittel flach, im letzten Drittel stark ab und senkt sich zu der abgerundeten hinteren Spitze, welche annähernd in der Verlängerung des Ventralrandes liegt; Vorderende breit gerundet, mit etwa 5 deutlichen, spitzen Zähnen; Oberfläche mit ziemlich tiefen, wenig scharf begrenzten Gruben bedeckt. Vom Rücken gesehen Breite annähernd $^1/_2$ der Länge, am breitesten in der Mitte; die Seiten bilden flache Bogen. — L. 0·74—0·81 mm.

Mittelmeer (Smyrna, Golf von Neapel); 18° s. Br., 116° ö. L., 357 m Tiefe?; Australien?

2. **C. castanea** G. Brady ?1868 *C. c.* (part.?), G. S. Brady in: Folin & Périer, Fonds Mer, *v.* 1 p. 117 t. 13 f. 19—21; t. 14 f. 1, 2 | 1889 *C. c.*, G. S. Brady & A. M. Norman in: Tr. R. Dublin Soc., ser. 2 *v.* 4 p. 175 t. 21 f. 3, 4.

Schale ähnlich wie C. mülleri, aber Hinterende etwas breiter gerundet, mit einem starken Zahne bewaffnet. Vom Rücken gesehen Breite annähernd $^1/_2$ der Länge, Vorderende zugespitzt. — L. 1·2—1·3 mm.

Bay von Biscaya; Port Said; Piraeus.

3. **C. dentata** O. Sars ?1856 *C. sorbyana*, Jones in: Pal. Soc. Mon., p. 44 t. 4 f. 6 | 1866 *C. dentata*, G. O. Sars in: Forh. Selsk. Christian., 1865 p. 56 | 1868 *C. sorbyana* (part.?), G. S. Brady in: Tr. Linn. Soc. London, *v.* 26 p. 428 t. 29 f. 1—6.

Schale der von C. mülleri ähnlich; Höhe deutlich größer als $^1/_2$ der Länge; Vorderrand mit etwa 8 Zähnen; Hinterende mit einem starken Zahne. — L. 0·84 mm.

Küste von Norwegen; Spitzbergen; Franz Joseph-Land; England.

4. **C. inermis** O. Sars 1866 *C. i.*, G. O. Sars in: Forh. Selsk. Christian., 1865 p. 56 | ?1868 *C. sorbyana* (part.), G. S. Brady in: Tr. Linn. Soc. London, *v.* 26 p. 428 t. 29 f. 1—6.

Schale der von C. dentata sehr ähnlich, aber beide Enden unbewaffnet. — L. 0·92 mm.

Küste von Norwegen.

5. **C. fascis** G. Brady & Norm. 1889 *C. f.*, G. S. Brady & A. M. Norman in: Tr. R. Dublin Soc., ser. 2 *v.* 4 p. 177 t. 16 f. 23, 24.

Schalenumriß ähnlich wie bei C. mülleri, aber Höhe $^2/_3$ der Länge; Vorderrand mit 6 oder 7 Zähnen; Hinterende unbewaffnet. Vom Rücken gesehen Breite annähernd $^2/_3$ der Länge, am breitesten in der Mitte; die Seiten bilden stumpfe Winkel mit abgerundeter Spitze und deutlich eingedrückten Schenkeln; Vorder- und Hinterende sehr breit abgestutzt, gegen die Seiten

ziemlich deutlich winklig abgegrenzt; der Vorderrand wird von den neben der Mitte stehenden Zähnen, der Hinterrand von einem mittleren Kiel überragt. — L. 0·8 mm.

Davis-Straße.

6. **C. rubra** G. W. Müll. 1894 *C. r.*, G. W. Müller in: F. Fl. Neapel, *v.* 21 p. 360 t. 30 f. 24, 25, **26, 27, 29**, 30, 34—39, 46, 48.

Linke Schale des ♀: Höhe etwa $^{10}/_{23}$ der Länge, am höchsten in der Mitte; Dorsalrand flach gewölbt; beide Enden stumpf gerundet, das hintere weniger. Rechte Schale gestreckter, hinten etwas zugespitzt; die Spitze liegt unter $^1/_2$ der Höhe. Schale des ♂ gestreckter. Oberfläche glatt, nicht skulpturiert. Vom Rücken gesehen Breite gleich der Höhe, am breitesten hinter der Mitte; Hinterende breit gerundet, nach vorn langsam keilförmig zugespitzt; Vorderende abgestumpft. 1. Thoraxbein des ♂ von typischem Bau; Hinterrand des 1. Gliedes (Stammes) unbehaart. — L. ♀ 0·72—0·76, ♂ 0·86—0·89 mm. — Fig. 88 p. 323.

Golf von Neapel; Atlantische Küste von Nordamerika (Vineyard-Sund).

7. **C. turbida** G. W. Müll. 1894 *C. t.*, G. W. Müller in: F. Fl. Neapel, *v.* 21 p. 361 t. 30 f. **28**, 31—33, 40—45, 47.

Schale des ♂ der von C. rubra sehr ähnlich; Hinterrand des 1. Gliedes (Stammes) des 1. Thoraxbeines behaart. — L. ♂ 0·77—0·81 mm; ♀ unbekannt.

Golf von Neapel.

8. **C. americana** Cushman 1906 *C. a.*, Cushman in: P. Boston Soc., *v.* 32 p. 375 t. 33 f. 67; t. 34 f. 68—75.

Schale der von C. rubra ähnlich, am höchsten vor der Mitte, der Dorsalrand bildet mit dem Hinterrande eine ziemlich deutliche, stumpfwinklige Ecke, Hinterrand in der dorsalen Hälfte fast gerade abfallend, in der ventralen schmal gerundet. Oberfläche punktiert, mit großen, unregelmäßig zerstreuten, pigmentierten Gruben, die besonders häufig in der vorderen Hälfte sind; vom Rücken gesehen ähnlich wie C. rubra, am breitesten in der Mitte, Hinterende nur wenig breiter gerundet als das Vorderende. — L. 1 mm.

Atlantische Küste von Nordamerika (Vineyard-Sund).

9. **C. seminuda** Cushman 1906 *C. s.*, Cushman in: P. Boston Soc., *v.* 32 p. 374 t. 33 f. 62—64; t. 34 f. 76, 77.

Schale der von C. rubra ähnlich, am höchsten hinter der Mitte; beide Enden annähernd gleich breit gerundet. Oberfläche in der ventralen Hälfte mit gestreckten, polygonalen Gruben mit undeutlicher linearer Anordnung besonders nahe dem Ventralrande, dorsale Hälfte glatt. Vom Rücken gesehen am breitesten in der hinteren Hälfte, Hinterende breit gerundet, Vorderende etwas zugespitzt. — L. 1·2 mm.

Atlantische Küste von Nordamerika (Vineyard-Sund).

10. **C. papillosa** Bosquet 1851 *C. p.*, Bosquet in: Mém. cour. Ac. Belgique, *v.* 24 [nr. 3] p. 42 t. 2 f. 5 a—d | 1865 *Cyprideis angustata*, G. O. Sars in: M. Sars, Foss. Dyrelev. Qvart., p. 49 (descr. nulla) | 1865 *Cythere debilis* (*C. bradii* in MS.), A. M. Norman in: Tr. nat. Hist. Soc. Northumb., *v.* 1 p. 15 t. 5 f. 5—8 und Note p. 28 | 1866 *Cyprideis bairdii*, G. O. Sars in: Forh. Selsk. Christian., 1865 p. 52 | ?1866 *C. papillosa*, G. S. Brady in: Tr. zool. Soc. London, *v.* 5 p. 370 t. 58 f. 8 | 1868 *C. p.*, G. S. Brady in: Tr. Linn. Soc. London, *v.* 26 p. 423 t. 28 f. 1—6; t. 40 f. 1.

Schale des ♀: Höhe $^1/_2$ der Länge, am höchsten etwa in der Mitte; Dorsalrand deutlich gewölbt, bildet mit dem steil abfallenden Hinterrande einen undeutlichen, stumpfen Winkel; Vorderende mäßig breit gerundet; Hinterrand mit ziemlich schmaler Rundung in der ventralen Hälfte. Schale des ♂ etwas gestreckter. Vom Rücken gesehen Breite etwa $^1/_2$ der Länge, im übrigen ähnlich wie C. rubra. Rechtes 1. Thoraxbein des ♂ zu einem Greiforgan umgestaltet, die verstärkte Endklaue gegen das 2.—4. verschmolzene Glied einschlagbar. — L. 0·93 mm.

Nördlicher Atlantischer Ozean; Arktische Meere.

11. **C. kirkbii** G. Brady 1866 *C. k.*, G. S. Brady in: Tr. zool. Soc. London, *v.*5 p. 369 t. 58 f. 14.

Höhe annähernd $^1/_2$ der Länge, am höchsten in der Mitte; Dorsalrand stark gewölbt; beide Enden ähnlich gerundet, das hintere wenig schmaler; Vorder- und Hinterende in ihrer ventralen Hälfte mit einer Reihe von etwa 8 Zähnen, die auch fehlen können (?). Oberfläche fast glatt. Vom Rücken gesehen länglich oval. — L. 0·84 mm.

Honduras, in flachem Wasser.

12. **C. consorbina** G. Brady 1890 *C. c.*, G. S. Brady in: Tr. R. Soc. Edinb., *v.* 35 p. 506 t. 3 f. 5, 6.

Schalenumriß des ♂ ähnlich wie bei C. kirkbii; Vorderrand ungezähnelt; Hinterende mit einem einzigen großen Dorn an der Grenze von Ventral- und Hinterrand. Schale des ♀ etwas höher; Oberfläche dicht mit ziemlich großen Gruben bedeckt. Vom Rücken gesehen Breite etwa $^2/_5$ der Länge; Leisten annähernd parallel; Vorderende abgestumpft zugespitzt, Hinterende gerundet. — L. 1 mm.

Neucaledonia (Numea).

13. **C. torosa** (Jones)

Diese Art zerfällt in 2 Unterarten:

13a. **C. torosa torosa** (Jones) 1850 *Candona t.*, Jones in: Ann. nat. Hist., ser. 2 *v.* 6 p. 27 t. 3 f. 6a—e | 1856 *Cyprideis t.*, Jones in: Pal. Soc. Mon., 1856 p. 21 t. 2 f. 1 a—i; p. 16 f. 2 | ?1862 *C. t.*, G. S. Brady in: Intell. Observ., *v.* 1 p. 454 (descr. nulla) | 1863 *Cythere lacustris*, G. O. Sars in: Nyt Mag. Naturv., *v.* 12 p. 222 | (?non 1864 *Cyprideis torosa*, G. S. Brady in: Ann. nat. Hist., ser. 3 *v.* 13 p. 62 t. 5 f. 11 | 23) | (non 1866 *C. t.*, G. O. Sars in: Forh. Selsk. Christian., 1865 p. 51) | 1866 *Cytheridea robertsoniana*, G. S. Brady in: D. Robertson in: P. nat. Hist. Soc. Glasgow, ser. 1 *v.* 1 p. 142 (descr. nulla) | (non 1868 *C. torosa*, G. S. Brady in: Tr. Linn. Soc. London, *v.* 26 p. 425 t. 28 f. 7—12; t. 39 f. 5) | 1868 *C. t.*, G. S. Brady in: Folin & Périer, Fonds Mer, *v.* 1 p. 148 t. 12 f. 18 | 1868 *C. lacustris*, G. S. Brady in: Tr. Linn. Soc. London, *v.* 26 p. 427 t. 26 f. 18—21; t. 40 f. 2 | 1870 *C. torosa*, G. S. Brady & D. Robertson in: Ann. nat. Hist., ser. 4 *v.* 6 p. 21 t. 8 f. 6, 7 | ?1879 *Acanthopus resistans*, Vernet in: Bull. Soc. Vaudoise, *v.* 15 p. 509 t. 17 f. 1—13 | (non 1888 *Cytheridea torosa*, Dahl in: Zool. Jahrb. Syst., *v.* 3 p. 612 t. 16 f. 31; t. 17 f. 32—48) | ?1896 *C. lacustris*, Kaufmann in: Rev. Suisse Zool., *v.* 4 p. 327 t. 12 f. 1—19.

Von C. torosa littoralis unterschieden durch den Besitz von 1—4 mehr oder weniger umfangreichen Warzen auf der Oberfläche der Schale; durch Übergänge mit C. t. littoralis verbunden.

Nordeuropa; Süß- und Brackwasser. Zentralasien.

13b. **C. torosa littoralis** G. Brady 1864 *Cyprideis t.* (non *Candona t.* Jones 1850), G. S. Brady in: Ann. nat. Hist., ser. 3 *v.* 13 p. 62 | 1868 *Cytheridea t.*, G. S. Brady in: Tr. Linn. Soc. London, *v.* 26 p. 425 t. 28 f. 7—12; t. 39 f. 5 | 1869 *C. littoralis*,

G. S. Brady in: Tr. nat. Hist. Soc. Northumb., *v.* 3 p. 125 | 1870 *C. torosa var. teres,* G. S. Brady & D. Robertson in: Ann. nat. Hist., ser. 4 *v.* 6 p. 21 (Anmerk.) | ?1880 *Cythere lutea,* G. W. Müller in: Z. Naturw., *v.* 53 p. 239 t. 5 f. 1, 2, 6, 11, 15—19.

Schale des ♀: Höhe deutlich größer als $^1/_2$ der Länge, am höchsten wenig vor oder in der Mitte; Dorsalrand deutlich, oft unregelmäßig gewölbt, gegen Vorder- und Hinterrand nicht abgegrenzt; beide Enden gerundet, das hintere links wenig, rechts deutlich schmaler gerundet als das Vorderende; Schalenrand links ungezähnelt oder vorn mit 1 oder 2 kurzen Spitzen, rechts vorn glatt oder mit 1—4 deutlichen Spitzen, an der hinteren, ventralen Ecke mit einem umfangreichen Zahne, der fehlen kann (abgebrochen?). Oberfläche dicht mit kleinen Gruben bedeckt. Schale des ♂ etwas gestreckter; die größte Höhe liegt stets deutlich vor der Mitte; Hinterende beiderseits deutlich schmaler als das Vorderende, im übrigen wie das ♀. — L. 0·9—1·2 mm.

Europa; Nordafrika, in schwachem, salzigem Wasser, im Süßwasser neben C. torosa torosa.

14. **C. angustata** (Münst.) ?1838 *Cythere a.,* Münster in: Roemer in: N. Jahrb. Min., p. 516 t. 6 f. 10 | 1850 *C. a.,* W. Baird, Brit. Entom., p. 172 t. 21 f. 6 | 1868 *Cytheridea elongata,* G. S. Brady in: Tr. Linn. Soc. London, *v.* 26 p. 421 t. 28 f. 13—16; t. 40 f. 6 | ?1869 *C. (?) cornea,* G. S. Brady & D. Robertson in: Ann. nat. Hist., ser. 4 *v.* 3 p. 370 t. 20 f. 9, 10 | ?1901 *C. elongata,* Egger in: Abh. Bayer. Ak., *v.* 21 p. 447 t. 4 f. 1—3.

Höhe deutlich kleiner als $^1/_2$ der Länge, am höchsten in der Mitte oder weiter nach hinten; Dorsalrand gewölbt; Vorderende gerundet; Hinterende mit stark abgerundeter Ecke, die deutlich unter halber Höhe liegt; Ventralrand schwach eingebuchtet, im hinteren Fünftel wenig aufsteigend. Oberfläche glatt, mit zerstreuten Wärzchen. — L. 0·95 mm.

Küste von Europa; Tafelbai, 91 m Tiefe?; Mauritius, 411 m Tiefe?; 18° s. Br., 116° ö. L., 357 m Tiefe?

15. **C. punctillata** G. Brady 1865 *C. p.,* G. S. Brady in: Ann. nat. Hist., ser. 3 *v.* 16 p. 189 t. 9 f. 9—11 | 1866 *Cyprideis proxima,* G. O. Sars in: Forh. Selsk. Christian., 1865 p. 54 | 1868 *Cytheridea punctillata,* G. S. Brady in: Tr. Linn. Soc. London, *v.* 26 p. 424 t. 26 f. 35—38; t. 28 f. 17—20 | (non 1901 *C. p.,* Egger in: Abh. Bayer. Ak., *v.* 21 p. 448 t. 3 f. 15—17, 23—26).

Schale des ♀: Höhe deutlich größer als $^1/_2$ der Länge, am höchsten vor der Mitte; der Dorsalrand bildet einen Winkel mit wenig abgestumpfter Spitze, dessen beide Schenkel annähernd gleich stark abfallen; Vorderende breit, Hinterende deutlich schmaler gerundet. Schale des ♂ mit geradem, sehr wenig nach hinten abfallendem Dorsalrande; beide Enden annähernd gleich breit gerundet. Oberfläche dicht mit kleinen Gruben bedeckt, zwischen denen sich zerstreut kleine Warzen finden. — L. 0·75—0·80 mm.

Küste von Nordeuropa; arktische Meere; Mittelmeer; Mauritius; Ostküste von Nordamerika.

16. **C. flavescens** G. Brady 1890 *C. f.,* G. S. Brady in: Tr. R. Soc. Edinb., *v.* 35 p. 506 t. 2 f. 29—32.

Schale des ♀: Höhe gleich $^1/_2$ der Länge, am höchsten auf der Mitte oder wenig dahinter; Dorsalrand stark gewölbt; Vorderende mäßig breit gerundet, Hinterende etwas zugespitzt, die Spitze stark abgerundet. Schale des ♂ gestreckter, Höhe etwa $^3/_8$ der Länge; Dorsalrand flach gewölbt; Hinterende ziemlich deutlich zugespitzt; Ventralrand im hinteren Drittel schwach aufsteigend. Oberfläche glatt, mit zerstreuten, runden Papillen. — L. ♀ 0·75, ♂ 0·8 mm.

Fidschiinseln; Neucaledonia.

17. **C. spinulosa** G. Brady 1868 *C. s.*, G. S. Brady in: Ann. nat. Hist., ser. 4 *v.* 2 p. 182 t. 13 f. 1—6 | 1880 *C. s.*, G. S. Brady in: Rep. Voy. Challenger, Zool. *v.* 1 Part 3 p. 112 t. 33 f. 6 a—d.

Höhe der Schale wenig größer als $^1/_2$ der Länge, am höchsten etwa auf $^1/_3$ der Länge; Dorsalrand nach hinten wenig abfallend, fast horizontal; Vorderrand sehr breit gerundet, in seiner ventralen Hälfte dicht mit kurzen Zähnen besetzt, die Zähnelung erstreckt sich auf den Ventralrand; der flach gewölbte Hinterrand bildet mit dem Dorsalrande eine undeutliche Ecke und setzt sich in seiner ventralen Hälfte aus etwa 6 deutlichen Zähnen zusammen. Oberfläche mit ziemlich großen, runden Gruben. — L. 0·54 mm.

Fidschiinseln; Mauritius; Neucaledonia (Amboina); Malayischer Archipel (Numea).

C. inaequalis G. Brady & D. Roberts. 1870 *C. i.*, G. S. Brady & D. Robertson in: Ann. nat. Hist., ser. 4 *v.* 6 p. 22 t. 9 f. 1—4 (nach G. S. Brady & A. M. Norman in: Tr. R. Dublin Soc., ser. 2 *v.* 4 p. 178 fossil).

England (Fluß Cam bei Ely).

C. impressa G. Brady 1869 *C. i.*, G. S. Brady in: Folin & Périer, Fonds Mer, *v.* 1 p. 158 t. 16 f. 13, 14.

Hongkong.

C. similis G. Brady 1869 *C. (Cythere, Cythcrella) s.*, G. S. Brady in: Folin & Périer, Fonds Mer, *v.* 1 p. 147 t. 14 f. 19, 20; t. 19 f. 16, 17; Figurenerklärung p. 202 | 1889 *C. s.*, G. S. Brady & A. M. Norman in: Tr. R. Dublin Soc., ser. 2 *v.* 4 p. 174 t. 17 f. 26, 27.

Golf von Biscaya; Haiti; Mauritius; Cuba.

C. stigmosa G. Brady & Norm. 1889 *C. s.*, G. S. Brady & A. M. Norman in: Tr. R. Dublin Soc., ser. 2 *v.* 4 p. 174 t. 16 f. 21, 22.

Küste von Irland, 210 m Tiefe.

26. Gen. **Limnocythere** G. Brady

1867 *Limnocythere*, G. S. Brady in: Intell. Observ., *v.* 12 p. 121 | 1868 *Limnicythere*, G. S. Brady in: Tr. Linn. Soc. London, *v.* 26 p. 419 | 1879 *Acanthopus* (part.), Vernet in: Bull. Soc. Vaudoise, *v.* 15 p. 506 | 1888 *Limnocythere*, Dahl in: Zool. Jahrb. Syst., *v.* 3 p. 615 | 1892 *Leucocythere* (s. str.), Kaufmann in: Zool. Anz., *v.* 15 p. 394 | 1894 *Limnicytheridea*, F. A. Forel in: Bibl. Genève Arch., *v.* 32 p. 602 (nom. nud.) | 1896 *Limnicythere* + *Leucocythere*, Kaufmann in: Rev. Suisse Zool., *v.* 4 p. 366 | 1900 *Limnicythere*, G. W. Müller in: Zool., *v.* (Heft) 30 p. 91.

Schale mit breiter, verschmolzener Zone, welche von einzelnen schlanken, unverzweigten Porenkanälen durchsetzt wird; Innenrand und Verwachsungslinie fallen, so weit zu erkennen ist, zusammen; Schloßzähne schwach oder fehlend. 1. Antenne 5- oder 6-gliedrig; Borsten mehr oder weniger klauenartig gestaltet; das letzte Glied trägt terminal 4 Borsten, von denen 2 umfangreich miteinander verschmolzen sind. Taster der Mandibel schwach, undeutlich gegliedert, mit wohl entwickelter Atemplatte. Maxille wie bei Cytheridea. 1.—3. Thoraxbein in beiden Geschlechtern wohl entwickelt; das 3. bisweilen kürzer als das 2., oder beim ♂ auffallend lang, besonders die terminale Klaue.

Süßwasser, seltener Brackwasser.

15 sichere, 1 unsichere Art.

1. **L. inopinata** (W. Baird [?]) G. Brady ?1843 *Cythere i.*, W. Baird in: Zoologist, *v.* 1 p. 195 | (non 1863 *C. i.*, G. O. Sars in: Nyt Mag. Naturv., *v.* 12 p. 221) | 1867 *Limnocythere i.*, G. S. Brady in: Intell. Observ., *v.* 12 p. 121 (descr. nulla) | 1868

Limnicythere i., G. S. Brady in: Tr. Linn. Soc. London, *v.* 26 p. 419 t. 29 f. 15—18; t. 38 f. 9; t. 39 f. 1 | (non 1874 *L. i.*, G. S. Brady, Crosskey & D. Robertson in: Pal. Soc. Mon., p. 173 t. 10 f. 8—11 | (non 1889 *L. i. var. compressa*, G. S. Brady & A. M. Norman in: Tr. R. Dublin Soc., ser. 2 *v.* 4 p. 170 t. 17 f. 18, 19) | (non 1896 *L. i.*, G. S. Brady & A. M. Norman in: Tr. R. Dublin Soc., ser. 2 *v.* 5 p. 733 t. 68 f. 5, 6) | (non 1897 *L. i.*, Chapman in: Ann. nat. Hist., ser. 6 *v.* 19 p. 597 t. 15 f. 28, 29) | 1900 *L. i.*, G. W. Müller in: Zool., *v.* (Heft) 30 p. 92 t. 20 f. **1**, **8**, 10—16.

Linke Schale des ♀: Höhe etwa $^4/_7$ der Länge; Dorsalrand gerade und annähernd horizontal oder schwach gewölbt, gegen Vorder- und Hinterrand winklig abgegrenzt; Spitze des Winkels vorn stets abgerundet, hinten abgerundet oder scharf; Hinter- und Vorderrand breit gerundet, der Hinterrand flacher gewölbt; Hinterrand in seiner ventralen Hälfte mit einigen wenigen Zähnen, Vorderrand glatt oder undeutlich gezähnelt; Ventralrand in der Mitte tief eingebuchtet. Schale mit ziemlich tiefer, dorsalwärts erweiterter Furche dorsal von den Schließmuskelansätzen; vor dieser Furche eine ähnliche kleinere; ferner 2 Warzen ventral von den Schließmuskelansätzen, (eine davor, eine dahinter) und eine Warze schräg vor und ventral von der hinteren, dorsalen Ecke; einzelne dieser Warzen können fehlen. Oberfläche ziemlich dicht mit mäßig scharf konturierten, kleinen, runden oder unregelmäßigen Gruben bedeckt. Ansicht vom Rücken: Breite gleich $^1/_2$ der Länge, am breitesten auf $^3/_5$ der Länge, wo die mittlere Warze etwa halbkreisförmig vortritt; auf etwa $^4/_5$ der Länge bilden die Seiten (entsprechend der hinteren Warze) eine stark abgerundete Ecke und konvergieren im hinteren Fünftel in flachem Bogen; Hinterende zugespitzt, die Spitze abgerundet, unsymmetrisch; vor der mittleren Warze verlaufen die Seiten annähernd parallel, eventuell unterbrochen durch die kleine vordere Warze, und konvergieren im vorderen Drittel in deutlich konvexer Linie; entsprechend der Ausbildung der Warzen sind beide Seiten mehr oder weniger unsymmetrisch. Die Thoraxbeine nehmen von vorn nach hinten gleichmäßig an Länge zu. — L. ♀ 0·6—0·64 mm, ♂ unbekannt.

Süßwasser von Nord-, Mittel- und Südeuropa; Kleinasien; Turkestan.

2. **L. serrata** (Thiébaud) 1908 *Limnicythere s.*, Thiébaud in: Ann. Biol. lacustre, *v.* 3 p. 228 t. 7 f. 6—15.

Schale von ähnlichem Umriß wie L. inopinata, Dorsal- und Vorderrand bilden eine deutliche, nicht abgerundete, stumpfwinklige Ecke, von der aus der Dorsalrand geradlinig deutlich nach hinten abfällt, Vorder- und Hinterrand deutlich gezähnelt. — L. 0·58 mm.

Schweiz.

3. **L. monstrifica** (Norm.) 1862 *Cypris m.*, A. M. Norman in: Ann. nat. Hist., ser. 3 *v.* 9 p. 45 t. 3 f. 4, 5 | 1867 *Limnocythere m.*, G. S. Brady in: Intell. Observ., *v.* 12 p. 121 | 1868 *Limnicythere m.*, G. S. Brady in: Tr. Linn. Soc. London, *v.* 26 p. 420 t. 29 f. 9—12.

Schale im Profil ähnlich wie L. inopinata; Vorder- und Hinterrand in ganzem Umfange grob gezähnelt; an ähnlicher (?) Stelle wie die Warzen bei L. inopinata finden sich spitze, konische Erhebungen; ferner zahlreiche Spitzen in der hinteren Schalenhälfte. — L. 0·78 mm.

England, im Süßwasser.

4. **L. incisa** Dahl 1874 *Limnicythere inopinata* (non *L. i.* G. Brady 1868), G. S. Brady, Crosskey & D. Robertson in: Pal. Soc. Mon., p. 173 t. 10 f. 8—11 | 1888 *Limnocythere incisa*, Dahl in: Zool. Jahrb. Syst., *v.* 3 p. 617 t. 17 f. 49—58 | 1891 *Limnicythere i.*,

G. O. Sars in: Forh. Selsk. Christian., 1890 nr. 1 p. 69 (Synonymie) | 1896 *L. inopinata var. incisa*, G. S. Brady & A. M. Norman in: Tr. R. Dublin Soc., ser. 2 *v.* 5 p. 733 t. 68 f. 5, 6 | 1900 *L. incisa*, G. W. Müller in: Zool., *v.* (Heft) 30 p. 93 t. 20 f. 9 | 1900 *L. balatonica*, Daday, Ostr. Hungar., p. 290 f. 63.

Schale der von L. inopinata (nr. 1) sehr ähnlich, unterschieden durch den Mangel der Warzen. Vom Rücken gesehen Breite etwa $^3/_7$ der Länge; im mittleren Drittel die Seiten annähernd geradlinig, mehr oder weniger deutlich eingedrückt, im vorderen und hinteren Drittel zu den Enden konvergierend, im vorderen Drittel in deutlich konkaver Linie, im hinteren Drittel in gerader, nach dem Ende hin in konvexer Linie; Vorderende schnabelartig zugespitzt, Hinterende gerundet, stark unsymmetrisch, wie überhaupt die Seiten. Klaue des 3. Thoraxbeines kürzer als die 3 Glieder des Endopoditen. — L. des ♀ 0·6—0·64 mm; ♂ unbekannt.

Europa, im Süßwasser und schwach salzigem Wasser; Zentralasien.

5. **L. hungarica** Daday 1900 *Limnicythere h.*, Daday, Ostr. Hungar., p. 292 f. 64.

Schale der von L. incisa ähnlich; Hinterrand in ganzem Umfange stark gezähnelt. — L. 0·48 mm.

Ungarn.

6. **L. relicta** (Lillj.) 1863 *Cythere r.*, Lilljeborg in: Öfv. Ak. Förh., 1862 p. 391 t. 3 F f. 1—17 | 1889 *Limnicythere r.*, G. S. Brady & A. M. Norman in: Tr. R. Dublin Soc., ser. 2 *v.* 4 p. 170 t. 17 f. **8, 9** | (non 1892 *L. r.*, Kaufmann in: Zool. Anz., *v.* 15 p. 395) | 1900 *L. r.*, G. W. Müller in: Zool., *v.* (Heft) 30 p. 94 t. 20 f. **2—4**, 5—7.

Schale des ♀: Schale im Profil der von L. inopinata (nr. 1) ähnlich; Höhe gleich $^1/_2$ der Länge; Dorsalrand nach hinten deutlich abfallend. Oberfläche mit ähnlichen Furchen wie bei L. inopinata, aber ohne Warzen, nahe dem Vorderrande mit feiner, polygonaler Felderung; die Grenzen der Felder werden durch Punktreihen gebildet. Schale des ♂ gestreckter, Höhe $= ^2/_5$ der Länge; Dorsalrand gerade, horizontal. Vom Rücken gesehen beim ♀ Breite annähernd $^1/_2$ der Länge, am breitesten etwa auf $^1/_2$ der Länge; die Seiten bilden starke Bogen, welche nach vorn und hinten konvergieren und nahe dem Vorderende sehr stark eingedrückt (konkav) sind; beide Enden zugespitzt, das vordere lang schnabelförmig; hinten überragt die linke Schale die rechte weit. Schale des ♂ vom Rücken gesehen schmaler als die des ♀; Seiten auch nahe dem Hinterende eingedrückt, doch weniger stark als am Vorderende. — L. ♀ 0·75, ♂ 0·64 mm.

Schweden; Pommern; Schweiz.

7. **L. mongolica** Daday 1901 *Limnicythere m.*, Daday in: Zichy, Dritte Asiat. Forschr., *v.* 2 p. 379, 428 t. 16 f. 13, 14; t. 17 f. 1—14.

Höhe etwa $^7/_{12}$ der Länge, am höchsten auf $^1/_3$ der Länge, wo der Dorsalrand eine abgerundete Ecke bildet, von der aus er nach hinten geradlinig deutlich abfällt. Direkt vor der Ecke ist der Dorsalrand deutlich eingedrückt; Vorderrand breit gerundet, gegen den Dorsalrand mit gerundeter Ecke abgegrenzt; Hinterrand steil in flachem Bogen abfallend, bildet mit dem Dorsalrande eine sehr stark abgerundete Ecke; Ventralrand tief eingebuchtet, gegen Vorder- und Hinterrand nicht abgegrenzt. Furchen über und vor dem Schließmuskelansatz ähnlich wie bei L. inopinata, sonst Oberfläche glatt. Vom Rücken gesehen Breite $^1/_2$ der Länge; die Seiten bilden Bogen, welche ziemlich gleichmäßig bis zum vorderen und hinteren Schalenende verlaufen und nahe dem Vorderende stark eingedrückt sind; Vorder-

ende zugespitzt, Hinterende abgerundet; hinten überragt die rechte Schale deutlich die linke. — L. ♀ 0·6 mm; ♂?

Mongolei.

8. **L. reticulata** R. Sharpe 1897 *Limnicythere r.*, R. Sharpe in: Bull. Illinois Lab., *v.* 4 p. 423 t. 39 f. 1—7.

Schale der von L. incisa (nr. 4) ähnlich; Oberfläche mit auffälliger, netzartiger Skulptur. Klaue des 3. Thoraxbeines des ♂ länger als die 3 Glieder des Endopodit. — L. 0·88 mm.

Nordamerika (Illinois).

9. **L. illinoisiensis** R. Sharpe 1897 *Limnicythere i.*, R. Sharpe in: Bull. Illinois Lab., *v.* 4 p. 425 t. 39 f. 8—13; t. 40.

Schale (von ♂ und ♀?) ähnlich wie die des ♂ von L. relicta, etwas höher (Höhe $^4/_9$ der Länge); Dorsalrand nicht winklig gegen Vorder- und Hinterrand abgegrenzt; Oberfläche mit ähnlicher polygonaler Felderung. Vom Rücken gesehen Breite etwa $^1/_3$ der Länge; Seiten parallel, geradlinig, im vorderen Drittel geradlinig, im hinteren Fünftel im Bogen konvergierend; Vorderende zugespitzt, Hinterende abgerundet. Terminale Klaue des 1. (angeblich 2.) Thoraxbeines des ♂ stark gekrümmt, terminal 3-teilig; die des 3. Thoraxbeines des ♂ verlängert, so lang wie das ganze Bein, fast gerade, nur terminal deutlich gekrümmt. Penis aus 3 komplizierten Fortsätzen zusammengesetzt, die einer gemeinsamen Basis entspringen. — L. 0·88 mm.

Nordamerika (Illinois).

10. **L. dubiosa** Daday 1903 *Limnicythere d.*, Daday in: SB. Ak. Wien, *v.* 112 p. 24 t. 1 f. 25—27 textf. 2.

Schale des ♂ der von L. illinoisiensis sehr ähnlich, ebenfalls das 3. Bein. Penis mit umfangreichem Basalstück, dem ein hakenartiger Fortsatz aufsitzt. — L. ♀ 0·58, ♂ 0·65 mm.

Kleinasien (Isnik-Gol).

11. **L. mirabilis** (Kaufmann) 1892 *Leucocythere m.*, Kaufmann in: Zool. Anz., *v.* 15 p. 394 | 1896 *L. m.*, Kaufmann in: Rev. Suisse Zool., *v.* 4 p. 367 t. 15 f. 65—86.

Schale des ♀: Höhe etwa $^{11}/_{20}$ der Länge, am höchsten etwa auf $^1/_3$ der Länge; der Dorsalrand bildet hier eine deutliche Ecke, von der aus er sehr stark geradlinig nach hinten abfällt, so daß das Hinterende stark verschmälert erscheint; Vorder- und Hinterrand breit gerundet; Hinterrand undeutlich winklig gegen den Dorsalrand abgegrenzt. Schale des ♂ der des ♂ von L. relicta ähnlich, etwas höher. Oberfläche mit undeutlichen Gruben, mit den Furchen über den Schließmuskelansätzen, ohne Warzen. Vom Rücken gesehen (♂ und ♀) Breite kleiner als $^1/_3$ der Länge, am breitesten wenig hinter der Mitte, davor scharf eingeschnürt, dann wieder fast zur vollen Breite erweitert; in den vorderen 2 Fünfteln konvergieren die Seiten fast geradlinig zur vorderen Spitze, ebenso nach hinten von der breitesten Stelle an; beide Enden zugespitzt; die rechte Schale länger als die linke. 3. Thoraxbein des ♂ mit sehr langer, gerader Borste am Ende des 1. Gliedes des Endopodit und mit sehr langer, S-förmig geschwungener, terminaler Borste; beide Borsten (die terminale gestreckt) so lang wie das ganze Bein. — L. ♀ 0·81, ♂ 0·89 mm.

In Schweizer Seen in Tiefen bis 40 m.

12. **L. sancti-patricii** G. Brady & D. Roberts. 1863 *Cythere inopinata* (non *C. i.* W. Baird 1844), G. O. Sars in: Nyt Mag. Naturv., *v.* 12 p. 221 | 1869 *Limnicythere sancti-patricii*, G. S. Brady & D. Robertson in: Ann. nat. Hist., ser. 4 *v.* 3 p. 369 t. 18 f. 8—11; t. 21 f. 4 | 1878 *Acanthopus elongatus*, Vernet in: Bull. Soc. Vaudoise, *v.* 15 p. 516 t. 18 f. 14—19 | ?1889 *Limnicythere inopinata*, Moniez in: Rev. biol. Nord France, *v.* 1 p. 319 | 1892 *Limnocythere relicta*, Kaufmann in: Zool. Anz., *v.* 15 p. 395 | ?1894 *L. neocomensis*, F. Zschokke in: Rev. Suisse Zool., *v.* 2 p. 369 | 1896 *L. sp.*, Kaufmann in: Rev. Suisse Zool., *v.* 4 p. 342 t. 13 f. 20—41 | ?1900 *L. sp.*, Daday, Ostr. Hungar., p. 284 f. 61.

Schale in beiden Geschlechtern im Profil denen von L. relicta (nr. 6) ähnlich; Schale des ♂ wenig höher, nach hinten etwas verbreitert, Ecke zwischen Dorsal- und Vorderrand sehr deutlich; Furchen über und vor den Schließmuskelansätzen wie bei den anderen Arten; Schale ventral stark abgeflacht, die Grenzen zwischen Seiten- und Ventralfläche flügelartig erhoben; diese schmalen Flügel reichen nach hinten beim ♂ etwa bis $^3/_5$, beim ♀ bis $^2/_3$ der Länge; Umfang der Flügel sehr veränderlich, besonders beim ♀. Oberfläche mit einem Netzwerk von erhabenen Leisten, in den einzelnen Feldern zahlreiche, kleine, undeutliche Gruben. Schale des ♀ vom Rücken gesehen, wenn wir von den Flügeln absehen, der von L. mirabilis ähnlich; aber breiter, Breite $^2/_5$ der Länge; die Einschnürung in der Mitte sehr deutlich, die Seiten mehr oder weniger überragt von den kleinen Flügeln, welche auf $^2/_3$ der Länge eine stark vortretende, wenig gerundete Ecke bilden können und von hier aus geradlinig und stark nach vorn konvergieren, so daß sie etwa von der Einschnürung an von der übrigen Schale verdeckt werden. Schale des ♂ vom Rücken gesehen: Breite etwa $^3/_8$ der Länge; Seiten annähernd parallel; hinteres Ende abgerundet, vorderes zugespitzt; die Flügel können etwa auf der Mitte als flache Warzen vortreten, oder sich ganz der Beobachtung entziehen. Klaue des 3. Thoraxbeines des ♂ fast gerade, nur schwach S-förmig gebogen, länger als das ganze Bein. — L. ♀ 0·77, ♂ 0·82 mm.

England; Norwegen; Schweiz; Böhmen (Elbe); Ungarn.

13. **L. stationis** Vávra 1891 *Limnicythere s.*, Vávra in: Zool. Anz., *v.* 14 p. 77 (descr. nulla) | 1891 *L. s.*, Vávra in: Arch. Landesdf. Böhmen, *v.* 8 p. 108 f. 38.

Schale im Profil der von L. inopinata (nr. 1) ähnlich, höher, Höhe etwa $^3/_5$ der Länge; Dorsalrand nach hinten abfallend, nahe dem hinteren Ende mit 2 nach hinten gerichteten Zähnen; zu den 3 Warzen von L. inopinata kommt noch eine 4. nahe dem Dorsalrande schräg vor den Schließmuskelansätzen; die einzelnen Warzen umfangreicher; in der Ansicht vom Rücken sind die beiden dorsalen Warzen nicht sichtbar. Das 2. Thoraxbein beim ♀ viel umfangreicher als das 3. — L. ♀ 0·36 mm. ♂?

Böhmen; Frankreich; Finnland.

14. **L. notodonta** Vávra 1906 *Limnicythere n.*, Vávra in: Zool. Jahrb. Syst., *v.* 23 p. 431 t. 25 f. 37—43.

Schale: Höhe $^9/_{17}$ der Länge, am höchsten etwa auf $^1/_4$ der Länge, wo Vorderrand und Dorsalrand eine vorgewölbte, abgerundete Ecke bilden, von der aus der Dorsalrand deutlich nach hinten abfällt, an der Grenze von Dorsal- und Hinterrand rechts 2—4 deutliche Zähne, die links fehlen. Oberfläche mit wellig gebogenen Leisten (an Stelle der Warzen), eine nahe dem Ventralrande, eine zweite über den Schließmuskelansätzen, nahe dem Dorsalrande eine tiefe Grube. Vom Rücken gesehen Breite reichlich $^1/_2$ der Länge, am breitesten vor der Mitte, vordere Hälfte treppenartig gestaltet mit 2 flachen Stufen, hinter der breitesten Stelle flach eingedrückt, weiter die Seiten im

Bogen zum hinteren Ende verlaufend, beide Enden ähnlich gestaltet. Das 2. Thoraxbein umfangreicher als das 3. — L. 0·34 mm.

Westjava.

15. **L. compressa** G. Brady & Norm. 1889 *L. inopinata var. c.*, G. S. Brady & A. M. Norman in: Tr. R. Dublin Soc., ser. 2 *v.* 4 p. 170 t. 17 f. 18, 19 | 1896 *L. c.*, G. S. Brady & A. M. Norman in: Tr. R. Dublin Soc., ser. 2 *v.* 5 p. 734 (Synonymie) | ? 1897 *L. inopinata*, Chapman in: Ann. nat. Hist., ser. 6 *v.* 19 p. 597 t. 15 f. 28, 29.

Schale gestreckt, Höhe annähernd $^1/_2$ der Länge; Dorsalrand gerade, fast horizontal, grenzt sich auf etwa $^1/_3$ der Länge wenig deutlich gegen den Vorderrand, auf etwa $^6/_7$ der Länge sehr deutlich winklig gegen den Hinterrand ab; Vorder- und Hinterrand breit gerundet, letzterer breiter; Ventralrand sehr tief (auf etwa $^1/_6$ der Höhe) ausgebuchtet. Oberfläche dicht mit kleinen, runden Gruben bedeckt. Vom Rücken gesehen Breite $^4/_9$ der Länge, am breitesten auf $^5/_9$ der Länge; von hier aus konvergieren die Seiten nach vorn bis etwa $^1/_3$ der Länge geradlinig, im vordersten Drittel in stark konvexem Bogen, nach hinten zunächst in konvexem Bogen; auf $^2/_3$ der Länge bilden sie einen deutlich einspringenden Winkel und verlaufen von hier aus zunächst geradlinig und parallel, im letzten Fünftel geradlinig konvergierend; beide Enden zugespitzt, das vordere lang schnabelförmig. — L. 0·6 mm.

England.

L. tiberiadis Barrois 1894 *Limnicythere t.*, T. Barrois in: Rev. biol. Nord France, *v.* 6 p. 281 (descr. nulla).

Syrien.

27. Gen. **Eucythere** G. Brady

1866 *Cytheropsis* (non *C.* Mc Coy 1855), G. O. Sars in: Forh. Selsk. Christian., 1865 p. 57 | 1868 *Eucythere*, G. S. Brady in: Tr. Linn. Soc. London, *v.* 26 p. 429 | 1894 *E.*, G. W. Müller in: F. Fl. Neapel, *v.* 21 p. 362.

Am Vorderrande der Schale entfernen sich Innenrand und Verwachsungslinie weit voneinander. 1. Antenne 5-gliedrig; 5. und 6. Glied verschmolzen; Borsten zum Teil klauenartig. Mandibel mit kräftigem Kaufortsatz; Taster 3-gliedrig durch Verschmelzung des 2. und 3. Gliedes; die dorsale Borstengruppe des vorletzten Gliedes entspringt terminal. 1. Kaufortsatz der Maxille sehr klein, der 2. und 3. schlank, mit je 2 langen, schlanken Borsten; der Taster dem 2. und 3. Kaufortsatze ähnlich, mit Borstengruppe am vorderen Rande; Atemplatte ohne mundwärts gerichteten oder aberranten Strahl. 1.—3. Thoraxbein lang, schlank.

2 Arten.

1. **E. declivis** (Norm.) 1865 *Cythere d.*, A. M. Norman in: Tr. nat. Hist. Soc. Northumb., *v.* 1 p. 16 t. 5 f. 9—12 | 1866 *Cytheropsis tenuitesta*, G. O. Sars in: Forh. Selsk. Christian., 1865 p. 59 | 1867 *C. declivis*, A. M. Norman in: Rep. Brit. Ass., Meet. 36 p. 198 (descr. nulla) | 1868 *Eucythere d.*, G. S. Brady in: Tr. Linn. Soc. London, *v.* 26 p. 430 t. 27 f. 22—26, 52—55 | 1868 *E. anglica* + *? E. argus*, G. S. Brady in: Tr. Linn. Soc. London, *v.* 26 p. 475 t. 25 f. 49, 50; p. 431 t. 27 f. 49—51 | 1869 *E. declivis var. prava*, G. S. Brady & D. Robertson in: Ann. nat. Hist., ser. 4 *v.* 3 p. 370 t. 21 f. 12—14 | 1894 *E. d.*, G. W. Müller in: F. Fl. Neapel, *v.* 21 p. 363 t. 27 f. 36—47; t. 29 f. 5, 13—? | 1901 *E. d.*, Egger in: Abh. Bayer. Ak., *v.* 21 p. 449 t. 4 f. 65—67 | ? 1901 *E. anglica* (Larve?), Egger in: Abh. Bayer. Ak., *v.* 21 p. 448 t. 7 f. 3—5.

Schale: Höhe etwa $^2/_3$ der Länge, die größte Höhe liegt vor der Mitte; der Dorsalrand bildet einen am höchsten Punkt winklig vortretenden oder

abgeflachten Bogen, der nach hinten stark und fast geradlinig abfällt; Vorderende sehr breit gerundet; Hinterende zugespitzt, die stark abgestutzte und abgerundete Spitze liegt unter $^1/_2$ der Höhe; Ventralrand gerade, nicht zur hinteren Spitze aufsteigend. Schale ziemlich durchsichtig, besonders in der hinteren Hälfte ziemlich dicht mit mäßig scharf begrenzten Gruben bedeckt, dazwischen sehr auffällige Porenkanäle. Vom Rücken gesehen Breite etwa $^1/_2$ der Länge, länglich eiförmig. An der 1. Antenne ist das 2. (verschmolzene 2. und 3.) Glied kürzer als die 3 terminalen zusammen. Der 1. Kaufortsatz der Maxille bildet eine kleine Warze mit 2 Borsten. — L. 0·43—0·75 mm.

Küsten von Europa; Franz Joseph-Land; 18° s. Br., 116° ö. L., 357 m Tiefe?

2. **E. argus** (O. Sars) 1866 *Cytheropsis a.*, G. O. Sars in: Forh. Selsk. Christian., 1865 p. 58 | (non 1868 *Eucythere a.*, G. S. Brady in: Tr. Linn. Soc. London, *v.* 26 p. 431 t. 27 f. 49—51) | 1891 *E. a.*, G. O. Sars in: Forh. Selsk. Christian., 1890 nr. 1 p. 73 (Synonymie) | 1906 *E. declivis var. a.*, A. M. Norman & T. Scott, Crustacea of Devon and Cornwall, p. 120 (Synonymie).

Höhe der Schale annähernd $^1/_2$ der Länge, am höchsten in der Mitte; der Dorsalrand bildet einen undeutlichen Winkel, dessen vorderer Schenkel fast horizontal, dessen hinterer stark abfällt; übrigens die Umrisse ähnlich wie bei E. declivis. Das 2. (verschmolzene 2. und 3.) Glied der 1. Antenne so lang wie die 3 terminalen. An Stelle des 1. Kaufortsatzes der Maxille ein einfacher Stachel. — L. ♀ 0·61 mm.

Küste von Norwegen; England?

28. Gen. **Krithe** G. Brady, Crosskey & D. Robertson

1866 *Ilyobates* (non *I.* Kraatz 1858), G. O. Sars in: Forh. Selsk. Christian., 1865 p. 59 | 1868 *I.*, G. S. Brady in: Tr. Linn. Soc. London, *v.* 26 p. 431 | 1874 *Krithe*, G. S. Brady, Crosskey & D. Robertson in: Pal. Soc. Mon., p. 183 | 1894 *K.*, G. W. Müller in: F. Fl. Neapel, *v.* 21 p. 357.

Schale verschieden gestaltet, glatt, nicht skulpturiert; Schloßrand ungezähnelt oder mit flachen Zähnen; Saum breit, zerschlitzt. 1. Antenne sehr gedrungen, 5-gliedrig (5. und 6. Glied verschmolzen); alle Glieder sehr gedrungen, nicht länger als breit, besonders das 1. und 2. kurz und dick; fast sämtliche Borsten sind dick, klauenartig. 2. Antenne ebenfalls sehr gedrungen; 2. und 3. Glied des Endopodit verschmolzen. Mandibel mit schlankem, schwachem Kaufortsatz, der wenige lange, spitze Zähne trägt; Taster lang und schlank, undeutlich gegliedert, das vorletzte Glied von der Mitte an verschmälert. Maxille von typischem Bau; Atemplatte ohne mundwärts gerichteten oder aberranten Strahl. 1. und 2. Thoraxbein mit 2-gliedrigem Endopodit; 3. Thoraxbein mit 3- oder 2-gliedrigem Endopodit; 3., oder 2. und 3. rechtes Thoraxbein beim ♂ als Greiforgan entwickelt. Furca beim ♀ schwer nachweisbar, mit 2 kleinen Borsten.

6 sichere, 1 unsichere Art.

1. **K. reniformis** (G. Brady) ?1868 *Paradoxostoma(?) r.*, G. S. Brady in: Ann. nat. Hist., ser. 4 *v.* 2 p. 224 t. 15 f. 1, 2 | ?1889 *Krithe r.*, G. S. Brady & A. M. Norman in: Tr. R. Dublin Soc., ser. 2 *v.* 4 p. 182 t. 21 f. 23, 24 | 1894 *K. r.*, G. W. Müller in: F. Fl. Neapel, *v.* 21 p. 358 t. 28 f. 24; t. 30 f. 1, 3—16, 22, 23.

Schale gestreckt; Höhe der linken Schale etwa $^{10}/_{23}$ der Länge, am höchsten hinter der Mitte; Dorsalrand flach gewölbt oder gerade, wenig nach vorn abfallend; beide Enden breit gerundet, das vordere breiter als das hintere; Ventralrand flach gebuchtet; der Innenrand fällt in der Augengegend

in deutlich S-förmig geschwungener Linie annähernd senkrecht ab. Vom Rücken gesehen Breite etwa $^2/_5$ der Länge, am breitesten hinter der Mitte; die Seiten bilden Bogen, welche ohne Unterbrechung bis zu beiden Enden verlaufen; das hintere Körperende schmal gerundet, das vordere zugespitzt, klaffend. Schale durchsichtig, mit zahlreichen auffälligen Porenkanälen. — L. 0·49—0·52 mm.

Mittelmeer; Golf von Biscaya.

2. **K. similis** G. W. Müll. 1894 *K. s.*, G. W. Müller in: F. Fl. Neapel, *v.* 21 ip. 359 t. 30 f. 2, 17—21.

Schale der von K. reniformis sehr ähnlich; aber der in der Augengegend steil absteigende Ast des Innenrandes bildet einen nach hinten offenen flachen Bogen. — L. 0·47—0·5 mm.

Golf von Neapel.

3. **K. bartonensis** (Jones) ?1856 *Cytherideis b.*, Jones in: Pal. Soc. Mon., 1856 p. 50 t. 5 f. 2, 3 | 1866 *Ilyobates praetexta*, G. O. Sars in: Forh. Selsk. Christian., 1865 p. 60 | 1868 *I. bartonensis*, G. S. Brady in: Tr. Linn. Soc. London, *v.* 26 p. 432 t. 34 f. 11—14; t. 40 f. 5 | 1880 *Krithe b.*, G. S. Brady in: Rep. Voy. Challenger, Zool. *v.* 1 Part 3 p. 113 t. 27 f. 2a—d | ?1901 *K. b.*, Egger in: Abh. Bayer. Ak., *v.* 21 p. 450 t. 4 f. 13, 14.

Schale des ♀: Höhe etwa $^1/_2$ der Länge, am höchsten wenig hinter der Mitte; Dorsalrand schwach gewölbt; Vorderende annähernd halbkreisförmig gerundet; Hinterrand in der ventralen Hälfte gerade, fast senkrecht abfallend, geht in den Dorsalrand mit starker Rundung über und bildet mit dem fast geraden Ventralrande annähernd einen rechten Winkel mit wenig abgerundeter Spitze. Vom Rücken gesehen Breite annähernd $^1/_2$ der Länge, am breitesten hinter der Mitte; die Seiten bilden Bogen, welche bis zum Vorderende und annähernd bis zum Hinterende gleichmäßig verlaufen; Vorderende zugespitzt, die Spitze etwas abgestumpft; Hinterende abgestutzt, in der Mitte deutlich ausgeschnitten. Schale des ♂ schmaler und gestreckter, mit annähernd parallelem Dorsal- und Ventralrande. — L. 0·75—0·82 mm.

Küsten von Europa; Kerguelen; Kiinseln; Fidschiinseln, 3200 m Tiefe?; 18° s. Br., 116° ö. L., 357 m Tiefe?

4. **K. glacialis** G. Brady, Crosskey & D. Roberts. 1874 *K. g.*, G. S. Brady, Crosskey & D. Robertson in: Pal. Soc. Mon., 1874 p. 184 t. 6 f. 21—26 | 1889 *K. g.*, G. S. Brady & A. M. Norman in: Tr. R. Dublin Soc., ser. 2 *v.* 4 p. 182.

Schale der von K. bartonensis ähnlich; Höhe deutlich größer als $^1/_2$ der Länge; der gerade Hinterrand fällt schräg ab und bildet mit dem deutlich konvexen Ventralrande einen spitzen, mit dem Dorsalrande einen stumpfen Winkel, beide mit abgerundeter Spitze. Ansicht vom Rücken der von K. bartonensis ähnlich; Breite größer als $^1/_2$ der Länge, am breitesten in der Mitte; Hinterende zu beiden Seiten der Mitte flach ausgeschnitten. — L. ♀ 0·75, ♂ 0·95 mm.

Atlantischer Ozean.

49° n. Br., 12° w. L., 1068 m Tiefe.

5. **K. tumida** G. Brady 1880 *K. t.*, G. S. Brady in: Rep. Voy. Challenger, Zool. *v.* 1 Part 3 p. 115 t. 27 f. 4a—d | ?1901 *K. t.*, Egger in: Abh. Bayer. Ak., *v.* 21 p. 451 t. 4 f. 19—21.

Schale ähnlich der von K. glacialis, aber etwas höher und von dieser und K. bartonensis unterschieden durch den stark gewölbten Dorsalrand und

den stumpfwinklig gebogenen Ventralrand; hintere, dorsale Ecke ganz unterdrückt. Vom Rücken gesehen hinten in der Mitte eingeschnitten, sonst K. glacialis ähnlich. — L. 0·51 mm.

35° s. Br., 50° w. L., 3473 m Tiefe; 18° s. Br., 116° ö. L., 357 m Tiefe?; Funafuti.

6. **K. hyalina** G. Brady 1880 *K. h.*, G. S. Brady in: Rep. Voy. Challenger, Zool. *v.* 1 Part 3 p. 115 t. 27 f. 3a—d.

Schale: Höhe etwa $^4/_7$ der Länge, am höchsten etwas vor der Mitte; Dorsalrand gewölbt, verläuft ohne Andeutung einer Ecke bis zu der hinteren stark abgerundeten Spitze; diese liegt unter halber Höhe; Vorderende gerundet; Ventralrand gerade, nur sehr unbedeutend zur hinteren Spitze aufsteigend. Vom Rücken gesehen Breite kleiner als $^1/_2$ der Länge, im übrigen ähnlich wie K. bartonensis (nr. 3). — L. 0·49 mm.

Japan, im Süßwasser; Arabisches Meer.

K. producta G. Brady 1880 *K. p.*, G. S. Brady in: Rep. Voy. Challenger, Zool. *v.* 1 Part 3 p. 114 t. 27 f. 1a—j | ?1889 *K. p.*, G. S. Brady & A. M. Norman in: Tr. R. Dublin Soc., ser. 2 *v.* 4 p. 180 t. 17 f. 5—7 | ?1901 *K. p.* (Larve?), Egger in: Abh. Bayer. Ak., *v.* 21 p. 451 t. 4 f. 17, 18.

Verschiedene Arten? Angeblich weit verbreitet in den verschiedenen Meeren, zwischen 38° n. und 52° s. Br., in Tiefen bis zu 3340 m.

29. Gen. **Cythereis** Jones

1849 *Cythereis* (part.), Jones in: Pal. Soc. Mon., 1849 p. 14 | 1850 *C.*, W. Baird, Brit. Entom., p. 174 | 1850 *Cythere* (part.), W. Baird, Brit. Entom., p. 163 | 1866 *Cythereis*, G. O. Sars in: Forh. Selsk. Christian., 1865 p. 35 | 1868 *Cythere* (part.), G. S. Brady in: Tr. Linn. Soc. London, *v.* 26 p. 394 | 1880 *C.* (part.), G. S. Brady in: Rep. Voy. Challenger, Zool. *v.* 1 Part 3 p. 62 | 1889 *C.* (part.), G. S. Brady & A. M. Norman in: Tr. R. Dublin Soc., ser. 2 *v.* 4 p. 125 | 1894 *Cythereis*, G. W. Müller in: F. Fl. Neapel, *v.* 21 p. 364 | 1898 *Cythere* + *Trachyleberis*, G. S. Brady in: Tr. zool. Soc. London, *v.* 14 p. 444 | 1905 *Cytheridella*, Daday in: Zool, *v.* (Heft) 44 p. 261.

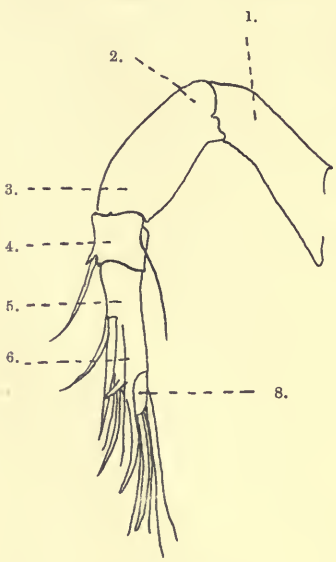

Fig. 89.
Cythereis convexa
1. Antenne, 1.—8. Glied ($^{180}/_1$).

Schale derb, stark verkalkt, von wechselnder Gestalt, meist reich skulpturiert; der Innenrand verläuft dem Schalenrande annähernd parallel; die Verwachsungslinie fällt meist in ganzer Länge mit dem Innenrande zu sammen; rand-

Fig. 90.
Cythereis convexa. Mandibel ($^{180}/_1$).

ständige Porenkanäle fast ausnahmslos unverzweigt; das Schloß besteht aus 2 starken Zähnen der rechten und einem der linken Schale, der hinter

dem vorderen rechten steht; Rand zwischen den Zähnen glatt oder gezähnelt. 1. Antenne (Fig. 89) meist 6-, seltener 5-gliedrig; Borsten zum Teil klauenartig. 2. Antenne 4-gliedrig; Spinnborste häufig stark verkürzt, bisweilen kürzer als die Hälfte des Endopodit (die Verkürzung kann sich auf das ♀ beschränken), einfach geknickt oder ungegliedert. Mandibel (Fig. 90) mit starkem Kaufortsatz und umfangreichem Taster, dessen drei erste Glieder vollständig verschmelzen können; 3. Glied kürzer als das 1. und 2., dorsal mit terminaler Borstengruppe, die meist auf besonderem, den Ursprung des letzten Gliedes überragendem Fortsatz entspringt; das letzte Glied schlank, wenigstens doppelt so lang wie breit. 1.—3. Thoraxbein schlank, Stamm mit Borste am Hinterrande, Endopodit 3-gliedrig; bisweilen 1 oder 2 der 3 Beine bei beiden Geschlechtern verschieden, dann auch beim ♂ unsymmetrisch.

101 sichere, 56 unsichere Arten.

Bei den meisten Arten erreicht die Schale ihre größte Höhe im vorderen Drittel, in der Augengegend; der höchste Punkt wird markiert durch eine Ecke, Augenecke, von der aus der Dorsalrand meist geradlinig nach hinten abfällt. Vorderrand stets breit gerundet, Hinterrand häufig in der dorsalen Hälfte ausgeschnitten, wodurch sich in der ventralen Hälfte ein mehr oder weniger deutlicher Fortsatz, der hintere Fortsatz, abgrenzt. In der Skulptur der Oberfläche unterscheiden wir eine Dorsalrandrippe, Vorderrandrippe, Hinterrandrippe, die den Rändern parallel und in ihrer nächsten Nachbarschaft verlaufen, und eine Ventralrippe, die an der Grenze von Seite und Ventralfläche, also in größerer Entfernung vom Ventralrande verläuft; an ihrem Hinterende biegt sie häufig dorsalwärts um und bildet dann die aufsteigende Rippe; die Mittelrippe endlich verläuft annähernd horizontal in der Gegend der Schließmuskelansätze, meist dicht über ihnen; von einer Mittelrippe sprechen wir nur dann, wenn sie sich deutlich über die Umgebung erhebt, nicht, wenn wir es mit zahlreichen, ähnlich gestalteten, parallelen Leisten oder Rippen zu tun haben. Häufig verdecken die Randrippen und die Ventralrippe den eigentlichen Rand; die Zähne der Ränder gehören meist nicht dem eigentlichen Rande, vielmehr einer parallelen Rippe an, doch gestattet die Darstellung meist nicht auf diese Unterschiede einzugehen, so daß unter Vorderrand usw. einfach die im Profil dort sichtbare Linie gemeint ist.

Übersicht der sicheren Arten:

1	Schale ohne Mittelrippe (Sp. 1—68) — **2.**	
	Schale mit Mittelrippe (Sp. 69—101) — **4.**	
2	Glatt oder mit Gruben, aber ohne Spitzen oder warzenartige Fortsätze auf der Fläche, abgesehen von sehr kleinen, über die ganze Schale gleichmäßig verbreiteten Wärzchen, welche die ganze Schale rauh erscheinen lassen, sowie von solchen nahe der hinteren, ventralen Ecke; es finden sich häufig Spitzen oder anders gestaltete Fortsätze am Vorder- und Hinterrande, niemals am Dorsalrande	Sp. 1—45
	Oberfläche mit Spitzen, Warzen oder anders gestalteten Fortsätzen, bisweilen auf den Dorsalrand beschränkt (Sp. 46—68) — **3.**	
3	Schale ohne deutliche Ventralrippe	Sp. 46—56
	Schale mit deutlicher Ventralrippe	Sp. 57—68
4	Oberfläche ohne Spitzen oder warzenartige Fortsätze, abgesehen vom Vorder- und Hinterrande, Dorsalrand niemals gezähnt (Sp. 69—85) — **5.**	
	Oberfläche mit Spitzen oder andersgestalteten Fortsätzen, bisweilen auf den Dorsalrand beschränkt, der dann zackig oder wellig erscheint; die Zähne oder Spitzen können an Stelle der Mittelrippe stehen, die Mittelrippe in einzelne Fortsätze aufgelöst sein	Sp. 86—101
5	Vorderrand ungezähnt	Sp. 69—78
	Vorderrand gezähnt	Sp. 79—85

1. **C. teres** (G. Brady) ?1869 *Cythere t.*, G. S. Brady in: Folin & Périer, Fonds Mer, *v.* 1 p. 147 t. 14 f. 17, 18 | 1889 *C. t.*, G. S. Brady & A. M. Norman in: Tr. R. Dublin Soc., ser. 2 *v.* 4 p. 133 t. 14 f. 36, 37 | 1894 *Cythereis t.*, G. W. Müller in: F. Fl. Neapel, *v.* 21 p. 379 t. 29 f. **6, 15**; t. 31 f. 35—39.

Höhe der Schale etwa $^1/_2$ der Länge; keine deutliche Augenecke; Dorsalrand annähernd gerade, dem Ventralrande annähernd parallel, in deutlicher, wenig gerundeter Ecke gegen den Hinterrand abgegrenzt; dieser bildet einen meist flachen, nach vorn abfallenden Bogen, der sich in undeutlicher stumpfwinkliger Ecke gegen den Ventralrand abgrenzt; Ventralrand gerade, Rand überall ungezähnelt, Oberfläche glatt. Vom Rücken gesehen Breite etwa $^1/_2$ der Länge, am breitesten hinter der Mitte; die Seiten bilden flache, nach vorn konvergierende Bogen. — L. 0·46—0·48 mm.

Küste von England; Golf von Biscaya; Mittelmeer.

2. **C. ilosvayi** (Daday) 1905 *Cytheridella i.*, Daday in: Zool., *v.* (Heft) 44 p. 262 t. 17 f. 15—28; t. 18 f. 1—11.

Linke Schale des ♀: Höhe etwa $^1/_2$ der Länge, Dorsalrand annähernd gerade und horizontal, er grenzt sich auf etwa $^3/_8$ der Länge in abgerundeter Ecke gegen den Vorderrand, auf $^3/_4$ ebenso gegen den Hinterrand ab, Vorderende schmal, Hinterende sehr breit gerundet. Rechte Schale am breitesten nahe dem Hinterende, Dorsalrand gerade, deutlich nach vorn abfallend, Hinterende breit, Vorderende etwas schmaler gerundet. Oberfläche mit kleinen oder größeren Höckern bedeckt, welche die Schale rauh erscheinen lassen. Vom Rücken gesehen Breite annähernd $^3/_4$ der Länge, am breitesten etwa auf $^2/_3$ der Länge, Hinterende sehr breit gerundet, in der Mitte eingeschnitten, nach vorn konvergieren die Schalen in wellig gebogener Linie zum zugespitzten, wenig abgerundeten Vorderende. Schale des ♂ viel schmaler, Hinterende schmal gerundet. — L. ♀ 1·3—1·6, ♂ 1·2—1·5 mm.

Paraguay, im Süßwasser.

3. **C. convexa** (W. Baird) 1850 *Cythere c.*, W. Baird, Brit. Entom., p. 174 t. 21 f. 3 | ?1870 *C. c. var. meridionalis*, G. S. Brady in: Folin & Périer, Fonds Mer, *v.* 1 p. 234 t. 30 f. 11—13 | 1894 *Cythereis c.*, G. W. Müller in: F. Fl. Neapel, *v.* 21 p. 366 t. 28 f. **14, 19**; t. 30 f. 49—51; t. 35 f. 6, 13, 19—21.

Höhe der rechten Schale etwa $^2/_3$ der Länge, am höchsten etwa in der Mitte; Augenecke nicht angedeutet; Dorsalrand stark gewölbt, gegen den Hinterrand mehr oder weniger deutlich in einer Ecke abgegrenzt, die etwa auf $^2/_3$ der Höhe liegt; ventral von dieser Ecke ist der Hinterrand schwach konkav und bildet in seiner ventralen Hälfte einen undeutlich abgegrenzten, stark gezähnelten hinteren Fortsatz; Vorderrand ungezähnelt; Ventralrand deutlich S-förmig gestaltet, auf etwa $^1/_4$ der Länge deutlich eingebuchtet, in der hinteren Hälfte deutlich aufsteigend; Oberfläche mit runden, scharf konturierten Gruben in wechselnder Zahl und von wechselndem Umfange. Vom Rücken gesehen Breite kleiner als $^1/_2$ der Länge, am breitesten etwa in der Mitte; die Seiten bilden flache Bogen, welche ziemlich gleichmäßig bis zum hinteren und vorderen Körperende verlaufen; beide Enden etwas abgestutzt, das hintere von 2 Spitzen überragt. — L. 0·77—0·85 mm. — Fig. 89, 90 p. 336.

Küste von Europa; Magalhaens-Straße?

4. **C. speyeri** (G. Brady) 1868 *Cythere s.*, G. S. Brady in: Ann. nat. Hist., ser. 4 *v.* 2 p. 222 t. 15 f. 8—11 | ?1880 *C. s.*, G. S. Brady in: Rep. Voy. Challenger, Zool. *v.* 1 Part 3 p. 79 t. 20 f. 2a—f | 1889 *C. s.*, G. S. Brady & A. M. Norman in: Tr. R. Dublin

Soc., ser. 2 *v.* 4 p. 141 t. 17 f. 16, 17 | 1894 *Cythereis s.*, G. W. Müller in: F. Fl. Neapel, *v.* 21 p. 367 t. 32 f. **24**, **25**, 28, 30 | (non 1901 *Cythere s.*, Egger in: Abh. Bayer. Ak., *v.* 21 p. 438 t. 7 f. 41—43, 55, 56) | ?1906 *Cythereis albomaculata*, Cushman in: P. Boston Soc., *v.* 32 p. 378 t. 35 f. 83.

Schale der von C. convexa ähnlich, etwas gestreckter; Vorderrand gezähnelt; vom Rücken gesehen Breite größer als $^1/_2$ der Länge ($^5/_8$), etwa eiförmig. — L. 0·92 mm.

Island; südliches Norwegen; Biskaya; Mittelmeer; Karibisches Meer (Colon-Aspinwall); Capverden (St. Vincent); Ascension.

5. **C. kerguelensis** (G. Brady) 1880 *Cythere k.*, G. S. Brady in: Rep. Voy. Challenger, Zool. *v.* 1 Part 3 p. 78 t. 4 f. 16—18; t. 20 f. 1 a—f | ?1908 *Cythereis k.*, G. W. Müller in: D. Südp.-Exp., *v.* 10 p. 138 t. 18 f. 7.

Schale der von C. convexa ähnlich, auch in der Ansicht vom Rücken; von dieser und C. speyeri unterschieden durch die Skulptur, die kleinen, runden Gruben beschränken sich beim ♂ auf die hintere Schalenhälfte, beim ♀ auf die dorsale Hälfte der hinteren Schalenhälfte. Zähnelung am Vorder- und Hinterrande vorhanden oder fehlend. — L. 1 mm.

Kerguelen; Prince Edwards-Insel; Australien (Baßstraße, Port Jackson).

6. **C. sicula** (G. Brady) 1902 *Cythere s.*, G. S. Brady in: Tr. zool. Soc. London, *v.* 16 p. 198 t. 25 f. 1—7 | 1904 *Cythereis s.*, Daday in: Zool. Jahrb. Syst., *v.* 19 p. 525 t. 30 f. 123—143.

Schale des ♂ im Umriß der von C. convexa ähnlich, gestreckter, Höhe größer als $^1/_2$ der Länge, mit deutlicher, gerundeter Ecke in der Gegend des Auges, von der aus der Dorsalrand fast geradlinig nach hinten abfällt, und mit stumpfwinklig abgerundeter Ecke an der Grenze von Dorsal- und Hinterrand. Vorder- und Hinterrand nicht gezähnelt. Oberfläche mit polygonaler Felderung, in den Feldern kleine, rundliche Gruben. Schale des ♀ der des ♂ ähnlich, höher, der Fortsatz am Hinterende deutlicher. — L. 0·88 mm.

Syrakus im Süßwasser.

7. **C. scaphoides** (G. Brady) 1870 *Cythere s.*, G. S. Brady in: Folin & Périer, Fonds Mer, *v.* 1 p. 246 t. 32 f. 10—13.

Schale im Profil der von C. convexa ähnlich; Dorsalrand stark gewölbt, Vorder- und Hinterrand gezähnelt; die Gruben der Oberfläche zu unregelmäßigen, aber deutlichen Längsrippen verschmolzen; Ventralrippe vorhanden. — L. 0·6 mm.

Westküste von Afrika (Cap von Sainte Anne), 21° n. Br.

8. **C. emarginata** O. Sars 1865 *Cythere e.*, G. O. Sars in: M. Sars, Foss. Dyrelev. Qvart., p. 117 (descr. nulla) | 1866 *Cythereis e.*, G. O. Sars in: Forh. Selsk. Christian., 1865 p. 38 | 1868 *Cythere e.*, G. S. Brady in: Tr. Linn. Soc. London, *v.* 26 p. 475 | ?1888 *C. e.*, Dahl in: Zool. Jahrb. Syst., *v.* 3 p. 609 t. 16 f. 13—26, 30 | 1889 *C. e.*, G. S. Brady & A. M. Norman in: Tr. R. Dublin Soc., ser. 2 *v.* 4 p. 163 t. 16 f. 1, 2 | 1906 *Cythereis e.*, Cushman in: P. Boston Soc., *v.* 32 p. 376 t. 35 f. 79—82.

Schalenumriß ähnlich wie bei C. convexa (nr. 3), gestreckter, Höhe wenig größer als $^1/_2$ der Länge; Hinterrand über dem hinteren Fortsatz deutlich konvex; der Fortsatz deutlich abgegrenzt, wie der Vorderrand ungezähnelt; Oberfläche mit runden Gruben, auf etwa $^4/_5$ der Länge mit senkrecht aufsteigender Leiste oder Kante. — L. 0·82 mm.

Küste von Nordeuropa; Arktische Meere; Atlantische Küste von Nordamerika.

9. **C. villosa** (O. Sars) ?1865 *Cythere v.*, G. O. Sars in: M. Sars, Foss. Dyrelev. Qvart., p. 117 (descr. nulla) | 1866 *Cythereis v.*, G. O. Sars in: Forh. Selsk. Christian., 1865 p. 42 | 1868 *Cythere v.*, G. S. Brady in: Tr. Linn. Soc. London, *v.* 26 p. 411 t. 29 f. 28—32.

Schale des ♀: Höhe deutlich größer als $^1/_2$ der Länge, am höchsten in der Mitte; keine Augenecke; Dorsalrand schwach gewölbt, gegen den Hinterrand durch eine deutliche Ecke abgegrenzt; Hinterrand fast senkrecht abfallend, in der dorsalen Hälfte schwach konkav, in der ventralen konvex; Vorder- und Hinterrand ungezähnelt; Ventralrand deutlich eingebuchtet; Oberfläche mit deutlichen Gruben, welche bis zum Rande reichen. Vom Rücken gesehen schmal; Breite kleiner als die Höhe; beide Enden zugespitzt. — L. 0·70 mm.

Nordatlantischer Ozean.

10. **C. amnicola** (O. Sars) 1887 *Cythere a.*, G. O. Sars in: Arch. Naturv. Kristian., *v.* 12 p. 306 t. 15 f. 8—10; t. 20.

Schale des ♀: Höhe $^3/_5$ der Länge, am höchsten auf $^1/_3$ der Länge; Augenecke deutlich; Dorsalrand annähernd gerade, wenig abfallend, bildet mit dem Hinterrande eine stark abgerundete Ecke; Hinterrand in der dorsalen Hälfte deutlich konkav, steil abfallend, in der ventralen Hälfte konvex; Ventralrand deutlich S-förmig, im hinteren Drittel aufsteigend. Schale des ♂ gestreckter. Oberfläche mit kleinen Gruben und Falten. Vom Rücken gesehen ähnlich wie C. convexa (nr. 3), beide Enden nicht abgestutzt. — L. ♀ 0·84, ♂ 1 mm.

Küste von Sizilien (Syrakus).

11. **C. bouvieri** Daday 1908 *C. b.*, Daday in: Exp. antarct. franç., Ostracodes p. 1 f. 1—10.

Schale der von C. amnicola sehr ähnlich, die Ecke zwischen Dorsal- und Hinterrand deutlicher. Oberfläche fein granuliert. — L. ♀ 1, ♂ 1·3 mm.

Antarktis, Insel Booth-Wandel (65° s. Br., 61° w. L.).

12. **C. albo-maculata** (W. Baird) ?1838 *Cythere a.*, W. Baird in: Mag. Zool. Bot., *v.* 2 p. 142 t. 5 f. 23 | ?1850 *C. a.*, W. Baird, Brit. Entom., p. 169 t. 20 f. 7 | 1868 *C. a.*, G. S. Brady in: Tr. Linn. Soc. London, *v.* 26 p. 402 t. 28 f. 33—39; t. 39 f. 3 | ?1906 *Cythereis a.*, Cushman in: P. Boston Soc., *v.* 32 p. 378 t. 35 f. 83.

Schale der von C. amnicola sehr ähnlich; Augenecke unterdrückt; Hinterrand und Dorsalrand nicht gegeneinander abgegrenzt; Hinterrand nicht konkav. Oberfläche glatt. — L. 0·93 mm.

Küste von Europa; Capverdische Inseln; Atlantische Küste von Nordamerika?

13. **C. brunnea** (G. Brady) 1898 *Cythere b.*, G. S. Brady in: Tr. zool. Soc. London, *v.* 14 p. 442 t. 47 f. 8—15.

Schale ähnlich wie bei C. amnicola (nr. 10); Ecke des Dorsalrandes stärker abgerundet; Hinterende einfach abgestutzt, Hinterrand fast senkrecht abfallend. Oberfläche mit deutlichen, eckigen Gruben, die auf einem breiten Streifen des Vorderrandes fehlen. Vom Rücken gesehen schmal, Breite $^3/_7$ der Länge; Vorderende zugespitzt, Hinterende abgerundet. — L. ♂ 0·66 mm; ♀ unbekannt.

Neuseeland (Lyttelton).

14. **C. rubida** (G. Brady) 1867 *Cythere r.*, G. S. Brady in: Intell. Observ., *v.* 12 p. 120 | 1869 *C. drammensis*, G. O. Sars in: Nyt Mag. Naturv., *v.* 16 p. 56 | 1889 *C. rubida*, G. S. Brady & A. M. Norman in: Tr. R. Dublin Soc., ser. 2 *v.* 4 p. 137 t. 15 f. 22, 23.

Schale ähnlich wie bei C. amnicola ♀ (nr. 10); hinterer Fortsatz kaum angedeutet, Hinterrand fast senkrecht abfallend. Oberfläche bis auf einen breiten Streifen am vorderen und hinteren Rande mit rundlichen, scharf konturierten Gruben bedeckt. Vom Rücken Breite $^1/_2$ der Länge, sonst wie C. amnicola. — L. 0·75 mm.

Küste von England und Norwegen.

15. **C. marginata** (Norm.) ?1862 *Cythere m.*, A. M. Norman in: Ann. nat. Hist., ser. 3 *v.* 9 p. 47 t. 3 f. 10—12 | 1867 *C. laticarina*, G. S. Brady in: Intell. Observ., *v.* 12 p. 120 | ?1868 *C. marginata*, G. S. Brady in: Tr. Linn. Soc. London, *v.* 26 p. 413 t. 31 f. 5—8 | 1868 *C. laticarina*, G. S. Brady in: Tr. Linn. Soc. London, *v.* 26 p. 412 t. 31 f. 1—4 | 1894 *Cythereis l.*, G. W. Müller in: F. Fl. Neapel, *v.* 21 p. 369 t. 8 f. **12, 17**; t. 31 f. 21, 22.

Höhe der Schale annähernd $^2/_3$ der Länge; Augenecke stark abgerundet; Dorsalrand deutlich abfallend, gerade, gegen den Hinterrand in deutlicher, gerundeter Ecke abgegrenzt; Hinterrand steil, fast senkrecht abfallend, die untere, den Fortsatz repräsentierende Hälfte gezähnelt; im übrigen ist der Fortsatz nur undeutlich abgegrenzt; ventrale Hälfte des Vorderrandes gezähnelt; Ventralrand in der vorderen Hälfte gerade, im hinteren Drittel deutlich aufsteigend, bildet etwa auf $^1/_6$ der Höhe eine deutliche Ecke mit dem Hinterrande. Oberfläche mit tiefen, scharf konturierten, kreisförmigen oder länglichen Gruben; ein breiter Randstreifen vorn und hinten nicht skulpturiert. Vom Rücken gesehen Breite etwa $^1/_2$ der Länge, am breitesten hinter der Mitte; die Seiten bilden Bogen, welche annähernd bis zu beiden Enden verlaufen und nahe dem Vorderende deutlich eingedrückt sind; Vorderende etwas abgestutzt; an beiden Enden finden sich in größerem oder geringerem Umfange Zähne oder Spitzen. — L. 0·72—0·77 mm.

Küste von Europa; Franz Joseph-Land.

16. **C. favoides** (G. Brady) 1868 *Cythere f.*, G. S. Brady in: Ann. nat. Hist., ser. 4 *v.* 2 p. 222 t. 15 f. 5—7.

Schalenumriß ähnlich wie bei C. marginata; Ecke über dem Auge sehr deutlich; Ecke zwischen Hinter- und Dorsalrand, ebenso wie die zwischen Hinter- und Ventralrand unterdrückt; der Hinterrand bildet eine deutliche Spitze, die etwa auf $^1/_3$ der Höhe liegt; Oberfläche mit zarten Leisten, welche ein Netzwerk von 6-eckigen Feldern bilden. Vom Rücken gesehen ähnlich wie C. marginata, an den Enden nicht gezähnelt. — L. 1·06 mm.

Tenedos.

17. **C. jeffreysii** (G. Brady) 1867 *Cythere j.*, G. S. Brady in: Intell. Observ., *v.* 12 p. 120 | 1868 *C. j.*, G. S. Brady in: Tr. Linn. Soc. London, *v.* 26 p. 412 t. 29 f. 51—55.

Schale der von C. favoides sehr ähnlich; Hinterrand ohne deutliche Ecke. Oberfläche ebenfalls mit polygonaler Felderung, die trennenden Linien setzen sich aus Punktreihen zusammen. Vom Rücken gesehen die Seiten nahe den beiden Enden eingedrückt. — L. 0·6 mm.

Kanal-Inseln; Süd-Wales.

18. **C. septentrionalis** (G. Brady) 1866 *Cythere s.*, G. S. Brady in: Tr. zool. Soc. London, *v.* 5 p. 375 t. 60 f. 4 | 1889 *C. s.*, G. S. Brady & A. M. Norman in: Tr. R. Dublin Soc., ser. 2 *v.* 4 p. 149 t. 16 f. 13, 14.

Schale im Profil ähnlich wie C. marginata (nr. 15); die Ecke über dem Auge rundlich vorgewölbt; Hinterende gerundet, dorsal und ventral nicht abgegrenzt; Oberfläche mit rundlichen, scharf konturierten Gruben, welche nahe dem

Vorder- und Hinterrande, wie auch an der Ventralfläche zu konzentrischen Furchen verfließen. Vom Rücken gesehen Breite etwa $^2/_3$ der Länge, breit eiförmig; beide Enden breit gerundet. — L. 1·4 mm.

Baffins Bay; Franz Joseph-Land.

19. **C. goujoni** (G. Brady) 1868 *Cythere g.*, G. S. Brady in: Folin & Périer, Fonds Mer, *v.* 1 p. 78 t. 10 f. 9, 10 | 1880 *C. g.*, G. S. Brady in: Rep. Voy. Challenger, Zool. *v.* 1 Part 3 p. 96 t. 25 f. 7 | (non 1901 *C. g.*, Egger in: Abh. Bayer. Ak., *v.* 21 p. 431 t. 6 f. 29).

Schale im Profil ähnlich wie bei C. marginata (nr. 15); aber Vorderrand mit wenigen aber deutlichen Zähnen; Gruben der Oberfläche eckig, in der vorderen Hälfte bis in die Gegend der Schließmuskelansätze fast vollständig ausgewischt. Vom Rücken gesehen das Vorderende deutlich breit abgestutzt; auf etwa $^3/_4$ der Länge findet sich ein starker Dorn. — L. 0·66 mm.

Küste von Australien; Neucaledonia; Chinesisches Meer; Ceylon.

20. **C. adunca** (G. Brady) 1868 *Cythere cerebralis* (non *C. c.* Bosquet 1854), G. S. Brady in: Folin & Périer, Fonds Mer, *v.* 1 p. 63 t. 7 f. 12—14 | 1880 *C. adunca*, G. S. Brady in: Rep. Voy. Challenger, Zool. *v.* 1 Part 3 p. 97 t. 25 f. 6a—d.

C. goujoni sehr ähnlich; auch die vom Rücken sichtbare Spitze ist vorhanden; Vorder- und Hinterrand ungezähnelt; Oberfläche ohne deutliche Gruben, unregelmäßig wellig. — L. 0·6 mm.

Malayischer Archipel; Hongkong.

21. **C. viminea** (G. Brady) 1880 *Cythere v.*, G. S. Brady in: Rep. Voy. Challenger, Zool. *v.* 1 Part 3 p. 94 t. 18 f. 3a—c.

Schale der von C. goujoni ähnlich; Ecke zwischen Dorsal- und Hinterrand unterdrückt; vom Rücken gesehen nahe dem Vorder- und Hinterende winklig eingedrückt; an Stelle des Dornes von C. goujoni eine kleine aber scharfe Ecke. — L. 0·66 mm.

46° s. Br., 45° ö. L.

22. **C. papuensis** (G. Brady) 1880 *Cythere p.*, G. S. Brady in: Rep. Voy. Challenger, Zool. *v.* 1 Part 3 p. 95 t. 25 f. 5a—d | ?1901 *C. p.*, Egger in: Abh. Bayer. Ak., *v.* 21 p. 438 t. 8 f. 7—9.

Schale im Profil der von C. marginata (nr. 15) ähnlich; Hinterrand steil abfallend, mit 3 oder 4 langen, gerade nach hinten gerichteten Spitzen, welche dorsalwärts an Größe abnehmen; Oberfläche mit rundlichen oder polygonalen, durch schmale Leisten getrennten Gruben. Vom Rücken gesehen Breite größer als $^1/_2$ der Länge; länglich eiförmig; vorn und hinten neben der Mitte 1 oder 2 deutliche Spitzen sichtbar. — L. 0·66 mm.

Neuguinea (Humboldt-Bai); Ceylon; Tafelbai, 91 m Tiefe?

23. **C. hartwigi** (nom. nov.), G. W. Müll. 1889 *Cythere lepida* (non *C. l.* Bosquet 1854), G. S. Brady & A. M. Norman in: Tr. R. Dublin Soc., ser. 2 *v.* 4 p. 157 t. 15 f. 20, 21.

Schale im Profil ähnlich wie bei C. marginata (nr. 15), etwas gestreckter, Höhe etwa $^1/_2$ der Länge; Ventralrand schwach eingebuchtet; Hinterende gerundet, ohne Andeutung eines hinteren Fortsatzes; Oberfläche mit rundlichen oder polygonalen, scharf konturierten Gruben. Vom Rücken gesehen: Breite deutlich kleiner als $^1/_2$ der Länge, am breitesten auf $^2/_3$ der Länge; von hier aus ziemlich regelmäßig nach vorn verschmälert; Vorderende breit quer abgestutzt; nach hinten konvergieren die Seiten in starkem Bogen, der aber

nahe dem Hinterende deutlich winklig eingedrückt ist, so daß hinten ein ziemlich unregelmäßiger mittlerer Fortsatz entsteht. — L. 0·9 mm.

Nördlicher Atlantischer Ozean.

24. **C. arenicola** Cushman 1906 *C. a.*, Cushman in: P. Boston Soc., *v.* 32 p. 379 t. 36 f. 97—107.

Schale im Profil ähnlich wie C. hartwigi, keine Andeutung einer Grenze zwischen Dorsal- und Hinterrand, letzterer etwa halbkreisförmig gerundet, auch die Skulptur ähnlich. Vom Rücken gesehen Breite etwas kleiner als $^1/_2$ der Länge, am breitesten vor der Mitte, die Seiten bilden flache Bogen, beide Enden schmal gerundet. — L. 1 mm.

Atlantische Küste von Nordamerika (Vineyard-Sund).

25. **C. dentata** G. W. Müll. ?1878 *Cythere tarentina* (non *C. t.* W. Baird 1850), G. S. Brady in: Tr. zool. Soc. London, *v.* 10 p. 390 t. 63 f. 1 | 1894 *Cythereis dentata*, G. W. Müller in: F. Fl. Neapel, *v.* 21 p. 379 t. 32 f. 23, 27, 31.

Schale im Profil ähnlich wie C. marginata; Hinterende gerundet; Ventralrand in der hinteren Hälfte stark aufsteigend; Hinterende schmal, gerundet; hinterer Fortsatz nicht angedeutet; Hinterrand und ventrale Hälfte des Vorderrandes unregelmäßig gezähnelt; Oberfläche in der Mitte dicht mit kleinen, nicht scharf begrenzten Gruben bedeckt. Vom Rücken gesehen breit, Breite $^3/_5$ der Länge, am breitesten hinter der Mitte; Vorderende sehr breit, Hinterende schmaler, quer abgestutzt; Vorderende im Bereich der Abstutzung, Hinterende im Bereich des hintersten Fünftels unregelmäßig gezähnelt. — L. 1·1—1·2 mm.

Mittelmeer.

26. **C. phalaropi** Cushman 1906 *C. p.*, Cushman in: P. Boston Soc., *v.* 32 p. 378 t. 35 f. 86—94; t. 36 f. 95, 96.

Schalenumriß ähnlich wie bei C. dentata, Hinter- und Vorderrand nicht gezähnelt, Oberfläche glatt bis auf eine schmale, flache Leiste in der Nachbarschaft des Hinterrandes; vom Rücken gesehen eiförmig, Breite etwa $^1/_2$ der Länge, am breitesten vor der Mitte, beide Enden etwas zugespitzt. — L. 1 mm.

Atlantische Küste von Nordamerika (Buzzard-Bay).

27. **C. scotti** (G. Brady) 1890 *Cythere s.*, G. S. Brady in: Tr. R. Soc. Edinb., *v.* 35 p. 499 t. 3 f. 3, 4.

Schale im Profil der von C. margaritifera (nr. 30) ähnlich; Oberfläche mit unregelmäßigen, polygonalen Feldern. Vom Rücken gesehen Breite deutlich größer als $^1/_2$ der Länge, am breitesten etwa auf $^3/_4$ der Länge; die Seiten bilden hier eine mehr oder weniger deutliche Ecke, von der aus sie nach vorn in flachem Bogen, nach hinten annähernd geradlinig konvergieren; Vorderende mäßig breit gerundet, unregelmäßig eingeschnitten; Hinterende quer abgestutzt. — L. 1 mm.

Neucaledonia (Numea).

28. **C. lepralioides** (G. Brady) 1880 *Cythere l.*, G. S. Brady in: Rep. Voy. Challenger, Zool. *v.* 1 Part 3 p. 94 t. 19 f. 5a—d.

Schale gestreckt, Höhe etwa $^1/_2$ der Länge; Augenecke deutlich; Dorsalrand anfangs gerade und annähernd horizontal, im hinteren Drittel in flachem Bogen abfallend bis zu dem schmalen, etwa senkrecht abfallenden, unregelmäßig geknöpften Hinterrande; Vorderrand schmal gerundet, stumpf

gezähnelt; Ventralrand in den hinteren 2 Fünfteln deutlich aufsteigend; Oberfläche mit polygonalen, durch schmale Leisten getrennten Gruben, welche bis dicht an den Rand reichen. Vom Rücken gesehen Breite etwas größer als $^1/_2$ der Länge, am breitesten hinter der Mitte; Seiten nach beiden Enden in flachem Bogen konvergierend; beide Enden tief winklig ausgeschnitten. — L. 0·775 mm.

Südafrika (Simonsbai und Kap der Guten Hoffnung).

29. **C. hodgei** (G. Brady) 1866 *Cythere h.*, G. S. Brady in: Tr. zool. Soc. London, *v.* 5 p. 373 t. 59 f. 3 | 1880 *C. h.*, G. S. Brady in: Rep. Voy. Challenger, Zool. *v.* 1 Part 3 p. 94 t. 25 f. 1a—d | (non 1901 *C. h.*, Egger in: Abh. Bayer. Ak., *v.* 21 p. 431 t. 6 f. 38—40).

Höhe der Schale reichlich $^1/_2$ der Länge; Dorsalrand horizontal; Augenecke angedeutet; beide Enden ähnlich gerundet; Vorder- und Hinterrand nicht abgegrenzt; Vorderrand mit 3—8 deutlichen Zähnen in seiner ventralen Hälfte; Hinterrand mit einem umfangreichen Dorne, neben dem noch 1 oder 2 kleinere stehen können; Oberfläche mit deutlichen runden oder eckigen Gruben, welche sich in der Mitte der Schale zu deutlichen Längsreihen, peripher zu konzentrischen Reihen anordnen. Vom Rücken gesehen eiförmig, vorn dicht neben der Mitte, hinten in einiger Entfernung davon ein Dorn. — L. 0·66 mm.

Japan (Inlandsee); Hongkong; Malayischer Archipel?; Ceylon; Mauritius; östliches Mittelmeer?

30. **C. margaritifera** G. W. Müll. 1894 *C. m.*, G. W. Müller in: F. Fl. Neapel, *v.* 21 p. 368 t. 32 f. 26, 29, 32, 35—37.

Schale gestreckt, Höhe etwa $^1/_2$ der Länge (♀ etwas höher); Augenecke ziemlich deutlich; Dorsalrand nach hinten annähernd geradlinig und deutlich abfallend; der Vorderrand setzt sich aus zahlreichen, kleinen Bogen zusammen, die sich ein ganzes Stück auf den Ventralrand fortsetzen; Ventralrand gerade, nicht ausgebuchtet, hinten nicht aufsteigend; Hinterrand gegen Dorsal- und Ventralrand winklig abgegrenzt; hinterer Fortsatz deutlich stumpf gezähnelt, darüber der Dorsalrand flach konkav; Oberfläche mit tiefen, scharf konturierten, rundlichen Gruben, die am vorderen Ende lang ausgezogen sind. Vom Rücken gesehen Breite etwas größer als $^1/_2$ der Länge; eiförmig; das Vorderende abgestutzt, unregelmäßig gezähnelt. — L. 0·84—0·87 mm.

Golf von Neapel.

31. **C. latimarginata** (Speyer) 1863 *Cythere l.*, Speyer in: Ber. Ver. Kassel, *v.* 13 p. 22 t. 3 f. 3a—d | 1866 *C. abyssicola*, G. O. Sars in: Forh. Selsk. Christian., 1865 p. 43 | 1889 *C. latimarginata*, G. S. Brady & A. M. Norman in: Tr. R. Dublin Soc., ser. 2 *v.* 4 p. 156 t. 15 f. 16, 17 | 1891 *Cythereis l.*, G. O. Sars in: Forh. Selsk. Christian., 1890 nr. 1 p. 72 (Synonymie).

Schale im Profil der von C. margaritifera ähnlich; aber in der Gegend der Schließmuskelansätze stark eingedrückt, was besonders deutlich in der Ansicht vom Rücken ist. In dieser ist die Breite etwa gleich $^1/_2$ der Länge; die Seiten sind in der Mitte stark ausgebuchtet, nahe dem Vorderende schwach, nahe dem Hinterende deutlich winklig eingedrückt; beide Enden sehr breit abgestutzt. — L. 0·7 mm.

Nördlicher Atlantischer Ozean.

32. **C. subrufa** (G. Brady) 1880 *Cythere s.*, G. S. Brady in: Rep. Voy. Challenger, Zool. *v.* 1 Part 3 p. 81 t. 20 f. 3a—f.

Schale der von C. margaritifera ähnlich, höher; Höhe deutlich größer als $^1/_2$ der Länge; Vorderrand undeutlich gezähnelt; Hinterrand mit deut-

lichen Zähnen, welche sich etwas auf den Ventralrand erstrecken; Oberfläche mit polygonalen, durch niedrige, schmale Leisten getrennten Feldern; die Felder punktiert. Vom Rücken gesehen C. margaritifera ähnlich, schmaler; beide Enden etwas zugespitzt, das vordere nicht abgestutzt. — L. 0·77 mm.

Kerguelen; Prince Edwards-Insel; Indischer Ozean (Cocosinsel).

33. **C. sculptilis** (T. Scott) 1894 *Cythere s.*, T. Scott in: Tr. Linn. Soc. London, ser. 2 *v.* 6 p. 137 t. 14 f. 44, 45.

Schale im Profil ähnlich der von C. margaritifera; Skulptur ähnlich wie bei C. subrufa; dem Vorderrande parallel, in einiger Entfernung von ihm verläuft eine Leiste, von ihr aus etwa 6 radiäre Leisten zum Schalenrande. Vom Rücken gesehen Breite etwa $^3/_7$ der Länge; Seiten wellig, in der Mitte deutlich eingeschnürt, im übrigen annähernd parallel, im vorderen Viertel in doppelt winklig gebrochener Linie konvergierend, hinten ganz nahe dem Hinterende plötzlich in unregelmäßig treppenartiger Linie sich der Mitte zuwendend. — L. 0·54 mm.

Busen von Guinea (San Thomé).

34. **C. concinna** (Jones) ?1856 *Cythere c.*, Jones in: Pal. Soc. Mon., 1856 p. 29 t. 4 f. 7 | 1866 *C. clavata*, G. O. Sars in: Forh. Selsk. Christian., 1865 p. 39 | 1868 *C. concinna*, G. S. Brady in: Tr. Linn. Soc. London, *v.* 26 p. 408 t. 26 f. 28—33; t. 38 f. 7 | 1891 *Cythereis c.*, G. O. Sars in: Forh. Selsk. Christian., 1890 nr. 1 p. 72 (Synonymie).

Schale im Profil der von C. margaritifera ähnlich; hinterer Fortsatz deutlich, wie der Vorderrand ungezähnelt; Oberfläche dicht punktiert, mit undeutlichen Gruben und welliger Oberfläche. Vom Rücken gesehen Breite kleiner als $^1/_2$ der Länge; die Seiten annähernd parallel, unregelmäßig wellig, im vorderen Drittel konvergierend; Vorderende breit gerundet, Hinterende unregelmäßig abgestutzt oder kurz gerundet. — L. 0·8—1 mm.

Nordatlantischer Ozean; Arktische Meere.

35. **C. torticollis** (G. Brady) 1890 *Cythere t.*, G. S. Brady in: Tr. R. Soc. Edinb., *v.* 35 p. 500 t. 3 f. 1, 2.

Schale: Höhe annähernd $^1/_2$ der Länge; Augenecke deutlich; Dorsalrand hinter der Augenecke deutlich winklig eingedrückt; im übrigen annähernd gerade und horizontal, auf etwa $^4/_5$ der Länge deutlich winklig gegen den in seiner dorsalen Hälfte wenig steil und annähernd gerade, in seiner ventralen Hälfte gezähnelten und steil nach vorn abfallenden Hinterrand abgegrenzt; Vorderrand ungezähnelt; Oberfläche unregelmäßig wellig und grubig. Vom Rücken gesehen Breite etwa $^1/_2$ der Länge, am breitesten auf $^4/_5$ der Länge; die Seiten bilden hier eine abgerundete Ecke, hinter der sie treppenartig gestaltet sind; vor der Ecke konvergieren sie bis etwa zur Mitte, erweitern sich hier wieder annähernd zur größten Breite, konvergieren in der vorderen Hälfte und sind nahe dem vorderen Ende deutlich eingedrückt; Vorderende mäßig breit, Hinterende schmal und unregelmäßig abgestutzt. — L. 0·58 mm.

Neucaledonia (Numea).

36. **C. innominata** (G. Brady) 1879 *Cythere truncata* (non *C. t.* Bosquet 1847), G. M. Thomson in: Tr. N. Zealand Inst., *v.* 11 p. 254 f. C 2 | 1898 *C. innominata*, G. S. Brady in: Tr. zool. Soc. London, *v.* 14 p. 443 t. 46 f. 1, 2.

Schale im Profil der von C. margaritifera (nr. 30) ähnlich; Vorderrand mit breitem, gezähneltem, scharf abgesetztem Rande (Saum?); Hinterrand dorsal tief ausgeschnitten; hinterer Fortsatz deutlich, ungezähnelt; Oberfläche

unregelmäßig runzlig; die Rippen steigen in der hinteren Hälfte unregelmäßig wellig auf. Vom Rücken gesehen Breite etwa $^1/_3$ der Länge, am breitesten auf $^3/_4$ der Länge; die Seiten bilden hier eine stumpfe Ecke, von der aus sie langsam und unregelmäßig nach vorn, stark nach hinten konvergieren. — L. 1·3 mm.

Küste von Neuseeland.

37. **C. rimosa** (T. Scott) 1894 *Cythere r.*, T. Scott in: Tr. Linn. Soc. London, ser. 2 *v.* 6 p. 138 t. 14 f. 46, 47.

Schale im Profil der von C. margaritifera (nr. 30) ähnlich, höher, Höhe annähernd $^2/_3$ der Länge; Dorsalrand stark abfallend; hinterer Fortsatz deutlich, dorsal durch eine deutliche Bucht abgegrenzt, ventral nicht abgegrenzt, in der ventralen Hälfte gezähnelt; Vorderrand gezähnelt; Oberfläche mit flachen, aber deutlichen Rippen, die in der dorsalen Hälfte meist deutlich nach hinten aufsteigen, in der ventralen nach hinten absteigen. Vom Rücken gesehen schmal eiförmig; Vorderende nicht abgestutzt. — L. 0·6 mm.

Busen von Guinea.

38. **C. tarentina** (W. Baird) 1850 *Cythere t.*, W. Baird in: P. zool. Soc. London, *v.* 18 p. 255 t. 18 f. 31—33 | (non 1878 *C. t.*, G. S. Brady in: Tr. zool. Soc. London, *v.* 10 p. 390 t. 63 f. 1).

Höhe der Schale $^2/_3$ der Länge; Augenecke deutlich; Dorsalrand stark nach hinten abfallend, dementsprechend Hinterrand schmal, weniger als $^1/_2$ der Höhe, dorsal scharf eckig abgegrenzt, fast senkrecht abfallend, wie der Vorderrand gezähnelt; Ventralrand schwach konvex; Oberfläche mit rundlichen Gruben bedeckt. Vom Rücken gesehen schmal, Breite etwa $^2/_5$ der Länge; Seiten gewölbt, nahe an beiden Enden winklig eingedrückt. — L.?

Beschikbai; östliches Mittelmeer; Golf von Tarent; Sizilien?; Golf von Biscaya.

39. **C. packardi** (G. Brady) 1880 *Cythere p.*, G. S. Brady in: Rep. Voy. Challenger, Zool. *v.* 1 Part 3 p. 88 t. 19 f. 2a—d | ? 1890 *C. p.*, G. S. Brady in: Tr. R. Soc. Edinb., *v.* 35 p. 501 t. 2 f. 19.

Schalenumriß ähnlich wie bei C. margaritifera (nr. 30); Augenecke stark abgerundet; hinterer Fortsatz deutlich, wie der Vorderrand ungezähnelt; Ventralrand schwach eingebuchtet; Oberfläche mit ziemlich großen, eckigen Gruben, deren Grenzen sich zum Teil zu Längsrippen anordnen; nahe dem Ventralrande verläuft eine deutliche Ventralleiste, die sich nahe dem Hinterende nach oben biegt und im Bogen, dem Hinterrande annähernd parallel, verläuft. Vom Rücken gesehen Breite etwa $^1/_2$ der Länge; die Seiten in der Mitte parallel, nach beiden Enden hin eingedrückt; beide Enden breit quer abgestutzt. — L. 0·48 mm.

Torresstraße; verschiedene Südseeinseln?

40. **C. costata** (G. Brady) 1866 *Cythere c.*, G. S. Brady in: Tr. zool. Soc. London, *v.* 5 p. 375 t. 60 f. 5 | 1889 *C. c.*, G. S. Brady & A. M. Norman in: Tr. R. Dublin Soc., ser. 2 *v.* 4 p. 164 t. 16 f. 7, 8.

Schalenumriß ähnlich wie bei C. margaritifera (nr. 30); Augenecke vorgewölbt; Hinterrand über dem Fortsatz unregelmäßig gestaltet; Oberfläche dicht mit eckigen Gruben bedeckt, zwischen denen sich unregelmäßig schräg aufsteigende Rippen finden; eine deutliche Ventralrippe setzt sich nach vorn in eine Vorderrandrippe fort und biegt nach hinten auf etwa $^3/_5$ der Länge unter Bildung eines deutlichen, stumpfen Winkels dorsalwärts um.

Vom Rücken gesehen ähnlich wie C. packardi; die Seiten, besonders nahe beiden Enden, unregelmäßig wellig gestaltet. — L. 1·1 mm.

Nordatlantischer Ozean; Arktische Meere.

41. **C. dubia** (G. Brady) 1867 *Cythere d.*, G. S. Brady in: Intell. Observ., *v.* 12 p. 120 | 1868 *C. d.*, G. S. Brady in: Tr. Linn. Soc. London, *v.* 26 p. 409 t. 32 f. 75, 76.

Schalenumriß ähnlich wie bei C. margaritifera (nr. 30); Ventralrand eingebuchtet; hinterer Fortsatz mit wenigen, großen Zähnen; Oberfläche mit undeutlichen Gruben und Furchen, welche in der vorderen, dorsalen Hälfte annähernd horizontal liegen, in der hinteren steil aufsteigen, im ganzen aber ziemlich unregelmäßig verlaufen; Ventralleiste deutlich, auf $^4/_5$ eine senkrecht aufsteigende Kante, die bis zum Dorsalrande reicht und ihn im Profil etwas verdeckt. Vom Rücken gesehen Breite etwa $^1/_2$ der Länge; auf $^4/_5$ der Länge bilden die Seiten abgerundete Ecken, von denen aus sie bis etwa $^1/_3$ der Länge annähernd parallel verlaufen; im vorderen Drittel konvergieren sie annähernd geradlinig zu dem deutlich ausgeschnittenen Vorderende; hinter den abgerundeten Ecken sind die Seiten stufenartig abgesetzt, das Ende quer abgestutzt. — L. 0·93 mm.

Shetlandinseln; Arktische Meere.

42. **C. lenisculpta** (G. Brady) 1881 *Cythere l.*, G. S. Brady in: Folin & Périer, Fonds Mer, *v.* 4 p. 196 t. 15 f. 1, 2.

Höhe der Schale gleich $^1/_2$ der Länge; Augenecke deutlich, weit nach vorn verschoben; Dorsalrand wenig abfallend; der Hinterrand bildet einen flachen, steil abfallenden Bogen, der mit dem Dorsal- und Ventralrande eine stark abgerundete Ecke bildet; Vorder- und Hinterrand ungezähnelt; Ventralrippe deutlich, reicht bis $^3/_4$ der Länge, biegt scharf rechtwinklig in eine senkrecht aufsteigende, gewellte Kante um und bildet am Ende einen Stachel; Oberfläche mit etwa nach der hinteren Ecke der Ventralrippe konvergierenden, undeutlichen Leisten, dazwischen Querleisten und Punkte. Vom Rücken Breite etwa $^1/_2$ der Länge; die Seiten bilden Bogen, welche nahe an beiden Enden deutlich eingedrückt sind und auf $^3/_4$ der Länge von einer Spitze überragt werden; beide Enden ziemlich schmal abgestutzt. — L. 0·86 mm.

Atlantischer Ozean?

43. **C. lineata** G. W. Müll. 1894 *C. l.*, G. W. Müller in: F. Fl. Neapel, *v.* 21 p. 377 t. 29 f. **21, 26**; t. 31 f. 25—30, 33.

Schalenumriß ähnlich wie bei C. margaritifera (nr. 30); Vorderrand mit ungefähr 20 annähernd gleich großen, gerundeten Zähnen besetzt, die zum Teil durch eine Vorderrandleiste verdeckt werden; hinterer Fortsatz mit 6—8 Zähnen; Oberfläche mit einem Netzwerk feiner Linien, die unregelmäßige, polygonale Felder bilden; Ventralkante deutlich, etwa auf $^1/_3$ der Schalenlänge beschränkt; auf $^3/_4$ der Schalenlänge biegt sie in scharfem, etwa rechtem Winkel senkrecht dorsalwärts um und erfährt außerdem eine kurze Verlängerung nach hinten; ferner ist vorhanden eine Dorsalrandleiste, die im Profil mit dem Dorsalrand fast vollständig zusammenfällt und nahe dem Hinterende plötzlich aufhört. Vom Rücken gesehen Breite annähernd $^1/_2$ der Länge, am breitesten etwa auf $^3/_4$ der Länge, wo die Seiten deutliche Ecken bilden, von denen aus sie in schwach welliger Linie nach vorn, in unregelmäßig gebrochener Linie nach hinten konvergieren; beide Enden sehr breit abgestutzt, gesägt. — L. 0·58—0·63 mm.

Golf von Neapel.

44. **C. devexa** G. W. Müll. 1908 *C. d.*, G. W. Müller in: D. Südp.-Exp., *v.* 10 p. 137 t. 17 f. 4, 8.

Schale im Profil der von C. lineata ähnlich, der Vorderrand nur in der ventralen Hälfte undeutlich gezähnelt, die Ventralkante ohne aufsteigenden Ast; die Felder überwiegend viereckig. Vom Rücken gesehen Breite etwa $^1/_2$ der Länge, am breitesten auf $^2/_3$ und fast ebenso breit auf $^4/_9$ der Länge, dazwischen etwas eingeschnürt. Von den breitesten Stellen verlaufen die Seiten in flach S-förmig geschwungener Linie zu dem breit und unregelmäßig abgestutzten Vorder- und Hinterende, im hinteren Drittel wird der Rand der eigentlichen Schale von einem durchscheinenden Streifen überragt. — L. 1·1 mm.

Antarktis, Gaußstation.

45. **C. polylyca** G. W. Müll. 1908 *C. p.*, G. W. Müller in: D. Südp.-Exp., *v.* 10 p. 135 t. 17 f. 1, 5, 6.

Schale: Höhe etwa $^4/_7$ der Länge, Dorsalrand deutlich nach hinten abfallend, flach bogig ausgeschnitten, beide Enden breit gerundet, das hintere ohne Andeutung eines Fortsatzes, beide deutlich gezähnelt. Oberfläche mit umfangreicher Ventralrippe, die bis zu $^6/_7$ der Länge reicht, sich hier plötzlich in rechtem Winkel dorsalwärts wendet; keine Mittelrippe, Gegend der Schließmuskelansätze deutlich vorgewölbt; Oberfläche durch scharfe Kanten in polygonale Felder geteilt, die einzelnen Felder mit unregelmäßigen, runden Gruben. Vom Rücken gesehen Breite etwas größer als $^1/_2$ der Länge, am breitesten auf $^1/_3$ der Länge, wo die Schließmuskelansätze als deutliche Warzen vortreten, von hier aus verjüngt sich die Schale nach vorn stark keilartig bis zu dem breit abgestutzten, gezähnten Vorderende, nach hinten viel weniger stark in schwach gewellter Linie, um auf etwa $^4/_5$ der Länge eine unregelmäßige Ecke zu bilden, von der aus die Seiten in unregelmäßiger Linie zu dem breit abgestutzten Hinterende konvergieren. — L. ♀ 1·0—1·1, ♂ 1·15—1·2 mm.

Antarktis, Gaußstation.

46. **C. patagoniensis** (G. Brady) 1880 *Cythere p.*, G. S. Brady in: Rep. Voy. Challenger, Zool. *v.* 1 Part 3 p. 93 t. 23 f. 3a—d.

Ähnlich wie C. lineata (nr. 43), aber Ventralrippe ohne aufsteigenden Ast; Oberfläche unregelmäßig höckerig. Vom Rücken gesehen ebenfalls C. lineata ähnlich, aber die Ecken stark abgerundet. — L. 0·65 mm.

Küste von Patagonien.

47. **C. cristatella** G. Brady 1866 *C. c.*, G. S. Brady in: Tr. zool. Soc. London, *v.* 5 p. 384 t. 61 f. 1 | 1880 *Cythere c.*, G. S. Brady in: Rep. Voy. Challenger, Zool. *v.* 1 Part 3 p. 90 t. 19 f. 6a—d.

Schale ähnlich wie bei C. lineata (nr. 43); Vorderrand unregelmäßig gezähnelt, Hinterrand nicht gezähnelt; Oberfläche unregelmäßig wellig; Ventralrippe ähnlich wie bei C. patagoniensis. Vom Rücken gesehen ähnlich wie C. lineata; Ecke abgerundet; hinter der Ecke stark, fast rechtwinklig eingedrückt; beide Enden schmaler abgestutzt (annähernd $^1/_3$ der Gesamtbreite, anstatt $^1/_2$). — L. 0·575 mm.

Australien (Torresstraße); Indischer Ozean (Cocosinsel).

48. **C. truncula** (G. Brady) 1898 *Cythere t.*, G. S. Brady in: Tr. zool. Soc. London, *v.* 14 p. 444 t. 47 f. 16, 17.

Schale im Profil ähnlich wie C. margaritifera (nr. 30), höher, Höhe $^2/_3$ der Länge; Augenecke stark abgerundet; Vorderrand ungezähnelt; Hinterrand mit deutlichem, dorsalwärts scharf abgesetztem Fortsatze, der 3 deutliche Zähne trägt; Ventralrand zum größten Teil verdeckt durch die Ventralrippe, welche sich auf etwa $^4/_5$ der Länge plötzlich fast senkrecht dorsalwärts wendet; Oberfläche mit tiefen, polygonalen, durch schmale Leisten getrennten Gruben. Vom Rücken gesehen Breite etwa $^2/_3$ der Länge, am breitesten in der Mitte; die Seiten in der Mitte gewölbt, nach beiden Enden annähernd geradlinig konvergierend; beide Enden etwas unregelmäßig abgestutzt, das hintere breiter, gezähnelt. — L. 0·75 mm.

Neuseeland (Lyttleton).

49. **C. cymba** (G. Brady) 1869 *Cythere c.*, G. S. Brady in: Folin & Périer, Fonds Mer, *v.* 1 p. 157 t. 16 f. 1—5 | 1880 *C. c.*, G. S. Brady in: Rep. Voy. Challenger, Zool. *v.* 1 Part 3 p. 80 t. 20 f. 5.

Höhe der Schale $^2/_3$ der Länge; Augenecke fast vollständig unterdrückt; Vorderrand dicht gezähnelt; Hinterrand mit scharfer, stumpfwinkliger Ecke gegen den Dorsalrand abgegrenzt; in der dorsalen Hälfte fast senkrecht abfallend, in der ventralen unregelmäßig gezähnelt; Ventralrand konvex; Oberfläche mit runden oder eckigen Gruben; eine Ventralrippe dem Ventralrande parallel, endigt nahe dem Hinterende plötzlich; eine niedrige Dorsalrippe entfernt sich nach hinten etwas vom Dorsalrande und steigt nahe dem Hinterende senkrecht ab. Vom Rücken gesehen ähnlich wie C. truncula, nur viel schmaler; Breite etwa $^1/_2$ der Länge; die Seiten in der hinteren Hälfte unregelmäßig gezackt. — L. 0·9 mm.

Hongkong; Japanisches Meer.

50. **C. rectangularis** (G. Brady) 1869 *Cythere r.*, G. S. Brady in: Folin & Périer, Fonds Mer, *v.* 1 p. 153 t. 18 f. 13, 14 | 1869 *C. audei*, G. S. Brady in: Folin & Périer, Fonds Mer, *v.* 1 p. 162 t. 19 f. 12, 13 | (non 1880 *C. a.*, G. S. Brady in: Rep. Voy. Challenger, Zool. *v.* 1 Part 3 p. 83 t. 15 f. 7) | ? 1886 *C. rectangularis*, G. S. Brady in: J. Linn. Soc. London, *v.* 19 p. 310 t. 40 f. 7—9 | (non 1901 *C. audei*, Egger in: Abh. Bayer. Ak., *v.* 21 p. 437 t. 7 f. 38—40).

Höhe der Schale etwa $^1/_2$ der Länge; Augenecke vollständig unterdrückt; Dorsalrand in der vorderen Hälfte stark gewölbt, in der hinteren annähernd gerade, stark abfallend, gegen den Hinterrand in einer deutlichen, wenig abgerundeten Ecke abgegrenzt; hinterer Fortsatz deutlich; Ventralrand eingebuchtet; Oberfläche glatt bis auf eine deutliche Ventralrippe, die sich in eine aufsteigende Rippe fortsetzt. Vom Rücken gesehen Breite etwa $^1/_3$ der Länge; Seiten parallel, im vorderen Drittel stark konvergierend, nahe dem Hinterende fast rechtwinklig eingedrückt. — L. 0·5 mm.

Island; südliches Norwegen; Karibisches Meer (Colon); Mauritius; Ceylon; Neucaledonia; Fidschiinseln.

51. **C. cytheropteroides** (G. Brady) 1880 *Cythere c.*, G. S. Brady in: Rep. Voy. Challenger, Zool. *v.* 1 Part 3 p. 78 t. 15 f. 5a—d.

Höhe der Schale größer als $^1/_2$ der Länge; Augenecke warzig vorgewölbt (nur einseitig?); Dorsalrand (?) gegen den Hinterrand nicht abgegrenzt; Hinterende verjüngt, quer abgestutzt, die Abstutzung undeutlich gezähnelt; Ventralrand schwach eingebuchtet, im hinteren Drittel stark aufsteigend; Vorderrand in der ventralen Hälfte mit etwa 12 stumpfen Zähnen; Oberfläche glatt bis auf eine deutliche Ventralrippe, die nahe dem Hinterende plötzlich eckig endet. Vom Rücken gesehen Breite etwa $^1/_2$ der

Länge, am breitesten hinter der Mitte, die Seiten bilden Bogen, welche nach beiden Enden konvergieren und nahe dem Vorderende flach, nahe dem Hinterende unregelmäßig wellig eingedrückt sind; Vorderende breit, Hinterende schmal abgestutzt. — L. 0·77 mm.

Kap der guten Hoffnung.

52. **C. wyville-thomsoni** (G. Brady) 1880 *Cythere w.-t.*, G. S. Brady in: Rep. Voy. Challenger, Zool. *v.* 1 Part 3 p. 82 t. 20 f. 4a—f | (non 1901 *C. w.*, Egger in: Abh. Bayer. Ak., *v.* 21 p. 444 t. 6 f. 13, 14.)

Schale im Profil der von C. margaritifera (nr. 30) ähnlich; Vorderrand dicht gezähnelt; hinterer Fortsatz mit wenigen, umfangreichen, stumpfen Zähnen; Oberfläche mit eckigen, durch schmale Leisten getrennten Gruben; Rippen ähnlich wie bei C. cymba (nr. 49); in der Schließmuskelgegend eine umfangreiche, warzige Erhebung. Vom Rücken gesehen Breite weniger als $^1/_2$ der Länge; in der Mitte deutlich eingeschnürt; Seiten nahe dem Vorderende flach aber deutlich, nahe dem Hinterende tief, fast rechtwinklig eingedrückt; beide Enden schmal und unregelmäßig abgestutzt. — L. 0·9 mm.

Kerguelen; Heardinsel; Torresstraße; Funafuti; Indischer Ozean (Cocosinsel).

53. **C. ornata** G. W. Müll. 1894 *C. o.*, G. W. Müller in: F. Fl. Neapel, *v.* 21 p. 369 t. 29 f. 20; t. 31 f. 13; t. 36 f. 18.

Höhe der Schale etwa $^1/_2$ der Länge; Augenecke deutlich; Hinterrand gerundet; Vorder-, Ventral- und Hinterrand tief gelappt, die Lappen nach der Spitze hin erweitert oder schwach hakig gebogen; Oberfläche mit flachen, scharf begrenzten, rundlichen Gruben und mit Fortsätzen, welche aus einem kurzen Stiele mit 1—5 kugligen Erweiterungen an der Spitze bestehen; solche Fortsätze entspringen zerstreut auf der Fläche, eine Reihe von etwa 7 an Stelle der Ventralleiste, ferner eine größere Zahl nahe dem Dorsalrande, einzelne am Vorder-, Ventral- und Hinterrande, hier besonders auf dem ersterwähnten Randlappen, nahe ihrer Basis oder ihre Stelle einnehmend. — L. 0·98 mm (mit Fortsätzen).

Golf von Neapel.

54. **C. circumdentata** (G. Brady) 1880 *Cythere c.*, G. S. Brady in: Rep. Voy. Challenger, Zool. *v.* 1 Part 3 p. 106 t. 26 f. 2a—c.

Höhe der Schale reichlich $^1/_2$ der Länge; Augenecke ziemlich deutlich; Dorsalrand wenig abfallend; Hinterrand gerundet; hintere dorsale Ecke deutlich; ventrale Ecke abgerundet; Ventralrand deutlich eingebuchtet; Rand in ganzem Umfange ziemlich gleichmäßig aber wenig regelmäßig gezähnelt; Oberfläche mit zahlreichen tiefen, polygonalen Gruben; die Ränder zwischen diesen Gruben sind nach der Peripherie hin in niedrige, stumpfe Dornen ausgezogen; Ventralrippe fehlt. Vom Rücken gesehen länglich eiförmig, Breite etwa $^1/_2$ der Länge, am breitesten hinter der Mitte. — L. 1·05 mm.

36° 10′ n. Br., 178° ö. L.; 13° 28′ s. Br., 149° 30′ w. L., 3740 und 4290 m Tiefe.

55. **C. sulcatoperforata** (G. Brady) 1880 *Cythere s.*, G. S. Brady in: Rep. Voy. Challenger, Zool. *v.* 1 Part 3 p. 99 t. 26 f. 1a—d.

Höhe der Schale $^2/_3$ der Länge; Augenecke stark vorgewölbt (vermutlich nur einseitig); Dorsalrand gerade, horizontal, unregelmäßig gesägt; Hinterrand mit stumpfwinkliger, etwas abgerundeter Spitze, welche über $^1/_2$ der Höhe liegt, gegen den Dorsalrand mit stumpf gerundeter Ecke, gegen den Ventralrand nicht abgegrenzt, in seiner unteren Hälfte unregelmäßig gezähnelt; Vorderrand breit gerundet, nur mit Andeutung von Zähnelung;

Oberfläche mit zerstreuten, etwas eckigen Gruben, die sich in Längsreihen anordnen; keine deutliche Mittel- oder Ventralrippe, nahe dem Vorder- und Hinterrande undeutlich gezähnelt. Vom Rücken gesehen eiförmig; Breite $^1/_2$ der Länge, am breitesten hinter der Mitte; Seiten gezähnelt. — L. 1·1 mm.

33° 42′ s. Br., 78° 18′ w. L., 2515 m Tiefe.

56. **C. sabulosa** (G. Brady) 1880 *Cythere s.*, *C. fabulosa*, G. S. Brady in: Rep. Voy. Challenger, Zool. *v.* 1 Part 3 p. 80 t. 19 f. 1a—h (Figurenerklärung).

Höhe der Schale $^2/_3$ der Länge; Augenecke deutlich, mehr oder weniger warzig vorgewölbt; Dorsalrand etwa horizontal, im letzten Drittel stark zu dem schmal gerundeten Hinterende abfallend; Ventralrand in der hinteren Hälfte deutlich aufsteigend, Schalenrand in der hinteren Hälfte in verschiedenem Umfange und an verschiedenen Stellen schwach gezähnelt; Oberfläche dicht mit eckigen, bisweilen unregelmäßigen Gruben bedeckt; die Rippen zwischen den Gruben mehr oder weniger warzig oder dornig erhoben. Vom Rücken gesehen Breite $^2/_3$ der Länge, am breitesten in der Mitte; die Seiten bilden starke Bogen; beide Enden zugespitzt; die Spitzen abgestumpft. — L. 0·53 mm.

Torresstraße (Boobyinsel).

57. **C. irrorata** (G. Brady) 1880 *Cythere i.*, G. S. Brady in: Rep. Voy. Challenger, Zool. *v.* 1 Part 3 p. 108 t. 18 f. 2a—d.

Höhe der Schale reichlich $^1/_2$ der Länge; Augenecke wenig deutlich; Dorsalrand wenig abfallend; Hinterrand etwas gerundet, gegen Dorsal- und Ventralrand deutlich eckig abgegrenzt; Vorder- und Ventralrand höckrig; Hinterrand in der ventralen Hälfte mit 5 oder 6 kleinen Zähnen; Oberfläche dicht mit kleinen Wärzchen bedeckt, die zwischen unregelmäßig geformten Gruben stehen. Vom Rücken gesehen Breite annähernd $^1/_2$ der Länge Seiten in der Mitte von etwa $^1/_4$ bis $^3/_4$ der Länge parallel, im vorderen Viertel nach dem breit abgestutzten Vorderende konvergierend; auf $^3/_4$ plötzlich verschmälert, dann zum ebenfalls breit abgestutzten, in der Mitte eingeschnittenen Hinterende konvergierend. — L. 0·6 mm.

Admiralitätsinseln.

58. **C. dorsoserrata** (G. Brady) 1880 *Cythere d.* + *C. dorsiserrata*, G. S. Brady in: Rep. Voy. Challenger, Zool. *v.* 1 Part 3 p. 102 t. 23 f. 1a—d (Figurenerklärung) | ? 1880 *C. scabrocuneata* (part.?), G. S. Brady in: Rep. Voy. Challenger, Zool. *v.* 1 Part 3 p. 103 t. 17 f. 5a—f; t. 23 f. 2a—c | ? 1889 *C. s.*, G. S. Brady & A. M. Norman in: Tr. R. Dublin Soc., ser. 2 *v.* 4 p. 154 t. 15 f. 28, 29 | ? 1898 *Trachyleberis s.*, G. S. Brady in: Tr. zool. Soc. London, *v.* 14 p. 444 t. 47 f. 1—7, 18—25 | (non 1901 *Cythere s.*, Egger in: Abh. Bayer. Ak., *v.* 21 p. 441 t. 8 f. 1—3) | ? 1901 *C. dorsoserrata*, Egger in: Abh. Bayer. Ak., *v.* 21 p. 444 t. 7 f. 16, 17.

Höhe etwa $^1/_2$ der Länge; Augenecke deutlich; Dorsalrand deutlich abfallend; Hinterrand gegen Dorsal- und Ventralrand ziemlich deutlich abgegrenzt, bildet einen Winkel von etwa 90°, dessen Spitze etwa auf $^1/_3$ der Höhe liegt; Dorsalrand deutlich, Vorder-, Ventral- und Hinterrand weniger deutlich gesägt; Oberfläche warzig. Vom Rücken gesehen Breite kleiner als $^1/_2$ der Länge, am breitesten etwa auf $^2/_3$ der Länge; die Seiten bilden unregelmäßig gezackte Bogen, welche nahe dem Vorderende, auf $^1/_3$ der Länge, und nahe dem Hinterende deutlich winklig eingedrückt sind; beide Enden unregelmäßig abgestutzt. — L. 0·77 mm.

Atlantischer Ozean; 6° s. Br., 11° w. L., 68 m Tiefe?; Baßstraße?; Japanisches Binnenmeer?; Neuseeland?; 52° s. Br., 71° ö. L., 274 m Tiefe; 38° s. Br., 88° w. L., 3340 m Tiefe?

59. **C. radula** (G. Brady) 1880 *Cythere r.*, G. S. Brady in: Rep. Voy. Challenger, Zool. *v.* 1 Part 3 p. 102 t. 19 f. 4a, b.

Höhe der Schale größer als $^1/_2$ der Länge; Augenecke deutlich; Dorsalrand gerade, deutlich abfallend; Hinterende schräg abgestutzt, mit deutlicher dorsaler und ventraler Ecke; Ventralrand stark ausgebuchtet; Vorder-, Ventral- und Hinterrand unregelmäßig grob gezähnelt; Dorsalrand nicht oder undeutlich gezähnelt; Oberfläche mit tiefen, eckigen Gruben, getrennt durch schmale Leisten, die sich zu zerstreut stehenden, unregelmäßigen Spitzen erheben. Vom Rücken gesehen Breite etwa $^1/_2$ der Länge, am breitesten auf $^2/_3$ der Länge; die unregelmäßig gezähnelten Seiten konvergieren nach vorn in flachem Bogen und sind nahe dem Hinterende stark eingedrückt. — L. 0·85 mm.

Kiinseln (5° 26′ s. Br., 133° 19′ ö. L.); Arabisches Meer.

60. **C. cribriformis** (G. Brady) ? 1866 *Cythere c.*, G. S. Brady in: Tr. zool. Soc. London, *v.* 5 p. 379 t. 61 f. 6 | 1880 *C. c.*, G. S. Brady in: Rep. Voy. Challenger, Zool. *v.* 1 Part 3 p. 98 t. 19 f. 3a—d.

Schale der von C. radula ähnlich (auch in der Beschaffenheit der Ränder und der Skulptur), höher, Hinterende gerundet. Vom Rücken gesehen Breite annähernd $^2/_3$ der Länge, am breitesten auf $^3/_5$ der Länge, eiförmig; beide Enden gerundet; das hintere sehr breit, ringsum gezähnelt. — L. 0·65 mm.

Hongkong; Nordküste von Java; östliches Mittelmeer?

61. **C. sarsii** G. W. Müll. 1894 *C. s.*, G. W. Müller in: F. Fl. Neapel, *v.* 21 p. 370 t. 8 f. 8; t. 31 f. 17—20; t. 36 f. 19.

Schale der von C. cribriformis ähnlich; Oberfläche mit runden, scharf konturierten, flachen Gruben, zwischen denen zahlreiche umfangreiche, an der Spitze morgensternartig erweiterte Fortsätze entspringen (die Erweiterung häufig abgebrochen); die Fortsätze überragen den Rand nach allen Richtungen. — L. ohne Fortsätze 0·85, mit Fortsätzen 0·92 mm.

Golf von Neapel.

62. **C. ericea** (G. Brady) 1880 *Cythere e.*, G. S. Brady in: Rep. Voy Challenger, Zool. *v.* 1 Part 3 p. 107 t. 17 f. 1a—d | ? 1901 *C. e.* (Larve?), Egger in: Abh. Bayer. Ak., *v.* 21 p. 435 t. 5 f. 13—15.

Höhe der Schale (ohne Fortsätze) $^2/_3$ der Länge; Augenecke deutlich; Dorsalrand gerade, horizontal; Hinterrand gerade, fast senkrecht abfallend, gegen Dorsal- und Ventralrand ziemlich deutlich abgegrenzt; Ventralrand stark gewölbt; Oberfläche dicht mit rundlichen Gruben bedeckt; dazwischen zahlreiche runde, spitze Fortsätze von sehr verschiedener Länge, die allseitig den Rand überragen. — L. 1 mm.

8° 37′ s. Br., 34° 28′ w. L., 1235 m Tiefe; 20° s. Br., 113° ö. L., 915 m Tiefe?; 40° s. Br., 28° ö. L., 2624 m Tiefe?

63. **C. echinata** O. Sars 1866 *C. e.*, G. O. Sars in: Forh. Selsk. Christian., 1865 p. 44 | ? 1866 *Cythere catenata* (juv.?), G. S. Brady in: Tr. zool. Soc. London, *v.* 5 p. 374 t. 60 f. 2 | ? 1880 *C. irpex*, G. S. Brady in: Rep. Voy. Challenger, Zool. *v.* 1 Part 3 p. 107 t. 17 f. 2a—d | ? 1881 *C. monacantha*, G. S. Brady in: Folin & Périer, Fonds Mer, *v.* 4 p. 197 t. 15 f. 5, 6 | 1889 *C. echinata*, G. S. Brady & A. M. Norman in: Tr. R. Dublin Soc., ser. 2 *v.* 4 p. 150 t. 16 f. 9, 10.

Höhe der Schale reichlich $^1/_2$ der Länge; Augenecke deutlich; Dorsalrand deutlich abfallend; Hinterrand mit stark abgerundeter Spitze unter $^1/_2$ der Höhe, gegen Dorsal- und Ventralrand nicht deutlich abgegrenzt; Ventralrand

fast gerade; Oberfläche mit einem undeutlichen Netzwerk, dicht mit kleinen, in deutlich konzentrischen Linien angeordneten Stacheln bedeckt; die Stacheln überragen den Rand überall außer in der Mitte des Ventralrandes. — L. 1·10—1·25 mm.

Atlantischer Ozean; Küste von Norwegen, in Tiefen bis 2600 m?

64. **C. jonesii** W. Baird 1850 *C. j.*, W. Baird, Brit. Entom., p. 175 t. 20 f. 1 | 1862 *C. fimbriata*, A. M. Norman in: Ann. nat. Hist., ser. 3 *v.* 9 p. 50 t. 3 f. 9 | 1866 *C. spectabilis*, G. O. Sars in: Forh. Selsk. Christian., 1865 p. 46 | ?1866 *C. subcoronata*, G. S. Brady in: Tr. zool. Soc. London, *v.* 5 p. 384 t. 60 f. 9 | 1868 *Cythere jonesii*, G. S. Brady in: Tr. Linn. Soc. London, *v.* 26 p. 418 t. 30 f. 13—16 | 1868 *C. j. var. ceratoptera*, G. S. Brady in: Folin & Périer, Fonds Mer, *v.* 1 p. 107 t. 14 f. 5, 6 | 1894 *Cythereis j.*, G. W. Müller in: F. Fl. Neapel, *v.* 21 p. 375 t. 29 f. **23, 25**; t. 31 f. 23, 24 | (non 1901 *Cythere j.*, Egger in: Abh. Bayer. Ak., *v.* 21 p. 446 t. 5 f. 23—25).

Höhe der Schale größer als $^1/_2$ der Länge; Dorsalrand fast vollständig durch die Dorsalrandrippe verdeckt; Oberfläche mit umfangreicher Dorsalrand-, Vorderrand-, Ventral- und Hinterrandrippe; die Ventralrippe ist bisweilen auf $^2/_3$ der Länge durch eine aufsteigende Rippe mit der Dorsalrandrippe verbunden; sämtliche Rippen sind in meist den Schalenrand weit überragende umfangreiche, durch deutliche Zwischenräume getrennte Fortsätze aufgelöst. Diese Fortsätze sind schlank, spitz, an den Rändern gesägt (so beim Hinterrande) oder plumper, zum Teil nach der Spitze hin verbreitert, bisweilen mit Andeutung einer Zweiteilung (so an den übrigen Rippen); Schalenoberfläche im übrigen glatt. Vom Rücken gesehen von umfangreichen Dornen etwa strahlenförmig umgeben; größte Breite (mit den Dornen) auf $^2/_3$ der Länge und gleich $^2/_3$ der Länge; von da nach vorn stark konvergierend. — L. 1 mm (mit Fortsätzen).

Küste von Europa; Spitzbergen.

65. **C. militaris** G. Brady 1866 *C. m.*, G. S. Brady in: Tr. zool. Soc. London, *v.* 5 p. 385 t. 61 f. 9 | (non 1890 *Cythere m.*, G. S. Brady in: Tr. R. Soc. Edinb., *v.* 35 p. 504 t. 2 f. 24—26).

Schale der von C. jonesii ähnlich; die aufsteigende Rippe fehlt; die Fortsätze des Vorderrandes stehen dicht, sind plump, gerundet. Vom Rücken gesehen ähnlich wie bei C. jonesii. — L. 0·5 mm.

Australien (Hobsons-Bay).

66. **C. velivola** (G. Brady) 1880 *Cythere v.*, G. S. Brady in: Rep. Voy. Challenger, Zool. *v.* 1 Part 3 p. 111 t. 23 f. **4** a—c.

Schale der von C. jonesii ähnlich; Vorderrandrippe in zahlreiche breite, stumpfe, schuppige Zähne geteilt; Zähne des Rückens und Hinterrandes unregelmäßig, ziemlich dicht stehend; an Stelle der Ventralrippe ein das mittlere Drittel der Schalenlänge einnehmender, nach hinten etwas verbreiterter, umfangreicher, flügelartiger Fortsatz mit unregelmäßig eingeschnittenen Rändern; zwischen den Rippen etwas wellig, mit zerstreuten Warzen. Vom Rücken gesehen die Schale schmal, die Seiten fast parallel, in der Mitte mit flügelartigen Fortsätzen, welche reichlich die doppelte Breite der eigentlichen Schale erreichen. — L. 0·65 mm.

9° 59′ s. Br., 137° 50′ ö. L.

67. **C. audax** (G. Brady & Norm.) 1889 *Cythere a.*, G. S. Brady & A. M. Norman in: Tr. R. Dublin Soc., ser. 2 *v.* 4 p. 167 t. 17 f. 14, 15.

Schale der von C. jonesii ähnlich; Dorsalrand wenig abfallend; Rippen wie dort vorhanden, aber viel schwächer entwickelt; Vorder- und Hinterrand-

rippe nur am Rande unregelmäßig gezähnelt, nicht in Zähne aufgelöst; Dorsalrandrippe in kleine, weit auseinanderstehende Zähne aufgelöst; Ventralrippe in ihrer vorderen Hälfte nur unvollständig geteilt; im übrigen die Schale mit zerstreuten, kleinen Spitzen. Vom Rücken gesehen ähnlich wie C. jonesii; die Fortsätze der Peripherie viel kürzer. — L. 1·2 mm.

56° 11′ n. Br., 37° 41′ w. L., 2565 m Tiefe.

68. **C. quadriserialis** (G. Brady) 1890 *Cythere q.*, G. S. Brady in: Tr. R. Soc. Edinb., *v.* 35 p. 504 t. 2 f. 27, 28.

Schale ähnlich wie von C. jonesii (nr. 64), die Zähne der Vorderrand-, Hinterrand- und Ventralrippe stumpf, dicht stehend; Dorsalrandrippe aufgelöst in 3 weit voneinander stehende Gruppen von großen Zähnen; Schale zwischen den Rippen glatt bis auf eine Reihe von Warzen (Mittelrippe?). Vom Rücken gesehen Breite (mit den Zähnen) kleiner als $^1/_2$ der Länge, nach vorn nicht auffällig verschmälert. — L. 0·85 mm.

Neucaledonia (Numea).

69. **C. dunelmensis** Norm. 1865 *C. d.*, A. M. Norman in: Tr. nat. Hist. Soc. Northumb., *v.* 1 p. 22 t. 7 f. 1—4 | 1866 *C. horrida*, G. O. Sars in: Forh. Selsk. Christian., 1865 p. 45 | 1868 *Cythere dunelmensis*, G. S. Brady in: Tr. Linn. Soc. London, *v.* 26 p. 416 t. 30 f. 1—12.

Schale ähnlich wie die von C. jonesii (nr. 64); Zähne der Rippen stumpf, dicht stehend; Oberfläche zwischen den Rippen mit eckigen Gruben bedeckt. — L. 0·84—1 mm.

Nördlicher Atlantischer Ozean.

70. **C. mucronata** O. Sars 1866 *C. m.*, G. O. Sars in: Forh. Selsk. Christian., 1865 p. 48 | 1866 *Cythere spinosissima*, G. S. Brady in: Tr. zool. Soc. London, *v.* 5 p. 386 t. 60 f. 10 | 1868 *C. mucronata*, G. S. Brady in: Tr. Linn. Soc. London, *v.* 26 p. 415 t. 26 f. 34, 34a.

Schale der von C. jonesii (nr. 64) ähnlich; Ventralleiste ähnlich wie dort gestaltet; Zähne der Vorderrandrippe und Ventralrippe zungenförmig, die der Hinterrandrippe kurz, abgestumpft; Oberfläche bis auf das hintere Ende mit ähnlichen umfangreichen, zungenförmigen Fortsätzen bedeckt. — L. 1·2 mm.

Atlantischer Ozean nördlich vom 60° n. Br.

71. **C. tetrica** (G. Brady) 1880 *Cythere t.*, G. S. Brady in: Rep. Voy. Challenger, Zool. *v.* 1 Part 3 p. 104 t. 23 f. 5a—d.

Rippen wie bei C. jonesii (nr. 64) vorhanden, nicht hoch, am Rande unregelmäßig eingeschnitten, aber nicht — abgesehen von der Dorsalrandrippe — vollständig in Zähne geteilt; Oberfläche zwischen den Rippen unregelmäßig warzig. Vom Rücken gesehen Breite weniger als $^1/_2$ der Länge; die Seiten unregelmäßig eingeschnitten, im ganzen parallel, im vorderen Drittel konvergierend; Hinterende unregelmäßig abgestutzt. — L. 0·53 mm.

Torresstraße, Neuseeland.

72. **C. fungoides** G. Brady ? 1866 *C. f.*, G. S. Brady in: Tr. zool. Soc. London, *v.* 5 p. 385 t. 61 f. 7 | 1880 *Cythere f.*, G. S. Brady in: Rep. Voy. Challenger, Zool. *v.* 1 Part 3 p. 93 t. 19 f. 7a—d.

Der C. tetrica ähnlich; auch die Dorsalrandrippe nur unregelmäßig gelappt. Vom Rücken gesehen Breite etwa $^2/_3$ der Länge, am breitesten auf $^3/_4$ der Länge; Seiten von hier aus in unregelmäßig unterbrochenem, flachem

Bogen nach vorn konvergierend; Vorderende breit abgestutzt; Hinterende unregelmäßig gezackt. — L. 0·66 mm.

Australien (?); Bermudas.

73. **C. senticosa** W. Baird 1850 *C. s.*, W. Baird in: P. zool. Soc. London, *v.* 18 p. 256 t. 18 f. 16—18.

Umriß der Schale ähnlich wie bei C. jonesii (nr. 64); Vorderrandrippe und Hinterrandrippe tief gespalten, aber nicht vollständig aufgelöst; die Fortsätze des Vorderrandes unregelmäßig, zum Teil mehr spitzig, die des Hinterrandes schlank, spitz; Ventralrippe und Dorsalrandrippe aufgelöst in deutlich voneinander getrennte, mehrspitzige Fortsätze; ähnliche Fortsätze finden sich zerstreut auf der Fläche der Schale. — L.?

Tenedos; Beschikbay.

74. **C. zenkeri** (G. Brady) 1868 *Cythere z.*, G. S. Brady in: Folin & Périer, Fonds Mer, *v.* 1 p. 71 t. 8 f. 19, 20.

Schalenumriß ähnlich wie bei C. jonesii (nr. 64); Vorderrand- und Hinterrandrippe gezähnelt; ähnlich die Ventralrippe, die am Ventralrande, nicht an der Grenze der Ventralfläche zu entspringen scheint; an Stelle der Dorsalrandrippe 3 Zähne, von denen der vordere und hintere umfangreich, der mittlere klein ist; Oberfläche glatt, mit warzigem Gebilde in der Schließmuskel- und Augengegend; am Ventralrande runzlig. — L. 0·8 mm.

Nordjava.

75. **C. squalidentata** (G. Brady) 1880 *Cythere s.*, G. S. Brady in: Rep. Voy. Challenger, Zool. *v.* 1 Part 3 p. 110 t. 23 f. 8a—d.

Höhe der Schale $^2/_3$ der Länge; Augenecke deutlich; Dorsalrand stark abfallend; Hinterrand fast senkrecht abfallend, unregelmäßig gestaltet; Vorderrand- und Ventralrippe schwach entwickelt, unregelmäßig, ungezähnelt; Ventralrippe an der hinteren Ecke in einen langen Dorn ausgezogen (?); Dorsalrandrippe in 4 weit auseinanderstehende lange, spitze, nach hinten gerichtete Zähne aufgelöst. — L. 0·38 mm.

Südatlantischer Ozean (35° 39′ s. Br., 50° 47′ w. L.).

76. **C. quadridentata** (W. Baird) 1850 *Cythere q.*, W. Baird, Brit. Entom., p. 173 t. 21 f. 2 | 1868 *C. q.*, G. S. Brady in: Tr. Linn. Soc. London, *v.* 26 p. 413 t. 31 f. 19—30 | 1886 *C. q.*, Kaufmann in: Recu. zool. Suisse, ser. 1 *v.* 3 p. 195 t. 6 f. 8—11; t. 8 f. 6—12; t. 10 f. 4 | 1894 *Cythereis turbida*, G. W. Müller in: F. Fl. Neapel, *v.* 21 p. 371 t. 28 f. **22, 27**; t. 31 f. 7.

Höhe der Schale größer als $^1/_2$ der Länge; Augenecke nur angedeutet; Dorsalrand annähernd gerade, deutlich nach hinten abfallend; Vorderrand ungezähnelt; Hinterrand steil abfallend, in der ventralen Hälfte mit Zähnen, übrigens der hintere Fortsatz nicht abgegrenzt; mit dem Dorsalrande bildet der Hinterrand eine stark abgerundete Ecke; Ventralrand fast gerade, im hinteren Fünftel aufsteigend, gegen den Hinterrand scharf abgegrenzt; Oberfläche mit rundlichen, scharf begrenzten Gruben bedeckt; Mittelrippe deutlich, reicht annähernd vom vorderen Schalenrande bis in die Nachbarschaft des Hinterrandes und verbindet sich an ihrem hinteren Ende durch eine senkrecht aufsteigende Rippe mit der deutlich entwickelten Ventralrippe; Mittelrippe in der Gegend der Schließmuskelansätze unterbrochen. Vom Rücken gesehen Breite deutlich kleiner als $^1/_2$ der Länge, am breitesten auf $^3/_4$ der Länge, von wo die Seiten schwach nach vorn, stark nach hinten konvergieren;

Vorderende tief eingeschnitten, Hinterende quer abgestutzt, unregelmäßig gezähnelt. — L. 0·71—0·77 mm.

Küste von Europa.

77. **C. plicatula** (Reuss) ?1850 *Cythere p.*, Reuss in: Haidingers naturw. Abh., *v.* 3 p. 44 t. 10 f. 23 | 1866 *C. p.*, G. S. Brady in: Tr. zool. Soc. London, *v.* 5 p. 374 t. 60 f. 1 | ?1901 *C. p.*, Egger in: Abh. Bayer. Ak., *v.* 21 p. 436 t. 7 f. 44, 45.

Schale der von C. quadridentata ähnlich; Mittel- und Ventralrippe reichen vom Vorderrande bis zum Hinterrande und sind nicht miteinander verbunden; nahe dem Dorsalrande verläuft noch eine der Mittelrippe parallele Rippe, welche vom oberen Rande ein stumpfwinkliges Dreieck abschneidet. — L. 0·63 mm.

Östliches Mittelmeer (Dardanellen, Smyrna); Golf von Biscaya; Amboina, 54 m Tiefe?

78. **C. rubra** G. W. Müll. 1894 *C. r.*, G. W. Müller in: F. Fl. Neapel, *v.* 21 p. 372 t. 28 f. 21, 26; t. 31 f. 2, 3.

Schale der von C. quadridentata ähnlich; Dorsalrand annähernd horizontal; Hinterrand zum größten Teile gezähnelt. Vom Rücken gesehen verlaufen die Seiten annähernd parallel; beide Enden breit unregelmäßig gerundet, in der Mitte etwas eingeschnitten, hinten neben der Mitte gezähnelt. — L. 0·68—0·76 mm.

Golf von Neapel.

79. **C. foveostriata** (G. Brady) 1870 *Cythere f.*, G. S. Brady in: Folin & Périer, Fonds Mer, *v.* 1 p. 246 t. 32 f. 14—17.

Schalenumriß ähnlich wie bei C. quadridentata; die Gruben der Oberfläche groß, so daß sich über der Mittelrippe nur eine Reihe findet, unter der Mittelrippe mehrere durch Rippen getrennte Längsreihen von Gruben. Vom Rücken gesehen Breite reichlich $^1/_2$ der Länge, am breitesten wenig hinter der Mitte, eiförmig; am hinteren Ende 2 umfangreiche Spitzen. — L. 0·7 mm.

Westküste von Afrika (Kap von Sainte Anne, 21° n. Br.).

80. **C. stolonifera** (G. Brady) 1880 *Cythere s.*, G. S. Brady in: Rep. Voy. Challenger, Zool. *v.* 1 Part 3 p. 89 t. 21 f. 3a—d.

Schale im Umriß ähnlich wie bei C. quadridentata (nr. 76); Höhe $^1/_2$ der Länge; Hinterrand mit deutlichem, schwach gezähneltem, hinterem Fortsatz, darüber schwach konkav; Ventralrippe in eine Vorderrandrippe fortgesetzt, auf $^4/_5$ der Länge bogig aufsteigend, mit der Mittelrippe vereinigt; zwischen Ventral- und Mittelrippe verläuft noch eine deutliche Rippe; der Raum zwischen den Rippen undeutlich wellig. — L. 0·6 mm.

Südafrika (Simonsbay).

81. **C. bermudae** (G. Brady) 1880 *Cythere b.*, G. S. Brady in: Rep. Voy. Challenger, Zool. *v.* 1 Part 3 p. 90 t. 21 f. 2a—d.

Schalenumriß ähnlich wie bei C. stolonifera; der hintere Fortsatz quer abgestutzt, mit geradem, steil abfallendem Hinterrande und scharfwinkligen Ecken; der Bogen über dem Fortsatze unregelmäßig gezähnelt; die Ventralrippe beginnt dicht vor der hinteren Ecke, reicht fast bis zum Vorderrande; die Mittelrippe verläuft ununterbrochen und fast geradlinig von der Nachbarschaft der dorsalen, hinteren Ecke bis in die Nachbarschaft des Vorderrandes, wo sie sich der Ventralrippe nähert, ohne mit ihr zu verschmelzen; eine

schwache Rippe in der Nachbarschaft des Dorsalrandes; der Raum zwischen den Rippen mit unregelmäßigen, großen Gruben. — L. 0·5 mm.

Bermudas, 833 m Tiefe.

82. **C. pumila** (G. Brady) 1866 *Cythere p.*, G. S. Brady in: Tr. zool. Soc. London, *v.* 5 p. 378 t. 60 f. 7.

Schale im Umriß ähnlich wie C. quadridentata (nr. 76); hinterer Fortsatz ziemlich deutlich, ungezähnelt; Mittelrippe in ihrer vorderen Hälfte gebogen, die Schließmuskelansätze ventral im Bogen umziehend (?), in der hinteren Hälfte gerade, deutlich aufsteigend, am Ende in 2 Äste gespalten, von denen der eine zur hinteren, dorsalen Ecke aufsteigt, der andere zum hinteren Fortsatz absteigt; weiter entsendet die Mittelrippe etwa auf halber Länge einen starken Ast dorsalwärts, sowie schwächere Äste nach verschiedenen Richtungen. — L. 0·54 mm.

Australien.

83. **C. giesbrechtii** G. W. Müll. 1894 *C. g.*, G. W. Müller in: F. Fl. Neapel, *v.* 21 p. 370 t. 29 f. 17; t. 31 f. 4, 8—12.

Höhe der Schale $^5/_8$ der Länge; Augenecke ziemlich deutlich; Dorsalrand gerade, deutlich abfallend; Vorderrand ungezähnelt; Hinterrand fast gerade, in ganzem Umfange etwas wellig, senkrecht abfallend, gegen den Dorsalrand durch eine deutliche, gerundete Ecke, gegen den Ventralrand nicht abgegrenzt; Oberfläche mit flachen, scharf konturierten Gruben, welche in der Nachbarschaft der Schließmuskelansätze und am Vorderrande fehlen; die Mittelrippe beginnt erst hinter den Schließmuskelansätzen und ist wie die Ventralrippe schwach entwickelt. — L. 0·52 mm.

Golf von Neapel.

84. **C. quadriaculeata** (G. Brady) 1880 *Cythere q.*, G. S. Brady in: Rep. Voy. Challenger, Zool. *v.* 1 Part 3 p. 86 t. 22 f. 2a—d; t. 25 f. 4a—d.

Schale im Profil ähnlich wie C. giesbrechtii; Hinterrand konkav ausgeschnitten, gegen den Dorsalrand wie gegen den im hinteren Viertel stark aufsteigenden Ventralrand deutlich eckig abgegrenzt; Oberfläche dicht mit kleinen, rundlichen Gruben bedeckt; Mittelrippe kurz, etwa vom Schließmuskelansatz bis zu $^3/_4$ der Länge reichend; Ventralrippe etwas weiter nach vorn reichend; beide sind stark erhaben und endigen mit nach hinten gerichteter Spitze; diese Spitzen sind in der Rückenansicht deutlich sichtbar; sie decken sich mehr oder weniger und markieren eine Ecke, vor der die Seiten bis etwa $^1/_4$ der Länge parallel verlaufen, hinter der sie stark konvergieren. Im vorderen Viertel konvergieren die Seiten in stark geschwungener Linie; Vorderende schmal abgestutzt, Hinterende zugespitzt. — L. 0·5 mm.

Honolulu; Japanisches Binnenmeer.

85. **C. exilis** (G. Brady) 1880 *Cythere e.*, G. S. Brady in: Rep. Voy. Challenger, Zool. *v.* 1 Part 3 p. 69 t. 16 f. 5a—h | (non 1901 *C. e.*, Egger in: Abh. Bayer. Ak., *v.* 21 p. 439 t. 7 f. 29—31).

Höhe der Schale annähernd $^1/_2$ der Länge; Augenecke undeutlich; Dorsalrand gerade, horizontal; Vorderrand ungezähnelt; der Hinterrand ungezähnelt; gegen den Dorsalrand deutlich stumpfwinklig, gegen den Ventralrand undeutlich abgegrenzt; er bildet einen spitzen Winkel, dessen stark abgerundete Spitze etwa auf $^1/_2$ der Höhe liegt; Ventralrand tief eingebuchtet, in den hinteren $^2/_5$ der Länge aufsteigend; Oberfläche mit eckigen

Gruben, zwischen denen deutlich eine Mittelrippe und Ventralrippe heraustritt. Vom Rücken gesehen Breite etwa $^2/_5$ der Länge; Seiten in der Mitte annähernd parallel, nach beiden Enden konvergierend; beide Enden etwas eingeschnitten. — L. 0·75 mm.

Südafrika (Simonsbay).

86. **C. australis** W. Baird 1850 *C. a.*, W. Baird in: P. zool. Soc. London, *v.* 18 p. 255 t. 18 f. 10—12.

Höhe der Schale etwa $^1/_2$ der Länge; Augenecke deutlich; Dorsalrand gerade, deutlich abfallend; Vorderrand mit zahlreichen kleinen Zähnen; Hinterrand gerundet, in der ventralen Hälfte mit wenigen stärkeren Zähnen, gegen den Dorsalrand winklig abgesetzt; Ventralrand gerade; Oberfläche mit runden Gruben; die Mittelrippe beginnt beim Schließmuskelansatz und reicht bis annähernd zum Hinterrande. Vom Rücken gesehen Breite etwa $^1/_3$ der Länge; etwa auf $^1/_3$ und $^5/_6$ bilden die Seiten deutliche Ecken, zwischen denen sie annähernd parallel verlaufen, während sie vor der vorderen Ecke schwach in konkaver, hinter der hinteren Ecke stark in tief winklig eingedrückter Linie konvergieren; Vorderende sehr breit, gerade abgestutzt, Hinterende schmaler. — L.?

Australien (Moreton-Bay).

87. **C. runcinata** W. Baird 1850 *C. r.*, W. Baird in: P. zool. Soc. London, *v.* 18 p. 256 t. 18 f. 7—9 | ? 1868 *Cythere stimpsoni*, G. S. Brady in: Folin & Périer, Fonds Mer, *v.* 1 p. 78 t. 10 f. 7, 8 | ? 1869 *C. s.*, G. S. Brady in: Ann. nat. Hist., ser. 4 *v.* 3 p. 48 t. 7 f. 9—12 | ? 1880 *C. s.*, G. S. Brady in: Rep. Voy. Challenger, Zool. *v.* 1 Part 3 p. 85 t. 21 f. 6a—d | 1889 *C. runcinata*, G. S. Brady & A. M. Norman in: Tr. R. Dublin Soc., ser. 2 *v.* 4 p. 160 t. 15 f. **24, 25,** (30, 31?).

Schale im Profil der von C. australis ähnlich; Vorderrand gezähnelt; die Zähne nehmen ventralwärts an Größe zu; Ecke zwischen Dorsal- und Hinterrand von einer Spitze überragt; die Mittelrippe beginnt nahe dem Vorderrande und endet auf etwa $^4/_5$ plötzlich; Dorsalrand- und Vorderrandrippe vorhanden. Vom Rücken gesehen ähnlich wie C. australis; Breite annähernd $^1/_2$ der Länge; vordere Ecke weniger deutlich, Vorderende gezähnelt, Hinterende unregelmäßig höckrig. — L. ♀ 0·87, ♂ 0·98 mm.

Golf von Biscaya; Vigo-Bay; Mittelmeer; Malayischer Archipel?; Cocosinsel; Ceylon.

88. **C. fistulosa** W. Baird 1850 *C. f.*, W. Baird in: P. zool. Soc. London, *v.* 18 p. 256 t. 18 f. 1—3.

Schale der von C. australis ähnlich; Höhe deutlich kleiner als $^1/_2$ der Länge; Dorsalrand annähernd horizontal; Vorderrand mit 7 oder 8 kleinen Zähnen; Hinterrand mit 5 oder 6 größeren Zähnen; Oberfläche mit runden Gruben; die Mittelrippe beginnt nahe dem Vorderende und endet auf etwa $^3/_4$ der Länge. Vom Rücken gesehen Breite etwa $^1/_2$ der Länge, am breitesten etwa auf $^3/_4$ der Länge; die Seiten bilden flache Bogen, welche langsam nach vorn zum quer abgestutzten Vorderende konvergieren; Hinterende mit 2 großen Spitzen. — L.?

Manilla; Mittelmeer; Golf von Biscaya.

89. **C. ramdohri** (nom. nov.), G. W. Müll. 1869 *Cythere serrulata* (non *C. s.* Bosquet 1854), G. S. Brady in: Folin & Périer, Fonds Mer, *v.* 1 p. 153 t. 18 f. 11, 12.

Schale der von C. australis ähnlich; aber Hinterrand ungezähnelt, dagegen Ventralrand im hinteren Drittel deutlich gezähnelt; Vorderrand dicht und fein gezähnelt, die Zähnelung erstreckt sich auch hier auf den Ventral-

rand. Vom Rücken gesehen Breite $^1/_2$ der Länge, Seiten in der Mitte parallel, an beiden Enden konvergierend, Enden wenig abgestutzt. — L. 0·7 mm.

Karibisches Meer (Colon).

90. **C. curvicostata** (G. Brady) 1880 *Cythere c.*, G. S. Brady in: Rep. Voy. Challenger, Zool. *v.* 1 Part 3 p. 84 t. 12 f. 4a—d | ?1901 *C. (Cythereis) c.*, Egger in: Abh. Bayer. Ak., *v.* 21 p. 444 t. 7 f. 34, 35.

Schale der von C. bermudae (nr. 81) ähnlich, auch bezüglich der Zähnelung des Ventralrandes; Hinterrand in der ventralen Hälfte gezähnelt; Oberfläche mit zahlreichen kleinen Gruben; Ventral- und Mittelrippe ziemlich unregelmäßig. Vom Rücken gesehen schmal, Breite nur $^1/_3$ der Länge, ähnlich wie C. australis. — L. 0·53 mm.

Torresstraße (Boobyinseln); Kerguelen, 104 m Tiefe; Atlantischer Ozean (6° n. Br., 11° w. L., 68 m Tiefe?).

91. **C. craticula** (G. Brady) 1880 *Cythere c.*, G. S. Brady in: Rep. Voy. Challenger, Zool. *v.* 1 Part 3 p. 89 t. 21 f. 7a—d.

Höhe der Schale etwa $^3/_5$ der Länge; Augenecke abgerundet; Hinterrand stark abfallend; Vorderrand unregelmäßig gezähnelt; Hinterrand mit ziemlich deutlichem, hinterem Fortsatz, der wenige deutliche Zähne trägt; die Mittelrippe bildet einen deutlichen, ventralwärts offenen Bogen, von ihr aus zweigen dorsal- und ventralwärts Rippen ab, zwischen denen die Schale unregelmäßig grubig gestaltet ist. — L. 0·66 mm.

Südafrika (Simonsbay).

92. **C. hamata** G. W. Müll. 1894 *C. h.*, G. W. Müller in: F. Fl. Neapel, *v.* 21 p. 373 t. 29 f. 19; t. 31 f. 14—16.

Schalenumriß ähnlich wie bei C. australis (nr. 86), gestreckter; Vorderrand und ventrale Hälfte des Hinterrandes mit umfangreichen, mit breiter Basis aufsitzenden, an der Spitze zum Teil hakigen Zähnen; Mittel-, Ventral- und Dorsalrandrippe deutlich; Fläche zwischen den Rippen glatt, bis auf undeutliche, von den Rippen ausgehende schwache Leisten, welche aber einen vollständig glatten Raum zwischen den Rippen frei lassen. — L. 0·89 mm.

Golf von Neapel.

93. **C. lauta** (G. Brady) 1880 *Cythere l.*, G. S. Brady in: Rep. Voy. Challenger, Zool. *v.* 1 Part 3 p. 85 t. 21 f. 4a—d | (non 1901 *C. l.*, Egger in: Abh. Bayer. Ak., *v.* 21 p. 441 t. 6 f. 21—24).

Höhe der Schale etwa $^1/_2$ der Länge; Augenecke wenig deutlich; Dorsalrand deutlich abfallend, in der hinteren Hälfte unregelmäßig eingeschnitten; Hinterrand in der dorsalen Hälfte unregelmäßig steil abfallend, etwas ausgeschnitten, ventral gerundet, gegen den Dorsalrand deutlich winklig, gegen den Ventralrand nicht deutlich abgegrenzt; Vorder- und Hinterrand in der ventralen Hälfte gezähnelt; Oberfläche mit eckigen Gruben, mit deutlicher Ventral- und Mittelrippe, welch letztere in der Gegend der Schließmuskelansätze beginnt. Vom Rücken gesehen Breite etwa $^1/_3$ der Länge; Seiten parallel, von $^1/_3$ der Länge an nach vorn konvergierend, im vorderen Viertel wieder parallel; Vorderende rundlich abgestutzt; Hinterende unregelmäßig zackig. — L. 0·49 mm.

Torresstraße.

94. **C. antiquata** W. Baird 1850 *C. a.*, W. Baird, Brit. Entom., p. 176 t. 20 f. 2 | 1868 *Cythere a.*, G. S. Brady in: Tr. Linn. Soc. London, *v.* 26 p. 417 t. 30 f. 17—20 | 1894 *Cythereis a.*, G. W. Müller in: F. Fl. Neapel, *v.* 21 p. 374 t. 29 f. **18, 24**; t. 31 f. 1, 5, 6.

Höhe der Schale etwa $^1/_2$ der Länge; Augenecke deutlich, zipfelartig erhoben; Dorsalrand schwach abfallend, im Profil unregelmäßig gezackt; Hinterrand flach gewölbt, in der ventralen Hälfte mit wenigen, starken Zähnen; Vorderrand in der ventralen Hälfte mit etwa 9 schlanken, meist ventralwärts gerichteten Zähnen; Oberfläche mit Mittel-, Ventralrand-, Dorsalrand- und Vorderrandrippe; die 3 erstgenannten sind hoch und schmal, durch dickere Stellen, welche Ausläufer auf die benachbarte Schale entsenden, verstärkt; die Mittelrippe ist von wechselndem Umfange, meist in der Schließmuskelgegend unterbrochen, bisweilen das hintere Stück fehlend; der Raum zwischen den Rippen ohne Gruben, aber mit zahlreichen, 1- bis 4-spitzigen Höckern von wechselndem Umfang. — L. 0·86—0·93 mm (mit Fortsätzen).

Mittelmeer; Golf von Biscaya; Küsten von England.

95. **C. vineyardensis** Cushman 1906 *C. v.*, Cushman in: P. Boston Soc., *v.* 32 p. 380 t. 37 f. 110—114.

Schale: Höhe etwa $^1/_2$ der Länge, am höchsten in der Augengegend, wo Dorsalrand und Vorderrand eine deutliche Ecke bilden; Dorsalrand annähernd geradlinig, etwas unregelmäßig, deutlich nach hinten abfallend; der flach gewölbte Hinterrand bildet mit Dorsal- und Ventralrand deutliche Ecken. Vorderrand und Hinterrand in der ventralen Hälfte gezähnt, die ziemlich umfangreichen, dicht stehenden Zähne überragen den Schalenrand nicht oder nur wenig; die Mitte der Schale erhebt sich scharfkantig gegen eine schmale Randpartie, die vordere und dorsale Kante des Mittelfeldes mit warzenartigen Vorsprüngen, ähnliche Warzen auf dem Mittelfelde, besonders in halber Höhe; eine Kante über den Schließmuskelansätzen. Vom Rücken gesehen Breite etwa $^2/_5$ der Länge, am breitesten hinter halber Länge, unregelmäßig eiförmig. — L. 0·9 mm.

Atlantische Küste von Nordamerika (Vineyard Sund).

96. **C. clavigera** (G. Brady) 1880 *Cythere c.* + *C. militaris* (Larve?), G. S. Brady in: Rep. Voy. Challenger, Zool. *v.* 1 Part 3 p. 109 t. 23 f. 7a—d; p. 110.

Schale der von C. antiquata ähnlich; Dorsalrand mit wenigen umfangreichen, nach hinten gerichteten Zähnen; Vorderrand fast in ganzem Umfange mit kurzen, breiten, stumpfen Zähnen; Mittelrippe unregelmäßig, gezackt; die Fläche dorsal und ventral von ihr wellig, unregelmäßig mit Warzen bedeckt. — L. 0·77 mm.

Australien (Port Jackson).

97. **C. whitei** W. Baird 1850 *C. w.*, W. Baird, Brit. Entom., p. 175 t. 20 f. 3 | 1868 *Cythere w.*, G. S. Brady in: Tr. Linn. Soc. London, *v.* 26 p. 416 t. 30 f. 21—24.

Schale der von C. antiquata ähnlich; Dorsal-, Vorder- und Hinterrand ungezähnelt oder undeutlich gezähnelt; außer den bei C. antiquata vorhandenen Rippen findet sich noch eine hintere aufsteigende Rippe, die wie die Mittel- und Ventralrippe in eine Reihe von abgestutzten, an ihrer Basis miteinander verbundenen Stacheln aufgelöst ist. — L. 0·72 mm.

Küste von England; Mittelmeer; Lorenzobusen.

98. **C. ichthyoderma** (G. Brady) 1890 *Cythere i.*, G. S. Brady in: Tr. R. Soc. Edinb., *v.* 35 p. 503 t. 2 f. 22, 23.

Schale der von C. antiquata ähnlich; Dorsal- und Ventralrand mit sehr dichtstehenden, nach hinten gerichteten, umfangreichen Zähnen; Mittel- und Ventralrippe bilden 2 warzige oder schuppige Erhebungen, die sehr verschieden stark entwickelt sind und ganz fehlen können; Oberfläche zwischen den Rippen glatt. — L. 0·77 mm.

Südsee (Neuguinea, Fidschiinseln, Neucaledonia).

99. **C. tricristata** (G. Brady) 1880 *Cythere t.*, G. S. Brady in: Rep. Voy. Challenger, Zool. *v.* 1 Part 3 p. 110 t. 23 f. 6a—d.

Schale der von C. antiquata (nr. 94) ähnlich; Rand ringsherum unregelmäßig zackig; an der hinteren, dorsalen Ecke eine umfangreiche Spitze; Ventralrippe fehlt; Mittelrippe sehr hoch, durch 2 Einschnitte in 2 große und 1 kleinen Abschnitt geteilt, von denen jeder wieder stumpf und unregelmäßig gezähnelt ist. In der Ansicht vom Rücken in der Mitte tief eingeschnitten. — L. 0·65 mm.

Australien (Port Jackson) und Admiralitätsinseln.

100. **C. scalaris** (G. Brady) 1880 *Cythere s.*, G. S. Brady in: Rep. Voy. Challenger, Zool. *v.* 1 Part 3 p. 87 t. 21 f. 8a—c.

Höhe der Schale reichlich $^1/_2$ der Länge; Augenecke nicht deutlich; Dorsalrand stark abfallend (sodaß ein Hinterrand fast ganz fehlt), unregelmäßig gesägt; Vorderrand mit langen, spitzen Zähnen, ebenso der letzte aufsteigende Teil des Ventralrandes; Oberfläche dicht mit tiefen, eckigen Gruben bedeckt; Mittelrippe deutlich, nach hinten aufsteigend. Vom Rücken gesehen Breite (ohne Dorn) weniger als $^1/_2$ der Länge; Seiten in der Mitte etwas wellig, an beiden Enden in unregelmäßig gezackter oder winklig eingedrückter Linie konvergierend; auf etwa $^2/_3$ der Länge ein großer, senkrecht abstehender Dorn. — L. 0·58 mm.

Torresstraße.

101. **C. prava** W. Baird 1850 *C. p.*, W. Baird in: P. zool. Soc. London, *v.* 18 p. 256 t. 18 f. 13—15 | ?1850 *C. deformis*, W. Baird in: P. zool. Soc. London, *v.* 18 p. 256 t. 18 f. 4—6 | 1868 *Cythere prava*, G. S. Brady in: Folin & Périer, Fonds Mer, *v.* 1 p. 100 t. 14 f. 7, 8 | ?1868 *C. dissimilis*, G. S. Brady in: Ann. nat. Hist., ser. 4 *v.* 2 p. 222 t. 15 f. 12, 13 | ?1880 *C. prava*, G. S. Brady in: Rep. Voy. Challenger, Zool. *v.* 1 Part 3 p. 92 t. 22 f. 4a—f | 1894 *Cythereis p.*, G. W. Müller in: F. Fl. Neapel, *v.* 21 p. 376 t. 29 f. 22, 27; t. 31 f. 31, 32, 34; t. 36 f. 31, 32.

Höhe der Schale etwa $^5/_8$ der Länge; Augenecke deutlich; Dorsalrand annähernd gerade, deutlich abfallend, gegen den Hinterrand in meist deutlicher, gerundeter Ecke abgegrenzt; Hinterrand dorsal deutlich konkav; hinterer Fortsatz deutlich, mit unregelmäßig gezacktem Rande; Vorderrand ungezähnelt; Ventralrand annähernd gerade; Oberfläche mit runden, tiefen, scharf begrenzten Gruben bedeckt, zwischen denen sich vereinzelte, warzenartige Höcker befinden; Mittelrippe niedrig, unregelmäßig gebogen, in der Schließmuskelgegend mehr oder weniger deutlich unterbrochen; ferner vorhanden eine Dorsalrandrippe, eine Ventralrippe, eine aufsteigende Rippe, außerdem eine kurze Rippe zwischen Dorsalrand- und Mittelrippe, und eine undeutliche unter den Schließmuskelansätzen. Vom Rücken gesehen Breite größer als $^1/_2$ der Länge; Seiten im mittleren Drittel wellig, in der Mitte deutlich eingeschnürt; an beiden Enden in unregelmäßig gewellter oder gezackter Linie konvergierend. — L. 0·91—0·96 mm.

Mittelmeer; Manila?; Neuseeland und andere Südseeinseln?

C. alderi (G. Brady) 1869 *Cythere a.*, G. S. Brady in: Folin & Périer, Fonds Mer, *v.* 1 p. 139 t. 17 f. 5, 6.

Capverdische Inseln (St. Vincent).

C. angulata (O. Sars) 1865 *Cythere a.*, G. O. Sars in: M. Sars, Foss. Dyrelev. Quart., p. 117 (descr. nulla) | 1866 *Cythereis a.*, G. O. Sars in: Forh. Selsk. Christian., 1865 p. 40 | ? 1866 *Cythere clathrata var. nuda*, G. S. Brady in: Tr. zool. Soc. London, *v.* 5 p. 376 t. 59 f. 9, 10 | ? 1868 *C. angulata*, G. S. Brady in: Tr. Linn. Soc. London, *v.* 26 p. 409 t. 26 f. 39—42.

Atlantischer Ozean nördlich von 60° n. Br.

C. bahamensis (G. Brady) 1870 *Cythere b.*, G. S. Brady in: Folin & Périer, Fonds Mer, *v.* 1 p. 241 t. 32 f. 1, 2.

Bahamainseln.

C. batei G. Brady 1866 *C. b.*, G. S. Brady in: Tr. zool. Soc. London, *v.* 5 p. 384 t. 60 f. 8.

Östliches Mittelmeer.

C. cluthae (G. Brady, Crosskey & D. Roberts.) 1874 *Cythere c.*, G. S. Brady, Crosskey & D. Robertson in: Pal. Soc. Mon., 1874 p. 153 t. 13 f. 16, 17 | 1889 *C. c.*, G. S. Brady & A. M. Norman in: Tr. R. Dublin Soc., ser. 2 *v.* 4 p. 145 t. 14 f. 25—27; t. 17 f. 35, 36.

Küste von England; Norwegen; Spitzbergen; Franz Joseph-Land.

C. confluens (Reuss) 1856 *Cythere c.*, Reuss in: SB. Ak. Wien, *v.* 18 p. 257 t. 10 f. 102 | ? 1869 *C. c.*, G. S. Brady in: Folin & Périer, Fonds Mer, *v.* 1 p. 140.

Capverdische Inseln (St. Vincent).

C. convoluta (G. Brady) 1868 *Cythere c.*, G. S. Brady in: Ann. nat. Hist., ser. 4 *v.* 2 p. 182 t. 12 f. 3, 4 | ? 1880 *C. c.*, G. S. Brady in: Rep. Voy. Challenger, Zool. *v.* 1 Part 3 p. 92 t. 22 f. 3a—d.

Mauritius; Tongainseln?; Honolulu?

C. crenulata O. Sars 1866 *C. c.*, G. O. Sars in: Forh. Selsk. Christian., 1865 p. 39 | ? 1869 *Cythere c.*, A. M. Norman in: Rep. Brit. Ass., Meet. 38 p. 291 | 1889 *C. c.*, G. S. Brady & A. M. Norman in: Tr. R. Dublin Soc., ser. 2 *v.* 4 p. 158 t. 15 f. 5, 6.

Shetlandinseln, Küste von Norwegen; Grönland; Davisstraße.

C. curvistriata (G. Brady) 1870 *Cythere c.*, G. S. Brady in: Folin & Périer, Fonds Mer, *v.* 1 p. 193 t. 19 f. 22, 23.

Capverdische Inseln (St. Vincent).

C. dasyderma (G. Brady) 1880 *Cythere d.*, G. S. Brady in: Rep. Voy. Challenger, Zool. *v.* 1 Part 3 p. 105 t. 17 f. 4a—f; t. 18 f. 4a—f.

Verschiedene Arten?

In verschiedenen Meeren zwischen 56° n. Br. und 52° s. Br. und in Tiefen von 275 bis 5010 m, besonders in Tiefen von mehr als 2000 m; Neuseeland.

C. dawsoni (G. Brady) 1870 *Cythere d.*, G. S. Brady in: Ann. nat. Hist., ser. 4 *v.* 6 p. 453 t. 19 f. 8—10 | 1889 *C. d.*, G. S. Brady & A. M. Norman in: Tr. R. Dublin Soc., ser. 2 *v.* 4 p. 166 t. 16 f. 19, 20 | ? 1904 *C. d.*, Cushman in: P. Boston Soc., *v.* 32 p. 372 t. 35 f. 84, 85.

Atlantische Küste Nordamerikas (Lorenzobusen, Vineyard-Sund).

C. dictyon (G. Brady) 1880 *Cythere d.*, G. S. Brady in: Rep. Voy. Challenger, Zool. *v.* 1 Part 3 p. 99 t. 24 f. 1a—g (Verschiedene Arten?) | ? 1901 *C. d.*, Egger in: Abh. Bayer. Ak., *v.* 21 p. 442 t. 6 f. 41—43.

In verschiedenen Meeren zwischen 38° n. Br. und 52° s. Br., in Tiefen von 87 bis 5030 m; Kerguelen, 104 m Tiefe?; Tafelbai, 91 m Tiefe?; Indischer Ozean (Cocosinsel); Neuseeland.

C. edwardsii (Roemer) 1838 *Cytherina e.*, Roemer in: N. Jahrb. Min., 1838 p. 518 t. 6 f. 27 | 1884 *Cythere e.*, Seguenza in: Natural. Sicil., *v.* 3 p. 187 (descr. nulla) | 1900 *Cythereis e.*, Lienenklaus in: Z. D. geol. Ges., 1900 p. 517 (descr. nulla).

Sizilien.

C. emaciata (G. Brady) 1867 *Cythere e.*, G. S. Brady in: Rep. Brit. Ass. Meet. 36 p. 210 | 1868 *C. e.*, G. S. Brady in: Tr. Linn. Soc. London, *v.* 26 p. 414 t. 31 f. 31—37.

Verschiedene Arten. Küste von England; Sizilien; Azoren; Kap Breton.

C. ferox (G. Brady) 1868 *Cythere f.*, G. S. Brady in: Folin & Périer, Fonds Mer, *v.* 1 p. 93 t. 10 f. 22—24.

Küste von Sizilien.

C. finmarchica O. Sars 1866 *C. f.*, G. O. Sars in: Forh. Selsk. Christian., 1865 p. 41 | 1868 *Cythere f.*, G. S. Brady in: Tr. Linn. Soc. London, *v.* 26 p. 410 t. 31 f. 9—13.

Küste von Norwegen; England; Grönland; Davisstraße; Capverdische Inseln (St. Vincent).

C. flabellicostata (G. Brady) 1880 *Cythere f.*, G. S. Brady in: Rep. Voy. Challenger, Zool. *v.* 1 Part 3 p. 88 t. 13 f. **6** a—h.

Südafrika (Simonsbay).

C. foveolata (G. Brady) 1880 *Cythere f.*, G. S. Brady in: Rep. Voy. Challenger, Zool. *v.* 1 Part 3 p. 75 t. 13 f. **5** a—h.

Verschiedene Arten? Kerguelen; Heardinsel.

C. hamigera (G. Brady) 1868 *Cythere h.*, G. S. Brady in: Ann. nat. Hist., ser. 4 *v.* 2 p. 181 t. 12 f. 5—7.

Mauritius.

C. hoptonensis (G. Brady, Crosskey & D. Roberts.) 1874 *Cythere h.*, G. S. Brady, Crosskey & D. Robertson in: Pal. Soc. Mon., p. 168 t. 14 f. 26, 27 | 1889 *C. h.*, G. S. Brady & A. M. Norman in: Tr. R. Dublin Soc., ser. 2 *v.* 4 p. 158 t. 15 f. 26, 27.

Küste von Spanien (Muros).

C. impluta (G. Brady) 1880 *Cythere i.*, G. S. Brady in: Rep. Voy. Challenger, Zool. *v.* 1 Part 3 p. 76 t. 16 f. **3** a—d; t. 26 f. **6** a—d (2 Arten?) | (non 1901 *C. i.*, Egger in: Abh. Bayer. Ak., *v.* 21 p. 438 t. 8 f. 19—21).

Tristan d'Acunha 182—274 m Tiefe; Falklands Inseln.

C. insulana (G. Brady) 1869 *Cythere i.*, G. S. Brady in: Folin & Périer, Fonds Mer, *v.* 1 p. 140 t. 17 f. 9, 10.

Kapverdische Inseln (St. Vincent).

C. lacerta G. Brady 1866 *C. l.*, G. S. Brady in: Tr. zool. Soc. London, *v.* 5 p. 385 t. 61 f. 4.

Abrolhosinseln (Küste von Brasilien).

C. lactea (G. Brady)

Diese Art zerfällt in 2 Unterarten:

a) **C. lactea lactea** (G. Brady) 1866 *Cythere l.*, G. S. Brady in: Tr. zool. Soc. London, *v.* 5 p. 377 t. 60 f. 3 | ? 1880 *C. l.*, G. S. Brady in: Rep. Voy. Challenger, Zool. *v.* 1 Part 3 p. 91 t. 22 f. 1 a—d.

Australien; Pazifischer Ozean unter 40° s. Br., 767 m Tiefe?; Ceylon.

b) **C. lactea rudis** (G. Brady) 1866 *Cythere l. var. r.*, G. S. Brady in: Tr. zool. Soc. London, *v.* 5 p. 378 t. 60 f. 6.

Atlantischer Ozean, 400 m Tiefe; Funafuti.

C. lamellifera (G. Brady & Norm.) 1889 *Cythere l.*, G. S. Brady & A. M. Norman in: Tr. R. Dublin Soc., ser. 2 *v.* 4 p. 135.

55° n. Br., 25° w. L., 3264 m Tiefe.

C. logani (G. Brady & Crosskey) 1871 *Cythere l.*, G. S. Brady & Crosskey in: Geol. Mag., *v.* 8 p. 63 t. 2 f. 8, 9 | 1878 *C. l.*, G. S. Brady in: Nares, Voy. Polar Sea, *v.* 2 App. 7 p. 254.

Hayes point [Baffinsbay?] 55 m Tiefe.

C. margollei (G. Brady) 1870 *Cythere m.*, G. S. Brady in: Folin & Périer, Fonds Mer, *v.* 1 p. 200.

Magalhaensstraße.

C. melobesioides (G. Brady) 1869 *Cythere m.* + *? C. nodulifera*, G. S. Brady in: Folin & Périer, Fonds Mer, *v.* 1 p. 162 t. 19 f. 10, 11; p. 163 t. 19 f. 24, 25 | ? 1880 *C. melobesioides*, G. S. Brady in: Rep. Voy. Challenger, Zool. *v.* 1 Part 3 p. 108 t. 18 f. 1.

Torresstraße? Mauritius; Ceylon; Island; Südnorwegen.

C. milne-edwardsii (G. Brady & Norm.) 1889 *Cythere m-e.*, G. S. Brady & A. M. Norman in: Tr. R. Dublin Soc., ser. 2 *v.* 4 p. 244.

Westküste von Marokko, in 836—2333 m Tiefe.

C. pannosa (G. Brady) 1869 *Cythere p.*, G. S. Brady in: Folin & Périer, Fonds Mer, *v.* 1 p. 154 t. 19 f. 1, 2.

Karibisches Meer (Colon).

C. parallelogramma (G. Brady) 1880 *Cythere p.*, G. S. Brady in: Rep. Voy. Challenger, Zool. *v.* 1 Part 3 p. 82 t. 15 f. 1a—e | (non 1901 *C. p.*, Egger in: Abh. Bayer. Ak., *v.* 21 p. 442 t. 6 f. 15, 16.

Indischer Ozean (Prince Edwards-Insel).

C. producta (G. Brady) 1866 *Cythere p.*, G. S. Brady in: Tr. zool. Soc. London, *v.* 5 p. 378 t. 59 f. 7.

Honduras.

C. pumicosa (G. Brady) 1866 *Cythere p.*, G. S. Brady in: Tr. zool. Soc. London, *v.* 5 p. 379 t. 61 f. 3 | ? 1869 *C. danaiana*, G. S. Brady in: Folin & Périer, Fonds Mer, *v.* 1 p. 124 t. 14 f. 13, 14; p. 241.

Westindien (Turkinsel, New Providence, Cuba); Veracruz.

C. rastromarginata (G. Brady) 1880 *Cythere r.*, G. S. Brady in: Rep. Voy. Challenger, Zool. *v.* 1 Part 3 p. 83 t. 16 f. 1a—d, 2a—d (2 Arten?) | ? 1901 *C. r.*, Egger in: Abh. Bayer. Ak., *v.* 21 p. 442 t. 6 f. 5—9.

Pazifischer Ozean (Honolulu; Baßstraße; 14° s. Br., 175° w. L., 1655 m Tiefe; 20° s. Br., 113° ö. L., 915 m Tiefe?); Indischer Ozean (Cocosinsel).

C. reussi (G. Brady) 1869 *Cythere r.*, G. S. Brady in: Folin & Périer, Fonds Mer, *v.* 1 p. 153 t. 18 f. 9, 10 | 1880 *C. r.*, G. S. Brady in: Rep. Voy. Challenger, Zool. *v.* 1 Part 3 p. 74 t. 14 f. 2.

Karibisches Meer (Colon); Magalhaensstraße; Honolulu; Torresstraße.

C. scabra (Münster) ? 1830 *Cythere s.*, Münster in: N. Jahrb. Min., p. 63 | 1866 *C. s.*, G. S. Brady in: Tr. zool. Soc. London, *v.* 5 p. 380 t. 61 f. 8 | ? 1880 *C. acanthoderma*, G. S. Brady in: Rep. Voy. Challenger, Zool. *v.* 1 Part 3 p. 104 t. 18 f. 5a—e | (non 1901 *C. scabra*, Egger in: Abh. Bayer. Ak., *v.* 21 p. 432 t. 6 f. 17, 18).

In verschiedenen Meeren zwischen 65° n. und 46° s. Br., in Tiefen bis zu 5030 m?

C. scutigera (G. Brady) 1868 *Cythere s.* + *? C. scuticosa*, G. S. Brady in: Folin & Périer, Fonds Mer, *v.* 1 p. 70 t. 8 f. 15, 16; p. 101 | ?1880 *C. scutigera*, G. S. Brady in: Rep. Voy. Challenger, Zool. *v.* 1 Part 3 p. 109 t. 22 f. 5 a—f.

Malayischer Archipel (Java, Amboina); Pazifischer Ozean (Neuseeland?; 33° 42′ s. Br., 78° 18′ w. L.?); Mittelmeer?

C. subrugosa (G. Brady) 1870 *Cythere s., C. compacta*, G. S. Brady in: Folin & Périer, Fonds Mer, *v.* 1 p. 238 t. 30 f. 18, 19; Figurenerklärung.

Cuba.

C. subtrigona (Seg.) 1880 *Cythere s.* + *? C. s. var. marginato-striata*, Seguenza in: Atti Acc. Lincei Mem., ser. 3 *v.* 6 p. 77 t. 8 f. 2; p. 125 t. 12 f. 6 | 1884 *C. s. var. m.-s.*, Seguenza in: Natural. Sicil., *v.* 3 p. 288.

Hafen von Messina.

C. suhmi (G. Brady) 1880 *Cythere s.*, G. S. Brady in: Rep. Voy. Challenger, Zool. *v.* 1 Part 3 p. 106 t. 26 f. 3 a—h.

Verschiedene Arten. Pazifischer Ozean (35° 41′ n. Br., 157° 42′ ö. L., 4200 m Tiefe); Prince Edwards-Insel.

C. thorellii (G. Brady) 1870 *Cythere shorellii* (laps.), G. S. Brady in: Folin & Périer, Fonds Mer, *v.* 1 p. 234 t. 30 f. 14, 15.

Magalhaensstraße.

C. tuberculata (O. Sars) 1865 *Cythere t.*, G. O. Sars in: M. Sars, Foss. Dyrelev. Quart., p. 117 (descr. nulla) | 1866 *Cythereis t.*, G. O. Sars in: Forh. Selsk. Christian., 1865 p. 37 | ?1866 *C. mutabilis* + *C. clathrata var. latimarginata*, *C. lyrata*, G. S. Brady in: Tr. zool. Soc. London, *v.* 5 p. 377 t. 59 f. 14; p. 376 t. 59 f. 11—13 (Verschiedene Arten?) | 1868 *Cythere tuberculata*, G. S. Brady in: Tr. Linn. Soc. London, *v.* 26 p. 406 t. 30 f. 25—41 | ?1901 *C. t.*, Egger in: Abh. Bayer. Ak., *v.* 21 p. 443 t. 8 f. 4—6 | 1906 *Cythereis t.*, Cushman in: P. Boston Soc., *v.* 32 p. 376 t. 36 f. 108, 109.

Arktische Meere; Nördlicher Atlantischer Ozean (Lorenzobusen); Westindien; Karibisches Meer (Colon); Pazifischer Ozean (18° s. Br., 116° ö. L., 357 m Tiefe?).

C. ventricrista (G. Brady) 1881 *Cythere v.*, G. S. Brady in: Folin & Périer, Fonds Mer, *v.* 4 p. 196 t. 14 f. 8, 9.

Atlantischer Ozean?

C. venus (Seg.) 1883 & 85 *Cythere v.* + *C. v. var. messanensis*, Seguenza in: Natural. Sicil., *v.* 3 p. 48 t. 1 f. 7; *v.* 4 p. 150.

Hafen von Messina.

C. zurcheri (G. Brady) 1870 *Cythere z.*, G. S. Brady in: Folin & Périer, Fonds Mer, *v.* 1 p. 200.

Magalhaensstraße.

C. sp. 1901 *Cythere anna* (non *C. a.* Lienenklaus 1894), Egger in: Abh. Bayer. Ak., *v.* 21 p. 439 t. 6 f. 27, 28.

Indischer Ozean (18° s. Br., 116° ö. L., 357 m Tiefe).

C. sp. 1901 *Cythere aranea* (non *C. a.* Jones & Sherborn 1889), Egger in: Abh. Bayer. Ak., *v.* 21 p. 439 t. 6 f. 35—37.

Indischer Ozean (18° s. Br., 116° ö. L., 357 m Tiefe).

C. sp. 1880 *Cythere audei* (non *C. a.* G. Brady 1870), G. S. Brady in: Rep. Voy. Challenger, Zool. *v.* 1 Part 3 p. 83 t. 15 f. 7.

Kerguelen; Ascension?

C. sp. 1901 *Cythere jonesii* (non *Cythereis j.* W. Baird 1850, G. S. Brady 1868), Egger in: Abh. Bayer. Ak., *v.* 21 p. 446 t. 5 f. 23—25.

Atlantischer Ozean (10° n. Br., 17° w. L., 677 m Tiefe); Indischer Ozean (18° s. Br., 116° ö. L., 357 m Tiefe).

C. sp. 1890 *Cythere labiata* (non *C. l.* Terquem 1877), G. S. Brady in: Tr. R. Soc. Edinb., *v.* 35 p. 503 t. 2 f. 20, 21.

Fidschiinseln.

C. sp. 1890 *Cythere militaris* (non *C. m.* G. Brady 1866), G. S. Brady in: Tr. R. Soc. Edinb., *v.* 35 p. 504 t. 2 f. 24—26.

Fidschiinseln; Westaustralien.

C. sp. 1880 *Cythere normani* (non *C. n.* G. Brady 1866), G. S. Brady in: Rep. Voy. Challenger, Zool. *v.* 1 Part 3 p. 101 t. 17 f. 3a—d; t. 26 f. 4a, b (Verschiedene Arten?).

Pazifischer Ozean (52° 4′ s. Br., 71° 22′ ö. L.); Indischer Ozean (36° 6′ s. Br., 82° 2′ w. L.).

C. sp. 1866 *Cythere oblonga* (non *C. o.* Mc Coy 1862), G. S. Brady in: Tr. zool. Soc. London, *v.* 5 p. 373 t. 59 f. 5 | 1868 *C. o.*, G. S. Brady in: Tr. Linn. Soc. London, *v.* 26 p. 400 t. 31 f. 14—17.

Küste von Norwegen; Mittelmeer; Karibisches Meer (Colon).

C. sp. 1880 *Cythere polytrema* (non *C. p.* G. Brady 1878), G. S. Brady in: Rep. Voy. Challenger, Zool. *v.* 1 Part 3 p. 87 t. 21 f. 5a—h | ?1901 *C. p.*, Egger in: Abh. Bayer. Ak., *v.* 21 p. 441 t. 6 f. 10—12.

Prince Edwards-Insel; östlich von Patagonien, 109 m Tiefe?; Ceylon.

C. sp. 1901 *C. scabra* (non *C. s.* Münster 1830, Römer 1838), Egger in: Abh. Bayer. Ak., *v.* 21 p. 432 t. 6 f. 17, 18.

Indischer Ozean (18° s. Br., 116° ö. L., 357 m Tiefe; Mauritius, 411 m Tiefe).

30. Gen. **Cytheretta** G. W. Müller

1894 *Cytheretta*, G. W. Müller in: F. Fl. Neapel, *v.* 21 p. 382 | 1906 *Pseudocytheretta*, Cushman in: P. Boston Soc., *v.* 32 p. 382.

Innenrand der Schale mit sehr unregelmäßigem Verlauf: er bildet am Vorderrande eine stark S-förmig geschwungene Linie, am Ventralrande ventral von den Schließmuskelansätzen einen weit ventralwärts reichenden Zipfel, dahinter einen flachen, ventralwärts offenen Bogen, fällt mit der Verwachsungslinie zusammen. Spinnborste der 2. Antenne in beiden Geschlechtern 3-gliedrig. 1. Thoraxbein vom ♀ und ♂ verschieden gestaltet, beim ♂ unsymmetrisch. Penis mit langem, freiem Begattungsrohr. Sonst wie Cythereis.

2 Arten.

1. **C. rubra** G. W. Müll. 1894 *C. r.*, G. W. Müller in: F. Fl. Neapel, *v.* 21 p. 382 t. 8 f. **9**, **10**, **13**, **16**; t. 39 f. 8—22, 24.

Linke Schale: Höhe etwa $^5/_9$ der Länge; Dorsalrand annähernd gerade und horizontal oder schwach nach vorn abfallend; beide Enden breit gerundet; vorn liegt die starke Rundung in der ventralen, hinten in der dorsalen Hälfte. Rechte Schale meist höher, übrigens sehr veränderlich. Oberfläche glatt. Der größere Teil der Schale ganz undurchsichtig, kreideartig; darin Reihen von weniger stark getrübten Stellen, welche Reihen von Gruben vortäuschen. Das terminale Glied des 1. Thoraxbeines des ♂ unregelmäßig geknickt, es trägt die Klaue terminal. — L. 0·7—0·78 mm.

Golf von Neapel.

2. **C. edwardsi** (Cushman) 1906 *Pseudocytheretta e.*, Cushman in: P. Boston Soc., *v.* 32 p. 382 t. 38 f. 119—132.

Schale der von C. rubra sehr ähnlich, ohne die Reihen von durchsichtigen Punkten. Das terminale Glied des 1. rechten Thoraxbeines des ♂ trägt die terminale Klaue nahe der Basis, ist über diesen Ursprung um etwa die doppelte Länge der terminalen Klaue verlängert. — L. 1·1 mm.

Atlantische Küste von Nordamerika (Vineyard-Sund).

31. Gen. **Cytherideis** Jones

1856 *Cytherideis* (part.), Jones in: Pal. Soc. Mon., 1856 p. 46 | 1865 *C.* (part.), G. S. Brady in: Tr. zool. Soc. London, *v.* 5 p. 366 | 1868 *C.*, G. S. Brady in: Tr. Linn. Soc. London, *v.* 26 p. 454 | 1894 *C.*, G. W. Müller in: F. Fl. Neapel, *v.* 21 p. 380.

Schale sehr gestreckt, Höhe meist nur $^1/_3$ oder weniger der Länge; die Verwachsungslinie verläuft am Vorderrande weit vom Innenrande, nahe dem Schalenrande; Schloßrand ohne deutliche Zähne. Gliedmaßen denen von Cythereis ähnlich. 3. Glied des Mandibeltasters sehr lang, länger als das 1. und 2., gewöhnlich länger als das 1., 2. und 4. Glied, bisweilen mit dem 2. Gliede verschmolzen. Maxillartaster sehr dick, etwa so dick wie die 3 Kaufortsätze zusammen. 1.—3. Thoraxbein in beiden Geschlechtern gleich; die Borsten des Vorderrandes des Stammes des 1. Thoraxbeines sehr stark entwickelt, die proximale eigentümlich umgestaltet; 3. Thoraxbein ohne Borste am Hinterrande des Stammes.

5 sichere, 6 unsichere Arten.

1. **C. foveolata** G. Brady ?1870 *C. f.*, G. S. Brady in: Ann. nat. Hist., ser. 4 *v.* 6 p. 454 t. 19 f. 1—3 | (non 1884 *C. f.*, Malcomson in: P. Belfast Club, 1884—85 p. 227 t. 19 f. 19, 20 (cf. 1889 *C. f.* G. S. Brady & A. M. Norman in: Tr. R. Dublin Soc., ser. 2 *v.* 4 p. 226, 227) | 1894 *C. f.*, G. W. Müller in: F. Fl. Neapel, *v.* 21 p. 381 t. 31 f. **40—42**, 43—51.

Rechte Schale: Höhe gleich $^1/_3$—$^2/_5$ der Länge; Dorsalrand annähernd horizontal und gerade; im vorderen Drittel senkt er sich deutlich; dementsprechend ist das Vorderende stark verschmälert, schmal gerundet; Hinterende breit gerundet; Ventralrand gerade. Linke Schale etwas höher; Ventralrand deutlich konvex, auch der Dorsalrand etwas geknickt. Der Vorderrand setzt sich beiderseits aus flachen, undeutlichen Bogen zusammen; Oberfläche undeutlich punktiert, nahe dem Vorderende undeutliche Kanten. 1. Antenne durch Verschmelzung des 5. und 6. Gliedes 5-gliedrig; das vorletzte Glied trägt alle Borsten terminal. Das 2. Glied des Mandibeltasters mit dem 3. verschmolzen; es trägt terminal dorsal eine lange, distal gefiederte Borste, terminal und ventral (lateral) 2 sehr lange und 1 kurze, in ganzem Umfange gefiederte Borsten. — L. 0·7 mm.

Lorenzobusen; Davisstraße; Golf von Neapel.

2. **C. subulata** G. Brady

Diese Art zerfällt in 2 Unterarten:

2a. **C. subulata subulata** G. Brady ?1850 *Cythere flavida* (non *C. f.* O. F. Müller 1785), W. Baird, Brit. Entom., p. 168 t. 21 f. 12, 12a | 1867 *Cytherideis subulata*, G. S. Brady in: Intell. Observ., *v.* 12 p. 125 | 1868 *C. s.*, G. S. Brady in: Tr. Linn. Soc. London, *v.* 26 p. 454 t. 35 f. 43—46 | 1873 *C. s.*, G. S. Brady & D. Robertson in: Ann. nat. Hist., ser. 4 *v.* 9 p. 58 t. 1 f. 12, 13; t. 2 f. 11—13 | 1884 *Cythere foveolata*, Malcomson in: P. Belfast Club, 1884—85 p. 261 t. 25 f. 8—12 (fide 1889 *C. f.* G. S. Brady & A. M. Norman in: Tr. R. Dublin Soc., ser. 2 *v.* 4 p. 226).

Schale der von C. foveolata ähnlich. 1. Antenne 4-gliedrig durch Verschmelzung der 3 letzten Glieder. Alle 4 Borsten des 2. Gliedes des Mandibeltasters umfangreich, länger als das 3. Glied, und fast in ganzer Länge gefiedert. — L. 0·65 mm.

Kapverdische Inseln (St. Vincent); Mittelmeer; Golf von Biscaya; Küsten von England; Island.

2b. **C. subulata fasciata** G. Brady & D. Roberts. 1874 *C. s. var. f.*, G. S. Brady & D. Robertson in: Ann. nat. Hist., ser. 4 *v.* 13 p. 117 t. 5 f. 1—5 | 1876 *C. hilda*, G. S. Brady & D. Robertson in: Rep. Brit. Ass., Meet. 45 p. 187 (descr. nulla) | ?1906 *C. fasciata*, Cushman in: P. Boston Soc., *v.* 32 p. 381 t. 37 f. 114a—118.

Von der ersten Unterart unterschieden durch den Besitz eines breiten, schwarzen Bandes in der vorderen Körperhälfte, durch Zähnelung des vorderen Randes und durch beträchtlichere Größe. — L. 0·7 mm.

Scillyinseln.

3. **C. novae-zealandiae** G. Brady 1898 *C. n.-z.*, G. S. Brady in: Tr. zool. Soc. London, *v.* 14 p. 446 f. 1—4.

Höhe der Schale $^1/_3$ der Länge; Dorsal- und Ventralrand gerade, parallel; Hinterende etwa halbkreisförmig gerundet, Vorderende etwas zugespitzt. Vom Rücken gesehen Breite etwa $^1/_3$ der Länge; Seiten sehr flach gewölbt, fast parallel; Vorderende zugespitzt; hinten greift die linke Schale sehr weit über die rechte. 1. Antenne 6-gliedrig. 2. Glied des Mandibulartasters mit dem 1. verschmolzen, es trägt 1 sehr umfangreiche, gefiederte, und 2 kürzere ungefiederte Borsten. — L. 0·88 mm.

Neuseeland.

4. **C. baculoides** G. Brady 1890 *C. b.*, G. S. Brady in: Tr. R. Soc. Edinb., *v.* 35 p. 512 t. 3 f. 11, 12.

Schale der von C. novae-zealandiae ähnlich, aber noch gestreckter, so daß die Höhe $^2/_7$ der Länge ist. Vom Rücken gesehen Breite $^1/_4$ der Länge; Seiten gewölbt; Hinterende wenig, Vorderende deutlich zugespitzt. Hinten überragt die linke Schale die rechte nicht. Gliedmaßen unbekannt. — L. 0·75 mm.

Fidschiinseln.

5. **C. cylindrica** G. Brady 1869 *C. c.*, G. S. Brady in: Folin & Périer, Fonds Mer, *v.* 1 p. 113 t. 13 f. 11, 12.

Höhe der Schale nur $^1/_4$ der Länge; Dorsal- und Ventralrand gerade, parallel; auf $^1/_4$ der Länge bildet der Dorsalrand einen stumpfen Winkel mit gerundeter Spitze; Vorderende keilförmig zugespitzt, die abgerundete Spitze liegt unter $^1/_2$ der Höhe, ungefähr in der Verlängerung des geraden Ventralrandes; Hinterende gerundet; Oberfläche nahe den Enden mit einigen konzentrischen Streifen. Vom Rücken gesehen Breite $^1/_4$ der Länge; Seiten gerade, parallel; Hinterende abgerundet; Vorderende zugespitzt, die Spitze auf etwa $^1/_6$ der Länge deutlich winklig gegen die bis dahin parallelen Seiten abgegrenzt. Gliedmaßen unbekannt. — L. 0·95—1 mm.

Küste von Syrien (Alexandretta); Kapverdische Inseln (St. Vincent).

6. **C. hedleyi** Chapman 1905 *C. h.*, Chapman in: Tr. N. Zealand Inst., *v.* 38 p. 110 t. 3 f. 8a—c.

Schale gestreckt, Höhe etwa $^3/_8$ der Länge, am höchsten in der Mitte, wo der stark gewölbte Dorsalrand die Andeutung einer Ecke zeigt; Vorderende schmal gerundet, Hinterende zugespitzt, die Spitze abgerundet, der

Ventralrand in der vorderen Hälfte deutlich eingebuchtet, im hinteren Drittel deutlich zur hinteren Spitze aufsteigend. Oberfläche mit dicht stehenden polygonalen Gruben, die mehr oder weniger deutlich in konzentrischen Reihen angeordnet sind. Vom Rücken gesehen am breitesten etwa auf $^3/_4$ der Länge, beide Enden zugespitzt. — L. 0·6 mm.

Neuseeland.

C. andrewsi Chapm. 1902 *C. a.*, Chapman in: P. zool. Soc. London, Part 1 p. 229 f. 27.

Indischer Ozean (Cocosinsel).

C. falcata (Reuss) 1850 *Cytherina f.*, Reuss in: Haidingers naturw. Abh., *v.* 3 p. 17 t. 8 f. 27 | ?1901 *Cytherideis f.* (Larve?), Egger in: Abh. Bayer. Ak., *v.* 21 p. 465 t. 1 f. 42—45.

18° s. Br., 116° ö. L., 357 m Tiefe?

C. gracilis (Reuss) 1850 *Cytherina g.*, Reuss in: Haidingers naturw. Abh., *v.* 3 p. 12 t. 11 f. 3 | ?1866 *Cytherideis g.*, G. S. Brady in: Tr. zool. Soc. London, *v.* 5 p. 367 t. 58 f. 1 | ?1901 *C. g.*, Egger in: Abh. Bayer. Ak., *v.* 21 p. 465 t. 4 f. 57, 58.

Mittelmeer?; 18° s. Br., 116° ö. L., 357 m Tiefe?

C. laevata G. Brady 1880 *C. l.*, G. S. Brady in: Rep. Voy. Challenger, Zool. *v.* 1 Part 3 p. 146 t. 6 f. 5a—d; t. 35 f. 6a—d | 1901 *C. l.*, Egger in: Abh. Bayer. Ak., *v.* 21 p. 466 t. 1 f. 51—53.

Indischer Ozean (Kerguelen; 47° s. Br., 69° ö. L., 183 m Tiefe; Heardinseln; 18° s. Br., 116° ö. L., 357 m Tiefe?).

C. parallela (Reuss) 1845 *Cytherina p.*, Reuss, Verst. Böhm. Kreide., pars 1 p. 16 t. 5 f. 33 | ?1901 *Cytherideis p.*, Egger in: Abh. Bayer. Ak., *v.* 21 p. 466 t. 1 f. 54, 55.

Atlantischer Ozean (10° n. Br., 17° w. L., 677 m Tiefe?).

C. teres G. Brady 1869 *C. t.*, G. S. Brady in: Ann. nat. Hist., ser. 4 *v.* 3 p. 49 t. 8 f. 5, 6.

Beschikbay.

Cytheridarum genera dubia et species dubiae.

Xestoleberis acuminalis Chapm. 1902 *X. a.*, Chapman in: J. Linn. Soc. London, *v.* 28 p. 429 t. 37 f. 4a—c.

Funafuti.

Cythere acupunctata G. Brady 1880 *C. a.*, G. S. Brady in: Rep. Voy. Challenger, Zool. *v.* 1 Part 3 p. 68 t. 14 f. 1a—h | (non 1901 *C. a.*, Egger in: Abh. Bayer. Ak., *v.* 21 p. 434 t. 5 f. 40—42).

Japanisches Binnenmeer; Funafuti.

Sclerochilus (?) aegaeus G. Brady 1868 *S. (?) a.*, G. S. Brady in: Ann. nat. Hist., ser. 4 *v.* 2 p. 224 t. 14 f. 3, 4.

Tenedos.

Paradoxostoma affine T. Scott 1890 *P. (?) a.*, T. Scott in: Rep. Fish. Board Scotl., *v.* 8 p. 325 t. 12 f. 8, 9 | 1896 *P. a.*, G. S. Brady & A. M. Norman in: Tr. R. Dublin Soc., ser. 2 *v.* 5 p. 739 t. 63 f. 10, 11.

Küste von Schottland.

Cythere affinis G. Brady 1869 *C. a.*, G. S. Brady in: Ann. nat. Hist., ser. 4 *v.* 3 p. 47 t. 7 f. 13, 14.

Östliches Mittelmeer (Beschikbay).

Cytheridea africana G. Brady 1870 *C. a.*, G. S. Brady in: Folin & Périer, Fonds Mer, *v.* 1 p. 247 t. 32 f. 3, 4.

Westküste von Afrika (Cap von Sainte Anne, 21° n. Br.)

Cythere alba W. Baird 1835 *C. a.*, W. Baird in: Hist. Berwick. Club, *v.* 1 p. 98 t. 3 f. 6 | 1850 *C. a.* (Larve?), W. Baird, Brit. Entom., p. 170 t. 20 f. 6.

Küste von England.

Krithe alveus Egg. 1901 *K. a.*, Egger in: Abh. Bayer. Ak., *v.* 21 p. 449 t. 4 f. 8—10.

Indischer Ozean (18° s. Br., 116° ö. L., 357 m Tiefe).

Cythere americana Dana 1855 *C. a.*, J. D. Dana in: U. S. expl. Exp., Atlas t. 89 f. 9; t. 90 f. 2 (im Text nicht erwähnt).

Xestoleberis angulata G. Brady 1870 *X. a.*, G. S. Brady in: Folin & Périer, Fonds Mer, *v.* 1 p. 241 t. 32 f. 5, 6.

Bahamainseln.

Cytheropteron angulatum G. Brady & D. Roberts. 1872 *C. a.*, G. S. Brady & D. Robertson in: Ann. nat. Hist., ser. 4 *v.* 9 p. 62 t. 2 f. 7, 8 | 1889 *C. a.*, G. S. Brady & A. M. Norman in: Tr. R. Dublin Soc., ser. 2 *v.* 4 p. 217 t. 19 f. 17, 18.

Küste von England; Franz Joseph-Land.

Krithe angusta G. Brady & Norm. 1889 *K. a.*, G. S. Brady & A. M. Norman in: Tr. R. Dublin Soc., ser. 2 *v.* 4 p. 181 t. 17 f. 10—13.

Cytheropteron (?) angustatum G. Brady 1880 *C. (?) a.*, *C. (?) angustum*, G. S. Brady in: Rep. Voy. Challenger, Zool. *v.* 1 Part 3 p. 137 t. 34 f. 5, 5a, b; Figurenerklärung.

Kerguelen; Torresstraße.

Eucytherura (?) antarctica G. W. Müll. 1908 *E. a.*, G. W. Müller in: D. Südp.-Exp., *v.* 10 p. 115 t. 16 f. 2, 8.

Antarktis, Gaußstation, in 385 m Tiefe.

Cythere arata G. Brady 1880 *C. a.*, G. S. Brady in: Rep. Voy. Challenger, Zool. *v.* 1 Part 3 p. 101 t. 24 f. 2a—c.

Pazifischer Ozean (39° s. Br., 171° ö. L., 273 m Tiefe).

Paradoxostoma arcuatum G. Brady 1867 *P. a.*, G. S. Brady in: Intell. Observ., *v.* 12 p. 126 | 1868 *P. a.*, G. S. Brady in: Tr. Linn. Soc. London, *v.* 26 p. 461 t. 35 f. 37, 38 | 1889 *P. a.*, G. S. Brady & A. M. Norman in: Tr. R. Dublin Soc., ser. 2 *v.* 4 p. 234 t. 21 f. 5, 6.

Küste von England; Golf von Biscaya.

Xiphichilus (?) arcuatus G. Brady 1880 *X. (?) a.*, G. S. Brady in: Rep Voy. Challenger, Zool. *v.* 1 Part 3 p. 148 t. 35 f. 2a—d.

Pazifischer Ozean (19° s. Br., 178° ö. L., 1115 m Tiefe).

Cytheropteron areolatum G. Brady 1870 *C. a.*, G. S. Brady in: Folin & Périer, Fonds Mer, *v.* 1 p. 234 t. 30 f. 16, 17.

Magalhaensstraße.

Bythocythere armata Chapm. 1902 *B. a.*, Chapman in: J. Linn. Soc. London, *v.* 28 p. 432 t. 37 f. 6.

Funafuti.

Cytherura atra (O. Sars) 1865 *Cythere a.*, G. O. Sars in: M. Sars, Foss. Dyrelev. Quart., p. 117 (descr. nulla) | 1866 *Cytherura a.*, G. O. Sars in: Forh. Selsk. Christian., 1865 p. 75 | 1889 *C. a.*, G. S. Brady & A. M. Norman in: Tr. R. Dublin Soc., ser. 2 *v.* 4 p. 197 t. 17 f. 22, 23.

Lofoten.

Cythere atra G. M. Thoms. 1879 *C. a.*, G. M. Thomson in: Tr. N. Zealand Inst., *v.* 11 p. 254 f. A 2, C 1.

Strand von Neuseeland.

Cythere attrica G. Brady 1868 *C. a.*, G. S. Brady in: Folin & Périer, Fonds Mer, *v.* 1 p. 78 t. 10 f. 5, 6.

Malayischer Archipel.

Cythere berchoni G. Brady 1869 *C. b.*, G. S. Brady in: Folin & Périer, Fonds Mer, *v.* 1 p. 117 t. 14 f. 3, 4.

Piraeus; Port Said.

Cythere bicarinata G. Brady 1880 *C. b.*, G. S. Brady in: Rep. Voy. Challenger, Zool. *v.* 1 Part 3 p. 70 t. 16 f. 6 a—d.

Japanisches Binnenmeer.

Cytherura biproducta Seg. 1885 *C. b.*, Seguenza in: Natural. Sicil., *v.* 4 p. 77 t. 2 f. 6.

Hafen von Messina.

Cythere bispinosa G. Brady 1868 *C. b.*, G. S. Brady in: Ann. nat. Hist., ser. 4 *v.* 2 p. 181 t. 12 f. 8—10.

Mauritius.

Cytherura bodotria T. Scott 1890 *C. b.*, T. Scott in: Rep. Fish. Board Scotl., *v.* 8 p. 322 t. 12 f. 6, 7 | 1896 *C. b.*, G. S. Brady & A. M. Norman in: Tr. R. Dublin Soc., ser. 2 *v.* 5 p. 736 t. 63 f. 16, 17 (Larve von *C. acuticostata?*) p. 272.

Küste von Schottland (St. Monace).

Cythere borealis G. Brady 1868 *C. b.*, G. S. Brady in: Ann. nat. Hist., ser. 4 *v.* 2 p. 31 t. 4 f. 1—4, 6, 7 | 1889 *C. b.*, G. S. Brady & A. M. Norman in: Tr. R. Dublin Soc., ser. 2 *v.* 4 p. 147 t. 15 f. 18, 19.

Küste von England (Durham); Atlantischer Ozean, nördlich von 67° n. Br.

Cythere bosquetiana (Jones) 1849 *Cytherella b.*, Jones in: Pal. Soc. Mon., 1849 p. 33 t. 6 f. 23 a—c | 1889 *Cythere b.*, Jones & Sherborn in: Pal. Soc. Mon., 1889 p. 22 t. 3 f. 17 a—c | 1901 *C. b.*, Egger in: Abh. Bayer. Ak., *v.* 21 p. 437 t. 8 f. 16—18.

Mauritius, 411 m Tiefe.

Krithe bradiana Lienenklaus 1894 *K. b.*, Lienenklaus in: Z. D. geol. Ges., *v.* 46 p. 253 t. 17 f. 10 | ? 1901 *K. b.*, Egger in: Abh. Bayer. Ak., *v.* 21 p. 450 t. 2 f. 35, 36.

Indischer Ozean (18° s. Br., 116° ö. L., 357 m Tiefe?).

Cytherura broeckiana G. Brady 1878 *C. b.*, G. S. Brady in: Tr. zool. Soc. London, *v.* 10 p. 401 t. 69 f. 5 a—d | ? 1901 *C. b.*, Egger in: Abh. Bayer. Ak., *v.* 21 p. 458 t. 8 f. 41, 42.

Indischer Ozean (18° s. Br., 116° ö. L., 357 m Tiefe?).

Cytherura calcarata Seg. 1885 *C. c.*, Seguenza in: Natural. Sicil., *v.* 4 p. 76 t. 2 f. 5.

Hafen von Messina.

Cythere canadensis G. Brady 1870 *C. c.*, G. S. Brady in: Ann. nat. Hist., ser. 4 *v.* 6 p. 452 t. 19 f. 4—6 | 1889 *C. c.*, G. S. Brady & A. M. Norman in: Tr. R. Dublin Soc., ser. 2 *v.* 4 p. 166 t. 15 f. 14, 15 | 1906 *Cythereis c.*, Cushman in: P. Boston Soc., *v.* 32 p. 377 (Synonymie).

Lorenzobusen, Davisstraße; Vineyard-Sund.

Cythere caudata G. Brady 1890 *C. c.*, G. S. Brady in: Tr. R. Soc. Edinb., *v.* 35 p. 499 t. 2 f. 10, 11.

Fidschiinseln; Funafuti.

Cytherura cellulosa (Norm.) 1865 *Cythere c.*, A. M. Norman in: Tr. nat. Hist. Soc. Northumb., *v.* 1 p. 22 t. 5 f. 17—20; t. 6 f. 17 | 1866 *Cytherura nana*, G. O. Sars in: Forh. Selsk. Christian., 1865 p. 78 | 1868 *C. cellulosa*, G. S. Brady in: Tr. Linn. Soc. London, *v.* 26 p. 446 t. 29 f. 47—50, 60.

Küste von Nordeuropa; Golf von Biscaya.

Cythere chalmersi A. Scott 1905 *C. c.*, A. Scott in: Herdman, Rep. Ceylon Pearl Fish., Suppl. Rep. 22 p. 378 t. 2 f. 11, 12.

Ceylon.

Cytherura clathrata O. Sars 1866 *C. c.*, G. O. Sars in: Forh. Selsk. Christian., 1865 p. 77 | 1868 *C. c.*, G. S. Brady in: Tr. Linn. Soc. London, *v.* 26 p. 446 t. 29 f. 43—46.

Küste von Nordeuropa; Franz Joseph-Land.

Cytheropteron coccoides G. Brady 1890 *C. c.*, G. S. Brady in: Tr. R. Soc. Edinb., *v.* 35 p. 510 t. 3 f. 20, 21.

Zu Gen. Microxestoleberis? Fidschiinseln.

Cythere colletti A. Scott 1905 *C. c.*, A. Scott in: Herdman, Rep. Ceylon Pearl Fish., Suppl. Rep. 22 p. 381 t. 2 f. 29, 30.

Ceylon.

Cythere compacta G. Brady 1866 *C. c.*, G. S. Brady in: Tr. zool. Soc. London, *v.* 5 p. 380 t. 62 f. 3 | (non 1870 *C. c.*, G. S. Brady in: Folin & Périer, Fonds Mer, Figurenerklärung von *v.* 1 t. 30 f. 18, 19.

Karibisches Meer (Colon); Antillen (Cuba, Turkinsel).

Cytherura concentrica Norm. ?1869 *C. c.*, A. M. Norman in: Rep. Brit. Ass., Meet. 38 p. 292 (descr. nulla) | 1889 *C. c.*, G. S. Brady & A. M. Norman in: Tr. R. Dublin Soc., ser. 2 *v.* 4 p. 201 t. 17 f. 28, 29; t. 19 f. 3, 4.

Küste von Nordeuropa.

Cythere contracta G. Brady 1870 *C. c.*, G. S. Brady in: Folin & Périer, Fonds Mer, *v.* 1 p. 201 t. 27 f. 5, 6.

Magalhaensstraße.

Cythere coralloides G. Brady 1886 *C. c.*, G. S. Brady in: J. Linn. Soc. London, *v.* 19 p. 307 t. 39 f. 19—22.

Ceylon.

Cythere cornuta (Roemer) 1838 *Cytherina c.*, Roemer in: N. Jahrb. Min., 1838 p. 518 t. 6 f. 31 | 1863 *Cythere c.*, Speyer in: Ber. Ver. Kassel, *v.* 13 p. 35 t. 4 f. 7a—c | ?1901 *C. c.*, Egger in: Abh. Bayer. Ak., *v.* 21 p. 445 t. 5 f. 8—10.

Indischer Ozean (18° s. Br., 116° ö. L., 357 m Tiefe?).

Cythere corpulenta G. Brady & Norm. 1889 *C. c.*, G. S. Brady & A. M. Norman in: Tr. R. Dublin Soc., ser. 2 *v.* 4 p. 134 t. 16 f. 11, 12.

Vermutlich Cythereis aus der Verwandtschaft von C. dentata; Schale falsch orientiert?

Küste von Norwegen (Osterfjord).

Cythere cribrosa G. Brady, Crosskey & D. Roberts. 1874 *C. c.*, G. S. Brady, Crosskey & D. Robertson in: Pal. Soc. Mon., 1874 p. 146 t. 10 f. 5—7 | 1889 *C. c.*, G. S. Brady & A. M. Norman in: Tr. R. Dublin Soc., ser. 2 *v.* 4 p. 132 t. 16 f. 17, 18 | (non 1901 *C. c.*, Egger in: Abh. Bayer. Ak., *v.* 21 p. 433 t. 8 f. 52—54).

Küste von England; Floeberg Beack, 82° 29′ n. Br.

Cytherura cribrosa G. Brady 1880 *C. c.*, G. S. Brady in: Rep. Voy. Challenger, Zool. *v.* 1 Part 3 p. 132 t. 32 f. 5a—d.

Westküste von Patagonien?

Cythere cuboidea G. Brady 1870 *C. c.*, G. S. Brady in: Folin & Périer, Fonds Mer, *v.* 1 p. 201 t. 27 f. 13, 14.

Magalhaensstraße.

Cythere cumulus G. Brady 1880 *C. c.*, G. S. Brady in: Rep. Voy. Challenger, Zool. *v.* 1 Part 3 p. 71 t. 13 f. 2a—d.

Australien (Port Jackson).

Cythere cuneiformis G. Brady 1866 *C. ventricosa* (non *C. v.* Bosquet 1850), G. O. Sars in: Forh. Selsk. Christian., 1865 p. 34 | 1867 *C. cuneiformis*, G. S. Brady in: Intell. Observ., *v.* 12 p. 120 | 1868 *C. c.*, G. S. Brady in: Tr. Linn. Soc. London, *v.* 26 p. 404 t. 31 f. 47—54.

Küste von England und Norwegen.

Cythere cuneolus G. Brady 1890 *C. c.*, G. S. Brady in: Tr. R. Soc. Edinb., *v.* 35 p. 500 t. 2 f. 6, 7.

Fidschiinseln; Neucaledonia.

Cytheridea curta G. Brady 1866 *C.(?) c.*, G. S. Brady in: Tr. zool. Soc. London, *v.* 5 p. 370 t. 58 f. 7.

Westindien, in flachem Wasser.

Cythere cypraeoides G. Brady 1868 *C. c.*, G. S. Brady in: Folin & Périer, Fonds Mer, *v.* 1 p. 72 t. 8 f. 21, 22.

Nordküste von Java.

Cythere darwinii G. Brady 1868 *C. d.*, G. S. Brady in: Folin & Périer, Fonds Mer, *v.* 1 p. 71 t. 8 f. 17, 18 | 1868 *C. d.*, G. S. Brady in: Ann. nat. Hist., ser. 4 *v.* 2 p. 181 t. 12 f. 11, 12 | (non 1880 *C. d.*, G. S. Brady in: Rep. Voy. Challenger, Zool. *v.* 1 Part 3 p. 97 t. 25 f. 2) | (non 1901 *C. d.*, Egger in: Abh. Bayer. Ak., *v.* 21 p. 434 t. 5 f. 3, 4).

Mauritius; Ceylon?

Cytherura deformis G. Brady 1869 *C. d.*, G. S. Brady in: Folin & Périer, Fonds Mer, *v.* 1 p. 114 t. 13 f. 15, 16.

Küste von Syrien.

Cythere deltoides G. Brady 1890 *C. d.*, G. S. Brady in: Tr. R. Soc. Edinb., *v.* 35 p. 501 t. 2 f. 17, 18.

Neucaledonia (Numea); Samoainseln; Funafuti.

Cythere donnani A. Scott 1905 *C. d.*, A. Scott in: Herdman, Rep. Ceylon Pearl Fish., Suppl. Rep. 22 p. 379 t. 2 f. 17, 18.

Ceylon.

Loxoconcha(?) dubia G. W. Müll. 1908 *L. d.*, G. W. Müller in: D. Südp.-Exp., *v.* 10 p. 135 t. 17 f. 3; t. 19 f. 9.

Antarktis, Gaußstation, in 385 m Tiefe.

Cythere duperrei G. Brady 1869 *C. d.*, G. S. Brady in: Folin & Périer, Fonds Mer, *v.* 1 p. 160 t. 18 f. 7, 8.

Haiti.

Cytheridea elatior G. Brady 1868 *C.? e.*, G. S. Brady in: Folin & Périer, Fonds Mer, *v.* 1 p. 102 t. 12 f. 16, 17.

Dardanellen.

Loxoconcha elongata G. Brady 1886 *L. e.*, G. S. Brady in: J. Linn. Soc. London, *v.* 19 p. 313 t. 40 f. 31, 32.

Ceylon.

Cytherura entomon G. Brady 1890 *C. e.*, G. S. Brady in: Tr. R. Soc. Edinb., *v.* 35 p. 509 t. 3 f. 30, 31.

Neucaledonia (Numea); Fidschiinseln.

Cythere euplectella G. Brady 1869 *C. e.*, G. S. Brady in: Folin & Périer, Fonds Mer, *v.* 1 p. 157 t. 16 f. 6—8 | ?1880 *C. e.*, G. S. Brady in: Rep. Voy. Challenger, Zool. *v.* 1 Part 3 p. 96 t. 25 f. 3a—d | (non 1901 *C. e.*, Egger in: Abh. Bayer. Ak., *v.* 21 p. 437 t. 6 f. 32—34).

Hongkong; 9° s. Br., 137° ö. L., 33 m Tiefe?

Cytherura exagonalis Seg. 1884 *C. e.*, Seguenza in: Natural. Sicil., *v.* 4 p. 47 t. 2 f. 4.

Hafen von Messina.

Bythocythere (?) exigua G. Brady 1880 *B (?) e.*, G. S. Brady in: Rep. Voy. Challenger, Zool. *v.* 1 Part 3 p. 143 t. 6 f. 7a—d.

Magalhaensstraße.

Cythere falklandi G. Brady 1880 *C. f.*, G. S. Brady in: Rep. Voy. Challenger, Zool. *v.* 1 Part 3 p. 65 t. 12 f. 6a—f.

Falklandsinseln.

Paradoxostoma fasciatum G. Brady & Norm. 1889 *P. f.*, G. S. Brady & A. M. Norman in: Tr. R. Dublin Soc., ser. 2 *v.* 4 p. 233 t. 21 f. 25, 26.

Küste von England.

Cythere favus G. Brady 1868 *C. f.*, G. S. Brady in: Folin & Périer, Fonds Mer, *v.* 1 p. 77 t. 10 f. 3, 4.

Malayischer Archipel (nördlich von Billiton).

Cytheropteron fenestratum G. Brady 1880 *C. f.*, G. S. Brady in: Rep. Voy. Challenger, Zool. *v.* 1 Part 3 p. 139 t. 34 f. 6a—d.

Kerguelen; Tristan d'Acunha, 2600 m Tiefe.

Cythere fidicula G. Brady & D. Roberts. 1869 *Cytherura navicula*, A. M. Norman in: Rep. Brit. Ass., Meet. 36 p. 292 (descr. nulla) | 1870 *Cythere fidicula*, G. S. Brady & D. Robertson in: Ann. nat. Hist., ser. 4 *v.* 6 p. 21 t. 8 f. 8—10 | 1889 *C. navicula*, G. S. Brady & A. M. Norman in: Tr. R. Dublin Soc., ser. 2 *v.* 4 p. 143 t. 16 f. 15, 16.

Küste von England.

Limnicythere fijiensis G. Brady 1890 *L. f.*, G. S. Brady in: Tr. R. Soc. Edinb., *v.* 35 p. 505 t. 2 f. 33, 34.

Fidschiinseln; Funafuti.

Cythere? fischeri G. Brady 1869 *C.? f.*, G. S. Brady in: Folin & Périer, Fonds Mer, *v.* 1 p. 154 t. 18 f. 15, 16.

Karibisches Meer (Colon).

Cythere flavida Müll. 1785 *C. f.*, O. F. Müller, Entom., p. 66 t. 7 f. 5, 6 | 1788 *Monoculus flavidus*, J. F. Gmelin, Syst. Nat., *v.* 5 p. 3001 | (non 1850 *Cythere flavida*, W. Baird, Brit. Entom., p. 168 t. 21 f. 12, 12a) | (non 1854 *C. f.*, Zenker in: Arch. Naturg., *v.* 201 p. 86 t. 5 f. B.).

Dänemark.

Cythere flos-cardui G. Brady 1880 *C. f.*, G. S. Brady in: Rep. Voy. Challenger, Zool. *v.* 1 Part 3 p. 71 t. 13 f. 3a—h.

Honolulu, 73 m Tiefe.

Cythere fortificata G. Brady 1880 *C. f.*, G. S. Brady in: Rep. Voy. Challenger, Zool. *v.* 1 Part 3 p. 75 t. 21 f. 1a—d.

Pazifischer Ozean (38° s. Br., 768 m Tiefe; Funafuti); Island; südliches Norwegen.

Cytheridea foveolata G. Brady 1868 *C. f.*, G. S. Brady in: Folin & Périer, Fonds Mer, *v.* 1 p. 83 t. 10 f. 14, 15.

Mauritius.

Xestoleberis foveolata G. Brady 1880 *X. f.*, G. S. Brady in: Rep. Voy. Challenger, Zool. *v.* 1 Part 3 p. 130 t. 30 f. 1a—g | ?1901 *X. f.*, Egger in: Abh. Bayer. Ak., *v.* 21 p. 455 t. 3 f. 40—43.

Mauritius, 137 m Tiefe?; Torresstraße; Funafuti; Ceylon.

Cytherura fulva G. Brady & D. Roberts. 1874 *C. f.*, G. S. Brady & D. Robertson in: Ann. nat. Hist., ser. 4 *v.* 13 p. 116 t. 4 f. 1—5 | 1889 *C. f.*, G. S. Brady & A. M. Norman in: Tr. R. Dublin Soc., ser. 2 *v.* 4 p. 205 t. 19 f. 9—11.

Küste von Nordeuropa; Franz Joseph-Land; Golf von Biscaya.

Cythere fulvotincta G. Brady 1880 *C. f.*, G. S. Brady in: Rep. Voy. Challenger, Zool. *v.* 1 Part 3 p. 67 t. 14 f. 5a—d.

Falklandsinseln.

Cythere fumata G. Brady 1868 *C. f.*, G. S. Brady in: Ann. nat. Hist., ser. 4 *v.* 2 p. 180 t. 12 f. 13, 14.

Mauritius.

Cythere globulifera G. Brady 1867 *C. g.*, G. S. Brady in: Intell. Observ., *v.* 12 p. 120 | 1868 *C. g.*, G. S. Brady in: Tr. Linn. Soc. London, *v.* 26 p. 406 t. 31 f. 42.

Küste von England; Norwegen; Spitzbergen; Franz Joseph-Land; Arktische Meere.

Loxoconcha grisea (G. Brady) 1866 *Normania g.*, G. S. Brady in: Tr. zool. Soc. London, *v.* 5 p. 383 t. 61 f. 10.

Smyrna; Golf von Biscaya.

Cytherura groenlandica G. Brady & Norm. 1889 *C. g.*, G. S. Brady & A. M. Norman in: Tr. R. Dublin Soc., ser. 2 *v.* 4 p. 199 t. 18 f. 23, 24.

Grönland (Cap Frazer); Norwegen (Vadsö); Australien.

Cytheropteron guttatum G. Brady 1890 *C. g.*, G. S. Brady in: Tr. R. Soc. Edinb., *v.* 35 p. 511 t. 4 f. 29, 30.

Neucaledonia (Numea).

Cythere halyi A. Scott 1905 *C. h.*, A. Scott in: Herdman, Rep. Ceylon Pear Fish., Suppl. Rep. 22 p. 380 t. 2 f. 23, 24.

Ceylon.

Cythere holdsworthi A. Scott 1905 *C. h.*, A. Scott in: Herdman, Rep. Ceylon Pearl Fish., Suppl. Rep. 22 p. 381 t. 2 f. 31, 32.

Ceylon.

Cythere hornelli A. Scott 1905 *C. h.*, A. Scott in: Herdman, Rep. Ceylon Pearl Fish., Suppl. Rep. 22 p. 380 t. 2 f. 21, 22.

Ceylon.

Cytheropteron humile G. Brady & Norm. 1889 *C. h.*, G. S. Brady & A. M. Norman in: Tr. R. Dublin Soc., ser. 2 *v.* 4 p. 219 t. 20 f. 4—7.

Küste von Schottland; Spanien (Vigobay).

Cythere imthurni A. Scott 1905 *C. i.*, A. Scott in: Herdman, Rep. Ceylon Pearl Fish., Suppl. Rep. 22 p. 378 t. 2 f. 13, 14.

Ceylon.

Cythere inconspicua G. Brady 1880 *C. i.*, G. S. Brady in: Rep. Voy. Challenger, Zool. *v.* 1 Part 3 p. 70 t. 13 f. 1a—d.

Island; südliches Norwegen; Ceylon; Torresstraße, 285 m Tiefe.

Cythere inconstans G. Brady 1868 *C. i.*, G. S. Brady in: Folin & Périer, Fonds Mer, *v.* 1 p. 106.

Östliches Mittelmeer.

Paradoxostoma inflexum G. Brady & Norm. 1891 *P. i.*, G. S. Brady & A. M. Norman in: A. M. Norman in: Ann. nat. Hist., ser. 6 *v.* 7 p. 118 | 1896 *P. i.*, G. S. Brady & A. M. Norman in: Tr. R. Dublin Soc., ser. 2 *v.* 5 p. 738 t. 63 f. 12, 13.

Norwegen (Vadsö).

Cythere infundibulata G. Brady 1890 *C. i.*, G. S. Brady in: Tr. R. Soc. Edinb., *v.* 35 p. 502 t. 2 f. 15, 16.

Fidschiinseln.

Cytherura iniqua G. Brady 1868 *C. i.*, G. S. Brady in: Folin & Périer, Fonds Mer, *v.* 1 p. 64 t. 8 f. 3—6 | ?1868 *C. bataviana*, G. S. Brady in: Folin & Périer, Fonds Mer, *v.* 1 p. 65 t. 8 f. 7—9 | 1886 *Cythere iniqua*, G. S. Brady in: J. Linn. Soc. London, *v.* 19 p. 310 t. 39 f. 31—33.

Nordküste von Java; Ceylon; Dardanellen.

Ilyobates judaea G. Brady 1868 *I. j.*, G. S. Brady in: Folin & Périer, Fonds Mer, *v.* 1 p. 112 t. 13 f. 17, 18.

Beschikbay.

Cythere jurinei Münst.

Diese Art zerfällt in 2 Unterarten:

a) **Cythere jurinei jurinei** Münst. 1830 *C. j.*, Münster in: N. Jahrb. Min., 1830 p. 62 (descr. nulla) | ?1838 *Cytherina j.*, Roemer in: N. Jahrb. Min., 1838 p. 516 t. 6 f. 12 | 1866 *Cythere j.*, G. S. Brady in: Tr. zool. Soc. London, *v.* 5 p. 372 t. 59 f. 1.

Östliches Mittelmeer.

b) **Cythere jurinei costata** G. Brady 1866 *C. j. var. c.*, G. S. Brady in: Tr. zool. Soc. London, *v.* 5 p. 372 t. 59 f. 2.

Östliches Mittelmeer.

Cythere kelaarti A. Scott 1905 *C. k.*, A. Scott in: Herdman, Rep. Ceylon Pearl Fish., Suppl. Rep. 22 p. 380 t. 2 f. 25, 26.

Ceylon.

Cythere knoxi A. Scott 1905 *C. k.*, A. Scott in: Herdman, Rep. Ceylon Pearl Fish., Suppl. Rep. 22 p. 377 t. 2 f. 9, 10.

Ceylon.

Bythocythere laevigata Egg. 1901 *B. l.*, Egger in: Abh. Bayer. Ak., *v.* 21 p. 462 t. 2 f. 32—34.

Indischer Ozean (20° s. Br., 113° ö. L., 915 m Tiefe).

Cythere (?) laganella G. Brady 1880 *C. (?) l.*, G. S. Brady in: Rep. Voy. Challenger, Zool. *v.* 1 Part 3 p. 63 t. 16 f. 7a—d.

Torresstraße.

Cytherideis lata G. Brady 1866 *C. l.*, G. S. Brady in: Tr. zool. Soc. London, *v.* 5 p. 368 t. 58 f. 4.

Abrolhos.

Cythere leioderma Norm. 1869 *C. l.*, A. M. Norman in: Rep. Brit. Ass., Meet. 38 p. 291 (descr. nulla) | 1870 *C. l.*, G. S. Brady in: Ann. nat. Hist., ser. 4 *v.* 6 p. 451 t. 19 f. 11—13 | 1889 *C. l.*, G. S. Brady & A. M. Norman in: Tr. R. Dublin Soc., ser. 2 *v.* 4 p. 139 t. 15 f. 12, 13.

Küste von Norwegen; Island; Baffinsbay bis 150 m Tiefe; Lorenzobusen.

Eucythere lienenklausi Egg. 1901 *E. l.*, Egger in: Abh. Bayer. Ak., *v.* 21 p. 449 t. 2 f. 28—31.

Indischer Ozean (18° s. Br., 116° ö. L., 357 m Tiefe).

Cytherura lilljeborgi G. Brady 1880 *C. l.*, G. S. Brady in: Rep. Voy. Challenger, Zool. *v.* 1 Part 3 p. 132 t. 32 f. 6a—d.

Kerguelen.

Cythere limicola (Norm.) 1865 *Cythereis l.*, A. M. Norman in: Tr. nat. Hist. Soc. Northumb., *v.* 1 p. 20 t. 6 f. 1—4 | 1866 *Cythere nodosa*, G. O. Sars in: Forh. Selsk. Christian., 1865 p. 34 | 1866 *C. areolata*, G. S. Brady in: Tr. zool. Soc. London, *v.* 5 p. 381 t. 62 f. 2 | ?1867 *C. complexa*, G. S. Brady in: Rep. Brit. Ass., Meet. 36 p. 210 | 1868 *C. limicola* (part.), G. S. Brady in: Tr. Linn. Soc. London, *v.* 26 p. 405 t. 31 f. 38—41.

Küste von Norwegen; England und Baffinsbay; Franz Joseph-Land.

Cythere lineolata (Roemer) 1838 *Cytherina l.*, Roemer in: N. Jahrb. Min., 1838 p. 517 t. 6 f. 23 | ?1901 *Cythere lineola*, Egger in: Abh. Bayer. Ak., *v.* 21 p. 429 t. 8 f. 22—25.

Atlantischer Ozean (10° n. Br., 17° w. L., 677 m Tiefe?).

Cytherideis lithodomoides (Bosquet) 1851 *Bairdia l.*, Bosquet in: Mém. cour. Ac. Belgique, *v.* 24 [nr. 3] p. 36 t. 2 f. 3a—d | ?1901 *Cytherideis l.*, Egger in: Abh. Bayer. Ak., *v.* 21 p. 466 t. 1 f. 46, 47.

Indischer Ozean (18° s. Br., 116° ö. L., 357 m Tiefe).

Cytheropteron longicaudatum G. Brady 1890 *C. l.*, G. S. Brady in: Tr. R. Soc. Edinb., *v.* 35 p. 511 t. 3 f. 18, 19.

Fidschiinseln; Samoainseln; Funafuti. Indischer Ozean (Cocosinsel).

Cythere lubbockiana G. Brady 1880 *C. l.*, G. S. Brady in: Rep. Voy. Challenger, Zool. *v.* 1 Part 3 p. 68 t. 14 f. 6a—d.

Torresstraße.

Cythere lurida S. Fisch. 1855 *C. l.*, S. Fischer in: Abh. Bayer. Ak., *v.* 7 p. 659 t. 20 f. 19—25.

Küste von Madeira.

Cythere macchesneyi G. Brady & Crosskey 1871 *C. m.*, G. S. Brady & Crosskey in: Geol. Mag., *v.* 8 p. 63 t. 2 f. 1, 2 | 1889 *C. m.*, G. S. Brady & A. M. Norman in: Tr. R. Dublin Soc., ser. 2 *v.* 4 p. 149 t. 17 f. 30, 31.

Berg Beach, 82° 29′ n. Br.

Cythere macra G. Brady 1869 *C. m.*, G. S. Brady in: Folin & Périer, Fonds Mer, *v.* 1 p. 139 t. 17 f. 7, 8.

Kapverdische Inseln (St. Vincent).

Cythere magellanica G. Brady 1870 *C. m.*, G. S. Brady in: Folin & Périer, Fonds Mer, *v.* 1 p. 201 t. 27 f. 19—22.

Magalhaensstraße.

Cythere mamillata G. Brady 1866 *C.(?) m.*, G. S. Brady in: Tr. zool. Soc. London, *v.* 5 p. 373 t. 59 f. 6 | 1889 *C. m.*, G. S. Brady & A. M. Norman in: Tr. R. Dublin Soc., ser. 2 *v.* 4 p. 130 t. 20 f. 32, 33.

Atlantischer Ozean, 200 m Tiefe.

Cytherura marcida G. Brady 1890 *C. m.*, G. S. Brady in: Tr. R. Soc. Edinb., *v.* 35 p. 508 t. 3 f. 24, 25.

Fidschiinseln; Samoainseln; Funafuti.

Cythere margaritifera G. Brady 1870 *C. m.*, G. S. Brady in: Folin & Périer, Fonds Mer, *v.* 1 p. 192 t. 27 f. 3, 4.

Veracruz.

Cytheridea minima G. Brady 1866 *C. m.*, G. S. Brady in: Tr. zool. Soc. London, *v.* 5 p. 370 t. 58 f. 10.

Westindien, flaches Wasser.

Cythere mirabilis G. Brady 1867 *C. m.*, G. S. Brady in: Intell. Observ., *v.* 12 p. 120 | 1868 *C. m.*, G. S. Brady in: Tr. Linn. Soc. London, *v.* 26 p. 415 t. 29 f. 7, 8.

Spitzbergen; Norwegen; Franz Joseph-Land.

Cytheridea monensis G. Brady & Norm. 1896 *C(?) m.*, G. S. Brady & A. M. Norman in: Tr. R. Dublin Soc., ser. 2 *v.* 5 p. 734 t. 68 f. 10, 11.

Insel Man.

Cythere montezuma G. Brady 1869 *C. m.*, G. S. Brady in: Folin & Périer, Fonds Mer, *v.* 1 p. 123 t. 14 f. 11, 12.

Antillen (New-Providence); Veracruz.

Cytheropteron montrosiense Crosskey, G. Brady & D. Roberts. ?1866 *Cythere rhomboidea (juv.?)*, G. S. Brady in: Tr. zool. Soc. London, *v.* 5 p. 381 t. 62 f. 5 | 1868 *Cytheropteron montrosiense*, Crosskey, G. S. Brady & D. Robertson in: G. S. Brady in: Ann. nat. Hist., ser. 4 *v.* 2 p. 33 t. 5 f. 1—5 | 1889 *C. m.*, G. S. Brady & A. M. Norman in: Tr. R. Dublin Soc., ser. 2 *v.* 4 p. 216 t. 19 f. 26, 27.

Nördlicher Atlantischer Ozean.

Cythere moseleyi G. Brady 1880 *C. m.*, G. S. Brady in: Rep. Voy. Challenger, Zool. *v.* 1 Part 3 p. 64 t. 12 f. 5a—f.

Falklandsinseln.

Cytheropteron mucronalatum G. Brady 1880 *C. m.*, G. S. Brady in: Rep. Voy. Challenger, Zool. *v.* 1 Part 3 p. 140 t. 33 f. 8a—d.

Pazifischer Ozean, zwischen 36° n. Br. (Japan) und 42° s. Br. (Patagonien); bei den Azoren in Tiefen von 2515 bis 3748 m; zwischen den Azoren und der Bay von Biscaya in 5005 m Tiefe.

Cytherura mucronata G. Brady 1880 *C. m.*, G. S. Brady in: Rep. Voy. Challenger, Zool. *v.* 1 Part 3 p. 133 t. 32 f. 9a—d | (non 1890 *C. m.*, T. Scott in: Rep. Fish. Board Scotl., *v.* 8 p. 323 t. 12 f. 3, 5) | (non 1896 *C. m.*, G. S. Brady & A. M. Norman in: Tr. R. Dublin Soc., ser. 2 *v.* 5 p. 736 t. 63 f. 18, 19) | ?1901 *C. m.*, Egger in: Abh. Bayer. Ak., *v.* 21 p. 459 t. 8 f. 45, 46.

Südafrika (Simonsbay); Indischer Ozean (18° s. Br., 116° ö. L., 357 m Tiefe?).

Cythere multicava T. Scott 1894 *C. m.*, T. Scott in: Tr. Linn. Soc. London, ser. 2 *v.* 6 p. 137 t. 14 f. 42, 43; t. 15 f. 13, 15.

Busen von Guinea.

Loxoconcha multifora (Norm.) 1865 *Cythere m.*, (*C. rugosa* in MS.), A. M. Norman in: Tr. nat. Hist. Soc. Northumb., *v.* 1 p. 18 t. 6 f. 13—16 | 1868 *Cytheropteron multiforum*, G. S. Brady in: Tr. Linn. Soc. London, *v.* 26 p. 449 t. 29 f. 38—42 | 1874 *Loxoconcha multifora*, G. S. Brady, Crosskey & D. Robertson in: Pal. Soc. Mon., 1874 p. 187 t. 14 f. 11, 12.

Küste von Europa.

Cythere murrayana G. Brady 1880 *C. m.*, G. S. Brady in: Rep. Voy. Challenger, Zool. *v.* 1 Part 3 p. 69 t. 16 f. 4 a—h.

Neuseeland.

Cythere muscosa G. Brady 1868 *C. m.*, G. S. Brady in: Folin & Périer, Fonds Mer, *v.* 1 p. 102 t. 12 f. 14, 15.

Dardanellen; östliches Mittelmeer.

Cytherura navicula Norm. 1869 *C. n.*, A. M. Norman in: Rep. Brit. Ass., Meet. 38 p. 292.

Shetlandinseln (St. Magnus-Bay).

Loxoconcha? nitida G. Brady 1868 *L.? n.*, G. S. Brady in: Folin & Périer, Fonds Mer, *v.* 1 p. 64 t. 8 f. 1, 2.

Küste von Java.

Cytherideis nobilis G. Brady 1866 *C. n.*, G. S. Brady in: Tr. zool. Soc. London, *v.* 5 p. 368 t. 58 f. 9.

Kreta (Suda Bay).

Cythere normani G. Brady 1866 *C. n.*, G. S. Brady in: Tr. zool. Soc. London, *v.* 5 p. 379 t. 61 f. 5 | (non 1880 *C. n.*, G. S. Brady in: Rep. Voy. Challenger, Zool. *v.* 1 Part 3 p. 101 t. 17 f. 3; t. 26 f. 4.

Nordbrasilien (Abrolhos).

Paradoxostoma normani G. Brady 1867 *P. n.*, G. S. Brady in: A. M. Norman in: Rep. Brit. Ass., Meet. 36 p. 198 (descr. nulla) | 1868 *P. n.*, G. S. Brady in: Tr. Linn. Soc. London, *v.* 26 p. 458 t. 35 f. 39, 40 | 1886 *P. truncatum*, Malcomson in: P. Belfast Club, ser. 2 *v.* 2 App. 9 p. 262 t. 25 f. 3, 4 (fide 1889 *P. t.* G. S. Brady & A. M. Norman in: Tr. R. Dublin Soc., ser. 2 *v.* 4 p. 231).

Küste von England; Golf von Biscaya.

Cytherura obliqua G. Brady 1880 *C. o.*, G. S. Brady in: Rep. Voy. Challenger, Zool. *v.* 1 Part 3 p. 131 t. 32 f. 1 a—d.

Kerguelen.

Cythere obtusalata G. Brady 1880 *C. o.*, G. S. Brady in: Rep. Voy. Challenger, Zool. *v.* 1 Part 3 p. 91 t. 12 f. 1 a—c | (non 1901 *C. o.*, Egger in: Abh. Bayer. Ak., *v.* 21 p. 443 t. 8 f. 12—15).

Baßstraße; Admiralitätsinseln; Funafuti; Indischer Ozean (Cocosinsel).

Paradoxostoma orcadense G. Brady & D. Roberts. 1872 *P. o.*, G. S. Brady & D. Robertson in: Ann. nat. Hist., ser. 4 *v.* 9 p. 53 t. 1 f. 5—7 | ?1874 *P. cuneatum*, G. S. Brady & D. Robertson in: Ann. nat. Hist., ser. 4 *v.* 13 p. 117 t. 5 f. 6, 7 | 1889 *P. orcadense*, G. S. Brady & A. M. Norman in: Tr. R. Dublin Soc., ser. 2 *v.* 4 p. 234 t. 21 f. 18, 19.

Küste von Norwegen; England; Golf von Biscaya.

Cytheridea orientalis G. Brady 1886 *C. o.*, G. S. Brady in: J. Linn. Soc. London, *v.* 19 p. 311 t. 40 f. 16—18.

Ceylon.

Cytherura ornata Seg. 1885 *C. o.*, Seguenza in: Natural. Sicil., *v.* 4 p. 110 t. 2 f. 8.

Hafen von Messina.

Xiphichilus ornatus O. & E. Terquem 1886 *X. o.*, O. & E. Terquem in: Bull. Soc. zool. France, *v.* 11 p. 339 (descr. nulla).

Island und (oder?) südliches Norwegen.

Cythere ostrarum Nic. 1849 *C. o.*, H. Nicolet in: Gay, Hist. Chile, *v.* 3 p. 295.

Chile, marin, häufig in Austern.

Cythere parkeri G. Brady 1866 *C. p.*, G. S. Brady in: Tr. zool. Soc. London, *v.* 5 p. 380 t. 62 f. 1.

Australien.

Cytheropteron patagoniense G. Brady 1880 *C. p.*, G. S. Brady in: Rep. Voy. Challenger, Zool. *v.* 1 Part 3 p. 139 t. 33 f. 7 a—d.

Patagonien.

Cythere pavonia G. Brady 1866 *C. p.*, G. S. Brady in: Tr. zool. Soc. London, *v.* 5 p. 378 t. 61 f. 2.

Östliches Mittelmeer.

Cythere pectunculata Chapm. 1902 *C. p.*, Chapman in: J. Linn. Soc. London, *v.* 28 p. 425 t. 37 f. 2 a, b.

Funafuti.

Cythere perieri G. Brady 1868 *C. p.*, G. S. Brady in: Folin & Périer, Fonds Mer, *v.* 1 p. 79 t. 8 f. 25, 26.

Malayischer Archipel (nördlich von Billiton); Kuba.

Cythere perrensis G. Brady 1869 *C. p.*, G. S. Brady in: Folin & Périer, Fonds Mer, *v.* 1 p. 123 t. 14 f. 9, 10.

Antillen (New-Providence).

Cythere phylloides Chapm. 1902 *C. p.*, Chapman in: J. Linn. Soc. London, *v.* 28 p. 424 t. 37 f. 3 a—c.

Funafuti.

Cythere plana G. Brady 1868 *C. p.*, G. S. Brady in: Ann. nat. Hist., ser. 4 *v.* 2 p. 180 t. 13 f. 7, 8.

Mauritius.

Krithe praelonga Egg. 1901 *K. p.*, Egger in: Abh. Bayer. Ak., *v.* 21 p. 450 t. 4 f. 11, 12.

Mauritius, 114 m Tiefe.

Cytherideis pulchra G. Brady 1866 *C. (?) p.*, G. S. Brady in: Tr. zool. Soc. London, *v.* 5 p. 368 t. 58 f. 3.

Baffins-Bay (Hundeinsel).

Cytheridea pusilla G. Brady 1886 *C. p.*, G. S. Brady in: J. Linn. Soc. London, *v.* 19 p. 311 t. 40 f. 13—15.

Ceylon.

Cythere pygmaea O. Sars 1865 *C. p.*, G. O. Sars in: M. Sars, Foss. Dyrelev. Quart., p. 117 (descr. nulla).

Cythere pyriformis G. Brady 1880 *C. p.*, G. S. Brady in: Rep. Voy. Challenger, Zool. *v.* 1 Part 3 p. 77 t. 15 f. 3a—d.

Pernambuco.

Krithe radiolata Egg. 1901 *K. r.*, Egger in: Abh. Bayer. Ak., *v.* 21 p. 451 t. 7 f. 32, 33.

Indischer Ozean (20° s. Br., 113° ö. L., 915 m Tiefe).

Bythocythere recurva G. Brady & Norm. 1889 *B. r.*, G. S. Brady & A. M. Norman in: Tr. R. Dublin Soc., ser. 2 *v.* 4 p. 224 t. 19 f. 24, 25.

Busen von Biscaya.

Cytheropteron rhomboideum G. Brady 1868 *C. r.*, G. S. Brady in: Folin & Périer, Fonds Mer, *v.* 1 p. 65 t. 8 f. 10—12.

Nordküste von Java.

Cythere robertsoni G. Brady 1868 *C. r.*, G. S. Brady in: Ann. nat. Hist., ser. 4 *v.* 2 p. 33 t. 4 f. 5, 8—10 | 1889 *C. r.*, G. S. Brady & A. M. Norman in: Tr. R. Dublin Soc., ser. 2 *v.* 4 p. 139 t. 14 f. 32, 33.

Küste von England und Norwegen.

Paradoxostoma rostratum O. Sars 1866 *P. r.*, G. O. Sars in: Forh. Selsk. Christian., 1865 p. 97 | 1889 *P. r.*, G. S. Brady & A. M. Norman in: Tr. R. Dublin Soc., ser. 2 *v.* 4 p. 235 t. 23 f. 3, 4.

Küste von Norwegen (Oxfjord, Vadsö).

Cytheropteron rude G. Brady 1890 *C. r.*, G. S. Brady in: Tr. R. Soc. Edinb., *v.* 35 p. 510 t. 3 f. 15—17.

Fidschiinseln.

Cythere ruperti G. Brady ?1880 *C. cancellata* (part.) (non *C. c.* G. Brady 1868), G. S. Brady in: Rep. Voy. Challenger, Zool. *v.* 1 Part 3 p. 73 t. 14 f. 9 d, e | 1886 *C. ruperti*, G. S. Brady in: J. Linn. Soc. London, *v.* 19 p. 306 t. 39 f. 16—18.

Indischer Ozean (Ceylon, Cocosinsel); Torresstraße, Tongainseln, Neuseeland.

Loxoconcha sagittalis G. Brady 1886 *L. s.*, G. S. Brady in: J. Linn. Soc. London, *v.* 19 p. 312 t. 40 f. 19—21.

Ceylon.

Cythere sagittula (Reuss) 1850 *Cypridina s.*, Reuss in: Haidingers naturw. Abh., *v.* 3 p. 30 t. 11 f. 8 | ?1901 *Cythere s.* (Larve?), Egger in: Abh. Bayer. Ak., *v.* 21 p. 435 t. 6 f. 25, 26.

Atlantischer Ozean (10° n. Br., 17° w. L., 677 m Tiefe); Indischer Ozean (Mauritius, 411 m Tiefe; 18° s. Br., 116° ö. L., 357 m Tiefe).

Cythere salebrosa G. Brady 1869 *C. s.*, G. S. Brady in: Folin & Périer, Fonds Mer, *v.* 1 p. 158 t. 16 f. 9, 10.

Hongkong.

Cythere scaberrima G. Brady 1886 *Cytherura (Cythere) s.*, G. S. Brady in: Folin & Périer, Fonds Mer, *v.* 4 p. 198 t. 14 f. 10, 11; Figurenerklärung | 1889 *Cythere s.*, G. S. Brady & A. M. Norman in: Tr. R. Dublin Soc., ser. 2 *v.* 4 p. 245.

Patria?, in 3535 m Tiefe.

Cytheropteron scaphoides G. Brady 1880 *C. s.*, G. S. Brady in: Rep. Voy. Challenger, Zool. *v.* 1 Part 3 p. 136 t. 33 f. 1a—d.

Kerguelen; Funafuti.

Cythere scintillulata G. Brady 1880 *C. s.*, G. S. Brady in: Rep. Voy. Challenger, Zool. *v.* 1 Part 3 p. 62 t. 14 f. 3a—d.

Magalhaensstraße; Indischer Ozean (Cocosinsel).

Cytherura scutellata G. Brady 1890 *C. s.*, G. S. Brady in: Tr. R. Soc. Edinb., *v.* 35 p. 509 t. 3 f. 26, 27, 27a.

Fidschiinseln; Westaustralien.

Cythere securifer G. Brady 1880 *C. s.*, G. S. Brady in: Rep. Voy. Challenger, Zool. *v.* 1 Part 3 p. 76 t. 13 f. 4a—h.

Prince Edwardsinsel.

Cythere semilunaris G. Brady & Norm. 1889 *C. amissa* (non *C. a.* Jones 1870), *C. semilunaris*, G. S. Brady & A. M. Norman in: Tr. R. Dublin Soc., ser. 2 *v.* 4 p. 136; p. 248.

Busen von Biscaya.

Cythere semiovata T. Scott 1890 *C. (?) s.*, T. Scott in: Rep. Fish. Board Scotl., *v.* 8 p. 321 t. 12 f. 1, 2 | 1896 *C. (?) s.*, G. S. Brady & A. M. Norman in: Tr. R. Dublin Soc., ser. 2 *v.* 5 p. 732 t. 63 f. 14, 15.

Küste von Schottland.

Cythere semipunctata G. Brady 1867 *C. s.*, G. S. Brady in: Intell. Observ., *v.* 12 p. 120 | 1868 *C. (?) s.*, G. S. Brady in: Tr. Linn. Soc. London, *v.* 26 p. 411 t. 29 f. 33—37.

Norwegen; England; Busen von Biscaya.

Cytheropteron septentrionale G. Brady 1878 *C. s.*, G. S. Brady in: Nares, Voy. Polar Sea, *v.* 2 App. 7 p. 254 (descr. nulla).

Australien (Kap Frazer), 90—150 m Tiefe.

Cythere (?) serratula G. Brady 1880 *C. (?) s.*, G. S. Brady in: Rep. Voy. Challenger, Zool. *v.* 1 Part 3 p. 77 t. 43 f. 7a—d.

Westindien (Culebrainsel); Kanarische Inseln; Tristan d'Acunha; Arabisches Meer.

Loxoconcha serrulata Egg. 1901 *L. s.*, Egger in: Abh. Bayer. Ak., *v.* 21 p. 453 t. 3 f. 20—22.

Indischer Ozean (18° s. Br., 116° ö. L., 357 m Tiefe).

Cytheridea setipunctata G. Brady 1869 *C. s.*, G. S. Brady in: Folin & Périer, Fonds Mer, *v.* 1 p. 124 t. 14 f. 15, 16.

Antillen (New Providence); Veracruz.

Cythere setosa Baird 1850 *C. s.*, W. Baird in: P. zool. Soc. London, *v.* 18 p. 255 t. 18 f. 28—30 | 1852 *C. s.*, W. Baird in: Ann. nat. Hist., ser. 2 *v.* 10 p. 57 | ?1866 *C. s.*, G. S. Brady in: Tr. zool. Soc. London, *v.* 5 p. 372 t. 58 f. 12, 13, 15.

Australien; Tenedos; Baffinsbay (Hundeinsel).

Cythere silicula G. Brady 1870 *C. s.*, G. S. Brady in: Folin & Périer, Fonds Mer, *v.* 1 p. 191 t. 27 f. 1, 2.

Veracruz.

Cytherura simulans T. Scott 1894 *C. s.*, T. Scott in: Tr. Linn. Soc. London, ser. 2 *v.* 6 p. 139 t. 14 f. 52, 53.

Busen von Guinea.

Cythere solandi G. Brady 1870 *C. s.*, G. S. Brady in: Folin & Périer, Fonds Mer, *v.* 1 p. 194 t. 28 f. 3, 4.

Straße von Malakka.

Cythere spinea Egg. 1901 *C. s.*, Egger in: Abh. Bayer. Ak., *v.* 21 p. 435 t. 5 f. 1, 2.

Indischer Ozean (18° s. Br., 116° ö. L., 357 m Tiefe).

Pseudocythere spinosa Egg. 1901 *P. s.*, Egger in: Abh. Bayer. Ak., *v.* 21 p. 464 t. 8 f. 43, 44.

Indischer Ozean (18° s. Br., 116° ö. L., 357 m Tiefe).

Cythere spongiosa G. Brady 1870 *C. s.*, G. S. Brady in: Folin & Périer, Fonds Mer, *v.* 1 p. 194 t. 28 f. 1, 2.

Straße von Malakka.

Cytheropteron stellatum G. Brady 1868 *C. (Cytherura) s.*, G. S. Brady in: Folin & Périer, Fonds Mer, *v.* 1 p. 107 t. 13 f. 5—7; p. 89.

Östliches Mittelmeer.

Cythere subcuneata G. Brady 1886 *C. s.*, G. S. Brady in: J. Linn. Soc. London, *v.* 19 p. 307 t. 39 f. 29, 30.

Ceylon.

Cytheridea subflavescens (G. Brady) 1867 *Cythere s.*, G. S. Brady in: A. M. Norman in: Rep. Brit. Ass., Meet. 36 p. 198 (descr. nulla) | 1868 *Cytheridea (?) s.*, G. S. Brady in: Tr. Linn. Soc. London, *v.* 26 p. 429 t. 34 f. 53—55.

Küste von England.

Loxoconcha subovata (Münst.) 1830 *Cythere s.*, Münster in: N. Jahrb. Min., *v.* 1 p. 63 (descr. nulla) | 1838 *C. s.*, Roemer in: N. Jahrb. Min., p. 515 t. 6 f. 4 | ?1901 *Loxoconcha s.*, Egger in: Abh. Bayer. Ak., *v.* 21 p. 454 t. 3 f. 18, 19.

Indischer Ozean (Mauritius 411 und 347 m Tiefe?; 18° s. Br., 116° ö. L., 357 m Tiefe).

Cythere subquadrata G. Brady 1870 *C. s.*, G. S. Brady in: Folin & Périer, Fonds Mer, *v.* 1 p. 233 t. 30 f. 8—10.

Magalhaensstraße.

Cytheridea subquadraregularis G. Brady 1870 *C. s.*, G. S. Brady in: Folin & Périer, Fonds Mer, *v.* 1 p. 239 t. 30 f. 20, 21.

Kuba.

Cythere subsigmoidea G. Brady 1869 *C. s.*, G. S. Brady in: Folin & Périer, Fonds Mer, *v.* 1 p. 113 t. 13 f. 8—10.

Alexandrette.

Cythere sulcifera G. Brady 1886 *C. s.*, G. S. Brady in: Folin & Périer, Fonds Mer, *v.* 4 p. 197 t. 15 f. 3, 4 | 1889 *C. s.*, G. S. Brady & A. M. Norman in: Tr. R. Dublin Soc., ser. 2 *v.* 4 p. 133 t. 19 f. 22, 23.

Nördlicher Atlantischer Ozean, 975—1918 m Tiefe.

Cythere tenera G. Brady 1867 *C. t.*, G. S. Brady in: A. M. Norman in: Rep. Brit. Ass., Meet. 36 p. 198 (descr. nulla) | 1868 *C. t.*, G. S. Brady in: Tr. Linn. Soc. London, *v.* 26 p. 399 t. 28 f. 29—32 | ?1868 *Cytheridea t.*, G. S. Brady in: Folin & Périer, Fonds Mer, *v.* 1 p. 89 (descr. nulla) | ?1880 *Cythere t.*, G. S. Brady in: Rep. Voy. Challenger, Zool. *v.* 1 Part 3 p. 63 t. 12 f. 3a—f.

Europäische Küsten; Island.

Cytheropteron testudo O. Sars 1870 *C. t.*, G. O. Sars in: Forh. Selsk. Christian., 1869 p. 173 | 1889 *C. t.*, G. S. Brady & A. M. Norman in: Tr. R. Dublin Soc., ser. 2 *v.* 4 p. 219 t. 21 f. 1, 2.

Küste von Norwegen; Lofoten.

Cythere thalassica T. Scott 1894 *C. t.*, T. Scott in: Tr. Linn. Soc. London, ser. 2 *v.* 6 p. 138 t. 14 f. 48, 49.

Busen von Guinea.

Cythere thompsoni A. Scott 1905 *C. t.*, A. Scott in: Herdman, Rep. Ceylon Pearl Fish., Suppl. Rep. 22 p. 379 t. 2 f. 15, 16.

Ceylon.

Cytherideis tigrina G. Brady 1866 *C. t.*, G. S. Brady in: Tr. zool. Soc. London, *v.* 5 p. 369 t. 58 f. 5.

Melbourne.

Cythere torresi G. Brady 1880 *C. t.*, G. S. Brady in: Rep. Voy. Challenger, Zool. *v.* 1 Part 3 p. 67 t. 19 f. 8a—c.

Cythereis? vermutlich Schale falsch orientiert. Torresstraße.

Cytheropteron trilobites G. Brady 1890 *C. (?) t.*, G. S. Brady in: Tr. R. Soc. Edinb., *v.* 35 p. 511 t. 3 f. 22, 23 | ?1894 *C. t.*, T. Scott in: Tr. Linn. Soc. London, ser. 2 *v.* 6 p. 139 t. 14 f. 54, 55.

Neucaledonia; Busen von Guinea.

Cythere trispicata G. Brady & Norm. 1889 *C. t.*, G. S. Brady & A. M. Norman in: Tr. R. Dublin Soc., ser. 2 *v.* 4 p. 155 t. 16 f. 5, 6.

Südwestküste von Frankreich (Les Landes).

Cythere truncata O. Sars 1865 *C. t.*, G. O. Sars in: M. Sars, Foss. Dyrelev. Quart., p. 49, 117 (descr. nulla).

Süd- und Westküste Norwegens bis zu den Lofoten.

Cythere truncatula G. Brady 1886 *C. t.*, G. S. Brady in: J. Linn. Soc. London, *v.* 19 p. 305 t. 39 f. 25—28.

Ceylon.

Loxoconcha tumida Chapm. 1902 *L. t.*, Chapman in: J. Linn. Soc. London, *v.* 28 p. 428 t. 37 f. 5a—c.

Funafuti.

Xestoleberis tumida (Reuss) 1850 *Cytherina t.*, Reuss in: Haidingers naturw. Abh., *v.* 3 p. 17 t. 8 f. 29 | ?1901 *Xestoleberis t.*, Egger in: Abh. Bayer. Ak., *v.* 21 p. 457 t. 3 f. 47—50.

Atlantischer Ozean (10° n. Br., 17° w. L., 677 m Tiefe?); Indischer Ozean (Mauritius, 411 m Tiefe?; Kerguelen, 104 m Tiefe?; 18° s. Br., 116° ö. L., 357 m Tiefe?)

Cytherura undata (O. Sars)

Diese Art zerfällt in zwei Unterarten:

a) **Cytherura undata undata** (O. Sars) 1865 *Cythere u.*, G. O. Sars in: M. Sars, Foss. Dyrelev. Quart., p. 117 (descr. nulla) | 1866 *Cytherura u.*, G. O. Sars in: Forh. Selsk. Christian., 1865 p. 75 | 1867 *C. humilis*, G. S. Brady in: Rep. Brit. Ass., Meet. 36 p. 210 | 1868 *C. undata*, G. S. Brady in: Tr. Linn. Soc. London, *v.* 26 p. 443 t. 32 f. 43—49, 66 | 1870 *C. pumila*, G. S. Brady in: Ann. nat. Hist., ser. 4 *v.* 6 p. 454 (descr. nulla) | ?1889 *C. undata* (juv.), G. S. Brady & A. M. Norman in: Tr. R. Dublin Soc., ser. 2 *v.* 4 p. 198 t. 19 f. 12 | (non 1901 *C. u.*, Egger in: Abh. Bayer. Ak., *v.* 21 p. 460 t. 4 f. 38, 39).

Küste von Nordeuropa; Franz Joseph-Land.

b) **Cytherura undata var.** G. Brady 1870 *C. u. var.*, G. S. Brady in: Ann. nat. Hist., ser. 4 *v.* 6 p. 454 t. 19 f. 7.

Lorenzobusen.

Cythere velifera O. & E. Terquem 1886 *C. v.*, O. & E. Terquem in: Bull. Soc. zool. France, *v.* 11 p. 339 (descr. nulla).

Island; südliches Norwegen.

Cytheropteron velifera O. & E. Terquem 1886 *C. v.*, O. & E. Terquem in: Bull. Soc. zool. France, *v.* 11 p. 339 (descr. nulla).

Island; südliches Norwegen.

Cythere vellicata G. Brady 1880 *C. v.*, G. S. Brady in: Rep. Voy. Challenger, Zool. *v.* 1 Part 3 p. 64 t. 12 f. 2a—d.

Australien (Port Jackson).

Cythere venata G. Brady 1866 *C. v.*, G. S. Brady in: Tr. zool. Soc. London, *v.* 5 p. 374 t. 59 f. 8.

Australien (Hobsons-Bay).

Cythere venusta T. Scott 1894 *C. v.*, T. Scott in: Tr. Linn. Soc. London, ser. 2 *v.* 6 p. 138 t. 14 f. 50, 51.

Busen von Guinea.

Cythere viridis O. Costa 1840 *C. v.*, O. G. Costa in: Fauna Reg. Napoli, Crost. Cat. p. 7 (nom. nud.).

Cythere willeyi A. Scott 1905 *C. w.*, A. Scott in: Herdman, Rep. Ceylon Pearl Fish., Suppl. Rep. 22 p. 379 t. 2 f. 19, 20.

Ceylon.

Cythere willisi A. Scott 1905 *C. w.*, A. Scott in: Herdman, Rep. Ceylon Pearl Fish., Suppl. Rep. 22 p. 380 t. 2 f. 27, 28.

Ceylon.

Cythere woodwardii G. Brady 1868 *C. w.*, G. S. Brady in: Folin & Périer, Fonds Mer, *v.* 1 p. 93 t. 10 f. 19—21.

Sizilien.

Bythocythere sp. 1901 *B. constricta* (non *B. c.* O. Sars 1866), Egger in: Abh. Bayer. Ak., *v.* 21 p. 462 t. 7 f. 26—28.

Indischer Ozean (18° s. Br., 116° ö. L., 357 m Tiefe).

Bythocythere sp. 1901 *B. undulata* (non *Cythere u.* Speyer 1863), Egger in: Abh. Bayer. Ak., *v.* 21 p. 463 t. 5 f. 26—31.

Atlantischer Ozean (6° n. Br., 11° w. L., 68 m Tiefe).

Bythocythere sp. 1901 *B. velifera* (non *B. v.* G. Brady 1880), Egger in: Abh. Bayer. Ak., *v.* 21 p. 463 t. 5 f. 32—34.

Indischer Ozean (18° s. Br., 116° ö. L., 357 m Tiefe).

Cythere sp. 1901 *C. acupunctata* (non *C. a.* G. S. Brady 1880), Egger in: Abh. Bayer. Ak., *v.* 21 p. 434 t. 5 f. 40—42.

Mauritius, 411 m Tiefe.

Cythere sp. 1850 *C. acuta* (non *C. a.* Cornuel 1848), W. Baird, Brit. Entom., p. 173 t. 21 f. 5.

Schottische Küste.

Cythere sp. 1901 *C. arenosa var.* (non *C. a.* Bosquet 1854 var. Jones & Sherborn 1889), Egger in: Abh. Bayer. Ak., *v.* 21 p. 430 t. 7 f. 59.

Indischer Ozean (18° s. Br., 116° ö. L., 357 m Tiefe).

Cythere sp. 1901 *C. audei* (non *C. a.* G. Brady 1870, 1880), Egger in: Abh. Bayer. Ak., *v.* 21 p. 437 t. 7 f. 38—40.

Atlantischer Ozean (10° n. Br., 77° w. L., 677 m Tiefe; 18° n. Br., 11° w. L., 68 m Tiefe.

Cythere sp. 1886 *C. bimamillata* (non *C. b.* Seguenza 1883), G. S. Brady in: J. Linn. Soc. London, *v.* 19 p. 309 t. 40 f. 10—12.

Ceylon.

Cythere sp. 1869 *C. bradii* (non *C. b.* Norman 1865), Folin in: G. S. Brady in: Folin & Périer, Fonds Mer, *v.* 1 p. 148 t. 14 f. 21—24 | 1889 *C. b.*, G. S. Brady & A. M. Norman in: Tr. R. Dublin Soc., ser. 2 *v.* 4 p. 161 t. 16 f. 3, 4.

Busen von Biscaya.

Cythere sp. 1901 *C. canaliculata* (non *Cypridina c.* Reuss 1850 = *Cythere c.* G. Brady 1866), Egger in: Abh. Bayer. Ak., *v.* 21 p. 432 t. 4 f. 15, 16.

Indischer Ozean (18° s. Br., 116° ö. L., 357 m Tiefe).

Cythere sp. 1901 *C. ceratoptera* (non *C. c.* Bosquet 1852), Egger in: Abh. Bayer. Ak., *v.* 21 p. 446 t. 5 f. 11, 12.

Indischer Ozean (18° s. Br., 116° ö. L., 357 m Tiefe).

Cythere sp. 1901 *C. charlesworthiana* (non *C. c.* Jones & Sherborn 1887), Egger in: Abh. Bayer. Ak., *v.* 21 p. 430 t. 7 f. 21—23.

Indischer Ozean (18° s. Br., 116° ö. L., 357 m Tiefe; Mauritius 411 m Tiefe.

Cythere sp. 1901 *C. cribrosa* (non *C. c.* G. Brady, Crosskey & D. Robertson 1874), Egger in: Abh. Bayer. Ak., *v.* 21 p. 433 t. 8 f. 52—54.

Indischer Ozean (18° s. Br., 116° ö. L., 357 m Tiefe.

Cythere sp. 1901 *C. cristata* (non *C. c.* Terquem 1878, non *C. c.* Bosquet 1856), Egger in: Abh. Bayer. Ak., *v.* 21 p. 445 t. 5 f. 5—7.

Indischer Ozean (18° s. Br., 116° ö. L., 357 m Tiefe).

Cythere sp. 1901 *C. darwinii* (non *C. d.* G. Brady 1868, 1880), Egger in: Abh. Bayer. Ak., *v.* 21 p. 434 t. 5 f. 3, 4.

Indischer Ozean (18° s. Br., 116° ö. L., 357 m Tiefe).

Cythere sp. 1901 *C. euplectella* (non *C. e.* G. Brady 1869), Egger in: Abh. Bayer. Ak., *v.* 21 p. 437 t. 6 f. 32—34.

Mauritius, 137 m Tiefe.

Cythere sp. 1901 *C. exilis* (non *C. e.* G. Brady 1880), Egger in: Abh. Bayer. Ak., *v.* 21 p. 439 t. 7 f. 29—31.

Kerguelen, 104 m Tiefe.

Cythere sp. 1886 *C. fabacea* (non *C. f.* Terquem 1877), G. S. Brady in: J. Linn. Soc. London, *v.* 19 p. 305 t. 40 f. 4—6.

Ceylon.

Cythere sp. 1869 *C. gibbosa* (non *C. g.* Milne-Edwards 1840), G. S. Brady & D. Robertson in: Ann. nat. Hist., ser. 4 *v.* 3 p. 367 t. 21 f. 1—3 | 1889 *C. g.*, G. S. Brady & A. M. Norman in: Tr. R. Dublin Soc., ser. 2 *v.* 4 p. 136 t. 14 f. 30, 31.

Küste von England und Norwegen; Australien (Kap Frazer).

Cythere sp. 1901 *C. goujoni* (non *C. g.* G. Brady 1868), Egger in: Abh. Bayer. Ak., *v.* 21 p. 431 t. 6 f. 29—31.

Indischer Ozean (18° s. Br., 116° ö. L., 357 m Tiefe).

Cythere sp. 1901 *C. haueri* (non *Cypridina h.* Reuss 1850 = *Cythere h.* Lienenklaus 1895), Egger in: Abh. Bayer. Ak., *v.* 21 p. 430 t. 7 f. 57, 58.

Indischer Ozean (18° s. Br., 116° ö. L., 357 m Tiefe); Mauritius, 411 m Tiefe; Atlantischer Ozean (10° n. Br., 17° w. L., 677 m Tiefe).

Cythere sp. 1901 *C. hodgei* (non *C. h.* G. Brady 1866, 1880), Egger in: Abh. Bayer. Ak., *v.* 21 p. 431 t. 6 f. 38—40.

Indischer Ozean (18° s. Br., 116° ö. L., 357 m Tiefe).

Cythere sp. 1901 *C. hystrix* (non *Cypridina h.* Reuss 1850), Egger in: Abh. Bayer. Ak., *v.* 21 p. 434 t. 5 f. 21, 22.

Pazifischer Ozean (23° s. Br., 179° ö. L., 3200 m Tiefe); Indischer Ozean (18° s. Br., 116° ö. L., 357 m Tiefe; Mauritius, 411 m Tiefe).

Cythere sp. 1901 *C. impluta* (non *C. i.* G. Brady 1880), Egger in: Abh. Bayer. Ak., *v.* 21 p. 438 t. 8 f. 29—31.

Tafelbai, 91 m Tiefe.

Cythere sp. 1890 *C. inflata* (non *C. i.* Münster 1830, Mc Coy 1862, Terquem 1877), G. S. Brady in: Tr. R. Soc. Edinb., *v.* 35 p. 498 t. 2 f. 3—5.

Fidschiinseln; Samoainseln.

Cythere sp. 1901 *C. inornata* (non *C. i.* Mc Coy 1844, Bosquet 1850), Egger in: Abh. Bayer. Ak., *v.* 21 p. 429 t. 7 f. 13—15.

Indischer Ozean (18° s. Br., 116° ö. L., 357 m Tiefe).

Cythere sp. 1901 *C. lacunosa* (non *Cypridina l.* Reuss 1850), Egger in: Abh. Bayer. Ak., *v.* 21 p. 433 t. 7 f. 53, 54.

Indischer Ozean (18° s. Br., 116° ö. L., 357 m Tiefe).

Cythere sp. 1901 *C. lamarckiana* (non *C. l.* Bosquet 1850), Egger in: Abh. Bayer. Ak., *v.* 21 p. 440 t. 5 f. 16—20.

Fidschiinseln, 3200 m Tiefe.

Cythere sp. 1886 *C. laqueata* (non *C. l.* Jones 1856), G. S. Brady in: J. Linn. Soc. London, *v.* 19 p. 309 t. 39 f. 34—36.

Ceylon.

Cythere sp. 1901 *C. lauta* (non *C. l.* G. Brady 1880), Egger in: Abh. Bayer. Ak., *v.* 21 p. 441 t. 6 f. 21—24.

Indischer Ozean (18° s. Br., 116° ö. L., 357 m Tiefe).

Cythere sp. 1901 *C. lineopunctata* (non *C. l.* Chapman & Sherborn 1893), Egger in: Abh. Bayer. Ak., *v.* 21 p. 440 t. 5 f. 35—39.

Indischer Ozean (20° s. Br., 113° ö. L., 915 m Tiefe).

Cythere sp. 1855 *C. lutea* (non *C. l.* Müller 1785), S. Fischer in: Abh. Bayer. Ak., *v.* 7 p. 658 t. 20 f. 13—18.

Madeira.

Cythere sp. 1901 *C. obesa* (non *Cytherina o.* Reuss 1850), Egger in: Abh. Bayer. Ak., *v.* 21 p. 431 t. 7 f. 61, 62.

Indischer Ozean (18° s. Br., 116° ö. L., 357 m Tiefe).

Cythere sp. 1901 *C. obliquata* (non *C. o.* Reuss 1855), Egger in: Abh. Bayer. Ak., *v.* 21 p. 433 t. 7 f. 36, 37.

Tafelbai, 91 m Tiefe.

Cythere sp. 1901 *C. opaca* (non *Cypridina o.* Reuss 1850), Egger in: Abh. Bayer. Ak., *v.* 21 p. 432 t. 8 f. 50, 51.

Mauritius, 411 m Tiefe.

Cythere sp. 1880 *C. ovalis* (non *C. o.* Stoddart 1861), G. S. Brady in: Rep. Voy. Challenger, Zool. *v.* 1 Part 3 p. 66 t. 14 f. 4a—d.

Torresstraße; Fidschiinseln; Ceylon.

Cythere sp. 1901 *C. parallelogramma* (non *C. p.* G. Brady 1880), Egger in: Abh. Bayer. Ak., *v.* 21 p. 442 t. 6 f. 15, 16.

Atlantischer Ozean (10° n. Br., 17° w. L., 677 m Tiefe).

Cythere sp. 1901 *C. pertusa* (non *C. p.* Reuss 1854), Egger in: Abh. Bayer. Ak., *v.* 21 p. 443 t. 7 f. 24, 25.

Mauritius, 411 m Tiefe; Kerguelen, 104 m Tiefe.

Cythere sp. 1870 *C. propinqua* (non *C. p.* Bosquet 1854, non *C. p.* O. Sars 1869), G. S. Brady in: Folin & Périer, Fonds Mer, *v.* 1 p. 233 t. 30 f. 6, 7.

Magalhaensstraße.

Cythere sp. 1868 *C. pulchella* (non *C. p.* Bosquet 1854), G. S. Brady in: Tr. Linn. Soc. London, *v.* 26 p. 404 | 1868 *C. p.*, G. S. Brady in: Ann. nat. Hist., ser. 4 *v.* 2 p. 32 t. 5 f. 18—20 | 1869 *C. p.*, G. S. Brady & D. Robertson in: Ann. nat. Hist., ser. 4 *v.* 3 p. 368 t. 20 f. 1—3 | 1889 *C. p.*, G. S. Brady & A. M. Norman in; Tr. R. Dublin Soc., ser. 2 *v.* 4 p. 146 t. 15 f. 7, 8.

Küste von England und Holland; Davisstraße.

Cythere sp. 1901 *C. scabrocuneata* (non *C. s.* G. Brady 1880), Egger in: Abh. Bayer. Ak., *v.* 21 p. 441 t. 8 f. 1—3.

Indischer Ozean (18° s. Br., 116° ö. L., 357 m Tiefe; 20° s. Br., 113° ö. L., 915 m Tiefe).

Cythere sp. 1901 *C. signata* (non *C. s.* Terquem 1877), Egger in: Abh. Bayer. Ak., *v.* 21 p. 436 t. 6 f. 1—4.

Indischer Ozean (18° s. Br., 116° ö. L., 357 m Tiefe).

Cythere sp. 1901 *C. speyeri* (non *C. s.* G. Brady 1868), Egger in: Abh. Bayer. Ak., *v.* 21 p. 438 t. 7 f. 41—43, 55, 56.

Atlantischer Ozean (10° n. Br., 17° w. L., 677 m Tiefe; 6° n. Br., 11° w. L., 68 m Tiefe).

Cythere sp. 1901 *C. sulcifera* (non *C. s.* G. Brady 1886), Egger in: Abh. Bayer. Ak., *v.* 21 p. 436 t. 6 f. 19, 20.

Indischer Ozean (18° s. Br., 116° ö. L., 357 m Tiefe).

Cythere sp. 1901 *C. wyville-thomsoni* (non *C. w.-t.* G. Brady 1880), Egger in: Abh. Bayer. Ak., *v.* 21 p. 444 t. 6 f. 13, 14.

Atlantischer Ozean (10° n. Br., 17° w. L., 677 m Tiefe).

Cytheridea sp. 1901 *C. debilis* (non *C. d.* Jones 1856, non *C. d.* Lienenklaus 1894), Egger in: Abh. Bayer. Ak., *v.* 21 p. 447 t. 4 f. 4, 5.

Indischer Ozean (18° s. Br., 116° ö. L., 357 m Tiefe).

Cytheridea sp. 1901 *C. punctillata* (non *C. p.* G. Brady 1865), Egger in: Abh. Bayer. Ak., *v.* 21 p. 448 t. 3 f. 15—17, 23—26.

Indischer Ozean (18° s. Br., 116° ö. L., 357 m Tiefe).

Cytheropteron sp. 1901 *C. acanthopteron* (non *Cythere a.* Marsson 1880), Egger in: Abh. Bayer. Ak., *v.* 21 p. 460 t. 4 f. 46—48.

Indischer Ozean (18° s. Br., 116° ö. L., 357 m Tiefe).

Cytheropteron sp. 1901 *C. ovatum* (non *C. o.* Lienenklaus 1894), Egger in: Abh. Bayer. Ak., *v.* 21 p. 461 t. 7 f. 1, 2.

Indischer Ozean (18° s. Br., 116° ö. L., 357 m Tiefe).

Cytheropteron sp. 1901 *C. pedatum* (non *Cythere pedata* Marsson 1880), Egger in: Abh. Bayer. Ak., *v.* 21 p. 462 t. 7 f. 10—12.

Indischer Ozean (18° s. Br., 116° ö. L., 357 m Tiefe).

Cytherura sp. 1901 *C. reticulata* (non *C. r.* G. W. Müller 1894, non Lienenklaus 1894), Egger in: Abh. Bayer. Ak., *v.* 21 p. 459 t. 8 f. 31, 32.

Indischer Ozean (18° s. Br., 116° ö. L., 357 m Tiefe); Atlantischer Ozean (10° n. Br., 17° w. L., 677 m Tiefe).

Loxoconcha sp. 1901 *L. carinata* (non *L. c.* Lienenklaus 1894), Egger in: Abh. Bayer. Ak., *v.* 21 p. 452 t. 3 f. 1—3.

Atlantischer Ozean (10° n. Br., 17° w. L., 677 m Tiefe); Indischer Ozean (Kerguelen, 104 m Tiefe; 18° s. Br., 116° ö. L., 357 m Tiefe).

Loxoconcha sp. 1901 *L. eggeriana* (non *L. e.* Lienenklaus 1896), Egger in: Abh. Bayer. Ak., *v.* 21 p. 452 t. 4 f. 42, 43.

Mauritius, 411 m Tiefe.

Pseudocythere sp. 1900 *P. caudata* (non *P. c.* O. Sars 1865), Egger in: Abh. Bayer. Ak., *v.* 21 p. 463 t. 8 f. 33, 34.

Indischer Ozean (18° s. Br., 116° ö. L., 357 m Tiefe).

Pseudocythere sp. 1901 *P. fuegiensis* (non *P. f.* G. Brady 1880), Egger in: Abh. Bayer. Ak., *v.* 21 p. 464 t. 8 f. 39, 40.

Indischer Ozean (18° s. Br., 116° ö. L., 357 m Tiefe).

Xiphichilus sp. 1901 *Xiphochilus complanatus* (non *Xiphichilus c.* G. Brady 1880), Egger in: Abh. Bayer. Ak., *v.* 21 p. 464 t. 4 f. 36, 37.

Indischer Ozean (18° s. Br., 116° ö. L., 357 m Tiefe).

5. Fam. **Cytherellidae**

Schale derb, von charakteristischem Habitus (Fig. 91); Dorsal- und Ventralrand annähernd parallel; beide Enden breit gerundet, das hintere bisweilen abgestutzt. Thorax an den Seiten mit gelenkig verbundenen Chitinstützen, welche nicht mit den Gliedmaßen in Verbindung stehen. 1. Antenne 6-gliedrig, gedrungen, mit starkem, ventralwärts offenem Knie zwischen dem 1. und 2. Gliede; Borsten meist klauenartig. 2. Antenne mit (Fig. 92) 2-gliedrigem Stamme, dessen beide Glieder miteinander einen nach unten offenen Winkel bilden; Endopodit 3-, Exopodit 2-gliedrig; beide Äste mit zahlreichen, starken Borsten. Mandibel mit kleinem Basalgliede und umfangreichem Taster, dessen 1. und 2. Glied zahlreiche, kammartig angeordnete Borsten trägt. Maxille ebenfalls mit umfangreichem Taster mit zahlreichen, kammartig angeordneten Borsten. 1. Thoraxbein des ♂ mit kurzem, nach vorn gerichtetem Stamme, der an seiner vorderen Ecke den

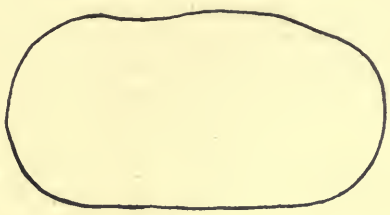

Fig. 91.
Cytherella sordida. Linke Schale (65/1).

ungegliederten, nach vorn gerichteten Exopodit, am Hinterrande den 3-gliedrigen Endopodit und eine umfangreiche Atemplatte trägt; das 2. und 3. Glied des Endopodit wird gegen das 1. eingeschlagen. 1. Thoraxbein beim ♀ fehlend oder häutig, mit Atemplatte. 2. Thoraxbein beim ♂ dem 1. ähnlich, doch fehlt der Exopodit, das 2. und 3. Glied des Endopodit verschmolzen und die Atemplatte kleiner; 2. Thoraxbein des ♀ eine ungegliederte Platte mit randständigen, radial angeordneten Strahlen. 3. Thoraxbein fehlt in beiden Geschlechtern; beim ♂ hinter dem 2. Thoraxbeine eine konische, behaarte Warze (bürstenförmiges Organ). Furca lamellös, distal verbreitert, am terminalen Rande mit zahlreichen Borsten.

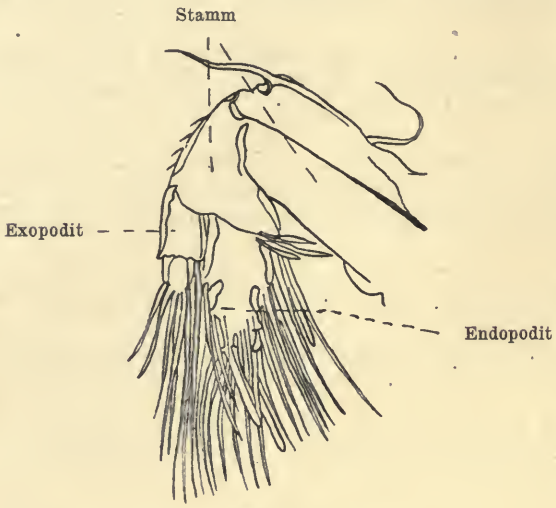

Fig. 92.
Cytherella sordida. 2. Antenne ($^{190}/_{1}$).

1 Gattung mit 16 sicheren, 8 unsicheren Arten.

1. Gen. **Cytherella** Jones

1849 *Cytherella* (part.), Jones in: Pal. Soc. Mon., 1849 p. 28 | 1866 *C.*, G. O. Sars in: Forh. Selsk. Christian., 1865 p. 125 | 1894 *C.*, G. W. Müller in: F. Fl. Neapel, *v.* 21 p. 386.

Mit den Charakteren der Familie.

16 sichere, 8 unsichere Arten.

1. **C. eburnea** G. Brady 1898 *C. e.*, G. S. Brady in: Tr. zool. Soc. London, *v.* 14 p. 447 t. 46 f. 8, 9.

Höhe gleich $^1/_2$ der Länge; Dorsalrand horizontal, gerade, dem ebenfalls annähernd geraden Ventralrande parallel; beide Enden etwa halbkreisförmig gerundet; Oberfläche glatt, die Ränder nicht aufgewulstet. Vom Rücken gesehen Breite $^5/_{12}$ der Länge, am breitesten etwa auf $^3/_4$ der Länge; Seiten annähernd gerade, nach vorn deutlich konvergierend; beide Enden abgerundet. Farbe grau. — L. 0·9 mm.

Neuseeland (Lyttleton).

2. **C. africana** T. Scott 1894 *C. a.*, T. Scott in: Tr. Linn. Soc. London, ser. 2 *v.* 6 p. 144 t. 15 f. 9, 10, 36, 41, 42.

Schale der von C. eburnea ähnlich; aber in der Ansicht vom Rücken das Vorderende zugespitzt, die Schalen hier klaffend. — L. 0·86 mm.

Busen von Guinea (Loanda).

3. **C. pulchra** G. Brady 1866 *C. p.*, G. S. Brady in: Tr. zool. Soc. London, *v.* 5 p. 361 t. 57 f. 1 | ?1880 *C. p.*, G. S. Brady in: Rep. Voy. Challenger, Zool. *v.* 1 Part 3 p. 174 t. 44 f. 3a, b.

Schale der von C. eburnea ähnlich; vom Rücken gesehen Breite kleiner als $^1/_2$ der Länge; die Seiten bilden auf etwa $^2/_3$ der Länge eine mehr oder weniger deutliche Ecke und konvergieren von hier nach vorn in flachem Bogen. nach hinten in winklig gebrochener Linie; beide Enden undeutlich zugespitzt. — L. 0·60 (— 0·77?) mm.

Australien; Pazifischer Ozean (39° s. Br., 171° ö. L.?, Neuseeland); Karibisches Meer (Colon); Bermudas, Ascension.

4. **C. obtusata** (nom. nov.), G. W. Müll. 1869 *C. truncata* (non *C. t.* Jones 1849), G. S. Brady in: Folin & Périer, Fonds Mer, *v.* 1 p. 154 t. 19 f. 3, 4 | 1880 *C. t.*, G. S. Brady in: Rep. Voy. Challenger, Zool. *v.* 1 Part 3 p. 174 t. 36 f. 3.

Schale im Profil der von C. eburnea ähnlich; Höhe deutlich größer als $^1/_2$ der Länge; an der Grenze von Hinter- und Ventralrand findet sich die Andeutung einer Ecke; Oberfläche glatt. Vom Rücken gesehen Breite $^5/_{12}$ der Länge, am breitesten auf etwa $^3/_4$ der Länge; die Seiten konvergieren in flachem Bogen zu der vorderen, etwas abgestumpften Spitze; Hinterende quer abgestutzt; der Hinterrand setzt sich deutlich winklig gegen die gewölbten Seiten ab, in seiner Mitte erhebt sich eine Spitze. — L. 0·70—0·85 mm.

Karibisches Meer (Colon); Torresstraße.

5. **C. serrulata** G. Brady & Norm. 1883 (?) *C. s.*, G. S. Brady in: Folin & Périer, Fonds Mer, *v.* 4 p. 165, 200 (descr. nulla) | 1896 *C. s.*, G. S. Brady & A. M. Norman in: Tr. R. Dublin Soc., ser. 2 *v.* 5 p. 713 t. 66 f. 3—6, 9—16; t. 67 f. 15, 16.

Schale des ♀ ähnlich wie die von C. eburnea, aber höher, und Hinterrand fein gesägt. Vom Rücken gesehen ähnlich wie C. obtusata, aber die Ecken, welche Hinterrand und Seiten bilden, stark abgerundet. Schale des ♂ im Profil der des ♀ ähnlich; Hinterrand nicht gesägt. Vom Rücken gesehen Breite $^1/_3$ der Länge; Seiten fast in ganzer Länge annähernd gerade und parallel, nur im vorderen Viertel deutlich konvergierend; Vorderende zugespitzt, die Spitze breit abgestutzt; Hinterende breit gerundet. — L. ♀ 1·08, ♂ 1·05 mm.

Küste von Nordwestafrika, in Tiefen von 400—2140 m; Küste von Schottland.

6. **C. beyrichi** (Reuss) 1851 *Cytherina b.*, Reuss in: Z. D. geol. Ges., *v.* 3 p. 89 t. 7 f. 65 | 1855 *Cytherella b.*, Bornemann in: Z. D. geol. Ges., *v.* 7 p. 354 t. 20 f. 1 | ?1866 *C. b.*, G. S. Brady in: Tr. zool. Soc. London, *v.* 5 p. 362 t. 57 f. 3 | ?1901 *C. b.*, Egger in: Abh. Bayer. Ak., *v.* 21 p. 468 t. 4 f. 26, 27.

Schale im Profil ähnlich wie die von C. eburnea (nr. 1); eine hintere ventrale Ecke angedeutet; die Schalenränder etwas aufgewulstet; Oberfläche dicht mit kleinen Gruben bedeckt. Vom Rücken gesehen Breite kleiner als $^1/_2$ der Länge; Seiten annähernd gerade (schwach wellig) und parallel; beide Enden quer abgestutzt; Vorder- und Hinterrand bilden deutliche Ecken mit den Seiten. — L. 0·8 mm.

Atlantischer Ozean (Norwegen; 10° s. Br., 17° w. L., 677 m Tiefe?); Indischer Ozean (Mauritius 411 m Tiefe?); 18° s. Br., 116° ö. L., 357 m Tiefe?).

7. **C. abyssorum** O. Sars 1866 *C. a.*, G. O. Sars in: Forh. Selsk. Christian., 1865 p. 127 | 1867 *C. scotica*, G. S. Brady in: A. M. Norman in: Rep. Brit. Ass., Meet. 36 p. 198 (nom. nud.) | 1867 *C. s.*, G. S. Brady in: Rep. Brit. Ass., Meet. 36 p. 211 | 1868 *C. s.*, G. S. Brady in: Tr. Linn. Soc. London, *v.* 26 p. 473 t. 34 f. 18—21 | 1896 *C. abyssorum*, G. S. Brady & A. M. Norman in: Tr. R. Dublin Soc., ser. 2 *v.* 5 p. 716 t. 66 f. 1, 2, 15; t. 67 f. 13, 14.

Schale im Profil der von C. eburnea (nr. 1) ähnlich, höher, Höhe annähernd $^2/_3$ der Länge; Oberfläche dicht mit kleinen Gruben bedeckt. Vom Rücken gesehen Breite etwa $^1/_2$ der Länge, am breitesten ganz nahe dem Hinterende, hinter $^5/_6$ der Länge; von hier aus konvergieren die Seiten deutlich und annähernd geradlinig nach vorn; beide Enden quer abgestutzt, die Ecken, welche der vordere und hintere Rand mit den Seiten bilden, stark abgerundet. — L. ♀ 0·95, ♂ 0·90 mm.

Küste von Norwegen; in Tiefen von 182—550 m; Nizza.

8. **C. ondaatjei** A. Scott 1905 *C. o.*, A. Scott in: Herdman, Rep. Ceylon Pearl Fish., Suppl. Rep. 22 p. 382 t. 2 f. 33, 34.

Schale: Höhe annähernd $^2/_3$ der Länge; Dorsalrand flach, Ventralrand deutlich konkav, beide Enden breit gerundet, die Rundung des Hinterendes in der ventralen Hälfte etwas schief abgestutzt; Oberfläche mit zahlreichen glänzenden Flecken und einer dreieckigen Grube in der hinteren, dorsalen Hälfte, dicht mit feinen Spitzen (Borsten?) bedeckt. Vom Rücken gesehen Breite $^1/_3$ der Länge, am breitesten hinter der Mitte; die Seiten bilden flache Bogen, die nach hinten sehr wenig, nach vorn deutlich konvergieren, beide Enden abgestutzt, das hintere viel breiter und deutlicher als das vordere. — L. 0·6 mm.

Ceylon, Karativu.

9. **C. sordida** G. W. Müll. 1894 *C. s.*, G. W. Müller in: F. Fl. Neapel, *v.* 21 p. 386 t. 8 f. **28, 30**; t. 32 f. 1—14.

Schale (Fig. 91, p. 389) im Profil ähnlich wie bei C. eburnea (nr. 1); der Dorsalrand etwas S-förmig geschwungen, in der vorderen Hälfte flach ausgebuchtet, in der hinteren gewölbt; Oberfläche mäßig dicht mit scharf konturierten, runden Gruben bedeckt; Ränder aufgewulstet. Vom Rücken gesehen Breite etwa $^4/_9$ der Länge; am breitesten etwas hinter $^1/_2$ der Länge; die Seiten bilden flache, etwas unregelmäßige Bogen, die nach beiden Enden konvergieren, nach hinten nahe dem Hinterende divergieren; Vorderende unregelmäßig abgerundet, hinten stumpfwinklig abgestutzt, in der Mitte etwas eingeschnitten; der Hinterrand bildet mit den Seiten stark abgerundete Ecken. — L. ♀ 0·84, ♂ 0·82 mm. — Fig. 91, 92, p. 389, 390.

Golf von Neapel.

10. **C. vesiculosa** Chapm. 1902 *C. v.*, Chapman in: P. zool. Soc. London, *v.* 1 p. 230 f. 28.

Schale der von C. sordida ähnlich, der Ventralrand flach eingebuchtet, nahe dem Dorsalrande (nach dem Text Ventralrand) eine Vertiefung; die Ränder nicht aufgewulstet. Vom Rücken gesehen Breite $^2/_5$ der Länge, am breitesten nahe dem Hinterende, wo die Seiten stark abgerundete Ecken bilden, von denen aus sie in schwach winklig gebrochener Linie zum vorderen, zugespitzten Ende konvergieren, Hinterende stumpfwinklig. — L. 0·76 mm.

Cocosinsel.

11. **C. cingulata** G. Brady 1869 *C. c.*, G. S. Brady in: Folin & Périer, Fonds Mer, *v.* 1 p. 159 t. 16 f. 24, 25 | 1880 *C. c.*, G. S. Brady in: Rep. Voy. Challenger, Zool. *v.* 1 Part 3 p. 177 t. 43 f. 1, 2.

Höhe der Schale etwa $^5/_9$ der Länge; Dorsalrand annähernd gerade, dem flach ausgebuchteten Ventralrande parallel; Vorder- und Hinterende breit

gerundet; letzteres bildet mit Dorsal- und Ventralrand mehr oder weniger deutliche Ecken; nahe dem Rande, demselben annähernd parallel, verläuft eine Rippe, welche nahe der hinteren dorsalen und ventralen Ecke sich erhebt und Ecken bildet, welche den Schalenrand überragen können. Vom Rücken gesehen Breite des ♀ $^1/_2$, des ♂ $^1/_3$ der Länge, am breitesten ganz nahe dem Hinterende; die Seiten konvergieren deutlich nach vorn in schwach wellig gebogener Linie und bilden mit dem flach gewölbten oder unregelmäßig eingeschnittenen Hinterrande deutliche Ecken; Vorderende zugespitzt, in der Mitte eingeschnitten. — L. 0·65 mm.

Hongkong; Australien (Port Jackson); Torresstraße.

12. **C. cuneolus** G. Brady 1870 *C. c.*, G. S. Brady in: Folin & Périer, Fonds Mer, *v.* 1 p. 192 t. 19 f. 18, 19.

Schale der von C. cingulata ähnlich; Dorsalrand gewölbt; Hinterrand mit stumpfwinkliger, abgerundeter Ecke auf $^1/_2$ der Höhe; Rippe ähnlich wie bei C. cingulata. Vom Rücken gesehen ebenfalls C. cingulata ähnlich; Hinterende flach keilförmig zugespitzt. — L. 0·63 mm.

Kapverden (St. Vincent); Westküste von Afrika, 21° n. Br. (Kap von Sainte Anne); Neucaledonia (Numea).

13. **C. cavernosa** G. Brady 1868 *C. c.*, G. S. Brady in: Folin & Périer, Fonds Mer, *v.* 1 p. 65 t. 8 f. 13, 14 | 1880 *C. c.*, G. S. Brady in: Rep. Voy. Challenger, Zool. *v.* 1 Part 3 p. 177 t. 36 f. 5.

Schale der von C. cingulata ähnlich; Hinterrand annähernd gerade und senkrecht abgestutzt; zwischen den Rippen in der Nachbarschaft des Dorsal- und Ventralrandes verlaufen noch 2 den erstgenannten annähernd parallele Rippen, von denen die dorsale auf etwa $^1/_2$ der Schalenhöhe verlaufende besonders deutlich ist; ferner annähernd senkrechte Rippen in der dorsalen Schalenhälfte. Vom Rücken gesehen das Hinterende ziemlich gerade abgeschnitten. — L. 0·75 mm.

Java; Baßstraße; Torresstraße.

14. **C. irregularis** G. Brady 1880 *C. i.*, G. S. Brady in: Rep. Voy. Challenger, Zool. *v.* 1 Part 3 p. 178 t. 43 f. 3, a—c.

Höhe der Schale $^3/_5$ der Länge; Dorsalrand annähernd horizontal, deutlich konkav; Ventralrand schwach konvex, im hinteren Viertel deutlich zur hinteren Ecke aufsteigend; Vorderende breit gerundet; Hinterrand steil, fast senkrecht und geradlinig abfallend; er bildet mit Dorsal- und Ventralrand deutliche Ecken, deren letztere etwa auf $^1/_3$ der Schalenhöhe liegt; die mittlere Partie der Schale ist kantig gegen die abfallenden Seiten abgesetzt und zeigt konzentrisch angeordnete Gruben. Vom Rücken gesehen Breite annähernd $^1/_2$ der Länge; die Seiten gerade und parallel; Vorderende zugespitzt, die Spitze scharf eckig gegen die Seiten abgegrenzt; Hinterende unregelmäßig zugespitzt. — L. 0·5 mm.

Bermudas.

15. **C. venusta** G. Brady 1880 *C. v.*, G. S. Brady in: Rep. Voy. Challenger, Zool. *v.* 1 Part 3 p. 176 t. 43 f. 4 a—d.

Höhe der Schale etwa $^1/_2$ der Länge, am höchsten deutlich hinter der Mitte; der Dorsalrand bildet hier eine sehr undeutliche, stark abgerundete

Ecke, von der aus er nach vorn und hinten deutlich und annähernd geradlinig abfällt; er bildet mit dem breit gerundeten Vorderrande eine undeutliche Ecke und eine ähnliche mit dem Hinterrande; letzterer bildet mit dem Ventralrande eine stark abgerundete, stumpfwinklige Ecke, steigt steil, fast senkrecht auf und bildet auf etwa $^3/_5$ der Höhe eine stark abgerundete Ecke; Ventralrand deutlich konkav; Oberfläche glatt, mit feinen Furchen, welche eine polygonale Felderung bilden. Vom Rücken gesehen Breite etwa $^3/_7$ der Länge, am breitesten sehr nahe dem Hinterende; Seiten fast geradlinig nach vorn konvergierend; Vorderende sehr wenig abgestutzt; Hinterende fast gerade abgestutzt, in der Mitte erhoben. — L. 0·7 mm.

Honolulu.

16. **C. nitida** G. Brady 1869 *C. n.*, G. S. Brady in: Folin & Périer, Fonds Mer, *v.* 1 p. 163 t. 19 f. 8, 9.

Höhe der Schale etwa $^2/_3$ der Länge, am höchsten in der Mitte; Dorsalrand (Brady orientiert die Schale umgekehrt) stark gewölbt, gegen Vorder- und Hinterrand nicht abgegrenzt; beide Enden gerundet, das hintere etwas breiter als das vordere; Ventralrand gerade, gegen Hinter- und Vorderrand nicht abgegrenzt; Oberfläche glatt, glänzend. Vom Rücken gesehen Breite annähernd gleich $^1/_2$ der Länge, am breitesten etwa auf $^1/_2$ der Länge; Seiten gewölbt, nach beiden Enden in flachem Bogen konvergierend; Enden wenig zugespitzt. — L. 0·5 mm.

Batavia oder Mauritius; Westküste von Afrika, unter 26° n. Br. (Kap von Sainte Anne).

C. areolata Seg. 1885 *C. a.*, Seguenza in: Natural. Sicil., *v.* 5 p. 60; *v.* 4 t. 2 f. 11.

Hafen von Messina.

C. beyrichi laevis Jones & Sherborn 1889 *C. b. var. l.*, Jones & Sherborn in: Pal. Soc. Mon., 1889 p. 48 t. 2 f. 1 | ?1901 *C. b. var. l.* (juv.?), Egger in: Abh. Bayer. Ak., *v.* 21 p. 468 t. 4 f. 24, 25.

Indischer Ozean (18° s. Br., 116° ö. L., 357 m Tiefe).

C. calabra Seg. 1880 *C. c.*, Seguenza in: Atti Acc. Lincei Mem., ser. 3 *v.* 6 p. 366 t. 17 f. 56 | 1885 *C. c.*, Seguenza in: Natural. Sicil., *v.* 5 p. 59; *v.* 4 t. 2 f. 10.

Hafen von Messina.

C. latimarginata G. Brady 1880 *C. l.*, G. S. Brady in: Rep. Voy. Challenger, Zool. *v.* 1 Part 3 p. 178 t. 26 f. 7 a—d.

Torresstraße.

C. punctata G. Brady 1866 *C. p.*, G. S. Brady in: Tr. zool. Soc. London, *v.* 5 p. 362 t. 57 f. 2 | ?1880 *C. p.*, G. S. Brady in: Rep. Voy. Challenger, Zool. *v.* 1 Part 3 p. 174 t. 36 f. 6a, b; t. 44 f. 4a—g | (non 1901 *C. p.*, Egger in: Abh. Bayer. Ak., *v.* 21 p. 469 t. 4 f. 34, 35).

Mittelmeer; Tristan d'Acunha?; Küsten von Australien?; Malayischer Archipel (Inseln)?, 180—1060 m Tiefe.

C. rugosa G. Brady 1866 *C. r.*, G. S. Brady in: Tr. zool. Soc. London, *v.* 5 p. 362 t. 57 f. 4.

Australien.

C. semitalis G. Brady 1868 *C. s.*, G. S. Brady in: Folin & Périer, Fonds Mer, *v.* 1 p. 72 t. 8 f. 23, 24 | ?1880 *C. s.*, G. S. Brady in: Rep. Voy. Challenger, Zool. *v.* 1 Part 3 p. 175 t. 44 f. 2a—e.

Malayischer Archipel; Samoa.

C. sp. 1901 *C. gracilis* (non *C. g.* Lienenklaus 1894), Egger in: Abh. Bayer. Ak., *v.* 21 p. 467 t. 4 f. 28, 29.

Indischer Ozean (18° s. Br., 116° ö. L., 357 m Tiefe).

Podocopum genera dubia et species dubiae

Cythere acerosa G. Brady 1867 *C. a.*, G. S. Brady in: Intell. Observ., *v.* 12 p. 120 | 1868 *C. a.*, G. S. Brady in: Tr. Linn. Soc. London, *v.* 26 p. 419 t. 31 f. 55—58 | 1889 *Anchistrocheles a.*, G. S. Brady & A. M. Norman in: Tr. R. Dublin Soc., ser. 2 *v.* 4 p. 110.

Holland (Schelde).

Aglaia (?) acuminata G. Brady 1886 *A. (?) a.*, G. S. Brady in: J. Linn. Soc. London, *v.* 19 p. 304 t. 40 f. 1—3.

Ceylon.

Cypris bituberculata O. Costa 1847 *C. b.*, O. G. Costa in: Fauna Reg. Napoli, Crostacei, Ostr. p. 11 t. 3 f. 4. (Darwinula?)

Lago di Astroni bei Neapel.

Pontocypris caudata Egg. 1901 *P. c.*, Egger in: Abh. Bayer. Ak., *v.* 21 p. 420 t. 1 f. 13—15.

Atlantischer Ozean (10° n. Br., 17° w. L., 677 m Tiefe); Indischer Ozean (Mauritius, 411 m Tiefe; 18° s. Br., 116° ö. L., 357 m Tiefe).

Aglaja clavata G. Brady 1880 *A. c.*, G. S. Brady in: Rep. Voy. Challenger, Zool. *v.* 1 Part 3 p. 34 t. 6 f. 4a—d.

Neuseeland.

Bythocypris compressa G. Brady 1880 *B. (?) c.*, G. S. Brady in: Rep. Voy. Challenger, Zool. *v.* 1 Part 3 p. 46 t. 35 f. 5a—d.

Südlicher Pazifischer Ozean (Tongatabu), 32 m Tiefe.

Bairdia coronata G. Brady 1870 *B. c.*, G. S. Brady in: Folin & Périer, Fonds Mer, *v.* 1 p. 243 t. 32 f. 9.

Golf von Mexico (Veracruz).

Cytherella cribrosa G. Brady 1880 *C. c.*, G. S. Brady in: Rep. Voy. Challenger, Zool. *v.* 1 Part 3 p. 176 t. 26 f. 5a—d | ?1901 *C. c.*, Egger in: Abh. Bayer. Ak., *v.* 21 p. 468 t. 3 f. 7, 8.

Indischer Ozean (Tongainseln; 18° s. Br., 116° ö. L., 357 m Tiefe).

Cytherella dromedaria G. Brady 1880 *C. d.*, G. S. Brady in: Rep. Voy. Challenger, Zool. *v.* 1 Part 3 p. 173 t. 43 f. 6a, b.

Südafrika, Simons-Bai.

Bythocypris elongata G. Brady 1880 *B. e.*, G. S. Brady in: Rep. Voy. Challenger, Zool. *v.* 1 Part 3 p. 47 t. 6 f. 1a—c | ?1901 *B. e.*, Egger in: Abh. Bayer. Ak., *v.* 21 p. 424 t. 1 f. 48—50.

Island; südliches Norwegen; Tristan d'Acunha, 2000 m Tiefe; Kerguelen, 105 m Tiefe?

Bairdia exaltata G. Brady 1880 *B. e.*, G. S. Brady in: Rep. Voy. Challenger, Zool. *v.* 1 Part 3 p. 51 t. 9 f. 2a—d.

Indischer Ozean (2° s. Br., 144° ö. L., 1957 m Tiefe).

Bairdia fasciata G. Brady 1870 *B. f.*, G. S. Brady in: Folin & Périer, Fonds Mer, *v.* 1 p. 193 t. 19 f. 20, 21.

Kapverdische Inseln.

Bairdia fedea O. & E. Terquem 1886 *B. f.*, O. & E. Terquem in: Bull. Soc. zool. France, *v.* 11 p. 339 (descr. nulla).

Island; Südnorwegen.

Paracypris galeata G. Brady 1881 *P. g.*, G. S. Brady in: Folin & Périer, Fonds Mer, *v.* 4 p. 200 t. 12 f. 5—7.

Atlantischer Ozean?

Pontocypris (?) hyperborea T. Scott 1899 *P.(?) h.*, T. Scott in: J. Linn. Soc. London, *v.* 27 p. 83 t. 4 f. 12—15.

Franz Joseph-Land, marin.

Bairdia inornata T. Scott 1894 *B. i.*, T. Scott in: Tr. Linn. Soc. London, ser. 2 *v.* 6 p. 136 t. 14 f. 40, 41.

Busen von Guinea.

Cytherella laevis G. Brady 1867 *C. l.*, G. S. Brady in: Rep. Brit. Ass., Meet. 36 p. 211 | 1896 *C. l.*, G. S. Brady & A. M. Norman in: Tr. R. Dublin Soc., ser. 2 *v.* 5 p. 717 t. 66 f. 7, 8.

Küste von Schottland, Westküste von Marokko, Küste des Sudan.

Cytherella lata G. Brady 1880 *C. l.*, G. S. Brady in: Rep. Voy. Challenger, Zool. *v.* 1 Part 3 p. 173 t. 44 f. 5a—e.

Westindien; Azoren; Pernambuco; Bandasee (Kiinsel); Torresstraße, in Tiefen bis 1235 m.

Bairdia minima G. Brady 1880 *B. m.*, G. S. Brady in: Rep. Voy. Challenger, Zool. *v.* 1 Part 3 p. 53 t. 7 f. 6a—g | (non 1901 *B. m.*, Egger in: Abh. Bayer. Ak., *v.* 21 p. 427 t. 2 f. 13—15).

Australien (Port Jackson), 3750 m Tiefe; Arabisches Meer.

Aglaja (?) obtusata G. Brady 1880 *A.(?) o.*, G. S. Brady in: Rep. Voy. Challenger, Zool. *v.* 1 Part 3 p. 35 t. 30 f. 8a—d | ?1886 *Aglaia obtusa*, O. & E. Terquem in: Bull. Soc. zool. France, *v.* 11 p. 339 (descr. nulla).

Kerguelen; Island; südliches Norwegen.

Cytherella polita G. Brady 1869 *C. p.*, G. S. Brady in: Folin & Périer, Fonds Mer, *v.* 1 p. 161 t. 19 f. 5—7 | 1880 *C. p.* (part.?), G. S. Brady in: Rep. Voy. Challenger, Zool. *v.* 1 Part 3 p. 172 t. 43 f. 5a—c; t. 44 f. 1a—g.

Kuba; Haiti; Rio de la Plata; Arabisches Meer; Neuseeland.

Cytherella pumila T. Scott 1894 *C.? p.*, T. Scott in: Tr. Linn. Soc. London, *v.* 6 p. 144 t. 15 f. 11, 12.

Busen von Guinea (Loanda).

Aglaja(?) pusilla G. Brady 1880 *A.(?) p.*, G. S. Brady in: Rep. Voy. Challenger, Zool. *v.* 1 Part 3 p. 34 t. 30 f. 6a—d | ?1901 *A. p.*, Egger in: Abh. Bayer. Ak., *v.* 21 p. 419 t. 1 f. 33—36.

Indischer Ozean (18° s. Br., 116° ö. L., 357 m Tiefe?; Mauritius, 411 m Tiefe?); Neuseeland, 2789 m Tiefe?; Baßstraße, 73 m Tiefe; Atlantischer Ozean (10° n. Br., 17° w. L., 677 m Tiefe?).

Pontocypris robusta A. Scott 1905 *P. r.*, A. Scott in: Herdman, Rep. Ceylon Pearl Fish., Suppl. Rep. 22 p. 370 t. 1 f. 17, 18.

Küste von Ceylon.

Pontocypris rostrata A. Scott 1905 *P. r.*, A. Scott in: Herdman, Rep. Ceylon Pearl Fish., Suppl. Rep. 22 p. 371 t. 1 f. 21, 22.

Küste von Ceylon.

Cytherella tumida G. Brady 1890 *C.(?) t.*, G. S. Brady in: Tr. R. Soc. Edinb., *v.* 35 p. 518 t. 4 f. 21—23.

Samoa.

Cypris violacea Nic. 1849 *C. v.*, H. Nicolet in: Gay, Hist. Chile, *v.* 3 p. 294.

Chile, marin.

Cytherella vraspillaii A. Scott 1905 *C. v.*, A. Scott in: Herdman, Rep. Ceylon Pearl Fish., Suppl. Rep. 22 p. 382 t. 2 f. 35, 36.

Ceylon.

Cytheridea zetlandica G. Brady 1867 *C. z.*, G. S. Brady in: Intell. Observ., *v.* 12 p. 122 | 1868 *C. z.*, G. S. Brady in: Tr. Linn. Soc. London, *v.* 26 p. 428 t. 28 f. 42—46.

Shetland, Süßwasser?

Bairdia sp. 1901 *B. cambrica* (non *B. c.* G. Brady, Crosskey & D. Robertson 1874), Egger in: Abh. Bayer. Ak., *v.* 21 p. 426 t. 1 f. 7—9.

Indischer Ozean (Mauritius, 411 m Tiefe; 18° s. Br., 116° ö. L., 357 m Tiefe).

Argilloecia sp. 1901 *A. eburnea* (non *A. e.* G. Brady 1880), Egger in: Abh. Bayer. Ak., *v.* 21 p. 422 t. 4 f. 49—51.

Atlantischer Ozean (10° n. Br., 17° w. L., 677 m Tiefe); Indischer Ozean (Mauritius, 411 m Tiefe; 18° s. Br., 116° ö. L., 357 m Tiefe).

Bairdia sp. 1901 *B. fusca* (non *B. f.* G. Brady 1865), Egger in: Abh. Bayer. Ak., *v.* 21 p. 427 t. 7 f. 46—49 (Larve?).

Atlantischer Ozean (10° n. Br., 17° w. L., 677 m Tiefe).

Bairdia sp. 1901 *B. minima* (non *B. m.* G. Brady 1880), Egger in: Abh. Bayer. Ak., *v.* 21 p. 427 t. 2 f. 13—15 (juv.?).

Indischer Ozean (18° s. Br., 116° ö. L., 357 m Tiefe).

Cytherella sp. 1901 *C. münsteri* (non *Citherina m.* Roemer 1838, non *Cytherella m.* Bosquet 1850), Egger in: Abh. Bayer. Ak., *v.* 21 p. 469 t. 4 f. 22, 23.

Indischer Ozean (18° s. Br., 116° ö. L., 357 m Tiefe; 20° s. Br., 113° ö. L., 915 m Tiefe).

Bairdia sp. 1901 *B. ovoidea* (non *B. o.* Jones & Sherborn 1887), Egger in: Abh. Bayer. Ak., *v.* 21 p. 428 t. 4 f. 32, 33.

Indischer Ozean (18° s. Br., 116° ö. L., 357 m Tiefe).

Cytherella sp. 1901 *C. punctata* (non *C. p.* G. Brady 1866, 1880), Egger in: Abh. Bayer. Ak., *v.* 21 p. 469 t. 4 f. 34, 35.

Indischer Ozean (18° s. Br., 116° ö. L., 357 m Tiefe.)

Bairdia sp. 1890 *B. truncata* (non *B. t.* Kirkby 1858), G. S. Brady in: Tr. R. Soc. Edinb., *v.* 35 p. 494 t. 2 f. 1, 2.

Samoa (Apia); Neucaledonia (Numea).

Bairdia sp. 1901 *B. villosa* (non *B. v.* G. Brady 1880), Egger in: Abh. Bayer. Ak., *v.* 21 p. 429 t. 2 f. 25—27.

Kapverdische Inseln, 69 m Tiefe.

Ostracodum genera et species incertae sedis.

Gen. **Goniocypris** G. Brady & D. Robertson

1870 *Goniocypris*, G. S. Brady & D. Robertson in: Ann. nat. Hist., ser. 4 *v.* 6 p. 15.

G. mitra G. Brady & D. Roberts. 1870 *G. m.*, G. S. Brady & D. Robertson in: Ann. nat. Hist., ser. 4 *v.* 6 p. 15 t. 7 f. 10—13. (Nach G. S. Brady & A. M. Norman 1889 in: Tr. R. Dublin Soc., ser. 2 *v.* 4 p. 120 Larve von Anodonta).

Gen. **Heterodesmus** G. Brady

1866 *Heterodesmus*, G. S. Brady in: Tr. zool. Soc. London, *v.* 5 p. 387.

H. adamsii G. Brady 1866 *H. a.*, G. S. Brady in: Tr. zool. Soc. London, *v.* 5 p. 387 t. 62 f. 6.

Monoculus telemus L. 1758 *M. t.*, Linné, Syst. Nat., ed. 10 p. 635.

Algier.

Corrigenda

p. 241 muß es heißen:

1. Gen. **Nesidea** O. G. Costa

? 1844 *Bairdia*, Mac Coy, Carbon. Foss. Ireland, p. 164 | 1847 (?) *Nesidea*, O. G. Costa in: Atti Acc. Pontan., *v.* 5 p. 183, 187 | 1849 *N.*, O. G. Costa, Fauna Reg. Napoli, Crostacei, Ostr. p. 1 | 1866 etc.

Alphabetisches Register

	Seite
abbreviata (Candona)	142
abbreviatum (Paradoxostoma)	288
abbreviatus (Sclerochilus)	261
abbreviatus (Sclerochilus contortus var.)	261
abyssicola (Asterope)	45
abyssicola (Bairdia)	251
abyssicola (Cythere)	344
abyssicolum (Cytheropteron)	276
abyssorum (Cytherella)	391
abyssorum (Cytheropteron)	274
acanthigera (Bairdia)	242
acanthigera (Nesidea)	242
acanthigera (Strandesia)	188
Acanthobus	428
Acanthocypris	186
acanthoderma (Cythere)	364
acanthophora (Conchoecia)	86
acanthopteron (Cytheropteron)	388
Acanthopus	328
acerosa (Anchistrocheles)	395
acerosa (Cythere)	395
Acocypris	196
acris (Cytherura)	272
aculeata aculeata (Euconchoecia)	96
aculeata (Anchistrocheles)	251
aculeata (Candonella)	211
aculeata (Cypria)	211
aculeata (Cypridopsis)	211
aculeata (Cypris)	211
aculeata elongata (Euconchoecia)	96
aculeata (Euconchoecia)	96
aculeata (Euconchoecia)	96
aculeata (Euconchoecia aculeata)	96
aculeata (Halocypris)	96
aculeata (Potamocypris)	211
aculeata var. elongata (Euconchoecia)	96
acuminalis (Xestoleberis)	369
acuminata (Aglaia)	395
acuminata (Argilloecia)	117
acuminata (Bythocythere)	258
acuminata (Candona)	140
acuminata (Candona)	148
acuminata (Conchoecetta)	74
acuminata (Conchoecia)	74
acuminata (Cypris)	137, 139, 140
acuminata (Cypris virens var.)	170
acuminata (Cytherura)	264
acuminata (Erythrocypris)	116
acuminata (Eucypris virens)	170
acuminata (Macrocypris)	124
acuminata (Paracytherois)	291
acuminata (Pyrocypris)	17
acuminatum (Paradoxostoma)	284
acupunctata (Cythere)	369
acupunctata (Cythere)	385
acupunctata (Pontocypris)	113
acuta (Cythere)	385
acuta (Cytherura)	264
acuta (Stenocypris)	198
acuticosta (Conchoecia)	78
acuticostata (Cytherura)	272
acuticostata (Cytherura)	371
acutum (Cytheropteron)	279
adamsi (Asterope)	47
adamsi (Cypridina)	47
adamsii (Heterodesmus)	398
adunca (Cythere)	342
adunca (Cythereis)	342
adusta (Cypridopsis)	212
adusta (Cypris)	176
aegaeus (Sclerochilus)	369
aequiseta (Conchoecia)	69
aequus (Sclerochilus)	262
affine (Paradoxostoma)	369
affinis (Argilloecia)	119
affinis (Bairdia)	248
affinis (Copechaete)	45
affinis (Cypricercus)	220
affinis (Cypris)	171, 177
affinis (Cythere)	267
affinis (Cythere)	369
affinis (Cytherura)	264
affinis (Cytherura)	267
affinis (Eucypris fuscata)	177
affinis (Loxoconcha)	312

	Seite
affinis (Normania)	312
affinis reticulata (Cypris)	171
africana (Cytherella)	390
africana (Cytheridea)	370
africana (Loxoconcha)	309
africana (Macrocypris)	121
africana (Paracypris)	126
africana (Phlyctenophora)	126
africana (Xestoleberis)	303
africanus (Crossophorus)	20
agassizii (Conchoecia)	79
agassizii (Cyclasterope)	50
agassizii (Cypridina)	50
agassizii (Gigantocypris)	23
agilis (Conchoecia)	95
agilis (Cypris)	234
agilis (Philomedes)	28
Aglaia	125
ahlefeldi (Candona)	220
alata (Conchoecia)	92
alata (Cytherura)	265
alata (Cytherura)	272
alata (Eucytherura)	280
alata (Loxoconcha)	311
alata (Loxoconcha)	312
alatum (Cytheropteron)	274
alba (Cythere)	370
albicans (Candona)	141
albida (Candona)	234
albida (Candonella)	209
albida (Cypridopsis)	209
albida (Cypris)	234
albida (Paracypridopsis)	220
albida (Potamocypris)	209
albo-maculata (Cypridina)	50
albomaculata (Cythere)	340
albomaculata (Cythereis)	339
albo-maculata (Cythereis)	340
albuquerquensis (Cypris)	220
aldabrae (Cypridopsis)	208
aldabrae (Stenocypris)	197
alderi (Cythere)	362
alderi (Cythereis)	362
allotherium (Conchoecia)	69
almásyi (Potamocypris)	217
altissima (Cypris)	220
altissimus (Cypris)	220
alveus (Krithe)	370
ambigua (Candona)	147
amblypostha (Conchoecia)	86
americana (Asterope)	48
americana (Cyclasterope)	48
americana (Cythere)	322, 370
americana (Cytheridea)	325
americana (Pyrocypris)	18
americana (Pyrocypris)	19
americana (Sarsiella)	38

	Seite
americanus (Cyprinotus)	220
ametra ametra (Stenocypris)	199
ametra (Conchoecia)	90
ametra minor (Stenocypris)	200
ametra (Stenocypris)	199
ametra (Stenocypris ametra)	199
ametra typica (Stenocypris)	199
ametra var. minor (Stenocypris)	200
amissa (Cythere)	382
amnicola (Cythere)	340
amnicola (Cythereis)	340
amphiacantha (Pyrocypris)	19
Amphicypris	168
amygdaloides (Bairdia)	247
amygdaloides (Machaerina)	292
amygdaloides (Nesidea)	247
amygdaloides (Xiphichilus)	292
Anchistrocheles	250
andrewsi (Cytherideis)	369
anglica (Eucythere)	333
angulata (Bairdia)	242
angulata (Candona)	136
angulata (Cypridina)	11
angulata (Cythere)	362
angulata (Cythereis)	362
angulata (Cytherura)	268
angulata (Eucytherura)	279
angulata (Ilyocypris)	154
angulata (Nesidea)	242
angulata (Pseudophilomedes)	34
angulata (Xestoleberis)	370
angulatum (Cytheropteron)	370
angusta (Argilloecia)	119
angusta (Bairdia)	123
angusta (Krithe)	370
angusta (Pontocypris)	119
angustata (Cyprideis)	325
angustata (Cypris)	192
angustata (Cythere)	327
angustata (Cytheridea)	327
angustata (Loxoconcha)	312
angustata (Macrocypris)	123
angustatum (Cytheropteron)	370
angustum (Cytheropteron)	370
angustum (Paradoxostoma)	284
anisitsi (Candonopsis)	151
anisitsi (Eucypris)	202
anisitsi (Ilyodromus)	202
anna (Cythere)	365
anomala (Loxoconcha)	311
anomalum (Cytheropteron)	277
antarctica (Conchoecia obtusata)	75
antarctica (Conchoecia obtusata var.)	75
antarctica (Cypridina)	12
antarctica (Eucytherura)	370
antarctica (Philomedes)	31
antarctica (Polycope)	99

	Seite
antarcticum (Paradoxostoma)	287
antarcticus (Sclerochilus)	261
antipoda (Conchoecia)	87
antiquata (Cythere)	360
antiquata (Cythereis)	360
aranea (Cythere)	365
arata (Cythere)	370
aratra (Cypris)	220
arborea (Cypridina)	12
Archiconchoecia	55
arctica (Herpetocypris)	220
arcuata (Cypridopsella)	217
arcuata (Cypris)	184
arcuata (Potamocypris)	217
arcuatum (Cytheropteron)	274
arcuatum (Paradoxostoma)	370
arcuatus (Xiphichilus)	370
areguensis (Eucypris)	221
arenacea (Bythocythere)	256
arenicola (Cythereis)	343
arenosa (Bythocythere)	256
arenosa (Cythere)	385
areolata (Cythere)	377
areolata (Cytherella)	394
areolatum (Cytheropteron)	370
Argillaecia	428
Argilloecia	117
Argilloecia	239
argus (Cytheropsis)	334
argus (Eucythere)	333
argus (Eucythere)	334
argus (Eucythere declivis var.)	334
aristata (Cypris)	197
armata (Bythocythere)	370
armata (Conchoecissa)	91
armata (Cypria)	132
armata (Cypridina)	50
armata (Physocypria)	132
armoricana (Copechaete)	46
arthuri (Asterope)	44
aspera (Cypris)	221
aspera (Philomedes)	27
assimile (Cytheropteron)	274
assimilis (Candonocypris)	182
assimilis (Cypretta)	212
assimilis (Cypridopsis)	212
assimilis (Herpetocypris)	182
assimilis (Philomedes)	31
Astenocypris	203
Asterope	43
Asteropidae	7, 42
Asteropinae	42
Asteropsis	428
asymmetrica (Cypridina)	13
atlantica (Conchoecia)	79
atlantica (Cypria)	131
atlantica (Halocypris)	79, 81
atra (Cythere)	371
atra (Cythere)	371
atra (Cytherura)	371
atrum (Paradoxostoma)	288
attenuata (Bairdia)	249
attenuata (Erythrocypris)	116
attenuata (Pontocypris)	116
attenuatum (Paradoxostoma)	289
attrica (Cythere)	371
audax (Cythere)	353
audax (Cythereis)	353
audei (Cythere)	349, 365, 386
aurantia (Cypris)	165
aurantia (Cythere)	298
aurantia (Xestoleberis)	298
aurantius (Monoculus)	165
aurea (Argilloecia)	240
aurea (Cypris)	166
aurea (Darwinula)	240
aureus (Cyprinotus)	166
australiensis (Ilyocypris)	155
australis (Asterope)	45
australis (Chlamydotheca)	221
australis (Cylindroleberis)	45
australis (Cypris)	234
australis (Cythereis)	358
australis (Loxoconcha)	312
avellana (Loxoconcha)	312
avellana (Normania)	312
avena (Cythere)	115
avena (Erythrocypris)	115
azteca (Chlamydotheca)	185
azteca (Cypris (Chlamydotheca))	185
baculoides (Cytherideis)	368
badia (Argilloecia)	234
badia (Cythere)	320
bahamensis (Cythere)	362
bahamensis (Cythereis)	362
Bairdia	120, 241, 249
bairdii (Cyprideis)	325
bairdii (Cypridina)	13
bairdi (Loxoconcha)	306
balatonica (Candona)	139
balatonica (Cypris incongruens var.)	165
balatonica (Eucandona)	139
balatonica (Limnicythere)	330
balnearia (Cypris)	235
baravoni (Cypridina)	50
barbata (Cypris)	221
barbatus (Cypris)	221
barbatus (Erpetocypris)	221
bartonensis (Cytherideis)	335
bartonensis (Ilyobates)	335
bartonensis (Krithe)	335
bataviana (Cytherura)	376
batei (Cythereis)	362
belcheri (Cypris)	221

Seite

belgicae (Conchoecia) 92
bennelong (Cypris) 221
bennelong (Cypris) 221
bennelong (Eucypris) 221
berchoni (Cythere) 371
bermudae (Cythere) 356
bermudae (Cythereis) 356
beyrichi (Cytherella) 391
beyrichi (Cytherina) 391
beyrichi laevis (Cytherella) . . . 394
beyrichi var. laevis (Cytherella) . . 394
bicarinata (Cythere) 371
bicolor (Cypris) 174
bicornis (Candonocypris) 181
bicornis (Cypris) 181
bicornis (Halocypris) 58
bicornis (Ilyocypris gibba var.) . . 153
bicristata (Bythocythere) 257
bicuspis (Acanthocypris) 187
bicuspis bicuspis (Strandesia) . . 187
bicuspis (Eucypris) 187
bicuspis mucronata (Strandesia) 187
bicuspis (Strandesia) 187
bicuspis (Strandesia bicuspis) . . 187
bicuspis var. mucronata (Acanthocypris) 187
bifasciata (Cythere) 235
bimaculata (Cypris) 50
bimamillata (Cythere) 386
bimucronata (Stenocypris) . . . 199
bimuricata (Cypris) 158
biplicata (Cypris) 153, 211
biplicata (Iliocypris) 153
biproducta (Cytherura) 371
birostrata (Conchoecia) 95
biscayensis (Bradycinetus) . . . 50
bispinosa (Conchoecia) 79
bispinosa (Cypris) 180
bispinosa (Cypris (Eurycypris)) . . . 180
bispinosa (Cythere) 371
bistrigata (Cypris) 154
bistrigata (Iliocypris) 154
bistrigatus (Monoculus) 154
bituberculata (Cypris) 395
blanchardi (Cypris) 221
bodotria (Cytherura) 371
bombycina (Cypris) 202
borealis (Conchoecia) 87
borealis (Cythere) 371
Bosquetia 428
bosquetiana (Bairdia) 249
bosquetiana (Bythocypris) 249
bosquetiana (Cythere) 371
bosquetiana (Cytherella) 371
bouvieri (Cythereis) 340
bovettensis (Cytheropteron) 305
bovettensis (Paracytheridea) . . 305
brachyaskos (Conchoecia) 72

Seite

brachyura (Candona) 222
brachyura (Candonella) 222
bradiana (Krithe) 371
bradii (Cythere) 325, 386
Bradycinetus 24
bradyi (Anchistrocheles) 251
bradyi (Candona) 137
bradyi (Cypridina) 50
bradyi (Iliocypris) 154
bradyi (Ilyocypris) 154
bradyi var. compressa (Ilyocypris) . 154
brasiliensis (Candonopsis) . . . 152
brasiliensis (Cypris) 235
brenda (Bradycinetus) 11, 32
brenda (Cypridina) 32
brenda (Philomedes) 32
breve (Paradoxostoma) 288
brevicaudata (Herpetocypris) . . 194
brevirostris (Conchoecia) 58
brevirostris (Halocypris) 58
brevis (Asterope) 49
brevis (Candona) 142
brevis (Cyclasterope) 49
brevis (Loxoconcha) 312
brevis (Polycope) 101
broeckiana (Cytherura) 371
bromeliarum (Elpidium) 316
bromeliarum (Metacypris) . . . 316
browniana (Cypris) 219
browniana (Scottia) 219
brunnea (Cypris) 127, 128
brunnea (Cythere) 340
brunnea (Cythereis) 340
bulbifera (Argilloecia) 118
bullata (Physocypria) 133
burlingtonensis (Cyprinotus) 222
burlingtonensis (Cypris) 222
Bythocypris 249
Bythocythere 256
caecum (Paradoxostoma) 286
calabra (Cytherella) 394
calcarata (Cytherura) 371
cambaria (Entocythere) 317
cambrica (Bairdia) 397
cambrica (Cypris) 235
canadensis (Cythere) 372
canadensis (Cythereis) 372
canaliculata (Cypridina) 319
canaliculata (Cythere) 319
canaliculata (Cythere) 386
canariensis (Macrocypris) 123
cancellata (Cythere) 323
cancellata (Cythere) 381
candida (Candona) 135
candida (Candona) 136, 136
candida (Cypris) 135
candida var. claviformis (Candona) . 148

	Seite
candida var. tumida (Candona)	135, 148
candidus (Monoculus)	135
Candon	428
Candona	134
Candona	150, 193, 200
Candonella	207, 214
Candoninae	124
Candonocypris	180
candonoides (Candonocypris)	181
candonoides (Cypris)	181
Candonopsis	150
Candozella	429
capensis (Cypria)	132
capensis (Cypridina)	14
capensis (Cyprinotus)	166
capensis (Cypris)	178
capensis (Eucypris)	178
capensis (Xestoleberis)	300
capillata (Acocypris)	196
capsula (Sarsiella)	37
carinata (Candona hartwigi)	144
carinata (Cypris)	222
carinata (Loxoconcha)	389
carinata (Sarsiella)	39
castanea (Cypria)	130
castanea (Cypridina)	14
castanea (Cythere)	320
castanea (Cytheridea)	324
castanea (Loxoconcha)	320
catenata (Cythere)	352
caudata (Argilloecia)	118
caudata (Candona)	140
caudata (Conchoecia)	71
caudata (Cypridina)	14
caudata (Cythere)	372
caudata (Pontocypris)	395
caudata (Pseudocythere)	259
caudata (Pseudocythere)	389
cavernosa (Cytherella)	393
cellularis (Conchoecia)	89
cellulosa (Cythere)	372
cellulosa (Cytherura)	372
celtica (Cypris)	222
Centrocypris	160
ceratoptera (Cythere)	386
ceratoptera (Cythere jonesii var.)	353
cerebralis (Cythere)	342
ceylonica (Stenocypris)	199
chalmersi (Cythere)	372
charcoti (Philomedes)	31
charlesworthiana (Cythere)	386
chavesi (Cypridopsis)	222
chevreuxi (Herpetocypris)	194
chevreuxi (Stenocypris)	194
chierchiae (Euconchoecia)	96
chierchiae (Pyrocypris)	17
chilensis (Cypris)	222
chittyensis (Cypris)	222
Chlamydotheca	183
chuni (Conchoecia)	93
cicatricosa (Cythere)	320
ciliata (Cypris)	231
cinerea (Cypris)	127
cingalense (Paradoxostoma)	289
cingalensis (Cyprinotus)	163
cingulata (Cytherella)	392
cingulata (Polycope)	102
circumdentata (Cythere)	350
circumdentata (Cythereis)	350
Cladocopa	6
clarkii (Cypris)	222
clathrata (Cytherura)	372
clathrata var. latimarginata (Cythereis)	365
clathrata var. nuda (Cythere)	362
claudiopolitana (Candona)	147
claudiopolitana (Eucandona)	147
clausi (Cytherura)	267
clausii (Conchoecia)	77
clausii (Halocypris)	77
clausii var. echinulata (Microconchoecia)	78
clausii var. laevis (Microconchoecia)	78
clausii var. reticulata (Microconchoecia)	77
clausii var. similis (Microconchoecia)	77
clausii var. spinulosa (Microconchoecia)	77
clavata (Aglaia)	395
clavata (Cypris)	176
clavata (Cythere)	345
clavata (Cytherura)	269
clavata (Eucypris)	176
clavata (Eucypris)	176
clavata laevis (Eucypris)	176
clavata serrata (Eucypris)	176
claviformis (Candona candida var.)	148
clavigera (Cypris)	192
clavigera (Cythere)	360
clavigera (Cythereis)	360
clavigera (Dolerocypris)	192
cluthae (Cythere)	362
cluthae (Cythereis)	362
coarctatus (Monoculus)	268
coccoides (Cytheropteron)	372
Codonocera	21
coerulea (Cypris)	51
colletti (Cythere)	372
communis (Xestoleberis)	301
compacta (Cythere)	365
compacta (Cythere)	372
complanata (Aglaia)	125
complanata (Bairdia)	249
complanata (Bythocypris)	249
complanata (Bythocypris complanata)	249
complanata (Candonopsis)	222

Seite

complanata complanata (Bytho-cypris) 249
complanata (Paracypris) 125
complanata sinuata (Bythocypris) 250
complanata var. sinuata (Bairdia) . . 250
complanatus (Xiphichilus) . . . 292
complanatus (Xiphochilus) . . . 292, 389
complexa (Cythere) 280, 377
complexa (Eucytherura) 280
compressa (Bythocypris) 395
compressa (Candona) 141, 141
compressa (Candona) 147
compressa (Cypria) 129
compressa (Cypris) 129, 137, 141, 147, 150
compressa (Ilyocypris bradyi var.) . 154
compressa (Limnicythere inopinata var.) 329
compressa (Limnocythere) . . . 333
compressa (Limnocythere inopinata var.) 333
compressa (Polycope) 102
compressa (Polycopsis) 102
compressa (Rutiderma) 35
compressa (Xestoleberis) 303
compressa (Xestoleberis) 304
compressus (Sclerochilus) 262
concentrica (Conchoecia) 82
concentrica (Cytherura) 372
conchacea (Cypris) 165, 179, 222
conchacea (Eucypris) 165, 222
conchaceus (Monoculus) 222
concha (Halocypris) 58
Conchoecetta 59
Conchoecia 53, 57
Conchoecia 59
Conchoeciadae 53
Conchoeciidae 53
Conchoecilla 59
Conchoecinae 54
Conchoecinae 59
Conchoecissa 59
concinna (Cythere) 345
concinna (Cythereis) 345
concinna (Cytherura) 265
concolor (Cypridopsis) 212
concolor (Cypridopsis vidua var.) . . 212
confluens (Cythere) 362
confluens (Cythereis) 362
confusa (Cythere) 322
congener (Cyprinotus) 163
consorbina (Cytheridea) 326
constricta (Bythocythere) 257
constricta (Bythocythere) 385
contorta (Cythere) 261
contortus (Sclerochilus) 261
contortus var. abbreviatus (Sclerochilus) 261
contracta (Cythere) 372
convexa (Cythere) 338
convexa (Cythereis) 338

Seite

convexa var. meridionalis (Cythere) . 338
convexum (Cythere) 275
convoluta (Cythere) 362
convoluta (Cythereis) 362
Copechaete 43
cophopyga (Conchoecia) 73
coralloides (Cythere) 372
cordata cordata (Metacypris) . . 316
cordata (Metacypris) 316
cordata (Metacypris) 316
cordata (Metacypris cordata) . . 316
cordata neocomensis (Metacypris) 316
cordata var. neocomensis (Metacypris) 316
cornea (Cytheridea) 327
cornuta cornuta (Halocypris) . . 58
cornuta (Cythere) 372
cornuta (Cytherina) 372
cornuta (Cytherura) 264
cornuta dispar (Halocypris) . . . 58
cornuta (Halocypris) 58
cornuta (Halocypris cornuta) . . 58
cornuta var. dispar (Halocypris) . . 58
cornuta var. typica (Halocypris) . . 58
coronata (Bairdia) 395
corpulenta (Bairdia) 246
corpulenta (Cypris) 177
corpulenta (Cythere) 372
corpulenta (Eucypris) 177
corpulenta (Nesidea) 246
corrugata (Philomedes) 27
costata (Cypretta) 206
costata (Cypridopsis) 218
costata (Cythere) 346
costata (Cythereis) 346
costata (Cythere jurinei) 376
costata (Cythere jurinei var.) 376
costata (Cytherura) 266
costata (Zonocypris) 218
costellata (Cytherura) 267
crassa (Cypris) 175
crassa (Eucypris) 175
crassipes (Cypridopsis villosa var.) . 216
crassipes (Potamocypris villosa) 216
crassipinatum (Cytheropteron) . 275
crassus (Monoculus) 175
craticula (Cythere) 359
craticula (Cythereis) 359
crena (Cyprinotus) 163
crenata (Cyprinotus) 163
crenata (Cypris) 163
crenata (Cythere) 323
crenulata (Cypria) 133
crenulata (Cythere) 362
crenulata (Cythereis) 362
crenulata (Physocypria) 133
crenulata (Streptoleberis) 51
cribriformis (Cythere) 352

	Seite
cribriformis (Cythereis)	352
cribriformis (Cytherura)	271
cribrosa (Cythere)	373
cribrosa (Cythere)	386
cribrosa (Cytherella)	395
cribrosa (Cytherura)	373
cribrum (Cypris)	154
crispata (Cythere)	320
crispata (Cythere)	323
crispata (Sarsiella)	40
cristata (Cythere)	386
cristatella (Cythere)	348
cristatella (Cythereis)	348
crogmaniana (Candona)	144
crogmani (Candona)	144
cronebergi (Candona)	148
crosskeiana (Bairdia)	246
crosskeyana (Bairdia)	246, 249
crosskeyana (Nesidea)	246
Crossophorus	20
cruenta (Codonocera)	22
cruenta (Codonocera)	23
cryptifera (Cytherura)	266
Cryptocandona	148
csikii (Candona)	138
csikii (Eucandona)	138
csikii var. pannonica (Eucandona)	138
ctenophora (Conchoecia)	81
ctenorhynchus (Philomedes)	33
ctenorhynchus (Tetragonodon)	33
cuboidea (Cythere)	373
cuboidea (Loxoconcha)	312
cucullata (Archiconchoecia)	56
cucullata (Conchoecissa)	56
cultrata (Stenocypris)	198
cumulus (Cythere)	373
cuneata (Archiconchoecia)	56
cuneata (Conchoecia)	79
cuneata (Cypris)	179, 233
cuneata (Cytherura)	269
cuneata (Strandesia)	188
cuneatum (Paradoxostoma)	379
cuneatus (Cypricercus)	188
cuneiformis (Cythere)	373
cuneiformis (Loxoconcha)	310
cuneolus (Cythere)	373
cuneolus (Cytherella)	393
curta (Conchoecia)	77
curta (Cytheridea)	303
curta (Cytheridea)	373
curta (Xestoleberis)	303
curvata (Cypris)	235
curvata (Herpetocypris reptans)	194
curvata (Herpetocypris reptans var.)	194
curvicostata (Cythere)	359
curvicostata (Cythere (Cythereis))	359
curvicostata (Cythereis)	359
curvicostata (Cytherura)	272
curvistriata (Cythere)	362
curvistriata (Cythereis)	362
curvistriata (Cytherura)	269
cyamos (Cythere)	318
Cyclasterope	47
Cyclocypris	126
cylindrica (Argilloecia)	119
cylindrica (Asterope)	47
cylindrica (Cypris)	198
cylindrica (Cytherideis)	368
cylindricum (Paradoxostoma)	284
Cylindroleberinae	42
Cylindroleberis	43
cymba (Cythere)	349
cymba (Cythereis)	349
cypraeoides (Cythere)	373
Cypretta	204
Cypria	126, 207
Cypria	129
Cypricercus	186
Cypridae	103
Cypridae	106
Cyprideis	323
Cypridella	204
Cypridina	10
Cypridina	7, 16, 20, 21, 24, 43
Cypridinadae	7
Cypridines	7
Cypridinidae	7
Cypridinidae	8
Cypridininae	7
Cypridininae	8
Cypridinodes	10
Cypridonotus	161
Cypridopsella	207
Cypridopsis	204
Cypridopsis	207
Cyprinae	155
Cyprinotus	161
Cypris	126, 129, 134, 153, 157, 159, 161, 168, 180, 183, 191, 193, 195, 200, 204, 207
Cypris	178
Cyproidea	1
cyproides (Cryptocandona)	149
cyproides (Eucandona)	149
Cyprois	157, 160
Cyprois	159
Cythere	263, 295, 306, 336
Cythere	317
Cythereis	336
Cytherella	390
Cytherelle	430
Cytherellidae	389
Cytheretta	366
Cytheridae	251
Cytheridea	323

	Seite
Cytherideis	367
Cytheridella	336
Cytherina	317
Cytherois	281
Cytheroma	314
Cytheropsis	333
cytheropteroides (Cythere)	349
cytheropteroides (Cythereis)	349
Cytheropteron	273
Cytherura	263
dactylus (Pontocypris)	119
dadayi (Candona)	142
dahli (Cyprinotus)	164
danae (Cypridina)	15
danaiana (Cythere)	364
daphnoides (Conchoecia)	94
daphnoides (Conchoecia)	94
daphnoides (Conchoecia daphnoides)	94
daphnoides (Conchoecilla)	94
daphnoides daphnoides (Conchoecia)	94
daphnoides minor (Conchoecia)	94
daphnoides var. minor (Conchoecia)	94
Darwinella	239
darwinii (Cythere)	373
darwinii (Cythere)	323, 386
Darwinula	239
Darwinulidae	239
dasyderma (Cythere)	362
dasyderma (Cythereis)	362
dasyophthalma (Conchoecia)	71
davisoni (Pontocypris)	235
dawsoni (Cythere)	362
dawsoni (Cythereis)	362
debilis (Cythere)	325
debilis (Cytheridea)	388
debilis (Philomedes)	28
decipiens (Bairdia)	244
decipiens (Conchoecia)	73
decipiens (Ilyocypris)	154
decipiens (Loxoconcha)	312
decipiens (Nesidea)	244
decipiens (Xestoleberis)	301
declivis (Cypris)	222
declivis (Cythere)	333
declivis (Cytheropsis)	333
declivis (Eucythere)	333
declivis (Pontocypris)	111
declivis var. argus (Eucythere)	334
declivis var. prava (Eucythere)	333
decora (Cytherideis)	123
decora (Macrocypris)	123
decorata (Cypris)	222
deformis (Cythereis)	361
deformis (Cytherura)	373
delawarensis (Candona)	147
deltoides (Cythere)	373
demissa (Cythere)	323
dentata (Candona)	143
dentata (Conchoecia)	73
dentata (Cythereis)	343
dentata (Cytheridea)	324
dentata (Microcythere)	295
dentata (Polycope)	99
dentata (Pyrocypris)	18
dentatomarginata (Cypridopsis)	212
dentatomarginata (Potamocypris)	212
dentato-marginatus (Cyprinotus)	164
denticulata (Cypria)	133
denticulata (Physocypria)	133
dentifera (Cypria)	133
dentifera (Ilyocypris)	155
dentifera (Physocypria)	133
depressa (Cythere)	303
depressa (Microcythere)	295
depressa (Paracytheridea)	305
depressa (Xestoleberis)	303
depressum (Cytheropteron)	279
derupta (Stenocypris)	198
detecta (Candona)	144
detecta (Candonopsis)	150
detecta (Cypris)	144
detectus (Monoculus)	144
deutata (Asterope)	48
devexa (Candona)	135
devexa (Cythereis)	348
dewattrei (Bairdia)	247
diaphana (Candona)	137
dichotoma (Conchoecia)	87
dictyon (Cythere)	362
dictyon (Cythereis)	362
diffusa (Cythere)	319
dilatata (Eucythere)	280
discolor (Cypris)	235
discophora (Conchoecia)	71
discrepans (Cythere)	319
discrepans (Erythrocypris)	116
dispar (Cypris)	160, 182
dispar (Cyprois)	160, 182
dispar (Cytherura)	266
dispar (Halocypris cornuta)	58
dispar (Halocypris cornuta var.)	58
dispar (Hungarocypris)	182
dispar (Macrocypris)	121
dispar (Paradoxostoma)	289
dispar (Polycope)	100
dispar (Pontocypris)	112
dispar (Xestoleberis)	296
dispersa (Cyclocypris)	127
dissimilis (Cythere)	361
distans (Conchoecia)	87
distincta (Halocypris)	58
Dolerocypris	191
donnani (Cythere)	373

Seite

donnetii (Cypris) 222
dorsiserrata (Cythere) 351
dorsoserrata (Cypridina) 11
dorsoserrata (Cythere) 351
dorsoserrata (Cythereis) 351
dorsotuberculata (Conchoecia) . 70
dorso-tuberculata (Loxoconcha) . 309
dorso-tuberculata (Normania) . . . 309
drammensis (Cythere) 340
dromedaria (Bythocythere) . . . 258
dromedaria (Cytherella) 395
dromedarius (Cypris) 175
dubia (Cypridopsis) 212
dubia (Cypridopsis) 216
dubia (Cythere) 347
dubia (Cythereis) 347
dubia (Halocypris) 58
dubia (Herpetocypris) 223
dubia (Loxoconcha) 373
dubiosa (Cypretta) 205
dubiosa (Cypridella) 205
dubiosa (Limnicythere) 331
dubiosa (Limnocythere) 331
dugesi (Cypris) 223
dunelmensis (Cythere) 354
dunelmensis (Cythereis) 354
duperrei (Cythere) 374
d'urbani (Candona) 232
eburnea (Argilloecia) 118
eburnea (Argilloecia) 397
eburnea (Cytherella) 390
echinata (Conchoecia) 70
echinata (Cypridopsis) 211
echinata (Cythere) 352
echinata (Cythereis) 352
echinata (Thaumatocypris) . . . 54
echinulata (Conchoecia) 78
echinulata (Microconchoecia clausii var.) 78
edentata (Conchoecia) 74
edwardsi (Cytheretta) 367
edwardsii (Cypridina) 11
edwardsii (Cythere) 363
edwardsii (Cythereis) 363
edwardsii (Cytherina) 363
edwardsi (Pontocypris) 113
edwardsi (Pseudocytheretta) 367
eggeriana (Loxoconcha) 389
elatior (Cyprinotus) 223
elatior (Cytheridea) 374
elegans (Bairdia) 247
elegans (Conchoecia) 72
elegans (Cypris) 235
elegans (Cythere) 318
elegans (Loxoconcha) 312
elegans (Nesidea) 247
elegans (Pontocypris) 235

Seite

elegans (Zonocypris) 218
elegantula (Cypris) 129, 131
elliptica (Asterope) 46
elliptica (Cypris) 171
elliptica (Eucypris) 171
elliptica (Loxoconcha) 307
elliptica (Neocypris) 191
elliptica (Strandesia) 191
ellipticus (Ilyodromus) 201
elongata (Bythocypris) 395
elongata (Candona) 140
elongata (Candona) 144
elongata (Conchoecia) 94
elongata (Copechaete) 45
elongata (Cypridina) 51
elongata (Cypridopsella) 209
elongata (Cypridopsis) 209
elongata (Cypris) 235
elongata (Cypris incongruens var.) . 233
elongata (Cytheridea) 327
elongata (Euconchoecia aculeata) 96
elongata (Euconchoecia aculeata var.) 96
elongata (Halocypris) 74
elongata (Loxoconcha) 374
elongata (Macrocypris) 235
elongatus (Acanthopus) 332
Elpidium 316
emaciata (Cythere) 363
emaciata (Cythereis) 363
emarginata (Cythere) 339
emarginata (Cythereis) 339
ensiforme (Paradoxostoma) . . . 289
Entocythere 317
entomon (Cytherura) 374
entzi (Notodromas) 158
ephippiata (Cypris) 192
episphaena (Cypricercus) 188
episphaena (Strandesia) 188
eremita (Candona) 144
eremita (Cypris) 144
eremita (Cypris (Typhlocypris)) . . 144
eremita (Typhlocypris) 144
ericea (Cythere) 352
ericea (Cythereis) 352
erinaceus (Tetragonodon) 51
Erpetocypris 168, 191, 193, 200
Erythrocypris 114
Eucandona 134
Euconchoecia 95
Eucypris 168
Eucypris 178, 191, 195
Eucythere 333
Eucytherura 279
Eumonopia 10
Eupathistoma 16
euplectella (Candona) 150
euplectella (Cythere) 374

	Seite
euplectella (Cythere)	386
euplectella (Paracandona)	150
Eurycypris	178
Eurypylus	36
exagonalis (Cytherura)	374
exaltata (Bairdia)	396
excisa (Cypridina)	51
exigua (Bythocythere)	374
exigua (Cypridopsis)	212
exilis (Cythere)	357, 386
exilis (Cythereis)	357
expansa (Bairdia)	247
expansa (Nesidea)	247
expansa (Xestoleberis)	303
exsculpta (Cypria)	131
exsculpta (Cypris)	131
exserta (Cypris)	235
exserta (Cytherura)	272
exsiccata (Stenocypris)	197
faba (Pontocypris)	114
fabacea (Cythere)	386
fabaeformis (Candona)	136, 140
fabaeformis (Candona)	137
fabaeformis (Cypris)	137
fabaeformis (Cythere)	321
fabaeformis (Eucandona)	135, 137
fabaeformis (Eucypris)	223
fabulosa (Cythere)	351
falcata (Cytherideis)	369
falcata (Cytherina)	369
falklandica (Candonopsis)	151
falklandi (Cythere)	374
fallax (Candona)	141
fallax (Cytheropteron)	278
fasciata (Bairdia)	396
fasciata (Cypris)	192, 195
fasciata (Cytherideis)	368
fasciata (Cytherideis subulata)	368
fasciata (Cytherideis subulata var.)	368
fasciata (Dolerocypris)	192
fasciata (Erpetocypris)	192
fasciata (Eucypris)	192
fasciata (Stenocypris)	192
fasciatum (Paradoxostoma)	374
fasciatus (Monoculus)	192
fascigera (Asterope)	44
fascigera (Cyclasterope)	44
fascis (Cytheridea)	324
favoides (Cythere)	341
favoides (Cythereis)	341
favosa (Streptoleberis)	51
favus (Cypridina)	13
favus (Cypridinodes)	13
favus (Cythere)	374
favus (Polycope)	102
fedea (Bairdia)	396
fenestrata (Newnhamia)	159
fenestrata (Notodromus)	159
fenestratum (Cytheropteron)	374
ferox (Cythere)	363
ferox (Cythereis)	363
fidicula (Cythere)	374
fijiensis (Limnicythere)	374
fimbriata (Cythereis)	353
finmarchica (Cythere)	363
finmarchica (Cythereis)	363
fischeri (Cypris)	195
fischeri (Cythere)	374
fischeri (Cytherois)	281
fischeri (Eucypris)	196
fischeri (Paradoxostoma)	281
fischeri (Stenocypria)	195
fischeri (Stenocypris)	195
fissa (Copechaete)	46
fistulosa (Cythereis)	358
flabella (Cypris)	223
flabellicostata (Cythere)	363
flabellicostata (Cythereis)	363
flava (Cypris)	160
flava (Cyprois)	160
flava (Pontocypris)	112
flaveola (Cypridina)	13
flaveola (Eumonopia)	13
flaveola (Monopia)	13
flavescens (Cypridopsis)	212
flavescens (Cyprinotus)	223
flavescens (Cytheridea)	327
flavescens (Cytherura)	269
flavida (Cythere)	306, 307, 367
flavida (Cythere)	375
flavidus (Monoculus)	375
flexilis (Chlamydotheca)	184
flexilis (Cypris)	184
flexilis (Philomedes)	29
flexuosa (Bythocythere)	291
flexuosa (Paracytherois)	291
flexuosum (Paradoxostoma)	291
flos-cardui (Cythere)	375
folini (Bairdia)	247
folini (Nesidea)	247
folini (Philomedes)	30
fontinalis (Stenocypris)	198
forbesi (Cyclocypris)	128
formosa (Bairdia)	243, 247
formosa (Codonocera)	23
formosa (Cypridina)	23
formosa (Nesidea)	243
fortificata (Bairdia)	243
fortificata (Cythere)	375
fortificata (Nesidea)	243
fossulatus (Cyprinotus)	167
foveata (Sarsiella)	41
foveolata (Bairdia)	249, 249
foveolata (Cypridina)	13

Seite

foveolata (Cythere) 363, 367
foveolata (Cythereis) 363
foveolata (Cytheridea) 375
foveolata (Cytherideis) 367
foveolata (Philomedes) 34
foveolata (Pseudophilomedes) . . 34
foveolata (Xestoleberis) 375
foveostriata (Cythere) 356
foveostriata (Cythereis) 356
fragilis (Candona) 138
fragilis (Candona) 139
fragilis (Cyprinotus) 223
fragilis (Loxoconcha) 308
fragilis (Polycope) 100
frequens (Bairdia) 244
frequens (Cytherois) 282
frequens (Erythrocypris) 115
frequens (Nesidea) 244
frequens (Polycope) 100
fretensis (Cyprinotus) 168
fretensis (Cypris) 168
frigida (Microcythere) 294
fuegiensis (Pseudocythere) . . . 260
fuegiensis (Pseudocythere) 389
fuhrmanni (Candona) 147
fulva (Bairdia) 214
fulva (Cytherura) 375
fulva (Potamocypris) 214
fulvotincta (Cythere) 375
fumata (Anchistrocheles) 250
fumata (Cythere) 375
funebris (Cypridopsis) 235
fungoides (Cythere) 354
fungoides (Cythereis) 354
furfuracea (Cypris) 235
fusca (Asterope) 49
fusca (Bairdia) 247, 397
fusca (Cyclasterope) 49
fusca (Cypris) 165
fusca (Nesidea) 247
fuscata affinis (Eucypris) 177
fuscata (Cypris) . . . 127, 128, 176, 223
fuscata (Cythere) 321
fuscata (Eucypris) 176
fuscata (Eucypris) 176
fuscata major (Eucypris) 176
fuscata (Newnhamia) 159
fuscata (Notodromas) 159
fuscata var. major (Cypris) 176
fuscata var. minor (Cypris) 177
fuscatus (Monoculus) 176, 177
fuscomaculata (Xestoleberis) . . 301
fuscum (Paradoxostoma) 285
galbinea (Cypris) 223
galeata (Paracypris) 396
gaussi (Conchoecia) 80
gaussi (Cytheropteron) 277

Seite

gaussi (Pontocypris) 112
gawemülleri (Hungarocypris) . . 183
getica (Ilyocypris) 154
gibba (Cypris) 153, 154
gibba (Cythere) 268
gibba (Cytherura) 264
gibba (Cytherura) 268
gibba (Ilyocypris) 153
gibba (Ilyocypris) 154
gibba (Microcythere) 295
gibba var. bicornis (Ilyocypris) . . 153
gibba var. repens (Ilyocypris) . . . 154
gibba var. tuberculata (Cypris) . . . 153
gibba var. tuberculata (Ilyocypris) . 153
gibber (Crossophorus) 20
gibber (Monoculus) 268
gibbera (Cythere) 268
gibbera (Eucytherura) 280
gibbera (Loxoconcha) 312
gibberula (Cypris) 236
gibbosa (Cypridina) 19
gibbosa (Cypris) 224
gibbosa (Cythere) 268, 386
gibbosa (Philomedes) 19
gibbosa (Pyrocypris) 19
gibbosum (Cytheropteron) . . . 276
gibbus (Monoculus) 268
giesbrechti (Conchoecia) 73
giesbrechtii (Cyprinotus) 163
giesbrechtii (Cythereis) 357
Gigantocypris 23
glabra (Loxoconcha) 312
glabra (Normania) 312
glacialis (Asterope) 47
glacialis (Cypridina) 15
glacialis (Eucypris) 172
glacialis (Herpetocypris) 172
glacialis (Herpetocypris (Candona)) . 172
glacialis (Krithe) 335
gladiator (Neocypris) 187
glandulosa (Conchoecia) 76
globosa (Cyclocypris) 127
globosa (Cypridina) 32
globosa (Cypridopsis) 224
globosa (Cypris) 127
globosa (Halocypria) 57
globosa (Halocypris) 57
globosus (Bradycinetus) 32
globosus (Philomedes) 32
globulifera (Cythere) 375
globuloides (Proteocypris) 224
globulus (Bairdia) 246
globulus (Cypretta) 205
globulus (Cypridopsis) 205
globulus (Nesidea) 246
globulus (Pionocypris) 205
globulus (Sarsiella) 40

	Seite
godehevi (Cypridina)	51
goniacantha (Codonocera)	23
Goniocypris	398
goujoni (Cythere)	342, 386
goujoni (Cythereis)	342
gracilis (Asterope)	47
gracilis (Cypridina)	15
gracilis (Cytherella)	395
gracilis (Cytherideis)	369
gracilis (Cytherina)	369
gracilis (Cytherura)	270
gracilis (Loxoconcha)	313
gracilis (Macrocypris)	123
gracilis (Paraconchoecia)	72
gracilis (Pontocypris)	119
gracilis (Sarsiella)	41
gracilis (Sclerochilus)	281
gracilis (Xestoleberis)	303
grandis (Cyprinotus)	233
grandis (Cypris)	233
granulata (Candona)	135
granulata (Cypridopsella)	212
granulata (Cypridopsis)	212
granulata (Cypris)	131
granulata (Cypris)	224
granulata (Cytherura)	272
granulata (Loxoconcha)	308
granulosa (Cypridina)	15
granulosa (Cypridopsis)	212
granulosa (Cypris)	131
granulosa (Cytherura)	272
granulosa (Potamocypris)	212
granulosa (Xestoleberis)	303
gregaria (Candonella)	213
gregaria (Cypridopsis)	213
gregaria (Potamocypris)	213
grisea (Asterope)	46
grisea (Loxoconcha)	375
grisea (Normania)	375
groenlandica (Asterope)	32
groenlandica (Cytherura)	375
groenlandica (Philomedes)	32
grubii (Cypridina)	32
grubii (Philomedes)	32
gulielmi (Newnhamia)	159
guliemi (Notodromus)	159
guttata (Cythere)	308
guttata (Loxoconcha)	308
guttatum (Cytheropteron)	375
haddoni (Conchoecia)	78
Halocypria	57
Halocypridae	6
Halocypridae	53
Halocyprinae	53, 57
Halocypris	57
Halocypris	59
halyi (Cypris)	224

	Seite
halyi (Cythere)	375
hamata (Conchoecia)	83
hamata (Cypris)	179
hamata (Cythereis)	359
hamatum (Cytheropteron)	274
hamigera (Cythere)	363
hamigera (Cythereis)	363
hanseni (Sarsiella)	40
harmsworthi (Candona)	147
hartwigi (Candona)	143
hartwigi (Candona)	143
hartwigi (Candona hartwigi)	143
hartwigi carinata (Candona)	144
hartwigi (Cypridopsis)	209
hartwigi (Cythereis)	342
hartwigi hartwigi (Candona)	143
hastata (Loxoconcha)	309
haueri (Cythere)	387
hedleyi (Cytherideis)	368
helena (Cypris)	170
helenae (Erpetocypris)	195
helenae (Herpetocypris)	195
helicina (Cypris)	224
helicina (Potamocypris)	224
helvetica (Cypridopsis)	210
helvetica (Cypridopsis vidua)	210
helvetica (Potamocypris)	210
Hemicypris	167
hendersoni (Cyclasterope)	44
herdmani (Erythrocypris)	116
Herpetocypris	168, 200
Herpetocypris	193
herricki (Chlamydotheca)	184
herricki (Cypris)	184
hesperida (Cypridina)	14
Heterocypris	161
Heterodesmus	398
hettacra (Conchoecia)	92
hians (Microcythere)	295
hibernicum (Paradoxostoma)	289
hieroglyphica (Paracypris (Macrocypris))	123
hilda (Cytherideis)	368
hilgendorfii (Asterope)	44
hilgendorfii (Cylindroleberis)	44
hilgendorffii (Cypridina)	12
hilseana (Pontocypris)	114
hirsuta (Bairdia)	247
hirsuta (Conchoecia)	69
hirsuta (Cypridina)	14
hirsuta (Cypris)	176
hirsuta (Nesidea)	247
hirta (Nesidea)	247
hispida (Candona)	224
hispida (Cypridopsella)	224
hispida (Cypris)	224
hispida (Cypris)	236

	Seite
hispida (Erythrocypris)	116
hispida (Pontocypris)	116
hispida (Sarsiella)	51
hodgei (Cythere)	344, 387
hodgei (Cythereis)	344
hodgei (Paradoxostoma)	290
holdsworthi (Cythere)	375
holzkampfi (Candona)	138
honoluliensis (Loxoconcha)	307
hoptonensis (Cythere)	363
hoptonensis (Cythereis)	363
hornelli (Cythere)	376
horrida (Centrocypris)	160
horrida (Cythereis)	354
humile (Cytheropteron)	376
humilis (Cytherura)	384
hungarica (Candona)	145
hungarica (Cypris)	182
hungarica (Eucandona)	145
hungarica (Limnicythere)	330
hungarica (Limnocythere)	330
Hungarocypris	182
hyalina (Candona)	139
hyalina (Krithe)	336
hyalophyllum (Conchoecia)	83
hyperborea (Pontocypris)	396
hypselum (Paradoxostoma)	287
hystrix (Cypridopsis)	208
hystrix (Cythere)	387
ichthyoderma (Cythere)	360
ichthyoderma (Cythereis)	360
iheringi (Cypris)	225
iheringi (Eucypris)	225
Iliocyprella	153
Iliocypris	153
illinoisiensis (Limnicythere)	331
illinoisiensis (Limnocythere)	331
ilosvayi (Cythereis)	338
ilosvayi (Cytheridella)	338
Ilyobates	334
Ilyocyprinae	152
Ilyocypris	153
Ilyocyprois	153
Ilyodromus	200
imbricata (Conchoecia)	91
imbricata (Halocypris)	90, 91
imperator (Crossophorus)	20
imperator (Cypridina)	20
imperialis (Crossophorus)	20
impluta (Cythere)	363, 387
impluta (Cythereis)	363
impressa (Cythere)	306
impressa (Cytheridea)	328
impressa (Loxoconcha)	306
improvisa (Darwinula)	240
imthurni (Cythere)	376
inaequalis (Cytheridea)	328

	Seite
inaequalis (Macrocypris)	121
inaequivalva (Cypria)	130
inaequivalvis (Candona)	145
incana (Cypris)	236
incarum (Cypris)	236
incisa (Chlamydotheca)	184
incisa (Conchoecia)	80
incisa (Limnicythere)	329
incisa (Limnicythere inopinata var.)	330
incisa (Limnocythere)	329
incisa (Pachycypris)	184
incisa (Pachycypris (Chlamydotheca))	185
incongruens (Cyprinotus)	165
incongruens (Cyprinotus)	165
incongruens (Cyprinotus incongruens)	165
incongruens (Cypris)	165, 234
incongruens (Cytherois)	282
incongruens (Cytherura)	271
incongruens (Eucypris)	165
incongruens (Heterocypris)	165
incongruens incongruens (Cyprinotus)	165
incongruens (Paradoxostoma)	289
incongruens rosea (Cyprinotus)	166
incongruens var. balatonica (Cypris)	165
incongruens var. elongata (Cypris)	233
incongruens var. rosea (Cypris)	166
inconspicua (Cythere)	376
inconstans (Cythere)	376
inermis (Asterope)	47
inermis (Conchoecia)	70
inermis (Cylindroleberis)	47
inermis (Cypris)	225
inermis (Cytheridea)	324
inermis (Ilyocypris)	154
inermis (Paraconchoecia)	70
inermis (Pyrocypris)	18
iners (Ilyocypris)	154
inflata (Bairdia)	248
inflata (Conchoecia)	58
inflata (Cypris)	225
inflata (Cythere)	387
inflata (Cythere (Bairdia))	248
inflata (Halocypris)	58
inflata (Pontocypris)	111
inflata (Pseudophilomedes)	34
inflatum (Cytheropteron)	277
inflatus (Paramekodon)	34
inflexa (Microcythere)	293
inflexum (Paradoxostoma)	376
infundibulata (Cythere)	376
iniqua (Cythere)	376
iniqua (Cytherura)	376
innominata (Conchoecia)	92
innominata (Cythere)	345
innominata (Cythereis)	345

Seite

inopinata (Cythere) 328, 332
inopinata (Limnicythere) . . 329, 329, 332
inopinata (Limnocythere) 328
inopinata (Limnocythere) 333
inopinata var. compressa (Limnicythere) 329
inopinata var. compressa (Limnocythere) 333
inopinata var. incisa (Limnicythere) 330
inornata (Bairdia) 248
inornata (Bairdia) 396
inornata (Cypris) 225
inornata (Cythere) 387
inornata (Nesidea) 248
inornatum (Cytheropteron) 274
insculpta (Candona) 142
insignis (Bythocythere) 257
insignis (Conchoecia) 90
insignis (Cypris) 176
insolita (Cypridina) 15
insolita (Cytherura) 268
insulana (Cythere) 363
insulana (Cythereis) 363
intermedia (Conchoecia) 95
intermedia (Cypridopsis) 213
intermedia (Herpetocypris) . . . 195
intermedia (Herpetocypris) 195
intermedia (Herpetocypris intermedia) 195
intermedia intermedia (Herpetocypris) 195
intermedia latialis (Herpetocypris) 195
intermedia (Pontocypris) 113
intermedia (Potamocypris) 213
intermedia var. latialis (Cypris) . . . 195
intermedia (Xestoleberis) 303
intermedium (Cytheropteron) . . 275
intermedium (Cytheropteron) . . . 279
intermedium (Paradoxostoma) . 285
interposita (Pontocypris) 119
interpuncta (Cypridina) 27
interpuncta (Philomedes) 27
intumescens (Cypris) 225
irpex (Cythere) 352
irrasa (Xestoleberis) 302
irregularis (Cytherella) 393
irregularis (Cytheropteron) . . . 278
irrorata (Cythere) 351
irrorata (Cythereis) 351
isocheira (Conchoecia) 77
Isocypris 203
japonica (Cypridina) 51
japonica (Philomedes) 27
japonica (Pyrocypris) 19
javana (Cypria) 130
jeffreysii (Cythere) 341

Seite

jeffreysii (Cythereis) 341
joanna (Cypria) 127, 128
joanna (Cypris) 236
Jonesia 256
jonesii (Cythere) 353, 366
jonesii (Cythereis) 353
jonesii var. ceratoptera (Cythere) . . 353
judaea (Ilyobates) 376
jurinei costata (Cythere) 376
jurinei (Cythere) 376
jurinei (Cythere) 376
jurinei (Cythere jurinei) 376
jurinei (Cytherina) 376
jurinei jurinei (Cythere) 376
jurinei var. costata (Cythere) . . . 376
jurinii (Cypris) 172, 172
jurinii (Herpetocypris) 172
kampta (Conchoecia) 86
kaufmanni (Cyprinotus) 166
kaufmanni (Cypris) 173
kaufmanni var. limbata (Cypris) . . 174
kelaarti (Cythere) 376
kerguelense (Paradoxostoma) . . 285
kerguelensis (Cythere) 339
kerguelensis (Cythereis) 339
kerguelensis (Ilyodromus) 201
kerguelensis (Xestoleberis) . . . 298
kingsleii (Candona) 144, 150
kingsleii (Candonopsis) 150
kirkbii (Cytheridea) 326
knoxi (Cythere) 376
kraepelini (Cypris) 190
kraepelini (Physocypria) 133
kraepelini (Strandesia) 190
Krithe 334
kyrtophora (Conchoecia) 76
labiata (Cypris) 184
labiata (Cythere) 366
labiata (Nesidea) 245
labiata (Xestoleberis) 303
lacerta (Conchoecilla) 94
lacerta (Cythereis) 363
laciniata (Candona) 138
lactea (Candona) 144
lactea (Candona) 147
lactea (Cythere) 363
lactea (Cythereis) 363
lactea (Cythereis lactea) 363
lactea lactea (Cythereis) 363
lactea rudis (Cythereis) 364
lactea var. rudis (Cythere) 364
lacunosa (Cythere) 387
lacunosa (Euconchoecia) 96
lacustris (Cypria) 132
lacustris (Cythere) 326
lacustris (Cytheridea) 326
lacustris (Ilyocypris) 154

Seite

laetevirens (Cypris) 225
laevata (Cythere) 310
laevata (Cytherideis) 369
laevata (Loxoconcha) 310
laeve (Cytheropteron) 279
laevigata (Bythocythere) 377
laevigatus (Monoculus) 127, 128
laevior (Loxoconcha) 308
laevipes (Philomedes) 33
laevis (Conchoecia serrulata) . . 82
laevis (Cyclocypris) 127
laevis (Cyclocypris) 128
laevis (Cypria) 127, 128
laevis (Cypris) 127, 128
laevis (Cypris lienenklausi var.) . . 176
laevis (Cytherella) 396
laevis (Cytherella beyrichi) . . . 394
laevis (Cytherella beyrichi var.) . . 394
laevis (Eucypris clavata) 176
laevis (Microconchoecia clausii var.) 78
laevis (Monoculus) 127
laevis (Pseudoconchoecia serrulata var.) 82
laevis var. pygmaea (Cyclocypris) . . 128
laganella (Cythere) 377
lamarckiana (Cythere) 387
lamellifera (Cythere) 364
lamellifera (Cythereis) 364
lapponica (Candona) 139
laqueata (Cythere) 387
lata (Cytherella) 396
lata (Cytherideis) 377
lata (Loxoconcha) 313
lateraria (Cypris) 236
latialis (Cypris intermedia var.) . . 195
latialis (Herpetocypris intermedia) 195
laticarina (Cythere) 341
laticarina (Cythereis) 341
latimarginata (Cythere) 344
latimarginata (Cythereis) 344
latimarginata (Cythereis clathrata var.) 365
latimarginata (Cytherella) 394
latissima (Cypris) 179
latissima (Cythere) 275
latissima (Eurycypris) 179
latissimum (Cytheropteron) . . . 275
latum (Cytheropteron) 273
lauta (Cythere) 359, 387
lauta (Cythereis) 359
leana (Cypris) 225
leioderma (Cythere) 377
lemurensis (Cypretta) 206
lemurensis (Cypridella) 206
leniscula (Cythere) 347
lenisculpta (Cythereis) 347
lenticularis (Cypria) 131

Seite

lenticularis (Monoculus) 236
lepida (Cythere) 342
lepidophora (Pyrocypris) 19
lepidula (Cypris) 127, 128
lepralioides (Cythere) 343
lepralioides (Cythereis) 343
Leptocypris 203
leptothrix (Conchoecia) 93
leuckarti (Cypris (Pachycypris)) . . 184
leuckarti (Pachycypris) 184
leuckarti var. pallida (Pachycypris) . 185
Leucocythere 328
leucomela (Cypris) 158
levis (Argilloecia) 118
levis (Cythere) 321
levis (Loxoconcha) 308
levis (Loxoconcha) 313
levis (Microcythere) 294
levis (Philomedes) 30
levis (Pontocypris) 111
levis (Sarsiella) 38
levis (Sclerochilus) 261
lichenoides (Asterope) 44
lienenklausi (Eucythere) 377
lienenklausi var. laevis (Cypris) . . 176
lienenklausi var. serrata (Cypris) . . 176
lilljeborgi (Cypris) 170
lilljeborgi (Cytherura) 377
lilljeborgi (Eucypris) 170
lilljeborgii (Bradycinetus) 32
lilljeborgii (Loxoconcha) 313
lilljeborgii (Philomedes) 32
limbata (Candona) 147
limbata (Chlamydotheca) 185
limbata (Cypris (Eucypris)) 185
limbata (Cypris kaufmanni var.) . . 174
limbata (Eucypris reptans) . . . 174
limicola (Cythere) 280
limicola (Cythere) 377
limicola (Cythereis) 377
Limnicythere 328
Limnicytheridea 328
Limnocythere 328
lineata (Cythereis) 347
lineata (Cytherura) 272
lineola (Cythere) 377
lineolata (Cythere) 377
lineolata (Cytherina) 377
lineopunctata (Cythere) 387
Linocheles 304
lithodomoides (Bairdia) 377
lithodomoides (Cytherideis) . . . 377
littoralis (Cypris) 152
littoralis (Cythere) 319
littoralis (Cytheridea) 326
littoralis (Cytheridea torosa) . . 326
littoralis (Loxoconcha) 311

	Seite
lobiancoi (Cyclasterope)	48
lobiancoi (Cylindroleberis)	48
lobiancoi (Cythere)	318
lobipes (Candona)	142
logani (Cythere)	364
logani (Cythereis)	364
lomae (Philomedes)	31
longevaginata (Bairdia)	246
longevaginata (Nesidea)	246
longicaudatum (Cytheropteron)	377
longicornis (Philomedes)	27, 32
longipes (Candona)	149
longipes (Cryptocandona)	149
longipes (Cythere)	310
longipes (Loxoconcha)	310
longiseta (Cypris)	225
longiseta (Philomedes)	29
longisetosa (Bairdia)	248
longisetosa (Nesidea)	248
lophura (Conchoecia)	82
loricata (Conchoecia)	80
loricata (Conchoecia loricata)	80
loricata (Conchoecissa)	80
loricata loricata (Conchoecia)	80
loricata minor (Conchoecia)	81
loricata var. minor (Conchoecia)	81
loricata var. typica (Conchoecia)	80
Loxoconcha	306
Loxoleberis	432
lubbockiana (Cythere)	377
lucens (Candona)	135
lucens (Cypris)	135
lucida (Cypris)	172
lucida (Cypris)	236
lunata (Cypridopsis)	208
lurida (Cythere)	377
lutaria (Cypris)	171
lutaria (Eucypris)	171
lutea (Candona)	148
lutea (Candona)	225
lutea (Cypris)	236
lutea (Cythere)	318
lutea (Cythere)	327, 387
lutea (Cytherina)	318
luteola (Cypridina)	15
luteus (Monoculus)	318
luxata (Cypris)	226
luxata (Xestoleberis)	303
lyrata (Cythereis)	365
macallana (Cythere)	321
macandrei (Cypridina)	30
macandrei (Bradycinetus)	30
macandrei (Philomedes)	30
macchesneyi (Cythere)	377
Machaerina	292
macra (Cythere)	378
macrocheira (Conchoecia)	83

	Seite
Macrocyprinae	120
Macrocypris	120
macromma (Conchoecia)	75
maculata (Cypris)	236
maculata (Cythere)	313
maculata (Cytherideis)	124
maculata (Loxoconcha)	313
maculata (Macrocypris)	124
maculata (Polycope)	99
maculata (Strandesia)	189
maculatum (Paradoxostoma)	286
maculatus (Cypricercus)	189
maculosa (Pontocypris)	113
madagascarensis (Cypris)	193
madagascarensis (Dolerocypris)	193
madagascarensis (Zonocypris)	218
madarászi (Cyprois)	182
madarászi (Hungarocypris)	182
madarászi (Notodromas)	182
madeirensis (Cypris)	226
magellanica (Cythere)	378
magellanica (Paradoxostoma)	287
magellanicum (Paradoxostoma)	287
magna (Conchoecia)	82, 84
magna (Conchoecia)	84
magna (Conchoecia magna)	84
magna magna (Conchoecia)	84
magna rhombica (Conchoecia)	84
magna var. rhombica (Conchoecia)	84
major (Conchoecia plactolycos)	90
major (Conchoecia plactolycos var.)	90
major (Conchoecia pusilla)	75
major (Conchoecia pusilla var.)	75
major (Cypris fuscata var.)	176
major (Cypris typica var.)	198
major (Eucypris fuscata)	176
major (Stenocypris)	198
malcolmsoni (Cypris)	198
malcolmsoni (Stenocypris)	198
mamillata (Conchoecia)	70
mamillata (Cythere)	378
marchica (Candona)	143
marcida (Cytherura)	378
mareotica (Cypris)	226
margaritacea (Xestoleberis)	300
margaritea (Cytheridea)	300
margaritea (Xestoleberis)	300
margaritea (Xestoleberis)	303
margaritifera (Centrocypris)	161
margaritifera (Cythere)	378
margaritifera (Cythereis)	344
marginata (Cypris)	160
marginata (Cyprois)	160
marginata (Cythere)	341
marginata (Cythereis)	341
marginato-dentata (Cypris)	164
marginato-dentatus (Cyprinotus)	168

Seite

marginato-striata (Cythere subtrigona var.) 365
margollei (Cythere) 364
margollei (Cythereis) 364
mariae (Asterope) 45
mariae (Cylindroleberis) 45
mariae (Cypridina) 45
marmorata (Cypridopsis) 213
marmorata (Cypridopsis) 213
maxima (Conchoecia) 87
media (Cypris virens var.) 170
media (Eucypris virens) 170
mediterranea (Bairdia) 245
mediterranea (Cypridina) 11
mediterranea (Cypridina) 12
mediterranea (Cythere) 319
mediterranea (Cytherura) 263
mediterranea forma typica (Cypridina) 11
mediterranea (Loxoconcha) . . . 311
mediterranea (Nesidea) 245
mediterranea (Pontocypris) . . . 112
mediterraneum (Paradoxostoma) 284
Megalocypris 219
megalops (Cypridina) 15
megalops (Cyprinotus) 167
megalops (Hemicypris) 167
melobesioides (Cythere) 364
melobesioides (Cythereis) 364
mercatorum (Strandesia) 187
meridionalis (Aglaia) 237
meridionalis (Argilloecia) 237
meridionalis (Cythere convexa var.) . 338
meridionalis (Loxoconcha) . . . 310
meridionalis (Sclerochilus) . . . 262
meridionalis (Xestoleberis) . . . 298
messanensis (Argilloecia) 237
messanensis (Bairdia) 248
messanensis (Cypridina) 11
messanensis (Cythere venus var.) . . 365
messanensis (Nesidea) 248
messinensis (Cypridina) 11
Metacypris 316
mexicana (Chlamydotheca) . . . 185
Microconchoecia 78
Microcypris 168
Microcythere 293
Microcytherura 315
Microxestoleberis 305
Mikroconchoecia 59
militaris (Cythere) 353, 360, 366
militaris (Cythereis) 353
milne-edwardsi (Bairdia) 248
milne-edwardsii (Cythere) 364
milne-edwardsii (Cythereis) . . . 364
milne-edwardsi (Nesidea) 248
minima (Bairdia) 396
minima (Bairdia) 397

Seite

minima (Cytheridea) 378
minima (Loxoconcha) 307
minima (Paracythere) 262
minima (Pseudoloxoconcha) . . . 314
minna (Bairdia) 122
minna (Cypretta) 205
minna (Cypridopsis) 205, 207
minna (Cypris) 205
minna (Cythere) 122
minna (Macrocypris) 122
minna (Pionocypris) 205
minnesotensis (Cypris) 226
minnesotensis (Erpetocypris) 226
minor (Argilloecia) 118
minor (Bairdia) 245
minor (Conchoecia daphnoides) . 94
minor (Conchoecia daphnoides var.) 94
minor (Conchoecia loricata) . . . 81
minor (Conchoecia loricata var.) . . 81
minor (Conchoecia pusilla) . . . 76
minor (Conchoecia pusilla var.) . . 76
minor (Cypris fuscata var.) 177
minor (Cytherois) 282
minor (Nesidea) 245
minor (Stenocypris ametra) . . . 200
minor (Stenocypris ametra var.) . . 200
minuta (Cypria) 127, 128
minuta (Cypris) 127, 128
minuta (Pseudocythere) 260
mirabilis (Cythere) 378
mirabilis (Leucocythere) 331
mirabilis (Limnocythere) 331
mitra (Goniocypris) 398
modesta (Cyclocypris) 131
modesta (Cypria) 131
modesta (Cypris) 131
modesta (Loxoconcha) 313
modesta (Normania) 313
mollis (Conchoecia) 85
mollis (Pyrocypris) 18
monacantha (Cythere) 352
monacha (Cypris) 158
monacha (Cyprois) 158
monacha (Monoculus) 158
monacha (Notodromas) 158
monensis (Cytheridea) 378
mongolica (Limnicythere) 330
mongolica (Limnocythere) . . . 330
moniezi (Cypris) 237
monilifera (Cypris) 226
monilifera (Cypris virens var.) . . . 170
Monoculi bivalves 1
Monoculus 1
Monoculus . . 126, 129, 134, 157, 161, 168, 178, 191, 263, 306, 317
Monopia 10
monopia (Cypridina) 13

	Seite
mons (Cypria)	152
mons (Cypris)	152
monstrifica (Cypris)	329
monstrifica (Limnicythere)	329
monstrifica (Limnocythere)	329
monstrosa (Pontocypris)	112
montevidea (Candonella)	216
montevidea (Potamocypris)	216
montezuma (Cythere)	378
montrosiense (Cytheropteron)	378
moroides (Philomedes)	29
moroides (Pleoschisma)	29
moseleyi (Cythere)	378
mucronalatum (Cytheropteron)	378
mucronata (Acanthocypris bicuspis var.)	187
mucronata (Cypris)	226
mucronata (Cypris (Acanthocypris))	187
mucronata (Cythere)	354
mucronata (Cythereis)	354
mucronata (Cytherura)	272
mucronata (Cytherura)	378
mucronata (Eucypris)	188
mucronata (Neocypris)	187, 188
mucronata (Strandesia bicuspis)	187
mülleri (Candona)	137
mülleri (Conchoecia)	79
mülleri (Cythere)	324
mülleri (Cytheridea)	324
mülleri (Eucandona)	137
multicava (Cythere)	379
multifora (Cythere)	379
multifora (Loxoconcha)	379
multiforum (Cytheropteron)	379
münsteri (Cytherella)	397
murrayana (Cythere)	379
murrayana (Sarsiella)	37
muscosa (Cythere)	379
mutabilis (Cythereis)	365
mutica (Eucypris)	189
mutica (Neocypris)	189
mutica (Strandesia)	189
Myodocopa	6
mytiloides (Cypris)	226
mytiloides (Cythere (Bairdia))	115
mytiloides (Pontocypris)	115
nana (Cypridopsella)	226
nana (Cytherura)	372
nana (Microcythere)	294
nana (Microxestoleberis)	305
nana (Xestoleberis)	303
nasotuberculata (Conchoecia)	76
natans (Eupathistoma)	17
natans (Pyrocypris)	17
navicula (Cythere)	374
navicula (Cytherura)	374
navicula (Cytherura)	379

	Seite
neglecta (Candona)	136
neglecta (Cypria)	129
neglecta (Cypria)	152
neglecta (Cytherura)	265
neglecta (Eucandona)	136
Nematohamma	36
neocomensis (Limnocythere)	332
neocomensis (Metacypris cordata)	316
neocomensis (Metacypris cordata var.)	316
Neocypris	186
nervosa (Cytherura)	272
Nesidea	241
Nesideidae	240
neumanni (Cypris)	180
neumanni (Eurycypris)	180
Newnhamia	158
newtoni (Candonella)	208
newtoni (Cypridopsis)	208
newtoni (Potamocypris)	208
nigrescens (Cythere)	268
nigrescens (Cytherura)	264, 273
nigrescens (Cytherura)	268
nigrescens (Microcytherura)	315
nitens (Candona)	147
nitens (Cypris)	226
nitida (Cythere)	298
nitida (Cytherella)	394
nitida (Loxoconcha)	379
nitida (Pontocypris)	116
nitida (Xestoleberis)	298
nitidula (Cypridina)	51
nobilis (Amphicypris)	173
nobilis (Cypridina)	15
nobilis (Cytherideis)	379
nobilis (Eucypris)	173
nodosa (Cythere)	377
nodosum (Cytheropteron)	279
nodulifera (Bairdia)	244
nodulifera (Cythere)	364
nodulifera (Nesidea)	244
Normania	306
normani (Cythere)	366
normani (Cythere)	379
normani (Paradoxostoma)	379
norvegica (Asterope)	45
norvegica (Cypridina)	15
notalis (Cytherura)	270
notocera (Conchoecia)	70
notodonta (Limnicythere)	332
notodonta (Limnocythere)	332
Notodromas	157
Notodromas	158
Notodromus	159
novae-caledoniae (Paradoxostoma)	290
novae-zealandiae (Cypris)	237
novae-zealandiae (Cytherideis)	368
nubilosa (Cypris)	158

	Seite
nuda (Cythere clathrata var.)	362
numensis (Nesidea)	243
obesa (Cypria)	130
obesa (Cypridina)	14
obesa (Cypridopsis)	210
obesa (Cypridopsis vidua)	210
obesa (Cypridopsis vidua var.)	210
obesa (Cythere)	275, 387
obesa (Pionocypris)	210
obliqua (Cypris)	226
obliqua (Cytherura)	379
obliqua (Eucypris)	177
obliqua (Herpetocypris)	227
obliqua (Microcythere)	293
obliqua (Nematohamma)	38
obliquata (Bairdia)	248
obliquata (Cythere)	387
obliquata (Nesidea)	248
obliquum (Paradoxostoma)	286
oblonga (Asterope)	45, 46
oblonga (Candona)	145
oblonga (Conchoecia)	69
oblonga (Conchoecia)	73
oblonga (Cylindroleberis)	45
oblonga (Cypridina)	45
oblonga (Cypris)	176
oblonga (Cythere)	366
oblonga (Paraconchoecia)	69, 72
oblonga (Paracytherois)	291
oblonga (Philomedes)	28
oblonga (Pleoschisma)	28
oblongata (Cypris)	172
oblongata (Eucypris)	172
obscura (Bairdia)	244
obscura (Cypridopsis)	213
obscura (Nesidea)	244
obtusa (Aglaia)	396
obtusa (Candona weltneri)	136
obtusa (Candona weltneri var.)	136
obtusa (Cypris virens var.)	170
obtusa (Erythrocypris)	115
obtusa (Eucypris virens)	170
obtusalata (Cythere)	323
obtusalata (Cythere)	379
obtusata (Aglaia)	396
obtusata antarctica (Conchoecia)	75
obtusata (Bairdia)	250
obtusata (Bythocypris)	250
obtusata (Conchoecia)	74
obtusata (Conchoecia)	74, 75
obtusata (Conchoecia obtusata)	74
obtusata (Cytherella)	391
obtusata (Cytherura)	272
obtusata (Halocypris)	74
abtusata (Neocypris)	188
obtusata obtusata (Conchoecia)	74
obtusata (Pontocypris)	113
obtusata (Strandesia)	188
obtusata var. antarctica (Conchoecia)	75
obtusus (Ilyodromus)	201
ochracea (Cypris)	237
ochracea (Cythere)	322
oculata (Asterope)	46
oculata (Notodromas)	158
odiosa (Cypris)	227
olivacea (Asterope)	47
olivacea (Cypridina)	47
olivacea (Cypris)	202
olivacea (Erpetocypris)	202
olivacea (Herpetocypris)	202
olivacea (Xestoleberis)	304
olivaceus (Ilyodromus)	202
Oncocypris	161
ondaatjei (Cytherella)	392
onusta (Cypris)	227
opaca (Cythere)	388
ophthalma (Cypris)	228
ophthalmica (Cypria)	129
ophthalmica (Cypria)	132
ophthalmica (Cypris)	129, 217
ophthalmica (Potamocypris)	217
ophthalmicus (Monoculus)	129
orba (Cypridopsis)	235
orbicularis (Cyclasterope)	49
orbicularis (Philomedes)	33
orbicularis (Polycope)	101
orbicularis (Polycope)	102
orcadense (Paradoxostoma)	379
orientalis (Bythocythere)	256
orientalis (Bythocythere)	259
orientalis (Cypris)	228
orientalis (Cytheridea)	380
orientalis (Macrocypris)	124
ornata (Candona)	145
ornata (Cypris) 170, 172, 175, 194, 234, 234, 234	
ornata (Cythereis)	350
ornata (Cytherura)	380
ornata (Eucypris)	175
ornatus (Monoculus)	171, 175
ornatus (Xiphichilus)	380
ornithoides (Sarsiella)	42
orthotrichota (Conchoecia)	80
oryza (Cytherideis)	119
Ostrachodes	1
Ostracoda	1
Ostrapoda	1
Ostrapodes	1
ostrarum (Cythere)	380
ovalis (Asterope)	46
ovalis (Cylindroleberis)	47
ovalis (Cypris)	228
ovalis (Cythere)	388
ovalis (Cytherois)	282

	Seite
ovalis (Paracypris)	237
ovata (Bairdia)	248
ovata (Cypris)	175, 179
ovata (Cytheridea)	248
ovata (Hemicypris)	167
ovata (Nesidea)	248
ovatum (Cytheropteron)	389
ovatum (Paradoxostoma)	290
ovatus (Cyprinotus)	167
ovatus (Monoculus)	179
ovoidea (Bairdia)	397
ovulum (Cyclasterope)	48
ovum (Cyclocypris)	128
ovum (Cypria)	127, 128
ovum (Cypridina)	51
ovum (Cypris)	127, 128, 234
ovum (Monoculus)	127, 128
Pachycypris	183
pacifica (Conchoecia)	73
packardi (Cythere)	346
packardi (Cythereis)	346
palermitana (Cypris)	228
palermitana (Eucypris)	165
pallida (Chlamydotheca speciosa)	185
pallida (Cythere)	320
pallida (Erythrocypris)	116
pallida (Pachycypris leuckarti var.)	185
pannonica (Eucandona csikii var.)	138
pannosa (Cythere)	364
pannosa (Cythereis)	364
pantherina (Cypris)	127, 128
papillosa (Cyprideis)	325
papillosa (Cythere)	322
papillosa (Cytheridea)	325
papillosa (Loxoconcha)	313
papuana (Cypretta)	207
papuensis (Cythere)	342
papuensis (Cythereis)	342
papyracea (Astenocypris)	204
papyracea (Leptocypris)	204
parabolica (Candona)	228
parabolica (Cypris)	228
Paracandona	150
Paraconchoecia	59
Paracypridopsis	214
Paracypris	125
Paracythere	262
Paracytheridea	305
Paracytherois	290
Paracytheroma	315
paradisea (Candonella)	213
paradisea (Cypridopsis)	213
paradisea (Potamocypris)	213
paradoxa (Cytherura)	265
Paradoxostoma	281
Paradoxostoma	283
parallela (Candona)	141

	Seite
parallela (Cytherideis)	369
parallela (Cytherina)	369
parallela (Loxoconcha)	309
parallela (Paracytherois)	292
parallelogramma (Cythere)	364, 388
parallelogramma (Cythereis)	364
parallelum (Paradoxostoma)	285
Paramekodon	33
parkeri (Cythere)	380
parthenoda (Conchoecia)	75
parva (Candona)	146
parva (Cypridopsis)	211
parva (Xestoleberis)	296
parvidentata (Conchoecia)	83
passaica (Spirocypris)	228
patagonica (Newnhamia)	159
patagonica (Notodromas)	159
patagoniense (Cytheropteron)	380
patagoniensis (Cythere)	348
patagoniensis (Cythereis)	348
pavo (Bythocythere)	257
pavonia (Cythere)	380
pectinatus (Ilyodromus)	202
pectunculata (Cythere)	380
pedatum (Cytheropteron)	389
pedrensis (Paracytheroma)	315
peircei (Candona)	146
pelagica (Halocypris)	58
pellucens (Cypris)	237
pellucida (Conchoecia)	84
pellucida (Cypria)	130
pellucida (Cyprinotus)	164
pellucida (Cypris)	135, 141, 164
pellucida (Cythere)	320
pellucida (Cythere)	321
pellucida (Gigantocypris)	24
pellucida (Loxoconcha)	308
pellucida (Pontocypris)	111
pellucida (Xestoleberis)	299
pellucidus (Cyprinotus)	164
penicillum (Codonocera)	22
perangusta (Isocypris)	203
perarmata (Stenocypris)	228
peregrina (Erpetocypris)	172
peregrina (Herpetocypris)	172
perelegans (Cypris)	232
perforata (Cypris)	228
perieri (Cythere)	380
perplexa (Paracytheridea)	306
perrensis (Cythere)	380
pertusa (Cythere)	388
petrosa (Sarsiella)	42
petrosus (Eurypylus)	42
phalaropi (Cythereis)	343
phaseolus (Cypris)	228
Philomedes	16
Philomedes	24

	Seite
Philomedinae	24
Phlyctenophora	125
phylloides (Cythere)	380
Physocypria	132
picta (Cypridopsis)	213
picta (Pionocypris)	213
pigra (Cypris)	173
pigra (Eucypris)	173
pilosa (Cypris)	237
pilosus (Monoculus)	237
pincta (Cypridopsis)	213
pincta (Cypris)	213
pinguis (Cypridopsis)	213
Pionocypris	204, 207
pirifera (Pontocypris)	110
plactolycos (Conchoecia)	89
plactolycos (Conchoecia plactolycos)	89
plactolycos major (Conchoecia)	90
plactolycos plactolycos (Conchoecia)	89
plactolycos typica (Conchoecia)	89
plactolycos var. major (Conchoecia)	90
plana (Cythere)	380
plana (Xestoleberis)	299
planum (Paradoxostoma)	284
Platycopa	103
Pleoschisma	24, 36
plicatula (Cythere)	356
plicatula (Cythereis)	356
plinthina (Conchoecia)	90
Podocopa	103
polita (Cytherella)	396
polita (Paracypris)	126
polita (Paracypris)	238
polita (Pontocypris)	119
polita (Xestoleberis)	304
Polycheles	239
Polycope	98
Polycopidae	97
Polycopsis	102
polygonia (Codonocera)	22
polylyca (Cythereis)	348
polytrema (Cythere)	366
Pontocypria	117
Pontocyprinae	108
Pontocypris	109
Pontocypris	114
Pontoparta	126
Poracypridopsis	433
porcellanea (Cythere)	320
porrecta (Conchoecia)	84
Potamocypris	207
Potamocypris	214
praelonga (Krithe)	380
praetexta (Ilyobates)	335
prasina (Cypris)	165
prasina (Cypris)	228
prasinus (Cyprinotus)	165
pratensis (Candona)	141
prava (Cythere)	361
prava (Cythereis)	361
prava (Eucythere declivis var.)	333
princeps (Megalocypris)	219
priomena (Isocypris)	203
Prionocypris	168
procera (Conchoecia)	72
producta (Cythere)	364
producta (Cythereis)	364
producta (Cytherura)	266
producta (Krithe)	336
producta (Paracytherois)	291
producta (Xestoleberis)	304
productum (Paradoxostoma)	291
propinqua (Argilloecia)	119
propinqua (Cythere)	320, 321, 388
propinqua (Cytherura)	270
prosadene (Conchoecia)	91
Proteocypris	207
protzi (Candona)	144
proxima (Cyprideis)	327
Pseudocandona	134
Pseudoconchoecia	59
Pseudocythere	259
Pseudocytheretta	366
Pseudoloxoconcha	314
Pseudophilomedes	33
psittacea (Cypris)	228
pubera (Cypris)	170
pubera (Cypris)	179
pubera (Eurycypris)	179
puber (Cypris)	179
puber (Monoculus)	170
puberoides (Cypris)	180
puberoides (Eurycypris)	180
pubescens (Candona)	141
pubescens (Candona)	142, 142, 143, 148
pubescens (Cypridopsis)	229
pubescens (Cypris)	141
pubescens (Cypris)	229
pubescens (Eucandona)	141
pubescens (Pseudocandona)	142
pubescens var. reticulata (Eucandona)	142
pulchella (Aglaia)	126
pulchella (Cythere)	388
pulchella (Paracypris)	126
pulchellum (Paradoxostoma)	288
pulchra (Cytherella)	390
pulchra (Cytherideis)	380
pullipes (Cypris)	237
pumicosa (Cythere)	364
pumicosa (Cythereis)	364
pumicosa (Loxoconcha)	307
pumila (Cythere)	357
pumila (Cythereis)	357
pumila (Cytherella)	396

	Seite
pumila (Cytherura)	384
pumilio (Bythocythere)	258
punctata (Cypria)	129, 131
punctata (Cypridina)	52
punctata (Cypris)	129, 229
punctata (Cytherella)	394
punctata (Cytherella)	398
punctata (Cytherura)	265
punctata (Eucytherura)	281
punctata (Loxoconcha)	313
punctata (Polycope)	101
punctata (Pontocypris)	119
punctata (Pyrocypris)	18
punctatum (Cytheropteron)	275
punctatus (Monoculus)	229
punctillata (Cypridopsis)	210
punctillata (Cypris)	179
punctillata (Cytheridea)	327
punctillata (Cytheridea)	388
punica (Halocypris)	77
purpurascens (Cypris)	132, 190
purpurascens (Strandesia)	190
pusilla (Aglaia)	397
pusilla (Codonocera)	22
pusilla (Conchoecia)	75
pusilla (Cyclocypris)	128
pusilla (Cypria)	132
pusilla (Cytheridea)	380
pusilla (Loxoconcha)	310
pusilla major (Conchoecia)	75
pusilla minor (Conchoecia)	76
pusilla var. major (Conchoecia)	75
pusilla var. minor (Conchoecia)	76
pustulata (Polycope)	101
pustulosa (Cypria)	134
pustulosa (Cypris)	229
pustulosa (Physocypria)	134
pygmaea (Candona)	149
pygmaea (Cryptocandona)	149
pygmaea (Cyclocypris)	128
pygmaea (Cyclocypris laevis var.)	128
pygmaea (Cythere)	381
pyramidale (Cytheropteron)	276
pyriformis (Cythere)	381
Pyrocypris	16
pyxidata (Hemicypris)	167
pyxidatus (Cyprinotus)	167
quadrangularis (Conchoecia)	72
quadrata (Asterope)	45
quadrata (Cytherura)	267
quadriaculeata (Cythere)	357
quadriaculeata (Cythereis)	357
quadridentata (Cythere)	355
quadridentata (Cythereis)	355
quadripartita (Cypris)	229
quadriserialis (Cythere)	354
quadriserialis (Cythereis)	354

	Seite
radiata (Cypris)	174
radiata (Eucypris)	174
radiolata (Krithe)	381
radula (Cythere)	352
radula (Cythereis)	352
ramdohri (Cythereis)	358
ramosa (Xestoleberis)	297
rara (Aglaia)	125
rara (Candona)	142
rara (Cythere)	322
rara (Cytherura)	270
rara (Erythrocypris)	115
rara (Microcythere)	294
rara (Paracypris)	125
rara (Paracytherois)	290
rara (Pontoparta)	126
rara (Xestoleberis)	301
raripila (Bairdia)	243
raripila (Nesidea)	243
rarum (Cytheropteron)	276
rarum (Paradoxostoma)	288
rastromarginata (Cythere)	364
rastromarginata (Cythereis)	364
raulini (Loxoconcha)	313
recta (Bythocythere)	257
rectangularis (Cythere)	349
rectangularis (Cythereis)	349
recticauda (Candona)	147
rectirostris (Streptoleberis)	52
rectum (Cytheropteron)	257
recurva (Bythocythere)	381
reflexa (Candona)	147
relicta (Cythere)	330
relicta (Limnicythere)	330
relicta (Limnocythere)	330
relicta (Limnocythere)	332
remota (Cypretta)	205
remota (Cypridella)	205
reniformis (Bythocypris)	250
reniformis (Candona)	139
reniformis (Cypris)	229
reniformis (Cythere)	318
reniformis (Krithe)	334
reniformis (Paradoxostoma)	334
reniformis (Phlyctenophora)	237
reniformis (Potamocypris)	217
reniformis (Proteocypris)	217
reniformis (Sclerochilus)	261
reniformis (Xestoleberis)	304
repens (Iliocyprella)	154
repens (Ilyocypris gibba var.)	154
reptans (Candona)	194
reptans curvata (Herpetocypris)	194
reptans (Cypris)	194
reptans (Erpetocypris)	194
reptans (Eucypris)	173
reptans (Eucypris reptans)	173

Seite

reptans (Herpetocypris) 194
reptans (Herpetocypris) 194
reptans (Herpetocypris reptans) . 194
reptans limbata (Eucypris) . . . 174
reptans (Microcypris) 173
reptans reptans (Eucypris) . . . 173
reptans reptans (Herpetocypris) . 194
reptans var. curvata (Herpetocypris) 194
resistans (Acanthopus) 326
reticulata (Bairdia) 242
reticulata (Candona) 142
reticulata (Conchoecia) 71
reticulata (Cypris) 171
reticulata (Cypris affinis) 171
reticulata (Cytherura) 270
reticulata (Cytherura) 389
reticulata (Eucandona pubescens var.) 142
reticulata (Eucypris) 171
reticulata (Limnicythere) 331
reticulata (Limnocythere) 331
reticulata (Microconchoecia clausii var.) 77
reticulata (Nesidea) 242
reticulata (Pleoschisma) 52
reticulata (Polycope) 100
reticulata (Strandesia) 191
reticulatus (Cypricercus) 191
retusa (Bythocythere) 258
retusum (Paradoxostoma) 287
reussi (Cythere) 364
reussi (Cythereis) 364
reynaudii (Cypridina) 52
rhombica (Conchoecia magna) . . 84
rhombica (Conchoecia magna var.) . 84
rhomboidea (Bairdia) 243
rhomboidea (Cythere) 306, 378
rhomboidea (Loxoconcha) 306
rhomboideum (Cytheropteron) . . 381
rhynchena (Conchoecia) 88
richardi (Cypris) 229
rigusa (Xestoleberis) 297
rimosa (Cythere) 346
rimosa (Cythereis) 346
ritteri (Conchoecia) 90
rivilli (Pyrocypris) 18
rivularis (Cypris) 229
robertsoniana (Cytheridea) 326
robertsoni (Cythere) 381
robertsoni (Cytherura) 268
robertsoni (Erpetocypris) 203
robertsoni (Ilyodromus) 203
robusta (Bairdia) 248
robusta (Nesidea) 248
robusta (Pleoschisma) 42
robusta (Pontocypris) 397
robusta (Sarsiella) 42
rosea (Cyprinotus incongruens) . 166

Seite

rosea (Cypris incongruens var.) . . 166
rostrata (Candona) 143, 148
rostrata (Candona) 147
rostrata (Conchoecia) 95
rostrata (Eucandona) . . . 143, 143, 147
rostrata (Halocypris) 77
rostrata (Polycope) 99
rostrata (Pontocypris) 397
rostrata (Rutiderma) 35
rostrata var. thermalis (Eucandona) 146
rostratum (Paradoxostoma) . . . 381
rotunda (Loxoconcha) 313
rotundata (Conchoecia) 77
rotundatum (Cytheropteron) . . 276
rotundatum (Paradoxostoma) . . 287
ruber (Monoculus) 165
rubida (Cypris) 229
rubida (Cythere) 340
rubida (Cythereis) 340
rubra (Cypris) 165
rubra (Cythereis) 356
rubra (Cytheretta) 366
rubra (Cytheridea) 325
rubrum (Paradoxostoma) 284
rude (Cytheropteron) 381
rudis (Cythere lactea var.) 364
rudis (Cythereis lactea) 364
rudis (Cytherura) 272
rudis (Sarsiella) 41
rugosa (Cythere) 379
rugosa (Cytherella) 394
runcinata (Cythere) 358
runcinata (Cythereis) 358
ruperti (Cythere) 381
Rutiderma 34
Rutidermatidae 7
sabulosa (Cythere) 351
sabulosa (Cythereis) 351
saccata (Xestoleberis) 304
sagittalis (Loxoconcha) 381
sagittula (Cypridina) 381
sagittula (Cythere) 381
salebrosa (Cythere) 381
salina (Cypridopsis) 209
salina (Cyprinotus) 165
salina (Cypris) 165
salina (Proteocypris) 209
salinus (Cyprinotus) 165
sancti-patricii (Limnicythere) . . . 332
sancti-patricii (Limnocythere) . . 332
sanctpauli (Paradoxostoma) . . . 286
sardoa (Cypris) 237
sarniense (Paradoxostoma) 289
sarsi (Candona) 143
sarsi (Cypretta) 207
sarsi (Cypridina) 11
sarsi (Cyprinotus) 167

Seite

sarsi (Cypris) 230
sarsi (Macrocypris) 123
Sarsiella 36
Sarsiellidae 7, 35
Sarsiellinae 35
sarsii (Cythereis) 352
sarsii (Cytherura) 270, 271
sarsii (Eucypris) 230
scaberrima (Cythere) 381
scaberrima (Cytherura (Cythere)) . . 381
scabra (Cypris) 237
scabra (Cythere) 364, 366
scabra (Cythereis) 364
scabrocuneata (Cythere) 351, 388
scabrocuneata (Trachyleberis) . . . 351
scalaris (Cythere) 361
scalaris (Cythereis) 361
scaphoides (Cythere) 339
scaphoides (Cythereis) 339
scaphoides (Cytheropteron) . . . 381
schomburgkii (Cypris) 230
scintillulata (Cythere) 382
Sclerochilus 260
scotica (Cytherella) 391
Scottia 219
scotti (Cythere) 343
scotti (Cythereis) 343
scottii (Cypris) 230
sculpta (Cypris) 230
sculpta (Loxoconcha) 309
sculpta (Philomedes) 29
sculpta (Philomedes) 51
sculpta (Sarsiella) 39
sculptilis (Cythere) 345
sculptilis (Cythereis) 345
scutellata (Cytherura) 382
scuticosa (Cythere) 365
scutigera (Cypris) 127, 128
scutigera (Cythere) 365
scutigera (Cythereis) 365
secernenda (Conchoecia) 79
securifer (Cythere) 382
sella (Cypris) 210
sella (Cytherura) 269
semilunaris (Cypria) 230
semilunaris (Cypris) 230
semilunaris (Cythere) 382
seminuda (Cytheridea) 325
seminulum (Loxoconcha) 313
semiovata (Cythere) 382
semipunctata (Cythere) 382
semitalis (Cytherella) 395
senticosa (Cythereis) 355
septentrionale (Cytheropteron) . 382
septentrionalis (Cythere) 341
septentrionalis (Cythereis) . . . 341
serena (Cyclocypris) 127, 128

Seit

serena (Cypria) 127, 128
serena (Cypris) 127, 128
serrata (Bairdia) 243
serrata (Candona) 174
serrata (Cypris) 174
serrata (Cypris lienenklausi var.) . . 176
serrata (Erpetocypris) 174
serrata (Erythrocypris) 115
serrata (Eucypris clavata) . . . 176
serrata (Limnicythere) 329
serrata (Limnocythere) 329
serrata (Polycopsis) 102
serrata (Prionocypris) 174
serrata (Pyrocypris) 19
serratula (Cythere) 382
serrulata (Conchoecia) 81
serrulata (Conchoecia) 81
serrulata (Conchoecia serrulata) . 81
serrulata (Cypris) 115
serrulata (Cythere) 358
serrulata (Cytherella) 391
serrulata (Erythrocypris) 115
serrulata laevis (Conchoecia) . . 82
serrulata (Loxoconcha) 382
serrulata (Pontocypris) 115
serrulata (Pseudoconchoecia) 81
serrulata serrulata (Conchoecia) 81
serrulata var. laevis (Pseudoconchoecia) 82
setigera (Macrocypris) 238
setigera (Xestoleberis) 304
setipunctata (Cytheridea) 382
setosa (Cythere) 382
setosa (Darwinula) 240
setosa (Pontocypris) 110
sharpei (Pyrocypris) 19
shorellii (Cythere) 365
sibirica (Candona) 139
sibogae (Conchoecia) 88
sicula (Cythere) 339
sicula (Cythereis) 339
sicula (Pontocypris) 238
sigmoides (Candona) 146
signata (Cythere) 388
silicula (Cythere) 382
siliquosa (Macrocypris) 122
silvestrii (Cypridopsis) 213
silvestrii (Potamocypris) 213
simile (Paradoxostoma) 286
similis (Candona) 148
similis (Cyclasterope) 52
similis (Cytheridea) 328
similis (Cytheridea (Cythere, Cytherella)) 328
similis (Cytherura) 270
similis (Eucypris) 234
similis (Krithe) 335
similis (Macrocypris) 122

	Seite
similis (Microconchoecia clausii var.)	77
similis (Paracytherois)	290
similis (Potamocypris)	215
similis (Pseudocythere)	260
similis (Sarsiella)	41
simplex (Bairdia)	248
simplex (Bythocythere)	258
simplex (Candona)	144
simplex (Cypris)	238
simplex (Cythere)	258
simplex (Cytherura)	271
simplex (Jonesia)	258
simplex (Nesidea)	248
simplex (Pontocypris)	113
simplex (Sarsiella)	37
simpsoni (Candona)	146
simulans (Cytherura)	382
sinensis (Dolerocypris)	192
sinensis (Loxoconcha)	309
sinuata (Bairdia complanata var.)	250
sinuata (Bythocypris complanata)	250
sinuata (Cypris)	154
sinuata (Stenocypris)	197
sinuosa (Pyrocypris)	18
smaragdina (Candonella)	216
smaragdina (Cypridopsis)	216
smaragdina (Potamocypris)	216
smaragdinus (Ilyodromus)	202
socialis (Cypris)	230
solandi (Cythere)	382
solitaria (Candonopsis)	151
sorbyana (Cytheridea)	324, 324
sordida (Cytherella)	392
sordida (Philomedes)	28
sordida (Philomedes)	29
speciosa (Chlamydotheca)	184
speciosa (Chlamydotheca speciosa)	184
speciosa (Cypris)	184
speciosa (Cytherura)	272
speciosa pallida (Chlamydotheca)	185
speciosa speciosa (Chlamydotheca)	184
spectabilis (Cypris)	232
spectabilis (Cythereis)	353
speyeri (Cythere)	338, 388
speyeri (Cythereis)	338
spinea (Cythere)	383
spinifera (Conchoecia)	69
spinifera (Paraconchoecia)	69
spinirostris (Conchoecia)	84
spinosa (Cypris)	238
spinosa (Pontocypria)	117
spinosa (Pseudocythere)	383
spinosissima (Cythere)	354
spinulosa (Cytheridea)	328
spinulosa (Microconchoecia clausii var.)	77
Spirocypris	186
spongiosa (Cythere)	383

	Seite
squalidentata (Cythere)	355
squalidentata (Cythereis)	355
squamiger (Asterope)	52
squamigera (Xestoleberis)	299
squamosa (Conchoecia)	91
squamosa (Cypridina)	12
squamosa (Cypridina)	52
stagnalis (Candona)	142, 147
stanleyana (Candona)	201
stanleyana (Cypris)	201
stanleyana (Herpetocypris)	181, 201
stanleyanus (Ilyodromus)	201
stationis (Cytheropteron)	278
stationis (Limnicythere)	332
stationis (Limnocythere)	332
stebbingi (Paradoxostoma)	290
stellatum (Cytheropteron)	383
stellatum (Cytheropteron (Cytherura))	383
stellifera (Codonocera)	22
stellifera (Cypridina)	22
stellifera (Loxoconcha)	307
Stenocypria	195
Stenocypris	191, 195
Stenocypris	196
stevensoni (Darwinella)	240
stevensoni (Darwinula)	240
stevensoni (Polycheles)	240
stigmatica (Conchoecia)	78
stigmosa (Cytheridea)	328
stimpsoni (Cythere)	358
stobarti (Cypris)	238
stolonifera (Cythere)	356
stolonifera (Cythereis)	356
Strandesia	186
strandesioides (Cypris)	187
strandesioides (Strandesia)	187
strausii (Cypris)	154
Streptoleberis	36
striata (Archiconchoecia)	56
striata (Conchoecia)	79, 83
striata (Cypris)	230
striata (Cythere)	267
striata (Cytherura)	267
striata (Eucypris)	230
striata (Halocypris)	57
striata (Paracytherois)	291
striata (Polycope)	100
striatum (Paradoxostoma)	283
striatus (Monoculus)	230
strigata (Cypris)	165, 171, 172, 176, 210
strigata (Erpetocypris)	172
strigata (Herpetocypris)	172
striola (Conchoecia)	79
striolata (Conchoecia)	95
striolata (Cypris)	131
studeri (Candona)	137
stummeri (Candona)	136

	Seite
stummeri (Eucandona)	136
stygia (Cypris)	238
subarcuata (Conchoecia)	83
subarcuata (Conchoecia)	84
subcircinata (Bairdia)	247
subcircinata (Nesidea)	247
subcircinatum (Cytheropteron)	277
subcirratum (Cytheropteron)	279
subcoronata (Cythereis)	353
subcuneata (Cythere)	383
subdeltoidea (Bairdia)	245
subdeltoidea (Cythere)	245
subdeltoidea (Nesidea)	245
subflavescens (Cythere)	383
subflavescens (Cytheridea)	383
subfusca (Pontocypris)	110
subglobosa (Chlamydotheca)	180
subglobosa (Cypris)	180
subglobosa (Eurycypris)	180
subovata (Cythere)	383
subovata (Loxoconcha)	383
subquadraregularis (Cytheridea)	383
subquadrata (Cythere)	383
subreniformis (Pontocypris)	114
subreniformis (Pontocypris)	114, 119
subrhomboidea (Loxoconcha)	313
subrufa (Cythere)	344
subrufa (Cythereis)	344
subrugosa (Cythere)	365
subrugosa (Cythereis)	365
subsigmoidea (Cythere)	383
substriatus (Ilyodromus)	201
subtriangularis (Pontocypris)	114
subtrigona (Cythere)	365
subtrigona (Cythereis)	365
subtrigona var. marginato-striata (Cythere)	365
subulata (Cytherideis)	367
subulata (Cytherideis)	367
subulata (Cytherideis subulata)	367
subulata fasciata (Cytherideis)	368
subulata subulata (Cytherideis)	367
subulata var. fasciata (Cytherideis)	368
succinea (Cytherois)	282
succinea (Macrocypris)	120
succinea (Pontocypris)	110
sucki (Candona)	141
suhmi (Cythere)	365
suhmi (Cythereis)	365
sulcata (Cytherura)	271
sulcata (Paracytherois)	291
sulcata (Xestoleberis)	304
sulcatoperforata (Cythere)	350
sulcatoperforata (Cythereis)	350
sulcifera (Cythere)	383
sulcifera (Cythere)	388
sydneia (Cypris)	231

	Seite
symmetrica (Chlamydotheca)	184
symmetrica (Conchoecia)	90
symmetricus (Cyprinotus)	164
syngramma (Cypris)	174
syngramma (Eucypris)	174
taeniata (Cypris)	190
taeniata (Strandesia)	190
taeniatum (Paradoxostoma)	285
tamarindus (Loxoconcha)	310
tarentina (Cythere)	343, 346
tarentina (Cythereis)	346
tatei (Cypris)	231
taurina (Halocypris)	58
telemus (Monoculus)	398
tenera (Bairdia)	248
tenera (Cyclasterope)	52
tenera (Cypris)	129
tenera (Cythere)	383
tenera (Cytheridea)	383
tenera (Nesidea)	248
tensa (Macrocypris)	121
tenuicauda (Cypretta)	206
tenuicauda (Cypris)	231
tenuicauda (Macrocypris)	122
tenuis (Candona)	151
tenuis (Candonopsis)	151
tenuis (Dolerocypris)	192
tenuis (Eucypris)	192
tenuis (Loxoconcha)	313
tenuis (Paracypris)	152
tenuissima (Bythocythere)	293
tenuissima (Machaerina)	293
tenuissimus (Xiphichilus)	293
tenuitesta (Cytheropsis)	333
teres (Asterope)	46
teres (Bradycinetus)	46
teres (Cylindroleberis)	46
teres (Cypridina)	46
teres (Cythere)	338
teres (Cythereis)	338
teres (Cytheridea torosa var.)	327
teres (Cytherideis)	369
tessellata (Cypris)	171
tessellata (Cypris)	231
testudinaria (Cypris)	231
testudinaria (Herpetocypris)	231
testudo (Cytheropteron)	383
tetragona (Conchoecia)	84
Tetragonodon	25
tetrica (Cythere)	354
tetrica (Cythereis)	354
texasiensis (Cypris)	184
thalassica (Cythere)	384
Thaumatocyprinae	54
Thaumatocypris	54
theobromacea (Cypris)	170
thermalis (Candona)	146

	Seite
thermalis (Cypris)	238
thermalis (Eucandona rostrata var.)	146
thielei (Cypridina)	16
thompsoni (Cythere)	384
thorellii (Cythereis)	365
tiberiadis (Limnicythere)	333
tiberiadis (Limnocythere)	333
tigrina (Cytherideis)	384
torosa (Candona)	326
torosa (Cyprideis)	326, 326
torosa (Cytheridea)	326
torosa (Cytheridea)	326, 326
torosa (Cytheridea torosa)	326
torosa (Halocypris)	79
torosa littoralis (Cytheridea)	326
torosa torosa (Cytheridea)	326
torosa var. teres (Cytheridea)	327
torresi (Cythere)	384
torticollis (Cythere)	345
torticollis (Cythereis)	345
toynbeeana (Halocypris)	58
Trachyleberis	336
triangularis (Cypris)	231
triangularis (Cypris)	234
trichota (Cypris)	178
trichota (Eucypris)	178
tricincta (Cypris)	231
tricorne (Cytheropteron)	275
tricristata (Cythere)	361
tricristata (Cythereis)	361
tridentata (Cypris)	231
trifasciata (Cypris)	195
trigona (Cypris)	231
trigona (Macrocypris)	238
trigonella (Cypris)	231
trigonella (Pontocypris)	114
trilobites (Cytheropteron)	384
triquetra (Cypridopsis)	211
trispicata (Cythere)	384
triste (Paradoxostoma)	285
tristriata (Cypris)	170
truncata (Bairdia)	398
truncata (Cythere)	345
truncata (Cythere)	384
truncata (Cytherella)	391
truncatula (Cythere)	384
truncatum (Paradoxostoma)	379
truncula (Cythere)	348
truncula (Cythereis)	348
tuberculata (Bairdia)	243
tuberculata (Cypris gibba var.)	153
tuberculata (Cythere)	365
tuberculata (Cythereis)	365
tuberculata (Iliocypris)	153
tuberculata (Ilyocypris gibba var.)	153
tuberculata (Ilyocyprois)	153
tuberculata (Nesidea)	243
tuberculata (Spirocypris)	232
tuberosa (Polycope)	98
tuberosa (Zonocypris)	218
tumefacta (Cypris)	173
tumefacta (Erpetocypris)	173
tumefacta (Herpetocypris)	173
tumefacta (Prionocypris)	173
tumefacta (Xestoleberis)	304
tumida (Candona candida var.)	135, 148
tumida (Cypridopsella)	210
tumida (Cytherella)	397
tumida (Cytherina)	384
tumida (Krithe)	335
tumida (Loxoconcha)	313, 384
tumida (Macrocypris)	123
tumida (Pontocypris)	238
tumida (Sarsiella)	37
tumida (Xestoleberis)	302, 384
turbida (Cythereis)	355
turbida (Cytheridea)	325
turbida (Loxoconcha)	308
turbida (Macrocypris)	121
turgida (Bythocythere)	257
turgida (Cypretta)	207
turgida (Cypridopsis)	207
turgida (Pionocypris)	207
tyloda (Conchoecia)	86
Typhlocypris	134
typica (Conchoecia loricata var.)	80
typica (Conchoecia plactolycos)	89
typica (Cypridina mediterranea forma)	11
typica (Cypris)	198
typica (Halocypris cornuta var.)	58
typica (Stenocypris ametra)	199
typica var. major (Cypris)	198
undata (Cythere)	384
undata (Cytherura)	384
undata (Cytherura)	273, 384
undata (Cytherura undata)	384
undata undata (Cytherura)	384
undulata (Bythocythere)	385
ungulata (Cypris)	232
unidentata (Cypris)	179
unifasciatus (Cypris)	232
unifasciatus (Monoculus)	232
unispinosa (Cypris)	232
vagans (Linocheles)	304
valdiviae (Conchoecia)	93
vanhöffeni (Cypridina)	11
vanhöffeni (Paracytherois)	291
variabile (Paradoxostoma)	286
variabilis (Conchoecia)	69, 72
variabilis (Cypris)	158
variabilis (Cythere)	286
variabilis (Cytheroma)	314
variegata (Candonella)	215
variegata (Cypridopsis)	215

Seite

variegata (Eucypris) 189
variegata (Neocypris) 189
variegata (Paracypridopsis) . . . 215, 215
variegata (Pontocypris) 238
variegata (Potamocypris) 215
variegata (Strandesia) 189
variegata (Xestoleberis) 304
variolata (Loxoconcha) 310
varrovillia (Cypris) 200
varrovillius (Ilyodromus) 200
vávrai (Candona) 137, 149
vávrai (Cryptocandona) 149
vávrai (Cypris) 189
vávrai (Strandesia) 189
velifera (Bythocythere) 256
velifera (Bythocythere) 385
velifera (Cythere) 385
velifera (Cytheropteron) 385
velivola (Cythere) 353
velivola (Cythereis) 353
vellicata (Cythere) 385
vellicata (Philomedes) 52
venata (Cythere) 385
ventricosa (Archiconchoecia) . . 55
ventricosa (Bairdia) 243
ventricosa (Cypris) 170
ventricosa (Cythere) 373
ventricosa (Cytherura) 264
ventricosa (Xestoleberis) 302
ventricrista (Cythere) 365
ventricrista (Cythereis) 365
venus (Cythere) 365
venus (Cythereis) 365
venusta (Cypris) 232
venusta (Cythere) 385
venusta (Cytherella) 393
venus var. messanensis (Cythere) . . 365
verreauxii (Cypris) 233
verrucosa (Cypridopsis) 217
versicolor (Loxoconcha) 310
versicolor (Paradoxostoma) . . . 287
vesiculosa (Cytherella) 392
vespertilis (Cytheropteron) 274
victrix (Bairdia) 248
victrix (Nesidea) 248
videns (Cytheropteron) 277
vidua (Cypria) 210
vidua (Cypridopsis) 210
vidua (Cypridopsis) 210
vidua (Cypridopsis vidua) 210
vidua (Cypris) 210
vidua helvetica (Cypridopsis) . . 210
vidua (Monoculus (Cypris)) 210
vidua obesa (Cypridopsis) 210
vidua (Pionocypris) 210
viduatus (Monoculus) 210
vidua var. concolor (Cypridopsis) . . 212

Seite

vidua var. obesa (Cypridopsis) . . . 210
vidua vidua (Cypridopsis) 210
viduella (Cypridopsis) 213
villosa (Bairdia) 245, 398
villosa (Candonella) 216
villosa crassipes (Potamocypris) . 216
villosa (Cypridopsella) 216
villosa (Cypridopsis) 216
villosa (Cypridopsis (Candonella)) . . 216
villosa (Cypris) 215
villosa (Cypris) 233
villosa (Cythere) 340
villosa (Cythereis) 340
villosa (Nesidae) 245
villosa (Potamocypris) 215
villosa (Potamocypris) 216
villosa (Potamocypris villosa) . . 215
villosa var. crassipes (Cypridopsis) . 216
villosa villosa (Potamocypris) . . 215
villosus (Monoculus) 215
viminea (Cythere) 342
viminea (Cythereis) 342
vinciguerrae (Cypris) 191
vinciguerrae (Strandesia) 191
vineyardensis (Cythereis) 360
violacea (Cypris) 397
violacea (Erpetocypris) 202
virens acuminata (Eucypris) . . 170
virens (Cypris) 170, 170, 234
virens (Cytherois) 281
virens (Eucypris) 170
virens media (Eucypris) 170
virens (Monoculus) 170
virens obtusa (Eucypris) 170
virens var. acuminata (Cypris) . . . 170
virens var. media (Cypris) 170
virens var. monilifera (Cypris) . . . 170
virens var. obtusa (Cypris) 170
virescens (Candona) 194
virescens (Candonella) 213
virescens (Cypridopsis) 213
viridis (Cypretta) 206
viridis (Cypridopsis) 206
viridis (Cypris) 206
viridis (Cythere) . . . 298, 307, 318, 318
viridis (Cythere) 385
viridis (Cytherina) 307
viridis (Loxoconcha) 307
viridis (Monoculus) 307
viridis (Phlyctenophora) 238
viridis (Pionocypris) 206
viridula (Cypris) 202
viridula (Herpetocypris) 202
viridulus (Ilyodromus) 202
vitiensis (Candona) 233
vitiensis (Cypris) 233
vitrea (Cypris) 233

	Seite
vitrea (Cytherois)	281
vitreum (Paradoxostoma)	281
vittata (Cypris)	190
vittata (Strandesia)	190
voeltzkowi (Candonocypris)	181
voeltzkowi (Cypris)	181
voeltzkowi (Oncocypris)	161
vraspillaii (Cytherella)	397
vulgaris (Cypris)	127, 128
vulgaris (Cypris)	238
vulturis (Cypris)	238
weberi (Codonocera)	21
weberi (Cypris)	233
wellingtoniense (Cytheropteron)	275
weltneri (Candona)	135
weltneri (Candona)	135
weltneri (Candona weltneri)	135
weltneri obtusa (Candona)	136
weltneri var. obtusa (Candona)	136
weltneri weltneri (Candona)	135
westwoodii (Cypris)	216
whitei (Cythere)	360
whitei (Cythereis)	360
willeyi (Cythere)	385
willisi (Cythere)	385
woodwardiana (Bairdia)	248
woodwardiana (Nesidea)	248
woodwardii (Cythere)	385
wordwiana (Bairdia)	248
wyville-thomsoni (Cythere)	350, 388
wyville-thomsoni (Cythereis)	350
wyville-thomsoni (Philomedes)	52
Xestoleberis	295
Xiphichilus	292
Xiphochilus	292
yallahensis (Cypridopsis)	233
yallahensis (Cypris)	233
zealandica (Cyclasterope)	49
zealandica (Cypridina)	49
zealandica (Paracypris)	126
zealandica (Phlyctenophora)	126
zenkeri (Candona)	148
zenkeri (Cypris)	174
zenkeri (Cythere)	318, 355
zenkeri (Cythereis)	355
zenkeri (Eucypris)	174
zenkeri (Herpetocypris)	174
zetlandica (Cytheridea)	135
zetlandica (Cytheridea)	397
Zonocypris	217
zostericola (Cytherois)	283
zostericola (Sarsiella)	39
zschokkei (Paracypridopsis)	215
zschokkei (Potamocypris)	215
zurcheri (Cythere)	365
zurcheri (Cythereis)	365

Nomenclator generum et subgenerum

Acanthobus [pro: *Acanthopus* Vernet 1879]. G.W. Müller in: Zool., *v.*(Heft)30 p. 104. Lit. 1900.

Acanthocypris C. Claus in: Arb. Inst. Wien, *v.* 10 p. 196. 1892. Sp.: *A. bicuspis.*

Acanthopus H. Vernet in: Bull. Soc. Vaudoise, *v.* 15 p. 506. 1879. Sp.: *A. resistans, A. elongatus.*

Acocypris Vávra in: Mt. Mus. Hamburg, *v.* 12 p. 14. 1895. Sp.: *A. capitata.*

Aglaïa G. S. Brady in: Folin & Périer, Fonds Mer, *v.* 1 p. 89, 90. 1868. Sp.: *A. pulchella.*

Amphicypris G. O. Sars in: Arch. Naturv. Kristian., *v.* 24 nr. 1 p. 16. 1901. Sp.: *A. nobilis.*

Anchistrocheles G. S. Brady & A. M. Norman in: Tr. R. Dublin Soc., ser. 2 *v.* 4 p. 106. 1889. Sp.: *A. acerosa.* Type: *A. fumata.*

Archiconchoecia G. W. Müller in: F. Fl. Neapel, *v.* 21 p. 225. 1894. Sp.: *A. striata.*

Argillaecia [pro: *Argilloecia* G. O. Sars 1866]. G. S. Brady in: Folin & Périer, Fonds Mer, *v.* 1 p. 198. 1870.

Argilloecia G. O. Sars in: Forh. Selsk. Christian., 1865 p. 11, 17. 1866. Sp.: *A. cylindrica.*

Astenocypris nom. nov. pro: *Leptocypris* G. O. Sars 1903. G. W. Müller in: Tierreich, *v.* 31 p. 203. 1912.

Asterope A. Philippi in: Arch. Naturg., *v.* 61 p. 188. 1840. Sp.: *A. elliptica.*

Asterope J. Müller & Troschel in: SB. Ak. Berlin, p. 103. 1840. Sp.: *A. carinifera.* Echin.

Asteropsis pro: *Asterope* J. Müller & Troschel 1840. J. Müller & Troschel in: Arch. Naturg., *v.* 61 p. 322. 1840. Sp.: *A. carinifera.* Echin.

Bairdia Mc Coy, Carbon. Foss. Ireland, p. 164. 1844. Sp.: *B. curtus, B. gracilis.*

Bosquetia G. S. Brady in: Pal. Soc. Mon., p. 220. 1874. Sp.: *B. robusta.*

Bradycinetus G. O. Sars in: Forh. Selsk. Christian., 1865 p. 109. 1866. Sp.: *B. globosus, B. lilljeborgii.*

Bythocypris G. S. Brady in: Rep. Voy. Challenger, Zool. *v.* 1 Part 3 p. 45. 1880. Sp.: *B. reniformis, B. (?) compressa, B. elongata.*

Bythocythere G. O. Sars in: Forh. Selsk. Christian., 1865 p. 27, 82. 1866. Sp.: *B. turgida, B. constricta, B. dromedaria, B. acuminata.*

Candon [pro: *Candona* W. Baird 1845]. G. W. Müller in: Zool., *v.* 30 p. 35. 1900.

Candona W. Baird in: Hist. Berwick. Club, *v.* 2 p. 152. 1845. Sp.: *C. candida, C. reptans, C. hispida, C. detecta, C. similis.*

Candonella C. Claus in: Arb. Inst. Wien, *v.* 9 p. 231. 1891. Sp.: *C. brachyura.*

Candonella Subgen. Vávra in: Ergeb. Hamburg. Magalh.-Sammelr., *v.* 2 Ostr. p. 13. 1898. Sp.: *Cypridopsis (C.) villosa, C. (C.) paradisea, C. (C.) montevidea.*

Candonocypris G. O. Sars in: Skr. Vidensk. Christian., nr. 5 p. 34. 1894. Sp.: *C. candonoides, C. assimilis.*

Candonopsis Vávra in: Arch. Landesdf. Böhmen, *v.* 8 nr. 3 p. 54. 1891. Sp.: *C. kingsleii.*

Candonopsis Subgen. G. W. Müller in: Zool., *v.* (Heft) 30 p. 37. 1900. Sp.: *Candona (C.) kingsleii.*

Candozella [pro: *Candonella* Claus 1891]. C. Claus in: Arb. Inst. Wien, *v.* 9 p. 231 nota 1891.

Centrocypris Subgen. Vávra in: Mt. Mus. Hamburg, *v.* 12 p. 4, 15. 1895. Sp.: *Cypris (C.) horrida.*

Chlamydotheca Subgen. Saussure in: Mém. Soc. Genève, *v.* 14II p. 487. 1858. Sp.: *Cypris (C.) azteca,* ? *C. (C.) brasiliensis.*

Codonocera G. S. Brady in: Tr. zool. Soc. London, *v.* 16 p. 188. 1902. Sp.: *C. cruenta.*

Conchoecetta C. Claus in: Arb. Inst. Wien, *v.* 9 p. 16. 1890. Sp.: *C. acuminata.*

Conchoecia J. D. Dana in: P. Amer. Ac., *v.* 2 p. 51. 1852. Sp.: *C. agilis, C. rostrata, C. brevirostris, C. inflata.*

Conchoecilla C. Claus in: Arb. Inst. Wien, *v.* 9 p. 17. 1890. Sp.: *C. daphnoides.*

Conchoecissa C. Claus in: Arb. Inst. Wien, *v.* 9 p. 18. 1890. Sp.: *C. armata.*

Copechaete E. Hesse in: Ann. Sci. nat., ser. 6 *v.* 7 nr. 14 p. 2. 1878. Sp.: *C. elongata, C. affinis, C. fissa, C. armoricana.*

Crossophorus G. S. Brady in: Rep. Voy. Challenger, Zool. *v.* 1 Part 3 p. 157. 1880. Sp.: *C. imperator.*

Cryptocandona Kaufmann in: Zool. Anz., *v.* 23 p. 132. 1900. Sp.: *C. vávrai.*

Cyclasterope G. S. Brady in: Tr. zool. Soc. London, *v.* 14 p. 85. 1897. Sp.: *C. orbicularis.*

Cyclocypris G. S. Brady & A. M. Norman in: Tr. R. Dublin Soc., ser. 2 *v.* 4 p. 70. 1889. Sp.: *C. globosa.*

Cylindroleberis G. S. Brady in: Intell. Observ., *v.* 12 p. 127. 1867. Sp.: *C. mariae, C. teres.*

Cypretta Subgen. Vávra in: Mt. Mus. Hamburg, *v.* 12 p. 6. 1895. Sp.: *Cypridopsis (C.) tenuicauda.*

Cypria Subgen. Zenker in: Arch. Naturg., *v.* 201 p. 77. 1854. Sp.: *Cypris (C.) punctata, C. (C.) joanna, C. (C.) vidua, C. (C.) semilunaris, C. (C.) ovum.*

Cypria G. S. Brady & A. M. Norman in: Tr. R. Dublin Soc., ser. 2 *v.* 4 p. 68. 1889. Sp.: *C. exsculpta, C. ophthalmica, C. laevis, C. serena, C. joanna.*

Cypricercus G. O. Sars in: Skr. Vidensk. Christian., nr. 8 p. 37. 1895. Sp.: *C. cuneatus.*

Cyprideis Subgen.(?) Jones in: Pal. Soc. Mon., p. 9, 20. 1856. Sp.: *C. torosa.*

Cypridella Vávra in: Mt. Mus. Hamburg, *v.* 12 p. 7. 1895. Sp.: *C. lemurensis.*

Cypridina H. Milne Edwards, Hist. nat. Crust., *v.* 3 p. 409. 1840. Sp.: *C. reynaudii.*

Cypridinodes G. S. Brady in: Tr. zool. Soc. London, *v.* 16 p. 187. 1902. Sp.: *C. favus.*

Cypridonotus [pro: *Cyprinotus* G. S. Brady 1885] C. Claus in: Arb. Inst. Wien, *v.* 10 p. 197. 1892.

Cypridopsella pro: *Candonella* Vávra 1898. Kaufmann in: Zool. Anz., *v.* 23 p. 131. 1900.

Cypridopsis G. S. Brady in: Intell. Observ., *v.* 12 p. 117. 1867. Sp.: *C. vidua, C. aculeata, C. villosa.*

Cypridopsis Subgen. G. W. Müller in: Zool., *v.* (Heft) 30 p. 79. 1900. Sp.: *Cypris (C.) vidua, C. (C.) parva, C. (C.) hartwigi, C. (C.) newtoni, C. (C.) variegata, C. (C.) aculeata.*

Cyprinotus G. S. Brady in: J. Linn. Soc. London, *v.* 19 p. 301. 1886. Sp.: *C. cingalensis.*

Cyprinotus Subgen. G. W. Müller in: Zool., *v.* (Heft) 30 p. 76. 1900. Sp.: *Cypris (C.) salina, C. (C.) incongruens.*

Cypris O. F. Müller, Zool. Dan. Prodr., p. 198. 1776. Sp.: *C. pubera, C. laevis, C. vidua, C. candida, C. detecta. C. strigata, C. pilosa, C. fasciata, C. monacha, C. ornata.*

Cypris Subgen. Zenker in: Arch. Naturg., *v.* 201 p. 70. 1854. Sp.: *Cypris (C.) puber, C. (C.) ornata, C. (C.) fuscata, C. (C.) aurantia, C. (C.) acuminata. C. (C) candida.*

Cyprois Zenker in: Arch. Naturg., *v.* 201 p. 80. 1854. Sp.: *C. monacha, C. dispar.*

Cythere O. F. Müller, Entom., p. 63 1785. Sp.: *C. viridis, C. lutea, C. flavida, C. gibba, C. gibbera.*

Cythereis Subgen. Jones in: Pal. Soc. Mon., p. 14. 1849. Sp.: *Cythere (C.) interrupta, C. (C.) gaultina, C. (C.) macrophthalma, C. (C.) triplicata, C. (C.) quadrilatera, C. (C.) ciliata, C. (C.) lonsdaleiana, C. (C.) cornuta, C. (C.) alata.*

Cytherella Subgen. Jones in: Pal. Soc. Mon., p. 28. 1849. Sp.: *Cythere (C.) ovata, C. (C.) truncata, C. (C.) williamsoniana, C. (C.) appendiculata, C. (C.) mantelliana, C. (C.) bosquetiana.*

Cytherella Bosquet in: Mém. cour. Ac. Belgique, *v.* 24 [nr. 3] p. 9. 1851. Sp.: *C. compressa, C. münsteri, C. hieroglyphica, C. jonesiana.*

Cytherelle [pro: *Cytherella* Bosquet 1851.] Bosquet in: Mém. cour. Ac. Belgique, *v.* 24 [nr. 3] p. 13. 1851. Sp.: *C. münsteri.*

Cytheretta G. W. Müller in: F. Fl. Neapel, *v.* 21 p. 382. 1894. Sp.: *C. rubra.*

Cytheridea Bosquet in: Mém. cour. Ac. Belgique, *v.* 24 [nr. 3] p. 37. 1851. Sp.: *C. mulleri, C. papillosa, C. williamsoniana, C. incrassata.*

Cytherideis Subgen. Jones in: Pal. Soc. Mon., p. 9, 46. 1856. Sp.: *Cythere (C.) trigonalis, C. (C.) tuberculata, C. (C.) unisulcata, C. (C.) unicornis, C. (C.) sp.* t. 6 f. 15, *C. (C.) tamarindus, C. (C.) colwellensis, C. (C.) bartonensis, C. (C.) flavida, C. (C.) ren.*

Cytheridella Daday in: Zool., *v.* (Heft) 44 p. 261. 1905. Sp.: *C. ilosvayi.*

Cytherina Lamarck, Hist. An. s. Vert., *v.* 5 p. 125. 1818. Sp.: *C. viridis, C. lutea.*

Cytherois G. W. Müller in: Arch. Naturg., *v.* 501 p. 15. 1884. Sp.: *C. virens.*

Cytheroma G. W. Müller in: F. Fl. Neapel, *v.* 21 p. 349. 1894. Sp.: *C. variabilis.*

Cytheropsis Mac Coy in: Ann. nat. Hist., ser. 2 *v.* 4 p. 414. 1849.

Cytheropsis G. O. Sars in: Forh. Selsk. Christian., 1865 p. 27, 57. 1866. Sp.: *C. argus, C. tenuitesta.*

Cytheropteron G. O. Sars in: Forh. Selsk. Christian., 1865 p. 27, 79. 1866. Sp.: *C. convexum, C. subcircinatum, C. alatum.*

Cytherura G. O. Sars in: Forh. Selsk. Christian., 1865 p. 27, 69. 1866. Sp.: *C. gibba, C. nigrescens, C. similis, C. sella, C. striata, C. atra, C. undata, C. acuticostata, C. affinis, C. clathrata, C. nana.*

Darwinella Fr. Müller in: Arch. mikr. Anat., *v.* 1 p. 344. 1865. Spong.

Darwinella pro: *Polycheles* G. S. Brady & D. Robertson 1870. G. S. Brady & D. Robertson in: Ann. nat. Hist., ser. 4 *v.* 9 p. 50. 1872. Sp.: *D. stevensoni.*

Darwinula pro: *Darwinella* G. S. Brady & D. Robertson 1872. G. S. Brady & D. Robertson in: G. S. Brady & A. M. Norman in: Tr. R. Dublin Soc., ser. 2 *v.* 4 p. 121. 1889. Sp.: *D. stevensoni.* Type: *D. stevensoni.*

Dolerocypris Kaufmann in: Rev. Suisse Zool., *v.* 8 p. 277. 1900. Sp.: *D. fasciata.*

Elpidium Fr. Müller in: Arch. Mus. Rio Jan., *v.* 4 p. 27. 1881. Sp.: *E. bromeliarum.*

Entocythere Wm. S. Marshall in: Tr. Wisconsin Ac., *v.* 14 p. 120. 1903. Sp.: *E. cambaria.*

Erpetocypris G. S. Brady & A. M. Norman in: Tr. R. Dublin Soc., ser. 2 *v.* 4 p. 84. 1889. Sp.: *E. reptans, E. strigata, E. fasciata, E. serrata, E. tumefacta, E. robertsoni, E. olivacea.* Type: *E. reptans.*

Erpetocypris Subgen. Vávra in: Arch. Landesdf. Böhmen, *v.* 8 p. 84. 1891. Sp.: *Cypris (E.) strigata, C. (E.) reptans, C. (E.) olivacea.*

Erythrocypris G. W. Müller in: F. Fl. Neapel, *v.* 21 p. 256. 1894. Sp.: *E. frequens, E. obtusa, E. rara, E. serrata, E. pallida, E. acuminata, E. discrepans.*

Eucandona Daday, Ostr. Hungar., p. 242. 1900. Sp.: *E. rostrata, E. r. var. thermalis, E. balatonica, E. fabaeformis, E. hungarica, E. claudiopolitana, E. pubescens, E. p. var. reticulata.*

Euconchoecia G. W. Müller in: Zool. Jahrb. Syst., *v.* 5 p. 277. 1890. Sp.: *E. chierchiae.*

Eucypris Subgen. Vávra in: Arch. Landesf. Böhmen, *v.* 8 nr. 3 p. 90. 1891. Sp.: *Cypris (E.) pubera, C. (E.) fisheri, C. (E.) incongruens, C. (E.) fuscata, C. (E.) reticulata, C. (E.) clavata, C. (E.) virens, C. (E.) fasciata.*

Eucythere G. S. Brady in: Tr. Linn. Soc. London, *v.* 26 p. 429. 1868. Sp.: *E. declivis, E. argus.*

Eucytherura G. W. Müller in: F. Fl. Neapel, *v.* 21 p. 305. 1894. Sp.: *E. complexa, E. angulata, E. alata, E. gibbera.*

Eumonopia pro: *Monopia* C. Claus 1873. C. Claus in: Arb. Inst. Wien, *v.* 9 p. 234. 1891.

Eupathistoma G. S. Brady in: Tr. zool. Soc., London, *v.* 14 p. 437. 1898. Sp.: *E. natans.*

Eurycypris G. W. Müller in: Abh. Senckenb. Ges., *v.* 21 p. 263. 1898. Sp.: *E. latissima.*

Eurycypris Subgen. G. W. Müller in: Zool., *v.* (Heft) 30 p. 53. 1900. Sp.: *Cypris (E.) pubera.*

Eurypylus G. S. Brady in: Folin & Périer, Fonds Mer, *v.* 1 p. 141. 1869. Sp.: *E. petrosus.*

Gigantocypris G. W. Müller in: Bull. Mus. Harvard, *v.* 27 p. 164. 1895. Sp.: *G. agassizii, G. pellucida.*

Goniocypris G. S. Brady & D. Robertson in: Ann. nat. Hist., ser. 4 *v.* 6 p. 15. 1870. Sp.: *G. mitra.*

Halocypria C. Claus, Schr. zool. Inh., *v.* 1 p. 7. 1874. Sp.: *H. globosa.*

Halocypris J. D. Dana in: U. S. expl. Exp., *v.* 13II p. 1301. 1852. Sp.: *H. inflata, H. brevirostris.*

Hemicypris G. O. Sars in: Arch. Naturv. Kristian., *v.* 25 nr. 8 p. 24. 1903. Sp.: *H. pyxidata, H. ovata, H. megalops.*

Herpetocypris [pro: *Erpetocypris* G. S. Brady & A. M. Norman 1889]. G. O. Sars in: Forh. Selsk. Christian., nr. 8 p. 34. 1889.

Heterocypris C. Claus in: Arb. Inst. Wien, *v.* 10 p. 198. 1892. Sp.: *H. incongruens.*

Heterodesmus G. S. Brady in: Tr. zool Soc. London, *v.* 5 p. 387. 1866. Sp.: *H. adamsii.*

Hungarocypris Vávra in: Zool. Jahrb. Syst., *v.* 23 p. 416. 1906. *H. gawemülleri.*

Iliocyprella Daday, Ostr. Hungar., p. 237. 1900. Sp.: *I. repens.*

Iliocypris [pro: *Ilyocypris* G. S. Brady & A. M. Norman] G. W. Müller in: Zool. *v.* (Heft) 30 p. 87. 1900.

Ilyobates Kraatz, Naturg. Ins. Deutschl., Abt. 1 *v.* 2 p. 133. 1858. Col.

Ilyobates G. O. Sars in: Forh. Selsk. Christian., 1865 p. 27, 59. 1866. Sp. *I. praetexta.*

Ilyocypris G. S. Brady & A. M. Norman in: Tr. R. Dublin Soc., ser. 2 *v.* 4 p. 106. 1889. Sp.: *I. gibba.* Type: *I. gibba* (Ramdohr).

Ilyocyprois Masi in: Boll. Soc. zool. Ital., ser. 2 *v.* 7 p. 261. 1906. Sp.: *I. tuberculata.*

Ilyodromus G. O. Sars in: Skr. Vidensk. Christian., nr. 5 p. 38. 1894. Sp.: *I. stanleyanus, I. varrovillius, I. smaragdinus, I. substriatus, I. obtusus.*

Isocypris G. W. Müller in: D. Südp.-Exp., *v.* 10 p. 159. 1908. Sp.: *I. perangusta, I. priomena.*

Jonesia G. S. Brady in: Tr. zool. Soc. London, *v.* 5. p. 362. 1866. Sp.: *J. simplex.*

Krithe pro: *Ilyobates* G. O. Sars 1866. G. S. Brady, Crosskey & D. Robertson in: Pal. Soc. Mon., p. 183. 1874. Sp.: *K. glacialis, K. bartonensis.*

Leptocypris G. A. Boulenger in: Ann. Mus. Congo, Zool. *v.* 1 p. 133. 1900. Sp.: *L. modestus.* Pisc.

Leptocypris G. O. Sars in: Arch. Naturv. Kristian., *v.* 25 nr. 8 p. 28. 1903. Sp.: *L. papyracea.*

Leucocythere Kaufmann in: Zool. Anz., *v.* 15 p. 394. 1892. Sp.: *L. mirabilis.*

Limnicythere [pro: *Limnocythere* G. S. Brady 1867]. G. S. Brady in: Tr. Linn. Soc. London, *v.* 26 p. 419. 1868. Sp.: *L. inopinata, L. monstrifica.*

Limnicytheridea F. A. Forel in: Bibl. Genève Arch., *v.* 32 p. 602. 1894.

Limnocythere G. S. Brady in: Intell. Observ., *v.* 12 p. 121. 1867. Sp.: *L. inopinata, L. monstrifica.*

Linocheles G. S. Brady in: Nat. antarct. Exp., *v.* 3 Crust. nr. 5 p. 7. 1907. Sp.: *L. vagans.*

Loxoconcha G. O. Sars in: Forh. Selsk. Christian., 1865 p. 27, 61. 1866. Sp.: *L. rhomboidea, L. longipes, L. granulata, L. fragilis.*

Loxoleberis [pro: *Loxoconcha* G. O. Sars 1866]. G. O. Sars in: Forh. Selsk. Christian., 1865 p. 130. 1866.

Machaerina G. S. Brady & A. M. Norman in: Tr. R. Dublin Soc., ser. 2 *v.* 4 p. 237. 1889. Sp.: *M. tenuissima, M. amygdaloides.*

Macrocypris G. S. Brady in: Intell. Observ., *v.* 12 p. 119. 1867. Sp.: *M. minna.*

Megalocypris G. O. Sars in: Arch. Naturv. Kristian., *v.* 20 nr. 8 p. 4. 1898. Sp.: *M. princeps.*

Metacypris G. S. Brady & D. Robertson in: Ann. nat. Hist., ser. 4 *v.* 6 p. 19. 1870. Sp.: *M. cordata.*

Microconchoecia C. Claus in: Arb. Inst. Wien, *v.* 9 p. 22. 1890. Sp.: *M. clausii.*

Microcypris Kaufmann in: Zool. Anz., *v.* 23 p. 132. 1900. Sp.: *M. reptans.*

Microcythere G. W. Müller in: F. Fl. Neapel, *v.* 21 p. 327. 1894. Sp.: *M. inflexa, M. obliqua, M. levis, M. nana, M. rara, M. hians, M. gibba, M. dentata, M. depressa.*

Microcytherura G. W. Müller in: F. Fl. Neapel, *v.* 21 p. 383. 1894. Sp.: *M. nigrescens.*

Microxestoleberis G. W. Müller in: F. Fl. Neapel, *v.* 21 p. 339. 1894. Sp.: *M. nana.*

Monoculus Linné, Syst. Nat., ed. 10 p. 634. 1758. Sp.: *M. polyphemus, M. foliaceus, M. apus, M. pulex, M. pediculus, M. quadricornis, M. conchaceus, M. lenticularis, M. telemus.*

Monopia C. Claus in: Z. wiss. Zool., *v.* 23 p. 225. 1873.

Nematohamma G. S. Brady & A. M. Norman in: Tr. R. Dublin Soc., ser. 2 *v.* 5 p. 680. 1896. Sp.: *N. obliqua.*

Neocypris G. O. Sars in: Arch. Naturv. Kristian., *v.* 24 nr. 1 p. 29. 1901. Sp.: *N. gladiator, N. mutica, N. variegata, N. obtusa, N. elliptica, N. mucronata.*

Nesidea O. G. Costa in: Atti Acc. Pontan., *v.* 5 p. 183, 187. 1847 (?). Sp.: *N. hirta.*

Newnhamia R. L. King in: P. R. Soc. Van Diemensland, *v.* 31 p. 67. 1855. Sp.: *N. fenestrata.*

Normania G. S. Brady in: Tr. zool. Soc. London, *v.* 5 p. 383. 1866. Sp.: *N. avellana, N. affinis, N. glabra, N. grisea, N. modesta, N. dorso-tuberculata.*

Notodromas W. Lilljeborg, Clad. Ostr. Cop., p. 94. 1853. Sp.: *N. monachus.*

Notodromus [pro: *Notodromas* W. Lilljeborg 1853]. Whitelegge in: J. R. Soc. N. S. Wales, *v.* 23 p. 320. 1889.

Oncocypris G. W. Müller in: Abh. Senckenb. Ges., *v.* 21 p. 286. 1898. Sp.: *O. voeltzkowi.*

Pachycypris C. Claus in: Arb. Inst. Wien, *v.* 10 p. 201. 1892. Sp.: *P. leuckarti, P. incisa.*

Paracandona W. Hartwig in: Zool. Anz., *v.* 22 p. 309. 1899. Sp.: *P. euplectella.*

Paracandona Subgen. G. W. Müller in: Zool., *v.* (Heft) 30 p. 36. 1900. Sp.: *Candona (P.) euplectella.*

Paraconchoecia C. Claus in: Arb. Inst. Wien, *v.* 9 p. 13. 1890. Sp.: *P. oblonga, P. spinifera, P. inermis, P. gracilis.*

Paracypridopsis Kaufmann in: Zool. Anz., *v.* 23 p. 131. 1900. Sp.: *P. zschokkei.*

Paracypris G. O. Sars in: Forh. Selsk. Christian., 1865 p. 11. 1866. Sp.: *P. polita.*

Paracythere G. W. Müller in: F. Fl. Neapel, *v.* 21 p. 285. 1894. Sp.: *P. minima.*

Paracytheridea G. W. Müller in: F. Fl. Neapel, *v.* 21 p. 340. 1894. Sp.: *P. depressa.*

Paracytherois G. W. Müller in: F. Fl. Neapel, *v.* 21 p. 324. 1894. Sp.: *P. striata, P. rara, P. oblonga, P. acuminata, P. sulcata.*

Paracytheroma Juday in: Univ. Calif. Publ., Zool. *v.* 3 p. 137. 1907. Sp.: *P. pedrensis.*

Paradoxostoma S. Fischer in: Abh. Bayer. Ak., *v.* 7 p. 654. 1855. Sp.: *P. dispar.*

Paramekodon G. S. Brady & A. M. Norman in: Tr. R. Dublin Soc., ser. 2 *v.* 5 p. 670. 1896. Sp.: *P. inflatus.*

Philomedes W. Lilljeborg, Clad. Ostr. Cop., p. 175. 1853. Sp.: *P. longicornis.*

Phlyctenophora G. S. Brady in: Rep. Voy. Challenger, Zool., *v.* 1 Part 3 p. 32. 1880. Sp.: *P. zealandica.*

Physocypria Vávra in: D.-O.-Afr., *v.* 4 p. 7. 1897. Sp.: *P. bullata.*

Pionocypris pro: *Cypridopsis* G. O. Sars 1889. G. S. Brady & A. M. Norman in: Tr. R. Dublin Soc., ser. 2 *v.* 5 p. 725. 1896.

Pleoschisma G. S. Brady in: Tr. R. Soc. Edinb., *v.* 35 p. 513. 1890. Sp.: *P. robusta, P. moroides, P. reticulata.*

Polycheles Cam. Heller in: SB. Ak. Wien, *v.* 451 p. 389. 1862. Sp.: *P. typhlops.* Crust. Decap.

Polycheles G. S. Brady & D. Robertson in: Ann. nat. Hist., ser. 4 *v.* 6 p. 25. 1870. Sp.: *P. stevensoni.*

Polycope G. O. Sars in: Forh. Selsk. Christian., 1865 p. 121. 1866. Sp.: *P. orbicularis.*

Polycopsis G. W. Müller in: F. Fl. Neapel, *v.* 21 p. 238. 1894. Sp.: *P. compressa, P. serrata.*

Pontocypria G. W. Müller in: F. Fl. Neapel, *v.* 21 p. 255. 1894. Sp.: *P. spinosa.*

Pontocypris G. O. Sars in: Forh. Selsk. Christian., 1865 p. 11, 13. 1866. Sp.: *P. serrulata, P. hispida, P. trigonella.*

Pontoparta Vávra in: Arch. Naturg., *v.* 671 p. 184. 1901. Sp.: *P. rara.*

Poracypridopsis [pro: *Paracypridopsis* Kaufmann 1900]. Kaufmann in: Rev. Suisse Zool., *v.* 8 p. 316. 1900.

Potamocypris G. S. Brady in: Tr. nat. Hist. Soc. Northumb., *v.* 3 p. 365. 1870. Sp.: *P. fulva.*

Potamocypris Subgen. G. W. Müller in: Zool., *v.* (Heft) 30 p. 86. 1900. Sp.: *Cypris (P.) fulva.*

Prionocypris G. S. Brady & A. M. Norman in: Tr. R. Dublin Soc., ser. 2 *v.* 5 p. 724. 1896. Sp.: *P. serrata.*

Proteocypris G. S. Brady in: Tr. nat. Hist. Soc. Northumb., ser. 2 *v.* 1 p. 334. 1905. Sp.: *P. salina.*

Pseudocandona Kaufmann in: Rev. Suisse Zool., *v.* 8 p. 375. 1900. Sp.: *P. pubescens.*

Pseudoconchoecia C. Claus in: Arb. Inst. Wien, *v.* 9 p. 20. 1890. Sp.: *P. serrulata.*

Pseudocythere G. O. Sars in: Forh. Selsk. Christian., 1865 p. 27, 87. 1866. Sp.: *P. caudata.*

Pseudocytheretta Cushman in: P. Boston Soc., *v.* 32 p. 382. 1906. Sp.: *P. edwardsi.*

Pseudoloxoconcha G. W. Müller in: F. Fl. Neapel, *v.* 21 p. 348. 1894. Sp.: *P. minima.*

Pseudophilomedes G. W. Müller in: F. Fl. Neapel, *v.* 21 p. 211. 1894. Sp.: *P. foveolata, P. angulata.*

Pyrocypris G. W. Müller in: Zool. Jahrb. Syst., *v.* 5 p. 230. 1890. Sp.: *P. chierchiae, P. rivilli, P. mollis, P. punctata, P. americana, P. japonica.*

Rutiderma G. S. Brady & A. M. Norman in: Tr. R. Dublin Soc., ser. 2 *v.* 5 p. 673. 1896. Sp.: *R. compressa.*

Sarsiella A. M. Norman in: Rep. Brit. Ass., Meet. 38 p. 293. 1869. Sp.: *S. capsula.*

Sclerochilus G. O. Sars in: Forh. Selsk. Christian., 1865 p. 27, 89. 1866. Sp.: *S. contortus.*

Scottia G. S. Brady & A. M. Norman in: Tr. R. Dublin Soc., ser. 2 *v.* 4 p. 72. 1889. Sp.: *S. browniana.*

Spirocypris R. Sharpe in: P. U. S. Mus., *v.* 26 p. 981. 1903. Sp.: *S. passaica.*

Stenocypria G. W. Müller in: Zool. Anz., *v.* 24 p. 571. 1901. Sp.: *S. fischeri.*

Stenocypris G. O. Sars in: Forh. Selsk. Christian., nr. 8 p. 27. 1889. Sp.: *S. malcolmsonii.*

Stenocypris Subgen. Vávra in: Mt. Mus. Hamburg, *v.* 12 p. 4, 10. 1895. Sp.: *Cypris (S.) acuta.*

Strandesia Stuhlmann in: SB. Ak. Berlin, p. 1260. 1888.

Strandesia Subgen. Vávra in: Mt. Mus. Hamburg, *v.* 12 p. 4, 18. 1895. Sp.: *Cypris (S.) mercatorum.*

Streptoleberis G. S. Brady in: Tr. R. Soc. Edinb., *v.* 35 p. 515. 1890. Sp.: *S. crenulata.*

Tetragonodon G. S. Brady & A. M. Norman in: Tr. R. Dublin Soc., ser. 2 *v.* 5 p. 667. 1896. Sp.: *T. ctenorhynchus, T. erinaceus.*

Thaumatocypris G. W. Müller in: Ergeb. Tiefsee-Exp., *v.* 8 p. 41. 1906. Sp.: *T. echinata.*

Trachyleberis G. S. Brady in: Tr. zool. Soc. London, *v.* 14 p. 444. 1898. Sp.: *T. scabrocuneata.*

Typhlocypris Vejdovsky in: Brunnenw. Prag, p. 64. 1882. Sp.: *T. eremita.*

Xestoleberis G. O. Sars in: Forh. Selsk. Christian., 1865 p. 27, 66. 1866. Sp.: *X. nitida, X. depressa.*

Xiphichilus G. S. Brady in: Tr. nat. Hist. Soc. Northumb., *v.* 3 p. 369. 1870. Sp.: *X. amygdaloides, X. tenuissimus.*

Xiphochilus [pro: *Xiphichilus* G. S. Brady 1870]. Egger in: Abh. Bayer. Ak., *v.* 21 p. 464. 1901.

Zonocypris G. W. Müller in: Abh. Senckenb. Ges., *v.* 21 p. 284. 1898. Sp.: *Z. madagascarensis, Z. elegans.*

Das Tierreich.

Eine Zusammenstellung und Kennzeichnung der rezenten Tierformen.

Begründet von der Deutschen Zoologischen Gesellschaft.

Im Auftrage der

Königl. Preuß. Akademie der Wissenschaften zu Berlin

herausgegeben von

Franz Eilhard Schulze.

„Πάντα ῥεῖ.“ *„Sine systemate chaos.“*

31. Lieferung.

Crustacea.

Ostracoda

bearbeitet von

G. W. Müller
in Greifswald.

Mit 92 Abbildungen.

Berlin.
Verlag von R. Friedländer und Sohn.
Ausgegeben im Juli 1912.

R. Friedländer & Sohn, Berlin NW 6, Karlstr. 11.

Das Tierreich.

Eine Zusammenstellung und Kennzeichnung der rezenten Tierformen.

Begründet von der Deutschen Zoologischen Gesellschaft.

Im Auftrage der

Königl. Preuß. Akademie der Wissenschaften zu Berlin

herausgegeben von

Franz Eilhard Schulze.

Seit Linnés Systema naturae ist die Zahl der bekannten Tierformen so angewachsen, daß eine neue, umfassende Übersicht des Systems, die als Abschluß der bisherigen und als Grundlage künftiger systematischer Forschung dienen kann, ein dringendes Bedürfnis geworden ist. Um diese Aufgabe zu erfüllen, hat die Deutsche Zoologische Gesellschaft das vorliegende Werk begründet und dessen wissenschaftliche Leitung Herrn Geh. Reg.-Rat Prof. **F. E. Schulze** in Berlin anvertraut. Das gewaltige Unternehmen fand die Unterstützung der Königlich Preußischen Akademie der Wissenschaften, die in Würdigung der Bedeutung des Werkes im Jahre 1902 die Herausgabe übernommen hat.

Die einheitliche Durchführung des Werkes ist durch eine Reihe wohldurchdachter Bestimmungen gesichert. Für die Benennung der Tierformen und ihrer systematischen Kategorien gelten die von dem 5. internationalen Zoologen-Kongreß zu Berlin (1901) angenommenen Regeln.

Die Herausgabe findet in Lieferungen statt, die je eine oder mehrere nahestehende Gruppen behandeln, jedoch unabhängig von einer systematischen Folge erscheinen. Nach Abschluß einer jeden in mehreren Lieferungen behandelten Hauptabteilung erscheint ein Gesamtregister.

Jede Lieferung ist einzeln käuflich. Dem Umfang entsprechend ist der Preis der Lieferungen verschieden; jedoch wird für die Subskribenten, die sich auf 5 Jahre hinaus für die Abnahme aller in diesem Zeitraum erscheinenden Lieferungen verpflichten, der Berechnung der durchschnittliche Preis von Mark 0,80 für den Druckbogen zugrunde gelegt. Der Einzel-Ladenpreis für jede vollständige Lieferung erhöht sich gegen den Subskriptionspreis um ein Drittel.

Bearbeiter: Dr. Graf K. **Attems-Petzenstein** in Wien, **R. S. Bagnall**, Oxford, England, Stadtbaurat **T. Becker** in Liegnitz, Graf **H. v. Berlepsch** auf Schloß Berlepsch, Prof. **Berlese** in Florenz, Prof. **R. Blanchard** in Paris, Prof. **F. Blochmann** in Tübingen, **A. de Bormans** in Turin, Dr. **K. Börner** in Berlin, Prof. **E.-L. Bouvier** in Paris, Geh.-Rat Prof. **K. Brandt** in Kiel, Staatsrat Prof. **M. Braun** in Königsberg i. Pr., Dr. **L. Breitfuss** in Katharinenhafen, Prof. **O. Bürger** in Santiago (Chile), Prof. **G. Canestrini** in Padua (†), Geh.-Rat Prof. **C. Chun** in Leipzig, Prof. **J. Csokor** in Wien, **P. L. Czerny** in Pfarrkirchen, Prof. **C. W. v. Dalla Torre** in Innsbruck, Prof. **F. Doflein** in Freiburg B., Prof. **C. Emery** in Bologna, Dr. **G. Enderlein** in Stettin, Lehrer **H. Fahrenholz** in Hannover, Dr. **O. Finsch** in Braunschweig, Dr. **H. Friese** in Schwerin, Prof. **A. Giard** in Paris, Prof. **W. Giesbrecht** in Neapel, Hofrat Prof. **L. v. Graff** in Graz, Dr. **K. Grünberg** in Berlin, Prof. **V. Häcker** in Halle, Dir. **E. Hartert** in Tring, Prof. **R. Hartmeyer** in Berlin, Dr. **C. E. Hellmayr** in München, Dir. Dr. **W. E. Hoyle** in Cardiff, Dr. **Ihle** in Utrecht, Dir. Prof. **A. Jacobi** in Dresden, Dr. **K. Jordan** in Tring, Prof. **J. J. Kieffer** in Bitsch, Dr. **W. Kobelt** in Schwanheim, Prof. **C. A. Kofoid** in Berkeley (California), Prof. **H. J. Kolbe** in Berlin, Dir. Prof. **K. Kraepelin** in Hamburg, Prof. **P. Kramer** in Magdeburg (†), Dr. **H. Krauss** in Tübingen, Prof. **W. Kükenthal** in Breslau, Dir. Prof. **L. Kulczynski** in Krakau, Dr. **A. Labbé** in Paris, Prof. **R. Lauterborn** in Ludwigshafen a. Rh., Prof. **R. v. Lendenfeld** in Prag, Dir. Prof. **H. Lenz** in Lübeck, Prof. **H. Lohmann** in Kiel, Geh.-Rat Prof. **H. Ludwig** in Bonn, Prof. **M. Lühe** in Königsberg i. Pr., **A. D. Michael** in London, Prof. **W. Michaelsen** in Hamburg, Dr. **T. Mortensen** in Kopenhagen, Geh.-Rat Prof. **G. W. Müller** in Greifswald, Prof. **J. P. Mc Murrich** in Toronto, Prof. **A. Nalepa** in Wien, Dr. **G. Neumann** in Dresden, Prof. **L.-G. Neumann** in Toulouse, Dr. **Nieden** in Berlin, Prof. **A. Nosek** in Caslau, **W. R. Ogilvie-Grant** in Edinburgh, Prof. **A. E. Ortmann** in Princeton, Geh. Sanitätsrat Dr. **A. Pagenstecher** in

(Fortsetzung auf Seite 3 des Umschlages.)

Wiesbaden, Prof. **K. A. Penecke** in Graz, Prof. **G. Pfeffer** in Hamburg, Dir. Dr. **R. Piersig** in Annaberg (†), Prof. **L. Plate** in Jena, Prof. **A. Reichenow** in Berlin, Prof. **L. Rhumbler** in Hannov.-Münden, **H. Riffarth** in Berlin, Dir. Dr. **F. Ris** in Rheinau (Schweiz), Dr. **R. von Ritter-Záhony** in Görz, Dr. **C. Fr. Roewer** in Bremen, The Hon. **W. Rothschild** in Tring, **E. H. Rübsaamen** in Berlin, Dr. **F. Schaudinn** in Hamburg (†), **E. Schenkel** in Basel, Prof. **P. Schiemenz** in Berlin, Prof. **O. Schmeil** in Wiesbaden, Lehrer **Ad. Schmidt** in Berlin, Prof. **O. Schmiedeknecht** in Blankenburg, Geh.-Rat Prof. **F. E. Schulze** in Berlin, Dr. **R. B. Sharpe** in London, Kustos **Siebenrock** in Wien, Dr. **H. Soldanski** in Berlin, Kgl. Kreisarzt Dr. **P. Speiser** in Labes, Geh. Hofrat Prof. **J. W. Spengel** in Gießen, Rev. **T. R. R. Stebbing** in Tunbridge Wells, Oberlehrer **P. Stein** in Genthin, Dr. **Sternfeld** in Berlin, **H. Stichel** in Berlin, Dr. **T. Stingelin** in Olten, Dr. **J. J. Tesch** in Helder, Prof. Dr. **F. V. Theobald** in Wye (England), Prof. **J. Thiele** in Berlin, Prof. **D'A. W. Thompson** in Dundee, Schuldirektor **S. Thor** in Skien (Norwegen), Dr. **É.-L. Trouessart** in Paris, Lehrer **G. Ulmer** Hamburg, Dr. **B. Wandolleck** in Dresden, Prof. **W. Weltner** in Berlin, Prof. **F. Werner** in Wien, Prof. **C. Zelinka** in Czernowitz.

Erschienen sind:

Probelieferung. *(Protozoa.)* **Heliozoa.** Bearbeitet von F. Schaudinn (Berlin). 24 Seiten mit 10 Abbildungen. 1896. **Preis Mark 1,50.**

1. Lieferung. *(Aves.)* **Podargidae, Caprimulgidae** und **Macropterygidae.** Bearbeitet von E. Hartert (Tring). VIII und 98 Seiten mit 16 Abbildungen und 1 Beilage (Terminologie des Vogelkörpers, von A. Reichenow. 4 Seiten mit 1 Abbildung). 1897 II.
Subskriptionspreis Mark 4,50. Einzelpreis Mark 7,—.

2. Lieferung. *(Aves.)* **Paradiseidae.** Bearbeitet von The Hon. W. Rothschild. VI und 52 Seiten mit 15 Abbildungen. 1898 IV.
Subskriptionspreis Mark 2,80. Einzelpreis Mark 3,60.

3. Lieferung. *(Acarina.)* **Oribatidae.** Bearbeitet von A. D. Michael (London). XII und 93 Seiten mit 15 Abbildungen. 1898 VII.
Subskriptionspreis Mark 4,50. Einzelpreis Mark 6,80.

4. Lieferung. *(Acarina.)* **Eriophyidae (Phytoptidae).** Bearbeitet von A. Nalepa (Wien). IX und 74 Seiten mit 3 Abbildungen. 1898 VIII.
Subskriptionspreis Mark 3,80. Einzelpreis Mark 5,—.

5. Lieferung. *(Protozoa.)* **Sporozoa.** Bearbeitet von A. Labbé (Paris). XX und 180 Seiten mit 196 Abbildungen. 1899 VII.
Subskriptionspreis Mark 8,80. Einzelpreis Mark 12,—.

6. Lieferung. *(Crustacea.)* **Copepoda, I. Gymnoplea.** Bearbeitet von W. Giesbrecht (Neapel) und O. Schmeil (Magdeburg). XVI und 169 Seiten mit 31 Abbildungen. 1898 XII.
Subskriptionspreis Mark 8,40. Einzelpreis Mark 11,—.

7. Lieferung. *(Acarina.)* **Demodicidae** und **Sarcoptidae.** Bearbeitet von G. Canestrini (Padua) und P. Kramer (Magdeburg). XVI und 193 Seiten mit 31 Abbildungen. 1899 IV.
Subskriptionspreis Mark 9,20. Einzelpreis Mark 12,—.

8. Lieferung. *(Arachnoidea.)* **Scorpiones** und **Pedipalpi.** Bearbeitet von K. Kraepelin (Hamburg). XVIII und 265 Seiten mit 94 Abbildungen. 1899 III.
Subskriptionspreis Mark 12,60. Einzelpreis Mark 17,—.

9. Lieferung. *(Aves.)* **Trochilidae.** Bearbeitet von E. Hartert (Tring). IX und 254 Seiten mit 34 Abbildungen. 1900 II.
Subskriptionspreis Mark 12,—. Einzelpreis Mark 16,—.

10. Lieferung. *(Vermes.)* **Oligochaeta.** Bearbeitet von W. Michaelsen (Hamburg). XXIX und 575 Seiten mit 13 Abbildungen. 1900 X.
Subskriptionspreis Mark 26,60. Einzelpreis Mark 35,—.

11. Lieferung. *(Orthoptera.)* **Forficulidae** und **Hemimeridae.** Bearbeitet von A. de Bormans (Turin) und H. Krauss (Tübingen). XV und 142 Seiten mit 47 Abbildungen. 1900 X.
Subskriptionspreis Mark 7,—. Einzelpreis Mark 9,—.

12. Lieferung. *(Arachnoidea.)* **Palpigradi** und **Solifugae.** Bearbeitet von K. Kraepelin (Hamburg). XI und 159 Seiten mit 118 Abbildungen. 1901 II.
Subskriptionspreis Mark 8,—. Einzelpreis Mark 10,—.

13. Lieferung. *(Acarina.)* **Hydrachnidae** und **Halacaridae.** Bearbeitet von R. Piersig (Annaberg) und H. Lohmann (Kiel). XVIII und 336 Seiten mit 87 Abbildungen. 1901 VI.
Subskriptionspreis Mark 16,—. Einzelpreis Mark 21,—.

14. Lieferung. *(Lepidoptera.)* **Libytheidae.** Bearbeitet von A. Pagenstecher (Wiesbaden). IX und 18 Seiten mit 4 Abbildungen. 1901 II.
Subskriptionspreis Mark 1,50. Einzelpreis Mark 2,—.

15. Lieferung. *(Aves.)* **Zosteropidae.** Bearbeitet von O. Finsch (Leiden). XIV und 55 Seiten mit 32 Abbildungen. 1901 III.
Subskriptionspreis Mark 3,60. Einzelpreis Mark 4,80.

16. Lieferung. *(Mollusca.)* **Cyclophoridae.** Bearbeitet von W. Kobelt (Schwanheim). XXXIX und 662 Seiten mit 110 Abbildungen und 1 Landkarte. 1902 VII.
Subskriptionspreis Mark 32,—. Einzelpreis Mark 42,—.

17. Lieferung. *(Lepidoptera.)* **Callidulidae.** Bearbeitet von A. Pagenstecher (Wiesbaden). IX und 25 Seiten mit 19 Abbildungen. 1902 III.
Subskriptionspreis Mark 2,—. Einzelpreis Mark 3,—.

18. Lieferung. *(Aves.)* **Paridae, Sittidae** und **Certhiidae.** Bearbeitet von C. E. Hellmayr (München). XXXI und 255 Seiten mit 76 Abbildungen. 1903 III.
Subskriptionspreis Mark 12,60. Einzelpreis Mark 16,—.

19. Lieferung. *(Porifera.)* **Tetraxonia.** Bearbeitet von R. v. Lendenfeld (Prag). XV und 168 Seiten mit 44 Abbildungen. 1903 VII.
Subskriptionspreis Mark 8,40. Einzelpreis Mark 11,—.

20. Lieferung. *(Platyhelminthes.)* **Nemertini.** Bearbeitet von Otto Bürger (Santiago). XVII und 151 Seiten mit 15 Abbildungen. 1904 VIII.
Subskriptionspreis Mark 7,40. Einzelpreis Mark 9,60.

21. Lieferung. *(Crustacea.)* **Amphipoda, I. Gammaridea.** Bearbeitet von T. R. R. Stebbing (Tunbridge Wells). XXXIX und 806 Seiten mit 127 Abbildungen. 1906 IX. **Subskriptionspreis Mark 36,—. Einzelpreis Mark 48,—.**

22. Lieferung. *(Lepidoptera.)* **Heliconiidae.** Bearbeitet von H. Stichel & H. Riffarth. XV und 290 Seiten mit 50 Abbildungen. 1905 X.
Subskriptionspreis Mark 14,—. Einzelpreis Mark 18,—.

23. Lieferung. *(Platyhelminthes.)* **Turbellaria, I. Acoela.** Bearbeitet von Ludwig von Graff (Graz). VIII und 35 Seiten mit 8 Abbildungen. 1905 V.
Subskriptionspreis Mark 2,40. Einzelpreis Mark 3,—.

24. Lieferung. *(Hymenoptera.)* **Cynipidae.** Bearbeitet von K. W. v. Dalla Torre & J. J. Kieffer. XXXV und 891 Seiten mit 422 Abbildungen. 1910 VIII.
Subskriptionspreis Mark 42,—. Einzelpreis Mark 56,—.

25. Lieferung. *(Lepidoptera.)* **Brassolidae.** Bearbeitet von H. Stichel (Berlin). XIV und 244 Seiten mit 46 Abbildungen. 1909 V.
Subskriptionspreis Mark 11,20. Einzelpreis Mark 15,—.

26. Lieferung. *(Acarina.)* **Ixodidae.** Bearbeitet von L. G. Neumann (Toulouse). XVI und 169 Seiten mit 76 Abbildungen. 1911 VI.
Subskriptionspreis Mark 8,40. Einzelpreis Mark 11,20.

27. Lieferung. *(Reptilia.)* **Chamaeleontidae.** Bearbeitet von Franz Werner (Wien). XI und 52 Seiten mit 20 Abbildungen. 1911 VIII.
Subskriptionspreis Mark 3,—. Einzelpreis Mark 4,—.

28. Lieferung. *(Hymenoptera.)* **Apidae I: Megachilinae.** Bearbeitet von H. Friese (Schwerin). XXVI und 440 Seiten mit 132 Abbildungen. 1911 XI.
Subskriptionspreis Mark 23,50. Einzelpreis Mark 32,—.

29. Lieferung. *(Vermes.)* **Chaetognathi.** Bearbeitet von R. v. Ritter-Záhony (Berlin). IX und 35 Seiten mit 16 Abbildungen. 1911 VIII.
Subskriptionspreis Mark 2,40. Einzelpreis Mark 3,—.

30. Lieferung. *(Hymenoptera.)* **Ichneumonidea: Evaniidae.** Bearbeitet von J. J. Kieffer (Bitsch). XIX und 431 Seiten mit 76 Abbildungen. 1912 IV.
Subskriptionspreis Mark 23,20. Einzelpreis Mark 31,—.

31. Lieferung. *(Crustacea.)* **Ostracoda.** Bearbeitet von G. W. Müller (Greifswald). XXXIII und 434 Seiten mit 92 Abbildungen. 1912 VII.
Subskriptionspreis Mark 24,—. Einzelpreis Mark 32,—.

32. Lieferung. *(Tunicata.)* **Salpae I: Desmomyaria.** Bearbeitet von J. E. W. Ihle (Utrecht). XI und 67 Seiten mit 68 Abbildungen. 1912 V.
Subskriptionspreis Mark 4,50. Einzelpreis Mark 6,—.

33. Lieferung. *(Reptilia.)* **Eublepharidae, Uroplatidae, Pygopodidae.** Bearbeitet von F. Werner (Wien). X und 33 Seiten mit 6 Abbildungen. 1912 V.
Subskriptionspreis Mark 2,40. Einzelpreis Mark 3,20.

Im Druck befindet sich:

34. Lieferung. **Amathusiidae.** Bearbeitet von H. Stichel (Berlin).

In Vorbereitung befindet sich:

35. Lieferung. **Rhabdocoela.** Bearbeitet von L. von Graff (Graz).

Es wird ersucht, Subskriptions-Anmeldungen baldigst an die unterzeichnete Verlags-Buchhandlung direkt, oder durch Vermittlung anderer Buchhandlungen, zu richten.

Berlin, Juli 1912.
NW 6, Karlstr. 11.

R. Friedländer & Sohn.

MARINE BIOLOGICAL LABORATORY
WOODS HOLE
LIBRARY
MASS.